**Ovaj je tekst namijenjen isključivo dokumentiranju i nema pravni učinak. Institucije Unije nisu odgovorne za njegov sadržaj. Vjerodostojne inačice relevantnih akata, uključujući njihove preambule, one su koje su objavljene u Službenom listu Europske unije i dostupne u EUR-Lexu. Tim službenim tekstovima može se izravno pristupiti putem poveznica sadržanih u ovom dokumentu.**

►**B** 

# DIREKTIVA 2002/49/EZ EUROPSKOG PARLAMENTA I VIJEĆA

## od 25. lipnja 2002.

## o procjeni i upravljanju bukom iz okoliša

(SL L 189, 18.7.2002., str. 12.)

Koju je izmijenila:

| | | Službeni list | | |
|---|---|---|---|---|
| | | br. | stranica | datum |
| ►**M1** | Uredba (EZ) br. 1137/2008 Europskog parlamenta i Vijeća od 22. listopada 2008. | L 311 | 1 | 21.11.2008. |
| ►**M2** | Direktiva Komisije (EU) 2015/996 od 19. svibnja 2015. | L 168 | 1 | 1.7.2015. |

Koju je ispravio:

►**C1** Ispravak, SL L 5, 10.1.2018, str. 35 (2015/996)

▼B

# DIREKTIVA 2002/49/EZ EUROPSKOG PARLAMENTA I VIJEĆA

## od 25. lipnja 2002.

## o procjeni i upravljanju bukom iz okoliša

*Članak 1.*

**Ciljevi**

1. Svrha je ove Direktive definiranje zajedničkog pristupa usmjerenog prvenstveno na izbjegavanje, sprečavanje ili smanjivanje, prema prioritetima, štetnih učinaka, uključujući smetanje, zbog izloženosti buci iz okoliša. U tom se cilju postupno provode sljedeće mjere:

(a) utvrđivanje izloženosti buci iz okoliša izradom karata buke, metodama ocjene zajedničkima državama članicama;

(b) osiguravanje da podaci o buci iz okoliša i njezinim učincima budu dostupni javnosti;

(c) izrada akcijskih planova od strane država članica, temeljenih na rezultatima izrade karata buke, u svrhu sprečavanja i smanjivanja buke iz okoliša gdje je to potrebno, a posebno gdje razine izloženosti mogu izazvati štetne učinke na ljudsko zdravlje, kao i s ciljem očuvanja kvalitete buke iz okoliša gdje je ona dobra.

2. Ova Direktiva također mora stvoriti temelj za uvođenje mjera Zajednice za smanjenje buke koju emitiraju najveći izvori, posebno cestovna i željeznička vozila i infrastruktura, zrakoplovi, vanjska i industrijska oprema te pokretni strojevi. U tu svrhu Komisija, najkasnije do 18. srpnja 2006., podnosi Europskom parlamentu i Vijeću odgovarajuće zakonodavne prijedloge. Ti prijedlozi trebaju uzeti u obzir rezultate izvješća iz članka 10. stavka 1.

*Članak 2.*

**Područje primjene**

1. Ova Direktiva primjenjuje se na buku iz okoliša kojoj su ljudi izloženi posebno u izgrađenim područjima, u javnim parkovima ili drugim tihim područjima u naseljenim područjima, u tihim područjima u prirodi, pored škola, bolnica i drugih zgrada i područja osjetljivih na buku.

2. Ova Direktiva ne primjenjuje se na buku koju izaziva sama izložena osoba, buku od svakodnevnih kućanskih aktivnosti, buku iz stambenih prostora, buku na radnome mjestu, buku unutar prijevoznih sredstava ili buku od vojnih aktivnosti u vojnim područjima.

▼B

*Članak 3.*

**Definicije**

U smislu ove Direktive:

(a) ‘buka iz okoliša’ znači neželjen ili po ljudsko zdravlje i okoliš štetan zvuk u vanjskome prostoru izazvan ljudskom aktivnošću, uključujući buku koju emitiraju: prijevozna sredstva, cestovni promet, željeznički promet, zračni promet, te buka iz područja s industrijskim djelatnostima, poput onih iz Priloga I. Direktivi Vijeća 96/61/EZ od 24. rujna 1996. o integriranom sprečavanju i kontroli onečišćenja ([1]);

(b) ‘štetni učinak’ znači učinak štetan za ljudsko zdravlje;

(c) ‘smetanje’ znači stupanj smetnje bukom iz okoliša, utvrđen pomoću podataka s terenskih ispitivanja;

(d) ‘indikator buke’ znači akustička veličina za opis buke iz okoliša koja je povezana sa štetnim učincima buke;

(e) ‘ocjena’ znači svaka metoda za izračunavanje, predviđanje, procjenjivanje ili mjerenje vrijednosti indikatora buke ili s njim povezanih štetnih učinaka;

(f) ‘$L_{den}$’ (indikator buke za dan-večer-noć) znači indikator buke za ukupno smetanje, kako je pobliže definirano u Prilogu I.;

(g) ‘$L_{day}$’ (indikator dnevne buke) znači indikator buke za smetanje u dnevnom razdoblju, kako je pobliže definirano u Prilogu I.;

(h) ‘$L_{evening}$’ (indikator večernje buke) znači indikator buke za smetanje u večernjem razdoblju, kako je pobliže definirano u Prilogu I.;

(i) ‘$L_{night}$’ (indikator noćne buke) znači indikator buke koja uzrokuje poremećaj sna, kako je pobliže definirano u Prilogu I.;

(j) ‘odnos doza-učinak’ znači odnos između vrijednosti indikatora buke i štetnog učinka buke;

(k) ‘naseljeno područje’ znači dio teritorija kojem je granicu odredila država članica, s više od 100 000 stanovnika i takvom gustoćom naseljenosti da ga država članica smatra urbaniziranim područjem;

([1]) SL L 257, 10.10.1996., str. 26.

▼B

(l) ‘tiho područje unutar naseljenog područja’ znači područje kojem je granicu odredilo nadležno tijelo, koje ni iz jednog izvora buke nije izloženo vrijednosti $L_{den}$ ili drugog prikladnog indikatora buke većoj od određene vrijednosti koju je definirala država članica;

(m) ‘tiho područje u prirodi’ znači područje čiju je granicu odredilo nadležno tijelo, a koje nije narušeno bukom prometa, industrije ili rekreacijskih aktivnosti;

(n) ‘glavna cesta’ znači regionalna, državna ili međunarodna cesta koju je odredila država članica, a s više od tri milijuna prolaza vozila godišnje;

(o) ‘glavna željeznička pruga’ znači željeznička pruga koju je odredila država članica, a s više od 30 000 prolaza vlakova godišnje;

(p) ‘glavna zračna luka’ znači civilna zračna luku koju je odredila država članica, a koja godišnje ima više od 50 000 operacija (operacijom se smatraju polijetanja i slijetanja), isključujući operacije laganih zrakoplova kada se ti letovi obavljaju u svrhu školovanja;

(q) ‘izrada karte buke’ znači prikaz podataka o postojećem ili predviđenom stanju buke pomoću indikatora buke, na kojemu je naznačeno prekoračenje bilo koje relevantne propisane granične vrijednosti, broj ljudi pogođenih bukom na određenom području ili broj stanova izloženih određenim vrijednostima indikatora buke na određenom području;

(r) ‘strateška karta buke’ znači karta buke namijenjena cjelovitom ocjenjivanju izloženosti stanovništva buci od različitih izvora buke u danom području ili u svrhu sveobuhvatnih predviđanja za takvo područje;

(s) ‘granična vrijednost’ znači vrijednost $L_{den}$ ili $L_{night}$, i, gdje je prikladno, $L_{day}$ i $L_{evening}$, kako je odredila država članica, pri čijem prekoračenju nadležno tijelo razmatra ili provodi mjere zaštite od buke; granične vrijednosti mogu biti različite za različite vrste buke (buka od cestovnog, željezničkog ili zračnog prometa, buka od industrijskih aktivnosti, itd.), različitu okolinu i različitu osjetljivost stanovništva na buku; također mogu biti različite za postojeće stanje i za novo stanje (tamo gdje je došlo do promjene stanja s obzirom na izvor buke ili korištenje okoline);

(t) ‘akcijski planovi’ znače planovi izrađeni radi upravljanja bukom okoliša i njezinim štetnim učincima, uključujući smanjenje buke ukoliko je to potrebno;

▼B

(u) ‘akustičko planiranje’ znači planiranje koje služi za upravljanje budućom bukom okoliša, a koristi se prostorno planskim mjerama zaštite od buke, kao što su sustavno planiranje i upravljanje svim vrstama prometa, zaštita mjerama zvučne izolacije i upravljanje bukom na mjestu emisije;

(v) ‘javnost’ znači jedna ili više fizičkih ili pravnih osoba i, u skladu s nacionalnim zakonodavstvom ili praksom, njihova udruženja, organizacije ili grupe.

*Članak 4.*

**Provedba i nadležnosti**

1. Države članice na odgovarajućim razinama imenuju nadležna tijela i tijela odgovorna za provedbu ove Direktive, uključujući tijela nadležna za:

(a) izradu i, prema potrebi, odobravanje karata buke i akcijskih planova za naseljena područja, glavne ceste, glavne željezničke putove i glavne zračne luke;

(b) prikupljanje karata buke i akcijskih planova.

2. Države članice podatke iz stavka 1. dostavljaju Komisiji i javnosti najkasnije do 18. srpnja 2005.

*Članak 5.*

**Indikatori buke i njihova primjena**

1. Države članice primjenjuju indikatore buke $L_{den}$ i $L_{night}$, kako je navedeno u Prilogu I., za pripremu i reviziju izrade strateških karata buke u skladu s člankom 7.

Sve dok uporaba zajedničkih metoda utvrđivanja za određivanje $L_{den}$ i $L_{night}$ ne postane obvezna, države članice mogu koristiti postojeće nacionalne indikatore buke i s njima povezane podatke koje treba pretvoriti u gore navedene indikatore. Ti podaci ne smiju biti stariji od tri godine.

2. Države članice mogu koristiti dodatne indikatore buke za posebne slučajeve poput onih iz Priloga I. stavka 3.

3. Za akustičko planiranje i određivanje zona buke, države članice mogu koristiti indikatore buke drukčije od $L_{den}$ i $L_{night}$.

▼B

4. Najkasnije do 18. srpnja 2005., države članice Komisiji priopćavaju podatke o svim bitnim važećim graničnim vrijednostima unutar njihovih teritorija ili su u pripremi, izražene pomoću $L_{den}$ i $L_{night}$ i, prema potrebi, $L_{day}$ i $L_{evening}$, za buku od cestovnog prometa, buku od željezničkog prometa, buku od zrakoplova oko zračnih luka i buku na industrijskim područjima, zajedno s objašnjenjima o primjeni graničnih vrijednosti.

*Članak 6.*

**Metode ocjene**

1. Vrijednosti $L_{den}$ i $L_{night}$ određuju se metodama ocjene definiranima u Prilogu II.

▼M1

2. Revizijom Priloga II., Komisija utvrđuje zajedničke metode ocjenjivanja kako bi se utvrdila vrijednost $L_{den}$ i $L_{night}$. Te se mjere, namijenjene izmjenama elemenata ove Direktive koji nisu ključni, donose u skladu s regulatornim postupkom s kontrolom iz članka 13. stavka 3. Do donošenja ovih metoda, države članice mogu koristiti metode ocjenjivanja koje su donesene u skladu s Prilogom II. i utemeljene na metodama utvrđenim njihovim zakonodavstvom. U tom slučaju, države članice moraju dokazati da navedene metode daju rezultate koji su istovjetni rezultatima dobivenim metodama utvrđenima u stavku 2. podstavku 2. Priloga II.

▼B

3. Štetni se učinci mogu ocijeniti pomoću odnosa doza-učinak na koje se upućuje u Prilogu III.

*Članak 7.*

**Izrada strateških karata buke**

1. Države članice osiguravaju da najkasnije do 30. lipnja 2007. budu izrađene strateške karte buke koje će pokazati stanje u prethodnoj kalendarskoj godini i da ih, prema potrebi, odobre nadležna tijela, za sva naseljena područja s više od 250 000 stanovnika i za sve glavne ceste koje godišnje imaju više od šest milijuna prolaza vozila, glavne željezničke putove koji imaju više od 60 000 prolaza vlakova godišnje i glavne zračne luke unutar svojih teritorija.

Najkasnije do 30. lipnja 2005., a nakon toga svakih pet godina, države članice obavješćuju Komisiju o glavnim cestama koje imaju više od šest milijuna prolaza vozila godišnje, glavnim željezničkim putovima koji imaju više od 60 000 prolaza vlakova godišnje, glavnim zračnim lukama i naseljenim područjima s više od 250 000 stanovnika unutar svojih teritorija.

2. Države članice usvajaju mjere potrebne da se osigura da najkasnije do 30. lipnja 2012., a nakon toga svakih pet godina, budu izrađene strateške karte buke koje će pokazati stanje u prethodnoj kalendarskoj godini i da ih, prema potrebi, odobre nadležna tijela za sva naseljena područja i za sve glavne ceste i glavne željezničke putove unutar svojih teritorija.

▼B

Najkasnije do 31. prosinca 2008. države članice obavješćuju Komisiju o svim naseljenim područjima i svim glavnim cestama i glavnim željezničkim putovima unutar svojih teritorija.

3. Strateške karte buke moraju najmanje ispunjavati zahtjeve iz Priloga IV.

4. Susjedne države članice surađuju na izradi strateških karata buke u blizini granica.

5. Strateške karte buke preispituju se i revidiraju ukoliko je to potrebno najmanje jednom svakih pet godina nakon datuma njihove izrade.

*Članak 8.*

**Akcijski planovi**

1. Države članice osiguravaju da nadležna tijela najkasnije do 18. srpnja 2008. izrade akcijske planove namijenjene nadzoru problema buke i njezinog učinka unutar svojih teritorija, uključujući i smanjenje buke ako je to potrebno, za:

(a) mjesta u blizini glavnih cesta koja imaju više od šest milijuna prolaza vozila godišnje, glavnih željezničkih putova koji imaju više od 60 000 prolaza vlakova godišnje i glavnih zračnih luka;

(b) naseljena područja s više od 250 000 stanovnika. Takvi planovi moraju također štititi tiha područja od povećanja buke.

Mjere u planovima prepuštene su odluci nadležnih tijela, ali prvenstveno trebaju biti usmjerene na prepoznavanje prekoračenja bilo koje bitne granične vrijednosti, ili prema drugim kriterijima koje odaberu države članice, te bi se posebno trebale primjenjivati na najvažnija područja utvrđena u strateškim kartama buke.

2. Države članice osiguravaju da nadležna tijela najkasnije do 18. srpnja 2013. izrade akcijske planove prvenstveno usmjerene prema prioritetima koji se mogu prepoznati prekoračenjem bilo koje bitne granične vrijednosti ili pomoću drugih kriterija koje su odabrale države članice za naseljena područja i za glavne ceste kao i za glavne željezničke putove unutar svojih teritorija.

3. Države članice obavješćuju Komisiju o drugim bitnim kriterijima iz stavaka 1. i 2.

4. Akcijski planovi kao minimum moraju ispunjavati zahtjeve iz Priloga V.

5. Akcijski planovi preispituju se i revidiraju, ukoliko je to potrebno, u slučaju veće promjene koja će utjecati na postojeće stanje buke, a najmanje svakih pet godina nakon datuma njihova odobrenja.

▼B

6. Susjedne države članice surađuju na akcijskim planovima za pogranične regije.

7. Države članice osiguravaju da se o prijedlozima akcijskih planova savjetuje s javnošću, da joj se daju početne i djelotvorne mogućnosti sudjelovanja u pripremi i preispitivanju akcijskih planova, da se rezultati tog sudjelovanja uzmu u obzir i da javnost bude obaviještena o donesenim odlukama. Osiguravaju se prihvatljivi rokovi da javnost ima dovoljno vremena za sudjelovanju u svakoj fazi.

Ako obveza provođenja postupka sudjelovanja javnosti istodobno proizlazi iz ove Direktive i bilo kojeg drugog zakonodavstva Zajednice, države članice mogu objediniti postupak kako bi se izbjeglo udvostručavanje.

*Članak 9.*

**Podaci za javnost**

1. Države članice osiguravaju da strateške karte buke koje su izrađene i prema potrebi odobrene, kao i izrađeni akcijski planovi, budu dostupni i objavljeni javnosti u skladu s relevantnim zakonodavstvom Zajednice, posebno s Direktivom Vijeća 90/313/EEZ od 7. lipnja 1990. o slobodi pristupa informacijama o okolišu ([1]), a u skladu s Prilozima IV. i V. ovoj Direktivi, pomoću svih dostupnih sredstava obavješćivanja.

2. Ti podaci moraju biti jasni, razumljivi i dostupni. Moraju sadržavati sažetak s istaknutim najznačajnijim točkama.

*Članak 10.*

**Prikupljanje i objavljivanje podataka od strane država članica i Komisije**

1. Komisija najkasnije do 18. siječnja 2004. podnosi Europskom parlamentu i Vijeću izvješće koje sadržava pregled postojećih mjera Zajednice u odnosu na izvore buke iz okoliša.

2. Države članice osiguravaju da podatci iz strateških karata buke i sažetaka akcijskih planova, kako je navedeno u Prilogu VI., budu poslani Komisiji unutar šest mjeseci od datuma iz članka 7. odnosno 8.

3. Komisija uređuje bazu podataka o strateškim kartama buke kako bi olakšala sastavljanje izvješća iz članka 11. i drugih tehničkih i informativnih radova.

4. Svakih pet godina Komisija objavljuje sažeto izvješće o podacima iz strateških karata buke i akcijskih planova. Prvo izvješće podnosi se do 18. srpnja 2009.

([1]) SL L 158, 23.6.1990., str. 56.

▼B

*Članak 11.*

**Preispitivanje i izvješćivanje**

1. Komisija najkasnije do 18. srpnja 2009. podnosi Europskom parlamentu i Vijeću izvješće o provedbi ove Direktive.

2. To izvješće posebno procjenjuje potrebu za daljnjim mjerama Zajednice u vezi s bukom iz okoliša i prema potrebi predlaže provođenje strategija o aspektima kao što su:

(a) dugoročni i srednjoročni ciljevi za smanjenje broja osoba oštećenih bukom iz okoliša, posebno uzimajući u obzir različita podneblja i različite kulture;

(b) dodatne mjere za smanjenje buke iz okoliša koju proizvode specifični izvori, posebno vanjska oprema, prijevozna sredstva i infrastrukture i određene kategorije industrijskih djelatnosti, kao nadgradnja mjera koje se već provode ili o čijem se usvajanju raspravlja;

(c) zaštita tihih područja u prirodi.

3. Izvješće sadržava pregled akustičke kvalitete okoliša u Zajednici, temeljen na podacima iz članka 10., i vodi računa o znanstvenom i tehničkom napretku i svim drugim bitnim podacima. Glavni kriterij za odabir predloženih strategija i mjera je smanjenje štetnih učinaka i učinkovitost u odnosu na troškove.

4. Nakon što Komisija primi prvu zbirku strateških karata buke, ponovno preispituje:

— mogućnost za mjerenje na visini od 1,5 m u Prilogu I. stavku 1., s obzirom na područja na kojima su jednokatne kuće,

— donju granicu za procijenjeni broj ljudi izloženih različitim pojasevima $L_{den}$ i $L_{night}$ u Prilogu VI.

5. Izvješće se preispituje svakih pet godina ili prema potrebi i češće. Sadržava procjenu provedbe ove Direktive.

6. Izvješću se prema potrebi prilažu prijedlozi za izmjenu ove Direktive.

▼M1

*Članak 12.*

**Prilagodba tehničkom i znanstvenom napretku**

Komisija prilagođuje točku 3. Priloga I. i priloge II. i III. ovoj Direktivi tehničkom i znanstvenom napretku. Te se mjere, namijenjene izmjenama elemenata ove Direktive koji nisu ključni, donose u skladu s regulatornim postupkom s kontrolom iz članka 13. stavka 3.

▼B

*Članak 13.*

**Odbor**

1. Komisiji pomaže odbor osnovan na temelju članka 18. Direktive 2000/14/EZ.

▼B

2. Kod upućivanja na ovaj stavak, primjenjuju se članci 5. i 7. Odluke 1999/468/EZ, vodeći pritom računa o odredbama njezina članka 8.

Rok iz članka 5. stavka 6. Odluke 1999/468/EZ jest tri mjeseca.

▼M1

3. Kod upućivanja na ovaj stavak, primjenjuju se članak 5.a stavci 1. do 4. i članak 7. Odluke 1999/468/EZ, uzimajući u obzir odredbe članka 8. te Odluke.

▼B

*Članak 14.*

**Prenošenje u nacionalno zakonodavstvo**

1. Države članice donose zakone i druge propise potrebne za usklađivanje s odredbama ove Direktive najkasnije do 18. srpnja 2004. One o tome odmah obavješćuju Komisiju.

Kada države članice donose ove mjere, te mjere prilikom njihove službene objave sadržavaju uputu na ovu Direktivu ili se uz njih navodi takva uputa. Načine tog upućivanja određuju države članice.

2. Države članice Komisiji dostavljaju tekst svojih zakona i drugih propisa koji se odnose na primjenu ove Direktive.

*Članak 15.*

**Stupanje na snagu**

Ova Direktiva stupa na snagu na dan objave u *Službenom listu Europskih zajednica*.

*Članak 16*

**Adresati**

Ova je Direktiva upućena državama članicama.

▼B

*PRILOG I.*

**INDIKATORI BUKE**

iz članka 5.

1. **Definicija $L_{den}$ razine dan-večer-noć**

$L_{den}$ razina dan-večer-noć u decibelima (dB) definirana je sljedećom formulom:

$$L_{den} = 10 \lg \frac{1}{24} \left( 12 * 10^{\frac{L_{day}}{10}} + 4 * 10^{\frac{L_{evening}+5}{10}} + 8 * 10^{\frac{L_{night}+10}{10}} \right)$$

u kojoj je:

— $L_{day}$ A-vrednovana ekvivalentna razina zvuka definirana u ISO 1996-2: 1987., utvrđivana svakog dana tijekom jedne godine,

— $L_{evening}$ A-vrednovana ekvivalentna razina zvuka definirana u ISO 1996-2: 1987., utvrđivana svake večeri tijekom jedne godine,

— $L_{night}$ A-vrednovana ekvivalentna razina zvuka definirana u ISO 1996-2: 1987., utvrđivana svake noći tijekom jedne godine;

pri čemu:

— dan traje 12 sati, večer četiri sata, a noć osam sati. Države članice mogu skratiti večernje razdoblje za jedan ili dva sata i u skladu s tim produžiti dnevno i/ili noćno razdoblje, pod uvjetom da to jednako važi za sve izvore buke i da Komisiji dostave podatke o svakom sustavnom odstupanju od ponuđene mogućnosti,

— država članica odabire početak dana (i sukladno tomu početak večeri i početak noći) i taj će izbor biti jednak za sve izvore buke; ponuđene vrijednosti su od 07:00 do 19:00, od 19:00 do 23:00 i od 23:00 do 07:00 po lokalnom vremenu,

— godina označava odgovarajuću godinu u pogledu emisije zvuka i prosječnu godinu u pogledu meteoroloških prilika;

pri čemu se:

— uzima u obzir upadni zvuk, što znači da se ne uzima u obzir zvuk koji se reflektira od fasade promatranog stana (kao opće pravilo, u slučaju mjerenja, ovo podrazumijeva korekciju od 3 dB).

Visina $L_{den}$ točke utvrđivanja ovisi o primjeni:

— u slučaju proračuna u svrhu izrade strateške karte buke koja se odnosi na izloženost buci u i blizu zgrada, točke utvrđivanja moraju biti 4,0 ± 0,2 m (3,8 do 4,2 m) iznad tla, i to na najizloženijoj fasadi; u tu će svrhu najizloženija fasada biti vanjski zid okrenut prema najbližem određenom izvoru buke; u druge se svrhe može napraviti drugi izbor,

— u slučaju mjerenja u svrhu izrade strateške karte buke koja se odnosi na izloženost buci u i blizu zgrada mogu se odabrati druge visine, ali one nikada ne smiju biti manje od 1,5 m iznad tla, a rezultate treba korigirati u skladu s odgovarajućom visinom od 4 m,

▼B

— u druge svrhe, kao što su akustičko planiranje i određivanje zona buke, mogu se odabrati druge visine, ali nikada ne smiju biti manje od 1,5 m iznad tla, na primjer za:

— ruralna područja s jednokatnim kućama,

— planiranje lokalnih mjera namijenjenih smanjenju utjecaja buke na određene stanove,

— izradu detaljne karte buke ograničenog područja koja pokazuju izloženost buci pojedinačnih stanova.

2. **Definicija indikatora noćne buke**

Indikator noćne buke $L_{night}$ je A-vrednovana ekvivalentna razina zvuka definirana u ISO 1996-2: 1987., utvrđivana svake noći tijekom jedne godine,

pri čemu:

— noć traje osam sati, kako je definirano u stavku 1.,

— godina označava odgovarajuću godinu u pogledu emisije zvuka i prosječnu godinu u pogledu meteoroloških prilika, kako je definirano u stavku 1.,

— uzet je u obzir upadni zvuk, kako je utvrđeno u stavku 1.,

— točka utvrđivanja jednaka je kao za $L_{den}$.

3. **Dodatni indikatori buke**

U nekim slučajevima uz $L_{den}$ i $L_{night}$ i, gdje je to prikladno, $L_{day}$ i $L_{evening}$, bilo bi korisno upotrijebiti posebne indikatore buke i s njima povezane granične vrijednosti. U nastavku su dani neki primjeri:

— promatrani izvor buke djeluje samo kratko vrijeme (na primjer, manje od 20 % vremena od ukupnih dnevnih razdoblja jedne godine, ukupnih večernjih razdoblja jedne godine ili ukupnih noćnih razdoblja jedne godine),

— prosječan broj događaja buke u jednom ili više razdoblja vrlo je malen (na primjer, manje od jednog događaja buke na sat; događaj buke bi se mogao definirati kao buka koja traje manje od pet minuta; primjeri su buka od prolaska vlaka ili prelijetanja zrakoplova),

— buka sadrži jaku niskofrekventnu komponentu,

— $L_{Amax}$ ili SEL (razina izloženosti zvuku) za zaštitu od buke u noćnom razdoblju, u slučaju vršnih vrijednosti buke,

— posebna zaštita od buke vikendom ili u određenim dijelovima godine,

— posebna zaštita u dnevnom razdoblju,

— posebna zaštita u večernjem razdoblju,

— kombinacije buke iz različitih izvora,

— tiha područja u prirodi,

— buka sadrži jako istaknute tonove,

— buka je impulsnog karaktera.

▼M2

*PRILOG II.*

**METODE OCJENE ZA INDIKATORE BUKE**

(iz članka 6. Direktive 2002/49/EZ)

1. UVOD

Vrijednosti $L_{den}$ i $L_{night}$ utvrđuju se na položajima za ocjenjivanje izračunom u skladu s metodom utvrđenom u 2. poglavlju i podacima opisanima u 3. poglavlju. Mjerenja se mogu obaviti u skladu s poglavljem 4.

2. ZAJEDNIČKE METODE OCJENE BUKE

2.1. **Opće odredbe – Buka cestovnog prometa, buka željezničkog prometa i buka industrijskih pogona i postrojenja**

2.1.1. *Indikatori, frekvencijski raspon i definicije pojaseva*

Izračuni buke definiraju se ►C1 u frekvencijskom rasponu oktavnog pojasa od 63 Hz do 8 kHz ◄. Rezultati frekvencijskih pojaseva daju se za odgovarajući frekvencijski interval.

Izračuni se rade u pojasevima širine jedne oktave (oktavni pojasevi) za buku cestovnog prometa, buku željezničkog prometa i buku industrijskih pogona i postrojenja, osim za zvučnu snagu izvora buke željezničkog prometa za koju se upotrebljavaju pojasevi širine 1/3 oktave (tercni pojasevi). Na temelju tih rezultata oktavnih pojaseva za buku cestovnog prometa, buku željezničkog prometa i buku industrijskih pogona i postrojenja izračunava se A-vrednovana dugotrajna prosječna razina zvučnog tlaka za razdoblje dana, večeri i noći, kako je definirano u Prilogu I. i na što se upućuje u članku 5. Direktive 2002/49/EZ, zbrajanjem u svim frekvencijama:

$$L_{Aeq,T} = 10 \times \lg \sum_{i=1} 10^{(L_{eq,T,i} + A_i)/10} \qquad (2.1.1.)$$

pri čemu:

$A_i$ označava A-vrednovanu korekciju u skladu s normom IEC 61672-1,

$i$ = indeks frekvencijskog pojasa

i $T$ je vremensko razdoblje koje odgovara danu, večeri ili noći.

Akustički parametri buke:

| | | |
|---|---|---|
| $L_p$ | Trenutačna razina zvučnog tlaka | [dB] (ref. $2\ 10^{-5}$ Pa) |
| $L_{Aeq,LT}$ | Globalna dugotrajna razina zvuka $L_{Aeq}$ uzrokovana svim izvorima i zrcalnim izvorima na točki R | [dB] (ref. $2\ 10^{-5}$ Pa) |
| $L_W$ | Razina zvučne snage točkastog izvora (pokretnog ili nepomičnog) na lokaciji | [dB] (ref. $10^{-12}$ W) |
| $L_{W,i,dir}$ | Razina usmjerene zvučne snage za $i$-ti frekvencijski pojas na lokaciji | [dB] (ref. $10^{-12}$ W) |
| $L_{W'}$ | Prosječna razina zvučne snage po metru linijskog izvora na lokaciji | [dB/m] (ref. $10^{-12}$ W) |

▼M2

Drugi fizički parametri:

| | | |
|---|---|---|
| $p$ | efektivna vrijednost trenutačnog zvučnog tlaka | [Pa] |
| $p_0$ | Referentni zvučni tlak = $2\ 10^{-5}$ Pa | [Pa] |
| $W_0$ | Referentna zvučna snaga = $10^{-12}$ W | [watt] |

2.1.2. *Kvalitativni okvir*

Točnost ulaznih vrijednosti

Sve ulazne vrijednosti koje utječu na razinu emisije izvora određuju se barem s točnosti koja odgovara nesigurnosti od ± 2dB(A) u razini emisije izvora (pri čemu se nijedan drugi parametar ne mijenja).

Upotreba unaprijed zadanih vrijednosti

Pri primjeni metode ulazni podaci moraju odražavati stvarno korištenje. Općenito se ne smije oslanjati na unaprijed zadane ulazne vrijednosti ili pretpostavke. Upotreba unaprijed zadanih vrijednosti i pretpostavki prihvatljiva je ako je prikupljanje stvarnih podataka povezano s nerazmjerno visokim troškovima.

Kvaliteta softvera koji se koristi za izračune

Softver koji se koristi za izračune mora biti dokazano sukladan s ovdje opisanim metodama, a to se dokazuje usporedbom rezultata s probnim slučajevima.

2.2. **Buka cestovnog prometa**

2.2.1. *Opis izvora*

Klasifikacija vozila

Izvor buke cestovnog prometa utvrđuje se spajanjem emisija buke svih pojedinih vozila od kojih je sastavljen protok prometa. Ta su vozila grupirana u pet odvojenih kategorija na temelju svojstava svojih emisija buke.

Kategorija 1: Laka vozila

Kategorija 2: Srednje teška vozila

Kategorija 3: Teška vozila

Kategorija 4: Motorna vozila na dva kotača

Kategorija 5: Otvorena kategorija

Kod motornih se vozila na dva kotača definiraju dvije potkategorije, za mopede i za snažnije motocikle, budući da među njima postoje znatne razlike u načinu vožnje i u brojnosti.

Prve se četiri kategorije moraju upotrebljavati, a peta je opcionalna. Predviđa se da se u budućnosti možda razviju nova vozila koja će se dovoljno razlikovati od postojećih u pogledu emisije buke da bi zahtijevala definiranje dodatne kategorije. Ta bi kategorija mogla obuhvatiti, na

▼M2

primjer, električna ili hibridna vozila ili bilo koje vozilo koje se u budućnosti razvije i bude suštinski različito od onih u kategorijama od 1 do 4.

Detalji o različitim razredima vozila nalaze se u tablici [2.2.a].

*Tablica [2.2.a]*

**Razredi vozila**

| Kategorija | Naziv | Opis | | Kategorija vozila u EZ-u Homologacija tipa vozila kao cjeline ([1]) |
|---|---|---|---|---|
| 1 | Laka motorna vozila | Osobni automobili, kombiji za dostavu ≤ 3,5 tona, sportska terenska vozila (SPV-ovi) ([2]), višenamjenska vozila (MPV-ovi) ([3]) uključujući prikolice i kamp-kućice | | M1 i N1 |
| 2 | Srednje teška vozila | Srednje teška vozila, kombiji za dostavu > 3,5 tona, autobusi, kamperi itd. s dvije osovine i dvostrukim gumama na stražnjoj osovini | | M2, M3 i N2, N3 |
| 3 | Teška vozila | Vozila za zahtjevne poslove, turistička vozila, autobusi, s tri ili više osovina | | M2 i N2 s prikolicom, M3 i N3 |
| 4 | Motorna vozila na dva kotača | 4a | Mopedi s dva, tri i četiri kotača | L1, L2, L6 |
| | | 4b | Motocikli s ili bez bočne prikolice, motocikli s tri i četiri kotača | L3, L4, L5, L7 |
| 5 | Otvorena kategorija | Definirat će se u skladu s budućim potrebama. | | nije primjenjivo |

([1]) Direktiva 2007/46/EZ Europskog parlamenta i Vijeća od 5. rujna 2007. (SL L 263, 9.10.2007., str. 1.) o uspostavi okvira za homologaciju motornih vozila i njihovih prikolica te sustava, sastavnih dijelova i zasebnih tehničkih jedinica namijenjenih za takva vozila.
([2]) Sportska terenska vozila.
([3]) Višenamjenska vozila.

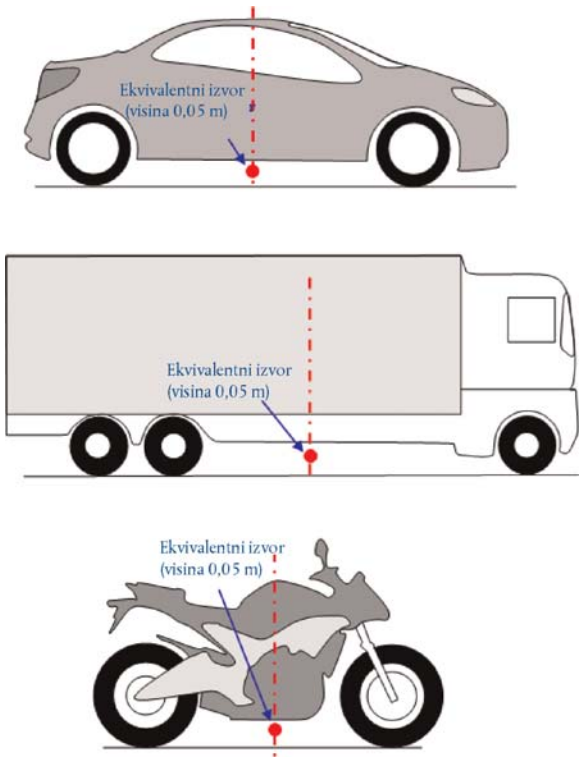
Broj i položaj ekvivalentnih izvora zvuka

U ovoj je metodi svako vozilo (kategorije 1, 2, 3, 4 i 5) prikazano jednim točkastim izvorom iz kojeg zvuk ravnomjerno zrači u poluprostoru od 2-π iznad tla. Prva se refleksija od površine ceste uzima implicitno. Taj je točkasti izvor smješten 0,05 m iznad površine ceste, što je prikazano na slici [2.2.a].

▼M2

*Slika [2.2.a]*

**Položaj ekvivalentnog točkastog izvora na lakim vozilima (kategorija 1), teškim vozilima (kategorije 2 i 3) i vozilima s dva kotača (kategorija 4)**




Protok prometa prikazuje se linijskim izvorom. Pri modeliranju ceste s više traka idealno bi bilo prikazati svaku traku linijskim izvorom smještenim u središte svake trake. Međutim, prihvatljivo je i modeliranje jednog linijskog izvora u sredini dvosmjerne ceste ili jednog linijskog izvora po kolničkoj traci u vanjskoj prometnoj traci cesta s više traka.

Emisija zvučne snage

*Opća razmatranja*

Zvučna snaga izvora definira se kao „poluslobodno zvučno polje" pa tako zvučna snaga uključuje učinak refleksije od tla neposredno ispod modeliranog izvora ako ne postoje prepreke u neposrednom okruženju, uz iznimku za refleksiju od površine ceste koja nije neposredno ispod modeliranog izvora.

*Protok prometa*

Emisija buke protoka prometa predstavlja se linijskim izvorom koji je opisan usmjerenom zvučnom snagom po metru po frekvenciji. To odgovara zbroju emisija zvuka pojedinih vozila u protoku prometa, pri čemu se uzima u obzir vrijeme koje vozila provedu na razmatranoj dionici ceste. Uvođenje pojedinih vozila u protok zahtijeva primjenu modela protoka prometa.

▼M2

Ako se pretpostavi stabilan protok prometa $Q_m$ vozila kategorije m po satu uz prosječnu brzinu $v_m$ (u km/h), usmjerena zvučna snaga po metru u frekvencijskom pojasu $i$ linijskog izvora $L_{W',\ eq,line,i,m}$ definira se jednadžbom:

$$L_{W',eq,line,i,m} = L_{W,i,m} + 10 \times \lg\left(\frac{Q_m}{1\ 000 \times v_m}\right) \qquad (2.2.1.)$$

pri čemu je $L_{W,i,m}$ usmjerena zvučna snaga jednog vozila. $L_{W',m}$ izražava se u dB (referentna razina zvučnog intenziteta $10^{-12}$ W/m). Te razine zvučne snage izračunavaju se za ►C1 svaki oktavni pojas $i$ od 63 Hz do 8 kHz ◄.

Podaci o protoku prometa $Q_m$ izražavaju se kao godišnji prosjek po satu, po vremenskom razdoblju (dan-večer-noć), po razredu vozila i po linijskom izvoru. Za sve se kategorije upotrebljavaju ulazni podaci o protoku prometa dobiveni iz brojanja prometa ili iz korištenih modela prometa.

Brzina $v_m$ reprezentativna je brzina po kategoriji vozila; u većini je slučajeva to manja brzina od najveće zakonski dopuštene brzine za dionicu i najveće zakonski dopuštene brzine za kategoriju vozila. Ako nisu dostupni lokalno izmjereni podaci, upotrebljava se najveća zakonski dopuštena brzina za kategoriju vozila.

*Pojedino vozilo*

Pretpostavlja se da se u protoku prometa sva vozila kategorije m kreću istom brzinom, tj. $v_m$, prosječnom brzinom protoka vozila te kategorije.

Cestovno se vozilo modelira skupom matematičkih jednadžbi kojim se prikazuju dva glavna izvora buke:

1. buka kotrljanja uzrokovana interakcijom gume i ceste;

2. buka pogona koja nastaje u pogonskom sustavu (motor, ispuh itd.) vozila.

Aerodinamička buka sastavni je dio izvora buke kotrljanja.

Za laka, srednja i teška motorna vozila (kategorije 1, 2 i 3) ukupna zvučna snaga odgovara energetskom zbroju buke kotrljanja i buke pogona. Stoga se ukupna razina zvučne snage linijskih izvora $m$ = 1, 2 ili 3 definira jednadžbom:

$$L_{W,i,m}(v_m) = 10 \times \lg(10^{L_{WR,i,m}(v_m)/10} + 10^{L_{WP,i,m}(v_m)/10}) \quad (2.2.2.)$$

pri čemu je $L_{WR,i,m}$ razina zvučne snage buke kotrljanja, a $L_{WP,i,m}$ razina zvučne snage buke pogona. To se odnosi na sve raspone brzine. Pri brzinama manjima od 20 km/h razina zvučne snage je ona koja se dobije formulom za $v_m$ = 20 km/h.

Za vozila s dva kotača (kategorija 4) kao izvor se uzima samo buka pogona:

$$L_{W,i,m\ =\ 4}(v_{m\ =\ 4}) = L_{WP,i,m\ =\ 4}(v_{m\ =\ 4}) \qquad (2.2.3.)$$

To se odnosi na sve raspone brzine. Pri brzinama manjima od 20 km/h razina zvučne snage je ona koja se dobije formulom za $v_m$ = 20 km/h.

2.2.2. *Referentni uvjeti*

Jednadžbe i koeficijenti izvora vrijede za referentne uvjete u nastavku:

▼M2

— konstantna brzina vozila,

— vodoravna cesta,

— temperatura zraka $\tau_{ref}$ = 20 °C,

— virtualna referentna površina ceste koja se sastoji od prosječnog gustog betonskog asfalta 0/11 i splitmastiks asfalta 0/11, stare od 2 do 7 godina i u reprezentativnom stanju održavanja,

— suha površine ceste,

— bez guma čavlerica.

2.2.3. *Buka kotrljanja*

Opća jednadžba

Razina zvučne snage buke kotrljanja u frekvencijskom pojasu *i* za vozilo razreda $m$ = 1, 2 ili 3 definira se jednadžbom:

$$L_{WR,i,m} = A_{R,i,m} + B_{R,i,m} \times \lg\left(\frac{v_m}{v_{ref}}\right) + \Delta L_{WR,i,m} \qquad (2.2.4.)$$

Koeficijenti $A_{R,i,m}$ i $B_{R,i,m}$ zadani su po oktavnim pojasevima za svaku kategoriju vozila i za referentnu brzinu $v_{ref}$ = 70 km/h. $\Delta L_{WR,i,m}$ jednak je zbroju korekcijskih koeficijenata koje treba primijeniti na emisiju buke kotrljanja za posebne uvjete ceste ili vozila koji se razlikuju od referentnih uvjeta:

$$\Delta L_{WR,i,m} = \Delta L_{WR,road,i,m} + \Delta L_{studdedtyres,i,m} + \Delta L_{WR,acc,i,m} + \Delta L_{W,temp} \qquad (2.2.5.)$$

$\Delta L_{WR,road,i,m}$ je utjecaj na buku kotrljanja koji nastaje zbog površine ceste čija se akustička svojstva razlikuju od onih virtualne referentne površine definirane u poglavlju 2.2.2. Ovaj koeficijent obuhvaća utjecaj na širenje i stvaranje buke.

$\Delta L_{studded\ tyres,i,m}$ je korekcijski koeficijent za povećanu buku kotrljanja lakih vozila opremljenih gumama čavlericama.

$\Delta L_{WR,acc,i,m}$ je utjecaj na buku kotrljanja koji nastaje zbog raskrižja sa semaforom ili kružnog toka. U njemu je integriran učinak na buku zbog promjene brzine.

$\Delta L_{W,temp}$ je korekcijski član za prosječnu temperaturu $\tau$ koja se razlikuje od referentne temperature $\tau_{ref}$ = 20 °C.

Korekcija za gume čavlerice

U situacijama kad znatan broj lakih vozila u protoku prometa upotrebljava gume čavlerice nekoliko mjeseci svake godine potrebno je uzeti u obzir proizašli učinak na buku kotrljanja. Za svako vozilo kategorije $m$ = 1 opremljeno gumama čavlericama povećanje emisije buke kotrljanja ovisno o brzini vrednuje se jednadžbom:

$$\Delta_{stud,i}(v) = \begin{cases} a_i + b_i \times \lg(50/70) \text{ za } v < 50 \text{ km/h} \\ a_i + b_i \times \lg(v/70) \text{ za } 50 \le v \le 90 \text{ km/h} \\ a_i + b_i \times \lg(90/70) \text{ za } v > 90 \text{ km/h} \end{cases} \qquad (2.2.6.)$$

pri čemu su koeficijenti $a_i$ i $b_i$ zadani za svaki oktavni pojas.

▼M2

Povećanje emisije buke kotrljanja pripisuje se samo u skladu s udjelom lakih vozila s gumama čavlericama i u ograničenom razdoblju $T_s$ (u mjesecima) tijekom godine. Ako je $Q_{stud,ratio}$ prosječni omjer lakih vozila s gumama čavlericama u ukupnom broju po satu u razdoblju $T_s$ (u mjesecima), tada se godišnji udio vozila s gumama čavlericama $p_s$ izražava jednadžbom:

$$p_s = Q_{stud,ratio} \times \frac{T_s}{12} \qquad (2.2.7.)$$

Dobivena korekcija koju treba primijeniti na emisiju zvučne snage kotrljanja zbog upotrebe guma čavlerica na vozilima kategorije $m = 1$ u frekvencijskom pojasu $i$ iznosi:

$$\Delta L_{studdedtyres,i,m=1} = 10 \times \lg\left[(1 - p_s) + p_s 10^{\frac{\Delta_{stud,i,m=1}}{10}}\right] \qquad (2.2.8.)$$

Za vozila svih ostalih kategorija ne primjenjuje se nikakva korekcija:

$$\Delta L_{studdedtyres,i,m \neq 1} = 0 \qquad (2.2.9.)$$

Utjecaj temperature zraka na korekciju buke kotrljanja

Temperatura zraka utječe na emisiju buke kotrljanja: razina zvučne snage kotrljanja smanjuje se s povećanjem temperature zraka. Taj se utjecaj uvodi u korekciju za površinu ceste. Korekcije za površinu ceste obično se vrednuju pri temperaturi zraka $\tau_{ref} = 20$ °C. U slučaju druge prosječne godišnje temperature zraka u °C buku površine ceste korigira se s:

$$\Delta L_{W,temp,m}(\tau) = K_m \times (\tau_{ref} - \tau) \qquad (2.2.10.)$$

Korekcijski je član pozitivan (tj. buka se povećava) za temperature niže od 20 °C i negativan (tj. buka se smanjuje) za više temperature. Koeficijent K ovisi o površini ceste i svojstvima guma te općenito pokazuje određenu ovisnost o frekvenciji. Opći koeficijent $K_{m=1} = 0{,}08$ dB/°C za laka vozila (kategorija 1) i $K_{m=2} = K_{m=3} = 0{,}04$ dB/°C za teška vozila (kategorije 2 i 3) primjenjuje se za sve površine ceste. Korekcijski koeficijent primjenjuje se jednako na sve oktavne pojaseve od 63 do 8 000 Hz.

2.2.4. *Buka pogona*

Opća jednadžba

Emisija buke pogona u sebi sadrži sve doprinose iz motora, ispuha, prijenosnog mehanizma, dovoda zraka itd. Razina zvučne snage buke pogona u frekvencijskom pojasu $i$ za vozilo razreda $m$ definira se jednadžbom:

$$L_{WP,i,m} = A_{P,i,m} + B_{P,i,m} \times \frac{(v_m - v_{ref})}{v_{ref}} + \Delta L_{WP,i,m} \qquad (2.2.11.)$$

Koeficijenti $A_{P,i,m}$ i $B_{P,i,m}$ zadani su u oktavnim pojasevima za svaku kategoriju vozila i referentnu brzinu $v_{ref} = 70$ km/h.

$\Delta L_{WP,i,m}$ je zbroj korekcijskih koeficijenata koje treba primijeniti na emisiju buke pogona za posebne uvjete vožnje ili regionalne uvjete koji se razlikuju od referentnih uvjeta:

▼M2

$$\Delta L_{WP,i,m} = \Delta L_{WP,road,i,m} + \Delta L_{WP,grad,i,m} + \Delta L_{WP,acc,i,m} \quad (2.2.12.)$$

$\Delta L_{WP,road,i,m}$ je utjecaj površine ceste na buku pogona zbog apsorpcije. Izračuni se obavljaju u skladu s poglavljem 2.2.6.

$\Delta L_{WP,acc,i,m}$ i $\Delta L_{WP,grad,i,m}$ su utjecaj nagiba ceste te ubrzavanja i usporavanja vozila na raskrižjima. Oni se izračunavaju u skladu s poglavljima 2.2.4. i 2.2.5.

Utjecaj nagiba ceste

Nagib ceste utječe na emisiju buke vozila na dva načina: prvo, on utječe na brzinu vozila i time na emisiju buke kotrljanja i pogona vozila; drugo, on utječe na opterećenje motora i na brzinu motora putem odabira stupnja prijenosa pa time na emisiju buke pogona vozila. U ovom se odjeljku, u kojem se pretpostavlja konstantna brzina, uzima u obzir samo utjecaj na buku pogona.

Utjecaj nagiba ceste na buku pogona uzima se u obzir korekcijskim članom $\Delta L_{WP,grad,m}$ koji je funkcija nagiba $s$ (u %), brzine vozila $v_m$ (u km/h) i razreda vozila $m$. U slučaju dvosmjernog protoka prometa neophodno je podijeliti protok na dva sastavna dijela i korigirati pola za kretanje uzbrdo i pola za kretanje nizbrdo. Korekcijski član primjenjuje se jednako na sve oktavne pojaseve:

za $m = 1$:

$$\Delta L_{WP,grad,i,m=1}(v_m) = \begin{cases} \dfrac{Min(12\ \%; -s) - 6\ \%}{1\ \%} & za\ s < -6\ \% \\ 0 & za\ -6\ \% \le s \le 2\ \% \\ \dfrac{Min(12\ \%; s) - 2\ \%}{1{,}5\ \%} \times \dfrac{v_m}{100} & za\ s > 2\ \% \end{cases} \quad (2.2.13.)$$

za $m = 2$:

$$\Delta L_{WP,grad,i,m=2}(v_m) = \begin{cases} \dfrac{Min(12\ \%; -s) - 4\ \%}{0{,}7\ \%} \times \dfrac{v_m - 20}{100} & za\ s < -4\ \% \\ 0 & za\ -4\ \% \le s \le 0\ \% \\ \dfrac{Min(12\ \%; s)}{1\ \%} \times \dfrac{v_m}{100} & za\ s > 0\ \% \end{cases} \quad (2.2.14.)$$

za $m = 3$:

$$\Delta L_{WP,grad,i,m=3}(v_m) = \begin{cases} \dfrac{Min(12\ \%; -s) - 4\ \%}{0{,}5\ \%} \times \dfrac{v_m - 10}{100} & za\ s < -4\ \% \\ 0 & za\ -4\ \% \le s \le 0\ \% \\ \dfrac{Min(12\ \%; s)}{0{,}8\ \%} \times \dfrac{v_m}{100} & za\ s > 0\ \% \end{cases} \quad (2.2.15.)$$

za $m = 4$:

$$\Delta L_{WP,grad,i,m=4} = 0 \quad (2.2.16.)$$

Korekcija $\Delta L_{WP,grad,m}$ implicitno uključuje utjecaj nagiba na brzinu.

▼M2

2.2.5. *Utjecaj ubrzavanja i usporavanja vozila*

Prije i poslije raskrižja sa semaforima i kružnih tokova primjenjuje se korekcija zbog utjecaja ubrzavanja i usporavanja u skladu s opisom u nastavku.

Korekcijski članovi za buku kotrljanja, $\Delta L_{WR,acc,m,k}$, i za buku pogona, $\Delta L_{WP,acc,m,k}$, su linearne funkcije udaljenosti $x$ (u metrima) točkastog izvora od najbližeg križanja vlastitog linijskog izvora s drugim linijskim izvorom. Oni se jednako primjenjuju na sve oktavne pojaseve:

$$\Delta L_{WR,acc,m,k} = C_{R,m,k} \times \mathrm{Max}\left(1 - \frac{|x|}{100}; 0\right) \qquad (2.2.17.)$$

$$\Delta L_{WP,acc,m,k} = C_{P,m,k} \times \mathrm{Max}\left(1 - \frac{|x|}{100}; 0\right) \qquad (2.2.18.)$$

Koeficijenti $C_{R,m,k}$ i $C_{P,m,k}$ ovise o vrsti raskrižja $k$ ($k = 1$ za raskrižje sa semaforima; $k = 2$ za kružni tok) i zadaju se za svaku kategoriju vozila. Korekcija uključuje utjecaj promjene brzine pri približavanju ili udaljavanju od raskrižja ili kružnog toka.

Treba imati na umu da je na udaljenosti $|x| \geq 100$ m, $\Delta L_{WR,acc,m,k} = \Delta L_{WP,acc,m,k} = 0$.

2.2.6. *Utjecaj tipa površine ceste*

Opća načela

Na površinama ceste s akustičkim svojstvima koja se razlikuju od onih referentne površine na buku kotrljanja i na buku pogona primjenjuje se spektralni korekcijski član.

Korekcijski član za površinu ceste za emisiju buke kotrljanja zadan je jednadžbom:

$$\Delta L_{WR,road,i,m} = \alpha_{i,m} + \beta_m \times \lg\left(\frac{v_m}{v_{ref}}\right) \qquad (2.2.19.)$$

pri čemu je:

$\alpha_{i,m}$ spektralna korekcija u dB pri referentnoj brzini $v_{ref}$ za kategoriju $m$ (1, 2 ili 3) i spektralni pojas $i$,

$\beta_m$ učinak brzine na smanjenje buke kotrljanja za kategoriju $m$ (1, 2 ili 3) i jednak je za sve frekvencijske pojaseve.

Korekcijski član za površinu ceste za emisiju buke pogona zadan je jednadžbom:

$$\Delta L_{WP,road,i,m} = \min\{\alpha_{i,m}; 0\} \qquad (2.2.20.)$$

Apsorbirajuće površine smanjuju buku pogona, a neapsorbirajuće površine je ne povećavaju.

Utjecaj starosti na svojstva buke površine ceste

Svojstva buke površine ceste mijenjaju se ovisno o starosti i razini održavanja te teže ka povećanju glasnoće s vremenom. U ovoj se metodi parametri površine ceste izvode tako da budu reprezentativni za akustička svojstva tipa površine ceste koja su prosjek izračunan za reprezentativni životni vijek ceste i uz pretpostavku njezina odgovarajućeg održavanja.

▼M2

2.3. **Željeznička buka**

2.3.1. *Opis izvora*

Klasifikacija vozila

*Definicija vozila i vlaka*

U svrhu ove metode izračuna buke vozilo se definira kao bilo koje željezničko vozilo koje je dio vlaka (tipično lokomotiva, vagon s vlastitim pogonom, vučeni putnički vagon ili teretni vagon), koje se može samostalno kretati i koje se može odvojiti od ostatka vlaka. Za željeznička vozila koja tvore nerazdvojiv skup, tj. koja dijele jedno zajedničko okretno postolje, mogu postojati posebne okolnosti. Za potrebe ove metode izračuna sva se ta željeznička vozila uzimaju zajedno kao jedno vozilo.

Za potrebe ove metode izračuna vlak se sastoji od niza povezanih vozila.

U tablici [2.3.a] definira se zajednički jezik za opisivanje tipova vozila koji se nalaze u bazi podataka izvora. U toj se bazi nude odgovarajući opisi svojstava koje treba upotrebljavati kako bi se potpuno klasificirala vozila. Ti opisi odgovaraju svojstvima vozila koja utječu na akustičku usmjerenu zvučnu snagu po metru duljine ekvivalentnog modeliranog linijskog izvora.

Utvrđuje se broj vozila svakog tipa za svaku dionicu kolosijeka za svako vremensko razdoblje koje se upotrebljava za izračun buke. Taj se broj izražava kao prosječni broj vozila na sat, a dobiva se dijeljenjem ukupnog broja vozila koja su prometovala u određenom vremenskom razdoblju s trajanjem tog razdoblja u satima (na primjer, 24 vozila u 4 sata znači 6 vozila na sat). Upotrebljavaju se svi tipovi vozila koja su prometovala na svakoj dionici kolosijeka.

*Tablica [2.3.a]*

**Klasifikacija i opisi svojstava za željeznička vozila**

| **Brojka** | **1** | **2** | **3** | **4** |
|---|---|---|---|---|
| **Opis svojstva** | **Tip vozila** | **Broj osovina po vozilu** | **Tip kočnice** | **Zaštita od buke na kotaču** |
| **Objašnjenje opisa** | Slovo kojim se opisuje tip | Stvarni broj osovina | Slovo kojim se opisuje tip kočnice | Slovo kojim se opisuje tip mjere za smanjenje buke |
| **Mogući opisi** | **h** vozilo velike brzine (> 200 km/h) | **1** | **c** kočni umetak od lijevanog željeza | **n** bez zaštite |
| | **m** putnički vagoni na vlastiti pogon | **2** | **k** kompozitni ili sinterirani metalni kočni umetak | **d** aprigušivači |

▼M2

| Brojka | 1 | 2 | 3 | 4 |
|---|---|---|---|---|
| **Opis svojstva** | **Tip vozila** | **Broj osovina po vozilu** | **Tip kočnice** | **Zaštita od buke na kotaču** |
| **Objašnjenje opisa** | Slovo kojim se opisuje tip | Stvarni broj osovina | Slovo kojim se opisuje tip kočnice | Slovo kojim se opisuje tip mjere za smanjenje buke |
| | **p**<br>vučeni putnički vagoni | **3** | **n**<br>kočenje bez umetka, poput kočenja diskom, bubnjem ili magnetskog kočenja | **s**<br>štitnici |
| | **c**<br>vagon na vlastiti pogon ili bez vlastitog pogona gradskog tramvaja ili lake gradske željeznice | **4** | | **o**<br>ostalo |
| | **d**<br>dizelska lokomotiva | itd. | | |
| | **e**<br>električna lokomotiva | | | |
| | **a**<br>bilo koje opće teretno vozilo | | | |
| | **o**<br>ostalo (na primjer vozila za održavanje itd.) | | | |

Klasifikacija kolosijeka i potporne strukture

Postojeći se kolosijeci mogu razlikovati jer postoji nekoliko elemenata koji doprinose njihovim akustičkim svojstvima te ih karakteriziraju. Vrste kolosijeka korištene u ovoj metodi navedene su u tablici [2.3.b] u nastavku. Neki elementi imaju velik utjecaj na akustička svojstva, a drugi imaju samo sporedan utjecaj. Općenito, najvažniji elementi koji utječu na emisiju željezničke buke su: hrapavost površine tračnice, krutost podložnih ploča, podloga kolosijeka, spojevi tračnica i polumjer luka kolosijeka. Alternativno, mogu se definirati opća svojstva kolosijeka, a u tom su slučaju hrapavost površine tračnice i stupanj prigušenja kolosijeka u skladu s normom ISO 3095 dva akustički ključna parametra, zajedno s polumjerom luka kolosijeka.

Dionica kolosijeka definira se kao dio jednog kolosijeka na pruzi, u kolodvoru ili spremištu na kojem se fizička svojstva i osnovni sastavni dijelovi kolosijeka ne mijenjaju.

Tablica [2.3.b] definira zajednički jezik za opisivanje tipova tračnica uključenih u bazu podataka izvora.

▼**M2**

*Tablica [2.3.b]*

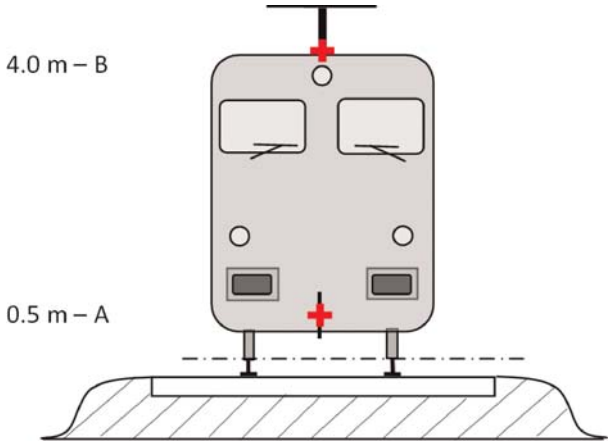
| **Brojka** | **1** | **2** | **3** | **4** | **5** | **6** |
|---|---|---|---|---|---|---|
| **Opis svojstva** | **Podloga kolosijeka** | **Hrapavost površine tračnice** | **Tip podložnih ploča** | **Dodatne zaštitne mjere** | **Spojevi tračnica** | **Luk** |
| **Objašnjenje opisa** | Tip podloge kolosijeka | Indikator hrapavosti | Indikator „akustičke” krutosti | Slovo koje opisuje akustičku napravu | Prisutnost spojeva i njihovi razmaci | Navođenje polumjera luka u metrima |
| **Dopuštene oznake** | **B** Zastor | **E** Dobro održavano i vrlo glatko | **S** Mekano (od 150 do 250 MN/m) | **N** Nema | **N** Nema | **N** Pravocrtni kolosijek |
| | **S** Kolosijek na čvrstoj podlozi | **M** Normalno održavano | **M** Srednje (od 250 do 800 MN/m) | **D** Prigušivač tračnica | **S** Jedan spoj ili skretnica | **L** Nisko (od 1 000 do 500 m) |
| | **L** Most sa zastorom | **N** Slabo održavano | **H** Kruto (od 800 do 1 000 MN/m) | **B** Niski bukobran | **D** Dva spoja ili skretnice na 100 m | **M** Srednje (manje od 500 m i više od 300 m) |
| | **N** Most bez zastora | **B** Neodržavano i u lošem stanju | | **A** Apsorbirajuća ploča na kolosijeku na čvrstoj podlozi | **M** Više od dva spoja ili skretnice na 100 m | **H** Visoko (manje od 300 m) |
| | **T** Kontinuirano oslonjeni kolosijek | | | **E** Kontinuirano oslonjena tračnica | | |
| | **O** Ostalo | | | **O** Ostalo | | |

▼M2

Broj i položaj ekvivalentnih izvora zvuka

*Slika [2.3.a]*

**Položaj ekvivalentnih izvora buke**




Različiti ekvivalentni linijski izvori buke smješteni su na različite visine i u sredinu kolosijeka. Sve se visine odnose na ravninu koja dodiruje dvije gornje površine dviju tračnica.

Ekvivalentni izvori uključuju različite fizičke izvore (indeks p). Fizički se izvori razvrstavaju u različite kategorije na temelju mehanizma kojim se buka stvara. Ti su izvori: 1. buka kotrljanja (uključujući ne samo vibracije u tračnicama i podlozi kolosijeka i vibracije kotača nego i buku nadgrađa teretnih vozila, ako postoji); 2. buka vuče; 3. aerodinamička buka; 4. udarna buka (zbog prijelaza, skretnica i križišta); 5. buka cviljenja i 6. buka zbog dodatnih utjecaja poput mostova i vijadukata.

1. Hrapavost kotača i površina tračnica, koja se na tri načina prenosi na emisijske površine (tračnice, kotači i nadgrađe), predstavlja buku kotrljanja. Ona se dodjeljuje na h = 0,5 m (emisijske površine A) kako bi se prikazali doprinos kolosijeka, u što su uključeni utjecaji površine tračnica, posebno kolosijeka na čvrstoj podlozi (u skladu s propagacijskim dijelom), doprinos kotača i doprinos nadgrađa vozila (kod teretnih vlakova).

2. Visine ekvivalentnih izvora za buku vuče kreću se između 0,5 m (izvor A) i 4,0 m (izvor B), ovisno o fizičkom položaju predmetnog sastavnog dijela. Izvori poput prijenosnog mehanizma i električnih motora često će biti na osovinskoj visini od 0,5 m (izvor A). Ventilacijski otvori i odsisi sustava za hlađenje za hlađenje mogu se nalaziti na raznim visinama; ispusi vozila na dizelski pogon često su na visini krova, odnosno na 4,0 m (izvor B). Ostali izvori na vuči poput ventilatora ili dizelskih motora mogu se nalaziti na visini od 0,5 m (izvor A) ili 4,0 m (izvor B). Ako se točna visina izvora nalazi između visina modela, zvučna se energija proporcionalno raspoređuje između najbližih visina izvora.

   Iz tog se razloga u metodi predviđaju dvije visine izvora, 0,5 m (izvor A) i 4,0 m (izvor B), te se ekvivalentna zvučna snaga povezana sa svakom od njih raspoređuje između njih ovisno o konkretnoj konfiguraciji izvora na tipu jedinice.

▼M2

3. Učinci aerodinamičke buke povezuju se s izvorom na 0,5 m (koji predstavlja pokrivače i zaslone, izvor A) i s izvorom na 4,0 m (kojim se modeliraju sve krovne naprave i oduzimač struje, izvor B). Odabir visine od 4,0 m za oduzimač struje smatra se jednostavnim modelom pa ga se mora pažljivo razmotriti ako je cilj odabrati odgovarajuću visinu bukobrana.

4. Udarna buka povezuje se s izvorom na 0,5 m (izvor A).

5. Buka cviljenja povezuje se s izvorom na 0,5 m (izvor A).

6. Buka mosta povezuje se s izvorom na 0,5 m (izvor A).

2.3.2. *Emisija zvučne snage*

Opće jednadžbe

*Pojedino vozilo*

Model za buku željezničkog prometa, na isti način kao i za buku cestovnog prometa, opisuje emisiju zvučne snage buke konkretne kombinacije tipova vozila i tipova kolosijeka koja ispunjava niz zahtjeva opisanih u klasifikaciji vozila i kolosijeka u obliku skupa zvučne snage po vozilu ($L_{W,0}$).

*Protok prometa*

Emisiju buke protoka prometa na svakom kolosijeku predstavlja skup od dva linijska izvora koji je opisan svojom usmjerenom zvučnom snagom po metru po frekvencijskom pojasu. To odgovara zbroju emisija zvuka pojedinih vozila u protoku prometa, pri čemu se, u posebnom slučaju vozila u stanju mirovanja, uzima u obzir vrijeme koje vozila provedu na razmatranoj željezničkoj dionici.

Usmjerena zvučna snaga po metru po frekvencijskom pojasu, koju uzrokuju sva vozila koja prolaze po svakoj dionici kolosijeka na tipu kolosijeku (j), definira se:

— za svaki frekvencijski pojas (i),

— za svaku zadanu visinu izvora (h) (za izvore na 0,5 m h = 1, na 4,0 m h = 2),

a predstavlja zbroj energije svih doprinosa svih vozila koja se kreću na određenoj j-toj dionici kolosijeka. Ti su doprinosi:

— od svih vozila (t),

— pri njihovim različitim brzinama (s),

— u određenim uvjetima vožnje (konstantna brzina) (c),

— za svaki tip fizičkog izvora (kotrljanje, udar, cviljenje, vuča, aerodinamika i dodatni utjecaji poput, na primjer, buke mosta) (p).

Za izračun usmjerene zvučne snage po metru (unos za propagacijski dio) nastale prosječnom mješavinom prometa na j-toj dionici kolosijeka koristi se sljedeća jednadžba:

▼M2

$$L_{W',eq,T,dir,i} = 10 \cdot \lg\left(\sum_{x=1}^{X} 10^{L_{w',eq,line,x}/10}\right) \qquad (2.3.1.)$$

pri čemu:

$\boldsymbol{T_{ref}}$ = referentno vremensko razdoblje za koje se razmatra prosječni promet,

$\boldsymbol{x}$ = ukupni broj postojećih kombinacija za i, t, s, c, p za svaku *j*-tu dionicu kolosijeka,

$\boldsymbol{t}$ = indeks za tipove vozila na *j*-toj dionici kolosijeka,

$\boldsymbol{s}$ = indeks za brzinu vlaka: postoji onoliko indeksa koliko postoji različitih prosječnih brzina vlaka na *j*-toj dionici kolosijeka,

$\boldsymbol{c}$ = indeks za stanje kretanja: 1 (konstantna brzina), 2 (stanje mirovanja),

$\boldsymbol{p}$ = indeks za tipove fizičkih izvora: 1 (za buku kotrljanja i udarnu buku), 2 (cviljenje u luku), 3 (buka vuče), 4 (aerodinamička buka), 5 (dodatni utjecaji),

$\boldsymbol{L_{W',eq,line,x}}$ = *x*-ta usmjerena zvučna snaga po metru za linijski izvor jedne kombinacije *t, s, c, p* na svakoj *j*-toj dionici kolosijeka.

Ako se pretpostavi stalan protok od $Q$ vozila na sat uz prosječnu brzinu $v$, u prosjeku će se ekvivalentni broj $Q/v$ vozila u svakom trenutku nalaziti na jediničnoj mjeri dionice kolosijeka. Emisija buke protoka vozila izražena usmjerenom zvučnom snagom po metru $L_{W',eq,line}$ (izražena u dB/m (ref. $10^{-12}$ W)) integrira se jednadžbom:

$$L_{W',eq,line,i}(\psi,\varphi) = L_{W,0,dir,i}(\psi,\varphi) + 10 \times \lg\left(\frac{Q}{1\,000v}\right) (\text{za } c = 1) \qquad (2.3.2.)$$

pri čemu:

— $Q$ je prosječan broj vozila na sat na *j*-toj dionici kolosijeka za tip vozila $\boldsymbol{t}$, prosječnu brzinu vlaka $\boldsymbol{s}$ i stanje kretanja $\boldsymbol{c}$,

— $\boldsymbol{v}$ je njihova brzina na *j*-toj dionici kolosijeka za tip vozila **t** i prosječnu brzinu vlaka $\boldsymbol{s}$,

— $L_{W,0,dir}$ je razina usmjerene zvučne snage specifične buke (kotrljanje, udar, cviljenje, vuča, aerodinamika, dodatni utjecaji) pojedinog vozila u smjerovima ψ, φ određenima s obzirom na smjer kretanja vozila (vidjeti sliku [2.3.b]).

U slučaju nepomičnog izvora, poput vozila u stanju mirovanja, pretpostavlja se da će vozilo tijekom cijelog razdoblja $T_{\text{idle}}$ ostati na mjestu unutar dionice kolosijeka duljine $L$. Stoga se pomoću referentnog vremenskog razdoblja $T_{ref}$ za ocjenu buke (na primjer 12 sati, 4 sata, 8 sati) usmjerena zvučna snaga za jediničnu duljinu na toj dionici kolosijeka definira jednadžbom:

▼M2

$$L_{W',eq,line,i}(\psi,\varphi) = L_{W',0,dir,i}(\psi,\varphi) + 10 \times \lg\left(\frac{T_{idle}}{T_{ref}L}\right) (\text{za c} = 2) \quad (2.3.4.)$$

Općenito, usmjerena zvučna snaga dobiva se za svaki specifični izvor izrazom:

$$L_{W,0,dir,i}(\psi,\varphi) = L_{W,0,i} + \Delta L_{W,dir,vert,i} + \Delta L_{W,dir,hor,i} \quad (2.3.5.)$$

pri čemu je:

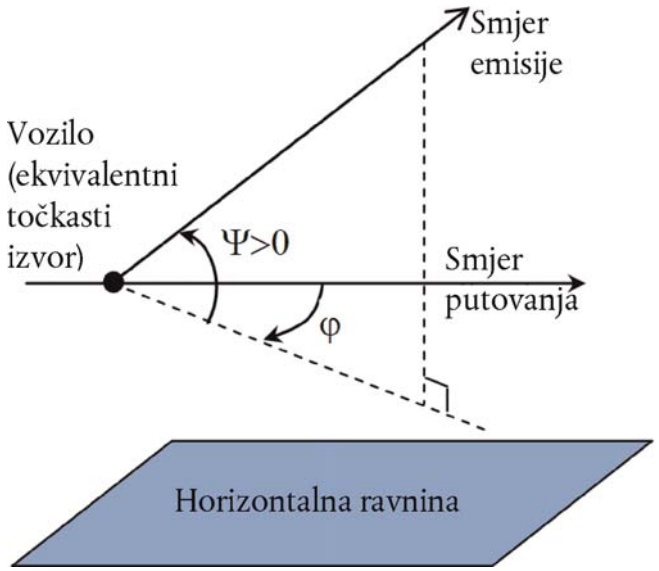
— $\Delta L_{W,dir,vert,i}$ funkcija korekcije vertikalne usmjerenosti (bezdimenzionalna) ψ (slika [2.3.b]),

— $\Delta L_{W,dir,hor,i}$ funkcija korekcije horizontalne usmjerenosti (bezdimenzionalna) φ (slika [2.3.b]).

I pri tome se $L_{W,0,dir,i(\psi,\varphi)}$ nakon izvođenja iz tercnih pojaseva, izražava u oktavnim pojasevima zbrajanjem energetskih vrijednosti svakog pripadnog tercnog pojasa kako bi se dobio odgovarajući oktavni pojas.

*Slika [2.3.b]*

**Geometrijska definicija**




Za potrebe izračuna snaga izvora tada se specifično izražava usmjerenom zvučnom snagom po 1 m duljine kolosijeka $L_{W',tot,dir,i}$ kako bi se uvrstila usmjerenost izvora u njihovu vertikalnom i horizontalnom smjeru pomoću dodatnih korekcija.

Nekoliko se $L_{W,0,dir,i}$ $(\psi,\varphi)$ uzima u obzir za svaku kombinaciju vozila, kolosijeka, brzine i stanja kretanja:

— za frekvencijski pojas širine 1/3 oktave (***i***),

— za svaku dionicu kolosijeka (***j***),

— visine izvora (***h***) (za izvore na 0,5 m $h$ = 1, na 4,0 m $h$ = 2),

— usmjerenost (***d***) izvora.

▼M2

Skup $L_{W,0,dir,i}$ $(\psi,\varphi)$ uzima se u obzir za svaku kombinaciju vozila, kolosijeka, brzine i stanja kretanja, svaku dionicu kolosijeka, visine koje odgovaraju $h = 1$ i $h = 2$ te usmjerenost.

Buka kotrljanja

Doprinos vozila i doprinos kolosijeka buci kotrljanja razdvaja se na četiri osnovna elementa, a to su: hrapavost kotača, hrapavost tračnica, prijenosna funkcija vozila na kotače i na nadgrađe (vozila) te prijenosna funkcija kolosijeka. Hrapavost kotača i tračnica predstavlja uzrok za stvaranje vibracija na mjestu dodira između tračnice i kotača, a prijenosne funkcije dvije su empirijske ili modelirane funkcije koje predstavljaju cijelu složenu pojavu mehaničke vibracije i stvaranja zvuka na površinama kotača, tračnica, pragova i podloge. U ovoj se podjeli odražavaju fizički dokazi da hrapavost prisutna na tračnici može pobuditi vibracije na tračnici, ali i da će također pobuditi vibracije kotača i obrnuto. Neuključivanje jednog od ova četiri parametra onemogućilo bi razdvajanje klasifikacija tračnica i vlakova.

Hrapavost kotača i tračnica

Buku kotrljanja uglavnom pobuđuje hrapavost kotača i tračnica u rasponu valnih duljina od 5 do 500 mm.

*Definicija*

Razina hrapavosti $L_r$ definira se kao 10 puta logaritam od baze 10 kvadrata srednje kvadratne vrijednosti $r^2$ hrapavosti gornje površine tračnice ili vanjske površine kotača u smjeru kretanja (longitudinalna razina) izmjerene u μm na određenoj duljini tračnice ili na cijelom opsegu kotača, podijeljene s kvadratom referentne vrijednosti $r_0^2$:

$$L_r = 10 \times \lg\left(\frac{r}{r_0}\right)^2 \text{ dB} \qquad (2.3.6.)$$

pri čemu:

$r_0 = 1$ μm,

$r$ = razlika efektivne vrijednosti vertikalnog pomaka kontaktne površine u odnosu na srednju razinu

Razina hrapavosti $L_r$ tipično se dobiva kao spektar valne duljine $\lambda$ te se pretvara u frekvencijski spektar $f = v/\lambda$ pri čemu je $f$ središnja frekvencija zadanog pojasa širine 1/3 oktave u Hz, $\lambda$ je valna duljina u metrima ►C1 i $v$ je brzina vlaka u m/s ◄. Spektar hrapavosti je funkcija frekvencije pa se u skladu s tim pomiče duž osi frekvencije za različite brzine. Općenito, nakon pretvaranja u frekvencijski spektar pomoću brzine neophodno je dobiti nove spektralne vrijednosti tercnih oktava izračunavanjem prosjeka između dva odgovarajuća tercna pojasa u području valne duljine. Za procjenu ukupnog efektivnog frekvencijskog spektra hrapavosti koji odgovara odgovarajućoj brzini vlaka, energetski i proporcionalno se izračunava prosjek dva odgovarajuća tercna pojasa definirana u području valne duljine.

***Razina hrapavosti tračnica*** (hrapavost kolosijeka) za pojas $i$-te valne duljine definira se kao $L_{r,TR,i}$.

▼M2

Analogno tome, ***razina hrapavosti kotača*** (hrapavost vozila) za pojas *i*-tog valnog broja definira se kao $L_{r,VEH,i}$.

***Ukupna i efektivna razina hrapavosti*** za pojas valnog broja *i* ($L_{R,tot,i}$) definira se kao zbroj energija razina hrapavosti tračnica i kotača te kontaktnog filtra ►C1 $A_3(\lambda)$ ◄ radi uzimanja u obzir učinka filtriranja dodirnog dijela između tračnice i kotača te se izražava u dB jednadžbom:

$$L_{R,TOT,i} = 10 \cdot \lg(10^{L_{r,TR,i}/10} + 10^{L_{r,VEH,i}/10}) + A_{3,i} \qquad (2.3.7.)$$

pri čemu se iskazuje kao funkcija pojasa *i*-tog valnog broja koji odgovara valnoj duljini $\lambda$.

Kontaktni filtar ovisi o tipu kolosijeka i kotača te o opterećenju.

U metodi se upotrebljava ukupna efektivna hrapavost za *j*-tu dionicu kolosijeka i svaki *t*-ti tip vozila pri njegovoj odgovarajućoj brzini *v*.

Prijenosna funkcija vozila, kolosijeka i nadgrađa

Definiraju se tri prijenosne funkcije neovisne o brzini, $L_{H,TR,i}$ $L_{H,VEH,i}$ i $L_{H,VEH,SUP,i}$: prva je funkcija za svaku *j*-tu dionicu kolosijeka, a druge dvije za svaki *t*-ti tip vozila. Te funkcije povezuju ukupnu efektivnu razinu hrapavosti sa zvučnom snagom kolosijeka, kotača i nadgrađa, tim redom.

Doprinos nadgrađa uzima se u obzir samo za teretne vagone, dakle, samo za vozila tipa „a”.

Dakle, za buku kotrljanja doprinosi kolosijeka i vozila potpuno su opisani ovim prijenosnim funkcijama i ukupnom efektivnom razinom hrapavosti. Kad je vlak u stanju mirovanja, buka kotrljanja se isključuje.

Za zvučnu snagu po vozilu buka kotrljanja izračunava se na visini osovine, a ulazne su vrijednosti ukupna efektivna razina hrapavosti $L_{R,TOT,i}$ kao funkcija brzine vozila *v*, prijenosne funkcije kolosijeka, vozila i nadgrađa $L_{H,TR,i}$, $L_{H,VEH,i}$ i $L_{H,VEH,SUP,i}$ te ukupni broj osovina $N_a$:

za $h = 1$:

$$L_{W,0,TR,i} = L_{R,TOT,i} + L_{H,TR,i} + 10 \times \lg(N_a) \quad \text{dB} \qquad (2.3.8.)$$

$$L_{W,0,VEH,i} = L_{R,TOT,i} + L_{H,VEH,i} + 10 \times \lg(N_a) \quad \text{dB} \qquad (2.3.9.)$$

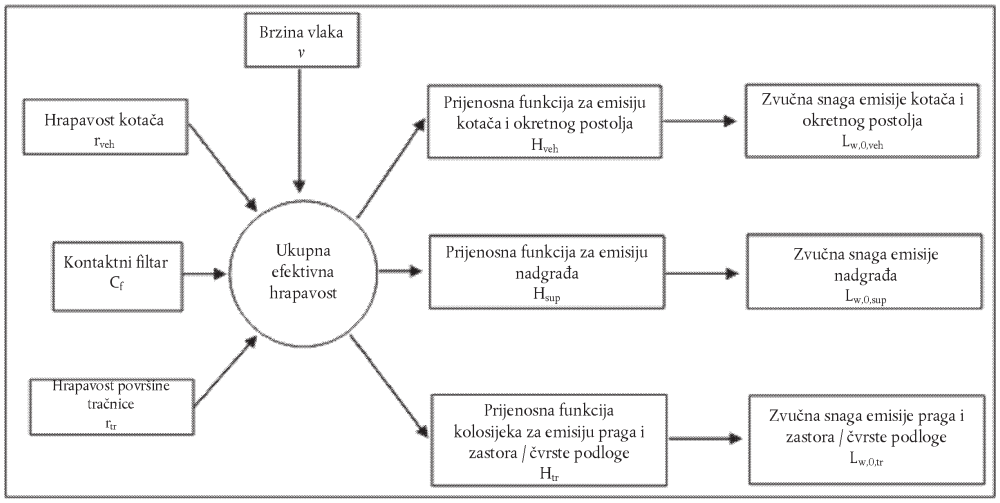
$$L_{W,0,VEHSUP,i} = L_{R,TOT,i} + L_{H,VEHSUP,i} + 10 \times \lg(N_a) \quad \text{dB} \qquad (2.3.10.)$$

pri čemu je $N_a$ broj osovina po vozilu za *t*-ti tip vozila.

▼M2

*Slika [2.3.c]*

**Shema za upotrebu različitih definicija hrapavosti i prijenosnih funkcija**




Najmanja brzina od 50 km/h (30 km/h samo za tramvaje i laku gradsku željeznicu) upotrebljava se za utvrđivanje ukupne efektivne hrapavosti i time zvučne snage vozila (ta brzina ne utječe na izračun protoka vozila) radi kompenzacije potencijalne pogreške uvedene pojednostavljivanjem definicije buke kotrljanja, definicije buke kočenja i definicije udarne buke uzrokovane prijelazima i skretnicama.

Udarna buka (prijelazi, skretnice i križišta)

Udarnu buku mogu uzrokovati prijelazi, skretnice i križišta. Njezini se razmjeri mogu razlikovati te ona može nadjačati buku kotrljanja. Udarna se buka uzima u obzir za kolosijeke sa spojnicama. Za udarnu buku uzrokovanu skretnicama, prijelazima i spojevima na dionicama kolosijeka pri brzini manjoj od 50 km/h (30 km/h samo za tramvaje i laku gradsku željeznicu) ne radi se modeliranje jer se najmanja brzina od 50 km/h (30 km/h samo za tramvaje i laku gradsku željeznicu) upotrebljava za uključivanje više utjecaja u skladu s opisom iz poglavlja o buci kotrljanja. Također se ne radi modeliranje buke pri stanju kretanja $c = 2$ (stanje mirovanja).

Udarna buka uključena je u član buke kotrljanja time što se dopunska izmišljena razina hrapavosti (energetski) dodaje ukupnoj efektivnoj razini hrapavosti za svaku specifičnu $j$-tu dionicu kolosijeka na kojoj ta buka postoji. U tom se slučaju novi $L_{R,TOT\ +\ IMPACT,i}$ upotrebljava umjesto $L_{R,TOT,i}$ te će postati:

$$L_{R,TOT+IMPACT,i} = 10 \times \lg(10^{L_{R,TOT,i}/10} + 10^{L_{R,IMPACT,i}/10}) \quad \text{dB} \quad (2.3.11.)$$

$L_{R,IMPACT,i}$ je spektar pojasa širine 1/3 oktave (kao funkcija frekvencije). Za dobivanje tog frekvencijskog spektra, spektar se definira kao funkcija valne duljine $\lambda$ te se pretvara u traženi spektar kao funkcija frekvencije korištenjem relacije $\lambda = v/f$, pri čemu je $f$ središnja frekvencija pojasa širine 1/3 oktave u Hz ►**C1** i $v$ je $s$-ta brzina vozila $t$-tog tipa vozila u m/s ◄.

Utjecaj buke ovisit će o snazi i broju udara po jediničnoj duljini ili gustoći spojeva tako da se u slučaju da su zadani višestruki udari razina udarne hrapavosti koju treba upotrijebiti u gornjoj jednadžbi izračunava ovako:

▼M2

$$L_{R,IMPACT,i} = L_{R,\ IMPACT\ -\ SINGLE,i} + 10 \times \lg\left(\frac{n_l}{0{,}01}\right) \quad \text{dB} \quad (2.3.12.)$$

pri čemu je $L_{R,IMPACT–SINGLE,i}$ razina udarne hrapavosti uzeta za pojedini udar i $n_l$ je gustoća spojeva.

Unaprijed zadana razina gustoće uzeta je za gustoću spojeva od $n_l$ = 0,01 m $^{-1}$, što znači jedan spoj na 100 m kolosijeka. Situacije s različitim brojem spojeva aproksimiraju se prilagođavanjem gustoće spojeva $n_l$. Treba napomenuti da se pri modeliranju trase i segmentacije pruge mora uzeti u obzir gustoća spojeva, što znači da možda bude neophodno uzeti odvojeni segment izvora za dio kolosijeka s više spojeva. $L_{W,0}$ doprinosa kolosijeka, kotača/okretnog postolja i nadgrađa povećava se pomoću $L_{R,IMPACT,i}$ za +/– 50 m ispred i iza spoja tračnica. U slučaju niza spojeva, povećanje se proširuje na – 50 m ispred prvog spoja i + 50 m iza posljednjeg spoja.

Primjenjivost tih spektara zvučne snage obično se provjerava na lokaciji.

Za kolosijeke sa spojnicama uzima se unaprijed zadana vrijednost $n_l$ od 0,01.

C v i l j e n j e

Cviljenje u luku kolosijeka je poseban izvor koji se odnosi samo na lukove pa je stoga lokaliziran. Budući da može biti značajan, potrebno ga je odgovarajuće opisati. Cviljenje u luku u pravilu ovisi o zakrivljenju, uvjetima trenja, brzini vlaka te geometriji i dinamici između tračnice i kotača. Razina emisije koju treba upotrijebiti određuje se za lukove s polumjerom manjim od ili jednakim 500 m i za oštrije lukove i grananja s polumjerima manjima od 300 m. Emisija buke treba biti posebna za svaki tip željezničkog vozila jer neki tipovi kotača i okretnih postolja mogu biti znatno manje skloni cviljenju od drugih.

Primjenjivost tih spektara zvučne snage obično se provjerava na lokaciji, posebno u slučaju tramvaja.

U jednostavnom pristupu buka cviljenja uzima se u obzir tako što se spektrima zvučne snage buke kotrljanja za sve frekvencije doda 8 dB za R < 300 m i 5 dB za 300 m < R < 500 m. Doprinos cviljenja primjenjuje se na dionice željezničkog kolosijeka na kojima je polumjer unutar prethodno navedenih vrijednosti u duljini od barem 50 m kolosijeka.

B u k a v u č e

Iako je buka vuče obično posebna za svako tipično radno stanje (konstantna brzina, usporenje, ubrzanje i stanje mirovanja), jedina dva stanja za koja se vrši modeliranje su konstantna brzina (koja vrijedi i kad vlak usporava ili ubrzava) i stanje mirovanja. Modelirana snaga izvora odgovara jedino uvjetima maksimalnog opterećenja, a to daje vrijednosti $L_{W,0,const,i} = L_{W,0,idling,i}$. Također, $L_{W,0,idling,i}$ odgovara doprinosu svih fizičkih izvora zadanog vozila koji se mogu dodijeliti određenoj visini, u skladu s opisom iz točke 2.3.1.

▼M2

$L_{W,0,idling,i}$ izražava se kao statički izvor buke u stanju mirovanja za vrijeme trajanja stanja mirovanja te ga se treba upotrebljavati modeliranog kao stacionarni točkasti izvor u skladu s opisom iz sljedećeg poglavlja o buci industrijskih pogona i postrojenja. On se uzima u obzir samo ako su vlakovi u stanju mirovanja dulje od 0,5 sati.

Te se vrijednosti mogu dobiti mjerenjem svih izvora za svako radno stanje ili se izvori mogu definirati pojedinačno tako što će se utvrditi njihova ovisnost o parametrima i relativna snaga. To se može postići mjerenjem na vozilu u stanju mirovanja time što će se mijenjati brzina osovine vučne opreme, u skladu s normom ISO 3095:2005. Potrebno je opisati više izvora buke vuče koji ne moraju svi izravno ovisiti o brzini vlaka u mjeri u kojoj su ti izvori važni:

— buka pogonskog sustava, poput dizelskih motora (uključujući usisne i ispušne otvore i motor), prijenosnog mehanizma i električnih generatora, koja prije svega ovisi o broju okretaja motora u minuti (rpm), i buka električnih izvora poput transformatora, koja može uglavnom ovisiti o opterećenju,

— buka ventilatora i sustava za hlađenje, koja ovisi o brzini okretaja ventilatora u minuti; u nekim slučajevima ventilatori mogu biti izravno spojeni na pogonsku grupu,

— povremeni izvori poput kompresora, ventila i ostalih izvora koji posjeduju tipično trajanje rada i s odgovarajućom korekcijom emisije buke zbog radnog ciklusa.

Budući da se svaki od tih izvora može ponašati različito za svako radno stanje, buka vuče navodi se ovisno o tome. Snaga izvora dobiva se mjerenjem pod kontroliranim uvjetima. Općenito, lokomotive će pokazati veću varijaciju u opterećenju jer mogu postojati znatne razlike u broju vagona koje vuku i time u izlaznoj snazi, dok fiksne kompozicije poput elektromotornih vlakova (EMV-ovi), dizelmotornih vlakova (DMV-ovi) i vlakova velike brzine imaju bolje definirano opterećenje.

Zvučna snaga izvora nije unaprijed dodijeljena visinama izvora pa se taj izbor vrši ovisno o specifičnoj buci i vozilu koje se ocjenjuje. Modelira se na izvoru A (h = 1) i izvoru B (h = 2).

Aerodinamička buka

Aerodinamička buka važna je samo za brzine iznad 200 km/h pa je stoga prvo potrebno provjeriti je li uopće potrebna za ove primjene. Ako su hrapavost i prijenosne funkcije buke kotrljanja poznate, aerodinamička se buka može ekstrapolirati za veće brzine te se može usporediti s postojećim podacima za velike brzine kako bi se provjerilo stvara li aerodinamička buka više razine buke. Ako je brzina vlakova na mreži veća od 200 km/h, ali je ograničena na 250 km/h, u nekim slučajevima nije nužno uključiti aerodinamičku buku, ovisno o konstrukciji vozila.

Doprinos aerodinamičke buke daje se kao funkcija brzine:

$$L_{W,0,i} = L_{W,0,1,i}(v_0) + \alpha_{1,i} \times \lg\left(\frac{v}{v_0}\right) \quad \text{dB} \quad \text{za h = 1} \qquad (2.3.13.)$$

▼M2

$$L_{W,0,i} = L_{W,0,2,i}(v_0) + \alpha_{2,i} \times \lg\left(\frac{v}{v_0}\right) \quad \text{dB} \quad \text{za h = 2} \qquad (2.3.14.)$$

pri čemu je:

$v_0$ brzina na kojoj je aerodinamička buka dominantna te je utvrđena na 300 km/h,

$L_{W,0,1,i}$ referentna zvučna snaga izmjerena na najmanje dvije mjerne točke za izvore čije su visine izvora poznate, na primjer za prvo okretno postolje,

$L_{W,0,2,i}$ referentna zvučna snaga izmjerena na najmanje dvije mjerne točke za izvore čije su visine izvora poznate, na primjer za visine udubine oduzimača struje,

$\alpha_{1,i}$ koeficijent utvrđen iz najmanje dvije mjerne točke za izvore čije su visine izvora poznate, na primjer za prvo okretno postolje,

$\alpha_{2,i}$ koeficijent utvrđen iz najmanje dvije mjerne točke za izvore čije su visine izvora poznate, na primjer za visine udubine oduzimača struje.

Usmjerenost izvora

***Horizontalna usmjerenost*** $\Delta L_{W,dir,hor,i}$ u dB zadana je u horizontalnoj ravnini te se može unaprijed pretpostaviti da je dipolna za učinke kotrljanja, udara (spojevi tračnica itd.), cviljenja, kočenja, ventilatora i aerodinamike, zadana za svaki *i*-ti frekvencijski pojas jednadžbom:

$$\Delta L_{W,dir,hor,i} = 10 \times \lg(0{,}01 + 0{,}99 \cdot \sin^2\varphi) \qquad (2.3.15.)$$

***Vertikalna usmjerenost*** $\Delta L_{W,dir,ver,i}$ u dB zadana je u vertikalnoj ravnini za izvor A (h = 1) kao funkcija središnje frekvencije pojasa $f_{c,i}$ svakog *i*-tog frekvencijskog pojasa i za $-\pi/2 < \psi < \pi/2$ jednadžbom:

$$\Delta L_{W,dir,ver,i} = \left(\left|\frac{40}{3} \times \left[\frac{2}{3} \times \sin(2 \cdot \psi) - \sin\psi\right] \times \lg\left[\frac{f_{c,i} + 600}{200}\right]\right|\right) \qquad (2.3.16.)$$

Za izvor B (h = 2) za aerodinamički učinak:

$$\Delta L_{W,dir,ver,i} = 10 \times \lg(\cos^2\psi) \qquad \text{za } \psi < 0 \qquad (2.3.17.)$$

Inače $\Delta L_{W,dir,ver,i} = 0$

Usmjerenost $\Delta L_{dir,ver,i}$ ne uzima se u obzir za izvor B (h = 2) za druge utjecaje jer se za izvore B u tom položaju pretpostavlja svesmjernost.

2.3.3. *Dodatni utjecaji*

Korekcija za strukturna emitiranja (mostovi i vijadukti)

U slučaju kad se segment kolosijeka nalazi na mostu, neophodno je uzeti u obzir dodatnu buku nastalu vibracijom mosta zbog pobuđivanja uzrokovanog prisutnošću vlaka. Budući da zbog složenosti oblika mostova nije jednostavno modelirati emisiju mosta kao dodatnog izvora, za uvrštavanje buke mosta upotrebljava se povećanje buke kotrljanja. To

▼M2

se povećanje modelira isključivo dodavanjem fiksnog povećanja zvučnoj snazi buke za svaki tercni pojas. Kad se uzima korekcija, mijenja se samo zvučna snaga buke kotrljanja pa se upotrebljava novi $L_{W,0,rolling–and–bridge,i}$ umjesto $L_{W,0,rolling-only,i}$:

$$L_{W,0,rolling–and–bridge,i} = L_{W,0,rolling–only,i} + C_{bridge} \quad \text{dB} \qquad (2.3.18.)$$

pri čemu je $C_{bridge}$ konstanta koja ovisi o tipu mosta, a $L_{W,0,rolling–only,i}$ zvučna snaga buke kotrljanja na zadanom mostu koja ovisi samo o svojstvima vozila i kolosijeka.

Korekcija za ostale izvore povezane sa željeznicom

Moguća je prisutnost različitih drugih izvora koji su povezani sa željezničkom bukom, poput spremišta, područja za utovar i istovar, kolodvora i stajališta, zvona, kolodvorskih zvučnika itd. Prema tim se izvorima treba postupati kao prema izvorima buke industrijskih pogona i postrojenja (stacionarni izvori buke) pa ih prema potrebi treba modelirati u skladu sa sljedećim poglavljem o buci industrijskih pogona i postrojenja.

## 2.4. **Buka industrijskih pogona i postrojenja**

### 2.4.1. *Opis izvora*

Klasifikacija vrsta izvora (točkasti, linijski, površinski)

Dimenzije industrijskih izvora mogu biti vrlo različite. Ti izvori mogu biti veliki industrijski pogoni i mali, koncentrirani izvori poput malih alata ili strojeva koji se upotrebljavaju u tvornicama. Stoga je neophodno upotrijebiti prikladnu tehniku modeliranja za specifičan izvor koji se ocjenjuje. Ovisno o dimenzijama i načinu na koji je više pojedinih izvora razmješteno na nekom području, pri čemu svaki od njih pripada istoj industrijskoj lokaciji, te se izvore može modelirati kao točkaste, linijske ili površinske. U praksi se izračuni učinka buke uvijek temelje na točkastim izvorima, ali nekoliko se točkastih izvora može upotrijebiti za prikaz stvarnog složenog izvora koji se uglavnom nalazi na nekoj liniji ili površini.

Broj i položaj ekvivalentnih izvora zvuka

Stvarni se izvori zvuka modeliraju korištenjem ekvivalentnih izvora zvuka koje predstavljaju jedan ili više točkastih izvora tako da ukupna zvučna snaga stvarnih izvora odgovara zbroju pojedinih zvučnih snaga dodijeljenih različitim točkastim izvorima.

Opća pravila koja treba primjenjivati u definiranju broja točkastih izvora koji će se upotrijebiti su:

— linijski ili točkasti izvori kod kojih je najveća dimenzija manja od 1/2 udaljenosti između izvora i prijemnika mogu se modelirati kao jedan točkasti izvor,

— izvori kod kojih je najveća dimenzija veća od 1/2 udaljenosti između izvora i prijemnika trebaju se modelirati kao niz nekoherentnih točkastih izvora na pravcu ili kao niz nekoherentnih točkastih izvora na nekoj površini tako da za svaki od tih izvora bude ispunjen uvjet 1/2 udaljenosti. Razdioba na nekoj površini može uključivati vertikalnu distribuciju točkastih izvora,

— posebnu je pozornost potrebno pridati visini izvora za izvore kod kojih su najveće dimenzije po visini iznad 2 m ili blizu razine tla.

▼M2

Udvostručenje broja izvora, uz njihovu ponovnu razdiobu samo po z-osi, ne mora dovesti do znatno boljeg rezultata za taj izvor,

— u slučaju bilo kojeg izvora udvostručenje broja izvora na površini izvora (u svim dimenzijama) ne mora dovesti do znatno boljeg rezultata.

Položaj ekvivalentnih izvora zvuka ne može biti fiksan, s obzirom na velik broj konfiguracija koje mogu postojati na industrijskoj lokaciji. Obično će se primjenjivati najbolja praktična rješenja.

Emisija zvučne snage

*Općenito*

Sljedeće informacije predstavljaju potpun skup ulaznih podataka za izračune širenja (propagacije) zvuka metodama koje treba upotrebljavati za izradu karata buke:

— spektar emitirane razine zvučne snage u oktavnim pojasevima,

— radno vrijeme (dan, večer, noć, prema godišnjem prosjeku),

— lokacija (koordinate $x$, $y$) i nadmorska visina ($z$) izvora buke,

— vrsta izvora (točkasti, linijski, površinski),

— dimenzije i orijentacija,

— radni uvjeti izvora,

— usmjerenost izvora.

Zvučne snage točkastih, linijskih i površinskih izvora moraju se definirati:

— za točkasti izvor, kao zvučna snaga $L_W$ i usmjerenost kao funkcija tri ortogonalne koordinate ($x$, $y$, $z$),

— mogu se definirati dvije vrste linijskih izvora:

— za linijske izvore koji prikazuju transportne trake, cjevovode itd., kao zvučna snaga po metru duljine $L_{W'}$ i usmjerenost kao funkcija dviju ortogonalnih koordinata u odnosu na os linijskog izvora,

— za linijske izvore koji prikazuju vozila u kretanju, kao svaka povezana zvučna snaga $L_W$ i usmjerenost kao funkcija dviju ortogonalnih koordinata u odnosu na os linijskog izvora i zvučna snaga po metru $L_{W'}$ dobivena pomoću brzine i broja vozila koja putuju na tom pravcu po danu, večeri i noći; Korekcija za radno vrijeme, koju treba dodati snazi zvučnog izvora kako bi se dobila korigirana zvučna snaga koju treba upotrebljavati za izračune tijekom svakog vremenskog razdoblja, $C_W$ u dB, izračunava se jednadžbom:

▼M2

$$C_W = -10\lg\left(\frac{l \times n}{1\,000 \times V \times T_0}\right) \qquad (2.4.1.)$$

Pri čemu je:

V brzina vozila [km/h],

n broj prolazaka vozila u razdoblju [–],

l ukupna duljina izvora [m],

— za površinske izvore zvuka, kao zvučna snaga po kvadratnom metru $L_{W/m2}$ i bez usmjerenosti (može biti horizontalna ili vertikalna).

Radno je vrijeme ključna ulazna vrijednost za izračun razina buke. Radno se vrijeme zadaje za razdoblje dana, večeri i noći, ali se, ako se za širenje upotrebljavaju različite meteorološke klase definirane za svako razdoblje dana, noći i večeri, mora zadati detaljnija podjela radnog vremena za podrazdoblja koja odgovaraju distribuciji meteoroloških klasa. Te se informacije temelje na godišnjem prosjeku.

Korekcija za radno vrijeme, koju treba dodati snazi zvučnog izvora kako bi se dobila korigirana zvučna snaga koja se upotrebljava za izračune tijekom svakog vremenskog razdoblja, $C_W$ u dB, izračunava se jednadžbom:

$$C_W = 10 \times \lg\left(\frac{T}{T_{ref}}\right) \qquad (2.4.2.)$$

pri čemu:

$T$ je vrijeme aktivnog izvora po razdoblju na temelju uprosječenog godišnjeg stanja, u satima,

$T_{\text{ref}}$ je referentno vremensko razdoblje u satima (na primjer, dan je 12 sati, večer je 4 sata, noć je 8 sati).

Za dominantnije izvore korekcija za prosječno godišnje radno vrijeme procjenjuje se barem unutar dopuštenog odstupanja od 0,5 dB kako bi se postigla prihvatljiva točnost (ekvivalent nesigurnosti ispod 10 % u definiciji aktivnog razdoblja za izvor).

Usmjerenost izvora

Usmjerenost izvora snažno je povezana s položajem ekvivalentnog izvora zvuka u odnosu na obližnje površine. Budući da metoda širenja uzima u obzir refleksije od bliskih površina i apsorpciju zvuka, neophodno je pažljivo razmotriti položaj bliskih površina. U pravilu se uvijek razlikuju dva slučaja:

— zvučna snaga i usmjerenost izvora utvrđuju se i zadaju u odnosu na određeni stvarni izvor koji je smješten u slobodno zvučno polje (isključujući utjecaj tla). To se slaže s definicijama u pogledu širenja ako se pretpostavi da nema bliskih površina na udaljenosti od najmanje 0,01 m od izvora, a površine na udaljenosti od 0,01 m ili više su uključene u izračun širenja,

— zvučna snaga i usmjerenost izvora utvrđuju se i zadaju u odnosu na određeni stvarni izvor koji je smješten na specifičnu lokaciju pa su stoga zvučna snaga i usmjerenost izvora zapravo „ekvivalentne” jer uključuju modeliranje utjecaja bliskih površina. To se definira kao „poluslobodno zvučno polje” u skladu s definicijama u vezi sa širenjem. U tom se slučaju modelirane bliske površine isključuju iz izračuna širenja.

▼M2

Usmjerenost se u izračunu izražava kao faktor $\Delta L_{W,dir,xyz}$ ($x$, $y$, $z$) koji treba dodati zvučnoj snazi kako bi se dobila prava usmjerena zvučna snaga referentnog zvučnog izvora kakva se vidi u širenju zvuka u zadanom smjeru. Taj se faktor može iskazati kao funkcija vektora smjera koji se definira pomoću ($x$,$y$,$z$) u $\sqrt{x^2 + y^2 + z^2} = 1$. Usmjerenost se također može izraziti korištenjem drugih koordinatnih sustava poput kutnog sustava.

2.5. **Izračun širenja buke za cestovne, željezničke i industrijske izvore**

2.5.1. *Područje primjene i primjenjivost metode*

U ovom se dokumentu određuje metoda za izračun prigušenja buke prilikom širenja u vanjskom prostoru. Uz poznata svojstva izvora ovom se metodom predviđa ekvivalentna kontinuirana razina zvučnog tlaka u točki prijemnika koja odgovara dvjema posebnim vrstama atmosferskih uvjeta, a to su:

— uvjeti širenja uz lom (refrakciju) prema dolje (pozitivni vertikalni gradijent efektivne brzine zvuka) od izvora do prijemnika,

— homogeni atmosferski uvjeti (nulti vertikalni gradijent efektivne brzine zvuka) u cijelom području širenja.

Metoda izračuna opisana u ovom dokumentu odnosi se na infrastrukture industrije i kopnenog prometa. Stoga se posebno odnosi na cestovne i željezničke infrastrukture. U područje primjene ove metode uključen je zračni promet samo za buku koja se stvara pri operacijama na tlu te u njega nije uključeno uzlijetanje i slijetanje.

Industrijske infrastrukture koje emitiraju impulsne šumove ili jake tonalne buke iz norme ISO 1996-2:2007 ne ulaze u područje primjene ove metode.

Metoda izračuna ne daje rezultate za uvjete širenja uz lom (refrakciju) prema gore (negativni vertikalni gradijent efektivne brzine zvuka), ali ti se uvjeti aproksimiraju homogenim uvjetima pri izračunu $L_{den}$.

Kako bi se izračunalo prigušenje zbog apsorpcije u atmosferi za prometnu infrastrukturu, temperatura i vlaga izračunavaju se u skladu s normom ISO 9613-1:1996.

Metodom se dobivaju rezultati po oktavnim pojasevima od 63 Hz to 8000 Hz. Izračuni se rade za svaku središnju frekvenciju.

Djelomični zasloni i prepreke koji su pri modeliranju ukošeni preko 15 stupnjeva u odnosu na vertikalu ne spadaju u područje primjene ove metode izračuna.

Jedan se zaslon izračunava kao jedan izračun difrakcije (ogiba), a dva ili više zaslona na jednom putu uzimaju se kao uzastopni niz pojedinih difrakcija primjenom u nastavku opisanog postupka.

2.5.2. *Korištene definicije*

Sve udaljenosti, visine, dimenzije i nadmorske visine u ovom dokumentu izražavaju se u metrima (m).

▼M2

Zapis *MN* znači udaljenost u 3 dimenzije (3D) između točaka *M* i *N* koja je izmjerena na pravcu koji povezuje te točke.

Zapis $\hat{M}$N znači duljina krivulje između točaka *M* i *N* pod povoljnim uvjetima.

Uobičajeno je da se stvarne visine mjere vertikalno u smjeru okomitom na vodoravnu ravninu. Visine točaka iznad lokalnog tla označavaju se slovom h, apsolutne visine točaka i apsolutna visina tla označavaju se slovom H.

Kako bi se uzeo u obzir stvarni reljef duž puta širenja, uvodi se pojam „ekvivalentne visine” koji se označava slovom z. Njime se zamjenjuju stvarne visine u jednadžbama za utjecaj tla.

Razine zvuka, označene velikim slovom *L*, izražene su u decibelima (dB) po frekvencijskom pojasu kad se ispusti indeks A. Razinama zvuka u decibelima dB(A) zadaje se indeks A.

Zbroj razina zvuka iz međusobno nekoherentnih izvora označava se znakom ⊕ u skladu sa sljedećom definicijom:

$$L_1 \oplus L_2 = 10 \cdot \lg\left[10^{L_1/10} + 10^{L_2/10}\right] \qquad (2.5.1.)$$

2.5.3. *Geometrijska razmatranja*

Segmentacija izvora

Stvarni izvori opisuju se skupom točkastih izvora ili, u slučaju željezničkog ili cestovnog prometa, nekoherentnih linijskih izvora. U primjeni metode širenja pretpostavlja se da su linijski ili površinski izvori prethodno podijeljeni kako bi ih se prikazalo nizom ekvivalentnih točkastih izvora. To se moglo napraviti u preliminarnoj obradi izvornih podataka ili se može napraviti u prvom koraku u softveru za izračune. Način na koji se to radi nije obuhvaćen opsegom ove metodologije.

Putovi širenja

U metodi se upotrebljava geometrijski model koji se sastoji od skupa povezanih površina na tlu i površina prepreka. Put vertikalnog širenja primjenjuje se na jednoj ili više vertikalnih ravnina u odnosu na horizontalnu ravninu. U slučaju putanja koje sadrže refleksije s vertikalnih površina koje nisu ortogonalne na upadnu ravninu, poslije se uzima još jedna vertikalna ravnina na kojoj se nalazi reflektirani dio puta širenja. U tim se slučajevima, kad se koristi više vertikalnih ravnina za opisivanje cijele putanje od izvora do prijemnika, vertikalne ravnine potom izravnavaju poput kineskog paravana na rasklapanje.

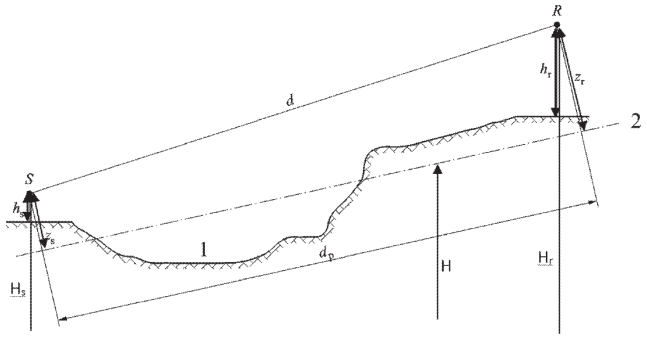
Značajne visine iznad tla

Ekvivalentne visine dobivaju se iz središnje ravnine tla između izvora i prijemnika. To zamjenjuje stvarno tlo zamišljenom ravninom koja predstavlja srednji profil zemlje.

▼M2

*Slika 2.5.a*

**Ekvivalentne visine u odnosu na tlo**




1: Stvarni reljef

2: Središnja ravnina

Ekvivalentna visina točke je njezina ortogonalna visina u odnosu na srednju ravninu tla. Stoga se mogu definirati visina ekvivalentnog izvora $z_s$ i visina ekvivalentnog prijemnika $z_r$. Udaljenost između izvora i prijemnika projicirana na središnju ravninu tla obilježava se s $d_p$.

Ako ekvivalentna visina točke postane negativna, to jest, ako se točka nalazi ispod središnje ravnine tla, zadržava se nulta visina, a ekvivalentna točka je jednaka sa svojom mogućom slikom.

Izračun središnje ravnine

Na ravnini puta širenja topografija (uključujući teren, humke, nasipe i druge ljudske prepreke, zgrade...) se može opisati uređenim skupom diskretnih točaka ($x_k$, $H_k$); $k \in \{1,\ldots,n\}$. Taj skup točaka definira poliliniju ili, ekvivalentno, niz dužina $H_k = a_k x + b_k$, $x \in [x_k, x_{k+1}]$; $k \in \{1,\ldots n\}$, pri čemu je:

$$\begin{cases} a_k = (H_{k+1} - H_k)/(x_{k+1} - x_k) \\ b_k = (H_k \cdot x_{k+1} - H_{k+1} \cdot x_k)/(x_{k+1} - x_k) \end{cases} \quad (2.5.2.)$$

Središnja se ravnina prikazuje pravcem $Z = ax + b$; $x \in [x_1, x_n]$ koji se prilagođava poliliniji aproksimacijom najmanjih kvadrata. Jednadžba središnjeg pravca može se riješiti analitički.

Korištenjem jednadžbi:

$$\begin{cases} A = \frac{2}{3}\sum_{k=1}^{n-1} a_k(x_{k+1}^3 - x_k^3) + \sum_{k=1}^{n-1} b_k(x_{k+1}^2 - x_k^2) \\ B = \sum_{k=1}^{n-1} a_k(x_{k+1}^2 - x_k^2) + 2\sum_{k=1}^{n-1} b_k(x_{k+1} - x_k) \end{cases} \quad (2.5.3.)$$

Koeficijenti pravca dobivaju se jednadžbama:

$$\begin{cases} a = \frac{3(2A - B(x_n + x_1))}{(x_n - x_1)^3} \\ b = \frac{2(x_n^3 - x_1^3)}{(x_n - x_1)^4} B - \frac{3(x_n + x_1)}{(x_n - x_1)^3} A \end{cases} \quad (2.5.4.)$$

▼M2

Pri čemu se dužine s $x_{k+1} = x_k$ zanemaruju pri rješavanju jednadžbe 2.5.3.

Refleksija od pročelja zgrada i drugih vertikalnih prepreka

Doprinosi refleksija uzimaju se u obzir uvođenjem zrcalnih izvora u skladu s opisom u nastavku.

2.5.4. *Model širenja zvuka*

Za prijemnik *R* izračuni se rade u skladu sa sljedećim koracima:

1. na svakom putu širenja:

   — izračun prigušenja u povoljnim uvjetima,

   — izračun prigušenja u homogenim uvjetima,

   — izračun dugotrajne razine zvuka za svaki put;

2. nakupljanje dugotrajnih razina zvuka za sve putove koji utječu na određeni prijemnik, čime se omogućuje da se ukupna razina zvuka izračuna na točki prijemnika.

Potrebno je napomenuti da meteorološki uvjeti utječu samo na prigušenja zbog utjecaja tla ($A_{ground}$) i difrakcije ($A_{dif}$).

2.5.5. *Postupak izračuna*

Za točkasti izvor *S* usmjerene snage zvuka $L_{w,0,dir}$ i zadanog frekvencijskog pojasa ekvivalentna kontinuirana razina zvučnog tlaka na točki prijemnika *R* pod zadanim atmosferskim uvjetima dobiva se u skladu sa sljedećim jednadžbama.

Razina zvuka u povoljnim uvjetima (LF) za put (S, R)

$$L_F = L_{W,0,dir} - A_F \qquad (2.5.5.)$$

Član $A_F$ predstavlja ukupno prigušenje na putu širenja pod povoljnim uvjetima te se rastavlja na sljedeći način:

$$L_F = A_{div} + A_{atm} + A_{boundary,F} \qquad (2.5.6.)$$

pri čemu:

$A_{div}$ je prigušenje zbog geometrijske divergencije,

$A_{atm}$ je prigušenje zbog apsorpcije u atmosferi,

$A_{boundary,F}$ je prigušenje zbog rubnih uvjeta u propagacijskom mediju pod povoljnim uvjetima. Ono može sadržavati sljedeće članove:

$A_{ground,F}$ što je prigušenje zbog tla pod povoljnim uvjetima,

$A_{dif,F}$ što je prigušenje zbog difrakcije pod povoljnim uvjetima.

Za zadani put i frekvencijski pojas moguća su sljedeća dva scenarija:

▼M2

— ili se $A_{ground,F}$ izračunava bez difrakcije ($A_{dif,F}$ = 0 dB) i $A_{boundary,F} = A_{ground,F}$,

— ili se izračunava $A_{dif,F}$. Utjecaj tla uzima se u obzir u samoj jednadžbi za $A_{dif,F}$ ($A_{ground,F}$ = 0 dB). Time se dobiva $A_{boundary,F} = A_{dif,F}$.

Razina zvuka u homogenim uvjetima ($L_H$) za put (S,R)

Postupak je izričito identičan onom u slučaju povoljnih uvjeta prikazanom u prethodnom dijelu.

$$L_H = L_{W,0,dir} - A_H \quad (2.5.7.)$$

Član $A_H$ predstavlja ukupno prigušenje na putu širenja pod homogenim uvjetima te se rastavlja na sljedeći način:

$$A_H = A_{div} + A_{atm} + A_{boundary,H} \quad (2.5.8.)$$

pri čemu:

$A_{div}$ je prigušenje zbog geometrijske divergencije,

$A_{atm}$ je prigušenje zbog apsorpcije u atmosferi,

$A_{boundary,H}$ je prigušenje zbog rubnih uvjeta u propagacijskom mediju pod homogenim uvjetima. Ono može sadržavati sljedeće članove:

$A_{ground,H}$ što je prigušenje zbog tla pod homogenim uvjetima,

$A_{dif,H}$ što je prigušenje zbog difrakcije pod homogenim uvjetima.

Za zadani put i frekvencijski pojas moguća su sljedeća dva scenarija:

— ili se $A_{ground,H}$ izračunava bez difrakcije ($A_{dif,H}$ = 0 dB), a $A_{boundary,H} = A_{ground,H}$,

— ili se izračunava $A_{dif,H}$ ($A_{ground,H}$ = 0 dB). Utjecaj tla uzima se u obzir u samoj jednadžbi za $A_{dif,H}$. Time se dobiva $A_{boundary,H} = A_{dif,H}$.

Statistički pristup u urbanim prostorima za put širenja (S,R)

U urbanim je prostorima dopušten statistički pristup izračunu širenja zvuka iza prvog reda zgrada pod uvjetom da je takva metoda odgovarajuće dokumentirana, što podrazumijeva i odgovarajuće informacije o kvaliteti metode. Ova metoda može zamijeniti izračun $A_{boundary,H}$ i $A_{boundary,F}$ aproksimacijom ukupnog prigušenja za izravni put i sve refleksije. Izračun će se temeljiti na prosječnoj gustoći zgrada i na prosječnoj visini svih zgrada u prostoru.

Dugotrajna zvučna razina za put širenja (S,R)

„Dugotrajna” razina zvuka duž puta širenja iz zadanog točkastog izvora dobiva se iz logaritamskog zbroja vrednovane zvučne energije pod homogenim uvjetima i zvučne energije pod povoljnim uvjetima.

▼M2

Te se razine zvuka vrednuju prema srednjem broju pojava $p$ povoljnih uvjeta u smjeru puta širenja ($S,R$):

$$L_{LT} = 10 \times \lg\left(p \cdot 10^{\frac{L_F}{10}} + (1-p) \cdot 10^{\frac{L_H}{10}}\right) \qquad (2.5.9.)$$

*Napomena:* Vrijednosti pojava za $p$ izražene su u postocima. Na primjer, ako je vrijednost pojava 82 %, jednadžba *(2.5.9.)* bi imala $p$ = 0,82.

Dugotrajne zvučne razine u točki R za sve putove širenja

Ukupna dugotrajna zvučna razina na prijemniku za neki frekvencijski pojas dobiva se zbrajanjem energetskih doprinosa iz svih putova N, uključujući sve tipove:

$$L_{tot,LT} = 10 \times \lg\left(\sum_n 10^{\frac{L_{n,LT}}{10}}\right) \qquad (2.5.10.)$$

pri čemu:

$n$ je indeks putova između $S$ i $R$.

U nastavku je opisano kako se pomoću zrcalnih izvora uzimaju u obzir refleksije. Postotak pojava povoljnih uvjeta u slučaju puta koji se reflektira od vertikalne prepreke identičan je pojavama na izravnom putu.

Ako je $S'$ zrcalni izvor $S$, tad se pojava $p'$ puta ($S',R$) smatra jednakom pojavi $p$ puta ($S_i,R$).

Dugotrajne zvučne razine na točki R u decibelima A (dBA)

Ukupna zvučna razina u decibelima A (dBA) dobiva se zbrajanjem razina u svakom frekvencijskom pojasu:

$$L_{Aeq,LT} = 10 \times \lg \sum_i 10^{(L_{tot,LT,i} + AWC_{f,i})/10} \qquad (2.5.11.)$$

pri čemu je $i$ indeks frekvencijskog pojasa. $AWC$ je A-vrednovana korekcija u skladu s međunarodnom normom IEC 61672-1:2003.

Ta razina $L_{Aeq,LT}$ je konačni rezultat, to jest, dugotrajna A-vrednovana razina zvučnog tlaka na točki prijemnika u određenom referentnom vremenskom razdoblju (to jest, dan, večer, noć ili neko kraće razdoblje unutar dana, večeri ili noći).

2.5.6. *Izračun širenja buke za cestovne, željezničke i industrijske izvore*

Geometrijska divergencija

Prigušenje zbog geometrijske divergencije $A_{div}$ odgovara smanjenju razine zvuka zbog udaljenosti širenja. Za točkasti izvor zvuka u slobodnom zvučnom polju prigušenje u dB dobiva se jednadžbom:

$$A_{div} = 20 \times \lg(d) + 11 \qquad (2.5.12.)$$

▼M2

pri čemu je d izravna trodimenzionalna udaljenost između izvora i prijemnika.

Atmosferska apsorpcija

Prigušenje zbog apsorpcije u atmosferi $A_{atm}$ tijekom širenja na udaljenosti $d$ dobiva se u dB jednadžbom:

$$A_{atm} = \alpha_{atm} \cdot d/1\,000 \qquad (2.5.13.)$$

pri čemu:

$d$ je izravna trodimenzionalna udaljenost između izvora i prijemnika u m,

$\alpha_{atm}$ je koeficijent atmosferskog prigušenja u dB/km na nazivnoj središnjoj frekvenciji za svaki frekvencijski pojas u skladu s normom ISO 9613-1.

Vrijednosti koeficijenta $\alpha_{atm}$ dane su za temperaturu 15 °C, relativnu vlažnost 70 % i atmosferski tlak 101 325 Pa. Izračunavaju se s točnim središnjim frekvencijama frekvencijskog pojasa. Te su vrijednosti sukladne s normom ISO 9613-1. Ako su meteorološki podaci dostupni, upotrebljava se dugoročni meteorološki prosjek.

Utjecaj tla

Prigušenje zbog utjecaja tla uglavnom je rezultat interferencije između reflektiranog zvuka i zvuka koji se širi izravno od izvora do prijemnika. To je prigušenje fizički povezano s akustičkom apsorpcijom tla iznad kojeg se zvučni val širi. Međutim, ono je također znatno ovisno o atmosferskim uvjetima za vrijeme širenja jer lom zrake mijenja visinu puta iznad tla pa čini utjecaj tla i tlo blizu izvora više ili manje znatnim.

U slučaju da na širenje između izvora i prijemnika utječe prepreka na ravnini širenja, utjecaj tla izračunava se odvojeno na strani izvora i na strani prijemnika. U tom se slučaju $z_s$ i $z_r$ odnose na položaj ekvivalentnog izvora i/ili prijemnika prema kasnije navedenom na mjestu gdje je prikazana jednadžba za izračun difrakcije $A_{dif}$.

Akustičko opisivanje tla

Svojstva akustičke apsorpcije tla uglavnom su povezana s njegovom poroznosti. Zbijeno je tlo u načelu reflektivnije, a porozno jače apsorbira.

Za potrebe radnog izračuna akustička se apsorpcija tla predstavlja bezdimenzionalnim koeficijentom $G$ čije su vrijednosti između 0 i 1. Koeficijent $G$ nije ovisan o frekvenciji. U tablici 2.5.a dane su vrijednosti koeficijenta $G$ za tlo u vanjskom prostoru. Općenito, prosječne vrijednosti koeficijenta $G$ na putu širenja su između 0 i 1.

▼M2

*Tablica 2.5.a*

**Vrijednosti koeficijenta G za različite tipove tla**

| Opis | Tip | ($kPa \cdot s/m^2$) | Vrijednost koeficijenta G |
|---|---|---|---|
| Vrlo meko (snijeg ili nalik na mahovinu) | A | 12,5 | 1 |
| Meko šumsko tlo (nisko, gusto raslinje nalik na vrijesak ili debelu mahovinu) | B | 31,5 | 1 |
| Nezbijeno, rahlo tlo (treset, trava, rahlo tlo) | C | 80 | 1 |
| Normalno nezbijeno tlo (šumsko tlo, pašnjaci) | D | 200 | 1 |
| Zbijeno tlo i šljunak (zbijeni travnjaci, područja parkova) | E | 500 | 0,7 |
| Zbijeno gusto tlo (šljunčana cesta, parkiralište) | F | 2 000 | 0,3 |
| Tvrde površine (uglavnom normalni asfalt, beton) | G | 20 000 | 0 |
| Vrlo tvrde i guste površine (gusti asfalt, beton, voda) | H | 200 000 | 0 |

$G_{path}$ se definira kao udio apsorbirajućeg tla na cijelom putu širenja.

Kad su izvor i prijemnik toliko blizu da $d_p \leq 30(z_s + z_r)$, razlika između tipa tla koje se nalazi blizu izvora i tipa tla koje se nalazi blizu prijemnika je zanemariva. Kako bi se ova napomena uzela u obzir, faktor tla $G_{path}$ se na kraju korigira na sljedeći način:

$$G'_{path} = \begin{cases} G_{path}\dfrac{d_p}{30(z_s + z_r)} + G_s\left(1 - \dfrac{d_p}{30(z_s + z_r)}\right) & ako\ d_p \leq 30(z_s + z_r) \\ G_{path} & otherwise \end{cases} \quad (2.5.14.)$$

pri čemu je $G_s$ faktor tla na području izvora. $G_s = 0$ za ravne plohe cesta ([1]) i kolosijeke na čvrstoj podlozi. $G_s = 1$ za željezničke kolosijeke na zastoru. Za izvore buke industrijskih pogona i postrojenja ne postoji opći odgovor.

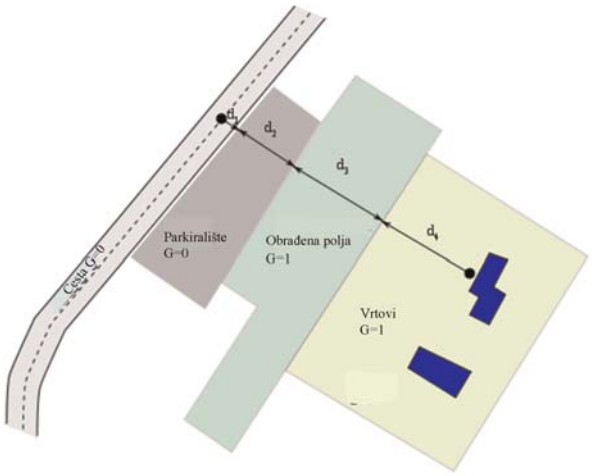
$G$ se može povezati s otporom toka zraka.

([1]) Apsorpcija poroznih cestovnih površina uzima se u obzir u modelu emisije.

▼M2

*Slika 2.5.b*

**Određivanje koeficijenta tla $G_{path}$ na putu širenja**




$$d_p = d_1 + d_2 + d_3 + d_4$$

$$G_{path} = \left(0 \cdot d_1 + 0 \cdot d_2 + 1 \cdot d_3 + 1 \cdot d_4\right) \Big/ d_p = \left(d_3 + d_4\right) \Big/ d_p$$

Sljedeća dva pododjeljka o izračunima pod homogenim i povoljnim uvjetima uvode opće zapise $\overline{G}_w$ i $\overline{G}_m$ za apsorpciju tla. U tablici 2.5.b navodi se slaganje između tih zapisa i varijabli $G_{path}$ i $G'_{path}$.

*Tablica 2.5.b*

**Slaganje između $\overline{G}_w$ i $\overline{G}_m$ i ($G_{path}$, $G'_{path}$)**

| | Homogeni uvjeti | | | Povoljni uvjeti | | |
|---|---|---|---|---|---|---|
| | $A_{ground}$ | $\Delta_{ground(S,O)}$ | $\Delta_{ground(O,R)}$ | $A_{ground}$ | $\Delta_{ground(S,O)}$ | $\Delta_{ground(O,R)}$ |
| $\overline{G}_w$ | $G'_{path}$ | | $G_{path}$ | | | |
| $\overline{G}_m$ | $G'_{path}$ | | $G_{path}$ | $G'_{path}$ | | $G_{path}$ |

Izračuni pod homogenim uvjetima

Prigušenje zbog utjecaja tla pod homogenim uvjetima izračunava se sljedećim jednadžbama:
ako $G_{path} \neq 0$

$$A_{ground,H} = \max\left(-10 \times \lg\left[4\frac{k^2}{d_p^2}\left(z_s^2 - \sqrt{\frac{2C_f}{k}}z_s + \frac{C_f}{k}\right)\left(z_r^2 - \sqrt{\frac{2C_f}{k}}z_r + \frac{C_f}{k}\right)\right], A_{ground,H,min}\right) \quad (2.5.15.)$$

pri čemu:

$$k = 2\pi f_m \Big/ c$$

▼M2

$f_m$ je nazivna središnja frekvencija promatranog frekvencijskog pojasa u Hz, $c$ je brzina zvuka u zraku za čiju se vrijednost uzima 340 m/s, a $C_f$ se definira jednadžbom:

$$C_f = \mathrm{d}_p \frac{1 + 3wd_p e^{-\sqrt{\mathrm{wd_p}}}}{1 + wd_p} \tag{2.5.16.}$$

pri čemu se vrijednosti $w$ dobivaju iz sljedeće jednadžbe:

$$w = 0{,}0185 \frac{f_m^{2.5}\overline{G_w}^{2.6}}{f_m^{1.5}\overline{G_w}^{2.6} + 1{,}3\cdot 10^3 f_m^{0.75}\overline{G_w}^{1.3} + 1{,}16\cdot 10^6} \tag{2.5.17.}$$

$\overline{G_\mathrm{w}}$ može biti jednak bilo $G_{path}$ bilo $G'_{path}$, ovisno o tome izračunava li se utjecaj tla s ili bez difrakcije i ovisno o prirodi tla ispod izvora (stvarnog izvora ili izvora difrakcije). To je navedeno u sljedećim pododjeljcima i sažeto u tablici 2.5.b.

$$A_{ground,H,\min} = -3(1 - \overline{G_m}) \tag{2.5.18.}$$

je donja međa od $A_{ground,H}$.

Za put ($S_\mathrm{i}$,$R$) pod homogenim uvjetima bez difrakcije:

$\overline{G_\mathrm{w}} = G'_{path}$

$\overline{G_\mathrm{m}} = G'_{path}$

S difrakcijom, pogledajte odjeljak o difrakciji za definicije $\overline{G_\mathrm{w}}$ i $\overline{G_\mathrm{m}}$.

ako $G_{path} = 0$: $A_{ground,H} = -3$ dB

Član $-3(1 - \overline{G_\mathrm{m}})$ uzima u obzir činjenicu da ploha ceste više nije prva refleksija u odnosu na izvor u slučaju da su izvor i prijemnik vrlo razdvojeni, nego je to tada prirodno tlo.

Izračuni pod povoljnim uvjetima

Utjecaj tla pod povoljnim uvjetima izračunava se jednadžbom za $A_{ground,H}$, ali ju je potrebno izmijeniti na sljedeći način:

Ako $G_{path} \neq 0$

(a) u jednadžbi za $A_{ground,H}$, visine $z_\mathrm{s}$ i $z_\mathrm{r}$ zamjenjuju se sa $z_\mathrm{s} + \delta z_\mathrm{s} + \delta z_\mathrm{T}$ i $z_\mathrm{r} + \delta z_\mathrm{r} + \delta z_\mathrm{T}$, tim redom, pri čemu

$$\begin{cases} \delta z_s = a_0 \left(\dfrac{z_s}{z_s + z_r}\right)^2 \dfrac{d_p^2}{2} \\ \delta z_r = a_0 \left(\dfrac{z_r}{z_s + z_r}\right)^2 \dfrac{d_p^2}{2} \end{cases} \tag{2.5.19.}$$

$a_\mathrm{o} = 2 \times 10^{-4}\ \mathrm{m}^{-1}$ je obrnuto od polumjera zakrivljenosti krivulje

$$\delta z_T = 6 \cdot 10^{-3} \frac{d_p}{z_s + z_r}$$

(b) donja međa od $A_{ground,F}$ ovisi o geometriji puta širenja:

▼M2

►C1 $$A_{ground,F,\min} = \begin{cases} -3\left(1-\overline{G_m}\right) & ako\ d_p \le 30\left(z_s+z_r\right) \\ -3\left(1-\overline{G_m}\right)\cdot\left(1+2\left(1-\frac{30\left(z_s+z_r\right)}{d_p}\right)\right) & u\ suprotnom \end{cases}$$ ◄ (2.5.20.)

ako $G_{path} = 0$

$A_{\text{ground,F,}} = A_{ground,F,min}$

Korekcije za visinu $\delta z_s$ i $\delta z_r$ prenose učinak loma zvučne zrake. $\delta z_T$ uvrštava utjecaj turbulencije.

$\overline{G_m}$ može također biti jednak bilo $G_{path}$ bilo $G'_{path}$, ovisno o tome izračunava li se utjecaj tla s ili bez difrakcije i ovisno o prirodi tla ispod izvora (stvarnog izvora ili izvora difrakcije). To je navedeno u sljedećim pododjeljcima.

Za put ($S_i$,$R$) pod povoljnim uvjetima bez difrakcije:

$\overline{G_w} = G_{path}$ u jednadžbi *(2.5.17.)*,

$\overline{G_m} = G'_{path}$.

S difrakcijom, pogledajte sljedeći odjeljak za definicije $\overline{G_w}$ i $\overline{G_m}$.

D i f r a k c i j a

Općenito, difrakciju treba proučavati na vrhu svake prepreke koja se nalazi na putu širenja. Ako put širenja prolazi „dovoljno visoko" iznad brida difrakcije, može se zadati $A_{dif} = 0$ i izračunati izravan pogled, posebno kad se procjenjuje $A_{ground}$.

U praksi se za središnju frekvenciju svakog frekvencijskog pojasa uspoređuje razlika puta $\delta$ s vrijednosti $-\lambda/20$. Ako prepreka ne uzrokuje difrakciju, što se, na primjer, utvrdi na temelju Rayleighjeva kriterija, nije potrebno izračunati $A_{dif}$ za razmatrani frekvencijski pojas. Drugim riječima, u tom slučaju $A_{dif} = 0$. U suprotnom se $A_{dif}$ izračunava prema opisu u nastavku ovog dijela. Ovo se pravilo primjenjuje pod homogenim i pod povoljnim uvjetima, za jednu difrakciju i za višestruku difrakciju.

Kad se za zadani frekvencijski pojas napravi izračun u skladu s postupkom opisanim u ovom odjeljku, $A_{ground}$ se određuje kao jednak 0 dB pri izračunu ukupnog prigušenja. Utjecaj tla uzima se izravno u obzir u općoj jednadžbi za izračun difrakcije.

Ovdje predložene jednadžbe upotrebljavaju se za obradu difrakcija na tankim zaslonima, debelim zaslonima, zgradama, zemljanim uzvisinama (prirodnim ili umjetnim) i rubovima nasipa, usjeka i vijadukata.

Ako se na putu širenja naiđe na više prepreka koje izazivaju difrakciju, te se prepreke uzimaju kao višestruka difrakcija primjenom postupka opisanog u sljedećem odjeljku za izračun razlike puta.

▼**M2**

Ovdje prikazani postupci koriste se za izračun prigušenja pod homogenim uvjetima i pod povoljnim uvjetima. Lom zrake uzima se u obzir u izračunu za razliku puta i za izračun utjecaja tla prije i poslije difrakcije.

Opća načela

Slika 2.5.c prikazuje opću metodu za izračun prigušenja zbog difrakcije. Ova se metoda temelji na razbijanju puta širenja u dva dijela: put „od izvora”, koji se proteže od izvora do točke difrakcije, i put „do prijemnika”, koji se proteže od točke difrakcije do prijemnika.

Izračunava se sljedeće:

— utjecaj tla, od izvora, $\Delta_{ground(S,O)}$,

— utjecaj tla, do prijemnika, $\Delta_{ground(O,R)}$,

— i tri difrakcije:

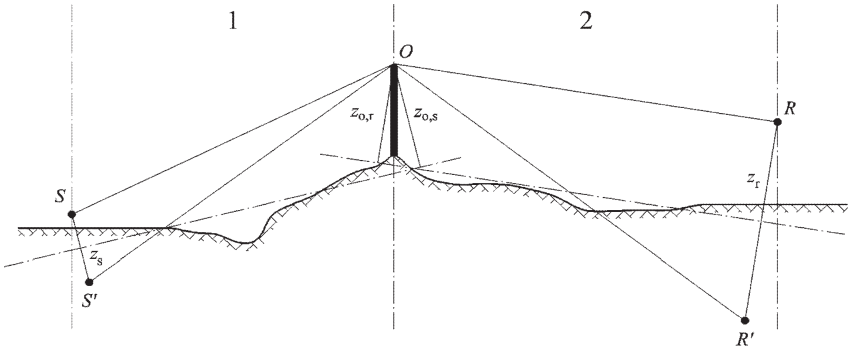
  — između izvora $S$ i prijemnika $R$: $\Delta_{dif(S,R)}$,

  — između zrcalnog izvora $S'$ i $R$: $\Delta_{dif(S',R)}$,

  — između $S$ i prijemnika vala iz zrcalnog izvora $R'$: $\Delta_{dif(S,R')}$.

*Slika 2.5.c*

**Geometrija izračuna prigušenja zbog difrakcije**




1: Od izvora

2: Do prijemnika

pri čemu:

$S$ je izvor,

$R$ je prijemnik,

$S'$ je zrcalni izvor u odnosu na središnju ravninu tla na dijelu od izvora,

$R'$ je prijemnik vala iz zrcalnog izvora u odnosu na središnju ravninu tla na dijelu do prijemnika,

$O$ je točka difrakcije,

▼M2

$z_s$ je ekvivalentna visina izvora $S$ odnosu na središnju ravninu tla na dijelu od izvora,

$z_{o,s}$ je ekvivalentna visina točke difrakcije $O$ u odnosu na središnju ravninu tla na dijelu od izvora,

$z_r$ je ekvivalentna visina prijemnika $R$ u odnosu na središnju ravninu na dijelu do prijemnika,

$z_{o,r}$ je ekvivalentna visina točke difrakcije $O$ u odnosu na središnju ravninu tla na dijelu do prijemnika.

Nepravilnost tla između izvora i točke difrakcije te između točke difrakcije i prijemnika uzima se u obzir korištenjem ekvivalentnih visina izračunanih u odnosu na središnju ravninu tla, prvo na strani od izvora, a onda na strani do prijemnika (dvije središnje ravnine tla), u skladu s metodom opisanom u pododjeljku o znatnim visinama iznad tla.

Čista difrakcija

Za čistu difrakciju bez utjecaja tla prigušenje je zadano:

$$\Delta_{dif} = \begin{cases} 10C_h \cdot \lg\left(3 + \frac{40}{\lambda} C''\delta\right) & ako\ \frac{40}{\lambda} C''\delta \geq -2 \\ 0 & otherwise \end{cases} \qquad (2.5.21.)$$

pri čemu:

$$C_h = 1 \qquad (2.5.22.),$$

$\lambda$ je valna duljina u nazivnoj središnjoj frekvenciji razmatranog frekvencijskog pojasa,

$\delta$ je razlika puta između puta difrakcije i izravnog puta (vidjeti sljedeći pododjeljak o izračunu razlike puta),

$C''$ je koeficijent koji se upotrebljava kako bi se u obzir uzele višestruke difrakcije:

$C'' = 1$ za jednu difrakciju.

U slučaju višestruke difrakcije, ako je e ukupna udaljenost puta, od O1 do O2 + od O2 do O3 + od O3 do O4 na temelju „metode elastičnog pojasa”, (vidjeti slike 2.5.d i 2.5.f) i ako je $e$ veće od 0,3 m (inače je $C''$ = 1), taj se koeficijent definira izrazom:

$$C'' = \frac{1 + \left(5\lambda/e\right)^2}{1/3 + \left(5\lambda/e\right)^2} \qquad (2.5.23.)$$

Vrijednost $\Delta_{dif}$ se ograničava:

— ako $\Delta_{dif} < 0$: $\Delta_{dif} = 0$ dB

— ako $\Delta_{dif} > 25$: $\Delta_{dif} = 25$ dB za difrakciju na horizontalnom bridu i samo za član $\Delta_{dif}$ koji se nalazi u izračunu $A_{dif}$. Ova se gornja međa ne primjenjuje u članovima $\Delta_{dif}$ koji utječu na izračun $\Delta_{ground}$ ili za difrakciju na vertikalnom bridu (lateralna difrakcija) u slučaju izrade karte industrijske buke.

▼**M2**

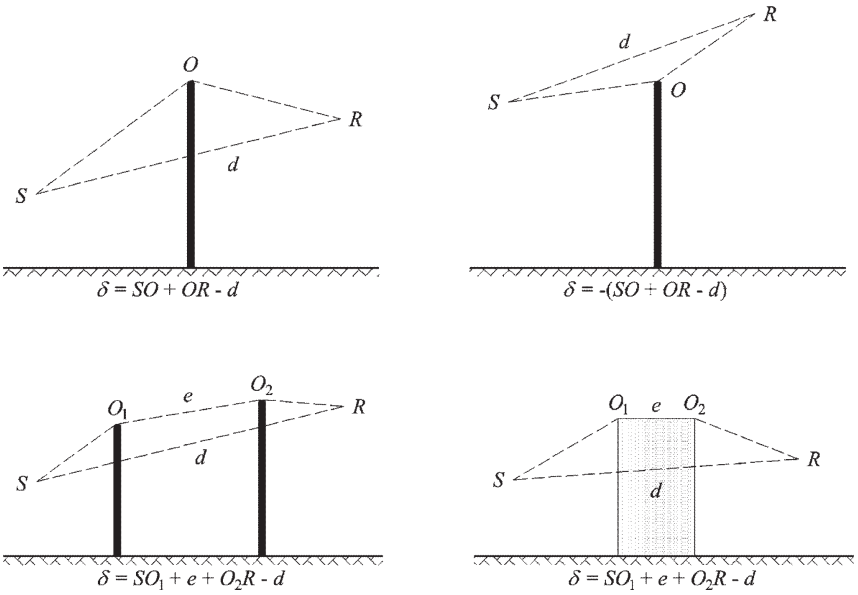
Izračun razlike puta

Razlika puta $\delta$ izračunava se na vertikalnoj ravnini na kojoj se nalaze izvor i prijemnik. Radi se o aproksimaciji u vezi s Fermatovim principom. Aproksimacija je ovdje (linijski izvori) i dalje primjenjiva. Razlika puta $\delta$ izračunava se u skladu sa sljedećim slikama, na temelju situacija na koje se naiđe.

Homogeni uvjeti

*Slika 2.5.d*

**Izračun razlike puta pod homogenim uvjetima. O, $O_1$ i $O_2$ su točke difrakcije**

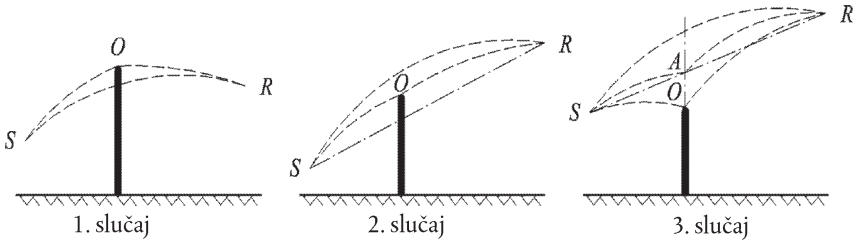



*Napomena:* Za svaku je konfiguraciju zadan izraz $\delta$.

Povoljni uvjeti

*Slika 2.5.e*

**Izračun razlike puta pod povoljnim uvjetima (jedna difrakcija)**




Pod povoljnim se uvjetima smatra da tri zakrivljene zvučne zrake ►**C1** $\overset{\frown}{SO}$, $\overset{\frown}{OR}$ i $\overset{\frown}{SR}$ ◄ imaju identičnu zakrivljenost krivulje $\Gamma$ koja se definira jednadžbom:

$$\Gamma = \max(1\,000, 8d) \qquad (2.5.24.)$$

Duljina zvučne zrake krivulje MN zapisuje se kao $\hat{MN}$ pod povoljnim uvjetima. Ta je duljina jednaka:

▼M2

$$\hat{MN} = 2\Gamma \arcsin\left(\frac{MN}{2\Gamma}\right) \tag{2.5.25.}$$

U načelu, potrebno je razmotriti tri scenarija u izračunu razlike puta pod povoljnim uvjetima $\delta_F$ (vidjeti sliku 2.5.e). U praksi su dovoljne dvije jednadžbe:

— ako je pravocrtna zvučna zraka *SR* zakrivena preprekom (1. i 2. slučaj na slici 2.5.e):

$$\delta_F = \hat{SO} + \hat{OR} - \hat{SR} \tag{2.5.26.}$$

— ako pravocrtna zvučna zraka *SR* nije zakrivena preprekom (3. slučaj na slici 2.5.e):

$$\delta_F = 2\hat{SA} + 2\hat{AR} - \hat{SO} - \hat{OR} - \hat{SR} \tag{2.5.27.}$$

pri čemu je *A* sjecište pravocrtne zvučne zrake *SR* i produljenja od prepreke koja uzrokuje difrakciju.

Za višestruke difrakcije pod povoljnim uvjetima:

— potrebno je odrediti konveksnu ljusku koju definiraju razni potencijalni bridovi difrakcije,

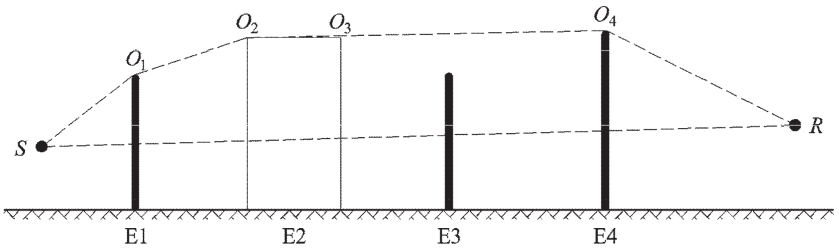
— ukloniti bridove difrakcije koji se ne nalaze na rubu konveksne ljuske,

— izračunati $\delta_F$ utemeljen na duljinama zakrivljene zvučne zrake tako što će se staza difrakcije razbiti u onoliko zakrivljenih segmenata koliko bude potrebno (vidjeti sliku 2.5.f)

$$\delta_F = \hat{SO}_1 + \sum_{i=1}^{i=n-1} O_i\hat{O}_{i+1} + \hat{O}_n R - \hat{SR} \tag{2.5.28.}$$

*Slika 2.5.f*

**Primjer izračuna razlike puta pod povoljnim uvjetima u slučaju višestrukih difrakcija**




U scenariju prikazanom na slici 2.5.f razlika puta je:

$$\delta_F = \hat{SO}_1 + O_1\hat{O}_2 + O_2\hat{O}_3 + O_3\hat{O}_4 + \hat{O}_4 R - \hat{SR} \tag{2.5.29.}$$

Izračun prigušenja $A_{dif}$

Prigušenje zbog difrakcije, u kojem su uzeti u obzir utjecaji tla na stranama od izvora i do prijemnika, izračunava se u skladu sa sljedećim općim jednadžbama:

▼M2

$$A_{dif} = \Delta_{dif(S,R)} + \Delta_{ground(S,O)} + \Delta_{ground(O_n,R)} \quad (2.5.30.)$$

pri čemu:

— $\Delta_{dif\ (S,R)}$ je prigušenje zbog difrakcije između izvora *S* i prijemnika *R*,

— $\Delta_{ground(S,O)}$ je prigušenje zbog utjecaja tla na strani od izvora, vrednovano difrakcijom na strani od izvora; pri čemu se podrazumijeva da je $O = O_1$ u slučaju višestrukih difrakcija kao na slici 2.5.f,

— $\Delta_{ground(O,R)}$ je prigušenje zbog učinka tla na strani do prijemnika, vrednovano difrakcijom na strani do prijemnika (vidjeti sljedeći pododjeljak o izračunu člana $\Delta_{ground(O,R)}$).

Izračun člana $\Delta_{ground(S,O)}$

$$\Delta_{ground(S,O)} = -20 \times \lg\left(1 + \left(10^{-A_{ground(S,O)}/20} - 1\right) \cdot 10^{-\left(\Delta_{dif(S',R)} - \Delta_{dif(S,R)}\right)/20}\right) \quad (2.5.31.)$$

pri čemu:

— $A_{ground(S,O)}$ je prigušenje zbog utjecaja tla između izvora *S* i točke difrakcije *O*. Taj se član izračunava prema navedenom u prethodnom pododjeljku o izračunima pod homogenim uvjetima i u prethodnom pododjeljku o izračunu pod povoljnim uvjetima, uz sljedeće hipoteze:

$z_r = z_{o,s}$,

— $G_{path}$ se izračunava između *S* i *O*,

— pod homogenim uvjetima: $\overline{G_w} = G'_{path}$ u jednadžbi (2.5.17.), $\overline{G_m} = G'_{path}$ u jednadžbi (2.5.18.),

— pod povoljnim uvjetima: $\overline{G_w} = G_{path}$ u jednadžbi (2.5.17.), $\overline{G_m} = G'_{path}$ u jednadžbi (2.5.20.),

— $\Delta_{dif(S',R)}$ je prigušenje zbog difrakcije između zrcalnog izvora *S′* i *R*, izračunano kao u prethodnom pododjeljku o čistoj difrakciji,

— $\Delta_{dif(S,R)}$ je prigušenje zbog difrakcije između *S* i *R,* izračunano kao u pododjeljku VI.4.4.b.

Izračun člana $\Delta_{ground(O,R)}$

$$\Delta_{ground(O,R)} = -20 \times \lg\left(1 + \left(10^{-A_{ground(O,R)}/20} - 1\right) \cdot 10^{-\left(\Delta_{dif(S,R')} - \Delta_{dif(S,R)}\right)/20}\right) \quad (2.5.32.)$$

pri čemu:

— $A_{ground\ (O,R)}$ je prigušenje zbog utjecaja tla između točke difrakcije *O* i prijemnika *R*. Taj se član izračunava prema navedenom u prethodnom pododjeljku o izračunu pod homogenim uvjetima i u prethodnom pododjeljku o izračunu pod povoljnim uvjetima, uz sljedeće hipoteze:

$z_s = z_{o,r}$

— $G_{path}$ se izračunava između *O* i *R*.

Ovdje se ne treba uzimati u obzir korekcija $G'_{path}$ jer se izvorom smatra točka difrakcije. Stoga se $G_{path}$ upotrebljava u izračunu utjecaja tla, uključujući član donje međe jednadžbe koji postaje $-3(1 - G_{path})$,

▼M2

— pod homogenim uvjetima, $\overline{G}_w = G_{path}$ u jednadžbi (2.5.17.) i $\overline{G}_m = G_{path}$ u jednadžbi (2.5.18.),

— pod povoljnim uvjetima, $\overline{G}_w = G_{path}$ u jednadžbi (2.5.17.) i $\overline{G}_m = G_{path}$ u jednadžbi (2.5.20.),

— $\Delta_{dif(S,R')}$ je prigušenje zbog difrakcije između $S$ i prijemnika vala iz zrcalnog izvora $R'$, izračunano kao u prethodnom odjeljku o čistoj difrakciji,

— $\Delta_{dif(S,R)}$ je prigušenje zbog difrakcije između $S$ i $R$, izračunano kao u prethodnom pododjeljku o čistoj difrakciji.

Scenariji s vertikalnim bridovima

Jednadžba (2.5.21.) može se upotrijebiti za izračun difrakcija na vertikalnim bridovima (lateralne difrakcije) u slučaju buke industrijskih pogona i postrojenja. U tom se slučaju uzima $A_{dif} = \Delta_{dif(S,R)}$ i zadržava se član $A_{ground}$. Dodatno, $A_{atm}$ i $A_{ground}$ se izračunavaju iz ukupne duljine puta širenja. $A_{div}$ se i dalje izračunava iz izravne udaljenosti $d$. Jednadžbe (2.5.8.) i (2.5.6.) postaju:

$$A_H = A_{div} + A_{atm}^{path} + A_{ground,H}^{path} + \Delta_{dif,H(S,R)} \quad (2.5.33.)$$

$$A_F = A_{div} + A_{atm}^{path} + A_{ground,F}^{path} + \Delta_{dif,H(S,R)} \quad (2.5.34.)$$

$\Delta_{dif}$ se svakako upotrebljava pod homogenim uvjetima u jednadžbi (2.5.34).

Refleksije na vertikalnim preprekama

*Apsorpcijsko prigušenje*

Refleksije na okomitim preprekama rješavaju se zrcalnim izvorima. Refleksije na fasadama zgrada i bukobranima se dakle tako rješavaju.

Prepreka se smatra vertikalnom ako je nagib u odnosu na vertikalu manji od 15°.

Kad se radi o refleksijama na predmetima čiji je nagib u odnosu na vertikalu veći od ili jednak 15°, ti se predmeti ne uzimaju u obzir.

Prepreke kod kojih je barem jedna dimenzija manja od 0,5 m ignoriraju se u izračunu refleksije, osim za posebne konfiguracije [1].

Imajte u vidu da se ovdje ne rješavaju refleksije na tlu. One se uzimaju u obzir u izračunima prigušenja zbog rubnih uvjeta (tlo, difrakcija).

Ako je $L_{WS}$ razina snage izvora $S$ i $\alpha_r$ koeficijent apsorpcije prepreke, kako je definirano u normi EN 1793-1:2013, tada je razina snage zrcalne slike $S'$ jednaka:

$$L_{WS'} = L_{WS} + 10 \cdot \lg(1 - \alpha_r) = L_{WS} + A_{refl} \quad (2.5.35.)$$

pri čemu je $0 \leq \alpha_r < 1$.

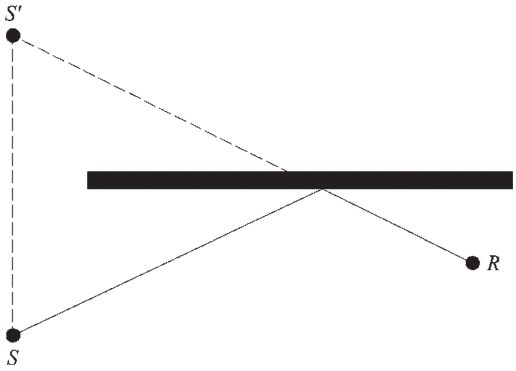
[1] Mreža manjih prepreka u ravnini i u pravilnim razmacima predstavlja primjer posebne konfiguracije.

▼M2

Širenje prethodno opisanih prigušenja zatim se primjenjuje na taj put (zrcalna slika, prijemnik) kao za izravan put.

*Slika 2.5.g*

**Zrcalni odraz na prepreci koji se rješava metodom zrcalnih izvora (S: izvor, S′: zrcalni izvor, R: prijemnik)**




*Retrodifrakcijsko prigušenje*

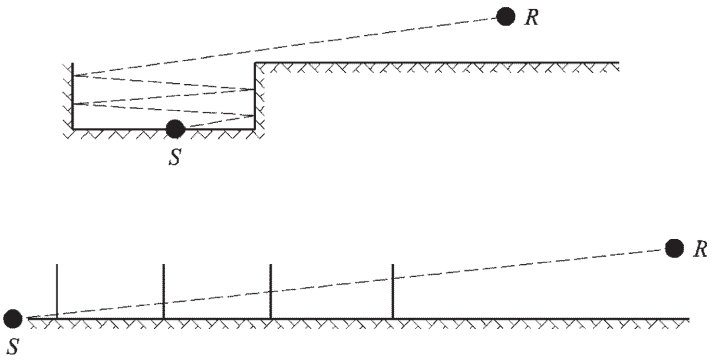
Pri geometrijskom istraživanju zvučnih putova pri refleksiji na vertikalnoj prepreci (zid, zgrada) položaj udara zrake u odnosu na gornji brid prepreke određuje više ili manje značajan udio energije koja se efektivno reflektira. Taj gubitak akustičke energije kad se zraka reflektira zove se retrodifrakcijsko prigušenje.

U slučaju mogućih višestrukih refleksija između dva vertikalna zida u obzir se uzima barem prva refleksija.

U slučaju rova (vidjeti na primjer sliku 2.5.h) retrodifrakcijsko prigušenje primjenjuje se na svaku refleksiju na potpornim zidovima.

*Slika 2.5.h*

**Reflektirana zvučna zraka 4. reda u rovu: stvarni poprečni presjek (gore), razvijeni poprečni presjek (dolje)**




Na ovom prikazu zvučna zraka dolazi do prijemnika „uzastopnim prolascima kroz” potporne zidove rova koji se time mogu usporediti s otvorima.

Pri izračunu širenja kroz otvor, zvučno polje prijemnika je zbroj izravnog polja i polja difrakcije zbog rubova otvora. To polje difrakcije osigurava kontinuitet prelaska između slobodnog i zasjenjenog područja. Kad se

▼M2

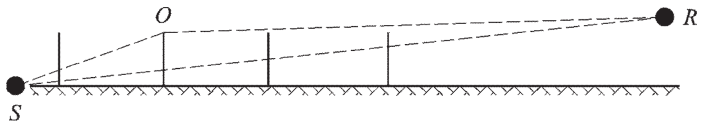
zraka približi bridu otvora, prigušuje se izravno polje. Izračun je identičan izračunu prigušenja zbog prepreke na slobodnom području.

Razlika puta $\delta'$ povezana sa svakom retrodifrakcijom suprotna je od razlike puta između $S$ i $R$ u odnosu na svaki gornji brid $O$ i to u prikazu u skladu s primijenjenim poprečnim presjekom (vidjeti sliku 2.5.i).

$$\delta' = -(SO + OR - SR) \qquad (2.5.36.)$$

*Slika 2.5.i*

**Razlika puta za drugu refleksiju**




Znak „minus" jednadžbe *(2.5.36.)* znači da se smatra da je prijemnik ovdje u slobodnom području.

Retrodifrakcijsko prigušenje $\Delta_{retrodif}$ dobiva se jednadžbom *(2.5.37.)* koja je slična jednadžbi *(2.5.21.)* s prerađenim zapisima.

$$\Delta_{retrodif} = \begin{cases} 10C_h \cdot \lg\left(3 + \frac{40}{\lambda}\delta'\right) & ako\ \frac{40}{\lambda}\delta' \geq -2 \\ 0 & otherwise \end{cases} \qquad (2.5.37.)$$

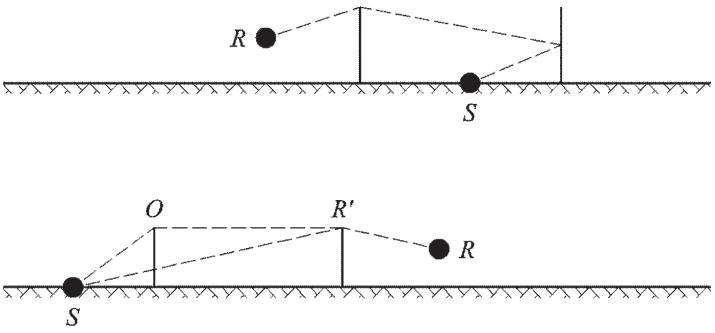
To se prigušenje primjenjuje na izravnu zraku svaki put kad ona „prođe kroz" zid ili zgradu (odrazi se od zida ili zgrade). Razina snage zrcalnog izvora $S'$ stoga postaje:

$$L_{W'} = L_W + 10 \times \lg(1 - \alpha_r) - \Delta_{retrodif} \qquad (2.5.38.)$$

U složenim konfiguracijama širenja mogu postojati difrakcije između refleksija ili između prijemnika i refleksija. U tom se slučaju retrodifrakcija na zidovima procjenjuje razmatranjem puta između izvora i prve difrakcijske točke R′ (koja se stoga smatra prijemnikom u jednadžbi *(2.5.36.)*). Načelo je prikazano na slici 2.5.j.

*Slika 2.5.j*

**Razlika puta u prisutnosti difrakcije: stvarni poprečni presjek (gore), razvijeni poprečni presjek (dolje)**




U slučaju višestrukih refleksija, dodaju se refleksije zbog svake pojedine refleksije.

▼M2

2.6. **Opće odredbe – buka zrakoplova**

2.6.1. *Definicije i simboli*

Ovdje su opisani neki važni *termini* i njihovo značenje u kontekstu ovog dokumenta. Popis nije potpun; nabrojeni su samo izrazi i kratice koje se često koriste. Ostali izrazi opisani su na mjestima gdje se prvi put pojavljuju u tekstu.

Glavni matematički *simboli* koji se koriste u jednadžbama u tekstu navedeni su nakon popisa termina. Ostali simboli koji se koriste povremeno u tekstu i prilozima definirani su tamo gdje ih se koristi.

Čitatelja se podsjeća na to da su u ovom dokumentu izrazi zvuk i buka međusobno zamjenjivi. Iako riječ *buka* ima subjektivne konotacije – akustičari je obično definiraju kao „neželjeni zvuk” – u kontekstu kontrole buke zrakoplova obično se podrazumijeva da ta riječ znači jednostavno zvuk – energija koju zrakom prenose zvučni valovi. Simbolom → označava se upućivanje na druge termine s popisa.

T e r m i n i

| | |
|---|---|
| AIP | Zbornik zrakoplovnih informacija |
| Konfiguracija zrakoplova | Položaj pretkrilaca, zakrilaca i stajnog trapa. |
| Kretanje zrakoplova | Dolazak, odlazak ili drugo kretanje zrakoplova koje utječe na razinu buke oko aerodroma. |
| Podaci o buci i performansama zrakoplova | Podaci o akustičkim svojstvima i performansama različitih tipova zrakoplova, koji su potrebni za proces modeliranja. Ti podaci uključuju → *odnose buka-snaga-udaljenost (NPD)* i podatke koji su potrebni za izračun potiska/snage motora kao funkcije → *letne konfiguracije*. Obično se koriste podaci koje je dostavio proizvođač zrakoplova, a kad to nije moguće, podaci se ponekad dobivaju iz drugih izvora. Kad nikakvi podaci nisu dostupni, obično se uzimaju prilagođeni podaci sličnog zrakoplova – to se naziva *supstitucijom*. |
| Visina | Nadmorska visina. |
| Baza podataka ANP | Baza podataka o buci i performansama zrakoplova koja je uključena u Dodatak I. |

▼M2

| | |
|---|---|
| A-vrednovana razina zvuka, $L_A$ | Ljestvica osnovne razine buke/zvuka koja se koristi za mjerenje okolišnog zvuka uključujući zvuk zrakoplova i na kojoj se temelji većina mjerenja kontura buke. |
| Tlocrt glavne putanje | Reprezentativna ili nazivna putanja ocrtana na zemlji, kojom se definira centar „snopa" sličnih putanja. |
| Osnovna razina zvučnog događaja | Razina zvučnog događaja kako je očitana iz baze podataka NPD. |
| Otpuštanje kočnica | → *Početak kretanja* |
| Korigirani neto potisak | Pri zadanom režimu rada motora (npr. *EPR* ili $N_1$) neto potisak opada u skladu s gustoćom zraka, dakle s visinom leta; korigirani neto potisak je vrijednost potiska na razini mora. |
| Kumulativna razina zvuka/buke | Izmjerena razina primljene buke u decibelima tijekom određenog vremenskog razdoblja, na točki blizu aerodroma, od avionskog prometa u normalnim uvjetima rada i na normalnim putanjama. Izračunava se evidentiranjem razine događaja zvuka/buke na tom mjestu. |
| Zbroj ili prosjek decibela | U nekim slučajevima navode se kao „energetske" ili „logaritamske" (za razliku od aritmetičkih) vrijednosti. Koristi se kad je prikladno zbrojiti ili izračunati prosjek energije zvuka; npr. *ukupno u decibelima* $= 10 \cdot \lg \sum 10^{L_i/10}$ |
| Udio energije, $F$ | Omjer zvučne energije koja je primljena na segmentu u odnosu na energiju koja je primljena na beskonačnoj putanji leta. |
| Režim rada motora | Vrijednost → *parametra snage povezanog s bukom* koji se koristi za određivanje emisije zvuka prema bazi podataka NPD. |
| Ekvivalentna (kontinuirana) razina zvuka, $L_{eq}$ | Mjera za dugoročni zvuk. Razina hipotetskog trajnog zvuka čija je energija, izmjerena u određenom vremenskom razdoblju, ekvivalentna energiji trenutačnog promjenjivog zvuka. |

▼**M2**

| | |
|---|---|
| Razina zvučnog događaja | Ukupnost zvuka (ili buke) koja je registrirana kao posljedica prolaska aviona, izmjerena u decibelima → razina izloženosti zvuku |
| Letna konfiguracija | = → *Konfiguracija zrakoplova* + → *Parametri leta* |
| Parametri leta | Režim rada motora, brzina, bočni nagib i težina. |
| Putanja leta | Putanja aviona u zraku, definirana s tri dimenzije, obično u odnosu na mjesto početka zaleta ili prag sletne staze. |
| Segment putanje leta | Dio putanje leta zrakoplova koji se za potrebe modeliranja buke predstavlja ravnom linijom ograničene duljine. |
| Letna procedura | Slijed operativnih koraka koji posada zrakoplova ili sustav kontrole leta prati: izražava se promjenama letne konfiguracije kao funkcija udaljenosti na tlocrtu putanje. |
| Profil leta | Promjena visine aviona duž putanje (ponekad uključuje i promjene → *letne konfiguracije*) – koja se opisuje kao skup → *točaka na profilu* |
| Ravnina tla | (ili nazivna ravnina tla) horizontalna ravnina na površini tla na kojoj se nalazi referentna točka aerodroma prema kojoj se obično računaju konture. |
| Brzina po horizontali | Brzina zrakoplova u odnosu na fiksnu točku na tlu. |
| Tlocrt putanje | Vertikalna projekcija putanje leta na ravninu tla. |

▼**M2**

| | |
|---|---|
| Visina | Udaljenost po vertikali između zrakoplova i → *ravnine tla* |
| Integrirana razina zvuka | Drugi termin je → *razina izloženosti buci jednokratnog događaja*. |
| ISA | Međunarodna standardna atmosfera – kako je definira ICAO. Ovim se definiraju varijacije temperature, tlaka i gustoće zraka prema nadmorskoj visini. Koristi se za normalizaciju rezultata izračuna u dizajnu zrakoplova i analizu testnih podataka. |
| Lateralno prigušenje | Povećano prigušenje zvuka s udaljenošću koje uzrokuje, izravno ili neizravno, površina tla. Značajno je pri malim elevacijskim kutovima (zrakoplova u odnosu na udaljenost od površine tla) |
| Najveća razina zvuka/buke | Najveća razina zvuka dosegnuta tijekom zvučnog događaja |
| Srednja razina mora, *MSL* | Standardna nulta visina zemaljske površine referentna za → ISA-u. |
| Neto potisak | Potisna sila koju motor prenosi na zmaj zrakoplova. |
| Buka | Buka se definira kao neželjeni zvuk. Međutim, mjerama kao što su *A-vrednovana razina zvuka* ($L_A$) i *efektivna percipirana razina buke* (EPNL) razina zvuka se zapravo preračunava u razinu buke. Unatoč neodređenosti koja iz toga proizlazi, termini zvuk i buka ponekad se naizmjenično koriste u ovom dokumentu, kao i drugdje – posebno u kolokaciji s riječju *razina*. |
| Kontura buke | Crta oko zračne luke koja povezuje točke jednake kumulativne razine ili indeksa buke zrakoplova |

▼M2

| | |
|---|---|
| Utjecaj buke | Neželjeni utjecaji buke na one koji su joj izloženi; važno je što se podrazumijeva da su izmjereni i izračunani podaci za buku indikatori utjecaja buke |
| Indeks buke | Mjera dugoročnog ili kumulativnog zvuka koji je u korelaciji s utjecajem zvuka na ljude (tj. smatra se da je pokazatelj utjecaja zvuka na ljude). Uz magnitudu zvuka može uzimati u obzir i druge faktore (naročito doba dana). Primjer toga je razina indikatora buke za dan-večer-noć $L_{DEN}$. |
| Razina buke | Izmjerena razina zvuka u decibelima na ljestvici glasnoće ili bučnosti. Za okolišnu buku koju uzrokuju zrakoplovi obično se koriste dvije ljestvice: A-vrednovana razina zvuka i percipirana razina buke U tim se ljestvicama primjenjuju različiti ponderi za zvuk različitih frekvencija – čime se oponaša ljudska percepcija. |
| Mjera buke | Izraz koji se koristi za opisivanje bilo koje izmjerene količine buke na položaju prijemnika, bez obzira radi li se o jednokratnom događaju ili ukupnosti buke u dužem vremenskom razdoblju. Dvije se mjere obično koriste za jedan zvučni događaj: *maksimalna razina* koja je dosegnuta tijekom događaja i *razina izloženosti zvuku* kao mjera ukupne zvučne energije određena uključivanjem vremenske komponente. |
| NPD odnosi/podaci (buka-snaga-udaljenost) | Razine zvučnih događaja u tablici kao funkcija udaljenosti ispod aviona u pravocrtnom, horizontalnom letu referentnom brzinom u referentnoj atmosferi, za svaki zadani → *režim rada motora.* Podaci o utjecajima prigušenja zvuka zbog kružnog širenja vala (slabljenje s kvadratom udaljenosti) i apsorpcije u atmosferi. Udaljenost se definira okomito na putanju zrakoplova i os po širini zrakoplova (tj. okomito ispod zrakoplova u letu bez bočnog nagiba). |

▼**M2**

| | |
|---|---|
| Parametar snage motora povezan s bukom | Parametar kojim se opisuje ili koji pokazuje potisnu snagu koju proizvodi motor zrakoplova i s kojim se može logički povezati emisija akustičke energije; pod njim se obično podrazumijeva → *korigirani neto potisak*. U tekstu se često navodi pod nazivom „snaga” ili „režim rada motora”. |
| Značenje za buku | Doprinos zvuku s određenog segmenta putanje leta je „značajan za buku” ako primjetno utječe na razinu zvučnog događaja. Zanemarivanjem segmenata koji nisu značajni za buku znatno se olakšava računalni izračun |
| Promatrač | → *Prijemnik* |
| Proceduralni koraci | Propisani postupak profil leta – koraci uključuju promjene brzine i/ili visine. |
| Točka profila | Visina krajnje točke na segmentu putanje – na okomitoj ravnini iznad tlocrta putanje |
| Prijemnik | Primatelj buke koja dolazi s izvora; uglavnom na točki na tlu ili blizu nje |
| Referentna atmosfera | Tablica vrijednosti apsorpcije zvuka koja se koristi za standardiziranje podataka NPD (vidjeti **Dodatak D**) |
| Referentni dan | Skup atmosferskih uvjeta na temelju kojih se standardiziraju podaci za buku zrakoplova (ANP) |
| Referentno razdoblje | Nazivni vremenski interval koji se koristi za standardiziranje mjerenja jednokratnog izlaganja zvuku; 1 sekunda za → *razinu izloženosti buci (SEL)*. |
| Referentna brzina | Brzina aviona po horizontali za koju se računaju podaci *NPD → SEL* |
| *SEL* | → *Razina izloženosti buci* |
| Razina izloženosti buci jednokratnog događaja | Razina zvuka koju bi događaj imao kad bi se sva njegova zvučna energija ujednačila i skupila u standardni vremenski interval koji se naziva → *referentno trajanje* |

▼**M2**

| | |
|---|---|
| Meka površina | Zemaljska površina koja je akustički „mekana”; obično se radi o travnatim površinama koje okružuju većinu aerodroma. Akustički „tvrde”, tj. jako reflektirajuće zemaljske, površine su primjerice beton i voda. Ovdje opisana metodologija kojom se mapiraju konture buke odnosi se na uvjete na mekim površinama. |
| Zvuk | Energija koja se prenosi zrakom longitudinalnim valovima koje registrira ljudsko uho |
| Prigušenje buke | Smanjenje intenziteta zvuka s udaljenošću na putu širenja zvučnog vala. Kad je riječ o buci zrakoplova, među uzrocima prigušenja nalaze se sferno širenje vala, apsorpcija u atmosferi i → *lateralno prigušenje* |
| Izloženost zvuku | Ukupna količina zvučne energije koja je primljena u određenom vremenskom period (imisija zvučne energije) |
| Razina izloženosti buci, $L_{AE}$ | (Kratica SEL) Standardna mjera prema ISO 1996-1 ili ISO 3891 = A-vrednovana razina izloženosti buci jednokratnog događaja s referentnim razdobljem od jedne sekunde. |
| Intenzitet zvuka | Razina zvuka koja je izmjerena u određenoj točki, povezana s akustičkom energijom (pokazatelj su izmjerene razine zvuka) |
| Razina zvuka | Količina zvučne energije izražena u decibelima. Primljeni zvuk mjeri se uz „frekvencijsko vrednovanje” ili bez njega; razine izmjerene uz vrednovanje obično se nazivaju → *razine buke* |
| Duljina dionice/puta | Udaljenost do prvog odredišta zrakoplova u odlasku; pokazatelj je težine zrakoplova |
| Početak zaleta, *SOR* | Točka na uzletno-sletnoj stazi odakle zrakoplov u odlasku započinje postupak uzlijetanja. Drugi naziv je „otpuštanje kočnica”. |
| Stvarna brzina | Točna brzina zrakoplova u odnosu na zrak (brzina po horizontali bez vjetra) |

▼M2

| | |
|---|---|
| Vrednovana ekvivalentna razina zvuka, $L_{eq,W}$ | Modificirana verzija $L_{eq}$ u kojoj se za buku primjenjuju različiti ponderi ovisno o dobu dana (obično za dan, večer i noć) |

Simboli

| | |
|---|---|
| D | Najkraća udaljenost od promatračke točke do segmenta putanje |
| $d_p$ | Udaljenost (pod pravim kutom u odnosu na putanju) od promatračke točke do putanje (izravna udaljenost) |
| $d_l$ | Prilagođena udaljenost |
| $F_n$ | Stvarni neto potisak po motoru |
| $F_n/\delta$ | Korigirani neto potisak po motoru |
| H | Visina zrakoplova (nadmorska visina) |
| L | Razina zvučnog događaja (nedefinirana ljestvica) |
| L (t) | Razina zvuka u vremenu *t* (nedefinirana ljestvica) |
| $L_A$, $L_A(t)$ | A-vrednovana razina zvučnog tlaka (u vremenu *t*) izmjerena na zvučnoj skali za *dugi* zvuk |
| $L_{AE}$ | (SEL) Razina izlaganja buci |
| $L_{Amax}$ | Maksimalna vrijednost $L_A(t)$ tijekom događaja |
| $L_E$ | Razina izloženosti buci jednokratnog događaja |
| $L_{E\infty}$ | Razina izloženosti buci jednokratnog događaja prema bazi podataka NPD |
| $L_{EPN}$ | Efektivna percipirana razina buke |
| $L_{eq}$ | Ekvivalentna (kontinuirana) razina zvuka |
| $L_{max}$ | Maksimalna vrijednost *L(t)* tijekom događaja |
| $L_{max,seg}$ | Maksimalna razina (buke) koja se stvara na segmentu |
| $\ell$ | Udaljenost pod pravim kutom od promatračke točke do tlocrta putanje |
| Lg | Logaritam s bazom 10 |
| N | Broj segmenata ili podsegmenata |
| NAT | Broj događaja kad $L_{max}$ premašuje određeni prag |
| P | Parametar snage u varijabli *L(P,d)* NPD-a |
| $P_{seg}$ | Parametar snage relevantan za određeni segment |
| q | Udaljenost od početka segmenta do najbliže točke prilaženja |
| R | Radijus zaokreta |
| S | Standardna devijacija |

▼M2

| | |
|---|---|
| s | Udaljenost duž tlocrta putanje |
| $s_{RWY}$ | Dužina uzletno-sletne staze |
| t | Vrijeme |
| $t_e$ | Stvarno trajanje jednokratnog zvučnog događaja |
| $t_0$ | Referentno razdoblje za integriranu razinu zvuka |
| V | Brzina po horizontali |
| $V_{seg}$ | Ekvivalentna brzina po horizontali na segmentu |
| $V_{ref}$ | Referentna brzina po horizontali za koju se definiraju podaci NPD |
| x,y,z | Lokalne koordinate |
| x′,y′,z′ | Koordinate zrakoplova |
| $X_{ARP}, Y_{ARP}, Z_{ARP}$ | Zemljopisne koordinate referentne točke na aerodromu |
| z | Visina zrakoplova iznad ravnine tla/referentne točke na aerodromu |
| α | Parametar koji se koristi za izračunavanje korekcije za konačni segment $\Delta_F$ |
| β | Elevacijski kut zrakoplova u odnosu na ravninu tla |
| ε | Kut bočnog nagiba zrakoplova |
| γ | Kut penjanja/snižavanja |
| φ | Depresijski kut (parametar za lateralnu usmjerenost) |
| l | Ukupna duljina segmenta |
| ψ | Kut između smjera kretanja zrakoplova i linije od zrakoplova do promatrača |
| ξ | Smjer kretanja zrakoplova, mjeren u odnosu na magnetski sjever u smjeru kazaljke na satu |
| $\Lambda(\beta,\ell)$ | Lateralno prigušenje od zraka do tla |
| $\Lambda(\beta)$ | Lateralno prigušenje od zraka do tla na velikoj udaljenosti |
| $\Gamma(\ell)$ | Faktor udaljenosti za lateralno prigušenje |
| Δ | Promjena vrijednosti veličine ili korekcija (kako je u tekstu naznačeno) |
| $\Delta_F$ | Korekcija za konačni segment |
| $\Delta_I$ | Korekcija za položaj motora |
| $\Delta_I$ | Ponder za *i*-to doba dana, dB |
| $\Delta_{rev}$ | Negativni potisak |

▼**M2**

| | |
|---|---|
| $\Delta_{SOR}$ | Korekcija za početak zaleta |
| $\Delta_V$ | Korekcija za trajanje (korekcija za brzinu) |

Indeksi

| | |
|---|---|
| 1, 2 | Indeksi koji označavaju početne i krajnje vrijednosti u intervalu ili segmentu |
| *E* | Izlaganje |
| *i* | Indeks za tip zrakoplova/zbroj kategorija |
| *j* | Indeks za zbroj tlocrta putanje/pomoćnih putanja |
| *k* | Indeks za zbrajanje segmenata |
| *max* | Maksimum |
| *ref* | Referentna vrijednost |
| *seg* | Specifična vrijednost za segment |
| *SOR* | Povezano s početkom kretanja |
| *TO* | Uzlijetanje |

2.6.2. *Kvalitativni okvir*

Točnost ulaznih vrijednosti

Sve ulazne vrijednosti koje utječu na razinu emisije izvora, uključujući položaj izvora, određuju se barem s točnosti koja odgovara nesigurnosti od ± 2dB(A) u razini emisije izvora (uz uvjet da su svi ostali parametri nepromijenjeni).

Upotreba unaprijed zadanih vrijednosti

Pri primjeni metode ulazni podaci moraju odražavati stvarno korištenje. Općenito se ne smije oslanjati na unaprijed zadane ulazne vrijednosti ili pretpostavke. Konkretno, putanje leta do kojih se došlo korištenjem podataka s radara moraju se koristiti kad god postoje i kad su podaci dovoljno kvalitetni. Upotreba unaprijed zadanih vrijednosti i pretpostavki prihvatljiva je, primjerice, za korištenje za modelirane rute umjesto putanja dobivenih korištenjem podataka s radara ako je prikupljanje stvarnih podataka povezano s nerazmjerno visokim troškovima.

Kvaliteta softvera koji se koristi za izračune

Softver koji se koristi za izračune mora biti dokazano sukladan s ovdje opisanim metodama, a to se dokazuje usporedbom rezultata s probnim slučajevima.

▼M2

2.7. **Buka zrakoplova**

2.7.1. *Cilj i područje primjene dokumenta*

Karte kontura koriste se za označavanje dosega i veličine utjecaja buke zrakoplova oko zračnih luka, a taj se utjecaj iskazuje za to namijenjenim mjerama ili indeksima. Kontura je linija na kojoj je vrijednost indeksa konstantna. Vrijednost indeksa je zbroj, izračunat na poseban način, svih pojedinačnih događaja buke u određenom vremenskom periodu, koji se obično mjeri u danima ili mjesecima.

Buka na točkama na tlu, koju uzrokuju zrakoplovi u dolasku ili odlasku s aerodroma u blizini, ovisi o mnogim faktorima. Posebno su važni faktori tipovi zrakoplova i njihove pogonske skupine, snaga, položaj zakrilaca i postupci koji se tiču kontrole brzine za same zrakoplove; udaljenosti od predmetnih točaka do različitih putanja leta te lokalni topografski i vremenski uvjeti. Zračnim se lukama obično koriste različiti tipovi aviona, s različitim letnim procedurama i operativnim masama.

Konture se izvode matematičkim izračunom vanjskih granica indeksa lokalne buke. U ovom se dokumentu detaljno objašnjava kako izračunati razine zvučnog događaja pojedinog zrakoplova na jednoj promatračkoj točki, za određeni prelet zrakoplova ili vrstu preleta, na temelju kojih se nakon toga izračunava prosjeke ili se te vrijednosti *akumulira* kako bi se dobilo vrijednosti indeksa za tu točku. Potrebne vanjske granice indeksa izračunavaju se jednostavnim ponavljanjem izračuna po potrebi za različita kretanja zrakoplova, a učinkovitost se povećava isključivanjem događaja koji nisu „značajni za buku” (tj. koji ne doprinose bitno ukupnoj buci).

Ako aktivnosti povezane s radom zračne luke koje stvaraju buku ne doprinose primjetno ukupnoj izloženosti stanovništva buci zrakoplova i s njom povezanim konturama buke, može ih se zanemariti. Te aktivnosti uključuju: helikoptere, taksiranje, isprobavanje motora i upotrebu pomoćnih generatora energije. To ne znači nužno da je njihov utjecaj beznačajan pa se u slučaju takvih uvjeta procjena izvora buke može se provoditi kako je opisano u stavku 2.7.21. i 2.7.22.

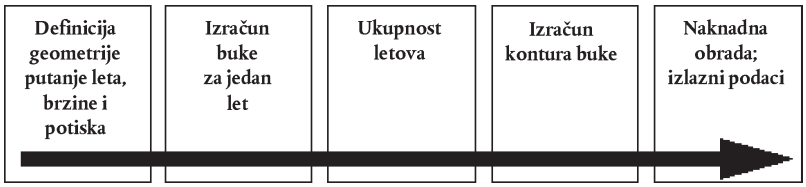
2.7.2. *Plan dokumenta*

Postupak ocrtavanja konture buke prikazan je na **slici 2.7.a**. Konture se sastavljaju za različite svrhe pa o tome obično ovise zahtjevi za izvore i preliminarnu obradu ulaznih podataka. Konture kojima se prikazuje prošli utjecaj buke mogu se generirati iz zabilježenih podataka o operacijama zrakoplova – njihovog kretanja, težine, putanja leta koje se izmjerene na radarima itd. Konture koje se koriste za planiranje više se oslanjaju na predviđanja prometa i putanja leta kao i performansi i zvučnih karakteristika budućih zrakoplova.

▼M2

*Slika 2.7.a*

**Postupak ocrtavanja kontura buke**




Bez obzira na izvor podataka o letu, svako različito kretanje zrakoplova, dolazak ili odlazak, definira se geometrijom njegove putanje leta i emisijom zvuka zrakoplova koja nastaje tijekom njegova kretanja tom putanjom (kretanja koja su suštinski jednaka gledano prema buci i putanji leta dodaju se jednostavnim množenjem). Emisija buke ovisi o osobinama zrakoplova – uglavnom o snazi njegovih motora. Preporučena metodologija uključuje dijeljenje putanje leta na segmente. U **odjeljcima 2.7.3. do 2.7.6.** prikazuju se elementi metodologije i objašnjava princip segmentacije na kojem se metodologija temelji; zabilježena razina događaja buke je zbroj doprinosa sa svih segmenata putanje leta koji su „značajni za buku", a svaki od njih može se izračunati neovisno od ostalih. U **odjeljcima 2.7.3. do 2.7.6.** također se prikazuju zahtjevi za ulazne podatke koji su potrebni za ocrtavanje kontura buke. Detaljne specifikacije operativnih podataka koji su potrebni iznesene su u **Dodatku A**.

U **odjeljcima 2.7.7. do 2.7.13.** opisano je kako se izračunavaju segmenti putanje leta na temelju preliminarno obrađenih ulaznih podataka. To uključuje analizu performansi leta zrakoplova, za koje su jednadžbe detaljno opisane u **Dodatku B**. Letne putanje mogu se znatno razlikovati – zrakoplovi koji slijede bilo koju rutu raspršeni su u širokom rasponu zbog razlika u atmosferskim uvjetima, težinama zrakoplova i operativnim procedurama, ograničenjima kontrole zračnog prometa itd. To se uzima u obzir statističkim opisivanjem svake putanje leta kao središnje ili „glavne" putanje uz koju postoji skup pomoćnih putanja. I to je objašnjeno u **odjeljcima 2.7.7. do 2.7.13**. s upućivanjem na dodatne informacije u **Dodatku C**.

**U odjeljcima 2.7.14. do 2.7.19.** navedeni su koraci koje treba slijediti u izračunu razine buke za jedan događaj buke koja se mjeri na tlu i koju uzrokuje jedan prelet zrakoplova. U **Dodatku D** opisuje se ponovni izračun podataka NPD za uvjete koji nisu referentni. U **Dodatku E** objašnjava se akustički dipol kao izvor zvuka za model kojim se definira zračenje zvuka s konačnih segmenata putanje leta.

Za primjene odnosa iz modela iz poglavlja 3. i 4. potrebni su, osim relevantnih putanja leta, odgovarajući podaci o buci i performansama predmetnog zrakoplova.

Ključni izračun je određivanje razine događaja za jedno kretanje zrakoplova promatrano s jedne promatračke točke. Taj se izračun mora ponoviti za svako kretanje zrakoplova na svakoj od unaprijed određenih točaka koje obuhvaćaju očekivane konture buke. Na svakoj se točki razine događaja na neki način zbrajaju ili im se izračunava prosjek, s ciljem izračuna „kumulativne razine" ili vrijednosti indeksa buke. Taj je dio procesa opisan u **odjeljcima 2.7.20. i od 2.7.23. do 2.7.25**.

▼M2

U **odjeljcima od 2.7.26. do 2.7.28.** iznosi se kratak pregled mogućnosti i zahtjeva za pripisivanje kontura buke određenim vrijednostima indeksa buke. Time se daju smjernice za ocrtavanje kontura i naknadnu obradu.

2.7.3. *Koncept segmentacije*

Za svaki određeni zrakoplov u bazi podataka zabilježeni su osnovni NPD (buka-snaga-udaljenost) odnosi. Njima se kao funkcija udaljenosti određuju primljene razine zvučnog događaja izravno ispod zrakoplova ([1]) – maksimalne i integrirane s vremenom – za zrakoplov koji leti horizontalno ujednačenom *referentnom brzinom* u određenim *referentnim atmosferskim uvjetima* i određenoj letnoj konfiguraciji. Za svrhe modeliranja buke najvažniji element, potisna snaga, predstavlja se *parametrom snage povezanim s bukom*; parametar koji se obično koristi je *korigirani neto potisak*. Osnovne razine događaja preuzete iz baze podataka korigiraju se za: prvo, razlike između stvarnih (tj. modeliranih) i referentnih atmosferskih uvjeta i (kad se radi o razinama izloženosti buci) brzinu zrakoplova te, drugo, za točke prijema koje nisu izravno ispod zrakoplova, razlike između buke koja zrači prema dolje i bočno zračene buke. Ovo posljednje potrebno je zbog *lateralne usmjerenosti* (efekti zbog položaja motora) i *lateralnog prigušenja*. Međutim, tako korigirane razine događaja buke i dalje se primjenjuju samo na ukupnu buku zrakoplova koji leti horizontalno ujednačenom brzinom.

*Segmentacija* je postupak u kojem se za modeliranje kontura buke prilagođavaju NPD i lateralni podaci s beskonačne putanje kako bi se izračunala buka koja dolazi do prijemnika s putanje na kojoj podaci nisu uvijek jednaki, tj. putanje na kojoj lete zrakoplovi u različitoj letnoj konfiguraciji. Za potrebe izračuna razine zvučnog događaja u jednom preletu zrakoplova putanja leta se predstavlja neprekidnim nizom pravocrtnih segmenata, a svaki od njih može se smatrati ograničenim dijelom beskonačne putanje za koju su poznati NPD i lateralne korekcije. Maksimalna razina događaja buke je jednostavno ona sa segmenta na kojem je izmjerena najveća vrijednost. Vremenski integrirana razina cijelog događaja buke izračunava se zbrajanjem buke koja je primljena s dovoljnog broja segmenata, tj. onih s kojih se značajno doprinosi ukupnom događaju buke.

Metoda kojom se procjenjuje koliko se s jednog konačnog segmenta doprinosi ukupnoj razini događaja buke u potpunosti je empirijska. *Udio energije F* – buka na segmentu koja se izražava kao udio buke s ukupne beskonačne putanje – opisuje se relativno jednostavnim izrazom koji može uzimati u obzir longitudinalnu usmjerenost buke zrakoplova i „pogled” s prijemnika na segment. Jedan od razloga zašto je jednostavna empirijska metoda općenito adekvatna je taj što većina buke u pravilu dolazi s najbližeg, obično susjednog, segmenta unutar kojeg se (ne na jednom od njegovih krajeva) nalazi *najbliža točka približavanja* (CPA) prijemniku. To znači da procjene buke sa segmenata koji nisu susjedni mogu biti progresivno približne što su dalje od prijemnika, a da to nema značajnog utjecaja na točnost.

([1]) Zapravo ispod zrakoplova pod kutom od 90 stupnjeva na os po širini zrakoplova u smjeru kretanja zrakoplova, odnosno okomito ispod zrakoplova u pravocrtnom letu (tj. bez bočnog nagiba).

▼M2

2.7.4. *Putanje leta: Projekcije putanja na zemljinu površinu i profili leta*

U kontekstu modeliranja, *putanja leta* je potpuni opis kretanja zrakoplova u prostoru i vremenu ([1]). Putanja i potisak (ili drugi parametar značajan za buku) podaci su koji su potrebni za izračun buke koja se stvara. *Tlocrt putanje* je okomita projekcija letne putanje na ravno tlo. Taj se podatak kombinira s *profilom leta po vertikali* čime se generira trodimenzionalna putanja leta. Za modeliranje po segmentima potrebno je da se putanja leta za svaki pojedinačni prelet zrakoplova opiše nizom ravnih segmenata. Način na koji se segmentacija provodi uvjetovan je potrebom da se uravnoteže preciznost i učinkovitost – stvarnu zakrivljenu putanju leta treba opisati dovoljno točno, uz istovremeno svođenje računalnog opterećenja i zahtjeva za podacima na najmanju moguću mjeru. Svaki segment mora biti definiran geometrijskim koordinatama njegovih krajnjih točaka te na njemu zabilježenim parametrima brzine zrakoplova i snage motora (o kojima ovisi emisija zvuka). Putanje leta i snaga motora mogu se utvrditi na različite načine, a glavni načini uključuju (a) sintezu niza proceduralnih koraka i (b) analizu izmjerenih podataka profila leta.

*Sinteza* putanje leta (a) zahtijeva poznavanje (ili pretpostavku) tlocrtâ putanja i njihovih lateralnih raspršenosti, težine zrakoplova, postupaka upravljanja potiskom, zakrilcima i stvarnom brzinom, nadmorske visine zračne luke, vjetra i temperature zraka. Jednadžbe za izračunavanje profila leta korištenjem zadanih aerodinamičkih parametara i parametara potiska iznesene su u **Dodatku B**. Svaka jednadžba uključuje koeficijente (i/ili konstante) koji se temelje na empirijskim podacima za svaki tip zrakoplova. Korištenjem jednadžbi za aerodinamičke performanse iz **Dodatka B** moguće je razmatrati bilo koju realnu kombinaciju operativne mase zrakoplova i letne procedure, uključujući i operacije s različitim ukupnim poletnim masama.

*Analiza* izmjerenih podataka (b), npr. iz uređaja za snimanje podataka o letu, s radara ili druge opreme za praćenje zrakoplova, uključuje „obrnuti inženjering”, u biti obrnut proces od procesa sinteze (a). Umjesto procjenjivanja ponašanja zrakoplova i pogonskih skupina na krajevima segmenata leta integriranjem efekata potiska i aerodinamičkih sila koje djeluju na zmaj zrakoplova, sile se procjenjuju promatranjem promjena visine i brzine zmaja zrakoplova. Postupci za obradu podataka o putanji leta opisani su u odjeljku 2.7.12.

U savršenoj aplikaciji za modeliranje buke svaki bi se pojedini let, u teoriji, mogao predstaviti neovisno; tako bi se osiguralo da je raspršenost letnih putanja u prostoru točno uzeta u obzir – što može biti jako bitno. Međutim, kako bi se pripremu podataka i računalno vrijeme zadržalo u razumnim granicama, uobičajena je praksa prikazati snopove letnih putanja malim brojem lateralno izmještenih „pomoćnih putanja”. (Raspršenost po vertikali obično se zadovoljavajuće prikazuje uračunavanjem efekata različitih težina zrakoplova na vertikalnim profilima.)

([1]) Vrijeme se uračunava putem brzine zrakoplova.

▼M2

2.7.5. *Buka i performanse zrakoplova*

U bazi podataka ANP iz Dodatka I. obuhvaćena je većina tipova zrakoplova u uporabi. Podaci za tipove ili inačice zrakoplova za koje podaci nisu navedeni mogu se supstituirati podacima za druge, slične tipove zrakoplova s popisa.

Baza podataka ANP uključuje unaprijed određene „proceduralne korake" kako bi se omogućilo generiranje profila leta za najmanje jednu proceduru za smanjivanje buke u odlasku. U novijim se zapisima u bazi podataka nalaze dvije različite procedure za smanjivanje buke u odlasku.

2.7.6. *Zračna luka i zrakoplovne operacije*

Specifični podaci za lokaciju iz kojih se izračunavaju konture buke za određenu situaciju u zračnoj luci uključuju sljedeće:

Opći podaci o zračnoj luci

— Referentna točka aerodroma (za jednostavno smještanje aerodroma na odgovarajuće zemljopisne koordinate). Referentna točka određuje se kao polazište za lokalni Kartezijev koordinatni sustav koji se koristi u postupku izračuna.

— Referentna visina aerodroma (= nadmorska visina referentne točke na aerodromu). To je visina nazivne ravnine tla prema kojoj se, kada nema korekcija zbog topografije, definiraju konture buke.

— Prosječni meteorološki parametri na ili blizu referentne točke aerodroma (temperatura, relativna vlažnost, prosječna brzina vjetra i smjer vjetra).

Podaci o uzletno-sletnoj stazi

Za svaku uzletno-sletnu stazu:

— Oznaka uzletno-sletne staze

— Referentna točka uzletno-sletne staze (lokalne koordinate centra uzletno-sletne staze)

— Duljina uzletno-sletne staze, smjer i srednji nagib.

— Lokacija mjesta početka zaleta i praga sletne staze ([1]).

Podaci o tlocrtu putanje

Tlocrti putanja zrakoplova opisuju se koordinatama na (horizontalnoj) ravnini tla. Izbor izvora podataka za tlocrte putanja ovisi o tome jesu li ili nisu dostupni relevantni radarski podaci. Ako jesu, statističkom analizom podataka utvrđuje se glavna putanja i pogodne (raspršene) pomoćne putanje. Ako nisu, glavne se putanje obično generiraju upotrebom za to pogodnih proceduralnih podataka, npr. korištenjem procedura za standardni instrumentalni odlazak iz Zbornika zrakoplovnih informacija. U tom se konvencionalnom opisu nalaze sljedeći podaci:

— Oznaka uzletno-sletne staze od koje putanja počinje

— Opis polazišta putanje (početak zaleta, prag sletne staze)

([1]) Pomaknuti pragovi mogu se uzeti u obzir definiranjem dodatnih uzletno-sletnih staza.

▼M2

— Duljina segmenata (za zaokrete, radijus i promjenu smjera).

To su minimalni podaci potrebni za definiranje glavne putanje. Međutim, izračun prosječnih razina buke na temelju pretpostavke da zrakoplovi točno slijede nazivne rute može dovesti do lokaliziranih grešaka od nekoliko decibela. Stoga se mora prikazati i lateralna raspršenost pa su potrebni sljedeći dodatni podaci:

— Širina snopa putanja (ili drugi statistički podatak za raspršenost) na svakom kraju segmenta

— Broj pomoćnih putanja

— Distribucija kretanja okomito u odnosu na glavnu putanju.

Podaci o zračnom prometu

Podaci o zračnom prometu su

— vremenski period na koji se podaci odnose i

— broj kretanja (dolazaka i odlazaka) za svaki tip zrakoplova na svakoj putanji leta, podijeljen na (1) vrijeme dana u skladu s prikladnim opisima svojstava buke, (2) za odlaske, operativne mase zrakoplova ili dužine dionica i (3) ako je potrebno, operativne procedure.

Za većinu indikatora buke potrebno je definirati događaje (tj. kretanja zrakoplova) kao prosječne dnevne vrijednosti tijekom određenih doba dana (npr. dan, večer i noć) – vidjeti **odjeljke** od **2.7.23.** do **2.7.25.**

Topografski podaci

Teren oko većine zračnih luka je relativno ravan. Međutim, to nije uvijek slučaj pa je ponekad potrebno uzeti u obzir varijacije u visini terena u odnosu na referentnu nadmorsku visinu zračne luke. Nagib terena može biti osobito značajan u blizini prilaznih putanja, gdje zrakoplov leti na relativno maloj visini.

Podaci o visini terena obično se bilježe kao skup (*x, y, z*) koordinata na pravokutnoj mreži s određenom veličinom polja. Međutim, parametri za mrežu nadmorskih visina vjerojatno će biti različiti od onih za mrežu koja se koristi za izračun buke. U takvim slučajevima može se koristiti linearna interpolacija kako bi se procijenile potrebne koordinate za *z* u mreži za izračun buke.

Sveobuhvatna analiza efekata značajno neravnog tla na širenje zvuka složena je i izlazi iz okvira ove metode. Umjerena neravnost može se uračunati uz pretpostavku „pseudo-ravnog” tla; tj. jednostavnim uzimanjem više ili niže razine ravnine tla u odnosu na lokalnu nadmorsku visinu tla (relativno u odnosu na referentnu ravninu tla) za svaku točku prijema (vidjeti odjeljak 2.7.4.).

▼M2

Referentni uvjeti

Međunarodni podaci za buku i performanse zrakoplova (ANP) korigiraju se prema standardnim referentnim uvjetima koji su u širokoj upotrebi za studije o buci oko zračnih luka (vidjeti **Dodatak D**).

*Referentni uvjeti za podatke NPD*

1. Atmosferski tlak: 101,325 kPa (1 013,25 mb)

2. Atmosferska apsorpcija: Stope prigušenja zvuka navedene su u **tablici D-1** u **Dodatku D**

3. Padaline: Nikakve

4. Brzina vjetra: Manja od 8 m/s (15 čvorova)

5. Brzina po horizontali: 160 čvorova

6. Lokalni teren: Ravno, meko tlo bez velikih građevina ili drugih reflektirajućih objekata u krugu od nekoliko kilometara od tlocrta putanja zrakoplova.

Standardizirana mjerenja zvuka zrakoplova vrše se 1,2 metra iznad površine tla. Međutim, o ovome nije potrebno posebno voditi računa jer se za svrhe modeliranja može pretpostaviti da je za razinu događaja buke visina prijemnika relativno nebitna ([1]).

Usporedbe procijenjenih i izmjerenih razina buke oko zračnih luka pokazuju da se podaci NPD mogu smatrati primjenjivima kada su prosječni uvjeti blizu površine u sljedećim okvirima:

— Temperatura zraka manja od 30 °C

— Umnožak temperature zraka (°C) i relativne vlažnosti (u postocima) veći od 500

— Brzina vjetra manja od 8 metara u sekundi (15 čvorova).

To su uvjeti za koje se može pretpostaviti da vladaju na većini glavnih zračnih luka u svijetu. U Dodatku D iznesena je metoda za pretvaranje podataka NPD u prosječne lokalne uvjete koji su izvan tih okvira, ali se za ekstremne slučajeve preporučuje obraćanje relevantnim proizvođačima zrakoplova.

*Referentni uvjeti za bilježenje aerodinamičkih podataka aviona i podataka za motore*

1. Nadmorska visina uzletno-sletne staze: Srednja razina mora

2. Temperatura zraka: 15 °C

3. Ukupna uzletna masa: Kako je definirana u bazi podataka ANP kao funkcija duljine dionice

([1]) Ponekad se zahtijeva izračun za visinu od 4 metra ili više. Usporedba mjerenja na 1,2 metra i 10 metara i teoretski izračun efekata tla pokazuju da su varijacije A-vrednovane razine izloženosti buci relativno neosjetljive na visinu prijemnika. Varijacije su općenito manje od jednog decibela, osim ako je maksimalni kut prijema zvuka manji od 10° i ako A-vrednovani spektar na prijemniku dostiže maksimalnu vrijednost na frekvencijama između 200 i 500 Hz. Spektar u kojem dominiraju tako niske frekvencije zvuka moguć je npr. na velikim udaljenostima za motore s niskim prijenosnim omjerom (*low-bypass ratio engines*) i elisne motore koji proizvode diskretne niskofrekventne zvukove.

▼M2

4. Ukupna masa pri slijetanju: 90 posto maksimalne ukupne mase pri slijetanju

5. Motori koji osiguravaju potisak: Svi

Iako se aerodinamički podaci i podaci o motorima iz ANP-a temelje na ovim uvjetima, može ih se koristiti onakve kako su navedeni u tablici i za nereferentne nadmorske visine uzletno-sletne staze i prosječne temperature zraka u državama ECAC-a, a da se pri tome ne utječe značajno na preciznost izračunate konture kumulativne prosječne razine zvuka. (vidjeti **Dodatak B**.)

U bazi podataka ANP navedena je tablica aerodinamičkih podataka za ukupnu masu pri uzlijetanju i ukupnu masu pri slijetanju koje se spominju u točkama 3 i 4 gore. Iako za izračun kumulativne buke same aerodinamičke podatke ne treba korigirati za iznose ostalih ukupnih masa, izračun letnih profila pri uzlijetanju i penjanju postupcima koji su opisani u **Dodatku B** temelji se na odgovarajućim operativnim ukupnim uzletnim masama.

2.7.7. *Opis putanje leta*

Za model buke potrebno je opisati svako različito kretanje zrakoplova njegovom trodimenzionalnom putanjom leta, varijacijama u snazi motora i brzinom na toj putanji. U pravilu jedno modelirano kretanje predstavlja dio ukupnog prometa u zračnoj luci, tj. određeni broj (pretpostavljenih) identičnih kretanja istog tipa zrakoplova, iste težine i s istim operativnim procedurama na jednom tlocrtu putanje. Ta putanja može biti jedna od više raspršenih „pomoćnih putanja" koje se koriste za modeliranje snopa putanja za jednu određenu rutu. Snopovi tlocrtâ putanja, vertikalni profil i operativni parametri za zrakoplove definiraju se korištenjem ulaznih podataka za određenu situaciju, zajedno sa podacima o zrakoplovima iz baze podataka ANP.

NPD podaci (buka–snaga–udaljenost iz baze podataka ANP) vrijede za buku zrakoplova koji prelijeće po idealiziranim vodoravnim putanjama leta beskonačne duljine ujednačenom brzinom i konstantnom snagom motora. Za prilagođavanje tih podataka putanjama leta u završnom području koje karakteriziraju česte promjene snage i brzine svaka se putanja dijeli na ravne segmente ograničene duljine; nakon toga se doprinos buci sa svakog od tih segmenata zbraja na promatračkom mjestu.

2.7.8. *Odnosi između putanja leta i letnih konfiguracija*

O trodimenzionalnoj putanji leta zrakoplova ovise geometrijski aspekti zračenja i širenja zvuka između zrakoplova i promatrača. Pri određenoj masi zrakoplova i određenim atmosferskim uvjetima putanja leta je u potpunosti određena slijedom promjena u snazi motora, položaju zakrilaca i promjenama visine kojima upravlja pilot (ili automatski sustav za upravljanje letom) slijedeći rute na visinama i pri brzinama koje određuje kontrola zračnog prometa – u skladu sa standardnim operativnim procedurama operatera zrakoplova. Tim se uputama i postupcima putanja leta dijeli u različite faze koje tvore prirodne segmente. Po horizontalnoj ravnini one uključuju ravne dionice, određene kao udaljenost do sljedećeg zaokreta, i zaokrete, koji su definirani radijusom i promjenom

▼M2

smjera. Na vertikali, segmenti su definirani vremenom i/ili udaljenošću koji su potrebni za postizanje zahtijevanih promjena brzine kretanja prema naprijed i/ili visine pri određenoj zadanoj snazi i položaju zakrilaca. Odgovarajuće koordinate po vertikali se često nazivaju *točkama profila.*

Za svrhe modeliranja buke, podaci o putanji leta izvode se ili *sintezom* iz skupa proceduralnih koraka (tj. koraka koje slijedi pilot) ili *analizom* podataka s radara – fizičkim mjerenjem stvarnih putanja leta. Bez obzira na metodu koja se koristi, horizontalni i vertikalni izgled putanje leta se svodi na krivulje po segmentima. Njezin oblik po horizontali (tj. njezina dvodimenzionalna projekcija na tlo) je *tlocrt putanje* koji je definiran usmjeravanjem na rutu u dolasku ili odlasku. Njezinim se oblikom po vertikali, obilježenim točkama profila, kao i povezanim parametrima brzine, bočnog nagiba i režima rada motora, definira *profil leta* koji ovisi o *letnim procedurama* koje obično određuje proizvođač zrakoplova i/ili operater. Putanja leta se izvodi spajanjem dvodimenzionalnog profila leta s dvodimenzionalnim tlocrtom putanje kako bi se sastavio slijed trodimenzionalnih segmenata putanje.

Važno je imati na umu da za određeni skup proceduralnih koraka profil ovisi o tlocrtu putanje; tj. pri jednakom potisku i brzini, brzina penjanja zrakoplova je manja u zaokretima nego u pravocrtnom letu. Iako se ovim uputama objašnjava kako uračunati tu međuovisnost, mora se priznati da bi to zahtijevalo vrlo velike dodatne računalne resurse pa korisnici mogu slobodno pretpostaviti da se za svrhe modeliranja buke profil leta i tlocrt putanje mogu smatrati neovisnim veličinama, tj. da nijedan zaokret ne utječe na profil penjanja. Međutim, važno je definirati promjene u bočnom nagibu koje su potrebne za zaokrete jer to ima važan utjecaj na usmjerenost emisije zvuka.

Buka primljena sa segmenta putanje leta ovisi o geometriji segmenta u odnosu na promatrača i letnoj konfiguraciji zrakoplova. Te su dvije veličine ovisne jedna o drugoj – promjena jedne uzrokuje promjenu druge pa je potrebno osigurati da je za sve točke na putanji konfiguracija zrakoplova u skladu s njegovim kretanjem po putanji.

U sintezi putanje leta, tj. kad se putanja leta generira iz skupa „proceduralnih koraka” kojima se opisuju postupci pilota i njegov odabir snage motora, kuta zakrilaca i ubrzanja/brzine po vertikali, potrebno je izračunati kretanje. U analizi putanje leta stvar je obrnuta: režim rada motora mora se procijeniti iz podataka o kretanju zrakoplova koji su dobiveni radarom ili ponekad, u posebnim studijama, iz podataka zabilježenih uređajem za snimanje podataka o letu (iako je tada snaga motora obično uključena u podatke). U oba slučaja koordinate i letni parametri sa svih krajnjih točaka segmenata moraju se uračunati pri izračunu buke.

▼M2

U **Dodatku B** iznesene su formule koje se odnose na sile koje djeluju na zrakoplov i njegovo kretanje te se objašnjava postupak definiranja svojstava segmenata koji sačinjavaju putanju leta. Vrste segmenata su (u zagradama se navode dijelovi **Dodatka B** koji se na njih odnose) *zalet pri uzlijetanju* (B5), *penjanje konstantnom brzinom* (B6), *smanjivanje snage* (B7), *ubrzavanje pri penjanju i uvlačenje zakrilaca* (B8), *ubrzavanje pri penjanju nakon uvlačenja zakrilaca* (B9), *snižavanje i usporavanje* (B10) i *završno prilaženje pri slijetanju* (B11).

Neizbježno je da modeliranje u praksi uključuje pojednostavljivanje u većoj ili manjoj mjeri – zahtjevi za pojednostavljivanje ovise o samoj primjeni, važnosti rezultata i resursima koji su na raspolaganju. Općenita je pretpostavka pri pojednostavljivanju, čak i za najsloženije primjene, ta da su za uračunavanje raspršenosti putanja leta profili leta i konfiguracije na svim pomoćnim putanjama jednaki kao i oni na glavnoj putanji. Budući da se koristi najmanje 6 pomoćnih putanja (vidjeti odjeljak 2.7.11.), na taj se način izračun znatno pojednostavljuje uz vrlo mali gubitak preciznosti.

2.7.9. *Izvori podataka o putanji leta*

P o d a c i s r a d a r a

Iako se iz zrakoplovnih uređaja za bilježenje podataka o letu mogu dobiti vrlo kvalitetni podaci, teško ih je upotrijebiti za svrhe modeliranja buke te se podaci s radara smatraju najdostupnijim izvorom informacija o stvarnim putanjama leta oko zračnih luka ([1]). Budući da ih se obično može dobiti iz aerodromskih sustava za praćenje buke i putanja leta, njima se sve više koristi i za modeliranje buke.

Na sekundarnom nadzornom radaru putanja leta vidi se kao niz točaka s definiranim koordinatama u intervalima koji odgovaraju jednom punom okretu prijemne antene radara – obično oko 4 sekunde. Položaj zrakoplova u zraku određuje se u polarnim koordinatama (udaljenost i azimut) radarskog odraza (iako nadzorni sustav obično pretvara polarne koordinate u koordinate Kartezijeva koordinatnog sustava); visinu zrakoplova ([2]) mjeri visinomjer u samom zrakoplovu i šalje ga računalu kontrole zračnog prometa pomoću transpondera koji se aktivira radarskom zrakom. Pri tome su, zbog elektromagnetskih smetnji i ograničene rezolucije podataka, neizbježne znatne pogreške u određivanju položaja zrakoplova (ali one nisu značajne za svrhe kontrole zračnog prometa). Dakle, kad je potrebno izvesti podatke o putanji leta određenog zrakoplova, neophodno je uskladiti dobivene podatke korištenjem za to prikladnog načina iscrtavanja krivulje. Međutim, za modeliranje buke obično se traži statistički opis snopa putanja leta; npr. za sva kretanja na određenoj ruti ili samo za one određenog tipa zrakoplova. Pri tome se greške u mjerenju povezane s odgovarajućim statističkim podacima mogu izvođenjem prosjeka smanjiti tako da ne budu značajne.

([1]) Iz zrakoplovnih uređaja za bilježenje podataka o letu dobivaju se detaljni operativni podaci. Međutim, ti podaci nisu lako dostupni i njihovo dobivanje nije jeftino; stoga je upotreba tih podataka za modeliranje buke obično ograničena na posebne projekte i studije razvoja modelâ.

([2]) Obično se mjeri kao visina iznad srednje razine mora (tj. u odnosu na vrijednost od 1 013 mB), a aerodromski nadzorni sustavi prilagođavaju taj podatak prema nadmorskoj visini zračne luke.

▼**M2**

Proceduralni koraci

U mnogim slučajevima nije moguće modelirati putanje leta na temelju podataka s radara – bilo zato što nisu dostupna potrebna sredstva, ili zato što se radi o budućoj situaciji za koju ne postoje relevantni radarski podaci.

U nedostatku radarskih podataka ili kad njihova upotreba nije prikladna za svrhu, nužno je procijeniti putanje leta na temelju dostupnih operativnih radnih materijala, primjerice uputa koje posade zrakoplova dobivaju iz zbornika zrakoplovnih informacija i priručnika za određene zrakoplove, koji se ovdje obuhvaćaju zbirnim terminom *proceduralni koraci.* Za interpretaciju tih materijala savjetuje se s tijelima nadležnima za kontrolu zračnog prometa i korisnicima zrakoplova, prema potrebi.

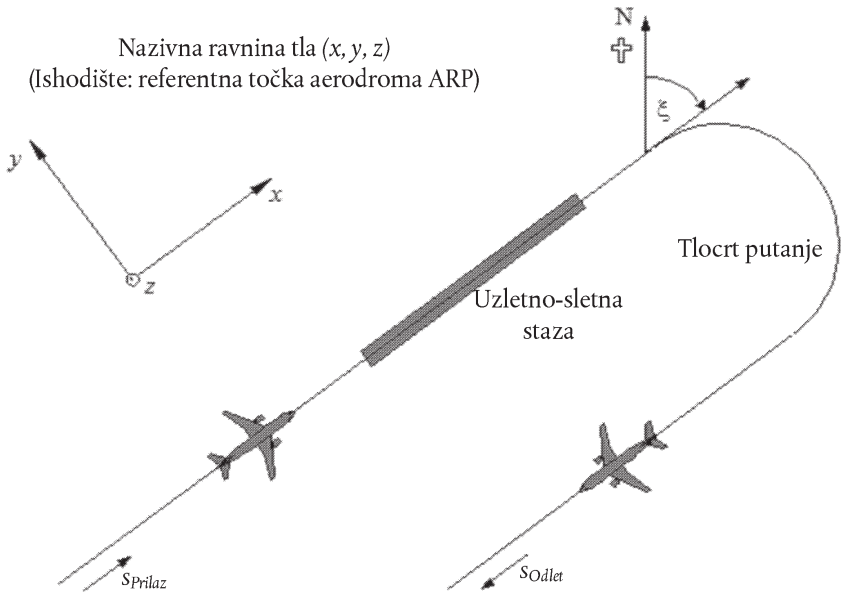
2.7.10. *Koordinatni sustavi*

Lokalni koordinatni sustav

Lokalni koordinatni sustav ($x,y,z$) koji se koristi je Kartezijev sustav, a ishodište (0,0,0) mu je referentna točka u zračnoj luci ($X_{ARP}, Y_{ARP}, Z_{ARP}$), pri čemu je $Z_{ARP}$ referentna nadmorska visina zračne luke, a $z = 0$ nazivna ravnina tla prema kojoj se obično računaju konture. Smjer kretanja zrakoplova $\xi$ na ravnini $xy$ mjeri se u odnosu na magnetski sjever u smjeru kazaljke na satu (vidjeti **sliku 2.7.b**). Sve lokacije promatračkih mjesta, osnovna mreža za izračun i točke na konturama buke izražavaju se u lokalnim koordinatama ([1]).

*Slika 2.7.b*

**Lokalni koordinatni sustav (*x,y,z*) i fiksna koordinata *s***




([1]) Obično su osi lokalnog koordinatnog sustava paralelne s osi zemljopisne karte na koju se konture iscrtavaju. Međutim, kako bi se dobile simetrične konture bez upotrebe detaljne mreže koordinata za izračun, ponekad je korisno odabrati os $x$ paralelnu s uzletno-sletnom stazom (vidjeti odjeljke od 2.7.26. do 2.7.28.).

▼M2

Koordinatni sustav za tlocrt putanje

Ova je koordinata specifična za svaki tlocrt putanje i predstavlja udaljenost *s* koja se mjeri na putanji u pravcu leta. Za odlaznu putanju *s* se mjeri od početka zaleta, a za prilazne putanje od početka praga sletne staze. Stoga je *s* negativan broj u područjima

— iza točke početka zaleta za zrakoplove u odlasku i

— ispred točke prelaženja praga sletne staze za zrakoplove u prilaženju.

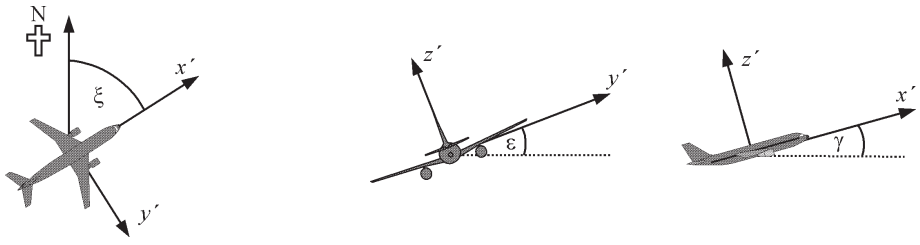
Operativni parametri leta kao što su visina, brzina i režim rada motora izražavaju se kao funkcije od *s*.

Koordinatni sustav za zrakoplov

Ishodište Kartezijeva koordinatnog sustava za zrakoplov ($x',y',z'$) je trenutni položaj zrakoplova. Osi su definirane kutom penjanja $\gamma$, pravcem kretanja zrakoplova $\xi$ i bočnim nagibom $\varepsilon$ (vidjeti **sliku 2.7.c**).

*Slika 2.7.c*

**Koordinatni sustav za zrakoplov ($x',y',z'$)**




Uračunavanje topografije

Pri procjeni daljine širenja d, u slučajevima kada se mora uzeti u obzir topografija (vidjeti odjeljak 2.7.6.), koordinata visine zrakoplova z mijenja se sa $z' = z - z_o$ (pri čemu je $z_o$ z koordinata promatračkog mjesta O). Odnos između zrakoplova i promatrača prikazan je na **slici 2.7.d.** Za definicije d i $\ell$ vidjeti odjeljke 2.7.14. do 2.7.19 ([1]).

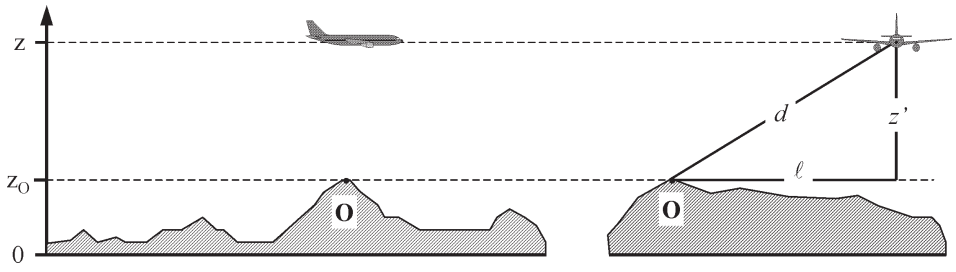
([1]) Na tlu koje nije ravno moguće je da promatrač bude iznad zrakoplova pa se u tom slučaju pri izračunu širenja zvuka $z'$ (i odgovarajući elevacijski kut $\beta$ – vidjeti poglavlje 4) uvrštava kao nula.

▼M2

*Slika 2.7.d*

**Nadmorska visina tla duž putanje leta (lijevo) i bočno od nje (desno)**

(Nazivna ravnina tla z = 0 prolazi kroz referentnu točku aerodroma. O je promatračko mjesto)



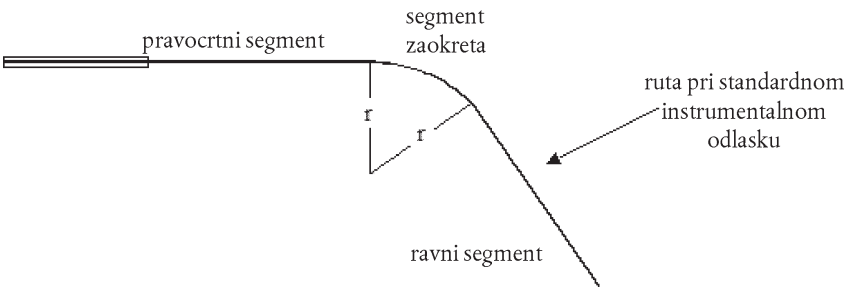

2.7.11. *Tlocrti putanja*

Glavne putanje

Glavna putanja označava centar snopa putanja kojima se kreću zrakoplovi na određenoj ruti. Za modeliranje buke zrakoplova ona se definira ili i. unaprijed određenim operativnim podacima kao što su upute pilotima u zbornicima zrakoplovnih informacija ili ii. statističkom analizom podataka s radara kako je objašnjeno u odjeljku 2.7.9. – ako su dostupni i prikladni za potrebe studije koja uključuje modeliranje. Izvođenje putanje korištenjem operativnih uputa obično je jednostavno jer se tim uputama propisuje slijed odsječaka putanje koji su ili ravni i definirani duljinom i smjerom, ili su lukovi kružnih putanja definirani oštrinom zaokreta i promjenom smjera; za ilustraciju vidjeti **sliku 2.7.e.**

*Slika 2.7.e*

**Geometrija tlocrta putanje u smislu zaokreta i ravnih segmenata**




Iscrtavanje glavne putanje prema radarskim podacima je nešto složenije, prvo zato što je oštrina zaokreta u stvarnosti promjenjiva, a drugo zato što putanja nije sasvim jasna zbog nepreciznih podataka (rasipanja). Kako je prethodno objašnjeno, još nisu razvijeni formalni postupci pa je uobičajena praksa da se segmenti – ravni i zakrivljeni – sparuju prema prosječnim položajima izračunanima prema radarskim odrazima na intervalima duž rute. Vjerojatno je da će u budućnosti biti razvijeni računalni algoritmi za ovu svrhu, no trenutačno odluka kako najbolje upotrijebiti

▼M2

dostupne podatke ostaje na osobi koja izvodi modeliranje. Važan je faktor činjenica da iz brzine i radijusa zaokreta zrakoplova proizlazi kut bočnog nagiba, a kako se objašnjava u odjeljku 2.7.19., o asimetrijama u zračenju zvuka duž putanje leta i položaju same putanje leta ovisi buka na tlu.

Teoretski, prijelaz bez međufaza iz pravocrtnog leta u zaokret s određenim radijusom zahtijevao bi trenutačnu promjenu bočnog nagiba zrakoplova ε, što je fizički nemoguće. U stvarnosti je potrebno određeno vrijeme da bočni nagib dostigne vrijednost koja je potrebna za zadržavanje zadane brzine i radijusa zaokreta *r*, a u tom vremenu radijus se smanjuje od beskonačnog do *r*. Za svrhe modeliranja to smanjivanje radijusa može se zanemariti pa se uzima da se bočni nagib konstantno povećava od nule (ili druge početne vrijednosti) do ε na početku zaokreta i da je sljedeća vrijednost ε na kraju zaokreta ([1]).

*Raspršenost putanja leta*

Ako je to moguće, određivanje lateralne raspršenosti i reprezentativnih pomoćnih putanja temelji se na relevantnom iskustvu sa zračne luke za koju se studija izrađuje; obično se to radi analizom radarskih podataka. Prvi je korak grupirati podatke prema rutama. Putanje u odlasku obilježene su znatnom lateralnom raspršenošću koja se pri točnom modeliranju mora uzeti u obzir. Rute u dolasku obično se spajaju u vrlo uzak snop na završnoj prilaznoj putanji i obično je dovoljno da se svi dolasci predstave jednom putanjom. Međutim, ako su snopovi prilaznih ruta široko raspršeni unutar kontura buke, možda ih bude potrebno prikazati pomoćnim putanjama na isti način kao što se prikazuju putanje u odlasku.

Uobičajena je praksa da se podaci za jednu rutu uzmu kao uzorak iz jedne populacije; tj. da ih se prikaže kao jednu glavnu putanju i jedan skup raspršenih putanja. Međutim, ako se pregledom ustanovi da se podaci za različite kategorije zrakoplova ili različite operacije znatno razlikuju (npr. ako veliki i mali zrakoplovi imaju bitno različite radijuse zaokreta), može biti poželjno dodatno razdijeliti podatke u različite snopove. Za svaki snop lateralna se raspršenost određuje kao funkcija udaljenosti od početne točke; kretanja se tada, statističkom distribucijom, raspoređuju između glavne putanje i prikladnog broja raspršenih pomoćnih putanja.

U principu nije preporučljivo zanemarivati utjecaje raspršenosti putanja pa se u odsutnosti izmjerenih podataka s cijelog snopa putanja koristi funkcija konvencionalne distribucije kako bi se definirao nazivni bočni raspon putanja oko glavne putanje. Izračunate vrijednosti indeksa buke nisu posebno osjetljive na točan oblik lateralne distribucije: normalnom (Gaussovom) distribucijom prikladno se opisuje mnoge snopove koji su izmjereni radarom.

([1]) Korisniku se prepušta odluka kako će najbolje uračunati te podatke, ovisno o tome kako se definiraju radijusi zaokreta. Ako je početna točka slijed ravnih ili lučnih segmenata, relativno jednostavna mogućnost je ubacivanje segmenata s prijelazima bočnog nagiba na početak i kraj zaokreta u kojem se zrakoplov ujednačeno naginje (npr. izraženo u °/m ili °/s).

▼M2

Obično se koristi diskretna aproksimacija sa 7 točaka (tj. lateralna raspršenost se predstavlja sa 6 ravnomjerno raspoređenih pomoćnih putanja oko glavne putanje). Razmak između pomoćnih putanja ovisi o standardnoj devijaciji funkcije lateralne raspršenosti.

Za putanje s normalnom distribucijom i standardnom devijacijom *S*, 98,8 % putanja nalazi se unutar koridora omeđenog ± 2,5 · *S*. U t**ablici 2.7.a** naveden je postotak kretanja koji se dodjeljuju svakoj pomoćnoj putanji i razmak između pomoćnih putanja. U **Dodatku C** navedene su ostale vrijednosti za pomoćne putanje.

*Tablica 2.7.a*

**Postotak kretanja za funkciju normalne distribucije sa standardnom devijacijom *S* za 7 pomoćnih putanja (glavna putanja označena je kao pomoćna putanja 1).**

| Broj pomoćne putanje | Položaj pomoćne putanje | Postotak kretanja na pomoćnoj putanji |
|---|---|---|
| 7 | - 2,14 × *S* | 3 % |
| 5 | - 1,43 × *S* | 11 % |
| 3 | - 0,71 × *S* | 22 % |
| 1 | 0 | 28 % |
| 2 | 0,71 × *S* | 22 % |
| 4 | 1,43 × *S* | 11 % |
| 6 | 2,14 × *S* | 3 % |

Standardna devijacija *S* je funkcija koordinate *s* duž glavne putanje. Može je se navesti – zajedno s opisom glavne putanje – u podacima o putanjama iz **Dodatka A3**. Ako nisu dostupni indikatori za standardnu devijaciju – npr. iz radarskih podataka za slične putanje – preporučuju se sljedeće vrijednosti:

Za putanje koje uključuju zaokrete od manje od 45 stupnjeva:

$$\begin{aligned} S(s) &= 0{,}055 \cdot s - 150 \quad && \text{za } 2\,700 \text{ m} \leq s \leq 30\,000 \text{ m} \\ S(s) &= 1\,500 && \text{za } s > 30\,000 \text{ m} \end{aligned} \qquad (2.7.1.)$$

Za putanje koje uključuju zaokrete od preko 45 stupnjeva:

$$\begin{aligned} S(s) &= 0{,}128 \cdot s - 420 \quad && \text{za } 3\,300 \text{ m} \leq s \leq 15\,000 \text{ m} \\ S(s) &= 1\,500 \text{ m} && \text{za } s > 15\,000 \text{ m} \end{aligned} \qquad (2.7.2.)$$

Iz praktičnih razloga uzima se da je *S(s)* nula između početka naginjanja i $s = 2\,700$ m ili $s = 3\,300$ m ovisno o oštrini zaokreta. Rute koje uključuju više od jednog zaokreta računaju se prema jednadžbi (2.7.2.). Za zrakoplove u dolasku lateralna raspršenost se može zanemariti do 6 000 m od mjesta gdje zrakoplov prvi put dodirne tlo.

▼M2

2.7.12. *Profili leta*

Profil leta je opis kretanja zrakoplova na vertikali iznad tlocrta putanje u smislu njegovog položaja, brzine, bočnog nagiba i režima rada motora. Jedan od najvažnijih zadataka za korisnika modela je definiranje letnih profila koji su prikladni za potrebe modeliranja – da to bude učinkovito, bez prekomjernog trošenja vremena i resursa. Naravno, kako bi se postigla visoka točnost, profili leta moraju vjerno odražavati letne operacije koje predstavljaju. To zahtijeva pouzdane informacije o atmosferskim uvjetima, tipovima i varijantama zrakoplova, operativnoj masi zrakoplova i operativnim procedurama – varijacijama u potisku i položaju zakrilaca, promjenama visine i brzine – i za sve to treba osigurati odgovarajuće prosjeke za predmetni vremenski period. Često ti podaci nisu dostupni, što nije nužno prepreka; čak i kad jesu dostupni, osoba koja izrađuje model treba prosuditi kako na najbolji način uskladiti preciznost i detaljnost ulaznih podataka za potrebe iscrtavanja konačnih kontura.

Sinteza profila leta „proceduralnim koracima” korištenjem podataka iz baze podataka ANP ili od operatera zrakoplova opisana je u odjeljku 2.7.13. i **Dodatku B.** Tim se postupkom, koji je obično i jedini moguć za modeliranje kada nema radarskih podataka, dobiva geometrija putanje leta i s njom povezane varijacije brzine i potiska. Obično se pretpostavlja da svi (slični) zrakoplovi u snopu putanja, bilo da im je dodijeljena glavna putanja ili raspršene pomoćne putanje, lete prema profilu leta koji je predstavljen glavnom putanjom.

Osim baze podataka ANP, u kojoj su navedene uobičajene informacije za proceduralne korake, operateri zrakoplova najbolji su izvor pouzdanih informacija, tj. informacija o procedurama koje koriste i uobičajenim masama zrakoplova za svaki let. Za pojedinačne letove, „zlatni standard” kad je riječ o izvorima informacija je uređaj za snimanje podataka o letu (FDR) iz kojeg se mogu dobiti sve relevantne informacije. No čak i ako su ti podaci dostupni, potreban je ogroman napor u pripremi takvih podataka za upotrebu. Stoga je, i u skladu s potrebom za ekonomičnošću u modeliranju, uobičajeno praktično rješenje krenuti od informiranih pretpostavki kad je riječ o prosječnim masama i operativnim procedurama.

Potreban je oprez prije nego što se pretpostave *uobičajeni* proceduralni koraci iz baze podataka ANP (i koji se obično uzimaju kad točne procedure nisu poznate). To su standardizirani postupci u širokoj upotrebi, ali to ne znači da ih se u konkretnim slučajevima operateri pridržavaju. Vrlo značajan faktor je definicija potiska motora pri uzlijetanju (i ponekad uspinjanju), koji u određenoj mjeri ovisi o prevladavajućim uvjetima. Posebno je uobičajena praksa smanjivanje potiska u odlasku (u odnosu na maksimum) kako bi se produžio vijek trajanja motora. U **Dodatku B** iznose se smjernice za prikazivanje uobičajene prakse; na taj način se obično izvode realnije konture nego kad se pretpostavlja puna snaga motora. Međutim, ako je na primjer uzletno-sletna staza kratka i/ili su prosječne temperature zraka visoke, po svoj prilici bit će realnije pretpostaviti punu snagu.

▼M2

Pri modeliranju stvarnih scenarija, veći stupanj točnosti može se postići korištenjem radarskih podataka kao dopune ili zamjene nazivnih podataka. Profili leta mogu se odrediti korištenjem radarskih podataka na sličan način kao i lateralne glavne putanje – ali samo nakon razvrstavanja prometa prema tipu i varijanti zrakoplova, a ponekad i prema masi ili dužini dionice (ali ne prema raspršenosti) – i na taj način se za svaku podgrupu dobiva prosječan profil visine i brzine u odnosu na zemaljsku udaljenost koja je prijeđena. I dalje, kad se nakon toga taj jedinstveni profil spaja s tlocrtima putanja, obično se dodjeljuje i glavnoj putanji i pomoćnim putanjama.

Ako se zna masa zrakoplova, promjene brzine i potiska mogu se izračunati za svaki korak korištenjem jednadžbi za gibanje. Prije toga korisno je preliminarno obraditi podatke kako bi se na minimum sveli utjecaji radarskih grešaka zbog kojih bi procjene ubrzanja mogle biti nepouzdane. U oba je slučaja prvi korak definiranje profila leta usklađivanjem pravocrtnih segmenata koji predstavljaju odgovarajuće faze leta. Svaki segment treba kategorizirati – npr. radi li se o zaletu, uspinjanju ili snižavanju konstantnom brzinom, smanjivanju potiska ili ubrzavanju/usporavanju uz promjene položaja zakrilaca ili bez promjena položaja zakrilaca. Potrebni su i podaci o masi zrakoplova i atmosferskim uvjetima.

U odjeljku 2.7.11. jasno je naznačeno da je potrebno posebno uračunati lateralnu raspršenost putanja leta oko nazivne ili glavne putanje. Na primjerima radarskih podataka vidljiva je slična raspršenost putanja leta i po vertikali. Međutim, nije uobičajeno modelirati raspršenost po vertikali kao nezavisnu varijablu; ona je uglavnom rezultat razlika u masi zrakoplova i operativnim procedurama koje se uzimaju u obzir u pripremi ulaznih podataka o prometu.

2.7.13. *Generiranje segmenata putanje leta*

Svaka putanja leta mora biti definirana skupom koordinata segmenta (čvorovi) i parametrima leta. Prvo je potrebno odrediti koordinate segmenata tlocrta putanje. Zatim se izračunava profil leta, pri čemu je važno imati na umu da za određeni skup proceduralnih koraka profil ovisi o tlocrtu putanje; tj. pri jednakom potisku i brzini, brzina penjanja zrakoplova je manja u zaokretima nego u pravocrtnom letu. Na kraju se trodimenzionalni segmenti putanje leta izvode spajanjem dvodimenzionalnog profila leta s dvodimenzionalnim tlocrtom putanje ([1]).

T l o c r t p u t a n j e

Tlocrt putanje, neovisno o tome je li riječ o glavnoj putanji ili raspršenoj pomoćnoj putanji, definiran je nizom $(x,y)$ koordinata na ravnini tla (npr. od radarskih podataka) ili nizom vektora kojima se opisuju pravocrtni segmenti i kružni lukovi (zaokreti definiranog radijusa $r$ i promjena smjera $\Delta\xi$).

Za modeliranje po segmentima luk zaokreta se predstavlja slijedom pravocrtnih segmenata koji predstavljaju dijelove luka. Premda se ti dijelovi luka ne spominju izričito u segmentima tlocrta putanje, nagib zrakoplova tijekom zaokreta utječe na njihovu definiciju. U **Dodatku B4** objašnjeno je kako izračunati kutove bočnog nagiba tijekom jednakomjernog zaokreta, no oni se ne primjenjuju ili se odmah uklanjaju. Kako postupati s prijelazima između pravocrtnog leta i zaokreta ili između jednog zaokreta i leta nakon kojeg odmah slijedi uzastopni zaokret, nije propisano. U pravilu, pojedinosti koje su ostavljene korisniku (vidjeti odjeljak 2.7.11.), vjerojatno će imati zanemariv učinak na

([1]) U tu svrhu ukupna duljina tlocrta putanje trebala bi uvijek biti veća od profila leta. To se može postići, ako je potrebno, dodavanjem pravocrtnih segmenata pogodne duljine do posljednjeg segmenta projekcije putanje zrakoplova na tlo.

▼M2

konačne konture; zahtjeva se uglavnom izbjegavanje naglih prekida na krajevima zaokreta, a to se može postići, na primjer, umetanjem kratkih prijelaznih segmenata u kojima se kut bočnog nagiba mijenja linearno s udaljenosti. Samo u posebnom slučaju u kojem je vjerojatno da će određeni zaokret imati prevladavajući utjecaj na konačne konture bilo bi potrebno modelirati dinamiku prijelaza koja više odgovara stvarnosti, kako bi se kut bočnog nagiba povezao s određenim tipovima zrakoplova i kako bi se uzele odgovarajuće stope kretanja. Ovdje je dovoljno navesti da su krajnji dijelovi luka $\Delta\xi_{\text{trans}}$ u svim zaokretima uvjetovani zahtjevima za promjenu kuta bočnog nagiba. Preostali dio luka s promjenom smjera od $\Delta\xi - 2\cdot\Delta\xi_{\text{trans}}$ dijeli se u $n_{sub}$ dijelove luka prema jednadžbi:

$$n_{sub} = \text{int}(1 + (\Delta\xi - 2 \cdot \Delta\xi_{trans})/30) \qquad (2.7.3.)$$

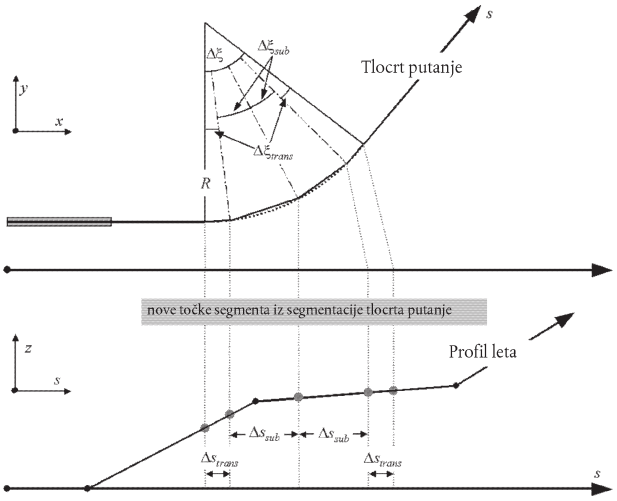
pri čemu je int($x$) funkcija jednaka cijelom dijelu broja $x$. Zatim se promjena smjera $\Delta\xi_{sub}$ svakog dijela luka izračunava kako slijedi

$$\Delta\xi_{sub} = (\Delta\xi - 2 \cdot \Delta\xi_{trans})/n_{sub} \qquad (2.7.4.)$$

pri čemu $n_{sub}$ treba biti dovoljno velik kako bi se osiguralo da je $\Delta\xi_{sub} \leq$ 30 stupnjeva. Segmentacija luka (isključujući završetak prijelaza podsegmenata) prikazana je na **slici 2.7.f** ([1]).

*Slika 2.7.f*

**Generiranje segmenata putanje leta s dijeljenjem zaokreta u segmente duljine Δ*s* (gornji prikaz u horizontalnoj ravnini, donji prikaz u vertikalnoj ravnini)**




([1]) Definirana na ovaj jednostavan način, ukupna duljina segmentirane putanje neznatno je kraća od duljine kružne putanje. Međutim, pogreška je posljedične konture zanemariva ako su kutna povećanja manja od 30°.

▼**M2**

Profil leta

Parametri kojima se opisuje svaki profil leta na početku (sufiks 1) i na kraju (sufiks 2) segmenta:

$s_1$, $s_2$ udaljenost duž tlocrta putanje,

$z_1$, $z_2$ visina aviona,

$V_1$, $V_2$ brzina po horizontali,

$P_1$, $P_2$ parametar snage motora povezan s bukom (koji odgovara parametru za koji su definirane NPD krivulje) i

$\varepsilon_1$, $\varepsilon_2$ kut bočnog nagiba.

Za sastavljanje profila leta od niza proceduralnih koraka (*sinteza putanje leta*), segmenti se izvode slijedom radi postizanja zahtijevanih uvjeta na krajnjim točkama. Parametri krajnje točke svakog segmenta postaju parametri početne točke sljedećeg segmenta. U svakom izračunu segmenta parametri su poznati na početku; zahtijevani uvjeti na kraju određeni su proceduralnim korakom. Sami koraci definirani su ili uobičajenim koracima iz ANP-a ili od strane korisnika (npr. iz priručnika o letenju zrakoplova). Krajnji su uvjeti obično visina i brzina, a posao sastavljanja profila je određivanje obuhvaćene udaljenosti putanje u postizanju tih uvjeta. Nedefinirani parametri određuju se izračunima svojstava leta opisanima u **Dodatku B**.

Ako je tlocrt putanje pravocrtan, točke profila i s njima povezani parametri leta mogu se odrediti neovisno od tlocrta putanje (kut bočnog nagiba uvijek je jednak nuli). Međutim, tlocrti putanje rijetko su ravni; obično uključuju zaokrete a njih se, kako bi se ostvarili najbolji rezultati, mora uzeti u obzir pri određivanju dvodimenzionalnog profila leta, prema potrebi uz podjelu segmenata profila na čvorovima tlocrta putanje kako bi se uvele promjene kuta bočnog nagiba. U pravilu je duljina sljedećeg segmenta nepoznata na početku i izračunava se privremeno pod pretpostavkom da nema promjena kuta bočnog nagiba. Utvrdi li se potom da privremeni segmentom obuhvaća najmanje jedan čvor tlocrta putanje, pri čemu je prvi na $s$, tj. $s_1 < s < s_2$, segment se skraćuje na $s$, pri čemu se tamošnji parametri izračunavaju interpolacijom (vidjeti u nastavku). Ti parametri postaju parametri krajnje točke trenutačnog segmenta i parametri početne točke novog segmenta koji još uvijek ima iste uvjete na krajnjoj točki. Ako se u privremenom segmentu ne nalazi nijedan čvor tlocrta putanje, privremeni se segment potvrđuje.

Ako se namjerava zanemariti utjecaje zaokreta na profil leta, uzima se pravocrtni let, rješenje za pojedinačni segment, iako se podaci o kutu bočnog nagiba zadržavaju za kasniju upotrebu.

Neovisno o tome jesu li utjecaji zaokreta potpuno modelirani, svaka trodimenzionalna putanja leta nastaje spajanjem njezina dvodimenzionalnog profila leta s njezinom dvodimenzionalnom tlocrtom putanje. Rezultat je slijed skupova koordinata ($x,y,z$), pri čemu je svaki skup čvor segmentiranog tlocrta putanje, čvor profila leta ili čvor i tlocrta

▼M2

putanje i profila leta, dok su točke profila popraćene odgovarajućim vrijednostima visine $z$, brzinom po horizontali $V$, kutom bočnog nagiba ε i snagom motora $P$. Za točku putanje $(x,y)$ koja je smještena između krajeva segmenta profila leta, parametri leta interpoliraju se kako slijedi:

$$z = z_1 + f \cdot (z_2 - z_1) \quad (2.7.5.)$$

$$V = \sqrt{V_1^2 + f \cdot (V_2^2 - V_1^2)} \quad (2.7.6.)$$

$$\varepsilon = \varepsilon_1 + f \cdot (\varepsilon_2 - \varepsilon_1) \quad (2.7.7.)$$

$$P = \sqrt{P_1^2 + f \cdot (P_2^2 - P_1^2)} \quad (2.7.8.)$$

pri čemu je:

$$f = (s - s_1)/(s_2 - s_1) \quad (2.7.9.)$$

Napomena: dok se za $z$ i ε pretpostavlja da variraju linearno s udaljenosti, za $V$ i $P$ pretpostavlja se da variraju linearno s vremenom (tj. konstantnim ubrzanjem ([1])).

Usklađuju li se segmenti profila leta s podacima s radara (*analiza putanje leta*), sve udaljenosti krajnjih točaka, visine, brzine i kutovi bočnog nagiba određuju se izravno na temelju podataka; samo se režim snage motora mora izračunati jednadžbama za snagu. S obzirom na to da se i koordinate tlocrta putanje i profila leta mogu spariti na odgovarajući način, to je obično prilično jednostavan postupak.

Segmentacija zaleta

Pri uzlijetanju, budući da zrakoplov ubrzava između točke otpuštanja kočnica (alternativni naziv glasi početak kretanja, eng. *start-of-roll* SOR) i točke odizanja, brzina se naglo mijenja na udaljenosti od 1 500 do 2 500 m, od nule do između 80 i 100 m/s.

Zalet je stoga podijeljen u segmente s promjenjivim duljinama na kojima se brzina zrakoplova mijenja za određeno povećanje $\Delta V$ koje iznosi najviše 10 m/s (približno 20 kt). Iako ubrzanje zapravo varira tijekom zaleta, pretpostavka konstantnog ubrzanja prikladna je za ovu svrhu. U tom slučaju, za fazu uzlijetanja, $V_1$ je početna brzina, $V_2$ je brzina pri uzlijetanju, $n_{TO}$ je broj uzletnih segmenata i $s_{TO}$ je ekvivalentna udaljenost pri uzlijetanju $s_{TO}$. Za ekvivalentnu udaljenost pri uzlijetanju $s_{TO}$ (vidjeti **Dodatak B**), početna brzina $V_1$ i brzina pri uzlijetanju $V_2$ broj $n_{TO}$ segmenata za zalet je

$$n_{TO} = \text{int}(1 + (V_2 - V_1)/10) \quad (2.7.10.)$$

i stoga je promjena brzine uzduž segmenta

$$\Delta V = (V_2 - V_1)/n_{TO} \quad (2.7.11.)$$

a vrijeme Δt za svaki segment je (pretpostavljeno konstantno ubrzanje)

$$\Delta t = \frac{2 \cdot s_{TO}}{(V_2 + V_1) \cdot n_{TO}} \quad (2.7.12.)$$

([1]) Čak i ako režim rada motora ostane konstantan duž segmenta, potisna sila i ubrzanje mogu se promijeniti zbog varijacije gustoće zraka prema visini. Međutim, za potrebe modeliranja buke te su promjene obično zanemarive.

▼M2

Stoga je duljina $s_{TO,k}$ segmenta k ($1 \leq k \leq n_{TO}$) zaleta:

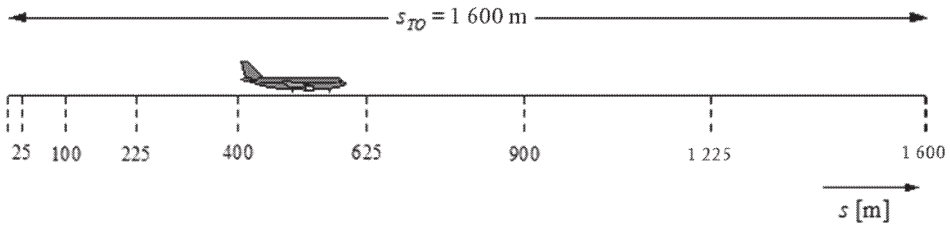
$$s_{TO,k} = (k - 0{,}5) \cdot \Delta V \cdot \Delta t = \frac{(2k-1) \cdot s_{TO}}{n_{TO}^2} \qquad (2.7.13.)$$

*Primjer:*

Za udaljenost pri uzlijetanju $s_{TO}$ = 1 600 m, $V_1$ = 0 m/s i $V_2$ = 75 m/s, dobiva se $n_{TO}$ = 8 segmenata s duljinama od 25 do 375 metara (vidjeti **sliku 2.7.g**):

*Slika 2.7.g*

**Segmentacija zaleta (primjer za 8 segmenata)**




Slično kao i za promjene brzine, potisak se zrakoplova mijenja na svakom segmentu za konstantno povećanje $\Delta P$, koje se izračunava prema sljedećoj jednadžbi

$$\Delta P = (P_{TO} - P_{init})/n_{TO} \qquad (2.7.14.)$$

pri čemu $P_{TO}$ odnosno $P_{init}$ označuju potisak zrakoplova pri točki odizanja odnosno potisak zrakoplova na početku zaleta.

Korištenjem tog konstantnog povećanja potiska (umjesto korištenja oblika kvadratne jednadžbe 2.7.8.) namjerava se uspostaviti konzistentnost s linearnim odnosom potiska i brzine u slučaju zrakoplova na mlazni pogon (jednadžba B-1).

Segmentacija segmenta početnog penjanja

Tijekom segmenta početnog penjanja geometrija se brzo mijenja, posebno s obzirom na lokacije promatrača bočno od putanje leta, pri čemu će se *kut beta* promijeniti brzo kako se zrakoplov bude penjao duž tog početnog segmenta. Iz usporedbi s izračunima vrlo malih segmenata vidi se da upotreba samo jednog segmenta za početni uspon dovodi do slabe aproksimacije buke bočno od putanje leta za integrirane parametre. Točnost izračuna poboljšava se podsegmentacijom prvog segmenta odizanja. Na duljinu svakog segmenta i na njihov broj snažno utječe lateralno prigušenje. Ako se uzme u obzir izraz ukupnog lateralnog prigušenja za zrakoplove s motorima smještenima na trupu, može se pokazati da se radi ograničavanja promjene u lateralnom prigušenju od 1,5 dB po podsegmentu segment početnog penjanja mora podsegmentirati na temelju sljedećeg skupa vrijednosti za visinu:

*z = {18,9; 41,5; 68,3; 102,1; 147,5; 214,9; 334,9; 609,6; 1 289,6} metara ili*

*z = {62; 136; 224; 335; 484; 705; 1 099; 2 000; 4 231} stopa*

Prethodno navedene visine primjenjuju se tako što se određuje koja je visina iz prethodnog skupa najbliža krajnjoj točki izvornog segmenta. Stvarne visine podsegmenta potom bi se izračunale jednadžbom:

▼M2

$$z'_i = z\ [z_i/z_N]\ (i = 1...N) \qquad (2.7.15)$$

pri čemu je z krajnja visina izvornog segmenta, $z_i$ je i-ti član skupa čiji su elementi vrijednosti visine i $z_N$ je najbliža gornja međa u odnosu na visinu z. Tim se procesom postiže konstantna promjena lateralnog prigušenja u svakom podsegmentu, čime se generiraju točnije konture, a da se time ne koriste vrlo kratki segmenti.

*Primjer:*

Ako je visina krajnje točke izvornog segmenta z = 304,8 m, na temelju skupa vrijednosti visina dobivamo 214,9 < 304,8 < 334,9 i da najbliža gornja međa za z = 304,8 m iznosi $z_7$ = 334,9 m. Krajnje visine podsegmenta izračunavaju se prema sljedećoj formuli:

$$z_i' = 304{,}8\ [z_i/334{,}9]\ (i = 1..N)$$

Stoga bi $z_1'$ iznosio 17,2 m, $z_2'$ 37,8 m itd.

Vrijednosti brzine i snage motora na umetnutim točkama interpoliraju se jednadžbama (2.7.11.) odnosno (2.7.13.).

Segmentacija segmenata leta

Nakon što se segmentirana putanja leta izvede u skladu s postupkom opisanim u odjeljku 2.7.13. uz primjenu opisane podsegmentacije, daljnja podešavanja segmentacija mogu biti potrebna. Ona uključuju:

— uklanjanje točaka putanje leta koje su preblizu jedna drugoj i

— umetanje dodatnih točaka ako su promjene brzine uzduž segmenata predugačke.

Ako su točke međusobno udaljene najviše 10 metara uz jednake brzine i potiske, potrebno je ukloniti jednu od točaka.

Za segmente leta unutar kojih postoje znatne promjene brzine uzduž segmenta, to se mora podijeliti kao za kretanje zalet, tj.

$$n_{seg} = \mathrm{int}(1 + |V_2 - V_1|/10) \qquad (2.7.16.)$$

pri čemu su $V_1$ i $V_2$ početna odnosno krajnja brzina u segmentu. Odgovarajući parametri podsegmenta izračunavaju se na sličan način kao za zalet jednadžbama 2.7.11. do 2.7.13.

Protrčavanje

Premda je protrčavanje u osnovi obrnuti proces od zaleta, posebno treba voditi računa o

— *negativnom potisku* koji se ponekad primjenjuje radi usporavanja zrakoplova i

— avionima koji napuštaju uzletno-sletnu stazu nakon usporavanja (zrakoplovi koji napuste uzletno-sletnu stazu više nisu relevantni za zračnu buku jer se buka izazvana taksiranjem ne uzima u obzir).

▼**M2**

Za razliku od duljine zaleta koja se izvodi iz parametara performansi zrakoplova, duljina zaustavljanja $s_{stop}$ (tj. duljina od zone dodira do točke pri kojoj zrakoplov napušta uzletno-sletnu stazu) nije svojstvena isključivo zrakoplovu. Premda se najmanja duljina zaustavljanja može procijeniti na temelju mase i performansi zrakoplova (i dostupnog negativnog potiska), stvarni put kočenja ovisi i o lokaciji voznih staza, prometnoj situaciji i o propisima o upotrebi negativnog potiska u predmetnoj zračnoj luci.

Upotreba negativnog potiska nije standardni postupak, a primjenjuje se samo ako se potrebno usporenje ne može postići disk kočnicama. (Negativnim potiskom mogu se izazvati jake smetnje jer se brzom promjenom režima rada motora iz minimalnog u negativni potisak stvara iznenadna buka.)

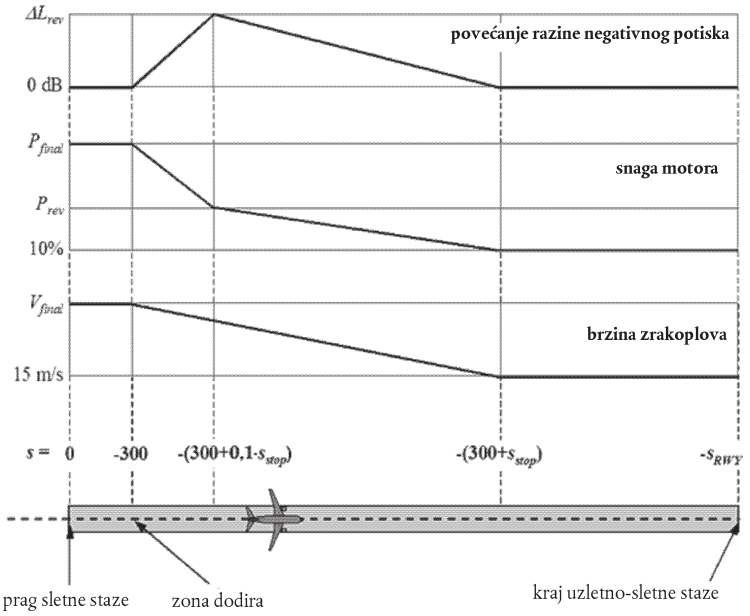
Međutim, većina se uzletno-sletnih staza koristi za odlaske i slijetanja tako da negativni potisak ima vrlo mali utjecaj na konture buke jer u odnosu na ukupnu količinu zvučne energije u blizini uzletno-sletne staze prevladava buka nastala operacijama uzlijetanja. Negativni potisak koji utječe na konture može biti značajan samo kada je korištenje uzletno-sletna staze ograničeno na operacije slijetanja.

Fizički, negativni potisak u odnosu na buku vrlo je složen proces, međutim zbog relativno malog značaja za konture zračne buke može se modelirati u pojednostavljenom obliku, naime u obzir se uzima brza promjena u snazi motora za pogodnu segmentaciju.

Jasno je da modeliranje buke za protrčavanje nije onako jednostavno kao za zalet. Sljedeće se pojednostavljene pretpostavke modeliranja preporučuju za opću upotrebu ako ne postoje detaljne informacije (vidjeti **sliku 2.7.h**).

*Slika 2.7.h*

**Modeliranje protrčavanja**



▼M2

Avion dodiruje tlo 300 metara iza praga sletne staze (koordinata $s = 0$ duž tlocrta putanje). Zrakoplov zatim usporava na kočnom putu $s_{stop}$ – specifične vrijednosti zrakoplova navedene su u bazi podataka ANP – od brzine završnog prilaza $V_{final}$ na 15 m/s. Zbog brzih promjena u brzini tijekom tog segmenta mora se podsegmentirati na isti način kao za zalet (ili za segmente leta s brzim promjenama brzine) jednadžbama 2.7.10. do 2.7.13.

Režim rada motora mijenja se iz režima za završni prilaz pri zoni dodira u režim negativnog potiska $P_{rev}$ na udaljenosti od $0{,}1 \cdot s_{stop}$, potom se smanjuje na 10 % najveće raspoložive snage na preostalih 90 % kočnog puta. Do kraja uzletno-sletne staze ($s = -s_{\mathrm{RWY}}$) brzina zrakoplova ostaje konstantna.

NPD krivulje za negativni potisak u ovom trenutku nisu uključene u baze podataka ANP i stoga je potrebno osloniti se na konvencionalne krivulje za modeliranje tog učinka. Snaga negativnog potiska $P_{rev}$ obično iznosi približno 20 % za režim pune snage i to se preporučuje kada operativni podaci nisu dostupni. Međutim, pri zadanom režimu rada motora, negativnim potiskom obično se stvara znatno veća buka nego pozitivnim potiskom, pri čemu se povećanje $\Delta L$ mora primijeniti na NPD podatke dobivene iz razine događaja koji rastu od nule na vrijednost $\Delta L_{rev}$ (5 dB preporučuje se za improvizaciju ([1])) duž $0{,}1 \cdot s_{stop}$ i potom opada linearno prema nuli duž preostalog dijela duljine za zaustavljanje.

2.7.14. *Izračun buke s obzirom na jednokratni događaj*

Srž procesa modeliranja opisanog ovdje u cijelosti jest izračun razine zvučnog događaja na temelju podataka o putanji leta opisanih u **odjeljcima 2.7.7. do 2.7.13**.

2.7.15. *Mjere za jednokratni događaj*

Zvuk proizveden kretanjem zrakoplova na lokaciji promatrača izražava se kao „razina zvuka (ili buke) za jednokratni događaj”, količina koja je indikator utjecaja na ljude. Primljeni zvuk mjeri se u pogledu buke osnovnom ljestvicom u decibelima *L(t)* koja se primjenjuje na frekvencijsko vrednovanje (ili filtar) radi oponašanja karakteristike ljudskog sluha. Najvažnija skala u modeliranju konture buke zrakoplova jest A-vrednovana razina zvuka, $L_A$.

Najčešće korištena mjera radi obuhvaćanja cijelih događaja jest „razina izloženosti jednokratnom zvuku (ili buci)”, $L_E$, kojom se uzima u obzir sva (ili gotovo sva) zvučna energija u događaju. Uvođenjem vremenske komponente nastaju najsloženiji problemi u modeliranju segmentacijom (ili simulacijom). Jednostavnije je modelirati alternativnu mjeru $L_{max}$ koja predstavlja maksimalnu trenutačnu razinu za vrijeme događaja; međutim $L_E$ je temeljni sastavni element većine današnjih indeksa za buku zrakoplova, a za očekivati je da će praktičnim modelima u budućnosti biti obuhvaćeni i $L_{max}$ i $L_E$. Obje mjere moguće je mjeriti na različitim skalama buke; u ovom se dokumentu u obzir uzima samo A-vrednovana razina zvuka. Skala je obično označena odgovarajućim proširenjem sufiksa, tj. $L_{AE}$, $L_{Amax}$.

([1]) To je preporučeno u prethodnom izdanju ECAC dokumenta br. 29, ali se još uvijek smatra privremenim do stjecanja dodatnih eksperimentalnih podataka.

▼M2

Razina izloženosti jednokratnom zvuku (ili buci) točno se izražava jednadžbom

$$L_E = 10 \cdot \lg\left(\frac{1}{t_0}\int_{t_1}^{t_2} 10^{L(t)/10}dt\right) \qquad (2.7.17.)$$

pri čemu $t_0$ označuje referentno vrijeme. Odabirom integracijskog intervala $[t_1,t_2]$ osigurava se obuhvaćanje (gotovo) cjelokupnog zvuka u događaju. Često se odabiru granice $t_1$ i $t_2$ kako bi se izrazilo vremensko razdoblje u kojem razina $L(t)$ ne prelazi 10 dB ispod $L_{max}$. To je razdoblje također poznato kao vrijeme „10 dB ispod" (*10-dB down*). Razine izloženosti zvuku (buci) u tablicama baze podataka ANP su vrijednosti 10 dB ispod (1).

Glavna primjena jednadžbe 2.7.17. pri modeliranju kontura buke zrakoplova je standardna mjera *razine izloženosti zvuku* $L_{AE}$ (kratica SEL):

$$L_{AE} = 10 \cdot \lg\left(\frac{1}{t_0}\int_{t_1}^{t_2} 10^{L_A(t)/10}dt\right) \text{ s } t_0 = 1 \text{ sekunda} \qquad (2.7.18.)$$

Prethodno navedene jednadžbe za razinu izloženosti mogu se koristiti za određivanje razina događaja kad je poznat cjelokupni vremenski protek $L(t)$. U preporučenoj metodologiji modeliranja zvuka ti vremenski proteci nisu definirani; razine izloženosti događaja izračunavaju se zbrajanjem vrijednosti segmenata, koje su djelomične razine događaja, a svaka od tih djelomičnih razina određuje doprinos jednog konačnog segmenta putanje leta.

2.7.16. *Određivanje razina događaja na temelju NPD podataka*

Glavni izvor podataka o buci zrakoplova je međunarodna baza podataka za buku i performanse zrakoplova (ANP). U toj su bazi podataka u tablici navedene vrijednosti $L_{max}$ i $L_E$ kao funkcije udaljenosti širenja $d$ za određene tipove zrakoplova, inačice zrakoplova, konfiguracije leta (prilaz, odlet, položaj zakrilaca) i režimi rada motora $P$. Odnose se na jednakomjerni let pri određenim referentnim brzinama $V_{ref}$ na teoretski beskonačnoj pravocrtnoj putanji leta (2).

Kako se navode vrijednosti neovisnih varijabli P i D opisano je u nastavku. Pri pojedinačnom pretraživanju s ulaznim vrijednostima $P$ i $d$ potrebne izlazne vrijednosti su *osnovne razine* $L_{max}(P,d)$ i/ili $L_{E\infty}(P,d)$ (primjenjivo na beskonačnu putanju leta). Osim ako u tablici nisu navedene točne vrijednosti za $P$ i/ili $d$, u načelu bit će potrebno interpolacijom procijeniti potrebne razine zvučnog događaja. Pritom se između tabličnih postavki snage primjenjuje linearna interpolacija, a između tabličnih udaljenosti logaritamska interpolacija (vidjeti **sliku 2.7.i**).

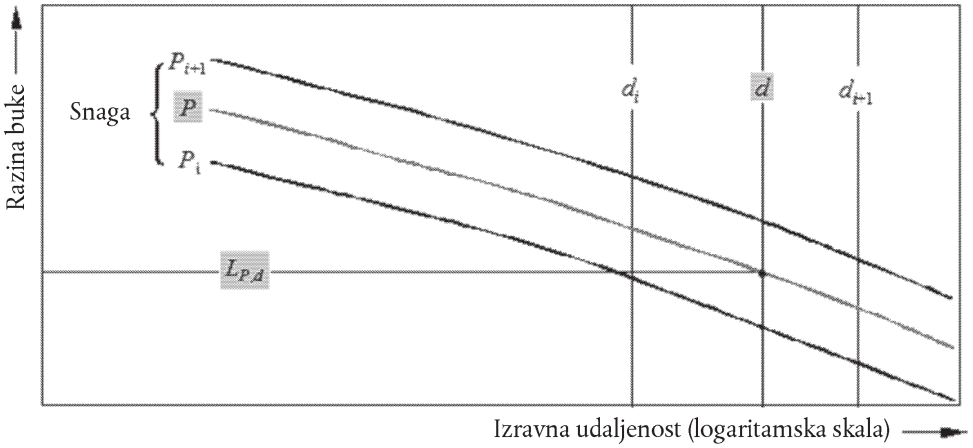
(1) $L_E$ s 10 dB ispod može biti do 0,5 dB niži od $L_E$ ocijenjenog u odnosu na dulje razdoblje. Međutim, osim na kratkim izravnim udaljenostima pri kojima su razine događaja visoke, zbog buke iz okoline dulji intervali mjerenja često su nepraktični pa su norma vrijednosti 10 dB ispod. S obzirom na to da se studije o utjecajima buke (radi „kalibriranja" kontura buke) također često odnose na vrijednosti 10 dB ispod, podaci se iz ANP tablica smatraju u potpunosti prikladnima.

(2) Premda je pojam beskonačno dugačke putanje leta važan u odnosu na definiciju razini izloženosti buci događaja $L_E$, manje je relevantan u pogledu maksimalne razine događaja $L_{max}$ koja je određena bukom koju emitira zrakoplov kad se nalazi na svojoj najbližoj točki približavanja promatraču ili blizu nje. Za potrebe modeliranja NPD parametar udaljenosti predstavlja najmanji razmak između promatrača i segmenta.

▼M2

*Slika 2.7.i*

**Interpolacija u NPD krivuljama**




Ako su $P_i$ i $P_{i+1}$ vrijednosti snage motora za koje su u tablici navedeni podaci za razinu buke u odnosu na udaljenost, razina buke *L(P)* na zadanoj udaljenosti za snagu vrijednosti $P$ između $P_i$ i $P_{i+1}$ izračunava se kako slijedi:

$$L(P) = L(P_i) + \frac{L(P_i + 1) - L(P_i)}{P_{i+1} - P_i} \cdot (P - P_i) \qquad (2.7.19.)$$

Ako za bilo koju vrijednost snage postoje udaljenosti $d_i$ i $d_{i+1}$ za koje se u tablici nalaze podaci o buci, razina buke *L(d)* za udaljenost $d$ između $d_i$ i $d_{i+1}$ izračunava se kako slijedi:

$$L(d) = L(d_i) + \frac{L(d_{i+1}) - L(d_i)}{\lg d_{i+1} - lgd_i} \cdot (\lg d - \lg d_i) \qquad (2.7.20.)$$

Jednadžbama (2.7.19.) i (2.7.20.) razina buke *L(P,d)* može se izračunati za bilo koju vrijednost snage $P$ i bilo koju udaljenost $d$ unutar okvira baze NPD podataka.

Za udaljenosti $d$ izvan NPD okvira primjenjuje se jednadžba 2.7.20. kako bi se izvela interpolacija iz prethodne dvije vrijednosti, tj. prema unutra iz $L(d_1)$ i $L(d_2)$ ili prema van iz $L(d_{I-1})$ i $L(d_I)$ pri čemu je $I$ ukupni broj NPD bodova na krivulji. Tako je:

prema unutra: $$L(d) = L(d_2) + \frac{L(d_1) - L(d_2)}{\lg d_2 - lgd_1} \cdot (\lg d_2 - \lg d) \qquad (2.7.21.)$$

prema van: $$L(d) = L(d_{I-1}) - \frac{L(d_{I-1}) - L(d_I)}{\lg d_I - lgd_{I-1}} \cdot (\lg d - \lg d_{I-1}) \qquad (2.7.22.)$$

Budući da pri malim udaljenostima $d$ razine buke rastu izrazito brzo uz smanjenje udaljenosti širenja, preporučuje se da se za $d$ odredi donja granica od 30 m, tj. $d = \max(d, 30\ \text{m})$.

Prilagodba impedancije standardnih NPD podataka

NPD podaci sadržani u bazi podataka ANP normalizirani su za specifične atmosferske uvjete (temperatura 25 °C i tlak 101,325 kPa). Prije primjene prethodno opisane metode interpolacije/ekstrapolacije na te je standardne NPD podatke potrebno primijeniti prilagodbu akustičke impedancije.

▼M2

Akustička impedancija odnosi se na širenje zvučnih valova u akustičkom mediju i definira se kao umnožak gustoće zraka i brzine zvuka. Pri određenom intenzitetu zvuka (snaga zvuka po jediničnoj površini) primljenom na određenoj udaljenosti od izvora s time povezani zvučni tlak (radi definicije mjera SEL i $L_{Amax}$) ovisi o akustičkoj impedanciji zraka na mjestu mjerenja. To je funkcija temperature, atmosferskog tlaka (i neizravno visine). Stoga je potrebno prilagoditi standardne NPD podatke iz baze podataka ANP vodeći računa o temperaturi i tlačnim uvjetima na točki prijema, a koji se općenito razlikuju od normaliziranih uvjeta ANP podataka.

Prilagodba impedancije na primjenjivu standardnu NPD razinu izražava se kako slijedi:

$$\Delta_{Impedance} = 10 \cdot \lg\left(\frac{\rho \cdot c}{409{,}81}\right) \qquad (2.7.23.)$$

pri čemu je:

$\Delta_{Impedance}$ prilagodba impedancije za stvarne atmosferske uvjete na točki prijema (dB),

$\rho \cdot c$ akustička impedancija (newton · sekunda/$m^3$) zraka na točki prijema (pri čemu je 409,81 impedancija zraka povezana s atmosferskim referentnim uvjetima NPD podataka u bazi podataka ANP).

Impedancija $\rho \cdot c$ izračunava se kako slijedi:

$$\rho \cdot \mathrm{c} = 416{,}86 \cdot \left[\frac{\delta}{\theta^{1/2}}\right] \qquad (2.7.24.)$$

$\delta$ $p/p_o$, omjer tlaka zraka u okolini na visini promatrača u odnosu na standardni tlak zraka na srednjoj razini mora: $p_o$ = 101,325 kPa (ili 1 013,25 mb),

$\theta$ $(T + 273{,}15)/(T_0 + 273{,}15)$ omjer između temperature zraka na visini promatrača i standardne temperature zraka na srednjoj razini mora: $T_0$ = 15,0 °C.

Prilagodba akustičke impedancije obično iznosi manje od jedne desetine dB. Potrebno je osobito napomenuti da u atmosferskim standardnim uvjetima ($p_o$ = 101,325 kPa i $T_0$ = 15,0 °C) prilagodba impedancije iznosi manje od 0,1 dB (0,074 dB). Međutim, kad postoje znatne razlike u temperaturi i atmosferskom tlaku u odnosu na atmosferske referentne uvjete NPD podataka, prilagodba može biti znatno veća.

2.7.17. *Opći izrazi*

Razina događaja u segmentu Lseg

Vrijednosti segmenta određuju se primjenom prilagodbi na osnovne vrijednosti (beskonačna putanja) koje se uzimaju iz NPD podataka. Maksimalna razina buke jednog segmenta putanje leta $L_{max,seg}$ može se općenito izraziti kao

$$L_{max,seg} = L_{max}(P,d) + \Delta_I(\varphi) - \Lambda(\beta,\ell) \qquad (2.7.25.)$$

▼**M2**

a doprinos jednog segmenta putanje leta razini $L_E$ kao

$$L_{E,seg} = L_{E\infty}(P,d\ ) + \Delta_V + \Delta_I(\varphi) - \Lambda(\beta,\ell) + \Delta_F \quad (2.7.26.)$$

„Korektivni članovi" u jednadžbama 2.7.25. i 2.7.26., koji su detaljno opisani u odjeljku 2.7.19., uzimaju u obzir sljedeće efekte:

$\Delta_V$ *Korekcija za trajanje:* NPD podaci odnose se na referentnu brzinu leta. Tom se korekcijom razine izloženosti prilagođuju nereferentnim brzinama. (Ne primjenjuje se na $L_{max,seg}$.)

$\Delta_I$ (φ) *Efekt instalacije:* označuje promjenu *lateralne usmjerenosti* zbog omatanja, refrakcije i refleksije prouzročenih zmajem zrakoplova, motorima i okružujućim poljima strujanja.

$\Lambda(\beta,\ell)$ *Lateralno prigušenje:* značajno za zvuk koji se u malim kutovima širi prema tlu; njime se u obzir uzima interakcija između izravnih i reflektiranih zvučnih valova (utjecaj tla) te utjecaji atmosferskih nehomogenosti (prije svega prouzročenih tlom) koji zvučne valove lome na njihovu putu prema promatraču bočno od putanje leta.

$\Delta_F$ *Korekcija za konačni segment (udio buke)* uzima u obzir konačnu duljinu segmenta kojom se naravno manje pridonosi manjoj izloženosti buke nego beskonačnom duljinom. Primjenjuje se samo na mjere za izloženost.

Ako je segment dio zaleta ili protrčavanja i ako se promatrač nalazi iza predmetnog segmenta, poduzimaju se posebni koraci radi prikaza izražene usmjerenosti buke mlaznog motora koja je zabilježena iza zrakoplova spremnog za uzlijetanje. Ti posebni koraci rezultiraju prije svega posebnim oblikom buke za razinu izloženosti:

$$L_{max,seg} = L_{max}(P,d) + \Delta_I(\varphi) - \Lambda(\beta,\ell) + \Delta_{SOR} \quad (2.7.27.)$$

$$L_{E,seg} = L_{E\infty}(P,d) + \Delta_V + \Delta_I(\varphi) - \Lambda(\beta,\ell) + \Delta'_F + \Delta_{SOR} \quad (2.7.28.)$$

$\Delta'_F$ Poseban oblik *korekcije za segment,*

$\Delta_{SOR}$ *Korekcija za usmjerenost*: radi uzimanja u obzir izražene usmjerenosti buke mlaznog motora iza segmenta kretanja na tlu.

Poseban tretman segmenta zaleta ili protrčavanja opisan je u odjeljku 2.7.19.

U odjeljcima u nastavku opisan je izračun razina buke u segmentu.

▼M2

Razina zvučnog događaja L kretanja zrakoplova

Maksimalna razina $L_{max}$ u stvari je najveća od vrijednosti segmenta $L_{max,seg}$ (vidjeti jednadžbe **2.7.25. i 2.7.27.**)

$$L_{max} = \max(L_{max,seg}) \qquad (2.7.29.)$$

pri čemu se svaka vrijednost segmenta određuje na temelju NPD podataka zrakoplova za snagu $P$ i udaljenost $d$. Ti parametri i modifikatori $\Delta_I(\varphi)$ i $\Lambda(\beta,\ell)$ objašnjavaju se u nastavku.

Razina izloženosti $L_E$ izračunava se kao zbroj decibela doprinosa $L_{E,seg}$ svakog segmenta putanje leta značajnog za buku; tj.

$$L_E = 10 \cdot \lg\left(\sum 10^{L_E,\,seg/10}\right) \qquad (2.7.30.)$$

Zbrajanje se odvija korak po korak kroz segmente putanje leta.

U ostatku ovog poglavlja govorit će se o određivanju razina buke segmenta $L_{max,seg}$ i $L_{E,seg}$.

2.7.18. *Parametri segmenta putanje leta*

Snaga $P$ i udaljenost $d$, za koje se osnovne razine $L_{max,seg(P,d)}$ i $L_{E\infty(P,d)}$ interpoliraju iz NPD tablica, određuju se na temelju geometrijskih i operativnih parametara kojima se definira segment. Na koji se način to izvodi objašnjava se u nastavku pomoću ilustracija ravnine na kojoj se nalaze segment i promatrač.

Geometrijski parametri

Na **slikama od 2.7.j do 2.7.l** prikazana je geometrija između izvora i prijemnika kad se promatrač **O** nalazi (a) iza, (b) pored i (c) ispred segmenta $\mathbf{S_1S_2}$ pri čemu je smjer leta od $\mathbf{S_1}$ prema $\mathbf{S_2}$. U tim dijagramima vrijedi sljedeće:

O je lokacija promatrača,

$S_1$ , $S_2$ su početak i kraj segmenta,

$S_p$ je točka najmanjeg razmaka prilaza okomita u odnosu na promatrača za segment ili njegovo povećanje,

$d_1$, $d_2$ su udaljenosti između promatrača i početka i kraja segmenta,

$d_s$ je najkraća udaljenost između promatrača i segmenta,

$d_p$ je okomita udaljenost između promatrača i povećanog segmenta *(minimalna izravna udaljenost),*

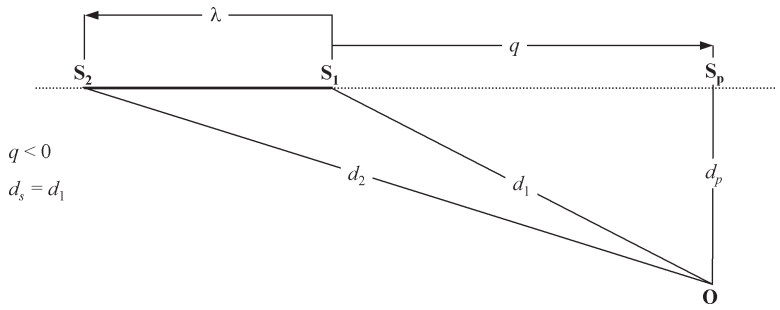
$\lambda$ je duljina segmenta putanje leta,

q je udaljenost od $\mathbf{S_1}$ do $\mathbf{S_p}$ (negativna ako se položaj promatrača nalazi iza segmenta).

▼M2

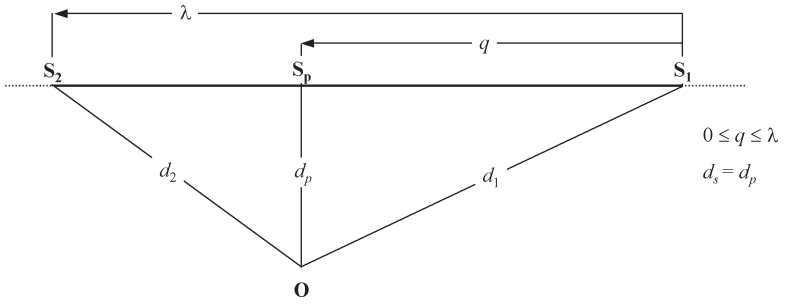
*Slika 2.7.j*

**Geometrija segmenta putanje leta kad se promatrač nalazi iza segmenta**



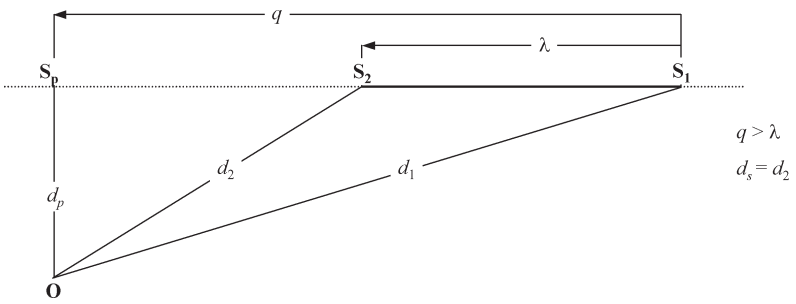

*Slika 2.7.k*

**Geometrija segmenta putanje leta kad se promatrač nalazi pored segmenta**




*Slika 2.7.l*

**Geometrija segmenta putanje leta kad se promatrač nalazi ispred segmenta**




Segment putanje leta prikazan je tamnom punom crtom. Točkasta crta predstavlja *povećanje putanje leta* koja se proteže beskonačno u oba smjera. Što se tiče segmenata leta, kada je mjera događaja razina izloženosti $L_E$, NPD parametar udaljenosti $d$ je razmak $d_p$ udaljenost $\mathbf{S_p}$ i promatrača, tzv. *minimalna izravna udaljenost* (tj. okomita udaljenost između promatrača i segmenta ili njegova povećanja, drugim riječima prema (hipotetskoj) beskonačnoj putanji leta čijim se dijelom segment smatra).

▼M2

Međutim što se tiče mjere razine izloženosti kad se lokacije promatrača nalaze iza segmenata tla za vrijeme zaleta odnosno ispred segmenata tla za vrijeme protrčavanja, NPD parametar udaljenosti $d$ postaje udaljenost $d_s$, najkraća udaljenost između promatrača i segmenta (tj. ista kao i za mjeru maksimalne razine).

Što se tiče mjere maksimalne razine, NPD parametar udaljenosti $d$ jest $d_s$, najkraći razmak između promatrača i segmenta.

Snaga segmenta P

Tabeliranim NPD podacima opisuje se buka zrakoplova u jednakomjernom pravocrtnom letu na beskonačnoj putanji leta, tj. pri konstantnoj snazi motora $P$. U preporučenoj se metodologiji stvarne putanje leta, za vrijeme kojih brzina i smjer variraju, dijele na niz konačnih segmenata, svaki od kojih predstavlja dio ujednačene beskonačne putanje leta za koju vrijede NPD podaci. Metodologijom su međutim predviđene promjene snage po duljini segmenta; pretpostavljeno je da se mijenjaju linearno od udaljenosti $P_1$ na početku do $P_2$ na kraju segmenta. Stoga je potrebno definirati ekvivalentnu jednakomjernu vrijednost segmenta $P$. Za nju se uzima vrijednost na onoj točki segmenta koja je najbliža promatraču. Nalazi li se promatrač pored segmenta (slika 2.7.k), vrijednost se dobiva interpolacijom u skladu s jednadžbom 2.7.8. između krajnjih vrijednosti, tj.

$$P = \sqrt{P_1^2 + \frac{q}{\lambda} \cdot (P_2^2 - P_1^2)} \qquad (2.7.31.)$$

Nalazi li se promatrač iza ili ispred segmenta, vrijednost je ona na najbližoj krajnjoj točki $P_1$ ili $P_2$.

2.7.19. *Korekcije za razinu događaja u segmentu*

NPD podacima razine zvučnih događaja definiraju se kao funkcija udaljenosti okomito ispod idealizirane pravocrtne putanje leta beskonačne duljine na kojoj zrakoplov leti jednakomjernom snagom pri fiksnoj referentnoj brzini ([1]). Razina događaja interpolirana na temelju NPD tablice za određenu vrijednost snage i određenu izravnu udaljenost opisana je u skladu s tim kao *osnovna razina*. Primjenjuje se na beskonačnu putanju leta i mora se korigirati kako bi se uzeli u obzir utjecaji (1) nereferentne brzine, (2) utjecaji položaja motora (lateralna usmjerenost), (3) lateralnog prigušenja, (4) konačne duljine segmenta i (5) longitudinalne usmjerenosti nakon početka zaleta – vidjeti jednadžbe 2.7.25. i 2.7.26.

Korekcija za trajanje ΔV (samo razine izloženosti LE)

Ovom se korekcijom ([2]) uzima u obzir promjena razina izloženosti ako se stvarna brzina po horizontali na segmentu razlikuje od referentne brzine zrakoplova $V_{ref}$ na koju se odnose NPD podaci. Kao što snaga motora varira, varira i brzina duž segmenta (brzina po horizontali od $V_1$ prema $V_2$) i stoga je potrebno odrediti ekvivalentnu brzinu segmenta $V_{seg}$ pri čemu treba uzeti u obzir nagib segmenta u odnosu na tlo; t.j.

([1]) U skladu s NPD specifikacijama podaci moraju biti utemeljeni na mjerenjima jednakomjernog *pravocrtnog* leta, a ne nužno na mjerenjima horizontalnog leta; radi stvaranja potrebnih uvjeta za let ispitna putanja leta zrakoplova može biti nagnuta u odnosu na horizontalu. Međutim, kao što će biti prikazano, nagnute putanje dovode do računalnih poteškoća pa je stoga pri korištenju podataka za modeliranje praktično vizualizirati putanje izvora kao pravocrtne i horizontalne.

([2]) Naziv korekcije glasi *korekcija za trajanje* jer se njome u obzir uzimaju utjecaji *brzine* zrakoplova na trajanje zvučnog događaja, pri čemu se polazi od jednostavne pretpostavke da je pod istim uvjetima trajanje, i samim tim primljena zvučna energija, obrnuto proporcionalno brzini izvora.

▼M2

$$V_{seg} = V/\cos\gamma \qquad (2.7.32.)$$

pri čemu je $V$ ekvivalentna brzina po horizontali na segmentu (za informacije vidjeti jednadžbu B-22 u kojoj je $V$ izraženo kao kalibrirana brzina leta $V_c$) i

$$\gamma = \tan^{-1}\left(\frac{z_2 - z_1}{s_2 - s_1}\right) \qquad (2.7.33.)$$

Za segmente leta pretpostavlja se da je $V$ brzina po horizontali na najbližoj točki prilaženja **S**, interpolirana između vrijednosti krajnje točke segmenta pod pretpostavkom da linearno varira s vremenom; tj. kada se promatrač nalazi pored segmenta:

$$V = \sqrt{V_1^2 + \frac{q}{\lambda} \cdot (V_2^2 - V_1^2)} \qquad (2.7.34.)$$

Nalazi li se promatrač iza ili ispred segmenta, vrijednost je ona na najbližoj krajnjoj točki $V_1$ ili $V_2$.

Za segmente uzletno-sletne staze (dijelovi zaleta ili protrčavanja za koje vrijedi $\gamma = 0$) $V_{seg}$ jednostavno predstavlja prosjek početne i krajnje brzine segmenta; t.j.

$$V_{seg} = (V_1 + V_2)/2 \qquad (2.7.35.)$$

U oba slučaja aditivna korekcija za trajanje stoga iznosi

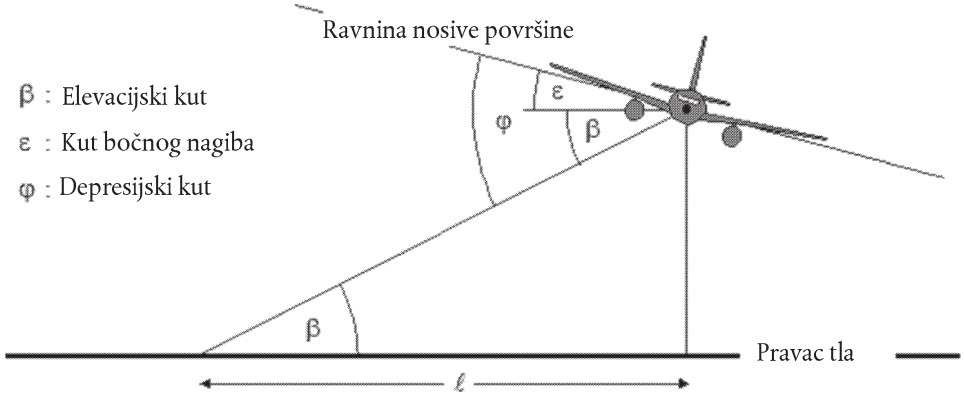
$$\Delta_V = 10 \cdot \lg(V_{ref}/V_{seg}) \qquad (2.7.36.)$$

Geometrija širenja zvuka

Na **slici 2.7.l** prikazana je osnovna geometrija u ravnini okomitoj na putanju leta zrakoplova. Pravac tla je sjecište okomite ravnine i ravnine tla. (Ako je putanja leta vodoravna, pravac je tla bokocrt ravnine tla.) Zrakoplov se nalazi pod kutom ε izmjerenim u smjeru kazaljke na satu u odnosu na svoju uzdužnu os (tj. nosiva površina na desnoj strani zrakoplova pokazuje prema gore). Stoga je pozitivan pri lijevim zaokretima, a negativan pri desnim.

*Slika 2.7.m*

**Kut između zrakoplova i promatrača u ravnini okomitoj na putanju leta**



▼M2

— *Elevacijskim kutom* $\beta$ (od 0 do 90°) između puta izravnog širenja zvučnog vala i horizontalnog pravca tla [1] određuje se, zajedno s nagibom putanje leta i lateralnim pomakom $\ell$ promatrača od tlocrta putanje, lateralno prigušenje.

— *Depresijskim kutom* φ između ravnine nosive površine i puta širenja određuju se utjecaji zbog položaja motora. S obzirom na konvenciju za kut bočnog nagiba $\varphi = \beta \pm \varepsilon$je pozitivnog predznaka za promatrače na desnoj strani zrakoplova i negativnog predznaka za promatrače na lijevoj strani zrakoplova.

Korekcija za položaj motora ΔI

Zrakoplov u letu predstavlja složen izvor zvuka. Osim što su izvori na motoru (i na zmaju zrakoplova) složeni već sami po sebi, konfiguracija zmaja zrakoplova, posebno položaj motora, utječe na uzorke zračenja buke procesima refleksije, refrakcije i raspršivanja od krutih površina i aerodinamičkih polja strujanja. To dovodi do neujednačene usmjerenosti lateralno zračenog zvuka oko uzdužne osi zrakoplova, a ta se usmjerenost ovdje naziva *lateralna usmjerenost*.

S obzirom na lateralnu usmjerenost postoje značajne razlike između zrakoplova s motorima smještenima na trupu i zrakoplova s motorima smještenima ispod nosive površine, a koje će u sljedećoj jednadžbi biti uzete u obzir:

$$\Delta_I(\varphi) = 10 \cdot \lg[(a \cdot \cos^2\varphi + \sin^2\varphi)^b / (c \cdot \sin^2 2\varphi + \cos^2 2\varphi)] \quad \text{dB} \quad (2.7.37.)$$

pri čemu je $\Delta_I(\varphi)$ korekcija u dB pri depresijskom kutu φ (vidjeti **sliku 2.7.m**) i

$a = 0{,}00384, \quad b = 0{,}0621, \quad c = 0{,}8786$ za motore smještene ispod nosive površine i

$a = 0{,}1225, \quad b = 0{,}3290, \quad c = 1$ za motore smještene na trupu.

U slučaju elisnih zrakoplova razlike usmjerenosti su zanemarive i za njih se može pretpostaviti da

$$D_I(j) = 0 \quad (2.7.38.)$$

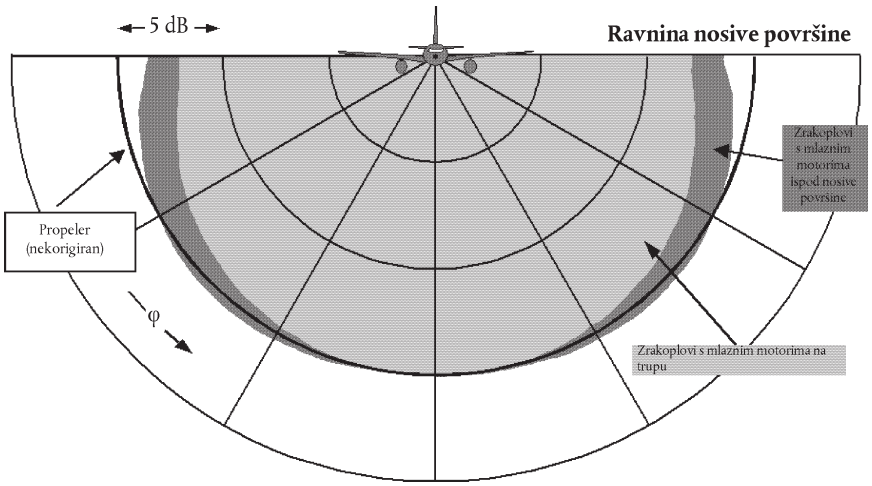
Na **slici 2.7.n** prikazana je razlika $\Delta_I(\varphi)$ oko uzdužne osi za tri položaja motora. Te je empirijske odnose izvelo Udruženje inženjera automobilske industrije (*Society of Automotive Engineers* – SAE) na temelju eksperimentalnih mjerenja uglavnom ispod nosive površine. Dok se ne analiziraju podaci iznad nosive površine preporučuje se da se za negativni $\varphi$ za sve vrste položaja koristi $\Delta_I(\varphi) = \Delta_I(0)$.

[1] U slučaju neravnog terena mogu postojati različite definicije elevacijskog kuta. Ovdje se definira visinom zrakoplova iznad promatračke točke i izravnom udaljenosti, tj. zanemaruju se gradijenti lokalnog terena i prepreke na putu širenja zvučnog vala (vidjeti odjeljke 2.7.6. i 2.7.10.). Nalazi li se točka prijema iznad zrakoplova, elevacijski kut β postavljen je na nulu.

▼M2

*Slika 2.7.n*

**Lateralna usmjerenost utjecaja instalacije**




Pretpostavlja se da je $\Delta_I$ ($\varphi$) dvodimenzionalna; tj. ne ovisi o nijednom drugom parametru, a posebno se ne mijenja s longitudinalnim razmakom između promatrača i zrakoplova. Time se *elevacijski kut* $\beta$ za$\Delta_I$ ($\varphi$) definira kao $\beta = \tan^{-1}(z/\ell)$. To je radi jednostavnijeg modeliranja dok se ne saznaju detalji mehanizma; efekti instalacije su u stvari trodimenzionalni. Unatoč tome, dvodimenzionalni model može se opravdati činjenicom da u razinama događaja uglavnom prevladava buka zračena bočno od najbližeg segmenta.

Lateralno prigušenje $\Lambda(\beta, \ell)$ (beskonačna putanja leta)

Tablične se NPD razine događaja odnose na jednakomjerni horizontalni let i obično se temelje na mjerenjima 1,2 m iznad mekanog ravnog tla ispod zrakoplova; parametar udaljenosti praktički je visina iznad površine. Pretpostavlja se da su mogući učinci površine na razine zvučnog događaja ispod zrakoplova, koji bi mogli dovesti do toga da se tablične razine razlikuju od vrijednosti slobodnog polja ([1]), sadržani u podacima (tj. u obliku odnosa razine i udaljenosti).

Bočno od putanje leta parametar je udaljenosti minimalni izravni razmak – duljina vertikale od prijemnika do putanje leta. Na bilo kojem bočnom položaju razina buke općenito je manja nego na istoj udaljenosti neposredno ispod zrakoplova. Pored *lateralne usmjerenosti* ili „utjecaja instalacije" kao što su prethodno opisani zbog povećanog *lateralnog prigušenja* kojim se prouzročuje da razina zvuka brže opada s porastom udaljenosti nego što je to navedeno u NPD krivuljama. Prethodnu je metodu za modeliranje lateralnog širenja buke zrakoplova, koja se nalazi u širokoj primjeni, razvio SAE u normi AIR-1751, a algoritmi opisani u nastavku temelje se na poboljšanjima koje SAE trenutačno preporučuje u normi AIR-5662. Lateralno prigušenje je utjecaj refleksije na temelju interferencije između izravno zračenog zvuka i zvuka reflektiranog s površine. Ovisi o vrsti površine i može prouzročiti znatna smanjenja u promatranim razinama buke pri malim elevacijskim kutovima. Na prigušenje snažno utječe jednakomjerna i nejednakomjerna

([1]) Razina u „slobodnom polju" je razina koja bi bila promatrana kada ne bi bilo površine tla.

▼M2

refrakcija zvuka prouzročena gradijentima vjetra i temperature ili turbulencijama koji su i sami mogu pripisati prisutnosti površine ([1]). Mehanizam je površinske refleksije dobro istražen i za ujednačene atmosferske i površinske uvjete može se teoretski prilično precizno opisati. Međutim, atmosferske i površinske neujednačenosti, koje se ne mogu obraditi jednostavnom teoretskom analizom, uvelike utječu na učinak refleksije i imaju sklonost da ga „prošire" na veće elevacijske kutove; stoga je teorija samo ograničeno primjenjiva. SAE konstantno radi na razvoju boljeg razumijevanja površinskog utjecaja što bi trebalo rezultirati boljim modelima. Do njihova razvoja preporučuje se sljedeća metodologija za izračun lateralnog prigušenja, opisana u normi AIR-5662. Ograničena je na slučaj širenja zvuka iznad mekanog ravnog tla što je prikladno za veliku većinu civilnih zračnih luka. Prilagodbe kako bi se uzeli u obzir efekti tvrde površine tla (ili površina sličnih akustičnih svojstava, vode) još su u fazi razvoja.

Metodologija se temelji na velikoj zbirci eksperimentalnih podataka o širenju zvuka iz zrakoplova s motorima smještenima na trupu u pravocrtnom (bez zaokreta), jednakomjernom, horizontalnom letu kako je izvorno navedena u AIR-1751. Pod pretpostavkom da pri horizontalnom letu prigušenje od zraka do tla i. ovisi o elevacijskom kutu $\beta$ izmjerenom u vertikalnoj ravnini i ii. o bočnom pomaku od tlocrta putanje $\ell$, podaci su analizirani na način da se izvede empirijska funkcija za *ukupnu* bočnu prilagodbu $\Lambda_T(\beta,\ell)$ (= bočna razina događaja minus razina pri istom razmaku ispod zrakoplova).

S obzirom na to da vrijednost $\Lambda_T(\beta,\ell)$ uzima u obzir i lateralnu usmjerenost i lateralno prigušenje, lateralno prigušenje može se dobiti oduzimanjem. Pri opisu lateralne usmjerenosti jednadžbom 2.7.37., s koeficijentima za motore smještene na trupu i zamjenom $\varphi$ s $\beta$ (prikladno za let bez zaokreta), bočno prigušenje postaje:

$$\Lambda(\beta,\ell) = \Lambda_T(\beta,\ell) - \Delta_I(\beta) \qquad (2.7.39.)$$

pri čemu se $\beta$ i $\ell$ mjere kako je prikazano na **slici 2.7.m** u ravnini okomitoj na beskonačnu putanju leta koja je, pri horizontalnom letu, također vertikalna.

Premda bi se $\Lambda(\beta,\ell)$ jednadžbom 2.7.39. uzimanjem $\Lambda_T(\beta,\ell)$ iz AIR-1751 moglo izračunati izravno, preporučuje se učinkovitiji odnos. Pritom je riječ o sljedećoj empirijskoj aproksimaciji prilagođenoj prema AIR-5662:

$$\Lambda(\beta,\ell) = \Gamma(\ell)\cdot\Lambda(\beta) \qquad (2.7.40.)$$

pri čemu je $\Gamma(\ell)$ faktor razmaka dobiven s

$$\Gamma(\ell) = 1{,}089\cdot\left[1-\exp(-0{,}00274\ell)\right] \quad \text{za } 0 \le \ell \le 914 \text{ m} \qquad (2.7.41.)$$

$$\Gamma(\ell) = 1 \quad \text{za } \ell > 914 \text{ m} \qquad (2.7.42.)$$

([1]) Gradijenti vjetra i temperature kao i turbulencije djelomično ovise o hrapavosti i svojstvima prijenosa topline površine.

▼M2

a $\Lambda(\beta)$ lateralno prigušenje od zraka do tla na velikoj udaljenosti dobiveno s

$$\Lambda(\beta) = 1{,}137 - 0{,}0229\beta + 9{,}72 \cdot \exp(-0{,}142\beta) \quad \text{za } 0° \leq \beta \leq 50° \quad (2.7.43.)$$

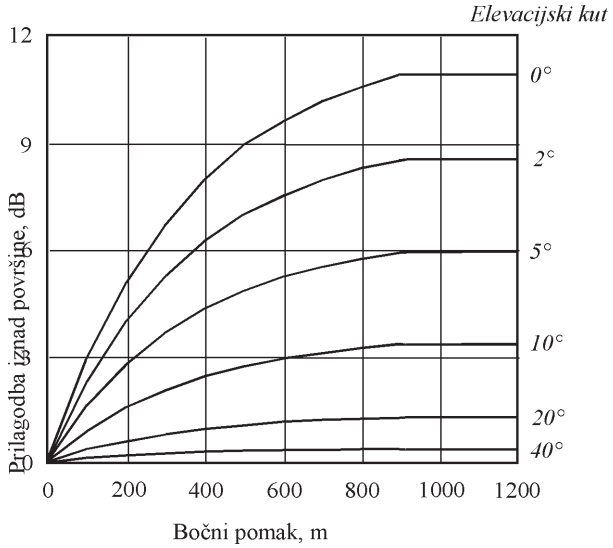
$$\Lambda(\beta) = 0 \quad \text{za } 50° \leq \beta \leq 90° \quad (2.7.44.)$$

Izraz za lateralno prigušenje $\Lambda(\beta,\ell)$, jednadžba 2.7.40., za koji se pretpostavlja da vrijedi za sve zrakoplove (elisni zrakoplovi, zrakoplovi s motorima smještenima na trupu kao i zrakoplovi s motorima smještenima ispod nosive površine), grafički je prikazan na **slici 2.7.o**.

U određenim uvjetima (s terenom) vrijednost $\beta$ može biti manja od nule. U tim se slučajevima preporučuje $\Lambda(\beta) = 10{,}57$.

*Slika 2.7.o*

**Promjena lateralnog prigušenja Λ(β,ℓ) s elevacijskim kutom i razmakom**




Lateralno prigušenje u konačnim segmentima

U jednadžbama od 2.7.41. do 2.7.44. opisano je lateralno prigušenje $\Lambda(\beta,\ell)$ zvuka koji promatraču dolazi od aviona u jednakomjernom letu na beskonačnoj horizontalnoj putanji leta. Pri njihovoj primjeni na nehorizontalne konačne segmente putanje leta prigušenje se mora izračunati za *ekvivalentnu* horizontalnu putanju leta jer se najbližom točkom na jednostavnom produljenju nagnutog segmenta (koji na određenoj točki prolazi kroz površinu tla) općenito ne dobiva prikladan elevacijski kut $\beta$.

Određivanje lateralnog prigušenja za konačne segmente znatno se razlikuje pri mjerama $L_{max}$ i $L_E$. Maksimalne razine segmenta $L_{max}$ određuju se na temelju NPD podataka kao funkcija udaljenosti širenja $d$ od najbliže točke u segmentu; za dimenzije segmenta nisu potrebne korekcije. Jednako se pretpostavlja da lateralno prigušenje $L_{max}$ ovisi samo o elevacijskom kutu iste točke i udaljenosti na tlu do te točke. Stoga su potrebne samo koordinate te točke. Međutim, za $L_E$ proces kompliciraniji.

▼M2

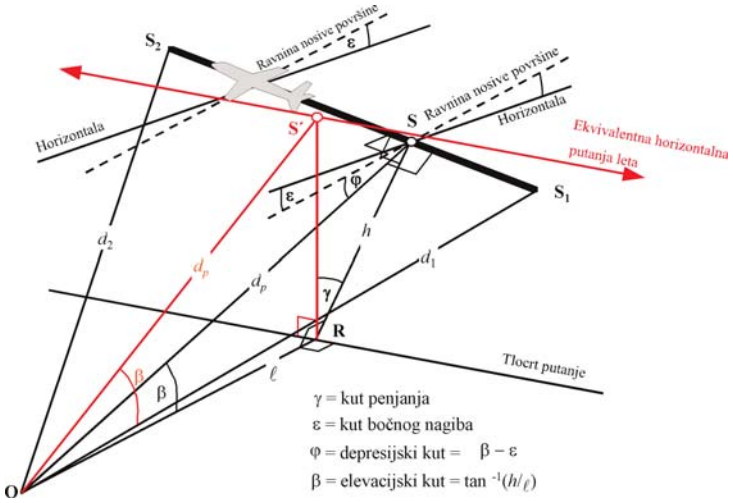
Osnovna razina događaja $L_E(P,d)$ koja se određuje na temelju NPD podataka, iako za parametre konačnih segmenata, primjenjuje se unatoč tome na beskonačnu putanju leta. Razina izloženosti događaja iz segmenta $L_{E,seg}$ je, naravno, manja od osnovne razine i to za potrebni iznos u korekcije za konačni segment, pri čemu je taj iznos opisan u odjeljku 2.7.19. Tom se korekcijom, funkcijom geometrije trokutova $OS_1S_2$ na **slikama 2.7.j do 2.7.l**, utvrđuje koji dio kod O primljene zvučne energije ukupne beskonačne putanje dolazi od segmenta; ista se korekcija primjenjuje neovisno o postojanju lateralnog prigušenja. Međutim, sva se lateralna prigušenja izračunavaju za beskonačnu putanju leta, tj. kao funkcija njezina pomaka i visine, a ne za konačni segment.

Zbrajanjem korekcija $\Delta_V$ i $\Delta_I$, i oduzimanjem lateralnog prigušenja $\Lambda(\beta,\ell)$ od NPD *osnovne razine* dobiva se prilagođena razina zvučnog događaja za ekvivalentni jednakomjerni *horizontalni* let na dodirnoj, beskonačnoj pravocrtnoj putanji. Međutim, stvarni segmenti putanje leta koji se modeliraju, oni koji utječu na konture buke, rijetko su horizontalni jer su zrakoplovi obično u fazi penjanja ili spuštanja.

Na **slici 2.7.p** prikazan je segment odleta $\mathbf{S_1S_2}$ – zrakoplov se penje pod kutom γ – međutim odnosi su pri dolasku prilično slični. Ostatak „realne" putanje leta nije prikazan; ovdje je dovoljno napomenuti da $\mathbf{S_1S_2}$ predstavlja samo dio cijele putanje (koja je općenito u obliku luka). U tom se slučaju promatrač **O** nalazi lijevo pored segmenta. Zrakoplov se nalazi (suprotno od smjera kazaljke na satu u podnosu na putanju) pod kutom ε prema bočnoj horizontalnoj osi. Depresijski kut $\varphi$ ravnine nosive površine, pri čemu je utjecaj instalacije $\Delta_I$ funkcija (jednadžba 2.7.39.), nalazi se u ravnini okomitoj na putanju leta u kojoj je ε definiran. Stoga vrijedi $\varphi = \beta - \varepsilon$ pri čemu je $\beta = \tan^{-1}(h/\ell)$ a $\ell$ okomita udaljenost **OR** između promatrača i tlocrta putanje; t.j. bočni pomak promatrača ([1]). Najbliža točka prilaženja aviona promatraču **S** definirana je okomicom **OS** duljine (kosa udaljenost) $d_p$. Trokut $\mathbf{OS_1S_2}$ odgovara **slici 2.7.k**, geometriji za izračun korekcije segmenta $\Delta_F$.

*Slika 2.7.p*

**Promatrač pored segmenta**




([1]) Pri promatraču desno od segmenta φ bi postao β + ε (vidjeti odjeljak 2.7.19.).

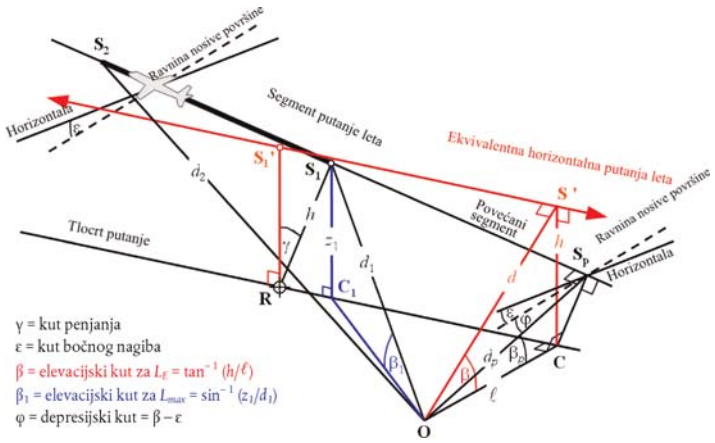
▼M2

Za izračun lateralnog prigušenja jednadžbom 2.7.40. (pri čemu se $\beta$ mjeri u vertikalnoj ravnini), *ekvivalentna horizontalna putanja leta* definirana je u vertikalnoj ravnini kroz $\mathbf{S_1S_2}$ i s istim okomitim izravnim razmakom $d_p$ od promatrača. To je vizualizirano rotacijom trokuta **ORS** i pridružene putanje leta oko **OR** (vidjeti **sliku 2.7.p**) pod kutom $\gamma$ čime se dobiva trokut **ORS′**. Elevacijski kut te ekvivalentne horizontalne putanje (sada u vertikalnoj ravnini) je $\beta = \tan^{-1}(h/\ell)$ ($\ell$ ostaje nepromijenjen). U tom slučaju, kad je promatrač pored segmenta, bočno prigušenje $\Lambda(\beta,\ell)$ isto je za mjere $L_E$ i $L_{max}$.

Na **slici 2.7.q** prikazana je situacija u kojoj se promatračka točka **O** nalazi *iza konačnog segmenta*, a ne pored. Ovdje se segment promatra kao udaljeniji dio beskonačne putanje; okomica se može povući samo do točke $\mathbf{S_p}$ na njezinu produljenju. Trokut $\mathbf{OS_1S_2}$ odgovara **slici 2.7.j** u kojoj je definirana korekcija segmenta $\Delta_F$. No, u ovom su slučaju parametri za lateralnu usmjerenost i lateralno prigušenje manje očigledni.

*Slika 2.7.q*

**Promatrač iza segmenta**




S obzirom na to da je lateralna usmjerenost (utjecaj instalacije) za potrebe modeliranja dvodimenzionalna, definirajući depresijski kut $\varphi$ mjeri se i dalje bočno od ravnine nosive površine zrakoplova. (Osnovna razina događaja i dalje je ona koja se stvara zrakoplovom koji leti beskonačnom putanjom leta koja se prikazuje produljenim segmentom.) Time se depresijski kut određuje na najbližoj točki prilaženja, tj. $\varphi = \beta_p - \varepsilon$ pri čemu je $\beta_p$ kut $\mathbf{S_pOC}$.

Za mjeru maksimalne razine NPD parametar udaljenosti uzima se kao najmanji razmak do segmenta, tj. $d = d_1$. Za mjeru razine izloženosti to je najkraća udaljenost $d_p$ između **O** i $\mathbf{S_p}$ na produljenoj putanji leta; tj. na temelju NPD tablice interpolirana razina jest $L_{E\infty}$ ($P_1$, $d_p$).

Geometrijski parametri za lateralno prigušenje različiti su i pri izračunu maksimalne razine i razine izloženosti. Za mjeru *maksimalne razine* prilagodba $\Lambda(\beta,\ell)$ dobiva se iz jednadžbe 2.7.40. s $\beta = \beta_1 = \sin^{-1}(z_1/d_1)$ i $\ell = \mathbf{OC_1} = \sqrt{d_1^2 - z_1^2}$ pri čemu su $\beta_1$ i $d_1$ definirani trokutom $\mathbf{OC_1S_1}$ u vertikalnoj ravnini kroz **O** i $\mathbf{S_1}$.

▼M2

Pri izračunu lateralnog prigušenja samo za segmente leta i mjeru *razine izloženosti* $\ell$ ostaje najkraći bočni pomak od produljenja segmenta (**OC**). Međutim, kako bi se definirala prikladna vrijednost za β, ponovno je potrebno vizualizirati (beskonačnu) *ekvivalentnu horizontalnu putanju leta* za koju se smatra da joj segment pripada. Ta se putanja povlači kroz $\mathbf{S_1'}$, visinu *h* iznad površine, pri čemu je h jednako duljini $\mathbf{RS_1}$, okomici od tlocrta putanje do segmenta. To odgovara rotaciji produljene stvarne putanje leta pod kutom γ oko točke **R** (vidjeti **sliku 2.7.q**). Dok se **R** nalazi na okomici prema $\mathbf{S_1}$, točki u segmentu koja je najbliža **O**, konstrukcija ekvivalentne horizontalne putanje ista je kao i kad se **O** nalazi pored segmenta.

Najbliža točka prilaženja ekvivalentne horizontalne putanje promatraču **O** je na **S′**, izravnom razmaku *d*, tako da se trokutom **OCS′** konstruiranim na taj način u vertikalnoj ravnini onda definira visinski kut $\beta = \cos^{-1}(\ell/d)$. Premda se ta transformacija čini prilično zamršenom, potrebno je napomenuti da geometrija osnovnog izvora (definirana s $d_1$, $d_2$ i $\varphi$) ostaje netaknuta. Zvuk koji se kreće od segmenta *prema* promatraču identičan je zvuku koji bi nastao kad bi cijeli let duž beskonačno produljenog nagnutog segmenta (kojem segment pripada za potrebe modeliranja) protekao konstantnom brzinom *V* i konstantnom snagom $P_1$. S druge strane, lateralno prigušenje zvuka segmenta koji *primi* promatrač nije povezano s $\beta_p$, elevacijskim kutom produljene putanje, nego s $\beta$, elevacijskim kutom ekvivalentne putanje.

Slučaj u kojem se promatrač nalazi ispred segmenta neće biti opisan zasebno jer je očito da u osnovi odgovara slučaju u kojem se promatrač nalazi iza segmenta.

Međutim, što se tiče mjere za razinu izloženosti kad se lokacije promatrača nalaze iza segmenata tla za vrijeme zaleta odnosno ispred segmenata tla za vrijeme protrčavanja, vrijednost za β postaje ista kao i za mjeru maksimalne razine, tj. $\beta = \beta_1 = \sin^{-1}(z_1/d_1)$ i $\ell = OC_1 = \sqrt{d_1^2 - z_1^2}$

Korekcija za konačni segment $\Delta_F$ (samo razina izloženosti $L_E$)

Prilagođena osnovna razina izloženosti buci odnosi se na zrakoplov u kontinuiranom pravocrtnom jednakomjernom horizontalnom letu (iako uz kut bočnog nagiba $\varepsilon$ koji je nespojiv s pravocrtnim letom). Primjenom (negativne) *korekcije za konačni segment* $\Delta_F = 10\times\lg(F)$, pri čemu je *F udio energije*, razina se dodatno prilagođuje razini koja bi vrijedila kad bi zrakoplov preletio samo konačni segment (ili kad bi zrakoplov bio potpuno bezvučan na ostatku beskonačne putanje leta).

Članom za udio energije uzima se u obzir izražena longitudinalna usmjerenost buke zrakoplova i kut ograničen segmentom na promatračkom mjestu. Premda su procesi kojima se prouzročuje usmjerenost vrlo složeni, studijama se pokazalo da su dobivene konture prilično neosjetljive na točno pretpostavljena svojstva usmjerenosti. Izraz za $\Delta_F$ naveden u nastavku temelji se na 90-stupanjskom dipolnom modelu zračenja zvuka na četvrtu potenciju. Pretpostavlja se da ne postoji utjecaj bočne usmjerenosti i bočnog prigušenja. Izvođenje te korekcije detaljno je opisano u **Dodatku E**.

Udio energije *F* je funkcija „pogleda” trokut $\mathbf{OS_1S_2}$ koji je definiran na **slikama od 2.7.j do 2.7.l** tako da se dobiva sljedeće:

▼M2

$$\Delta_F = 10 \cdot \lg\left[\frac{1}{\pi}\left(\frac{\alpha_2}{1+\alpha_2^2} + \arctan\alpha_2 - \frac{\alpha_1}{1+\alpha_1^2} - \arctan\alpha_1\right)\right] \qquad (2.7.45.)$$

pri čemu je:

$$\alpha_1 = -\frac{q}{d_\lambda}; \quad \alpha_2 = -\frac{q-\lambda}{d_\lambda}; \quad d_\lambda = d_0 \cdot 10^{[L_{E,x}(P,d_p) - L_{max}(P,d_p)]/10}; \quad d_0 = \frac{2}{\pi} \cdot V_{ref} \cdot t_0.$$

a $d_\lambda$ označuje „prilagođeni razmak” (vidjeti **Dodatak E**). Napominje se da je $L_{max}(P, d_p)$ maksimalna razina (izvedena na temelju NPD podataka) za okomiti razmak $d_p$, a NE $L_{max}$ segmenta.

Preporučuje se za $\Delta_F$ primijeniti donju granicu od –150 dB.

U posebnom slučaju da se lokacije promatrača nalaze iza svakog segmenta zaleta ili protrčavanja, primjenjuje se skraćeni oblik udjela buke koji je izražen u jednadžbi 2.7.45., a koja odgovara specifičnom slučaju q = 0. To se računa pomoću jednadžbe:

$$\Delta_{F'} = 10\ \log_{10}[(1/\pi)[\alpha_2/(1+\alpha_2^2) + \tan^{-1}\alpha_2]\ 10^{\Delta SOR/10}] \qquad (2.7.46.)$$

pri čemu $\alpha_2 = l/d_l$ i $\Delta_{SOR}$ je funkcija usmjerenosti na početku kretanja koja je definirana u jednadžbama 2.7.51. i 2.7.52.

Razlozi za korištenje tog posebnog oblika udjela buke objašnjeni su detaljnije u odjeljku u nastavku u okviru primjene metode za usmjerenost na početku kretanja.

Poseban tretman segmenata kretanja na tlu pri uzlijetanju i slijetanju, uključujući funkciju usmjerenosti na početku kretanja $\Delta_{SOR}$

U slučaju segmenata za kretanje na tlu (pri uzlijetanju i slijetanju) primjenjuju se posebni tretmani koji su opisani u nastavku.

Funkcija usmjerenosti na početku kretanja $\Delta_{SOR}$

Buka mlaznih zrakoplova, posebno zrakoplova opremljenih motorima s niskim prijenosnim omjerom, pokazuje čunjaste oblike zračenja u stražnjem luku, što je tipično za ispušnu buku mlaza. Taj je obrazac izraženiji što je veća brzina mlaza i manja brzina leta. To je od posebne važnosti za lokacije promatrača iza početka kretanja gdje su ispunjena oba uvjeta. Taj se utjecaj uzima u obzir funkcijom usmjerenosti $\Delta_{SOR.}$

Funkcija $\Delta_{SOR}$ izvedena je iz nekoliko kampanja za mjerenje buke u kojima su se upotrebljavali mikrofoni adekvatno pozicionirani iza i bočno od početka kretanja mlaznog zrakoplova u odlasku.

Na **slici 2.7.r** prikazana je odgovarajuća geometrija. Azimutni kut $\psi$ između longitudinalne osi zrakoplova i vektora u odnosu na promatrača definiran je jednadžbom:

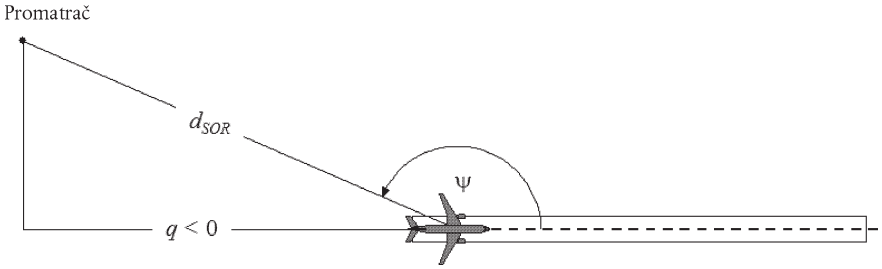
$$\psi = \arccos\left(\frac{q}{d_{SOR}}\right). \qquad (2.7.47.)$$

Relativna udaljenost $q$ je negativna (vidjeti **sliku 2.7.j**) tako da je $\psi$ u rasponu od 0° u smjeru kretanja zrakoplova prema naprijed do 180° u obrnutom smjeru.

▼M2

*Slika 2.7.r*

**Geometrija zrakoplova i promatrača na tlu radi procjene korekcije za usmjerenost**




Funkcija $\Delta_{SOR}$ predstavlja promjenu ukupne buke nastale zaletom izmjerene iza početka kretanja u odnosu na ukupnu buku zaleta izmjerenu bočno od početka kretanja uz isti razmak:

$$L_{TGR}(d_{SOR},\psi) = L_{TGR}(d_{SOR},90°) + \Delta_{SOR}(d_{SOR},\psi) \quad (2.7.48.)$$

pri čemu je $L_{TGR}(d_{SOR},90°)$ ukupna razina buke zaleta proizvedene svim segmentima zaleta u točki udaljenosti $d_{SOR}$ bočno od početka kretanja. Pri udaljenostima $d_{SOR}$ manjima od udaljenosti normaliziranja $d_{SOR,0}$, funkcija usmjerenosti na početku kretanja dobiva se na sljedeći način:

$$\Delta^0_{SOR} = 51{,}47 - 1{,}553 \cdot \psi + 0{,}015147 \cdot \psi^2 - 0{,}000047173 \cdot \psi^3 \quad \text{ako } 90° \leq \psi < 148{,}4° \quad (2.7.49.)$$

$$\Delta^0_{SOR} = 339{,}18 - 2{,}5802 \cdot \psi - 0{,}0045545 \cdot \psi^2 + 0{,}000044193 \cdot \psi^3 \quad \text{ako } 148{,}4° \leq \psi \leq 180° \quad (2.7.50.)$$

Ako je udaljenost $d_{SOR}$ veća od udaljenosti normaliziranja $d_{SOR,0}$, korekcija za usmjerenost množi se korekcijskim faktorom kako bi se uzelo u obzir da usmjerenost pri većim udaljenostima do zrakoplova postaje manje izražena; tj.

$$\Delta_{SOR} = \Delta^0_{SOR} \quad \text{ako } d_{\mathrm{SOR}} \leq d_{\mathrm{SOR,0}} \quad (2.7.51.)$$

$$\Delta_{SOR} = \Delta^0_{SOR} \cdot \frac{d_{SOR,0}}{d_{SOR}} \quad \text{ako } d_{\mathrm{SOR}} > d_{\mathrm{SOR,0}} \quad (2.7.52.)$$

Udaljenost normaliziranja $d_{SOR,0}$ jednaka je 762 m (2 500 ft).

Tretman prijemnika koji se nalaze iza svakog segmenta zaleta i protrčavanja

Prethodno opisanom funkcijom $\Delta_{SOR}$ obuhvaćen je prvenstveno izraženi učinak usmjerenosti početnog dijela zaleta na lokacijama iza početka kretanja (jer je najbliži prijemnicima i pokazuje najveći omjer brzine mlaza i brzine zrakoplova). Međutim, primjena izvedene funkcije $\Delta_{SOR}$„generalizirana" je na položaje iza svakog pojedinog segmenta kretanja na tlu (pri uzlijetanju i slijetanju), tj. ne samo iza točke početka kretanja (pri uzlijetanju).

Parametri $d_S$ i $\psi$ izračunavaju se u odnosu na početak svakog pojedinog segmenta kretanja na tlu pri uzlijetanju i slijetanju.

Razina događaja $L_{seg}$ za lokaciju iza zadanog segmenta zaleta ili protrčavanja izračunava se kako bi se udovoljilo zahtjevima s obzirom na formu $\Delta_{SOR}$ funkcije: izračunava se u osnovi za referentnu točku koja se nalazi bočno od početne točke segmenta uz istu udaljenost $d_S$ kao stvarna točka, a prilagođuje se dodatno s $\Delta_{SOR}$ kako bi se dobila razina događaja na stvarnoj točki.

▼M2

To znači da se za različite korekcijske članove u jednadžbama u nastavku moraju primijeniti geometrijski parametri koji odgovaraju toj referentnoj točki koja se nalazi bočno od početne točke:

$$L_{max,seg} = L_{max}(P,d = d_s) + \Delta_I(\varphi) - \Lambda(\beta,l = d_s) + \Delta_{SOR} \quad (2.7.53.)$$

$$L_{E,seg} = L_{E,\infty}(P,d = d_s) + \Delta_V + \Delta_I(\varphi) - \Lambda(\beta,l = d_s) + \Delta'_F + \Delta_{SOR} \quad (2.7.54.)$$

pri čemu je $\Delta'_F$ smanjeni oblik udjela buke koji je izražen u jednadžbi (2.7.46.) za slučaj $q = 0$ (jer se referentna točka nalazi bočno od početne točke) i napominje se da je $d_l$ potrebno izračunati pomoću $d_S$ (a ne $d_p$):

$$d_\lambda = d_0 \cdot 10^{[L_{E\infty}(P,d_s) - Lmax(P,d_s)]/10} \quad (2.7.55.)$$

2.7.20. *Razina zvučnog događaja L nekog kretanja zrakoplova općeg zrakoplovstva*

Metoda opisana u odjeljku 2.7.19. primjenjiva je na zrakoplove općeg zrakoplovstva s elisnim motorom kada ih se tretira kao elisni zrakoplov s obzirom na utjecaje položaja motora.

U bazi podataka ANP sadržani su unosi za nekoliko zrakoplova općeg zrakoplovstva. Iako je često riječ o najčešćim zrakoplovima općeg zrakoplovstva, ponekad može imati smisla uključiti dodatne podatke.

Ako konkretni zrakoplovi općeg zrakoplovstva nisu poznati ili uvršteni u bazu podataka ANP, preporučuje se korištenje općenitih podataka zrakoplova GASEPF odnosno GASEPV. Ti skupovi podataka predstavljaju mali zrakoplov općeg zrakoplovstva s jednim motorom i elisom nepromjenjivog odnosno promjenjivog koraka. Tablice s unosima navedene su u Prilogu I. (tablice I-11 I-17).

2.7.21. *Metoda za izračun buke helikoptera*

Za izračun buke helikoptera može se upotrijebiti ista metoda izračuna kao i za zrakoplove s fiksnim krilima (opisana u odjeljku 2.7.14.) pod uvjetom da se helikopteri tretiraju kao elisni zrakoplovi, a da se pritom ne uzimaju u obzir utjecaji položaja motora povezani s mlaznim zrakoplovom. Tablice s unosima za dva različita skupa podataka navedene su u Prilogu I. (tablice I-18 I-27).

2.7.22. *Buka povezana s radnjama isprobavanja motora, taksiranjem i pomoćnim uređajima za napajanje*

Ako se smatra potrebnim modelirati buku povezanu s isprobavanjem motora i pomoćnim uređajima za napajanje, to se modeliranje izvodi na temelju poglavlja o buci industrijskih pogona i postrojenja. Premda to uglavnom nije slučaj, buka isprobavanja motora zrakoplova na zračnim lukama može pridonijeti opterećenju bukom. Ta se isprobavanja obično provode za tehničke svrhe kako bi se provjerila funkcija motora, a pritom se zrakoplovi nalaze na sigurnoj udaljenosti od zgrada, drugih zrakoplova, i kretanja vozila i/ili osoba kako bi se izbjegla bilo kakva šteta povezana sa strujanjem u mlaznom motoru.

▼M2

Iz dodatnih sigurnosnih razloga i razloga povezanih sa zaštitom od buke u zračnim se lukama, osobito u zračnim lukama s objektima za održavanje u kojima se često provode isprobavanja motora, mogu ugraditi kabine za zaštitu od buke, a to su zidovi za zaštitu od buke u U obliku posebno izrađeni za sprečavanje i odvođenje strujanja u mlaznom motoru i buke. Najbolji način za istraživanje emisija buke iz tih objekata, koje se mogu dodatno prigušiti i smanjiti dodatnim zemljanim nasipima ili velikim brojem protuzvučnih ograda, je taj da se kabina za zaštitu od buke uzme kao izvor buke industrijskih pogona i postrojenja pa da se primijeni odgovarajući model širenja buke i zvuka.

2.7.23. *Izračun kumulativnih razina*

U odjeljcima od 2.7.14. do 2.7.19. opisan je izračun razine zvučnog događaja jednog kretanja zrakoplova na jednoj lokaciji promatrača. Ukupna izloženost buci na toj lokaciji izračunava se akumuliranjem razina događaja svih kretanja zrakoplova značajnih za buku, tj. svih kretanja, u dolasku ili odlasku, a koja utječu na kumulativnu razinu.

2.7.24. *Vrednovane ekvivalentne razine zvuka*

Vremenski vrednovane ekvivalentne razine zvuka, kojima se u obzir uzima sva primljena značajna zvučna energija zrakoplova, općenito se izražavaju formulom:

$$L_{eq,W} = 10 \cdot \lg\left[\frac{t_0}{T_0} \cdot \sum_{i=1}^{N} g_i \cdot 10^{L_E, i/10}\right] + C \qquad (2.7.56.)$$

Zbrajanje se izvodi preko svih događaja buke $N$ tijekom vremenskog intervala $T_0$ na koji se primjenjuje indeks buke. $L_{E,i}$ je razina izloženosti jednokratnog zvučnog događaja $i$-tog zvučnog događaja. $g_i$ je faktor vrednovanja ovisan o dobu dana (obično definiran za dan, večer i noć). $g_i$ je zapravo množitelj za broj letova u određenim razdobljima. Konstanta $C$ može imati različita značenja (konstanta normaliziranja, sezonska prilagodba itd.).

Primjenom odnosa

$$g_i = 10^{\Delta_i/10}$$

pri čemu je $\Delta_i$ vrednovanje u decibelima za $i$-to razdoblje, jednadžba se 2.7.56. može preformulirati na sljedeći način

$$L_{eq,W} = 10 \cdot \lg\left[\frac{t_0}{T_0}\sum_{i=1}^{N} 10^{(L_E, i + \Delta_i)/10}\right] + C \qquad (2.7.57.)$$

tj. vrednovanje za doba dana izraženo je aditivnim pomicanjem razine.

2.7.25. *Vrednovani broj letova*

Kumulativna razina buke procjenjuje se zbrajanjem doprinosa svih različitih tipova ili kategorija zrakoplova na različitim rutama leta koja čini scenarij zračne luke.

Radi opisa tog procesa zbrajanja uvode se dolje navedeni indeksi:

$i$ indeks za tip ili kategoriju zrakoplova,

$j$ indeks za putanju leta ili pomoćnu putanju (ako su pomoćne putanje definirane),

$k$ indeks za segment putanje leta.

Mnogi indikatori za buku, posebno ekvivalentne razine zvuke, uključuju faktore vrednovanja za doba dana $g_i$ u svojim definicijama (jednadžba 2.7.56. i 2.7.57.).

▼M2

Proces zbrajanja može se pojednostaviti uvođenjem „vrednovanog broja letova”.

$$M_{ij} = (g_{day} \cdot N_{ij,day} + g_{evening} \cdot N_{ij,evening} + g_{night} \cdot N_{ij,night}) \quad (2.7.58.)$$

Vrijednosti $N_{ij}$ predstavljaju broj letova za tip/kategoriju zrakoplova $i$ na putanji (ili pomoćnoj putanji $j$ za razdoblje dana, večeri odnosno noći [1].

Na temelju jednadžbe (2.7.57.) (opća) kumulativna ekvivalentna razina zvuka $L_{eq}$ na promatračkoj točki $(x,y)$ jest

$$L_{eq,W}(x,y) = 10 \cdot \lg\left[\frac{t_0}{T_0} \cdot \sum_i \sum_j \sum_k M_{ij} \cdot 10^{L_{E,ijk}(x,y)/10}\right] + C \quad (2.7.59.)$$

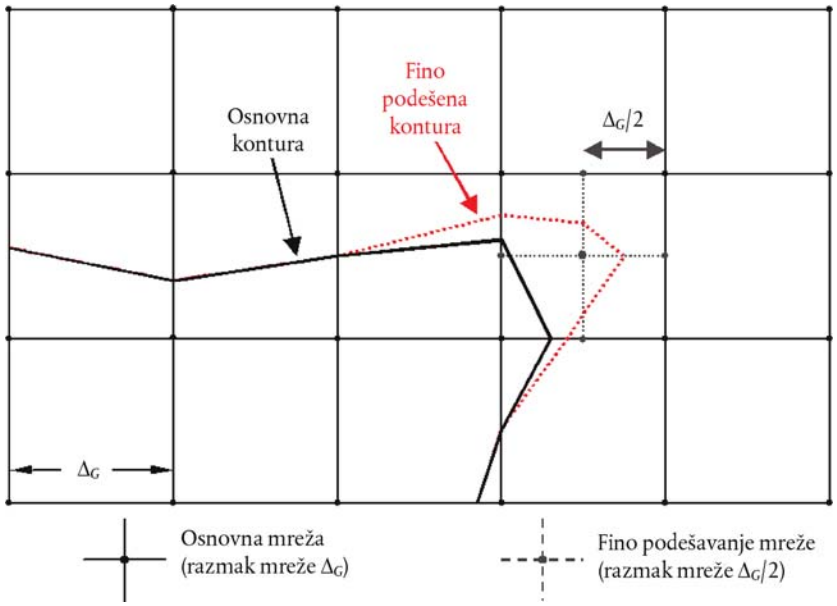
$T_0$ je referentno vremensko razdoblje. Ovisi – kao i faktori vrednovanja $g_i$ – o posebnoj definiciji korištenog vrednovanog indeksa (npr. $L_{DEN}$). $L_{E,ijk}$ je doprinos razine jednokratnog zvučnog događaja segmenta $k$ putanje ili pomoćne putanje $j$ za let zrakoplova kategorije $i$. Procjena za $L_{E,ijk}$ je detaljno opisana u odjeljcima od 2.7.14. do 2.7.19.

2.7.26. *Izračun za standardnu mrežu i fino podešavanje*

Kad se konture buke dobivaju interpolacijom između vrijednosti indeksa na pravokutno raspoređenim točkama mreže, njihova točnost ovisi o izboru razmaka mreže (veličina rubrike) $\Delta_G$, posebno među ćelijama kod kojih veliki nagib pri prostornoj raspodjeli indeksa stvara usku zakrivljenost konture (vidjet **sliku 2.7.s**). Smanjivanjem se razmaka unutar mreže mogu smanjiti interpolacijske pogreške, međutim time se povećava i broj točaka mreže, čime se produljuje vrijeme izračuna. Optimiziranje razmaka mreže uključuje pronalaženje ravnoteže između točnosti modeliranja i vremena izračuna.

*Slika 2.7.s*

**Standardna mreža i fino podešavanje mreže**




[1] Ovisno o definiciji primijenjenog indeksa buke vremenska se razdoblja mogu razlikovati od prethodna tri.

▼M2

Značajan napredak u učinkovitosti izračuna s točnijim rezultatima ostvaruje se korištenjem neravnomjerne mreže radi finog podešavanja interpolacije u kritičnim ćelijama. Tehnika prikazana na **slici 2.7.s** usmjerena je na lokalno sužavanje razmaka unutar mreže dok se većina mreže ne mijenja. To je vrlo jednostavno i postiže se sljedećim koracima:

1. utvrđivanje granične razlike finog podešavanja $\Delta L_R$ za indeks buke,

2. izračun osnovne mreže za razmak $\Delta_{G,}$

3. provjera razlika $\Delta L$ vrijednosti indeksa između dodirnih čvorova mreže,

4. ako postoje razlike $\Delta L > \Delta L_{R,}$ utvrđivanje nove mreže s razmakom $\Delta_G/2$ i procjena razina za nove čvorove odvija se na sljedeći način:

$$\text{Ako} \begin{cases} \Delta L \leq \Delta L_R \\ \\ \Delta L > \Delta L_R \end{cases} \text{kalkulacija nove vrijednosti} \begin{cases} \text{linearnom interpolacijom dodirnih vrijednosti.} \\ \\ \text{potpuno iznova iz osnovnih ulaznih podataka.} \end{cases}$$

5. ponavljanje 1. do 4. koraka dok sve razlike budu manje od granične razlike,

6. procjena kontura linearnom interpolacijom.

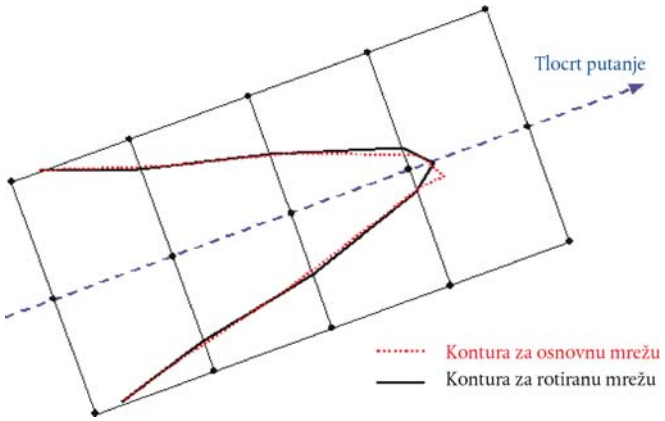
Ako se niz vrijednosti indeksa treba pridodati drugima (npr. pri izračunu vrednovanih indeksa zbrajanjem odvojenih kontura za dan, večer i noć), potrebno je voditi računa o tome kako bi se osiguralo da su odvojene mreže identične.

2.7.27. *Korištenje rotiranih mreža*

U mnogim praktičnim slučajevima kontura buke u stvarnosti prolazi simetrično oko tlocrta putanje. Međutim, ako smjer te putanje nije poravnat s izračunom mreže, to može imati za posljedicu asimetričan oblik konture.

*Slika 2.7.t*

**Korištenje rotirane mreže**




Najjednostavniji način kako bi se izbjegao taj efekt jest suženje mreže, čime se međutim produljuje vrijeme izračuna. Elegantnije rješenje usmjereno je na rotiranje mreže za izračun tako da njezin smjer bude paralelan s glavnim tlocrtima putanja (tj. obično paralelno s glavnom uzletno-sletnom stazom). Na **slici 2.7.t** prikazan je učinak te rotacije mreže na oblik konture.

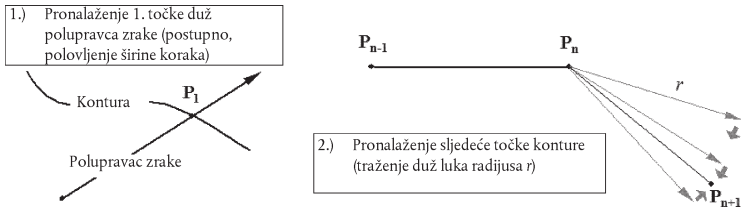
▼M2

2.7.28. *Praćenje kontura*

Vremenski vrlo učinkovit algoritam, kojim se u zamjenu za malo složeniji izračun može izostaviti izračun vrijednosti indeksa za cijelo polje mreže, radi tako da se kontura izračunava točku po točku. Tom se opcijom zahtijevaju dva osnovna koraka koja je potrebno izvršiti i ponoviti (vidjeti **sliku 2.7.u**):

*Slika 2.7.u*

**Koncept algoritma za praćenje**

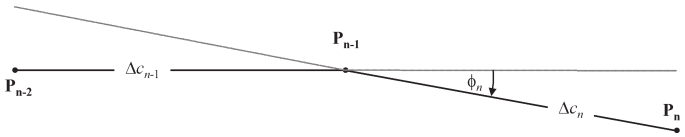



U 1. koraku potrebno je na konturi naći točku $\mathbf{P_1}$. To se postiže izračunavanjem razina indeksa buke $L$ u koracima s istim razmacima duž „polupravca zrake" od kojeg se očekuje da će se sjeći s potrebnom konturom razine $L_C$. Kad se kontura presiječe, razlika $\delta = L_C - L$ mijenja predznak. Potom se širina koraka polovi duž zrake, a traženje se odvija u obrnutom smjeru, sve dok $\delta$ ne postane manji nego prethodno utvrđeni prag točnosti.

U 2. koraku, koji se ponavlja dok kontura ne bude dovoljno definirana, potrebno je naći sljedeću točku na konturi $L_C$ koja se nalazi na određenoj pravocrtnoj udaljenosti $r$ od aktualne točke. U uzastopnim kutnim koracima razine indeksa i razlike $\delta$ izračunavaju se na krajevima vektora kojima se opisuje luk radijusa $r$. Odgovarajućim polovljenjem i obrnutim inkrementalnim povećanjem, ovaj put u smjeru vektora, sljedeća se točka konture određuje prethodno utvrđenom točnosti.

*Slika 2.7.v*

**Geometrijski parametri radi definiranja uvjeta s obzirom na algoritam za praćenje**




Nameće se nekoliko sporednih uvjeta kako bi se osiguralo da se kontura procijeni dovoljnim stupnjem točnosti (vidjeti **sliku 2.7.v**):

1. duljina tetive $\Delta c$ (razmak između dvije točke konture) mora biti unutar intervala $[\Delta c_{min}, \Delta c_{max}]$, npr. [10 m, 200 m];

2. odnos duljina između dvije dodirne tetive $\Delta c_n$ i $\Delta c_{n+1}$ mora biti ograničen, npr. $0{,}5 < \Delta c_n / \Delta c_{n+1} < 2$.

3. s obzirom na dobru prilagodbu duljine tetive na zakrivljenost konture sljedeći uvjet mora biti ispunjen:

$$\Phi_n: \max(\Delta c_{n-1}, \Delta c_n) \leq \varepsilon \ (\varepsilon \approx 15 \text{ m})$$

pri čemu je $\varphi_n$ razlika smjerova tetive.

▼M2

Iz iskustva s ovim algoritmom pokazalo se kako se u prosjeku moraju izračunati 2 do 3 vrijednosti indeksa radi određivanja točke konture s točnošću boljom od 0,01 dB.

Posebno pri potrebnom izračunu velikih kontura tim se algoritmom uvelike ubrzava vrijeme izračuna. Međutim, potrebno je napomenuti da se za njegovu provedbu zahtijeva iskustvo, posebno kad se kontura dijeli u odvojene otoke.

2.8. **Dodjeljivanje razina buke i stanovništva zgradama**

U procjeni izloženosti stanovnika buci razmatraju se samo stambene zgrade. Zgradama koje nisu stambene, kao što su škole, bolnice, poslovne zgrade i tvornice, ne dodjeljuju se stanovnici. Određivanje broja stanovnika u stambenim zgradama mora se temeljiti na najnovijim službenim podacima (ovisno o primjenjivim propisima svake države članice).

Budući da se pri izračunu buke zrakoplova koristi mreža razlučivosti 100 × 100 m, u konkretnom slučaju buke zrakoplova razina buke bit će izvedena iz razine buke na najbližoj točki u tom koordinatnom sustavu.

*Određivanje broja stanovnika u zgradi*

Broj stanovnika stambene zgrade važan je posredni parametar za procjenu izloženosti buci. Nažalost, podaci za taj parametar nisu uvijek dostupni. U nastavku je navedeno kako se ovaj parametar može izvesti iz dostupnijih podataka.

Simboli koji se za to koriste su:

*BA* = površina tla koju zgrada zauzima

*DFS* = kvadratura stambenih prostora

*DUFS* = kvadratura stana

*H* = visina zgrade

*FSI* = kvadratura stambenog prostora po stanovniku

*Inh* = broj stanovnika

*NF* = broj katova

*V* = volumen stambenih zgrada

Za izračun broja stanovnika koristi se postupak za slučaj 1 ili postupak za slučaj 2, ovisno o dostupnosti podataka.

SLUČAJ 1: dostupni su podaci o broju stanovnika

1A: Broj stanovnika je poznat ili je procijenjen na temelju broja stanova. U tom slučaju broj stanovnika zgrade je zbroj broja stanovnika svih stanova u zgradi.

$$Inh_{building} = \sum_{i=1}^{n} Inh_{dwelling_{unit_i}} \qquad (2.8.1.)$$

1B: Broj stanovnika je poznat samo za područja veća od zgrade, primjerice strane gradskih blokova, gradske blokove, četvrti ili cijelu općinu. U tom slučaju broj stanovnika zgrade procjenjuje se na temelju volumena zgrade:

$$Inh_{building} = \frac{V_{building}}{V_{total}} \times Inh_{total} \qquad (2.8.2.)$$

Indeks „total” ovdje se odnosi na predmetno područje. Volumen zgrade izračunava se množenjem površine tla koju zgrada zauzima i njezine visine:

▼M2

$$V_{building} = BA_{building} \times H_{building} \quad (2.8.3.)$$

Ako visina zgrade nije poznata, procjenjuje se prema broju katova $NF_{zgrade}$, uz pretpostavku prosječne visine od 3 metra za svaki kat:

$$H_{building} = NF_{building} \times 3 \text{ m} \quad (2.8.4)$$

Ako ni broj katova nije poznat, koristi se prethodno određena vrijednost za broj katova koja odgovara prosjeku za taj dio grada.

Ukupni volumen stambenih zgrada u razmatranom području $V_{total}$ izračunava se zbrajanjem volumena svih stambenih zgrada u tom području.

$$V_{total} = \sum_{i=1}^{n} V_{building_i} \quad (2.8.5.)$$

SLUČAJ 2: nisu dostupni podaci o broju stanovnika

U tom slučaju broj stanovnika procjenjuje se na temelju prosječne kvadrature stambenog prostora po stanovniku FSI. Ako taj parametar nije poznat, koristi se prosjek kvadrature stambenog prostora po stanovniku za predmetnu državu.

2A: Kvadratura stambenog prostora je poznata i dobivena je na temelju kvadrature stanova. U tom slučaju broj stanovnika svakog stana procjenjuje se na sljedeći način:

$$Inh_{dwelling_{unit_i}} = \frac{DUFS_i}{FSI} \quad (2.8.6.)$$

Broj stanovnika zgrade može se procijeniti kao u SLUČAJU 1A gore.

2B: Kvadratura stambenog prostora je poznata za cijelu zgradu, tj. kao zbroj kvadrature svakog stana u zgradi. U tom slučaju broj stanovnika procjenjuje se na sljedeći način:

$$Inh_{building} = \frac{DFS_{building}}{FSI} \quad (2.8.7.)$$

2C: Kvadratura stambenog prostora je poznata samo za područja veća od zgrade, primjerice gradske blokove, kvartove ili cijelu općinu.

U tom slučaju broj stanovnika zgrade procjenjuje se na temelju volumena zgrade kako je opisano u SLUČAJU 1B gore, a ukupni broj stanovnika procjenjuje se kako slijedi:

$$Inh_{total} = \frac{DFS_{total}}{FSI} \quad (2.8.8.)$$

2D: Kvadratura stambenog prostora nije poznata. U tom slučaju broj stanovnika zgrade procjenjuje se kako je opisano u SLUČAJU 2B gore, a kvadratura stambenog prostora procjenjuje se kako slijedi:

$$DFS_{building} = BA_{building} \times 0{,}8 \times NF_{building} \quad (2.8.9.)$$

Faktor 0,8 je konverzijski faktor za pretvaranje *ukupne površine koju zgrada zauzima u → kvadraturu stambenog prostora*. Ako je za određeno područje reprezentativan neki drugi faktor, onda se on i koristi i to se mora jasno dokumentirati.

▼M2

Ako broj katova zgrade nije poznat, on se procjenjuje na temelju visine zgrade, $H_{zgrade}$, a rezultat je obično broj katova izražen brojem koji nije cijeli broj:

$$NF_{building} = \frac{H_{building}}{3\ \text{m}} \tag{2.8.10}$$

Ako nije poznata visina zgrade ni broj katova, koristi se prethodno određena vrijednost za broj katova koja odgovara prosjeku za taj dio grada.

*Definiranje točaka prijemnika na fasadama zgrada*

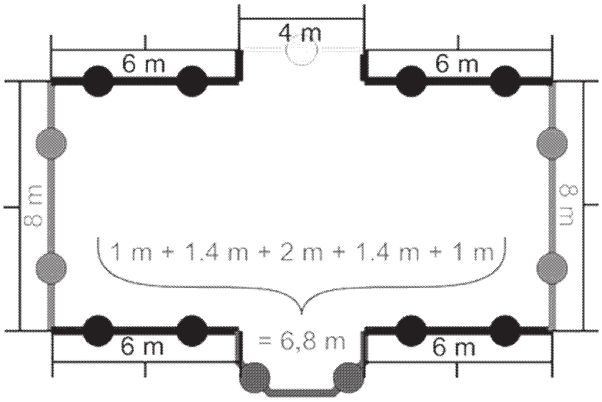
Procjena izloženosti stanovništva buci temelji se na razinama izmjerenima na točkama prijemnika na visini od 4 m iznad tla ispred fasada stambenih zgrada.

Za izračun broja stanovnika koristi se postupak za slučaj 1 ili postupak za slučaj 2 za zemaljske izvore buke. Za buku zrakoplova koja je izračunata prema 2.6., računa se da je ukupno stanovništvo zgrade izloženo buci s najbliže točke u mreži za koju je vrijednost buke izračunata.

SLUČAJ 1

*Slika a*

**Primjer lokacije prijemnika oko zgrade prema proceduri za SLUČAJ 1**




(a) Segmenti dulji od 5 m razdvajaju se u što dulje segmente podjednake duljine, ali ne dulje od 5 m. Točke prijemnika lociraju se na sredini svakog jednakog dijela.

(b) Ostali segmenti koji su dulji od 2,5 m predstavljeni su jednom točkom prijemnika na sredini svakog segmenta.

(c) Preostali susjedni segmenti ukupne duljine veće od 5 m smatraju se polilinijskim objektima slično kao (a) i (b).

(d) Broj stanovnika koji se pripisuje točki prijema vrednuje se prema dužini predmetne fasade tako da zbroj svih točaka prijemnika predstavlja ukupan broj stanovnika.

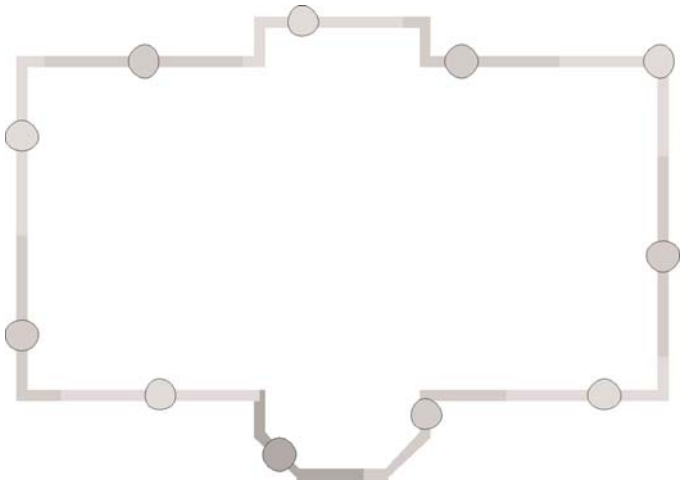
(e) Jedino u slučaju zgrada iz čije se površine kata može pretpostaviti da imaju samo jedan stan na svakom katu, za statistiku se izravno koristi razina buke s najizloženije fasade, te se pripisuje broju stanovnika zgrade.

▼M2

SLUČAJ 2

*Slika b*

**Primjer lokacije prijemnika oko zgrade prema proceduri za SLUČAJ 2**



(a) Pročelja se razmatraju odvojeno ili ih se razdvaja u dijelove duljine od 5 m, a točka prijemnika nalazi se na sredini fasade ili petometarskog segmenta.

(b) Na sredinu preostalog dijela također se postavlja točka prijemnika.

(c) Broj stanovnika koji se pripisuje točki prijema vrednuje se prema duljini predmetne fasade tako da zbroj svih točaka prijemnika predstavlja ukupan broj stanovnika.

(d) Jedino u slučaju zgrada iz čije se površine kata može pretpostaviti da imaju samo jedan stan na svakom katu, za statistiku se izravno koristi razina buke s najizloženije fasade, te se pripisuje broju stanovnika zgrade.

3. ULAZNI PODACI

Ulazni podaci koji se trebaju koristiti pri primjeni prethodno navedenih metoda izneseni su u Dodacima F do I.

U slučajevima kad ulazni podaci iz Dodataka F do I nisu primjenjivi ili uzrokuju odstupanja od realnih vrijednosti koja ne zadovoljavaju uvjete iz 2.1.2. i 2.6.2., mogu se koristiti druge vrijednosti, pod uvjetom da su adekvatno dokumentirane te da je adekvatno dokumentirana metodologija koja je korištena za njihovo dobivanje, uključujući dokaz da su prikladni. Te informacije moraju biti dostupne javnosti.

4. MJERNE METODE

U slučajevima kada se, iz bilo kojeg razloga, vrše mjerenja, ona moraju biti u skladu s načelima za dugotrajna mjerenja prosjeka specificiranima u ISO 1996-1:2003 i ISO 1996-2:2007 ili, za buku zrakoplova, ISO 20906:2009.

▼M2

*Dodatak A*

**Zahtjevi u pogledu podataka**

U odjeljku 2.7.6. glavnog teksta opisuju se općenito zahtjevi za posebne podatke za svaki pojedinačni slučaj kojima se opisuju zračna luka i njezine operacije i koji su potrebni za izračun kontura buke. Sljedeće su tablice ispunjene primjerima podataka za hipotetsku zračnu luku. Konkretni formati podataka općenito će ovisiti o zahtjevima i potrebama posebnog sustava modeliranja buke i o scenariju studije.

*Napomena:* Preporučuje se da se geografske informacije (referentne točke itd.) navode u kartezijanskim koordinatama. Izbor određenog koordinatnog sustava obično ovisi o raspoloživim zemljopisnim kartama.

A1 OPĆI PODACI O ZRAČNOJ LUCI

| | | |
|---|---|---|
| **Oznaka aerodroma** | hipotetska zračna luka | |
| **Koordinatni sustav** | UTM, zona 15, datum WGS-84 | |
| **Referentna točka aerodroma (ARP)** | 3 600 000 m E | 6 300 000 m N |
| | središnja točka uzletno-sletne staze 09L-27R | |
| **Nadmorska visina ARP-a** | 120 m / | |
| **Prosječna temperatura zraka na ARP-u** (*) | 12,0 °C | |
| **Prosječna relativna vlažnost zraka na ARP-u** (*) | 60 % | |
| **Prosječna brzina i smjer vjetra** (*) | 5 čvorova (kt) | 270 stupnjeva |
| **Izvor topografskih podataka** | nepoznato | |
| (*) Ponoviti za svaki vremenski interval koji nas zanima (doba dana, godišnje doba itd.). | | |

A2 OPIS UZLETNO-SLETNE STAZE

| | | |
|---|---|---|
| **Oznaka uzletno-sletne staze** | 09L | |
| **Početak uzletno-sletne staze** | 3 599 000 m E | 6 302 000 m N |
| **Kraj uzletno-sletne staze** | 3 603 000 m E | 6 302 000 m N |
| **Početak kretanja na tlu** | 3 599 000 m E | 6 302 000 m N |
| **Prag sletne staze** | 3 599 700 m E | 6 302 000 m N |
| **Nadmorska visina početka uzletno-sletne staze** | 110 m | |
| **Srednji nagib uzletno-sletne staze** | 0,001 | |

Za pomaknute pragove, opis uzletno-sletne staze može se ponoviti ili se pomaknuti pragovi mogu opisati u okviru opisa tlocrta putanje.

▼M2

A3 OPIS TLOCRTA PUTANJE

U nedostatku radarskih podataka potrebne su sljedeće informacije za opisivanje pojedinačnih tlocrta putanje.

| | |
|---|---|
| **Br. putanje** | 001 |
| **Oznaka putanje** | Dep 01 – 09L |
| **Od uzletno-sletne staze** | 09L |
| **Vrsta putanje** | odlet (Dep.) |
| **Pomak od početka kretanja na tlu** | 0 m |
| **Broj pomoćnih putanja:** | 7 |

**Opis glavne putanje**

| Br. segmenta | Pravocrtno [m] | Luk krivulje | | | Standardna devijacija za lateralnu raspršenost na kraju segmenta [m] |
|---|---|---|---|---|---|
| | | L/D | Promjena smjera leta [°] | Polumjer [m] | |
| 1 | 10 000 | | | | 2 000 |
| 3 | | D | 90,00 | 3 000 | 2 500 |
| 4 | 20 000 | | | | 3 000 |

| | |
|---|---|
| **Br. putanje** | 002 |
| **Oznaka putanje** | App 01 – 09L – Disp 300 |
| **Od uzletno-sletne staze** | 09L |
| **Vrsta putanje** | prilaz (App.) |
| **Pomak od praga sletne staze** | 300 m |
| **Broj pomoćnih putanja:** | 1 |

**Opis glavne putanje**

| Br. segmenta | Pravocrtno [m] | Luk krivulje | | | Standardna devijacija za lateralnu raspršenost na kraju segmenta [m] |
|---|---|---|---|---|---|
| | | L/D | Promjena smjera leta [°] | Polumjer [m] | |
| 1 | 30 000 | | | | 0 |

| | |
|---|---|
| **Podaci o prilaznoj putanji** | |
| **Kut poniranja za prilazne putanje** | 2,7° |
| **Visina leta pri presretanju ravni poniranja** | 4 000 ft |

▼M2

A4 OPIS ZRAČNOG PROMETA

| Referentno razdoblje | 366 d (od 1.1.2014. do 31.12.2014.) | = 8 748 h |
|---|---|---|
| **Doba dana – razdoblje I.** | od 7 do 19 sati | = 12 h |
| **Doba dana – razdoblje II.** | od 19 do 23 sata | = 4 h |
| **Doba dana – razdoblje III.** | od 23 do 7 sati | = 8 h |

| **OBRAZAC S PODACIMA O ZRAČNOM PROMETU – KRETANJA PO PUTANJAMA** | | | |
|---|---|---|---|
| **Br. tlocrta putanje** | | 001 | |
| **Oznaka putanje** | | Dep 01 – 09L | |
| **Oznaka zrakoplova** | **Kretanja tijekom vremenskog razdoblja** | | |
| | **I.** | **II.** | **III.** |
| A/C 1, Dep. 1. | 20 000 | 4 000 | 1 000 |
| A/C 2, Dep. 4. | 10 000 | 5 000 | 500 |
| A/C 4, Dep. 3. | 2 000 | 300 | 0 |
| | | | |
| **Br. tlocrta putanje** | | 002 | |
| **Oznaka putanje** | | Dep 01 – 09L – Disp 300 | |
| **Oznaka zrakoplova** | **Kretanja tijekom vremenskog razdoblja** | | |
| | **I.** | **II.** | **III.** |
| A/C 1, App.1 | 18 000 | 2 000 | 5 000 |
| A/C 2, App.1 | 10 000 | 3 000 | 2 500 |
| A/C 4, App.1 | 1 300 | 0 | 1 000 |

▼M2

A5 OBRAZAC S PODACIMA O LETNOJ PROCEDURI

Primjer za Boeing 727-200 u skladu s Poglavljem 3., dobiven iz radarskih podataka koristeći upute navedene u odjeljku 2.7.9. glavnog teksta.

| | |
|---|---|
| Oznaka zrakoplova | B727C3 |
| NPD identifikator iz baze podataka ANP | JT8E5 |
| Broj motora | 3 |
| Način rada | odlet |
| Stvarna masa zrakoplova [t] | 71,5 |
| Čeoni vjetar [m/s] | 5 |
| Temperatura [°C] | 20 |
| Nadmorska visina zračne luke [m] | 83 |

| Segment br. | Udaljenost od RP ([1]) [m] | Visina [m] | Brzina po horizontali [m/s] | Vrijednost snage motora ([2]) |
|---|---|---|---|---|
| 1 | 0 | 0 | 0 | 14 568 |
| 2 | 2 500 | 0 | 83 | 13 335 |
| 3 | 3 000 | 117 | 88 | 13 120 |
| 4 | 4 000 | 279 | 90 | 13 134 |
| 5 | 4 500 | 356 | 90 | 13 147 |
| 6 | 5 000 | 431 | 90 | 13 076 |
| 7 | 6 000 | 543 | 90 | 13 021 |
| 8 | 7 000 | 632 | 93 | 12 454 |
| 9 | 8 000 | 715 | 95 | 10 837 |
| 10 | 10 000 | 866 | 97 | 10 405 |
| 11 | 12 000 | 990 | 102 | 10 460 |
| 12 | 14 000 | 1 122 | 111 | 10 485 |
| 13 | 16 000 | 1 272 | 119 | 10 637 |
| 14 | 18 000 | 1 425 | 125 | 10 877 |
| 15 | 20 000 | 1 581 | 130 | 10 870 |
| 16 | 25 000 | 1 946 | 134 | 10 842 |
| 17 | 30 000 | 2 242 | 142 | 10 763 |

([1]) Referentna točka RP je početak kretanja za odlet i praga sletne staze za prilaz.
([2]) Jedinice odgovaraju jedinicama u bazi podataka ANP.

▼M2

Primjer proceduralnog profila na temelju podataka o karakteristikama zrakoplova pohranjenih u bazi podataka ANP:

| | |
|---|---|
| Oznaka zrakoplova iz baze podataka ANP | B727C3 |
| NPD identifikator iz baze podataka ANP | JT8E5 |
| Broj motora | 3 |
| Način rada | odlet |
| Stvarna masa zrakoplova [t] | 71,5 |
| Čeoni vjetar [m/s] | 5 |
| Temperatura [°C] | 15 |
| Nadmorska visina zračne luke [m] | 100 |

| Segment br. | Način rada | Cilj | Zakrilca | Vrijednost snage motora |
|---|---|---|---|---|
| 1 | uzlijetanje | | 5 | uzlijetanje |
| 2 | početno penjanje | visina 1 500 ft | 5 | uzlijetanje |
| 3 | uvlačenje zakrilaca | 210 kts IAS<br>ROC 750 ft/min | 0 | maks. penjanje |
| 4 | ubrzavanje | 250 kts IAS<br>ROC 1 500 ft/min | 0 | maks. penjanje |
| 5 | penjanje | 10 000 ft | 0 | maks. penjanje |

▼M2

*Dodatak B*

**Izračuni performansi leta**

**Termini i simboli**

Termini i simboli koji se upotrebljavaju u ovom dodatku usklađeni su s onima koje obično upotrebljavaju zrakoplovni inženjeri. Neki su osnovni termini ukratko objašnjeni u nastavku za korisnike koji nisu upoznati s njima. Kako bi se smanjilo neslaganje s glavnim dijelom metode, simboli su uglavnom definirani zasebno u ovom dodatku. Količinama koje su navedene u glavnom dijelu metode dodijeljeni su uobičajeni simboli; oni simboli koji se u ovom dodatku upotrebljavaju drukčije označeni su zvjezdicom (*). U određenoj se mjeri jedinice koje se upotrebljavaju u SAD-u i SI jedinice stavljaju jedne uz druge kako bi se očuvale konvencije s kojima su upoznati korisnici iz različitih disciplina.

**Termini**

| | |
|---|---|
| Prijelomna točka | Vidjeti pod „suha snaga”. |
| Kalibrirana brzina leta | (Inače se naziva ekvivalentna ili indicirana brzina leta.) Brzina zrakoplova u odnosu na zrak koju pokazuje kalibrirani instrument u zrakoplovu. Stvarna brzina leta, koja je obično veća, može se izračunati iz kalibrirane brzine leta uz poznavanje gustoće zraka. |
| Korigirani neto potisak | Neto potisak je potisna sila koju motor prenosi na zmaj zrakoplova. Pri zadanom režimu rada motora (*EPR* ili $N_1$) neto potisak pada s gustoćom zraka pri porastu visine; korigirani neto potisak je potisak na razini mora. |
| Suha snaga | Za specifične maksimalne temperature sastavnih dijelova, potisak motora pada s porastom temperature okolnog zraka i obratno. To znači da postoji kritična temperatura zraka iznad koje se *izračunani potisak motora* ne može postići. Kod većine suvremenih motora to se naziva „temperatura suhe snage” jer se na nižim temperaturama zraka potisak automatski ograničava na izračunani potisak motora kako bi se produžio životni vijek motora. Potisak ionako pada pri temperaturama iznad temperature suhe snage, što se često naziva *prijelomnom točkom* ili *prijelomnom temperaturom*. |
| Brzina | Magnituda vektora brzine zrakoplova (u odnosu na koordinatni sustav aerodroma). |
| Izračunani potisak motora | Životni vijek motora zrakoplova uvelike ovisi o radnim temperaturama njegovih sastavnih dijelova. Što je veća generirana snaga ili potisak, više su temperature i kraći životni vijek. Kako bi se postigla ravnoteža između zahtjeva u vezi s performansama i onih u vezi sa životnim |

▼M2

| | |
|---|---|
| | vijekom, motorima na kojima je ograničena snaga dodijeljene su *količine snage motora* za uzlijetanje, penjanje i krstarenje koje određuju uobičajene maksimalne vrijednosti režima rada motora. |
| Parametar podešavanja potiska | Pilot ne može odabrati određeni potisak motora; umjesto toga on/ona odabire odgovarajuću vrijednost tog parametra koja se prikazuje u pilotskoj kabini. Obično se radi o omjeru tlaka motora (*EPR*) ili o brzini vrtnje niskotlačnog rotora (ili ventilatora) ($N_1$). |

**Simboli**

Količine su bezdimenzionalne ako nije drugačije navedeno. Simboli i kratice koji nisu navedeni u nastavku upotrebljavaju se samo lokalno i definirani su u tekstu. Supskripti 1 i 2 označavaju uvjete na početku i na kraju segmenta. Crte iznad teksta označavaju srednje vrijednosti, tj. prosjek početnih i krajnjih vrijednosti.

| | |
|---|---|
| $a$ | prosječno ubrzanje (ft/s$^2$) |
| $a_{max}$ | najveće raspoloživo ubrzanje (ft/s$^2$) |
| $A, B, C, D$ | koeficijenti zakrilaca |
| $E, F, G_{A,B}, H$ | koeficijenti potiska motora |
| $F_n$ | neto potisak po motoru (lbf) |
| $F_n/\delta$ | korigirani neto potisak po motoru (lbf) |
| $G$ | gradijent penjanja |
| $G'$ | gradijent penjanja kod otkaza jednog motora |
| $G_R$ | srednji nagib uzletno-sletne staze, pozitivan uzbrdo |
| $g$ | gravitacijsko ubrzanje (ft/s$^2$) |
| *ISA* | međunarodna standardna atmosfera (International Standard Atmosphere) |
| $N$ * | broj motora koji daju potisak |
| $R$ | omjer između otpora i uzgona $C_D/C_L$ |
| *ROC* | stopa uspona po segmentu (ft/min) |
| $s$ | prijeđena udaljenost u odnosu na tlo duž tlocrta putanje (ft) |
| $s_{TO8}$ | duljina zaleta pri čeonom vjetru od 8 čvorova (ft) |

▼M2

| | |
|---|---|
| $s_{TOG}$ | korigirana duljina zaleta uzimajući u obzir $w$ i $G_R$ (ft) |
| $s_{TOw}$ | duljina zaleta pri čeonom vjetru $w$ (ft) |
| $T$ | temperatura zraka (°C) |
| $T_B$ | prijelomna temperatura (°C) |
| $V$ | brzina na horizontali u čvorovima (kt) |
| $V_C$ | kalibrirana brzina kroz zrak u čvorovima (kt) |
| $V_T$ | stvarna brzina leta u čvorovima (kt) |
| $W$ | masa aviona (lb) |
| $w$ | brzina čeonog vjetra u čvorovima (kt) |
| $\Delta s$ | duljina segmenta bez vjetra projicirana na tlocrt putanje (ft) |
| $\Delta s_w$ | projekcija duljine segmenta na tlu korigirana za čeoni vjetar (ft) |
| δ | *p/po*, omjer između tlaka zraka u okolišu aviona i standardnog tlaka zraka na srednjoj razini mora: *po* = 101,325 kPa (ili 1 013,25 mb) |
| ε | bočni nagib u radijanima |
| γ | kut penjanja/snižavanja u radijanima |
| θ | $(T + 273,15)/(T_0 + 273,15)$ omjer između temperature zraka na visini i standardne temperature zraka na srednjoj razini mora: $T_0$ = 15,0 °C |
| σ * | $\rho/\rho_0$ = omjer između gustoće zraka na visini i vrijednosti na srednjoj razini mora (također, $\sigma = \delta/\theta$) |

B1 UVOD

**Sinteza putanje leta**

U ovom se dodatku preporučuju postupci za izračun profila leta aviona na temelju navedenih aerodinamičkih parametara i parametara pogonske grupe, težine zrakoplova, atmosferskih uvjeta, tlocrta putanje i operativnog postupka (konfiguracije leta, režima rada motora, progresivne brzine, vertikalne brzine itd.). Operativni postupak opisan je nizom *proceduralnih koraka* kojima se propisuju načini leta za određeni profil.

Profil leta, za uzlijetanje ili za prilaženje, prikazan je nizom pravocrtnih segmenata čiji se krajevi nazivaju *točkama profila*. Profil se izračunava pomoću aerodinamičkih jednadžbi i jednadžbi potiska koje sadržavaju brojne koeficijente i konstante koje moraju biti na raspolaganju za posebne kombinacije zmaja zrakoplova i motora. Taj postupak izračuna opisan je u tekstu kao postupak *sinteze* putanje leta.

Osim parametara performansi zrakoplova, koji se mogu pronaći u bazi podataka ANP, te jednadžbe zahtijevaju da se posebno navede: 1. bruto težina aviona, 2. broj motora, 3. temperatura zraka, 4. nadmorska visina uzletno-sletne staze i 5. proceduralni koraci (izraženi u smislu režima rada motora, otklona zakrilaca, brzine leta i, tijekom ubrzavanja, prosječne brzine vertikalnog penjanja/snižavanja) za svaki segment tijekom uzlijetanja i prilaženja. Svaki segment zatim se

▼M2

razvrstava kao kretanje na tlu, uzlijetanje ili slijetanje, penjanje konstantnom brzinom, smanjivanje snage, penjanje s ubrzavanjem sa ili bez uvlačenja zakrilaca, snižavanje sa ili bez usporavanja i/ili upotrebe zakrilaca ili završni prilaz prilikom slijetanja. Profil leta sastavlja se korak po korak, pri čemu su početni parametri za svaki segment jednaki onima na kraju prethodnog segmenta.

Parametri aerodinamičkih performansi u bazi podataka ANP namijenjeni su za dobivanje razumno točnog prikaza stvarne putanje leta aviona u određenim referentnim uvjetima (vidjeti **odjeljak 2.7.6. glavnog teksta**). Međutim, pokazalo se da su aerodinamički parametri i koeficijenti motora primjereni za temperature zraka do 43 °C, nadmorske visine aerodroma do 4 000 stopa i unutar raspona težine navedenog u bazi podataka ANP. Jednadžbe stoga omogućuju izračun putanje leta u drugim uvjetima; tj. pri nereferentnoj težini aviona, brzini vjetra, temperaturi zraka i nadmorskoj visini uzletno-sletne staze (tlaku zraka), obično s dostatnom točnošću za izračun prosječnih kontura razine zvuka oko zračne luke.

U **odjeljku B-4** objašnjava se kako se pri odletima uzimaju u obzir učinci zaokreta leta. Time se omogućuje uzimanje u obzir bočnog nagiba pri izračunu učinka lateralne usmjerenosti (učinci opreme). Isto tako, tijekom zaokreta leta, gradijenti penjanja općenito će se smanjiti ovisno o polumjeru zaokreta i brzini aviona. (Učinci zaokreta tijekom završnog prilaza složeniji su i nisu obuhvaćeni u ovom trenutku. Međutim, oni će rijetko bitno utjecati na konture buke.)

U **odjeljcima od B-5 do B-9** opisuje se preporučena metodologija za generiranje profila leta prilikom odleta, na temelju koeficijenata iz baze podataka ANP i proceduralnih koraka.

U **odjeljcima B-10** i **B-11** opisuje se upotrijebljena metodologija za generiranje profila leta prilikom prilaza, na temelju koeficijenata iz baze podataka ANP i letnih procedura.

U **odjeljku B-12** nalaze se primjeri izračuna.

Dodani su zasebni skupovi jednadžbi za određivanje neto potiska koji stvaraju mlazni motori i elise zrakoplova. Ako nije navedeno drugačije, jednadžbe za aerodinamičke performanse aviona primjenjuju se jednako na avione na mlazni pogon i na avione na elisni pogon.

Korišteni matematički simboli definirani su na početku ovog dodatka i/ili prilikom prve upotrebe. U svim jednadžbama jedinice koeficijenata i konstanti moraju, naravno, biti u skladu s jedinicama odgovarajućih parametara i varijabli. Radi usklađenosti s bazom podataka ANP, u ovom se dodatku slijede konvencije inženjerstva performansi zrakoplova; udaljenosti i visine su izražene u stopama (ft), brzina u čvorovima (kt), masa u funtama (lb), sila u funtama sile (neto potisak korigiran za visoke temperature) i tako dalje, iako su neke dimenzije (npr. atmosferske) izražene u SI jedinicama. Izrađivači modela koji upotrebljavaju druge sustave jedinica trebali bi obratiti posebnu pozornost na primjenu odgovarajućih faktora konverzije pri prilagođavanju jednadžbi svojim potrebama.

▼M2

**Analiza putanje leta**

U nekim primjenama modeliranja podaci o putanji leta ne pružaju se u obliku proceduralnih koraka, već kao koordinate u položaju i vremenu, obično određene analizom radarskih podataka. To je opisano u **odjeljku 2.7.7.** glavnog teksta. U tom se slučaju jednadžbe iz ovog dodatka upotrebljavaju „unatrag”; parametri potiska motora izvode se iz kretanja zrakoplova, a ne obratno. Općenito, nakon što se izračuna prosjek podataka o putanji leta i smanji na oblik segmenta, pri čemu se svaki segment razvrstava na osnovi penjanja ili snižavanja, ubrzavanja ili usporavanja te promjena potiska i zakrilaca, to je relativno jednostavno u usporedbi sa sintezom koja često uključuje iterativne procese.

B2 POTISAK MOTORA

Potisna sila koju stvara svaki motor jedna je od pet vrijednosti koje treba definirati na kraju svakog segmenta putanje leta (ostale su vrijednosti visina, brzina, režim rada motora i bočni nagib). Neto potisak predstavlja sastavni dio bruto potiska motora koji je na raspolaganju za pogon. Za aerodinamičke i akustičke izračune, neto potisak se navodi u odnosu na standardni tlak zraka na srednjoj razini mora. To nazivamo *korigiranim neto potiskom*, $F_n/\delta$.

Tu će biti riječ o neto potisku dostupnom pri radu s određenom *količinom snage motora* ili o neto potisku do kojeg dolazi kad se *parametar za podešavanje potiska* podesi na određenu vrijednost. Za turbomlazni ili turboventilatorski motor koji radi s određenom količinom snage motora, korigirani neto potisak dobiva se primjenom jednadžbe

$$F_n/\delta = E + F \cdot V_c + G_A \cdot h + G_B \cdot h^2 + H \cdot T \qquad \text{(B-1)}$$

pri čemu:

$F_n$ je neto potisak po motoru (lbf),

$\delta$ je omjer tlaka zraka u okolici aviona u odnosu na standardni tlak zraka na srednjoj razini mora, tj. na 101,325 kPa (ili 1 013,25 mb) [ref. 1.],

$F_n/\delta$ je korigirani neto potisak po motoru (lbf),

$V_C$ je kalibrirana brzina leta u čvorovima (kt),

$T$ je temperatura okolnog zraka u kojem radi avion ( C) i

$E, F, G_A, G_B, H$ su konstante potiska motora ili koeficijenti za temperature ispod temperature za suhu snagu motora pri količini snage motora u upotrebi (na trenutačnom segmentu uzlijetanja/penjanja ili prilazne putanje leta), izražene u jedinicama lb.s/ft, lb/ft, lb/ft$^2$, lb/°C. Dostupne su u bazi podataka ANP.

U bazi podataka ANP također se navode podaci koji omogućuju izračun neizračunanog potiska motora kao funkcije parametra podešavanja potiska. Neki proizvođači definiraju taj parametar kao omjer tlaka motora (*EPR*), a drugi kao brzinu niskotlačnog rotora ili brzinu ventilatora, $N_1$. Kad je taj parametar *EPR*, jednadžba B-1 zamjenjuje se sljedećom:

$$F_n/\delta = E + F \cdot V_C + G_A \cdot h + G_B \cdot h^2 + H \cdot T + K_1 \cdot EPR + K_2 \cdot EPR^2 \qquad \text{(B-2)}$$

pri čemu su $K_1$ i $K_2$ koeficijenti iz baze podataka ANP koji se odnose na korigirani neto potisak i omjer tlaka motora u blizini omjera tlaka motora od interesa za Machov broj određenog aviona.

▼**M2**

Kad je brzina vrtnje motora $N_1$ parametar koji posada u pilotskoj kabini upotrebljava za podešavanje potiska, generalizirana jednadžba potiska postaje

$$F_n/\delta = E + F \cdot V_C + G_A \cdot h + G_B \cdot h^2 + H \cdot T + K_3 \cdot \left(\frac{N_1}{\sqrt{\theta}}\right) + K_4 \cdot \left(\frac{N_1}{\sqrt{\theta}}\right)^2 \quad \text{(B-3)}$$

pri čemu:

$N_1$ je brzina vrtnje niskotlačnog kompresora (ili ventilatora) motora i stupnjeva turbine( %),

$\theta$ = (T + 273)/288,15, omjer apsolutne ukupne temperature na ulazu motora u odnosu na apsolutnu standardnu temperaturu zraka na srednjoj razini mora [ref. 1.],

$\frac{N_1}{\sqrt{\theta}}$ je korigirana brzina niskotlačnog rotora ( %), i

$K_3$, $K_4$ su konstante izvedene iz podataka o ugrađenom motoru koje obuhvaćaju brzine $N_1$ od interesa.

Napominjemo da za određeni avion $E$, $F$, $G_A$, $G_B$ i $H$ u jednadžbama B-2 i B-3 mogu imati različite vrijednosti od onih u jednadžbi B-1.

Neće svaki član jednadžbe uvijek biti značajan. Na primjer, za motore na kojima je ograničena snaga koji rade na temperaturama zraka ispod prijelomne točke (obično je to 30°C) član temperature možda neće biti potreban. Za motore na kojima nije ograničena snaga, temperatura okolice mora se uzeti u obzir pri određivanju izračunanog potiska. Iznad temperature za suhu snagu motora treba upotrebljavati drugačiji skup koeficijenata potiska motora ($E$, $F$, $G_A$, $G_B$ i $H)_{high}$ za određivanje raspoložive razine potiska. U tom bi slučaju uobičajena praksa bila izračunati $F_n/\delta$ koristeći koeficijent za nisku temperaturu i koeficijent za visoku temperaturu te koristiti viši nivo potiska za temperature *ispod* temperature za suhu snagu motora odnosno niži izračunani nivo potiska za temperature *iznad* temperature za suhu snagu motora.

Ako su dostupni samo koeficijenti potiska za niske temperature, može se koristiti sljedeći odnos:

$$(F_n/\delta)_{high} = F \cdot V_C + (E + H \cdot T_B) \cdot (1 - 0{,}006 \cdot T)/(1 - 0{,}006 \cdot T_B) \quad \text{(B-4)}$$

pri čemu:

$(F_n/\delta)_{high}$ je neto potisak korigiran za visoke temperature (u funtama sile),

$T_B$ je prijelomna temperatura (u nedostatku konačne vrijednosti pretpostavimo unaprijed zadanu vrijednost od 30 °C).

U bazi podataka ANP nalaze se vrijednosti za konstante i koeficijente u jednadžbama B-1 do B-4.

Za avione s elisom, korigirani neto potisak po motoru treba iščitati iz grafikona ili izračunati pomoću jednadžbe

$$F_n/\delta = (326 \cdot \eta \cdot P_p/V_T)/\delta \quad \text{(B-5)}$$

pri čemu:

$\eta$ je učinkovitost elise za određenu konfiguraciju elise i funkcija je brzine vrtnje elise i brzine leta aviona,

$V_T$ je stvarna brzina leta u čvorovima (kt),

$P_p$ je neto potisna snaga za određene uvjete leta, npr. maks. snaga uzlijetanja ili maks. snaga penjanja u ks.

▼M2

Parametri u jednadžbi B-5 dostupni su u bazi podataka ANP za vrijednosti maksimalnog potiska pri uzlijetanju i maksimalnog potiska pri penjanju.

Stvarna brzina $V_T$ procjenjuje se na osnovi kalibrirane brzine leta $V_C$ pomoću odnosa

$$V_T = V_C/\sqrt{\sigma} \tag{B-6}$$

pri čemu je σ omjer između gustoće zraka u okolici aviona u odnosu na vrijednost na srednjoj razini mora.

**Upute za rad sa smanjenim potiskom prilikom uzlijetanja**

Često je težina zrakoplova pri uzlijetanju ispod najviše dopuštene težine i/ili je raspoloživa duljina uzletno-sletne staze veća od najmanje koja je potrebna pri upotrebi najvećeg potiska pri uzlijetanju. U tim je slučajevima uobičajena praksa smanjiti potisak motora ispod maksimalne razine kako bi se produžio životni vijek motora i, ponekad, u svrhu smanjenja buke. Potisak motora može se smanjiti samo na razine koje održavaju potrebnu sigurnosnu granicu. Postupak izračuna koji upotrebljavaju zračni prijevoznici kako bi odredili primjerenu količinu smanjenja potiska tome je prilagođen: izračun je kompleksan i uzima u obzir brojne čimbenike, među kojima su težina pri uzlijetanju, temperatura okolnog zraka, utvrđene udaljenosti uzletno-sletne staze, nadmorska visina uzletno-sletne staze i kriteriji za visinu zapreka uzletno-sletne staze. Stoga se iznos smanjenja potiska razlikuje od leta do leta.

Budući da smanjeni potisak može uvelike utjecati na konture buke prilikom odleta, izrađivači modela trebali bi u razumnoj mjeri voditi računa o njemu i, kako bi na najbolji mogući način predvidjeli njegove učinke, tražiti praktične savjete od zračnih prijevoznika.

Ako takvo savjetovanje nije dostupno, uputno ih je uzeti u obzir alternativnim sredstvima. Nije praktično doslovno prenijeti izračune zračnih prijevoznika za potrebe modeliranja buke, niti bi oni bili primjereni uz uobičajena pojednostavljenja i približne vrijednosti koje se upotrebljavaju za potrebe izračuna dugotrajne prosječne razine buke. Kao provediva alternativa dostupne su sljedeće smjernice. Treba naglasiti da su u ovom području u tijeku značajna istraživanja i stoga ove smjernice podliježu promjenama.

Analizom podataka iz uređaja za bilježenje podataka o letu pokazalo se da je razina smanjenja potiska snažno povezana s omjerom između stvarne težine pri uzlijetanju i regulirane težine pri uzlijetanju (RTOW), sve do fiksne donje granice ([1]); tj.

$$F_n/\delta = (F_n/\delta)_{max} \cdot W/W_{RTOW} \tag{B-7}$$

pri čemu je $(F_n/\delta)_{max}$ maksimalni izračunani potisak, $W$ je stvarna bruto težina pri uzlijetanju i $W_{RTOW}$ je regulirana težina pri uzlijetanju.

Regulirana težina pri uzlijetanju je najveća težina pri uzlijetanju koja se može sigurno upotrijebiti, a da udovolji zahtjevima duljine uzletno-sletne staze, stanja kod otkaza jednog motora i prepreka. Riječ je o funkciji raspoložive duljine uzletno-sletne staze, nadmorske visine uzletišta, temperature, čeonog vjetra i kuta zakrilaca. Taj se podatak može dobiti od zračnih prijevoznika i trebao bi biti lakše dostupan od podataka o stvarnim razinama smanjenog potiska. Može se izračunati i pomoću podataka iz letačkog priručnika zrakoplova.

([1]) Tijela za plovidbenost obično određuju nižu granicu potiska, često 25 posto ispod maksimalnog.

▼M2

**Smanjen potisak pri penjanju**

Prilikom upotrebe smanjenog potiska pri uzlijetanju zračni prijevoznici često, ali ne uvijek, pri penjanju smanje potisak ispod maksimalne razine ([1]). Time se sprečavaju situacije koje se javljaju kad, na kraju početnog penjanja s potiskom za uzlijetanje, treba povećati, a ne smanjiti snagu. Međutim, ovdje je teže postaviti načelo kojim bi se utvrdila zajednička osnova. Neki zračni prijevoznici upotrebljavaju fiksne ograničivače ispod maksimalnog potiska pri penjanju koji se ponekad nazivaju „penjanje 1” i „penjanje 2” i obično smanje potisak pri penjanju za 10 odnosno 20 posto u odnosu na maksimalni potisak. Preporučuje se da pri svakoj upotrebi smanjenog potiska prilikom uzlijetanja potisak pri penjanju također smanji za 10 posto.

B3 VERTIKALNI PROFILI TEMPERATURE ZRAKA, TLAKA, GUSTOĆE I BRZINE VJETRA

Za potrebe ovog dokumenta smatra se da su promjene temperature, tlaka i gustoće s visinom iznad srednje razine mora one iz modela međunarodne standardne atmosfere. Metodologija opisana u nastavku validirana je za aerodrome na nadmorskim visinama do 4 000 stopa i za temperature zraka do 43 °C (109 °F).

Iako, u stvarnosti, srednja brzina vjetra varira s visinom i vremenom, obično to nije moguće uzeti u obzir za potrebe modeliranja kontura buke. Umjesto toga, jednadžbe performansi leta navedene u nastavku temelje se na zajedničkoj pretpostavci da se avion u svakom trenutku kreće izravno u (unaprijed zadani) čeoni vjetar od 8 čvorova – bez obzira na smjer kompasa (iako se u izračunima širenja zvuka izričito ne uzima u obzir srednja brzina vjetra). Na raspolaganju su metode za prilagodbu rezultata za druge brzine čeonog vjetra.

B4 UČINCI ZAOKRETA

U ostatku ovog dodatka objašnjava se kako izračunati zahtijevana svojstva segmenata koji povezuju točke profila *s*,*z* koje određuju dvodimenzionalnu putanju leta u okomitoj ravnini iznad tlocrta putanje. Segmenti su definirani jedan za drugim u smjeru kretanja. Na kraju svakog segmenta (ili na početku kretanja na tlu u slučaju prvog segmenta za odlet) za koji su definirani operativni parametri i sljedeći proceduralni korak potrebno je izračunati kut penjanja i udaljenost putanje do točke na kojoj se postiže zahtijevana visina i/ili brzina.

Ako je putanja pravocrtna, to će se obuhvatiti segmentom jedinstvenog profila, a njegova se geometrija može odrediti izravno (iako ponekad s određenom mjerom iteracije). No ako se, prije nego što se postignu traženi konačni uvjeti, započinje ili završava zaokret ili ako se mijenja njegov polumjer ili smjer, jedan segment nije dovoljan zbog uzgona zrakoplova i promjene otpora zrakoplova s bočnim nagibom. Kako bi se uzele u obzir posljedice zaokreta tijekom penjanja, potrebni su segmenti dodatnih profila za uvođenje proceduralnog koraka, prema tekstu u nastavku.

Izrada tlocrta putanje opisana je u odjeljku **2.7.13.** teksta. Taj se tlocrt izrađuje neovisno o bilo kojem profilu leta zrakoplova (iako se pazi da se ne definiraju zaokreti koji se ne bi mogli izvesti u normalnim radnim ograničenjima). No, budući da na profil leta – visinu i brzinu kao funkcije udaljenosti putanje – utječu zaokreti, profil leta ne može se odrediti neovisno od tlocrta putanje.

([1]) Na koju se smanji potisak nakon početnog penjanja sa snagom koja je potrebna za uzlijetanje.

▼M2

Kako bi se tijekom zaokreta održala brzina, treba povećati aerodinamički uzgon krila kako bi se uravnotežila centrifugalna sila kao i težina zrakoplova. To pak povećava otpor i, posljedično, potreban potisak. Učinci zaokreta izražavaju se u jednadžbama performansi kao funkcije bočnog nagiba ε koji se, za zrakoplov u horizontalno ravnom letu koji izvodi zaokret pri konstantnoj brzini na kružnoj putanji, dobivaju primjenom jednadžbe

$$\varepsilon = \tan^{-1}\left\{\frac{2{,}85 \cdot V^2}{r \cdot g}\right\} \qquad \text{(B-8)}$$

pri čemu: $V$ je brzina na horizontali u čvorovima (kt),

$r$ je polumjer zaokreta (ft),

i g je ubrzanje uslijed gravitacije (ft/s$^2$).

Pretpostavlja se da svi zaokreti imaju konstantni polumjer i ne uzimaju se u obzir sekundarni učinci povezani s nehorizontalnim putanjama leta; bočni nagibi temelje se samo na polumjeru zaokreta $r$ tlocrta putanje.

Kako bi se proveo proceduralni korak, prvo se izračunava privremeni segment profila pomoću bočnog nagiba ε na početnoj točki – kako je definirano u jednadžbi B-8 za polumjer segmenta putanje $r$. Ako je izračunana duljina privremenog segmenta takva da ne prelazi početak ili kraj zaokreta, privremeni se segment potvrđuje i pažnja se usmjerava na sljedeći korak.

No ako privremeni segment prelazi jedan ili više početaka ili krajeva zaokreta (pri čemu se ε mijenja) ([1]), parametri leta na prvoj takvoj točki procjenjuju se interpolacijom (vidjeti odjeljak **2.7.13.**), pohranjuju se zajedno sa svojim koordinatama kao vrijednosti krajnje točke i segment se skraćuje. Drugi dio proceduralnog koraka se zatim primjenjuje od te točke – opet uz pretpostavku da se može završiti u jednom segmentu s istim krajnjim uvjetima, ali s novom početnom točkom i novim bočnim nagibom. Ako u tom drugom segmentu tada dođe do druge promjene polumjera ili smjera zaokreta, bit će potreban treći segment – i tako dalje sve dok se ne postignu krajnji uvjeti.

**Približna metoda**

Jasno je da potpuno uzimanje učinaka zaokreta u obzir, kako je gore opisano, podrazumijeva značajnu složenost izračuna jer treba posebno izračunati profil penjanja svakog zrakoplova za svaki tlocrt putanje koju avion slijedi. Međutim, promjene vertikalnog profila uzrokovane zaokretima obično imaju znatno manji utjecaj na konture od promjena bočnog nagiba, pa se neki korisnici mogu odlučiti na izbjegavanje složenosti – po cijenu određenog gubitka preciznosti – tako što neće uzeti u obzir učinke zaokreta na profile, pri čemu će još uvijek uzeti u obzir bočni nagib pri izračunu lateralne emisije zvuka (vidjeti odjeljak 2.7.19.). U okviru ove približne metode točke profila za određenu operaciju zrakoplova izračunavaju se samo jedanput, uz pretpostavku pravocrtnog tlocrta putanje (za koju ε = 0).

B5 KRETANJE NA TLU PRI UZLIJETANJU

Potisak pri uzlijetanju ubrzava kretanje aviona uzletno-sletnom stazom do samog uzleta. Pretpostavlja se da je kalibrirana brzina leta konstantna tijekom početnog dijela penjanja. Pretpostavlja se da se podvozje, ako se može uvući, uvlači ubrzo nakon uzlijetanja.

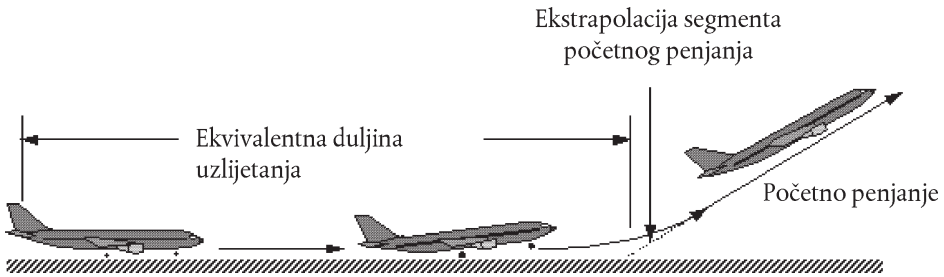
([1]) Kako bi se izbjegli prekidi kontura zbog trenutačnih promjena bočnog nagiba na spojevima između pravocrtnog leta i zaokreta, u izračune buke unose se podsegmenti da bi se omogućili linearni prijelazi bočnog nagiba preko prvih i posljednjih 5° zaokreta. Oni nisu potrebni u izračunu performansi; bočni nagib uvijek se navodi po jednadžbi B-8.

▼**M2**

Za potrebe ovog dokumenta stvarno kretanje na tlu pri uzlijetanju približno se ocjenjuje pomoću ekvivalentne duljine uzlijetanja (u unaprijed zadani čeoni vjetar od 8 čvorova), $s_{TO8}$, definirane kako je prikazano na **slici B-1** kao udaljenost duž uzletno-sletne staze od otpuštanja kočnice do točke na kojoj produžetak početne putanje leta tijekom penjanja s uvučenim podvozjem u ravnoj crti siječe uzletno-sletnu stazu.

*Slika B-1*

**Ekvivalentna duljina uzlijetanja**




Na horizontalno ravnoj uzletno-sletnoj stazi, ekvivalentna duljina zaleta $s_{TO8}$ u stopama određuje se pomoću jednadžbe

$$S_{TO8} = \frac{B_8 \cdot \theta \cdot (W/\delta)^2}{N \cdot (F_n/\delta)} \qquad \text{(B-9)}$$

pri čemu:

$B_8$ je koeficijent koji odgovara određenoj kombinaciji aviona i otklona zakrilaca za referentne uvjete ISA-e, uključujući čeoni vjetar od 8 čvorova (ft/lbf),

$W$ je bruto težina aviona u trenutku otpuštanja kočnice (lbf),

$N$ je broj motora koji daju potisak.

*Napomena:* Budući da se jednadžbom B-9 uzimaju u obzir varijacije potiska s brzinom leta i nadmorskom visinom uzletno-sletne staze, za određeni avion koeficijent $B_8$ ovisi samo o otklonu zakrilaca.

Za čeoni vjetar koji se razlikuje od unaprijed zadanih 8 čvorova, duljina zaleta prilikom uzlijetanja korigira se pomoću jednadžbe:

$$S_{TOw} = S_{TO8} \cdot \frac{(V_C - w)^2}{(V_C - 8)^2} \qquad \text{(B-10)}$$

pri čemu:

$S_{TOw}$ je duljina kretanja na tlu korigirana za čeoni vjetar $w$ (ft),

$V_C$ (u ovoj jednadžbi) je kalibrirana brzina pri rotaciji tijekom uzlijetanja u čvorovima (kt),

$w$ je čeoni vjetar u čvorovima (kt).

Duljina zaleta također se korigira za nagib uzletno-sletne staze kako slijedi:

$$S_{TOG} = S_{TOw} \cdot \frac{\alpha}{(\alpha - g \cdot G_R)} \qquad \text{(B-11)}$$

▼**M2**

pri čemu:

$S_{TOG}$ je duljina kretanja na tlu (ft) korigirana za čeoni vjetar i nagib uzletno-sletne staze,

$A$ je prosječno ubrzanje duž uzletno-sletne staze, koje je jednako $(V_C \cdot \sqrt{\sigma})^2/(2 \cdot s_{TOw})$ (ft/s$^2$),

$G_R$ je nagib uzletno-sletne staze; pozitivan je kad je uzlijetanje pod nagibom prema gore.

B6 PENJANJE KONSTANTNOM BRZINOM

Ova vrsta segmenta određuje se pomoću kalibrirane brzine aviona, položaja zakrilaca te visine i bočnog nagiba na njegovu kraju, zajedno s brzinom čeonog vjetra (unaprijed zadana vrijednost je 8 čvorova). Kao za svaki segment, parametri početka segmenta, uključujući korigirani neto potisak, uzimaju se kao jednaki onima na kraju prethodnog segmenta – ne postoje prekidi (osim kuta zakrilaca i bočnog nagiba koji se u tim izračunima mogu mijenjati u koracima). Neto potisak na kraju segmenta prvo se izračunava primjenom odgovarajuće jednadžbe od B-1 do B-5. Prosječni geometrijski kut penjanja γ (vidjeti **sliku B-1**) zatim se određuje primjenom jednadžbe

$$\gamma = \arcsin\left( K \cdot \left[ N \cdot \frac{\overline{F_n/\delta}}{\overline{W/\delta}} - \frac{R}{\cos\varepsilon} \right] \right) \qquad \text{(B-12)}$$

pri čemu crte iznad članova jednadžbe označavaju vrijednosti na sredini segmenta (= prosjek vrijednosti početne i krajnje točke – općenito vrijednosti sa sredine segmenta) i

$K$ je konstanta koja ovisi o brzini i iznosi 1,01 kad je $V_C \leq 200$ čvorova ili 0,95 u ostalim slučajevima. Ta konstanta uzima u obzir učinke gradijenta penjanja pri penjanju u čeoni vjetar od 8 čvorova i ubrzanja svojstvenog za penjanje pri konstantnoj kalibriranoj brzini na gradijent penjanja (stvarna brzina raste kako se gustoća zraka smanjuje s visinom).

$R$ je omjer između koeficijenta aerodinamičnog otpora aviona i njegova koeficijenta sile uzgona koji odgovara položaju zakrilaca. Pretpostavlja se da je podvozje uvučeno.

ε Bočni nagib u radijanima.

Kut penjanja se korigira za čeoni vjetar $w$ pomoću:

$$\gamma_w = \gamma \cdot \frac{(V_C - 8)}{(V_C - w)} \qquad \text{(B-13)}$$

pri čemu je $\gamma_w$ prosječni kut penjanja korigiran za čeoni vjetar.

Udaljenost koju avion prijeđe duž tlocrta putanje, $\Delta s$, dok se penje pod kutom $\gamma_w$, s početne visine $h_1$ na konačnu visinu $h_2$ dobiva se primjenom jednadžbe

$$\Delta_S = \frac{(h_2 - h_1)}{\tan\gamma_w} \qquad \text{(B-14)}$$

U pravilu, dvije različite faze profila odleta uključuju penjanje na konstantnoj brzini. Prva faza, koja se ponekad naziva *segmentom početnog penjanja*, odvija se odmah nakon uzlijetanja, pri čemu sigurnosni zahtjevi nalažu da avion leti najmanje minimalnom brzinom leta koja je jednaka najmanje sigurnosnoj brzini uzlijetanja. To je regulirana brzina i tijekom normalnog rada trebala bi se postići do visine od 35 stopa iznad uzletno-sletne staze. Međutim, uobičajena je praksa

▼M2

da se brzina početnog penjanja drži malo iznad sigurnosne brzine uzlijetanja, obično za 10 – 20 čvorova, jer se time obično poboljšava postignuti gradijent početnog penjanja. Druga faza slijedi nakon uvlačenja zakrilaca i početnog ubrzanja i naziva se *nastavkom penjanja*.

Tijekom početnog penjanja brzina leta ovisi o položaju zakrilaca pri uzlijetanju i bruto težini aviona. Kalibrirana brzina početnog penjanja $V_{CTO}$ izračunava se primjenom aproksimacije prvog reda:

$$V_{CTO} = C \cdot \sqrt{\mathrm{W}} \tag{B-15}$$

pri čemu je $C$ koeficijent koji odgovara položaju zakrilaca (kt/√lbf) i očitava se iz baze podataka ANP.

Za nastavak penjanja nakon ubrzanja kalibrirana brzina leta je parametar koji unosi korisnik.

B7 SMANJENJE SNAGE (PRIJELAZNI SEGMENT)

U jednom trenutku nakon uzlijetanja snaga se *smanjuje* u odnosu na snagu pri uzlijetanju kako bi se produljio životni vijek motora i, često, kako bi se smanjila buka u određenim područjima. Potisak se obično smanjuje tijekom segmenta penjanja konstantnom brzinom (**odjeljak B6**) ili tijekom segmenta ubrzanja (**odjeljak B8**). Budući da se radi o relativno kratkom postupku koji obično traje samo od 3 do 5 sekundi, on se modelira dodavanjem „prijelaznog segmenta" primarnom segmentu. Obično se smatra da se njime pokriva horizontalna udaljenost na tlu od 1 000 stopa (305 m).

**Iznos smanjenja potiska**

Pri normalnom radu potisak motora smanjuje se na maksimalnu vrijednost potiska pri penjanju. Za razliku od potiska pri uzlijetanju, potisak pri penjanju može se održati na neodređeno vrijeme, u praksi obično dok avion ne dosegne svoju početnu visinu krstarenja. Maksimalna razina potiska pri penjanju određuje se primjenom jednadžbe B-1 koristeći najveće koeficijente potiska koje dostavlja proizvođač. Međutim, zbog zahtjeva za smanjenje buke može biti potrebno dodatno smanjenje potiska, koje se ponekad naziva dubokim smanjenjem. Iz sigurnosnih razloga najveće smanjenje potiska ograničeno je [1] na vrijednost koja se određuje na osnovi performansi aviona i broja motora.

Najmanja razina „smanjenog potiska" ponekad se naziva „smanjenim potiskom kod otkaza jednog motora":

$$(F_n/\delta)_{engine.out} = \frac{(W/\delta_2)}{(N-1)} \cdot \left[\frac{\sin(\arctan(0{,}01 \cdot G'))}{K} + \frac{R}{\cos\varepsilon}\right] \tag{B-16}$$

pri čemu:

$\delta_2$ je omjer tlaka na visini $h_2$,

$G'$ postotak gradijenta penjanja kod otkaza jednog motora:

= 0 % za avione s automatskim sustavima ponovne uspostave potiska; u ostalim slučajevima,

= 1,2 % za avion s 2 motora,

= 1,5 % za avion s 3 motora,

= 1,7 % za avion s 4 motora.

[1] „Postupci za smanjenje buke", ICAO dokument 8168 „PANS-OPS", svezak 1., dio V., poglavlje 3., ICAO 2004.

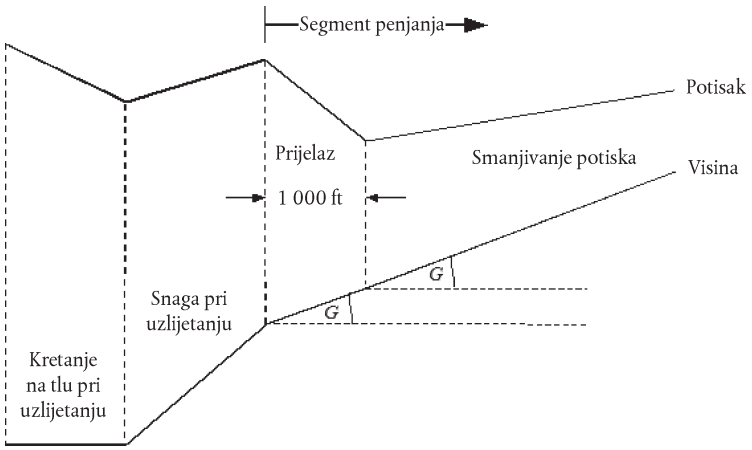
▼M2

**Segment penjanja konstantnom brzinom uz smanjenje potiska**

Gradijent segmenta penjanja izračunava se primjenom jednadžbe B-12, s time da se potisak izračunava bilo primjenom jednadžbe B-1 s maksimalnim koeficijentima uspona ili primjenom jednadžbe B-16 za smanjeni potisak. Segment penjanja zatim se dijeli na dva podsegmenta koja imaju isti kut penjanja. To je prikazano na **slici B-2**.

*Slika B-2*

**Segment penjanja konstantnom brzinom uz smanjenje potiska (ilustracija – nije u mjerilu)**




Prvom podsegmentu dodijeljena je duljina na tlu od 1 000 stopa (304 m), a korigirani neto potisak po motoru na kraju te duljine od 1 000 stopa izjednačen je s vrijednošću smanjenja potiska. (Ako je prvotna horizontalna udaljenost manja od 2 000 stopa, polovica segmenta upotrebljava se za smanjenje potiska.) Konačni potisak na drugom podsegmentu također je jednak vrijednostima smanjenja potiska. Stoga se drugi podsegment prelijeće uz konstantan potisak.

B8 PENJANJE S UBRZAVANJEM I UVLAČENJE ZAKRILACA

Ovo obično slijedi nakon početnog penjanja. Kao i za sve segmente penjanja, visina početne točke $h_1$, stvarna brzina leta $V_{T1}$ i potisak $(F_n/\delta)_1$ su vrijednosti s kraja prethodnog segmenta. Podatke o kalibriranoj brzini leta na krajnjoj točki $V_{C2}$ i prosječnoj brzini penjanja *ROC* unosi korisnik (bočni nagib ε je funkcija brzine i polumjera zaokreta). Budući da su međusobno ovisne, vrijednosti konačne visine $h_2$, konačne stvarne brzine leta $V_{T2}$, konačnog potiska $(F_n/\delta)_2$ i duljine putanje segmenta $\Delta s$ treba izračunati iteracijom; konačna visina $h_2$ prvo se procjenjuje, a zatim se u više navrata preračunava primjenom jednadžbi B-16 i B-17 sve dok razlika između uzastopnih procjena ne bude manja od naznačenog odstupanja, npr. jedne stope. Praktična početna procjena je $h_2 = h_1 + 250$ stopa.

Duljina putanje segmenta (prijeđena horizontalna udaljenost) procjenjuje se kao:

$$S_{seg} = 0{,}95 \cdot k^2 \cdot (V_{T2}^2 - V_{T1}^2)/2 \ (\alpha_{max} - G \cdot g) \qquad \text{(B-17)}$$

▼M2

pri čemu:

0,95 je faktor za uzimanje u obzir učinka čeonog vjetra od 8 čvorova pri penjanju uz brzinu od 160 čvorova,

$k$ je konstanta za pretvaranje čvorova u ft/sec = 1,688 ft/s po čvoru,

$V_{T2}$ = stvarna brzina leta na kraju segmenta, u čvorovima (kt): $V_{T2} = V_{C2}/\sqrt{\sigma_2}$

pri čemu je $\sigma_2$ = omjer gustoće zraka na krajnjoj visini $h_2$,

$a_{max}$ = najveće ubrzanje u horizontalnom letu (ft/s$^2$)

= $g\left[N \cdot \overline{F_n/\delta}/\left(\overline{W/\delta}\right) - R/cos\ \varepsilon\right]$

$G$ = gradijent penjanja $\approx \dfrac{ROC}{60 \cdot k \cdot \overline{V_T}}$

pri čemu je $ROC$ = brzina penjanja, ft/min.

Upotrebom te procjene $\Delta s$, konačna visina $h_2'$ se zatim ponovno procjenjuje pomoću:

$$h_2' = h_1 + s \cdot G/0{,}95 \qquad \text{(B-18)}$$

Sve dok je pogreška $|h'_2 - h_2|$ izvan naznačenog odstupanja, koraci B-17 i B-18 ponavljaju se koristeći vrijednosti kraja segmenta za visinu $h_2$, stvarnu brzinu leta $V_{T2}$ i korigirani neto potisak po motoru $(F_n/\delta)_2$ iz trenutačne iteracije. Kad je pogreška unutar naznačenog odstupanja, iteracijski ciklus se završava i segment ubrzavanja određen je konačnim vrijednostima kraja segmenta.

*Napomena:* Ako je tijekom postupka iteracije ($a_{max} - G \cdot g$) < 0,02 g, ubrzanje može biti nedostatno za postizanje željene brzine $V_{C2}$ na razumnoj udaljenosti. U tom slučaju gradijent penjanja može se ograničiti na $G = a_{max}/g - 0{,}02$, čime se smanjuje željena brzina penjanja kako bi se održalo prihvatljivo ubrzanje. Ako je $G < 0{,}01$, treba zaključiti da nema dovoljno potiska za postizanje naznačenog ubrzanja i brzine penjanja; izračun treba okončati i provjeriti proceduralne korake ([1]).

Duljina segmenta ubrzavanja korigira se za čeoni vjetar $w$ pomoću:

$$\Delta S_w = \Delta_S \cdot \frac{(V_T - w)}{(V_T - 8)} \qquad \text{(B-19)}$$

**Segment ubrzavanja sa smanjenjem potiska**

Smanjenje potiska unosi se u segment ubrzavanja na isti način kao i kod segmenta konstantne brzine, pretvaranjem njegova prvog dijela u prijelazni segment. Iznos smanjenja potiska izračunava se kao za postupak smanjivanja potiska pri konstantnoj brzini, primjenjujući samo jednadžbu B-1. Vodite računa o tome da obično nije moguće ubrzavanje i penjanje uz zadržavanje minimalne vrijednosti potiska kod otkaza jednog motora. Prijelazu potiska dodijeljena je duljina na tlu od 1 000 stopa (305 m), a korigirani neto potisak po

([1]) U oba slučaja treba programirati računalni model tako da obavijesti korisnika o nedosljednosti.

▼M2

motoru na kraju te duljine od 1 000 stopa izjednačen je s vrijednošću smanjenja potiska. Brzina na kraju segmenta određuje se iteracijom duljine segmenta od 1 000 stopa (ako je prvotna horizontalna udaljenost manja od 2 000 stopa, polovica segmenta upotrebljava se za promjenu potiska.) Konačni potisak na drugom podsegmentu također je jednak vrijednostima smanjenja potiska. Stoga se drugi podsegment prelijeće uz konstantan potisak.

B9 DODATNI SEGMENTI PENJANJA I UBRZAVANJA NAKON UVLAČENJA ZAKRILACA

Ako se dodatni segmenti ubrzavanja uključuju u putanju leta tijekom penjanja, jednadžbe B-12 do B-19 trebalo bi ponovno upotrijebiti za izračun udaljenosti tlocrta putanje, prosječnog kuta penjanja i postignute visine za svaki segment. Kao i prije, konačnu visinu segmenta treba procijeniti iteracijom.

B10 SNIŽAVANJE I USPORAVANJE

Prilaženje obično zahtijeva smanjenje visine i usporavanje aviona kako bi se pripremio za segment završnog prilaza u kojem su avionu zakrilca u položaju za prilaz, a podvozje spušteno. Nema promjena u mehanici leta u odnosu na odlet; glavna je razlika da su profili visine i brzine općenito poznati, dok se razine potiska motora moraju procijeniti za svaki segment. Osnovna jednadžba ravnoteže snage je:

$$F_n/\delta = W \cdot \frac{R \cdot \cos\gamma + \sin\gamma + \alpha/g}{N \cdot \delta} \qquad \text{(B-20)}$$

Jednadžba B-20 može se rabiti na dva različita načina. Prvo se mogu definirati brzine aviona na početku i kraju segmenta, zajedno s kutom snižavanja (ili udaljenošću horizontalnog segmenta) te početnim i konačnim visinama segmenta. U tom se slučaju usporavanje može izračunati primjenom sljedeće jednadžbe:

$$\alpha = \frac{(V_2/\cos\gamma)^2 - (V_1/\cos\gamma)^2}{(2 \cdot \Delta_S/\cos\gamma)} \qquad \text{(B-21)}$$

pri čemu je $\Delta s$ prijeđena udaljenost na tlu, a $V_1$ i $V_2$ su početne i konačne horizontalne brzine koje se izračunavaju primjenom jednadžbe

$$V = \frac{V_C \cdot \cos\gamma}{\sqrt{\sigma}} - w \qquad \text{(B-22)}$$

Jednadžbe B-20, B-21 i B-22 potvrđuju da će, kad se usporava na određenoj udaljenosti pri konstantnoj brzini snižavanja, jaki čeoni vjetar zahtijevati jači potisak kako bi se održao isti stupanj usporavanja, a vjetar u leđa zahtijevati manji potisak kako bi se održavao isti stupanj usporavanja.

U praksi se većina, ako ne i sva, usporavanja tijekom prilaza vrše s potiskom motora pri minimalnom potisku. Stoga se za drugu primjenu jednadžbe B-20 potisak definira minimalnom vrijednošću i jednadžba se rješava iterativno kako bi se odredilo 1. usporavanje i 2. visina na kraju segmenta usporavanja – na sličan način kao kod segmenata ubrzavanja pri odletu. U tom se slučaju udaljenost usporavanja može vrlo razlikovati s obzirom na čeoni vjetar i vjetar u leđa i ponekad je potrebno smanjiti kut snižavanja kako bi se dobili smisleni rezultati.

▼M2

Za većinu aviona minimalni potisak nije nula i, za mnoge, također je funkcija brzine leta. Stoga se jednadžba B-20 za usporavanje rješava unoseći minimalni potisak; minimalni potisak izračunava se primjenom jednadžbe u sljedećem obliku:

$$(F_n/\delta)_{idle} = E_{idle} + F_{idle} \cdot V_C + G_{A,idle} \cdot h + G_{B,idle} \cdot h^2 + H_{idle} \cdot T \qquad \text{(B-23)}$$

pri čemu su ($E_{idle}$, $F_{idle}$, $G_{A,idle}$, $G_{B,idle}$ i $H_{idle}$) koeficijenti motora pri minimalnom potisku dostupni u bazi podataka ANP.

B11 ZAVRŠNI PRILAZ

Kalibrirana brzina leta za završni prilaz, $V_{CA}$, povezana je s bruto težinom zrakoplova pri slijetanju jednadžbom istog oblika kao jednadžba B-11, naime

$$V_{CA} \approx D \cdot \sqrt{W} \qquad \text{(B-24)}$$

pri čemu koeficijent $D$ (kt/√lbf) odgovara položaju zakrilaca za slijetanje.

Korigirani neto potisak po motoru tijekom snižavanja duž klizne ravnine prilaza izračunava se rješavanjem jednadžbe B-12 za težinu pri slijetanju $W$ i omjer između otpora i uzgona $R$ koji je primjeren za položaj zakrilaca s izvučenim podvozjem. Položaj zakrilaca trebao bi biti onaj koji se obično upotrebljava u stvarnim operacijama. Tijekom završnog prilaza može se pretpostaviti da je kut snižavanja na kliznoj ravnini γ konstantan. Za avione na mlazni pogon i elisne avione s više motora γ obično iznosi – 3°. Za elisne avione s jednim motorom γ obično iznosi – 5°.

Prosječni korigirani neto potisak po motoru izračunava se okretanjem jednadžbe B-12 pri upotrebi K = 1,03 kako bi se uzelo u obzir usporenje svojstveno letu na silaznoj putanji u referentni čeoni vjetar od 8 čvorova pri konstantnoj kalibriranoj brzini leta koju dobivamo jednadžbom B-24, tj.

$$\overline{F_n/\delta} = \frac{\overline{W/\delta}}{N} \cdot \left( R + \frac{\sin\gamma}{1{,}03} \right) \qquad \text{(B-25)}$$

Za čeoni vjetar koji ne iznosi 8 čvorova prosječni korigirani neto potisak postaje

$$\left(\overline{F_n/\delta}\right)_w = \overline{F_n/\delta} + 1{,}03 \cdot \overline{W/\delta} \cdot \frac{\sin\gamma \cdot (w-8)}{N \cdot V_{CA}} \qquad \text{(B-26)}$$

Prijeđena horizontalna udaljenost izračunava se kako slijedi:

$$\Delta_S = \frac{(h_2 - h_1)}{\tan\gamma} \qquad \text{(B-27)}$$

(pozitivna je budući da je $h_1 > h_2$ i vrijednost γ je negativna).

▼M2

*Dodatak C*

**Modeliranje bočne raspršenosti tlocrta putanje**

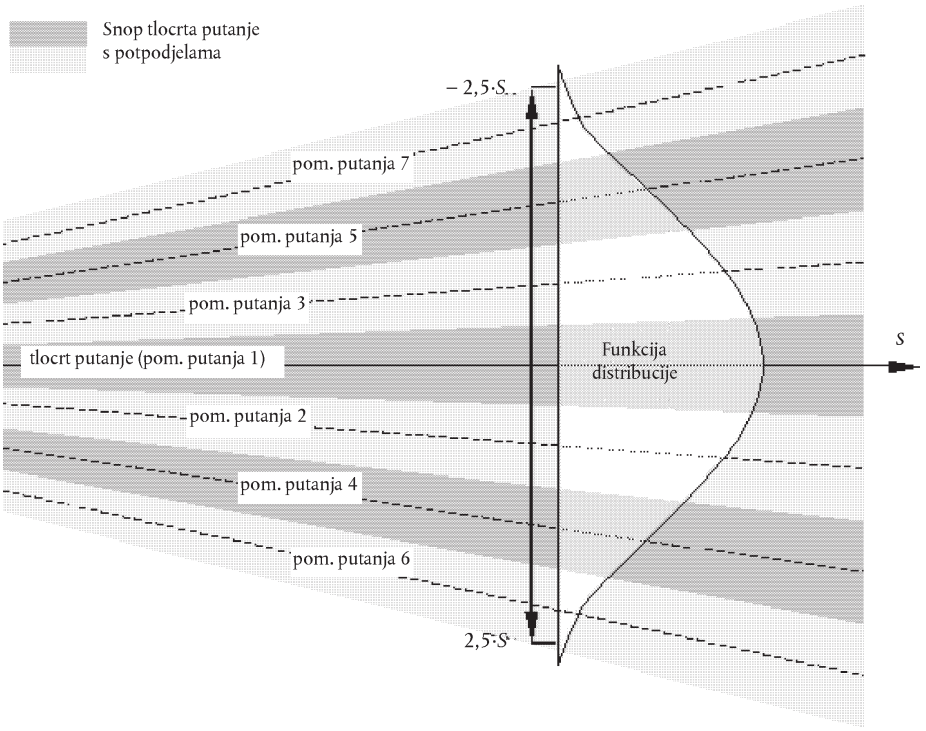
Preporučuje se da se, u nedostatku radarskih podataka, bočna raspršenost tlocrta putanje modelira na temelju pretpostavke da širenje putanja okomito na glavnu putanju slijedi normalnu Gaussovu raspodjelu. Iskustvo je pokazalo da je to razumna pretpostavka u većini slučajeva.

Ako pretpostavimo Gaussovu raspodjelu uz standardnu devijaciju *S*, prikazanu na **slici C-1**, oko 98,8 posto svih kretanja spada unutar granica ± 2,5×*S* (tj. unutar snopa širine 5 × *S*).

*Slika C-1*

**Potpodjela tlocrta putanje na 7 pomoćnih putanja**

(Širina snopa je 5 puta veća od standardne devijacije za širenje tlocrta putanje)




Gaussovu raspodjelu može se obično modelirati na odgovarajući način koristeći 7 zasebnih pomoćnih putanja ravnomjerno raspoređenih između ± 2,5 × *S* granica snopa kako je prikazano na **slici C-1**.

Međutim, primjerenost približne procjene ovisi o odnosu između razdvajanja putanje na pomoćne putanje u odnosu na visine zrakoplova. Mogu postojati slučajevi (vrlo uske ili vrlo raspršene putanje) u kojima je primjereniji različit broj pomoćnih putanja. Premalo pomoćnih putanja uzrokuje pojavljivanje „prstiju" u konturama buke. U **tablicama C-1** i **C-2** prikazani su parametri za podjelu na 5 do 13 pomoćnih putanja. U **tablici C-1** prikazan je položaj pojedinih pomoćnih putanja, a u **tablici C-2** odgovarajući postotak kretanja na svakoj pomoćnoj putanji.

▼M2

*Tablica C-1*

**Položaj 5, 7, 9, 11 ili 13 pomoćnih putanja**

(Ukupna širina snopa (koja sadrži 98 % svih kretanja) je 5 puta veća od standardne devijacije)

| Broj pomoćnih putanja | Položaj pomoćnih putanja za podpodjelu na | | | | |
|---|---|---|---|---|---|
| | 5 pomoćnih putanja | 7 pomoćnih putanja | 9 pomoćnih putanja | 11 pomoćnih putanja | 13 pomoćnih putanja |
| **12/13** | | | | | ± 2,31·*S* |
| **10/11** | | | | ± 2,27·*S* | ± 1,92·*S* |
| **8/9** | | | ± 2,22·*S* | ± 1,82·*S* | ± 1,54·*S* |
| **6/7** | | ± 2,14·*S* | ± 1,67·*S* | ± 1,36·*S* | ± 1,15·*S* |
| **4/5** | ± 2,00·*S* | ± 1,43·*S* | ± 1,11·*S* | ± 0,91·*S* | ± 0,77·*S* |
| **2/3** | ± 1,00·*S* | ± 0,71·*S* | ± 0,56·*S* | ± 0,45·*S* | ± 0,38·*S* |
| **1** | 0 | 0 | 0 | 0 | 0 |

*Tablica C-2*

**Postotak kretanja na 5, 7, 9, 11 ili 13 pomoćnih putanja**

(Ukupna širina snopa (koja sadržava 98 % svih kretanja) je 5 puta veća od standardne devijacije)

| Broj pomoćnih putanja | Postotak kretanja na pomoćnim putanjama za podpodjelu na | | | | |
|---|---|---|---|---|---|
| | 5 pomoćnih putanja | 7 pomoćnih putanja | 9 pomoćnih putanja | 11 pomoćnih putanja | 13 pomoćnih putanja |
| **12/13** | | | | | 1,1 % |
| **10/11** | | | | 1,4 % | 2,5 % |
| **8/9** | | | 2,0 % | 3,5 % | 4,7 % |
| **6/7** | | 3,1 % | 5,7 % | 7,1 % | 8,0 % |
| **4/5** | 6,3 % | 10,6 % | 12,1 % | 12,1 % | 11,5 % |
| **2/3** | 24,4 % | 22,2 % | 19,1 % | 16,6 % | 14,4 % |
| **1** | 38,6 % | 28,2 % | 22,2 % | 18,6 % | 15,6 % |

▼M2

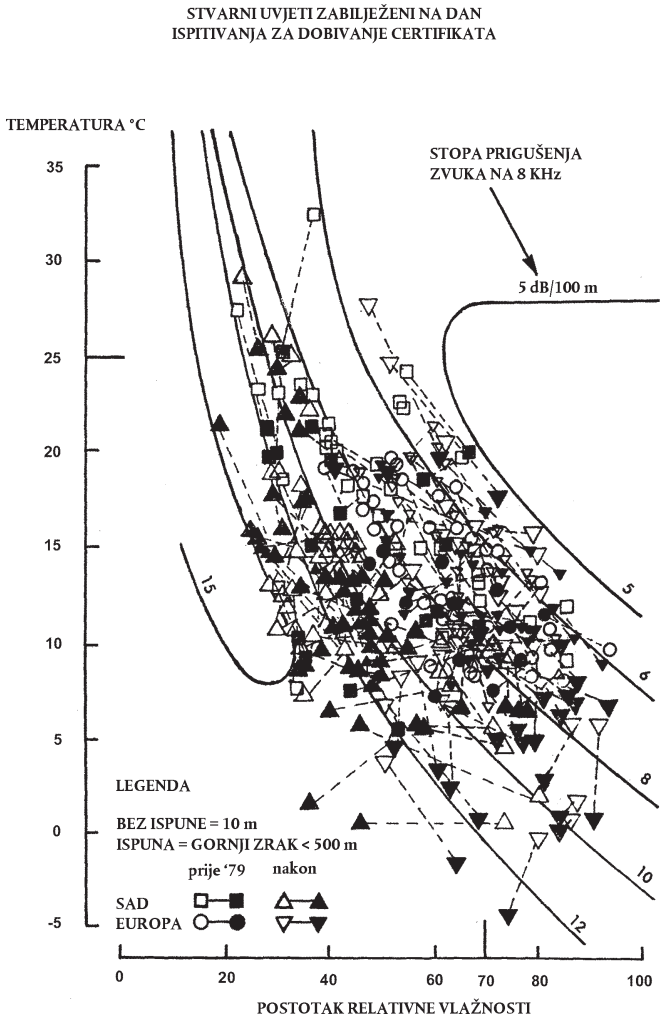
*Dodatak D*

**Ponovni izračun NPD podataka za nereferentne uvjete**

Doprinosi svakog segmenta putanje leta razini buke izvode se iz NPD podataka pohranjenih u međunarodnoj bazi podataka ANP. Međutim, treba napomenuti da su ti podaci normalizirani upotrebom prosječnih stopa atmosferskog prigušenja utvrđenih u standardu SAE AIR-1845. Te su stope prosjeci vrijednosti određenih za vrijeme ispitivanja zrakoplova za dobivanje certifikata o buci u Europi i SAD-u. Velike razlike u atmosferskim uvjetima (temperatura i relativna vlažnost) u tim ispitivanjima prikazane su na **slici D-1.**

*Slika D-1*

**Meteorološki uvjeti zabilježeni tijekom ispitivanja za dobivanje certifikata o buci**




Krivulje prikazane na **slici D-1**, izračunane upotrebom standardnog industrijskog modela atmosferskog prigušenja ARP 866A, pokazuju da se u raznovrsnim ispitnim uvjetima mogu očekivati znatne varijacije apsorpcije zvuka visoke frekvencije (8 kHz), iako bi varijacija ukupne apsorpcije bila manja.

Budući da su stope prigušenja navedene u **tablici D-1** aritmetički prosjeci, čitav se skup ne može povezati s jednom referentnom atmosferom (tj. s posebnim

▼M2

vrijednostima temperature i relativne vlažnosti). O njima se može razmišljati samo kao o svojstvima posve teoretske atmosfere koja se naziva „AIR-1845 atmosfera”.

*Tablica D-1*

**Prosječne stope atmosferskog prigušenja koje se upotrebljavaju za normalizaciju NPD podataka u bazi podataka ANP**

| Središnja frekvencija pojasa širine 1/3 oktave [Hz] | Stopa prigušenja [dB/100 m] | Središnja frekvencija pojasa širine 1/3 oktave [Hz] | Stopa prigušenja [dB/100 m] |
|---|---|---|---|
| 50 | 0,033 | 800 | 0,459 |
| 63 | 0,033 | 1 000 | 0,590 |
| 80 | 0,033 | 1 250 | 0,754 |
| 100 | 0,066 | 1 600 | 0,983 |
| 125 | 0,066 | 2 000 | 1,311 |
| 160 | 0,098 | 2 500 | 1,705 |
| 200 | 0,131 | 3 150 | 2,295 |
| 250 | 0,131 | 4 000 | 3,115 |
| 315 | 0,197 | 5 000 | 3,607 |
| 400 | 0,230 | 6 300 | 5,246 |
| 500 | 0,295 | 8 000 | 7,213 |
| 630 | 0,361 | 10 000 | 9,836 |

Koeficijenti prigušenja iz **tablice D-1** mogu se smatrati valjanima u razumnom rasponu temperature i vlažnosti. Ipak, kako bi se provjerilo jesu li potrebne prilagodbe, treba upotrebljavati ARP-866A za izračun prosječnih koeficijenata atmosferske apsorpcije za prosječnu temperaturu zračne luke $T$ i relativnu vlažnost $RH$. Ako se na osnovu usporedbe tih koeficijenata s onima u **tablici D-1** ocijeni da je potrebna prilagodba, trebala bi se upotrebljavati metodologija opisana u nastavku.

Baza podataka ANP pruža sljedeće NPD podatke za svaki režim rada motora:

— maksimalna razina zvuka u odnosu na izravnu udaljenost, $L_{max}(d)$,

— vremenski integrirana razina u odnosu na udaljenost za referentnu brzinu leta, $L_E(d)$, i

— nevrednovani referentni zvučni spektar na izravnoj udaljenosti od 305 m (1 000 ft), $L_{n,ref}(d_{ref})$ pri čemu je $n$ = frekvencijski pojas (u rasponu od 1 do 24 za pojaseve širine 1/3 oktave sa središnjim frekvencijama od 50 Hz do 10 kHz),

pri čemu su svi podaci normalizirani na atmosferu AIR-1845.

Prilagodba NPD krivulja uvjetima $T$ i $RH$ koje je naveo korisnik vrši se u tri koraka:

▼**M2**

1. Prvo se korigira referentni spektar kako bi se uklonilo atmosfersko prigušenje SAE AIR-1845 $\alpha_{n,ref}$:

$$L_n(d_{ref}) = L_{n,ref}(d_{ref}) + \alpha_{n,ref} \cdot d_{ref} \quad \text{(D-1)}$$

pri čemu je $L_n(d_{ref})$ neprigušeni spektar na udaljenosti $d_{ref}$ = 305 m i $\alpha_{n,ref}$ je koeficijent atmosferske apsorpcije za frekvencijski pojas *n* preuzet iz **tablice D-1** (ali izražen u dB/m).

2. Zatim se korigirani spektar prilagođava svakoj od deset standardnih NPD udaljenosti $d_i$ koristeći stope prigušenja za i. atmosferu iz standarda SAE AIR-1845 i ii. atmosferu koju je naveo korisnik (na temelju standarda SAE ARP-866A).

   i. Za atmosferu iz standarda SAE AIR-1845:

$$L_{n,ref}(d_i) = L_n(d_{ref}) - 20\lg(d_i/d_{ref}) - \alpha_{n,ref} \cdot d_i \quad \text{(D-2)}$$

   ii. Za atmosferu korisnika:

$$L_{n,866A}(T,RH,d_i) = L_n(d_{ref}) - 20\lg(d_i/d_{ref}) - \alpha_{n,866A}(T,RH) \cdot d_i \quad \text{(D-3)}$$

pri čemu je $\alpha_{n,866A}$ koeficijent atmosferske apsorpcije za frekvencijski pojas *n* (izražen u dB/m) izračunan pomoću standarda SAE ARP-866A s temperaturom *T* i relativnom vlažnošću *RH*.

3. Na svakoj NPD udaljenosti ($d_i$) dva su spektra A-vrednovana pa se njihovi decibeli zbrajaju kako bi se dobile A-vrednovane razine $L_{A,866A}$ i $L_{A,ref}$ koje se zatim aritmetički oduzimaju:

$$\Delta L(T,RH,d_i) = L_{A,866A} - L_{A,ref} = 10 \cdot \lg \sum_{n=1}^{24} 10^{(L_{n,866A}(T,RH,d_i)-A_n)/10} - 10 \cdot \lg \sum_{n=1}^{24} 10^{(L_{n,ref}(d_i)-A_n)/10} \quad \text{(D-4)}$$

Promjena $\Delta L$ je razlika između NPD podataka u atmosferi koju je naveo korisnik i referentnoj atmosferi. Ona se dodaje vrijednostima NPD podataka iz baze podataka ANP kako bi se dobili prilagođeni NPD podaci.

Primjenom $\Delta L$ za prilagodbu NPD podataka $L_{max}$ i $L_E$ praktički se pretpostavlja da različiti atmosferski uvjeti utječu samo na referentni spektar i nemaju nikakav utjecaj na oblik proteka razina kroz vrijeme. To se može smatrati valjanim za tipične raspone širenja i za tipične atmosferske uvjete.

▼M2

*Dodatak E*

**Korekcija za ograničeni segment**

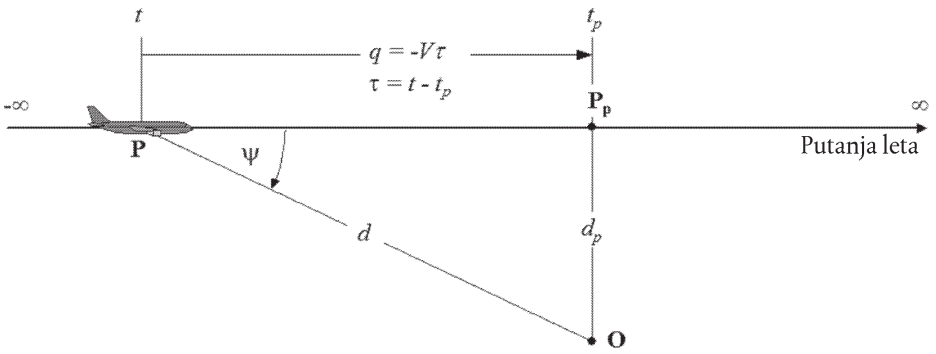
U ovom se dodatku opisuje izvođenje korekcije za ograničeni segment i povezani algoritam za izračun energetskih udjela opisan u odjeljku 2.7.19.

E1 GEOMETRIJA

Algoritam za izračun energetskih udjela temelji se na zračenju zvuka 90-stupanjskog dipolnog izvora zvuka „na četvrtu potenciju”. On ima svojstva usmjerenosti koja približno sliče onima zvuka mlaznog zrakoplova, barem u kutnom području koje najviše utječe na razine zvučnih događaja ispod i pored putanje leta zrakoplova.

*Slika E-1*

**Geometrija između putanje leta i lokacije promatrača O**




Na **slici E-1** prikazana je geometrija širenja zvuka između putanje leta i lokacije promatrača **O**. Zrakoplov na točki **P** leti konstantnom brzinom kroz miran i ujednačen zrak i slijedi horizontalno ravnu putanju leta. Njegova najbliža točka prilaska promatraču je $\mathbf{P_p}$. Parametri su:

$d$ udaljenost od promatrača do zrakoplova,

$d_p$ udaljenost (pod pravim kutom u odnosu na putanju) od promatrača do putanje leta (izravna udaljenost),

$q$ udaljenost od **P** do $\mathbf{P_p} = -V \times \tau$,

$V$ brzina zrakoplova,

$t$ vrijeme kad je zrakoplov na točki **P**,

$t_p$ vrijeme kad se zrakoplov nalazi na točki najbližeg prilaska $\mathbf{P_p}$,

$\tau$ vrijeme leta = vrijeme u odnosu na vrijeme na točki $\mathbf{P_p} = t - t_p$,

$\psi$ kut između putanje leta i vektora promatrača zrakoplova.

Treba napomenuti da, budući da je vrijeme leta $\tau$ u odnosu na točku najbližeg prilaska negativno kad se zrakoplov nalazi ispred položaja promatrača (kako je prikazano na **slici E-1**), relativna udaljenost $q$ do točke najbližeg prilaska u tom slučaju postaje pozitivna. Ako se zrakoplov nalazi ispred promatrača, udaljenost $q$ postaje negativna.

▼M2

E2 PROCJENA ENERGETSKOG UDJELA

Osnovni koncept energetskog udjela je izražavanje izloženosti buci $E$ koja nastaje na položaju promatrača sa segmenta putanje leta $\mathbf{P_1P_2}$ (s početnom točkom $\mathbf{P_1}$ i krajnjom točkom $\mathbf{P_2}$) množenjem izloženosti $E_\infty$ iz čitave beskonačne putanje prelijetanja jednostavnim faktorom – faktorom *energetskog udjela* $F$:

$$E = F \cdot E_\infty \tag{E-1}$$

S obzirom na to da se izloženost može izraziti kao vremenski integral (vrednovane) srednje kvadratne vrijednosti razine zvučnog tlaka, tj.

$$E = const \cdot \int p^2(\tau) d\tau \tag{E-2}$$

za izračun vrijednosti $E$, srednja kvadratna vrijednost tlaka mora biti izražena kao funkcija poznatih geometrijskih i operativnih parametara. Za 90-stupanjski dipolni izvor zvuka,

$$p^2 = p_p^2 \cdot \frac{d_p^2}{d^2} \cdot \sin^2\psi = p_p^2 \cdot \frac{d_p^4}{d^4} \tag{E-3}$$

pri čemu su $p^2$ i $p_p{}^2$ promatrane vrijednosti srednje kvadratne vrijednosti zvučnog tlaka koji stvara zrakoplov dok prelazi točke $\mathbf{P}$ i $\mathbf{P_p}$.

Pokazalo se da taj relativno jednostavan odnos pruža dobru simulaciju buke mlaznog zrakoplova, iako su stvarni mehanizmi u pozadini buke vrlo složeni. Član $d_p{}^2/d^2$ u jednadžbi E-3 opisuje samo mehanizam sferičnog širenja primjeren točkastom izvoru zvuka, beskonačnoj brzini zvuka i ujednačenoj, neraspršujućoj atmosferi. Svi su drugi fizički utjecaji – usmjerenost izvora, ograničena brzina zvuka, atmosferska apsorpcija, Dopplerov pomak itd. – implicitno obuhvaćeni članom jednadžbe $sin^2\psi$. Taj faktor uzrokuje obrnuto proporcionalno smanjenje srednje kvadratne vrijednosti tlaka, što je izraženo kao $d^4$; iz toga proizlazi izraz „izvor na četvrtu potenciju”.

Uvođenjem zamjena

$$d^2 = d_p^2 + q^2 = d_p^2 + (V \cdot \tau)^2 \text{ i } \left(\frac{d}{d_p}\right)^2 = 1 + \left(\frac{V \cdot \tau}{d_p}\right)^2$$

srednja kvadratna vrijednost tlaka može se izraziti kao funkcija vremena (ponovo ne uzimajući u obzir vrijeme širenja zvuka):

$$p^2 = p_p^2 \cdot \left(1 + \left(\frac{V \cdot \tau}{d_p}\right)^2\right)^{-2} \tag{E-4}$$

Ako se to umetne u jednadžbu (E-2) i obavi zamjena

$$\alpha = \frac{V \cdot \tau}{d_p} \tag{E-5}$$

izloženost promatrača zvuku prelijetanja između vremenskog intervala $[\tau_1,\tau_2]$ može se izraziti kao

$$E = const \cdot p_p^2 \cdot \frac{d_p}{V} \cdot \int_{\alpha_1}^{\alpha_2} \frac{1}{(1+\alpha^2)^2} d\alpha \tag{E-6}$$

Rješenje tog integrala je:

$$E = const \cdot p_p^2 \cdot \frac{d_p}{V} \cdot \frac{1}{2}\left(\frac{\alpha_2}{1+\alpha_2^2} + \arctan\alpha_2 - \frac{\alpha_1}{1+\alpha_1^2} - \arctan\alpha_1\right) \tag{E-7}$$

▼M2

Integracija u intervalu [–∞,+∞] (tj. tijekom čitave beskonačne putanje leta) daje sljedeći izraz za ukupnu izloženost $E_\infty$:

$$E_\infty = const \cdot \frac{\pi}{2} \cdot p_p^2 \cdot \frac{d_p}{V} \tag{E-8}$$

i stoga je energetski udio prema jednadžbi E-1

$$F = \frac{1}{\pi}\left(\frac{\alpha_2}{1 + \alpha_2^2} + \arctan \alpha_2 - \frac{\alpha_1}{1 + \alpha_1^2} - \arctan \alpha_1\right) \tag{E-9}$$

E3 DOSLJEDNOST MAKSIMALNIH I VREMENSKO INTEGRIRANIH PARAMETARA – PRILAGOĐENA UDALJENOST

Posljedica upotrebe jednostavnog dipolnog modela za utvrđivanje energetskog udjela jest to da se podrazumijeva posebna teoretska razlika $\Delta L$ između razina buke događaja $L_{max}$ i $L_E$. Ako želimo da model konture bude interno dosljedan, to treba biti jednako razlici vrijednosti utvrđenih na osnovi NPD krivulja. Problem je da su NPD podaci dobiveni iz stvarnih mjerenja buke zrakoplova koja ne moraju nužno biti u skladu s jednostavnom teorijom. Stoga je potrebno teoriji dodati element fleksibilnosti. Ipak, u principu su varijable $\alpha_1$ i $\alpha_2$ određene geometrijom i brzinom zrakoplova, čime se ne ostavlja nikakva dodatna sloboda. Rješenje nudi koncept *prilagođene udaljenosti* $d_\lambda$ kako slijedi.

Razina izloženosti $L_{E,\infty}$ prikazana kao funkcija $d_p$ u bazi podataka ANP za referentnu brzinu $V_{ref}$, može se izraziti kao

$$L_{E,\infty}(V_{ref}) = 10 \cdot \lg\left[\frac{\int_{-\infty}^{\infty} p^2 \cdot dt}{p_0^2 \cdot t_{ref}}\right] \tag{E-10}$$

pri čemu je $p_0$ standardni referentni tlak, a $t_{ref}$ je referentno vrijeme (= 1 s za SEL). Za stvarnu brzinu $V$ ona postaje

$$L_{E,\infty}(V) = L_{E,\infty}(V_{ref}) + 10 \cdot \lg\left(\frac{V_{ref}}{V}\right) \tag{E-11}$$

Na sličan se način maksimalna razina događaja $L_{max}$ može zapisati kao

$$L_{max} = 10 \cdot \lg\left[\frac{p_p^2}{p_0^2}\right] \tag{E-12}$$

Za dipolni izvor, pomoću jednadžbi E-8, E-11 i E-12, imajući na umu da je (iz jednadžbi E-2 i E-8) $\int_{-\infty}^{\infty} p^2 \cdot dt = \frac{\pi}{2} \cdot p_p^2 \cdot \frac{d_p}{V}$, razlika $\Delta L$ može se zapisati na sljedeći način:

$$\Delta L = L_{E,\infty} - L_{max} = 10 \cdot \lg\left[\frac{V}{V_{ref}} \cdot \left(\frac{\pi}{2} p_p^2 \frac{d_p}{V}\right) \cdot \frac{1}{p_0^2 \cdot t_{ref}}\right] - 10 \cdot \lg\left[\frac{p_p^2}{p_0^2}\right] \tag{E-13}$$

Ta se razlika može izjednačiti s vrijednošću $\Delta L$ određenom na temelju NPD podataka ako se izravna udaljenost $d_p$ koja se upotrebljava za izračunavanje energetskog udjela zamijeni *prilagođenom udaljenošću* $d_\lambda$ izraženom formulom

$$d_\lambda = \frac{2}{\pi} \cdot V_{ref} \cdot t_{ref} \cdot 10^{(L_{E,\infty} - L_{max})/10} \tag{E-14a}$$

ili

$$d_\lambda = d_0 \cdot 10^{(L_{E,\infty} - L_{max})/10} \text{ sa } d_0 = \tfrac{2}{\pi} \cdot V_{ref} \cdot t_{ref} \tag{E-14b}$$

▼**M2**

Ako u jednadžbi E-5 zamijenimo $d_p$ vrijednošću $d_\lambda$ i upotrijebimo definiciju $q = V\tau$ sa **slike E-1**, parametri $\alpha_1$ i $\alpha_2$ u jednadžbi E-9 mogu se zapisati (stavivši $q = q_1$ na početnu točku i $q - \lambda = q_2$ na krajnju točku segmenta putanje leta duljine $\lambda$) kao

$$\alpha_1 = \frac{-q_1}{d_\lambda} \text{ i } \alpha_2 = \frac{-q_1 + \lambda}{d_\lambda} \tag{E-15}$$

Nužnost zamjene stvarne izravne udaljenosti prilagođenom udaljenošću umanjuje jednostavnost modela 90-stupanjskog dipola na četvrtu potenciju. Međutim, budući da se učinkovito kalibrira na licu mjesta pomoću podataka dobivenih mjerenjima, algoritam za izračun energetskih udjela može se prije smatrati poluempirijskim nego posve teoretskim.

▼M2

*Dodatak F*

**Baza podataka za izvore buke cestovnog prometa**

U ovom se prilogu nalazi baza podataka koja obuhvaća većinu postojećih izvora buke cestovnog prometa. Namijenjena je za izračunavanje buke cestovnog prometa prema modelu opisanom u odjeljku 2.2. Buka cestovnog prometa.

*Tablica F-1*

**Koeficijenti $A_{R,i,m}$ i $B_{R,i,m}$ za buku kotrljanja i $A_{P,i,m}$ i $B_{P,i,m}$ za buku pogona**

| Kategorija | Koeficijent | 63 | 125 | 250 | 500 | 1 000 | 2 000 | 4 000 | 8 000 |
|---|---|---|---|---|---|---|---|---|---|
| 1 | $A_R$ | 79,7 | 85,7 | 84,5 | 90,2 | 97,3 | 93,9 | 84,1 | 74,3 |
| | $B_R$ | 30 | 41,5 | 38,9 | 25,7 | 32,5 | 37,2 | 39 | 40 |
| | $A_P$ | 94,5 | 89,2 | 88 | 85,9 | 84,2 | 86,9 | 83,3 | 76,1 |
| | $B_P$ | – 1,3 | 7,2 | 7,7 | 8 | 8 | 8 | 8 | 8 |
| 2 | $A_R$ | 84 | 88,7 | 91,5 | 96,7 | 97,4 | 90,9 | 83,8 | 80,5 |
| | $B_R$ | 30 | 35,8 | 32,6 | 23,8 | 30,1 | 36,2 | 38,3 | 40,1 |
| | $A_P$ | 101 | 96,5 | 98,8 | 96,8 | 98,6 | 95,2 | 88,8 | 82,7 |
| | $B_P$ | – 1,9 | 4,7 | 6,4 | 6,5 | 6,5 | 6,5 | 6,5 | 6,5 |
| 3 | $A_R$ | 87 | 91,7 | 94,1 | 100,7 | 100,8 | 94,3 | 87,1 | 82,5 |
| | $B_R$ | 30 | 33,5 | 31,3 | 25,4 | 31,8 | 37,1 | 38,6 | 40,6 |
| | $A_P$ | 104,4 | 100,6 | 101,7 | 101 | 100,1 | 95,9 | 91,3 | 85,3 |
| | $B_P$ | 0 | 3 | 4,6 | 5 | 5 | 5 | 5 | 5 |
| 4a | $A_R$ | 0 | 0 | 0 | 0 | 0 | 0 | 0 | 0 |
| | $B_R$ | 0 | 0 | 0 | 0 | 0 | 0 | 0 | 0 |
| | $A_P$ | 88 | 87,5 | 89,5 | 93,7 | 96,6 | 98,8 | 93,9 | 88,7 |
| | $B_P$ | 4,2 | 7,4 | 9,8 | 11,6 | 15,7 | 18,9 | 20,3 | 20,6 |
| 4b | $A_R$ | 0 | 0 | 0 | 0 | 0 | 0 | 0 | 0 |
| | $B_R$ | 0 | 0 | 0 | 0 | 0 | 0 | 0 | 0 |
| | $A_P$ | 95 | 97,2 | 92,7 | 92,9 | 94,7 | 93,2 | 90,1 | 86,5 |
| | $B_P$ | 3,2 | 5,9 | 11,9 | 11,6 | 11,5 | 12,6 | 11,1 | 12 |

▼M2

| Kategorija | Koeficijent | 63 | 125 | 250 | 500 | 1 000 | 2 000 | 4 000 | 8 000 |
|---|---|---|---|---|---|---|---|---|---|
| 5 | $A_R$ | | | | | | | | |
| | $B_R$ | | | | | | | | |
| | $A_P$ | | | | | | | | |
| | $B_P$ | | | | | | | | |

*Tablica F-2*

**Koeficijenti $a_i$ i $b_i$ za gume čavlerice**

| Kategorija | Koeficijent | 63 | 125 | 250 | 500 | 1 000 | 2 000 | 4 000 | 8 000 |
|---|---|---|---|---|---|---|---|---|---|
| 1 | $a_i$ | 0,0 | 0,0 | 0,0 | 2,6 | 2,9 | 1,5 | 2,3 | 9,2 |
| | $b_i$ | 0,0 | 0,0 | 0,0 | – 3,1 | – 6,4 | – 14,0 | – 22,4 | – 11,4 |

*Tablica F-3*

**Koeficijenti $C_{R,m,k}$ i $C_{P,m,k}$ za ubrzavanje i usporavanje**

| Kategorija | k | Cr | Cp |
|---|---|---|---|
| 1 | 1 = raskrižje | – 4,5 | 5,5 |
| | 2 = kružni tok | – 4,4 | 3,1 |
| 2 | 1 = raskrižje | – 4 | 9 |
| | 2 = kružni tok | – 2,3 | 6,7 |
| 3 | 1 = raskrižje | – 4 | 9 |
| | 2 = kružni tok | – 2,3 | 6,7 |
| 4a | 1 = raskrižje | 0 | 0 |
| | 2 = kružni tok | 0 | 0 |
| 4b | 1 = raskrižje | 0 | 0 |
| | 2 = kružni tok | 0 | 0 |
| 5 | 1 = raskrižje | | |
| | 2 = kružni tok | | |

▼**M2**

*Tablica F-4*

**Koeficijenti $\alpha_{i,m}$ i $\beta_m$ za površinu ceste**

| Opis | Najmanja brzina za koju vrijedi [km/h] | Najveća brzina za koju vrijedi [km/h] | Kategorija | $\alpha_m$ (63 Hz) | $\alpha_m$ (125 Hz) | $\alpha_m$ (250 Hz) | $\alpha_m$ (500 Hz) | $\alpha_m$ (1 kHz) | $\alpha_m$ (2 kHz) | $\alpha_m$ (4 kHz) | $\alpha_m$ (8 kHz) | ßm |
|---|---|---|---|---|---|---|---|---|---|---|---|---|
| Referentna površina ceste | — | — | 1 | 0,0 | 0,0 | 0,0 | 0,0 | 0,0 | 0,0 | 0,0 | 0,0 | 0,0 |
| | | | 2 | 0,0 | 0,0 | 0,0 | 0,0 | 0,0 | 0,0 | 0,0 | 0,0 | 0,0 |
| | | | 3 | 0,0 | 0,0 | 0,0 | 0,0 | 0,0 | 0,0 | 0,0 | 0,0 | 0,0 |
| | | | 4a | 0,0 | 0,0 | 0,0 | 0,0 | 0,0 | 0,0 | 0,0 | 0,0 | 0,0 |
| | | | 4b | 0,0 | 0,0 | 0,0 | 0,0 | 0,0 | 0,0 | 0,0 | 0,0 | 0,0 |
| | | | 5 | | | | | | | | | |
| Jednoslojni ZOAB | 50 | 130 | 1 | 0,5 | 3,3 | 2,4 | 3,2 | – 1,3 | – 3,5 | – 2,6 | 0,5 | – 6,5 |
| | | | 2 | 0,9 | 1,4 | 1,8 | – 0,4 | – 5,2 | – 4,6 | – 3,0 | – 1,4 | 0,2 |
| | | | 3 | 0,9 | 1,4 | 1,8 | – 0,4 | – 5,2 | – 4,6 | – 3,0 | – 1,4 | 0,2 |
| | | | 4a | 0,0 | 0,0 | 0,0 | 0,0 | 0,0 | 0,0 | 0,0 | 0,0 | 0,0 |
| | | | 4b | 0,0 | 0,0 | 0,0 | 0,0 | 0,0 | 0,0 | 0,0 | 0,0 | 0,0 |
| | | | 5 | | | | | | | | | |
| Dvoslojni ZOAB | 50 | 130 | 1 | 0,4 | 2,4 | 0,2 | – 3,1 | – 4,2 | – 6,3 | – 4,8 | – 2,0 | – 3,0 |
| | | | 2 | 0,4 | 0,2 | – 0,7 | – 5,4 | – 6,3 | – 6,3 | – 4,7 | – 3,7 | 4,7 |
| | | | 3 | 0,4 | 0,2 | – 0,7 | – 5,4 | – 6,3 | – 6,3 | – 4,7 | – 3,7 | 4,7 |
| | | | 4a | 0,0 | 0,0 | 0,0 | 0,0 | 0,0 | 0,0 | 0,0 | 0,0 | 0,0 |
| | | | 4b | 0,0 | 0,0 | 0,0 | 0,0 | 0,0 | 0,0 | 0,0 | 0,0 | 0,0 |
| | | | 5 | | | | | | | | | |
| Dvoslojni ZOAB (sitan) | 80 | 130 | 1 | – 1,0 | 1,7 | – 1,5 | – 5,3 | – 6,3 | – 8,5 | – 5,3 | – 2,4 | – 0,1 |
| | | | 2 | 1,0 | 0,1 | – 1,8 | – 5,9 | – 6,1 | – 6,7 | – 4,8 | – 3,8 | – 0,8 |
| | | | 3 | 1,0 | 0,1 | – 1,8 | – 5,9 | – 6,1 | – 6,7 | – 4,8 | – 3,8 | – 0,8 |
| | | | 4a | 0,0 | 0,0 | 0,0 | 0,0 | 0,0 | 0,0 | 0,0 | 0,0 | 0,0 |
| | | | 4b | 0,0 | 0,0 | 0,0 | 0,0 | 0,0 | 0,0 | 0,0 | 0,0 | 0,0 |
| | | | 5 | | | | | | | | | |
| SMA-NL5 | 40 | 80 | 1 | 1,1 | – 1,0 | 0,2 | 1,3 | – 1,9 | – 2,8 | – 2,1 | – 1,4 | – 1,0 |
| | | | 2 | 0,0 | 0,0 | 0,0 | 0,0 | 0,0 | 0,0 | 0,0 | 0,0 | 0,0 |
| | | | 3 | 0,0 | 0,0 | 0,0 | 0,0 | 0,0 | 0,0 | 0,0 | 0,0 | 0,0 |
| | | | 4a | 0,0 | 0,0 | 0,0 | 0,0 | 0,0 | 0,0 | 0,0 | 0,0 | 0,0 |
| | | | 4b | 0,0 | 0,0 | 0,0 | 0,0 | 0,0 | 0,0 | 0,0 | 0,0 | 0,0 |
| | | | 5 | | | | | | | | | |

▼**M2**

| Opis | Najmanja brzina za koju vrijedi [km/h] | Najveća brzina za koju vrijedi [km/h] | Kategorija | $\alpha_m$ (63 Hz) | $\alpha_m$ (125 Hz) | $\alpha_m$ (250 Hz) | $\alpha_m$ (500 Hz) | $\alpha_m$ (1 kHz) | $\alpha_m$ (2 kHz) | $\alpha_m$ (4 kHz) | $\alpha_m$ (8 kHz) | ßm |
|---|---|---|---|---|---|---|---|---|---|---|---|---|
| SMA-NL8 | 40 | 80 | 1 | 0,3 | 0,0 | 0,0 | – 0,1 | – 0,7 | – 1,3 | – 0,8 | – 0,8 | – 1,0 |
| | | | 2 | 0,0 | 0,0 | 0,0 | 0,0 | 0,0 | 0,0 | 0,0 | 0,0 | 0,0 |
| | | | 3 | 0,0 | 0,0 | 0,0 | 0,0 | 0,0 | 0,0 | 0,0 | 0,0 | 0,0 |
| | | | 4a | 0,0 | 0,0 | 0,0 | 0,0 | 0,0 | 0,0 | 0,0 | 0,0 | 0,0 |
| | | | 4b | 0,0 | 0,0 | 0,0 | 0,0 | 0,0 | 0,0 | 0,0 | 0,0 | 0,0 |
| | | | 5 | | | | | | | | | |
| Očetkani beton | 70 | 120 | 1 | 1,1 | – 0,4 | 1,3 | 2,2 | 2,5 | 0,8 | – 0,2 | – 0,1 | 1,4 |
| | | | 2 | 0,0 | 1,1 | 0,4 | – 0,3 | – 0,2 | – 0,7 | – 1,1 | – 1,0 | 4,4 |
| | | | 3 | 0,0 | 1,1 | 0,4 | – 0,3 | – 0,2 | – 0,7 | – 1,1 | – 1,0 | 4,4 |
| | | | 4a | 0,0 | 0,0 | 0,0 | 0,0 | 0,0 | 0,0 | 0,0 | 0,0 | 0,0 |
| | | | 4b | 0,0 | 0,0 | 0,0 | 0,0 | 0,0 | 0,0 | 0,0 | 0,0 | 0,0 |
| | | | 5 | | | | | | | | | |
| Optimizirani očetkani beton | 70 | 80 | 1 | – 0,2 | – 0,7 | 0,6 | 1,0 | 1,1 | – 1,5 | – 2,0 | – 1,8 | 1,0 |
| | | | 2 | – 0,3 | 1,0 | – 1,7 | – 1,2 | – 1,6 | – 2,4 | – 1,7 | – 1,7 | – 6,6 |
| | | | 3 | – 0,3 | 1,0 | – 1,7 | – 1,2 | – 1,6 | – 2,4 | – 1,7 | – 1,7 | – 6,6 |
| | | | 4a | 0,0 | 0,0 | 0,0 | 0,0 | 0,0 | 0,0 | 0,0 | 0,0 | 0,0 |
| | | | 4b | 0,0 | 0,0 | 0,0 | 0,0 | 0,0 | 0,0 | 0,0 | 0,0 | 0,0 |
| | | | 5 | | | | | | | | | |
| Fino očetkani beton | 70 | 120 | 1 | 1,1 | – 0,5 | 2,7 | 2,1 | 1,6 | 2,7 | 1,3 | – 0,4 | 7,7 |
| | | | 2 | 0,0 | 3,3 | 2,4 | 1,9 | 2,0 | 1,2 | 0,1 | 0,0 | 3,7 |
| | | | 3 | 0,0 | 3,3 | 2,4 | 1,9 | 2,0 | 1,2 | 0,1 | 0,0 | 3,7 |
| | | | 4a | 0,0 | 0,0 | 0,0 | 0,0 | 0,0 | 0,0 | 0,0 | 0,0 | 0,0 |
| | | | 4b | 0,0 | 0,0 | 0,0 | 0,0 | 0,0 | 0,0 | 0,0 | 0,0 | 0,0 |
| | | | 5 | | | | | | | | | |
| Obrađena površina | 50 | 130 | 1 | 1,1 | 1,0 | 2,6 | 4,0 | 4,0 | 0,1 | – 1,0 | – 0,8 | – 0,2 |
| | | | 2 | 0,0 | 2,0 | 1,8 | 1,0 | – 0,7 | – 2,1 | – 1,9 | – 1,7 | 1,7 |
| | | | 3 | 0,0 | 2,0 | 1,8 | 1,0 | – 0,7 | – 2,1 | – 1,9 | – 1,7 | 1,7 |
| | | | 4a | 0,0 | 0,0 | 0,0 | 0,0 | 0,0 | 0,0 | 0,0 | 0,0 | 0,0 |
| | | | 4b | 0,0 | 0,0 | 0,0 | 0,0 | 0,0 | 0,0 | 0,0 | 0,0 | 0,0 |
| | | | 5 | | | | | | | | | |
| Kruti elementi slagani u uzorku riblje kosti | 30 | 60 | 1 | 8,3 | 8,7 | 7,8 | 5,0 | 3,0 | – 0,7 | 0,8 | 1,8 | 2,5 |
| | | | 2 | 8,3 | 8,7 | 7,8 | 5,0 | 3,0 | – 0,7 | 0,8 | 1,8 | 2,5 |
| | | | 3 | 8,3 | 8,7 | 7,8 | 5,0 | 3,0 | – 0,7 | 0,8 | 1,8 | 2,5 |
| | | | 4a | 0,0 | 0,0 | 0,0 | 0,0 | 0,0 | 0,0 | 0,0 | 0,0 | 0,0 |
| | | | 4b | 0,0 | 0,0 | 0,0 | 0,0 | 0,0 | 0,0 | 0,0 | 0,0 | 0,0 |
| | | | 5 | | | | | | | | | |

▼**M2**

| Opis | Najmanja brzina za koju vrijedi [km/h] | Najveća brzina za koju vrijedi [km/h] | Kategorija | $\alpha_m$ (63 Hz) | $\alpha_m$ (125 Hz) | $\alpha_m$ (250 Hz) | $\alpha_m$ (500 Hz) | $\alpha_m$ (1 kHz) | $\alpha_m$ (2 kHz) | $\alpha_m$ (4 kHz) | $\alpha_m$ (8 kHz) | ßm |
|---|---|---|---|---|---|---|---|---|---|---|---|---|
| Kruti elementi koji nisu slagani u uzorku riblje kosti | 30 | 60 | 1 | 12,3 | 11,9 | 9,7 | 7,1 | 7,1 | 2,8 | 4,7 | 4,5 | 2,9 |
| | | | 2 | 12,3 | 11,9 | 9,7 | 7,1 | 7,1 | 2,8 | 4,7 | 4,5 | 2,9 |
| | | | 3 | 12,3 | 11,9 | 9,7 | 7,1 | 7,1 | 2,8 | 4,7 | 4,5 | 2,9 |
| | | | 4a | 0,0 | 0,0 | 0,0 | 0,0 | 0,0 | 0,0 | 0,0 | 0,0 | 0,0 |
| | | | 4b | 0,0 | 0,0 | 0,0 | 0,0 | 0,0 | 0,0 | 0,0 | 0,0 | 0,0 |
| | | | 5 | | | | | | | | | |
| Tihi kruti elementi | 30 | 60 | 1 | 7,8 | 6,3 | 5,2 | 2,8 | – 1,9 | – 6,0 | – 3,0 | – 0,1 | – 1,7 |
| | | | 2 | 0,2 | 0,7 | 0,7 | 1,1 | 1,8 | 1,2 | 1,1 | 0,2 | 0,0 |
| | | | 3 | 0,2 | 0,7 | 0,7 | 1,1 | 1,8 | 1,2 | 1,1 | 0,2 | 0,0 |
| | | | 4a | 0,0 | 0,0 | 0,0 | 0,0 | 0,0 | 0,0 | 0,0 | 0,0 | 0,0 |
| | | | 4b | 0,0 | 0,0 | 0,0 | 0,0 | 0,0 | 0,0 | 0,0 | 0,0 | 0,0 |
| | | | 5 | | | | | | | | | |
| Tanak sloj A | 40 | 130 | 1 | 1,1 | 0,1 | – 0,7 | – 1,3 | – 3,1 | – 4,9 | – 3,5 | – 1,5 | – 2,5 |
| | | | 2 | 1,6 | 1,3 | 0,9 | – 0,4 | – 1,8 | – 2,1 | – 0,7 | – 0,2 | 0,5 |
| | | | 3 | 1,6 | 1,3 | 0,9 | – 0,4 | – 1,8 | – 2,1 | – 0,7 | – 0,2 | 0,5 |
| | | | 4a | 0,0 | 0,0 | 0,0 | 0,0 | 0,0 | 0,0 | 0,0 | 0,0 | 0,0 |
| | | | 4b | 0,0 | 0,0 | 0,0 | 0,0 | 0,0 | 0,0 | 0,0 | 0,0 | 0,0 |
| | | | 5 | | | | | | | | | |
| Tanak sloj B | 40 | 130 | 1 | 0,4 | – 1,3 | – 1,3 | – 0,4 | – 5,0 | – 7,1 | – 4,9 | – 3,3 | – 1,5 |
| | | | 2 | 1,6 | 1,3 | 0,9 | – 0,4 | – 1,8 | – 2,1 | – 0,7 | – 0,2 | 0,5 |
| | | | 3 | 1,6 | 1,3 | 0,9 | – 0,4 | – 1,8 | – 2,1 | – 0,7 | – 0,2 | 0,5 |
| | | | 4a | 0,0 | 0,0 | 0,0 | 0,0 | 0,0 | 0,0 | 0,0 | 0,0 | 0,0 |
| | | | 4b | 0,0 | 0,0 | 0,0 | 0,0 | 0,0 | 0,0 | 0,0 | 0,0 | 0,0 |
| | | | 5 | | | | | | | | | |

▼M2
▼C1

*Dodatak G*

**Baza podataka za izvore buke željezničkog prometa**

U ovom se prilogu nalazi baza podataka koja obuhvaća većinu postojećih izvora buke željezničkog prometa; namijenjena je za izračunavanje buke željezničkog prometa prema modelu opisanom u odjeljku 2.3. Buka željezničkog prometa.

*Tablica G-1.*

**Koeficijenti $L_{r,TR,i}$ i $L_{r,VEH,i}$ za hrapavost tračnica i kotača**

| $L_{r,VEH,i}$ | | | |
|---|---|---|---|
| Valna duljina | Tip kočnice | | |
| | C | k | n |
| | Kočnica s umetkom od lijevanog željeza | Kompozitna kočnica | Disk-kočnica |
| 1 000 mm | 2,2 | – 4,0 | – 5,9 |
| 800 mm | 2,2 | – 4,0 | – 5,9 |
| 630 mm | 2,2 | – 4,0 | – 5,9 |
| 500 mm | 2,2 | – 4,0 | – 5,9 |
| 400 mm | 2,2 | – 4,0 | – 5,9 |
| 315 mm | 2,2 | – 4,0 | – 5,9 |
| 250 mm | 2,2 | – 4,0 | 2,3 |
| 200 mm | 2,2 | – 4,0 | 2,8 |
| 160 mm | 2,4 | – 4,0 | 2,6 |
| 120 mm | 0,6 | – 4,0 | 1,2 |
| 100 mm | 2,6 | – 4,0 | 2,1 |
| 80 mm | 5,8 | – 4,3 | 0,9 |
| 63 mm | 8,8 | – 4,6 | – 0,3 |
| 50 mm | 11,1 | – 4,9 | – 1,6 |
| 40 mm | 11,0 | – 5,2 | – 2,9 |
| 31,5 mm | 9,8 | – 6,3 | – 4,9 |
| 25 mm | 7,5 | – 6,8 | – 7,0 |
| 20 mm | 5,1 | – 7,2 | – 8,6 |
| 16 mm | 3,0 | – 7,3 | – 9,3 |
| 12 mm | 1,3 | – 7,3 | – 9,5 |
| 10 mm | 0,2 | – 7,1 | – 10,1 |
| 8 mm | – 0,7 | – 6,9 | – 10,3 |
| 6,3 mm | – 1,2 | – 6,7 | – 10,3 |

▼C1

$L_{r,VEH,i}$

| Valna duljina | Tip kočnice | | |
|---|---|---|---|
| | C | k | n |
| | Kočnica s umetkom od lijevanog željeza | Kompozitna kočnica | Disk-kočnica |
| 5 mm | – 1,0 | – 6,0 | – 10,8 |
| 4 mm | 0,3 | – 3,7 | – 10,9 |
| 3,2 mm | 0,2 | – 2,4 | – 9,5 |
| 2,5 mm | 1,3 | – 2,6 | – 9,5 |
| 2 mm | 3,1 | – 2,5 | – 9,5 |
| 1,6 mm | 3,1 | – 2,5 | – 9,5 |
| 1,2 mm | 3,1 | – 2,5 | – 9,5 |
| 1 mm | 3,1 | – 2,5 | – 9,5 |
| 0,8 mm | 3,1 | – 2,5 | – 9,5 |

$L_{r,TR,i}$

| Valna duljina | Hrapavost tračnica | |
|---|---|---|
| | E | M |
| | EN ISO 3095:2013 (Dobro održavana i vrlo glatka) | Prosječna mreža (normalno održavana tako da bude glatka) |
| 1 000 mm | 17,1 | 11,0 |
| 800 mm | 17,1 | 11,0 |
| 630 mm | 17,1 | 11,0 |
| 500 mm | 17,1 | 11,0 |
| 400 mm | 17,1 | 11,0 |
| 315 mm | 15,0 | 10,0 |
| 250 mm | 13,0 | 9,0 |
| 200 mm | 11,0 | 8,0 |
| 160 mm | 9,0 | 7,0 |
| 120 mm | 7,0 | 6,0 |
| 100 mm | 4,9 | 5,0 |
| 80 mm | 2,9 | 4,0 |
| 63 mm | 0,9 | 3,0 |
| 50 mm | – 1,1 | 2,0 |
| 40 mm | – 3,2 | 1,0 |

▼C1

| $L_{r,TR,i}$ | | |
|---|---|---|
| Valna duljina | Hrapavost tračnica | |
| | E | M |
| | EN ISO 3095:2013 (Dobro održavana i vrlo glatka) | Prosječna mreža (normalno održavana tako da bude glatka) |
| 31,5 mm | – 5,0 | 0,0 |
| 25 mm | – 5,6 | – 1,0 |
| 20 mm | – 6,2 | – 2,0 |
| 16 mm | – 6,8 | – 3,0 |
| 12 mm | – 7,4 | – 4,0 |
| 10 mm | – 8,0 | – 5,0 |
| 8 mm | – 8,6 | – 6,0 |
| 6,3 mm | – 9,2 | – 7,0 |
| 5 mm | – 9,8 | – 8,0 |
| 4 mm | – 10,4 | – 9,0 |
| 3,2 mm | – 11,0 | – 10,0 |
| 2,5 mm | – 11,6 | – 11,0 |
| 2 mm | – 12,2 | – 12,0 |
| 1,6 mm | – 12,8 | – 13,0 |
| 1,2 mm | – 13,4 | – 14,0 |
| 1 mm | – 14,0 | – 15,0 |
| 0,8 mm | – 14,0 | – 15,0 |

*Tablica G-2.*

**Koeficijenti $A_{3,i}$ za kontaktni filtar**

| $A_{3,i}$ | | | | | |
|---|---|---|---|---|---|
| Valna duljina | Osovinsko opterećenje 50 kN – promjer kotača 360 mm | Osovinsko opterećenje 50 kN – promjer kotača 680 mm | Osovinsko opterećenje 25 kN – promjer kotača 920 mm | Osovinsko opterećenje 50 kN – promjer kotača 920 mm | Osovinsko opterećenje 100 kN – promjer kotača 920 mm |
| 1 000 mm | 0,0 | 0,0 | 0,0 | 0,0 | 0,0 |
| 800 mm | 0,0 | 0,0 | 0,0 | 0,0 | 0,0 |
| 630 mm | 0,0 | 0,0 | 0,0 | 0,0 | 0,0 |
| 500 mm | 0,0 | 0,0 | 0,0 | 0,0 | 0,0 |
| 400 mm | 0,0 | 0,0 | 0,0 | 0,0 | 0,0 |
| 315 mm | 0,0 | 0,0 | 0,0 | 0,0 | 0,0 |
| 250 mm | 0,0 | 0,0 | 0,0 | 0,0 | 0,0 |

▼C1

| $A_{3,i}$ | | | | | |
|---|---|---|---|---|---|
| Valna duljina | Osovinsko opterećenje 50 kN – promjer kotača 360 mm | Osovinsko opterećenje 50 kN – promjer kotača 680 mm | Osovinsko opterećenje 25 kN – promjer kotača 920 mm | Osovinsko opterećenje 50 kN – promjer kotača 920 mm | Osovinsko opterećenje 100 kN – promjer kotača 920 mm |
| 200 mm | 0,0 | 0,0 | 0,0 | 0,0 | 0,0 |
| 160 mm | 0,0 | 0,0 | 0,0 | 0,0 | 0,0 |
| 120 mm | 0,0 | 0,0 | 0,0 | 0,0 | 0,0 |
| 100 mm | 0,0 | 0,0 | 0,0 | 0,0 | 0,0 |
| 80 mm | 0,0 | 0,0 | 0,0 | – 0,2 | – 0,2 |
| 63 mm | 0,0 | – 0,2 | – 0,2 | – 0,5 | – 0,6 |
| 50 mm | – 0,2 | – 0,4 | – 0,5 | – 0,9 | – 1,3 |
| 40 mm | – 0,5 | – 0,7 | – 0,9 | – 1,6 | – 2,2 |
| 31,5 mm | – 1,2 | – 1,5 | – 1,6 | – 2,5 | – 3,7 |
| 25 mm | – 2,0 | – 2,8 | – 2,5 | – 3,8 | – 5,8 |
| 20 mm | – 3,0 | – 4,5 | – 3,8 | – 5,8 | – 9,0 |
| 16 mm | – 4,3 | – 7,0 | – 5,8 | – 8,5 | – 11,5 |
| 12 mm | – 6,0 | – 10,3 | – 8,5 | – 11,4 | – 12,5 |
| 10 mm | – 8,4 | – 12,0 | – 12,0 | – 12,0 | – 12,0 |
| 8 mm | – 12,0 | – 12,5 | – 12,6 | – 13,5 | – 14,0 |
| 6,3 mm | – 11,5 | – 13,5 | – 13,5 | – 14,5 | – 15,0 |
| 5 mm | – 12,5 | – 16,0 | – 14,5 | – 16,0 | – 17,0 |
| 4 mm | – 13,9 | – 16,0 | – 16,0 | – 16,5 | – 18,4 |
| 3,2 mm | – 14,7 | – 16,5 | – 16,5 | – 17,7 | – 19,5 |
| 2,5 mm | – 15,6 | – 17,0 | – 17,7 | – 18,6 | – 20,5 |
| 2 mm | – 16,6 | – 18,0 | – 18,6 | – 19,6 | – 21,5 |
| 1,6 mm | – 17,6 | – 19,0 | – 19,6 | – 20,6 | – 22,4 |
| 1,2 mm | – 18,6 | – 20,2 | – 20,6 | – 21,6 | – 23,5 |
| 1 mm | – 19,6 | – 21,2 | – 21,6 | – 22,6 | – 24,5 |
| 0,8 mm | – 20,6 | – 22,2 | – 22,6 | – 23,6 | – 25,4 |

▼C1

*Tablica G-3.*

**Koeficijenti $L_{H,TR,i}$ $L_{H,VEH,i}$ i $L_{H,VEH,SUP,i}$ za prijenosne funkcije**

(Vrijednosti izražene u razini zvučne snage po osovini)

| $L_{H,TR,i}$ | | | | | | | |
|---|---|---|---|---|---|---|---|
| Frekvencija | Podloga kolosijeka/Tip podložnih ploča | | | | | | |
| | B/S | B/M | B/H | B/S | B/M | B/H | B/H |
| | Jednodijelni prag na mekoj podložnoj ploči | Jednodijelni prag na podložnoj ploči srednje krutosti | Jednodijelni prag na krutoj podložnoj ploči | Dvodijelni prag na mekoj podložnoj ploči | Dvodijelni prag na podložnoj ploči srednje krutosti | Dvodijelni prag na krutoj podložnoj ploči | Drveni pragovi |
| 50 Hz | 53,3 | 50,9 | 50,1 | 50,9 | 50,0 | 49,8 | 44,0 |
| 63 Hz | 59,3 | 57,8 | 57,2 | 56,6 | 56,1 | 55,9 | 51,0 |
| 80 Hz | 67,2 | 66,5 | 66,3 | 64,3 | 64,1 | 64,0 | 59,9 |
| 100 Hz | 75,9 | 76,8 | 77,2 | 72,3 | 72,5 | 72,5 | 70,8 |
| 125 Hz | 79,2 | 80,9 | 81,6 | 75,4 | 75,8 | 75,9 | 75,1 |
| 160 Hz | 81,8 | 83,3 | 84,0 | 78,5 | 79,1 | 79,4 | 76,9 |
| 200 Hz | 84,2 | 85,8 | 86,5 | 81,8 | 83,6 | 84,4 | 77,2 |
| 250 Hz | 88,6 | 90,0 | 90,7 | 86,6 | 88,7 | 89,7 | 80,9 |
| 316 Hz | 91,0 | 91,6 | 92,1 | 89,1 | 89,6 | 90,2 | 85,3 |
| 400 Hz | 94,5 | 93,9 | 94,3 | 91,9 | 89,7 | 90,2 | 92,5 |
| 500 Hz | 97,0 | 95,6 | 95,8 | 94,5 | 90,6 | 90,8 | 97,0 |
| 630 Hz | 99,2 | 97,4 | 97,0 | 97,5 | 93,8 | 93,1 | 98,7 |
| 800 Hz | 104,0 | 101,7 | 100,3 | 104,0 | 100,6 | 97,9 | 102,8 |
| 1 000 Hz | 107,1 | 104,4 | 102,5 | 107,9 | 104,7 | 101,1 | 105,4 |
| 1 250 Hz | 108,3 | 106,0 | 104,2 | 108,9 | 106,3 | 103,4 | 106,5 |
| 1 600 Hz | 108,5 | 106,8 | 105,4 | 108,8 | 107,1 | 105,4 | 106,4 |
| 2 000 Hz | 109,7 | 108,3 | 107,1 | 109,8 | 108,8 | 107,7 | 107,5 |
| 2 500 Hz | 110,0 | 108,9 | 107,9 | 110,2 | 109,3 | 108,5 | 108,1 |
| 3 160 Hz | 110,0 | 109,1 | 108,2 | 110,1 | 109,4 | 108,7 | 108,4 |
| 4 000 Hz | 110,0 | 109,4 | 108,7 | 110,1 | 109,7 | 109,1 | 108,7 |
| 5 000 Hz | 110,3 | 109,9 | 109,4 | 110,3 | 110,0 | 109,6 | 109,1 |
| 6 350 Hz | 110,0 | 109,9 | 109,7 | 109,9 | 109,8 | 109,6 | 109,1 |
| 8 000 Hz | 110,1 | 110,3 | 110,4 | 110,0 | 110,0 | 109,9 | 109,5 |
| 10 000 Hz | 110,6 | 111,0 | 111,4 | 110,4 | 110,5 | 110,6 | 110,2 |

▼C1

| $L_{H,VEH,i}$ | | | | |
|---|---|---|---|---|
| Frekvencija | Kotač promjera 920 mm, bez dodatnih mjera | Kotač promjera 840 mm, bez dodatnih mjera | Kotač promjera 680 mm, bez dodatnih mjera | Kotač promjera 1 200 mm, bez dodatnih mjera |
| 50 Hz | 75,4 | 75,4 | 75,4 | 75,4 |
| 63 Hz | 77,3 | 77,3 | 77,3 | 77,3 |
| 80 Hz | 81,1 | 81,1 | 81,1 | 81,1 |
| 100 Hz | 84,1 | 84,1 | 84,1 | 84,1 |
| 125 Hz | 83,3 | 82,8 | 82,8 | 82,8 |
| 160 Hz | 84,3 | 83,3 | 83,3 | 83,3 |
| 200 Hz | 86,0 | 84,1 | 83,9 | 84,5 |
| 250 Hz | 90,1 | 86,9 | 86,3 | 90,4 |
| 316 Hz | 89,8 | 87,9 | 88,0 | 90,4 |
| 400 Hz | 89,0 | 89,9 | 92,2 | 89,9 |
| 500 Hz | 88,8 | 90,9 | 93,9 | 90,1 |
| 630 Hz | 90,4 | 91,5 | 92,5 | 91,3 |
| 800 Hz | 92,4 | 91,5 | 90,9 | 91,5 |
| 1 000 Hz | 94,9 | 93,0 | 90,4 | 93,6 |
| 1 250 Hz | 100,4 | 98,7 | 93,2 | 100,5 |
| 1 600 Hz | 104,6 | 101,6 | 93,5 | 104,6 |
| 2 000 Hz | 109,6 | 107,6 | 99,6 | 115,6 |
| 2 500 Hz | 114,9 | 111,9 | 104,9 | 115,9 |
| 3 160 Hz | 115,0 | 114,5 | 108,0 | 116,0 |
| 4 000 Hz | 115,0 | 114,5 | 111,0 | 116,0 |
| 5 000 Hz | 115,5 | 115,0 | 111,5 | 116,5 |
| 6 350 Hz | 115,6 | 115,1 | 111,6 | 116,6 |
| 8 000 Hz | 116,0 | 115,5 | 112,0 | 117,0 |
| 10 000 Hz | 116,7 | 116,2 | 112,7 | 117,7 |

| $L_{H,VEH,SUP,i}$ | |
|---|---|
| Frekvencija | Tip vozila |
| | a |
| | Norma EU-a |
| 50 Hz | 0,0 |
| 63 Hz | 0,0 |
| 80 Hz | 0,0 |
| 100 Hz | 0,0 |
| 125 Hz | 0,0 |
| 160 Hz | 0,0 |

▼C1

| $L_{H,VEH,SUP,i}$ | |
|---|---|
| Frekvencija | Tip vozila |
| | a |
| | Norma EU-a |
| 200 Hz | 0,0 |
| 250 Hz | 0,0 |
| 316 Hz | 0,0 |
| 400 Hz | 0,0 |
| 500 Hz | 0,0 |
| 630 Hz | 0,0 |
| 800 Hz | 0,0 |
| 1 000 Hz | 0,0 |
| 1 250 Hz | 0,0 |
| 1 600 Hz | 0,0 |
| 2 000 Hz | 0,0 |
| 2 500 Hz | 0,0 |
| 3 160 Hz | 0,0 |
| 4 000 Hz | 0,0 |
| 5 000 Hz | 0,0 |
| 6 350 Hz | 0,0 |
| 8 000 Hz | 0,0 |
| 10 000 Hz | 0,0 |

*Tablica G-4.*

**Koeficijenti $L_{R,IMPACT,i}$ za udarnu buku**

| $L_{R,IMPACT,i}$ | |
|---|---|
| Valna duljina | Jedna skretnica/spoj/prijelaz/100 m |
| 1 000 mm | 22,4 |
| 800 mm | 22,4 |
| 630 mm | 22,4 |
| 500 mm | 23,8 |
| 400 mm | 24,7 |
| 315 mm | 24,7 |
| 250 mm | 23,4 |
| 200 mm | 21,7 |
| 160 mm | 20,2 |

▼C1

| $L_{R,IMPACT,i}$ | |
|---|---|
| Valna duljina | Jedna skretnica/spoj/prijelaz/100 m |
| 120 mm | 20,4 |
| 100 mm | 20,8 |
| 80 mm | 20,9 |
| 63 mm | 19,8 |
| 50 mm | 18 |
| 40 mm | 16 |
| 31,5 mm | 13 |
| 25 mm | 10 |
| 20 mm | 6 |
| 16 mm | 1 |
| 12 mm | – 4 |
| 10 mm | – 11 |
| 8 mm | – 16,5 |
| 6,3 mm | – 18,5 |
| 5 mm | – 21 |
| 4 mm | – 22,5 |
| 3,2 mm | – 24,7 |
| 2,5 mm | – 26,6 |
| 2 mm | – 28,6 |
| 1,6 mm | – 30,6 |
| 1,2 mm | – 32,6 |
| 1 mm | – 34 |
| 0,8 mm | – 34 |

*Tablica G-5.*

**Koeficijenti $L_{W,0,idling}$ za buku vuče**

(Vrijednosti izražene u razini zvučne snage po vozilu)

| $L_{W,0,idling}$ | | | | | | | | | | |
|---|---|---|---|---|---|---|---|---|---|---|
| Frekvencija | Tip vozila | | | | | | | | | |
| | d | | d | | d | | e | | e | |
| | Dizelska lokomotiva (oko 800 kW) | | Dizelska lokomotiva (oko 2 200 kW) | | Dizelska motorna vozila | | Električna lokomotiva | | Električna motorna vozila | |
| | Izvor A | Izvor B | Izvor A | Izvor B | Izvor A | Izvor B | Izvor A | Izvor B | Izvor A | Izvor B |
| 50 Hz | 98,9 | 103,2 | 99,4 | 103,7 | 82,6 | 86,9 | 87,9 | 92,2 | 80,5 | 84,8 |
| 63 Hz | 94,8 | 100,0 | 107,3 | 112,5 | 82,5 | 87,7 | 90,8 | 96,0 | 81,4 | 86,6 |

▼C1

| $L_{W,0,idling}$ | | | | | | | | | | |
|---|---|---|---|---|---|---|---|---|---|---|
| Frekvencija | Tip vozila | | | | | | | | | |
| | d | | d | | d | | e | | e | |
| | Dizelska lokomotiva (oko 800 kW) | | Dizelska lokomotiva (oko 2 200 kW) | | Dizelska motorna vozila | | Električna lokomotiva | | Električna motorna vozila | |
| | Izvor A | Izvor B | Izvor A | Izvor B | Izvor A | Izvor B | Izvor A | Izvor B | Izvor A | Izvor B |
| 80 Hz | 92,6 | 95,5 | 103,1 | 106,0 | 89,3 | 92,2 | 91,6 | 94,5 | 80,5 | 83,4 |
| 100 Hz | 94,6 | 94,0 | 102,1 | 101,5 | 90,3 | 89,7 | 94,6 | 94,0 | 82,2 | 81,6 |
| 125 Hz | 92,8 | 93,3 | 99,3 | 99,8 | 93,5 | 94,0 | 94,8 | 95,3 | 80,0 | 80,5 |
| 160 Hz | 92,8 | 93,6 | 99,3 | 100,1 | 99,5 | 100,3 | 96,8 | 97,6 | 79,7 | 80,5 |
| 200 Hz | 93,0 | 92,9 | 99,5 | 99,4 | 98,7 | 98,6 | 104,0 | 103,9 | 79,6 | 79,5 |
| 250 Hz | 94,8 | 92,7 | 101,3 | 99,2 | 95,5 | 93,4 | 100,8 | 98,7 | 96,4 | 94,3 |
| 316 Hz | 94,6 | 92,4 | 101,1 | 98,9 | 90,3 | 88,1 | 99,6 | 97,4 | 80,5 | 78,3 |
| 400 Hz | 95,7 | 92,8 | 102,2 | 99,3 | 91,4 | 88,5 | 101,7 | 98,8 | 81,3 | 78,4 |
| 500 Hz | 95,6 | 92,8 | 102,1 | 99,3 | 91,3 | 88,5 | 98,6 | 95,8 | 97,2 | 94,4 |
| 630 Hz | 98,6 | 96,8 | 101,1 | 99,3 | 90,3 | 88,5 | 95,6 | 93,8 | 79,5 | 77,7 |
| 800 Hz | 95,2 | 92,7 | 101,7 | 99,2 | 90,9 | 88,4 | 95,2 | 92,7 | 79,8 | 77,3 |
| 1 000 Hz | 95,1 | 93,0 | 101,6 | 99,5 | 91,8 | 89,7 | 96,1 | 94,0 | 86,7 | 84,6 |
| 1 250 Hz | 95,1 | 92,9 | 99,3 | 97,1 | 92,8 | 90,6 | 92,1 | 89,9 | 81,7 | 79,5 |
| 1 600 Hz | 94,1 | 93,1 | 96,0 | 95,0 | 92,8 | 91,8 | 89,1 | 88,1 | 82,7 | 81,7 |
| 2 000 Hz | 94,1 | 93,2 | 93,7 | 92,8 | 90,8 | 89,9 | 87,1 | 86,2 | 80,7 | 79,8 |
| 2 500 Hz | 99,4 | 98,3 | 101,9 | 100,8 | 88,1 | 87,0 | 85,4 | 84,3 | 78,0 | 76,9 |
| 3 160 Hz | 92,5 | 91,5 | 89,5 | 88,5 | 85,2 | 84,2 | 83,5 | 82,5 | 75,1 | 74,1 |
| 4 000 Hz | 89,5 | 88,7 | 87,1 | 86,3 | 83,2 | 82,4 | 81,5 | 80,7 | 72,1 | 71,3 |

▼C1

| $L_{W,0,idling}$ | | | | | | | | | | |
|---|---|---|---|---|---|---|---|---|---|---|
| Frekvencija | Tip vozila | | | | | | | | | |
| | d | | d | | d | | e | | e | |
| | Dizelska lokomotiva (oko 800 kW) | | Dizelska lokomotiva (oko 2 200 kW) | | Dizelska motorna vozila | | Električna lokomotiva | | Električna motorna vozila | |
| | Izvor A | Izvor B | Izvor A | Izvor B | Izvor A | Izvor B | Izvor A | Izvor B | Izvor A | Izvor B |
| 5 000 Hz | 87,0 | 86,0 | 90,5 | 89,5 | 81,7 | 80,7 | 80,0 | 79,0 | 69,6 | 68,6 |
| 6 350 Hz | 84,1 | 83,4 | 31,4 | 30,7 | 78,8 | 78,1 | 78,1 | 77,4 | 66,7 | 66,0 |
| 8 000 Hz | 81,5 | 80,9 | 81,2 | 80,6 | 76,2 | 75,6 | 76,5 | 75,9 | 64,1 | 63,5 |
| 10 000 Hz | 79,2 | 78,7 | 79,6 | 79,1 | 73,9 | 73,4 | 75,2 | 74,7 | 61,8 | 61,3 |

*Tablica G-6.*

**Koeficijenti $L_{W,0,1}$, $L_{W,0,2}$, $\alpha_1$, $\alpha_2$ za aerodinamičku buku**

(Vrijednosti izražene u razini zvučne snage po vozilu (za vozila duljine 20 m))

| | Aerodinamička buka pri 300 km/h | |
|---|---|---|
| | $\alpha_1$ | $\alpha_2$ |
| | 50 | 50 |
| Frekvencija | $L_{W,0,1}$ | $L_{W,0,2}$ |
| 50 Hz | 112,6 | 36,7 |
| 63 Hz | 113,2 | 38,5 |
| 80 Hz | 115,7 | 39,0 |
| 100 Hz | 117,4 | 37,5 |
| 125 Hz | 115,3 | 36,8 |
| 160 Hz | 115,0 | 37,1 |
| 200 Hz | 114,9 | 36,4 |
| 250 Hz | 116,4 | 36,2 |
| 316 Hz | 115,9 | 35,9 |
| 400 Hz | 116,3 | 36,3 |
| 500 Hz | 116,2 | 36,3 |
| 630 Hz | 115,2 | 36,3 |
| 800 Hz | 115,8 | 36,2 |
| 1 000 Hz | 115,7 | 36,5 |
| 1 250 Hz | 115,7 | 36,4 |
| 1 600 Hz | 114,7 | 105,2 |

▼C1

| | Aerodinamička buka pri 300 km/h | |
|---|---|---|
| | $\alpha_1$ | $\alpha_2$ |
| | 50 | 50 |
| Frekvencija | $L_{W,0,1}$ | $L_{W,0,2}$ |
| 2 000 Hz | 114,7 | 110,3 |
| 2 500 Hz | 115,0 | 110,4 |
| 3 160 Hz | 114,5 | 105,6 |
| 4 000 Hz | 113,1 | 37,2 |
| 5 000 Hz | 112,1 | 37,5 |
| 6 350 Hz | 110,6 | 37,9 |
| 8 000 Hz | 109,6 | 38,4 |
| 10 000 Hz | 108,8 | 39,2 |

*Tablica G-7.*

**Koeficijenti $C_{bridge}$ za strukturno zračenje**

| $C_{bridge}$ | |
|---|---|
| Podloga kolosijeka | |
| N | L |
| Uglavnom betonski ili zidani mostovi s bilo kojim oblikom kolosijeka | Uglavnom čelični mostovi s kolosijekom na zastoru |
| 1 | 4 |

▼M2

*Prilog H*

**Baza podataka za izvore buke industrijskih pogona i postrojenja**

U ovom se prilogu nalazi nekoliko primjera ulaznih vrijednosti za neke izvore buke industrijskih pogona i postrojenja koji se mogu upotrijebiti za izračunavanje buke industrijskih pogona i postrojenja prema modelu opisanom u odjeljku 2.4. Buka industrijskih pogona i postrojenja. Budući da su izvori buke industrijskih pogona i postrojenja krajnje specifični za svaku industrijsku lokaciju, odgovarajuće vrijednosti dobivaju se iz lokalnih, nacionalnih ili međunarodnih baza podataka ili mjerenjem, ovisno o tome što je najprikladnije.

*Tablica H-1*

**Koeficijenti $L_W$, $L_{W'}$ I $\Delta L_{W,dir,xyz}$ (*x, y, z*) za zvučnu snagu**

$\Delta L_{W,dir,xyz}$ (x, y, z)=0

$L_{W'}$ je izražen kao zvučna snaga po metru linijskog izvora ili po kvadratnom metru površinskog izvora.

| Opis | Tip izvora | Usmjerenost izvora | 63 | 125 | 250 | 500 | 1 000 | 2 000 | 4 000 | 8 000 |
|---|---|---|---|---|---|---|---|---|---|---|
| Pjeskarenje – u vanjskom prostoru – uz korištenje mlaznice | Točkasti izvor | Slobodno polje | 108,77 | 110,37 | 112,77 | 107,77 | 104,37 | 98,07 | 97,07 | 86,97 |
| Rotacijska peć | Linijski izvor | Slobodno polje | 79,27 | 84,17 | 86,67 | 89,27 | 93,07 | 93,47 | 92,07 | 87,77 |
| Brodogradilište | Površinski izvor | Poluslobodno polje | 67,17 | 69,07 | 74,57 | 62,17 | 63,97 | 66,77 | 70,97 | 68,07 |
| Plinski terminal | Površinski izvor | Poluslobodno polje | 74,17 | 70,07 | 65,57 | 64,17 | 59,97 | 57,77 | 51,97 | 56,07 |

▼M2

*Prilog I*

**Baza podataka za izvore buke zrakoplova – NPD podaci**

U ovom se prilogu nalazi baza podataka koja obuhvaća većinu postojećih izvora buke zrakoplova. Namijenjena je za izračunavanje buke zrakoplova prema modelu opisanom u odjeljku 2.6. Buka zrakoplova.

*Tablica I-1*

**Aerodinamički koeficijenti**

| Oznaka zrakoplova (ACFT_ID) | Tip operacije (OP_TYPE) | Oznaka zakrilca (FLAP_ID) | B (ft/lb) | C (kt/√lb) | D (kt/√lb) | R |
|---|---|---|---|---|---|---|
| 1900D | A | 35-A | | | 0,915858 | 0,130495 |
| 1900D | A | A_40D | | | 0,416345 | 0,140491 |
| 1900D | A | ZERO-A | | | | 0,106643 |
| 1900D | D | 17-D | 0,060076 | 0,858496 | | 0,072968 |
| 1900D | D | ZERO-D | | | | 0,094383 |
| 707320 | A | D-25 | | | 0,307537 | 0,107756 |
| 707320 | A | D-40 | | | 0,279116 | 0,134567 |
| 707320 | A | D-50 | | | 0,275511 | 0,15472 |
| 707320 | A | U-25 | | | | 0,098219 |
| 707320 | D | 14 | 0,004514 | 0,312431 | | 0,089316 |
| 707320 | D | INT | | | | 0,072743 |
| 707320 | D | ZERO | | | | 0,05617 |
| 707QN | A | D-25 | | | 0,307537 | 0,107756 |
| 707QN | A | D-40 | | | 0,279116 | 0,134567 |
| 707QN | A | D-50 | | | 0,275511 | 0,15472 |
| 707QN | A | U-25 | | | | 0,098219 |
| 707QN | D | 14 | 0,004514 | 0,312431 | | 0,089316 |
| 707QN | D | INT | | | | 0,072743 |
| 707QN | D | ZERO | | | | 0,05617 |
| 717200 | A | A_0U | | | | 0,06456 |
| 717200 | A | A_13D | | | | 0,109249 |

▼**M2**

| Oznaka zrakoplova (ACFT_ID) | Tip operacije (OP_TYPE) | Oznaka zakrilca (FLAP_ID) | B (ft/lb) | C (kt/√lb) | D (kt/√lb) | R |
|---|---|---|---|---|---|---|
| 717200 | A | A_13U | | | | 0,095353 |
| 717200 | A | A_18D | | | | 0,11009 |
| 717200 | A | A_18U | | | | 0,095015 |
| 717200 | A | A_40D | | | 0,416345 | 0,140491 |
| 717200 | D | T_00B | | | | 0,06 |
| 717200 | D | T_00C | | | | 0,06 |
| 717200 | D | T_05H | 0,011607 | 0,483254 | | 0,075 |
| 717200 | D | T_05M | 0,011795 | 0,489068 | | 0,075 |
| 717200 | D | T_13A | 0,010862 | 0,469923 | | 0,078 |
| 720B | A | D-30 | | | 0,350247 | 0,109478 |
| 720B | A | D-50 | | | 0,339412 | 0,148843 |
| 720B | A | U-30 | | | | 0,09805 |
| 720B | D | 20 | 0,00573 | 0,356426 | | 0,091933 |
| 720B | D | 30 | 0,005238 | 0,340735 | | 0,104243 |
| 720B | D | INT | | | | 0,074052 |
| 720B | D | ZERO | | | | 0,05617 |
| 727100 | A | D-25 | | | 0,350485 | 0,128359 |
| 727100 | A | D-30 | | | 0,343897 | 0,145903 |
| 727100 | A | D-40 | | | 0,335992 | 0,186604 |
| 727100 | A | U-15 | | | | 0,090698 |
| 727100 | A | U-25 | | | | 0,113154 |
| 727100 | D | 2 | | | | 0,0857 |
| 727100 | D | 5 | 0,008692 | 0,415048 | | 0,088916 |
| 727100 | D | 15 | 0,008301 | 0,392649 | | 0,095459 |
| 727100 | D | 25 | 0,007389 | 0,371567 | | 0,115623 |
| 727100 | D | ZERO | | | | 0,0636 |

▼**M2**

| Oznaka zrakoplova (ACFT_ID) | Tip operacije (OP_TYPE) | Oznaka zakrilca (FLAP_ID) | B (ft/lb) | C (kt/√lb) | D (kt/√lb) | R |
|---|---|---|---|---|---|---|
| 727D15 | A | D-25 | | | 0,383689 | 0,109535 |
| 727D15 | A | D-30 | | | 0,368 | 0,1437 |
| 727D15 | A | D-40 | | | 0,36 | 0,1844 |
| 727D15 | A | U-15 | | | | 0,089969 |
| 727D15 | A | U-25 | | | | 0,109535 |
| 727D15 | D | 2 | | | | 0,0857 |
| 727D15 | D | 5 | 0,00924 | 0,409 | | 0,0869 |
| 727D15 | D | 15 | 0,00826 | 0,388 | | 0,0929 |
| 727D15 | D | 20 | 0,007712 | 0,376653 | | 0,108897 |
| 727D15 | D | 25 | 0,00763 | 0,367 | | 0,1112 |
| 727D15 | D | ZERO | | | | 0,0594 |
| 727D17 | A | D-25 | | | 0,383689 | 0,124821 |
| 727D17 | A | D-30 | | | 0,368 | 0,1437 |
| 727D17 | A | D-40 | | | 0,36 | 0,1844 |
| 727D17 | A | U-15 | | | | 0,089969 |
| 727D17 | A | U-25 | | | | 0,109535 |
| 727D17 | D | 2 | | | | 0,0857 |
| 727D17 | D | 5 | 0,00924 | 0,409 | | 0,0869 |
| 727D17 | D | 15 | 0,00826 | 0,388 | | 0,0929 |
| 727D17 | D | 20 | 0,007712 | 0,376653 | | 0,108897 |
| 727D17 | D | 25 | 0,00763 | 0,367 | | 0,1112 |
| 727D17 | D | ZERO | | | | 0,0594 |
| 727EM1 | A | D-25 | | | 0,350485 | 0,128359 |
| 727EM1 | A | D-30 | | | 0,343897 | 0,145903 |
| 727EM1 | A | D-40 | | | 0,335992 | 0,186604 |
| 727EM1 | A | U-15 | | | | 0,090698 |

▼**M2**

| Oznaka zrakoplova (ACFT_ID) | Tip operacije (OP_TYPE) | Oznaka zakrilca (FLAP_ID) | B (ft/lb) | C (kt/√lb) | D (kt/√lb) | R |
|---|---|---|---|---|---|---|
| 727EM1 | A | U-25 | | | | 0,113154 |
| 727EM1 | D | 2 | | | | 0,0857 |
| 727EM1 | D | 5 | 0,008692 | 0,415048 | | 0,088916 |
| 727EM1 | D | 15 | 0,008301 | 0,392649 | | 0,095459 |
| 727EM1 | D | 25 | 0,007389 | 0,371567 | | 0,115623 |
| 727EM1 | D | ZERO | | | | 0,0636 |
| 727EM2 | A | D-25 | | | 0,383689 | 0,109535 |
| 727EM2 | A | D-30 | | | 0,368 | 0,1437 |
| 727EM2 | A | D-40 | | | 0,36 | 0,1844 |
| 727EM2 | A | U-15 | | | | 0,089969 |
| 727EM2 | A | U-25 | | | | 0,109535 |
| 727EM2 | D | 2 | | | | 0,0857 |
| 727EM2 | D | 5 | 0,00924 | 0,409 | | 0,0869 |
| 727EM2 | D | 15 | 0,00826 | 0,388 | | 0,0929 |
| 727EM2 | D | 20 | 0,007712 | 0,376653 | | 0,108897 |
| 727EM2 | D | 25 | 0,00763 | 0,367 | | 0,1112 |
| 727EM2 | D | ZERO | | | | 0,0594 |
| 727Q15 | A | D-25 | | | 0,383689 | 0,109535 |
| 727Q15 | A | D-30 | | | 0,368 | 0,1437 |
| 727Q15 | A | D-40 | | | 0,36 | 0,1844 |
| 727Q15 | A | U-15 | | | | 0,089969 |
| 727Q15 | A | U-25 | | | | 0,109535 |
| 727Q15 | D | 2 | | | | 0,0857 |
| 727Q15 | D | 5 | 0,00924 | 0,409 | | 0,0869 |
| 727Q15 | D | 15 | 0,00826 | 0,388 | | 0,0929 |
| 727Q15 | D | 20 | 0,007712 | 0,376653 | | 0,108897 |

▼**M2**

| Oznaka zrakoplova (ACFT_ID) | Tip operacije (OP_TYPE) | Oznaka zakrilca (FLAP_ID) | B (ft/lb) | C (kt/√lb) | D (kt/√lb) | R |
|---|---|---|---|---|---|---|
| 727Q15 | D | 25 | 0,00763 | 0,367 | | 0,1112 |
| 727Q15 | D | ZERO | | | | 0,0594 |
| 727Q7 | A | D-25 | | | 0,350485 | 0,128359 |
| 727Q7 | A | D-30 | | | 0,343897 | 0,145903 |
| 727Q7 | A | D-40 | | | 0,335992 | 0,186604 |
| 727Q7 | A | U-15 | | | | 0,090698 |
| 727Q7 | A | U-25 | | | | 0,113154 |
| 727Q7 | D | 2 | | | | 0,0857 |
| 727Q7 | D | 5 | 0,008692 | 0,415048 | | 0,088916 |
| 727Q7 | D | 15 | 0,008301 | 0,392649 | | 0,095459 |
| 727Q7 | D | 25 | 0,007389 | 0,371567 | | 0,115623 |
| 727Q7 | D | ZERO | | | | 0,0636 |
| 727Q9 | A | D-25 | | | 0,372885 | 0,124565 |
| 727Q9 | A | D-30 | | | 0,367614 | 0,142606 |
| 727Q9 | A | D-40 | | | 0,359182 | 0,184273 |
| 727Q9 | A | U-15 | | | | 0,090523 |
| 727Q9 | A | U-25 | | | | 0,109315 |
| 727Q9 | D | 2 | | | | 0,0857 |
| 727Q9 | D | 5 | 0,00924 | 0,409 | | 0,0869 |
| 727Q9 | D | 15 | 0,00826 | 0,388 | | 0,0929 |
| 727Q9 | D | 20 | 0,007712 | 0,376653 | | 0,108897 |
| 727Q9 | D | 25 | 0,00763 | 0,367 | | 0,1112 |
| 727Q9 | D | ZERO | | | | 0,0594 |
| 727QF | A | D-15 | | | | 0,1182 |
| 727QF | A | D-25 | | | | 0,1359 |
| 727QF | A | D-30 | | | 0,3658 | 0,1602 |

▼**M2**

| Oznaka zrakoplova (ACFT_ID) | Tip operacije (OP_TYPE) | Oznaka zakrilca (FLAP_ID) | B (ft/lb) | C (kt/√lb) | D (kt/√lb) | R |
|---|---|---|---|---|---|---|
| 727QF | A | D-40 | | | 0,3568 | 0,2003 |
| 727QF | A | U-05 | | | | 0,08709 |
| 727QF | A | U-15 | | | | 0,09676 |
| 727QF | A | U-25 | | | | 0,1201 |
| 727QF | A | U-ZERO | | | | 0,06027 |
| 727QF | D | 2 | | | | 0,081 |
| 727QF | D | 5 | 0,00849 | 0,4242 | | 0,0921 |
| 727QF | D | 15 | 0,007525 | 0,412 | | 0,1005 |
| 727QF | D | 25 | 0,0069 | 0,3885 | | 0,1222 |
| 727QF | D | ZERO | | | | 0,06599 |
| 737 | A | D-25 | | | 0,452885 | 0,113106 |
| 737 | A | D-30 | | | 0,442783 | 0,124898 |
| 737 | A | D-40 | | | 0,432682 | 0,155057 |
| 737 | A | U-15 | | | | 0,088617 |
| 737 | A | U-25 | | | | 0,097687 |
| 737 | D | 5 | 0,011593 | 0,475473 | | 0,085235 |
| 737 | D | 10 | 0,010935 | 0,457438 | | 0,093192 |
| 737 | D | 25 | 0,010293 | 0,436124 | | 0,109993 |
| 737 | D | INT | | | | 0,07477 |
| 737 | D | ZERO | | | | 0,0643 |
| 737300 | A | D-15 | | | 0,4639 | 0,1103 |
| 737300 | A | D-30 | | | 0,434 | 0,1247 |
| 737300 | A | D-40 | | | 0,4215 | 0,1471 |
| 737300 | D | 1 | 0,0126 | 0,4958 | | 0,069 |
| 737300 | D | 5 | 0,0116 | 0,477215 | | 0,0742 |
| 737300 | D | 15 | 0,0111 | 0,4572 | | 0,0872 |
| 737300 | D | ZERO | | | | 0,062 |

▼**M2**

| Oznaka zrakoplova (ACFT_ID) | Tip operacije (OP_TYPE) | Oznaka zakrilca (FLAP_ID) | B (ft/lb) | C (kt/√lb) | D (kt/√lb) | R |
|---|---|---|---|---|---|---|
| 7373B2 | A | D-15 | | | 0,4639 | 0,1103 |
| 7373B2 | A | D-30 | | | 0,434 | 0,1247 |
| 7373B2 | A | D-40 | | | 0,4215 | 0,1471 |
| 7373B2 | D | 1 | 0,0124 | 0,4958 | | 0,0761 |
| 7373B2 | D | 5 | 0,011511 | 0,477758 | | 0,0794 |
| 7373B2 | D | 15 | 0,011 | 0,4575 | | 0,0872 |
| 7373B2 | D | T_01 | | | | 0,067 |
| 7373B2 | D | T_05 | | | | 0,074679 |
| 7373B2 | D | ZERO | | | | 0,062 |
| 737400 | A | D-15 | | | 0,4779 | 0,1079 |
| 737400 | A | D-30 | | | 0,4338 | 0,1251 |
| 737400 | A | D-40 | | | 0,423 | 0,151 |
| 737400 | D | 1 | | | | 0,0713 |
| 737400 | D | 5 | 0,0117 | 0,4834 | | 0,0798 |
| 737400 | D | 15 | 0,0109 | 0,4596 | | 0,0924 |
| 737400 | D | ZERO | | | | 0,0628 |
| 737500 | A | D-15 | | | 0,4538 | 0,1084 |
| 737500 | A | D-30 | | | 0,4281 | 0,1253 |
| 737500 | A | D-40 | | | 0,4166 | 0,151 |
| 737500 | D | 1 | | | | 0,0712 |
| 737500 | D | 5 | 0,01138 | 0,474697 | | 0,0803 |
| 737500 | D | 15 | 0,0109 | 0,4541 | | 0,0925 |
| 737500 | D | ZERO | | | | 0,061 |
| 737700 | A | A_15 | | | 0,4122 | 0,1048 |
| 737700 | A | A_30 | | | 0,3986 | 0,1194 |
| 737700 | A | A_40 | | | 0,3907 | 0,1434 |
| 737700 | D | T_00H | | | | 0,063 |

▼**M2**

| Oznaka zrakoplova (ACFT_ID) | Tip operacije (OP_TYPE) | Oznaka zakrilca (FLAP_ID) | B (ft/lb) | C (kt/√lb) | D (kt/√lb) | R |
|---|---|---|---|---|---|---|
| 737700 | D | T_01 | 0,0097 | 0,4329 | | 0,062 |
| 737700 | D | T_05A | | | | 0,07 |
| 737700 | D | T_10 | 0,0089 | 0,4112 | | 0,0858 |
| 737700 | D | T_15 | 0,0087 | 0,406 | | 0,0889 |
| 737700 | D | T_25 | 0,0086 | 0,4021 | | 0,0932 |
| 737700 | D | T_5 | 0,0093 | 0,4251 | | 0,0749 |
| 737700 | D | T_ZERO | | | | 0,0552 |
| 737800 | D | T_00 | | | | 0,05625 |
| 737800 | D | T_01 | | | | 0,06253 |
| 737800 | D | T_05 | 0,009633 | 0,435043 | | 0,0737 |
| 737D17 | A | D-25 | | | 0,451848 | 0,113169 |
| 737D17 | A | D-30 | | | 0,443779 | 0,125252 |
| 737D17 | A | D-40 | | | 0,434096 | 0,156502 |
| 737D17 | A | U-15 | | | | 0,106085 |
| 737D17 | A | U-25 | | | | 0,097127 |
| 737D17 | D | 5 | 0,011677 | 0,473007 | | 0,087424 |
| 737D17 | D | 10 | 0,010956 | 0,456114 | | 0,096364 |
| 737D17 | D | 25 | 0,010406 | 0,436124 | | 0,10878 |
| 737D17 | D | INT | | | | 0,07586 |
| 737D17 | D | ZERO | | | | 0,0643 |
| 737N17 | A | D-25 | | | 0,451848 | 0,113169 |
| 737N17 | A | D-30 | | | 0,443779 | 0,125252 |
| 737N17 | A | D-40 | | | 0,434096 | 0,156502 |
| 737N17 | A | U-15 | | | | 0,106085 |
| 737N17 | A | U-25 | | | | 0,097127 |

▼**M2**

| Oznaka zrakoplova (ACFT_ID) | Tip operacije (OP_TYPE) | Oznaka zakrilca (FLAP_ID) | B (ft/lb) | C (kt/√lb) | D (kt/√lb) | R |
|---|---|---|---|---|---|---|
| 737N17 | D | 5 | 0,011677 | 0,473007 | | 0,087424 |
| 737N17 | D | 10 | 0,010956 | 0,456114 | | 0,096364 |
| 737N17 | D | 25 | 0,010406 | 0,436124 | | 0,10878 |
| 737N17 | D | INT | | | | 0,07586 |
| 737N17 | D | ZERO | | | | 0,0643 |
| 737N9 | A | D-25 | | | 0,452885 | 0,113106 |
| 737N9 | A | D-30 | | | 0,442783 | 0,124898 |
| 737N9 | A | D-40 | | | 0,432682 | 0,155057 |
| 737N9 | A | U-15 | | | | 0,088617 |
| 737N9 | A | U-25 | | | | 0,097687 |
| 737N9 | D | 5 | 0,011593 | 0,475473 | | 0,085235 |
| 737N9 | D | 10 | 0,010935 | 0,457438 | | 0,093192 |
| 737N9 | D | 25 | 0,010293 | 0,436124 | | 0,109993 |
| 737N9 | D | INT | | | | 0,07477 |
| 737N9 | D | ZERO | | | | 0,0643 |
| 737QN | A | D-25 | | | 0,452885 | 0,113106 |
| 737QN | A | D-30 | | | 0,442783 | 0,124898 |
| 737QN | A | D-40 | | | 0,432682 | 0,155057 |
| 737QN | A | U-15 | | | | 0,088617 |
| 737QN | A | U-25 | | | | 0,097687 |
| 737QN | D | 5 | 0,011593 | 0,475473 | | 0,085235 |
| 737QN | D | 10 | 0,010935 | 0,457438 | | 0,093192 |
| 737QN | D | 25 | 0,010293 | 0,436124 | | 0,109993 |
| 737QN | D | INT | | | | 0,07477 |
| 737QN | D | ZERO | | | | 0,0643 |
| 74710Q | A | D-20 | | | 0,217555 | 0,109467 |
| 74710Q | A | D-25 | | | 0,210537 | 0,116953 |

▼**M2**

| Oznaka zrakoplova (ACFT_ID) | Tip operacije (OP_TYPE) | Oznaka zakrilca (FLAP_ID) | B (ft/lb) | C (kt/√lb) | D (kt/√lb) | R |
|---|---|---|---|---|---|---|
| 74710Q | A | D-30 | | | 0,202116 | 0,142564 |
| 74710Q | A | U-20 | | | | 0,091737 |
| 74710Q | D | 5 | | | | 0,07456 |
| 74710Q | D | 10 | 0,002333 | 0,212212 | | 0,092196 |
| 74710Q | D | 20 | 0,002187 | 0,202456 | | 0,099504 |
| 74710Q | D | ZERO | | | | 0,05693 |
| 747200 | A | D-20 | | | 0,217555 | 0,109467 |
| 747200 | A | D-25 | | | 0,210537 | 0,116953 |
| 747200 | A | D-30 | | | 0,202116 | 0,142564 |
| 747200 | A | U-20 | | | | 0,091737 |
| 747200 | D | 5 | | | | 0,074042 |
| 747200 | D | 10 | 0,00235 | 0,211659 | | 0,091154 |
| 747200 | D | 20 | 0,002207 | 0,203133 | | 0,098616 |
| 747200 | D | ZERO | | | | 0,05693 |
| 74720A | A | D-25 | | | 0,2105 | 0,118 |
| 74720A | A | D-30 | | | 0,2017 | 0,1438 |
| 74720A | D | 5 | | | | 0,0722 |
| 74720A | D | 10 | 0,00234 | 0,2115 | | 0,08917 |
| 74720A | D | 20 | 0,002186 | 0,2029 | | 0,09728 |
| 74720A | D | ZERO | | | | 0,05524 |
| 74720B | A | D-25 | | | 0,2113 | 0,1207 |
| 74720B | A | D-30 | | | 0,2016 | 0,1444 |
| 74720B | D | 5 | | | | 0,07276 |
| 74720B | D | 10 | 0,002351 | 0,213 | | 0,0886 |
| 74720B | D | 20 | 0,002196 | 0,2045 | | 0,09867 |
| 74720B | D | ZERO | | | | 0,05693 |

▼**M2**

| Oznaka zrakoplova (ACFT_ID) | Tip operacije (OP_TYPE) | Oznaka zakrilca (FLAP_ID) | B (ft/lb) | C (kt/√lb) | D (kt/√lb) | R |
|---|---|---|---|---|---|---|
| 747400 | A | D-25 | | | 0,2143 | 0,1171 |
| 747400 | A | D-30 | | | 0,2064 | 0,141 |
| 747400 | D | 5 | | | | 0,069 |
| 747400 | D | 10 | 0,002104 | 0,21338 | | 0,0823 |
| 747400 | D | 20 | 0,0021 | 0,2062 | | 0,0916 |
| 747400 | D | T_00H | | | | 0,053 |
| 747400 | D | T_01 | | | | 0,057691 |
| 747400 | D | T_05 | | | | 0,071 |
| 747400 | D | T_05C | | | | 0,057569 |
| 747400 | D | T_10 | 0,002101 | 0,207131 | | 0,110782 |
| 747400 | D | T_10H | | | | 0,1 |
| 747400 | D | ZERO | | 0,3111 | | 0,0508 |
| 7478 | A | F_20 | | | 0,192660 | 0,128462 |
| 7478 | A | F_30 | | | 0,189605 | 0,143406 |
| 7478 | D | F_0 | | | | 0,052717 |
| 7478 | D | F_1 | | | | 0,064841 |
| 7478 | D | F_10 | 0,002000 | 0,204760 | | 0,083321 |
| 7478 | D | F_5 | | | | 0,073443 |
| 747SP | A | D-20 | | | 0,216415 | 0,110347 |
| 747SP | A | D-25 | | | 0,209991 | 0,116897 |
| 747SP | A | D-30 | | | 0,202497 | 0,143096 |
| 747SP | A | U-20 | | | | 0,092569 |
| 747SP | D | 5 | | | | 0,076123 |
| 747SP | D | 10 | 0,002357 | 0,210572 | | 0,095316 |
| 747SP | D | 20 | 0,002179 | 0,201901 | | 0,103296 |
| 747SP | D | ZERO | | | | 0,05693 |
| 757300 | D | T_00 | | | | 0,05554 |

▼**M2**

| Oznaka zrakoplova (ACFT_ID) | Tip operacije (OP_TYPE) | Oznaka zakrilca (FLAP_ID) | B (ft/lb) | C (kt/√lb) | D (kt/√lb) | R |
|---|---|---|---|---|---|---|
| 757300 | D | T_01 | | | | 0,05943 |
| 757300 | D | T_05 | 0,006931 | 0,38754 | | 0,07993 |
| 757PW | A | D-25 | | | 0,3234 | 0,1186 |
| 757PW | A | D-30 | | | 0,3179 | 0,1342 |
| 757PW | D | 5 | 0,006243 | 0,360271 | | 0,0722 |
| 757PW | D | 15 | 0,00611 | 0,3454 | | 0,0782 |
| 757PW | D | 20 | 0,00573 | 0,33 | | 0,0864 |
| 757PW | D | T_00 | | | | 0,055346 |
| 757PW | D | T_01 | | | | 0,0609 |
| 757PW | D | T_05 | | 0,360271 | | 0,0682 |
| 757PW | D | ZERO | | 0,4699 | | 0,0548 |
| 757RR | A | D-25 | | | 0,3238 | 0,1178 |
| 757RR | A | D-30 | | | 0,3191 | 0,1337 |
| 757RR | D | 5 | 0,006319 | 0,36165 | | 0,07 |
| 757RR | D | 15 | 0,00614 | 0,3454 | | 0,0758 |
| 757RR | D | 20 | 0,0057 | 0,33 | | 0,0847 |
| 757RR | D | INT | | | | 0,0621 |
| 757RR | D | T_00 | | | | 0,0525 |
| 757RR | D | T_01 | | | | 0,058316 |
| 757RR | D | T_05 | | | | 0,0635 |
| 757RR | D | ZERO | | 0,4699 | | 0,0541 |
| 767300 | A | D-25 | | | 0,2627 | 0,121 |
| 767300 | A | D-30 | | | 0,2555 | 0,1329 |
| 767300 | D | 5 | 0,00409 | 0,297 | | 0,075 |
| 767300 | D | 15 | 0,00381 | 0,2853 | | 0,0824 |
| 767300 | D | 20 | 0,00367 | 0,2788 | | 0,0866 |
| 767300 | D | INT | | | | 0,0641 |

▼**M2**

| Oznaka zrakoplova (ACFT_ID) | Tip operacije (OP_TYPE) | Oznaka zakrilca (FLAP_ID) | B (ft/lb) | C (kt/√lb) | D (kt/√lb) | R |
|---|---|---|---|---|---|---|
| 767300 | D | ZERO | | | | 0,0531 |
| 767400 | A | L_25_D | | | 0,2601 | 0,1156 |
| 767400 | A | L_30_D | | | 0,2536 | 0,1265 |
| 767400 | D | T_00_U | | | | 0,0492 |
| 767400 | D | T_05_U | 0,0043 | 0,2972 | | 0,0674 |
| 767400 | D | T_05A | | | | 0,055 |
| 767400 | D | T_05B | | | | 0,06 |
| 767400 | D | T_15_U | 0,0041 | 0,2876 | | 0,0736 |
| 767400 | D | T_20_U | 0,003624 | 0,2775 | | 0,0794 |
| 767CF6 | A | D-25 | | | 0,29009 | 0,1075 |
| 767CF6 | A | D-30 | | | 0,28096 | 0,1232 |
| 767CF6 | D | 1 | 0,00557 | 0,31625 | | 0,0646 |
| 767CF6 | D | 5 | 0,0053 | 0,30576 | | 0,0685 |
| 767CF6 | D | 15 | 0,00504 | 0,29249 | | 0,074 |
| 767CF6 | D | 20 | 0,0049 | 0,28496 | | 0,0779 |
| 767CF6 | D | ZERO | | | | 0,0489 |
| 767JT9 | A | D-25 | | | 0,29009 | 0,1085 |
| 767JT9 | A | D-30 | | | 0,28096 | 0,1258 |
| 767JT9 | D | 1 | 0,00504 | 0,31625 | | 0,0658 |
| 767JT9 | D | 5 | 0,00472 | 0,30576 | | 0,0705 |
| 767JT9 | D | 15 | 0,00436 | 0,29249 | | 0,0756 |
| 767JT9 | D | 20 | 0,00417 | 0,28496 | | 0,0802 |
| 767JT9 | D | ZERO | | | | 0,052 |
| 777200 | A | D20 | | | 0,2204 | 0,09765 |
| 777200 | A | D25 | | | 0,2133 | 0,1158 |
| 777200 | A | D30 | | | 0,203 | 0,133 |
| 777200 | D | 15 | 0,002867 | 0,2299 | | 0,07432 |

▼**M2**

| Oznaka zrakoplova (ACFT_ID) | Tip operacije (OP_TYPE) | Oznaka zakrilca (FLAP_ID) | B (ft/lb) | C (kt/√lb) | D (kt/√lb) | R |
|---|---|---|---|---|---|---|
| 777200 | D | 20 | 0,002751 | 0,2239 | | 0,08186 |
| 777200 | D | T_00 | | 0,3218 | | 0,05065 |
| 777200 | D | T_00H | | | | 0,052 |
| 777200 | D | T_00L | | | | 0,048 |
| 777200 | D | T_01 | | 0,2921 | | 0,05555 |
| 777200 | D | T_01H | | | | 0,06 |
| 777200 | D | T_05 | 0,002475 | 0,239429 | | 0,06898 |
| 777200 | D | T_05A | | | | 0,063456 |
| 777200 | D | T_05C | | | | 0,092 |
| 777200 | D | T_05CH | | | | 0,085 |
| 777300 | A | L_25_D | | | 0,2156 | 0,116 |
| 777300 | A | L_30_D | | | 0,2071 | 0,1322 |
| 777300 | D | T_00_U | | | | 0,0504 |
| 777300 | D | T_05_U | 0,0031 | 0,2586 | | 0,0645 |
| 777300 | D | T_15_U | 0,0028 | 0,2454 | | 0,0704 |
| 777300 | D | T_20_U | 0,0027 | 0,2363 | | 0,0783 |
| 7773ER | A | F_20 | | | 0,225340 | 0,104970 |
| 7773ER | A | F_30 | | | 0,209490 | 0,134910 |
| 7773ER | D | FLAP_0 | | | | 0,050171 |
| 7773ER | D | FLAP_1 | | | | 0,054934 |
| 7773ER | D | FLAP_5 | 0,002710 | 0,240000 | | 0,066100 |
| 7878R | A | F_00 | | | 0,393870 | 0,045060 |
| 7878R | A | F_01 | | | 0,329760 | 0,047700 |
| 7878R | A | F_05 | | | 0,288410 | 0,067150 |
| 7878R | A | FLAP20 | | | 0,260280 | 0,088050 |
| 7878R | A | FLAP30 | | | 0,246840 | 0,105000 |
| 7878R | D | FLAP_0 | | | | 0,050055 |

▼**M2**

| Oznaka zrakoplova (ACFT_ID) | Tip operacije (OP_TYPE) | Oznaka zakrilca (FLAP_ID) | B (ft/lb) | C (kt/√lb) | D (kt/√lb) | R |
|---|---|---|---|---|---|---|
| 7878R | D | FLAP_1 | | | | 0,052026 |
| 7878R | D | FLAP_5 | 0,002949 | 0,256410 | | 0,071636 |
| A300-622R | A | 1 | | | | 0,071539 |
| A300-622R | A | 2_D | | | | 0,094763 |
| A300-622R | A | 2_U | | | | 0,072592 |
| A300-622R | A | 3_D | | | 0,274926 | 0,102372 |
| A300-622R | A | FULL_D | | | 0,253296 | 0,125036 |
| A300-622R | A | ZERO | | | | 0,052053 |
| A300-622R | D | 0 | | | | 0,053127 |
| A300-622R | D | 1500 | 0,004121 | 0,292 | | 0,072348 |
| A300B4-203 | A | D-15 | | | 0,28237 | 0,10607 |
| A300B4-203 | A | D-25 | | | 0,27151 | 0,125568 |
| A300B4-203 | D | 1 | 0,005307 | 0,324359 | | 0,090223 |
| A300B4-203 | D | 8 | 0,004239 | 0,291059 | | 0,093067 |
| A300B4-203 | D | 15 | 0,00402 | 0,278999 | | 0,102935 |
| A300B4-203 | D | ZERO | | | | 0,063491 |
| A310-304 | A | 1 | | | | 0,068197 |
| A310-304 | A | 2_D | | | | 0,096731 |
| A310-304 | A | 2_U | | | | 0,072778 |
| A310-304 | A | 3_D | | | 0,274926 | 0,106084 |
| A310-304 | A | FULL_D | | | 0,253296 | 0,129438 |
| A310-304 | A | ZERO | | | | 0,054935 |
| A310-304 | D | 0 | | | | 0,055191 |
| A310-304 | D | 1500 | 0,004875 | 0,313705 | | 0,072016 |
| A319-131 | A | 1_A | | | | 0,06317 |
| A319-131 | A | 2_D | | | | 0,098119 |
| A319-131 | A | 2_U | | | | 0,071826 |

▼**M2**

| Oznaka zrakoplova (ACFT_ID) | Tip operacije (OP_TYPE) | Oznaka zakrilca (FLAP_ID) | B (ft/lb) | C (kt/√lb) | D (kt/√lb) | R |
|---|---|---|---|---|---|---|
| A319-131 | A | 3_D | | | 0,379931 | 0,098121 |
| A319-131 | A | FULL_D | | | 0,355927 | 0,124534 |
| A319-131 | A | ZERO_A | | | | 0,056446 |
| A319-131 | D | 1 | | | | 0,071598 |
| A319-131 | D | 1+F | 0,007077 | 0,376764 | | 0,072635 |
| A319-131 | D | ZERO | | | | 0,05429 |
| A320-211 | A | 1_A | | | | 0,061662 |
| A320-211 | A | 2_D | | | | 0,096267 |
| A320-211 | A | 2_U | | | | 0,067463 |
| A320-211 | A | 3_D | | | 0,385223 | 0,101204 |
| A320-211 | A | FULL_D | | | 0,37052 | 0,11586 |
| A320-211 | A | ZERO_A | | | | 0,057558 |
| A320-211 | D | 1 | | | | 0,066827 |
| A320-211 | D | 1+F | 0,007701 | 0,394884 | | 0,071403 |
| A320-211 | D | ZERO | | | | 0,056281 |
| A320-232 | A | 1_A | | | | 0,059086 |
| A320-232 | A | 2_D | | | | 0,095899 |
| A320-232 | A | 2_U | | | | 0,06679 |
| A320-232 | A | 3_D | | | 0,379853 | 0,100263 |
| A320-232 | A | FULL_D | | | 0,369833 | 0,121141 |
| A320-232 | A | ZERO_A | | | | 0,054309 |
| A320-232 | D | 1 | | | | 0,065822 |
| A320-232 | D | 1+F | 0,007626 | 0,395674 | | 0,069873 |
| A320-232 | D | ZERO | | | | 0,05332 |
| A321-232 | A | 1_A | | | | 0,064258 |
| A321-232 | A | 2_D | | | | 0,101798 |

▼**M2**

| Oznaka zrakoplova (ACFT_ID) | Tip operacije (OP_TYPE) | Oznaka zakrilca (FLAP_ID) | B (ft/lb) | C (kt/√lb) | D (kt/√lb) | R |
|---|---|---|---|---|---|---|
| A321-232 | A | 2_U | | | | 0,074849 |
| A321-232 | A | 3_D | | | 0,368096 | 0,112676 |
| A321-232 | A | FULL_D | | | 0,357761 | 0,119073 |
| A321-232 | A | ZERO_A | | | | 0,057183 |
| A321-232 | D | 1 | | | | 0,071631 |
| A321-232 | D | 1+F | 0,007524 | 0,390238 | | 0,075946 |
| A321-232 | D | ZERO | | | | 0,056647 |
| A330-301 | A | 1_A | | | | 0,057783 |
| A330-301 | A | 2_D | | | | 0,081654 |
| A330-301 | A | 2_U | | | | 0,064098 |
| A330-301 | A | 3_D | | | 0,229065 | 0,092737 |
| A330-301 | A | FULL_D | | | 0,222802 | 0,100779 |
| A330-301 | A | ZERO_A | | | | 0,047685 |
| A330-301 | D | 1 | | | | 0,059866 |
| A330-301 | D | 1+F | 0,002905 | 0,247076 | | 0,061736 |
| A330-301 | D | ZERO | | | | 0,046057 |
| A330-343 | A | 1_A | | | | 0,055464 |
| A330-343 | A | 2_D | | | | 0,083569 |
| A330-343 | A | 2_U | | | | 0,063042 |
| A330-343 | A | 3_D | | | 0,229705 | 0,092555 |
| A330-343 | A | FULL_D | | | 0,222498 | 0,10202 |
| A330-343 | A | ZERO_A | | | | 0,046224 |
| A330-343 | D | 1 | | | | 0,05926 |
| A330-343 | D | 1+F | 0,0029 | 0,245211 | | 0,062365 |
| A330-343 | D | ZERO | | | | 0,044593 |
| A340-211 | A | 1_A | | | | 0,063657 |

▼**M2**

| Oznaka zrakoplova (ACFT_ID) | Tip operacije (OP_TYPE) | Oznaka zakrilca (FLAP_ID) | B (ft/lb) | C (kt/√lb) | D (kt/√lb) | R |
|---|---|---|---|---|---|---|
| A340-211 | A | 2_D | | | | 0,092945 |
| A340-211 | A | 2_U | | | | 0,071673 |
| A340-211 | A | 3_D | | | 0,224603 | 0,101734 |
| A340-211 | A | FULL_D | | | 0,220432 | 0,108554 |
| A340-211 | A | ZERO_A | | | | 0,051221 |
| A340-211 | D | 1 | | | | 0,068547 |
| A340-211 | D | 1+F | 0,002605 | 0,223635 | | 0,073134 |
| A340-211 | D | ZERO | | | | 0,048646 |
| A340-642 | A | 1_A | | | | 0,054416 |
| A340-642 | A | 2_D | | | | 0,087508 |
| A340-642 | A | 2_U | | | | 0,067996 |
| A340-642 | A | 3_D | | | 0,213821 | 0,100473 |
| A340-642 | A | FULL_D | | | 0,20733 | 0,105616 |
| A340-642 | A | ZERO_A | | | | 0,051608 |
| A340-642 | D | 1 | | | | 0,06118 |
| A340-642 | D | 1+F | 0,002423 | 0,225716 | | 0,06743 |
| A340-642 | D | ZERO | | | | 0,051433 |
| A380-841 | A | A_1+F | | | | 0,055657 |
| A380-841 | A | A_2_D | | | | 0,081906 |
| A380-841 | A | A_2_U | | | | 0,064109 |
| A380-841 | A | A_3_D | | | 0,154745 | 0,101662 |
| A380-841 | A | A_FULL | | | 0,154745 | 0,107331 |
| A380-841 | A | ZERO_A | | | | 0,050279 |
| A380-841 | D | D_1 | | | | 0,053173 |
| A380-841 | D | D_1+F | 0,00125 | 0,159626 | | 0,068055 |
| A380-841 | D | ZERO | | | | 0,050472 |

▼**M2**

| Oznaka zrakoplova (ACFT_ID) | Tip operacije (OP_TYPE) | Oznaka zakrilca (FLAP_ID) | B (ft/lb) | C (kt/√lb) | D (kt/√lb) | R |
|---|---|---|---|---|---|---|
| A380-861 | A | A_1+F | | | | 0,058557 |
| A380-861 | A | A_2_D | | | | 0,081967 |
| A380-861 | A | A_2_U | | | | 0,06558 |
| A380-861 | A | A_3_D | | | 0,154745 | 0,101738 |
| A380-861 | A | A_FULL | | | 0,154745 | 0,108118 |
| A380-861 | A | ZERO_A | | | | 0,048776 |
| A380-861 | D | D_1 | | | | 0,053241 |
| A380-861 | D | D_1+F | 0,00125 | 0,159567 | | 0,070602 |
| A380-861 | D | ZERO | | | | 0,049623 |
| BAC111 | A | D-45 | | | 0,49076 | 0,139207 |
| BAC111 | A | U-INT | | | | 0,106398 |
| BAC111 | D | 8 | 0,01569 | 0,54382 | | 0,082179 |
| BAC111 | D | INT1 | | | | 0,07359 |
| BAC111 | D | ZERO | | | | 0,065 |
| BAE146 | A | D-18 | | | 0,61667 | 0,119715 |
| BAE146 | A | D-24 | | | 0,61667 | 0,138371 |
| BAE146 | A | D-33 | | | 0,45555 | 0,153186 |
| BAE146 | A | U-18 | | | | 0,0818 |
| BAE146 | A | U-24 | | | | 0,095298 |
| BAE146 | D | 18 | 0,009678 | 0,49296 | | 0,13241 |
| BAE146 | D | 24 | 0,008979 | 0,45846 | | 0,1412 |
| BAE146 | D | 30 | 0,008173 | 0,43179 | | 0,15287 |
| BAE146 | D | ZERO | | | | 0,083096 |
| BAE300 | A | D-18 | | | 0,60557 | 0,116925 |
| BAE300 | A | D-24 | | | 0,60557 | 0,134808 |
| BAE300 | A | D-33 | | | 0,4511 | 0,149009 |

▼**M2**

| Oznaka zrakoplova (ACFT_ID) | Tip operacije (OP_TYPE) | Oznaka zakrilca (FLAP_ID) | B (ft/lb) | C (kt/√lb) | D (kt/√lb) | R |
|---|---|---|---|---|---|---|
| BAE300 | A | U-18 | | | | 0,08058 |
| BAE300 | A | U-24 | | | | 0,093519 |
| BAE300 | D | 18 | 0,009449 | 0,49847 | | 0,1279 |
| BAE300 | D | 24 | 0,008341 | 0,462 | | 0,1352 |
| BAE300 | D | 30 | 0,00775 | 0,43351 | | 0,14711 |
| BAE300 | D | ZERO | | | | 0,081866 |
| BEC58P | A | D-15 | | | | 0,14885 |
| BEC58P | A | D-30 | | | 1,33492 | 0,16 |
| BEC58P | D | TO | 0,100258 | 1,28098 | | 0,1377 |
| BEC58P | D | ZERO | | | | 0,125381 |
| CIT3 | A | D-40 | | | 0,966375 | 0,147159 |
| CIT3 | A | D-INTR | | | | 0,130842 |
| CIT3 | D | 10 | | | | 0,092263 |
| CIT3 | D | 20 | 0,04284 | 0,947523 | | 0,114525 |
| CIT3 | D | ZERO | | | | 0,07 |
| CL600 | A | D-45 | | | 0,766248 | 0,169002 |
| CL600 | A | D-INTR | | | | 0,128747 |
| CL600 | D | 10 | | | | 0,079246 |
| CL600 | D | 20 | 0,028225 | 0,780719 | | 0,088492 |
| CL600 | D | ZERO | | | | 0,07 |
| CL601 | A | D-45 | | | 0,769487 | 0,163669 |
| CL601 | A | D-INTR | | | | 0,122639 |
| CL601 | D | 10 | | | | 0,075805 |
| CL601 | D | 20 | 0,032183 | 0,780565 | | 0,081609 |
| CL601 | D | ZERO | | | | 0,07 |
| CNA172 | A | 10-D | | | 1,3132 | 0,0994 |

▼**M2**

| Oznaka zrakoplova (ACFT_ID) | Tip operacije (OP_TYPE) | Oznaka zakrilca (FLAP_ID) | B (ft/lb) | C (kt/√lb) | D (kt/√lb) | R |
|---|---|---|---|---|---|---|
| CNA172 | A | 30-D | | | 1,2526 | 0,1516 |
| CNA172 | A | ZERO-D | | | | 0,096 |
| CNA172 | D | 10-C | 0,0992 | 1,0304 | | 0,1446 |
| CNA172 | D | CRUISE | | | | 0,096 |
| CNA172 | D | ZERO-C | 0,1025 | 1,1112 | | 0,0831 |
| CNA182 | A | F10APP | | | | 0,122 |
| CNA182 | A | F30APP | | | 1,285 | 0,151 |
| CNA182 | D | F-20D | 0,058 | 1,204 | | 0,17 |
| CNA182 | D | ZERO | | | | 0,127 |
| CNA182 | D | ZERO-A | | | | 0,127 |
| CNA182 | D | ZERO-C | | | | 0,097 |
| CNA182 | D | ZERO-T | | | | 0,103 |
| CNA206 | A | 10_D | | | | 0,105632 |
| CNA206 | A | 40_D | | | 1,23852 | 0,169084 |
| CNA206 | D | 20_T | 0,055005 | 1,02562 | | 0,136998 |
| CNA206 | D | ZERO_C | | | | 0,09563 |
| CNA206 | D | ZERO_T | 0,055005 | 1,02562 | | 0,106327 |
| CNA208 | A | F30APP | | | 0,867722 | 0,099468 |
| CNA208 | A | ZERO-A | | | | 0,089802 |
| CNA208 | D | F-20D | 0,033202 | 0,74833 | | 0,105087 |
| CNA208 | D | ZERO | 0,05003 | 0,887307 | | 0,089802 |
| CNA208 | D | ZERO-C | | | | 0,087252 |
| CNA208 | D | ZERO-T | | | | 0,060282 |
| CNA20T | A | 10_D | | | | 0,109615 |
| CNA20T | A | 40_D | | | 1,32574 | 0,211577 |
| CNA20T | D | 20_T | 0,054669 | 1,045287 | | 0,13795 |

▼**M2**

| Oznaka zrakoplova (ACFT_ID) | Tip operacije (OP_TYPE) | Oznaka zakrilca (FLAP_ID) | B (ft/lb) | C (kt/√lb) | D (kt/√lb) | R |
|---|---|---|---|---|---|---|
| CNA20T | D | ZERO_C | | | | 0,101535 |
| CNA20T | D | ZERO_T | 0,054669 | 0,959417 | | 0,099791 |
| CNA441 | A | D-INTR | | | | 0,141579 |
| CNA441 | A | D-L | | | 1,02329 | 0,162936 |
| CNA441 | D | TO | 0,072722 | 1,10834 | | 0,120222 |
| CNA441 | D | ZERO | | | | 0,096518 |
| CNA500 | A | D-35 | | | 0,991547 | 0,147335 |
| CNA500 | A | D-INTR | | | | 0,113809 |
| CNA500 | D | 1 | | | | 0,080282 |
| CNA500 | D | 12 | 0,054342 | 0,956752 | | 0,090564 |
| CNA500 | D | ZERO | | | | 0,07 |
| CNA510 | A | A_15 | | | 1,073624 | 0,088506 |
| CNA510 | A | A_35 | | | 1,002913 | 0,126185 |
| CNA510 | D | D_15 | 0,07051 | 1,179843 | | 0,097415 |
| CNA510 | D | ZERO_C | | | | 0,088914 |
| CNA510 | D | ZERO_D | 0,090811 | 1,347624 | | 0,103158 |
| CNA525C | A | A_15 | | | 1,012614 | 0,106795 |
| CNA525C | A | A_35 | | | 0,946574 | 0,126615 |
| CNA525C | D | D-15 | 0,053355 | 0,993147 | | 0,096525 |
| CNA525C | D | ZERO_C | | | | 0,085 |
| CNA525C | D | ZERO_D | 0,061279 | 1,065348 | | 0,09129 |
| CNA55B | A | A_15 | | | 1,01427 | 0,118086 |
| CNA55B | A | A_35 | | | 0,9553 | 0,200794 |
| CNA55B | D | D_15 | 0,05628 | 1,080923 | | 0,128052 |
| CNA55B | D | ZERO_C | | | | 0,10833 |
| CNA55B | D | ZERO_D | 0,063189 | 1,159835 | | 0,119835 |

▼**M2**

| Oznaka zrakoplova (ACFT_ID) | Tip operacije (OP_TYPE) | Oznaka zakrilca (FLAP_ID) | B (ft/lb) | C (kt/√lb) | D (kt/√lb) | R |
|---|---|---|---|---|---|---|
| CNA560E | D | 15 | 0,054336 | 1,014289 | | 0,122203 |
| CNA560E | A | 15 U | | | 0,919106 | 0,099403 |
| CNA560E | A | 35 D | | | 0,870372 | 0,130841 |
| CNA560E | D | 7 | 0,059522 | 1,061591 | | 0,11951 |
| CNA560E | D | ZERO | | | | 0,122635 |
| CNA560U | D | 15 | 0,038136 | 1,069934 | | 0,13523 |
| CNA560U | D | 7 | 0,041179 | 1,10518 | | 0,12699 |
| CNA560U | A | 7_APP | | | | 0,12699 |
| CNA560U | A | D 15 | | | 0,86464 | 0,088125 |
| CNA560U | A | D 35 | | | 0,811918 | 0,132402 |
| CNA560U | D | ZERO | | | | 0,07 |
| CNA560XL | D | 15 | 0,030657 | 1,045811 | | 0,13852 |
| CNA560XL | D | 7 | 0,035712 | 1,095308 | | 0,13505 |
| CNA560XL | A | D 15U | | | 0,91189 | 0,08555 |
| CNA560XL | A | D 35D | | | 0,86179 | 0,126192 |
| CNA560XL | D | ZERO | | | | 0,074551 |
| CNA680 | D | 15 | 0,027468 | 0,725152 | | 0,127804 |
| CNA680 | A | 15 GU | | | 0,717794 | 0,093247 |
| CNA680 | A | 35 GD | | | 0,662727 | 0,146827 |
| CNA680 | D | 7 | 0,030105 | 0,764412 | | 0,122083 |
| CNA680 | D | ZERO | | | | 0,105329 |
| CNA750 | A | 15_GD | | | 0,753068 | 0,174519 |
| CNA750 | A | 15_GU | | | 0,753068 | 0,146147 |
| CNA750 | A | 35_GD | | | 0,714646 | 0,250382 |
| CNA750 | A | 5_GU | | | 0,799175 | 0,118139 |
| CNA750 | D | 5 | 0,038446 | 0,82511 | | 0,122657 |
| CNA750 | D | 15 | 0,034761 | 0,787004 | | 0,12822 |

▼**M2**

| Oznaka zrakoplova (ACFT_ID) | Tip operacije (OP_TYPE) | Oznaka zakrilca (FLAP_ID) | B (ft/lb) | C (kt/√lb) | D (kt/√lb) | R |
|---|---|---|---|---|---|---|
| CNA750 | D | ZERO | | | | 0,096475 |
| CONCRD | A | D-L | | | 0,349148 | 0,205927 |
| CONCRD | A | U-L | | | | 0,183067 |
| CONCRD | D | CL1 | | | | 0,13294 |
| CONCRD | D | TO | 0,008051 | 0,338363 | | 0,13294 |
| CONCRD | D | ZERO | | | | 0,13294 |
| CRJ9-ER | A | 20 | | | | 0,0976 |
| CRJ9-ER | A | D-45 | | | 0,5801 | 0,1551 |
| CRJ9-ER | A | U-45 | | | | 0,1504 |
| CRJ9-ER | A | ZERO | | | | 0,0655 |
| CRJ9-ER | D | 0-204 | | | | 0,0599 |
| CRJ9-ER | D | 0-250 | | | | 0,0641 |
| CRJ9-ER | D | D-8 | 0,0177 | 0,5902 | | 0,0978 |
| CRJ9-ER | D | U-8 | | | | 0,0775 |
| CRJ9-LR | A | 20 | | | | 0,0976 |
| CRJ9-LR | A | D-45 | | | 0,5801 | 0,1551 |
| CRJ9-LR | A | U-45 | | | | 0,1504 |
| CRJ9-LR | A | ZERO | | | | 0,0655 |
| CRJ9-LR | D | 0-204 | | | | 0,0599 |
| CRJ9-LR | D | 0-250 | | | | 0,0641 |
| CRJ9-LR | D | D-8 | 0,0177 | 0,5902 | | 0,0978 |
| CRJ9-LR | D | U-8 | | | | 0,0775 |
| CVR580 | A | D-28 | | | 0,51972 | 0,118937 |
| CVR580 | A | D-40 | | | 0,49138 | 0,124222 |
| CVR580 | D | 10 | 0,028303 | 0,540116 | | 0,130717 |
| CVR580 | D | INTR | | | | 0,102858 |

▼**M2**

| Oznaka zrakoplova (ACFT_ID) | Tip operacije (OP_TYPE) | Oznaka zakrilca (FLAP_ID) | B (ft/lb) | C (kt/√lb) | D (kt/√lb) | R |
|---|---|---|---|---|---|---|
| CVR580 | D | ZERO | | | | 0,075 |
| DC1010 | A | D-35 | | | 0,251236 | 0,132645 |
| DC1010 | A | D-50 | | | 0,244243 | 0,164729 |
| DC1010 | A | U-35 | | | | 0,127457 |
| DC1010 | A | U-50 | | | | 0,161155 |
| DC1010 | D | 5 | | | | 0,079893 |
| DC1010 | D | 10 | 0,00356 | 0,261942 | | 0,101376 |
| DC1010 | D | INT | | | | 0,068522 |
| DC1010 | D | ZERO | | | | 0,057149 |
| DC1030 | A | D-35 | | | 0,2534 | 0,13 |
| DC1030 | A | U-20 | | | | 0,104 |
| DC1030 | D | 20 | 0,003091 | 0,2434 | | 0,104 |
| DC1030 | D | INT1 | | | | 0,09454 |
| DC1030 | D | INT2 | | | | 0,07307 |
| DC1030 | D | ZERO | | | | 0,06519 |
| DC1040 | A | D-35 | | | 0,254879 | 0,121114 |
| DC1040 | A | D-50 | | | 0,247241 | 0,151007 |
| DC1040 | A | U-35 | | | | 0,114222 |
| DC1040 | A | U-50 | | | | 0,145481 |
| DC1040 | D | 5 | | | | 0,082503 |
| DC1040 | D | 15 | 0,004009 | 0,272697 | | 0,111044 |
| DC1040 | D | INT | | | | 0,071264 |
| DC1040 | D | ZERO | | | | 0,060025 |
| DC3 | A | D-45 | | | 0,597793 | 0,155222 |
| DC3 | A | U-INT | | | | 0,133361 |
| DC3 | D | TO | 0,019837 | 0,619256 | | 0,123784 |

▼**M2**

| Oznaka zrakoplova (ACFT_ID) | Tip operacije (OP_TYPE) | Oznaka zakrilca (FLAP_ID) | B (ft/lb) | C (kt/√lb) | D (kt/√lb) | R |
|---|---|---|---|---|---|---|
| DC3 | D | ZERO | | | | 0,1115 |
| DC6 | A | D-INTR | | | | 0,10199 |
| DC6 | A | D-L | | | 0,294594 | 0,125979 |
| DC6 | D | TO | 0,007829 | 0,430006 | | 0,08204 |
| DC6 | D | ZERO | | | | 0,078 |
| DC850 | A | D-35 | | | 0,328558 | 0,129965 |
| DC850 | A | D-50 | | | 0,313281 | 0,149354 |
| DC850 | A | U-35 | | | | 0,126751 |
| DC850 | A | U-50 | | | | 0,145337 |
| DC850 | D | 15 | 0,005206 | 0,323443 | | 0,090417 |
| DC850 | D | 25 | 0,004708 | 0,315832 | | 0,103092 |
| DC850 | D | INT | | | | 0,074401 |
| DC850 | D | ZERO | | | | 0,058535 |
| DC860 | A | D-35 | | | 0,312879 | 0,117758 |
| DC860 | A | D-50 | | | 0,304526 | 0,130913 |
| DC860 | A | U-35 | | | | 0,115049 |
| DC860 | A | U-50 | | | | 0,12766 |
| DC860 | D | 12 | 0,004899 | 0,320082 | | 0,090214 |
| DC860 | D | 23 | 0,004572 | 0,304797 | | 0,095953 |
| DC860 | D | INT | | | | 0,071703 |
| DC860 | D | ZERO | | | | 0,05319 |
| DC870 | A | D-35 | | | 0,312879 | 0,117758 |

▼**M2**

| Oznaka zrakoplova (ACFT_ID) | Tip operacije (OP_TYPE) | Oznaka zakrilca (FLAP_ID) | B (ft/lb) | C (kt/√lb) | D (kt/√lb) | R |
|---|---|---|---|---|---|---|
| DC870 | A | D-50 | | | 0,304526 | 0,130913 |
| DC870 | A | U-35 | | | | 0,115049 |
| DC870 | A | U-50 | | | | 0,12766 |
| DC870 | D | 12 | 0,004899 | 0,320082 | | 0,090214 |
| DC870 | D | 23 | 0,004572 | 0,304797 | | 0,095953 |
| DC870 | D | INT | | | | 0,071703 |
| DC870 | D | ZERO | | | | 0,05319 |
| DC8QN | A | D-35 | | | 0,312879 | 0,117758 |
| DC8QN | A | D-50 | | | 0,304526 | 0,130913 |
| DC8QN | A | U-35 | | | | 0,115049 |
| DC8QN | A | U-50 | | | | 0,12766 |
| DC8QN | D | 12 | 0,004899 | 0,320082 | | 0,090214 |
| DC8QN | D | 23 | 0,004572 | 0,304797 | | 0,095953 |
| DC8QN | D | INT | | | | 0,071703 |
| DC8QN | D | ZERO | | | | 0,05319 |
| DC910 | A | D-35 | | | 0,480101 | 0,134177 |
| DC910 | A | D-50 | | | 0,445486 | 0,157948 |
| DC910 | A | U-15 | | | | 0,087963 |
| DC910 | A | U-35 | | | | 0,130625 |
| DC910 | A | U-50 | | | | 0,153365 |
| DC910 | D | 5 | 0,012996 | 0,49557 | | 0,07757 |
| DC910 | D | 15 | 0,010618 | 0,477234 | | 0,087963 |
| DC910 | D | INT | | | | 0,076753 |
| DC910 | D | ZERO | | | | 0,075935 |
| DC930 | A | D-35 | | | 0,470211 | 0,135075 |
| DC930 | A | D-50 | | | 0,438965 | 0,165052 |

▼**M2**

| Oznaka zrakoplova (ACFT_ID) | Tip operacije (OP_TYPE) | Oznaka zakrilca (FLAP_ID) | B (ft/lb) | C (kt/√lb) | D (kt/√lb) | R |
|---|---|---|---|---|---|---|
| DC930 | A | U-15 | | | | 0,092489 |
| DC930 | A | U-35 | | | | 0,131559 |
| DC930 | A | U-50 | | | | 0,155925 |
| DC930 | D | 5 | 0,012098 | 0,4899 | | 0,084985 |
| DC930 | D | 15 | 0,010507 | 0,471774 | | 0,092489 |
| DC930 | D | INT | | | | 0,076701 |
| DC930 | D | ZERO | | | | 0,068416 |
| DC93LW | A | D-35 | | | 0,470211 | 0,135075 |
| DC93LW | A | D-50 | | | 0,438965 | 0,165052 |
| DC93LW | A | U-15 | | | | 0,092489 |
| DC93LW | A | U-35 | | | | 0,131559 |
| DC93LW | A | U-50 | | | | 0,155925 |
| DC93LW | D | 5 | 0,012098 | 0,4899 | | 0,084985 |
| DC93LW | D | 15 | 0,010507 | 0,471774 | | 0,092489 |
| DC93LW | D | INT | | | | 0,076701 |
| DC93LW | D | ZERO | | | | 0,068416 |
| DC950 | A | D-35 | | | 0,468147 | 0,135234 |
| DC950 | A | D-50 | | | 0,442406 | 0,160018 |
| DC950 | A | U-15 | | | | 0,092489 |
| DC950 | A | U-35 | | | | 0,131677 |

▼**M2**

| Oznaka zrakoplova (ACFT_ID) | Tip operacije (OP_TYPE) | Oznaka zakrilca (FLAP_ID) | B (ft/lb) | C (kt/√lb) | D (kt/√lb) | R |
|---|---|---|---|---|---|---|
| DC950 | A | U-50 | | | | 0,155399 |
| DC950 | D | 5 | 0,012098 | 0,4899 | | 0,084985 |
| DC950 | D | 15 | 0,010507 | 0,471774 | | 0,092489 |
| DC950 | D | INTR | | | | 0,076701 |
| DC950 | D | ZERO | | | | 0,068416 |
| DC95HW | A | D-35 | | | 0,468147 | 0,135234 |
| DC95HW | A | D-50 | | | 0,442406 | 0,160018 |
| DC95HW | A | U-15 | | | | 0,092489 |
| DC95HW | A | U-35 | | | | 0,131677 |
| DC95HW | A | U-50 | | | | 0,155399 |
| DC95HW | D | 5 | 0,012098 | 0,4899 | | 0,084985 |
| DC95HW | D | 15 | 0,010507 | 0,471774 | | 0,092489 |
| DC95HW | D | INTR | | | | 0,076701 |
| DC95HW | D | ZERO | | | | 0,068416 |
| DC9Q7 | A | D-35 | | | 0,480101 | 0,134177 |
| DC9Q7 | A | D-50 | | | 0,445486 | 0,157948 |
| DC9Q7 | A | U-15 | | | | 0,087963 |
| DC9Q7 | A | U-35 | | | | 0,130625 |
| DC9Q7 | A | U-50 | | | | 0,153365 |
| DC9Q7 | D | 5 | 0,012996 | 0,49557 | | 0,07757 |
| DC9Q7 | D | 15 | 0,010618 | 0,477234 | | 0,087963 |
| DC9Q7 | D | INT | | | | 0,076753 |
| DC9Q7 | D | ZERO | | | | 0,075935 |
| DC9Q9 | A | D-35 | | | 0,470211 | 0,135075 |
| DC9Q9 | A | D-50 | | | 0,438965 | 0,165052 |
| DC9Q9 | A | U-15 | | | | 0,092489 |
| DC9Q9 | A | U-35 | | | | 0,131559 |
| DC9Q9 | A | U-50 | | | | 0,155925 |

▼**M2**

| Oznaka zrakoplova (ACFT_ID) | Tip operacije (OP_TYPE) | Oznaka zakrilca (FLAP_ID) | B (ft/lb) | C (kt/√lb) | D (kt/√lb) | R |
|---|---|---|---|---|---|---|
| DC9Q9 | D | 5 | 0,012098 | 0,4899 | | 0,084985 |
| DC9Q9 | D | 15 | 0,010507 | 0,471774 | | 0,092489 |
| DC9Q9 | D | INT | | | | 0,076701 |
| DC9Q9 | D | ZERO | | | | 0,068416 |
| DHC6 | A | D-INTR | | | | 0,125975 |
| DHC6 | A | D-L | | | 0,577068 | 0,176949 |
| DHC6 | D | INTR | | | | 0,090222 |
| DHC6 | D | TO | 0,031032 | 0,787095 | | 0,105443 |
| DHC6 | D | ZERO | | | | 0,075 |
| DHC6QP | A | D-INTR | | | | 0,125975 |
| DHC6QP | A | D-L | | | 0,577068 | 0,176949 |
| DHC6QP | D | INTR | | | | 0,090222 |
| DHC6QP | D | TO | 0,031032 | 0,787095 | | 0,105443 |
| DHC6QP | D | ZERO | | | | 0,075 |
| DHC7 | A | D-25 | | | 0,51353 | 0,127688 |
| DHC7 | A | D-INTR | | | | 0,117133 |
| DHC7 | D | 10 | | | | 0,117133 |
| DHC7 | D | 25 | 0,009556 | 0,466702 | | 0,159266 |
| DHC7 | D | ZERO | | | | 0,075 |
| DHC8 | A | D-15 | | | 0,54969 | 0,092335 |
| DHC8 | A | D-35 | | | 0,50961 | 0,10086 |
| DHC8 | A | D-5 | | | 0,60123 | 0,087745 |
| DHC8 | A | U-15 | | | | 0,080204 |
| DHC8 | A | U-5 | | | | 0,073647 |
| DHC8 | D | 5 | 0,017289 | 0,61342 | | 0,07808 |

▼**M2**

| Oznaka zrakoplova (ACFT_ID) | Tip operacije (OP_TYPE) | Oznaka zakrilca (FLAP_ID) | B (ft/lb) | C (kt/√lb) | D (kt/√lb) | R |
|---|---|---|---|---|---|---|
| DHC8 | D | 15 | 0,017361 | 0,56668 | | 0,08519 |
| DHC8 | D | ZERO | | | | 0,072424 |
| DHC830 | A | D-10 | | | 0,62986 | 0,091024 |
| DHC830 | A | D-15 | | | 0,60123 | 0,094958 |
| DHC830 | A | D-35 | | | 0,55542 | 0,103483 |
| DHC830 | A | U-10 | | | | 0,079221 |
| DHC830 | A | U-15 | | | | 0,084139 |
| DHC830 | D | 5 | 0,017836 | 0,61764 | | 0,070652 |
| DHC830 | D | 10 | 0,015165 | 0,570532 | | 0,076309 |
| DHC830 | D | 15 | 0,014403 | 0,549595 | | 0,080292 |
| DHC830 | D | INT | 0,019987 | 0,659514 | | 0,067572 |
| DHC830 | D | ZERO | | | | 0,068308 |
| DO228 | A | F30APP | | | 0,75885 | 0,11911 |
| DO228 | A | ZERO-A | | | | 0,10717 |
| DO228 | D | FLAPS1 | 0,02196 | 0,80401 | | 0,09042 |
| DO228 | D | ZERO | 0,02745 | 0,86388 | | 0,10717 |
| DO228 | D | ZERO-C | | | | 0,14459 |
| DO228 | D | ZERO-T | | | | 0,09218 |
| DO328 | A | F32APP | | | 0,638 | 0,0961 |
| DO328 | A | ZERO-A | | | | 0,0916 |
| DO328 | D | F12-D | 0,016 | 0,666 | | 0,0664 |
| DO328 | D | ZERO | | | | 0,0916 |
| DO328 | D | ZERO-C | | | | 0,1206 |
| ECLIPSE500 | A | A_A_DN | | | 1,273746 | 0,133462 |
| ECLIPSE500 | A | A_T_DN | | | | 0,178304 |
| ECLIPSE500 | D | TO_DN | 0,100203 | 1,381422 | | 0,105314 |
| ECLIPSE500 | D | TO_UP | | 1,381422 | | 0,086185 |
| ECLIPSE500 | D | UP_DN | | 1,690947 | | 0,103009 |
| ECLIPSE500 | D | UP_UP | | 1,690947 | | 0,073313 |

▼**M2**

| Oznaka zrakoplova (ACFT_ID) | Tip operacije (OP_TYPE) | Oznaka zakrilca (FLAP_ID) | B (ft/lb) | C (kt/√lb) | D (kt/√lb) | R |
|---|---|---|---|---|---|---|
| EMB120 | A | D-25 | | | 0,837 | 0,0801 |
| EMB120 | A | D-45 | | | 0,782 | 0,1305 |
| EMB120 | D | 15 | 0,0297 | 0,82 | | 0,1014 |
| EMB120 | D | ZERO | | 0,929 | | 0,0834 |
| EMB145 | A | D-22 | | | 0,6836 | 0,1291 |
| EMB145 | A | D-45 | | | 0,6811 | 0,1809 |
| EMB145 | D | 9 | | 0,6503 | | 0,0825 |
| EMB145 | D | 9-GEAR | 0,0218 | 0,6562 | | 0,1048 |
| EMB145 | D | ZERO | | | | 0,0691 |
| EMB14L | A | D-22 | | | 0,6836 | 0,1291 |
| EMB14L | D | 9 | | 0,6503 | | 0,083 |
| EMB14L | D | 9-GEAR | 0,0212 | 0,6562 | | 0,083 |
| EMB14L | D | D-45 | | 0,6811 | | 0,1809 |
| EMB14L | D | ZERO | | | | 0,0694 |
| EMB170 | D | 1 | 0,015720 | 0,579870 | | 0,076830 |
| EMB170 | A | FULL | | | 0,498900 | 0,145550 |
| EMB170 | D | ZERO | | | | 0,066180 |
| EMB175 | D | 1 | 0,015900 | 0,578990 | | 0,077300 |
| EMB175 | A | FULL | | | 0,498200 | 0,145800 |
| EMB175 | D | ZERO | | | | 0,066000 |
| EMB190 | D | 1 | 0,012300 | 0,494610 | | 0,082600 |
| EMB190 | A | FULL | | | 0,434400 | 0,137100 |
| EMB190 | D | ZERO | | | | 0,066400 |
| EMB195 | D | 1 | 0,012200 | 0,494520 | | 0,083100 |
| EMB195 | A | FULL | | | 0,433600 | 0,137400 |
| EMB195 | D | ZERO | | | | 0,067400 |
| F10062 | A | D-42 | | | 0,4731 | 0,1565 |
| F10062 | A | U-INT | | | | 0,1124 |
| F10062 | D | INT2 | | | | 0,0904 |
| F10062 | D | TO | 0,0122 | 0,5162 | | 0,0683 |

▼**M2**

| Oznaka zrakoplova (ACFT_ID) | Tip operacije (OP_TYPE) | Oznaka zakrilca (FLAP_ID) | B (ft/lb) | C (kt/√lb) | D (kt/√lb) | R |
|---|---|---|---|---|---|---|
| F10062 | D | ZERO | | | | 0,0683 |
| F10065 | A | D-42 | | | 0,4731 | 0,1565 |
| F10065 | A | U-INT | | | | 0,1129 |
| F10065 | D | INT2 | | | | 0,0911 |
| F10065 | D | TO | 0,0123 | 0,521 | | 0,0693 |
| F10065 | D | ZERO | | | | 0,0693 |
| F28MK2 | A | D-42 | | | 0,5334 | 0,1677 |
| F28MK2 | A | U-INTR | | | | 0,1248 |
| F28MK2 | D | 6 | 0,0171 | 0,6027 | | 0,0793 |
| F28MK2 | D | INT2 | | | | 0,1033 |
| F28MK2 | D | ZERO | | | | 0,0819 |
| F28MK4 | A | D-42 | | | 0,5149 | 0,1619 |
| F28MK4 | A | U-INTR | | | | 0,1187 |
| F28MK4 | D | 6 | 0,01515 | 0,5731 | | 0,0749 |
| F28MK4 | D | INT2 | | | | 0,0971 |
| F28MK4 | D | ZERO | | | | 0,0755 |
| FAL20 | A | D-25 | | | 0,804634 | 0,117238 |
| FAL20 | A | D-40 | | | 0,792624 | 0,136348 |
| FAL20 | D | 10 | 0,035696 | 0,807797 | | 0,098781 |
| FAL20 | D | INTR | | | | 0,084391 |
| FAL20 | D | ZERO | | | | 0,07 |
| GII | A | L-0-U | | | | 0,0751 |
| GII | A | L-10-U | | | | 0,0852 |
| GII | D | L-20-D | | | | 0,1138 |
| GII | D | L-39-D | | 0,5822 | | 0,1742 |
| GII | D | T-0-U | | | | 0,0814 |
| GII | D | T-10-U | | | | 0,0884 |

▼**M2**

| Oznaka zrakoplova (ACFT_ID) | Tip operacije (OP_TYPE) | Oznaka zakrilca (FLAP_ID) | B (ft/lb) | C (kt/√lb) | D (kt/√lb) | R |
|---|---|---|---|---|---|---|
| GII | D | T-20-D | 0,02 | 0,634 | | 0,1159 |
| GIIB | A | L-0-U | | | | 0,0722 |
| GIIB | A | L-10-U | | | | 0,0735 |
| GIIB | D | L-20-D | | | | 0,1091 |
| GIIB | D | L-39-D | | 0,562984 | | 0,1509 |
| GIIB | D | T-0-U | | | | 0,0738 |
| GIIB | D | T-10-U | | | | 0,0729 |
| GIIB | D | T-20-D | 0,0162 | 0,583 | | 0,1063 |
| GIV | A | L-0-U | | | | 0,06 |
| GIV | A | L-39-D | | | 0,5805 | 0,1403 |
| GIV | D | L-20-D | | | | 0,1063 |
| GIV | D | T-0-U | | | | 0,0586 |
| GIV | D | T-10-U | | | | 0,0666 |
| GIV | D | T-20-D | 0,0146 | 0,5798 | | 0,1035 |
| GIV | D | T-20-U | | | | 0,0797 |
| GV | A | L-20-D | | | | 0,0974 |
| GV | A | L-20-U | | | | 0,0749 |
| GV | A | L-39-D | | | 0,4908 | 0,1328 |
| GV | D | L-0-U | | | | 0,0617 |
| GV | D | T-0-U | | | | 0,058 |
| GV | D | T-10-U | | | | 0,0606 |
| GV | D | T-20-D | 0,01178 | 0,516 | | 0,0953 |
| GV | D | T-20-U | | | | 0,0743 |
| HS748A | A | D-30 | | | 0,45813 | 0,13849 |
| HS748A | A | D-INTR | | | | 0,106745 |
| HS748A | D | INTR | | | | 0,088176 |

▼**M2**

| Oznaka zrakoplova (ACFT_ID) | Tip operacije (OP_TYPE) | Oznaka zakrilca (FLAP_ID) | B (ft/lb) | C (kt/√lb) | D (kt/√lb) | R |
|---|---|---|---|---|---|---|
| HS748A | D | TO | 0,012271 | 0,542574 | | 0,101351 |
| HS748A | D | ZERO | | | | 0,075 |
| IA1125 | A | D-40 | | | 0,967478 | 0,136393 |
| IA1125 | A | D-INTR | | | | 0,118618 |
| IA1125 | D | 12 | 0,040745 | 0,963488 | | 0,100843 |
| IA1125 | D | INTR | | | | 0,085422 |
| IA1125 | D | ZERO | | | | 0,07 |
| L1011 | A | D-33 | | | 0,286984 | 0,137671 |
| L1011 | A | D-42 | | | 0,256389 | 0,155717 |
| L1011 | D | 10 | 0,004561 | 0,265314 | | 0,093396 |
| L1011 | D | 22 | 0,004759 | 0,251916 | | 0,105083 |
| L1011 | D | INTR | | | | 0,07959 |
| L1011 | D | ZERO | | | | 0,06243 |
| L10115 | A | D-33 | | | 0,262728 | 0,140162 |
| L10115 | A | D-42 | | | 0,256123 | 0,155644 |
| L10115 | D | 10 | 0,004499 | 0,265314 | | 0,093396 |
| L10115 | D | 22 | 0,004695 | 0,251916 | | 0,105083 |
| L10115 | D | INTR | | | | 0,07959 |
| L10115 | D | ZERO | | | | 0,06243 |
| L188 | A | D-100 | | | 0,436792 | 0,174786 |
| L188 | A | D-78-% | | | 0,456156 | 0,122326 |
| L188 | D | 39-% | 0,009995 | 0,420533 | | 0,142992 |
| L188 | D | 78-% | 0,010265 | 0,404302 | | 0,159974 |
| L188 | D | INTR | | | | 0,120987 |
| L188 | D | ZERO | | | | 0,082 |

▼**M2**

| Oznaka zrakoplova (ACFT_ID) | Tip operacije (OP_TYPE) | Oznaka zakrilca (FLAP_ID) | B (ft/lb) | C (kt/√lb) | D (kt/√lb) | R |
|---|---|---|---|---|---|---|
| LEAR25 | A | D-40 | | | 1,28239 | 0,176632 |
| LEAR25 | A | D-INTR | | | | 0,149986 |
| LEAR25 | D | 10 | | | | 0,09667 |
| LEAR25 | D | 20 | 0,082866 | 1,27373 | | 0,12334 |
| LEAR25 | D | ZERO | | | | 0,07 |
| LEAR35 | A | D-40 | | | 1,08756 | 0,150688 |
| LEAR35 | A | D-INTR | | | | 0,129456 |
| LEAR35 | D | 10 | | | | 0,089112 |
| LEAR35 | D | 20 | 0,043803 | 1,05985 | | 0,108224 |
| LEAR35 | D | ZERO | | | | 0,07 |
| MD11GE | D | 10 | 0,003812 | 0,2648 | | 0,0843 |
| MD11GE | D | 15 | 0,003625 | 0,2578 | | 0,0891 |
| MD11GE | D | 20 | 0,003509 | 0,2524 | | 0,0947 |
| MD11GE | D | 25 | 0,003443 | 0,2481 | | 0,1016 |
| MD11GE | D | 0/EXT | | | | 0,0692 |
| MD11GE | D | 0/RET | | | | 0,0551 |
| MD11GE | D | ZERO | | | | 0,0551 |
| MD11PW | D | 10 | 0,003829 | 0,265 | | 0,08425 |
| MD11PW | D | 15 | 0,003675 | 0,2576 | | 0,08877 |
| MD11PW | D | 20 | 0,003545 | 0,2526 | | 0,09472 |
| MD11PW | D | 25 | 0,003494 | 0,2487 | | 0,1018 |
| MD11PW | D | 0/EXT | | | | 0,0691 |
| MD11PW | D | 0/RET | | | | 0,05512 |
| MD11PW | D | ZERO | | | | 0,05512 |
| MD81 | D | 11 | 0,009276 | 0,4247 | | 0,07719 |

▼**M2**

| Oznaka zrakoplova (ACFT_ID) | Tip operacije (OP_TYPE) | Oznaka zakrilca (FLAP_ID) | B (ft/lb) | C (kt/√lb) | D (kt/√lb) | R |
|---|---|---|---|---|---|---|
| MD81 | D | INT1 | | | | 0,07643 |
| MD81 | D | INT2 | | | | 0,06313 |
| MD81 | D | INT3 | | | | 0,06156 |
| MD81 | D | INT4 | | | | 0,06366 |
| MD81 | D | T_15 | 0,009369 | 0,420798 | | 0,0857 |
| MD81 | D | T_INT | | | | 0,0701 |
| MD81 | D | T_ZERO | | | | 0,061 |
| MD81 | D | ZERO | | | | 0,06761 |
| MD82 | D | 11 | 0,009248 | 0,4236 | | 0,07969 |
| MD82 | D | INT1 | | | | 0,07625 |
| MD82 | D | INT2 | | | | 0,06337 |
| MD82 | D | INT3 | | | | 0,06196 |
| MD82 | D | INT4 | | | | 0,0634 |
| MD82 | D | T_15 | 0,009267 | 0,420216 | | 0,086 |
| MD82 | D | T_INT | | | | 0,065 |
| MD82 | D | T_ZERO | | | | 0,061 |
| MD82 | D | ZERO | | | | 0,06643 |
| MD83 | D | 11 | 0,009301 | 0,4227 | | 0,0798 |
| MD83 | D | INT1 | | | | 0,07666 |
| MD83 | D | INT2 | | | | 0,0664 |
| MD83 | D | INT3 | | | | 0,06247 |
| MD83 | D | INT4 | | | | 0,06236 |
| MD83 | D | T_15 | 0,009384 | 0,420307 | | 0,086 |
| MD83 | D | T_INT | | | | 0,0664 |
| MD83 | D | T_ZERO | | | | 0,0611 |

▼**M2**

| Oznaka zrakoplova (ACFT_ID) | Tip operacije (OP_TYPE) | Oznaka zakrilca (FLAP_ID) | B (ft/lb) | C (kt/√lb) | D (kt/√lb) | R |
|---|---|---|---|---|---|---|
| MD83 | D | ZERO | | | | 0,06573 |
| MD9025 | A | D-28 | | | 0,4118 | 0,1181 |
| MD9025 | A | D-40 | | | 0,4003 | 0,1412 |
| MD9025 | A | U-0 | | | 0,4744 | 0,0876 |
| MD9025 | D | EXT/06 | 0,010708 | 0,458611 | | 0,070601 |
| MD9025 | D | EXT/11 | 0,009927 | 0,441118 | | 0,073655 |
| MD9025 | D | EXT/18 | 0,009203 | 0,421346 | | 0,083277 |
| MD9025 | D | EXT/24 | 0,008712 | 0,408301 | | 0,090279 |
| MD9025 | D | RET/0 | | | | 0,05186 |
| MD9028 | A | D-28 | | | 0,4118 | 0,1181 |
| MD9028 | A | D-40 | | | 0,4003 | 0,1412 |
| MD9028 | A | U-0 | | | 0,4744 | 0,0876 |
| MD9028 | D | EXT/06 | 0,010993 | 0,463088 | | 0,070248 |
| MD9028 | D | EXT/11 | 0,010269 | 0,446501 | | 0,072708 |
| MD9028 | D | EXT/18 | 0,009514 | 0,426673 | | 0,082666 |
| MD9028 | D | EXT/24 | 0,008991 | 0,413409 | | 0,090018 |
| MD9028 | D | RET/0 | | | | 0,05025 |
| MU3001 | A | D-30 | | | 1,07308 | 0,147487 |
| MU3001 | A | D-INTR | | | | 0,114684 |
| MU3001 | D | 1 | 0,065703 | 1,1529 | | 0,08188 |
| MU3001 | D | 10 | 0,055318 | 1,0729 | | 0,09285 |
| MU3001 | D | ZERO | | | | 0,07 |
| PA30 | A | 27-A | | | 1,316667 | 0,104586 |
| PA30 | A | ZERO-A | | | | 0,078131 |
| PA30 | D | 15-D | 0,100146 | 1,166667 | | 0,154071 |

▼**M2**

| Oznaka zrakoplova (ACFT_ID) | Tip operacije (OP_TYPE) | Oznaka zakrilca (FLAP_ID) | B (ft/lb) | C (kt/√lb) | D (kt/√lb) | R |
|---|---|---|---|---|---|---|
| PA30 | D | ZERO-D | | | | 0,067504 |
| PA42 | A | 30-DN | | | 1,09213 | 0,14679 |
| PA42 | A | ZERO-A | | | | 0,087856 |
| PA42 | D | ZER-DN | 0,06796 | 1,011055 | | 0,08088 |
| PA42 | D | ZERO | | | | 0,087856 |
| PA42 | D | ZERO-C | | | | 0,139096 |
| PA42 | D | ZERO-T | | | | 0,07651 |
| SD330 | A | D-15 | | | 0,746802 | 0,109263 |
| SD330 | A | D-35 | | | 0,702872 | 0,143475 |
| SD330 | D | 10 | 0,031762 | 0,727556 | | 0,138193 |
| SD330 | D | INTR | | | | 0,106596 |
| SD330 | D | ZERO | | | | 0,075 |
| SF340 | A | D-35 | | | 0,75674 | 0,147912 |
| SF340 | A | D-INTR | | | | 0,111456 |
| SF340 | D | 5 | | | | 0,105831 |
| SF340 | D | 15 | 0,026303 | 0,746174 | | 0,136662 |
| SF340 | D | ZERO | | | | 0,075 |

▼M2

*Tablica I-2*

**Zrakoplovi**

| ACFTID | Opis | Tip motora | Broj motora | Klasifikacija po masi | Kategorija vlasnika | MGTOW (lb) | MGLW (lb) | Najveća duljina za slijetanje (ft) | Najveća razina statičkog potiska na razini mora (lb) | Poglavlje o buci | NPD oznaka (NPD_ID) | Parametar snage | Oznaka spektralne klase za prilaz | Oznaka spektralne klase za odlet | Oznaka lateralne usmjerenosti |
|---|---|---|---|---|---|---|---|---|---|---|---|---|---|---|---|
| 1900D | Beech 1900D/PT6A67 | Turboelisni | 2 | Veliki | Komercijalni | 16 950 | 14 940 | 1 696 | 3 367 | 1 | PT6A67 | CNT (lb) | 213 | 109 | Elisa |
| 707 | Boeing 707-120/JT3C | Mlazni | 4 | Teški | Komercijalni | 302 400 | 188 900 | 6 682 | 10 120 | 1 | JT4A | CNT (lb) | 208 | 107 | Krilo |
| 707120 | Boeing 707-120B/JT3D-3 | Mlazni | 4 | Teški | Komercijalni | 302 400 | 188 900 | 6 893 | 14 850 | 1 | JT3D | CNT (lb) | 208 | 107 | Krilo |
| 707320 | Boeing 707-320B/JT3D-7 | Mlazni | 4 | Teški | Komercijalni | 334 000 | 247 000 | 5 622 | 19 000 | 1 | JT3D | CNT (lb) | 208 | 107 | Krilo |
| 707QN | Boeing 707-320B/JT3D-7QN | Mlazni | 4 | Teški | Komercijalni | 334 000 | 247 000 | 5 622 | 19 000 | 2 | JT3DQ | CNT (lb) | 208 | 106 | Krilo |
| 717200 | Boeing 717-200/BR 715 | Mlazni | 2 | Veliki | Komercijalni | 121 000 | 110 000 | 4 600 | 18 000 | 3 | BR715 | CNT (lb) | 203 | 105 | Trup |
| 720 | Boeing 720/JT3C | Mlazni | 4 | Veliki | Komercijalni | 223 500 | 155 600 | 4 871 | 10 120 | 1 | JT4A | CNT (lb) | 208 | 107 | Krilo |
| 720B | Boeing 720B/JT3D-3 | Mlazni | 4 | Veliki | Komercijalni | 234 000 | 175 000 | 5 717 | 18 000 | 1 | JT3D | CNT (lb) | 208 | 107 | Krilo |
| 727100 | Boeing 727-100/JT8D-7 | Mlazni | 3 | Veliki | Komercijalni | 169 500 | 142 500 | 4 867 | 14 000 | 1 | 3JT8D | CNT (lb) | 201 | 101 | Trup |
| 727200 | Boeing 727-200/JT8D-7 | Mlazni | 3 | Veliki | Komercijalni | 217 600 | 163 300 | 5 571 | 11 895 | 1 | 3JT8D | CNT (lb) | 201 | 101 | Trup |
| 727D15 | Boeing 727-200/JT8D-15 | Mlazni | 3 | Veliki | Komercijalni | 208 000 | 169 000 | 4 922 | 15 500 | 1 | 3JT8D | CNT (lb) | 201 | 101 | Trup |
| 727D17 | Boeing 727-200/JT8D-17 | Mlazni | 3 | Veliki | Komercijalni | 208 000 | 169 000 | 5 444 | 16 000 | 2 | 3JT8DQ | CNT (lb) | 201 | 101 | Trup |
| 727EM1 | FEDX 727-100/JT8D-7 | Mlazni | 3 | Veliki | Komercijalni | 169 500 | 142 500 | 4 867 | 14 000 | 3 | 3JT8E7 | CNT (lb) | 201 | 101 | Trup |

▼M2

| ACFTID | Opis | Tip motora | Broj motora | Klasifikacija po masi | Kategorija vlasnika | MGTOW (lb) | MGLW (lb) | Najveća duljina za slijetanje (ft) | Najveća razina statičkog potiska na razini mora (lb) | Poglavlje o buci | NPD oznaka (NPD_ID) | Parametar snage | Oznaka spektralne klase za prilaz | Oznaka spektralne klase za odlet | Oznaka lateralne usmjerenosti |
|---|---|---|---|---|---|---|---|---|---|---|---|---|---|---|---|
| 727EM2 | FEDX 727-200/JT8D-15 | Mlazni | 3 | Veliki | Komercijalni | 208 000 | 169 000 | 4 922 | 15 500 | 3 | 3JT8E5 | CNT (lb) | 201 | 101 | Trup |
| 727Q15 | Boeing 727-200/JT8D-15QN | Mlazni | 3 | Veliki | Komercijalni | 208 000 | 169 000 | 4 922 | 15 500 | 2 | 3JT8DQ | CNT (lb) | 201 | 101 | Trup |
| 727Q7 | Boeing 727-100/JT8D-7QN | Mlazni | 3 | Veliki | Komercijalni | 169 500 | 142 500 | 4 867 | 14 000 | 2 | 3JT8DQ | CNT (lb) | 201 | 101 | Trup |
| 727Q9 | Boeing 727-200/JT8D-9 | Mlazni | 3 | Veliki | Komercijalni | 191 000 | 160 000 | 5 444 | 14 500 | 2 | 3JT8DQ | CNT (lb) | 201 | 101 | Trup |
| 727QF | UPS 727-100 22C 25C | Mlazni | 3 | Veliki | Komercijalni | 169 000 | 142 500 | 4 448 | 15 380 | 3 | TAY651 | CNT (lb) | 201 | 101 | Trup |
| 737 | Boeing 737/JT8D-9 | Mlazni | 2 | Veliki | Komercijalni | 109 000 | 98 000 | 3 900 | 14 500 | 1 | 2JT8DW | CNT (lb) | 201 | 101 | Krilo |
| 737300 | Boeing 737-300/CFM56-3B-1 | Mlazni | 2 | Veliki | Komercijalni | 135 000 | 114 000 | 4 580 | 20 000 | 3 | CFM563 | CNT (lb) | 202 | 102 | Krilo |
| 7373B2 | Boeing 737-300/CFM56-3B-2 | Mlazni | 2 | Veliki | Komercijalni | 139 500 | 114 000 | 4 580 | 22 000 | 3 | CFM563 | CNT (lb) | 202 | 102 | Krilo |
| 737400 | Boeing 737-400/CFM56-3C-1 | Mlazni | 2 | Veliki | Komercijalni | 150 000 | 124 000 | 5 062 | 23 500 | 3 | CFM563 | CNT (lb) | 202 | 102 | Krilo |
| 737500 | Boeing 737-500/CFM56-3C-1 | Mlazni | 2 | Veliki | Komercijalni | 133 500 | 111 000 | 4 551 | 20 000 | 3 | CFM563 | CNT (lb) | 202 | 102 | Krilo |
| 737700 | Boeing 737-700/CFM56-7B24 | Mlazni | 2 | Veliki | Komercijalni | 154 500 | 129 200 | 4 445 | 24 000 | 3 | CF567B | CNT (lb) | 203 | 104 | Krilo |
| 737800 | Boeing 737-800/CFM56-7B26 | Mlazni | 2 | Veliki | Komercijalni | 174 200 | 146 300 | 5 435 | 26 300 | 3 | CF567B | CNT (lb) | 203 | 104 | Krilo |
| 737D17 | Boeing 737-200/JT8D-17 | Mlazni | 2 | Veliki | Komercijalni | 124 000 | 107 000 | 4 244 | 16 000 | 2 | 2JT8QW | CNT (lb) | 201 | 101 | Krilo |

▼M2

| ACFTID | Opis | Tip motora | Broj motora | Klasifikacija po masi | Kategorija vlasnika | MGTOW (lb) | MGLW (lb) | Najveća duljina za slijetanje (ft) | Najveća razina statičkog potiska na razini mora (lb) | Poglavlje o buci | NPD oznaka (NPD_ID) | Parametar snage | Oznaka spektralne klase za prilaz | Oznaka spektralne klase za odlet | Oznaka lateralne usmjerenosti |
|---|---|---|---|---|---|---|---|---|---|---|---|---|---|---|---|
| 737N17 | Boeing 737-200/JT8D-17 Nordam B737 LGW Hushkit | Mlazni | 2 | Veliki | Komercijalni | 124 000 | 107 000 | 4 244 | 16 000 | 3 | 2JT8DN | CNT (lb) | 202 | 104 | Krilo |
| 737N9 | Boeing 737/JT8D-9 Nordam B737 LGW Hushkit | Mlazni | 2 | Veliki | Komercijalni | 109 000 | 98 000 | 3 900 | 14 500 | 3 | 2JT8DN | CNT (lb) | 202 | 104 | Krilo |
| 737QN | Boeing 737/JT8D-9QN | Mlazni | 2 | Veliki | Komercijalni | 109 000 | 98 000 | 3 900 | 14 500 | 2 | 2JT8QW | CNT (lb) | 201 | 101 | Krilo |
| 747100 | Boeing 747-100/JT9DBD | Mlazni | 4 | Teški | Komercijalni | 733 000 | 516 600 | 5 727 | 33 042 | 2 | JT9DBD | CNT (lb) | 209 | 107 | Krilo |
| 74710Q | Boeing 747-100/JT9D-7QN | Mlazni | 4 | Teški | Komercijalni | 733 000 | 564 000 | 6 200 | 45 500 | 3 | JT9DFL | CNT (lb) | 207 | 107 | Krilo |
| 747200 | Boeing 747-200/JT9D-7 | Mlazni | 4 | Teški | Komercijalni | 775 000 | 564 000 | 6 200 | 45 500 | 3 | JT9DFL | CNT (lb) | 207 | 107 | Krilo |
| 74720A | Boeing 747-200/JT9D-7A | Mlazni | 4 | Teški | Komercijalni | 785 000 | 564 000 | 6 200 | 46 300 | 3 | JT9D7Q | CNT (lb) | 207 | 107 | Krilo |
| 74720B | Boeing 747-200/JT9D-7Q | Mlazni | 4 | Teški | Komercijalni | 800 000 | 630 000 | 6 200 | 53 000 | 3 | JT9D7Q | CNT (lb) | 207 | 107 | Krilo |
| 747400 | Boeing 747-400/PW4056 | Mlazni | 4 | Teški | Komercijalni | 875 000 | 652 000 | 6 989 | 56 800 | 3 | PW4056 | CNT (lb) | 207 | 107 | Krilo |
| 7478 | Boeing 747-8F/GEnx-2B67 | Mlazni | 4 | Teški | Komercijalni | 987 000 | 757 000 | 7 900 | 68 000 | 4 | GENX67 | CNT (lb) | 205 | 107 | Krilo |
| 747SP | Boeing 747SP/JT9D-7 | Mlazni | 4 | Teški | Komercijalni | 702 000 | 475 000 | 5 911 | 45 500 | 3 | JT9DFL | CNT (lb) | 207 | 107 | Krilo |
| 757300 | Boeing 757-300/RB211-535E4B | Mlazni | 2 | Veliki | Komercijalni | 275 000 | 224 000 | 5 651 | 43 100 | 3 | RR535E | CNT (lb) | 203 | 103 | Krilo |
| 757PW | Boeing 757-200/PW2037 | Mlazni | 2 | Veliki | Komercijalni | 255 000 | 210 000 | 4 790 | 38 300 | 3 | PW2037 | CNT (lb) | 203 | 103 | Krilo |

▼M2

| ACFTID | Opis | Tip motora | Broj motora | Klasifikacija po masi | Kategorija vlasnika | MGTOW (lb) | MGLW (lb) | Najveća duljina za slijetanje (ft) | Najveća razina statičkog potiska na razini mora (lb) | Poglavlje o buci | NPD oznaka (NPD_ID) | Parametar snage | Oznaka spektralne klase za prilaz | Oznaka spektralne klase za odlet | Oznaka lateralne usmjerenosti |
|---|---|---|---|---|---|---|---|---|---|---|---|---|---|---|---|
| 757RR | Boeing 757-200/RB211-535E4 | Mlazni | 2 | Veliki | Komercijalni | 255 000 | 210 000 | 4 640 | 40 100 | 3 | RR535E | CNT (lb) | 203 | 103 | Krilo |
| 767300 | Boeing 767-300/PW4060 | Mlazni | 2 | Teški | Komercijalni | 407 000 | 320 000 | 4 710 | 60 000 | 3 | 2CF680 | CNT (lb) | 203 | 103 | Krilo |
| 767400 | Boeing 767-400ER/CF6-80C2B(F) | Mlazni | 2 | Teški | Komercijalni | 450 000 | 340 000 | 6 000 | 58 685 | 3 | CF680C | CNT (lb) | 205 | 102 | Krilo |
| 767CF6 | Boeing 767-200/CF6-80A | Mlazni | 2 | Teški | Komercijalni | 315 500 | 270 000 | 4 700 | 48 000 | 3 | 2CF680 | CNT (lb) | 203 | 103 | Krilo |
| 767JT9 | Boeing 767-200/JT9D-7R4D | Mlazni | 2 | Teški | Komercijalni | 351 000 | 270 000 | 4 744 | 48 000 | 3 | 2CF680 | CNT (lb) | 203 | 103 | Krilo |
| 777200 | Boeing 777-200/GE90-76B | Mlazni | 2 | Teški | Komercijalni | 656 000 | 470 000 | 4 450 | 90 000 | 3 | GE90 | CNT (lb) | 205 | 105 | Krilo |
| 777300 | Boeing 777-300/Trent 892 | Mlazni | 2 | Teški | Komercijalni | 660 000 | 524 000 | 6 012 | 77 000 | 0 | TRENT8 | CNT (lb) | 203 | 105 | Krilo |
| 7773ER | Boeing 777-300ER/GE90-115B-EIS | Mlazni | 2 | Teški | Komercijalni | 775 000 | 554 000 | 5 805 | 115 000 | 3 | GE9015 | CNT (lb) | 204 | 107 | Krilo |
| 7878R | Boeing 787-8/T1000-C/01 Family Plan Cert | Mlazni | 2 | Teški | Komercijalni | 502 500 | 380 000 | 5 090 | 70 000 | 4 | T1KBFP | CNT (lb) | 205 | 103 | Krilo |
| A300-622R | Airbus A300-622R/PW4158 | Mlazni | 2 | Teški | Komercijalni | 378 533 | 308 647 | 4 735 | 58 000 | 3 | PW4158 | CNT (lb) | 202 | 103 | Krilo |
| A300B4-203 | Airbus A300B4-200/CF6-50C2 | Mlazni | 2 | Teški | Komercijalni | 364 000 | 295 000 | 5 367 | 52 500 | 3 | 2CF650 | CNT (lb) | 203 | 103 | Krilo |
| A310-304 | Airbus A310-304/GE CF6-80C2A2 | Mlazni | 2 | Teški | Komercijalni | 346 126 | 273 373 | 4 682 | 53 500 | 3 | A310 | CNT (lb) | 204 | 103 | Krilo |
| A319-131 | Airbus A319-131/V2522-A5 | Mlazni | 2 | Veliki | Komercijalni | 166 449 | 137 789 | 4 364 | 22 000 | 3 | V2522A | CNT (lb) | 205 | 103 | Krilo |

▼M2

| ACFTID | Opis | Tip motora | Broj motora | Klasifikacija po masi | Kategorija vlasnika | MGTOW (lb) | MGLW (lb) | Najveća duljina za slijetanje (ft) | Najveća razina statičkog potiska na razini mora (lb) | Poglavlje o buci | NPD oznaka (NPD_ID) | Parametar snage | Oznaka spektralne klase za prilaz | Oznaka spektralne klase za odlet | Oznaka lateralne usmjerenosti |
|---|---|---|---|---|---|---|---|---|---|---|---|---|---|---|---|
| A320-211 | Airbus A320-211/ CFM56-5A1 | Mlazni | 2 | Veliki | Komercijalni | 169 756 | 142 198 | 4 753 | 25 000 | 3 | CFM565 | CNT (lb) | 202 | 103 | Krilo |
| A320-232 | Airbus A320-232/V2527-A5 | Mlazni | 2 | Veliki | Komercijalni | 169 756 | 145 505 | 4 917 | 26 500 | 3 | V2527A | CNT (lb) | 205 | 103 | Krilo |
| A321-232 | Airbus A321-232/IAE V2530-A5 | Mlazni | 2 | Veliki | Komercijalni | 196 211 | 166 449 | 5 587 | 30 000 | 3 | V2530 | CNT (lb) | 202 | 103 | Krilo |
| A330-301 | Airbus A330-301/GE CF6-80 E1A2 | Mlazni | 2 | Teški | Komercijalni | 478 400 | 383 604 | 5 966 | 67 500 | 3 | CF680E | CNT (lb) | 202 | 102 | Krilo |
| A330-343 | Airbus A330-343/RR Trent 772B | Mlazni | 2 | Teški | Komercijalni | 513 677 | 412 264 | 5 512 | 71 100 | 3 | TRENT7 | CNT (lb) | 205 | 102 | Krilo |
| A340-211 | Airbus A340-211/ CFM56-5C2 | Mlazni | 4 | Teški | Komercijalni | 573 200 | 399 036 | 5 900 | 31 200 | 3 | CF565C | CNT (lb) | 206 | 107 | Krilo |
| A340-642 | Airbus A340-642/RR Trent 556 | Mlazni | 4 | Teški | Komercijalni | 804 687 | 564 383 | 6 919 | 56 000 | 4 | TRENT5 | CNT (lb) | 205 | 102 | Krilo |
| A380-841 | Airbus A380-841/RR Trent 970 | Mlazni | 4 | Teški | Komercijalni | 1 254 430 | 862 007 | 6 752 | 70 000 | 4 | TRENT9 | CNT (lb) | 205 | 105 | Krilo |
| A380-861 | Airbus A380-861/EA GP7270 | Mlazni | 4 | Teški | Komercijalni | 1 254 430 | 862 007 | 6 837 | 70 000 | 4 | GP7270 | CNT (lb) | 206 | 105 | Krilo |
| BAC111 | BAC 111/SPEY MK511-14 | Mlazni | 2 | Veliki | Komercijalni | 89 600 | 82 000 | 4 449 | 11 400 | 2 | 2JT8D | CNT (lb) | 201 | 101 | Trup |
| BAE146 | BAe 146-200/ALF502R-5 | Mlazni | 4 | Veliki | Komercijalni | 93 000 | 81 000 | 3 770 | 6 970 | 3 | AL502R | CNT (lb) | 206 | 108 | Krilo |
| BAE300 | BAe 146-300/ALF502R-5 | Mlazni | 4 | Veliki | Komercijalni | 97 500 | 84 500 | 3 960 | 6 970 | 3 | AL502R | CNT (lb) | 206 | 108 | Krilo |

▼M2

| ACFTID | Opis | Tip motora | Broj motora | Klasifikacija po masi | Kategorija vlasnika | MGTOW (lb) | MGLW (lb) | Najveća duljina za slijetanje (ft) | Najveća razina statičkog potiska na razini mora (lb) | Poglavlje o buci | NPD oznaka (NPD_ID) | Parametar snage | Oznaka spektralne klase za prilaz | Oznaka spektralne klase za odlet | Oznaka lateralne usmjerenosti |
|---|---|---|---|---|---|---|---|---|---|---|---|---|---|---|---|
| BEC58P | Raytheon BARON 58P/ TS10-520-L | Klipni | 2 | Mali | Opće zrakoplovstvo | 6 100 | 6 100 | 2 733 | 779 | 0 | TSIO52 | CNT (% maksimalnog statičkog potiska) | 215 | 109 | Elisa |
| CIT3 | Cessna Citation III/ TFE731-3-100S | Mlazni | 2 | Veliki | Opće zrakoplovstvo | 20 000 | 17 000 | 2 770 | 3 650 | 3 | TF7313 | CNT (lb) | 216 | 113 | Trup |
| CL600 | Canadair CL-600/ ALF502L | Mlazni | 2 | Veliki | Opće zrakoplovstvo | 36 000 | 33 000 | 3 300 | 7 500 | 3 | AL502L | CNT (lb) | 216 | 113 | Trup |
| CL601 | Canadair CL-601/CF34-3A | Mlazni | 2 | Veliki | Opće zrakoplovstvo | 43 100 | 36 000 | 3 550 | 9 220 | 3 | CF34 | CNT (lb) | 216 | 113 | Trup |
| CNA172 | Cessna 172R/Lycoming IO-360-L2A | Klipni | 1 | Mali | Opće zrakoplovstvo | 2 450 | 2 450 | 1 695 | 436 | 0 | IO360L | CNT (% maksimalnog statičkog potiska) | 215 | 109 | Elisa |
| CNA182 | Cessna 182H/Continental O-470-R | Klipni | 1 | Mali | Opće zrakoplovstvo | 2 800 | 2 800 | 1 544 | 965 | 2 | O470R | CNT (lb) | 215 | 113 | Elisa |
| CNA206 | Cessna 206H/Lycoming IO-540-AC | Klipni | 1 | Mali | Opće zrakoplovstvo | 3 600 | 3 600 | 1 880 | 798 | 0 | IO540 | Drugo (RPM) | 215 | 109 | Elisa |
| CNA208 | Cessna 208/PT6A-114 | Turboelisni | 1 | Mali | Opće zrakoplovstvo | 8 750 | 8 500 | 1 740 | 2 300 | 3 | PT6A114 | CNT (lb) | 210 | 109 | Elisa |
| CNA20T | Cessna T206H/Lycoming TIO-540-AJ1A | Klipni | 1 | Mali | Opće zrakoplovstvo | 3 600 | 3 600 | 1 880 | 825 | 0 | TIO540 | Drugo (RPM) | 215 | 109 | Elisa |
| CNA441 | Cessna CONQUEST II /TPE331-8 | Turboelisni | 2 | Mali | Komercijalni | 9 900 | 9 400 | 1 939 | 1 535 | 0 | TPE331 | CNT (% maksimalnog statičkog potiska) | 210 | 111 | Elisa |

▼M2

| ACFTID | Opis | Tip motora | Broj motora | Klasifikacija po masi | Kategorija vlasnika | MGTOW (lb) | MGLW (lb) | Najveća duljina za slijetanje (ft) | Najveća razina statičkog potiska na razini mora (lb) | Poglavlje o buci | NPD oznaka (NPD_ID) | Parametar snage | Oznaka spektralne klase za prilaz | Oznaka spektralne klase za odlet | Oznaka lateralne usmjerenosti |
|---|---|---|---|---|---|---|---|---|---|---|---|---|---|---|---|
| CNA500 | Cessna Citation II/JT15D-4 | Mlazni | 2 | Veliki | Opće zrakoplovstvo | 14 700 | 14 000 | 3 050 | 2 500 | 3 | JT15D1 | CNT (lb) | 216 | 113 | Trup |
| CNA510 | Cessna Mustang Model 510/PW615F | Mlazni | 2 | Mali | Komercijalni | 8 645 | 7 200 | 3 010 | 1 466 | 0 | PW615F | CNT (lb) | 203 | 113 | Trup |
| CNA525C | Cessna Citation CJ4 525C /FJ44-4A | Mlazni | 2 | Mali | Komercijalni | 16 950 | 15 500 | 3 010 | 3 600 | 4 | FJ44-4 | CNT (lb) | 235 | 136 | Trup |
| CNA55B | Cessna 550 Citation Bravo/PW530A | Mlazni | 2 | Veliki | Opće zrakoplovstvo | 14 800 | 13 500 | 3 010 | 2 863 | 0 | PW530A | CNT (lb) | 203 | 113 | Trup |
| CNA560E | Cessna Citation Encore 560/PW535A | Mlazni | 2 | Mali | Komercijalni | 16 300 | 13 680 | 3 000 | 3 313 | 3 | 2PW535 | CNT (lb) | 238 | 138 | Trup |
| CNA560U | Cessna Citation Ultra 560/ JT15D-5D | Mlazni | 2 | Mali | Komercijalni | 16 300 | 13 680 | 2 700 | 3 029 | 3 | 2J155D | CNT (lb) | 237 | 113 | Trup |
| CNA560-XL | Cessna Citation Excel 560/PW545A | Mlazni | 2 | Mali | Komercijalni | 20 000 | 16 830 | 3 000 | 3 824 | 3 | PW545A | CNT (lb) | 238 | 137 | Trup |
| CNA680 | Cessna Citation Sovereign 680/PW306C | Mlazni | 2 | Mali | Komercijalni | 30 000 | 24 390 | 3 010 | 5 749 | 3 | PW306C | CNT (lb) | 236 | 136 | Trup |
| CNA750 | Cessna Citation X/Rolls Royce Allison AE3007C | Mlazni | 2 | Veliki | Opće zrakoplovstvo | 35 700 | 31 800 | 3 500 | 6 407 | 3 | AE300C | CNT (lb) | 202 | 105 | Trup |
| CONCRD | Concorde/OLY593 | Mlazni | 4 | Teški | Komercijalni | 400 000 | 245 000 | 10 600 | 38 100 | 0 | OLY593 | CNT (lb) | 206 | 106 | Krilo |
| CRJ9-ER | Bombardier CL-600-2D15/CL-600-2D24/ CF34-8C5 | Mlazni | 2 | Veliki | Komercijalni | 82 500 | 73 500 | 5 779 | 13 525 | 3 | CF348C5 | CNT (lb) | 216 | 113 | Trup |

▼M2

| ACFTID | Opis | Tip motora | Broj motora | Klasifikacija po masi | Kategorija vlasnika | MGTOW (lb) | MGLW (lb) | Najveća duljina za slijetanje (ft) | Najveća razina statičkog potiska na razini mora (lb) | Poglavlje o buci | NPD oznaka (NPD_ID) | Parametar snage | Oznaka spektralne klase za prilaz | Oznaka spektralne klase za odlet | Oznaka lateralne usmjerenosti |
|---|---|---|---|---|---|---|---|---|---|---|---|---|---|---|---|
| CRJ9-LR | Bombardier CL-600-2D15/CL-600-2D24/ CF34-8C5 | Mlazni | 2 | Veliki | Komercijalni | 84 500 | 75 100 | 5 680 | 13 525 | 3 | CF348C5 | CNT (lb) | 216 | 113 | Trup |
| CVR580 | Convair CV-580/ALL 501-D15 | Turboelisni | 2 | Veliki | Komercijalni | 58 000 | 52 000 | 4 256 | 8 100 | 0 | 501D13 | CNT (% maksimalnog statičkog potiska) | 214 | 112 | Elisa |
| DC1010 | McDonnell Douglas DC10-10/CF6-6D | Mlazni | 3 | Teški | Komercijalni | 455 000 | 363 000 | 5 820 | 40 000 | 3 | CF66D | CNT (lb) | 203 | 101 | Krilo |
| DC1030 | McDonnell Douglas DC10-30/CF6-50C2 | Mlazni | 3 | Teški | Komercijalni | 572 000 | 403 000 | 5 418 | 53 200 | 3 | CF66D | CNT (lb) | 203 | 101 | Krilo |
| DC1040 | McDonnell Douglas DC10-40/JT9D-20 | Mlazni | 3 | Teški | Komercijalni | 555 000 | 403 000 | 6 020 | 49 400 | 3 | CF66D | CNT (lb) | 203 | 101 | Krilo |
| DC3 | Douglas DC-3/R1820-86 | Klipni | 2 | Veliki | Komercijalni | 28 000 | 24 500 | 2 222 | 3 120 | 0 | 2R2800 | CNT (% maksimalnog statičkog potiska) | 213 | 110 | Elisa |
| DC6 | Douglas DC-6/R2800-CB17 | Klipni | 4 | Veliki | Komercijalni | 106 000 | 95 000 | 3 010 | 4 180 | 0 | 4R2800 | CNT (% maksimalnog statičkog potiska) | 213 | 110 | Elisa |
| DC820 | Douglas DC-8-20/JT4A | Mlazni | 4 | Teški | Komercijalni | 317 600 | 194 400 | 6 527 | 11 850 | 1 | JT4A | CNT (lb) | 208 | 107 | Krilo |
| DC850 | Douglas DC-8-50/JT3D-3B | Mlazni | 4 | Teški | Komercijalni | 325 000 | 240 000 | 5 400 | 18 000 | 1 | JT3D | CNT (lb) | 208 | 107 | Krilo |
| DC860 | Douglas DC-8-60/JT3D-7 | Mlazni | 4 | Teški | Komercijalni | 355 000 | 275 000 | 5 310 | 19 000 | 1 | JT3D | CNT (lb) | 208 | 107 | Krilo |

▼M2

| ACFTID | Opis | Tip motora | Broj motora | Klasifikacija po masi | Kategorija vlasnika | MGTOW (lb) | MGLW (lb) | Najveća duljina za slijetanje (ft) | Najveća razina statičkog potiska na razini mora (lb) | Poglavlje o buci | NPD oznaka (NPD_ID) | Parametar snage | Oznaka spektralne klase za prilaz | Oznaka spektralne klase za odlet | Oznaka lateralne usmjerenosti |
|---|---|---|---|---|---|---|---|---|---|---|---|---|---|---|---|
| DC870 | Douglas DC-8-70/ CFM56-2C-5 | Mlazni | 4 | Teški | Komercijalni | 355 000 | 258 000 | 6 500 | 22 000 | 3 | CFM562 | CNT (lb) | 206 | 106 | Krilo |
| DC8QN | Douglas DC-8-60/JT8D-7QN | Mlazni | 4 | Teški | Komercijalni | 355 000 | 275 000 | 5 310 | 19 000 | 2 | JT3DQ | CNT (lb) | 208 | 106 | Krilo |
| DC910 | McDonnell Douglas DC-9-10/JT8D-7 | Mlazni | 2 | Veliki | Komercijalni | 90 700 | 81 700 | 5 030 | 14 000 | 1 | 2JT8D | CNT (lb) | 201 | 101 | Trup |
| DC930 | McDonnell Douglas DC-9-30/JT8D-9 | Mlazni | 2 | Veliki | Komercijalni | 114 000 | 102 000 | 4 680 | 14 500 | 1 | 2JT8D | CNT (lb) | 201 | 101 | Trup |
| DC93LW | McDonnell Douglas DC-9-30/JT8D-9 w/ ABS Lightweight hushkit | Mlazni | 2 | Veliki | Komercijalni | 114 000 | 102 000 | 4 680 | 14 500 | 3 | 2JT8DL | CNT (lb) | 201 | 101 | Trup |
| DC950 | McDonnell Douglas DC-9-50/JT8D-17 | Mlazni | 2 | Veliki | Komercijalni | 121 000 | 110 000 | 4 880 | 16 000 | 2 | 2JT8DQ | CNT (lb) | 201 | 101 | Trup |
| DC95HW | McDonnell Douglas DC-9-50/JT8D17 w/ ABS Heavyweight hushkit | Mlazni | 2 | Veliki | Komercijalni | 121 000 | 110 000 | 4 880 | 16 000 | 3 | 2JT8DH | CNT (lb) | 201 | 101 | Trup |
| DC9Q7 | McDonnell Douglas DC-9-10/JT8D-7QN | Mlazni | 2 | Veliki | Komercijalni | 90 700 | 81 700 | 5 030 | 14 000 | 2 | 2JT8DQ | CNT (lb) | 201 | 101 | Trup |
| DC9Q9 | McDonnell Douglas DC-9-30/JT8D-9QN | Mlazni | 2 | Veliki | Komercijalni | 114 000 | 102 000 | 4 680 | 14 500 | 2 | 2JT8DQ | CNT (lb) | 201 | 101 | Trup |
| DHC6 | De Havilland DASH 6/ PT6A-27 | Turboelisni | 2 | Mali | Komercijalni | 12 500 | 12 300 | 1 500 | 2 000 | 0 | PT6A27 | CNT (% maksimalnog statičkog potiska) | 210 | 109 | Elisa |

▼M2

| ACFTID | Opis | Tip motora | Broj motora | Klasifikacija po masi | Kategorija vlasnika | MGTOW (lb) | MGLW (lb) | Najveća duljina za slijetanje (ft) | Najveća razina statičkog potiska na razini mora (lb) | Poglavlje o buci | NPD oznaka (NPD_ID) | Parametar snage | Oznaka spektralne klase za prilaz | Oznaka spektralne klase za odlet | Oznaka lateralne usmjerenosti |
|---|---|---|---|---|---|---|---|---|---|---|---|---|---|---|---|
| DHC6QP | De Havilland DASH 6/ PT6A-27 Raisbeck Quiet PropMod | Turboelisni | 2 | Mali | Komercijalni | 12 500 | 12 300 | 1 500 | 2 000 | 0 | RAISQP | CNT (% maksimalnog statičkog potiska) | 210 | 109 | Elisa |
| DHC7 | De Havilland DASH 7/ PT6A-50 | Turboelisni | 4 | Veliki | Komercijalni | 41 000 | 39 000 | 2 150 | 2 850 | 3 | PT6A50 | CNT (% maksimalnog statičkog potiska) | 213 | 112 | Elisa |
| DHC8 | Bombardier de Havilland DASH 8-100/PW121 | Turboelisni | 2 | Veliki | Komercijalni | 34 500 | 33 900 | 3 000 | 4 750 | 3 | PW120 | CNT (% maksimalnog statičkog potiska) | 213 | 112 | Elisa |
| DHC830 | Bombardier de Havilland DASH 8-300/PW123 | Turboelisni | 2 | Veliki | Komercijalni | 43 000 | 42 000 | 3 500 | 4 918 | 3 | PW120 | CNT (% maksimalnog statičkog potiska) | 213 | 112 | Elisa |
| DO228 | Dornier 228-202/TPE 311-5 | Turboelisni | 2 | Veliki | Komercijalni | 13 669 | 13 448 | 2 375 | 2 240 | 3 | TPE331-5 | CNT (lb) | 216 | 110 | Elisa |
| DO328 | Dornier 328-100/PW119C | Turboelisni | 2 | Veliki | Komercijalni | 30 843 | 29 167 | 3 825 | 6 745 | 3 | PW119C | CNT (lb) | 214 | 109 | Elisa |
| ECLIP-SE500 | Eclipse 500/PW610F | Mlazni | 2 | Mali | Opće zrakoplovstvo | 6 000 | 5 600 | 2 389 | 1 031 | 3 | PW610F | CNT (lb) | 201 | 103 | Trup |
| EMB120 | Embraer 120 ER/Pratt & Whitney PW118 | Turboelisni | 2 | Veliki | Komercijalni | 26 433 | 25 794 | 5 571 | 4 000 | 3 | EPW118 | CNT (lb) | 213 | 109 | Elisa |
| EMB145 | Embraer 145 ER/Allison AE3007 | Mlazni | 2 | Veliki | Komercijalni | 45 420 | 41 230 | 4 232 | 7 500 | 3 | AE3007 | CNT (lb) | 216 | 113 | Trup |
| EMB14L | Embraer 145 LR/Allison AE3007A1 | Mlazni | 2 | Veliki | Komercijalni | 48 500 | 42 550 | 4 232 | 7 500 | 3 | AE3007 | CNT (lb) | 216 | 113 | Trup |

▼M2

| ACFTID | Opis | Tip motora | Broj motora | Klasifikacija po masi | Kategorija vlasnika | MGTOW (lb) | MGLW (lb) | Najveća duljina za slijetanje (ft) | Najveća razina statičkog potiska na razini mora (lb) | Poglavlje o buci | NPD oznaka (NPD_ID) | Parametar snage | Oznaka spektralne klase za prilaz | Oznaka spektralne klase za odlet | Oznaka lateralne usmjerenosti |
|---|---|---|---|---|---|---|---|---|---|---|---|---|---|---|---|
| EMB170 | Embraer ERJ170-100 | Mlazni | 2 | Veliki | Komercijalni | 82 012 | 72 312 | 4 029 | 13 800 | 3 | CF348E | CNT (lb) | 216 | 113 | Krilo |
| EMB175 | Embraer ERJ170-200 | Mlazni | 2 | Veliki | Komercijalni | 85 517 | 74 957 | 4 130 | 13 800 | 3 | CF348E | CNT (lb) | 216 | 113 | Krilo |
| EMB190 | Embraer ERJ190-100 | Mlazni | 2 | Veliki | Komercijalni | 114 199 | 97 003 | 4 081 | 18 500 | 3 | CF3410E | CNT (lb) | 205 | 105 | Krilo |
| EMB195 | Embraer ERJ190-200 | Mlazni | 2 | Veliki | Komercijalni | 115 280 | 100 972 | 4 183 | 18 500 | 3 | CF3410E | CNT (lb) | 205 | 105 | Krilo |
| F10062 | Fokker 100/TAY 620-15 | Mlazni | 2 | Veliki | Komercijalni | 95 000 | 85 500 | 4 560 | 13 900 | 3 | TAY620 | CNT (lb) | 201 | 101 | Trup |
| F10065 | Fokker 100/TAY 650-15 | Mlazni | 2 | Veliki | Komercijalni | 98 000 | 88 000 | 4 704 | 15 100 | 3 | TAY650 | CNT (lb) | 201 | 101 | Trup |
| F28MK2 | Fokker F-28-2000/ RB183MK555 | Mlazni | 2 | Veliki | Komercijalni | 65 000 | 59 000 | 3 540 | 9 850 | 2 | RB183 | CNT (lb) | 216 | 104 | Trup |
| F28MK4 | Fokker F-28-4000/ RB183MK555 | Mlazni | 2 | Veliki | Komercijalni | 73 000 | 64 000 | 3 546 | 9 900 | 2 | RB183P | CNT (lb) | 216 | 104 | Trup |
| FAL20 | Dassault FALCON 20/ CF700-2D-2 | Mlazni | 2 | Veliki | Opće zrakoplovstvo | 28 700 | 27 300 | 2 490 | 4 500 | 2 | CF700 | CNT (lb) | 203 | 113 | Trup |
| GII | Gulfstream GII/SPEY 511-8 | Mlazni | 2 | Veliki | Opće zrakoplovstvo | 64 800 | 58 500 | 3 200 | 11 400 | 2 | SPEYHK | CNT (lb) | 216 | 104 | Trup |
| GIIB | Gulfstream GIIB/GIII — SPEY 511-8 | Mlazni | 2 | Veliki | Opće zrakoplovstvo | 69 700 | 58 500 | 3 250 | 11 400 | 2 | SPEYHK | CNT (lb) | 216 | 104 | Trup |
| GIV | Gulfstream GIV-SP/TAY 611-8 | Mlazni | 2 | Veliki | Opće zrakoplovstvo | 74 600 | 66 000 | 3 190 | 13 850 | 3 | TAYGIV | CNT (lb) | 203 | 113 | Trup |
| GV | Gulfstream GV/BR 710 | Mlazni | 2 | Veliki | Opće zrakoplovstvo | 90 500 | 75 300 | 2 760 | 14 750 | 3 | BR710 | CNT (lb) | 205 | 105 | Trup |

▼M2

| ACFTID | Opis | Tip motora | Broj motora | Klasifikacija po masi | Kategorija vlasnika | MGTOW (lb) | MGLW (lb) | Najveća duljina za slijetanje (ft) | Najveća razina statičkog potiska na razini mora (lb) | Poglavlje o buci | NPD oznaka (NPD_ID) | Parametar snage | Oznaka spektralne klase za prilaz | Oznaka spektralne klase za odlet | Oznaka lateralne usmjerenosti |
|---|---|---|---|---|---|---|---|---|---|---|---|---|---|---|---|
| HS748A | Hawker Siddeley HS-748/ DART MK532-2 | Turboelisni | 2 | Veliki | Komercijalni | 46 500 | 43 000 | 3 360 | 5 150 | 2 | RDA532 | CNT (% maksimalnog statičkog potiska) | 212 | 110 | Elisa |
| IA1125 | IAI-1125 ASTRA/ TFE731-3A | Mlazni | 2 | Veliki | Opće zrakoplovstvo | 23 500 | 20 700 | 3 689 | 3 700 | 3 | TF7313 | CNT (lb) | 216 | 113 | Trup |
| L1011 | Lockheed Martin L-1011/ RB211-22B | Mlazni | 3 | Teški | Komercijalni | 430 000 | 358 000 | 5 693 | 42 000 | 3 | RB2112 | CNT (lb) | 203 | 101 | Krilo |
| L10115 | Lockheed Martin L-1011-500/RB211-224B | Mlazni | 3 | Teški | Komercijalni | 510 000 | 368 000 | 6 800 | 50 000 | 3 | RB2112 | CNT (lb) | 203 | 101 | Krilo |
| L188 | Lockheed L-188C/ALL 501-D13 | Turboelisni | 4 | Veliki | Komercijalni | 116 000 | 98 100 | 4 960 | 8 000 | 0 | T56A7 | CNT (% maksimalnog statičkog potiska) | 214 | 112 | Elisa |
| LEAR25 | Learjet 25/CJ610-8 | Mlazni | 2 | Veliki | Opće zrakoplovstvo | 15 000 | 13 500 | 2 620 | 2 950 | 2 | CJ610 | CNT (lb) | 202 | 113 | Trup |
| LEAR35 | Learjet 36/TFE731-2 | Mlazni | 2 | Veliki | Opće zrakoplovstvo | 18 300 | 15 300 | 3 076 | 3 500 | 3 | TF7312 | CNT (lb) | 216 | 113 | Trup |
| MD11GE | McDonnell Douglas MD-11/CF6-80C2D1F | Mlazni | 3 | Teški | Komercijalni | 682 400 | 433 300 | 5 131 | 61 500 | 3 | 2CF68D | CNT (lb) | 203 | 103 | Krilo |
| MD11PW | McDonnell Douglas MD-11/PW 4460 | Mlazni | 3 | Teški | Komercijalni | 682 400 | 433 300 | 4 681 | 60 000 | 3 | PW4460 | CNT (lb) | 203 | 103 | Krilo |
| MD81 | McDonnell Douglas MD-81/JT8D-209 | Mlazni | 2 | Veliki | Komercijalni | 140 000 | 128 000 | 4 860 | 19 300 | 3 | 2JT8D2 | CNT (lb) | 204 | 104 | Trup |
| MD82 | McDonnell Douglas MD-82/JT8D-217A | Mlazni | 2 | Veliki | Komercijalni | 149 500 | 130 000 | 4 920 | 20 900 | 3 | 2JT8D2 | CNT (lb) | 204 | 104 | Trup |

▼M2

| ACFTID | Opis | Tip motora | Broj motora | Klasifikacija po masi | Kategorija vlasnika | MGTOW (lb) | MGLW (lb) | Najveća duljina za slijetanje (ft) | Najveća razina statičkog potiska na razini mora (lb) | Poglavlje o buci | NPD oznaka (NPD_ID) | Parametar snage | Oznaka spektralne klase za prilaz | Oznaka spektralne klase za odlet | Oznaka lateralne usmjerenosti |
|---|---|---|---|---|---|---|---|---|---|---|---|---|---|---|---|
| MD83 | McDonnell Douglas MD-83/JT8D-219 | Mlazni | 2 | Veliki | Komercijalni | 160 000 | 139 500 | 5 200 | 21 700 | 3 | 2JT8D2 | CNT (lb) | 204 | 104 | Trup |
| MD9025 | McDonnell Douglas MD-90/V2525-D5 | Mlazni | 2 | Veliki | Komercijalni | 156 000 | 142 000 | 3 000 | 25 000 | 3 | V2525 | CNT (lb) | 205 | 105 | Trup |
| MD9028 | McDonnell Douglas MD-90/V2528-D5 | Mlazni | 2 | Veliki | Komercijalni | 156 000 | 142 000 | 3 000 | 28 000 | 3 | V2525 | CNT (lb) | 205 | 105 | Trup |
| MU3001 | Mitsubishi MU300-10 Diamond II/JT15D-5 | Mlazni | 2 | Veliki | Opće zrakoplovstvo | 14 100 | 13 200 | 2 800 | 2 500 | 3 | JT15D5 | CNT (lb) | 203 | 113 | Trup |
| PA28 | Piper Warrior PA-28-161/O-320-D3G | Klipni | 1 | Mali | Opće zrakoplovstvo | 2 325 | 2 325 | 1 695 | 400 | 0 | O320D3 | Drugo (RPM) | 213 | 113 | Elisa |
| PA30 | Piper Twin Comanche PA-30/IO-320-B1A | Klipni | 2 | Mali | Opće zrakoplovstvo | 3 600 | 3 600 | 1 654 | 777 | 0 | IO320B | CNT (lb) | 213 | 113 | Elisa |
| PA31 | Piper Navajo Chieftain PA-31-350/TIO-5 | Klipni | 2 | Mali | Opće zrakoplovstvo | 7 000 | 7 000 | 1 850 | 1 481 | 0 | TIO542 | Drugo (RPM) | 213 | 109 | Elisa |
| PA42 | Piper PA-42/PT6A-41 | Turboelisni | 2 | Mali | Opće zrakoplovstvo | 11 200 | 10 330 | 3 300 | 1 800 | 3 | PT6A41 | CNT (lb) | 213 | 109 | Elisa |
| SABR80 | NA Sabreliner 80 | Mlazni | 2 | Veliki | Opće zrakoplovstvo | 33 720 | 27 290 | 2 490 | 3 962 | 2 | CF700 | CNT (lb) | 203 | 113 | Trup |
| SD330 | Short SD3-30/PT6A-45AR | Turboelisni | 2 | Veliki | Komercijalni | 22 900 | 22 600 | 3 650 | 2 670 | 3 | PT6A45 | CNT (% maksimalnog statičkog potiska) | 211 | 109 | Elisa |
| SF340 | Saab SF340B/CT7-9B | Turboelisni | 2 | Veliki | Komercijalni | 27 300 | 26 500 | 3 470 | 4 067 | 3 | CT75 | CNT (% maksimalnog statičkog potiska) | 211 | 110 | Elisa |

▼M2

*Tablica I-3*

**Uobičajeni proceduralni koraci u prilazu**

| ACFTID | Oznaka profila (Profile_ID) | Broj koraka | Tip koraka | Zakrilca (Flap_ID) | Početna visina (ft) | Početna kalibrirana brzina leta (kt) | Kut sniža-vanja (stup-njevi) | Protrča-vanje (ft) | Duljina (ft) | Početni potisak (% najvećeg potiska) |
|---|---|---|---|---|---|---|---|---|---|---|
| 1900D | DEFAULT | 1 | Snižavanje | ZERO-A | 6 000,0 | 160,0 | 3,0 | | | |
| 1900D | DEFAULT | 2 | Snižavanje | ZERO-A | 3 000,0 | 160,0 | 3,0 | | | |
| 1900D | DEFAULT | 3 | Snižavanje | ZERO-A | 1 500,0 | 146,0 | 3,0 | | | |
| 1900D | DEFAULT | 4 | Snižavanje | 35-A | 1 000,0 | 118,0 | 3,0 | | | |
| 1900D | DEFAULT | 5 | Slijetanje | 35-A | | | | 57,2 | | |
| 1900D | DEFAULT | 6 | Usporenje | | | 84,0 | | | 515,2 | 40,0 |
| 1900D | DEFAULT | 7 | Usporenje | | | 10,0 | | | 0,0 | 10,0 |
| 707320 | DEFAULT | 1 | Snižavanje | ZERO | 6 000,0 | 250,0 | 3,0 | | | |
| 707320 | DEFAULT | 2 | Snižavanje | 14 | 3 000,0 | 160,0 | 3,0 | | | |
| 707320 | DEFAULT | 3 | Snižavanje | D-25 | 1 500,0 | 145,0 | 3,0 | | | |
| 707320 | DEFAULT | 4 | Snižavanje | D-40 | 1 000,0 | 131,6 | 3,0 | | | |
| 707320 | DEFAULT | 5 | Slijetanje | D-40 | | | | 410,6 | | |
| 707320 | DEFAULT | 6 | Usporenje | | | 124,9 | | | 3 695,4 | 40,0 |
| 707320 | DEFAULT | 7 | Usporenje | | | 30,0 | | | 0,0 | 10,0 |
| 707QN | DEFAULT | 1 | Snižavanje | ZERO | 6 000,0 | 250,0 | 3,0 | | | |
| 707QN | DEFAULT | 2 | Snižavanje | 14 | 3 000,0 | 160,0 | 3,0 | | | |
| 707QN | DEFAULT | 3 | Snižavanje | D-25 | 1 500,0 | 145,0 | 3,0 | | | |
| 707QN | DEFAULT | 4 | Snižavanje | D-40 | 1 000,0 | 131,6 | 3,0 | | | |

▼**M2**

| ACFTID | Oznaka profila (Profile_ID) | Broj koraka | Tip koraka | Zakrilca (Flap_ID) | Početna visina (ft) | Početna kalibrirana brzina leta (kt) | Kut snižavanja (stupnjevi) | Protrčavanje (ft) | Duljina (ft) | Početni potisak (% najvećeg potiska) |
|---|---|---|---|---|---|---|---|---|---|---|
| 707QN | DEFAULT | 5 | Slijetanje | D-40 | | | | 410,6 | | |
| 707QN | DEFAULT | 6 | Usporenje | | | 124,9 | | | 3 695,4 | 40,0 |
| 707QN | DEFAULT | 7 | Usporenje | | | 30,0 | | | 0,0 | 10,0 |
| 717200 | DEFAULT | 1 | Snižavanje | A_0U | 6 000,0 | 250,0 | 3,0 | | | |
| 717200 | DEFAULT | 2 | Snižavanje | A_18U | 3 000,0 | 190,0 | 3,0 | | | |
| 717200 | DEFAULT | 3 | Snižavanje | A_18D | 1 500,0 | 160,0 | 3,0 | | | |
| 717200 | DEFAULT | 4 | Snižavanje | A_40D | 1 000,0 | 140,0 | 3,0 | | | |
| 717200 | DEFAULT | 5 | Slijetanje | A_40D | | | | 318,6 | | |
| 717200 | DEFAULT | 6 | Usporenje | | | 130,0 | | | 2 867,4 | 40,0 |
| 717200 | DEFAULT | 7 | Usporenje | | | 30,0 | | | 0,0 | 8,6 |
| 720B | DEFAULT | 1 | Snižavanje | ZERO | 6 000,0 | 250,0 | 3,0 | | | |
| 720B | DEFAULT | 2 | Snižavanje | 20 | 3 000,0 | 160,0 | 3,0 | | | |
| 720B | DEFAULT | 3 | Snižavanje | U-30 | 1 500,0 | 149,0 | 3,0 | | | |
| 720B | DEFAULT | 4 | Snižavanje | D-30 | 1 000,0 | 139,0 | 3,0 | | | |
| 720B | DEFAULT | 5 | Slijetanje | D-30 | | | | 419,1 | | |
| 720B | DEFAULT | 6 | Usporenje | | | 131,9 | | | 3 771,9 | 40,0 |
| 720B | DEFAULT | 7 | Usporenje | | | 30,0 | | | 0,0 | 10,0 |
| 727100 | DEFAULT | 1 | Snižavanje | ZERO | 6 000,0 | 250,0 | 3,0 | | | |
| 727100 | DEFAULT | 2 | Snižavanje | 5 | 3 000,0 | 160,0 | 3,0 | | | |
| 727100 | DEFAULT | 3 | Snižavanje | D-25 | 1 500,0 | 125,5 | 3,0 | | | |

▼M2

| ACFTID | Oznaka profila (Profile_ID) | Broj koraka | Tip koraka | Zakrilca (Flap_ID) | Početna visina (ft) | Početna kalibrirana brzina leta (kt) | Kut sniža-vanja (stup-njevi) | Protrča-vanje (ft) | Duljina (ft) | Početni potisak (% najvećeg potiska) |
|---|---|---|---|---|---|---|---|---|---|---|
| 727100 | DEFAULT | 4 | Snižavanje | D-30 | 1 000,0 | 123,2 | 3,0 | | | |
| 727100 | DEFAULT | 5 | Slijetanje | D-30 | | | | 342,6 | | |
| 727100 | DEFAULT | 6 | Usporenje | | | 116,8 | | | 3 083,4 | 40,0 |
| 727100 | DEFAULT | 7 | Usporenje | | | 30,0 | | | 0,0 | 10,0 |
| 727D15 | DEFAULT | 1 | Snižavanje | ZERO | 6 000,0 | 250,0 | 3,0 | | | |
| 727D15 | DEFAULT | 2 | Snižavanje | 5 | 3 000,0 | 160,0 | 3,0 | | | |
| 727D15 | DEFAULT | 3 | Snižavanje | D-25 | 1 500,0 | 149,6 | 3,0 | | | |
| 727D15 | DEFAULT | 4 | Snižavanje | D-30 | 1 000,0 | 147,6 | 3,0 | | | |
| 727D15 | DEFAULT | 5 | Slijetanje | D-30 | | | | 347,6 | | |
| 727D15 | DEFAULT | 6 | Usporenje | | | 140,0 | | | 3 128,4 | 40,0 |
| 727D15 | DEFAULT | 7 | Usporenje | | | 30,0 | | | 0,0 | 10,0 |
| 727D17 | DEFAULT | 1 | Snižavanje | ZERO | 6 000,0 | 250,0 | 3,0 | | | |
| 727D17 | DEFAULT | 2 | Snižavanje | 5 | 3 000,0 | 160,0 | 3,0 | | | |
| 727D17 | DEFAULT | 3 | Snižavanje | D-25 | 1 500,0 | 149,6 | 3,0 | | | |
| 727D17 | DEFAULT | 4 | Snižavanje | D-30 | 1 000,0 | 147,6 | 3,0 | | | |
| 727D17 | DEFAULT | 5 | Slijetanje | D-30 | | | | 394,6 | | |
| 727D17 | DEFAULT | 6 | Usporenje | | | 140,0 | | | 3 551,4 | 40,0 |
| 727D17 | DEFAULT | 7 | Usporenje | | | 30,0 | | | 0,0 | 10,0 |
| 727EM1 | DEFAULT | 1 | Snižavanje | ZERO | 6 000,0 | 250,0 | 3,0 | | | |

▼**M2**

| ACFTID | Oznaka profila (Profile_ID) | Broj koraka | Tip koraka | Zakrilca (Flap_ID) | Početna visina (ft) | Početna kalibrirana brzina leta (kt) | Kut snižavanja (stupnjevi) | Protrčavanje (ft) | Duljina (ft) | Početni potisak (% najvećeg potiska) |
|---|---|---|---|---|---|---|---|---|---|---|
| 727EM1 | DEFAULT | 2 | Snižavanje | 5 | 3 000,0 | 160,0 | 3,0 | | | |
| 727EM1 | DEFAULT | 3 | Snižavanje | D-25 | 1 500,0 | 125,5 | 3,0 | | | |
| 727EM1 | DEFAULT | 4 | Snižavanje | D-30 | 1 000,0 | 123,2 | 3,0 | | | |
| 727EM1 | DEFAULT | 5 | Slijetanje | D-30 | | | | 342,6 | | |
| 727EM1 | DEFAULT | 6 | Usporenje | | | 116,8 | | | 3 083,4 | 40,0 |
| 727EM1 | DEFAULT | 7 | Usporenje | | | 30,0 | | | 0,0 | 10,0 |
| 727EM2 | DEFAULT | 1 | Snižavanje | ZERO | 6 000,0 | 250,0 | 3,0 | | | |
| 727EM2 | DEFAULT | 2 | Snižavanje | 5 | 3 000,0 | 160,0 | 3,0 | | | |
| 727EM2 | DEFAULT | 3 | Snižavanje | D-25 | 1 500,0 | 149,6 | 3,0 | | | |
| 727EM2 | DEFAULT | 4 | Snižavanje | D-30 | 1 000,0 | 147,6 | 3,0 | | | |
| 727EM2 | DEFAULT | 5 | Slijetanje | D-30 | | | | 347,6 | | |
| 727EM2 | DEFAULT | 6 | Usporenje | | | 140,0 | | | 3 128,4 | 40,0 |
| 727EM2 | DEFAULT | 7 | Usporenje | | | 30,0 | | | 0,0 | 10,0 |
| 727Q15 | DEFAULT | 1 | Snižavanje | ZERO | 6 000,0 | 250,0 | 3,0 | | | |
| 727Q15 | DEFAULT | 2 | Snižavanje | 5 | 3 000,0 | 160,0 | 3,0 | | | |
| 727Q15 | DEFAULT | 3 | Snižavanje | D-25 | 1 500,0 | 149,6 | 3,0 | | | |
| 727Q15 | DEFAULT | 4 | Snižavanje | D-30 | 1 000,0 | 147,6 | 3,0 | | | |
| 727Q15 | DEFAULT | 5 | Slijetanje | D-30 | | | | 347,6 | | |
| 727Q15 | DEFAULT | 6 | Usporenje | | | 140,0 | | | 3 128,4 | 40,0 |
| 727Q15 | DEFAULT | 7 | Usporenje | | | 30,0 | | | 0,0 | 10,0 |

▼**M2**

| ACFTID | Oznaka profila (Profile_ID) | Broj koraka | Tip koraka | Zakrilca (Flap_ID) | Početna visina (ft) | Početna kalibrirana brzina leta (kt) | Kut snižavanja (stupnjevi) | Protrčavanje (ft) | Duljina (ft) | Početni potisak (% najvećeg potiska) |
|---|---|---|---|---|---|---|---|---|---|---|
| 727Q7 | DEFAULT | 1 | Snižavanje | ZERO | 6 000,0 | 250,0 | 3,0 | | | |
| 727Q7 | DEFAULT | 2 | Snižavanje | 5 | 3 000,0 | 160,0 | 3,0 | | | |
| 727Q7 | DEFAULT | 3 | Snižavanje | D-25 | 1 500,0 | 125,5 | 3,0 | | | |
| 727Q7 | DEFAULT | 4 | Snižavanje | D-30 | 1 000,0 | 123,2 | 3,0 | | | |
| 727Q7 | DEFAULT | 5 | Slijetanje | D-30 | | | | 342,6 | | |
| 727Q7 | DEFAULT | 6 | Usporenje | | | 116,8 | | | 3 083,4 | 40,0 |
| 727Q7 | DEFAULT | 7 | Usporenje | | | 30,0 | | | 0,0 | 10,0 |
| 727Q9 | DEFAULT | 1 | Snižavanje | ZERO | 6 000,0 | 250,0 | 3,0 | | | |
| 727Q9 | DEFAULT | 2 | Snižavanje | 5 | 3 000,0 | 160,0 | 3,0 | | | |
| 727Q9 | DEFAULT | 3 | Snižavanje | D-25 | 1 500,0 | 145,4 | 3,0 | | | |
| 727Q9 | DEFAULT | 4 | Snižavanje | D-30 | 1 000,0 | 143,4 | 3,0 | | | |
| 727Q9 | DEFAULT | 5 | Slijetanje | D-30 | | | | 394,6 | | |
| 727Q9 | DEFAULT | 6 | Usporenje | | | 136,0 | | | 3 551,4 | 40,0 |
| 727Q9 | DEFAULT | 7 | Usporenje | | | 30,0 | | | 0,0 | 10,0 |
| 727QF | DEFAULT | 1 | Snižavanje | U-ZERO | 6 000,0 | 250,0 | 3,0 | | | |
| 727QF | DEFAULT | 2 | Snižavanje | U-05 | 3 000,0 | 160,0 | 3,0 | | | |
| 727QF | DEFAULT | 3 | Snižavanje | D-15 | 1 500,0 | 150,0 | 3,0 | | | |
| 727QF | DEFAULT | 4 | Snižavanje | D-30 | 1 000,0 | 131,0 | 3,0 | | | |
| 727QF | DEFAULT | 5 | Slijetanje | D-30 | | | | 363,0 | | |
| 727QF | DEFAULT | 6 | Usporenje | | | 121,0 | | | 2 686,0 | 40,0 |

▼**M2**

| ACFTID | Oznaka profila (Profile_ID) | Broj koraka | Tip koraka | Zakrilca (Flap_ID) | Početna visina (ft) | Početna kalibrirana brzina leta (kt) | Kut snižavanja (stupnjevi) | Protrčavanje (ft) | Duljina (ft) | Početni potisak (% najvećeg potiska) |
|---|---|---|---|---|---|---|---|---|---|---|
| 727QF | DEFAULT | 7 | Usporenje | | | 60,0 | | | 0,0 | 10,0 |
| 737 | DEFAULT | 1 | Snižavanje | ZERO | 6 000,0 | 250,0 | 3,0 | | | |
| 737 | DEFAULT | 2 | Snižavanje | 5 | 3 000,0 | 170,0 | 3,0 | | | |
| 737 | DEFAULT | 3 | Snižavanje | D-25 | 1 500,0 | 134,5 | 3,0 | | | |
| 737 | DEFAULT | 4 | Snižavanje | D-30 | 1 000,0 | 131,5 | 3,0 | | | |
| 737 | DEFAULT | 5 | Slijetanje | D-30 | | | | 255,6 | | |
| 737 | DEFAULT | 6 | Usporenje | | | 124,8 | | | 2 300,4 | 40,0 |
| 737 | DEFAULT | 7 | Usporenje | | | 30,0 | | | 0,0 | 10,0 |
| 737300 | DEFAULT | 1 | Snižavanje | ZERO | 6 000,0 | 250,0 | 3,0 | | | |
| 737300 | DEFAULT | 2 | Snižavanje | 5 | 3 000,0 | 170,0 | 3,0 | | | |
| 737300 | DEFAULT | 3 | Snižavanje | D-15 | 1 500,0 | 148,6 | 3,0 | | | |
| 737300 | DEFAULT | 4 | Snižavanje | D-30 | 1 000,0 | 139,0 | 3,0 | | | |
| 737300 | DEFAULT | 5 | Slijetanje | D-30 | | | | 316,8 | | |
| 737300 | DEFAULT | 6 | Usporenje | | | 131,9 | | | 2 851,2 | 40,0 |
| 737300 | DEFAULT | 7 | Usporenje | | | 30,0 | | | 0,0 | 10,0 |
| 7373B2 | DEFAULT | 1 | Snižavanje | ZERO | 6 000,0 | 250,0 | 3,0 | | | |
| 7373B2 | DEFAULT | 2 | Snižavanje | 5 | 3 000,0 | 170,0 | 3,0 | | | |
| 7373B2 | DEFAULT | 3 | Snižavanje | D-15 | 1 500,0 | 148,6 | 3,0 | | | |
| 7373B2 | DEFAULT | 4 | Snižavanje | D-30 | 1 000,0 | 139,0 | 3,0 | | | |
| 7373B2 | DEFAULT | 5 | Slijetanje | D-30 | | | | 316,8 | | |

▼**M2**

| ACFTID | Oznaka profila (Profile_ID) | Broj koraka | Tip koraka | Zakrilca (Flap_ID) | Početna visina (ft) | Početna kalibrirana brzina leta (kt) | Kut snižavanja (stupnjevi) | Protrčavanje (ft) | Duljina (ft) | Početni potisak (% najvećeg potiska) |
|---|---|---|---|---|---|---|---|---|---|---|
| 7373B2 | DEFAULT | 6 | Usporenje | | | 131,9 | | | 2 851,2 | 40,0 |
| 7373B2 | DEFAULT | 7 | Usporenje | | | 30,0 | | | 0,0 | 10,0 |
| 737400 | DEFAULT | 1 | Snižavanje | ZERO | 6 000,0 | 250,0 | 3,0 | | | |
| 737400 | DEFAULT | 2 | Snižavanje | 5 | 3 000,0 | 170,0 | 3,0 | | | |
| 737400 | DEFAULT | 3 | Snižavanje | D-15 | 1 500,0 | 159,7 | 3,0 | | | |
| 737400 | DEFAULT | 4 | Snižavanje | D-30 | 1 000,0 | 144,9 | 3,0 | | | |
| 737400 | DEFAULT | 5 | Slijetanje | D-30 | | | | 360,2 | | |
| 737400 | DEFAULT | 6 | Usporenje | | | 137,5 | | | 3 241,8 | 40,0 |
| 737400 | DEFAULT | 7 | Usporenje | | | 30,0 | | | 0,0 | 10,0 |
| 737500 | DEFAULT | 1 | Snižavanje | ZERO | 6 000,0 | 250,0 | 3,0 | | | |
| 737500 | DEFAULT | 2 | Snižavanje | 5 | 3 000,0 | 170,0 | 3,0 | | | |
| 737500 | DEFAULT | 3 | Snižavanje | D-15 | 1 500,0 | 143,4 | 3,0 | | | |
| 737500 | DEFAULT | 4 | Snižavanje | D-30 | 1 000,0 | 135,3 | 3,0 | | | |
| 737500 | DEFAULT | 5 | Slijetanje | D-30 | | | | 314,2 | | |
| 737500 | DEFAULT | 6 | Usporenje | | | 128,4 | | | 2 827,8 | 40,0 |
| 737500 | DEFAULT | 7 | Usporenje | | | 30,0 | | | 0,0 | 10,0 |
| 737700 | DEFAULT | 1 | Snižavanje | T_ZERO | 6 000,0 | 250,0 | 3,0 | | | |
| 737700 | DEFAULT | 2 | Snižavanje | T_5 | 3 000,0 | 171,0 | 3,0 | | | |
| 737700 | DEFAULT | 3 | Snižavanje | A_15 | 1 500,0 | 140,0 | 3,0 | | | |
| 737700 | DEFAULT | 4 | Snižavanje | A_40 | 1 000,0 | 133,0 | 3,0 | | | |
| 737700 | DEFAULT | 5 | Slijetanje | A_40 | | | | 304,7 | | |

▼**M2**

| ACFTID | Oznaka profila (Profile_ID) | Broj koraka | Tip koraka | Zakrilca (Flap_ID) | Početna visina (ft) | Početna kalibrirana brzina leta (kt) | Kut sniža-vanja (stup-njevi) | Protrča-vanje (ft) | Duljina (ft) | Početni potisak (% najvećeg potiska) |
|---|---|---|---|---|---|---|---|---|---|---|
| 737700 | DEFAULT | 6 | Usporenje | | | 116,0 | | | 2 741,9 | 40,0 |
| 737700 | DEFAULT | 7 | Usporenje | | | 30,0 | | | 0,0 | 10,0 |
| 737D17 | DEFAULT | 1 | Snižavanje | ZERO | 6 000,0 | 250,0 | 3,0 | | | |
| 737D17 | DEFAULT | 2 | Snižavanje | 5 | 3 000,0 | 170,0 | 3,0 | | | |
| 737D17 | DEFAULT | 3 | Snižavanje | D-25 | 1 500,0 | 140,2 | 3,0 | | | |
| 737D17 | DEFAULT | 4 | Snižavanje | D-30 | 1 000,0 | 137,7 | 3,0 | | | |
| 737D17 | DEFAULT | 5 | Slijetanje | D-30 | | | | 286,6 | | |
| 737D17 | DEFAULT | 6 | Usporenje | | | 130,7 | | | 2 579,4 | 40,0 |
| 737D17 | DEFAULT | 7 | Usporenje | | | 30,0 | | | 0,0 | 10,0 |
| 737N17 | DEFAULT | 1 | Snižavanje | ZERO | 6 000,0 | 250,0 | 3,0 | | | |
| 737N17 | DEFAULT | 2 | Snižavanje | 5 | 3 000,0 | 170,0 | 3,0 | | | |
| 737N17 | DEFAULT | 3 | Snižavanje | D-25 | 1 500,0 | 140,2 | 3,0 | | | |
| 737N17 | DEFAULT | 4 | Snižavanje | D-30 | 1 000,0 | 137,7 | 3,0 | | | |
| 737N17 | DEFAULT | 5 | Slijetanje | D-30 | | | | 286,6 | | |
| 737N17 | DEFAULT | 6 | Usporenje | | | 130,7 | | | 2 579,4 | 40,0 |
| 737N17 | DEFAULT | 7 | Usporenje | | | 30,0 | | | 0,0 | 10,0 |
| 737N9 | DEFAULT | 1 | Snižavanje | ZERO | 6 000,0 | 250,0 | 3,0 | | | |
| 737N9 | DEFAULT | 2 | Snižavanje | 5 | 3 000,0 | 170,0 | 3,0 | | | |
| 737N9 | DEFAULT | 3 | Snižavanje | D-25 | 1 500,0 | 134,5 | 3,0 | | | |
| 737N9 | DEFAULT | 4 | Snižavanje | D-30 | 1 000,0 | 131,5 | 3,0 | | | |
| 737N9 | DEFAULT | 5 | Slijetanje | D-30 | | | | 255,6 | | |

▼**M2**

| ACFTID | Oznaka profila (Profile_ID) | Broj koraka | Tip koraka | Zakrilca (Flap_ID) | Početna visina (ft) | Početna kalibrirana brzina leta (kt) | Kut sniža-vanja (stup-njevi) | Protrča-vanje (ft) | Duljina (ft) | Početni potisak (% najvećeg potiska) |
|---|---|---|---|---|---|---|---|---|---|---|
| 737N9 | DEFAULT | 6 | Usporenje | | | 124,8 | | | 2 300,4 | 40,0 |
| 737N9 | DEFAULT | 7 | Usporenje | | | 30,0 | | | 0,0 | 10,0 |
| 737QN | DEFAULT | 1 | Snižavanje | ZERO | 6 000,0 | 250,0 | 3,0 | | | |
| 737QN | DEFAULT | 2 | Snižavanje | 5 | 3 000,0 | 170,0 | 3,0 | | | |
| 737QN | DEFAULT | 3 | Snižavanje | D-25 | 1 500,0 | 134,5 | 3,0 | | | |
| 737QN | DEFAULT | 4 | Snižavanje | D-30 | 1 000,0 | 131,5 | 3,0 | | | |
| 737QN | DEFAULT | 5 | Slijetanje | D-30 | | | | 255,6 | | |
| 737QN | DEFAULT | 6 | Usporenje | | | 124,8 | | | 2 300,4 | 40,0 |
| 737QN | DEFAULT | 7 | Usporenje | | | 30,0 | | | 0,0 | 10,0 |
| 74710Q | DEFAULT | 1 | Snižavanje | ZERO | 6 000,0 | 250,0 | 3,0 | | | |
| 74710Q | DEFAULT | 2 | Snižavanje | 10 | 3 000,0 | 160,0 | 3,0 | | | |
| 74710Q | DEFAULT | 3 | Snižavanje | D-20 | 1 500,0 | 155,0 | 3,0 | | | |
| 74710Q | DEFAULT | 4 | Snižavanje | D-30 | 1 000,0 | 144,0 | 3,0 | | | |
| 74710Q | DEFAULT | 5 | Slijetanje | D-30 | | | | 462,6 | | |
| 74710Q | DEFAULT | 6 | Usporenje | | | 136,6 | | | 4 163,4 | 10,0 |
| 74710Q | DEFAULT | 7 | Usporenje | | | 30,0 | | | 0,0 | 10,0 |
| 747200 | DEFAULT | 1 | Snižavanje | ZERO | 6 000,0 | 250,0 | 3,0 | | | |
| 747200 | DEFAULT | 2 | Snižavanje | 10 | 3 000,0 | 160,0 | 3,0 | | | |
| 747200 | DEFAULT | 3 | Snižavanje | D-20 | 1 500,0 | 155,0 | 3,0 | | | |
| 747200 | DEFAULT | 4 | Snižavanje | D-30 | 1 000,0 | 144,0 | 3,0 | | | |
| 747200 | DEFAULT | 5 | Slijetanje | D-30 | | | | 462,6 | | |

▼**M2**

| ACFTID | Oznaka profila (Profile_ID) | Broj koraka | Tip koraka | Zakrilca (Flap_ID) | Početna visina (ft) | Početna kalibrirana brzina leta (kt) | Kut snižavanja (stupnjevi) | Protrčavanje (ft) | Duljina (ft) | Početni potisak (% najvećeg potiska) |
|---|---|---|---|---|---|---|---|---|---|---|
| 747200 | DEFAULT | 6 | Usporenje | | | 136,6 | | | 4 163,4 | 10,0 |
| 747200 | DEFAULT | 7 | Usporenje | | | 30,0 | | | 0,0 | 10,0 |
| 74720A | DEFAULT | 1 | Snižavanje | ZERO | 6 000,0 | 250,0 | 3,0 | | | |
| 74720A | DEFAULT | 2 | Snižavanje | 10 | 3 000,0 | 163,7 | 3,0 | | | |
| 74720A | DEFAULT | 3 | Snižavanje | D-25 | 1 500,0 | 150,0 | 3,0 | | | |
| 74720A | DEFAULT | 4 | Snižavanje | D-30 | 1 000,0 | 143,7 | 3,0 | | | |
| 74720A | DEFAULT | 5 | Slijetanje | D-30 | | | | 462,6 | | |
| 74720A | DEFAULT | 6 | Usporenje | | | 136,3 | | | 4 163,4 | 10,0 |
| 74720A | DEFAULT | 7 | Usporenje | | | 30,0 | | | 0,0 | 10,0 |
| 74720B | DEFAULT | 1 | Snižavanje | ZERO | 6 000,0 | 250,0 | 3,0 | | | |
| 74720B | DEFAULT | 2 | Snižavanje | 10 | 3 000,0 | 171,9 | 3,0 | | | |
| 74720B | DEFAULT | 3 | Snižavanje | D-25 | 1 500,0 | 158,5 | 3,0 | | | |
| 74720B | DEFAULT | 4 | Snižavanje | D-30 | 1 000,0 | 151,9 | 3,0 | | | |
| 74720B | DEFAULT | 5 | Slijetanje | D-30 | | | | 462,6 | | |
| 74720B | DEFAULT | 6 | Usporenje | | | 144,1 | | | 4 163,4 | 10,0 |
| 74720B | DEFAULT | 7 | Usporenje | | | 30,0 | | | 0,0 | 10,0 |
| 747400 | DEFAULT | 1 | Snižavanje | 5 | 6 000,0 | 250,0 | 3,0 | | | |
| 747400 | DEFAULT | 2 | Snižavanje | 10 | 3 000,0 | 175,4 | 3,0 | | | |
| 747400 | DEFAULT | 3 | Snižavanje | D-25 | 1 500,0 | 161,4 | 3,0 | | | |
| 747400 | DEFAULT | 4 | Snižavanje | D-30 | 1 000,0 | 155,4 | 3,0 | | | |

▼**M2**

| ACFTID | Oznaka profila (Profile_ID) | Broj koraka | Tip koraka | Zakrilca (Flap_ID) | Početna visina (ft) | Početna kalibrirana brzina leta (kt) | Kut snižavanja (stupnjevi) | Protrčavanje (ft) | Duljina (ft) | Početni potisak (% najvećeg potiska) |
|---|---|---|---|---|---|---|---|---|---|---|
| 747400 | DEFAULT | 5 | Slijetanje | D-30 | | | | 533,6 | | |
| 747400 | DEFAULT | 6 | Usporenje | | | 147,5 | | | 4 802,4 | 10,0 |
| 747400 | DEFAULT | 7 | Usporenje | | | 30,0 | | | 0,0 | 10,0 |
| 7478 | DEFAULT | 1 | Snižavanje – minimalni potisak | | 6 000,0 | 278,8 | 3,0 | | | |
| 7478 | DEFAULT | 2 | Horizontalno – minimalni potisak | | 3 000,0 | 279,5 | | | 30 000,0 | |
| 7478 | DEFAULT | 3 | Horizontalno – minimalni potisak | | 3 000,0 | 218,3 | | | 10 000,0 | |
| 7478 | DEFAULT | 4 | Horizontalno – minimalni potisak | | 3 000,0 | 186,1 | | | 3 050,0 | |
| 7478 | DEFAULT | 5 | Horizontalno – minimalni potisak | | 3 000,0 | 174,6 | | | 4 500,0 | |
| 7478 | DEFAULT | 6 | Horizontalno | F_10 | 3 000,0 | 162,3 | | | 2 069,0 | |
| 7478 | DEFAULT | 7 | Snižavanje | F_30 | 3 000,0 | 157,4 | 3,0 | | | |
| 7478 | DEFAULT | 8 | Slijetanje | F_30 | | | | 615,6 | | |
| 7478 | DEFAULT | 9 | Usporenje | | | 150,4 | | | 5 540,4 | 10,0 |
| 7478 | DEFAULT | 10 | Usporenje | | | 30,0 | | | 0,0 | 10,0 |
| 747SP | DEFAULT | 1 | Snižavanje | ZERO | 6 000,0 | 250,0 | 3,0 | | | |
| 747SP | DEFAULT | 2 | Snižavanje | 10 | 3 000,0 | 160,0 | 3,0 | | | |
| 747SP | DEFAULT | 3 | Snižavanje | D-20 | 1 500,0 | 141,5 | 3,0 | | | |
| 747SP | DEFAULT | 4 | Snižavanje | D-30 | 1 000,0 | 132,4 | 3,0 | | | |
| 747SP | DEFAULT | 5 | Slijetanje | D-30 | | | | 436,6 | | |

▼**M2**

| ACFTID | Oznaka profila (Profile_ID) | Broj koraka | Tip koraka | Zakrilca (Flap_ID) | Početna visina (ft) | Početna kalibrirana brzina leta (kt) | Kut sniža-vanja (stup-njevi) | Protrča-vanje (ft) | Duljina (ft) | Početni potisak (% najvećeg potiska) |
|---|---|---|---|---|---|---|---|---|---|---|
| 747SP | DEFAULT | 6 | Usporenje | | | 125,6 | | | 3 929,4 | 10,0 |
| 747SP | DEFAULT | 7 | Usporenje | | | 30,0 | | | 0,0 | 10,0 |
| 757PW | DEFAULT | 1 | Snižavanje | ZERO | 6 000,0 | 250,0 | 3,0 | | | |
| 757PW | DEFAULT | 2 | Snižavanje | 5 | 3 000,0 | 160,0 | 3,0 | | | |
| 757PW | DEFAULT | 3 | Snižavanje | D-25 | 1 500,0 | 136,5 | 3,0 | | | |
| 757PW | DEFAULT | 4 | Snižavanje | D-30 | 1 000,0 | 134,2 | 3,0 | | | |
| 757PW | DEFAULT | 5 | Slijetanje | D-30 | | | | 335,7 | | |
| 757PW | DEFAULT | 6 | Usporenje | | | 127,3 | | | 3 021,3 | 40,0 |
| 757PW | DEFAULT | 7 | Usporenje | | | 30,0 | | | 0,0 | 10,0 |
| 757RR | DEFAULT | 1 | Snižavanje | ZERO | 6 000,0 | 250,0 | 3,0 | | | |
| 757RR | DEFAULT | 2 | Snižavanje | 5 | 3 000,0 | 160,0 | 3,0 | | | |
| 757RR | DEFAULT | 3 | Snižavanje | D-25 | 1 500,0 | 136,7 | 3,0 | | | |
| 757RR | DEFAULT | 4 | Snižavanje | D-30 | 1 000,0 | 134,7 | 3,0 | | | |
| 757RR | DEFAULT | 5 | Slijetanje | D-30 | | | | 322,2 | | |
| 757RR | DEFAULT | 6 | Usporenje | | | 127,8 | | | 2 899,8 | 40,0 |
| 757RR | DEFAULT | 7 | Usporenje | | | 30,0 | | | 0,0 | 10,0 |
| 767300 | DEFAULT | 1 | Snižavanje | ZERO | 6 000,0 | 250,0 | 3,0 | | | |
| 767300 | DEFAULT | 2 | Snižavanje | 5 | 3 000,0 | 167,0 | 3,0 | | | |
| 767300 | DEFAULT | 3 | Snižavanje | D-25 | 1 500,0 | 141,0 | 3,0 | | | |
| 767300 | DEFAULT | 4 | Snižavanje | D-30 | 1 000,0 | 137,1 | 3,0 | | | |
| 767300 | DEFAULT | 5 | Slijetanje | D-30 | | | | 328,5 | | |

▼**M2**

| ACFTID | Oznaka profila (Profile_ID) | Broj koraka | Tip koraka | Zakrilca (Flap_ID) | Početna visina (ft) | Početna kalibrirana brzina leta (kt) | Kut snižavanja (stupnjevi) | Protrčavanje (ft) | Duljina (ft) | Početni potisak (% najvećeg potiska) |
|---|---|---|---|---|---|---|---|---|---|---|
| 767300 | DEFAULT | 6 | Usporenje | | | 130,1 | | | 2 956,5 | 10,0 |
| 767300 | DEFAULT | 7 | Usporenje | | | 30,0 | | | 0,0 | 10,0 |
| 767CF6 | DEFAULT | 1 | Snižavanje | 1 | 6 000,0 | 250,0 | 3,0 | | | |
| 767CF6 | DEFAULT | 2 | Snižavanje | 5 | 3 000,0 | 168,5 | 3,0 | | | |
| 767CF6 | DEFAULT | 3 | Snižavanje | D-25 | 1 500,0 | 143,0 | 3,0 | | | |
| 767CF6 | DEFAULT | 4 | Snižavanje | D-30 | 1 000,0 | 138,5 | 3,0 | | | |
| 767CF6 | DEFAULT | 5 | Slijetanje | D-30 | | | | 327,6 | | |
| 767CF6 | DEFAULT | 6 | Usporenje | | | 131,4 | | | 2 948,4 | 10,0 |
| 767CF6 | DEFAULT | 7 | Usporenje | | | 30,0 | | | 0,0 | 10,0 |
| 767JT9 | DEFAULT | 1 | Snižavanje | ZERO | 6 000,0 | 250,0 | 3,0 | | | |
| 767JT9 | DEFAULT | 2 | Snižavanje | 5 | 3 000,0 | 168,5 | 3,0 | | | |
| 767JT9 | DEFAULT | 3 | Snižavanje | D-25 | 1 500,0 | 143,0 | 3,0 | | | |
| 767JT9 | DEFAULT | 4 | Snižavanje | D-30 | 1 000,0 | 138,5 | 3,0 | | | |
| 767JT9 | DEFAULT | 5 | Slijetanje | D-30 | | | | 331,6 | | |
| 767JT9 | DEFAULT | 6 | Usporenje | | | 131,4 | | | 2 984,4 | 10,0 |
| 767JT9 | DEFAULT | 7 | Usporenje | | | 30,0 | | | 0,0 | 10,0 |
| 7773ER | DEFAULT | 1 | Snižavanje – minimalni potisak | | 6 000,0 | 249,9 | 3,0 | | | |
| 7773ER | DEFAULT | 2 | Horizontalno – minimalni potisak | | 3 000,0 | 249,9 | | | 20 776,0 | |
| 7773ER | DEFAULT | 3 | Horizontalno – minimalni potisak | | 3 000,0 | 210,6 | | | 10 088,0 | |
| 7773ER | DEFAULT | 4 | Horizontalno – minimalni potisak | | 3 000,0 | 185,4 | | | 5 926,0 | |

▼**M2**

| ACFTID | Oznaka profila (Profile_ID) | Broj koraka | Tip koraka | Zakrilca (Flap_ID) | Početna visina (ft) | Početna kalibrirana brzina leta (kt) | Kut sniža-vanja (stup-njevi) | Protrča-vanje (ft) | Duljina (ft) | Početni potisak (% najvećeg potiska) |
|---|---|---|---|---|---|---|---|---|---|---|
| 7773ER | DEFAULT | 5 | Snižavanje – minimalni potisak | | 3 000,0 | 170,4 | 3,0 | | | |
| 7773ER | DEFAULT | 6 | Snižavanje | F_30 | 2 700,0 | 147,8 | 3,0 | | | |
| 7773ER | DEFAULT | 7 | Slijetanje | F_30 | | | | 427,1 | | |
| 7773ER | DEFAULT | 8 | Usporenje | | | 140,8 | | | 3 843,5 | 10,0 |
| 7773ER | DEFAULT | 9 | Usporenje | | | 30,0 | | | 0,0 | 10,0 |
| 7878R | DEFAULT | 1 | Snižavanje – minimalni potisak | | 6 000,0 | 249,0 | 3,0 | | | |
| 7878R | DEFAULT | 2 | Horizontalno – minimalni potisak | | 3 000,0 | 249,5 | | | 20 950,0 | |
| 7878R | DEFAULT | 3 | Horizontalno – minimalni potisak | | 3 000,0 | 214,3 | | | 10 000,0 | |
| 7878R | DEFAULT | 4 | Horizontalno – minimalni potisak | | 3 000,0 | 178,9 | | | 5 000,0 | |
| 7878R | DEFAULT | 5 | Snižavanje – minimalni potisak | | 3 000,0 | 157,0 | 3,0 | | | |
| 7878R | DEFAULT | 6 | Snižavanje | FLAP30 | 2 725,0 | 142,3 | 3,0 | | | |
| 7878R | DEFAULT | 7 | Slijetanje | FLAP30 | | | | 362,7 | | |
| 7878R | DEFAULT | 8 | Usporenje | | | 135,3 | | | 3 264,3 | 10,0 |
| 7878R | DEFAULT | 9 | Usporenje | | | 30,0 | | | 0,0 | 10,0 |
| A300-622R | DEFAULT | 1 | Snižavanje – minimalni potisak | | 6 000,0 | 250,0 | 3,3 | | | |
| A300-622R | DEFAULT | 2 | Horizontalno – minimalni potisak | | 3 000,0 | 250,0 | | | 14 583,3 | |
| A300-622R | DEFAULT | 3 | Horizontalno – minimalni potisak | | 3 000,0 | 210,9 | | | 7 398,3 | |

▼**M2**

| ACFTID | Oznaka profila (Profile_ID) | Broj koraka | Tip koraka | Zakrilca (Flap_ID) | Početna visina (ft) | Početna kalibrirana brzina leta (kt) | Kut snižavanja (stupnjevi) | Protrčavanje (ft) | Duljina (ft) | Početni potisak (% najvećeg potiska) |
|---|---|---|---|---|---|---|---|---|---|---|
| A300-622R | DEFAULT | 4 | Snižavanje – minimalni potisak | | 3 000,0 | 185,1 | 3,0 | | | |
| A300-622R | DEFAULT | 5 | Snižavanje – minimalni potisak | | 2 417,0 | 175,9 | 3,0 | | | |
| A300-622R | DEFAULT | 6 | Snižavanje – minimalni potisak | | 1 818,0 | 149,0 | 3,0 | | | |
| A300-622R | DEFAULT | 7 | Snižavanje | FULL_D | 1 615,0 | 133,5 | 3,0 | | | |
| A300-622R | DEFAULT | 8 | Snižavanje | FULL_D | 50,0 | 133,5 | 3,0 | | | |
| A300-622R | DEFAULT | 9 | Slijetanje | FULL_D | | | | 305,3 | | |
| A300-622R | DEFAULT | 10 | Usporenje | | | 130,5 | | | 2 747,8 | 10,0 |
| A300-622R | DEFAULT | 11 | Usporenje | | | 30,0 | | | 0,0 | 10,0 |
| A300B4-203 | DEFAULT | 1 | Snižavanje | ZERO | 6 000,0 | 250,0 | 3,0 | | | |
| A300B4-203 | DEFAULT | 2 | Snižavanje | 1 | 3 000,0 | 158,5 | 3,0 | | | |
| A300B4-203 | DEFAULT | 3 | Snižavanje | D-15 | 1 500,0 | 148,5 | 3,0 | | | |
| A300B4-203 | DEFAULT | 4 | Snižavanje | D-25 | 1 000,0 | 140,0 | 3,0 | | | |
| A300B4-203 | DEFAULT | 5 | Slijetanje | D-25 | | | | 387,6 | | |
| A300B4-203 | DEFAULT | 6 | Usporenje | | | 132,8 | | | 3 488,4 | 40,0 |
| A300B4-203 | DEFAULT | 7 | Usporenje | | | 30,0 | | | 0,0 | 10,0 |
| A310-304 | DEFAULT | 1 | Snižavanje – minimalni potisak | | 6 000,0 | 250,0 | 3,2 | | | |
| A310-304 | DEFAULT | 2 | Horizontalno – minimalni potisak | | 3 000,0 | 250,0 | | | 14 609,6 | |
| A310-304 | DEFAULT | 3 | Horizontalno – minimalni potisak | | 3 000,0 | 211,6 | | | 8 736,9 | |

▼**M2**

| ACFTID | Oznaka profila (Profile_ID) | Broj koraka | Tip koraka | Zakrilca (Flap_ID) | Početna visina (ft) | Početna kalibrirana brzina leta (kt) | Kut snižavanja (stupnjevi) | Protrčavanje (ft) | Duljina (ft) | Početni potisak (% najvećeg potiska) |
|---|---|---|---|---|---|---|---|---|---|---|
| A310-304 | DEFAULT | 4 | Snižavanje – minimalni potisak | | 3 000,0 | 180,6 | 3,0 | | | |
| A310-304 | DEFAULT | 5 | Snižavanje – minimalni potisak | | 2 551,0 | 169,3 | 3,0 | | | |
| A310-304 | DEFAULT | 6 | Snižavanje – minimalni potisak | | 2 147,0 | 148,0 | 3,0 | | | |
| A310-304 | DEFAULT | 7 | Snižavanje | FULL_D | 2 000,0 | 134,6 | 3,0 | | | |
| A310-304 | DEFAULT | 8 | Snižavanje | FULL_D | 50,0 | 134,6 | 3,0 | | | |
| A310-304 | DEFAULT | 9 | Slijetanje | FULL_D | | | | 302,9 | | |
| A310-304 | DEFAULT | 10 | Usporenje | | | 131,6 | | | 2 726,6 | 10,0 |
| A310-304 | DEFAULT | 11 | Usporenje | | | 30,0 | | | 0,0 | 10,0 |
| A319-131 | DEFAULT | 1 | Snižavanje – minimalni potisak | | 6 000,0 | 250,0 | 3,1 | | | |
| A319-131 | DEFAULT | 2 | Horizontalno – minimalni potisak | | 3 000,0 | 250,0 | | | 19 940,9 | |
| A319-131 | DEFAULT | 3 | Horizontalno – minimalni potisak | | 3 000,0 | 197,5 | | | 4 813,0 | |
| A319-131 | DEFAULT | 4 | Snižavanje – minimalni potisak | | 3 000,0 | 181,4 | 3,0 | | | |
| A319-131 | DEFAULT | 5 | Snižavanje – minimalni potisak | | 2 610,0 | 167,7 | 3,0 | | | |
| A319-131 | DEFAULT | 6 | Snižavanje – minimalni potisak | | 2 114,0 | 138,4 | 3,0 | | | |
| A319-131 | DEFAULT | 7 | Snižavanje | FULL_D | 1 971,0 | 125,3 | 3,0 | | | |
| A319-131 | DEFAULT | 8 | Snižavanje | FULL_D | 50,0 | 125,3 | 3,0 | | | |
| A319-131 | DEFAULT | 9 | Slijetanje | FULL_D | | | | 152,3 | | |

▼**M2**

| ACFTID | Oznaka profila (Profile_ID) | Broj koraka | Tip koraka | Zakrilca (Flap_ID) | Početna visina (ft) | Početna kalibrirana brzina leta (kt) | Kut snižavanja (stupnjevi) | Protrčavanje (ft) | Duljina (ft) | Početni potisak (% najvećeg potiska) |
|---|---|---|---|---|---|---|---|---|---|---|
| A319-131 | DEFAULT | 10 | Usporenje | | | 122,3 | | | 1 370,6 | 40,0 |
| A319-131 | DEFAULT | 11 | Usporenje | | | 30,0 | | | 0,0 | 10,0 |
| A320-211 | DEFAULT | 1 | Snižavanje – minimalni potisak | | 6 000,0 | 250,0 | 3,5 | | | |
| A320-211 | DEFAULT | 2 | Horizontalno – minimalni potisak | | 3 000,0 | 250,0 | | | 16 811,0 | |
| A320-211 | DEFAULT | 3 | Horizontalno – minimalni potisak | | 3 000,0 | 201,1 | | | 5 547,9 | |
| A320-211 | DEFAULT | 4 | Snižavanje – minimalni potisak | | 3 000,0 | 182,2 | 3,0 | | | |
| A320-211 | DEFAULT | 5 | Snižavanje – minimalni potisak | | 2 614,0 | 173,7 | 3,0 | | | |
| A320-211 | DEFAULT | 6 | Snižavanje – minimalni potisak | | 1 942,0 | 141,0 | 3,0 | | | |
| A320-211 | DEFAULT | 7 | Snižavanje | FULL_D | 1 823,0 | 132,6 | 3,0 | | | |
| A320-211 | DEFAULT | 8 | Snižavanje | FULL_D | 50,0 | 132,6 | 3,0 | | | |
| A320-211 | DEFAULT | 9 | Slijetanje | FULL_D | | | | 303,5 | | |
| A320-211 | DEFAULT | 10 | Usporenje | | | 129,6 | | | 2 731,6 | 40,0 |
| A320-211 | DEFAULT | 11 | Usporenje | | | 30,0 | | | 0,0 | 10,0 |
| A320-232 | DEFAULT | 1 | Snižavanje – minimalni potisak | | 6 000,0 | 250,0 | 2,8 | | | |
| A320-232 | DEFAULT | 2 | Horizontalno – minimalni potisak | | 3 000,0 | 250,0 | | | 20 003,3 | |
| A320-232 | DEFAULT | 3 | Horizontalno – minimalni potisak | | 3 000,0 | 198,7 | | | 4 629,3 | |
| A320-232 | DEFAULT | 4 | Snižavanje – minimalni potisak | | 3 000,0 | 183,5 | 3,0 | | | |

▼M2

| ACFTID | Oznaka profila (Profile_ID) | Broj koraka | Tip koraka | Zakrilca (Flap_ID) | Početna visina (ft) | Početna kalibrirana brzina leta (kt) | Kut snižavanja (stupnjevi) | Protrčavanje (ft) | Duljina (ft) | Početni potisak (% najvećeg potiska) |
|---|---|---|---|---|---|---|---|---|---|---|
| A320-232 | DEFAULT | 5 | Snižavanje – minimalni potisak | | 2 613,0 | 172,8 | 3,0 | | | |
| A320-232 | DEFAULT | 6 | Snižavanje – minimalni potisak | | 2 033,0 | 142,2 | 3,0 | | | |
| A320-232 | DEFAULT | 7 | Snižavanje | FULL_D | 1 819,0 | 133,8 | 3,0 | | | |
| A320-232 | DEFAULT | 8 | Snižavanje | FULL_D | 50,0 | 133,8 | 3,0 | | | |
| A320-232 | DEFAULT | 9 | Slijetanje | FULL_D | | | | 311,0 | | |
| A320-232 | DEFAULT | 10 | Usporenje | | | 130,8 | | | 2 799,4 | 40,0 |
| A320-232 | DEFAULT | 11 | Usporenje | | | 30,0 | | | 0,0 | 10,0 |
| A321-232 | DEFAULT | 1 | Snižavanje – minimalni potisak | | 6 000,0 | 250,0 | 3,1 | | | |
| A321-232 | DEFAULT | 2 | Horizontalno – minimalni potisak | | 3 000,0 | 250,0 | | | 14 717,8 | |
| A321-232 | DEFAULT | 3 | Horizontalno – minimalni potisak | | 3 000,0 | 211,2 | | | 6 135,2 | |
| A321-232 | DEFAULT | 4 | Snižavanje – minimalni potisak | | 3 000,0 | 191,6 | 3,0 | | | |
| A321-232 | DEFAULT | 5 | Snižavanje – minimalni potisak | | 2 530,0 | 175,2 | 3,0 | | | |
| A321-232 | DEFAULT | 6 | Snižavanje – minimalni potisak | | 2 133,0 | 149,8 | 3,0 | | | |
| A321-232 | DEFAULT | 7 | Snižavanje | FULL_D | 2 003,0 | 138,5 | 3,0 | | | |
| A321-232 | DEFAULT | 8 | Snižavanje | FULL_D | 50,0 | 138,5 | 3,0 | | | |
| A321-232 | DEFAULT | 9 | Slijetanje | FULL_D | | | | 345,2 | | |
| A321-232 | DEFAULT | 10 | Usporenje | | | 135,5 | | | 3 106,8 | 40,0 |

▼M2

| ACFTID | Oznaka profila (Profile_ID) | Broj koraka | Tip koraka | Zakrilca (Flap_ID) | Početna visina (ft) | Početna kalibrirana brzina leta (kt) | Kut snižavanja (stupnjevi) | Protrčavanje (ft) | Duljina (ft) | Početni potisak (% najvećeg potiska) |
|---|---|---|---|---|---|---|---|---|---|---|
| A321-232 | DEFAULT | 11 | Usporenje | | | 30,0 | | | 0,0 | 10,0 |
| A330-301 | DEFAULT | 1 | Snižavanje – minimalni potisak | | 6 000,0 | 250,0 | 3,1 | | | |
| A330-301 | DEFAULT | 2 | Horizontalno – minimalni potisak | | 3 000,0 | 250,0 | | | 19 547,2 | |
| A330-301 | DEFAULT | 3 | Horizontalno – minimalni potisak | | 3 000,0 | 200,9 | | | 10 029,5 | |
| A330-301 | DEFAULT | 4 | Snižavanje – minimalni potisak | | 3 000,0 | 166,0 | 3,0 | | | |
| A330-301 | DEFAULT | 5 | Snižavanje – minimalni potisak | | 2 547,0 | 154,0 | 3,0 | | | |
| A330-301 | DEFAULT | 6 | Snižavanje – minimalni potisak | | 2 292,0 | 140,5 | 3,0 | | | |
| A330-301 | DEFAULT | 7 | Snižavanje | FULL_D | 2 144,0 | 130,9 | 3,0 | | | |
| A330-301 | DEFAULT | 8 | Snižavanje | FULL_D | 50,0 | 130,9 | 3,0 | | | |
| A330-301 | DEFAULT | 9 | Slijetanje | FULL_D | | | | 210,4 | | |
| A330-301 | DEFAULT | 10 | Usporenje | | | 127,9 | | | 1 893,8 | 10,0 |
| A330-301 | DEFAULT | 11 | Usporenje | | | 30,0 | | | 0,0 | 10,0 |
| A330-343 | DEFAULT | 1 | Snižavanje – minimalni potisak | | 6 000,0 | 250,0 | 2,4 | | | |
| A330-343 | DEFAULT | 2 | Horizontalno – minimalni potisak | | 3 000,0 | 250,0 | | | 20 711,9 | |
| A330-343 | DEFAULT | 3 | Horizontalno – minimalni potisak | | 3 000,0 | 207,9 | | | 11 430,4 | |
| A330-343 | DEFAULT | 4 | Snižavanje – minimalni potisak | | 3 000,0 | 174,4 | 3,0 | | | |
| A330-343 | DEFAULT | 5 | Snižavanje – minimalni potisak | | 2 517,0 | 165,0 | 3,0 | | | |
| A330-343 | DEFAULT | 6 | Snižavanje – minimalni potisak | | 2 431,0 | 161,7 | 3,0 | | | |

▼M2

| ACFTID | Oznaka profila (Profile_ID) | Broj koraka | Tip koraka | Zakrilca (Flap_ID) | Početna visina (ft) | Početna kalibrirana brzina leta (kt) | Kut snižavanja (stupnjevi) | Protrčavanje (ft) | Duljina (ft) | Početni potisak (% najvećeg potiska) |
|---|---|---|---|---|---|---|---|---|---|---|
| A330-343 | DEFAULT | 7 | Snižavanje – minimalni potisak | | 2 113,0 | 146,6 | 3,0 | | | |
| A330-343 | DEFAULT | 8 | Snižavanje | FULL_D | 1 938,0 | 135,5 | 3,0 | | | |
| A330-343 | DEFAULT | 9 | Snižavanje | FULL_D | 50,0 | 135,5 | 3,0 | | | |
| A330-343 | DEFAULT | 10 | Slijetanje | FULL_D | | | | 378,0 | | |
| A330-343 | DEFAULT | 11 | Usporenje | | | 132,5 | | | 3 402,6 | 10,0 |
| A330-343 | DEFAULT | 12 | Usporenje | | | 30,0 | | | 0,0 | 10,0 |
| A340-211 | DEFAULT | 1 | Snižavanje – minimalni potisak | | 6 000,0 | 250,0 | 3,3 | | | |
| A340-211 | DEFAULT | 2 | Horizontalno – minimalni potisak | | 3 000,0 | 250,0 | | | 14 038,7 | |
| A340-211 | DEFAULT | 3 | Horizontalno – minimalni potisak | | 3 000,0 | 212,7 | | | 10 866,1 | |
| A340-211 | DEFAULT | 4 | Snižavanje – minimalni potisak | | 3 000,0 | 175,6 | 3,0 | | | |
| A340-211 | DEFAULT | 5 | Snižavanje – minimalni potisak | | 2 471,0 | 160,3 | 3,0 | | | |
| A340-211 | DEFAULT | 6 | Snižavanje – minimalni potisak | | 2 336,0 | 153,8 | 3,0 | | | |
| A340-211 | DEFAULT | 7 | Snižavanje – minimalni potisak | | 2 066,0 | 138,5 | 3,0 | | | |
| A340-211 | DEFAULT | 8 | Snižavanje | FULL_D | 1 976,0 | 132,1 | 3,0 | | | |
| A340-211 | DEFAULT | 9 | Snižavanje | FULL_D | 50,0 | 132,1 | 3,0 | | | |
| A340-211 | DEFAULT | 10 | Slijetanje | FULL_D | | | | 381,8 | | |
| A340-211 | DEFAULT | 11 | Usporenje | | | 129,1 | | | 3 436,6 | 10,0 |

▼**M2**

| ACFTID | Oznaka profila (Profile_ID) | Broj koraka | Tip koraka | Zakrilca (Flap_ID) | Početna visina (ft) | Početna kalibrirana brzina leta (kt) | Kut snižavanja (stupnjevi) | Protrčavanje (ft) | Duljina (ft) | Početni potisak (% najvećeg potiska) |
|---|---|---|---|---|---|---|---|---|---|---|
| A340-211 | DEFAULT | 12 | Usporenje | | | 30,0 | | | 0,0 | 10,0 |
| A340-642 | DEFAULT | 1 | Snižavanje – minimalni potisak | | 6 000,0 | 250,0 | 2,8 | | | |
| A340-642 | DEFAULT | 2 | Horizontalno – minimalni potisak | | 3 000,0 | 250,0 | | | 15 853,0 | |
| A340-642 | DEFAULT | 3 | Horizontalno – minimalni potisak | | 3 000,0 | 212,1 | | | 9 839,2 | |
| A340-642 | DEFAULT | 4 | Snižavanje – minimalni potisak | | 3 000,0 | 188,5 | 3,0 | | | |
| A340-642 | DEFAULT | 5 | Snižavanje – minimalni potisak | | 2 333,0 | 178,1 | 3,0 | | | |
| A340-642 | DEFAULT | 6 | Snižavanje – minimalni potisak | | 2 191,0 | 173,2 | 3,0 | | | |
| A340-642 | DEFAULT | 7 | Snižavanje – minimalni potisak | | 1 805,0 | 155,5 | 3,0 | | | |
| A340-642 | DEFAULT | 8 | Snižavanje | FULL_D | 1 650,0 | 147,8 | 3,0 | | | |
| A340-642 | DEFAULT | 9 | Snižavanje | FULL_D | 50,0 | 147,8 | 3,0 | | | |
| A340-642 | DEFAULT | 10 | Slijetanje | FULL_D | | | | 280,7 | | |
| A340-642 | DEFAULT | 11 | Usporenje | | | 144,8 | | | 2 526,5 | 10,0 |
| A340-642 | DEFAULT | 12 | Usporenje | | | 30,0 | | | 0,0 | 10,0 |
| A380-841 | DEFAULT | 1 | Snižavanje – minimalni potisak | | 6 000,0 | 250,0 | 3,0 | | | |
| A380-841 | DEFAULT | 2 | Horizontalno – minimalni potisak | | 3 000,0 | 250,0 | | | 18 044,6 | |
| A380-841 | DEFAULT | 3 | Horizontalno | A_1+F | 3 000,0 | | | | 11 893,0 | |

▼M2

| ACFTID | Oznaka profila (Profile_ID) | Broj koraka | Tip koraka | Zakrilca (Flap_ID) | Početna visina (ft) | Početna kalibrirana brzina leta (kt) | Kut snižavanja (stupnjevi) | Protrčavanje (ft) | Duljina (ft) | Početni potisak (% najvećeg potiska) |
|---|---|---|---|---|---|---|---|---|---|---|
| A380-841 | DEFAULT | 4 | Horizontalno – minimalni potisak | | 3 000,0 | 205,0 | | | 9 691,6 | |
| A380-841 | DEFAULT | 5 | Snižavanje – minimalni potisak | | 3 000,0 | 172,6 | 3,0 | | | |
| A380-841 | DEFAULT | 6 | Snižavanje – minimalni potisak | | 2 446,0 | 161,2 | 3,0 | | | |
| A380-841 | DEFAULT | 7 | Snižavanje | A_FULL | 1 976,0 | 136,3 | 3,0 | | | |
| A380-841 | DEFAULT | 8 | Snižavanje | A_FULL | 50,0 | 136,3 | 3,0 | | | |
| A380-841 | DEFAULT | 9 | Slijetanje | A_FULL | | | | 636,8 | | |
| A380-841 | DEFAULT | 10 | Usporenje | | | 136,3 | | | 5 731,3 | 10,0 |
| A380-841 | DEFAULT | 11 | Usporenje | | | 30,0 | | | 0,0 | 10,0 |
| A380-861 | DEFAULT | 1 | Snižavanje – minimalni potisak | | 6 000,0 | 250,0 | 2,7 | | | |
| A380-861 | DEFAULT | 2 | Horizontalno – minimalni potisak | | 3 000,0 | 250,0 | | | 20 036,1 | |
| A380-861 | DEFAULT | 3 | Horizontalno | A_1+F | 3 000,0 | | | | 11 896,0 | |
| A380-861 | DEFAULT | 4 | Horizontalno – minimalni potisak | | 3 000,0 | 205,0 | | | 10 213,0 | |
| A380-861 | DEFAULT | 5 | Snižavanje – minimalni potisak | | 3 000,0 | 172,6 | 3,0 | | | |
| A380-861 | DEFAULT | 6 | Snižavanje – minimalni potisak | | 2 445,0 | 161,2 | 3,0 | | | |
| A380-861 | DEFAULT | 7 | Snižavanje | A_FULL | 1 976,0 | 136,3 | 3,0 | | | |
| A380-861 | DEFAULT | 8 | Snižavanje | A_FULL | 50,0 | 136,3 | 3,0 | | | |
| A380-861 | DEFAULT | 9 | Slijetanje | A_FULL | | | | 636,8 | | |
| A380-861 | DEFAULT | 10 | Usporenje | | | 136,3 | | | 5 731,3 | 10,0 |
| A380-861 | DEFAULT | 11 | Usporenje | | | 30,0 | | | 0,0 | 10,0 |

▼M2

| ACFTID | Oznaka profila (Profile_ID) | Broj koraka | Tip koraka | Zakrilca (Flap_ID) | Početna visina (ft) | Početna kalibrirana brzina leta (kt) | Kut snižavanja (stupnjevi) | Protrčavanje (ft) | Duljina (ft) | Početni potisak (% najvećeg potiska) |
|---|---|---|---|---|---|---|---|---|---|---|
| BAC111 | DEFAULT | 1 | Snižavanje | ZERO | 6 000,0 | 250,0 | 3,0 | | | |
| BAC111 | DEFAULT | 2 | Snižavanje | INT1 | 3 000,0 | 153,3 | 3,0 | | | |
| BAC111 | DEFAULT | 3 | Snižavanje | U-INT | 1 500,0 | 143,3 | 3,0 | | | |
| BAC111 | DEFAULT | 4 | Snižavanje | D-45 | 1 000,0 | 133,3 | 3,0 | | | |
| BAC111 | DEFAULT | 5 | Slijetanje | D-45 | | | | 305,0 | | |
| BAC111 | DEFAULT | 6 | Usporenje | | | 126,5 | | | 2 745,0 | 40,0 |
| BAC111 | DEFAULT | 7 | Usporenje | | | 30,0 | | | 0,0 | 10,0 |
| BAE146 | DEFAULT | 1 | Snižavanje | ZERO | 6 000,0 | 250,0 | 3,0 | | | |
| BAE146 | DEFAULT | 2 | Snižavanje | 18 | 3 000,0 | 180,0 | 3,0 | | | |
| BAE146 | DEFAULT | 3 | Snižavanje | D-24 | 1 500,0 | 166,5 | 3,0 | | | |
| BAE146 | DEFAULT | 4 | Snižavanje | D-33 | 1 000,0 | 123,0 | 3,0 | | | |
| BAE146 | DEFAULT | 5 | Slijetanje | D-33 | | | | 243,9 | | |
| BAE146 | DEFAULT | 6 | Usporenje | | | 116,7 | | | 2 195,1 | 40,0 |
| BAE146 | DEFAULT | 7 | Usporenje | | | 30,0 | | | 0,0 | 10,0 |
| BAE300 | DEFAULT | 1 | Snižavanje | ZERO | 6 000,0 | 250,0 | 3,0 | | | |
| BAE300 | DEFAULT | 2 | Snižavanje | 18 | 3 000,0 | 180,0 | 3,0 | | | |
| BAE300 | DEFAULT | 3 | Snižavanje | D-24 | 1 500,0 | 167,0 | 3,0 | | | |
| BAE300 | DEFAULT | 4 | Snižavanje | D-33 | 1 000,0 | 124,4 | 3,0 | | | |
| BAE300 | DEFAULT | 5 | Slijetanje | D-33 | | | | 261,0 | | |
| BAE300 | DEFAULT | 6 | Usporenje | | | 118,0 | | | 2 349,0 | 40,0 |
| BAE300 | DEFAULT | 7 | Usporenje | | | 30,0 | | | 0,0 | 10,0 |
| BEC58P | DEFAULT | 1 | Snižavanje | ZERO | 6 000,0 | 130,0 | 5,0 | | | |

▼M2

| ACFTID | Oznaka profila (Profile_ID) | Broj koraka | Tip koraka | Zakrilca (Flap_ID) | Početna visina (ft) | Početna kalibrirana brzina leta (kt) | Kut snižavanja (stupnjevi) | Protrčavanje (ft) | Duljina (ft) | Početni potisak (% najvećeg potiska) |
|---|---|---|---|---|---|---|---|---|---|---|
| BEC58P | DEFAULT | 2 | Snižavanje | TO | 3 000,0 | 119,0 | 5,0 | | | |
| BEC58P | DEFAULT | 3 | Snižavanje | D-15 | 1 500,0 | 109,0 | 5,0 | | | |
| BEC58P | DEFAULT | 4 | Snižavanje | D-30 | 1 000,0 | 99,0 | 5,0 | | | |
| BEC58P | DEFAULT | 5 | Slijetanje | D-30 | | | | 188,8 | | |
| BEC58P | DEFAULT | 6 | Usporenje | | | 93,9 | | | 1 699,2 | 40,0 |
| BEC58P | DEFAULT | 7 | Usporenje | | | 30,0 | | | 0,0 | 10,0 |
| BEC58P | STD_3DEG | 1 | Snižavanje | ZERO | 6 000,0 | 130,0 | 3,0 | | | |
| BEC58P | STD_3DEG | 2 | Snižavanje | TO | 3 000,0 | 119,0 | 3,0 | | | |
| BEC58P | STD_3DEG | 3 | Snižavanje | D-15 | 1 500,0 | 109,0 | 3,0 | | | |
| BEC58P | STD_3DEG | 4 | Snižavanje | D-30 | 1 000,0 | 99,0 | 3,0 | | | |
| BEC58P | STD_3DEG | 5 | Slijetanje | D-30 | | | | 188,8 | | |
| BEC58P | STD_3DEG | 6 | Usporenje | | | 93,9 | | | 1 699,2 | 40,0 |
| BEC58P | STD_3DEG | 7 | Usporenje | | | 30,0 | | | 0,0 | 10,0 |
| BEC58P | STD_5DEG | 1 | Snižavanje | ZERO | 6 000,0 | 130,0 | 5,0 | | | |
| BEC58P | STD_5DEG | 2 | Snižavanje | TO | 3 000,0 | 119,0 | 5,0 | | | |
| BEC58P | STD_5DEG | 3 | Snižavanje | D-15 | 1 500,0 | 109,0 | 5,0 | | | |
| BEC58P | STD_5DEG | 4 | Snižavanje | D-30 | 1 000,0 | 99,0 | 5,0 | | | |
| BEC58P | STD_5DEG | 5 | Slijetanje | D-30 | | | | 188,8 | | |
| BEC58P | STD_5DEG | 6 | Usporenje | | | 93,9 | | | 1 699,2 | 40,0 |
| BEC58P | STD_5DEG | 7 | Usporenje | | | 30,0 | | | 0,0 | 10,0 |
| CIT3 | DEFAULT | 1 | Snižavanje | ZERO | 6 000,0 | 250,0 | 3,0 | | | |
| CIT3 | DEFAULT | 2 | Snižavanje | 10 | 3 000,0 | 139,5 | 3,0 | | | |

▼M2

| ACFTID | Oznaka profila (Profile_ID) | Broj koraka | Tip koraka | Zakrilca (Flap_ID) | Početna visina (ft) | Početna kalibrirana brzina leta (kt) | Kut snižavanja (stupnjevi) | Protrčavanje (ft) | Duljina (ft) | Početni potisak (% najvećeg potiska) |
|---|---|---|---|---|---|---|---|---|---|---|
| CIT3 | DEFAULT | 3 | Snižavanje | D-INTR | 1 500,0 | 129,5 | 3,0 | | | |
| CIT3 | DEFAULT | 4 | Snižavanje | D-40 | 1 000,0 | 119,5 | 3,0 | | | |
| CIT3 | DEFAULT | 5 | Slijetanje | D-40 | | | | 153,9 | | |
| CIT3 | DEFAULT | 6 | Usporenje | | | 113,4 | | | 1 385,1 | 40,0 |
| CIT3 | DEFAULT | 7 | Usporenje | | | 30,0 | | | 0,0 | 10,0 |
| CL600 | DEFAULT | 1 | Snižavanje | ZERO | 6 000,0 | 250,0 | 3,0 | | | |
| CL600 | DEFAULT | 2 | Snižavanje | 10 | 3 000,0 | 152,1 | 3,0 | | | |
| CL600 | DEFAULT | 3 | Snižavanje | D-INTR | 1 500,0 | 142,1 | 3,0 | | | |
| CL600 | DEFAULT | 4 | Snižavanje | D-45 | 1 000,0 | 132,1 | 3,0 | | | |
| CL600 | DEFAULT | 5 | Slijetanje | D-45 | | | | 201,6 | | |
| CL600 | DEFAULT | 6 | Usporenje | | | 125,3 | | | 1 814,4 | 40,0 |
| CL600 | DEFAULT | 7 | Usporenje | | | 30,0 | | | 0,0 | 10,0 |
| CL601 | DEFAULT | 1 | Snižavanje | ZERO | 6 000,0 | 250,0 | 3,0 | | | |
| CL601 | DEFAULT | 2 | Snižavanje | 10 | 3 000,0 | 158,5 | 3,0 | | | |
| CL601 | DEFAULT | 3 | Snižavanje | D-INTR | 1 500,0 | 148,5 | 3,0 | | | |
| CL601 | DEFAULT | 4 | Snižavanje | D-45 | 1 000,0 | 138,5 | 3,0 | | | |
| CL601 | DEFAULT | 5 | Slijetanje | D-45 | | | | 224,1 | | |
| CL601 | DEFAULT | 6 | Usporenje | | | 131,4 | | | 2 016,9 | 40,0 |
| CL601 | DEFAULT | 7 | Usporenje | | | 30,0 | | | 0,0 | 10,0 |
| CNA172 | DEFAULT | 1 | Snižavanje | ZERO-D | 6 000,0 | 100,0 | 3,0 | | | |
| CNA172 | DEFAULT | 2 | Snižavanje | ZERO-D | 4 000,0 | 100,0 | 3,0 | | | |

▼M2

| ACFTID | Oznaka profila (Profile_ID) | Broj koraka | Tip koraka | Zakrilca (Flap_ID) | Početna visina (ft) | Početna kalibrirana brzina leta (kt) | Kut snižavanja (stupnjevi) | Protrčavanje (ft) | Duljina (ft) | Početni potisak (% najvećeg potiska) |
|---|---|---|---|---|---|---|---|---|---|---|
| CNA172 | DEFAULT | 3 | Snižavanje | ZERO-D | 3 000,0 | 80,0 | 3,0 | | | |
| CNA172 | DEFAULT | 4 | Snižavanje | 10-D | 1 000,0 | 80,0 | 3,0 | | | |
| CNA172 | DEFAULT | 5 | Snižavanje | 10-D | 600,0 | 80,0 | 3,0 | | | |
| CNA172 | DEFAULT | 6 | Snižavanje | 10-D | 500,0 | 70,0 | 3,0 | | | |
| CNA172 | DEFAULT | 7 | Slijetanje | 10-D | | | | 30,0 | | |
| CNA172 | DEFAULT | 8 | Usporenje | | | 62,0 | | | 530,0 | 10,0 |
| CNA172 | DEFAULT | 9 | Usporenje | | | 10,0 | | | 0,0 | 10,0 |
| CNA182 | DEFAULT | 1 | Snižavanje | ZERO-A | 6 000,0 | 110,0 | 3,0 | | | |
| CNA182 | DEFAULT | 2 | Snižavanje | ZERO-A | 4 000,0 | 90,0 | 3,0 | | | |
| CNA182 | DEFAULT | 3 | Snižavanje | ZERO-A | 2 000,0 | 70,0 | 3,0 | | | |
| CNA182 | DEFAULT | 4 | Snižavanje | F10APP | 1 000,0 | 70,0 | 3,0 | | | |
| CNA182 | DEFAULT | 5 | Snižavanje | F30APP | 500,0 | 65,0 | 3,0 | | | |
| CNA182 | DEFAULT | 6 | Slijetanje | F30APP | | | | 30,0 | | |
| CNA182 | DEFAULT | 7 | Usporenje | | | 65,0 | | | 560,0 | 10,0 |
| CNA182 | DEFAULT | 8 | Usporenje | | | 10,0 | | | 0,0 | 10,0 |
| CNA208 | DEFAULT | 1 | Snižavanje | ZERO-A | 6 000,0 | 140,0 | 3,0 | | | |
| CNA208 | DEFAULT | 2 | Snižavanje | ZERO-A | 4 000,0 | 124,0 | 3,0 | | | |
| CNA208 | DEFAULT | 3 | Snižavanje | ZERO-A | 2 000,0 | 108,0 | 3,0 | | | |
| CNA208 | DEFAULT | 4 | Snižavanje | F30APP | 1 000,0 | 100,0 | 3,0 | | | |
| CNA208 | DEFAULT | 5 | Snižavanje | F30APP | 500,0 | 80,0 | 3,0 | | | |
| CNA208 | DEFAULT | 6 | Slijetanje | F30APP | | | | 100,0 | | |

▼**M2**

| ACFTID | Oznaka profila (Profile_ID) | Broj koraka | Tip koraka | Zakrilca (Flap_ID) | Početna visina (ft) | Početna kalibrirana brzina leta (kt) | Kut snižavanja (stupnjevi) | Protrčavanje (ft) | Duljina (ft) | Početni potisak (% najvećeg potiska) |
|---|---|---|---|---|---|---|---|---|---|---|
| CNA208 | DEFAULT | 7 | Usporenje | | | 78,0 | | | 815,0 | 10,0 |
| CNA208 | DEFAULT | 8 | Usporenje | | | 30,0 | | | 0,0 | 10,0 |
| CNA441 | DEFAULT | 1 | Snižavanje | ZERO | 6 000,0 | 160,0 | 3,0 | | | |
| CNA441 | DEFAULT | 2 | Snižavanje | TO | 3 000,0 | 113,9 | 3,0 | | | |
| CNA441 | DEFAULT | 3 | Snižavanje | D-INTR | 1 500,0 | 103,9 | 3,0 | | | |
| CNA441 | DEFAULT | 4 | Snižavanje | D-L | 1 000,0 | 93,9 | 3,0 | | | |
| CNA441 | DEFAULT | 5 | Slijetanje | D-L | | | | 79,1 | | |
| CNA441 | DEFAULT | 6 | Usporenje | | | 89,1 | | | 711,9 | 40,0 |
| CNA441 | DEFAULT | 7 | Usporenje | | | 30,0 | | | 0,0 | 10,0 |
| CNA500 | DEFAULT | 1 | Snižavanje | ZERO | 6 000,0 | 250,0 | 3,0 | | | |
| CNA500 | DEFAULT | 2 | Snižavanje | 1 | 3 000,0 | 131,3 | 3,0 | | | |
| CNA500 | DEFAULT | 3 | Snižavanje | D-INTR | 1 500,0 | 121,3 | 3,0 | | | |
| CNA500 | DEFAULT | 4 | Snižavanje | D-35 | 1 000,0 | 111,3 | 3,0 | | | |
| CNA500 | DEFAULT | 5 | Slijetanje | D-35 | | | | 179,1 | | |
| CNA500 | DEFAULT | 6 | Usporenje | | | 105,6 | | | 1 611,9 | 40,0 |
| CNA500 | DEFAULT | 7 | Usporenje | | | 30,0 | | | 0,0 | 10,0 |
| CNA510 | DEFAULT | 1 | Snižavanje | ZERO_C | 6 000,0 | 250,0 | 3,0 | | | |
| CNA510 | DEFAULT | 2 | Snižavanje | ZERO_C | 3 000,0 | 160,0 | 3,0 | | | |
| CNA510 | DEFAULT | 3 | Snižavanje | A_15 | 1 500,0 | 91,1 | 3,0 | | | |
| CNA510 | DEFAULT | 4 | Snižavanje | A_35 | 1 000,0 | 85,1 | 3,0 | | | |
| CNA510 | DEFAULT | 5 | Slijetanje | A_35 | | | | 175,5 | | |
| CNA510 | DEFAULT | 6 | Usporenje | | | 78,1 | | | 1 579,5 | 40,0 |

▼**M2**

| ACFTID | Oznaka profila (Profile_ID) | Broj koraka | Tip koraka | Zakrilca (Flap_ID) | Početna visina (ft) | Početna kalibrirana brzina leta (kt) | Kut snižavanja (stupnjevi) | Protrčavanje (ft) | Duljina (ft) | Početni potisak (% najvećeg potiska) |
|---|---|---|---|---|---|---|---|---|---|---|
| CNA510 | DEFAULT | 7 | Usporenje | | | 30,0 | | | 0,0 | 10,0 |
| CNA525C | DEFAULT | 1 | Snižavanje | ZERO_C | 6 000,0 | 250,0 | 3,0 | | | |
| CNA525C | DEFAULT | 2 | Snižavanje | ZERO_C | 3 000,0 | 130,0 | 3,0 | | | |
| CNA525C | DEFAULT | 3 | Snižavanje | A_15 | 1 500,0 | 119,7 | 3,0 | | | |
| CNA525C | DEFAULT | 4 | Snižavanje | A_35 | 1 000,0 | 111,8 | 3,0 | | | |
| CNA525C | DEFAULT | 5 | Slijetanje | A_35 | | | | 200,0 | | |
| CNA525C | DEFAULT | 6 | Usporenje | | | 115,0 | | | 1 500,0 | 40,0 |
| CNA525C | DEFAULT | 7 | Usporenje | | | 30,0 | | | 0,0 | 10,0 |
| CNA55B | DEFAULT | 1 | Snižavanje | ZERO_C | 6 000,0 | 250,0 | 3,0 | | | |
| CNA55B | DEFAULT | 2 | Snižavanje | ZERO_C | 3 000,0 | 160,0 | 3,0 | | | |
| CNA55B | DEFAULT | 3 | Snižavanje | A_15 | 1 500,0 | 111,8 | 3,0 | | | |
| CNA55B | DEFAULT | 4 | Snižavanje | A_35 | 1 000,0 | 105,3 | 3,0 | | | |
| CNA55B | DEFAULT | 5 | Slijetanje | A_35 | | | | 175,5 | | |
| CNA55B | DEFAULT | 6 | Usporenje | | | 100,0 | | | 1 580,0 | 40,0 |
| CNA55B | DEFAULT | 7 | Usporenje | | | 30,0 | | | 0,0 | 10,0 |
| CNA560E | DEFAULT | 1 | Snižavanje | ZERO | 6 000,0 | 250,0 | 3,0 | | | |
| CNA560E | DEFAULT | 2 | Snižavanje | 15 U | 3 000,0 | 107,5 | 3,0 | | | |
| CNA560E | DEFAULT | 3 | Snižavanje | 35 D | 1 500,0 | 101,8 | 3,0 | | | |
| CNA560E | DEFAULT | 4 | Snižavanje | 35 D | 1 000,0 | 101,8 | 3,0 | | | |
| CNA560E | DEFAULT | 5 | Slijetanje | 35 D | | | | 200,0 | | |
| CNA560E | DEFAULT | 6 | Usporenje | | | 100,0 | | | 1 000,0 | 60,0 |
| CNA560E | DEFAULT | 7 | Usporenje | | | 30,0 | | | 0,0 | 10,0 |

▼**M2**

| ACFTID | Oznaka profila (Profile_ID) | Broj koraka | Tip koraka | Zakrilca (Flap_ID) | Početna visina (ft) | Početna kalibrirana brzina leta (kt) | Kut sniža-vanja (stup-njevi) | Protrča-vanje (ft) | Duljina (ft) | Početni potisak (% najvećeg potiska) |
|---|---|---|---|---|---|---|---|---|---|---|
| CNA560U | DEFAULT | 1 | Snižavanje | ZERO | 6 000,0 | 250,0 | 3,0 | | | |
| CNA560U | DEFAULT | 2 | Snižavanje | 7 | 3 000,0 | 120,0 | 3,0 | | | |
| CNA560U | DEFAULT | 3 | Snižavanje | D 15 | 1 500,0 | 110,0 | 3,0 | | | |
| CNA560U | DEFAULT | 4 | Snižavanje | D 35 | 1 000,0 | 101,8 | 3,0 | | | |
| CNA560U | DEFAULT | 5 | Slijetanje | D 35 | | | | 175,0 | | |
| CNA560U | DEFAULT | 6 | Usporenje | | | 93,0 | | | 1 385,1 | 60,0 |
| CNA560U | DEFAULT | 7 | Usporenje | | | 30,0 | | | 0,0 | 10,0 |
| CNA560XL | DEFAULT | 1 | Snižavanje | ZERO | 6 000,0 | 250,0 | 3,0 | | | |
| CNA560XL | DEFAULT | 2 | Snižavanje | ZERO | 3 000,0 | 132,0 | 3,0 | | | |
| CNA560XL | DEFAULT | 3 | Snižavanje | D 15U | 1 500,0 | 122,0 | 3,0 | | | |
| CNA560XL | DEFAULT | 4 | Snižavanje | D 35D | 1 000,0 | 112,0 | 3,0 | | | |
| CNA560XL | DEFAULT | 5 | Slijetanje | D 35D | | | | 500,0 | | |
| CNA560XL | DEFAULT | 6 | Usporenje | | | 108,0 | | | 2 700,0 | 60,0 |
| CNA560XL | DEFAULT | 7 | Usporenje | | | 30,0 | | | 0,0 | 10,0 |
| CNA680 | DEFAULT | 1 | Snižavanje | ZERO | 6 000,0 | 250,0 | 3,0 | | | |
| CNA680 | DEFAULT | 2 | Snižavanje | ZERO | 3 000,0 | 160,0 | 3,0 | | | |
| CNA680 | DEFAULT | 3 | Snižavanje | 15 GU | 1 500,0 | 112,0 | 3,0 | | | |
| CNA680 | DEFAULT | 4 | Snižavanje | 35 GD | 1 000,0 | 105,0 | 3,0 | | | |
| CNA680 | DEFAULT | 5 | Slijetanje | 35 GD | | | | 200,0 | | |
| CNA680 | DEFAULT | 6 | Usporenje | | | 100,0 | | | 1 580,0 | 60,0 |
| CNA680 | DEFAULT | 7 | Usporenje | | | 30,0 | | | 0,0 | 10,0 |

▼**M2**

| ACFTID | Oznaka profila (Profile_ID) | Broj koraka | Tip koraka | Zakrilca (Flap_ID) | Početna visina (ft) | Početna kalibrirana brzina leta (kt) | Kut snižavanja (stupnjevi) | Protrčavanje (ft) | Duljina (ft) | Početni potisak (% najvećeg potiska) |
|---|---|---|---|---|---|---|---|---|---|---|
| CNA750 | DEFAULT | 1 | Snižavanje | ZERO | 6 000,0 | 250,0 | 3,0 | | | |
| CNA750 | DEFAULT | 2 | Snižavanje | 15_GU | 3 000,0 | 127,4 | 3,0 | | | |
| CNA750 | DEFAULT | 3 | Snižavanje | 35_GD | 1 500,0 | 120,9 | 3,0 | | | |
| CNA750 | DEFAULT | 4 | Snižavanje | 35_GD | 1 000,0 | 120,9 | 3,0 | | | |
| CNA750 | DEFAULT | 5 | Slijetanje | 35_GD | | | | 200,0 | | |
| CNA750 | DEFAULT | 6 | Usporenje | | | 115,0 | | | 1 500,0 | 40,0 |
| CNA750 | DEFAULT | 7 | Usporenje | | | 30,0 | | | 0,0 | 10,0 |
| CNA750 | FLAP_15 | 1 | Snižavanje | ZERO | 6 000,0 | 250,0 | 3,0 | | | |
| CNA750 | FLAP_15 | 2 | Snižavanje | 15_GU | 3 000,0 | 127,4 | 3,0 | | | |
| CNA750 | FLAP_15 | 3 | Snižavanje | 35_GD | 1 500,0 | 120,9 | 3,0 | | | |
| CNA750 | FLAP_15 | 4 | Snižavanje | 35_GD | 1 000,0 | 120,9 | 3,0 | | | |
| CNA750 | FLAP_15 | 5 | Slijetanje | 35_GD | | | | 200,0 | | |
| CNA750 | FLAP_15 | 6 | Usporenje | | | 115,0 | | | 1 500,0 | 40,0 |
| CNA750 | FLAP_15 | 7 | Usporenje | | | 30,0 | | | 0,0 | 10,0 |
| CNA750 | FLAP_5 | 1 | Snižavanje | ZERO | 6 000,0 | 250,0 | 3,0 | | | |
| CNA750 | FLAP_5 | 2 | Snižavanje | 5_GU | 3 000,0 | 135,2 | 3,0 | | | |
| CNA750 | FLAP_5 | 3 | Snižavanje | 15_GD | 1 500,0 | 127,4 | 3,0 | | | |
| CNA750 | FLAP_5 | 4 | Snižavanje | 15_GD | 1 000,0 | 127,4 | 3,0 | | | |
| CNA750 | FLAP_5 | 5 | Slijetanje | 15_GD | | | | 200,0 | | |
| CNA750 | FLAP_5 | 6 | Usporenje | | | 115,0 | | | 1 500,0 | 40,0 |
| CNA750 | FLAP_5 | 7 | Usporenje | | | 30,0 | | | 0,0 | 10,0 |
| CONCRD | DEFAULT | 1 | Snižavanje | CL1 | 6 000,0 | 250,0 | 3,0 | | | |

▼**M2**

| ACFTID | Oznaka profila (Profile_ID) | Broj koraka | Tip koraka | Zakrilca (Flap_ID) | Početna visina (ft) | Početna kalibrirana brzina leta (kt) | Kut snižavanja (stupnjevi) | Protrčavanje (ft) | Duljina (ft) | Početni potisak (% najvećeg potiska) |
|---|---|---|---|---|---|---|---|---|---|---|
| CONCRD | DEFAULT | 2 | Snižavanje | ZERO | 3 000,0 | 194,0 | 3,0 | | | |
| CONCRD | DEFAULT | 3 | Snižavanje | U-L | 1 500,0 | 184,0 | 3,0 | | | |
| CONCRD | DEFAULT | 4 | Snižavanje | D-L | 1 000,0 | 164,0 | 3,0 | | | |
| CONCRD | DEFAULT | 5 | Slijetanje | D-L | | | | 858,6 | | |
| CONCRD | DEFAULT | 6 | Usporenje | | | 155,5 | | | 7 727,4 | 40,0 |
| CONCRD | DEFAULT | 7 | Usporenje | | | 30,0 | | | 0,0 | 10,0 |
| CRJ9-ER | DEFAULT | 1 | Snižavanje | ZERO | 6 000,0 | 250,0 | 3,0 | | | |
| CRJ9-ER | DEFAULT | 2 | Snižavanje | 20 | 3 500,0 | 170,0 | 3,0 | | | |
| CRJ9-ER | DEFAULT | 3 | Snižavanje | U-45 | 1 500,0 | 160,0 | 3,0 | | | |
| CRJ9-ER | DEFAULT | 4 | Snižavanje | D-45 | 1 000,0 | 140,0 | 3,0 | | | |
| CRJ9-ER | DEFAULT | 5 | Slijetanje | D-45 | | | | 415,8 | | |
| CRJ9-ER | DEFAULT | 6 | Usporenje | | | 143,0 | | | 2 528,0 | 10,0 |
| CRJ9-ER | DEFAULT | 7 | Usporenje | | | 30,0 | | | 0,0 | 10,0 |
| CRJ9-LR | DEFAULT | 1 | Snižavanje | ZERO | 6 000,0 | 250,0 | 3,0 | | | |
| CRJ9-LR | DEFAULT | 2 | Snižavanje | 20 | 3 500,0 | 170,0 | 3,0 | | | |
| CRJ9-LR | DEFAULT | 3 | Snižavanje | U-45 | 1 500,0 | 160,0 | 3,0 | | | |
| CRJ9-LR | DEFAULT | 4 | Snižavanje | D-45 | 1 000,0 | 141,0 | 3,0 | | | |
| CRJ9-LR | DEFAULT | 5 | Slijetanje | D-45 | | | | 424,7 | | |
| CRJ9-LR | DEFAULT | 6 | Usporenje | | | 144,0 | | | 2 577,0 | 10,0 |
| CRJ9-LR | DEFAULT | 7 | Usporenje | | | 30,0 | | | 0,0 | 10,0 |
| CVR580 | DEFAULT | 1 | Snižavanje | ZERO | 6 000,0 | 200,0 | 3,0 | | | |
| CVR580 | DEFAULT | 2 | Snižavanje | INTR | 3 000,0 | 146,3 | 3,0 | | | |

▼**M2**

| ACFTID | Oznaka profila (Profile_ID) | Broj koraka | Tip koraka | Zakrilca (Flap_ID) | Početna visina (ft) | Početna kalibrirana brzina leta (kt) | Kut snižavanja (stupnjevi) | Protrčavanje (ft) | Duljina (ft) | Početni potisak (% najvećeg potiska) |
|---|---|---|---|---|---|---|---|---|---|---|
| CVR580 | DEFAULT | 3 | Snižavanje | D-28 | 1 500,0 | 112,4 | 3,0 | | | |
| CVR580 | DEFAULT | 4 | Snižavanje | D-40 | 1 000,0 | 106,3 | 3,0 | | | |
| CVR580 | DEFAULT | 5 | Slijetanje | D-40 | | | | 287,6 | | |
| CVR580 | DEFAULT | 6 | Usporenje | | | 100,9 | | | 2 588,4 | 40,0 |
| CVR580 | DEFAULT | 7 | Usporenje | | | 30,0 | | | 0,0 | 10,0 |
| DC1010 | DEFAULT | 1 | Snižavanje | ZERO | 6 000,0 | 250,0 | 3,0 | | | |
| DC1010 | DEFAULT | 2 | Snižavanje | INT | 3 000,0 | 163,7 | 3,0 | | | |
| DC1010 | DEFAULT | 3 | Snižavanje | U-35 | 1 500,0 | 153,7 | 3,0 | | | |
| DC1010 | DEFAULT | 4 | Snižavanje | D-35 | 1 000,0 | 143,7 | 3,0 | | | |
| DC1010 | DEFAULT | 5 | Slijetanje | D-35 | | | | 428,4 | | |
| DC1010 | DEFAULT | 6 | Usporenje | | | 136,3 | | | 3 855,6 | 10,0 |
| DC1010 | DEFAULT | 7 | Usporenje | | | 30,0 | | | 0,0 | 10,0 |
| DC1030 | DEFAULT | 1 | Snižavanje | ZERO | 6 000,0 | 250,0 | 3,0 | | | |
| DC1030 | DEFAULT | 2 | Snižavanje | INT2 | 3 000,0 | 172,6 | 3,0 | | | |
| DC1030 | DEFAULT | 3 | Snižavanje | U-20 | 1 500,0 | 162,6 | 3,0 | | | |
| DC1030 | DEFAULT | 4 | Snižavanje | D-35 | 1 000,0 | 152,6 | 3,0 | | | |
| DC1030 | DEFAULT | 5 | Slijetanje | D-35 | | | | 392,2 | | |
| DC1030 | DEFAULT | 6 | Usporenje | | | 144,8 | | | 3 529,8 | 10,0 |
| DC1030 | DEFAULT | 7 | Usporenje | | | 30,0 | | | 0,0 | 10,0 |
| DC1040 | DEFAULT | 1 | Snižavanje | ZERO | 6 000,0 | 250,0 | 3,0 | | | |
| DC1040 | DEFAULT | 2 | Snižavanje | 5 | 3 000,0 | 173,5 | 3,0 | | | |
| DC1040 | DEFAULT | 3 | Snižavanje | U-35 | 1 500,0 | 163,5 | 3,0 | | | |

▼**M2**

| ACFTID | Oznaka profila (Profile_ID) | Broj koraka | Tip koraka | Zakrilca (Flap_ID) | Početna visina (ft) | Početna kalibrirana brzina leta (kt) | Kut snižavanja (stupnjevi) | Protrčavanje (ft) | Duljina (ft) | Početni potisak (% najvećeg potiska) |
|---|---|---|---|---|---|---|---|---|---|---|
| DC1040 | DEFAULT | 4 | Snižavanje | D-35 | 1 000,0 | 153,5 | 3,0 | | | |
| DC1040 | DEFAULT | 5 | Slijetanje | D-35 | | | | 446,4 | | |
| DC1040 | DEFAULT | 6 | Usporenje | | | 145,6 | | | 4 017,6 | 10,0 |
| DC1040 | DEFAULT | 7 | Usporenje | | | 30,0 | | | 0,0 | 10,0 |
| DC3 | DEFAULT | 1 | Snižavanje | ZERO | 6 000,0 | 140,0 | 3,0 | | | |
| DC3 | DEFAULT | 2 | Snižavanje | TO | 3 000,0 | 109,0 | 3,0 | | | |
| DC3 | DEFAULT | 3 | Snižavanje | U-INT | 1 500,0 | 99,0 | 3,0 | | | |
| DC3 | DEFAULT | 4 | Snižavanje | D-45 | 1 000,0 | 88,9 | 3,0 | | | |
| DC3 | DEFAULT | 5 | Slijetanje | D-45 | | | | 104,6 | | |
| DC3 | DEFAULT | 6 | Usporenje | | | 84,3 | | | 941,4 | 34,3 |
| DC3 | DEFAULT | 7 | Usporenje | | | 30,0 | | | 0,0 | 10,0 |
| DC6 | DEFAULT | 1 | Snižavanje | ZERO | 6 000,0 | 160,0 | 3,0 | | | |
| DC6 | DEFAULT | 2 | Snižavanje | TO | 3 000,0 | 106,1 | 3,0 | | | |
| DC6 | DEFAULT | 3 | Snižavanje | D-INTR | 1 500,0 | 96,1 | 3,0 | | | |
| DC6 | DEFAULT | 4 | Snižavanje | D-L | 1 000,0 | 86,1 | 3,0 | | | |
| DC6 | DEFAULT | 5 | Slijetanje | D-L | | | | 175,5 | | |
| DC6 | DEFAULT | 6 | Usporenje | | | 81,7 | | | 1 579,5 | 40,0 |
| DC6 | DEFAULT | 7 | Usporenje | | | 30,0 | | | 0,0 | 10,0 |
| DC850 | DEFAULT | 1 | Snižavanje | ZERO | 6 000,0 | 250,0 | 3,0 | | | |
| DC850 | DEFAULT | 2 | Snižavanje | INT | 3 000,0 | 165,6 | 3,0 | | | |
| DC850 | DEFAULT | 3 | Snižavanje | D-35 | 1 500,0 | 152,7 | 3,0 | | | |
| DC850 | DEFAULT | 4 | Snižavanje | D-50 | 1 000,0 | 145,6 | 3,0 | | | |
| DC850 | DEFAULT | 5 | Slijetanje | D-50 | | | | 390,6 | | |

▼**M2**

| ACFTID | Oznaka profila (Profile_ID) | Broj koraka | Tip koraka | Zakrilca (Flap_ID) | Početna visina (ft) | Početna kalibrirana brzina leta (kt) | Kut sniža-vanja (stup-njevi) | Protrča-vanje (ft) | Duljina (ft) | Početni potisak (% najvećeg potiska) |
|---|---|---|---|---|---|---|---|---|---|---|
| DC850 | DEFAULT | 6 | Usporenje | | | 138,1 | | | 3 515,4 | 40,0 |
| DC850 | DEFAULT | 7 | Usporenje | | | 30,0 | | | 0,0 | 10,0 |
| DC860 | DEFAULT | 1 | Snižavanje | ZERO | 6 000,0 | 250,0 | 3,0 | | | |
| DC860 | DEFAULT | 2 | Snižavanje | INT | 3 000,0 | 161,5 | 3,0 | | | |
| DC860 | DEFAULT | 3 | Snižavanje | D-35 | 1 500,0 | 155,7 | 3,0 | | | |
| DC860 | DEFAULT | 4 | Snižavanje | D-50 | 1 000,0 | 151,5 | 3,0 | | | |
| DC860 | DEFAULT | 5 | Slijetanje | D-50 | | | | 382,5 | | |
| DC860 | DEFAULT | 6 | Usporenje | | | 143,7 | | | 3 442,5 | 40,0 |
| DC860 | DEFAULT | 7 | Usporenje | | | 30,0 | | | 0,0 | 10,0 |
| DC870 | DEFAULT | 1 | Snižavanje | ZERO | 6 000,0 | 250,0 | 3,0 | | | |
| DC870 | DEFAULT | 2 | Snižavanje | INT | 3 000,0 | 166,7 | 3,0 | | | |
| DC870 | DEFAULT | 3 | Snižavanje | D-35 | 1 500,0 | 150,8 | 3,0 | | | |
| DC870 | DEFAULT | 4 | Snižavanje | D-50 | 1 000,0 | 146,7 | 3,0 | | | |
| DC870 | DEFAULT | 5 | Slijetanje | D-50 | | | | 489,6 | | |
| DC870 | DEFAULT | 6 | Usporenje | | | 139,2 | | | 4 406,4 | 40,0 |
| DC870 | DEFAULT | 7 | Usporenje | | | 30,0 | | | 0,0 | 10,0 |
| DC8QN | DEFAULT | 1 | Snižavanje | ZERO | 6 000,0 | 250,0 | 3,0 | | | |
| DC8QN | DEFAULT | 2 | Snižavanje | INT | 3 000,0 | 161,5 | 3,0 | | | |
| DC8QN | DEFAULT | 3 | Snižavanje | D-35 | 1 500,0 | 155,7 | 3,0 | | | |
| DC8QN | DEFAULT | 4 | Snižavanje | D-50 | 1 000,0 | 151,5 | 3,0 | | | |
| DC8QN | DEFAULT | 5 | Slijetanje | D-50 | | | | 382,5 | | |
| DC8QN | DEFAULT | 6 | Usporenje | | | 143,7 | | | 3 442,5 | 40,0 |

▼**M2**

| ACFTID | Oznaka profila (Profile_ID) | Broj koraka | Tip koraka | Zakrilca (Flap_ID) | Početna visina (ft) | Početna kalibrirana brzina leta (kt) | Kut snižavanja (stupnjevi) | Protrčavanje (ft) | Duljina (ft) | Početni potisak (% najvećeg potiska) |
|---|---|---|---|---|---|---|---|---|---|---|
| DC8QN | DEFAULT | 7 | Usporenje | | | 30,0 | | | 0,0 | 10,0 |
| DC910 | DEFAULT | 1 | Snižavanje | ZERO | 6 000,0 | 250,0 | 3,0 | | | |
| DC910 | DEFAULT | 2 | Snižavanje | 5 | 3 000,0 | 150,2 | 3,0 | | | |
| DC910 | DEFAULT | 3 | Snižavanje | U-15 | 1 500,0 | 140,2 | 3,0 | | | |
| DC910 | DEFAULT | 4 | Snižavanje | D-35 | 1 000,0 | 130,2 | 3,0 | | | |
| DC910 | DEFAULT | 5 | Slijetanje | D-35 | | | | 357,3 | | |
| DC910 | DEFAULT | 6 | Usporenje | | | 123,5 | | | 3 215,7 | 40,0 |
| DC910 | DEFAULT | 7 | Usporenje | | | 30,0 | | | 0,0 | 10,0 |
| DC930 | DEFAULT | 1 | Snižavanje | ZERO | 6 000,0 | 250,0 | 3,0 | | | |
| DC930 | DEFAULT | 2 | Snižavanje | 5 | 3 000,0 | 162,5 | 3,0 | | | |
| DC930 | DEFAULT | 3 | Snižavanje | U-15 | 1 500,0 | 152,5 | 3,0 | | | |
| DC930 | DEFAULT | 4 | Snižavanje | D-35 | 1 000,0 | 142,5 | 3,0 | | | |
| DC930 | DEFAULT | 5 | Slijetanje | D-35 | | | | 325,8 | | |
| DC930 | DEFAULT | 6 | Usporenje | | | 135,2 | | | 2 932,2 | 40,0 |
| DC930 | DEFAULT | 7 | Usporenje | | | 30,0 | | | 0,0 | 10,0 |
| DC93LW | DEFAULT | 1 | Snižavanje | ZERO | 6 000,0 | 250,0 | 3,0 | | | |
| DC93LW | DEFAULT | 2 | Snižavanje | 5 | 3 000,0 | 162,5 | 3,0 | | | |
| DC93LW | DEFAULT | 3 | Snižavanje | U-15 | 1 500,0 | 152,5 | 3,0 | | | |
| DC93LW | DEFAULT | 4 | Snižavanje | D-35 | 1 000,0 | 142,5 | 3,0 | | | |
| DC93LW | DEFAULT | 5 | Slijetanje | D-35 | | | | 325,8 | | |
| DC93LW | DEFAULT | 6 | Usporenje | | | 135,2 | | | 2 932,2 | 40,0 |
| DC93LW | DEFAULT | 7 | Usporenje | | | 30,0 | | | 0,0 | 10,0 |

▼**M2**

| ACFTID | Oznaka profila (Profile_ID) | Broj koraka | Tip koraka | Zakrilca (Flap_ID) | Početna visina (ft) | Početna kalibrirana brzina leta (kt) | Kut snižavanja (stupnjevi) | Protrčavanje (ft) | Duljina (ft) | Početni potisak (% najvećeg potiska) |
|---|---|---|---|---|---|---|---|---|---|---|
| DC950 | DEFAULT | 1 | Snižavanje | ZERO | 6 000,0 | 250,0 | 3,0 | | | |
| DC950 | DEFAULT | 2 | Snižavanje | 5 | 3 000,0 | 167,3 | 3,0 | | | |
| DC950 | DEFAULT | 3 | Snižavanje | U-15 | 1 500,0 | 157,3 | 3,0 | | | |
| DC950 | DEFAULT | 4 | Snižavanje | D-35 | 1 000,0 | 147,3 | 3,0 | | | |
| DC950 | DEFAULT | 5 | Slijetanje | D-35 | | | | 343,8 | | |
| DC950 | DEFAULT | 6 | Usporenje | | | 139,7 | | | 3 094,2 | 40,0 |
| DC950 | DEFAULT | 7 | Usporenje | | | 30,0 | | | 0,0 | 10,0 |
| DC95HW | DEFAULT | 1 | Snižavanje | ZERO | 6 000,0 | 250,0 | 3,0 | | | |
| DC95HW | DEFAULT | 2 | Snižavanje | 5 | 3 000,0 | 167,3 | 3,0 | | | |
| DC95HW | DEFAULT | 3 | Snižavanje | U-15 | 1 500,0 | 157,3 | 3,0 | | | |
| DC95HW | DEFAULT | 4 | Snižavanje | D-35 | 1 000,0 | 147,3 | 3,0 | | | |
| DC95HW | DEFAULT | 5 | Slijetanje | D-35 | | | | 343,8 | | |
| DC95HW | DEFAULT | 6 | Usporenje | | | 139,7 | | | 3 094,2 | 40,0 |
| DC95HW | DEFAULT | 7 | Usporenje | | | 30,0 | | | 0,0 | 10,0 |
| DC9Q7 | DEFAULT | 1 | Snižavanje | ZERO | 6 000,0 | 250,0 | 3,0 | | | |
| DC9Q7 | DEFAULT | 2 | Snižavanje | 5 | 3 000,0 | 150,2 | 3,0 | | | |
| DC9Q7 | DEFAULT | 3 | Snižavanje | U-15 | 1 500,0 | 140,2 | 3,0 | | | |
| DC9Q7 | DEFAULT | 4 | Snižavanje | D-35 | 1 000,0 | 130,2 | 3,0 | | | |
| DC9Q7 | DEFAULT | 5 | Slijetanje | D-35 | | | | 357,3 | | |
| DC9Q7 | DEFAULT | 6 | Usporenje | | | 123,5 | | | 3 215,7 | 40,0 |
| DC9Q7 | DEFAULT | 7 | Usporenje | | | 30,0 | | | 0,0 | 10,0 |
| DC9Q9 | DEFAULT | 1 | Snižavanje | ZERO | 6 000,0 | 250,0 | 3,0 | | | |
| DC9Q9 | DEFAULT | 2 | Snižavanje | 5 | 3 000,0 | 162,5 | 3,0 | | | |

▼**M2**

| ACFTID | Oznaka profila (Profile_ID) | Broj koraka | Tip koraka | Zakrilca (Flap_ID) | Početna visina (ft) | Početna kalibrirana brzina leta (kt) | Kut snižavanja (stupnjevi) | Protrčavanje (ft) | Duljina (ft) | Početni potisak (% najvećeg potiska) |
|---|---|---|---|---|---|---|---|---|---|---|
| DC9Q9 | DEFAULT | 3 | Snižavanje | U-15 | 1 500,0 | 152,5 | 3,0 | | | |
| DC9Q9 | DEFAULT | 4 | Snižavanje | D-35 | 1 000,0 | 142,5 | 3,0 | | | |
| DC9Q9 | DEFAULT | 5 | Slijetanje | D-35 | | | | 325,8 | | |
| DC9Q9 | DEFAULT | 6 | Usporenje | | | 135,2 | | | 2 932,2 | 40,0 |
| DC9Q9 | DEFAULT | 7 | Usporenje | | | 30,0 | | | 0,0 | 10,0 |
| DHC6 | DEFAULT | 1 | Snižavanje | ZERO | 6 000,0 | 120,0 | 3,0 | | | |
| DHC6 | DEFAULT | 2 | Snižavanje | INTR | 3 000,0 | 80,7 | 3,0 | | | |
| DHC6 | DEFAULT | 3 | Snižavanje | D-INTR | 1 500,0 | 70,7 | 3,0 | | | |
| DHC6 | DEFAULT | 4 | Snižavanje | D-L | 1 000,0 | 60,7 | 3,0 | | | |
| DHC6 | DEFAULT | 5 | Slijetanje | D-L | | | | 39,6 | | |
| DHC6 | DEFAULT | 6 | Usporenje | | | 57,6 | | | 356,4 | 40,0 |
| DHC6 | DEFAULT | 7 | Usporenje | | | 30,0 | | | 0,0 | 10,0 |
| DHC6QP | DEFAULT | 1 | Snižavanje | ZERO | 6 000,0 | 120,0 | 3,0 | | | |
| DHC6QP | DEFAULT | 2 | Snižavanje | INTR | 3 000,0 | 80,7 | 3,0 | | | |
| DHC6QP | DEFAULT | 3 | Snižavanje | D-INTR | 1 500,0 | 70,7 | 3,0 | | | |
| DHC6QP | DEFAULT | 4 | Snižavanje | D-L | 1 000,0 | 60,7 | 3,0 | | | |
| DHC6QP | DEFAULT | 5 | Slijetanje | D-L | | | | 39,6 | | |
| DHC6QP | DEFAULT | 6 | Usporenje | | | 57,6 | | | 356,4 | 40,0 |
| DHC6QP | DEFAULT | 7 | Usporenje | | | 30,0 | | | 0,0 | 10,0 |
| DHC7 | DEFAULT | 1 | Snižavanje | ZERO | 6 000,0 | 160,0 | 3,0 | | | |
| DHC7 | DEFAULT | 2 | Snižavanje | 10 | 3 000,0 | 116,2 | 3,0 | | | |
| DHC7 | DEFAULT | 3 | Snižavanje | D-INTR | 1 500,0 | 106,2 | 3,0 | | | |
| DHC7 | DEFAULT | 4 | Snižavanje | D-25 | 1 000,0 | 96,2 | 3,0 | | | |

▼**M2**

| ACFTID | Oznaka profila (Profile_ID) | Broj koraka | Tip koraka | Zakrilca (Flap_ID) | Početna visina (ft) | Početna kalibrirana brzina leta (kt) | Kut snižavanja (stupnjevi) | Protrčavanje (ft) | Duljina (ft) | Početni potisak (% najvećeg potiska) |
|---|---|---|---|---|---|---|---|---|---|---|
| DHC7 | DEFAULT | 5 | Slijetanje | D-25 | | | | 98,1 | | |
| DHC7 | DEFAULT | 6 | Usporenje | | | 91,3 | | | 882,9 | 40,0 |
| DHC7 | DEFAULT | 7 | Usporenje | | | 30,0 | | | 0,0 | 10,0 |
| DHC8 | DEFAULT | 1 | Snižavanje | ZERO | 6 000,0 | 165,0 | 3,0 | | | |
| DHC8 | DEFAULT | 2 | Snižavanje | 5 | 3 000,0 | 109,0 | 3,0 | | | |
| DHC8 | DEFAULT | 3 | Snižavanje | D-15 | 1 500,0 | 96,0 | 3,0 | | | |
| DHC8 | DEFAULT | 4 | Snižavanje | D-35 | 1 000,0 | 89,0 | 3,0 | | | |
| DHC8 | DEFAULT | 5 | Slijetanje | D-35 | | | | 174,6 | | |
| DHC8 | DEFAULT | 6 | Usporenje | | | 84,4 | | | 1 571,4 | 24,6 |
| DHC8 | DEFAULT | 7 | Usporenje | | | 30,0 | | | 0,0 | 4,1 |
| DHC830 | DEFAULT | 1 | Snižavanje | ZERO | 6 000,0 | 179,0 | 3,0 | | | |
| DHC830 | DEFAULT | 2 | Snižavanje | 10 | 3 000,0 | 128,0 | 3,0 | | | |
| DHC830 | DEFAULT | 3 | Snižavanje | D-15 | 1 500,0 | 116,9 | 3,0 | | | |
| DHC830 | DEFAULT | 4 | Snižavanje | D-35 | 1 000,0 | 108,0 | 3,0 | | | |
| DHC830 | DEFAULT | 5 | Slijetanje | D-35 | | | | 219,6 | | |
| DHC830 | DEFAULT | 6 | Usporenje | | | 102,5 | | | 1 976,4 | 26,1 |
| DHC830 | DEFAULT | 7 | Usporenje | | | 30,0 | | | 0,0 | 4,4 |
| DO228 | DEFAULT | 1 | Snižavanje | ZERO-A | 6 000,0 | 200,0 | 3,0 | | | |
| DO228 | DEFAULT | 2 | Snižavanje | ZERO-A | 4 000,0 | 160,0 | 3,0 | | | |
| DO228 | DEFAULT | 3 | Snižavanje | ZERO-A | 2 000,0 | 120,0 | 3,0 | | | |
| DO228 | DEFAULT | 4 | Snižavanje | F30APP | 1 000,0 | 100,0 | 3,0 | | | |
| DO228 | DEFAULT | 5 | Snižavanje | F30APP | 50,0 | 88,0 | 3,0 | | | |
| DO228 | DEFAULT | 6 | Slijetanje | F30APP | | | | 100,0 | | |

▼**M2**

| ACFTID | Oznaka profila (Profile_ID) | Broj koraka | Tip koraka | Zakrilca (Flap_ID) | Početna visina (ft) | Početna kalibrirana brzina leta (kt) | Kut snižavanja (stupnjevi) | Protrčavanje (ft) | Duljina (ft) | Početni potisak (% najvećeg potiska) |
|---|---|---|---|---|---|---|---|---|---|---|
| DO228 | DEFAULT | 7 | Usporenje | | | 80,0 | | | 1 320,9 | 10,0 |
| DO228 | DEFAULT | 8 | Usporenje | | | 30,0 | | | 0,0 | 10,0 |
| DO328 | DEFAULT | 1 | Snižavanje | ZERO-A | 6 000,0 | 200,0 | 3,0 | | | |
| DO328 | DEFAULT | 2 | Snižavanje | ZERO-A | 4 000,0 | 175,0 | 3,0 | | | |
| DO328 | DEFAULT | 3 | Snižavanje | ZERO-A | 2 000,0 | 150,0 | 3,0 | | | |
| DO328 | DEFAULT | 4 | Snižavanje | F32APP | 1 000,0 | 109,0 | 3,0 | | | |
| DO328 | DEFAULT | 5 | Snižavanje | F32APP | 500,0 | 109,0 | 3,0 | | | |
| DO328 | DEFAULT | 6 | Slijetanje | F32APP | | | | 50,0 | | |
| DO328 | DEFAULT | 7 | Usporenje | | | 109,0 | | | 2 216,0 | 10,0 |
| DO328 | DEFAULT | 8 | Usporenje | | | 30,0 | | | 0,0 | 10,0 |
| ECLIP-SE500 | DEFAULT | 1 | Snižavanje | A_T_DN | 6 000,0 | 170,0 | 3,0 | | | |
| ECLIP-SE500 | DEFAULT | 2 | Snižavanje | A_T_DN | 5 000,0 | 160,0 | 3,0 | | | |
| ECLIP-SE500 | DEFAULT | 3 | Snižavanje | A_A_DN | 3 000,0 | 100,4 | 3,0 | | | |
| ECLIP-SE500 | DEFAULT | 4 | Snižavanje | A_A_DN | 2 000,0 | 100,4 | 3,0 | | | |
| ECLIP-SE500 | DEFAULT | 5 | Snižavanje | A_A_DN | 1 000,0 | 100,4 | 3,0 | | | |
| ECLIP-SE500 | DEFAULT | 6 | Snižavanje | A_A_DN | 100,0 | 90,4 | 3,0 | | | |
| ECLIP-SE500 | DEFAULT | 7 | Slijetanje | A_A_DN | | | | 144,0 | | |
| ECLIP-SE500 | DEFAULT | 8 | Usporenje | | | 70,0 | | | 1 291,0 | 10,0 |
| ECLIP-SE500 | DEFAULT | 9 | Usporenje | | | 20,0 | | | 0,0 | 10,0 |

▼**M2**

| ACFTID | Oznaka profila (Profile_ID) | Broj koraka | Tip koraka | Zakrilca (Flap_ID) | Početna visina (ft) | Početna kalibrirana brzina leta (kt) | Kut snižavanja (stupnjevi) | Protrčavanje (ft) | Duljina (ft) | Početni potisak (% najvećeg potiska) |
|---|---|---|---|---|---|---|---|---|---|---|
| EMB120 | DEFAULT | 1 | Snižavanje | ZERO | 6 000,0 | 141,5 | 3,0 | | | |
| EMB120 | DEFAULT | 2 | Snižavanje | 15 | 3 000,0 | 132,3 | 3,0 | | | |
| EMB120 | DEFAULT | 3 | Snižavanje | D-25 | 1 500,0 | 127,4 | 3,0 | | | |
| EMB120 | DEFAULT | 4 | Snižavanje | D-45 | 1 000,0 | 119,3 | 3,0 | | | |
| EMB120 | DEFAULT | 5 | Slijetanje | D-45 | | | | 95,0 | | |
| EMB120 | DEFAULT | 6 | Usporenje | | | 116,1 | | | 855,0 | 40,0 |
| EMB120 | DEFAULT | 7 | Usporenje | | | 30,0 | | | 0,0 | 10,0 |
| EMB145 | DEFAULT | 1 | Snižavanje | ZERO | 6 000,0 | 250,0 | 3,0 | | | |
| EMB145 | DEFAULT | 2 | Snižavanje | D-22 | 3 000,0 | 150,0 | 3,0 | | | |
| EMB145 | DEFAULT | 3 | Snižavanje | D-45 | 1 500,0 | 140,0 | 3,0 | | | |
| EMB145 | DEFAULT | 4 | Snižavanje | D-45 | 1 000,0 | 134,0 | 3,0 | | | |
| EMB145 | DEFAULT | 5 | Slijetanje | D-45 | | | | 285,5 | | |
| EMB145 | DEFAULT | 6 | Usporenje | | | 130,0 | | | 2 569,5 | 40,0 |
| EMB145 | DEFAULT | 7 | Usporenje | | | 30,0 | | | 0,0 | 10,0 |
| EMB14L | DEFAULT | 1 | Snižavanje | ZERO | 6 000,0 | 250,0 | 3,0 | | | |
| EMB14L | DEFAULT | 2 | Snižavanje | D-22 | 1 500,0 | 140,0 | 3,0 | | | |
| EMB14L | DEFAULT | 3 | Snižavanje | D-45 | 1 000,0 | 140,0 | 3,0 | | | |
| EMB14L | DEFAULT | 4 | Snižavanje | D-45 | 500,0 | 138,0 | 3,0 | | | |
| EMB14L | DEFAULT | 5 | Slijetanje | D-45 | | | | 285,5 | | |
| EMB14L | DEFAULT | 6 | Usporenje | | | 132,0 | | | 2 569,5 | 40,0 |
| EMB14L | DEFAULT | 7 | Usporenje | | | 30,0 | | | 0,0 | 10,0 |

▼**M2**

| ACFTID | Oznaka profila (Profile_ID) | Broj koraka | Tip koraka | Zakrilca (Flap_ID) | Početna visina (ft) | Početna kalibrirana brzina leta (kt) | Kut sniža-vanja (stup-njevi) | Protrča-vanje (ft) | Duljina (ft) | Početni potisak (% najvećeg potiska) |
|---|---|---|---|---|---|---|---|---|---|---|
| EMB170 | DEFAULT | 1 | Snižavanje – minimalni potisak | | 6 000,0 | 250,0 | 3,0 | | | |
| EMB170 | DEFAULT | 2 | Snižavanje – minimalni potisak | | 3 000,0 | 180,0 | 3,0 | | | |
| EMB170 | DEFAULT | 3 | Snižavanje – minimalni potisak | | 2 000,0 | 140,0 | 3,0 | | | |
| EMB170 | DEFAULT | 4 | Snižavanje | FULL | 1 500,0 | 130,0 | 3,0 | | | |
| EMB170 | DEFAULT | 5 | Slijetanje | FULL | | | | 267,2 | | |
| EMB170 | DEFAULT | 6 | Usporenje | | | 120,0 | | | 2 405,0 | 40,0 |
| EMB170 | DEFAULT | 7 | Usporenje | | | 30,0 | | | 0,0 | 10,0 |
| EMB175 | DEFAULT | 1 | Snižavanje – minimalni potisak | | 6 000,0 | 250,0 | 3,0 | | | |
| EMB175 | DEFAULT | 2 | Snižavanje – minimalni potisak | | 3 000,0 | 180,0 | 3,0 | | | |
| EMB175 | DEFAULT | 3 | Snižavanje – minimalni potisak | | 2 000,0 | 140,0 | 3,0 | | | |
| EMB175 | DEFAULT | 4 | Snižavanje | FULL | 1 500,0 | 130,0 | 3,0 | | | |
| EMB175 | DEFAULT | 5 | Slijetanje | FULL | | | | 276,3 | | |
| EMB175 | DEFAULT | 6 | Usporenje | | | 120,0 | | | 2 487,0 | 40,0 |
| EMB175 | DEFAULT | 7 | Usporenje | | | 30,0 | | | 0,0 | 10,0 |
| EMB190 | DEFAULT | 1 | Snižavanje – minimalni potisak | | 6 000,0 | 250,0 | 3,0 | | | |
| EMB190 | DEFAULT | 2 | Snižavanje – minimalni potisak | | 3 000,0 | 180,0 | 3,0 | | | |
| EMB190 | DEFAULT | 3 | Snižavanje – minimalni potisak | | 2 000,0 | 140,0 | 3,0 | | | |
| EMB190 | DEFAULT | 4 | Snižavanje | FULL | 1 500,0 | 130,0 | 3,0 | | | |

▼**M2**

| ACFTID | Oznaka profila (Profile_ID) | Broj koraka | Tip koraka | Zakrilca (Flap_ID) | Početna visina (ft) | Početna kalibrirana brzina leta (kt) | Kut snižavanja (stupnjevi) | Protrčavanje (ft) | Duljina (ft) | Početni potisak (% najvećeg potiska) |
|---|---|---|---|---|---|---|---|---|---|---|
| EMB190 | DEFAULT | 5 | Slijetanje | FULL | | | | 271,9 | | |
| EMB190 | DEFAULT | 6 | Usporenje | | | 120,0 | | | 2 447,0 | 40,0 |
| EMB190 | DEFAULT | 7 | Usporenje | | | 30,0 | | | 0,0 | 10,0 |
| EMB195 | DEFAULT | 1 | Snižavanje – minimalni potisak | | 6 000,0 | 250,0 | 3,0 | | | |
| EMB195 | DEFAULT | 2 | Snižavanje – minimalni potisak | | 3 000,0 | 180,0 | 3,0 | | | |
| EMB195 | DEFAULT | 3 | Snižavanje – minimalni potisak | | 2 000,0 | 140,0 | 3,0 | | | |
| EMB195 | DEFAULT | 4 | Snižavanje | FULL | 1 500,0 | 130,0 | 3,0 | | | |
| EMB195 | DEFAULT | 5 | Slijetanje | FULL | | | | 281,1 | | |
| EMB195 | DEFAULT | 6 | Usporenje | | | 120,0 | | | 2 530,0 | 40,0 |
| EMB195 | DEFAULT | 7 | Usporenje | | | 30,0 | | | 0,0 | 10,0 |
| F10062 | DEFAULT | 1 | Snižavanje | TO | 6 000,0 | 250,0 | 3,0 | | | |
| F10062 | DEFAULT | 2 | Snižavanje | INT2 | 3 000,0 | 161,3 | 3,0 | | | |
| F10062 | DEFAULT | 3 | Snižavanje | U-INT | 1 500,0 | 141,3 | 3,0 | | | |
| F10062 | DEFAULT | 4 | Snižavanje | D-42 | 1 000,0 | 131,3 | 3,0 | | | |
| F10062 | DEFAULT | 5 | Slijetanje | D-42 | | | | 315,0 | | |
| F10062 | DEFAULT | 6 | Usporenje | | | 124,5 | | | 2 835,0 | 40,0 |
| F10062 | DEFAULT | 7 | Usporenje | | | 30,0 | | | 0,0 | 10,0 |
| F10065 | DEFAULT | 1 | Snižavanje | TO | 6 000,0 | 250,0 | 3,0 | | | |
| F10065 | DEFAULT | 2 | Snižavanje | INT2 | 3 000,0 | 163,1 | 3,0 | | | |

▼**M2**

| ACFTID | Oznaka profila (Profile_ID) | Broj koraka | Tip koraka | Zakrilca (Flap_ID) | Početna visina (ft) | Početna kalibrirana brzina leta (kt) | Kut snižavanja (stupnjevi) | Protrčavanje (ft) | Duljina (ft) | Početni potisak (% najvećeg potiska) |
|---|---|---|---|---|---|---|---|---|---|---|
| F10065 | DEFAULT | 3 | Snižavanje | U-INT | 1 500,0 | 143,1 | 3,0 | | | |
| F10065 | DEFAULT | 4 | Snižavanje | D-42 | 1 000,0 | 133,1 | 3,0 | | | |
| F10065 | DEFAULT | 5 | Slijetanje | D-42 | | | | 328,0 | | |
| F10065 | DEFAULT | 6 | Usporenje | | | 126,3 | | | 2 952,0 | 40,0 |
| F10065 | DEFAULT | 7 | Usporenje | | | 30,0 | | | 0,0 | 10,0 |
| F28MK2 | DEFAULT | 1 | Snižavanje | ZERO | 6 000,0 | 250,0 | 3,0 | | | |
| F28MK2 | DEFAULT | 2 | Snižavanje | INT2 | 3 000,0 | 152,9 | 3,0 | | | |
| F28MK2 | DEFAULT | 3 | Snižavanje | U-INTR | 1 500,0 | 132,9 | 3,0 | | | |
| F28MK2 | DEFAULT | 4 | Snižavanje | D-42 | 1 000,0 | 122,9 | 3,0 | | | |
| F28MK2 | DEFAULT | 5 | Slijetanje | D-42 | | | | 223,2 | | |
| F28MK2 | DEFAULT | 6 | Usporenje | | | 116,6 | | | 2 008,8 | 40,0 |
| F28MK2 | DEFAULT | 7 | Usporenje | | | 30,0 | | | 0,0 | 10,0 |
| F28MK4 | DEFAULT | 1 | Snižavanje | ZERO | 6 000,0 | 250,0 | 3,0 | | | |
| F28MK4 | DEFAULT | 2 | Snižavanje | INT2 | 3 000,0 | 153,6 | 3,0 | | | |
| F28MK4 | DEFAULT | 3 | Snižavanje | U-INTR | 1 500,0 | 133,6 | 3,0 | | | |
| F28MK4 | DEFAULT | 4 | Snižavanje | D-42 | 1 000,0 | 123,6 | 3,0 | | | |
| F28MK4 | DEFAULT | 5 | Slijetanje | D-42 | | | | 223,7 | | |
| F28MK4 | DEFAULT | 6 | Usporenje | | | 117,2 | | | 2 013,3 | 40,0 |
| F28MK4 | DEFAULT | 7 | Usporenje | | | 30,0 | | | 0,0 | 10,0 |
| FAL20 | DEFAULT | 1 | Snižavanje | ZERO | 6 000,0 | 250,0 | 3,0 | | | |
| FAL20 | DEFAULT | 2 | Snižavanje | INTR | 3 000,0 | 142,2 | 3,0 | | | |

▼M2

| ACFTID | Oznaka profila (Profile_ID) | Broj koraka | Tip koraka | Zakrilca (Flap_ID) | Početna visina (ft) | Početna kalibrirana brzina leta (kt) | Kut snižavanja (stupnjevi) | Protrčavanje (ft) | Duljina (ft) | Početni potisak (% najvećeg potiska) |
|---|---|---|---|---|---|---|---|---|---|---|
| FAL20 | DEFAULT | 3 | Snižavanje | D-25 | 1 500,0 | 126,1 | 3,0 | | | |
| FAL20 | DEFAULT | 4 | Snižavanje | D-40 | 1 000,0 | 124,2 | 3,0 | | | |
| FAL20 | DEFAULT | 5 | Slijetanje | D-40 | | | | 128,7 | | |
| FAL20 | DEFAULT | 6 | Usporenje | | | 117,9 | | | 1 158,3 | 40,0 |
| FAL20 | DEFAULT | 7 | Usporenje | | | 30,0 | | | 0,0 | 10,0 |
| GII | DEFAULT | 1 | Snižavanje | L-0-U | 6 000,0 | 230,0 | 3,0 | | | |
| GII | DEFAULT | 2 | Snižavanje | L-10-U | 3 000,0 | 170,0 | 3,0 | | | |
| GII | DEFAULT | 3 | Snižavanje | L-20-D | 1 500,0 | 153,6 | 3,0 | | | |
| GII | DEFAULT | 4 | Snižavanje | L-20-D | 1 000,0 | 153,6 | 3,0 | | | |
| GII | DEFAULT | 5 | Snižavanje | L-39-D | 200,0 | 143,6 | 3,0 | | | |
| GII | DEFAULT | 6 | Slijetanje | L-39-D | | | | 790,0 | | |
| GII | DEFAULT | 7 | Usporenje | | | 117,0 | | | 760,0 | 40,0 |
| GII | DEFAULT | 8 | Usporenje | | | 20,0 | | | 0,0 | 10,0 |
| GIIB | DEFAULT | 1 | Snižavanje | L-0-U | 6 000,0 | 230,0 | 3,0 | | | |
| GIIB | DEFAULT | 2 | Snižavanje | L-10-U | 3 000,0 | 170,0 | 3,0 | | | |
| GIIB | DEFAULT | 3 | Snižavanje | L-20-D | 1 500,0 | 149,2 | 3,0 | | | |
| GIIB | DEFAULT | 4 | Snižavanje | L-20-D | 1 000,0 | 149,2 | 3,0 | | | |
| GIIB | DEFAULT | 5 | Snižavanje | L-39-D | 200,0 | 139,2 | 3,0 | | | |
| GIIB | DEFAULT | 6 | Slijetanje | L-39-D | | | | 790,0 | | |
| GIIB | DEFAULT | 7 | Usporenje | | | 113,0 | | | 760,0 | 40,0 |
| GIIB | DEFAULT | 8 | Usporenje | | | 20,0 | | | 0,0 | 10,0 |

▼**M2**

| ACFTID | Oznaka profila (Profile_ID) | Broj koraka | Tip koraka | Zakrilca (Flap_ID) | Početna visina (ft) | Početna kalibrirana brzina leta (kt) | Kut snižavanja (stupnjevi) | Protrčavanje (ft) | Duljina (ft) | Početni potisak (% najvećeg potiska) |
|---|---|---|---|---|---|---|---|---|---|---|
| GIV | DEFAULT | 1 | Snižavanje | L-0-U | 6 000,0 | 250,0 | 3,0 | | | |
| GIV | DEFAULT | 2 | Snižavanje | L-0-U | 3 000,0 | 160,0 | 3,0 | | | |
| GIV | DEFAULT | 3 | Snižavanje | L-20-D | 1 500,0 | 160,0 | 3,0 | | | |
| GIV | DEFAULT | 4 | Snižavanje | L-39-D | 1 000,0 | 151,5 | 3,0 | | | |
| GIV | DEFAULT | 5 | Slijetanje | L-39-D | | | | 298,0 | | |
| GIV | DEFAULT | 6 | Usporenje | | | 80,0 | | | 982,0 | 40,0 |
| GIV | DEFAULT | 7 | Usporenje | | | 20,0 | | | 0,0 | 4,0 |
| GV | DEFAULT | 1 | Snižavanje | L-0-U | 6 000,0 | 250,0 | 3,0 | | | |
| GV | DEFAULT | 2 | Snižavanje | L-20-U | 3 000,0 | 160,0 | 3,0 | | | |
| GV | DEFAULT | 3 | Snižavanje | L-20-D | 1 500,0 | 160,0 | 3,0 | | | |
| GV | DEFAULT | 4 | Snižavanje | L-39-D | 1 000,0 | 137,8 | 3,0 | | | |
| GV | DEFAULT | 5 | Slijetanje | L-39-D | | | | 300,0 | | |
| GV | DEFAULT | 6 | Usporenje | | | 107,0 | | | 1 157,0 | 40,0 |
| GV | DEFAULT | 7 | Usporenje | | | 20,0 | | | 0,0 | 4,6 |
| HS748A | DEFAULT | 1 | Snižavanje | ZERO | 6 000,0 | 160,0 | 3,0 | | | |
| HS748A | DEFAULT | 2 | Snižavanje | INTR | 3 000,0 | 110,1 | 3,0 | | | |
| HS748A | DEFAULT | 3 | Snižavanje | D-INTR | 1 500,0 | 100,1 | 3,0 | | | |
| HS748A | DEFAULT | 4 | Snižavanje | D-30 | 1 000,0 | 90,1 | 3,0 | | | |
| HS748A | DEFAULT | 5 | Slijetanje | D-30 | | | | 207,0 | | |

▼**M2**

| ACFTID | Oznaka profila (Profile_ID) | Broj koraka | Tip koraka | Zakrilca (Flap_ID) | Početna visina (ft) | Početna kalibrirana brzina leta (kt) | Kut snižavanja (stupnjevi) | Protrčavanje (ft) | Duljina (ft) | Početni potisak (% najvećeg potiska) |
|---|---|---|---|---|---|---|---|---|---|---|
| HS748A | DEFAULT | 6 | Usporenje | | | 85,5 | | | 1 863,0 | 40,0 |
| HS748A | DEFAULT | 7 | Usporenje | | | 30,0 | | | 0,0 | 10,0 |
| IA1125 | DEFAULT | 1 | Snižavanje | ZERO | 6 000,0 | 250,0 | 3,0 | | | |
| IA1125 | DEFAULT | 2 | Snižavanje | INTR | 3 000,0 | 152,1 | 3,0 | | | |
| IA1125 | DEFAULT | 3 | Snižavanje | D-INTR | 1 500,0 | 142,1 | 3,0 | | | |
| IA1125 | DEFAULT | 4 | Snižavanje | D-40 | 1 000,0 | 132,1 | 3,0 | | | |
| IA1125 | DEFAULT | 5 | Slijetanje | D-40 | | | | 236,6 | | |
| IA1125 | DEFAULT | 6 | Usporenje | | | 125,3 | | | 2 129,4 | 40,0 |
| IA1125 | DEFAULT | 7 | Usporenje | | | 30,0 | | | 0,0 | 10,0 |
| L1011 | DEFAULT | 1 | Snižavanje | ZERO | 6 000,0 | 250,0 | 3,0 | | | |
| L1011 | DEFAULT | 2 | Snižavanje | 10 | 3 000,0 | 160,5 | 3,0 | | | |
| L1011 | DEFAULT | 3 | Snižavanje | D-33 | 1 500,0 | 162,9 | 3,0 | | | |
| L1011 | DEFAULT | 4 | Snižavanje | D-42 | 1 000,0 | 145,5 | 3,0 | | | |
| L1011 | DEFAULT | 5 | Slijetanje | D-42 | | | | 417,0 | | |
| L1011 | DEFAULT | 6 | Usporenje | | | 138,1 | | | 3 753,0 | 10,0 |
| L1011 | DEFAULT | 7 | Usporenje | | | 30,0 | | | 0,0 | 10,0 |
| L10115 | DEFAULT | 1 | Snižavanje | ZERO | 6 000,0 | 250,0 | 3,0 | | | |
| L10115 | DEFAULT | 2 | Snižavanje | 10 | 3 000,0 | 162,4 | 3,0 | | | |
| L10115 | DEFAULT | 3 | Snižavanje | D-33 | 1 500,0 | 151,2 | 3,0 | | | |
| L10115 | DEFAULT | 4 | Snižavanje | D-42 | 1 000,0 | 147,4 | 3,0 | | | |
| L10115 | DEFAULT | 5 | Slijetanje | D-42 | | | | 516,6 | | |

▼**M2**

| ACFTID | Oznaka profila (Profile_ID) | Broj koraka | Tip koraka | Zakrilca (Flap_ID) | Početna visina (ft) | Početna kalibrirana brzina leta (kt) | Kut snižavanja (stupnjevi) | Protrčavanje (ft) | Duljina (ft) | Početni potisak (% najvećeg potiska) |
|---|---|---|---|---|---|---|---|---|---|---|
| L10115 | DEFAULT | 6 | Usporenje | | | 139,8 | | | 4 649,4 | 10,0 |
| L10115 | DEFAULT | 7 | Usporenje | | | 30,0 | | | 0,0 | 10,0 |
| L188 | DEFAULT | 1 | Snižavanje | ZERO | 6 000,0 | 200,0 | 3,0 | | | |
| L188 | DEFAULT | 2 | Snižavanje | INTR | 3 000,0 | 147,5 | 3,0 | | | |
| L188 | DEFAULT | 3 | Snižavanje | D-78-% | 1 500,0 | 135,6 | 3,0 | | | |
| L188 | DEFAULT | 4 | Snižavanje | D-100 | 1 000,0 | 129,8 | 3,0 | | | |
| L188 | DEFAULT | 5 | Slijetanje | D-100 | | | | 351,0 | | |
| L188 | DEFAULT | 6 | Usporenje | | | 123,1 | | | 3 159,0 | 40,0 |
| L188 | DEFAULT | 7 | Usporenje | | | 30,0 | | | 0,0 | 10,0 |
| LEAR25 | DEFAULT | 1 | Snižavanje | ZERO | 6 000,0 | 250,0 | 3,0 | | | |
| LEAR25 | DEFAULT | 2 | Snižavanje | 10 | 3 000,0 | 161,6 | 3,0 | | | |
| LEAR25 | DEFAULT | 3 | Snižavanje | D-INTR | 1 500,0 | 151,6 | 3,0 | | | |
| LEAR25 | DEFAULT | 4 | Snižavanje | D-40 | 1 000,0 | 141,7 | 3,0 | | | |
| LEAR25 | DEFAULT | 5 | Slijetanje | D-40 | | | | 140,4 | | |
| LEAR25 | DEFAULT | 6 | Usporenje | | | 134,4 | | | 1 263,6 | 40,0 |
| LEAR25 | DEFAULT | 7 | Usporenje | | | 30,0 | | | 0,0 | 10,0 |
| LEAR35 | DEFAULT | 1 | Snižavanje | ZERO | 6 000,0 | 250,0 | 3,0 | | | |
| LEAR35 | DEFAULT | 2 | Snižavanje | 10 | 3 000,0 | 144,5 | 3,0 | | | |
| LEAR35 | DEFAULT | 3 | Snižavanje | D-INTR | 1 500,0 | 134,5 | 3,0 | | | |

▼**M2**

| ACFTID | Oznaka profila (Profile_ID) | Broj koraka | Tip koraka | Zakrilca (Flap_ID) | Početna visina (ft) | Početna kalibrirana brzina leta (kt) | Kut snižavanja (stupnjevi) | Protrčavanje (ft) | Duljina (ft) | Početni potisak (% najvećeg potiska) |
|---|---|---|---|---|---|---|---|---|---|---|
| LEAR35 | DEFAULT | 4 | Snižavanje | D-40 | 1 000,0 | 127,8 | 3,0 | | | |
| LEAR35 | DEFAULT | 5 | Slijetanje | D-40 | | | | 181,4 | | |
| LEAR35 | DEFAULT | 6 | Usporenje | | | 121,2 | | | 1 632,6 | 40,0 |
| LEAR35 | DEFAULT | 7 | Usporenje | | | 30,0 | | | 0,0 | 10,0 |
| MD9025 | DEFAULT | 1 | Snižavanje | U-0 | 6 000,0 | 185,0 | 3,0 | | | |
| MD9025 | DEFAULT | 2 | Snižavanje | D-28 | 3 000,0 | 154,0 | 3,0 | | | |
| MD9025 | DEFAULT | 3 | Snižavanje | D-28 | 1 500,0 | 150,0 | 3,0 | | | |
| MD9025 | DEFAULT | 4 | Snižavanje | D-40 | 1 000,0 | 145,3 | 3,0 | | | |
| MD9025 | DEFAULT | 5 | Slijetanje | D-40 | | | | 346,0 | | |
| MD9025 | DEFAULT | 6 | Usporenje | | | 130,0 | | | 2 100,0 | 40,0 |
| MD9025 | DEFAULT | 7 | Usporenje | | | 30,0 | | | 0,0 | 9,6 |
| MD9028 | DEFAULT | 1 | Snižavanje | U-0 | 6 000,0 | 185,0 | 3,0 | | | |
| MD9028 | DEFAULT | 2 | Snižavanje | D-28 | 3 000,0 | 154,0 | 3,0 | | | |
| MD9028 | DEFAULT | 3 | Snižavanje | D-28 | 1 500,0 | 150,0 | 3,0 | | | |
| MD9028 | DEFAULT | 4 | Snižavanje | D-40 | 1 000,0 | 145,3 | 3,0 | | | |
| MD9028 | DEFAULT | 5 | Slijetanje | D-40 | | | | 346,0 | | |
| MD9028 | DEFAULT | 6 | Usporenje | | | 130,0 | | | 2 100,0 | 40,0 |
| MD9028 | DEFAULT | 7 | Usporenje | | | 30,0 | | | 0,0 | 8,6 |

▼**M2**

| ACFTID | Oznaka profila (Profile_ID) | Broj koraka | Tip koraka | Zakrilca (Flap_ID) | Početna visina (ft) | Početna kalibrirana brzina leta (kt) | Kut snižavanja (stupnjevi) | Protrčavanje (ft) | Duljina (ft) | Početni potisak (% najvećeg potiska) |
|---|---|---|---|---|---|---|---|---|---|---|
| MU3001 | DEFAULT | 1 | Snižavanje | ZERO | 6 000,0 | 250,0 | 3,0 | | | |
| MU3001 | DEFAULT | 2 | Snižavanje | 1 | 3 000,0 | 133,8 | 3,0 | | | |
| MU3001 | DEFAULT | 3 | Snižavanje | D-INTR | 1 500,0 | 123,8 | 3,0 | | | |
| MU3001 | DEFAULT | 4 | Snižavanje | D-30 | 1 000,0 | 117,1 | 3,0 | | | |
| MU3001 | DEFAULT | 5 | Slijetanje | D-30 | | | | 156,6 | | |
| MU3001 | DEFAULT | 6 | Usporenje | | | 111,1 | | | 1 409,4 | 40,0 |
| MU3001 | DEFAULT | 7 | Usporenje | | | 30,0 | | | 0,0 | 10,0 |
| PA30 | DEFAULT | 1 | Snižavanje | ZERO-A | 6 000,0 | 120,0 | 3,0 | | | |
| PA30 | DEFAULT | 2 | Snižavanje | 27-A | 3 000,0 | 109,0 | 3,0 | | | |
| PA30 | DEFAULT | 3 | Snižavanje | 27-A | 1 500,0 | 96,0 | 3,0 | | | |
| PA30 | DEFAULT | 4 | Snižavanje | 27-A | 1 000,0 | 87,0 | 3,0 | | | |
| PA30 | DEFAULT | 5 | Slijetanje | 27-A | | | | 53,5 | | |
| PA30 | DEFAULT | 6 | Usporenje | | | 70,0 | | | 481,1 | 10,0 |
| PA30 | DEFAULT | 7 | Usporenje | | | 10,0 | | | 0,0 | 10,0 |
| PA42 | DEFAULT | 1 | Snižavanje | ZERO-A | 6 000,0 | 151,0 | 3,0 | | | |
| PA42 | DEFAULT | 2 | Snižavanje | ZERO-A | 4 000,0 | 135,0 | 3,0 | | | |
| PA42 | DEFAULT | 3 | Snižavanje | ZERO-A | 2 000,0 | 119,0 | 3,0 | | | |
| PA42 | DEFAULT | 4 | Snižavanje | 30-DN | 1 000,0 | 111,0 | 3,0 | | | |

▼**M2**

| ACFTID | Oznaka profila (Profile_ID) | Broj koraka | Tip koraka | Zakrilca (Flap_ID) | Početna visina (ft) | Početna kalibrirana brzina leta (kt) | Kut snižavanja (stupnjevi) | Protrčavanje (ft) | Duljina (ft) | Početni potisak (% najvećeg potiska) |
|---|---|---|---|---|---|---|---|---|---|---|
| PA42 | DEFAULT | 5 | Snižavanje | 30-DN | 50,0 | 111,0 | 3,0 | | | |
| PA42 | DEFAULT | 6 | Slijetanje | 30-DN | | | | 100,0 | | |
| PA42 | DEFAULT | 7 | Usporenje | | | 111,0 | | | 2 245,9 | 10,0 |
| PA42 | DEFAULT | 8 | Usporenje | | | 10,0 | | | 0,0 | 10,0 |
| SD330 | DEFAULT | 1 | Snižavanje | ZERO | 6 000,0 | 160,0 | 3,0 | | | |
| SD330 | DEFAULT | 2 | Snižavanje | INTR | 3 000,0 | 120,2 | 3,0 | | | |
| SD330 | DEFAULT | 3 | Snižavanje | D-15 | 1 500,0 | 106,5 | 3,0 | | | |
| SD330 | DEFAULT | 4 | Snižavanje | D-35 | 1 000,0 | 100,2 | 3,0 | | | |
| SD330 | DEFAULT | 5 | Slijetanje | D-35 | | | | 233,1 | | |
| SD330 | DEFAULT | 6 | Usporenje | | | 95,1 | | | 2 097,9 | 40,0 |
| SD330 | DEFAULT | 7 | Usporenje | | | 30,0 | | | 0,0 | 10,0 |
| SF340 | DEFAULT | 1 | Snižavanje | ZERO | 6 000,0 | 160,0 | 3,0 | | | |
| SF340 | DEFAULT | 2 | Snižavanje | 5 | 3 000,0 | 136,9 | 3,0 | | | |
| SF340 | DEFAULT | 3 | Snižavanje | D-INTR | 1 500,0 | 126,9 | 3,0 | | | |
| SF340 | DEFAULT | 4 | Snižavanje | D-35 | 1 000,0 | 116,9 | 3,0 | | | |
| SF340 | DEFAULT | 5 | Slijetanje | D-35 | | | | 216,9 | | |
| SF340 | DEFAULT | 6 | Usporenje | | | 110,9 | | | 1 952,1 | 40,0 |
| SF340 | DEFAULT | 7 | Usporenje | | | 30,0 | | | 0,0 | 10,0 |

▼M2

*Tablica I-4 (1. dio)*

**Uobičajeni proceduralni koraci pri odletu**

| ACFTID | Oznaka profila (Profile_ID) | Duljina faze | Broj koraka | Tip koraka | Režim rada motora | Zakrilca (Flap_ID) | Visina krajnje točke (ft) | Stopa penjanja (ft/min) | Kalibrirana brzina leta u krajnjoj točki (kt) | Postotak ubrzanja (Accele-rate_Per-cent) (%) |
|---|---|---|---|---|---|---|---|---|---|---|
| 1900D | DEFAULT | 1 | 1 | Uzlijetanje | Maksimum za uzlijetanje | 17-D | | | | |
| 1900D | DEFAULT | 1 | 2 | Penjanje | Maksimum za uzlijetanje | 17-D | 400 | | | |
| 1900D | DEFAULT | 1 | 3 | Ubrzanje | Maksimum za uzlijetanje | 17-D | | 2 750 | 128 | |
| 1900D | DEFAULT | 1 | 4 | Ubrzanje | Maksimum za penjanje | ZERO-D | | 2 950 | 138 | |
| 1900D | DEFAULT | 1 | 5 | Penjanje | Maksimum za penjanje | ZERO-D | 3 000 | | | |
| 1900D | DEFAULT | 1 | 6 | Ubrzanje | Maksimum za penjanje | ZERO-D | | 1 500 | 160 | |
| 1900D | DEFAULT | 1 | 7 | Penjanje | Maksimum za penjanje | ZERO-D | 5 500 | | | |
| 1900D | DEFAULT | 1 | 8 | Penjanje | Maksimum za penjanje | ZERO-D | 7 500 | | | |
| 1900D | DEFAULT | 1 | 9 | Penjanje | Maksimum za penjanje | ZERO-D | 10 000 | | | |
| 1900D | DEFAULT | 2 | 1 | Uzlijetanje | Maksimum za uzlijetanje | 17-D | | | | |
| 1900D | DEFAULT | 2 | 2 | Penjanje | Maksimum za uzlijetanje | 17-D | 400 | | | |
| 1900D | DEFAULT | 2 | 3 | Ubrzanje | Maksimum za uzlijetanje | 17-D | | 2 400 | 128 | |
| 1900D | DEFAULT | 2 | 4 | Ubrzanje | Maksimum za penjanje | ZERO-D | | 2 650 | 138 | |
| 1900D | DEFAULT | 2 | 5 | Penjanje | Maksimum za penjanje | ZERO-D | 3 000 | | | |
| 1900D | DEFAULT | 2 | 6 | Ubrzanje | Maksimum za penjanje | ZERO-D | | 1 500 | 160 | |
| 1900D | DEFAULT | 2 | 7 | Penjanje | Maksimum za penjanje | ZERO-D | 5 500 | | | |
| 1900D | DEFAULT | 2 | 8 | Penjanje | Maksimum za penjanje | ZERO-D | 7 500 | | | |
| 1900D | DEFAULT | 2 | 9 | Penjanje | Maksimum za penjanje | ZERO-D | 10 000 | | | |
| 707320 | DEFAULT | 1 | 1 | Uzlijetanje | Maksimum za uzlijetanje | 14 | | | | |
| 707320 | DEFAULT | 1 | 2 | Penjanje | Maksimum za uzlijetanje | 14 | 1 000 | | | |
| 707320 | DEFAULT | 1 | 3 | Ubrzanje | Maksimum za uzlijetanje | 14 | | 2 047 | 175 | |

▼M2

| ACFTID | Oznaka profila (Profile_ID) | Duljina faze | Broj koraka | Tip koraka | Režim rada motora | Zakrilca (Flap_ID) | Visina krajnje točke (ft) | Stopa penjanja (ft/min) | Kalibrirana brzina leta u krajnjoj točki (kt) | Postotak ubrzanja (Accele-rate_Per-cent) (%) |
|---|---|---|---|---|---|---|---|---|---|---|
| 707320 | DEFAULT | 1 | 4 | Ubrzanje | Maksimum za penjanje | INT | | 1 000 | 195 | |
| 707320 | DEFAULT | 1 | 5 | Penjanje | Maksimum za penjanje | ZERO | 3 000 | | | |
| 707320 | DEFAULT | 1 | 6 | Ubrzanje | Maksimum za penjanje | ZERO | | 1 000 | 250 | |
| 707320 | DEFAULT | 1 | 7 | Penjanje | Maksimum za penjanje | ZERO | 5 500 | | | |
| 707320 | DEFAULT | 1 | 8 | Penjanje | Maksimum za penjanje | ZERO | 7 500 | | | |
| 707320 | DEFAULT | 1 | 9 | Penjanje | Maksimum za penjanje | ZERO | 10 000 | | | |
| 707320 | DEFAULT | 2 | 1 | Uzlijetanje | Maksimum za uzlijetanje | 14 | | | | |
| 707320 | DEFAULT | 2 | 2 | Penjanje | Maksimum za uzlijetanje | 14 | 1 000 | | | |
| 707320 | DEFAULT | 2 | 3 | Ubrzanje | Maksimum za uzlijetanje | 14 | | 1 905 | 179 | |
| 707320 | DEFAULT | 2 | 4 | Ubrzanje | Maksimum za penjanje | INT | | 1 000 | 199 | |
| 707320 | DEFAULT | 2 | 5 | Penjanje | Maksimum za penjanje | ZERO | 3 000 | | | |
| 707320 | DEFAULT | 2 | 6 | Ubrzanje | Maksimum za penjanje | ZERO | | 1 000 | 250 | |
| 707320 | DEFAULT | 2 | 7 | Penjanje | Maksimum za penjanje | ZERO | 5 500 | | | |
| 707320 | DEFAULT | 2 | 8 | Penjanje | Maksimum za penjanje | ZERO | 7 500 | | | |
| 707320 | DEFAULT | 2 | 9 | Penjanje | Maksimum za penjanje | ZERO | 10 000 | | | |
| 707320 | DEFAULT | 3 | 1 | Uzlijetanje | Maksimum za uzlijetanje | 14 | | | | |
| 707320 | DEFAULT | 3 | 2 | Penjanje | Maksimum za uzlijetanje | 14 | 1 000 | | | |
| 707320 | DEFAULT | 3 | 3 | Ubrzanje | Maksimum za uzlijetanje | 14 | | 1 793 | 183 | |
| 707320 | DEFAULT | 3 | 4 | Ubrzanje | Maksimum za penjanje | INT | | 1 000 | 203 | |
| 707320 | DEFAULT | 3 | 5 | Penjanje | Maksimum za penjanje | ZERO | 3 000 | | | |
| 707320 | DEFAULT | 3 | 6 | Ubrzanje | Maksimum za penjanje | ZERO | | 1 000 | 250 | |
| 707320 | DEFAULT | 3 | 7 | Penjanje | Maksimum za penjanje | ZERO | 5 500 | | | |

▼M2

| ACFTID | Oznaka profila (Profile_ID) | Duljina faze | Broj koraka | Tip koraka | Režim rada motora | Zakrilca (Flap_ID) | Visina krajnje točke (ft) | Stopa penjanja (ft/min) | Kalibrirana brzina leta u krajnjoj točki (kt) | Postotak ubrzanja (Accelerate_Percent) (%) |
|---|---|---|---|---|---|---|---|---|---|---|
| 707320 | DEFAULT | 3 | 8 | Penjanje | Maksimum za penjanje | ZERO | 7 500 | | | |
| 707320 | DEFAULT | 3 | 9 | Penjanje | Maksimum za penjanje | ZERO | 10 000 | | | |
| 707320 | DEFAULT | 4 | 1 | Uzlijetanje | Maksimum za uzlijetanje | 14 | | | | |
| 707320 | DEFAULT | 4 | 2 | Penjanje | Maksimum za uzlijetanje | 14 | 1 000 | | | |
| 707320 | DEFAULT | 4 | 3 | Ubrzanje | Maksimum za uzlijetanje | 14 | | 1 624 | 189 | |
| 707320 | DEFAULT | 4 | 4 | Ubrzanje | Maksimum za penjanje | INT | | 1 000 | 209 | |
| 707320 | DEFAULT | 4 | 5 | Penjanje | Maksimum za penjanje | ZERO | 3 000 | | | |
| 707320 | DEFAULT | 4 | 6 | Ubrzanje | Maksimum za penjanje | ZERO | | 1 000 | 250 | |
| 707320 | DEFAULT | 4 | 7 | Penjanje | Maksimum za penjanje | ZERO | 5 500 | | | |
| 707320 | DEFAULT | 4 | 8 | Penjanje | Maksimum za penjanje | ZERO | 7 500 | | | |
| 707320 | DEFAULT | 4 | 9 | Penjanje | Maksimum za penjanje | ZERO | 10 000 | | | |
| 707320 | DEFAULT | 5 | 1 | Uzlijetanje | Maksimum za uzlijetanje | 14 | | | | |
| 707320 | DEFAULT | 5 | 2 | Penjanje | Maksimum za uzlijetanje | 14 | 1 000 | | | |
| 707320 | DEFAULT | 5 | 3 | Ubrzanje | Maksimum za uzlijetanje | 14 | | 1 430 | 197 | |
| 707320 | DEFAULT | 5 | 4 | Ubrzanje | Maksimum za penjanje | INT | | 1 000 | 217 | |
| 707320 | DEFAULT | 5 | 5 | Penjanje | Maksimum za penjanje | ZERO | 3 000 | | | |
| 707320 | DEFAULT | 5 | 6 | Ubrzanje | Maksimum za penjanje | ZERO | | 1 000 | 250 | |
| 707320 | DEFAULT | 5 | 7 | Penjanje | Maksimum za penjanje | ZERO | 5 500 | | | |
| 707320 | DEFAULT | 5 | 8 | Penjanje | Maksimum za penjanje | ZERO | 7 500 | | | |
| 707320 | DEFAULT | 5 | 9 | Penjanje | Maksimum za penjanje | ZERO | 10 000 | | | |
| 707320 | DEFAULT | 6 | 1 | Uzlijetanje | Maksimum za uzlijetanje | 14 | | | | |
| 707320 | DEFAULT | 6 | 2 | Penjanje | Maksimum za uzlijetanje | 14 | 1 000 | | | |
| 707320 | DEFAULT | 6 | 3 | Ubrzanje | Maksimum za uzlijetanje | 14 | | 1 259 | 205 | |

▼M2

| ACFTID | Oznaka profila (Profile_ID) | Duljina faze | Broj koraka | Tip koraka | Režim rada motora | Zakrilca (Flap_ID) | Visina krajnje točke (ft) | Stopa penjanja (ft/min) | Kalibrirana brzina leta u krajnjoj točki (kt) | Postotak ubrzanja (Accelerate_Percent) (%) |
|---|---|---|---|---|---|---|---|---|---|---|
| 707320 | DEFAULT | 6 | 4 | Ubrzanje | Maksimum za penjanje | INT | | 800 | 225 | |
| 707320 | DEFAULT | 6 | 5 | Penjanje | Maksimum za penjanje | ZERO | 3 000 | | | |
| 707320 | DEFAULT | 6 | 6 | Ubrzanje | Maksimum za penjanje | ZERO | | 800 | 250 | |
| 707320 | DEFAULT | 6 | 7 | Penjanje | Maksimum za penjanje | ZERO | 5 500 | | | |
| 707320 | DEFAULT | 6 | 8 | Penjanje | Maksimum za penjanje | ZERO | 7 500 | | | |
| 707320 | DEFAULT | 6 | 9 | Penjanje | Maksimum za penjanje | ZERO | 10 000 | | | |
| 707320 | DEFAULT | 7 | 1 | Uzlijetanje | Maksimum za uzlijetanje | 14 | | | | |
| 707320 | DEFAULT | 7 | 2 | Penjanje | Maksimum za uzlijetanje | 14 | 1 000 | | | |
| 707320 | DEFAULT | 7 | 3 | Ubrzanje | Maksimum za uzlijetanje | 14 | | 1 151 | 209 | |
| 707320 | DEFAULT | 7 | 4 | Ubrzanje | Maksimum za penjanje | INT | | 800 | 229 | |
| 707320 | DEFAULT | 7 | 5 | Penjanje | Maksimum za penjanje | ZERO | 3 000 | | | |
| 707320 | DEFAULT | 7 | 6 | Ubrzanje | Maksimum za penjanje | ZERO | | 800 | 250 | |
| 707320 | DEFAULT | 7 | 7 | Penjanje | Maksimum za penjanje | ZERO | 5 500 | | | |
| 707320 | DEFAULT | 7 | 8 | Penjanje | Maksimum za penjanje | ZERO | 7 500 | | | |
| 707320 | DEFAULT | 7 | 9 | Penjanje | Maksimum za penjanje | ZERO | 10 000 | | | |
| 707QN | DEFAULT | 1 | 1 | Uzlijetanje | Maksimum za uzlijetanje | 14 | | | | |
| 707QN | DEFAULT | 1 | 2 | Penjanje | Maksimum za uzlijetanje | 14 | 1 000 | | | |
| 707QN | DEFAULT | 1 | 3 | Ubrzanje | Maksimum za uzlijetanje | 14 | | 2 047 | 175 | |
| 707QN | DEFAULT | 1 | 4 | Ubrzanje | Maksimum za penjanje | INT | | 1 000 | 195 | |
| 707QN | DEFAULT | 1 | 5 | Penjanje | Maksimum za penjanje | ZERO | 3 000 | | | |
| 707QN | DEFAULT | 1 | 6 | Ubrzanje | Maksimum za penjanje | ZERO | | 1 000 | 250 | |
| 707QN | DEFAULT | 1 | 7 | Penjanje | Maksimum za penjanje | ZERO | 5 500 | | | |

▼M2

| ACFTID | Oznaka profila (Profile_ID) | Duljina faze | Broj koraka | Tip koraka | Režim rada motora | Zakrilca (Flap_ID) | Visina krajnje točke (ft) | Stopa penjanja (ft/min) | Kalibrirana brzina leta u krajnjoj točki (kt) | Postotak ubrzanja (Accelerate_Percent) (%) |
|---|---|---|---|---|---|---|---|---|---|---|
| 707QN | DEFAULT | 1 | 8 | Penjanje | Maksimum za penjanje | ZERO | 7 500 | | | |
| 707QN | DEFAULT | 1 | 9 | Penjanje | Maksimum za penjanje | ZERO | 10 000 | | | |
| 707QN | DEFAULT | 2 | 1 | Uzlijetanje | Maksimum za uzlijetanje | 14 | | | | |
| 707QN | DEFAULT | 2 | 2 | Penjanje | Maksimum za uzlijetanje | 14 | 1 000 | | | |
| 707QN | DEFAULT | 2 | 3 | Ubrzanje | Maksimum za uzlijetanje | 14 | | 1 905 | 179 | |
| 707QN | DEFAULT | 2 | 4 | Ubrzanje | Maksimum za penjanje | INT | | 1 000 | 199 | |
| 707QN | DEFAULT | 2 | 5 | Penjanje | Maksimum za penjanje | ZERO | 3 000 | | | |
| 707QN | DEFAULT | 2 | 6 | Ubrzanje | Maksimum za penjanje | ZERO | | 1 000 | 250 | |
| 707QN | DEFAULT | 2 | 7 | Penjanje | Maksimum za penjanje | ZERO | 5 500 | | | |
| 707QN | DEFAULT | 2 | 8 | Penjanje | Maksimum za penjanje | ZERO | 7 500 | | | |
| 707QN | DEFAULT | 2 | 9 | Penjanje | Maksimum za penjanje | ZERO | 10 000 | | | |
| 707QN | DEFAULT | 3 | 1 | Uzlijetanje | Maksimum za uzlijetanje | 14 | | | | |
| 707QN | DEFAULT | 3 | 2 | Penjanje | Maksimum za uzlijetanje | 14 | 1 000 | | | |
| 707QN | DEFAULT | 3 | 3 | Ubrzanje | Maksimum za uzlijetanje | 14 | | 1 793 | 183 | |
| 707QN | DEFAULT | 3 | 4 | Ubrzanje | Maksimum za penjanje | INT | | 1 000 | 203 | |
| 707QN | DEFAULT | 3 | 5 | Penjanje | Maksimum za penjanje | ZERO | 3 000 | | | |
| 707QN | DEFAULT | 3 | 6 | Ubrzanje | Maksimum za penjanje | ZERO | | 1 000 | 250 | |
| 707QN | DEFAULT | 3 | 7 | Penjanje | Maksimum za penjanje | ZERO | 5 500 | | | |
| 707QN | DEFAULT | 3 | 8 | Penjanje | Maksimum za penjanje | ZERO | 7 500 | | | |
| 707QN | DEFAULT | 3 | 9 | Penjanje | Maksimum za penjanje | ZERO | 10 000 | | | |
| 707QN | DEFAULT | 4 | 1 | Uzlijetanje | Maksimum za uzlijetanje | 14 | | | | |
| 707QN | DEFAULT | 4 | 2 | Penjanje | Maksimum za uzlijetanje | 14 | 1 000 | | | |

▼M2

| ACFTID | Oznaka profila (Profile_ID) | Duljina faze | Broj koraka | Tip koraka | Režim rada motora | Zakrilca (Flap_ID) | Visina krajnje točke (ft) | Stopa penjanja (ft/min) | Kalibrirana brzina leta u krajnjoj točki (kt) | Postotak ubrzanja (Accelerate_Percent) (%) |
|---|---|---|---|---|---|---|---|---|---|---|
| 707QN | DEFAULT | 4 | 3 | Ubrzanje | Maksimum za uzlijetanje | 14 | | 1 624 | 189 | |
| 707QN | DEFAULT | 4 | 4 | Ubrzanje | Maksimum za penjanje | INT | | 1 000 | 209 | |
| 707QN | DEFAULT | 4 | 5 | Penjanje | Maksimum za penjanje | ZERO | 3 000 | | | |
| 707QN | DEFAULT | 4 | 6 | Ubrzanje | Maksimum za penjanje | ZERO | | 1 000 | 250 | |
| 707QN | DEFAULT | 4 | 7 | Penjanje | Maksimum za penjanje | ZERO | 5 500 | | | |
| 707QN | DEFAULT | 4 | 8 | Penjanje | Maksimum za penjanje | ZERO | 7 500 | | | |
| 707QN | DEFAULT | 4 | 9 | Penjanje | Maksimum za penjanje | ZERO | 10 000 | | | |
| 707QN | DEFAULT | 5 | 1 | Uzlijetanje | Maksimum za uzlijetanje | 14 | | | | |
| 707QN | DEFAULT | 5 | 2 | Penjanje | Maksimum za uzlijetanje | 14 | 1 000 | | | |
| 707QN | DEFAULT | 5 | 3 | Ubrzanje | Maksimum za uzlijetanje | 14 | | 1 430 | 197 | |
| 707QN | DEFAULT | 5 | 4 | Ubrzanje | Maksimum za penjanje | INT | | 1 000 | 217 | |
| 707QN | DEFAULT | 5 | 5 | Penjanje | Maksimum za penjanje | ZERO | 3 000 | | | |
| 707QN | DEFAULT | 5 | 6 | Ubrzanje | Maksimum za penjanje | ZERO | | 1 000 | 250 | |
| 707QN | DEFAULT | 5 | 7 | Penjanje | Maksimum za penjanje | ZERO | 5 500 | | | |
| 707QN | DEFAULT | 5 | 8 | Penjanje | Maksimum za penjanje | ZERO | 7 500 | | | |
| 707QN | DEFAULT | 5 | 9 | Penjanje | Maksimum za penjanje | ZERO | 10 000 | | | |
| 707QN | DEFAULT | 6 | 1 | Uzlijetanje | Maksimum za uzlijetanje | 14 | | | | |
| 707QN | DEFAULT | 6 | 2 | Penjanje | Maksimum za uzlijetanje | 14 | 1 000 | | | |
| 707QN | DEFAULT | 6 | 3 | Ubrzanje | Maksimum za uzlijetanje | 14 | | 1 259 | 205 | |
| 707QN | DEFAULT | 6 | 4 | Ubrzanje | Maksimum za penjanje | INT | | 800 | 225 | |
| 707QN | DEFAULT | 6 | 5 | Penjanje | Maksimum za penjanje | ZERO | 3 000 | | | |
| 707QN | DEFAULT | 6 | 6 | Ubrzanje | Maksimum za penjanje | ZERO | | 800 | 250 | |
| 707QN | DEFAULT | 6 | 7 | Penjanje | Maksimum za penjanje | ZERO | 5 500 | | | |

▼M2

| ACFTID | Oznaka profila (Profile_ID) | Duljina faze | Broj koraka | Tip koraka | Režim rada motora | Zakrilca (Flap_ID) | Visina krajnje točke (ft) | Stopa penjanja (ft/min) | Kalibrirana brzina leta u krajnjoj točki (kt) | Postotak ubrzanja (Accelerate_Percent) (%) |
|---|---|---|---|---|---|---|---|---|---|---|
| 707QN | DEFAULT | 6 | 8 | Penjanje | Maksimum za penjanje | ZERO | 7 500 | | | |
| 707QN | DEFAULT | 6 | 9 | Penjanje | Maksimum za penjanje | ZERO | 10 000 | | | |
| 707QN | DEFAULT | 7 | 1 | Uzlijetanje | Maksimum za uzlijetanje | 14 | | | | |
| 707QN | DEFAULT | 7 | 2 | Penjanje | Maksimum za uzlijetanje | 14 | 1 000 | | | |
| 707QN | DEFAULT | 7 | 3 | Ubrzanje | Maksimum za uzlijetanje | 14 | | 1 151 | 209 | |
| 707QN | DEFAULT | 7 | 4 | Ubrzanje | Maksimum za penjanje | INT | | 800 | 229 | |
| 707QN | DEFAULT | 7 | 5 | Penjanje | Maksimum za penjanje | ZERO | 3 000 | | | |
| 707QN | DEFAULT | 7 | 6 | Ubrzanje | Maksimum za penjanje | ZERO | | 800 | 250 | |
| 707QN | DEFAULT | 7 | 7 | Penjanje | Maksimum za penjanje | ZERO | 5 500 | | | |
| 707QN | DEFAULT | 7 | 8 | Penjanje | Maksimum za penjanje | ZERO | 7 500 | | | |
| 707QN | DEFAULT | 7 | 9 | Penjanje | Maksimum za penjanje | ZERO | 10 000 | | | |
| 717200 | DEFAULT | 1 | 1 | Uzlijetanje | Maksimum za uzlijetanje | T_13A | | | | |
| 717200 | DEFAULT | 1 | 2 | Penjanje | Maksimum za uzlijetanje | T_13A | 1 000 | | | |
| 717200 | DEFAULT | 1 | 3 | Penjanje | Maksimum za penjanje | T_13A | 3 000 | | | |
| 717200 | DEFAULT | 1 | 4 | Ubrzanje | Maksimum za penjanje | T_00B | | 1 296,4 | 250 | |
| 717200 | DEFAULT | 1 | 5 | Penjanje | Maksimum za penjanje | T_00B | 5 000 | | | |
| 717200 | DEFAULT | 1 | 6 | Penjanje | Maksimum za penjanje | T_00B | 7 500 | | | |
| 717200 | DEFAULT | 1 | 7 | Penjanje | Maksimum za penjanje | T_00B | 10 000 | | | |
| 717200 | DEFAULT | 2 | 1 | Uzlijetanje | Maksimum za uzlijetanje | T_13A | | | | |
| 717200 | DEFAULT | 2 | 2 | Penjanje | Maksimum za uzlijetanje | T_13A | 1 000 | | | |
| 717200 | DEFAULT | 2 | 3 | Penjanje | Maksimum za penjanje | T_13A | 3 000 | | | |
| 717200 | DEFAULT | 2 | 4 | Ubrzanje | Maksimum za penjanje | T_00B | | 1 298 | 250 | |

▼M2

| ACFTID | Oznaka profila (Profile_ID) | Duljina faze | Broj koraka | Tip koraka | Režim rada motora | Zakrilca (Flap_ID) | Visina krajnje točke (ft) | Stopa penjanja (ft/min) | Kalibrirana brzina leta u krajnjoj točki (kt) | Postotak ubrzanja (Accelerate_Percent) (%) |
|---|---|---|---|---|---|---|---|---|---|---|
| 717200 | DEFAULT | 2 | 5 | Penjanje | Maksimum za penjanje | T_00B | 5 000 | | | |
| 717200 | DEFAULT | 2 | 6 | Penjanje | Maksimum za penjanje | T_00B | 7 500 | | | |
| 717200 | DEFAULT | 2 | 7 | Penjanje | Maksimum za penjanje | T_00B | 10 000 | | | |
| 717200 | DEFAULT | 3 | 1 | Uzlijetanje | Maksimum za uzlijetanje | T_13A | | | | |
| 717200 | DEFAULT | 3 | 2 | Penjanje | Maksimum za uzlijetanje | T_13A | 1 000 | | | |
| 717200 | DEFAULT | 3 | 3 | Penjanje | Maksimum za penjanje | T_13A | 3 000 | | | |
| 717200 | DEFAULT | 3 | 4 | Ubrzanje | Maksimum za penjanje | T_00B | | 1 229,1 | 250 | |
| 717200 | DEFAULT | 3 | 5 | Penjanje | Maksimum za penjanje | T_00B | 5 000 | | | |
| 717200 | DEFAULT | 3 | 6 | Penjanje | Maksimum za penjanje | T_00B | 7 500 | | | |
| 717200 | DEFAULT | 3 | 7 | Penjanje | Maksimum za penjanje | T_00B | 10 000 | | | |
| 717200 | DEFAULT | 4 | 1 | Uzlijetanje | Maksimum za uzlijetanje | T_13A | | | | |
| 717200 | DEFAULT | 4 | 2 | Penjanje | Maksimum za uzlijetanje | T_13A | 1 000 | | | |
| 717200 | DEFAULT | 4 | 3 | Penjanje | Maksimum za penjanje | T_13A | 3 000 | | | |
| 717200 | DEFAULT | 4 | 4 | Ubrzanje | Maksimum za penjanje | T_00B | | 1 165,9 | 250 | |
| 717200 | DEFAULT | 4 | 5 | Penjanje | Maksimum za penjanje | T_00B | 5 000 | | | |
| 717200 | DEFAULT | 4 | 6 | Penjanje | Maksimum za penjanje | T_00B | 7 500 | | | |
| 717200 | DEFAULT | 4 | 7 | Penjanje | Maksimum za penjanje | T_00B | 10 000 | | | |
| 717200 | DEFAULT | 5 | 1 | Uzlijetanje | Maksimum za uzlijetanje | T_13A | | | | |
| 717200 | DEFAULT | 5 | 2 | Penjanje | Maksimum za uzlijetanje | T_13A | 1 000 | | | |
| 717200 | DEFAULT | 5 | 3 | Penjanje | Maksimum za penjanje | T_13A | 3 000 | | | |
| 717200 | DEFAULT | 5 | 4 | Ubrzanje | Maksimum za penjanje | T_00B | | 1 142,6 | 250 | |
| 717200 | DEFAULT | 5 | 5 | Penjanje | Maksimum za penjanje | T_00B | 5 000 | | | |

▼M2

| ACFTID | Oznaka profila (Profile_ID) | Duljina faze | Broj koraka | Tip koraka | Režim rada motora | Zakrilca (Flap_ID) | Visina krajnje točke (ft) | Stopa penjanja (ft/min) | Kalibrirana brzina leta u krajnjoj točki (kt) | Postotak ubrzanja (Accelerate_Percent) (%) |
|---|---|---|---|---|---|---|---|---|---|---|
| 717200 | DEFAULT | 5 | 6 | Penjanje | Maksimum za penjanje | T_00B | 7 500 | | | |
| 717200 | DEFAULT | 5 | 7 | Penjanje | Maksimum za penjanje | T_00B | 10 000 | | | |
| 717200 | DEFAULT | 6 | 1 | Uzlijetanje | Maksimum za uzlijetanje | T_13A | | | | |
| 717200 | DEFAULT | 6 | 2 | Penjanje | Maksimum za uzlijetanje | T_13A | 1 000 | | | |
| 717200 | DEFAULT | 6 | 3 | Penjanje | Maksimum za penjanje | T_13A | 3 000 | | | |
| 717200 | DEFAULT | 6 | 4 | Ubrzanje | Maksimum za penjanje | T_00B | | 1 098,3 | 250 | |
| 717200 | DEFAULT | 6 | 5 | Penjanje | Maksimum za penjanje | T_00B | 5 000 | | | |
| 717200 | DEFAULT | 6 | 6 | Penjanje | Maksimum za penjanje | T_00B | 7 500 | | | |
| 717200 | DEFAULT | 6 | 7 | Penjanje | Maksimum za penjanje | T_00B | 10 000 | | | |
| 717200 | ICAO_B | 1 | 1 | Uzlijetanje | Maksimum za uzlijetanje | T_13A | | | | |
| 717200 | ICAO_B | 1 | 2 | Penjanje | Maksimum za uzlijetanje | T_13A | 1 100 | | | |
| 717200 | ICAO_B | 1 | 3 | Ubrzanje | Maksimum za uzlijetanje | T_13A | | 2 137,1 | 186,2 | |
| 717200 | ICAO_B | 1 | 4 | Penjanje | Maksimum za penjanje | T_00B | 3 000 | | | |
| 717200 | ICAO_B | 1 | 5 | Ubrzanje | Maksimum za penjanje | T_00B | | 1 000 | 250 | |
| 717200 | ICAO_B | 1 | 6 | Penjanje | Maksimum za penjanje | T_00B | 5 500 | | | |
| 717200 | ICAO_B | 1 | 7 | Penjanje | Maksimum za penjanje | T_00B | 7 500 | | | |
| 717200 | ICAO_B | 1 | 8 | Penjanje | Maksimum za penjanje | T_00B | 10 000 | | | |
| 717200 | ICAO_B | 2 | 1 | Uzlijetanje | Maksimum za uzlijetanje | T_13A | | | | |
| 717200 | ICAO_B | 2 | 2 | Penjanje | Maksimum za uzlijetanje | T_13A | 1 000 | | | |
| 717200 | ICAO_B | 2 | 3 | Ubrzanje | Maksimum za uzlijetanje | T_13A | | 2 003,2 | 185 | |
| 717200 | ICAO_B | 2 | 4 | Penjanje | Maksimum za penjanje | T_00B | 3 000 | | | |
| 717200 | ICAO_B | 2 | 5 | Ubrzanje | Maksimum za penjanje | T_00B | | 1 000 | 250 | |

▼M2

| ACFTID | Oznaka profila (Profile_ID) | Duljina faze | Broj koraka | Tip koraka | Režim rada motora | Zakrilca (Flap_ID) | Visina krajnje točke (ft) | Stopa penjanja (ft/min) | Kalibrirana brzina leta u krajnjoj točki (kt) | Postotak ubrzanja (Accelerate_Percent) (%) |
|---|---|---|---|---|---|---|---|---|---|---|
| 717200 | ICAO_B | 2 | 6 | Penjanje | Maksimum za penjanje | T_00B | 5 500 | | | |
| 717200 | ICAO_B | 2 | 7 | Penjanje | Maksimum za penjanje | T_00B | 7 500 | | | |
| 717200 | ICAO_B | 2 | 8 | Penjanje | Maksimum za penjanje | T_00B | 10 000 | | | |
| 717200 | ICAO_B | 3 | 1 | Uzlijetanje | Maksimum za uzlijetanje | T_13A | | | | |
| 717200 | ICAO_B | 3 | 2 | Penjanje | Maksimum za uzlijetanje | T_13A | 1 000 | | | |
| 717200 | ICAO_B | 3 | 3 | Ubrzanje | Maksimum za uzlijetanje | T_13A | | 1 874,4 | 183,8 | |
| 717200 | ICAO_B | 3 | 4 | Penjanje | Maksimum za penjanje | T_00B | 3 000 | | | |
| 717200 | ICAO_B | 3 | 5 | Ubrzanje | Maksimum za penjanje | T_00B | | 1 000 | 250 | |
| 717200 | ICAO_B | 3 | 6 | Penjanje | Maksimum za penjanje | T_00B | 5 500 | | | |
| 717200 | ICAO_B | 3 | 7 | Penjanje | Maksimum za penjanje | T_00B | 7 500 | | | |
| 717200 | ICAO_B | 3 | 8 | Penjanje | Maksimum za penjanje | T_00B | 10 000 | | | |
| 717200 | ICAO_B | 4 | 1 | Uzlijetanje | Maksimum za uzlijetanje | T_13A | | | | |
| 717200 | ICAO_B | 4 | 2 | Penjanje | Maksimum za uzlijetanje | T_13A | 1 000 | | | |
| 717200 | ICAO_B | 4 | 3 | Ubrzanje | Maksimum za uzlijetanje | T_13A | | 1 756,2 | 182,7 | |
| 717200 | ICAO_B | 4 | 4 | Penjanje | Maksimum za penjanje | T_00B | 3 000 | | | |
| 717200 | ICAO_B | 4 | 5 | Ubrzanje | Maksimum za penjanje | T_00B | | 1 000 | 250 | |
| 717200 | ICAO_B | 4 | 6 | Penjanje | Maksimum za penjanje | T_00B | 5 500 | | | |
| 717200 | ICAO_B | 4 | 7 | Penjanje | Maksimum za penjanje | T_00B | 7 500 | | | |
| 717200 | ICAO_B | 4 | 8 | Penjanje | Maksimum za penjanje | T_00B | 10 000 | | | |
| 717200 | ICAO_B | 5 | 1 | Uzlijetanje | Maksimum za uzlijetanje | T_13A | | | | |
| 717200 | ICAO_B | 5 | 2 | Penjanje | Maksimum za uzlijetanje | T_13A | 1 000 | | | |
| 717200 | ICAO_B | 5 | 3 | Ubrzanje | Maksimum za uzlijetanje | T_13A | | 1 705,9 | 192,7 | |

▼M2

| ACFTID | Oznaka profila (Profile_ID) | Duljina faze | Broj koraka | Tip koraka | Režim rada motora | Zakrilca (Flap_ID) | Visina krajnje točke (ft) | Stopa penjanja (ft/min) | Kalibrirana brzina leta u krajnjoj točki (kt) | Postotak ubrzanja (Accelerate_Percent) (%) |
|---|---|---|---|---|---|---|---|---|---|---|
| 717200 | ICAO_B | 5 | 4 | Penjanje | Maksimum za penjanje | T_00B | 3 000 | | | |
| 717200 | ICAO_B | 5 | 5 | Ubrzanje | Maksimum za penjanje | T_00B | | 1 000 | 250 | |
| 717200 | ICAO_B | 5 | 6 | Penjanje | Maksimum za penjanje | T_00B | 5 500 | | | |
| 717200 | ICAO_B | 5 | 7 | Penjanje | Maksimum za penjanje | T_00B | 7 500 | | | |
| 717200 | ICAO_B | 5 | 8 | Penjanje | Maksimum za penjanje | T_00B | 10 000 | | | |
| 717200 | ICAO_B | 6 | 1 | Uzlijetanje | Maksimum za uzlijetanje | T_13A | | | | |
| 717200 | ICAO_B | 6 | 2 | Penjanje | Maksimum za uzlijetanje | T_13A | 1 000 | | | |
| 717200 | ICAO_B | 6 | 3 | Ubrzanje | Maksimum za uzlijetanje | T_13A | | 1 540,3 | 191,2 | |
| 717200 | ICAO_B | 6 | 4 | Penjanje | Maksimum za penjanje | T_00B | 3 000 | | | |
| 717200 | ICAO_B | 6 | 5 | Ubrzanje | Maksimum za penjanje | T_00B | | 1 000 | 250 | |
| 717200 | ICAO_B | 6 | 6 | Penjanje | Maksimum za penjanje | T_00B | 5 500 | | | |
| 717200 | ICAO_B | 6 | 7 | Penjanje | Maksimum za penjanje | T_00B | 7 500 | | | |
| 717200 | ICAO_B | 6 | 8 | Penjanje | Maksimum za penjanje | T_00B | 10 000 | | | |
| 720B | DEFAULT | 1 | 1 | Uzlijetanje | Maksimum za uzlijetanje | 20 | | | | |
| 720B | DEFAULT | 1 | 2 | Penjanje | Maksimum za uzlijetanje | 20 | 1 000 | | | |
| 720B | DEFAULT | 1 | 3 | Ubrzanje | Maksimum za uzlijetanje | 20 | | 2 632 | 175 | |
| 720B | DEFAULT | 1 | 4 | Ubrzanje | Maksimum za penjanje | INT | | 1 000 | 195 | |
| 720B | DEFAULT | 1 | 5 | Penjanje | Maksimum za penjanje | ZERO | 3 000 | | | |
| 720B | DEFAULT | 1 | 6 | Ubrzanje | Maksimum za penjanje | ZERO | | 1 000 | 250 | |
| 720B | DEFAULT | 1 | 7 | Penjanje | Maksimum za penjanje | ZERO | 5 500 | | | |
| 720B | DEFAULT | 1 | 8 | Penjanje | Maksimum za penjanje | ZERO | 7 500 | | | |
| 720B | DEFAULT | 1 | 9 | Penjanje | Maksimum za penjanje | ZERO | 10 000 | | | |

▼M2

| ACFTID | Oznaka profila (Profile_ID) | Duljina faze | Broj koraka | Tip koraka | Režim rada motora | Zakrilca (Flap_ID) | Visina krajnje točke (ft) | Stopa penjanja (ft/min) | Kalibrirana brzina leta u krajnjoj točki (kt) | Postotak ubrzanja (Accelerate_Percent) (%) |
|---|---|---|---|---|---|---|---|---|---|---|
| 720B | DEFAULT | 2 | 1 | Uzlijetanje | Maksimum za uzlijetanje | 20 | | | | |
| 720B | DEFAULT | 2 | 2 | Penjanje | Maksimum za uzlijetanje | 20 | 1 000 | | | |
| 720B | DEFAULT | 2 | 3 | Ubrzanje | Maksimum za uzlijetanje | 20 | | 2 470 | 179 | |
| 720B | DEFAULT | 2 | 4 | Ubrzanje | Maksimum za penjanje | INT | | 1 000 | 199 | |
| 720B | DEFAULT | 2 | 5 | Penjanje | Maksimum za penjanje | ZERO | 3 000 | | | |
| 720B | DEFAULT | 2 | 6 | Ubrzanje | Maksimum za penjanje | ZERO | | 1 000 | 250 | |
| 720B | DEFAULT | 2 | 7 | Penjanje | Maksimum za penjanje | ZERO | 5 500 | | | |
| 720B | DEFAULT | 2 | 8 | Penjanje | Maksimum za penjanje | ZERO | 7 500 | | | |
| 720B | DEFAULT | 2 | 9 | Penjanje | Maksimum za penjanje | ZERO | 10 000 | | | |
| 720B | DEFAULT | 3 | 1 | Uzlijetanje | Maksimum za uzlijetanje | 20 | | | | |
| 720B | DEFAULT | 3 | 2 | Penjanje | Maksimum za uzlijetanje | 20 | 1 000 | | | |
| 720B | DEFAULT | 3 | 3 | Ubrzanje | Maksimum za uzlijetanje | 20 | | 2 323 | 183 | |
| 720B | DEFAULT | 3 | 4 | Ubrzanje | Maksimum za penjanje | INT | | 1 000 | 203 | |
| 720B | DEFAULT | 3 | 5 | Penjanje | Maksimum za penjanje | ZERO | 3 000 | | | |
| 720B | DEFAULT | 3 | 6 | Ubrzanje | Maksimum za penjanje | ZERO | | 1 000 | 250 | |
| 720B | DEFAULT | 3 | 7 | Penjanje | Maksimum za penjanje | ZERO | 5 500 | | | |
| 720B | DEFAULT | 3 | 8 | Penjanje | Maksimum za penjanje | ZERO | 7 500 | | | |
| 720B | DEFAULT | 3 | 9 | Penjanje | Maksimum za penjanje | ZERO | 10 000 | | | |
| 720B | DEFAULT | 4 | 1 | Uzlijetanje | Maksimum za uzlijetanje | 20 | | | | |
| 720B | DEFAULT | 4 | 2 | Penjanje | Maksimum za uzlijetanje | 20 | 1 000 | | | |
| 720B | DEFAULT | 4 | 3 | Ubrzanje | Maksimum za uzlijetanje | 20 | | 2 125 | 189 | |
| 720B | DEFAULT | 4 | 4 | Ubrzanje | Maksimum za penjanje | INT | | 1 000 | 209 | |

▼M2

| ACFTID | Oznaka profila (Profile_ID) | Duljina faze | Broj koraka | Tip koraka | Režim rada motora | Zakrilca (Flap_ID) | Visina krajnje točke (ft) | Stopa penjanja (ft/min) | Kalibrirana brzina leta u krajnjoj točki (kt) | Postotak ubrzanja (Accelerate_Percent) (%) |
|---|---|---|---|---|---|---|---|---|---|---|
| 720B | DEFAULT | 4 | 5 | Penjanje | Maksimum za penjanje | ZERO | 3 000 | | | |
| 720B | DEFAULT | 4 | 6 | Ubrzanje | Maksimum za penjanje | ZERO | | 1 000 | 250 | |
| 720B | DEFAULT | 4 | 7 | Penjanje | Maksimum za penjanje | ZERO | 5 500 | | | |
| 720B | DEFAULT | 4 | 8 | Penjanje | Maksimum za penjanje | ZERO | 7 500 | | | |
| 720B | DEFAULT | 4 | 9 | Penjanje | Maksimum za penjanje | ZERO | 10 000 | | | |
| 720B | DEFAULT | 5 | 1 | Uzlijetanje | Maksimum za uzlijetanje | 20 | | | | |
| 720B | DEFAULT | 5 | 2 | Penjanje | Maksimum za uzlijetanje | 20 | 1 000 | | | |
| 720B | DEFAULT | 5 | 3 | Ubrzanje | Maksimum za uzlijetanje | 20 | | 2 005 | 193 | |
| 720B | DEFAULT | 5 | 4 | Ubrzanje | Maksimum za penjanje | INT | | 1 000 | 213 | |
| 720B | DEFAULT | 5 | 5 | Penjanje | Maksimum za penjanje | ZERO | 3 000 | | | |
| 720B | DEFAULT | 5 | 6 | Ubrzanje | Maksimum za penjanje | ZERO | | 1 000 | 250 | |
| 720B | DEFAULT | 5 | 7 | Penjanje | Maksimum za penjanje | ZERO | 5 500 | | | |
| 720B | DEFAULT | 5 | 8 | Penjanje | Maksimum za penjanje | ZERO | 7 500 | | | |
| 720B | DEFAULT | 5 | 9 | Penjanje | Maksimum za penjanje | ZERO | 10 000 | | | |
| 727100 | DEFAULT | 1 | 1 | Uzlijetanje | Maksimum za uzlijetanje | 5 | | | | |
| 727100 | DEFAULT | 1 | 2 | Penjanje | Maksimum za uzlijetanje | 5 | 1 000 | | | |
| 727100 | DEFAULT | 1 | 3 | Ubrzanje | Maksimum za uzlijetanje | 5 | | 1 342 | 160 | |
| 727100 | DEFAULT | 1 | 4 | Ubrzanje | Maksimum za uzlijetanje | 2 | | 1 342 | 190 | |
| 727100 | DEFAULT | 1 | 5 | Ubrzanje | Maksimum za penjanje | ZERO | | 1 000 | 200 | |
| 727100 | DEFAULT | 1 | 6 | Penjanje | Maksimum za penjanje | ZERO | 3 000 | | | |
| 727100 | DEFAULT | 1 | 7 | Ubrzanje | Maksimum za penjanje | ZERO | | 1 000 | 250 | |
| 727100 | DEFAULT | 1 | 8 | Penjanje | Maksimum za penjanje | ZERO | 5 500 | | | |

▼M2

| ACFTID | Oznaka profila (Profile_ID) | Duljina faze | Broj koraka | Tip koraka | Režim rada motora | Zakrilca (Flap_ID) | Visina krajnje točke (ft) | Stopa penjanja (ft/min) | Kalibrirana brzina leta u krajnjoj točki (kt) | Postotak ubrzanja (Accelerate_Percent) (%) |
|---|---|---|---|---|---|---|---|---|---|---|
| 727100 | DEFAULT | 1 | 9 | Penjanje | Maksimum za penjanje | ZERO | 7 500 | | | |
| 727100 | DEFAULT | 1 | 10 | Penjanje | Maksimum za penjanje | ZERO | 10 000 | | | |
| 727100 | DEFAULT | 2 | 1 | Uzlijetanje | Maksimum za uzlijetanje | 5 | | | | |
| 727100 | DEFAULT | 2 | 2 | Penjanje | Maksimum za uzlijetanje | 5 | 1 000 | | | |
| 727100 | DEFAULT | 2 | 3 | Ubrzanje | Maksimum za uzlijetanje | 5 | | 1 265 | 160 | |
| 727100 | DEFAULT | 2 | 4 | Ubrzanje | Maksimum za uzlijetanje | 2 | | 1 265 | 190 | |
| 727100 | DEFAULT | 2 | 5 | Ubrzanje | Maksimum za penjanje | ZERO | | 1 000 | 200 | |
| 727100 | DEFAULT | 2 | 6 | Penjanje | Maksimum za penjanje | ZERO | 3 000 | | | |
| 727100 | DEFAULT | 2 | 7 | Ubrzanje | Maksimum za penjanje | ZERO | | 1 000 | 250 | |
| 727100 | DEFAULT | 2 | 8 | Penjanje | Maksimum za penjanje | ZERO | 5 500 | | | |
| 727100 | DEFAULT | 2 | 9 | Penjanje | Maksimum za penjanje | ZERO | 7 500 | | | |
| 727100 | DEFAULT | 2 | 10 | Penjanje | Maksimum za penjanje | ZERO | 10 000 | | | |
| 727100 | DEFAULT | 3 | 1 | Uzlijetanje | Maksimum za uzlijetanje | 5 | | | | |
| 727100 | DEFAULT | 3 | 2 | Penjanje | Maksimum za uzlijetanje | 5 | 1 000 | | | |
| 727100 | DEFAULT | 3 | 3 | Ubrzanje | Maksimum za uzlijetanje | 5 | | 1 192 | 165 | |
| 727100 | DEFAULT | 3 | 4 | Ubrzanje | Maksimum za uzlijetanje | 2 | | 1 192 | 195 | |
| 727100 | DEFAULT | 3 | 5 | Ubrzanje | Maksimum za penjanje | ZERO | | 1 000 | 205 | |
| 727100 | DEFAULT | 3 | 6 | Penjanje | Maksimum za penjanje | ZERO | 3 000 | | | |
| 727100 | DEFAULT | 3 | 7 | Ubrzanje | Maksimum za penjanje | ZERO | | 1 000 | 250 | |
| 727100 | DEFAULT | 3 | 8 | Penjanje | Maksimum za penjanje | ZERO | 5 500 | | | |
| 727100 | DEFAULT | 3 | 9 | Penjanje | Maksimum za penjanje | ZERO | 7 500 | | | |
| 727100 | DEFAULT | 3 | 10 | Penjanje | Maksimum za penjanje | ZERO | 10 000 | | | |

▼M2

| ACFTID | Oznaka profila (Profile_ID) | Duljina faze | Broj koraka | Tip koraka | Režim rada motora | Zakrilca (Flap_ID) | Visina krajnje točke (ft) | Stopa penjanja (ft/min) | Kalibrirana brzina leta u krajnjoj točki (kt) | Postotak ubrzanja (Accelerate_Percent) (%) |
|---|---|---|---|---|---|---|---|---|---|---|
| 727100 | DEFAULT | 4 | 1 | Uzlijetanje | Maksimum za uzlijetanje | 5 | | | | |
| 727100 | DEFAULT | 4 | 2 | Penjanje | Maksimum za uzlijetanje | 5 | 1 000 | | | |
| 727100 | DEFAULT | 4 | 3 | Ubrzanje | Maksimum za uzlijetanje | 5 | | 1 115 | 170 | |
| 727100 | DEFAULT | 4 | 4 | Ubrzanje | Maksimum za uzlijetanje | 2 | | 1 115 | 200 | |
| 727100 | DEFAULT | 4 | 5 | Ubrzanje | Maksimum za penjanje | ZERO | | 1 000 | 210 | |
| 727100 | DEFAULT | 4 | 6 | Penjanje | Maksimum za penjanje | ZERO | 3 000 | | | |
| 727100 | DEFAULT | 4 | 7 | Ubrzanje | Maksimum za penjanje | ZERO | | 1 000 | 250 | |
| 727100 | DEFAULT | 4 | 8 | Penjanje | Maksimum za penjanje | ZERO | 5 500 | | | |
| 727100 | DEFAULT | 4 | 9 | Penjanje | Maksimum za penjanje | ZERO | 7 500 | | | |
| 727100 | DEFAULT | 4 | 10 | Penjanje | Maksimum za penjanje | ZERO | 10 000 | | | |
| 727D15 | DEFAULT | 1 | 1 | Uzlijetanje | Maksimum za uzlijetanje | 5 | | | | |
| 727D15 | DEFAULT | 1 | 2 | Penjanje | Maksimum za uzlijetanje | 5 | 1 000 | | | |
| 727D15 | DEFAULT | 1 | 3 | Ubrzanje | Maksimum za uzlijetanje | 5 | | 1 363 | 170 | |
| 727D15 | DEFAULT | 1 | 4 | Ubrzanje | Maksimum za uzlijetanje | 2 | | 1 363 | 200 | |
| 727D15 | DEFAULT | 1 | 5 | Ubrzanje | Maksimum za penjanje | ZERO | | 1 000 | 210 | |
| 727D15 | DEFAULT | 1 | 6 | Penjanje | Maksimum za penjanje | ZERO | 3 000 | | | |
| 727D15 | DEFAULT | 1 | 7 | Ubrzanje | Maksimum za penjanje | ZERO | | 1 000 | 250 | |
| 727D15 | DEFAULT | 1 | 8 | Penjanje | Maksimum za penjanje | ZERO | 5 500 | | | |
| 727D15 | DEFAULT | 1 | 9 | Penjanje | Maksimum za penjanje | ZERO | 7 500 | | | |
| 727D15 | DEFAULT | 1 | 10 | Penjanje | Maksimum za penjanje | ZERO | 10 000 | | | |
| 727D15 | DEFAULT | 2 | 1 | Uzlijetanje | Maksimum za uzlijetanje | 5 | | | | |

▼M2

| ACFTID | Oznaka profila (Profile_ID) | Duljina faze | Broj koraka | Tip koraka | Režim rada motora | Zakrilca (Flap_ID) | Visina krajnje točke (ft) | Stopa penjanja (ft/min) | Kalibrirana brzina leta u krajnjoj točki (kt) | Postotak ubrzanja (Accelerate_Percent) (%) |
|---|---|---|---|---|---|---|---|---|---|---|
| 727D15 | DEFAULT | 2 | 2 | Penjanje | Maksimum za uzlijetanje | 5 | 1 000 | | | |
| 727D15 | DEFAULT | 2 | 3 | Ubrzanje | Maksimum za uzlijetanje | 5 | | 1 281 | 170 | |
| 727D15 | DEFAULT | 2 | 4 | Ubrzanje | Maksimum za uzlijetanje | 2 | | 1 281 | 200 | |
| 727D15 | DEFAULT | 2 | 5 | Ubrzanje | Maksimum za penjanje | ZERO | | 1 000 | 210 | |
| 727D15 | DEFAULT | 2 | 6 | Penjanje | Maksimum za penjanje | ZERO | 3 000 | | | |
| 727D15 | DEFAULT | 2 | 7 | Ubrzanje | Maksimum za penjanje | ZERO | | 1 000 | 250 | |
| 727D15 | DEFAULT | 2 | 8 | Penjanje | Maksimum za penjanje | ZERO | 5 500 | | | |
| 727D15 | DEFAULT | 2 | 9 | Penjanje | Maksimum za penjanje | ZERO | 7 500 | | | |
| 727D15 | DEFAULT | 2 | 10 | Penjanje | Maksimum za penjanje | ZERO | 10 000 | | | |
| 727D15 | DEFAULT | 3 | 1 | Uzlijetanje | Maksimum za uzlijetanje | 5 | | | | |
| 727D15 | DEFAULT | 3 | 2 | Penjanje | Maksimum za uzlijetanje | 5 | 1 000 | | | |
| 727D15 | DEFAULT | 3 | 3 | Ubrzanje | Maksimum za uzlijetanje | 5 | | 1 177 | 175 | |
| 727D15 | DEFAULT | 3 | 4 | Ubrzanje | Maksimum za uzlijetanje | 2 | | 1 177 | 205 | |
| 727D15 | DEFAULT | 3 | 5 | Ubrzanje | Maksimum za penjanje | ZERO | | 1 000 | 215 | |
| 727D15 | DEFAULT | 3 | 6 | Penjanje | Maksimum za penjanje | ZERO | 3 000 | | | |
| 727D15 | DEFAULT | 3 | 7 | Ubrzanje | Maksimum za penjanje | ZERO | | 1 000 | 250 | |
| 727D15 | DEFAULT | 3 | 8 | Penjanje | Maksimum za penjanje | ZERO | 5 500 | | | |
| 727D15 | DEFAULT | 3 | 9 | Penjanje | Maksimum za penjanje | ZERO | 7 500 | | | |
| 727D15 | DEFAULT | 3 | 10 | Penjanje | Maksimum za penjanje | ZERO | 10 000 | | | |
| 727D15 | DEFAULT | 4 | 1 | Uzlijetanje | Maksimum za uzlijetanje | 5 | | | | |
| 727D15 | DEFAULT | 4 | 2 | Penjanje | Maksimum za uzlijetanje | 5 | 1 000 | | | |

▼M2

| ACFTID | Oznaka profila (Profile_ID) | Duljina faze | Broj koraka | Tip koraka | Režim rada motora | Zakrilca (Flap_ID) | Visina krajnje točke (ft) | Stopa penjanja (ft/min) | Kalibrirana brzina leta u krajnjoj točki (kt) | Postotak ubrzanja (Accele-rate_Per-cent) (%) |
|---|---|---|---|---|---|---|---|---|---|---|
| 727D15 | DEFAULT | 4 | 3 | Ubrzanje | Maksimum za uzlijetanje | 5 | | 1 057 | 180 | |
| 727D15 | DEFAULT | 4 | 4 | Ubrzanje | Maksimum za uzlijetanje | 2 | | 1 057 | 210 | |
| 727D15 | DEFAULT | 4 | 5 | Ubrzanje | Maksimum za penjanje | ZERO | | 1 000 | 220 | |
| 727D15 | DEFAULT | 4 | 6 | Penjanje | Maksimum za penjanje | ZERO | 3 000 | | | |
| 727D15 | DEFAULT | 4 | 7 | Ubrzanje | Maksimum za penjanje | ZERO | | 1 000 | 250 | |
| 727D15 | DEFAULT | 4 | 8 | Penjanje | Maksimum za penjanje | ZERO | 5 500 | | | |
| 727D15 | DEFAULT | 4 | 9 | Penjanje | Maksimum za penjanje | ZERO | 7 500 | | | |
| 727D15 | DEFAULT | 4 | 10 | Penjanje | Maksimum za penjanje | ZERO | 10 000 | | | |
| 727D15 | DEFAULT | 5 | 1 | Uzlijetanje | Maksimum za uzlijetanje | 5 | | | | |
| 727D15 | DEFAULT | 5 | 2 | Penjanje | Maksimum za uzlijetanje | 5 | 1 000 | | | |
| 727D15 | DEFAULT | 5 | 3 | Ubrzanje | Maksimum za uzlijetanje | 2 | | 941 | 210 | |
| 727D15 | DEFAULT | 5 | 4 | Ubrzanje | Maksimum za penjanje | ZERO | | 1 000 | 220 | |
| 727D15 | DEFAULT | 5 | 5 | Penjanje | Maksimum za penjanje | ZERO | 3 000 | | | |
| 727D15 | DEFAULT | 5 | 6 | Ubrzanje | Maksimum za penjanje | ZERO | | 1 000 | 250 | |
| 727D15 | DEFAULT | 5 | 7 | Penjanje | Maksimum za penjanje | ZERO | 5 500 | | | |
| 727D15 | DEFAULT | 5 | 8 | Penjanje | Maksimum za penjanje | ZERO | 7 500 | | | |
| 727D15 | DEFAULT | 5 | 9 | Penjanje | Maksimum za penjanje | ZERO | 10 000 | | | |
| 727D17 | DEFAULT | 1 | 1 | Uzlijetanje | Maksimum za uzlijetanje | 5 | | | | |
| 727D17 | DEFAULT | 1 | 2 | Penjanje | Maksimum za uzlijetanje | 5 | 1 000 | | | |
| 727D17 | DEFAULT | 1 | 3 | Ubrzanje | Maksimum za uzlijetanje | 5 | | 1 465 | 170 | |
| 727D17 | DEFAULT | 1 | 4 | Ubrzanje | Maksimum za uzlijetanje | 2 | | 1 465 | 200 | |

▼M2

| ACFTID | Oznaka profila (Profile_ID) | Duljina faze | Broj koraka | Tip koraka | Režim rada motora | Zakrilca (Flap_ID) | Visina krajnje točke (ft) | Stopa penjanja (ft/min) | Kalibrirana brzina leta u krajnjoj točki (kt) | Postotak ubrzanja (Accelerate_Percent) (%) |
|---|---|---|---|---|---|---|---|---|---|---|
| 727D17 | DEFAULT | 1 | 5 | Ubrzanje | Maksimum za penjanje | ZERO | | 1 000 | 210 | |
| 727D17 | DEFAULT | 1 | 6 | Penjanje | Maksimum za penjanje | ZERO | 3 000 | | | |
| 727D17 | DEFAULT | 1 | 7 | Ubrzanje | Maksimum za penjanje | ZERO | | 1 000 | 250 | |
| 727D17 | DEFAULT | 1 | 8 | Penjanje | Maksimum za penjanje | ZERO | 5 500 | | | |
| 727D17 | DEFAULT | 1 | 9 | Penjanje | Maksimum za penjanje | ZERO | 7 500 | | | |
| 727D17 | DEFAULT | 1 | 10 | Penjanje | Maksimum za penjanje | ZERO | 10 000 | | | |
| 727D17 | DEFAULT | 2 | 1 | Uzlijetanje | Maksimum za uzlijetanje | 5 | | | | |
| 727D17 | DEFAULT | 2 | 2 | Penjanje | Maksimum za uzlijetanje | 5 | 1 000 | | | |
| 727D17 | DEFAULT | 2 | 3 | Ubrzanje | Maksimum za uzlijetanje | 5 | | 1 340 | 175 | |
| 727D17 | DEFAULT | 2 | 4 | Ubrzanje | Maksimum za uzlijetanje | 2 | | 1 340 | 205 | |
| 727D17 | DEFAULT | 2 | 5 | Ubrzanje | Maksimum za penjanje | ZERO | | 1 000 | 215 | |
| 727D17 | DEFAULT | 2 | 6 | Penjanje | Maksimum za penjanje | ZERO | 3 000 | | | |
| 727D17 | DEFAULT | 2 | 7 | Ubrzanje | Maksimum za penjanje | ZERO | | 1 000 | 250 | |
| 727D17 | DEFAULT | 2 | 8 | Penjanje | Maksimum za penjanje | ZERO | 5 500 | | | |
| 727D17 | DEFAULT | 2 | 9 | Penjanje | Maksimum za penjanje | ZERO | 7 500 | | | |
| 727D17 | DEFAULT | 2 | 10 | Penjanje | Maksimum za penjanje | ZERO | 10 000 | | | |
| 727D17 | DEFAULT | 3 | 1 | Uzlijetanje | Maksimum za uzlijetanje | 5 | | | | |
| 727D17 | DEFAULT | 3 | 2 | Penjanje | Maksimum za uzlijetanje | 5 | 1 000 | | | |
| 727D17 | DEFAULT | 3 | 3 | Ubrzanje | Maksimum za uzlijetanje | 5 | | 1 236 | 180 | |
| 727D17 | DEFAULT | 3 | 4 | Ubrzanje | Maksimum za uzlijetanje | 2 | | 1 236 | 210 | |
| 727D17 | DEFAULT | 3 | 5 | Ubrzanje | Maksimum za penjanje | ZERO | | 1 000 | 220 | |

▼M2

| ACFTID | Oznaka profila (Profile_ID) | Duljina faze | Broj koraka | Tip koraka | Režim rada motora | Zakrilca (Flap_ID) | Visina krajnje točke (ft) | Stopa penjanja (ft/min) | Kalibrirana brzina leta u krajnjoj točki (kt) | Postotak ubrzanja (Accelerate_Percent) (%) |
|---|---|---|---|---|---|---|---|---|---|---|
| 727D17 | DEFAULT | 3 | 6 | Penjanje | Maksimum za penjanje | ZERO | 3 000 | | | |
| 727D17 | DEFAULT | 3 | 7 | Ubrzanje | Maksimum za penjanje | ZERO | | 1 000 | 250 | |
| 727D17 | DEFAULT | 3 | 8 | Penjanje | Maksimum za penjanje | ZERO | 5 500 | | | |
| 727D17 | DEFAULT | 3 | 9 | Penjanje | Maksimum za penjanje | ZERO | 7 500 | | | |
| 727D17 | DEFAULT | 3 | 10 | Penjanje | Maksimum za penjanje | ZERO | 10 000 | | | |
| 727D17 | DEFAULT | 4 | 1 | Uzlijetanje | Maksimum za uzlijetanje | 5 | | | | |
| 727D17 | DEFAULT | 4 | 2 | Penjanje | Maksimum za uzlijetanje | 5 | 1 000 | | | |
| 727D17 | DEFAULT | 4 | 3 | Ubrzanje | Maksimum za uzlijetanje | 5 | | 1 158 | 180 | |
| 727D17 | DEFAULT | 4 | 4 | Ubrzanje | Maksimum za uzlijetanje | 2 | | 1 158 | 210 | |
| 727D17 | DEFAULT | 4 | 5 | Ubrzanje | Maksimum za penjanje | ZERO | | 1 000 | 220 | |
| 727D17 | DEFAULT | 4 | 6 | Penjanje | Maksimum za penjanje | ZERO | 3 000 | | | |
| 727D17 | DEFAULT | 4 | 7 | Ubrzanje | Maksimum za penjanje | ZERO | | 1 000 | 250 | |
| 727D17 | DEFAULT | 4 | 8 | Penjanje | Maksimum za penjanje | ZERO | 5 500 | | | |
| 727D17 | DEFAULT | 4 | 9 | Penjanje | Maksimum za penjanje | ZERO | 7 500 | | | |
| 727D17 | DEFAULT | 4 | 10 | Penjanje | Maksimum za penjanje | ZERO | 10 000 | | | |
| 727EM1 | DEFAULT | 1 | 1 | Uzlijetanje | Maksimum za uzlijetanje | 5 | | | | |
| 727EM1 | DEFAULT | 1 | 2 | Penjanje | Maksimum za uzlijetanje | 5 | 1 000 | | | |
| 727EM1 | DEFAULT | 1 | 3 | Ubrzanje | Maksimum za uzlijetanje | 5 | | 1 342 | 160 | |
| 727EM1 | DEFAULT | 1 | 4 | Ubrzanje | Maksimum za uzlijetanje | 2 | | 1 342 | 190 | |
| 727EM1 | DEFAULT | 1 | 5 | Ubrzanje | Maksimum za penjanje | ZERO | | 1 000 | 200 | |
| 727EM1 | DEFAULT | 1 | 6 | Penjanje | Maksimum za penjanje | ZERO | 3 000 | | | |

▼M2

| ACFTID | Oznaka profila (Profile_ID) | Duljina faze | Broj koraka | Tip koraka | Režim rada motora | Zakrilca (Flap_ID) | Visina krajnje točke (ft) | Stopa penjanja (ft/min) | Kalibrirana brzina leta u krajnjoj točki (kt) | Postotak ubrzanja (Accelerate_Percent) (%) |
|---|---|---|---|---|---|---|---|---|---|---|
| 727EM1 | DEFAULT | 1 | 7 | Ubrzanje | Maksimum za penjanje | ZERO | | 1 000 | 250 | |
| 727EM1 | DEFAULT | 1 | 8 | Penjanje | Maksimum za penjanje | ZERO | 5 500 | | | |
| 727EM1 | DEFAULT | 1 | 9 | Penjanje | Maksimum za penjanje | ZERO | 7 500 | | | |
| 727EM1 | DEFAULT | 1 | 10 | Penjanje | Maksimum za penjanje | ZERO | 10 000 | | | |
| 727EM1 | DEFAULT | 2 | 1 | Uzlijetanje | Maksimum za uzlijetanje | 5 | | | | |
| 727EM1 | DEFAULT | 2 | 2 | Penjanje | Maksimum za uzlijetanje | 5 | 1 000 | | | |
| 727EM1 | DEFAULT | 2 | 3 | Ubrzanje | Maksimum za uzlijetanje | 5 | | 1 265 | 160 | |
| 727EM1 | DEFAULT | 2 | 4 | Ubrzanje | Maksimum za uzlijetanje | 2 | | 1 265 | 190 | |
| 727EM1 | DEFAULT | 2 | 5 | Ubrzanje | Maksimum za penjanje | ZERO | | 1 000 | 200 | |
| 727EM1 | DEFAULT | 2 | 6 | Penjanje | Maksimum za penjanje | ZERO | 3 000 | | | |
| 727EM1 | DEFAULT | 2 | 7 | Ubrzanje | Maksimum za penjanje | ZERO | | 1 000 | 250 | |
| 727EM1 | DEFAULT | 2 | 8 | Penjanje | Maksimum za penjanje | ZERO | 5 500 | | | |
| 727EM1 | DEFAULT | 2 | 9 | Penjanje | Maksimum za penjanje | ZERO | 7 500 | | | |
| 727EM1 | DEFAULT | 2 | 10 | Penjanje | Maksimum za penjanje | ZERO | 10 000 | | | |
| 727EM1 | DEFAULT | 3 | 1 | Uzlijetanje | Maksimum za uzlijetanje | 5 | | | | |
| 727EM1 | DEFAULT | 3 | 2 | Penjanje | Maksimum za uzlijetanje | 5 | 1 000 | | | |
| 727EM1 | DEFAULT | 3 | 3 | Ubrzanje | Maksimum za uzlijetanje | 5 | | 1 192 | 165 | |
| 727EM1 | DEFAULT | 3 | 4 | Ubrzanje | Maksimum za uzlijetanje | 2 | | 1 192 | 195 | |
| 727EM1 | DEFAULT | 3 | 5 | Ubrzanje | Maksimum za penjanje | ZERO | | 1 000 | 205 | |
| 727EM1 | DEFAULT | 3 | 6 | Penjanje | Maksimum za penjanje | ZERO | 3 000 | | | |
| 727EM1 | DEFAULT | 3 | 7 | Ubrzanje | Maksimum za penjanje | ZERO | | 1 000 | 250 | |
| 727EM1 | DEFAULT | 3 | 8 | Penjanje | Maksimum za penjanje | ZERO | 5 500 | | | |

▼M2

| ACFTID | Oznaka profila (Profile_ID) | Duljina faze | Broj koraka | Tip koraka | Režim rada motora | Zakrilca (Flap_ID) | Visina krajnje točke (ft) | Stopa penjanja (ft/min) | Kalibrirana brzina leta u krajnjoj točki (kt) | Postotak ubrzanja (Accelerate_Percent) (%) |
|---|---|---|---|---|---|---|---|---|---|---|
| 727EM1 | DEFAULT | 3 | 9 | Penjanje | Maksimum za penjanje | ZERO | 7 500 | | | |
| 727EM1 | DEFAULT | 3 | 10 | Penjanje | Maksimum za penjanje | ZERO | 10 000 | | | |
| 727EM1 | DEFAULT | 4 | 1 | Uzlijetanje | Maksimum za uzlijetanje | 5 | | | | |
| 727EM1 | DEFAULT | 4 | 2 | Penjanje | Maksimum za uzlijetanje | 5 | 1 000 | | | |
| 727EM1 | DEFAULT | 4 | 3 | Ubrzanje | Maksimum za uzlijetanje | 5 | | 1 115 | 170 | |
| 727EM1 | DEFAULT | 4 | 4 | Ubrzanje | Maksimum za uzlijetanje | 2 | | 1 115 | 200 | |
| 727EM1 | DEFAULT | 4 | 5 | Ubrzanje | Maksimum za penjanje | ZERO | | 1 000 | 210 | |
| 727EM1 | DEFAULT | 4 | 6 | Penjanje | Maksimum za penjanje | ZERO | 3 000 | | | |
| 727EM1 | DEFAULT | 4 | 7 | Ubrzanje | Maksimum za penjanje | ZERO | | 1 000 | 250 | |
| 727EM1 | DEFAULT | 4 | 8 | Penjanje | Maksimum za penjanje | ZERO | 5 500 | | | |
| 727EM1 | DEFAULT | 4 | 9 | Penjanje | Maksimum za penjanje | ZERO | 7 500 | | | |
| 727EM1 | DEFAULT | 4 | 10 | Penjanje | Maksimum za penjanje | ZERO | 10 000 | | | |
| 727EM2 | DEFAULT | 1 | 1 | Uzlijetanje | Maksimum za uzlijetanje | 5 | | | | |
| 727EM2 | DEFAULT | 1 | 2 | Penjanje | Maksimum za uzlijetanje | 5 | 1 000 | | | |
| 727EM2 | DEFAULT | 1 | 3 | Ubrzanje | Maksimum za uzlijetanje | 5 | | 1 363 | 170 | |
| 727EM2 | DEFAULT | 1 | 4 | Ubrzanje | Maksimum za uzlijetanje | 2 | | 1 363 | 200 | |
| 727EM2 | DEFAULT | 1 | 5 | Ubrzanje | Maksimum za penjanje | ZERO | | 1 000 | 210 | |
| 727EM2 | DEFAULT | 1 | 6 | Penjanje | Maksimum za penjanje | ZERO | 3 000 | | | |
| 727EM2 | DEFAULT | 1 | 7 | Ubrzanje | Maksimum za penjanje | ZERO | | 1 000 | 250 | |
| 727EM2 | DEFAULT | 1 | 8 | Penjanje | Maksimum za penjanje | ZERO | 5 500 | | | |
| 727EM2 | DEFAULT | 1 | 9 | Penjanje | Maksimum za penjanje | ZERO | 7 500 | | | |
| 727EM2 | DEFAULT | 1 | 10 | Penjanje | Maksimum za penjanje | ZERO | 10 000 | | | |

▼M2

| ACFTID | Oznaka profila (Profile_ID) | Duljina faze | Broj koraka | Tip koraka | Režim rada motora | Zakrilca (Flap_ID) | Visina krajnje točke (ft) | Stopa penjanja (ft/min) | Kalibrirana brzina leta u krajnjoj točki (kt) | Postotak ubrzanja (Accelerate_Percent) (%) |
|---|---|---|---|---|---|---|---|---|---|---|
| 727EM2 | DEFAULT | 2 | 1 | Uzlijetanje | Maksimum za uzlijetanje | 5 | | | | |
| 727EM2 | DEFAULT | 2 | 2 | Penjanje | Maksimum za uzlijetanje | 5 | 1 000 | | | |
| 727EM2 | DEFAULT | 2 | 3 | Ubrzanje | Maksimum za uzlijetanje | 5 | | 1 281 | 170 | |
| 727EM2 | DEFAULT | 2 | 4 | Ubrzanje | Maksimum za uzlijetanje | 2 | | 1 281 | 200 | |
| 727EM2 | DEFAULT | 2 | 5 | Ubrzanje | Maksimum za penjanje | ZERO | | 1 000 | 210 | |
| 727EM2 | DEFAULT | 2 | 6 | Penjanje | Maksimum za penjanje | ZERO | 3 000 | | | |
| 727EM2 | DEFAULT | 2 | 7 | Ubrzanje | Maksimum za penjanje | ZERO | | 1 000 | 250 | |
| 727EM2 | DEFAULT | 2 | 8 | Penjanje | Maksimum za penjanje | ZERO | 5 500 | | | |
| 727EM2 | DEFAULT | 2 | 9 | Penjanje | Maksimum za penjanje | ZERO | 7 500 | | | |
| 727EM2 | DEFAULT | 2 | 10 | Penjanje | Maksimum za penjanje | ZERO | 10 000 | | | |
| 727EM2 | DEFAULT | 3 | 1 | Uzlijetanje | Maksimum za uzlijetanje | 5 | | | | |
| 727EM2 | DEFAULT | 3 | 2 | Penjanje | Maksimum za uzlijetanje | 5 | 1 000 | | | |
| 727EM2 | DEFAULT | 3 | 3 | Ubrzanje | Maksimum za uzlijetanje | 5 | | 1 177 | 175 | |
| 727EM2 | DEFAULT | 3 | 4 | Ubrzanje | Maksimum za uzlijetanje | 2 | | 1 177 | 205 | |
| 727EM2 | DEFAULT | 3 | 5 | Ubrzanje | Maksimum za penjanje | ZERO | | 1 000 | 215 | |
| 727EM2 | DEFAULT | 3 | 6 | Penjanje | Maksimum za penjanje | ZERO | 3 000 | | | |
| 727EM2 | DEFAULT | 3 | 7 | Ubrzanje | Maksimum za penjanje | ZERO | | 1 000 | 250 | |
| 727EM2 | DEFAULT | 3 | 8 | Penjanje | Maksimum za penjanje | ZERO | 5 500 | | | |
| 727EM2 | DEFAULT | 3 | 9 | Penjanje | Maksimum za penjanje | ZERO | 7 500 | | | |
| 727EM2 | DEFAULT | 3 | 10 | Penjanje | Maksimum za penjanje | ZERO | 10 000 | | | |
| 727EM2 | DEFAULT | 4 | 1 | Uzlijetanje | Maksimum za uzlijetanje | 5 | | | | |
| 727EM2 | DEFAULT | 4 | 2 | Penjanje | Maksimum za uzlijetanje | 5 | 1 000 | | | |
| 727EM2 | DEFAULT | 4 | 3 | Ubrzanje | Maksimum za uzlijetanje | 5 | | 1 057 | 180 | |

▼M2

| ACFTID | Oznaka profila (Profile_ID) | Duljina faze | Broj koraka | Tip koraka | Režim rada motora | Zakrilca (Flap_ID) | Visina krajnje točke (ft) | Stopa penjanja (ft/min) | Kalibrirana brzina leta u krajnjoj točki (kt) | Postotak ubrzanja (Accelerate_Percent) (%) |
|---|---|---|---|---|---|---|---|---|---|---|
| 727EM2 | DEFAULT | 4 | 4 | Ubrzanje | Maksimum za uzlijetanje | 2 | | 1 057 | 210 | |
| 727EM2 | DEFAULT | 4 | 5 | Ubrzanje | Maksimum za penjanje | ZERO | | 1 000 | 220 | |
| 727EM2 | DEFAULT | 4 | 6 | Penjanje | Maksimum za penjanje | ZERO | 3 000 | | | |
| 727EM2 | DEFAULT | 4 | 7 | Ubrzanje | Maksimum za penjanje | ZERO | | 1 000 | 250 | |
| 727EM2 | DEFAULT | 4 | 8 | Penjanje | Maksimum za penjanje | ZERO | 5 500 | | | |
| 727EM2 | DEFAULT | 4 | 9 | Penjanje | Maksimum za penjanje | ZERO | 7 500 | | | |
| 727EM2 | DEFAULT | 4 | 10 | Penjanje | Maksimum za penjanje | ZERO | 10 000 | | | |
| 727EM2 | DEFAULT | 5 | 1 | Uzlijetanje | Maksimum za uzlijetanje | 5 | | | | |
| 727EM2 | DEFAULT | 5 | 2 | Penjanje | Maksimum za uzlijetanje | 5 | 1 000 | | | |
| 727EM2 | DEFAULT | 5 | 3 | Ubrzanje | Maksimum za uzlijetanje | 2 | | 941 | 210 | |
| 727EM2 | DEFAULT | 5 | 4 | Ubrzanje | Maksimum za penjanje | ZERO | | 1 000 | 220 | |
| 727EM2 | DEFAULT | 5 | 5 | Penjanje | Maksimum za penjanje | ZERO | 3 000 | | | |
| 727EM2 | DEFAULT | 5 | 6 | Ubrzanje | Maksimum za penjanje | ZERO | | 1 000 | 250 | |
| 727EM2 | DEFAULT | 5 | 7 | Penjanje | Maksimum za penjanje | ZERO | 5 500 | | | |
| 727EM2 | DEFAULT | 5 | 8 | Penjanje | Maksimum za penjanje | ZERO | 7 500 | | | |
| 727EM2 | DEFAULT | 5 | 9 | Penjanje | Maksimum za penjanje | ZERO | 10 000 | | | |
| 727Q15 | DEFAULT | 1 | 1 | Uzlijetanje | Maksimum za uzlijetanje | 5 | | | | |
| 727Q15 | DEFAULT | 1 | 2 | Penjanje | Maksimum za uzlijetanje | 5 | 1 000 | | | |
| 727Q15 | DEFAULT | 1 | 3 | Ubrzanje | Maksimum za uzlijetanje | 5 | | 1 363 | 170 | |
| 727Q15 | DEFAULT | 1 | 4 | Ubrzanje | Maksimum za uzlijetanje | 2 | | 1 363 | 200 | |
| 727Q15 | DEFAULT | 1 | 5 | Ubrzanje | Maksimum za penjanje | ZERO | | 1 000 | 210 | |
| 727Q15 | DEFAULT | 1 | 6 | Penjanje | Maksimum za penjanje | ZERO | 3 000 | | | |

▼M2

| ACFTID | Oznaka profila (Profile_ID) | Duljina faze | Broj koraka | Tip koraka | Režim rada motora | Zakrilca (Flap_ID) | Visina krajnje točke (ft) | Stopa penjanja (ft/min) | Kalibrirana brzina leta u krajnjoj točki (kt) | Postotak ubrzanja (Accelerate_Percent) (%) |
|---|---|---|---|---|---|---|---|---|---|---|
| 727Q15 | DEFAULT | 1 | 7 | Ubrzanje | Maksimum za penjanje | ZERO | | 1 000 | 250 | |
| 727Q15 | DEFAULT | 1 | 8 | Penjanje | Maksimum za penjanje | ZERO | 5 500 | | | |
| 727Q15 | DEFAULT | 1 | 9 | Penjanje | Maksimum za penjanje | ZERO | 7 500 | | | |
| 727Q15 | DEFAULT | 1 | 10 | Penjanje | Maksimum za penjanje | ZERO | 10 000 | | | |
| 727Q15 | DEFAULT | 2 | 1 | Uzlijetanje | Maksimum za uzlijetanje | 5 | | | | |
| 727Q15 | DEFAULT | 2 | 2 | Penjanje | Maksimum za uzlijetanje | 5 | 1 000 | | | |
| 727Q15 | DEFAULT | 2 | 3 | Ubrzanje | Maksimum za uzlijetanje | 5 | | 1 281 | 170 | |
| 727Q15 | DEFAULT | 2 | 4 | Ubrzanje | Maksimum za uzlijetanje | 2 | | 1 281 | 200 | |
| 727Q15 | DEFAULT | 2 | 5 | Ubrzanje | Maksimum za penjanje | ZERO | | 1 000 | 210 | |
| 727Q15 | DEFAULT | 2 | 6 | Penjanje | Maksimum za penjanje | ZERO | 3 000 | | | |
| 727Q15 | DEFAULT | 2 | 7 | Ubrzanje | Maksimum za penjanje | ZERO | | 1 000 | 250 | |
| 727Q15 | DEFAULT | 2 | 8 | Penjanje | Maksimum za penjanje | ZERO | 5 500 | | | |
| 727Q15 | DEFAULT | 2 | 9 | Penjanje | Maksimum za penjanje | ZERO | 7 500 | | | |
| 727Q15 | DEFAULT | 2 | 10 | Penjanje | Maksimum za penjanje | ZERO | 10 000 | | | |
| 727Q15 | DEFAULT | 3 | 1 | Uzlijetanje | Maksimum za uzlijetanje | 5 | | | | |
| 727Q15 | DEFAULT | 3 | 2 | Penjanje | Maksimum za uzlijetanje | 5 | 1 000 | | | |
| 727Q15 | DEFAULT | 3 | 3 | Ubrzanje | Maksimum za uzlijetanje | 5 | | 1 177 | 175 | |
| 727Q15 | DEFAULT | 3 | 4 | Ubrzanje | Maksimum za uzlijetanje | 2 | | 1 177 | 205 | |
| 727Q15 | DEFAULT | 3 | 5 | Ubrzanje | Maksimum za penjanje | ZERO | | 1 000 | 215 | |
| 727Q15 | DEFAULT | 3 | 6 | Penjanje | Maksimum za penjanje | ZERO | 3 000 | | | |
| 727Q15 | DEFAULT | 3 | 7 | Ubrzanje | Maksimum za penjanje | ZERO | | 1 000 | 250 | |
| 727Q15 | DEFAULT | 3 | 8 | Penjanje | Maksimum za penjanje | ZERO | 5 500 | | | |
| 727Q15 | DEFAULT | 3 | 9 | Penjanje | Maksimum za penjanje | ZERO | 7 500 | | | |

▼M2

| ACFTID | Oznaka profila (Profile_ID) | Duljina faze | Broj koraka | Tip koraka | Režim rada motora | Zakrilca (Flap_ID) | Visina krajnje točke (ft) | Stopa penjanja (ft/min) | Kalibrirana brzina leta u krajnjoj točki (kt) | Postotak ubrzanja (Accelerate_Percent) (%) |
|---|---|---|---|---|---|---|---|---|---|---|
| 727Q15 | DEFAULT | 3 | 10 | Penjanje | Maksimum za penjanje | ZERO | 10 000 | | | |
| 727Q15 | DEFAULT | 4 | 1 | Uzlijetanje | Maksimum za uzlijetanje | 5 | | | | |
| 727Q15 | DEFAULT | 4 | 2 | Penjanje | Maksimum za uzlijetanje | 5 | 1 000 | | | |
| 727Q15 | DEFAULT | 4 | 3 | Ubrzanje | Maksimum za uzlijetanje | 5 | | 1 057 | 180 | |
| 727Q15 | DEFAULT | 4 | 4 | Ubrzanje | Maksimum za uzlijetanje | 2 | | 1 057 | 210 | |
| 727Q15 | DEFAULT | 4 | 5 | Ubrzanje | Maksimum za penjanje | ZERO | | 1 000 | 220 | |
| 727Q15 | DEFAULT | 4 | 6 | Penjanje | Maksimum za penjanje | ZERO | 3 000 | | | |
| 727Q15 | DEFAULT | 4 | 7 | Ubrzanje | Maksimum za penjanje | ZERO | | 1 000 | 250 | |
| 727Q15 | DEFAULT | 4 | 8 | Penjanje | Maksimum za penjanje | ZERO | 5 500 | | | |
| 727Q15 | DEFAULT | 4 | 9 | Penjanje | Maksimum za penjanje | ZERO | 7 500 | | | |
| 727Q15 | DEFAULT | 4 | 10 | Penjanje | Maksimum za penjanje | ZERO | 10 000 | | | |
| 727Q15 | DEFAULT | 5 | 1 | Uzlijetanje | Maksimum za uzlijetanje | 5 | | | | |
| 727Q15 | DEFAULT | 5 | 2 | Penjanje | Maksimum za uzlijetanje | 5 | 1 000 | | | |
| 727Q15 | DEFAULT | 5 | 3 | Ubrzanje | Maksimum za uzlijetanje | 2 | | 941 | 210 | |
| 727Q15 | DEFAULT | 5 | 4 | Ubrzanje | Maksimum za penjanje | ZERO | | 1 000 | 220 | |
| 727Q15 | DEFAULT | 5 | 5 | Penjanje | Maksimum za penjanje | ZERO | 3 000 | | | |
| 727Q15 | DEFAULT | 5 | 6 | Ubrzanje | Maksimum za penjanje | ZERO | | 1 000 | 250 | |
| 727Q15 | DEFAULT | 5 | 7 | Penjanje | Maksimum za penjanje | ZERO | 5 500 | | | |
| 727Q15 | DEFAULT | 5 | 8 | Penjanje | Maksimum za penjanje | ZERO | 7 500 | | | |
| 727Q15 | DEFAULT | 5 | 9 | Penjanje | Maksimum za penjanje | ZERO | 10 000 | | | |
| 727Q7 | DEFAULT | 1 | 1 | Uzlijetanje | Maksimum za uzlijetanje | 5 | | | | |
| 727Q7 | DEFAULT | 1 | 2 | Penjanje | Maksimum za uzlijetanje | 5 | 1 000 | | | |
| 727Q7 | DEFAULT | 1 | 3 | Ubrzanje | Maksimum za uzlijetanje | 5 | | 1 342 | 160 | |

▼M2

| ACFTID | Oznaka profila (Profile_ID) | Duljina faze | Broj koraka | Tip koraka | Režim rada motora | Zakrilca (Flap_ID) | Visina krajnje točke (ft) | Stopa penjanja (ft/min) | Kalibrirana brzina leta u krajnjoj točki (kt) | Postotak ubrzanja (Accelerate_Percent) (%) |
|---|---|---|---|---|---|---|---|---|---|---|
| 727Q7 | DEFAULT | 1 | 4 | Ubrzanje | Maksimum za uzlijetanje | 2 | | 1 342 | 190 | |
| 727Q7 | DEFAULT | 1 | 5 | Ubrzanje | Maksimum za penjanje | ZERO | | 1 000 | 200 | |
| 727Q7 | DEFAULT | 1 | 6 | Penjanje | Maksimum za penjanje | ZERO | 3 000 | | | |
| 727Q7 | DEFAULT | 1 | 7 | Ubrzanje | Maksimum za penjanje | ZERO | | 1 000 | 250 | |
| 727Q7 | DEFAULT | 1 | 8 | Penjanje | Maksimum za penjanje | ZERO | 5 500 | | | |
| 727Q7 | DEFAULT | 1 | 9 | Penjanje | Maksimum za penjanje | ZERO | 7 500 | | | |
| 727Q7 | DEFAULT | 1 | 10 | Penjanje | Maksimum za penjanje | ZERO | 10 000 | | | |
| 727Q7 | DEFAULT | 2 | 1 | Uzlijetanje | Maksimum za uzlijetanje | 5 | | | | |
| 727Q7 | DEFAULT | 2 | 2 | Penjanje | Maksimum za uzlijetanje | 5 | 1 000 | | | |
| 727Q7 | DEFAULT | 2 | 3 | Ubrzanje | Maksimum za uzlijetanje | 5 | | 1 265 | 160 | |
| 727Q7 | DEFAULT | 2 | 4 | Ubrzanje | Maksimum za uzlijetanje | 2 | | 1 265 | 190 | |
| 727Q7 | DEFAULT | 2 | 5 | Ubrzanje | Maksimum za penjanje | ZERO | | 1 000 | 200 | |
| 727Q7 | DEFAULT | 2 | 6 | Penjanje | Maksimum za penjanje | ZERO | 3 000 | | | |
| 727Q7 | DEFAULT | 2 | 7 | Ubrzanje | Maksimum za penjanje | ZERO | | 1 000 | 250 | |
| 727Q7 | DEFAULT | 2 | 8 | Penjanje | Maksimum za penjanje | ZERO | 5 500 | | | |
| 727Q7 | DEFAULT | 2 | 9 | Penjanje | Maksimum za penjanje | ZERO | 7 500 | | | |
| 727Q7 | DEFAULT | 2 | 10 | Penjanje | Maksimum za penjanje | ZERO | 10 000 | | | |
| 727Q7 | DEFAULT | 3 | 1 | Uzlijetanje | Maksimum za uzlijetanje | 5 | | | | |
| 727Q7 | DEFAULT | 3 | 2 | Penjanje | Maksimum za uzlijetanje | 5 | 1 000 | | | |
| 727Q7 | DEFAULT | 3 | 3 | Ubrzanje | Maksimum za uzlijetanje | 5 | | 1 192 | 165 | |
| 727Q7 | DEFAULT | 3 | 4 | Ubrzanje | Maksimum za uzlijetanje | 2 | | 1 192 | 195 | |
| 727Q7 | DEFAULT | 3 | 5 | Ubrzanje | Maksimum za penjanje | ZERO | | 1 000 | 205 | |

▼M2

| ACFTID | Oznaka profila (Profile_ID) | Duljina faze | Broj koraka | Tip koraka | Režim rada motora | Zakrilca (Flap_ID) | Visina krajnje točke (ft) | Stopa penjanja (ft/min) | Kalibrirana brzina leta u krajnjoj točki (kt) | Postotak ubrzanja (Accelerate_Percent) (%) |
|---|---|---|---|---|---|---|---|---|---|---|
| 727Q7 | DEFAULT | 3 | 6 | Penjanje | Maksimum za penjanje | ZERO | 3 000 | | | |
| 727Q7 | DEFAULT | 3 | 7 | Ubrzanje | Maksimum za penjanje | ZERO | | 1 000 | 250 | |
| 727Q7 | DEFAULT | 3 | 8 | Penjanje | Maksimum za penjanje | ZERO | 5 500 | | | |
| 727Q7 | DEFAULT | 3 | 9 | Penjanje | Maksimum za penjanje | ZERO | 7 500 | | | |
| 727Q7 | DEFAULT | 3 | 10 | Penjanje | Maksimum za penjanje | ZERO | 10 000 | | | |
| 727Q7 | DEFAULT | 4 | 1 | Uzlijetanje | Maksimum za uzlijetanje | 5 | | | | |
| 727Q7 | DEFAULT | 4 | 2 | Penjanje | Maksimum za uzlijetanje | 5 | 1 000 | | | |
| 727Q7 | DEFAULT | 4 | 3 | Ubrzanje | Maksimum za uzlijetanje | 5 | | 1 115 | 170 | |
| 727Q7 | DEFAULT | 4 | 4 | Ubrzanje | Maksimum za uzlijetanje | 2 | | 1 115 | 200 | |
| 727Q7 | DEFAULT | 4 | 5 | Ubrzanje | Maksimum za penjanje | ZERO | | 1 000 | 210 | |
| 727Q7 | DEFAULT | 4 | 6 | Penjanje | Maksimum za penjanje | ZERO | 3 000 | | | |
| 727Q7 | DEFAULT | 4 | 7 | Ubrzanje | Maksimum za penjanje | ZERO | | 1 000 | 250 | |
| 727Q7 | DEFAULT | 4 | 8 | Penjanje | Maksimum za penjanje | ZERO | 5 500 | | | |
| 727Q7 | DEFAULT | 4 | 9 | Penjanje | Maksimum za penjanje | ZERO | 7 500 | | | |
| 727Q7 | DEFAULT | 4 | 10 | Penjanje | Maksimum za penjanje | ZERO | 10 000 | | | |
| 727Q9 | DEFAULT | 1 | 1 | Uzlijetanje | Maksimum za uzlijetanje | 5 | | | | |
| 727Q9 | DEFAULT | 1 | 2 | Penjanje | Maksimum za uzlijetanje | 5 | 1 000 | | | |
| 727Q9 | DEFAULT | 1 | 3 | Ubrzanje | Maksimum za uzlijetanje | 5 | | 1 539 | 170 | |
| 727Q9 | DEFAULT | 1 | 4 | Ubrzanje | Maksimum za uzlijetanje | 2 | | 1 539 | 200 | |
| 727Q9 | DEFAULT | 1 | 5 | Ubrzanje | Maksimum za penjanje | ZERO | | 1 000 | 210 | |
| 727Q9 | DEFAULT | 1 | 6 | Penjanje | Maksimum za penjanje | ZERO | 3 000 | | | |
| 727Q9 | DEFAULT | 1 | 7 | Ubrzanje | Maksimum za penjanje | ZERO | | 1 000 | 250 | |

▼M2

| ACFTID | Oznaka profila (Profile_ID) | Duljina faze | Broj koraka | Tip koraka | Režim rada motora | Zakrilca (Flap_ID) | Visina krajnje točke (ft) | Stopa penjanja (ft/min) | Kalibrirana brzina leta u krajnjoj točki (kt) | Postotak ubrzanja (Accelerate_Percent) (%) |
|---|---|---|---|---|---|---|---|---|---|---|
| 727Q9 | DEFAULT | 1 | 8 | Penjanje | Maksimum za penjanje | ZERO | 5 500 | | | |
| 727Q9 | DEFAULT | 1 | 9 | Penjanje | Maksimum za penjanje | ZERO | 7 500 | | | |
| 727Q9 | DEFAULT | 1 | 10 | Penjanje | Maksimum za penjanje | ZERO | 10 000 | | | |
| 727Q9 | DEFAULT | 2 | 1 | Uzlijetanje | Maksimum za uzlijetanje | 5 | | | | |
| 727Q9 | DEFAULT | 2 | 2 | Penjanje | Maksimum za uzlijetanje | 5 | 1 000 | | | |
| 727Q9 | DEFAULT | 2 | 3 | Ubrzanje | Maksimum za uzlijetanje | 5 | | 1 390 | 170 | |
| 727Q9 | DEFAULT | 2 | 4 | Ubrzanje | Maksimum za uzlijetanje | 2 | | 1 390 | 200 | |
| 727Q9 | DEFAULT | 2 | 5 | Ubrzanje | Maksimum za penjanje | ZERO | | 1 000 | 210 | |
| 727Q9 | DEFAULT | 2 | 6 | Penjanje | Maksimum za penjanje | ZERO | 3 000 | | | |
| 727Q9 | DEFAULT | 2 | 7 | Ubrzanje | Maksimum za penjanje | ZERO | | 1 000 | 250 | |
| 727Q9 | DEFAULT | 2 | 8 | Penjanje | Maksimum za penjanje | ZERO | 5 500 | | | |
| 727Q9 | DEFAULT | 2 | 9 | Penjanje | Maksimum za penjanje | ZERO | 7 500 | | | |
| 727Q9 | DEFAULT | 2 | 10 | Penjanje | Maksimum za penjanje | ZERO | 10 000 | | | |
| 727Q9 | DEFAULT | 3 | 1 | Uzlijetanje | Maksimum za uzlijetanje | 5 | | | | |
| 727Q9 | DEFAULT | 3 | 2 | Penjanje | Maksimum za uzlijetanje | 5 | 1 000 | | | |
| 727Q9 | DEFAULT | 3 | 3 | Ubrzanje | Maksimum za uzlijetanje | 5 | | 1 255 | 180 | |
| 727Q9 | DEFAULT | 3 | 4 | Ubrzanje | Maksimum za uzlijetanje | 2 | | 1 255 | 210 | |
| 727Q9 | DEFAULT | 3 | 5 | Ubrzanje | Maksimum za penjanje | ZERO | | 1 000 | 220 | |
| 727Q9 | DEFAULT | 3 | 6 | Penjanje | Maksimum za penjanje | ZERO | 3 000 | | | |
| 727Q9 | DEFAULT | 3 | 7 | Ubrzanje | Maksimum za penjanje | ZERO | | 1 000 | 250 | |
| 727Q9 | DEFAULT | 3 | 8 | Penjanje | Maksimum za penjanje | ZERO | 5 500 | | | |
| 727Q9 | DEFAULT | 3 | 9 | Penjanje | Maksimum za penjanje | ZERO | 7 500 | | | |

▼M2

| ACFTID | Oznaka profila (Profile_ID) | Duljina faze | Broj koraka | Tip koraka | Režim rada motora | Zakrilca (Flap_ID) | Visina krajnje točke (ft) | Stopa penjanja (ft/min) | Kalibrirana brzina leta u krajnjoj točki (kt) | Postotak ubrzanja (Accele-rate_Per-cent) (%) |
|---|---|---|---|---|---|---|---|---|---|---|
| 727Q9 | DEFAULT | 3 | 10 | Penjanje | Maksimum za penjanje | ZERO | 10 000 | | | |
| 727Q9 | DEFAULT | 4 | 1 | Uzlijetanje | Maksimum za uzlijetanje | 5 | | | | |
| 727Q9 | DEFAULT | 4 | 2 | Penjanje | Maksimum za uzlijetanje | 5 | 1 000 | | | |
| 727Q9 | DEFAULT | 4 | 3 | Ubrzanje | Maksimum za uzlijetanje | 2 | | 855 | 210 | |
| 727Q9 | DEFAULT | 4 | 4 | Ubrzanje | Maksimum za penjanje | ZERO | | 1 000 | 220 | |
| 727Q9 | DEFAULT | 4 | 5 | Penjanje | Maksimum za penjanje | ZERO | 3 000 | | | |
| 727Q9 | DEFAULT | 4 | 6 | Ubrzanje | Maksimum za penjanje | ZERO | | 1 000 | 250 | |
| 727Q9 | DEFAULT | 4 | 7 | Penjanje | Maksimum za penjanje | ZERO | 5 500 | | | |
| 727Q9 | DEFAULT | 4 | 8 | Penjanje | Maksimum za penjanje | ZERO | 7 500 | | | |
| 727Q9 | DEFAULT | 4 | 9 | Penjanje | Maksimum za penjanje | ZERO | 10 000 | | | |
| 727QF | DEFAULT | 1 | 1 | Uzlijetanje | Maksimum za uzlijetanje | 5 | | | | |
| 727QF | DEFAULT | 1 | 2 | Penjanje | Maksimum za uzlijetanje | 5 | 1 000 | | | |
| 727QF | DEFAULT | 1 | 3 | Ubrzanje | Maksimum za uzlijetanje | 5 | | 1 000 | 175 | |
| 727QF | DEFAULT | 1 | 4 | Ubrzanje | Maksimum za uzlijetanje | 2 | | 1 000 | 190 | |
| 727QF | DEFAULT | 1 | 5 | Ubrzanje | Maksimum za uzlijetanje | ZERO | | 1 000 | 200 | |
| 727QF | DEFAULT | 1 | 6 | Penjanje | Maksimum za trajnu upotrebu | ZERO | 3 000 | | | |
| 727QF | DEFAULT | 1 | 7 | Ubrzanje | Maksimum za trajnu upotrebu | ZERO | | 1 000 | 250 | |
| 727QF | DEFAULT | 1 | 8 | Penjanje | Maksimum za penjanje | ZERO | 5 500 | | | |
| 727QF | DEFAULT | 1 | 9 | Penjanje | Maksimum za penjanje | ZERO | 7 500 | | | |
| 727QF | DEFAULT | 1 | 10 | Penjanje | Maksimum za penjanje | ZERO | 10 000 | | | |
| 727QF | DEFAULT | 2 | 1 | Uzlijetanje | Maksimum za uzlijetanje | 5 | | | | |

▼M2

| ACFTID | Oznaka profila (Profile_ID) | Duljina faze | Broj koraka | Tip koraka | Režim rada motora | Zakrilca (Flap_ID) | Visina krajnje točke (ft) | Stopa penjanja (ft/min) | Kalibrirana brzina leta u krajnjoj točki (kt) | Postotak ubrzanja (Accelerate_Percent) (%) |
|---|---|---|---|---|---|---|---|---|---|---|
| 727QF | DEFAULT | 2 | 2 | Penjanje | Maksimum za uzlijetanje | 5 | 1 000 | | | |
| 727QF | DEFAULT | 2 | 3 | Ubrzanje | Maksimum za uzlijetanje | 5 | | 1 000 | 180 | |
| 727QF | DEFAULT | 2 | 4 | Ubrzanje | Maksimum za uzlijetanje | 2 | | 1 000 | 190 | |
| 727QF | DEFAULT | 2 | 5 | Ubrzanje | Maksimum za uzlijetanje | ZERO | | 1 000 | 200 | |
| 727QF | DEFAULT | 2 | 6 | Penjanje | Maksimum za trajnu upotrebu | ZERO | 3 000 | | | |
| 727QF | DEFAULT | 2 | 7 | Ubrzanje | Maksimum za trajnu upotrebu | ZERO | | 1 000 | 250 | |
| 727QF | DEFAULT | 2 | 8 | Penjanje | Maksimum za penjanje | ZERO | 5 500 | | | |
| 727QF | DEFAULT | 2 | 9 | Penjanje | Maksimum za penjanje | ZERO | 7 500 | | | |
| 727QF | DEFAULT | 2 | 10 | Penjanje | Maksimum za penjanje | ZERO | 10 000 | | | |
| 727QF | DEFAULT | 3 | 1 | Uzlijetanje | Maksimum za uzlijetanje | 5 | | | | |
| 727QF | DEFAULT | 3 | 2 | Penjanje | Maksimum za uzlijetanje | 5 | 1 000 | | | |
| 727QF | DEFAULT | 3 | 3 | Ubrzanje | Maksimum za uzlijetanje | 5 | | 1 000 | 184 | |
| 727QF | DEFAULT | 3 | 4 | Ubrzanje | Maksimum za uzlijetanje | 2 | | 1 000 | 190 | |
| 727QF | DEFAULT | 3 | 5 | Ubrzanje | Maksimum za uzlijetanje | ZERO | | 1 000 | 200 | |
| 727QF | DEFAULT | 3 | 6 | Penjanje | Maksimum za trajnu upotrebu | ZERO | 3 000 | | | |
| 727QF | DEFAULT | 3 | 7 | Ubrzanje | Maksimum za trajnu upotrebu | ZERO | | 1 000 | 250 | |
| 727QF | DEFAULT | 3 | 8 | Penjanje | Maksimum za penjanje | ZERO | 5 500 | | | |
| 727QF | DEFAULT | 3 | 9 | Penjanje | Maksimum za penjanje | ZERO | 7 500 | | | |
| 727QF | DEFAULT | 3 | 10 | Penjanje | Maksimum za penjanje | ZERO | 10 000 | | | |
| 727QF | DEFAULT | 4 | 1 | Uzlijetanje | Maksimum za uzlijetanje | 5 | | | | |

▼M2

| ACFTID | Oznaka profila (Profile_ID) | Duljina faze | Broj koraka | Tip koraka | Režim rada motora | Zakrilca (Flap_ID) | Visina krajnje točke (ft) | Stopa penjanja (ft/min) | Kalibrirana brzina leta u krajnjoj točki (kt) | Postotak ubrzanja (Accelerate_Percent) (%) |
|---|---|---|---|---|---|---|---|---|---|---|
| 727QF | DEFAULT | 4 | 2 | Penjanje | Maksimum za uzlijetanje | 5 | 1 000 | | | |
| 727QF | DEFAULT | 4 | 3 | Ubrzanje | Maksimum za uzlijetanje | 5 | | 1 000 | 189 | |
| 727QF | DEFAULT | 4 | 4 | Ubrzanje | Maksimum za uzlijetanje | 2 | | 1 000 | 190 | |
| 727QF | DEFAULT | 4 | 5 | Ubrzanje | Maksimum za uzlijetanje | ZERO | | 1 000 | 200 | |
| 727QF | DEFAULT | 4 | 6 | Penjanje | Maksimum za trajnu upotrebu | ZERO | 3 000 | | | |
| 727QF | DEFAULT | 4 | 7 | Ubrzanje | Maksimum za trajnu upotrebu | ZERO | | 1 000 | 250 | |
| 727QF | DEFAULT | 4 | 8 | Penjanje | Maksimum za penjanje | ZERO | 5 500 | | | |
| 727QF | DEFAULT | 4 | 9 | Penjanje | Maksimum za penjanje | ZERO | 7 500 | | | |
| 727QF | DEFAULT | 4 | 10 | Penjanje | Maksimum za penjanje | ZERO | 10 000 | | | |
| 737 | DEFAULT | 1 | 1 | Uzlijetanje | Maksimum za uzlijetanje | 5 | | | | |
| 737 | DEFAULT | 1 | 2 | Penjanje | Maksimum za uzlijetanje | 5 | 1 000 | | | |
| 737 | DEFAULT | 1 | 3 | Ubrzanje | Maksimum za uzlijetanje | 5 | | 2 090 | 146 | |
| 737 | DEFAULT | 1 | 4 | Ubrzanje | Maksimum za uzlijetanje | INT | | 1 568 | 171 | |
| 737 | DEFAULT | 1 | 5 | Ubrzanje | Maksimum za penjanje | ZERO | | 1 000 | 210 | |
| 737 | DEFAULT | 1 | 6 | Penjanje | Maksimum za penjanje | ZERO | 3 000 | | | |
| 737 | DEFAULT | 1 | 7 | Ubrzanje | Maksimum za penjanje | ZERO | | 1 000 | 250 | |
| 737 | DEFAULT | 1 | 8 | Penjanje | Maksimum za penjanje | ZERO | 5 500 | | | |
| 737 | DEFAULT | 1 | 9 | Penjanje | Maksimum za penjanje | ZERO | 7 500 | | | |
| 737 | DEFAULT | 1 | 10 | Penjanje | Maksimum za penjanje | ZERO | 10 000 | | | |
| 737 | DEFAULT | 2 | 1 | Uzlijetanje | Maksimum za uzlijetanje | 5 | | | | |
| 737 | DEFAULT | 2 | 2 | Penjanje | Maksimum za uzlijetanje | 5 | 1 000 | | | |
| 737 | DEFAULT | 2 | 3 | Ubrzanje | Maksimum za uzlijetanje | 5 | | 2 014 | 149 | |

▼M2

| ACFTID | Oznaka profila (Profile_ID) | Duljina faze | Broj koraka | Tip koraka | Režim rada motora | Zakrilca (Flap_ID) | Visina krajnje točke (ft) | Stopa penjanja (ft/min) | Kalibrirana brzina leta u krajnjoj točki (kt) | Postotak ubrzanja (Accelerate_Percent) (%) |
|---|---|---|---|---|---|---|---|---|---|---|
| 737 | DEFAULT | 2 | 4 | Ubrzanje | Maksimum za uzlijetanje | INT | | 1 511 | 174 | |
| 737 | DEFAULT | 2 | 5 | Ubrzanje | Maksimum za penjanje | ZERO | | 1 000 | 210 | |
| 737 | DEFAULT | 2 | 6 | Penjanje | Maksimum za penjanje | ZERO | 3 000 | | | |
| 737 | DEFAULT | 2 | 7 | Ubrzanje | Maksimum za penjanje | ZERO | | 1 000 | 250 | |
| 737 | DEFAULT | 2 | 8 | Penjanje | Maksimum za penjanje | ZERO | 5 500 | | | |
| 737 | DEFAULT | 2 | 9 | Penjanje | Maksimum za penjanje | ZERO | 7 500 | | | |
| 737 | DEFAULT | 2 | 10 | Penjanje | Maksimum za penjanje | ZERO | 10 000 | | | |
| 737 | DEFAULT | 3 | 1 | Uzlijetanje | Maksimum za uzlijetanje | 5 | | | | |
| 737 | DEFAULT | 3 | 2 | Penjanje | Maksimum za uzlijetanje | 5 | 1 000 | | | |
| 737 | DEFAULT | 3 | 3 | Ubrzanje | Maksimum za uzlijetanje | 5 | | 1 851 | 154 | |
| 737 | DEFAULT | 3 | 4 | Ubrzanje | Maksimum za uzlijetanje | INT | | 1 388 | 179 | |
| 737 | DEFAULT | 3 | 5 | Ubrzanje | Maksimum za penjanje | ZERO | | 1 000 | 210 | |
| 737 | DEFAULT | 3 | 6 | Penjanje | Maksimum za penjanje | ZERO | 3 000 | | | |
| 737 | DEFAULT | 3 | 7 | Ubrzanje | Maksimum za penjanje | ZERO | | 1 000 | 250 | |
| 737 | DEFAULT | 3 | 8 | Penjanje | Maksimum za penjanje | ZERO | 5 500 | | | |
| 737 | DEFAULT | 3 | 9 | Penjanje | Maksimum za penjanje | ZERO | 7 500 | | | |
| 737 | DEFAULT | 3 | 10 | Penjanje | Maksimum za penjanje | ZERO | 10 000 | | | |
| 737 | DEFAULT | 4 | 1 | Uzlijetanje | Maksimum za uzlijetanje | 5 | | | | |
| 737 | DEFAULT | 4 | 2 | Penjanje | Maksimum za uzlijetanje | 5 | 1 000 | | | |
| 737 | DEFAULT | 4 | 3 | Ubrzanje | Maksimum za uzlijetanje | 5 | | 1 685 | 160 | |
| 737 | DEFAULT | 4 | 4 | Ubrzanje | Maksimum za uzlijetanje | INT | | 1 264 | 185 | |
| 737 | DEFAULT | 4 | 5 | Ubrzanje | Maksimum za penjanje | ZERO | | 1 000 | 210 | |
| 737 | DEFAULT | 4 | 6 | Penjanje | Maksimum za penjanje | ZERO | 3 000 | | | |
| 737 | DEFAULT | 4 | 7 | Ubrzanje | Maksimum za penjanje | ZERO | | 1 000 | 250 | |

▼M2

| ACFTID | Oznaka profila (Profile_ID) | Duljina faze | Broj koraka | Tip koraka | Režim rada motora | Zakrilca (Flap_ID) | Visina krajnje točke (ft) | Stopa penjanja (ft/min) | Kalibrirana brzina leta u krajnjoj točki (kt) | Postotak ubrzanja (Accelerate_Percent) (%) |
|---|---|---|---|---|---|---|---|---|---|---|
| 737 | DEFAULT | 4 | 8 | Penjanje | Maksimum za penjanje | ZERO | 5 500 | | | |
| 737 | DEFAULT | 4 | 9 | Penjanje | Maksimum za penjanje | ZERO | 7 500 | | | |
| 737 | DEFAULT | 4 | 10 | Penjanje | Maksimum za penjanje | ZERO | 10 000 | | | |
| 737300 | DEFAULT | 1 | 1 | Uzlijetanje | Maksimum za uzlijetanje | 5 | | | | |
| 737300 | DEFAULT | 1 | 2 | Penjanje | Maksimum za uzlijetanje | 5 | 1 000 | | | |
| 737300 | DEFAULT | 1 | 3 | Ubrzanje | Maksimum za penjanje | 5 | | 1 483,4 | 187,9 | |
| 737300 | DEFAULT | 1 | 4 | Ubrzanje | Maksimum za penjanje | 1 | | 1 684,6 | 205,5 | |
| 737300 | DEFAULT | 1 | 5 | Ubrzanje | Maksimum za penjanje | ZERO | | 1 815,6 | 220,5 | |
| 737300 | DEFAULT | 1 | 6 | Penjanje | Maksimum za penjanje | ZERO | 3 000 | | | |
| 737300 | DEFAULT | 1 | 7 | Ubrzanje | Maksimum za penjanje | ZERO | | 1 892,6 | 250 | |
| 737300 | DEFAULT | 1 | 8 | Penjanje | Maksimum za penjanje | ZERO | 5 500 | | | |
| 737300 | DEFAULT | 1 | 9 | Penjanje | Maksimum za penjanje | ZERO | 7 500 | | | |
| 737300 | DEFAULT | 1 | 10 | Penjanje | Maksimum za penjanje | ZERO | 10 000 | | | |
| 737300 | DEFAULT | 2 | 1 | Uzlijetanje | Maksimum za uzlijetanje | 5 | | | | |
| 737300 | DEFAULT | 2 | 2 | Penjanje | Maksimum za uzlijetanje | 5 | 1 000 | | | |
| 737300 | DEFAULT | 2 | 3 | Ubrzanje | Maksimum za penjanje | 5 | | 1 398,8 | 189,2 | |
| 737300 | DEFAULT | 2 | 4 | Ubrzanje | Maksimum za penjanje | 1 | | 1 579,3 | 204,5 | |
| 737300 | DEFAULT | 2 | 5 | Ubrzanje | Maksimum za penjanje | ZERO | | 1 700,5 | 220,5 | |
| 737300 | DEFAULT | 2 | 6 | Penjanje | Maksimum za penjanje | ZERO | 3 000 | | | |
| 737300 | DEFAULT | 2 | 7 | Ubrzanje | Maksimum za penjanje | ZERO | | 1 774,1 | 250 | |
| 737300 | DEFAULT | 2 | 8 | Penjanje | Maksimum za penjanje | ZERO | 5 500 | | | |
| 737300 | DEFAULT | 2 | 9 | Penjanje | Maksimum za penjanje | ZERO | 7 500 | | | |

▼M2

| ACFTID | Oznaka profila (Profile_ID) | Duljina faze | Broj koraka | Tip koraka | Režim rada motora | Zakrilca (Flap_ID) | Visina krajnje točke (ft) | Stopa penjanja (ft/min) | Kalibrirana brzina leta u krajnjoj točki (kt) | Postotak ubrzanja (Accelerate_Percent) (%) |
|---|---|---|---|---|---|---|---|---|---|---|
| 737300 | DEFAULT | 2 | 10 | Penjanje | Maksimum za penjanje | ZERO | 10 000 | | | |
| 737300 | DEFAULT | 3 | 1 | Uzlijetanje | Maksimum za uzlijetanje | 5 | | | | |
| 737300 | DEFAULT | 3 | 2 | Penjanje | Maksimum za uzlijetanje | 5 | 1 000 | | | |
| 737300 | DEFAULT | 3 | 3 | Ubrzanje | Maksimum za penjanje | 5 | | 1 311,5 | 190,8 | |
| 737300 | DEFAULT | 3 | 4 | Ubrzanje | Maksimum za penjanje | 1 | | 1 487,2 | 213,2 | |
| 737300 | DEFAULT | 3 | 5 | Ubrzanje | Maksimum za penjanje | ZERO | | 1 609,4 | 220,5 | |
| 737300 | DEFAULT | 3 | 6 | Penjanje | Maksimum za penjanje | ZERO | 3 000 | | | |
| 737300 | DEFAULT | 3 | 7 | Ubrzanje | Maksimum za penjanje | ZERO | | 1 657,6 | 250 | |
| 737300 | DEFAULT | 3 | 8 | Penjanje | Maksimum za penjanje | ZERO | 5 500 | | | |
| 737300 | DEFAULT | 3 | 9 | Penjanje | Maksimum za penjanje | ZERO | 7 500 | | | |
| 737300 | DEFAULT | 3 | 10 | Penjanje | Maksimum za penjanje | ZERO | 10 000 | | | |
| 737300 | DEFAULT | 4 | 1 | Uzlijetanje | Maksimum za uzlijetanje | 5 | | | | |
| 737300 | DEFAULT | 4 | 2 | Penjanje | Maksimum za uzlijetanje | 5 | 1 000 | | | |
| 737300 | DEFAULT | 4 | 3 | Ubrzanje | Maksimum za penjanje | 5 | | 1 154,7 | 194,6 | |
| 737300 | DEFAULT | 4 | 4 | Ubrzanje | Maksimum za penjanje | 1 | | 1 295,8 | 211,5 | |
| 737300 | DEFAULT | 4 | 5 | Ubrzanje | Maksimum za penjanje | ZERO | | 1 391,6 | 220,5 | |
| 737300 | DEFAULT | 4 | 6 | Penjanje | Maksimum za penjanje | ZERO | 3 000 | | | |
| 737300 | DEFAULT | 4 | 7 | Ubrzanje | Maksimum za penjanje | ZERO | | 1 444,8 | 250 | |
| 737300 | DEFAULT | 4 | 8 | Penjanje | Maksimum za penjanje | ZERO | 5 500 | | | |
| 737300 | DEFAULT | 4 | 9 | Penjanje | Maksimum za penjanje | ZERO | 7 500 | | | |
| 737300 | DEFAULT | 4 | 10 | Penjanje | Maksimum za penjanje | ZERO | 10 000 | | | |
| 737300 | ICAO_A | 1 | 1 | Uzlijetanje | Maksimum za uzlijetanje | 5 | | | | |
| 737300 | ICAO_A | 1 | 2 | Penjanje | Maksimum za uzlijetanje | 5 | 1 500 | | | |

▼M2

| ACFTID | Oznaka profila (Profile_ID) | Duljina faze | Broj koraka | Tip koraka | Režim rada motora | Zakrilca (Flap_ID) | Visina krajnje točke (ft) | Stopa penjanja (ft/min) | Kalibrirana brzina leta u krajnjoj točki (kt) | Postotak ubrzanja (Accele-rate_Per-cent) (%) |
|---|---|---|---|---|---|---|---|---|---|---|
| 737300 | ICAO_A | 1 | 3 | Penjanje | Maksimum za penjanje | 5 | 3 000 | | | |
| 737300 | ICAO_A | 1 | 4 | Ubrzanje | Maksimum za penjanje | 5 | | 1 413,5 | 184,9 | |
| 737300 | ICAO_A | 1 | 5 | Ubrzanje | Maksimum za penjanje | 1 | | 1 601,4 | 203,9 | |
| 737300 | ICAO_A | 1 | 6 | Ubrzanje | Maksimum za penjanje | ZERO | | 1 821,6 | 250 | |
| 737300 | ICAO_A | 1 | 7 | Penjanje | Maksimum za penjanje | ZERO | 5 500 | | | |
| 737300 | ICAO_A | 1 | 8 | Penjanje | Maksimum za penjanje | ZERO | 7 500 | | | |
| 737300 | ICAO_A | 1 | 9 | Penjanje | Maksimum za penjanje | ZERO | 10 000 | | | |
| 737300 | ICAO_A | 2 | 1 | Uzlijetanje | Maksimum za uzlijetanje | 5 | | | | |
| 737300 | ICAO_A | 2 | 2 | Penjanje | Maksimum za uzlijetanje | 5 | 1 500 | | | |
| 737300 | ICAO_A | 2 | 3 | Penjanje | Maksimum za penjanje | 5 | 3 000 | | | |
| 737300 | ICAO_A | 2 | 4 | Ubrzanje | Maksimum za penjanje | 5 | | 1 332,5 | 186,4 | |
| 737300 | ICAO_A | 2 | 5 | Ubrzanje | Maksimum za penjanje | 1 | | 1 497,1 | 203 | |
| 737300 | ICAO_A | 2 | 6 | Ubrzanje | Maksimum za penjanje | ZERO | | 1 705,6 | 250 | |
| 737300 | ICAO_A | 2 | 7 | Penjanje | Maksimum za penjanje | ZERO | 5 500 | | | |
| 737300 | ICAO_A | 2 | 8 | Penjanje | Maksimum za penjanje | ZERO | 7 500 | | | |
| 737300 | ICAO_A | 2 | 9 | Penjanje | Maksimum za penjanje | ZERO | 10 000 | | | |
| 737300 | ICAO_A | 3 | 1 | Uzlijetanje | Maksimum za uzlijetanje | 5 | | | | |
| 737300 | ICAO_A | 3 | 2 | Penjanje | Maksimum za uzlijetanje | 5 | 1 500 | | | |
| 737300 | ICAO_A | 3 | 3 | Penjanje | Maksimum za penjanje | 5 | 3 000 | | | |
| 737300 | ICAO_A | 3 | 4 | Ubrzanje | Maksimum za penjanje | 5 | | 1 247,9 | 188,2 | |
| 737300 | ICAO_A | 3 | 5 | Ubrzanje | Maksimum za penjanje | 1 | | 1 415,3 | 211,7 | |
| 737300 | ICAO_A | 3 | 6 | Ubrzanje | Maksimum za penjanje | ZERO | | 1 609,9 | 250 | |
| 737300 | ICAO_A | 3 | 7 | Penjanje | Maksimum za penjanje | ZERO | 5 500 | | | |
| 737300 | ICAO_A | 3 | 8 | Penjanje | Maksimum za penjanje | ZERO | 7 500 | | | |

▼M2

| ACFTID | Oznaka profila (Profile_ID) | Duljina faze | Broj koraka | Tip koraka | Režim rada motora | Zakrilca (Flap_ID) | Visina krajnje točke (ft) | Stopa penjanja (ft/min) | Kalibrirana brzina leta u krajnjoj točki (kt) | Postotak ubrzanja (Accelerate_Percent) (%) |
|---|---|---|---|---|---|---|---|---|---|---|
| 737300 | ICAO_A | 3 | 9 | Penjanje | Maksimum za penjanje | ZERO | 10 000 | | | |
| 737300 | ICAO_A | 4 | 1 | Uzlijetanje | Maksimum za uzlijetanje | 5 | | | | |
| 737300 | ICAO_A | 4 | 2 | Penjanje | Maksimum za uzlijetanje | 5 | 1 500 | | | |
| 737300 | ICAO_A | 4 | 3 | Penjanje | Maksimum za penjanje | 5 | 3 000 | | | |
| 737300 | ICAO_A | 4 | 4 | Ubrzanje | Maksimum za penjanje | 5 | | 1 093,3 | 192,2 | |
| 737300 | ICAO_A | 4 | 5 | Ubrzanje | Maksimum za penjanje | 1 | | 1 223,7 | 210,2 | |
| 737300 | ICAO_A | 4 | 6 | Ubrzanje | Maksimum za penjanje | ZERO | | 1 399,1 | 250 | |
| 737300 | ICAO_A | 4 | 7 | Penjanje | Maksimum za penjanje | ZERO | 5 500 | | | |
| 737300 | ICAO_A | 4 | 8 | Penjanje | Maksimum za penjanje | ZERO | 7 500 | | | |
| 737300 | ICAO_A | 4 | 9 | Penjanje | Maksimum za penjanje | ZERO | 10 000 | | | |
| 737300 | ICAO_B | 1 | 1 | Uzlijetanje | Maksimum za uzlijetanje | 5 | | | | |
| 737300 | ICAO_B | 1 | 2 | Penjanje | Maksimum za uzlijetanje | 5 | 1 000 | | | |
| 737300 | ICAO_B | 1 | 3 | Ubrzanje | Maksimum za uzlijetanje | 5 | | 1 560,7 | 189,3 | |
| 737300 | ICAO_B | 1 | 4 | Ubrzanje | Maksimum za uzlijetanje | 1 | | 1 765,5 | 206,2 | |
| 737300 | ICAO_B | 1 | 5 | Ubrzanje | Maksimum za uzlijetanje | ZERO | | 1 897 | 220,5 | |
| 737300 | ICAO_B | 1 | 6 | Penjanje | Maksimum za penjanje | ZERO | 3 000 | | | |
| 737300 | ICAO_B | 1 | 7 | Ubrzanje | Maksimum za penjanje | ZERO | | 1 892,6 | 250 | |
| 737300 | ICAO_B | 1 | 8 | Penjanje | Maksimum za penjanje | ZERO | 5 500 | | | |
| 737300 | ICAO_B | 1 | 9 | Penjanje | Maksimum za penjanje | ZERO | 7 500 | | | |
| 737300 | ICAO_B | 1 | 10 | Penjanje | Maksimum za penjanje | ZERO | 10 000 | | | |
| 737300 | ICAO_B | 2 | 1 | Uzlijetanje | Maksimum za uzlijetanje | 5 | | | | |
| 737300 | ICAO_B | 2 | 2 | Penjanje | Maksimum za uzlijetanje | 5 | 1 000 | | | |

▼M2

| ACFTID | Oznaka profila (Profile_ID) | Duljina faze | Broj koraka | Tip koraka | Režim rada motora | Zakrilca (Flap_ID) | Visina krajnje točke (ft) | Stopa penjanja (ft/min) | Kalibrirana brzina leta u krajnjoj točki (kt) | Postotak ubrzanja (Accelerate_Percent) (%) |
|---|---|---|---|---|---|---|---|---|---|---|
| 737300 | ICAO_B | 2 | 3 | Ubrzanje | Maksimum za uzlijetanje | 5 | | 1 468,7 | 190,5 | |
| 737300 | ICAO_B | 2 | 4 | Ubrzanje | Maksimum za uzlijetanje | 1 | | 1 652,2 | 205,8 | |
| 737300 | ICAO_B | 2 | 5 | Ubrzanje | Maksimum za uzlijetanje | ZERO | | 1 773,2 | 220,5 | |
| 737300 | ICAO_B | 2 | 6 | Penjanje | Maksimum za penjanje | ZERO | 3 000 | | | |
| 737300 | ICAO_B | 2 | 7 | Ubrzanje | Maksimum za penjanje | ZERO | | 1 773,3 | 250 | |
| 737300 | ICAO_B | 2 | 8 | Penjanje | Maksimum za penjanje | ZERO | 5 500 | | | |
| 737300 | ICAO_B | 2 | 9 | Penjanje | Maksimum za penjanje | ZERO | 7 500 | | | |
| 737300 | ICAO_B | 2 | 10 | Penjanje | Maksimum za penjanje | ZERO | 10 000 | | | |
| 737300 | ICAO_B | 3 | 1 | Uzlijetanje | Maksimum za uzlijetanje | 5 | | | | |
| 737300 | ICAO_B | 3 | 2 | Penjanje | Maksimum za uzlijetanje | 5 | 1 000 | | | |
| 737300 | ICAO_B | 3 | 3 | Ubrzanje | Maksimum za uzlijetanje | 5 | | 1 380,4 | 192,1 | |
| 737300 | ICAO_B | 3 | 4 | Ubrzanje | Maksimum za uzlijetanje | 1 | | 1 557,4 | 213,8 | |
| 737300 | ICAO_B | 3 | 5 | Ubrzanje | Maksimum za uzlijetanje | ZERO | | 1 688,1 | 220,5 | |
| 737300 | ICAO_B | 3 | 6 | Penjanje | Maksimum za penjanje | ZERO | 3 000 | | | |
| 737300 | ICAO_B | 3 | 7 | Ubrzanje | Maksimum za penjanje | ZERO | | 1 657,6 | 250 | |
| 737300 | ICAO_B | 3 | 8 | Penjanje | Maksimum za penjanje | ZERO | 5 500 | | | |
| 737300 | ICAO_B | 3 | 9 | Penjanje | Maksimum za penjanje | ZERO | 7 500 | | | |
| 737300 | ICAO_B | 3 | 10 | Penjanje | Maksimum za penjanje | ZERO | 10 000 | | | |
| 737300 | ICAO_B | 4 | 1 | Uzlijetanje | Maksimum za uzlijetanje | 5 | | | | |
| 737300 | ICAO_B | 4 | 2 | Penjanje | Maksimum za uzlijetanje | 5 | 1 000 | | | |
| 737300 | ICAO_B | 4 | 3 | Ubrzanje | Maksimum za uzlijetanje | 5 | | 1 217,8 | 195,7 | |
| 737300 | ICAO_B | 4 | 4 | Ubrzanje | Maksimum za uzlijetanje | 1 | | 1 361,4 | 212 | |

▼M2

| ACFTID | Oznaka profila (Profile_ID) | Duljina faze | Broj koraka | Tip koraka | Režim rada motora | Zakrilca (Flap_ID) | Visina krajnje točke (ft) | Stopa penjanja (ft/min) | Kalibrirana brzina leta u krajnjoj točki (kt) | Postotak ubrzanja (Accelerate_Percent) (%) |
|---|---|---|---|---|---|---|---|---|---|---|
| 737300 | ICAO_B | 4 | 5 | Ubrzanje | Maksimum za uzlijetanje | ZERO | | 1 457,6 | 220,5 | |
| 737300 | ICAO_B | 4 | 6 | Penjanje | Maksimum za penjanje | ZERO | 3 000 | | | |
| 737300 | ICAO_B | 4 | 7 | Ubrzanje | Maksimum za penjanje | ZERO | | 1 444,8 | 250 | |
| 737300 | ICAO_B | 4 | 8 | Penjanje | Maksimum za penjanje | ZERO | 5 500 | | | |
| 737300 | ICAO_B | 4 | 9 | Penjanje | Maksimum za penjanje | ZERO | 7 500 | | | |
| 737300 | ICAO_B | 4 | 10 | Penjanje | Maksimum za penjanje | ZERO | 10 000 | | | |
| 7373B2 | DEFAULT | 1 | 1 | Uzlijetanje | Maksimum za uzlijetanje | 5 | | | | |
| 7373B2 | DEFAULT | 1 | 2 | Penjanje | Maksimum za uzlijetanje | 5 | 1 000 | | | |
| 7373B2 | DEFAULT | 1 | 3 | Ubrzanje | Maksimum za penjanje | T_05 | | 1 671,2 | 191,9 | |
| 7373B2 | DEFAULT | 1 | 4 | Ubrzanje | Maksimum za penjanje | T_01 | | 1 900 | 209,1 | |
| 7373B2 | DEFAULT | 1 | 5 | Penjanje | Maksimum za penjanje | ZERO | 3 000 | | | |
| 7373B2 | DEFAULT | 1 | 6 | Ubrzanje | Maksimum za penjanje | ZERO | | 2 058,2 | 250 | |
| 7373B2 | DEFAULT | 1 | 7 | Penjanje | Maksimum za penjanje | ZERO | 5 500 | | | |
| 7373B2 | DEFAULT | 1 | 8 | Penjanje | Maksimum za penjanje | ZERO | 7 500 | | | |
| 7373B2 | DEFAULT | 1 | 9 | Penjanje | Maksimum za penjanje | ZERO | 10 000 | | | |
| 7373B2 | DEFAULT | 2 | 1 | Uzlijetanje | Maksimum za uzlijetanje | 5 | | | | |
| 7373B2 | DEFAULT | 2 | 2 | Penjanje | Maksimum za uzlijetanje | 5 | 1 000 | | | |
| 7373B2 | DEFAULT | 2 | 3 | Ubrzanje | Maksimum za penjanje | T_05 | | 1 575,5 | 192,6 | |
| 7373B2 | DEFAULT | 2 | 4 | Ubrzanje | Maksimum za penjanje | T_01 | | 1 786 | 208,8 | |
| 7373B2 | DEFAULT | 2 | 5 | Penjanje | Maksimum za penjanje | ZERO | 3 000 | | | |
| 7373B2 | DEFAULT | 2 | 6 | Ubrzanje | Maksimum za penjanje | ZERO | | 1 934,6 | 250 | |
| 7373B2 | DEFAULT | 2 | 7 | Penjanje | Maksimum za penjanje | ZERO | 5 500 | | | |

▼M2

| ACFTID | Oznaka profila (Profile_ID) | Duljina faze | Broj koraka | Tip koraka | Režim rada motora | Zakrilca (Flap_ID) | Visina krajnje točke (ft) | Stopa penjanja (ft/min) | Kalibrirana brzina leta u krajnjoj točki (kt) | Postotak ubrzanja (Accelerate_Percent) (%) |
|---|---|---|---|---|---|---|---|---|---|---|
| 7373B2 | DEFAULT | 2 | 8 | Penjanje | Maksimum za penjanje | ZERO | 7 500 | | | |
| 7373B2 | DEFAULT | 2 | 9 | Penjanje | Maksimum za penjanje | ZERO | 10 000 | | | |
| 7373B2 | DEFAULT | 3 | 1 | Uzlijetanje | Maksimum za uzlijetanje | 5 | | | | |
| 7373B2 | DEFAULT | 3 | 2 | Penjanje | Maksimum za uzlijetanje | 5 | 1 000 | | | |
| 7373B2 | DEFAULT | 3 | 3 | Ubrzanje | Maksimum za penjanje | T_05 | | 1 483,2 | 194 | |
| 7373B2 | DEFAULT | 3 | 4 | Ubrzanje | Maksimum za penjanje | T_01 | | 1 675,9 | 215,3 | |
| 7373B2 | DEFAULT | 3 | 5 | Penjanje | Maksimum za penjanje | ZERO | 3 000 | | | |
| 7373B2 | DEFAULT | 3 | 6 | Ubrzanje | Maksimum za penjanje | ZERO | | 1 828,7 | 250 | |
| 7373B2 | DEFAULT | 3 | 7 | Penjanje | Maksimum za penjanje | ZERO | 5 500 | | | |
| 7373B2 | DEFAULT | 3 | 8 | Penjanje | Maksimum za penjanje | ZERO | 7 500 | | | |
| 7373B2 | DEFAULT | 3 | 9 | Penjanje | Maksimum za penjanje | ZERO | 10 000 | | | |
| 7373B2 | DEFAULT | 4 | 1 | Uzlijetanje | Maksimum za uzlijetanje | 5 | | | | |
| 7373B2 | DEFAULT | 4 | 2 | Penjanje | Maksimum za uzlijetanje | 5 | 1 000 | | | |
| 7373B2 | DEFAULT | 4 | 3 | Ubrzanje | Maksimum za penjanje | T_05 | | 1 314,1 | 197,8 | |
| 7373B2 | DEFAULT | 4 | 4 | Ubrzanje | Maksimum za penjanje | T_01 | | 1 478,4 | 213,5 | |
| 7373B2 | DEFAULT | 4 | 5 | Penjanje | Maksimum za penjanje | ZERO | 3 000 | | | |
| 7373B2 | DEFAULT | 4 | 6 | Ubrzanje | Maksimum za penjanje | ZERO | | 1 597,8 | 250 | |
| 7373B2 | DEFAULT | 4 | 7 | Penjanje | Maksimum za penjanje | ZERO | 5 500 | | | |
| 7373B2 | DEFAULT | 4 | 8 | Penjanje | Maksimum za penjanje | ZERO | 7 500 | | | |
| 7373B2 | DEFAULT | 4 | 9 | Penjanje | Maksimum za penjanje | ZERO | 10 000 | | | |
| 7373B2 | DEFAULT | M | 1 | Uzlijetanje | Maksimum za uzlijetanje | 5 | | | | |

▼M2

| ACFTID | Oznaka profila (Profile_ID) | Duljina faze | Broj koraka | Tip koraka | Režim rada motora | Zakrilca (Flap_ID) | Visina krajnje točke (ft) | Stopa penjanja (ft/min) | Kalibrirana brzina leta u krajnjoj točki (kt) | Postotak ubrzanja (Accele-rate_Per-cent) (%) |
|---|---|---|---|---|---|---|---|---|---|---|
| 7373B2 | DEFAULT | M | 2 | Penjanje | Maksimum za uzlijetanje | 5 | 1 000 | | | |
| 7373B2 | DEFAULT | M | 3 | Ubrzanje | Maksimum za penjanje | T_05 | | 1 214,7 | 200,6 | |
| 7373B2 | DEFAULT | M | 4 | Ubrzanje | Maksimum za penjanje | T_01 | | 1 372,5 | 222,3 | |
| 7373B2 | DEFAULT | M | 5 | Penjanje | Maksimum za penjanje | ZERO | 3 000 | | | |
| 7373B2 | DEFAULT | M | 6 | Ubrzanje | Maksimum za penjanje | ZERO | | 1 493,4 | 250 | |
| 7373B2 | DEFAULT | M | 7 | Penjanje | Maksimum za penjanje | ZERO | 5 500 | | | |
| 7373B2 | DEFAULT | M | 8 | Penjanje | Maksimum za penjanje | ZERO | 7 500 | | | |
| 7373B2 | DEFAULT | M | 9 | Penjanje | Maksimum za penjanje | ZERO | 10 000 | | | |
| 7373B2 | ICAO_A | 1 | 1 | Uzlijetanje | Maksimum za uzlijetanje | 5 | | | | |
| 7373B2 | ICAO_A | 1 | 2 | Penjanje | Maksimum za uzlijetanje | 5 | 1 500 | | | |
| 7373B2 | ICAO_A | 1 | 3 | Penjanje | Maksimum za penjanje | 5 | 3 000 | | | |
| 7373B2 | ICAO_A | 1 | 4 | Ubrzanje | Maksimum za penjanje | T_05 | | 1 607,4 | 188,9 | |
| 7373B2 | ICAO_A | 1 | 5 | Ubrzanje | Maksimum za penjanje | T_01 | | 1 827,6 | 206 | |
| 7373B2 | ICAO_A | 1 | 6 | Ubrzanje | Maksimum za penjanje | ZERO | | 2 030,2 | 250 | |
| 7373B2 | ICAO_A | 1 | 7 | Penjanje | Maksimum za penjanje | ZERO | 5 500 | | | |
| 7373B2 | ICAO_A | 1 | 8 | Penjanje | Maksimum za penjanje | ZERO | 7 500 | | | |
| 7373B2 | ICAO_A | 1 | 9 | Penjanje | Maksimum za penjanje | ZERO | 10 000 | | | |
| 7373B2 | ICAO_A | 2 | 1 | Uzlijetanje | Maksimum za uzlijetanje | 5 | | | | |
| 7373B2 | ICAO_A | 2 | 2 | Penjanje | Maksimum za uzlijetanje | 5 | 1 500 | | | |
| 7373B2 | ICAO_A | 2 | 3 | Penjanje | Maksimum za penjanje | 5 | 3 000 | | | |
| 7373B2 | ICAO_A | 2 | 4 | Ubrzanje | Maksimum za penjanje | T_05 | | 1 507,4 | 188,9 | |
| 7373B2 | ICAO_A | 2 | 5 | Ubrzanje | Maksimum za penjanje | T_01 | | 1 703,4 | 206 | |
| 7373B2 | ICAO_A | 2 | 6 | Ubrzanje | Maksimum za penjanje | ZERO | | 1 909,1 | 250 | |
| 7373B2 | ICAO_A | 2 | 7 | Penjanje | Maksimum za penjanje | ZERO | 5 500 | | | |

▼M2

| ACFTID | Oznaka profila (Profile_ID) | Duljina faze | Broj koraka | Tip koraka | Režim rada motora | Zakrilca (Flap_ID) | Visina krajnje točke (ft) | Stopa penjanja (ft/min) | Kalibrirana brzina leta u krajnjoj točki (kt) | Postotak ubrzanja (Accele-rate_Per-cent) (%) |
|---|---|---|---|---|---|---|---|---|---|---|
| 7373B2 | ICAO_A | 2 | 8 | Penjanje | Maksimum za penjanje | ZERO | 7 500 | | | |
| 7373B2 | ICAO_A | 2 | 9 | Penjanje | Maksimum za penjanje | ZERO | 10 000 | | | |
| 7373B2 | ICAO_A | 3 | 1 | Uzlijetanje | Maksimum za uzlijetanje | 5 | | | | |
| 7373B2 | ICAO_A | 3 | 2 | Penjanje | Maksimum za uzlijetanje | 5 | 1 500 | | | |
| 7373B2 | ICAO_A | 3 | 3 | Penjanje | Maksimum za penjanje | 5 | 3 000 | | | |
| 7373B2 | ICAO_A | 3 | 4 | Ubrzanje | Maksimum za penjanje | T_05 | | 1 417,2 | 191,3 | |
| 7373B2 | ICAO_A | 3 | 5 | Ubrzanje | Maksimum za penjanje | T_01 | | 1 604,3 | 213,7 | |
| 7373B2 | ICAO_A | 3 | 6 | Ubrzanje | Maksimum za penjanje | ZERO | | 1 807,6 | 250 | |
| 7373B2 | ICAO_A | 3 | 7 | Penjanje | Maksimum za penjanje | ZERO | 5 500 | | | |
| 7373B2 | ICAO_A | 3 | 8 | Penjanje | Maksimum za penjanje | ZERO | 7 500 | | | |
| 7373B2 | ICAO_A | 3 | 9 | Penjanje | Maksimum za penjanje | ZERO | 10 000 | | | |
| 7373B2 | ICAO_A | 4 | 1 | Uzlijetanje | Maksimum za uzlijetanje | 5 | | | | |
| 7373B2 | ICAO_A | 4 | 2 | Penjanje | Maksimum za uzlijetanje | 5 | 1 500 | | | |
| 7373B2 | ICAO_A | 4 | 3 | Penjanje | Maksimum za penjanje | 5 | 3 000 | | | |
| 7373B2 | ICAO_A | 4 | 4 | Ubrzanje | Maksimum za penjanje | T_05 | | 1 255,2 | 195,4 | |
| 7373B2 | ICAO_A | 4 | 5 | Ubrzanje | Maksimum za penjanje | T_01 | | 1 411,8 | 212,1 | |
| 7373B2 | ICAO_A | 4 | 6 | Ubrzanje | Maksimum za penjanje | ZERO | | 1 576,8 | 250 | |
| 7373B2 | ICAO_A | 4 | 7 | Penjanje | Maksimum za penjanje | ZERO | 5 500 | | | |
| 7373B2 | ICAO_A | 4 | 8 | Penjanje | Maksimum za penjanje | ZERO | 7 500 | | | |
| 7373B2 | ICAO_A | 4 | 9 | Penjanje | Maksimum za penjanje | ZERO | 10 000 | | | |
| 7373B2 | ICAO_A | M | 1 | Uzlijetanje | Maksimum za uzlijetanje | 5 | | | | |
| 7373B2 | ICAO_A | M | 2 | Penjanje | Maksimum za uzlijetanje | 5 | 1 500 | | | |
| 7373B2 | ICAO_A | M | 3 | Penjanje | Maksimum za penjanje | 5 | 3 000 | | | |
| 7373B2 | ICAO_A | M | 4 | Ubrzanje | Maksimum za penjanje | T_05 | | 1 163,2 | 198,2 | |

▼M2

| ACFTID | Oznaka profila (Profile_ID) | Duljina faze | Broj koraka | Tip koraka | Režim rada motora | Zakrilca (Flap_ID) | Visina krajnje točke (ft) | Stopa penjanja (ft/min) | Kalibrirana brzina leta u krajnjoj točki (kt) | Postotak ubrzanja (Accelerate_Percent) (%) |
|---|---|---|---|---|---|---|---|---|---|---|
| 7373B2 | ICAO_A | M | 5 | Ubrzanje | Maksimum za penjanje | T_01 | | 1 309,7 | 220,9 | |
| 7373B2 | ICAO_A | M | 6 | Ubrzanje | Maksimum za penjanje | ZERO | | 1 469,1 | 250 | |
| 7373B2 | ICAO_A | M | 7 | Penjanje | Maksimum za penjanje | ZERO | 5 500 | | | |
| 7373B2 | ICAO_A | M | 8 | Penjanje | Maksimum za penjanje | ZERO | 7 500 | | | |
| 7373B2 | ICAO_A | M | 9 | Penjanje | Maksimum za penjanje | ZERO | 10 000 | | | |
| 7373B2 | ICAO_B | 1 | 1 | Uzlijetanje | Maksimum za uzlijetanje | 5 | | | | |
| 7373B2 | ICAO_B | 1 | 2 | Penjanje | Maksimum za uzlijetanje | 5 | 1 000 | | | |
| 7373B2 | ICAO_B | 1 | 3 | Ubrzanje | Maksimum za uzlijetanje | T_05 | | 1 881 | 195,6 | |
| 7373B2 | ICAO_B | 1 | 4 | Ubrzanje | Maksimum za uzlijetanje | T_01 | | 2 138,5 | 214,5 | |
| 7373B2 | ICAO_B | 1 | 5 | Penjanje | Maksimum za penjanje | ZERO | 3 000 | | | |
| 7373B2 | ICAO_B | 1 | 6 | Ubrzanje | Maksimum za penjanje | ZERO | | 2 075,4 | 250 | |
| 7373B2 | ICAO_B | 1 | 7 | Penjanje | Maksimum za penjanje | ZERO | 5 500 | | | |
| 7373B2 | ICAO_B | 1 | 8 | Penjanje | Maksimum za penjanje | ZERO | 7 500 | | | |
| 7373B2 | ICAO_B | 1 | 9 | Penjanje | Maksimum za penjanje | ZERO | 10 000 | | | |
| 7373B2 | ICAO_B | 2 | 1 | Uzlijetanje | Maksimum za uzlijetanje | 5 | | | | |
| 7373B2 | ICAO_B | 2 | 2 | Penjanje | Maksimum za uzlijetanje | 5 | 1 000 | | | |
| 7373B2 | ICAO_B | 2 | 3 | Ubrzanje | Maksimum za uzlijetanje | T_05 | | 1 774,2 | 196,2 | |
| 7373B2 | ICAO_B | 2 | 4 | Ubrzanje | Maksimum za uzlijetanje | T_01 | | 2 009,3 | 214 | |
| 7373B2 | ICAO_B | 2 | 5 | Penjanje | Maksimum za penjanje | ZERO | 3 000 | | | |
| 7373B2 | ICAO_B | 2 | 6 | Ubrzanje | Maksimum za penjanje | ZERO | | 1 950,7 | 250 | |
| 7373B2 | ICAO_B | 2 | 7 | Penjanje | Maksimum za penjanje | ZERO | 5 500 | | | |
| 7373B2 | ICAO_B | 2 | 8 | Penjanje | Maksimum za penjanje | ZERO | 7 500 | | | |
| 7373B2 | ICAO_B | 2 | 9 | Penjanje | Maksimum za penjanje | ZERO | 10 000 | | | |
| 7373B2 | ICAO_B | 3 | 1 | Uzlijetanje | Maksimum za uzlijetanje | 5 | | | | |

▼M2

| ACFTID | Oznaka profila (Profile_ID) | Duljina faze | Broj koraka | Tip koraka | Režim rada motora | Zakrilca (Flap_ID) | Visina krajnje točke (ft) | Stopa penjanja (ft/min) | Kalibrirana brzina leta u krajnjoj točki (kt) | Postotak ubrzanja (Accelerate_Percent) (%) |
|---|---|---|---|---|---|---|---|---|---|---|
| 7373B2 | ICAO_B | 3 | 2 | Penjanje | Maksimum za uzlijetanje | 5 | 1 000 | | | |
| 7373B2 | ICAO_B | 3 | 3 | Ubrzanje | Maksimum za uzlijetanje | T_05 | | 1 674,8 | 197,4 | |
| 7373B2 | ICAO_B | 3 | 4 | Ubrzanje | Maksimum za uzlijetanje | T_01 | | 1 895,7 | 217 | |
| 7373B2 | ICAO_B | 3 | 5 | Penjanje | Maksimum za penjanje | ZERO | 3 000 | | | |
| 7373B2 | ICAO_B | 3 | 6 | Ubrzanje | Maksimum za penjanje | ZERO | | 1 835,6 | 250 | |
| 7373B2 | ICAO_B | 3 | 7 | Penjanje | Maksimum za penjanje | ZERO | 5 500 | | | |
| 7373B2 | ICAO_B | 3 | 8 | Penjanje | Maksimum za penjanje | ZERO | 7 500 | | | |
| 7373B2 | ICAO_B | 3 | 9 | Penjanje | Maksimum za penjanje | ZERO | 10 000 | | | |
| 7373B2 | ICAO_B | 4 | 1 | Uzlijetanje | Maksimum za uzlijetanje | 5 | | | | |
| 7373B2 | ICAO_B | 4 | 2 | Penjanje | Maksimum za uzlijetanje | 5 | 1 000 | | | |
| 7373B2 | ICAO_B | 4 | 3 | Ubrzanje | Maksimum za uzlijetanje | T_05 | | 1 494,5 | 200,9 | |
| 7373B2 | ICAO_B | 4 | 4 | Ubrzanje | Maksimum za uzlijetanje | T_01 | | 1 672,5 | 215,5 | |
| 7373B2 | ICAO_B | 4 | 5 | Penjanje | Maksimum za penjanje | ZERO | 3 000 | | | |
| 7373B2 | ICAO_B | 4 | 6 | Ubrzanje | Maksimum za penjanje | ZERO | | 1 606,9 | 250 | |
| 7373B2 | ICAO_B | 4 | 7 | Penjanje | Maksimum za penjanje | ZERO | 5 500 | | | |
| 7373B2 | ICAO_B | 4 | 8 | Penjanje | Maksimum za penjanje | ZERO | 7 500 | | | |
| 7373B2 | ICAO_B | 4 | 9 | Penjanje | Maksimum za penjanje | ZERO | 10 000 | | | |
| 7373B2 | ICAO_B | M | 1 | Uzlijetanje | Maksimum za uzlijetanje | 5 | | | | |
| 7373B2 | ICAO_B | M | 2 | Penjanje | Maksimum za uzlijetanje | 5 | 1 000 | | | |
| 7373B2 | ICAO_B | M | 3 | Ubrzanje | Maksimum za uzlijetanje | T_05 | | 1 387,7 | 203,4 | |
| 7373B2 | ICAO_B | M | 4 | Ubrzanje | Maksimum za uzlijetanje | T_01 | | 1 557,1 | 223,7 | |
| 7373B2 | ICAO_B | M | 5 | Penjanje | Maksimum za penjanje | ZERO | 3 000 | | | |
| 7373B2 | ICAO_B | M | 6 | Ubrzanje | Maksimum za penjanje | ZERO | | 1 493,2 | 250 | |

▼M2

| ACFTID | Oznaka profila (Profile_ID) | Duljina faze | Broj koraka | Tip koraka | Režim rada motora | Zakrilca (Flap_ID) | Visina krajnje točke (ft) | Stopa penjanja (ft/min) | Kalibrirana brzina leta u krajnjoj točki (kt) | Postotak ubrzanja (Accelerate_Percent) (%) |
|---|---|---|---|---|---|---|---|---|---|---|
| 7373B2 | ICAO_B | M | 7 | Penjanje | Maksimum za penjanje | ZERO | 5 500 | | | |
| 7373B2 | ICAO_B | M | 8 | Penjanje | Maksimum za penjanje | ZERO | 7 500 | | | |
| 7373B2 | ICAO_B | M | 9 | Penjanje | Maksimum za penjanje | ZERO | 10 000 | | | |
| 737400 | DEFAULT | 1 | 1 | Uzlijetanje | Maksimum za uzlijetanje | 5 | | | | |
| 737400 | DEFAULT | 1 | 2 | Penjanje | Maksimum za uzlijetanje | 5 | 1 000 | | | |
| 737400 | DEFAULT | 1 | 3 | Ubrzanje | Maksimum za penjanje | 5 | | 1 715,3 | 198,8 | |
| 737400 | DEFAULT | 1 | 4 | Ubrzanje | Maksimum za penjanje | 1 | | 1 894,7 | 210,5 | |
| 737400 | DEFAULT | 1 | 5 | Penjanje | Maksimum za penjanje | ZERO | 3 000 | | | |
| 737400 | DEFAULT | 1 | 6 | Ubrzanje | Maksimum za penjanje | ZERO | | 2 067,4 | 250 | |
| 737400 | DEFAULT | 1 | 7 | Penjanje | Maksimum za penjanje | ZERO | 5 500 | | | |
| 737400 | DEFAULT | 1 | 8 | Penjanje | Maksimum za penjanje | ZERO | 7 500 | | | |
| 737400 | DEFAULT | 1 | 9 | Penjanje | Maksimum za penjanje | ZERO | 10 000 | | | |
| 737400 | DEFAULT | 2 | 1 | Uzlijetanje | Maksimum za uzlijetanje | 5 | | | | |
| 737400 | DEFAULT | 2 | 2 | Penjanje | Maksimum za uzlijetanje | 5 | 1 000 | | | |
| 737400 | DEFAULT | 2 | 3 | Ubrzanje | Maksimum za penjanje | 5 | | 1 616 | 199,8 | |
| 737400 | DEFAULT | 2 | 4 | Ubrzanje | Maksimum za penjanje | 1 | | 1 786,6 | 210,5 | |
| 737400 | DEFAULT | 2 | 5 | Penjanje | Maksimum za penjanje | ZERO | 3 000 | | | |
| 737400 | DEFAULT | 2 | 6 | Ubrzanje | Maksimum za penjanje | ZERO | | 1 939,1 | 250 | |
| 737400 | DEFAULT | 2 | 7 | Penjanje | Maksimum za penjanje | ZERO | 5 500 | | | |
| 737400 | DEFAULT | 2 | 8 | Penjanje | Maksimum za penjanje | ZERO | 7 500 | | | |
| 737400 | DEFAULT | 2 | 9 | Penjanje | Maksimum za penjanje | ZERO | 10 000 | | | |
| 737400 | DEFAULT | 3 | 1 | Uzlijetanje | Maksimum za uzlijetanje | 5 | | | | |
| 737400 | DEFAULT | 3 | 2 | Penjanje | Maksimum za uzlijetanje | 5 | 1 000 | | | |

▼M2

| ACFTID | Oznaka profila (Profile_ID) | Duljina faze | Broj koraka | Tip koraka | Režim rada motora | Zakrilca (Flap_ID) | Visina krajnje točke (ft) | Stopa penjanja (ft/min) | Kalibrirana brzina leta u krajnjoj točki (kt) | Postotak ubrzanja (Accele-rate_Per-cent) (%) |
|---|---|---|---|---|---|---|---|---|---|---|
| 737400 | DEFAULT | 3 | 3 | Ubrzanje | Maksimum za penjanje | 5 | | 1 516,6 | 201 | |
| 737400 | DEFAULT | 3 | 4 | Ubrzanje | Maksimum za penjanje | 1 | | 1 660,9 | 210,5 | |
| 737400 | DEFAULT | 3 | 5 | Penjanje | Maksimum za penjanje | ZERO | 3 000 | | | |
| 737400 | DEFAULT | 3 | 6 | Ubrzanje | Maksimum za penjanje | ZERO | | 1 807,5 | 250 | |
| 737400 | DEFAULT | 3 | 7 | Penjanje | Maksimum za penjanje | ZERO | 5 500 | | | |
| 737400 | DEFAULT | 3 | 8 | Penjanje | Maksimum za penjanje | ZERO | 7 500 | | | |
| 737400 | DEFAULT | 3 | 9 | Penjanje | Maksimum za penjanje | ZERO | 10 000 | | | |
| 737400 | DEFAULT | 4 | 1 | Uzlijetanje | Maksimum za uzlijetanje | 5 | | | | |
| 737400 | DEFAULT | 4 | 2 | Penjanje | Maksimum za uzlijetanje | 5 | 1 000 | | | |
| 737400 | DEFAULT | 4 | 3 | Ubrzanje | Maksimum za penjanje | 5 | | 1 370,2 | 203,9 | |
| 737400 | DEFAULT | 4 | 4 | Ubrzanje | Maksimum za penjanje | 1 | | 1 504,1 | 210,5 | |
| 737400 | DEFAULT | 4 | 5 | Penjanje | Maksimum za penjanje | ZERO | 3 000 | | | |
| 737400 | DEFAULT | 4 | 6 | Ubrzanje | Maksimum za penjanje | ZERO | | 1 609,1 | 250 | |
| 737400 | DEFAULT | 4 | 7 | Penjanje | Maksimum za penjanje | ZERO | 5 500 | | | |
| 737400 | DEFAULT | 4 | 8 | Penjanje | Maksimum za penjanje | ZERO | 7 500 | | | |
| 737400 | DEFAULT | 4 | 9 | Penjanje | Maksimum za penjanje | ZERO | 10 000 | | | |
| 737400 | DEFAULT | M | 1 | Uzlijetanje | Maksimum za uzlijetanje | 5 | | | | |
| 737400 | DEFAULT | M | 2 | Penjanje | Maksimum za uzlijetanje | 5 | 1 000 | | | |
| 737400 | DEFAULT | M | 3 | Ubrzanje | Maksimum za penjanje | 5 | | 1 225,8 | 207,5 | |
| 737400 | DEFAULT | M | 4 | Ubrzanje | Maksimum za penjanje | 1 | | 1 312,5 | 210,5 | |
| 737400 | DEFAULT | M | 5 | Penjanje | Maksimum za penjanje | ZERO | 3 000 | | | |
| 737400 | DEFAULT | M | 6 | Ubrzanje | Maksimum za penjanje | ZERO | | 1 414,3 | 250 | |
| 737400 | DEFAULT | M | 7 | Penjanje | Maksimum za penjanje | ZERO | 5 500 | | | |
| 737400 | DEFAULT | M | 8 | Penjanje | Maksimum za penjanje | ZERO | 7 500 | | | |

▼M2

| ACFTID | Oznaka profila (Profile_ID) | Duljina faze | Broj koraka | Tip koraka | Režim rada motora | Zakrilca (Flap_ID) | Visina krajnje točke (ft) | Stopa penjanja (ft/min) | Kalibrirana brzina leta u krajnjoj točki (kt) | Postotak ubrzanja (Accelerate_Percent) (%) |
|---|---|---|---|---|---|---|---|---|---|---|
| 737400 | DEFAULT | M | 9 | Penjanje | Maksimum za penjanje | ZERO | 10 000 | | | |
| 737400 | ICAO_A | 1 | 1 | Uzlijetanje | Maksimum za uzlijetanje | 5 | | | | |
| 737400 | ICAO_A | 1 | 2 | Penjanje | Maksimum za uzlijetanje | 5 | 1 500 | | | |
| 737400 | ICAO_A | 1 | 3 | Penjanje | Maksimum za penjanje | 5 | 3 000 | | | |
| 737400 | ICAO_A | 1 | 4 | Ubrzanje | Maksimum za penjanje | 5 | | 1 641,7 | 195,7 | |
| 737400 | ICAO_A | 1 | 5 | Ubrzanje | Maksimum za penjanje | 1 | | 1 830 | 210,1 | |
| 737400 | ICAO_A | 1 | 6 | Ubrzanje | Maksimum za penjanje | ZERO | | 2 058,4 | 250 | |
| 737400 | ICAO_A | 1 | 7 | Penjanje | Maksimum za penjanje | ZERO | 5 500 | | | |
| 737400 | ICAO_A | 1 | 8 | Penjanje | Maksimum za penjanje | ZERO | 7 500 | | | |
| 737400 | ICAO_A | 1 | 9 | Penjanje | Maksimum za penjanje | ZERO | 10 000 | | | |
| 737400 | ICAO_A | 2 | 1 | Uzlijetanje | Maksimum za uzlijetanje | 5 | | | | |
| 737400 | ICAO_A | 2 | 2 | Penjanje | Maksimum za uzlijetanje | 5 | 1 500 | | | |
| 737400 | ICAO_A | 2 | 3 | Penjanje | Maksimum za penjanje | 5 | 3 000 | | | |
| 737400 | ICAO_A | 2 | 4 | Ubrzanje | Maksimum za penjanje | 5 | | 1 546 | 196,8 | |
| 737400 | ICAO_A | 2 | 5 | Ubrzanje | Maksimum za penjanje | 1 | | 1 702,5 | 210,1 | |
| 737400 | ICAO_A | 2 | 6 | Ubrzanje | Maksimum za penjanje | ZERO | | 1 919,2 | 250 | |
| 737400 | ICAO_A | 2 | 7 | Penjanje | Maksimum za penjanje | ZERO | 5 500 | | | |
| 737400 | ICAO_A | 2 | 8 | Penjanje | Maksimum za penjanje | ZERO | 7 500 | | | |
| 737400 | ICAO_A | 2 | 9 | Penjanje | Maksimum za penjanje | ZERO | 10 000 | | | |
| 737400 | ICAO_A | 3 | 1 | Uzlijetanje | Maksimum za uzlijetanje | 5 | | | | |
| 737400 | ICAO_A | 3 | 2 | Penjanje | Maksimum za uzlijetanje | 5 | 1 500 | | | |
| 737400 | ICAO_A | 3 | 3 | Penjanje | Maksimum za penjanje | 5 | 3 000 | | | |
| 737400 | ICAO_A | 3 | 4 | Ubrzanje | Maksimum za penjanje | 5 | | 1 446,6 | 198,2 | |
| 737400 | ICAO_A | 3 | 5 | Ubrzanje | Maksimum za penjanje | 1 | | 1 592,3 | 210,3 | |
| 737400 | ICAO_A | 3 | 6 | Ubrzanje | Maksimum za penjanje | ZERO | | 1 789,6 | 250 | |

▼M2

| ACFTID | Oznaka profila (Profile_ID) | Duljina faze | Broj koraka | Tip koraka | Režim rada motora | Zakrilca (Flap_ID) | Visina krajnje točke (ft) | Stopa penjanja (ft/min) | Kalibrirana brzina leta u krajnjoj točki (kt) | Postotak ubrzanja (Accele-rate_Per-cent) (%) |
|---|---|---|---|---|---|---|---|---|---|---|
| 737400 | ICAO_A | 3 | 7 | Penjanje | Maksimum za penjanje | ZERO | 5 500 | | | |
| 737400 | ICAO_A | 3 | 8 | Penjanje | Maksimum za penjanje | ZERO | 7 500 | | | |
| 737400 | ICAO_A | 3 | 9 | Penjanje | Maksimum za penjanje | ZERO | 10 000 | | | |
| 737400 | ICAO_A | 4 | 1 | Uzlijetanje | Maksimum za uzlijetanje | 5 | | | | |
| 737400 | ICAO_A | 4 | 2 | Penjanje | Maksimum za uzlijetanje | 5 | 1 500 | | | |
| 737400 | ICAO_A | 4 | 3 | Penjanje | Maksimum za penjanje | 5 | 3 000 | | | |
| 737400 | ICAO_A | 4 | 4 | Ubrzanje | Maksimum za penjanje | 5 | | 1 303,9 | 201,3 | |
| 737400 | ICAO_A | 4 | 5 | Ubrzanje | Maksimum za penjanje | 1 | | 1 426,1 | 210,3 | |
| 737400 | ICAO_A | 4 | 6 | Ubrzanje | Maksimum za penjanje | ZERO | | 1 598,5 | 250 | |
| 737400 | ICAO_A | 4 | 7 | Penjanje | Maksimum za penjanje | ZERO | 5 500 | | | |
| 737400 | ICAO_A | 4 | 8 | Penjanje | Maksimum za penjanje | ZERO | 7 500 | | | |
| 737400 | ICAO_A | 4 | 9 | Penjanje | Maksimum za penjanje | ZERO | 10 000 | | | |
| 737400 | ICAO_A | M | 1 | Uzlijetanje | Maksimum za uzlijetanje | 5 | | | | |
| 737400 | ICAO_A | M | 2 | Penjanje | Maksimum za uzlijetanje | 5 | 1 500 | | | |
| 737400 | ICAO_A | M | 3 | Penjanje | Maksimum za penjanje | 5 | 3 000 | | | |
| 737400 | ICAO_A | M | 4 | Ubrzanje | Maksimum za penjanje | 5 | | 1 159,5 | 205,1 | |
| 737400 | ICAO_A | M | 5 | Ubrzanje | Maksimum za penjanje | 1 | | 1 249,3 | 210,3 | |
| 737400 | ICAO_A | M | 6 | Ubrzanje | Maksimum za penjanje | ZERO | | 1 392,2 | 250 | |
| 737400 | ICAO_A | M | 7 | Penjanje | Maksimum za penjanje | ZERO | 5 500 | | | |
| 737400 | ICAO_A | M | 8 | Penjanje | Maksimum za penjanje | ZERO | 7 500 | | | |
| 737400 | ICAO_A | M | 9 | Penjanje | Maksimum za penjanje | ZERO | 10 000 | | | |
| 737400 | ICAO_B | 1 | 1 | Uzlijetanje | Maksimum za uzlijetanje | 5 | | | | |
| 737400 | ICAO_B | 1 | 2 | Penjanje | Maksimum za uzlijetanje | 5 | 1 000 | | | |
| 737400 | ICAO_B | 1 | 3 | Ubrzanje | Maksimum za uzlijetanje | 5 | | 1 869,9 | 201,5 | |

▼M2

| ACFTID | Oznaka profila (Profile_ID) | Duljina faze | Broj koraka | Tip koraka | Režim rada motora | Zakrilca (Flap_ID) | Visina krajnje točke (ft) | Stopa penjanja (ft/min) | Kalibrirana brzina leta u krajnjoj točki (kt) | Postotak ubrzanja (Accelerate_Percent) (%) |
|---|---|---|---|---|---|---|---|---|---|---|
| 737400 | ICAO_B | 1 | 4 | Ubrzanje | Maksimum za uzlijetanje | 1 | | 2 073,3 | 210,5 | |
| 737400 | ICAO_B | 1 | 5 | Penjanje | Maksimum za penjanje | ZERO | 3 000 | | | |
| 737400 | ICAO_B | 1 | 6 | Ubrzanje | Maksimum za penjanje | ZERO | | 2 067,4 | 250 | |
| 737400 | ICAO_B | 1 | 7 | Penjanje | Maksimum za penjanje | ZERO | 5 500 | | | |
| 737400 | ICAO_B | 1 | 8 | Penjanje | Maksimum za penjanje | ZERO | 7 500 | | | |
| 737400 | ICAO_B | 1 | 9 | Penjanje | Maksimum za penjanje | ZERO | 10 000 | | | |
| 737400 | ICAO_B | 2 | 1 | Uzlijetanje | Maksimum za uzlijetanje | 5 | | | | |
| 737400 | ICAO_B | 2 | 2 | Penjanje | Maksimum za uzlijetanje | 5 | 1 000 | | | |
| 737400 | ICAO_B | 2 | 3 | Ubrzanje | Maksimum za uzlijetanje | 5 | | 1 766,9 | 202,3 | |
| 737400 | ICAO_B | 2 | 4 | Ubrzanje | Maksimum za uzlijetanje | 1 | | 1 945,9 | 210,5 | |
| 737400 | ICAO_B | 2 | 5 | Penjanje | Maksimum za penjanje | ZERO | 3 000 | | | |
| 737400 | ICAO_B | 2 | 6 | Ubrzanje | Maksimum za penjanje | ZERO | | 1 939,1 | 250 | |
| 737400 | ICAO_B | 2 | 7 | Penjanje | Maksimum za penjanje | ZERO | 5 500 | | | |
| 737400 | ICAO_B | 2 | 8 | Penjanje | Maksimum za penjanje | ZERO | 7 500 | | | |
| 737400 | ICAO_B | 2 | 9 | Penjanje | Maksimum za penjanje | ZERO | 10 000 | | | |
| 737400 | ICAO_B | 3 | 1 | Uzlijetanje | Maksimum za uzlijetanje | 5 | | | | |
| 737400 | ICAO_B | 3 | 2 | Penjanje | Maksimum za uzlijetanje | 5 | 1 000 | | | |
| 737400 | ICAO_B | 3 | 3 | Ubrzanje | Maksimum za uzlijetanje | 5 | | 1 660,1 | 203,4 | |
| 737400 | ICAO_B | 3 | 4 | Ubrzanje | Maksimum za uzlijetanje | 1 | | 1 822,5 | 210,5 | |
| 737400 | ICAO_B | 3 | 5 | Penjanje | Maksimum za penjanje | ZERO | 3 000 | | | |
| 737400 | ICAO_B | 3 | 6 | Ubrzanje | Maksimum za penjanje | ZERO | | 1 807,5 | 250 | |
| 737400 | ICAO_B | 3 | 7 | Penjanje | Maksimum za penjanje | ZERO | 5 500 | | | |
| 737400 | ICAO_B | 3 | 8 | Penjanje | Maksimum za penjanje | ZERO | 7 500 | | | |

▼M2

| ACFTID | Oznaka profila (Profile_ID) | Duljina faze | Broj koraka | Tip koraka | Režim rada motora | Zakrilca (Flap_ID) | Visina krajnje točke (ft) | Stopa penjanja (ft/min) | Kalibrirana brzina leta u krajnjoj točki (kt) | Postotak ubrzanja (Accelerate_Percent) (%) |
|---|---|---|---|---|---|---|---|---|---|---|
| 737400 | ICAO_B | 3 | 9 | Penjanje | Maksimum za penjanje | ZERO | 10 000 | | | |
| 737400 | ICAO_B | 4 | 1 | Uzlijetanje | Maksimum za uzlijetanje | 5 | | | | |
| 737400 | ICAO_B | 4 | 2 | Penjanje | Maksimum za uzlijetanje | 5 | 1 000 | | | |
| 737400 | ICAO_B | 4 | 3 | Ubrzanje | Maksimum za uzlijetanje | 5 | | 1 502,8 | 206,1 | |
| 737400 | ICAO_B | 4 | 4 | Ubrzanje | Maksimum za uzlijetanje | 1 | | 1 644,7 | 210,5 | |
| 737400 | ICAO_B | 4 | 5 | Penjanje | Maksimum za penjanje | ZERO | 3 000 | | | |
| 737400 | ICAO_B | 4 | 6 | Ubrzanje | Maksimum za penjanje | ZERO | | 1 610,5 | 250 | |
| 737400 | ICAO_B | 4 | 7 | Penjanje | Maksimum za penjanje | ZERO | 5 500 | | | |
| 737400 | ICAO_B | 4 | 8 | Penjanje | Maksimum za penjanje | ZERO | 7 500 | | | |
| 737400 | ICAO_B | 4 | 9 | Penjanje | Maksimum za penjanje | ZERO | 10 000 | | | |
| 737400 | ICAO_B | M | 1 | Uzlijetanje | Maksimum za uzlijetanje | 5 | | | | |
| 737400 | ICAO_B | M | 2 | Penjanje | Maksimum za uzlijetanje | 5 | 1 000 | | | |
| 737400 | ICAO_B | M | 3 | Ubrzanje | Maksimum za uzlijetanje | 5 | | 1 350,9 | 209,5 | |
| 737400 | ICAO_B | M | 4 | Ubrzanje | Maksimum za uzlijetanje | 1 | | 1 428,6 | 210,5 | |
| 737400 | ICAO_B | M | 5 | Penjanje | Maksimum za penjanje | ZERO | 3 000 | | | |
| 737400 | ICAO_B | M | 6 | Ubrzanje | Maksimum za penjanje | ZERO | | 1 414,7 | 250 | |
| 737400 | ICAO_B | M | 7 | Penjanje | Maksimum za penjanje | ZERO | 5 500 | | | |
| 737400 | ICAO_B | M | 8 | Penjanje | Maksimum za penjanje | ZERO | 7 500 | | | |
| 737400 | ICAO_B | M | 9 | Penjanje | Maksimum za penjanje | ZERO | 10 000 | | | |
| 737500 | DEFAULT | 1 | 1 | Uzlijetanje | Maksimum za uzlijetanje | 5 | | | | |
| 737500 | DEFAULT | 1 | 2 | Penjanje | Maksimum za uzlijetanje | 5 | 1 000 | | | |
| 737500 | DEFAULT | 1 | 3 | Ubrzanje | Maksimum za penjanje | 5 | | 1 579,1 | 187 | |
| 737500 | DEFAULT | 1 | 4 | Ubrzanje | Maksimum za penjanje | 1 | | 1 800 | 206,6 | |

▼M2

| ACFTID | Oznaka profila (Profile_ID) | Duljina faze | Broj koraka | Tip koraka | Režim rada motora | Zakrilca (Flap_ID) | Visina krajnje točke (ft) | Stopa penjanja (ft/min) | Kalibrirana brzina leta u krajnjoj točki (kt) | Postotak ubrzanja (Accelerate_Percent) (%) |
|---|---|---|---|---|---|---|---|---|---|---|
| 737500 | DEFAULT | 1 | 5 | Penjanje | Maksimum za penjanje | ZERO | 3 000 | | | |
| 737500 | DEFAULT | 1 | 6 | Ubrzanje | Maksimum za penjanje | ZERO | | 1 961,7 | 250 | |
| 737500 | DEFAULT | 1 | 7 | Penjanje | Maksimum za penjanje | ZERO | 5 500 | | | |
| 737500 | DEFAULT | 1 | 8 | Penjanje | Maksimum za penjanje | ZERO | 7 500 | | | |
| 737500 | DEFAULT | 1 | 9 | Penjanje | Maksimum za penjanje | ZERO | 10 000 | | | |
| 737500 | DEFAULT | 2 | 1 | Uzlijetanje | Maksimum za uzlijetanje | 5 | | | | |
| 737500 | DEFAULT | 2 | 2 | Penjanje | Maksimum za uzlijetanje | 5 | 1 000 | | | |
| 737500 | DEFAULT | 2 | 3 | Ubrzanje | Maksimum za penjanje | 5 | | 1 490,8 | 188 | |
| 737500 | DEFAULT | 2 | 4 | Ubrzanje | Maksimum za penjanje | 1 | | 1 681,3 | 205,6 | |
| 737500 | DEFAULT | 2 | 5 | Penjanje | Maksimum za penjanje | ZERO | 3 000 | | | |
| 737500 | DEFAULT | 2 | 6 | Ubrzanje | Maksimum za penjanje | ZERO | | 1 834,4 | 250 | |
| 737500 | DEFAULT | 2 | 7 | Penjanje | Maksimum za penjanje | ZERO | 5 500 | | | |
| 737500 | DEFAULT | 2 | 8 | Penjanje | Maksimum za penjanje | ZERO | 7 500 | | | |
| 737500 | DEFAULT | 2 | 9 | Penjanje | Maksimum za penjanje | ZERO | 10 000 | | | |
| 737500 | DEFAULT | 3 | 1 | Uzlijetanje | Maksimum za uzlijetanje | 5 | | | | |
| 737500 | DEFAULT | 3 | 2 | Penjanje | Maksimum za uzlijetanje | 5 | 1 000 | | | |
| 737500 | DEFAULT | 3 | 3 | Ubrzanje | Maksimum za penjanje | 5 | | 1 398,8 | 189,4 | |
| 737500 | DEFAULT | 3 | 4 | Ubrzanje | Maksimum za penjanje | 1 | | 1 572,4 | 204,5 | |
| 737500 | DEFAULT | 3 | 5 | Penjanje | Maksimum za penjanje | ZERO | 3 000 | | | |
| 737500 | DEFAULT | 3 | 6 | Ubrzanje | Maksimum za penjanje | ZERO | | 1 713,4 | 250 | |
| 737500 | DEFAULT | 3 | 7 | Penjanje | Maksimum za penjanje | ZERO | 5 500 | | | |
| 737500 | DEFAULT | 3 | 8 | Penjanje | Maksimum za penjanje | ZERO | 7 500 | | | |
| 737500 | DEFAULT | 3 | 9 | Penjanje | Maksimum za penjanje | ZERO | 10 000 | | | |

▼M2

| ACFTID | Oznaka profila (Profile_ID) | Duljina faze | Broj koraka | Tip koraka | Režim rada motora | Zakrilca (Flap_ID) | Visina krajnje točke (ft) | Stopa penjanja (ft/min) | Kalibrirana brzina leta u krajnjoj točki (kt) | Postotak ubrzanja (Accelerate_Percent) (%) |
|---|---|---|---|---|---|---|---|---|---|---|
| 737500 | DEFAULT | 4 | 1 | Uzlijetanje | Maksimum za uzlijetanje | 5 | | | | |
| 737500 | DEFAULT | 4 | 2 | Penjanje | Maksimum za uzlijetanje | 5 | 1 000 | | | |
| 737500 | DEFAULT | 4 | 3 | Ubrzanje | Maksimum za penjanje | 5 | | 1 229,4 | 192,1 | |
| 737500 | DEFAULT | 4 | 4 | Ubrzanje | Maksimum za penjanje | 1 | | 1 388,1 | 212,4 | |
| 737500 | DEFAULT | 4 | 5 | Penjanje | Maksimum za penjanje | ZERO | 3 000 | | | |
| 737500 | DEFAULT | 4 | 6 | Ubrzanje | Maksimum za penjanje | ZERO | | 1 521,8 | 250 | |
| 737500 | DEFAULT | 4 | 7 | Penjanje | Maksimum za penjanje | ZERO | 5 500 | | | |
| 737500 | DEFAULT | 4 | 8 | Penjanje | Maksimum za penjanje | ZERO | 7 500 | | | |
| 737500 | DEFAULT | 4 | 9 | Penjanje | Maksimum za penjanje | ZERO | 10 000 | | | |
| 737500 | DEFAULT | 5 | 1 | Uzlijetanje | Maksimum za uzlijetanje | 5 | | | | |
| 737500 | DEFAULT | 5 | 2 | Penjanje | Maksimum za uzlijetanje | 5 | 1 000 | | | |
| 737500 | DEFAULT | 5 | 3 | Ubrzanje | Maksimum za penjanje | 5 | | 1 211,1 | 192,4 | |
| 737500 | DEFAULT | 5 | 4 | Ubrzanje | Maksimum za penjanje | 1 | | 1 370,8 | 212 | |
| 737500 | DEFAULT | 5 | 5 | Penjanje | Maksimum za penjanje | ZERO | 3 000 | | | |
| 737500 | DEFAULT | 5 | 6 | Ubrzanje | Maksimum za penjanje | ZERO | | 1 503,1 | 250 | |
| 737500 | DEFAULT | 5 | 7 | Penjanje | Maksimum za penjanje | ZERO | 5 500 | | | |
| 737500 | DEFAULT | 5 | 8 | Penjanje | Maksimum za penjanje | ZERO | 7 500 | | | |
| 737500 | DEFAULT | 5 | 9 | Penjanje | Maksimum za penjanje | ZERO | 10 000 | | | |
| 737500 | DEFAULT | M | 1 | Uzlijetanje | Maksimum za uzlijetanje | 5 | | | | |
| 737500 | DEFAULT | M | 2 | Penjanje | Maksimum za uzlijetanje | 5 | 1 000 | | | |
| 737500 | DEFAULT | M | 3 | Ubrzanje | Maksimum za penjanje | 5 | | 1 192,6 | 192,8 | |
| 737500 | DEFAULT | M | 4 | Ubrzanje | Maksimum za penjanje | 1 | | 1 343,1 | 211,9 | |
| 737500 | DEFAULT | M | 5 | Penjanje | Maksimum za penjanje | ZERO | 3 000 | | | |
| 737500 | DEFAULT | M | 6 | Ubrzanje | Maksimum za penjanje | ZERO | | 1 470,2 | 250 | |

▼M2

| ACFTID | Oznaka profila (Profile_ID) | Duljina faze | Broj koraka | Tip koraka | Režim rada motora | Zakrilca (Flap_ID) | Visina krajnje točke (ft) | Stopa penjanja (ft/min) | Kalibrirana brzina leta u krajnjoj točki (kt) | Postotak ubrzanja (Accelerate_Percent) (%) |
|---|---|---|---|---|---|---|---|---|---|---|
| 737500 | DEFAULT | M | 7 | Penjanje | Maksimum za penjanje | ZERO | 5 500 | | | |
| 737500 | DEFAULT | M | 8 | Penjanje | Maksimum za penjanje | ZERO | 7 500 | | | |
| 737500 | DEFAULT | M | 9 | Penjanje | Maksimum za penjanje | ZERO | 10 000 | | | |
| 737500 | ICAO_A | 1 | 1 | Uzlijetanje | Maksimum za uzlijetanje | 5 | | | | |
| 737500 | ICAO_A | 1 | 2 | Penjanje | Maksimum za uzlijetanje | 5 | 1 500 | | | |
| 737500 | ICAO_A | 1 | 3 | Penjanje | Maksimum za penjanje | 5 | 3 000 | | | |
| 737500 | ICAO_A | 1 | 4 | Ubrzanje | Maksimum za penjanje | 5 | | 1 509,2 | 184 | |
| 737500 | ICAO_A | 1 | 5 | Ubrzanje | Maksimum za penjanje | 1 | | 1 725,7 | 204,8 | |
| 737500 | ICAO_A | 1 | 6 | Ubrzanje | Maksimum za penjanje | ZERO | | 1 934,3 | 250 | |
| 737500 | ICAO_A | 1 | 7 | Penjanje | Maksimum za penjanje | ZERO | 5 500 | | | |
| 737500 | ICAO_A | 1 | 8 | Penjanje | Maksimum za penjanje | ZERO | 7 500 | | | |
| 737500 | ICAO_A | 1 | 9 | Penjanje | Maksimum za penjanje | ZERO | 10 000 | | | |
| 737500 | ICAO_A | 2 | 1 | Uzlijetanje | Maksimum za uzlijetanje | 5 | | | | |
| 737500 | ICAO_A | 2 | 2 | Penjanje | Maksimum za uzlijetanje | 5 | 1 500 | | | |
| 737500 | ICAO_A | 2 | 3 | Penjanje | Maksimum za penjanje | 5 | 3 000 | | | |
| 737500 | ICAO_A | 2 | 4 | Ubrzanje | Maksimum za penjanje | 5 | | 1 420,9 | 185,1 | |
| 737500 | ICAO_A | 2 | 5 | Ubrzanje | Maksimum za penjanje | 1 | | 1 612,5 | 203,9 | |
| 737500 | ICAO_A | 2 | 6 | Ubrzanje | Maksimum za penjanje | ZERO | | 1 810,3 | 250 | |
| 737500 | ICAO_A | 2 | 7 | Penjanje | Maksimum za penjanje | ZERO | 5 500 | | | |
| 737500 | ICAO_A | 2 | 8 | Penjanje | Maksimum za penjanje | ZERO | 7 500 | | | |
| 737500 | ICAO_A | 2 | 9 | Penjanje | Maksimum za penjanje | ZERO | 10 000 | | | |
| 737500 | ICAO_A | 3 | 1 | Uzlijetanje | Maksimum za uzlijetanje | 5 | | | | |
| 737500 | ICAO_A | 3 | 2 | Penjanje | Maksimum za uzlijetanje | 5 | 1 500 | | | |
| 737500 | ICAO_A | 3 | 3 | Penjanje | Maksimum za penjanje | 5 | 3 000 | | | |

▼M2

| ACFTID | Oznaka profila (Profile_ID) | Duljina faze | Broj koraka | Tip koraka | Režim rada motora | Zakrilca (Flap_ID) | Visina krajnje točke (ft) | Stopa penjanja (ft/min) | Kalibrirana brzina leta u krajnjoj točki (kt) | Postotak ubrzanja (Accelerate_Percent) (%) |
|---|---|---|---|---|---|---|---|---|---|---|
| 737500 | ICAO_A | 3 | 4 | Ubrzanje | Maksimum za penjanje | 5 | | 1 332,5 | 186,6 | |
| 737500 | ICAO_A | 3 | 5 | Ubrzanje | Maksimum za penjanje | 1 | | 1 494,3 | 203 | |
| 737500 | ICAO_A | 3 | 6 | Ubrzanje | Maksimum za penjanje | ZERO | | 1 691,3 | 250 | |
| 737500 | ICAO_A | 3 | 7 | Penjanje | Maksimum za penjanje | ZERO | 5 500 | | | |
| 737500 | ICAO_A | 3 | 8 | Penjanje | Maksimum za penjanje | ZERO | 7 500 | | | |
| 737500 | ICAO_A | 3 | 9 | Penjanje | Maksimum za penjanje | ZERO | 10 000 | | | |
| 737500 | ICAO_A | 4 | 1 | Uzlijetanje | Maksimum za uzlijetanje | 5 | | | | |
| 737500 | ICAO_A | 4 | 2 | Penjanje | Maksimum za uzlijetanje | 5 | 1 500 | | | |
| 737500 | ICAO_A | 4 | 3 | Penjanje | Maksimum za penjanje | 5 | 3 000 | | | |
| 737500 | ICAO_A | 4 | 4 | Ubrzanje | Maksimum za penjanje | 5 | | 1 166,9 | 189,6 | |
| 737500 | ICAO_A | 4 | 5 | Ubrzanje | Maksimum za penjanje | 1 | | 1 317 | 211 | |
| 737500 | ICAO_A | 4 | 6 | Ubrzanje | Maksimum za penjanje | ZERO | | 1 496,1 | 250 | |
| 737500 | ICAO_A | 4 | 7 | Penjanje | Maksimum za penjanje | ZERO | 5 500 | | | |
| 737500 | ICAO_A | 4 | 8 | Penjanje | Maksimum za penjanje | ZERO | 7 500 | | | |
| 737500 | ICAO_A | 4 | 9 | Penjanje | Maksimum za penjanje | ZERO | 10 000 | | | |
| 737500 | ICAO_A | 5 | 1 | Uzlijetanje | Maksimum za uzlijetanje | 5 | | | | |
| 737500 | ICAO_A | 5 | 2 | Penjanje | Maksimum za uzlijetanje | 5 | 1 500 | | | |
| 737500 | ICAO_A | 5 | 3 | Penjanje | Maksimum za penjanje | 5 | 3 000 | | | |
| 737500 | ICAO_A | 5 | 4 | Ubrzanje | Maksimum za penjanje | 5 | | 1 152,1 | 189,9 | |
| 737500 | ICAO_A | 5 | 5 | Ubrzanje | Maksimum za penjanje | 1 | | 1 300 | 210,8 | |
| 737500 | ICAO_A | 5 | 6 | Ubrzanje | Maksimum za penjanje | ZERO | | 1 477,5 | 250 | |
| 737500 | ICAO_A | 5 | 7 | Penjanje | Maksimum za penjanje | ZERO | 5 500 | | | |
| 737500 | ICAO_A | 5 | 8 | Penjanje | Maksimum za penjanje | ZERO | 7 500 | | | |
| 737500 | ICAO_A | 5 | 9 | Penjanje | Maksimum za penjanje | ZERO | 10 000 | | | |

▼M2

| ACFTID | Oznaka profila (Profile_ID) | Duljina faze | Broj koraka | Tip koraka | Režim rada motora | Zakrilca (Flap_ID) | Visina krajnje točke (ft) | Stopa penjanja (ft/min) | Kalibrirana brzina leta u krajnjoj točki (kt) | Postotak ubrzanja (Accelerate_Percent) (%) |
|---|---|---|---|---|---|---|---|---|---|---|
| 737500 | ICAO_A | M | 1 | Uzlijetanje | Maksimum za uzlijetanje | 5 | | | | |
| 737500 | ICAO_A | M | 2 | Penjanje | Maksimum za uzlijetanje | 5 | 1 500 | | | |
| 737500 | ICAO_A | M | 3 | Penjanje | Maksimum za penjanje | 5 | 3 000 | | | |
| 737500 | ICAO_A | M | 4 | Ubrzanje | Maksimum za penjanje | 5 | | 1 130,1 | 190,4 | |
| 737500 | ICAO_A | M | 5 | Ubrzanje | Maksimum za penjanje | 1 | | 1 267,1 | 210,6 | |
| 737500 | ICAO_A | M | 6 | Ubrzanje | Maksimum za penjanje | ZERO | | 1 451,9 | 250 | |
| 737500 | ICAO_A | M | 7 | Penjanje | Maksimum za penjanje | ZERO | 5 500 | | | |
| 737500 | ICAO_A | M | 8 | Penjanje | Maksimum za penjanje | ZERO | 7 500 | | | |
| 737500 | ICAO_A | M | 9 | Penjanje | Maksimum za penjanje | ZERO | 10 000 | | | |
| 737500 | ICAO_B | 1 | 1 | Uzlijetanje | Maksimum za uzlijetanje | 5 | | | | |
| 737500 | ICAO_B | 1 | 2 | Penjanje | Maksimum za uzlijetanje | 5 | 1 000 | | | |
| 737500 | ICAO_B | 1 | 3 | Ubrzanje | Maksimum za uzlijetanje | 5 | | 1 715,3 | 189,5 | |
| 737500 | ICAO_B | 1 | 4 | Ubrzanje | Maksimum za uzlijetanje | 1 | | 1 944,8 | 207,8 | |
| 737500 | ICAO_B | 1 | 5 | Penjanje | Maksimum za penjanje | ZERO | 3 000 | | | |
| 737500 | ICAO_B | 1 | 6 | Ubrzanje | Maksimum za penjanje | ZERO | | 1 966,3 | 250 | |
| 737500 | ICAO_B | 1 | 7 | Penjanje | Maksimum za penjanje | ZERO | 5 500 | | | |
| 737500 | ICAO_B | 1 | 8 | Penjanje | Maksimum za penjanje | ZERO | 7 500 | | | |
| 737500 | ICAO_B | 1 | 9 | Penjanje | Maksimum za penjanje | ZERO | 10 000 | | | |
| 737500 | ICAO_B | 2 | 1 | Uzlijetanje | Maksimum za uzlijetanje | 5 | | | | |
| 737500 | ICAO_B | 2 | 2 | Penjanje | Maksimum za uzlijetanje | 5 | 1 000 | | | |
| 737500 | ICAO_B | 2 | 3 | Ubrzanje | Maksimum za uzlijetanje | 5 | | 1 619,6 | 190,3 | |
| 737500 | ICAO_B | 2 | 4 | Ubrzanje | Maksimum za uzlijetanje | 1 | | 1 835,3 | 207,1 | |
| 737500 | ICAO_B | 2 | 5 | Penjanje | Maksimum za penjanje | ZERO | 3 000 | | | |

▼M2

| ACFTID | Oznaka profila (Profile_ID) | Duljina faze | Broj koraka | Tip koraka | Režim rada motora | Zakrilca (Flap_ID) | Visina krajnje točke (ft) | Stopa penjanja (ft/min) | Kalibrirana brzina leta u krajnjoj točki (kt) | Postotak ubrzanja (Accelerate_Percent) (%) |
|---|---|---|---|---|---|---|---|---|---|---|
| 737500 | ICAO_B | 2 | 6 | Ubrzanje | Maksimum za penjanje | ZERO | | 1 844,6 | 250 | |
| 737500 | ICAO_B | 2 | 7 | Penjanje | Maksimum za penjanje | ZERO | 5 500 | | | |
| 737500 | ICAO_B | 2 | 8 | Penjanje | Maksimum za penjanje | ZERO | 7 500 | | | |
| 737500 | ICAO_B | 2 | 9 | Penjanje | Maksimum za penjanje | ZERO | 10 000 | | | |
| 737500 | ICAO_B | 3 | 1 | Uzlijetanje | Maksimum za uzlijetanje | 5 | | | | |
| 737500 | ICAO_B | 3 | 2 | Penjanje | Maksimum za uzlijetanje | 5 | 1 000 | | | |
| 737500 | ICAO_B | 3 | 3 | Ubrzanje | Maksimum za uzlijetanje | 5 | | 1 520,2 | 191,6 | |
| 737500 | ICAO_B | 3 | 4 | Ubrzanje | Maksimum za uzlijetanje | 1 | | 1 717,5 | 207,1 | |
| 737500 | ICAO_B | 3 | 5 | Penjanje | Maksimum za penjanje | ZERO | 3 000 | | | |
| 737500 | ICAO_B | 3 | 6 | Ubrzanje | Maksimum za penjanje | ZERO | | 1 722,6 | 250 | |
| 737500 | ICAO_B | 3 | 7 | Penjanje | Maksimum za penjanje | ZERO | 5 500 | | | |
| 737500 | ICAO_B | 3 | 8 | Penjanje | Maksimum za penjanje | ZERO | 7 500 | | | |
| 737500 | ICAO_B | 3 | 9 | Penjanje | Maksimum za penjanje | ZERO | 10 000 | | | |
| 737500 | ICAO_B | 4 | 1 | Uzlijetanje | Maksimum za uzlijetanje | 5 | | | | |
| 737500 | ICAO_B | 4 | 2 | Penjanje | Maksimum za uzlijetanje | 5 | 1 000 | | | |
| 737500 | ICAO_B | 4 | 3 | Ubrzanje | Maksimum za uzlijetanje | 5 | | 1 339,9 | 194,1 | |
| 737500 | ICAO_B | 4 | 4 | Ubrzanje | Maksimum za uzlijetanje | 1 | | 1 512,8 | 213,4 | |
| 737500 | ICAO_B | 4 | 5 | Penjanje | Maksimum za penjanje | ZERO | 3 000 | | | |
| 737500 | ICAO_B | 4 | 6 | Ubrzanje | Maksimum za penjanje | ZERO | | 1 526,7 | 250 | |
| 737500 | ICAO_B | 4 | 7 | Penjanje | Maksimum za penjanje | ZERO | 5 500 | | | |
| 737500 | ICAO_B | 4 | 8 | Penjanje | Maksimum za penjanje | ZERO | 7 500 | | | |
| 737500 | ICAO_B | 4 | 9 | Penjanje | Maksimum za penjanje | ZERO | 10 000 | | | |
| 737500 | ICAO_B | 5 | 1 | Uzlijetanje | Maksimum za uzlijetanje | 5 | | | | |
| 737500 | ICAO_B | 5 | 2 | Penjanje | Maksimum za uzlijetanje | 5 | 1 000 | | | |

▼M2

| ACFTID | Oznaka profila (Profile_ID) | Duljina faze | Broj koraka | Tip koraka | Režim rada motora | Zakrilca (Flap_ID) | Visina krajnje točke (ft) | Stopa penjanja (ft/min) | Kalibrirana brzina leta u krajnjoj točki (kt) | Postotak ubrzanja (Accele-rate_Per-cent) (%) |
|---|---|---|---|---|---|---|---|---|---|---|
| 737500 | ICAO_B | 5 | 3 | Ubrzanje | Maksimum za uzlijetanje | 5 | | 1 322,2 | 194,4 | |
| 737500 | ICAO_B | 5 | 4 | Ubrzanje | Maksimum za uzlijetanje | 1 | | 1 500 | 213,2 | |
| 737500 | ICAO_B | 5 | 5 | Penjanje | Maksimum za penjanje | ZERO | 3 000 | | | |
| 737500 | ICAO_B | 5 | 6 | Ubrzanje | Maksimum za penjanje | ZERO | | 1 503,1 | 250 | |
| 737500 | ICAO_B | 5 | 7 | Penjanje | Maksimum za penjanje | ZERO | 5 500 | | | |
| 737500 | ICAO_B | 5 | 8 | Penjanje | Maksimum za penjanje | ZERO | 7 500 | | | |
| 737500 | ICAO_B | 5 | 9 | Penjanje | Maksimum za penjanje | ZERO | 10 000 | | | |
| 737500 | ICAO_B | M | 1 | Uzlijetanje | Maksimum za uzlijetanje | 5 | | | | |
| 737500 | ICAO_B | M | 2 | Penjanje | Maksimum za uzlijetanje | 5 | 1 000 | | | |
| 737500 | ICAO_B | M | 3 | Ubrzanje | Maksimum za uzlijetanje | 5 | | 1 303,1 | 194,8 | |
| 737500 | ICAO_B | M | 4 | Ubrzanje | Maksimum za uzlijetanje | 1 | | 1 463,2 | 213 | |
| 737500 | ICAO_B | M | 5 | Penjanje | Maksimum za penjanje | ZERO | 3 000 | | | |
| 737500 | ICAO_B | M | 6 | Ubrzanje | Maksimum za penjanje | ZERO | | 1 475,5 | 250 | |
| 737500 | ICAO_B | M | 7 | Penjanje | Maksimum za penjanje | ZERO | 5 500 | | | |
| 737500 | ICAO_B | M | 8 | Penjanje | Maksimum za penjanje | ZERO | 7 500 | | | |
| 737500 | ICAO_B | M | 9 | Penjanje | Maksimum za penjanje | ZERO | 10 000 | | | |
| 737700 | DEFAULT | 1 | 1 | Uzlijetanje | Maksimum za uzlijetanje | T_5 | | | | |
| 737700 | DEFAULT | 1 | 2 | Penjanje | Maksimum za uzlijetanje | T_5 | 1 000 | | | |
| 737700 | DEFAULT | 1 | 3 | Ubrzanje | Maksimum za penjanje | T_ZERO | | 1 782,4 | 195,1 | |
| 737700 | DEFAULT | 1 | 4 | Penjanje | Maksimum za penjanje | T_ZERO | 3 000 | | | |
| 737700 | DEFAULT | 1 | 5 | Ubrzanje | Maksimum za penjanje | T_ZERO | | 2 159,3 | 250 | |
| 737700 | DEFAULT | 1 | 6 | Penjanje | Maksimum za penjanje | T_ZERO | 5 500 | | | |
| 737700 | DEFAULT | 1 | 7 | Penjanje | Maksimum za penjanje | T_00H | 7 500 | | | |

▼M2

| ACFTID | Oznaka profila (Profile_ID) | Duljina faze | Broj koraka | Tip koraka | Režim rada motora | Zakrilca (Flap_ID) | Visina krajnje točke (ft) | Stopa penjanja (ft/min) | Kalibrirana brzina leta u krajnjoj točki (kt) | Postotak ubrzanja (Accele-rate_Per-cent) (%) |
|---|---|---|---|---|---|---|---|---|---|---|
| 737700 | DEFAULT | 1 | 8 | Penjanje | Maksimum za penjanje | T_00H | 10 000 | | | |
| 737700 | DEFAULT | 2 | 1 | Uzlijetanje | Maksimum za uzlijetanje | T_5 | | | | |
| 737700 | DEFAULT | 2 | 2 | Penjanje | Maksimum za uzlijetanje | T_5 | 1 000 | | | |
| 737700 | DEFAULT | 2 | 3 | Ubrzanje | Maksimum za penjanje | T_ZERO | | 1 710,1 | 197,7 | |
| 737700 | DEFAULT | 2 | 4 | Penjanje | Maksimum za penjanje | T_ZERO | 3 000 | | | |
| 737700 | DEFAULT | 2 | 5 | Ubrzanje | Maksimum za penjanje | T_ZERO | | 2 056,7 | 250 | |
| 737700 | DEFAULT | 2 | 6 | Penjanje | Maksimum za penjanje | T_ZERO | 5 500 | | | |
| 737700 | DEFAULT | 2 | 7 | Penjanje | Maksimum za penjanje | T_00H | 7 500 | | | |
| 737700 | DEFAULT | 2 | 8 | Penjanje | Maksimum za penjanje | T_00H | 10 000 | | | |
| 737700 | DEFAULT | 3 | 1 | Uzlijetanje | Maksimum za uzlijetanje | T_5 | | | | |
| 737700 | DEFAULT | 3 | 2 | Penjanje | Maksimum za uzlijetanje | T_5 | 1 000 | | | |
| 737700 | DEFAULT | 3 | 3 | Ubrzanje | Maksimum za penjanje | T_ZERO | | 1 635,7 | 200,3 | |
| 737700 | DEFAULT | 3 | 4 | Penjanje | Maksimum za penjanje | T_ZERO | 3 000 | | | |
| 737700 | DEFAULT | 3 | 5 | Ubrzanje | Maksimum za penjanje | T_ZERO | | 1 957 | 250 | |
| 737700 | DEFAULT | 3 | 6 | Penjanje | Maksimum za penjanje | T_ZERO | 5 500 | | | |
| 737700 | DEFAULT | 3 | 7 | Penjanje | Maksimum za penjanje | T_ZERO | 7 500 | | | |
| 737700 | DEFAULT | 3 | 8 | Penjanje | Maksimum za penjanje | T_00H | 10 000 | | | |
| 737700 | DEFAULT | 4 | 1 | Uzlijetanje | Maksimum za uzlijetanje | T_5 | | | | |
| 737700 | DEFAULT | 4 | 2 | Penjanje | Maksimum za uzlijetanje | T_5 | 1 000 | | | |
| 737700 | DEFAULT | 4 | 3 | Ubrzanje | Maksimum za penjanje | T_ZERO | | 1 498,3 | 205,8 | |
| 737700 | DEFAULT | 4 | 4 | Penjanje | Maksimum za penjanje | T_ZERO | 3 000 | | | |
| 737700 | DEFAULT | 4 | 5 | Ubrzanje | Maksimum za penjanje | T_ZERO | | 1 774,4 | 250 | |
| 737700 | DEFAULT | 4 | 6 | Penjanje | Maksimum za penjanje | T_ZERO | 5 500 | | | |
| 737700 | DEFAULT | 4 | 7 | Penjanje | Maksimum za penjanje | T_ZERO | 7 500 | | | |

▼M2

| ACFTID | Oznaka profila (Profile_ID) | Duljina faze | Broj koraka | Tip koraka | Režim rada motora | Zakrilca (Flap_ID) | Visina krajnje točke (ft) | Stopa penjanja (ft/min) | Kalibrirana brzina leta u krajnjoj točki (kt) | Postotak ubrzanja (Accele-rate_Per-cent) (%) |
|---|---|---|---|---|---|---|---|---|---|---|
| 737700 | DEFAULT | 4 | 8 | Penjanje | Maksimum za penjanje | T_ZERO | 10 000 | | | |
| 737700 | DEFAULT | 5 | 1 | Uzlijetanje | Maksimum za uzlijetanje | T_5 | | | | |
| 737700 | DEFAULT | 5 | 2 | Penjanje | Maksimum za uzlijetanje | T_5 | 1 000 | | | |
| 737700 | DEFAULT | 5 | 3 | Ubrzanje | Maksimum za penjanje | T_ZERO | | 1 348,5 | 211,6 | |
| 737700 | DEFAULT | 5 | 4 | Penjanje | Maksimum za penjanje | T_ZERO | 3 000 | | | |
| 737700 | DEFAULT | 5 | 5 | Ubrzanje | Maksimum za penjanje | T_ZERO | | 1 581,2 | 250 | |
| 737700 | DEFAULT | 5 | 6 | Penjanje | Maksimum za penjanje | T_ZERO | 5 500 | | | |
| 737700 | DEFAULT | 5 | 7 | Penjanje | Maksimum za penjanje | T_ZERO | 7 500 | | | |
| 737700 | DEFAULT | 5 | 8 | Penjanje | Maksimum za penjanje | T_ZERO | 10 000 | | | |
| 737700 | DEFAULT | 6 | 1 | Uzlijetanje | Maksimum za uzlijetanje | T_5 | | | | |
| 737700 | DEFAULT | 6 | 2 | Penjanje | Maksimum za uzlijetanje | T_5 | 1 000 | | | |
| 737700 | DEFAULT | 6 | 3 | Ubrzanje | Maksimum za penjanje | T_ZERO | | 1 347,1 | 211,6 | |
| 737700 | DEFAULT | 6 | 4 | Penjanje | Maksimum za penjanje | T_ZERO | 3 000 | | | |
| 737700 | DEFAULT | 6 | 5 | Ubrzanje | Maksimum za penjanje | T_ZERO | | 1 579,1 | 250 | |
| 737700 | DEFAULT | 6 | 6 | Penjanje | Maksimum za penjanje | T_ZERO | 5 500 | | | |
| 737700 | DEFAULT | 6 | 7 | Penjanje | Maksimum za penjanje | T_ZERO | 7 500 | | | |
| 737700 | DEFAULT | 6 | 8 | Penjanje | Maksimum za penjanje | T_ZERO | 10 000 | | | |
| 737700 | ICAO_A | 1 | 1 | Uzlijetanje | Maksimum za uzlijetanje | T_5 | | | | |
| 737700 | ICAO_A | 1 | 2 | Penjanje | Maksimum za uzlijetanje | T_5 | 1 500 | | | |
| 737700 | ICAO_A | 1 | 3 | Penjanje | Maksimum za penjanje | T_5 | 3 000 | | | |
| 737700 | ICAO_A | 1 | 4 | Ubrzanje | Maksimum za penjanje | T_ZERO | | 1 747,6 | 194,9 | |
| 737700 | ICAO_A | 1 | 5 | Ubrzanje | Maksimum za penjanje | T_ZERO | | 2 128,3 | 250 | |
| 737700 | ICAO_A | 1 | 6 | Penjanje | Maksimum za penjanje | T_ZERO | 5 500 | | | |
| 737700 | ICAO_A | 1 | 7 | Penjanje | Maksimum za penjanje | T_00H | 7 500 | | | |

▼M2

| ACFTID | Oznaka profila (Profile_ID) | Duljina faze | Broj koraka | Tip koraka | Režim rada motora | Zakrilca (Flap_ID) | Visina krajnje točke (ft) | Stopa penjanja (ft/min) | Kalibrirana brzina leta u krajnjoj točki (kt) | Postotak ubrzanja (Accele-rate_Per-cent) (%) |
|---|---|---|---|---|---|---|---|---|---|---|
| 737700 | ICAO_A | 1 | 8 | Penjanje | Maksimum za penjanje | T_00H | 10 000 | | | |
| 737700 | ICAO_A | 2 | 1 | Uzlijetanje | Maksimum za uzlijetanje | T_5 | | | | |
| 737700 | ICAO_A | 2 | 2 | Penjanje | Maksimum za uzlijetanje | T_5 | 1 500 | | | |
| 737700 | ICAO_A | 2 | 3 | Penjanje | Maksimum za penjanje | T_5 | 3 000 | | | |
| 737700 | ICAO_A | 2 | 4 | Ubrzanje | Maksimum za penjanje | T_ZERO | | 1 673,6 | 197,4 | |
| 737700 | ICAO_A | 2 | 5 | Ubrzanje | Maksimum za penjanje | T_ZERO | | 2 028,3 | 250 | |
| 737700 | ICAO_A | 2 | 6 | Penjanje | Maksimum za penjanje | T_ZERO | 5 500 | | | |
| 737700 | ICAO_A | 2 | 7 | Penjanje | Maksimum za penjanje | T_ZERO | 7 500 | | | |
| 737700 | ICAO_A | 2 | 8 | Penjanje | Maksimum za penjanje | T_00H | 10 000 | | | |
| 737700 | ICAO_A | 3 | 1 | Uzlijetanje | Maksimum za uzlijetanje | T_5 | | | | |
| 737700 | ICAO_A | 3 | 2 | Penjanje | Maksimum za uzlijetanje | T_5 | 1 500 | | | |
| 737700 | ICAO_A | 3 | 3 | Penjanje | Maksimum za penjanje | T_5 | 3 000 | | | |
| 737700 | ICAO_A | 3 | 4 | Ubrzanje | Maksimum za penjanje | T_ZERO | | 1 600,5 | 200,2 | |
| 737700 | ICAO_A | 3 | 5 | Ubrzanje | Maksimum za penjanje | T_ZERO | | 1 931,7 | 250 | |
| 737700 | ICAO_A | 3 | 6 | Penjanje | Maksimum za penjanje | T_ZERO | 5 500 | | | |
| 737700 | ICAO_A | 3 | 7 | Penjanje | Maksimum za penjanje | T_ZERO | 7 500 | | | |
| 737700 | ICAO_A | 3 | 8 | Penjanje | Maksimum za penjanje | T_00H | 10 000 | | | |
| 737700 | ICAO_A | 4 | 1 | Uzlijetanje | Maksimum za uzlijetanje | T_5 | | | | |
| 737700 | ICAO_A | 4 | 2 | Penjanje | Maksimum za uzlijetanje | T_5 | 1 500 | | | |
| 737700 | ICAO_A | 4 | 3 | Penjanje | Maksimum za penjanje | T_5 | 3 000 | | | |
| 737700 | ICAO_A | 4 | 4 | Ubrzanje | Maksimum za penjanje | T_ZERO | | 1 462,2 | 205,6 | |
| 737700 | ICAO_A | 4 | 5 | Ubrzanje | Maksimum za penjanje | T_ZERO | | 1 753,8 | 250 | |
| 737700 | ICAO_A | 4 | 6 | Penjanje | Maksimum za penjanje | T_ZERO | 5 500 | | | |
| 737700 | ICAO_A | 4 | 7 | Penjanje | Maksimum za penjanje | T_ZERO | 7 500 | | | |

▼M2

| ACFTID | Oznaka profila (Profile_ID) | Duljina faze | Broj koraka | Tip koraka | Režim rada motora | Zakrilca (Flap_ID) | Visina krajnje točke (ft) | Stopa penjanja (ft/min) | Kalibrirana brzina leta u krajnjoj točki (kt) | Postotak ubrzanja (Accelerate_Percent) (%) |
|---|---|---|---|---|---|---|---|---|---|---|
| 737700 | ICAO_A | 4 | 8 | Penjanje | Maksimum za penjanje | T_00H | 10 000 | | | |
| 737700 | ICAO_A | 5 | 1 | Uzlijetanje | Maksimum za uzlijetanje | T_5 | | | | |
| 737700 | ICAO_A | 5 | 2 | Penjanje | Maksimum za uzlijetanje | T_5 | 1 500 | | | |
| 737700 | ICAO_A | 5 | 3 | Penjanje | Maksimum za penjanje | T_5 | 3 000 | | | |
| 737700 | ICAO_A | 5 | 4 | Ubrzanje | Maksimum za penjanje | T_ZERO | | 1 430 | 250 | |
| 737700 | ICAO_A | 5 | 5 | Penjanje | Maksimum za penjanje | T_ZERO | 5 500 | | | |
| 737700 | ICAO_A | 5 | 6 | Penjanje | Maksimum za penjanje | T_ZERO | 7 500 | | | |
| 737700 | ICAO_A | 5 | 7 | Penjanje | Maksimum za penjanje | T_ZERO | 10 000 | | | |
| 737700 | ICAO_A | 6 | 1 | Uzlijetanje | Maksimum za uzlijetanje | T_5 | | | | |
| 737700 | ICAO_A | 6 | 2 | Penjanje | Maksimum za uzlijetanje | T_5 | 1 500 | | | |
| 737700 | ICAO_A | 6 | 3 | Penjanje | Maksimum za penjanje | T_5 | 3 000 | | | |
| 737700 | ICAO_A | 6 | 4 | Ubrzanje | Maksimum za penjanje | T_ZERO | | 1 430,1 | 250 | |
| 737700 | ICAO_A | 6 | 5 | Penjanje | Maksimum za penjanje | T_ZERO | 5 500 | | | |
| 737700 | ICAO_A | 6 | 6 | Penjanje | Maksimum za penjanje | T_ZERO | 7 500 | | | |
| 737700 | ICAO_A | 6 | 7 | Penjanje | Maksimum za penjanje | T_ZERO | 10 000 | | | |
| 737700 | ICAO_B | 1 | 1 | Uzlijetanje | Maksimum za uzlijetanje | T_5 | | | | |
| 737700 | ICAO_B | 1 | 2 | Penjanje | Maksimum za uzlijetanje | T_5 | 1 000 | | | |
| 737700 | ICAO_B | 1 | 3 | Ubrzanje | Maksimum za uzlijetanje | T_01 | | 1 888,7 | 195,1 | |
| 737700 | ICAO_B | 1 | 4 | Penjanje | Maksimum za penjanje | T_ZERO | 3 000 | | | |
| 737700 | ICAO_B | 1 | 5 | Ubrzanje | Maksimum za penjanje | T_ZERO | | 2 159,3 | 250 | |
| 737700 | ICAO_B | 1 | 6 | Penjanje | Maksimum za penjanje | T_00H | 5 500 | | | |
| 737700 | ICAO_B | 1 | 7 | Penjanje | Maksimum za penjanje | T_00H | 7 500 | | | |
| 737700 | ICAO_B | 1 | 8 | Penjanje | Maksimum za penjanje | T_ZERO | 10 000 | | | |

▼M2

| ACFTID | Oznaka profila (Profile_ID) | Duljina faze | Broj koraka | Tip koraka | Režim rada motora | Zakrilca (Flap_ID) | Visina krajnje točke (ft) | Stopa penjanja (ft/min) | Kalibrirana brzina leta u krajnjoj točki (kt) | Postotak ubrzanja (Accele-rate_Per-cent) (%) |
|---|---|---|---|---|---|---|---|---|---|---|
| 737700 | ICAO_B | 2 | 1 | Uzlijetanje | Maksimum za uzlijetanje | T_5 | | | | |
| 737700 | ICAO_B | 2 | 2 | Penjanje | Maksimum za uzlijetanje | T_5 | 1 000 | | | |
| 737700 | ICAO_B | 2 | 3 | Ubrzanje | Maksimum za uzlijetanje | T_01 | | 1 814,3 | 197,7 | |
| 737700 | ICAO_B | 2 | 4 | Penjanje | Maksimum za penjanje | T_ZERO | 3 000 | | | |
| 737700 | ICAO_B | 2 | 5 | Ubrzanje | Maksimum za penjanje | T_ZERO | | 2 058,1 | 250 | |
| 737700 | ICAO_B | 2 | 6 | Penjanje | Maksimum za penjanje | T_ZERO | 5 500 | | | |
| 737700 | ICAO_B | 2 | 7 | Penjanje | Maksimum za penjanje | T_ZERO | 7 500 | | | |
| 737700 | ICAO_B | 2 | 8 | Penjanje | Maksimum za penjanje | T_00H | 10 000 | | | |
| 737700 | ICAO_B | 3 | 1 | Uzlijetanje | Maksimum za uzlijetanje | T_5 | | | | |
| 737700 | ICAO_B | 3 | 2 | Penjanje | Maksimum za uzlijetanje | T_5 | 1 000 | | | |
| 737700 | ICAO_B | 3 | 3 | Ubrzanje | Maksimum za uzlijetanje | T_5 | | 1 619 | 175,6 | |
| 737700 | ICAO_B | 3 | 4 | Ubrzanje | Maksimum za uzlijetanje | T_01 | | 1 840,6 | 200,4 | |
| 737700 | ICAO_B | 3 | 5 | Penjanje | Maksimum za penjanje | T_ZERO | 3 000 | | | |
| 737700 | ICAO_B | 3 | 6 | Ubrzanje | Maksimum za penjanje | T_ZERO | | 1 958,4 | 250 | |
| 737700 | ICAO_B | 3 | 7 | Penjanje | Maksimum za penjanje | T_ZERO | 5 500 | | | |
| 737700 | ICAO_B | 3 | 8 | Penjanje | Maksimum za penjanje | T_ZERO | 7 500 | | | |
| 737700 | ICAO_B | 3 | 9 | Penjanje | Maksimum za penjanje | T_ZERO | 10 000 | | | |
| 737700 | ICAO_B | 4 | 1 | Uzlijetanje | Maksimum za uzlijetanje | T_5 | | | | |
| 737700 | ICAO_B | 4 | 2 | Penjanje | Maksimum za uzlijetanje | T_5 | 1 000 | | | |
| 737700 | ICAO_B | 4 | 3 | Ubrzanje | Maksimum za uzlijetanje | T_01 | | 1 594,1 | 205,8 | |
| 737700 | ICAO_B | 4 | 4 | Penjanje | Maksimum za penjanje | T_ZERO | 3 000 | | | |
| 737700 | ICAO_B | 4 | 5 | Ubrzanje | Maksimum za penjanje | T_ZERO | | 1 774,4 | 250 | |
| 737700 | ICAO_B | 4 | 6 | Penjanje | Maksimum za penjanje | T_ZERO | 5 500 | | | |

▼M2

| ACFTID | Oznaka profila (Profile_ID) | Duljina faze | Broj koraka | Tip koraka | Režim rada motora | Zakrilca (Flap_ID) | Visina krajnje točke (ft) | Stopa penjanja (ft/min) | Kalibrirana brzina leta u krajnjoj točki (kt) | Postotak ubrzanja (Accelerate_Percent) (%) |
|---|---|---|---|---|---|---|---|---|---|---|
| 737700 | ICAO_B | 4 | 7 | Penjanje | Maksimum za penjanje | T_ZERO | 7 500 | | | |
| 737700 | ICAO_B | 4 | 8 | Penjanje | Maksimum za penjanje | T_ZERO | 10 000 | | | |
| 737700 | ICAO_B | 5 | 1 | Uzlijetanje | Maksimum za uzlijetanje | T_5 | | | | |
| 737700 | ICAO_B | 5 | 2 | Penjanje | Maksimum za uzlijetanje | T_5 | 1 000 | | | |
| 737700 | ICAO_B | 5 | 3 | Ubrzanje | Maksimum za uzlijetanje | T_01 | | 1 438,9 | 211,5 | |
| 737700 | ICAO_B | 5 | 4 | Penjanje | Maksimum za penjanje | T_ZERO | 3 000 | | | |
| 737700 | ICAO_B | 5 | 5 | Ubrzanje | Maksimum za penjanje | T_ZERO | | 1 579,6 | 250 | |
| 737700 | ICAO_B | 5 | 6 | Penjanje | Maksimum za penjanje | T_ZERO | 5 500 | | | |
| 737700 | ICAO_B | 5 | 7 | Penjanje | Maksimum za penjanje | T_ZERO | 7 500 | | | |
| 737700 | ICAO_B | 5 | 8 | Penjanje | Maksimum za penjanje | T_ZERO | 10 000 | | | |
| 737700 | ICAO_B | 6 | 1 | Uzlijetanje | Maksimum za uzlijetanje | T_5 | | | | |
| 737700 | ICAO_B | 6 | 2 | Penjanje | Maksimum za uzlijetanje | T_5 | 1 000 | | | |
| 737700 | ICAO_B | 6 | 3 | Ubrzanje | Maksimum za uzlijetanje | T_01 | | 1 437,2 | 211,5 | |
| 737700 | ICAO_B | 6 | 4 | Penjanje | Maksimum za penjanje | T_ZERO | 3 000 | | | |
| 737700 | ICAO_B | 6 | 5 | Ubrzanje | Maksimum za penjanje | T_ZERO | | 1 579,1 | 250 | |
| 737700 | ICAO_B | 6 | 6 | Penjanje | Maksimum za penjanje | T_ZERO | 5 500 | | | |
| 737700 | ICAO_B | 6 | 7 | Penjanje | Maksimum za penjanje | T_ZERO | 7 500 | | | |
| 737700 | ICAO_B | 6 | 8 | Penjanje | Maksimum za penjanje | T_ZERO | 10 000 | | | |
| 737800 | DEFAULT | 1 | 1 | Uzlijetanje | Maksimum za uzlijetanje | T_05 | | | | |
| 737800 | DEFAULT | 1 | 2 | Penjanje | Maksimum za uzlijetanje | T_05 | 1 000 | | | |
| 737800 | DEFAULT | 1 | 3 | Ubrzanje | Maksimum za uzlijetanje | T_05 | | 1 885,7 | 181,7 | |
| 737800 | DEFAULT | 1 | 4 | Ubrzanje | Maksimum za uzlijetanje | T_01 | | 2 112 | 204,8 | |
| 737800 | DEFAULT | 1 | 5 | Penjanje | Maksimum za uzlijetanje | T_00 | 2 040 | | | |

▼M2

| ACFTID | Oznaka profila (Profile_ID) | Duljina faze | Broj koraka | Tip koraka | Režim rada motora | Zakrilca (Flap_ID) | Visina krajnje točke (ft) | Stopa penjanja (ft/min) | Kalibrirana brzina leta u krajnjoj točki (kt) | Postotak ubrzanja (Accelerate_Percent) (%) |
|---|---|---|---|---|---|---|---|---|---|---|
| 737800 | DEFAULT | 1 | 6 | Penjanje | Maksimum za penjanje | T_00 | 3 000 | | | |
| 737800 | DEFAULT | 1 | 7 | Ubrzanje | Maksimum za penjanje | T_00 | | 1 891,3 | 250 | |
| 737800 | DEFAULT | 1 | 8 | Penjanje | Maksimum za penjanje | T_00 | 5 500 | | | |
| 737800 | DEFAULT | 1 | 9 | Penjanje | Maksimum za penjanje | T_00 | 7 500 | | | |
| 737800 | DEFAULT | 1 | 10 | Penjanje | Maksimum za penjanje | T_00 | 10 000 | | | |
| 737800 | DEFAULT | 2 | 1 | Uzlijetanje | Maksimum za uzlijetanje | T_05 | | | | |
| 737800 | DEFAULT | 2 | 2 | Penjanje | Maksimum za uzlijetanje | T_05 | 1 000 | | | |
| 737800 | DEFAULT | 2 | 3 | Ubrzanje | Maksimum za uzlijetanje | T_05 | | 1 786,4 | 183,9 | |
| 737800 | DEFAULT | 2 | 4 | Ubrzanje | Maksimum za uzlijetanje | T_01 | | 2 016,2 | 208 | |
| 737800 | DEFAULT | 2 | 5 | Penjanje | Maksimum za uzlijetanje | T_00 | 2 000 | | | |
| 737800 | DEFAULT | 2 | 6 | Penjanje | Maksimum za penjanje | T_00 | 3 000 | | | |
| 737800 | DEFAULT | 2 | 7 | Ubrzanje | Maksimum za penjanje | T_00 | | 1 793,4 | 250 | |
| 737800 | DEFAULT | 2 | 8 | Penjanje | Maksimum za penjanje | T_00 | 5 500 | | | |
| 737800 | DEFAULT | 2 | 9 | Penjanje | Maksimum za penjanje | T_00 | 7 500 | | | |
| 737800 | DEFAULT | 2 | 10 | Penjanje | Maksimum za penjanje | T_00 | 10 000 | | | |
| 737800 | DEFAULT | 3 | 1 | Uzlijetanje | Maksimum za uzlijetanje | T_05 | | | | |
| 737800 | DEFAULT | 3 | 2 | Penjanje | Maksimum za uzlijetanje | T_05 | 1 000 | | | |
| 737800 | DEFAULT | 3 | 3 | Ubrzanje | Maksimum za uzlijetanje | T_05 | | 1 707,7 | 186,2 | |
| 737800 | DEFAULT | 3 | 4 | Ubrzanje | Maksimum za uzlijetanje | T_05 | | 1 922 | 211,2 | |
| 737800 | DEFAULT | 3 | 5 | Penjanje | Maksimum za uzlijetanje | T_00 | 1 960 | | | |
| 737800 | DEFAULT | 3 | 6 | Penjanje | Maksimum za penjanje | T_00 | 3 000 | | | |
| 737800 | DEFAULT | 3 | 7 | Ubrzanje | Maksimum za penjanje | T_00 | | 1 705,3 | 250 | |
| 737800 | DEFAULT | 3 | 8 | Penjanje | Maksimum za penjanje | T_00 | 5 500 | | | |

▼M2

| ACFTID | Oznaka profila (Profile_ID) | Duljina faze | Broj koraka | Tip koraka | Režim rada motora | Zakrilca (Flap_ID) | Visina krajnje točke (ft) | Stopa penjanja (ft/min) | Kalibrirana brzina leta u krajnjoj točki (kt) | Postotak ubrzanja (Accelerate_Percent) (%) |
|---|---|---|---|---|---|---|---|---|---|---|
| 737800 | DEFAULT | 3 | 9 | Penjanje | Maksimum za penjanje | T_00 | 7 500 | | | |
| 737800 | DEFAULT | 3 | 10 | Penjanje | Maksimum za penjanje | T_00 | 10 000 | | | |
| 737800 | DEFAULT | 4 | 1 | Uzlijetanje | Maksimum za uzlijetanje | T_05 | | | | |
| 737800 | DEFAULT | 4 | 2 | Penjanje | Maksimum za uzlijetanje | T_05 | 1 000 | | | |
| 737800 | DEFAULT | 4 | 3 | Ubrzanje | Maksimum za uzlijetanje | T_05 | | 1 576,6 | 189,6 | |
| 737800 | DEFAULT | 4 | 4 | Ubrzanje | Maksimum za uzlijetanje | T_01 | | 1 766,9 | 216,2 | |
| 737800 | DEFAULT | 4 | 5 | Penjanje | Maksimum za uzlijetanje | T_00 | 1 880 | | | |
| 737800 | DEFAULT | 4 | 6 | Penjanje | Maksimum za penjanje | T_00 | 3 000 | | | |
| 737800 | DEFAULT | 4 | 7 | Ubrzanje | Maksimum za penjanje | T_00 | | 1 546,5 | 250 | |
| 737800 | DEFAULT | 4 | 8 | Penjanje | Maksimum za penjanje | T_00 | 5 500 | | | |
| 737800 | DEFAULT | 4 | 9 | Penjanje | Maksimum za penjanje | T_00 | 7 500 | | | |
| 737800 | DEFAULT | 4 | 10 | Penjanje | Maksimum za penjanje | T_00 | 10 000 | | | |
| 737800 | DEFAULT | 5 | 1 | Uzlijetanje | Maksimum za uzlijetanje | T_05 | | | | |
| 737800 | DEFAULT | 5 | 2 | Penjanje | Maksimum za uzlijetanje | T_05 | 1 000 | | | |
| 737800 | DEFAULT | 5 | 3 | Ubrzanje | Maksimum za uzlijetanje | T_05 | | 1 444,9 | 192,9 | |
| 737800 | DEFAULT | 5 | 4 | Ubrzanje | Maksimum za uzlijetanje | T_01 | | 1 628,6 | 220,7 | |
| 737800 | DEFAULT | 5 | 5 | Penjanje | Maksimum za uzlijetanje | T_00 | 1 811 | | | |
| 737800 | DEFAULT | 5 | 6 | Penjanje | Maksimum za penjanje | T_00 | 3 000 | | | |
| 737800 | DEFAULT | 5 | 7 | Ubrzanje | Maksimum za penjanje | T_00 | | 1 412,2 | 250 | |
| 737800 | DEFAULT | 5 | 8 | Penjanje | Maksimum za penjanje | T_00 | 5 500 | | | |
| 737800 | DEFAULT | 5 | 9 | Penjanje | Maksimum za penjanje | T_00 | 7 500 | | | |
| 737800 | DEFAULT | 5 | 10 | Penjanje | Maksimum za penjanje | T_00 | 10 000 | | | |
| 737800 | DEFAULT | 6 | 1 | Uzlijetanje | Maksimum za uzlijetanje | T_05 | | | | |

▼M2

| ACFTID | Oznaka profila (Profile_ID) | Duljina faze | Broj koraka | Tip koraka | Režim rada motora | Zakrilca (Flap_ID) | Visina krajnje točke (ft) | Stopa penjanja (ft/min) | Kalibrirana brzina leta u krajnjoj točki (kt) | Postotak ubrzanja (Accele-rate_Per-cent) (%) |
|---|---|---|---|---|---|---|---|---|---|---|
| 737800 | DEFAULT | 6 | 2 | Penjanje | Maksimum za uzlijetanje | T_05 | 1 000 | | | |
| 737800 | DEFAULT | 6 | 3 | Ubrzanje | Maksimum za uzlijetanje | T_05 | | 1 400 | 194,4 | |
| 737800 | DEFAULT | 6 | 4 | Ubrzanje | Maksimum za uzlijetanje | T_01 | | 1 575,4 | 222,7 | |
| 737800 | DEFAULT | 6 | 5 | Penjanje | Maksimum za uzlijetanje | T_00 | 1 785 | | | |
| 737800 | DEFAULT | 6 | 6 | Penjanje | Maksimum za penjanje | T_00 | 3 000 | | | |
| 737800 | DEFAULT | 6 | 7 | Ubrzanje | Maksimum za penjanje | T_00 | | 1 357,5 | 250 | |
| 737800 | DEFAULT | 6 | 8 | Penjanje | Maksimum za penjanje | T_00 | 5 500 | | | |
| 737800 | DEFAULT | 6 | 9 | Penjanje | Maksimum za penjanje | T_00 | 7 500 | | | |
| 737800 | DEFAULT | 6 | 10 | Penjanje | Maksimum za penjanje | T_00 | 10 000 | | | |
| 737800 | ICAO_A | 1 | 1 | Uzlijetanje | Maksimum za uzlijetanje | T_05 | | | | |
| 737800 | ICAO_A | 1 | 2 | Penjanje | Maksimum za uzlijetanje | T_05 | 1 500 | | | |
| 737800 | ICAO_A | 1 | 3 | Penjanje | Maksimum za penjanje | T_05 | 3 000 | | | |
| 737800 | ICAO_A | 1 | 4 | Ubrzanje | Maksimum za penjanje | T_05 | | 1 449,4 | 177,2 | |
| 737800 | ICAO_A | 1 | 5 | Ubrzanje | Maksimum za penjanje | T_01 | | 1 663,3 | 204,6 | |
| 737800 | ICAO_A | 1 | 6 | Penjanje | Maksimum za penjanje | T_00 | 3 807 | | | |
| 737800 | ICAO_A | 1 | 7 | Ubrzanje | Maksimum za penjanje | T_00 | | 1 896,8 | 250 | |
| 737800 | ICAO_A | 1 | 8 | Penjanje | Maksimum za penjanje | T_00 | 5 500 | | | |
| 737800 | ICAO_A | 1 | 9 | Penjanje | Maksimum za penjanje | T_00 | 7 500 | | | |
| 737800 | ICAO_A | 1 | 10 | Penjanje | Maksimum za penjanje | T_00 | 10 000 | | | |
| 737800 | ICAO_A | 2 | 1 | Uzlijetanje | Maksimum za uzlijetanje | T_05 | | | | |
| 737800 | ICAO_A | 2 | 2 | Penjanje | Maksimum za uzlijetanje | T_05 | 1 500 | | | |
| 737800 | ICAO_A | 2 | 3 | Penjanje | Maksimum za penjanje | T_05 | 3 000 | | | |
| 737800 | ICAO_A | 2 | 4 | Ubrzanje | Maksimum za penjanje | T_05 | | 1 372,3 | 179,6 | |
| 737800 | ICAO_A | 2 | 5 | Ubrzanje | Maksimum za penjanje | T_01 | | 1 579,3 | 207,8 | |

▼M2

| ACFTID | Oznaka profila (Profile_ID) | Duljina faze | Broj koraka | Tip koraka | Režim rada motora | Zakrilca (Flap_ID) | Visina krajnje točke (ft) | Stopa penjanja (ft/min) | Kalibrirana brzina leta u krajnjoj točki (kt) | Postotak ubrzanja (Accelerate_Percent) (%) |
|---|---|---|---|---|---|---|---|---|---|---|
| 737800 | ICAO_A | 2 | 6 | Penjanje | Maksimum za penjanje | T_00 | 3 772 | | | |
| 737800 | ICAO_A | 2 | 7 | Ubrzanje | Maksimum za penjanje | T_00 | | 1 804,3 | 250 | |
| 737800 | ICAO_A | 2 | 8 | Penjanje | Maksimum za penjanje | T_00 | 5 500 | | | |
| 737800 | ICAO_A | 2 | 9 | Penjanje | Maksimum za penjanje | T_00 | 7 500 | | | |
| 737800 | ICAO_A | 2 | 10 | Penjanje | Maksimum za penjanje | T_00 | 10 000 | | | |
| 737800 | ICAO_A | 3 | 1 | Uzlijetanje | Maksimum za uzlijetanje | T_05 | | | | |
| 737800 | ICAO_A | 3 | 2 | Penjanje | Maksimum za uzlijetanje | T_05 | 1 500 | | | |
| 737800 | ICAO_A | 3 | 3 | Penjanje | Maksimum za penjanje | T_05 | 3 000 | | | |
| 737800 | ICAO_A | 3 | 4 | Ubrzanje | Maksimum za penjanje | T_05 | | 1 297 | 182,1 | |
| 737800 | ICAO_A | 3 | 5 | Ubrzanje | Maksimum za penjanje | T_01 | | 1 496,9 | 211 | |
| 737800 | ICAO_A | 3 | 6 | Penjanje | Maksimum za penjanje | T_00 | 3 737 | | | |
| 737800 | ICAO_A | 3 | 7 | Ubrzanje | Maksimum za penjanje | T_00 | | 1 701,8 | 250 | |
| 737800 | ICAO_A | 3 | 8 | Penjanje | Maksimum za penjanje | T_00 | 5 500 | | | |
| 737800 | ICAO_A | 3 | 9 | Penjanje | Maksimum za penjanje | T_00 | 7 500 | | | |
| 737800 | ICAO_A | 3 | 10 | Penjanje | Maksimum za penjanje | T_00 | 10 000 | | | |
| 737800 | ICAO_A | 4 | 1 | Uzlijetanje | Maksimum za uzlijetanje | T_05 | | | | |
| 737800 | ICAO_A | 4 | 2 | Penjanje | Maksimum za uzlijetanje | T_05 | 1 500 | | | |
| 737800 | ICAO_A | 4 | 3 | Penjanje | Maksimum za penjanje | T_05 | 3 000 | | | |
| 737800 | ICAO_A | 4 | 4 | Ubrzanje | Maksimum za penjanje | T_05 | | 1 194,2 | 185,8 | |
| 737800 | ICAO_A | 4 | 5 | Ubrzanje | Maksimum za penjanje | T_01 | | 1 352,1 | 214,8 | |
| 737800 | ICAO_A | 4 | 6 | Ubrzanje | Maksimum za penjanje | T_00 | | 1 548,2 | 250 | |
| 737800 | ICAO_A | 4 | 7 | Penjanje | Maksimum za penjanje | T_00 | 5 500 | | | |
| 737800 | ICAO_A | 4 | 8 | Penjanje | Maksimum za penjanje | T_00 | 7 500 | | | |
| 737800 | ICAO_A | 4 | 9 | Penjanje | Maksimum za penjanje | T_00 | 10 000 | | | |
| 737800 | ICAO_A | 5 | 1 | Uzlijetanje | Maksimum za uzlijetanje | T_05 | | | | |

▼M2

| ACFTID | Oznaka profila (Profile_ID) | Duljina faze | Broj koraka | Tip koraka | Režim rada motora | Zakrilca (Flap_ID) | Visina krajnje točke (ft) | Stopa penjanja (ft/min) | Kalibrirana brzina leta u krajnjoj točki (kt) | Postotak ubrzanja (Accelerate_Percent) (%) |
|---|---|---|---|---|---|---|---|---|---|---|
| 737800 | ICAO_A | 5 | 2 | Penjanje | Maksimum za uzlijetanje | T_05 | 1 500 | | | |
| 737800 | ICAO_A | 5 | 3 | Penjanje | Maksimum za penjanje | T_05 | 3 000 | | | |
| 737800 | ICAO_A | 5 | 4 | Ubrzanje | Maksimum za penjanje | T_05 | | 1 078,9 | 189,4 | |
| 737800 | ICAO_A | 5 | 5 | Ubrzanje | Maksimum za penjanje | T_01 | | 1 233,3 | 217,4 | |
| 737800 | ICAO_A | 5 | 6 | Ubrzanje | Maksimum za penjanje | T_00 | | 1 403,6 | 250 | |
| 737800 | ICAO_A | 5 | 7 | Penjanje | Maksimum za penjanje | T_00 | 5 500 | | | |
| 737800 | ICAO_A | 5 | 8 | Penjanje | Maksimum za penjanje | T_00 | 7 500 | | | |
| 737800 | ICAO_A | 5 | 9 | Penjanje | Maksimum za penjanje | T_00 | 10 000 | | | |
| 737800 | ICAO_A | 6 | 1 | Uzlijetanje | Maksimum za uzlijetanje | T_05 | | | | |
| 737800 | ICAO_A | 6 | 2 | Penjanje | Maksimum za uzlijetanje | T_05 | 1 500 | | | |
| 737800 | ICAO_A | 6 | 3 | Penjanje | Maksimum za penjanje | T_05 | 3 000 | | | |
| 737800 | ICAO_A | 6 | 4 | Ubrzanje | Maksimum za penjanje | T_05 | | 1 037,8 | 190,9 | |
| 737800 | ICAO_A | 6 | 5 | Ubrzanje | Maksimum za penjanje | T_01 | | 1 182,7 | 218,6 | |
| 737800 | ICAO_A | 6 | 6 | Ubrzanje | Maksimum za penjanje | T_00 | | 1 349,5 | 250 | |
| 737800 | ICAO_A | 6 | 7 | Penjanje | Maksimum za penjanje | T_00 | 5 500 | | | |
| 737800 | ICAO_A | 6 | 8 | Penjanje | Maksimum za penjanje | T_00 | 7 500 | | | |
| 737800 | ICAO_A | 6 | 9 | Penjanje | Maksimum za penjanje | T_00 | 10 000 | | | |
| 737800 | ICAO_B | 1 | 1 | Uzlijetanje | Maksimum za uzlijetanje | T_05 | | | | |
| 737800 | ICAO_B | 1 | 2 | Penjanje | Maksimum za uzlijetanje | T_05 | 1 000 | | | |
| 737800 | ICAO_B | 1 | 3 | Ubrzanje | Maksimum za uzlijetanje | T_05 | | 1 885,7 | 181,7 | |
| 737800 | ICAO_B | 1 | 4 | Ubrzanje | Maksimum za uzlijetanje | T_01 | | 2 112 | 204,8 | |
| 737800 | ICAO_B | 1 | 5 | Penjanje | Maksimum za uzlijetanje | T_00 | 2 040 | | | |
| 737800 | ICAO_B | 1 | 6 | Penjanje | Maksimum za penjanje | T_00 | 3 000 | | | |
| 737800 | ICAO_B | 1 | 7 | Ubrzanje | Maksimum za penjanje | T_00 | | 1 891,3 | 250 | |

▼M2

| ACFTID | Oznaka profila (Profile_ID) | Duljina faze | Broj koraka | Tip koraka | Režim rada motora | Zakrilca (Flap_ID) | Visina krajnje točke (ft) | Stopa penjanja (ft/min) | Kalibrirana brzina leta u krajnjoj točki (kt) | Postotak ubrzanja (Accelerate_Percent) (%) |
|---|---|---|---|---|---|---|---|---|---|---|
| 737800 | ICAO_B | 1 | 8 | Penjanje | Maksimum za penjanje | T_00 | 5 500 | | | |
| 737800 | ICAO_B | 1 | 9 | Penjanje | Maksimum za penjanje | T_00 | 7 500 | | | |
| 737800 | ICAO_B | 1 | 10 | Penjanje | Maksimum za penjanje | T_00 | 10 000 | | | |
| 737800 | ICAO_B | 2 | 1 | Uzlijetanje | Maksimum za uzlijetanje | T_05 | | | | |
| 737800 | ICAO_B | 2 | 2 | Penjanje | Maksimum za uzlijetanje | T_05 | 1 000 | | | |
| 737800 | ICAO_B | 2 | 3 | Ubrzanje | Maksimum za uzlijetanje | T_05 | | 1 786,4 | 183,9 | |
| 737800 | ICAO_B | 2 | 4 | Ubrzanje | Maksimum za uzlijetanje | T_01 | | 2 016,2 | 208 | |
| 737800 | ICAO_B | 2 | 5 | Penjanje | Maksimum za uzlijetanje | T_00 | 2 000 | | | |
| 737800 | ICAO_B | 2 | 6 | Penjanje | Maksimum za penjanje | T_00 | 3 000 | | | |
| 737800 | ICAO_B | 2 | 7 | Ubrzanje | Maksimum za penjanje | T_00 | | 1 793,4 | 250 | |
| 737800 | ICAO_B | 2 | 8 | Penjanje | Maksimum za penjanje | T_00 | 5 500 | | | |
| 737800 | ICAO_B | 2 | 9 | Penjanje | Maksimum za penjanje | T_00 | 7 500 | | | |
| 737800 | ICAO_B | 2 | 10 | Penjanje | Maksimum za penjanje | T_00 | 10 000 | | | |
| 737800 | ICAO_B | 3 | 1 | Uzlijetanje | Maksimum za uzlijetanje | T_05 | | | | |
| 737800 | ICAO_B | 3 | 2 | Penjanje | Maksimum za uzlijetanje | T_05 | 1 000 | | | |
| 737800 | ICAO_B | 3 | 3 | Ubrzanje | Maksimum za uzlijetanje | T_05 | | 1 707,7 | 186,2 | |
| 737800 | ICAO_B | 3 | 4 | Ubrzanje | Maksimum za uzlijetanje | T_05 | | 1 922 | 211,2 | |
| 737800 | ICAO_B | 3 | 5 | Penjanje | Maksimum za uzlijetanje | T_00 | 1 960 | | | |
| 737800 | ICAO_B | 3 | 6 | Penjanje | Maksimum za penjanje | T_00 | 3 000 | | | |
| 737800 | ICAO_B | 3 | 7 | Ubrzanje | Maksimum za penjanje | T_00 | | 1 705,3 | 250 | |
| 737800 | ICAO_B | 3 | 8 | Penjanje | Maksimum za penjanje | T_00 | 5 500 | | | |
| 737800 | ICAO_B | 3 | 9 | Penjanje | Maksimum za penjanje | T_00 | 7 500 | | | |
| 737800 | ICAO_B | 3 | 10 | Penjanje | Maksimum za penjanje | T_00 | 10 000 | | | |

▼M2

| ACFTID | Oznaka profila (Profile_ID) | Duljina faze | Broj koraka | Tip koraka | Režim rada motora | Zakrilca (Flap_ID) | Visina krajnje točke (ft) | Stopa penjanja (ft/min) | Kalibrirana brzina leta u krajnjoj točki (kt) | Postotak ubrzanja (Accelerate_Percent) (%) |
|---|---|---|---|---|---|---|---|---|---|---|
| 737800 | ICAO_B | 4 | 1 | Uzlijetanje | Maksimum za uzlijetanje | T_05 | | | | |
| 737800 | ICAO_B | 4 | 2 | Penjanje | Maksimum za uzlijetanje | T_05 | 1 000 | | | |
| 737800 | ICAO_B | 4 | 3 | Ubrzanje | Maksimum za uzlijetanje | T_05 | | 1 576,6 | 189,6 | |
| 737800 | ICAO_B | 4 | 4 | Ubrzanje | Maksimum za uzlijetanje | T_01 | | 1 766,9 | 216,2 | |
| 737800 | ICAO_B | 4 | 5 | Penjanje | Maksimum za uzlijetanje | T_00 | 1 880 | | | |
| 737800 | ICAO_B | 4 | 6 | Penjanje | Maksimum za penjanje | T_00 | 3 000 | | | |
| 737800 | ICAO_B | 4 | 7 | Ubrzanje | Maksimum za penjanje | T_00 | | 1 546,5 | 250 | |
| 737800 | ICAO_B | 4 | 8 | Penjanje | Maksimum za penjanje | T_00 | 5 500 | | | |
| 737800 | ICAO_B | 4 | 9 | Penjanje | Maksimum za penjanje | T_00 | 7 500 | | | |
| 737800 | ICAO_B | 4 | 10 | Penjanje | Maksimum za penjanje | T_00 | 10 000 | | | |
| 737800 | ICAO_B | 5 | 1 | Uzlijetanje | Maksimum za uzlijetanje | T_05 | | | | |
| 737800 | ICAO_B | 5 | 2 | Penjanje | Maksimum za uzlijetanje | T_05 | 1 000 | | | |
| 737800 | ICAO_B | 5 | 3 | Ubrzanje | Maksimum za uzlijetanje | T_05 | | 1 444,9 | 192,9 | |
| 737800 | ICAO_B | 5 | 4 | Ubrzanje | Maksimum za uzlijetanje | T_01 | | 1 628,6 | 220,7 | |
| 737800 | ICAO_B | 5 | 5 | Penjanje | Maksimum za uzlijetanje | T_00 | 1 811 | | | |
| 737800 | ICAO_B | 5 | 6 | Penjanje | Maksimum za penjanje | T_00 | 3 000 | | | |
| 737800 | ICAO_B | 5 | 7 | Ubrzanje | Maksimum za penjanje | T_00 | | 1 412,2 | 250 | |
| 737800 | ICAO_B | 5 | 8 | Penjanje | Maksimum za penjanje | T_00 | 5 500 | | | |
| 737800 | ICAO_B | 5 | 9 | Penjanje | Maksimum za penjanje | T_00 | 7 500 | | | |
| 737800 | ICAO_B | 5 | 10 | Penjanje | Maksimum za penjanje | T_00 | 10 000 | | | |
| 737800 | ICAO_B | 6 | 1 | Uzlijetanje | Maksimum za uzlijetanje | T_05 | | | | |
| 737800 | ICAO_B | 6 | 2 | Penjanje | Maksimum za uzlijetanje | T_05 | 1 000 | | | |

▼M2

| ACFTID | Oznaka profila (Profile_ID) | Duljina faze | Broj koraka | Tip koraka | Režim rada motora | Zakrilca (Flap_ID) | Visina krajnje točke (ft) | Stopa penjanja (ft/min) | Kalibrirana brzina leta u krajnjoj točki (kt) | Postotak ubrzanja (Accelerate_Percent) (%) |
|---|---|---|---|---|---|---|---|---|---|---|
| 737800 | ICAO_B | 6 | 3 | Ubrzanje | Maksimum za uzlijetanje | T_05 | | 1 400 | 194,4 | |
| 737800 | ICAO_B | 6 | 4 | Ubrzanje | Maksimum za uzlijetanje | T_01 | | 1 575,4 | 222,7 | |
| 737800 | ICAO_B | 6 | 5 | Penjanje | Maksimum za uzlijetanje | T_00 | 1 785 | | | |
| 737800 | ICAO_B | 6 | 6 | Penjanje | Maksimum za penjanje | T_00 | 3 000 | | | |
| 737800 | ICAO_B | 6 | 7 | Ubrzanje | Maksimum za penjanje | T_00 | | 1 357,5 | 250 | |
| 737800 | ICAO_B | 6 | 8 | Penjanje | Maksimum za penjanje | T_00 | 5 500 | | | |
| 737800 | ICAO_B | 6 | 9 | Penjanje | Maksimum za penjanje | T_00 | 7 500 | | | |
| 737800 | ICAO_B | 6 | 10 | Penjanje | Maksimum za penjanje | T_00 | 10 000 | | | |
| 737D17 | DEFAULT | 1 | 1 | Uzlijetanje | Maksimum za uzlijetanje | 5 | | | | |
| 737D17 | DEFAULT | 1 | 2 | Penjanje | Maksimum za uzlijetanje | 5 | 1 000 | | | |
| 737D17 | DEFAULT | 1 | 3 | Ubrzanje | Maksimum za uzlijetanje | 5 | | 2 279 | 152 | |
| 737D17 | DEFAULT | 1 | 4 | Ubrzanje | Maksimum za uzlijetanje | INT | | 1 709 | 177 | |
| 737D17 | DEFAULT | 1 | 5 | Ubrzanje | Maksimum za penjanje | ZERO | | 1 000 | 210 | |
| 737D17 | DEFAULT | 1 | 6 | Penjanje | Maksimum za penjanje | ZERO | 3 000 | | | |
| 737D17 | DEFAULT | 1 | 7 | Ubrzanje | Maksimum za penjanje | ZERO | | 1 000 | 250 | |
| 737D17 | DEFAULT | 1 | 8 | Penjanje | Maksimum za penjanje | ZERO | 5 500 | | | |
| 737D17 | DEFAULT | 1 | 9 | Penjanje | Maksimum za penjanje | ZERO | 7 500 | | | |
| 737D17 | DEFAULT | 1 | 10 | Penjanje | Maksimum za penjanje | ZERO | 10 000 | | | |
| 737D17 | DEFAULT | 2 | 1 | Uzlijetanje | Maksimum za uzlijetanje | 5 | | | | |
| 737D17 | DEFAULT | 2 | 2 | Penjanje | Maksimum za uzlijetanje | 5 | 1 000 | | | |
| 737D17 | DEFAULT | 2 | 3 | Ubrzanje | Maksimum za uzlijetanje | 5 | | 2 155 | 156 | |
| 737D17 | DEFAULT | 2 | 4 | Ubrzanje | Maksimum za uzlijetanje | INT | | 1 616 | 181 | |
| 737D17 | DEFAULT | 2 | 5 | Ubrzanje | Maksimum za penjanje | ZERO | | 1 000 | 210 | |

▼M2

| ACFTID | Oznaka profila (Profile_ID) | Duljina faze | Broj koraka | Tip koraka | Režim rada motora | Zakrilca (Flap_ID) | Visina krajnje točke (ft) | Stopa penjanja (ft/min) | Kalibrirana brzina leta u krajnjoj točki (kt) | Postotak ubrzanja (Accele-rate_Per-cent) (%) |
|---|---|---|---|---|---|---|---|---|---|---|
| 737D17 | DEFAULT | 2 | 6 | Penjanje | Maksimum za penjanje | ZERO | 3 000 | | | |
| 737D17 | DEFAULT | 2 | 7 | Ubrzanje | Maksimum za penjanje | ZERO | | 1 000 | 250 | |
| 737D17 | DEFAULT | 2 | 8 | Penjanje | Maksimum za penjanje | ZERO | 5 500 | | | |
| 737D17 | DEFAULT | 2 | 9 | Penjanje | Maksimum za penjanje | ZERO | 7 500 | | | |
| 737D17 | DEFAULT | 2 | 10 | Penjanje | Maksimum za penjanje | ZERO | 10 000 | | | |
| 737D17 | DEFAULT | 3 | 1 | Uzlijetanje | Maksimum za uzlijetanje | 5 | | | | |
| 737D17 | DEFAULT | 3 | 2 | Penjanje | Maksimum za uzlijetanje | 5 | 1 000 | | | |
| 737D17 | DEFAULT | 3 | 3 | Ubrzanje | Maksimum za uzlijetanje | 5 | | 2 041 | 160 | |
| 737D17 | DEFAULT | 3 | 4 | Ubrzanje | Maksimum za uzlijetanje | INT | | 1 531 | 185 | |
| 737D17 | DEFAULT | 3 | 5 | Ubrzanje | Maksimum za penjanje | ZERO | | 1 000 | 210 | |
| 737D17 | DEFAULT | 3 | 6 | Penjanje | Maksimum za penjanje | ZERO | 3 000 | | | |
| 737D17 | DEFAULT | 3 | 7 | Ubrzanje | Maksimum za penjanje | ZERO | | 1 000 | 250 | |
| 737D17 | DEFAULT | 3 | 8 | Penjanje | Maksimum za penjanje | ZERO | 5 500 | | | |
| 737D17 | DEFAULT | 3 | 9 | Penjanje | Maksimum za penjanje | ZERO | 7 500 | | | |
| 737D17 | DEFAULT | 3 | 10 | Penjanje | Maksimum za penjanje | ZERO | 10 000 | | | |
| 737D17 | DEFAULT | 4 | 1 | Uzlijetanje | Maksimum za uzlijetanje | 5 | | | | |
| 737D17 | DEFAULT | 4 | 2 | Penjanje | Maksimum za uzlijetanje | 5 | 1 000 | | | |
| 737D17 | DEFAULT | 4 | 3 | Ubrzanje | Maksimum za uzlijetanje | 5 | | 1 935 | 163 | |
| 737D17 | DEFAULT | 4 | 4 | Ubrzanje | Maksimum za uzlijetanje | INT | | 1 452 | 188 | |
| 737D17 | DEFAULT | 4 | 5 | Ubrzanje | Maksimum za penjanje | ZERO | | 1 000 | 210 | |
| 737D17 | DEFAULT | 4 | 6 | Penjanje | Maksimum za penjanje | ZERO | 3 000 | | | |
| 737D17 | DEFAULT | 4 | 7 | Ubrzanje | Maksimum za penjanje | ZERO | | 1 000 | 250 | |
| 737D17 | DEFAULT | 4 | 8 | Penjanje | Maksimum za penjanje | ZERO | 5 500 | | | |
| 737D17 | DEFAULT | 4 | 9 | Penjanje | Maksimum za penjanje | ZERO | 7 500 | | | |

▼M2

| ACFTID | Oznaka profila (Profile_ID) | Duljina faze | Broj koraka | Tip koraka | Režim rada motora | Zakrilca (Flap_ID) | Visina krajnje točke (ft) | Stopa penjanja (ft/min) | Kalibrirana brzina leta u krajnjoj točki (kt) | Postotak ubrzanja (Accelerate_Percent) (%) |
|---|---|---|---|---|---|---|---|---|---|---|
| 737D17 | DEFAULT | 4 | 10 | Penjanje | Maksimum za penjanje | ZERO | 10 000 | | | |
| 737N17 | DEFAULT | 1 | 1 | Uzlijetanje | Maksimum za uzlijetanje | 5 | | | | |
| 737N17 | DEFAULT | 1 | 2 | Penjanje | Maksimum za uzlijetanje | 5 | 1 000 | | | |
| 737N17 | DEFAULT | 1 | 3 | Ubrzanje | Maksimum za uzlijetanje | 5 | | 2 279 | 152 | |
| 737N17 | DEFAULT | 1 | 4 | Ubrzanje | Maksimum za uzlijetanje | INT | | 1 709 | 177 | |
| 737N17 | DEFAULT | 1 | 5 | Ubrzanje | Maksimum za penjanje | ZERO | | 1 000 | 210 | |
| 737N17 | DEFAULT | 1 | 6 | Penjanje | Maksimum za penjanje | ZERO | 3 000 | | | |
| 737N17 | DEFAULT | 1 | 7 | Ubrzanje | Maksimum za penjanje | ZERO | | 1 000 | 250 | |
| 737N17 | DEFAULT | 1 | 8 | Penjanje | Maksimum za penjanje | ZERO | 5 500 | | | |
| 737N17 | DEFAULT | 1 | 9 | Penjanje | Maksimum za penjanje | ZERO | 7 500 | | | |
| 737N17 | DEFAULT | 1 | 10 | Penjanje | Maksimum za penjanje | ZERO | 10 000 | | | |
| 737N17 | DEFAULT | 2 | 1 | Uzlijetanje | Maksimum za uzlijetanje | 5 | | | | |
| 737N17 | DEFAULT | 2 | 2 | Penjanje | Maksimum za uzlijetanje | 5 | 1 000 | | | |
| 737N17 | DEFAULT | 2 | 3 | Ubrzanje | Maksimum za uzlijetanje | 5 | | 2 155 | 156 | |
| 737N17 | DEFAULT | 2 | 4 | Ubrzanje | Maksimum za uzlijetanje | INT | | 1 616 | 181 | |
| 737N17 | DEFAULT | 2 | 5 | Ubrzanje | Maksimum za penjanje | ZERO | | 1 000 | 210 | |
| 737N17 | DEFAULT | 2 | 6 | Penjanje | Maksimum za penjanje | ZERO | 3 000 | | | |
| 737N17 | DEFAULT | 2 | 7 | Ubrzanje | Maksimum za penjanje | ZERO | | 1 000 | 250 | |
| 737N17 | DEFAULT | 2 | 8 | Penjanje | Maksimum za penjanje | ZERO | 5 500 | | | |
| 737N17 | DEFAULT | 2 | 9 | Penjanje | Maksimum za penjanje | ZERO | 7 500 | | | |
| 737N17 | DEFAULT | 2 | 10 | Penjanje | Maksimum za penjanje | ZERO | 10 000 | | | |
| 737N17 | DEFAULT | 3 | 1 | Uzlijetanje | Maksimum za uzlijetanje | 5 | | | | |
| 737N17 | DEFAULT | 3 | 2 | Penjanje | Maksimum za uzlijetanje | 5 | 1 000 | | | |

▼M2

| ACFTID | Oznaka profila (Profile_ID) | Duljina faze | Broj koraka | Tip koraka | Režim rada motora | Zakrilca (Flap_ID) | Visina krajnje točke (ft) | Stopa penjanja (ft/min) | Kalibrirana brzina leta u krajnjoj točki (kt) | Postotak ubrzanja (Accelerate_Percent) (%) |
|---|---|---|---|---|---|---|---|---|---|---|
| 737N17 | DEFAULT | 3 | 3 | Ubrzanje | Maksimum za uzlijetanje | 5 | | 2 041 | 160 | |
| 737N17 | DEFAULT | 3 | 4 | Ubrzanje | Maksimum za uzlijetanje | INT | | 1 531 | 185 | |
| 737N17 | DEFAULT | 3 | 5 | Ubrzanje | Maksimum za penjanje | ZERO | | 1 000 | 210 | |
| 737N17 | DEFAULT | 3 | 6 | Penjanje | Maksimum za penjanje | ZERO | 3 000 | | | |
| 737N17 | DEFAULT | 3 | 7 | Ubrzanje | Maksimum za penjanje | ZERO | | 1 000 | 250 | |
| 737N17 | DEFAULT | 3 | 8 | Penjanje | Maksimum za penjanje | ZERO | 5 500 | | | |
| 737N17 | DEFAULT | 3 | 9 | Penjanje | Maksimum za penjanje | ZERO | 7 500 | | | |
| 737N17 | DEFAULT | 3 | 10 | Penjanje | Maksimum za penjanje | ZERO | 10 000 | | | |
| 737N17 | DEFAULT | 4 | 1 | Uzlijetanje | Maksimum za uzlijetanje | 5 | | | | |
| 737N17 | DEFAULT | 4 | 2 | Penjanje | Maksimum za uzlijetanje | 5 | 1 000 | | | |
| 737N17 | DEFAULT | 4 | 3 | Ubrzanje | Maksimum za uzlijetanje | 5 | | 1 935 | 163 | |
| 737N17 | DEFAULT | 4 | 4 | Ubrzanje | Maksimum za uzlijetanje | INT | | 1 452 | 188 | |
| 737N17 | DEFAULT | 4 | 5 | Ubrzanje | Maksimum za penjanje | ZERO | | 1 000 | 210 | |
| 737N17 | DEFAULT | 4 | 6 | Penjanje | Maksimum za penjanje | ZERO | 3 000 | | | |
| 737N17 | DEFAULT | 4 | 7 | Ubrzanje | Maksimum za penjanje | ZERO | | 1 000 | 250 | |
| 737N17 | DEFAULT | 4 | 8 | Penjanje | Maksimum za penjanje | ZERO | 5 500 | | | |
| 737N17 | DEFAULT | 4 | 9 | Penjanje | Maksimum za penjanje | ZERO | 7 500 | | | |
| 737N17 | DEFAULT | 4 | 10 | Penjanje | Maksimum za penjanje | ZERO | 10 000 | | | |
| 737N9 | DEFAULT | 1 | 1 | Uzlijetanje | Maksimum za uzlijetanje | 5 | | | | |
| 737N9 | DEFAULT | 1 | 2 | Penjanje | Maksimum za uzlijetanje | 5 | 1 000 | | | |
| 737N9 | DEFAULT | 1 | 3 | Ubrzanje | Maksimum za uzlijetanje | 5 | | 2 090 | 146 | |
| 737N9 | DEFAULT | 1 | 4 | Ubrzanje | Maksimum za uzlijetanje | INT | | 1 568 | 171 | |
| 737N9 | DEFAULT | 1 | 5 | Ubrzanje | Maksimum za penjanje | ZERO | | 1 000 | 210 | |

▼M2

| ACFTID | Oznaka profila (Profile_ID) | Duljina faze | Broj koraka | Tip koraka | Režim rada motora | Zakrilca (Flap_ID) | Visina krajnje točke (ft) | Stopa penjanja (ft/min) | Kalibrirana brzina leta u krajnjoj točki (kt) | Postotak ubrzanja (Accelerate_Percent) (%) |
|---|---|---|---|---|---|---|---|---|---|---|
| 737N9 | DEFAULT | 1 | 6 | Penjanje | Maksimum za penjanje | ZERO | 3 000 | | | |
| 737N9 | DEFAULT | 1 | 7 | Ubrzanje | Maksimum za penjanje | ZERO | | 1 000 | 250 | |
| 737N9 | DEFAULT | 1 | 8 | Penjanje | Maksimum za penjanje | ZERO | 5 500 | | | |
| 737N9 | DEFAULT | 1 | 9 | Penjanje | Maksimum za penjanje | ZERO | 7 500 | | | |
| 737N9 | DEFAULT | 1 | 10 | Penjanje | Maksimum za penjanje | ZERO | 10 000 | | | |
| 737N9 | DEFAULT | 2 | 1 | Uzlijetanje | Maksimum za uzlijetanje | 5 | | | | |
| 737N9 | DEFAULT | 2 | 2 | Penjanje | Maksimum za uzlijetanje | 5 | 1 000 | | | |
| 737N9 | DEFAULT | 2 | 3 | Ubrzanje | Maksimum za uzlijetanje | 5 | | 2 014 | 149 | |
| 737N9 | DEFAULT | 2 | 4 | Ubrzanje | Maksimum za uzlijetanje | INT | | 1 511 | 174 | |
| 737N9 | DEFAULT | 2 | 5 | Ubrzanje | Maksimum za penjanje | ZERO | | 1 000 | 210 | |
| 737N9 | DEFAULT | 2 | 6 | Penjanje | Maksimum za penjanje | ZERO | 3 000 | | | |
| 737N9 | DEFAULT | 2 | 7 | Ubrzanje | Maksimum za penjanje | ZERO | | 1 000 | 250 | |
| 737N9 | DEFAULT | 2 | 8 | Penjanje | Maksimum za penjanje | ZERO | 5 500 | | | |
| 737N9 | DEFAULT | 2 | 9 | Penjanje | Maksimum za penjanje | ZERO | 7 500 | | | |
| 737N9 | DEFAULT | 2 | 10 | Penjanje | Maksimum za penjanje | ZERO | 10 000 | | | |
| 737N9 | DEFAULT | 3 | 1 | Uzlijetanje | Maksimum za uzlijetanje | 5 | | | | |
| 737N9 | DEFAULT | 3 | 2 | Penjanje | Maksimum za uzlijetanje | 5 | 1 000 | | | |
| 737N9 | DEFAULT | 3 | 3 | Ubrzanje | Maksimum za uzlijetanje | 5 | | 1 851 | 154 | |
| 737N9 | DEFAULT | 3 | 4 | Ubrzanje | Maksimum za uzlijetanje | INT | | 1 388 | 179 | |
| 737N9 | DEFAULT | 3 | 5 | Ubrzanje | Maksimum za penjanje | ZERO | | 1 000 | 210 | |
| 737N9 | DEFAULT | 3 | 6 | Penjanje | Maksimum za penjanje | ZERO | 3 000 | | | |
| 737N9 | DEFAULT | 3 | 7 | Ubrzanje | Maksimum za penjanje | ZERO | | 1 000 | 250 | |
| 737N9 | DEFAULT | 3 | 8 | Penjanje | Maksimum za penjanje | ZERO | 5 500 | | | |
| 737N9 | DEFAULT | 3 | 9 | Penjanje | Maksimum za penjanje | ZERO | 7 500 | | | |

▼M2

| ACFTID | Oznaka profila (Profile_ID) | Duljina faze | Broj koraka | Tip koraka | Režim rada motora | Zakrilca (Flap_ID) | Visina krajnje točke (ft) | Stopa penjanja (ft/min) | Kalibrirana brzina leta u krajnjoj točki (kt) | Postotak ubrzanja (Accelerate_Percent) (%) |
|---|---|---|---|---|---|---|---|---|---|---|
| 737N9 | DEFAULT | 3 | 10 | Penjanje | Maksimum za penjanje | ZERO | 10 000 | | | |
| 737N9 | DEFAULT | 4 | 1 | Uzlijetanje | Maksimum za uzlijetanje | 5 | | | | |
| 737N9 | DEFAULT | 4 | 2 | Penjanje | Maksimum za uzlijetanje | 5 | 1 000 | | | |
| 737N9 | DEFAULT | 4 | 3 | Ubrzanje | Maksimum za uzlijetanje | 5 | | 1 685 | 160 | |
| 737N9 | DEFAULT | 4 | 4 | Ubrzanje | Maksimum za uzlijetanje | INT | | 1 264 | 185 | |
| 737N9 | DEFAULT | 4 | 5 | Ubrzanje | Maksimum za penjanje | ZERO | | 1 000 | 210 | |
| 737N9 | DEFAULT | 4 | 6 | Penjanje | Maksimum za penjanje | ZERO | 3 000 | | | |
| 737N9 | DEFAULT | 4 | 7 | Ubrzanje | Maksimum za penjanje | ZERO | | 1 000 | 250 | |
| 737N9 | DEFAULT | 4 | 8 | Penjanje | Maksimum za penjanje | ZERO | 5 500 | | | |
| 737N9 | DEFAULT | 4 | 9 | Penjanje | Maksimum za penjanje | ZERO | 7 500 | | | |
| 737N9 | DEFAULT | 4 | 10 | Penjanje | Maksimum za penjanje | ZERO | 10 000 | | | |
| 737QN | DEFAULT | 1 | 1 | Uzlijetanje | Maksimum za uzlijetanje | 5 | | | | |
| 737QN | DEFAULT | 1 | 2 | Penjanje | Maksimum za uzlijetanje | 5 | 1 000 | | | |
| 737QN | DEFAULT | 1 | 3 | Ubrzanje | Maksimum za uzlijetanje | 5 | | 2 090 | 146 | |
| 737QN | DEFAULT | 1 | 4 | Ubrzanje | Maksimum za uzlijetanje | INT | | 1 568 | 171 | |
| 737QN | DEFAULT | 1 | 5 | Ubrzanje | Maksimum za penjanje | ZERO | | 1 000 | 210 | |
| 737QN | DEFAULT | 1 | 6 | Penjanje | Maksimum za penjanje | ZERO | 3 000 | | | |
| 737QN | DEFAULT | 1 | 7 | Ubrzanje | Maksimum za penjanje | ZERO | | 1 000 | 250 | |
| 737QN | DEFAULT | 1 | 8 | Penjanje | Maksimum za penjanje | ZERO | 5 500 | | | |
| 737QN | DEFAULT | 1 | 9 | Penjanje | Maksimum za penjanje | ZERO | 7 500 | | | |
| 737QN | DEFAULT | 1 | 10 | Penjanje | Maksimum za penjanje | ZERO | 10 000 | | | |
| 737QN | DEFAULT | 2 | 1 | Uzlijetanje | Maksimum za uzlijetanje | 5 | | | | |
| 737QN | DEFAULT | 2 | 2 | Penjanje | Maksimum za uzlijetanje | 5 | 1 000 | | | |

▼M2

| ACFTID | Oznaka profila (Profile_ID) | Duljina faze | Broj koraka | Tip koraka | Režim rada motora | Zakrilca (Flap_ID) | Visina krajnje točke (ft) | Stopa penjanja (ft/min) | Kalibrirana brzina leta u krajnjoj točki (kt) | Postotak ubrzanja (Accelerate_Percent) (%) |
|---|---|---|---|---|---|---|---|---|---|---|
| 737QN | DEFAULT | 2 | 3 | Ubrzanje | Maksimum za uzlijetanje | 5 | | 2 014 | 149 | |
| 737QN | DEFAULT | 2 | 4 | Ubrzanje | Maksimum za uzlijetanje | INT | | 1 511 | 174 | |
| 737QN | DEFAULT | 2 | 5 | Ubrzanje | Maksimum za penjanje | ZERO | | 1 000 | 210 | |
| 737QN | DEFAULT | 2 | 6 | Penjanje | Maksimum za penjanje | ZERO | 3 000 | | | |
| 737QN | DEFAULT | 2 | 7 | Ubrzanje | Maksimum za penjanje | ZERO | | 1 000 | 250 | |
| 737QN | DEFAULT | 2 | 8 | Penjanje | Maksimum za penjanje | ZERO | 5 500 | | | |
| 737QN | DEFAULT | 2 | 9 | Penjanje | Maksimum za penjanje | ZERO | 7 500 | | | |
| 737QN | DEFAULT | 2 | 10 | Penjanje | Maksimum za penjanje | ZERO | 10 000 | | | |
| 737QN | DEFAULT | 3 | 1 | Uzlijetanje | Maksimum za uzlijetanje | 5 | | | | |
| 737QN | DEFAULT | 3 | 2 | Penjanje | Maksimum za uzlijetanje | 5 | 1 000 | | | |
| 737QN | DEFAULT | 3 | 3 | Ubrzanje | Maksimum za uzlijetanje | 5 | | 1 851 | 154 | |
| 737QN | DEFAULT | 3 | 4 | Ubrzanje | Maksimum za uzlijetanje | INT | | 1 388 | 179 | |
| 737QN | DEFAULT | 3 | 5 | Ubrzanje | Maksimum za penjanje | ZERO | | 1 000 | 210 | |
| 737QN | DEFAULT | 3 | 6 | Penjanje | Maksimum za penjanje | ZERO | 3 000 | | | |
| 737QN | DEFAULT | 3 | 7 | Ubrzanje | Maksimum za penjanje | ZERO | | 1 000 | 250 | |
| 737QN | DEFAULT | 3 | 8 | Penjanje | Maksimum za penjanje | ZERO | 5 500 | | | |
| 737QN | DEFAULT | 3 | 9 | Penjanje | Maksimum za penjanje | ZERO | 7 500 | | | |
| 737QN | DEFAULT | 3 | 10 | Penjanje | Maksimum za penjanje | ZERO | 10 000 | | | |
| 737QN | DEFAULT | 4 | 1 | Uzlijetanje | Maksimum za uzlijetanje | 5 | | | | |
| 737QN | DEFAULT | 4 | 2 | Penjanje | Maksimum za uzlijetanje | 5 | 1 000 | | | |
| 737QN | DEFAULT | 4 | 3 | Ubrzanje | Maksimum za uzlijetanje | 5 | | 1 685 | 160 | |
| 737QN | DEFAULT | 4 | 4 | Ubrzanje | Maksimum za uzlijetanje | INT | | 1 264 | 185 | |
| 737QN | DEFAULT | 4 | 5 | Ubrzanje | Maksimum za penjanje | ZERO | | 1 000 | 210 | |

▼M2

| ACFTID | Oznaka profila (Profile_ID) | Duljina faze | Broj koraka | Tip koraka | Režim rada motora | Zakrilca (Flap_ID) | Visina krajnje točke (ft) | Stopa penjanja (ft/min) | Kalibrirana brzina leta u krajnjoj točki (kt) | Postotak ubrzanja (Accelerate_Percent) (%) |
|---|---|---|---|---|---|---|---|---|---|---|
| 737QN | DEFAULT | 4 | 6 | Penjanje | Maksimum za penjanje | ZERO | 3 000 | | | |
| 737QN | DEFAULT | 4 | 7 | Ubrzanje | Maksimum za penjanje | ZERO | | 1 000 | 250 | |
| 737QN | DEFAULT | 4 | 8 | Penjanje | Maksimum za penjanje | ZERO | 5 500 | | | |
| 737QN | DEFAULT | 4 | 9 | Penjanje | Maksimum za penjanje | ZERO | 7 500 | | | |
| 737QN | DEFAULT | 4 | 10 | Penjanje | Maksimum za penjanje | ZERO | 10 000 | | | |
| 74710Q | DEFAULT | 1 | 1 | Uzlijetanje | Maksimum za uzlijetanje | 10 | | | | |
| 74710Q | DEFAULT | 1 | 2 | Penjanje | Maksimum za uzlijetanje | 10 | 1 000 | | | |
| 74710Q | DEFAULT | 1 | 3 | Ubrzanje | Maksimum za uzlijetanje | 10 | | 2 071 | 176 | |
| 74710Q | DEFAULT | 1 | 4 | Ubrzanje | Maksimum za penjanje | 5 | | 1 000 | 216 | |
| 74710Q | DEFAULT | 1 | 5 | Penjanje | Maksimum za penjanje | ZERO | 3 000 | | | |
| 74710Q | DEFAULT | 1 | 6 | Ubrzanje | Maksimum za penjanje | ZERO | | 1 000 | 250 | |
| 74710Q | DEFAULT | 1 | 7 | Penjanje | Maksimum za penjanje | ZERO | 5 500 | | | |
| 74710Q | DEFAULT | 1 | 8 | Penjanje | Maksimum za penjanje | ZERO | 7 500 | | | |
| 74710Q | DEFAULT | 1 | 9 | Penjanje | Maksimum za penjanje | ZERO | 10 000 | | | |
| 74710Q | DEFAULT | 2 | 1 | Uzlijetanje | Maksimum za uzlijetanje | 10 | | | | |
| 74710Q | DEFAULT | 2 | 2 | Penjanje | Maksimum za uzlijetanje | 10 | 1 000 | | | |
| 74710Q | DEFAULT | 2 | 3 | Ubrzanje | Maksimum za uzlijetanje | 10 | | 1 972 | 179 | |
| 74710Q | DEFAULT | 2 | 4 | Ubrzanje | Maksimum za penjanje | 5 | | 1 000 | 219 | |
| 74710Q | DEFAULT | 2 | 5 | Penjanje | Maksimum za penjanje | ZERO | 3 000 | | | |
| 74710Q | DEFAULT | 2 | 6 | Ubrzanje | Maksimum za penjanje | ZERO | | 1 000 | 250 | |
| 74710Q | DEFAULT | 2 | 7 | Penjanje | Maksimum za penjanje | ZERO | 5 500 | | | |
| 74710Q | DEFAULT | 2 | 8 | Penjanje | Maksimum za penjanje | ZERO | 7 500 | | | |
| 74710Q | DEFAULT | 2 | 9 | Penjanje | Maksimum za penjanje | ZERO | 10 000 | | | |
| 74710Q | DEFAULT | 3 | 1 | Uzlijetanje | Maksimum za uzlijetanje | 10 | | | | |

▼M2

| ACFTID | Oznaka profila (Profile_ID) | Duljina faze | Broj koraka | Tip koraka | Režim rada motora | Zakrilca (Flap_ID) | Visina krajnje točke (ft) | Stopa penjanja (ft/min) | Kalibrirana brzina leta u krajnjoj točki (kt) | Postotak ubrzanja (Accelerate_Percent) (%) |
|---|---|---|---|---|---|---|---|---|---|---|
| 74710Q | DEFAULT | 3 | 2 | Penjanje | Maksimum za uzlijetanje | 10 | 1 000 | | | |
| 74710Q | DEFAULT | 3 | 3 | Ubrzanje | Maksimum za uzlijetanje | 10 | | 1 856 | 183 | |
| 74710Q | DEFAULT | 3 | 4 | Ubrzanje | Maksimum za penjanje | 5 | | 1 000 | 223 | |
| 74710Q | DEFAULT | 3 | 5 | Penjanje | Maksimum za penjanje | ZERO | 3 000 | | | |
| 74710Q | DEFAULT | 3 | 6 | Ubrzanje | Maksimum za penjanje | ZERO | | 1 000 | 250 | |
| 74710Q | DEFAULT | 3 | 7 | Penjanje | Maksimum za penjanje | ZERO | 5 500 | | | |
| 74710Q | DEFAULT | 3 | 8 | Penjanje | Maksimum za penjanje | ZERO | 7 500 | | | |
| 74710Q | DEFAULT | 3 | 9 | Penjanje | Maksimum za penjanje | ZERO | 10 000 | | | |
| 74710Q | DEFAULT | 4 | 1 | Uzlijetanje | Maksimum za uzlijetanje | 10 | | | | |
| 74710Q | DEFAULT | 4 | 2 | Penjanje | Maksimum za uzlijetanje | 10 | 1 000 | | | |
| 74710Q | DEFAULT | 4 | 3 | Ubrzanje | Maksimum za uzlijetanje | 10 | | 1 727 | 187 | |
| 74710Q | DEFAULT | 4 | 4 | Ubrzanje | Maksimum za penjanje | 5 | | 1 000 | 227 | |
| 74710Q | DEFAULT | 4 | 5 | Penjanje | Maksimum za penjanje | ZERO | 3 000 | | | |
| 74710Q | DEFAULT | 4 | 6 | Ubrzanje | Maksimum za penjanje | ZERO | | 1 000 | 250 | |
| 74710Q | DEFAULT | 4 | 7 | Penjanje | Maksimum za penjanje | ZERO | 5 500 | | | |
| 74710Q | DEFAULT | 4 | 8 | Penjanje | Maksimum za penjanje | ZERO | 7 500 | | | |
| 74710Q | DEFAULT | 4 | 9 | Penjanje | Maksimum za penjanje | ZERO | 10 000 | | | |
| 74710Q | DEFAULT | 5 | 1 | Uzlijetanje | Maksimum za uzlijetanje | 10 | | | | |
| 74710Q | DEFAULT | 5 | 2 | Penjanje | Maksimum za uzlijetanje | 10 | 1 000 | | | |
| 74710Q | DEFAULT | 5 | 3 | Ubrzanje | Maksimum za uzlijetanje | 10 | | 1 445 | 198 | |
| 74710Q | DEFAULT | 5 | 4 | Ubrzanje | Maksimum za penjanje | 5 | | 750 | 238 | |
| 74710Q | DEFAULT | 5 | 5 | Penjanje | Maksimum za penjanje | ZERO | 3 000 | | | |

▼M2

| ACFTID | Oznaka profila (Profile_ID) | Duljina faze | Broj koraka | Tip koraka | Režim rada motora | Zakrilca (Flap_ID) | Visina krajnje točke (ft) | Stopa penjanja (ft/min) | Kalibrirana brzina leta u krajnjoj točki (kt) | Postotak ubrzanja (Accelerate_Percent) (%) |
|---|---|---|---|---|---|---|---|---|---|---|
| 74710Q | DEFAULT | 5 | 6 | Ubrzanje | Maksimum za penjanje | ZERO | | 750 | 258 | |
| 74710Q | DEFAULT | 5 | 7 | Penjanje | Maksimum za penjanje | ZERO | 5 500 | | | |
| 74710Q | DEFAULT | 5 | 8 | Penjanje | Maksimum za penjanje | ZERO | 7 500 | | | |
| 74710Q | DEFAULT | 5 | 9 | Penjanje | Maksimum za penjanje | ZERO | 10 000 | | | |
| 74710Q | DEFAULT | 6 | 1 | Uzlijetanje | Maksimum za uzlijetanje | 10 | | | | |
| 74710Q | DEFAULT | 6 | 2 | Penjanje | Maksimum za uzlijetanje | 10 | 1 000 | | | |
| 74710Q | DEFAULT | 6 | 3 | Ubrzanje | Maksimum za uzlijetanje | 10 | | 1 411 | 199 | |
| 74710Q | DEFAULT | 6 | 4 | Ubrzanje | Maksimum za penjanje | 5 | | 750 | 239 | |
| 74710Q | DEFAULT | 6 | 5 | Penjanje | Maksimum za penjanje | ZERO | 3 000 | | | |
| 74710Q | DEFAULT | 6 | 6 | Ubrzanje | Maksimum za penjanje | ZERO | | 750 | 259 | |
| 74710Q | DEFAULT | 6 | 7 | Penjanje | Maksimum za penjanje | ZERO | 5 500 | | | |
| 74710Q | DEFAULT | 6 | 8 | Penjanje | Maksimum za penjanje | ZERO | 7 500 | | | |
| 74710Q | DEFAULT | 6 | 9 | Penjanje | Maksimum za penjanje | ZERO | 10 000 | | | |
| 747200 | DEFAULT | 1 | 1 | Uzlijetanje | Maksimum za uzlijetanje | 10 | | | | |
| 747200 | DEFAULT | 1 | 2 | Penjanje | Maksimum za uzlijetanje | 10 | 1 000 | | | |
| 747200 | DEFAULT | 1 | 3 | Ubrzanje | Maksimum za uzlijetanje | 10 | | 1 842 | 183 | |
| 747200 | DEFAULT | 1 | 4 | Ubrzanje | Maksimum za penjanje | 5 | | 1 000 | 223 | |
| 747200 | DEFAULT | 1 | 5 | Penjanje | Maksimum za penjanje | ZERO | 3 000 | | | |
| 747200 | DEFAULT | 1 | 6 | Ubrzanje | Maksimum za penjanje | ZERO | | 1 000 | 250 | |
| 747200 | DEFAULT | 1 | 7 | Penjanje | Maksimum za penjanje | ZERO | 5 500 | | | |
| 747200 | DEFAULT | 1 | 8 | Penjanje | Maksimum za penjanje | ZERO | 7 500 | | | |
| 747200 | DEFAULT | 1 | 9 | Penjanje | Maksimum za penjanje | ZERO | 10 000 | | | |
| 747200 | DEFAULT | 2 | 1 | Uzlijetanje | Maksimum za uzlijetanje | 10 | | | | |

▼M2

| ACFTID | Oznaka profila (Profile_ID) | Duljina faze | Broj koraka | Tip koraka | Režim rada motora | Zakrilca (Flap_ID) | Visina krajnje točke (ft) | Stopa penjanja (ft/min) | Kalibrirana brzina leta u krajnjoj točki (kt) | Postotak ubrzanja (Accelerate_Percent) (%) |
|---|---|---|---|---|---|---|---|---|---|---|
| 747200 | DEFAULT | 2 | 2 | Penjanje | Maksimum za uzlijetanje | 10 | 1 000 | | | |
| 747200 | DEFAULT | 2 | 3 | Ubrzanje | Maksimum za uzlijetanje | 10 | | 1 757 | 186 | |
| 747200 | DEFAULT | 2 | 4 | Ubrzanje | Maksimum za penjanje | 5 | | 1 000 | 226 | |
| 747200 | DEFAULT | 2 | 5 | Penjanje | Maksimum za penjanje | ZERO | 3 000 | | | |
| 747200 | DEFAULT | 2 | 6 | Ubrzanje | Maksimum za penjanje | ZERO | | 1 000 | 250 | |
| 747200 | DEFAULT | 2 | 7 | Penjanje | Maksimum za penjanje | ZERO | 5 500 | | | |
| 747200 | DEFAULT | 2 | 8 | Penjanje | Maksimum za penjanje | ZERO | 7 500 | | | |
| 747200 | DEFAULT | 2 | 9 | Penjanje | Maksimum za penjanje | ZERO | 10 000 | | | |
| 747200 | DEFAULT | 3 | 1 | Uzlijetanje | Maksimum za uzlijetanje | 10 | | | | |
| 747200 | DEFAULT | 3 | 2 | Penjanje | Maksimum za uzlijetanje | 10 | 1 000 | | | |
| 747200 | DEFAULT | 3 | 3 | Ubrzanje | Maksimum za uzlijetanje | 10 | | 1 676 | 189 | |
| 747200 | DEFAULT | 3 | 4 | Ubrzanje | Maksimum za penjanje | 5 | | 1 000 | 229 | |
| 747200 | DEFAULT | 3 | 5 | Penjanje | Maksimum za penjanje | ZERO | 3 000 | | | |
| 747200 | DEFAULT | 3 | 6 | Ubrzanje | Maksimum za penjanje | ZERO | | 1 000 | 250 | |
| 747200 | DEFAULT | 3 | 7 | Penjanje | Maksimum za penjanje | ZERO | 5 500 | | | |
| 747200 | DEFAULT | 3 | 8 | Penjanje | Maksimum za penjanje | ZERO | 7 500 | | | |
| 747200 | DEFAULT | 3 | 9 | Penjanje | Maksimum za penjanje | ZERO | 10 000 | | | |
| 747200 | DEFAULT | 4 | 1 | Uzlijetanje | Maksimum za uzlijetanje | 10 | | | | |
| 747200 | DEFAULT | 4 | 2 | Penjanje | Maksimum za uzlijetanje | 10 | 1 000 | | | |
| 747200 | DEFAULT | 4 | 3 | Ubrzanje | Maksimum za uzlijetanje | 10 | | 1 508 | 195 | |
| 747200 | DEFAULT | 4 | 4 | Ubrzanje | Maksimum za penjanje | 5 | | 750 | 235 | |
| 747200 | DEFAULT | 4 | 5 | Penjanje | Maksimum za penjanje | ZERO | 3 000 | | | |
| 747200 | DEFAULT | 4 | 6 | Ubrzanje | Maksimum za penjanje | ZERO | | 750 | 255 | |

▼M2

| ACFTID | Oznaka profila (Profile_ID) | Duljina faze | Broj koraka | Tip koraka | Režim rada motora | Zakrilca (Flap_ID) | Visina krajnje točke (ft) | Stopa penjanja (ft/min) | Kalibrirana brzina leta u krajnjoj točki (kt) | Postotak ubrzanja (Accelerate_Percent) (%) |
|---|---|---|---|---|---|---|---|---|---|---|
| 747200 | DEFAULT | 4 | 7 | Penjanje | Maksimum za penjanje | ZERO | 5 500 | | | |
| 747200 | DEFAULT | 4 | 8 | Penjanje | Maksimum za penjanje | ZERO | 7 500 | | | |
| 747200 | DEFAULT | 4 | 9 | Penjanje | Maksimum za penjanje | ZERO | 10 000 | | | |
| 747200 | DEFAULT | 5 | 1 | Uzlijetanje | Maksimum za uzlijetanje | 10 | | | | |
| 747200 | DEFAULT | 5 | 2 | Penjanje | Maksimum za uzlijetanje | 10 | 1 000 | | | |
| 747200 | DEFAULT | 5 | 3 | Ubrzanje | Maksimum za uzlijetanje | 10 | | 1 325 | 203 | |
| 747200 | DEFAULT | 5 | 4 | Ubrzanje | Maksimum za penjanje | 5 | | 750 | 243 | |
| 747200 | DEFAULT | 5 | 5 | Penjanje | Maksimum za penjanje | ZERO | 3 000 | | | |
| 747200 | DEFAULT | 5 | 6 | Ubrzanje | Maksimum za penjanje | ZERO | | 750 | 263 | |
| 747200 | DEFAULT | 5 | 7 | Penjanje | Maksimum za penjanje | ZERO | 5 500 | | | |
| 747200 | DEFAULT | 5 | 8 | Penjanje | Maksimum za penjanje | ZERO | 7 500 | | | |
| 747200 | DEFAULT | 5 | 9 | Penjanje | Maksimum za penjanje | ZERO | 10 000 | | | |
| 747200 | DEFAULT | 6 | 1 | Uzlijetanje | Maksimum za uzlijetanje | 10 | | | | |
| 747200 | DEFAULT | 6 | 2 | Penjanje | Maksimum za uzlijetanje | 10 | 1 000 | | | |
| 747200 | DEFAULT | 6 | 3 | Ubrzanje | Maksimum za uzlijetanje | 10 | | 1 146 | 210 | |
| 747200 | DEFAULT | 6 | 4 | Ubrzanje | Maksimum za penjanje | 5 | | 500 | 250 | |
| 747200 | DEFAULT | 6 | 5 | Penjanje | Maksimum za penjanje | ZERO | 3 000 | | | |
| 747200 | DEFAULT | 6 | 6 | Ubrzanje | Maksimum za penjanje | ZERO | | 500 | 270 | |
| 747200 | DEFAULT | 6 | 7 | Penjanje | Maksimum za penjanje | ZERO | 5 500 | | | |
| 747200 | DEFAULT | 6 | 8 | Penjanje | Maksimum za penjanje | ZERO | 7 500 | | | |
| 747200 | DEFAULT | 6 | 9 | Penjanje | Maksimum za penjanje | ZERO | 10 000 | | | |
| 747200 | DEFAULT | 7 | 1 | Uzlijetanje | Maksimum za uzlijetanje | 10 | | | | |
| 747200 | DEFAULT | 7 | 2 | Penjanje | Maksimum za uzlijetanje | 10 | 1 000 | | | |

▼M2

| ACFTID | Oznaka profila (Profile_ID) | Duljina faze | Broj koraka | Tip koraka | Režim rada motora | Zakrilca (Flap_ID) | Visina krajnje točke (ft) | Stopa penjanja (ft/min) | Kalibrirana brzina leta u krajnjoj točki (kt) | Postotak ubrzanja (Accelerate_Percent) (%) |
|---|---|---|---|---|---|---|---|---|---|---|
| 747200 | DEFAULT | 7 | 3 | Ubrzanje | Maksimum za uzlijetanje | 10 | | 1 012 | 216 | |
| 747200 | DEFAULT | 7 | 4 | Ubrzanje | Maksimum za penjanje | 5 | | 500 | 256 | |
| 747200 | DEFAULT | 7 | 5 | Ubrzanje | Maksimum za penjanje | ZERO | | 500 | 276 | |
| 747200 | DEFAULT | 7 | 6 | Penjanje | Maksimum za penjanje | ZERO | 5 500 | | | |
| 747200 | DEFAULT | 7 | 7 | Penjanje | Maksimum za penjanje | ZERO | 7 500 | | | |
| 747200 | DEFAULT | 7 | 8 | Penjanje | Maksimum za penjanje | ZERO | 10 000 | | | |
| 74720A | DEFAULT | 1 | 1 | Uzlijetanje | Maksimum za uzlijetanje | 10 | | | | |
| 74720A | DEFAULT | 1 | 2 | Penjanje | Maksimum za uzlijetanje | 10 | 1 000 | | | |
| 74720A | DEFAULT | 1 | 3 | Ubrzanje | Maksimum za uzlijetanje | 10 | | 2 068 | 176 | |
| 74720A | DEFAULT | 1 | 4 | Ubrzanje | Maksimum za penjanje | 5 | | 1 000 | 239 | |
| 74720A | DEFAULT | 1 | 5 | Penjanje | Maksimum za penjanje | ZERO | 3 000 | | | |
| 74720A | DEFAULT | 1 | 6 | Ubrzanje | Maksimum za penjanje | ZERO | | 1 000 | 259 | |
| 74720A | DEFAULT | 1 | 7 | Penjanje | Maksimum za penjanje | ZERO | 5 500 | | | |
| 74720A | DEFAULT | 1 | 8 | Penjanje | Maksimum za penjanje | ZERO | 7 500 | | | |
| 74720A | DEFAULT | 1 | 9 | Penjanje | Maksimum za penjanje | ZERO | 10 000 | | | |
| 74720A | DEFAULT | 2 | 1 | Uzlijetanje | Maksimum za uzlijetanje | 10 | | | | |
| 74720A | DEFAULT | 2 | 2 | Penjanje | Maksimum za uzlijetanje | 10 | 1 000 | | | |
| 74720A | DEFAULT | 2 | 3 | Ubrzanje | Maksimum za uzlijetanje | 10 | | 1 950 | 179 | |
| 74720A | DEFAULT | 2 | 4 | Ubrzanje | Maksimum za penjanje | 5 | | 1 000 | 242 | |
| 74720A | DEFAULT | 2 | 5 | Penjanje | Maksimum za penjanje | ZERO | 3 000 | | | |
| 74720A | DEFAULT | 2 | 6 | Ubrzanje | Maksimum za penjanje | ZERO | | 1 000 | 262 | |
| 74720A | DEFAULT | 2 | 7 | Penjanje | Maksimum za penjanje | ZERO | 5 500 | | | |
| 74720A | DEFAULT | 2 | 8 | Penjanje | Maksimum za penjanje | ZERO | 7 500 | | | |

▼M2

| ACFTID | Oznaka profila (Profile_ID) | Duljina faze | Broj koraka | Tip koraka | Režim rada motora | Zakrilca (Flap_ID) | Visina krajnje točke (ft) | Stopa penjanja (ft/min) | Kalibrirana brzina leta u krajnjoj točki (kt) | Postotak ubrzanja (Accelerate_Percent) (%) |
|---|---|---|---|---|---|---|---|---|---|---|
| 74720A | DEFAULT | 2 | 9 | Penjanje | Maksimum za penjanje | ZERO | 10 000 | | | |
| 74720A | DEFAULT | 3 | 1 | Uzlijetanje | Maksimum za uzlijetanje | 10 | | | | |
| 74720A | DEFAULT | 3 | 2 | Penjanje | Maksimum za uzlijetanje | 10 | 1 000 | | | |
| 74720A | DEFAULT | 3 | 3 | Ubrzanje | Maksimum za uzlijetanje | 10 | | 1 862 | 182 | |
| 74720A | DEFAULT | 3 | 4 | Ubrzanje | Maksimum za penjanje | 5 | | 1 000 | 244 | |
| 74720A | DEFAULT | 3 | 5 | Penjanje | Maksimum za penjanje | ZERO | 3 000 | | | |
| 74720A | DEFAULT | 3 | 6 | Ubrzanje | Maksimum za penjanje | ZERO | | 1 000 | 264 | |
| 74720A | DEFAULT | 3 | 7 | Penjanje | Maksimum za penjanje | ZERO | 5 500 | | | |
| 74720A | DEFAULT | 3 | 8 | Penjanje | Maksimum za penjanje | ZERO | 7 500 | | | |
| 74720A | DEFAULT | 3 | 9 | Penjanje | Maksimum za penjanje | ZERO | 10 000 | | | |
| 74720A | DEFAULT | 4 | 1 | Uzlijetanje | Maksimum za uzlijetanje | 10 | | | | |
| 74720A | DEFAULT | 4 | 2 | Penjanje | Maksimum za uzlijetanje | 10 | 1 000 | | | |
| 74720A | DEFAULT | 4 | 3 | Ubrzanje | Maksimum za uzlijetanje | 10 | | 1 700 | 188 | |
| 74720A | DEFAULT | 4 | 4 | Ubrzanje | Maksimum za penjanje | 5 | | 750 | 248 | |
| 74720A | DEFAULT | 4 | 5 | Penjanje | Maksimum za penjanje | ZERO | 3 000 | | | |
| 74720A | DEFAULT | 4 | 6 | Ubrzanje | Maksimum za penjanje | ZERO | | 750 | 268 | |
| 74720A | DEFAULT | 4 | 7 | Penjanje | Maksimum za penjanje | ZERO | 5 500 | | | |
| 74720A | DEFAULT | 4 | 8 | Penjanje | Maksimum za penjanje | ZERO | 7 500 | | | |
| 74720A | DEFAULT | 4 | 9 | Penjanje | Maksimum za penjanje | ZERO | 10 000 | | | |
| 74720A | DEFAULT | 5 | 1 | Uzlijetanje | Maksimum za uzlijetanje | 10 | | | | |
| 74720A | DEFAULT | 5 | 2 | Penjanje | Maksimum za uzlijetanje | 10 | 1 000 | | | |
| 74720A | DEFAULT | 5 | 3 | Ubrzanje | Maksimum za uzlijetanje | 10 | | 1 520 | 195 | |
| 74720A | DEFAULT | 5 | 4 | Ubrzanje | Maksimum za penjanje | 5 | | 750 | 254 | |

▼M2

| ACFTID | Oznaka profila (Profile_ID) | Duljina faze | Broj koraka | Tip koraka | Režim rada motora | Zakrilca (Flap_ID) | Visina krajnje točke (ft) | Stopa penjanja (ft/min) | Kalibrirana brzina leta u krajnjoj točki (kt) | Postotak ubrzanja (Accelerate_Percent) (%) |
|---|---|---|---|---|---|---|---|---|---|---|
| 74720A | DEFAULT | 5 | 5 | Penjanje | Maksimum za penjanje | ZERO | 3 000 | | | |
| 74720A | DEFAULT | 5 | 6 | Ubrzanje | Maksimum za penjanje | ZERO | | 750 | 274 | |
| 74720A | DEFAULT | 5 | 7 | Penjanje | Maksimum za penjanje | ZERO | 5 500 | | | |
| 74720A | DEFAULT | 5 | 8 | Penjanje | Maksimum za penjanje | ZERO | 7 500 | | | |
| 74720A | DEFAULT | 5 | 9 | Penjanje | Maksimum za penjanje | ZERO | 10 000 | | | |
| 74720A | DEFAULT | 6 | 1 | Uzlijetanje | Maksimum za uzlijetanje | 10 | | | | |
| 74720A | DEFAULT | 6 | 2 | Penjanje | Maksimum za uzlijetanje | 10 | 1 000 | | | |
| 74720A | DEFAULT | 6 | 3 | Ubrzanje | Maksimum za uzlijetanje | 10 | | 1 313 | 204 | |
| 74720A | DEFAULT | 6 | 4 | Ubrzanje | Maksimum za penjanje | 5 | | 750 | 264 | |
| 74720A | DEFAULT | 6 | 5 | Ubrzanje | Maksimum za penjanje | ZERO | | 750 | 284 | |
| 74720A | DEFAULT | 6 | 6 | Penjanje | Maksimum za penjanje | ZERO | 5 500 | | | |
| 74720A | DEFAULT | 6 | 7 | Penjanje | Maksimum za penjanje | ZERO | 7 500 | | | |
| 74720A | DEFAULT | 6 | 8 | Penjanje | Maksimum za penjanje | ZERO | 10 000 | | | |
| 74720A | DEFAULT | 7 | 1 | Uzlijetanje | Maksimum za uzlijetanje | 10 | | | | |
| 74720A | DEFAULT | 7 | 2 | Penjanje | Maksimum za uzlijetanje | 10 | 1 000 | | | |
| 74720A | DEFAULT | 7 | 3 | Ubrzanje | Maksimum za uzlijetanje | 10 | | 1 172 | 210 | |
| 74720A | DEFAULT | 7 | 4 | Ubrzanje | Maksimum za penjanje | 5 | | 750 | 272 | |
| 74720A | DEFAULT | 7 | 5 | Ubrzanje | Maksimum za penjanje | ZERO | | 750 | 292 | |
| 74720A | DEFAULT | 7 | 6 | Penjanje | Maksimum za penjanje | ZERO | 5 500 | | | |
| 74720A | DEFAULT | 7 | 7 | Penjanje | Maksimum za penjanje | ZERO | 7 500 | | | |
| 74720A | DEFAULT | 7 | 8 | Penjanje | Maksimum za penjanje | ZERO | 10 000 | | | |
| 74720B | DEFAULT | 1 | 1 | Uzlijetanje | Maksimum za uzlijetanje | 10 | | | | |
| 74720B | DEFAULT | 1 | 2 | Penjanje | Maksimum za uzlijetanje | 10 | 1 000 | | | |

▼M2

| ACFTID | Oznaka profila (Profile_ID) | Duljina faze | Broj koraka | Tip koraka | Režim rada motora | Zakrilca (Flap_ID) | Visina krajnje točke (ft) | Stopa penjanja (ft/min) | Kalibrirana brzina leta u krajnjoj točki (kt) | Postotak ubrzanja (Accelerate_Percent) (%) |
|---|---|---|---|---|---|---|---|---|---|---|
| 74720B | DEFAULT | 1 | 3 | Ubrzanje | Maksimum za uzlijetanje | 10 | | 2 497 | 184 | |
| 74720B | DEFAULT | 1 | 4 | Ubrzanje | Maksimum za penjanje | 5 | | 1 000 | 244 | |
| 74720B | DEFAULT | 1 | 5 | Penjanje | Maksimum za penjanje | ZERO | 3 000 | | | |
| 74720B | DEFAULT | 1 | 6 | Ubrzanje | Maksimum za penjanje | ZERO | | 1 000 | 264 | |
| 74720B | DEFAULT | 1 | 7 | Penjanje | Maksimum za penjanje | ZERO | 5 500 | | | |
| 74720B | DEFAULT | 1 | 8 | Penjanje | Maksimum za penjanje | ZERO | 7 500 | | | |
| 74720B | DEFAULT | 1 | 9 | Penjanje | Maksimum za penjanje | ZERO | 10 000 | | | |
| 74720B | DEFAULT | 2 | 1 | Uzlijetanje | Maksimum za uzlijetanje | 10 | | | | |
| 74720B | DEFAULT | 2 | 2 | Penjanje | Maksimum za uzlijetanje | 10 | 1 000 | | | |
| 74720B | DEFAULT | 2 | 3 | Ubrzanje | Maksimum za uzlijetanje | 10 | | 2 397 | 187 | |
| 74720B | DEFAULT | 2 | 4 | Ubrzanje | Maksimum za penjanje | 5 | | 1 000 | 246 | |
| 74720B | DEFAULT | 2 | 5 | Penjanje | Maksimum za penjanje | ZERO | 3 000 | | | |
| 74720B | DEFAULT | 2 | 6 | Ubrzanje | Maksimum za penjanje | ZERO | | 1 000 | 266 | |
| 74720B | DEFAULT | 2 | 7 | Penjanje | Maksimum za penjanje | ZERO | 5 500 | | | |
| 74720B | DEFAULT | 2 | 8 | Penjanje | Maksimum za penjanje | ZERO | 7 500 | | | |
| 74720B | DEFAULT | 2 | 9 | Penjanje | Maksimum za penjanje | ZERO | 10 000 | | | |
| 74720B | DEFAULT | 3 | 1 | Uzlijetanje | Maksimum za uzlijetanje | 10 | | | | |
| 74720B | DEFAULT | 3 | 2 | Penjanje | Maksimum za uzlijetanje | 10 | 1 000 | | | |
| 74720B | DEFAULT | 3 | 3 | Ubrzanje | Maksimum za uzlijetanje | 10 | | 2 303 | 190 | |
| 74720B | DEFAULT | 3 | 4 | Ubrzanje | Maksimum za penjanje | 5 | | 750 | 249 | |
| 74720B | DEFAULT | 3 | 5 | Penjanje | Maksimum za penjanje | ZERO | 3 000 | | | |
| 74720B | DEFAULT | 3 | 6 | Ubrzanje | Maksimum za penjanje | ZERO | | 750 | 269 | |
| 74720B | DEFAULT | 3 | 7 | Penjanje | Maksimum za penjanje | ZERO | 5 500 | | | |

▼M2

| ACFTID | Oznaka profila (Profile_ID) | Duljina faze | Broj koraka | Tip koraka | Režim rada motora | Zakrilca (Flap_ID) | Visina krajnje točke (ft) | Stopa penjanja (ft/min) | Kalibrirana brzina leta u krajnjoj točki (kt) | Postotak ubrzanja (Accelerate_Percent) (%) |
|---|---|---|---|---|---|---|---|---|---|---|
| 74720B | DEFAULT | 3 | 8 | Penjanje | Maksimum za penjanje | ZERO | 7 500 | | | |
| 74720B | DEFAULT | 3 | 9 | Penjanje | Maksimum za penjanje | ZERO | 10 000 | | | |
| 74720B | DEFAULT | 4 | 1 | Uzlijetanje | Maksimum za uzlijetanje | 10 | | | | |
| 74720B | DEFAULT | 4 | 2 | Penjanje | Maksimum za uzlijetanje | 10 | 1 000 | | | |
| 74720B | DEFAULT | 4 | 3 | Ubrzanje | Maksimum za uzlijetanje | 10 | | 2 109 | 196 | |
| 74720B | DEFAULT | 4 | 4 | Ubrzanje | Maksimum za penjanje | 5 | | 750 | 254 | |
| 74720B | DEFAULT | 4 | 5 | Penjanje | Maksimum za penjanje | ZERO | 3 000 | | | |
| 74720B | DEFAULT | 4 | 6 | Ubrzanje | Maksimum za penjanje | ZERO | | 750 | 274 | |
| 74720B | DEFAULT | 4 | 7 | Penjanje | Maksimum za penjanje | ZERO | 5 500 | | | |
| 74720B | DEFAULT | 4 | 8 | Penjanje | Maksimum za penjanje | ZERO | 7 500 | | | |
| 74720B | DEFAULT | 4 | 9 | Penjanje | Maksimum za penjanje | ZERO | 10 000 | | | |
| 74720B | DEFAULT | 5 | 1 | Uzlijetanje | Maksimum za uzlijetanje | 10 | | | | |
| 74720B | DEFAULT | 5 | 2 | Penjanje | Maksimum za uzlijetanje | 10 | 1 000 | | | |
| 74720B | DEFAULT | 5 | 3 | Ubrzanje | Maksimum za uzlijetanje | 10 | | 1 900 | 204 | |
| 74720B | DEFAULT | 5 | 4 | Ubrzanje | Maksimum za penjanje | 5 | | 750 | 263 | |
| 74720B | DEFAULT | 5 | 5 | Penjanje | Maksimum za penjanje | ZERO | 3 000 | | | |
| 74720B | DEFAULT | 5 | 6 | Ubrzanje | Maksimum za penjanje | ZERO | | 750 | 283 | |
| 74720B | DEFAULT | 5 | 7 | Penjanje | Maksimum za penjanje | ZERO | 5 500 | | | |
| 74720B | DEFAULT | 5 | 8 | Penjanje | Maksimum za penjanje | ZERO | 7 500 | | | |
| 74720B | DEFAULT | 5 | 9 | Penjanje | Maksimum za penjanje | ZERO | 10 000 | | | |
| 74720B | DEFAULT | 6 | 1 | Uzlijetanje | Maksimum za uzlijetanje | 10 | | | | |
| 74720B | DEFAULT | 6 | 2 | Penjanje | Maksimum za uzlijetanje | 10 | 1 000 | | | |

▼M2

| ACFTID | Oznaka profila (Profile_ID) | Duljina faze | Broj koraka | Tip koraka | Režim rada motora | Zakrilca (Flap_ID) | Visina krajnje točke (ft) | Stopa penjanja (ft/min) | Kalibrirana brzina leta u krajnjoj točki (kt) | Postotak ubrzanja (Accelerate_Percent) (%) |
|---|---|---|---|---|---|---|---|---|---|---|
| 74720B | DEFAULT | 6 | 3 | Ubrzanje | Maksimum za uzlijetanje | 10 | | 1 699 | 211 | |
| 74720B | DEFAULT | 6 | 4 | Ubrzanje | Maksimum za penjanje | 5 | | 750 | 272 | |
| 74720B | DEFAULT | 6 | 5 | Penjanje | Maksimum za penjanje | ZERO | 3 000 | | | |
| 74720B | DEFAULT | 6 | 6 | Ubrzanje | Maksimum za penjanje | ZERO | | 750 | 292 | |
| 74720B | DEFAULT | 6 | 7 | Penjanje | Maksimum za penjanje | ZERO | 5 500 | | | |
| 74720B | DEFAULT | 6 | 8 | Penjanje | Maksimum za penjanje | ZERO | 7 500 | | | |
| 74720B | DEFAULT | 6 | 9 | Penjanje | Maksimum za penjanje | ZERO | 10 000 | | | |
| 74720B | DEFAULT | 7 | 1 | Uzlijetanje | Maksimum za uzlijetanje | 10 | | | | |
| 74720B | DEFAULT | 7 | 2 | Penjanje | Maksimum za uzlijetanje | 10 | 1 000 | | | |
| 74720B | DEFAULT | 7 | 3 | Ubrzanje | Maksimum za uzlijetanje | 10 | | 1 547 | 218 | |
| 74720B | DEFAULT | 7 | 4 | Ubrzanje | Maksimum za penjanje | 5 | | 750 | 279 | |
| 74720B | DEFAULT | 7 | 5 | Ubrzanje | Maksimum za penjanje | ZERO | | 750 | 299 | |
| 74720B | DEFAULT | 7 | 6 | Penjanje | Maksimum za penjanje | ZERO | 5 500 | | | |
| 74720B | DEFAULT | 7 | 7 | Penjanje | Maksimum za penjanje | ZERO | 7 500 | | | |
| 74720B | DEFAULT | 7 | 8 | Penjanje | Maksimum za penjanje | ZERO | 10 000 | | | |
| 747400 | DEFAULT | 1 | 1 | Uzlijetanje | Maksimum za uzlijetanje | 10 | | | | |
| 747400 | DEFAULT | 1 | 2 | Penjanje | Maksimum za uzlijetanje | T_10 | 1 000 | | | |
| 747400 | DEFAULT | 1 | 3 | Ubrzanje | Maksimum za penjanje | 10 | | 1 533,3 | 190,8 | |
| 747400 | DEFAULT | 1 | 4 | Ubrzanje | Maksimum za penjanje | T_05 | | 1 798,9 | 242 | |
| 747400 | DEFAULT | 1 | 5 | Penjanje | Maksimum za penjanje | 5 | 3 869 | | | |
| 747400 | DEFAULT | 1 | 6 | Ubrzanje | Maksimum za penjanje | ZERO | | 2 198,9 | 269 | |
| 747400 | DEFAULT | 1 | 7 | Penjanje | Maksimum za penjanje | T_00H | 5 500 | | | |
| 747400 | DEFAULT | 1 | 8 | Penjanje | Maksimum za penjanje | T_00H | 7 500 | | | |
| 747400 | DEFAULT | 1 | 9 | Penjanje | Maksimum za penjanje | T_00H | 10 000 | | | |
| 747400 | DEFAULT | 2 | 1 | Uzlijetanje | Maksimum za uzlijetanje | 10 | | | | |

▼M2

| ACFTID | Oznaka profila (Profile_ID) | Duljina faze | Broj koraka | Tip koraka | Režim rada motora | Zakrilca (Flap_ID) | Visina krajnje točke (ft) | Stopa penjanja (ft/min) | Kalibrirana brzina leta u krajnjoj točki (kt) | Postotak ubrzanja (Accelerate_Percent) (%) |
|---|---|---|---|---|---|---|---|---|---|---|
| 747400 | DEFAULT | 2 | 2 | Penjanje | Maksimum za uzlijetanje | T_10 | 1 000 | | | |
| 747400 | DEFAULT | 2 | 3 | Ubrzanje | Maksimum za penjanje | 10 | | 1 507,6 | 192,9 | |
| 747400 | DEFAULT | 2 | 4 | Ubrzanje | Maksimum za penjanje | T_05 | | 1 718,8 | 244,6 | |
| 747400 | DEFAULT | 2 | 5 | Penjanje | Maksimum za penjanje | T_01 | 3 756 | | | |
| 747400 | DEFAULT | 2 | 6 | Ubrzanje | Maksimum za penjanje | T_00H | | 2 111,9 | 269 | |
| 747400 | DEFAULT | 2 | 7 | Penjanje | Maksimum za penjanje | T_00H | 5 500 | | | |
| 747400 | DEFAULT | 2 | 8 | Penjanje | Maksimum za penjanje | T_00H | 7 500 | | | |
| 747400 | DEFAULT | 2 | 9 | Penjanje | Maksimum za penjanje | T_00H | 10 000 | | | |
| 747400 | DEFAULT | 3 | 1 | Uzlijetanje | Maksimum za uzlijetanje | 10 | | | | |
| 747400 | DEFAULT | 3 | 2 | Penjanje | Maksimum za uzlijetanje | T_10 | 1 000 | | | |
| 747400 | DEFAULT | 3 | 3 | Ubrzanje | Maksimum za penjanje | 10 | | 1 412,1 | 195,1 | |
| 747400 | DEFAULT | 3 | 4 | Ubrzanje | Maksimum za penjanje | T_05 | | 1 660,4 | 247,2 | |
| 747400 | DEFAULT | 3 | 5 | Penjanje | Maksimum za penjanje | T_01 | 3 637 | | | |
| 747400 | DEFAULT | 3 | 6 | Ubrzanje | Maksimum za penjanje | ZERO | | 2 033,6 | 269 | |
| 747400 | DEFAULT | 3 | 7 | Penjanje | Maksimum za penjanje | T_00H | 5 500 | | | |
| 747400 | DEFAULT | 3 | 8 | Penjanje | Maksimum za penjanje | T_00H | 7 500 | | | |
| 747400 | DEFAULT | 3 | 9 | Penjanje | Maksimum za penjanje | T_00H | 10 000 | | | |
| 747400 | DEFAULT | 4 | 1 | Uzlijetanje | Maksimum za uzlijetanje | 10 | | | | |
| 747400 | DEFAULT | 4 | 2 | Penjanje | Maksimum za uzlijetanje | T_10 | 1 000 | | | |
| 747400 | DEFAULT | 4 | 3 | Ubrzanje | Maksimum za penjanje | 10 | | 1 310,5 | 199,4 | |
| 747400 | DEFAULT | 4 | 4 | Ubrzanje | Maksimum za penjanje | T_05 | | 1 531,8 | 252,3 | |
| 747400 | DEFAULT | 4 | 5 | Penjanje | Maksimum za penjanje | T_01 | 3 435 | | | |
| 747400 | DEFAULT | 4 | 6 | Ubrzanje | Maksimum za penjanje | ZERO | | 1 882,8 | 269 | |
| 747400 | DEFAULT | 4 | 7 | Penjanje | Maksimum za penjanje | T_00H | 5 500 | | | |

▼M2

| ACFTID | Oznaka profila (Profile_ID) | Duljina faze | Broj koraka | Tip koraka | Režim rada motora | Zakrilca (Flap_ID) | Visina krajnje točke (ft) | Stopa penjanja (ft/min) | Kalibrirana brzina leta u krajnjoj točki (kt) | Postotak ubrzanja (Accelerate_Percent) (%) |
|---|---|---|---|---|---|---|---|---|---|---|
| 747400 | DEFAULT | 4 | 8 | Penjanje | Maksimum za penjanje | T_00H | 7 500 | | | |
| 747400 | DEFAULT | 4 | 9 | Penjanje | Maksimum za penjanje | T_00H | 10 000 | | | |
| 747400 | DEFAULT | 5 | 1 | Uzlijetanje | Maksimum za uzlijetanje | 10 | | | | |
| 747400 | DEFAULT | 5 | 2 | Penjanje | Maksimum za uzlijetanje | T_10 | 1 000 | | | |
| 747400 | DEFAULT | 5 | 3 | Ubrzanje | Maksimum za penjanje | 10 | | 1 182,2 | 204,8 | |
| 747400 | DEFAULT | 5 | 4 | Ubrzanje | Maksimum za penjanje | T_05 | | 1 402,6 | 258,4 | |
| 747400 | DEFAULT | 5 | 5 | Penjanje | Maksimum za penjanje | T_01 | 3 199 | | | |
| 747400 | DEFAULT | 5 | 6 | Ubrzanje | Maksimum za penjanje | ZERO | | 1 724,1 | 269 | |
| 747400 | DEFAULT | 5 | 7 | Penjanje | Maksimum za penjanje | T_00H | 5 500 | | | |
| 747400 | DEFAULT | 5 | 8 | Penjanje | Maksimum za penjanje | T_00H | 7 500 | | | |
| 747400 | DEFAULT | 5 | 9 | Penjanje | Maksimum za penjanje | ZERO | 10 000 | | | |
| 747400 | DEFAULT | 6 | 1 | Uzlijetanje | Maksimum za uzlijetanje | 10 | | | | |
| 747400 | DEFAULT | 6 | 2 | Penjanje | Maksimum za uzlijetanje | T_10 | 1 000 | | | |
| 747400 | DEFAULT | 6 | 3 | Ubrzanje | Maksimum za penjanje | 5 | | 1 088,1 | 210,4 | |
| 747400 | DEFAULT | 6 | 4 | Ubrzanje | Maksimum za penjanje | 5 | | 1 372 | 259,5 | |
| 747400 | DEFAULT | 6 | 5 | Ubrzanje | Maksimum za penjanje | T_01 | | 1 432,4 | 264,7 | |
| 747400 | DEFAULT | 6 | 6 | Penjanje | Maksimum za penjanje | T_01 | 3 004 | | | |
| 747400 | DEFAULT | 6 | 7 | Ubrzanje | Maksimum za penjanje | ZERO | | 1 560 | 269 | |
| 747400 | DEFAULT | 6 | 8 | Penjanje | Maksimum za penjanje | T_00H | 5 500 | | | |
| 747400 | DEFAULT | 6 | 9 | Penjanje | Maksimum za penjanje | T_00H | 7 500 | | | |
| 747400 | DEFAULT | 6 | 10 | Penjanje | Maksimum za penjanje | T_00H | 10 000 | | | |
| 747400 | DEFAULT | 7 | 1 | Uzlijetanje | Maksimum za uzlijetanje | 10 | | | | |
| 747400 | DEFAULT | 7 | 2 | Penjanje | Maksimum za uzlijetanje | T_10H | 1 000 | | | |

▼M2

| ACFTID | Oznaka profila (Profile_ID) | Duljina faze | Broj koraka | Tip koraka | Režim rada motora | Zakrilca (Flap_ID) | Visina krajnje točke (ft) | Stopa penjanja (ft/min) | Kalibrirana brzina leta u krajnjoj točki (kt) | Postotak ubrzanja (Accele-rate_Per-cent) (%) |
|---|---|---|---|---|---|---|---|---|---|---|
| 747400 | DEFAULT | 7 | 3 | Ubrzanje | Maksimum za penjanje | 10 | | 963,6 | 216,4 | |
| 747400 | DEFAULT | 7 | 4 | Ubrzanje | Maksimum za penjanje | 5 | | 1 114,2 | 259,6 | |
| 747400 | DEFAULT | 7 | 5 | Penjanje | Maksimum za penjanje | T_01 | 2 544 | | | |
| 747400 | DEFAULT | 7 | 6 | Ubrzanje | Maksimum za penjanje | T_05 | | 1 329,4 | 270 | |
| 747400 | DEFAULT | 7 | 7 | Penjanje | Maksimum za penjanje | T_00H | 5 500 | | | |
| 747400 | DEFAULT | 7 | 8 | Penjanje | Maksimum za penjanje | T_00H | 7 500 | | | |
| 747400 | DEFAULT | 7 | 9 | Penjanje | Maksimum za penjanje | T_00H | 10 000 | | | |
| 747400 | DEFAULT | 8 | 1 | Uzlijetanje | Maksimum za uzlijetanje | 10 | | | | |
| 747400 | DEFAULT | 8 | 2 | Penjanje | Maksimum za uzlijetanje | T_10H | 1 000 | | | |
| 747400 | DEFAULT | 8 | 3 | Ubrzanje | Maksimum za penjanje | 10 | | 855,6 | 222,8 | |
| 747400 | DEFAULT | 8 | 4 | Ubrzanje | Maksimum za penjanje | 5 | | 968,9 | 259,6 | |
| 747400 | DEFAULT | 8 | 5 | Penjanje | Maksimum za penjanje | T_01 | 2 561 | | | |
| 747400 | DEFAULT | 8 | 6 | Ubrzanje | Maksimum za penjanje | T_01 | | 1 173,1 | 270 | |
| 747400 | DEFAULT | 8 | 7 | Ubrzanje | Maksimum za penjanje | T_00H | | 1 260 | 278 | |
| 747400 | DEFAULT | 8 | 8 | Penjanje | Maksimum za penjanje | T_00H | 5 500 | | | |
| 747400 | DEFAULT | 8 | 9 | Penjanje | Maksimum za penjanje | T_00H | 7 500 | | | |
| 747400 | DEFAULT | 8 | 10 | Penjanje | Maksimum za penjanje | T_00H | 10 000 | | | |
| 747400 | DEFAULT | 9 | 1 | Uzlijetanje | Maksimum za uzlijetanje | 10 | | | | |
| 747400 | DEFAULT | 9 | 2 | Penjanje | Maksimum za uzlijetanje | T_10H | 1 000 | | | |
| 747400 | DEFAULT | 9 | 3 | Ubrzanje | Maksimum za penjanje | 10 | | 783,8 | 226,8 | |
| 747400 | DEFAULT | 9 | 4 | Ubrzanje | Maksimum za penjanje | 5 | | 884,5 | 259,6 | |
| 747400 | DEFAULT | 9 | 5 | Penjanje | Maksimum za penjanje | T_01 | 2 600 | | | |
| 747400 | DEFAULT | 9 | 6 | Ubrzanje | Maksimum za penjanje | T_01 | | 1 078,7 | 271,8 | |
| 747400 | DEFAULT | 9 | 7 | Ubrzanje | Maksimum za penjanje | T_00H | | 1 182,6 | 282,7 | |

▼M2

| ACFTID | Oznaka profila (Profile_ID) | Duljina faze | Broj koraka | Tip koraka | Režim rada motora | Zakrilca (Flap_ID) | Visina krajnje točke (ft) | Stopa penjanja (ft/min) | Kalibrirana brzina leta u krajnjoj točki (kt) | Postotak ubrzanja (Accelerate_Percent) (%) |
|---|---|---|---|---|---|---|---|---|---|---|
| 747400 | DEFAULT | 9 | 8 | Penjanje | Maksimum za penjanje | T_00H | 5 500 | | | |
| 747400 | DEFAULT | 9 | 9 | Penjanje | Maksimum za penjanje | T_00H | 7 500 | | | |
| 747400 | DEFAULT | 9 | 10 | Penjanje | Maksimum za penjanje | T_00H | 10 000 | | | |
| 747400 | ICAO_A | 1 | 1 | Uzlijetanje | Maksimum za uzlijetanje | 10 | | | | |
| 747400 | ICAO_A | 1 | 2 | Penjanje | Maksimum za uzlijetanje | T_10 | 1 500 | | | |
| 747400 | ICAO_A | 1 | 3 | Penjanje | Maksimum za penjanje | 10 | 3 000 | | | |
| 747400 | ICAO_A | 1 | 4 | Ubrzanje | Maksimum za penjanje | 10 | | 1 472,8 | 190 | |
| 747400 | ICAO_A | 1 | 5 | Ubrzanje | Maksimum za penjanje | 5 | | 1 753,3 | 241,7 | |
| 747400 | ICAO_A | 1 | 6 | Penjanje | Maksimum za penjanje | T_01 | 5 796 | | | |
| 747400 | ICAO_A | 1 | 7 | Ubrzanje | Maksimum za penjanje | ZERO | | 2 158,4 | 268,4 | |
| 747400 | ICAO_A | 1 | 8 | Penjanje | Maksimum za penjanje | ZERO | 7 500 | | | |
| 747400 | ICAO_A | 1 | 9 | Penjanje | Maksimum za penjanje | ZERO | 10 000 | | | |
| 747400 | ICAO_A | 2 | 1 | Uzlijetanje | Maksimum za uzlijetanje | 10 | | | | |
| 747400 | ICAO_A | 2 | 2 | Penjanje | Maksimum za uzlijetanje | T_10 | 1 500 | | | |
| 747400 | ICAO_A | 2 | 3 | Penjanje | Maksimum za penjanje | 10 | 3 000 | | | |
| 747400 | ICAO_A | 2 | 4 | Ubrzanje | Maksimum za penjanje | 10 | | 1 412,8 | 192,2 | |
| 747400 | ICAO_A | 2 | 5 | Ubrzanje | Maksimum za penjanje | 5 | | 1 689,5 | 244,3 | |
| 747400 | ICAO_A | 2 | 6 | Penjanje | Maksimum za penjanje | T_01 | 5 685 | | | |
| 747400 | ICAO_A | 2 | 7 | Ubrzanje | Maksimum za penjanje | ZERO | | 2 078,8 | 268,4 | |
| 747400 | ICAO_A | 2 | 8 | Penjanje | Maksimum za penjanje | ZERO | 7 500 | | | |
| 747400 | ICAO_A | 2 | 9 | Penjanje | Maksimum za penjanje | ZERO | 10 000 | | | |
| 747400 | ICAO_A | 3 | 1 | Uzlijetanje | Maksimum za uzlijetanje | 10 | | | | |
| 747400 | ICAO_A | 3 | 2 | Penjanje | Maksimum za uzlijetanje | T_10 | 1 500 | | | |

▼M2

| ACFTID | Oznaka profila (Profile_ID) | Duljina faze | Broj koraka | Tip koraka | Režim rada motora | Zakrilca (Flap_ID) | Visina krajnje točke (ft) | Stopa penjanja (ft/min) | Kalibrirana brzina leta u krajnjoj točki (kt) | Postotak ubrzanja (Accelerate_Percent) (%) |
|---|---|---|---|---|---|---|---|---|---|---|
| 747400 | ICAO_A | 3 | 3 | Penjanje | Maksimum za penjanje | 10 | 3 000 | | | |
| 747400 | ICAO_A | 3 | 4 | Ubrzanje | Maksimum za penjanje | 10 | | 1 353,5 | 194,4 | |
| 747400 | ICAO_A | 3 | 5 | Ubrzanje | Maksimum za penjanje | 5 | | 1 618,4 | 246,8 | |
| 747400 | ICAO_A | 3 | 6 | Penjanje | Maksimum za penjanje | T_01 | 5 579 | | | |
| 747400 | ICAO_A | 3 | 7 | Ubrzanje | Maksimum za penjanje | ZERO | | 1 995 | 268,4 | |
| 747400 | ICAO_A | 3 | 8 | Penjanje | Maksimum za penjanje | ZERO | 7 500 | | | |
| 747400 | ICAO_A | 3 | 9 | Penjanje | Maksimum za penjanje | ZERO | 10 000 | | | |
| 747400 | ICAO_A | 4 | 1 | Uzlijetanje | Maksimum za uzlijetanje | 10 | | | | |
| 747400 | ICAO_A | 4 | 2 | Penjanje | Maksimum za uzlijetanje | T_10 | 1 500 | | | |
| 747400 | ICAO_A | 4 | 3 | Penjanje | Maksimum za penjanje | 10 | 3 000 | | | |
| 747400 | ICAO_A | 4 | 4 | Ubrzanje | Maksimum za penjanje | 10 | | 1 249,3 | 198,7 | |
| 747400 | ICAO_A | 4 | 5 | Ubrzanje | Maksimum za penjanje | 5 | | 1 500,4 | 251,9 | |
| 747400 | ICAO_A | 4 | 6 | Penjanje | Maksimum za penjanje | T_01 | 5 372 | | | |
| 747400 | ICAO_A | 4 | 7 | Ubrzanje | Maksimum za penjanje | ZERO | | 1 847,9 | 268,4 | |
| 747400 | ICAO_A | 4 | 8 | Penjanje | Maksimum za penjanje | ZERO | 7 500 | | | |
| 747400 | ICAO_A | 4 | 9 | Penjanje | Maksimum za penjanje | ZERO | 10 000 | | | |
| 747400 | ICAO_A | 5 | 1 | Uzlijetanje | Maksimum za uzlijetanje | 10 | | | | |
| 747400 | ICAO_A | 5 | 2 | Penjanje | Maksimum za uzlijetanje | T_10 | 1 500 | | | |
| 747400 | ICAO_A | 5 | 3 | Penjanje | Maksimum za penjanje | 10 | 3 000 | | | |
| 747400 | ICAO_A | 5 | 4 | Ubrzanje | Maksimum za penjanje | 10 | | 1 131,2 | 204,1 | |
| 747400 | ICAO_A | 5 | 5 | Ubrzanje | Maksimum za penjanje | 5 | | 1 367,5 | 257,8 | |
| 747400 | ICAO_A | 5 | 6 | Penjanje | Maksimum za penjanje | T_01 | 5 145 | | | |
| 747400 | ICAO_A | 5 | 7 | Ubrzanje | Maksimum za penjanje | ZERO | | 1 686,7 | 268,4 | |

▼M2

| ACFTID | Oznaka profila (Profile_ID) | Duljina faze | Broj koraka | Tip koraka | Režim rada motora | Zakrilca (Flap_ID) | Visina krajnje točke (ft) | Stopa penjanja (ft/min) | Kalibrirana brzina leta u krajnjoj točki (kt) | Postotak ubrzanja (Accelerate_Percent) (%) |
|---|---|---|---|---|---|---|---|---|---|---|
| 747400 | ICAO_A | 5 | 8 | Penjanje | Maksimum za penjanje | ZERO | 7 500 | | | |
| 747400 | ICAO_A | 5 | 9 | Penjanje | Maksimum za penjanje | ZERO | 10 000 | | | |
| 747400 | ICAO_A | 6 | 1 | Uzlijetanje | Maksimum za uzlijetanje | 10 | | | | |
| 747400 | ICAO_A | 6 | 2 | Penjanje | Maksimum za uzlijetanje | T_10H | 1 500 | | | |
| 747400 | ICAO_A | 6 | 3 | Penjanje | Maksimum za penjanje | 10 | 3 000 | | | |
| 747400 | ICAO_A | 6 | 4 | Ubrzanje | Maksimum za penjanje | 10 | | 1 017,7 | 209,8 | |
| 747400 | ICAO_A | 6 | 5 | Ubrzanje | Maksimum za penjanje | 5 | | 1 223,8 | 259,1 | |
| 747400 | ICAO_A | 6 | 6 | Penjanje | Maksimum za penjanje | T_01 | 4 508 | | | |
| 747400 | ICAO_A | 6 | 7 | Ubrzanje | Maksimum za penjanje | T_01 | | 1 416 | 264,3 | |
| 747400 | ICAO_A | 6 | 8 | Penjanje | Maksimum za penjanje | ZERO | 4 921 | | | |
| 747400 | ICAO_A | 6 | 9 | Ubrzanje | Maksimum za penjanje | ZERO | | 1 531 | 269 | |
| 747400 | ICAO_A | 6 | 10 | Penjanje | Maksimum za penjanje | ZERO | 5 500 | | | |
| 747400 | ICAO_A | 6 | 11 | Penjanje | Maksimum za penjanje | ZERO | 7 500 | | | |
| 747400 | ICAO_A | 6 | 12 | Penjanje | Maksimum za penjanje | ZERO | 10 000 | | | |
| 747400 | ICAO_A | 7 | 1 | Uzlijetanje | Maksimum za uzlijetanje | 10 | | | | |
| 747400 | ICAO_A | 7 | 2 | Penjanje | Maksimum za uzlijetanje | T_10H | 1 500 | | | |
| 747400 | ICAO_A | 7 | 3 | Penjanje | Maksimum za penjanje | 10 | 3 000 | | | |
| 747400 | ICAO_A | 7 | 4 | Ubrzanje | Maksimum za penjanje | 10 | | 908,3 | 215,8 | |
| 747400 | ICAO_A | 7 | 5 | Ubrzanje | Maksimum za penjanje | 5 | | 1 082,4 | 259,1 | |
| 747400 | ICAO_A | 7 | 6 | Penjanje | Maksimum za penjanje | T_01 | 4 509 | | | |
| 747400 | ICAO_A | 7 | 7 | Ubrzanje | Maksimum za penjanje | T_01 | | 1 308,4 | 269,1 | |
| 747400 | ICAO_A | 7 | 8 | Ubrzanje | Maksimum za penjanje | ZERO | | 1 365,5 | 271 | |
| 747400 | ICAO_A | 7 | 9 | Penjanje | Maksimum za penjanje | ZERO | 5 500 | | | |
| 747400 | ICAO_A | 7 | 10 | Penjanje | Maksimum za penjanje | ZERO | 7 500 | | | |

▼M2

| ACFTID | Oznaka profila (Profile_ID) | Duljina faze | Broj koraka | Tip koraka | Režim rada motora | Zakrilca (Flap_ID) | Visina krajnje točke (ft) | Stopa penjanja (ft/min) | Kalibrirana brzina leta u krajnjoj točki (kt) | Postotak ubrzanja (Accele-rate_Per-cent) (%) |
|---|---|---|---|---|---|---|---|---|---|---|
| 747400 | ICAO_A | 7 | 11 | Penjanje | Maksimum za penjanje | T_00H | 10 000 | | | |
| 747400 | ICAO_A | 8 | 1 | Uzlijetanje | Maksimum za uzlijetanje | 10 | | | | |
| 747400 | ICAO_A | 8 | 2 | Penjanje | Maksimum za uzlijetanje | T_10H | 1 500 | | | |
| 747400 | ICAO_A | 8 | 3 | Penjanje | Maksimum za penjanje | 10 | 3 000 | | | |
| 747400 | ICAO_A | 8 | 4 | Ubrzanje | Maksimum za penjanje | 10 | | 801,1 | 222,2 | |
| 747400 | ICAO_A | 8 | 5 | Ubrzanje | Maksimum za penjanje | 5 | | 942,7 | 259,1 | |
| 747400 | ICAO_A | 8 | 6 | Penjanje | Maksimum za penjanje | T_01 | 4 540 | | | |
| 747400 | ICAO_A | 8 | 7 | Ubrzanje | Maksimum za penjanje | T_01 | | 1 146,3 | 267,9 | |
| 747400 | ICAO_A | 8 | 8 | Ubrzanje | Maksimum za penjanje | ZERO | | 1 230 | 277,7 | |
| 747400 | ICAO_A | 8 | 9 | Penjanje | Maksimum za penjanje | ZERO | 5 500 | | | |
| 747400 | ICAO_A | 8 | 10 | Penjanje | Maksimum za penjanje | T_00H | 7 500 | | | |
| 747400 | ICAO_A | 8 | 11 | Penjanje | Maksimum za penjanje | T_00H | 10 000 | | | |
| 747400 | ICAO_A | 9 | 1 | Uzlijetanje | Maksimum za uzlijetanje | 10 | | | | |
| 747400 | ICAO_A | 9 | 2 | Penjanje | Maksimum za uzlijetanje | T_10H | 1 500 | | | |
| 747400 | ICAO_A | 9 | 3 | Penjanje | Maksimum za penjanje | 10 | 3 000 | | | |
| 747400 | ICAO_A | 9 | 4 | Ubrzanje | Maksimum za penjanje | 10 | | 734,4 | 226,3 | |
| 747400 | ICAO_A | 9 | 5 | Ubrzanje | Maksimum za penjanje | 5 | | 858,9 | 259,1 | |
| 747400 | ICAO_A | 9 | 6 | Penjanje | Maksimum za penjanje | T_01 | 4 590 | | | |
| 747400 | ICAO_A | 9 | 7 | Ubrzanje | Maksimum za penjanje | T_01 | | 1 051,2 | 270,6 | |
| 747400 | ICAO_A | 9 | 8 | Ubrzanje | Maksimum za penjanje | T_00H | | 1 143 | 282,2 | |
| 747400 | ICAO_A | 9 | 9 | Penjanje | Maksimum za penjanje | T_00H | 5 500 | | | |
| 747400 | ICAO_A | 9 | 10 | Penjanje | Maksimum za penjanje | T_00H | 7 500 | | | |
| 747400 | ICAO_A | 9 | 11 | Penjanje | Maksimum za penjanje | T_00H | 10 000 | | | |
| 747400 | ICAO_B | 1 | 1 | Uzlijetanje | Maksimum za uzlijetanje | 10 | | | | |

▼M2

| ACFTID | Oznaka profila (Profile_ID) | Duljina faze | Broj koraka | Tip koraka | Režim rada motora | Zakrilca (Flap_ID) | Visina krajnje točke (ft) | Stopa penjanja (ft/min) | Kalibrirana brzina leta u krajnjoj točki (kt) | Postotak ubrzanja (Accele-rate_Per-cent) (%) |
|---|---|---|---|---|---|---|---|---|---|---|
| 747400 | ICAO_B | 1 | 2 | Penjanje | Maksimum za uzlijetanje | T_10 | 1 000 | | | |
| 747400 | ICAO_B | 1 | 3 | Ubrzanje | Maksimum za uzlijetanje | 10 | | 1 890,2 | 182,3 | |
| 747400 | ICAO_B | 1 | 4 | Penjanje | Maksimum za uzlijetanje | 10 | 1 646 | | | |
| 747400 | ICAO_B | 1 | 5 | Ubrzanje | Maksimum za penjanje | T_05 | | 1 788,2 | 242 | |
| 747400 | ICAO_B | 1 | 6 | Penjanje | Maksimum za penjanje | T_05 | 4 194 | | | |
| 747400 | ICAO_B | 1 | 7 | Ubrzanje | Maksimum za penjanje | ZERO | | 2 170,6 | 259 | |
| 747400 | ICAO_B | 1 | 8 | Penjanje | Maksimum za penjanje | ZERO | 5 500 | | | |
| 747400 | ICAO_B | 1 | 9 | Penjanje | Maksimum za penjanje | ZERO | 7 500 | | | |
| 747400 | ICAO_B | 1 | 10 | Penjanje | Maksimum za penjanje | ZERO | 10 000 | | | |
| 747400 | ICAO_B | 2 | 1 | Uzlijetanje | Maksimum za uzlijetanje | 10 | | | | |
| 747400 | ICAO_B | 2 | 2 | Penjanje | Maksimum za uzlijetanje | T_10 | 1 000 | | | |
| 747400 | ICAO_B | 2 | 3 | Ubrzanje | Maksimum za uzlijetanje | 10 | | 1 836,7 | 184,9 | |
| 747400 | ICAO_B | 2 | 4 | Penjanje | Maksimum za uzlijetanje | 10 | 1 640 | | | |
| 747400 | ICAO_B | 2 | 5 | Ubrzanje | Maksimum za penjanje | T_05 | | 1 727,1 | 244,6 | |
| 747400 | ICAO_B | 2 | 6 | Penjanje | Maksimum za penjanje | T_05 | 4 067 | | | |
| 747400 | ICAO_B | 2 | 7 | Ubrzanje | Maksimum za penjanje | ZERO | | 2 088,1 | 259,2 | |
| 747400 | ICAO_B | 2 | 8 | Penjanje | Maksimum za penjanje | ZERO | 5 500 | | | |
| 747400 | ICAO_B | 2 | 9 | Penjanje | Maksimum za penjanje | ZERO | 7 500 | | | |
| 747400 | ICAO_B | 2 | 10 | Penjanje | Maksimum za penjanje | ZERO | 10 000 | | | |
| 747400 | ICAO_B | 3 | 1 | Uzlijetanje | Maksimum za uzlijetanje | 10 | | | | |
| 747400 | ICAO_B | 3 | 2 | Penjanje | Maksimum za uzlijetanje | T_10 | 1 000 | | | |
| 747400 | ICAO_B | 3 | 3 | Ubrzanje | Maksimum za uzlijetanje | 10 | | 1 777,6 | 187,5 | |

▼M2

| ACFTID | Oznaka profila (Profile_ID) | Duljina faze | Broj koraka | Tip koraka | Režim rada motora | Zakrilca (Flap_ID) | Visina krajnje točke (ft) | Stopa penjanja (ft/min) | Kalibrirana brzina leta u krajnjoj točki (kt) | Postotak ubrzanja (Accelerate_Percent) (%) |
|---|---|---|---|---|---|---|---|---|---|---|
| 747400 | ICAO_B | 3 | 4 | Penjanje | Maksimum za uzlijetanje | 10 | 1 637 | | | |
| 747400 | ICAO_B | 3 | 5 | Ubrzanje | Maksimum za penjanje | T_05 | | 1 653,3 | 247,2 | |
| 747400 | ICAO_B | 3 | 6 | Penjanje | Maksimum za penjanje | T_05C | 3 942 | | | |
| 747400 | ICAO_B | 3 | 7 | Ubrzanje | Maksimum za penjanje | ZERO | | 2 009,7 | 259,2 | |
| 747400 | ICAO_B | 3 | 8 | Penjanje | Maksimum za penjanje | ZERO | 5 500 | | | |
| 747400 | ICAO_B | 3 | 9 | Penjanje | Maksimum za penjanje | ZERO | 7 500 | | | |
| 747400 | ICAO_B | 3 | 10 | Penjanje | Maksimum za penjanje | ZERO | 10 000 | | | |
| 747400 | ICAO_B | 4 | 1 | Uzlijetanje | Maksimum za uzlijetanje | 10 | | | | |
| 747400 | ICAO_B | 4 | 2 | Penjanje | Maksimum za uzlijetanje | T_10 | 1 000 | | | |
| 747400 | ICAO_B | 4 | 3 | Ubrzanje | Maksimum za uzlijetanje | 10 | | 1 653,5 | 192,6 | |
| 747400 | ICAO_B | 4 | 4 | Penjanje | Maksimum za uzlijetanje | 10 | 1 633 | | | |
| 747400 | ICAO_B | 4 | 5 | Ubrzanje | Maksimum za penjanje | T_05 | | 1 535,2 | 252,2 | |
| 747400 | ICAO_B | 4 | 6 | Penjanje | Maksimum za penjanje | T_05C | 3 718 | | | |
| 747400 | ICAO_B | 4 | 7 | Ubrzanje | Maksimum za penjanje | ZERO | | 1 858,5 | 259,2 | |
| 747400 | ICAO_B | 4 | 8 | Penjanje | Maksimum za penjanje | ZERO | 5 500 | | | |
| 747400 | ICAO_B | 4 | 9 | Penjanje | Maksimum za penjanje | ZERO | 7 500 | | | |
| 747400 | ICAO_B | 4 | 10 | Penjanje | Maksimum za penjanje | ZERO | 10 000 | | | |
| 747400 | ICAO_B | 5 | 1 | Uzlijetanje | Maksimum za uzlijetanje | 10 | | | | |
| 747400 | ICAO_B | 5 | 2 | Penjanje | Maksimum za uzlijetanje | T_10 | 1 000 | | | |
| 747400 | ICAO_B | 5 | 3 | Ubrzanje | Maksimum za uzlijetanje | 10 | | 1 518,3 | 198,7 | |
| 747400 | ICAO_B | 5 | 4 | Penjanje | Maksimum za uzlijetanje | 10 | 1 619 | | | |
| 747400 | ICAO_B | 5 | 5 | Ubrzanje | Maksimum za penjanje | T_05 | | 1 397,6 | 258,3 | |

▼M2

| ACFTID | Oznaka profila (Profile_ID) | Duljina faze | Broj koraka | Tip koraka | Režim rada motora | Zakrilca (Flap_ID) | Visina krajnje točke (ft) | Stopa penjanja (ft/min) | Kalibrirana brzina leta u krajnjoj točki (kt) | Postotak ubrzanja (Accelerate_Percent) (%) |
|---|---|---|---|---|---|---|---|---|---|---|
| 747400 | ICAO_B | 5 | 6 | Penjanje | Maksimum za penjanje | T_05C | 3 459 | | | |
| 747400 | ICAO_B | 5 | 7 | Ubrzanje | Maksimum za penjanje | ZERO | | 1 685,4 | 259,4 | |
| 747400 | ICAO_B | 5 | 8 | Penjanje | Maksimum za penjanje | ZERO | 5 500 | | | |
| 747400 | ICAO_B | 5 | 9 | Penjanje | Maksimum za penjanje | ZERO | 7 500 | | | |
| 747400 | ICAO_B | 5 | 10 | Penjanje | Maksimum za penjanje | ZERO | 10 000 | | | |
| 747400 | ICAO_B | 6 | 1 | Uzlijetanje | Maksimum za uzlijetanje | 10 | | | | |
| 747400 | ICAO_B | 6 | 2 | Penjanje | Maksimum za uzlijetanje | T_10 | 1 000 | | | |
| 747400 | ICAO_B | 6 | 3 | Ubrzanje | Maksimum za uzlijetanje | 10 | | 1 394,6 | 205,1 | |
| 747400 | ICAO_B | 6 | 4 | Penjanje | Maksimum za uzlijetanje | T_05C | 1 606 | | | |
| 747400 | ICAO_B | 6 | 5 | Ubrzanje | Maksimum za penjanje | T_05 | | 1 346,5 | 264,7 | |
| 747400 | ICAO_B | 6 | 6 | Penjanje | Maksimum za penjanje | T_05C | 3 217 | | | |
| 747400 | ICAO_B | 6 | 7 | Ubrzanje | Maksimum za penjanje | ZERO | | 1 560 | 269,2 | |
| 747400 | ICAO_B | 6 | 8 | Penjanje | Maksimum za penjanje | ZERO | 5 500 | | | |
| 747400 | ICAO_B | 6 | 9 | Penjanje | Maksimum za penjanje | ZERO | 7 500 | | | |
| 747400 | ICAO_B | 6 | 10 | Penjanje | Maksimum za penjanje | ZERO | 10 000 | | | |
| 747400 | ICAO_B | 7 | 1 | Uzlijetanje | Maksimum za uzlijetanje | 10 | | | | |
| 747400 | ICAO_B | 7 | 2 | Penjanje | Maksimum za uzlijetanje | T_10H | 1 000 | | | |
| 747400 | ICAO_B | 7 | 3 | Ubrzanje | Maksimum za uzlijetanje | 10 | | 1 271 | 211,9 | |
| 747400 | ICAO_B | 7 | 4 | Penjanje | Maksimum za uzlijetanje | T_05 | 1 597 | | | |
| 747400 | ICAO_B | 7 | 5 | Ubrzanje | Maksimum za penjanje | T_05 | | 1 112,4 | 259,4 | |
| 747400 | ICAO_B | 7 | 6 | Penjanje | Maksimum za penjanje | T_05C | 2 759 | | | |
| 747400 | ICAO_B | 7 | 7 | Ubrzanje | Maksimum za penjanje | T_01 | | 1 323,5 | 271,4 | |
| 747400 | ICAO_B | 7 | 8 | Penjanje | Maksimum za penjanje | ZERO | 5 500 | | | |

▼M2

| ACFTID | Oznaka profila (Profile_ID) | Duljina faze | Broj koraka | Tip koraka | Režim rada motora | Zakrilca (Flap_ID) | Visina krajnje točke (ft) | Stopa penjanja (ft/min) | Kalibrirana brzina leta u krajnjoj točki (kt) | Postotak ubrzanja (Accelerate_Percent) (%) |
|---|---|---|---|---|---|---|---|---|---|---|
| 747400 | ICAO_B | 7 | 9 | Penjanje | Maksimum za penjanje | T_00H | 7 500 | | | |
| 747400 | ICAO_B | 7 | 10 | Penjanje | Maksimum za penjanje | T_00H | 10 000 | | | |
| 747400 | ICAO_B | 8 | 1 | Uzlijetanje | Maksimum za uzlijetanje | 10 | | | | |
| 747400 | ICAO_B | 8 | 2 | Penjanje | Maksimum za uzlijetanje | T_10H | 1 000 | | | |
| 747400 | ICAO_B | 8 | 3 | Ubrzanje | Maksimum za uzlijetanje | 10 | | 1 147 | 218,9 | |
| 747400 | ICAO_B | 8 | 4 | Penjanje | Maksimum za uzlijetanje | T_05 | 1 592 | | | |
| 747400 | ICAO_B | 8 | 5 | Ubrzanje | Maksimum za penjanje | T_05 | | 975,2 | 259,6 | |
| 747400 | ICAO_B | 8 | 6 | Penjanje | Maksimum za penjanje | T_05C | 2 755 | | | |
| 747400 | ICAO_B | 8 | 7 | Ubrzanje | Maksimum za penjanje | T_01 | | 1 209,5 | 278,4 | |
| 747400 | ICAO_B | 8 | 8 | Penjanje | Maksimum za penjanje | T_00H | 5 500 | | | |
| 747400 | ICAO_B | 8 | 9 | Penjanje | Maksimum za penjanje | T_00H | 7 500 | | | |
| 747400 | ICAO_B | 8 | 10 | Penjanje | Maksimum za penjanje | T_00H | 10 000 | | | |
| 747400 | ICAO_B | 9 | 1 | Uzlijetanje | Maksimum za uzlijetanje | 10 | | | | |
| 747400 | ICAO_B | 9 | 2 | Penjanje | Maksimum za uzlijetanje | T_10H | 1 000 | | | |
| 747400 | ICAO_B | 9 | 3 | Ubrzanje | Maksimum za uzlijetanje | 10 | | 1 070,9 | 223,3 | |
| 747400 | ICAO_B | 9 | 4 | Penjanje | Maksimum za uzlijetanje | 10 | 1 611 | | | |
| 747400 | ICAO_B | 9 | 5 | Ubrzanje | Maksimum za penjanje | T_05 | | 893,7 | 259,5 | |
| 747400 | ICAO_B | 9 | 6 | Penjanje | Maksimum za penjanje | T_01 | 2 782 | | | |
| 747400 | ICAO_B | 9 | 7 | Ubrzanje | Maksimum za penjanje | T_01 | | 1 119,3 | 282,7 | |
| 747400 | ICAO_B | 9 | 8 | Penjanje | Maksimum za penjanje | T_00H | 5 500 | | | |
| 747400 | ICAO_B | 9 | 9 | Penjanje | Maksimum za penjanje | T_00H | 7 500 | | | |
| 747400 | ICAO_B | 9 | 10 | Penjanje | Maksimum za penjanje | T_00H | 10 000 | | | |

▼**M2**

| ACFTID | Oznaka profila (Profile_ID) | Duljina faze | Broj koraka | Tip koraka | Režim rada motora | Zakrilca (Flap_ID) | Visina krajnje točke (ft) | Stopa penjanja (ft/min) | Kalibrirana brzina leta u krajnjoj točki (kt) | Postotak ubrzanja (Accelerate_Percent) (%) |
|---|---|---|---|---|---|---|---|---|---|---|
| 7478 | DEFAULT | 1 | 1 | Uzlijetanje | Maksimum za uzlijetanje | F_10 | | | | |
| 7478 | DEFAULT | 1 | 2 | Penjanje | Maksimum za uzlijetanje | F_10 | 1 000 | | | |
| 7478 | DEFAULT | 1 | 3 | Ubrzanje_Postotak | Maksimum za penjanje | F_10 | | | 215 | 55 |
| 7478 | DEFAULT | 1 | 4 | Ubrzanje_Postotak | Maksimum za penjanje | F_5 | | | 250 | 55 |
| 7478 | DEFAULT | 1 | 5 | Ubrzanje_Postotak | Maksimum za penjanje | F_1 | | | 260 | 55 |
| 7478 | DEFAULT | 1 | 6 | Penjanje | Maksimum za penjanje | F_0 | 3 000 | | | |
| 7478 | DEFAULT | 1 | 7 | Ubrzanje_Postotak | Maksimum za penjanje | F_0 | | | 295 | 50 |
| 7478 | DEFAULT | 1 | 8 | Penjanje | Maksimum za penjanje | F_0 | 10 000 | | | |
| 7478 | DEFAULT | 2 | 1 | Uzlijetanje | Maksimum za uzlijetanje | F_10 | | | | |
| 7478 | DEFAULT | 2 | 2 | Penjanje | Maksimum za uzlijetanje | F_10 | 1 000 | | | |
| 7478 | DEFAULT | 2 | 3 | Ubrzanje_Postotak | Maksimum za penjanje | F_10 | | | 215 | 55 |
| 7478 | DEFAULT | 2 | 4 | Ubrzanje_Postotak | Maksimum za penjanje | F_5 | | | 250 | 55 |
| 7478 | DEFAULT | 2 | 5 | Ubrzanje_Postotak | Maksimum za penjanje | F_1 | | | 260 | 55 |
| 7478 | DEFAULT | 2 | 6 | Penjanje | Maksimum za penjanje | F_0 | 3 000 | | | |
| 7478 | DEFAULT | 2 | 7 | Ubrzanje_Postotak | Maksimum za penjanje | F_0 | | | 295 | 50 |

▼M2

| ACFTID | Oznaka profila (Profile_ID) | Duljina faze | Broj koraka | Tip koraka | Režim rada motora | Zakrilca (Flap_ID) | Visina krajnje točke (ft) | Stopa penjanja (ft/min) | Kalibrirana brzina leta u krajnjoj točki (kt) | Postotak ubrzanja (Accelerate_Percent) (%) |
|---|---|---|---|---|---|---|---|---|---|---|
| 7478 | DEFAULT | 2 | 8 | Penjanje | Maksimum za penjanje | F_0 | 10 000 | | | |
| 7478 | DEFAULT | 3 | 1 | Uzlijetanje | Maksimum za uzlijetanje | F_10 | | | | |
| 7478 | DEFAULT | 3 | 2 | Penjanje | Maksimum za uzlijetanje | F_10 | 1 000 | | | |
| 7478 | DEFAULT | 3 | 3 | Ubrzanje_Postotak | Maksimum za penjanje | F_10 | | | 215 | 55 |
| 7478 | DEFAULT | 3 | 4 | Ubrzanje_Postotak | Maksimum za penjanje | F_5 | | | 250 | 55 |
| 7478 | DEFAULT | 3 | 5 | Ubrzanje_Postotak | Maksimum za penjanje | F_1 | | | 260 | 55 |
| 7478 | DEFAULT | 3 | 6 | Penjanje | Maksimum za penjanje | F_0 | 3 000 | | | |
| 7478 | DEFAULT | 3 | 7 | Ubrzanje_Postotak | Maksimum za penjanje | F_0 | | | 295 | 50 |
| 7478 | DEFAULT | 3 | 8 | Penjanje | Maksimum za penjanje | F_0 | 10 000 | | | |
| 7478 | DEFAULT | 4 | 1 | Uzlijetanje | Maksimum za uzlijetanje | F_10 | | | | |
| 7478 | DEFAULT | 4 | 2 | Penjanje | Maksimum za uzlijetanje | F_10 | 1 000 | | | |
| 7478 | DEFAULT | 4 | 3 | Ubrzanje_Postotak | Maksimum za penjanje | F_10 | | | 220 | 55 |
| 7478 | DEFAULT | 4 | 4 | Ubrzanje_Postotak | Maksimum za penjanje | F_5 | | | 250 | 55 |
| 7478 | DEFAULT | 4 | 5 | Ubrzanje_Postotak | Maksimum za penjanje | F_1 | | | 268 | 55 |
| 7478 | DEFAULT | 4 | 6 | Penjanje | Maksimum za penjanje | F_0 | 3 000 | | | |
| 7478 | DEFAULT | 4 | 7 | Ubrzanje_Postotak | Maksimum za penjanje | F_0 | | | 295 | 50 |

▼M2

| ACFTID | Oznaka profila (Profile_ID) | Duljina faze | Broj koraka | Tip koraka | Režim rada motora | Zakrilca (Flap_ID) | Visina krajnje točke (ft) | Stopa penjanja (ft/min) | Kalibrirana brzina leta u krajnjoj točki (kt) | Postotak ubrzanja (Accelerate_Percent) (%) |
|---|---|---|---|---|---|---|---|---|---|---|
| 7478 | DEFAULT | 4 | 8 | Penjanje | Maksimum za penjanje | F_0 | 10 000 | | | |
| 7478 | DEFAULT | 5 | 1 | Uzlijetanje | Maksimum za uzlijetanje | F_10 | | | | |
| 7478 | DEFAULT | 5 | 2 | Penjanje | Maksimum za uzlijetanje | F_10 | 1 000 | | | |
| 7478 | DEFAULT | 5 | 3 | Ubrzanje_Postotak | Maksimum za penjanje | F_10 | | | 220 | 55 |
| 7478 | DEFAULT | 5 | 4 | Ubrzanje_Postotak | Maksimum za penjanje | F_5 | | | 250 | 55 |
| 7478 | DEFAULT | 5 | 5 | Ubrzanje_Postotak | Maksimum za penjanje | F_1 | | | 270 | 55 |
| 7478 | DEFAULT | 5 | 6 | Penjanje | Maksimum za penjanje | F_0 | 3 000 | | | |
| 7478 | DEFAULT | 5 | 7 | Ubrzanje_Postotak | Maksimum za penjanje | F_0 | | | 295 | 50 |
| 7478 | DEFAULT | 5 | 8 | Penjanje | Maksimum za penjanje | F_0 | 10 000 | | | |
| 7478 | DEFAULT | 6 | 1 | Uzlijetanje | Maksimum za uzlijetanje | F_10 | | | | |
| 7478 | DEFAULT | 6 | 2 | Penjanje | Maksimum za uzlijetanje | F_10 | 1 000 | | | |
| 7478 | DEFAULT | 6 | 3 | Ubrzanje_Postotak | Maksimum za penjanje | F_10 | | | 227 | 55 |
| 7478 | DEFAULT | 6 | 4 | Ubrzanje_Postotak | Maksimum za penjanje | F_5 | | | 258 | 55 |
| 7478 | DEFAULT | 6 | 5 | Ubrzanje_Postotak | Maksimum za penjanje | F_1 | | | 270 | 55 |
| 7478 | DEFAULT | 6 | 6 | Penjanje | Maksimum za penjanje | F_0 | 3 000 | | | |

▼M2

| ACFTID | Oznaka profila (Profile_ID) | Duljina faze | Broj koraka | Tip koraka | Režim rada motora | Zakrilca (Flap_ID) | Visina krajnje točke (ft) | Stopa penjanja (ft/min) | Kalibrirana brzina leta u krajnjoj točki (kt) | Postotak ubrzanja (Accelerate_Percent) (%) |
|---|---|---|---|---|---|---|---|---|---|---|
| 7478 | DEFAULT | 6 | 7 | Ubrzanje_Postotak | Maksimum za penjanje | F_0 | | | 295 | 50 |
| 7478 | DEFAULT | 6 | 8 | Penjanje | Maksimum za penjanje | F_0 | 10 000 | | | |
| 7478 | DEFAULT | 7 | 1 | Uzlijetanje | Maksimum za uzlijetanje | F_10 | | | | |
| 7478 | DEFAULT | 7 | 2 | Penjanje | Maksimum za uzlijetanje | F_10 | 1 000 | | | |
| 7478 | DEFAULT | 7 | 3 | Ubrzanje_Postotak | Maksimum za penjanje | F_10 | | | 230 | 55 |
| 7478 | DEFAULT | 7 | 4 | Ubrzanje_Postotak | Maksimum za penjanje | F_5 | | | 260 | 55 |
| 7478 | DEFAULT | 7 | 5 | Ubrzanje_Postotak | Maksimum za penjanje | F_1 | | | 275 | 55 |
| 7478 | DEFAULT | 7 | 6 | Penjanje | Maksimum za penjanje | F_0 | 3 000 | | | |
| 7478 | DEFAULT | 7 | 7 | Ubrzanje_Postotak | Maksimum za penjanje | F_0 | | | 295 | 50 |
| 7478 | DEFAULT | 7 | 8 | Penjanje | Maksimum za penjanje | F_0 | 10 000 | | | |
| 7478 | DEFAULT | 8 | 1 | Uzlijetanje | Maksimum za uzlijetanje | F_10 | | | | |
| 7478 | DEFAULT | 8 | 2 | Penjanje | Maksimum za uzlijetanje | F_10 | 1 000 | | | |
| 7478 | DEFAULT | 8 | 3 | Ubrzanje_Postotak | Maksimum za penjanje | F_10 | | | 235 | 55 |
| 7478 | DEFAULT | 8 | 4 | Ubrzanje_Postotak | Maksimum za penjanje | F_5 | | | 265 | 55 |
| 7478 | DEFAULT | 8 | 5 | Ubrzanje_Postotak | Maksimum za penjanje | F_1 | | | 280 | 55 |

▼M2

| ACFTID | Oznaka profila (Profile_ID) | Duljina faze | Broj koraka | Tip koraka | Režim rada motora | Zakrilca (Flap_ID) | Visina krajnje točke (ft) | Stopa penjanja (ft/min) | Kalibrirana brzina leta u krajnjoj točki (kt) | Postotak ubrzanja (Accelerate_Percent) (%) |
|---|---|---|---|---|---|---|---|---|---|---|
| 7478 | DEFAULT | 8 | 6 | Penjanje | Maksimum za penjanje | F_0 | 3 000 | | | |
| 7478 | DEFAULT | 8 | 7 | Ubrzanje_Postotak | Maksimum za penjanje | F_0 | | | 295 | 50 |
| 7478 | DEFAULT | 8 | 8 | Penjanje | Maksimum za penjanje | F_0 | 10 000 | | | |
| 7478 | DEFAULT | 9 | 1 | Uzlijetanje | Maksimum za uzlijetanje | F_10 | | | | |
| 7478 | DEFAULT | 9 | 2 | Penjanje | Maksimum za uzlijetanje | F_10 | 1 000 | | | |
| 7478 | DEFAULT | 9 | 3 | Ubrzanje_Postotak | Maksimum za penjanje | F_10 | | | 235 | 55 |
| 7478 | DEFAULT | 9 | 4 | Ubrzanje_Postotak | Maksimum za penjanje | F_5 | | | 265 | 55 |
| 7478 | DEFAULT | 9 | 5 | Ubrzanje_Postotak | Maksimum za penjanje | F_1 | | | 280 | 55 |
| 7478 | DEFAULT | 9 | 6 | Penjanje | Maksimum za penjanje | F_0 | 3 000 | | | |
| 7478 | DEFAULT | 9 | 7 | Ubrzanje_Postotak | Maksimum za penjanje | F_0 | | | 295 | 50 |
| 7478 | DEFAULT | 9 | 8 | Penjanje | Maksimum za penjanje | F_0 | 10 000 | | | |
| 7478 | ICAO_A | 1 | 1 | Uzlijetanje | Maksimum za uzlijetanje | F_10 | | | | |
| 7478 | ICAO_A | 1 | 2 | Penjanje | Maksimum za uzlijetanje | F_10 | 1 500 | | | |
| 7478 | ICAO_A | 1 | 3 | Penjanje | Maksimum za penjanje | F_10 | 3 000 | | | |
| 7478 | ICAO_A | 1 | 4 | Ubrzanje_Postotak | Maksimum za penjanje | F_10 | | | 220 | 55 |
| 7478 | ICAO_A | 1 | 5 | Ubrzanje_Postotak | Maksimum za penjanje | F_5 | | | 250 | 55 |

▼M2

| ACFTID | Oznaka profila (Profile_ID) | Duljina faze | Broj koraka | Tip koraka | Režim rada motora | Zakrilca (Flap_ID) | Visina krajnje točke (ft) | Stopa penjanja (ft/min) | Kalibrirana brzina leta u krajnjoj točki (kt) | Postotak ubrzanja (Accelerate_Percent) (%) |
|---|---|---|---|---|---|---|---|---|---|---|
| 7478 | ICAO_A | 1 | 6 | Penjanje | Maksimum za penjanje | F_1 | 4 700 | | | |
| 7478 | ICAO_A | 1 | 7 | Ubrzanje_Postotak | Maksimum za penjanje | F_0 | | | 276 | 50 |
| 7478 | ICAO_A | 1 | 8 | Penjanje | Maksimum za penjanje | F_0 | 10 000 | | | |
| 7478 | ICAO_A | 2 | 1 | Uzlijetanje | Maksimum za uzlijetanje | F_10 | | | | |
| 7478 | ICAO_A | 2 | 2 | Penjanje | Maksimum za uzlijetanje | F_10 | 1 500 | | | |
| 7478 | ICAO_A | 2 | 3 | Penjanje | Maksimum za penjanje | F_10 | 3 000 | | | |
| 7478 | ICAO_A | 2 | 4 | Ubrzanje_Postotak | Maksimum za penjanje | F_10 | | | 220 | 55 |
| 7478 | ICAO_A | 2 | 5 | Ubrzanje_Postotak | Maksimum za penjanje | F_1 | | | 254 | 55 |
| 7478 | ICAO_A | 2 | 6 | Penjanje | Maksimum za penjanje | F_1 | 4 800 | | | |
| 7478 | ICAO_A | 2 | 7 | Ubrzanje_Postotak | Maksimum za penjanje | F_0 | | | 275 | 50 |
| 7478 | ICAO_A | 2 | 8 | Penjanje | Maksimum za penjanje | F_0 | 10 000 | | | |
| 7478 | ICAO_A | 3 | 1 | Uzlijetanje | Maksimum za uzlijetanje | F_10 | | | | |
| 7478 | ICAO_A | 3 | 2 | Penjanje | Maksimum za uzlijetanje | F_10 | 1 500 | | | |
| 7478 | ICAO_A | 3 | 3 | Penjanje | Maksimum za penjanje | F_10 | 3 000 | | | |
| 7478 | ICAO_A | 3 | 4 | Ubrzanje_Postotak | Maksimum za penjanje | F_5 | | | 220 | 55 |
| 7478 | ICAO_A | 3 | 5 | Ubrzanje_Postotak | Maksimum za penjanje | F_1 | | | 255 | 55 |

▼M2

| ACFTID | Oznaka profila (Profile_ID) | Duljina faze | Broj koraka | Tip koraka | Režim rada motora | Zakrilca (Flap_ID) | Visina krajnje točke (ft) | Stopa penjanja (ft/min) | Kalibrirana brzina leta u krajnjoj točki (kt) | Postotak ubrzanja (Accelerate_Percent) (%) |
|---|---|---|---|---|---|---|---|---|---|---|
| 7478 | ICAO_A | 3 | 6 | Penjanje | Maksimum za penjanje | F_1 | 4 500 | | | |
| 7478 | ICAO_A | 3 | 7 | Ubrzanje_Postotak | Maksimum za penjanje | F_0 | | | 275 | 50 |
| 7478 | ICAO_A | 3 | 8 | Penjanje | Maksimum za penjanje | F_0 | 10 000 | | | |
| 7478 | ICAO_A | 4 | 1 | Uzlijetanje | Maksimum za uzlijetanje | F_10 | | | | |
| 7478 | ICAO_A | 4 | 2 | Penjanje | Maksimum za uzlijetanje | F_10 | 1 500 | | | |
| 7478 | ICAO_A | 4 | 3 | Penjanje | Maksimum za penjanje | F_10 | 3 000 | | | |
| 7478 | ICAO_A | 4 | 4 | Ubrzanje_Postotak | Maksimum za penjanje | F_10 | | | 220 | 55 |
| 7478 | ICAO_A | 4 | 5 | Ubrzanje_Postotak | Maksimum za penjanje | F_5 | | | 255 | 55 |
| 7478 | ICAO_A | 4 | 6 | Ubrzanje_Postotak | Maksimum za penjanje | F_1 | | | 275 | 55 |
| 7478 | ICAO_A | 4 | 7 | Penjanje | Maksimum za penjanje | F_0 | 10 000 | | | |
| 7478 | ICAO_A | 5 | 1 | Uzlijetanje | Maksimum za uzlijetanje | F_10 | | | | |
| 7478 | ICAO_A | 5 | 2 | Penjanje | Maksimum za uzlijetanje | F_10 | 1 500 | | | |
| 7478 | ICAO_A | 5 | 3 | Penjanje | Maksimum za penjanje | F_10 | 3 000 | | | |
| 7478 | ICAO_A | 5 | 4 | Ubrzanje_Postotak | Maksimum za penjanje | F_5 | | | 220 | 55 |
| 7478 | ICAO_A | 5 | 5 | Ubrzanje_Postotak | Maksimum za penjanje | F_1 | | | 255 | 55 |
| 7478 | ICAO_A | 5 | 6 | Ubrzanje_Postotak | Maksimum za penjanje | F_0 | | | 275 | 50 |

▼M2

| ACFTID | Oznaka profila (Profile_ID) | Duljina faze | Broj koraka | Tip koraka | Režim rada motora | Zakrilca (Flap_ID) | Visina krajnje točke (ft) | Stopa penjanja (ft/min) | Kalibrirana brzina leta u krajnjoj točki (kt) | Postotak ubrzanja (Accelerate_Percent) (%) |
|---|---|---|---|---|---|---|---|---|---|---|
| 7478 | ICAO_A | 5 | 7 | Penjanje | Maksimum za penjanje | F_0 | 10 000 | | | |
| 7478 | ICAO_A | 6 | 1 | Uzlijetanje | Maksimum za uzlijetanje | F_10 | | | | |
| 7478 | ICAO_A | 6 | 2 | Penjanje | Maksimum za uzlijetanje | F_10 | 1 500 | | | |
| 7478 | ICAO_A | 6 | 3 | Penjanje | Maksimum za penjanje | F_10 | 3 000 | | | |
| 7478 | ICAO_A | 6 | 4 | Ubrzanje_Postotak | Maksimum za penjanje | F_5 | | | 225 | 55 |
| 7478 | ICAO_A | 6 | 5 | Ubrzanje_Postotak | Maksimum za penjanje | F_1 | | | 255 | 55 |
| 7478 | ICAO_A | 6 | 6 | Ubrzanje_Postotak | Maksimum za penjanje | F_0 | | | 278 | 50 |
| 7478 | ICAO_A | 6 | 7 | Penjanje | Maksimum za penjanje | F_0 | 10 000 | | | |
| 7478 | ICAO_A | 7 | 1 | Uzlijetanje | Maksimum za uzlijetanje | F_10 | | | | |
| 7478 | ICAO_A | 7 | 2 | Penjanje | Maksimum za uzlijetanje | F_10 | 1 500 | | | |
| 7478 | ICAO_A | 7 | 3 | Penjanje | Maksimum za penjanje | F_10 | 3 000 | | | |
| 7478 | ICAO_A | 7 | 4 | Ubrzanje_Postotak | Maksimum za penjanje | F_5 | | | 225 | 55 |
| 7478 | ICAO_A | 7 | 5 | Ubrzanje_Postotak | Maksimum za penjanje | F_1 | | | 255 | 55 |
| 7478 | ICAO_A | 7 | 6 | Ubrzanje_Postotak | Maksimum za penjanje | F_0 | | | 278 | 50 |
| 7478 | ICAO_A | 7 | 7 | Penjanje | Maksimum za penjanje | F_0 | 10 000 | | | |
| 7478 | ICAO_A | 8 | 1 | Uzlijetanje | Maksimum za uzlijetanje | F_10 | | | | |
| 7478 | ICAO_A | 8 | 2 | Penjanje | Maksimum za uzlijetanje | F_10 | 1 500 | | | |

▼M2

| ACFTID | Oznaka profila (Profile_ID) | Duljina faze | Broj koraka | Tip koraka | Režim rada motora | Zakrilca (Flap_ID) | Visina krajnje točke (ft) | Stopa penjanja (ft/min) | Kalibrirana brzina leta u krajnjoj točki (kt) | Postotak ubrzanja (Accelerate_Percent) (%) |
|---|---|---|---|---|---|---|---|---|---|---|
| 7478 | ICAO_A | 8 | 3 | Penjanje | Maksimum za penjanje | F_10 | 3 000 | | | |
| 7478 | ICAO_A | 8 | 4 | Ubrzanje_Postotak | Maksimum za penjanje | F_5 | | | 230 | 55 |
| 7478 | ICAO_A | 8 | 5 | Ubrzanje_Postotak | Maksimum za penjanje | F_1 | | | 265 | 55 |
| 7478 | ICAO_A | 8 | 6 | Ubrzanje_Postotak | Maksimum za penjanje | F_0 | | | 280 | 50 |
| 7478 | ICAO_A | 8 | 7 | Penjanje | Maksimum za penjanje | F_0 | 10 000 | | | |
| 7478 | ICAO_A | 9 | 1 | Uzlijetanje | Maksimum za uzlijetanje | F_10 | | | | |
| 7478 | ICAO_A | 9 | 2 | Penjanje | Maksimum za uzlijetanje | F_10 | 1 500 | | | |
| 7478 | ICAO_A | 9 | 3 | Penjanje | Maksimum za penjanje | F_10 | 3 000 | | | |
| 7478 | ICAO_A | 9 | 4 | Ubrzanje_Postotak | Maksimum za penjanje | F_5 | | | 230 | 55 |
| 7478 | ICAO_A | 9 | 5 | Ubrzanje_Postotak | Maksimum za penjanje | F_1 | | | 265 | 55 |
| 7478 | ICAO_A | 9 | 6 | Ubrzanje_Postotak | Maksimum za penjanje | F_0 | | | 280 | 50 |
| 7478 | ICAO_A | 9 | 7 | Penjanje | Maksimum za penjanje | F_0 | 10 000 | | | |
| 7478 | ICAO_B | 1 | 1 | Uzlijetanje | Maksimum za uzlijetanje | F_10 | | | | |
| 7478 | ICAO_B | 1 | 2 | Penjanje | Maksimum za uzlijetanje | F_10 | 1 000 | | | |
| 7478 | ICAO_B | 1 | 3 | Ubrzanje_Postotak | Maksimum za uzlijetanje | F_10 | | | 210 | 55 |
| 7478 | ICAO_B | 1 | 4 | Ubrzanje_Postotak | Maksimum za uzlijetanje | F_5 | | | 250 | 55 |

▼M2

| ACFTID | Oznaka profila (Profile_ID) | Duljina faze | Broj koraka | Tip koraka | Režim rada motora | Zakrilca (Flap_ID) | Visina krajnje točke (ft) | Stopa penjanja (ft/min) | Kalibrirana brzina leta u krajnjoj točki (kt) | Postotak ubrzanja (Accelerate_Percent) (%) |
|---|---|---|---|---|---|---|---|---|---|---|
| 7478 | ICAO_B | 1 | 5 | Penjanje | Maksimum za uzlijetanje | F_1 | 3 480 | | | |
| 7478 | ICAO_B | 1 | 6 | Ubrzanje_Postotak | Maksimum za penjanje | F_0 | | | 280 | 50 |
| 7478 | ICAO_B | 1 | 7 | Penjanje | Maksimum za penjanje | F_0 | 10 000 | | | |
| 7478 | ICAO_B | 2 | 1 | Uzlijetanje | Maksimum za uzlijetanje | F_10 | | | | |
| 7478 | ICAO_B | 2 | 2 | Penjanje | Maksimum za uzlijetanje | F_10 | 1 000 | | | |
| 7478 | ICAO_B | 2 | 3 | Ubrzanje_Postotak | Maksimum za uzlijetanje | F_10 | | | 223 | 55 |
| 7478 | ICAO_B | 2 | 4 | Ubrzanje_Postotak | Maksimum za uzlijetanje | F_5 | | | 250 | 55 |
| 7478 | ICAO_B | 2 | 5 | Penjanje | Maksimum za uzlijetanje | F_1 | 3 350 | | | |
| 7478 | ICAO_B | 2 | 6 | Ubrzanje_Postotak | Maksimum za penjanje | F_0 | | | 280 | 50 |
| 7478 | ICAO_B | 2 | 7 | Penjanje | Maksimum za penjanje | F_0 | 10 000 | | | |
| 7478 | ICAO_B | 3 | 1 | Uzlijetanje | Maksimum za uzlijetanje | F_10 | | | | |
| 7478 | ICAO_B | 3 | 2 | Penjanje | Maksimum za uzlijetanje | F_10 | 1 000 | | | |
| 7478 | ICAO_B | 3 | 3 | Ubrzanje_Postotak | Maksimum za uzlijetanje | F_10 | | | 223 | 55 |
| 7478 | ICAO_B | 3 | 4 | Ubrzanje_Postotak | Maksimum za uzlijetanje | F_5 | | | 263 | 55 |
| 7478 | ICAO_B | 3 | 5 | Penjanje | Maksimum za uzlijetanje | F_1 | 3 350 | | | |
| 7478 | ICAO_B | 3 | 6 | Ubrzanje_Postotak | Maksimum za penjanje | F_0 | | | 300 | 50 |

▼M2

| ACFTID | Oznaka profila (Profile_ID) | Duljina faze | Broj koraka | Tip koraka | Režim rada motora | Zakrilca (Flap_ID) | Visina krajnje točke (ft) | Stopa penjanja (ft/min) | Kalibrirana brzina leta u krajnjoj točki (kt) | Postotak ubrzanja (Accelerate_Percent) (%) |
|---|---|---|---|---|---|---|---|---|---|---|
| 7478 | ICAO_B | 3 | 7 | Penjanje | Maksimum za penjanje | F_0 | 10 000 | | | |
| 7478 | ICAO_B | 4 | 1 | Uzlijetanje | Maksimum za uzlijetanje | F_10 | | | | |
| 7478 | ICAO_B | 4 | 2 | Penjanje | Maksimum za uzlijetanje | F_10 | 1 000 | | | |
| 7478 | ICAO_B | 4 | 3 | Ubrzanje_Postotak | Maksimum za uzlijetanje | F_10 | | | 210 | 55 |
| 7478 | ICAO_B | 4 | 4 | Ubrzanje_Postotak | Maksimum za uzlijetanje | F_5 | | | 260 | 55 |
| 7478 | ICAO_B | 4 | 5 | Penjanje | Maksimum za uzlijetanje | F_1 | 3 480 | | | |
| 7478 | ICAO_B | 4 | 6 | Ubrzanje_Postotak | Maksimum za penjanje | F_0 | | | 270 | 50 |
| 7478 | ICAO_B | 4 | 7 | Penjanje | Maksimum za penjanje | F_0 | 10 000 | | | |
| 7478 | ICAO_B | 5 | 1 | Uzlijetanje | Maksimum za uzlijetanje | F_10 | | | | |
| 7478 | ICAO_B | 5 | 2 | Penjanje | Maksimum za uzlijetanje | F_10 | 1 000 | | | |
| 7478 | ICAO_B | 5 | 3 | Ubrzanje_Postotak | Maksimum za uzlijetanje | F_10 | | | 228 | 55 |
| 7478 | ICAO_B | 5 | 4 | Ubrzanje_Postotak | Maksimum za uzlijetanje | F_5 | | | 262 | 55 |
| 7478 | ICAO_B | 5 | 5 | Penjanje | Maksimum za uzlijetanje | F_1 | 2 760 | | | |
| 7478 | ICAO_B | 5 | 6 | Ubrzanje_Postotak | Maksimum za penjanje | F_0 | | | 270 | 50 |
| 7478 | ICAO_B | 5 | 7 | Penjanje | Maksimum za penjanje | F_0 | 10 000 | | | |
| 7478 | ICAO_B | 6 | 1 | Uzlijetanje | Maksimum za uzlijetanje | F_10 | | | | |

▼M2

| ACFTID | Oznaka profila (Profile_ID) | Duljina faze | Broj koraka | Tip koraka | Režim rada motora | Zakrilca (Flap_ID) | Visina krajnje točke (ft) | Stopa penjanja (ft/min) | Kalibrirana brzina leta u krajnjoj točki (kt) | Postotak ubrzanja (Accelerate_Percent) (%) |
|---|---|---|---|---|---|---|---|---|---|---|
| 7478 | ICAO_B | 6 | 2 | Penjanje | Maksimum za uzlijetanje | F_10 | 1 000 | | | |
| 7478 | ICAO_B | 6 | 3 | Ubrzanje_Postotak | Maksimum za uzlijetanje | F_10 | | | 231 | 55 |
| 7478 | ICAO_B | 6 | 4 | Ubrzanje_Postotak | Maksimum za uzlijetanje | F_5 | | | 264 | 55 |
| 7478 | ICAO_B | 6 | 5 | Penjanje | Maksimum za uzlijetanje | F_1 | 2 610 | | | |
| 7478 | ICAO_B | 6 | 6 | Ubrzanje_Postotak | Maksimum za penjanje | F_0 | | | 300 | 50 |
| 7478 | ICAO_B | 6 | 7 | Penjanje | Maksimum za penjanje | F_0 | 10 000 | | | |
| 7478 | ICAO_B | 7 | 1 | Uzlijetanje | Maksimum za uzlijetanje | F_10 | | | | |
| 7478 | ICAO_B | 7 | 2 | Penjanje | Maksimum za uzlijetanje | F_10 | 1 000 | | | |
| 7478 | ICAO_B | 7 | 3 | Ubrzanje_Postotak | Maksimum za uzlijetanje | F_10 | | | 231 | 55 |
| 7478 | ICAO_B | 7 | 4 | Ubrzanje_Postotak | Maksimum za uzlijetanje | F_5 | | | 270 | 55 |
| 7478 | ICAO_B | 7 | 5 | Penjanje | Maksimum za uzlijetanje | F_1 | 2 610 | | | |
| 7478 | ICAO_B | 7 | 6 | Ubrzanje_Postotak | Maksimum za penjanje | F_0 | | | 300 | 50 |
| 7478 | ICAO_B | 7 | 7 | Penjanje | Maksimum za penjanje | F_0 | 10 000 | | | |
| 7478 | ICAO_B | 8 | 1 | Uzlijetanje | Maksimum za uzlijetanje | F_10 | | | | |
| 7478 | ICAO_B | 8 | 2 | Penjanje | Maksimum za uzlijetanje | F_10 | 1 000 | | | |
| 7478 | ICAO_B | 8 | 3 | Ubrzanje_Postotak | Maksimum za uzlijetanje | F_10 | | | 235 | 55 |

▼M2

| ACFTID | Oznaka profila (Profile_ID) | Duljina faze | Broj koraka | Tip koraka | Režim rada motora | Zakrilca (Flap_ID) | Visina krajnje točke (ft) | Stopa penjanja (ft/min) | Kalibrirana brzina leta u krajnjoj točki (kt) | Postotak ubrzanja (Accelerate_Percent) (%) |
|---|---|---|---|---|---|---|---|---|---|---|
| 7478 | ICAO_B | 8 | 4 | Ubrzanje_Postotak | Maksimum za uzlijetanje | F_5 | | | 265 | 55 |
| 7478 | ICAO_B | 8 | 5 | Ubrzanje_Postotak | Maksimum za uzlijetanje | F_1 | | | 275 | 55 |
| 7478 | ICAO_B | 8 | 6 | Penjanje | Maksimum za penjanje | F_0 | 10 000 | | | |
| 7478 | ICAO_B | 9 | 1 | Uzlijetanje | Maksimum za uzlijetanje | F_10 | | | | |
| 7478 | ICAO_B | 9 | 2 | Penjanje | Maksimum za uzlijetanje | F_10 | 1 000 | | | |
| 7478 | ICAO_B | 9 | 3 | Ubrzanje_Postotak | Maksimum za uzlijetanje | F_10 | | | 240 | 55 |
| 7478 | ICAO_B | 9 | 4 | Ubrzanje_Postotak | Maksimum za uzlijetanje | F_5 | | | 270 | 55 |
| 7478 | ICAO_B | 9 | 5 | Ubrzanje_Postotak | Maksimum za uzlijetanje | F_1 | | | 280 | 55 |
| 7478 | ICAO_B | 9 | 6 | Penjanje | Maksimum za penjanje | F_0 | 10 000 | | | |
| 747SP | DEFAULT | 1 | 1 | Uzlijetanje | Maksimum za uzlijetanje | 10 | | | | |
| 747SP | DEFAULT | 1 | 2 | Penjanje | Maksimum za uzlijetanje | 10 | 1 000 | | | |
| 747SP | DEFAULT | 1 | 3 | Ubrzanje | Maksimum za uzlijetanje | 10 | | 2 469 | 163 | |
| 747SP | DEFAULT | 1 | 4 | Ubrzanje | Maksimum za penjanje | 5 | | 1 000 | 203 | |
| 747SP | DEFAULT | 1 | 5 | Penjanje | Maksimum za penjanje | ZERO | 3 000 | | | |
| 747SP | DEFAULT | 1 | 6 | Ubrzanje | Maksimum za penjanje | ZERO | | 1 000 | 250 | |
| 747SP | DEFAULT | 1 | 7 | Penjanje | Maksimum za penjanje | ZERO | 5 500 | | | |

▼M2

| ACFTID | Oznaka profila (Profile_ID) | Duljina faze | Broj koraka | Tip koraka | Režim rada motora | Zakrilca (Flap_ID) | Visina krajnje točke (ft) | Stopa penjanja (ft/min) | Kalibrirana brzina leta u krajnjoj točki (kt) | Postotak ubrzanja (Accelerate_Percent) (%) |
|---|---|---|---|---|---|---|---|---|---|---|
| 747SP | DEFAULT | 1 | 8 | Penjanje | Maksimum za penjanje | ZERO | 7 500 | | | |
| 747SP | DEFAULT | 1 | 9 | Penjanje | Maksimum za penjanje | ZERO | 10 000 | | | |
| 747SP | DEFAULT | 2 | 1 | Uzlijetanje | Maksimum za uzlijetanje | 10 | | | | |
| 747SP | DEFAULT | 2 | 2 | Penjanje | Maksimum za uzlijetanje | 10 | 1 000 | | | |
| 747SP | DEFAULT | 2 | 3 | Ubrzanje | Maksimum za uzlijetanje | 10 | | 2 326 | 167 | |
| 747SP | DEFAULT | 2 | 4 | Ubrzanje | Maksimum za penjanje | 5 | | 1 000 | 207 | |
| 747SP | DEFAULT | 2 | 5 | Penjanje | Maksimum za penjanje | ZERO | 3 000 | | | |
| 747SP | DEFAULT | 2 | 6 | Ubrzanje | Maksimum za penjanje | ZERO | | 1 000 | 250 | |
| 747SP | DEFAULT | 2 | 7 | Penjanje | Maksimum za penjanje | ZERO | 5 500 | | | |
| 747SP | DEFAULT | 2 | 8 | Penjanje | Maksimum za penjanje | ZERO | 7 500 | | | |
| 747SP | DEFAULT | 2 | 9 | Penjanje | Maksimum za penjanje | ZERO | 10 000 | | | |
| 747SP | DEFAULT | 3 | 1 | Uzlijetanje | Maksimum za uzlijetanje | 10 | | | | |
| 747SP | DEFAULT | 3 | 2 | Penjanje | Maksimum za uzlijetanje | 10 | 1 000 | | | |
| 747SP | DEFAULT | 3 | 3 | Ubrzanje | Maksimum za uzlijetanje | 10 | | 2 201 | 170 | |
| 747SP | DEFAULT | 3 | 4 | Ubrzanje | Maksimum za penjanje | 5 | | 1 000 | 210 | |
| 747SP | DEFAULT | 3 | 5 | Penjanje | Maksimum za penjanje | ZERO | 3 000 | | | |
| 747SP | DEFAULT | 3 | 6 | Ubrzanje | Maksimum za penjanje | ZERO | | 1 000 | 250 | |
| 747SP | DEFAULT | 3 | 7 | Penjanje | Maksimum za penjanje | ZERO | 5 500 | | | |
| 747SP | DEFAULT | 3 | 8 | Penjanje | Maksimum za penjanje | ZERO | 7 500 | | | |
| 747SP | DEFAULT | 3 | 9 | Penjanje | Maksimum za penjanje | ZERO | 10 000 | | | |
| 747SP | DEFAULT | 4 | 1 | Uzlijetanje | Maksimum za uzlijetanje | 10 | | | | |
| 747SP | DEFAULT | 4 | 2 | Penjanje | Maksimum za uzlijetanje | 10 | 1 000 | | | |

▼M2

| ACFTID | Oznaka profila (Profile_ID) | Duljina faze | Broj koraka | Tip koraka | Režim rada motora | Zakrilca (Flap_ID) | Visina krajnje točke (ft) | Stopa penjanja (ft/min) | Kalibrirana brzina leta u krajnjoj točki (kt) | Postotak ubrzanja (Accelerate_Percent) (%) |
|---|---|---|---|---|---|---|---|---|---|---|
| 747SP | DEFAULT | 4 | 3 | Ubrzanje | Maksimum za uzlijetanje | 10 | | 2 027 | 175 | |
| 747SP | DEFAULT | 4 | 4 | Ubrzanje | Maksimum za penjanje | 5 | | 1 000 | 215 | |
| 747SP | DEFAULT | 4 | 5 | Penjanje | Maksimum za penjanje | ZERO | 3 000 | | | |
| 747SP | DEFAULT | 4 | 6 | Ubrzanje | Maksimum za penjanje | ZERO | | 1 000 | 250 | |
| 747SP | DEFAULT | 4 | 7 | Penjanje | Maksimum za penjanje | ZERO | 5 500 | | | |
| 747SP | DEFAULT | 4 | 8 | Penjanje | Maksimum za penjanje | ZERO | 7 500 | | | |
| 747SP | DEFAULT | 4 | 9 | Penjanje | Maksimum za penjanje | ZERO | 10 000 | | | |
| 747SP | DEFAULT | 5 | 1 | Uzlijetanje | Maksimum za uzlijetanje | 10 | | | | |
| 747SP | DEFAULT | 5 | 2 | Penjanje | Maksimum za uzlijetanje | 10 | 1 000 | | | |
| 747SP | DEFAULT | 5 | 3 | Ubrzanje | Maksimum za uzlijetanje | 10 | | 1 821 | 182 | |
| 747SP | DEFAULT | 5 | 4 | Ubrzanje | Maksimum za penjanje | 5 | | 1 000 | 222 | |
| 747SP | DEFAULT | 5 | 5 | Penjanje | Maksimum za penjanje | ZERO | 3 000 | | | |
| 747SP | DEFAULT | 5 | 6 | Ubrzanje | Maksimum za penjanje | ZERO | | 1 000 | 250 | |
| 747SP | DEFAULT | 5 | 7 | Penjanje | Maksimum za penjanje | ZERO | 5 500 | | | |
| 747SP | DEFAULT | 5 | 8 | Penjanje | Maksimum za penjanje | ZERO | 7 500 | | | |
| 747SP | DEFAULT | 5 | 9 | Penjanje | Maksimum za penjanje | ZERO | 10 000 | | | |
| 747SP | DEFAULT | 6 | 1 | Uzlijetanje | Maksimum za uzlijetanje | 10 | | | | |
| 747SP | DEFAULT | 6 | 2 | Penjanje | Maksimum za uzlijetanje | 10 | 1 000 | | | |
| 747SP | DEFAULT | 6 | 3 | Ubrzanje | Maksimum za uzlijetanje | 10 | | 1 643 | 188 | |
| 747SP | DEFAULT | 6 | 4 | Ubrzanje | Maksimum za penjanje | 5 | | 1 000 | 228 | |
| 747SP | DEFAULT | 6 | 5 | Penjanje | Maksimum za penjanje | ZERO | 3 000 | | | |
| 747SP | DEFAULT | 6 | 6 | Ubrzanje | Maksimum za penjanje | ZERO | | 1 000 | 250 | |

▼**M2**

| ACFTID | Oznaka profila (Profile_ID) | Duljina faze | Broj koraka | Tip koraka | Režim rada motora | Zakrilca (Flap_ID) | Visina krajnje točke (ft) | Stopa penjanja (ft/min) | Kalibrirana brzina leta u krajnjoj točki (kt) | Postotak ubrzanja (Accelerate_Percent) (%) |
|---|---|---|---|---|---|---|---|---|---|---|
| 747SP | DEFAULT | 6 | 7 | Penjanje | Maksimum za penjanje | ZERO | 5 500 | | | |
| 747SP | DEFAULT | 6 | 8 | Penjanje | Maksimum za penjanje | ZERO | 7 500 | | | |
| 747SP | DEFAULT | 6 | 9 | Penjanje | Maksimum za penjanje | ZERO | 10 000 | | | |

▼**M2**

*Tablica I-4 (2. dio)*

**Uobičajeni proceduralni koraci pri odletu**

| ACFTID | Oznaka profila (Profile_ID) | Dulji-na faze | Broj koraka | Tip koraka | Režim rada motora | Zakrilca (Flap_ID) | Visina krajnje točke (ft) | Stopa penjanja (ft/min) | Kalibri-rana brzina leta u krajnjoj točki (kt) | Postot-ak ubrzan-ja (Acce-lera-te_Per-cent) (%) |
|---|---|---|---|---|---|---|---|---|---|---|
| 747SP | DEFAULT | 7 | 1 | Uzlijeta-nje | Maksimum za uzlijetanje | 10 | | | | |
| 747SP | DEFAULT | 7 | 2 | Penjanje | Maksimum za uzlijetanje | 10 | 1 000 | | | |
| 747SP | DEFAULT | 7 | 3 | Ubrzanje | Maksimum za uzlijetanje | 10 | | 1 403 | 196 | |
| 747SP | DEFAULT | 7 | 4 | Ubrzanje | Maksimum za penjanje | 5 | | 1 000 | 236 | |
| 747SP | DEFAULT | 7 | 5 | Ubrzanje | Maksimum za penjanje | ZERO | | 1 000 | 250 | |
| 747SP | DEFAULT | 7 | 6 | Penjanje | Maksimum za penjanje | ZERO | 5 500 | | | |
| 747SP | DEFAULT | 7 | 7 | Penjanje | Maksimum za penjanje | ZERO | 7 500 | | | |
| 747SP | DEFAULT | 7 | 8 | Penjanje | Maksimum za penjanje | ZERO | 10 000 | | | |
| 757300 | DEFAULT | 1 | 1 | Uzlijeta-nje | Maksimum za uzlijetanje | T_05 | | | | |
| 757300 | DEFAULT | 1 | 2 | Penjanje | Maksimum za uzlijetanje | T_05 | 1 097 | | | |
| 757300 | DEFAULT | 1 | 3 | Ubrzanje | Maksimum za uzlijetanje | T_05 | | 2 252,1 | 211,8 | |
| 757300 | DEFAULT | 1 | 4 | Ubrzanje | Maksimum za uzlijetanje | T_01 | | 2 480 | 215,4 | |
| 757300 | DEFAULT | 1 | 5 | Penjanje | Maksimum za uzlijetanje | T_00 | 2 569 | | | |

▼**M2**

| ACFTID | Oznaka profila (Profile_ID) | Dulji-na faze | Broj koraka | Tip koraka | Režim rada motora | Zakrilca (Flap_ID) | Visina krajnje točke (ft) | Stopa penjanja (ft/min) | Kalibri-rana brzina leta u krajnjoj točki (kt) | Postot-ak ubrzan-ja (Acce-lera-te_Per-cent) (%) |
|---|---|---|---|---|---|---|---|---|---|---|
| 757300 | DEFAULT | 1 | 6 | Penjanje | Maksimum za penjanje | T_00 | 3 000 | | | |
| 757300 | DEFAULT | 1 | 7 | Ubrzanje | Maksimum za penjanje | T_00 | | 1 701,7 | 250 | |
| 757300 | DEFAULT | 1 | 8 | Penjanje | Maksimum za penjanje | T_00 | 5 500 | | | |
| 757300 | DEFAULT | 1 | 9 | Penjanje | Maksimum za penjanje | T_00 | 7 500 | | | |
| 757300 | DEFAULT | 1 | 10 | Penjanje | Maksimum za penjanje | T_00 | 10 000 | | | |
| 757300 | DEFAULT | 2 | 1 | Uzlijeta-nje | Maksimum za uzlijetanje | T_05 | | | | |
| 757300 | DEFAULT | 2 | 2 | Penjanje | Maksimum za uzlijetanje | T_05 | 1 041 | | | |
| 757300 | DEFAULT | 2 | 3 | Ubrzanje | Maksimum za uzlijetanje | T_05 | | 2 154,9 | 213 | |
| 757300 | DEFAULT | 2 | 4 | Ubrzanje | Maksimum za uzlijetanje | T_01 | | 2 352 | 218,6 | |
| 757300 | DEFAULT | 2 | 5 | Penjanje | Maksimum za uzlijetanje | T_00 | 2 412 | | | |
| 757300 | DEFAULT | 2 | 6 | Penjanje | Maksimum za penjanje | T_00 | 3 000 | | | |
| 757300 | DEFAULT | 2 | 7 | Ubrzanje | Maksimum za penjanje | T_00 | | 1 607,8 | 250 | |

▼**M2**

| ACFTID | Oznaka profila (Profile_ID) | Dulji-na faze | Broj koraka | Tip koraka | Režim rada motora | Zakrilca (Flap_ID) | Visina krajnje točke (ft) | Stopa penjanja (ft/min) | Kalibri-rana brzina leta u krajnjoj točki (kt) | Postot-ak ubrzan-ja (Acce-lera-te_Per-cent) (%) |
|---|---|---|---|---|---|---|---|---|---|---|
| 757300 | DEFAULT | 2 | 8 | Penjanje | Maksimum za penjanje | T_00 | 5 500 | | | |
| 757300 | DEFAULT | 2 | 9 | Penjanje | Maksimum za penjanje | T_00 | 7 500 | | | |
| 757300 | DEFAULT | 2 | 10 | Penjanje | Maksimum za penjanje | T_00 | 10 000 | | | |
| 757300 | DEFAULT | 3 | 1 | Uzlijeta-nje | Maksimum za uzlijetanje | T_05 | | | | |
| 757300 | DEFAULT | 3 | 2 | Penjanje | Maksimum za uzlijetanje | T_05 | 1 000 | | | |
| 757300 | DEFAULT | 3 | 3 | Ubrzanje | Maksimum za uzlijetanje | T_05 | | 2 062 | 214,5 | |
| 757300 | DEFAULT | 3 | 4 | Ubrzanje | Maksimum za uzlijetanje | T_01 | | 2 223,5 | 221,8 | |
| 757300 | DEFAULT | 3 | 5 | Penjanje | Maksimum za uzlijetanje | T_00 | 2 275 | | | |
| 757300 | DEFAULT | 3 | 6 | Penjanje | Maksimum za penjanje | T_00 | 3 000 | | | |
| 757300 | DEFAULT | 3 | 7 | Ubrzanje | Maksimum za penjanje | T_00 | | 1 521,8 | 250 | |
| 757300 | DEFAULT | 3 | 8 | Penjanje | Maksimum za penjanje | T_00 | 5 500 | | | |
| 757300 | DEFAULT | 3 | 9 | Penjanje | Maksimum za penjanje | T_00 | 7 500 | | | |

▼**M2**

| ACFTID | Oznaka profila (Profile_ID) | Dulji-na faze | Broj koraka | Tip koraka | Režim rada motora | Zakrilca (Flap_ID) | Visina krajnje točke (ft) | Stopa penjanja (ft/min) | Kalibri-rana brzina leta u krajnjoj točki (kt) | Postot-ak ubrzan-ja (Acce-lera-te_Per-cent) (%) |
|---|---|---|---|---|---|---|---|---|---|---|
| 757300 | DEFAULT | 3 | 10 | Penjanje | Maksimum za penjanje | T_00 | 10 000 | | | |
| 757300 | DEFAULT | 4 | 1 | Uzlijeta-nje | Maksimum za uzlijetanje | T_05 | | | | |
| 757300 | DEFAULT | 4 | 2 | Penjanje | Maksimum za uzlijetanje | T_05 | 1 000 | | | |
| 757300 | DEFAULT | 4 | 3 | Ubrzanje | Maksimum za uzlijetanje | T_05 | | 1 901,4 | 217,4 | |
| 757300 | DEFAULT | 4 | 4 | Ubrzanje | Maksimum za uzlijetanje | T_01 | | 2 061,8 | 228 | |
| 757300 | DEFAULT | 4 | 5 | Penjanje | Maksimum za uzlijetanje | T_00 | 2 099 | | | |
| 757300 | DEFAULT | 4 | 6 | Penjanje | Maksimum za penjanje | T_00 | 3 000 | | | |
| 757300 | DEFAULT | 4 | 7 | Ubrzanje | Maksimum za penjanje | T_00 | | 1 374,1 | 250 | |
| 757300 | DEFAULT | 4 | 8 | Penjanje | Maksimum za penjanje | T_00 | 5 500 | | | |
| 757300 | DEFAULT | 4 | 9 | Penjanje | Maksimum za penjanje | T_00 | 7 500 | | | |
| 757300 | DEFAULT | 4 | 10 | Penjanje | Maksimum za penjanje | T_00 | 10 000 | | | |
| 757300 | DEFAULT | 5 | 1 | Uzlijeta-nje | Maksimum za uzlijetanje | T_05 | | | | |

▼**M2**

| ACFTID | Oznaka profila (Profile_ID) | Dulji-na faze | Broj koraka | Tip koraka | Režim rada motora | Zakrilca (Flap_ID) | Visina krajnje točke (ft) | Stopa penjanja (ft/min) | Kalibri-rana brzina leta u krajnjoj točki (kt) | Postot-ak ubrzan-ja (Acce-lera-te_Per-cent) (%) |
|---|---|---|---|---|---|---|---|---|---|---|
| 757300 | DEFAULT | 5 | 2 | Penjanje | Maksimum za uzlijetanje | T_05 | 1 000 | | | |
| 757300 | DEFAULT | 5 | 3 | Ubrzanje | Maksimum za uzlijetanje | T_05 | | 1 729,2 | 221,7 | |
| 757300 | DEFAULT | 5 | 4 | Ubrzanje | Maksimum za uzlijetanje | T_01 | | 1 881,8 | 236,7 | |
| 757300 | DEFAULT | 5 | 5 | Penjanje | Maksimum za uzlijetanje | T_00 | 1 891 | | | |
| 757300 | DEFAULT | 5 | 6 | Penjanje | Maksimum za penjanje | T_00 | 3 000 | | | |
| 757300 | DEFAULT | 5 | 7 | Ubrzanje | Maksimum za penjanje | T_00 | | 1 227,3 | 250 | |
| 757300 | DEFAULT | 5 | 8 | Penjanje | Maksimum za penjanje | T_00 | 5 500 | | | |
| 757300 | DEFAULT | 5 | 9 | Penjanje | Maksimum za penjanje | T_00 | 7 500 | | | |
| 757300 | DEFAULT | 5 | 10 | Penjanje | Maksimum za penjanje | T_00 | 10 000 | | | |
| 757300 | DEFAULT | 6 | 1 | Uzlijeta-nje | Maksimum za uzlijetanje | T_05 | | | | |
| 757300 | DEFAULT | 6 | 2 | Penjanje | Maksimum za uzlijetanje | T_05 | 1 000 | | | |
| 757300 | DEFAULT | 6 | 3 | Ubrzanje | Maksimum za uzlijetanje | T_05 | | 1 655 | 224 | |

▼**M2**

| ACFTID | Oznaka profila (Profile_ID) | Dulji-na faze | Broj koraka | Tip koraka | Režim rada motora | Zakrilca (Flap_ID) | Visina krajnje točke (ft) | Stopa penjanja (ft/min) | Kalibri-rana brzina leta u krajnjoj točki (kt) | Postot-ak ubrzan-ja (Acce-lera-te_Per-cent) (%) |
|---|---|---|---|---|---|---|---|---|---|---|
| 757300 | DEFAULT | 6 | 4 | Ubrzanje | Maksimum za uzlijetanje | T_01 | | 1 836,4 | 240,1 | |
| 757300 | DEFAULT | 6 | 5 | Penjanje | Maksimum za uzlijetanje | T_00 | 1 829 | | | |
| 757300 | DEFAULT | 6 | 6 | Penjanje | Maksimum za penjanje | T_00 | 3 000 | | | |
| 757300 | DEFAULT | 6 | 7 | Ubrzanje | Maksimum za penjanje | T_00 | | 1 159,2 | 250 | |
| 757300 | DEFAULT | 6 | 8 | Penjanje | Maksimum za penjanje | T_00 | 5 500 | | | |
| 757300 | DEFAULT | 6 | 9 | Penjanje | Maksimum za penjanje | T_00 | 7 500 | | | |
| 757300 | DEFAULT | 6 | 10 | Penjanje | Maksimum za penjanje | T_00 | 10 000 | | | |
| 757300 | ICAO_A | 1 | 1 | Uzlijeta-nje | Maksimum za uzlijetanje | T_05 | | | | |
| 757300 | ICAO_A | 1 | 2 | Penjanje | Maksimum za uzlijetanje | T_05 | 1 500 | | | |
| 757300 | ICAO_A | 1 | 3 | Penjanje | Maksimum za penjanje | T_05 | 3 000 | | | |
| 757300 | ICAO_A | 1 | 4 | Ubrzanje | Maksimum za penjanje | T_05 | | 1 388,6 | 198 | |
| 757300 | ICAO_A | 1 | 5 | Ubrzanje | Maksimum za penjanje | T_01 | | 1 528,2 | 215 | |

▼**M2**

| ACFTID | Oznaka profila (Profile_ID) | Dulji-na faze | Broj koraka | Tip koraka | Režim rada motora | Zakrilca (Flap_ID) | Visina krajnje točke (ft) | Stopa penjanja (ft/min) | Kalibri-rana brzina leta u krajnjoj točki (kt) | Postot-ak ubrzan-ja (Acce-lera-te_Per-cent) (%) |
|---|---|---|---|---|---|---|---|---|---|---|
| 757300 | ICAO_A | 1 | 6 | Ubrzanje | Maksimum za penjanje | T_00 | | 1 693,5 | 250 | |
| 757300 | ICAO_A | 1 | 7 | Penjanje | Maksimum za penjanje | T_00 | 5 500 | | | |
| 757300 | ICAO_A | 1 | 8 | Penjanje | Maksimum za penjanje | T_00 | 7 500 | | | |
| 757300 | ICAO_A | 1 | 9 | Penjanje | Maksimum za penjanje | T_00 | 10 000 | | | |
| 757300 | ICAO_A | 2 | 1 | Uzlijeta-nje | Maksimum za uzlijetanje | T_05 | | | | |
| 757300 | ICAO_A | 2 | 2 | Penjanje | Maksimum za uzlijetanje | T_05 | 1 500 | | | |
| 757300 | ICAO_A | 2 | 3 | Penjanje | Maksimum za penjanje | T_05 | 3 000 | | | |
| 757300 | ICAO_A | 2 | 4 | Ubrzanje | Maksimum za penjanje | T_05 | | 1 304,9 | 199,6 | |
| 757300 | ICAO_A | 2 | 5 | Ubrzanje | Maksimum za penjanje | T_01 | | 1 441 | 215,6 | |
| 757300 | ICAO_A | 2 | 6 | Ubrzanje | Maksimum za penjanje | T_00 | | 1 597,7 | 250 | |
| 757300 | ICAO_A | 2 | 7 | Penjanje | Maksimum za penjanje | T_00 | 5 500 | | | |
| 757300 | ICAO_A | 2 | 8 | Penjanje | Maksimum za penjanje | T_00 | 7 500 | | | |

▼**M2**

| ACFTID | Oznaka profila (Profile_ID) | Dulji-na faze | Broj koraka | Tip koraka | Režim rada motora | Zakrilca (Flap_ID) | Visina krajnje točke (ft) | Stopa penjanja (ft/min) | Kalibri-rana brzina leta u krajnjoj točki (kt) | Postot-ak ubrzan-ja (Acce-lera-te_Per-cent) (%) |
|---|---|---|---|---|---|---|---|---|---|---|
| 757300 | ICAO_A | 2 | 9 | Penjanje | Maksimum za penjanje | T_00 | 10 000 | | | |
| 757300 | ICAO_A | 3 | 1 | Uzlijeta-nje | Maksimum za uzlijetanje | T_05 | | | | |
| 757300 | ICAO_A | 3 | 2 | Penjanje | Maksimum za uzlijetanje | T_05 | 1 500 | | | |
| 757300 | ICAO_A | 3 | 3 | Penjanje | Maksimum za penjanje | T_05 | 3 000 | | | |
| 757300 | ICAO_A | 3 | 4 | Ubrzanje | Maksimum za penjanje | T_05 | | 1 242,3 | 201,6 | |
| 757300 | ICAO_A | 3 | 5 | Ubrzanje | Maksimum za penjanje | T_01 | | 1 357,6 | 216,7 | |
| 757300 | ICAO_A | 3 | 6 | Ubrzanje | Maksimum za penjanje | T_00 | | 1 500 | 250 | |
| 757300 | ICAO_A | 3 | 7 | Penjanje | Maksimum za penjanje | T_00 | 5 500 | | | |
| 757300 | ICAO_A | 3 | 8 | Penjanje | Maksimum za penjanje | T_00 | 7 500 | | | |
| 757300 | ICAO_A | 3 | 9 | Penjanje | Maksimum za penjanje | T_00 | 10 000 | | | |
| 757300 | ICAO_A | 4 | 1 | Uzlijeta-nje | Maksimum za uzlijetanje | T_05 | | | | |
| 757300 | ICAO_A | 4 | 2 | Penjanje | Maksimum za uzlijetanje | T_05 | 1 500 | | | |

▼M2

| ACFTID | Oznaka profila (Profile_ID) | Dulji-na faze | Broj koraka | Tip koraka | Režim rada motora | Zakrilca (Flap_ID) | Visina krajnje točke (ft) | Stopa penjanja (ft/min) | Kalibri-rana brzina leta u krajnjoj točki (kt) | Postot-ak ubrzan-ja (Acce-lera-te_Per-cent) (%) |
|---|---|---|---|---|---|---|---|---|---|---|
| 757300 | ICAO_A | 4 | 3 | Penjanje | Maksimum za penjanje | T_05 | 3 000 | | | |
| 757300 | ICAO_A | 4 | 4 | Ubrzanje | Maksimum za penjanje | T_05 | | 1 127,1 | 205,3 | |
| 757300 | ICAO_A | 4 | 5 | Ubrzanje | Maksimum za penjanje | T_01 | | 1 221,4 | 221,1 | |
| 757300 | ICAO_A | 4 | 6 | Ubrzanje | Maksimum za penjanje | T_00 | | 1 359,4 | 250 | |
| 757300 | ICAO_A | 4 | 7 | Penjanje | Maksimum za penjanje | T_00 | 5 500 | | | |
| 757300 | ICAO_A | 4 | 8 | Penjanje | Maksimum za penjanje | T_00 | 7 500 | | | |
| 757300 | ICAO_A | 4 | 9 | Penjanje | Maksimum za penjanje | T_00 | 10 000 | | | |
| 757300 | ICAO_A | 5 | 1 | Uzlijeta-nje | Maksimum za uzlijetanje | T_05 | | | | |
| 757300 | ICAO_A | 5 | 2 | Penjanje | Maksimum za uzlijetanje | T_05 | 1 500 | | | |
| 757300 | ICAO_A | 5 | 3 | Penjanje | Maksimum za penjanje | T_05 | 3 000 | | | |
| 757300 | ICAO_A | 5 | 4 | Ubrzanje | Maksimum za penjanje | T_05 | | 997,2 | 210,6 | |
| 757300 | ICAO_A | 5 | 5 | Ubrzanje | Maksimum za penjanje | T_01 | | 1 076 | 227,9 | |
| 757300 | ICAO_A | 5 | 6 | Ubrzanje | Maksimum za penjanje | T_00 | | 1 192 | 250 | |
| 757300 | ICAO_A | 5 | 7 | Penjanje | Maksimum za penjanje | T_00 | 5 500 | | | |

▼**M2**

| ACFTID | Oznaka profila (Profile_ID) | Dulji-na faze | Broj koraka | Tip koraka | Režim rada motora | Zakrilca (Flap_ID) | Visina krajnje točke (ft) | Stopa penjanja (ft/min) | Kalibri-rana brzina leta u krajnjoj točki (kt) | Postot-ak ubrzan-ja (Acce-lera-te_Per-cent) (%) |
|---|---|---|---|---|---|---|---|---|---|---|
| 757300 | ICAO_A | 5 | 8 | Penjanje | Maksimum za penjanje | T_00 | 7 500 | | | |
| 757300 | ICAO_A | 5 | 9 | Penjanje | Maksimum za penjanje | T_00 | 10 000 | | | |
| 757300 | ICAO_A | 6 | 1 | Uzlijeta-nje | Maksimum za uzlijetanje | T_05 | | | | |
| 757300 | ICAO_A | 6 | 2 | Penjanje | Maksimum za uzlijetanje | T_05 | 1 500 | | | |
| 757300 | ICAO_A | 6 | 3 | Penjanje | Maksimum za penjanje | T_05 | 3 000 | | | |
| 757300 | ICAO_A | 6 | 4 | Ubrzanje | Maksimum za penjanje | T_05 | | 945,1 | 213,2 | |
| 757300 | ICAO_A | 6 | 5 | Ubrzanje | Maksimum za penjanje | T_01 | | 1 031,2 | 230,6 | |
| 757300 | ICAO_A | 6 | 6 | Ubrzanje | Maksimum za penjanje | T_00 | | 1 127,9 | 250 | |
| 757300 | ICAO_A | 6 | 7 | Penjanje | Maksimum za penjanje | T_00 | 5 500 | | | |
| 757300 | ICAO_A | 6 | 8 | Penjanje | Maksimum za penjanje | T_00 | 7 500 | | | |
| 757300 | ICAO_A | 6 | 9 | Penjanje | Maksimum za penjanje | T_00 | 10 000 | | | |
| 757300 | ICAO_B | 1 | 1 | Uzlijeta-nje | Maksimum za uzlijetanje | T_05 | | | | |
| 757300 | ICAO_B | 1 | 2 | Penjanje | Maksimum za uzlijetanje | T_05 | 1 097 | | | |
| 757300 | ICAO_B | 1 | 3 | Ubrzanje | Maksimum za uzlijetanje | T_05 | | 2 252,1 | 211,8 | |

▼M2

| ACFTID | Oznaka profila (Profile_ID) | Dulji-na faze | Broj koraka | Tip koraka | Režim rada motora | Zakrilca (Flap_ID) | Visina krajnje točke (ft) | Stopa penjanja (ft/min) | Kalibri-rana brzina leta u krajnjoj točki (kt) | Postot-ak ubrzan-ja (Acce-lera-te_Per-cent) (%) |
|---|---|---|---|---|---|---|---|---|---|---|
| 757300 | ICAO_B | 1 | 4 | Ubrzanje | Maksimum za uzlijetanje | T_01 | | 2 480 | 215,4 | |
| 757300 | ICAO_B | 1 | 5 | Penjanje | Maksimum za uzlijetanje | T_00 | 2 569 | | | |
| 757300 | ICAO_B | 1 | 6 | Penjanje | Maksimum za penjanje | T_00 | 3 000 | | | |
| 757300 | ICAO_B | 1 | 7 | Ubrzanje | Maksimum za penjanje | T_00 | | 1 701,7 | 250 | |
| 757300 | ICAO_B | 1 | 8 | Penjanje | Maksimum za penjanje | T_00 | 5 500 | | | |
| 757300 | ICAO_B | 1 | 9 | Penjanje | Maksimum za penjanje | T_00 | 7 500 | | | |
| 757300 | ICAO_B | 1 | 10 | Penjanje | Maksimum za penjanje | T_00 | 10 000 | | | |
| 757300 | ICAO_B | 2 | 1 | Uzlijeta-nje | Maksimum za uzlijetanje | T_05 | | | | |
| 757300 | ICAO_B | 2 | 2 | Penjanje | Maksimum za uzlijetanje | T_05 | 1 041 | | | |
| 757300 | ICAO_B | 2 | 3 | Ubrzanje | Maksimum za uzlijetanje | T_05 | | 2 154,9 | 213 | |
| 757300 | ICAO_B | 2 | 4 | Ubrzanje | Maksimum za uzlijetanje | T_01 | | 2 352 | 218,6 | |
| 757300 | ICAO_B | 2 | 5 | Penjanje | Maksimum za uzlijetanje | T_00 | 2 412 | | | |
| 757300 | ICAO_B | 2 | 6 | Penjanje | Maksimum za penjanje | T_00 | 3 000 | | | |
| 757300 | ICAO_B | 2 | 7 | Ubrzanje | Maksimum za penjanje | T_00 | | 1 607,8 | 250 | |

▼**M2**

| ACFTID | Oznaka profila (Profile_ID) | Dulji-na faze | Broj koraka | Tip koraka | Režim rada motora | Zakrilca (Flap_ID) | Visina krajnje točke (ft) | Stopa penjanja (ft/min) | Kalibri-rana brzina leta u krajnjoj točki (kt) | Postot-ak ubrzan-ja (Acce-lera-te_Per-cent) (%) |
|---|---|---|---|---|---|---|---|---|---|---|
| 757300 | ICAO_B | 2 | 8 | Penjanje | Maksimum za penjanje | T_00 | 5 500 | | | |
| 757300 | ICAO_B | 2 | 9 | Penjanje | Maksimum za penjanje | T_00 | 7 500 | | | |
| 757300 | ICAO_B | 2 | 10 | Penjanje | Maksimum za penjanje | T_00 | 10 000 | | | |
| 757300 | ICAO_B | 3 | 1 | Uzlijeta-nje | Maksimum za uzlijetanje | T_05 | | | | |
| 757300 | ICAO_B | 3 | 2 | Penjanje | Maksimum za uzlijetanje | T_05 | 1 000 | | | |
| 757300 | ICAO_B | 3 | 3 | Ubrzanje | Maksimum za uzlijetanje | T_05 | | 2 062 | 214,5 | |
| 757300 | ICAO_B | 3 | 4 | Ubrzanje | Maksimum za uzlijetanje | T_01 | | 2 223,5 | 221,8 | |
| 757300 | ICAO_B | 3 | 5 | Penjanje | Maksimum za uzlijetanje | T_00 | 2 275 | | | |
| 757300 | ICAO_B | 3 | 6 | Penjanje | Maksimum za penjanje | T_00 | 3 000 | | | |
| 757300 | ICAO_B | 3 | 7 | Ubrzanje | Maksimum za penjanje | T_00 | | 1 521,8 | 250 | |
| 757300 | ICAO_B | 3 | 8 | Penjanje | Maksimum za penjanje | T_00 | 5 500 | | | |
| 757300 | ICAO_B | 3 | 9 | Penjanje | Maksimum za penjanje | T_00 | 7 500 | | | |
| 757300 | ICAO_B | 3 | 10 | Penjanje | Maksimum za penjanje | T_00 | 10 000 | | | |
| 757300 | ICAO_B | 4 | 1 | Uzlijeta-nje | Maksimum za uzlijetanje | T_05 | | | | |

▼**M2**

| ACFTID | Oznaka profila (Profile_ID) | Dulji-na faze | Broj koraka | Tip koraka | Režim rada motora | Zakrilca (Flap_ID) | Visina krajnje točke (ft) | Stopa penjanja (ft/min) | Kalibri-rana brzina leta u krajnjoj točki (kt) | Postot-ak ubrzan-ja (Acce-lera-te_Per-cent) (%) |
|---|---|---|---|---|---|---|---|---|---|---|
| 757300 | ICAO_B | 4 | 2 | Penjanje | Maksimum za uzlijetanje | T_05 | 1 000 | | | |
| 757300 | ICAO_B | 4 | 3 | Ubrzanje | Maksimum za uzlijetanje | T_05 | | 1 901,4 | 217,4 | |
| 757300 | ICAO_B | 4 | 4 | Ubrzanje | Maksimum za uzlijetanje | T_01 | | 2 061,8 | 228 | |
| 757300 | ICAO_B | 4 | 5 | Penjanje | Maksimum za uzlijetanje | T_00 | 2 099 | | | |
| 757300 | ICAO_B | 4 | 6 | Penjanje | Maksimum za penjanje | T_00 | 3 000 | | | |
| 757300 | ICAO_B | 4 | 7 | Ubrzanje | Maksimum za penjanje | T_00 | | 1 374,1 | 250 | |
| 757300 | ICAO_B | 4 | 8 | Penjanje | Maksimum za penjanje | T_00 | 5 500 | | | |
| 757300 | ICAO_B | 4 | 9 | Penjanje | Maksimum za penjanje | T_00 | 7 500 | | | |
| 757300 | ICAO_B | 4 | 10 | Penjanje | Maksimum za penjanje | T_00 | 10 000 | | | |
| 757300 | ICAO_B | 5 | 1 | Uzlijeta-nje | Maksimum za uzlijetanje | T_05 | | | | |
| 757300 | ICAO_B | 5 | 2 | Penjanje | Maksimum za uzlijetanje | T_05 | 1 000 | | | |
| 757300 | ICAO_B | 5 | 3 | Ubrzanje | Maksimum za uzlijetanje | T_05 | | 1 729,2 | 221,7 | |
| 757300 | ICAO_B | 5 | 4 | Ubrzanje | Maksimum za uzlijetanje | T_01 | | 1 881,8 | 236,7 | |
| 757300 | ICAO_B | 5 | 5 | Penjanje | Maksimum za uzlijetanje | T_00 | 1 891 | | | |
| 757300 | ICAO_B | 5 | 6 | Penjanje | Maksimum za penjanje | T_00 | 3 000 | | | |

▼**M2**

| ACFTID | Oznaka profila (Profile_ID) | Dulji-na faze | Broj koraka | Tip koraka | Režim rada motora | Zakrilca (Flap_ID) | Visina krajnje točke (ft) | Stopa penjanja (ft/min) | Kalibri-rana brzina leta u krajnjoj točki (kt) | Postot-ak ubrzan-ja (Acce-lera-te_Per-cent) (%) |
|---|---|---|---|---|---|---|---|---|---|---|
| 757300 | ICAO_B | 5 | 7 | Ubrzanje | Maksimum za penjanje | T_00 | | 1 227,3 | 250 | |
| 757300 | ICAO_B | 5 | 8 | Penjanje | Maksimum za penjanje | T_00 | 5 500 | | | |
| 757300 | ICAO_B | 5 | 9 | Penjanje | Maksimum za penjanje | T_00 | 7 500 | | | |
| 757300 | ICAO_B | 5 | 10 | Penjanje | Maksimum za penjanje | T_00 | 10 000 | | | |
| 757300 | ICAO_B | 6 | 1 | Uzlijeta-nje | Maksimum za uzlijetanje | T_05 | | | | |
| 757300 | ICAO_B | 6 | 2 | Penjanje | Maksimum za uzlijetanje | T_05 | 1 000 | | | |
| 757300 | ICAO_B | 6 | 3 | Ubrzanje | Maksimum za uzlijetanje | T_05 | | 1 655 | 224 | |
| 757300 | ICAO_B | 6 | 4 | Ubrzanje | Maksimum za uzlijetanje | T_01 | | 1 836,4 | 240,1 | |
| 757300 | ICAO_B | 6 | 5 | Penjanje | Maksimum za uzlijetanje | T_00 | 1 829 | | | |
| 757300 | ICAO_B | 6 | 6 | Penjanje | Maksimum za penjanje | T_00 | 3 000 | | | |
| 757300 | ICAO_B | 6 | 7 | Ubrzanje | Maksimum za penjanje | T_00 | | 1 159,2 | 250 | |
| 757300 | ICAO_B | 6 | 8 | Penjanje | Maksimum za penjanje | T_00 | 5 500 | | | |
| 757300 | ICAO_B | 6 | 9 | Penjanje | Maksimum za penjanje | T_00 | 7 500 | | | |
| 757300 | ICAO_B | 6 | 10 | Penjanje | Maksimum za penjanje | T_00 | 10 000 | | | |
| 757PW | DEFAULT | 1 | 1 | Uzlijeta-nje | Maksimum za uzlijetanje | 5 | | | | |

▼**M2**

| ACFTID | Oznaka profila (Profile_ID) | Dulji-na faze | Broj koraka | Tip koraka | Režim rada motora | Zakrilca (Flap_ID) | Visina krajnje točke (ft) | Stopa penjanja (ft/min) | Kalibri-rana brzina leta u krajnjoj točki (kt) | Postot-ak ubrzan-ja (Acce-lera-te_Per-cent) (%) |
|---|---|---|---|---|---|---|---|---|---|---|
| 757PW | DEFAULT | 1 | 2 | Penjanje | Maksimum za uzlijetanje | 5 | 1 000 | | | |
| 757PW | DEFAULT | 1 | 3 | Ubrzanje | Maksimum za penjanje | T_05 | | 1 471 | 190,1 | |
| 757PW | DEFAULT | 1 | 4 | Ubrzanje | Maksimum za penjanje | T_01 | | 1 636,4 | 206 | |
| 757PW | DEFAULT | 1 | 5 | Penjanje | Maksimum za penjanje | T_00 | 3 000 | | | |
| 757PW | DEFAULT | 1 | 6 | Ubrzanje | Maksimum za penjanje | T_00 | | 1 822,2 | 250 | |
| 757PW | DEFAULT | 1 | 7 | Penjanje | Maksimum za penjanje | ZERO | 5 500 | | | |
| 757PW | DEFAULT | 1 | 8 | Penjanje | Maksimum za penjanje | ZERO | 7 500 | | | |
| 757PW | DEFAULT | 1 | 9 | Penjanje | Maksimum za penjanje | ZERO | 10 000 | | | |
| 757PW | DEFAULT | 2 | 1 | Uzlijeta-nje | Maksimum za uzlijetanje | 5 | | | | |
| 757PW | DEFAULT | 2 | 2 | Penjanje | Maksimum za uzlijetanje | 5 | 1 000 | | | |
| 757PW | DEFAULT | 2 | 3 | Ubrzanje | Maksimum za penjanje | T_05 | | 1 403,6 | 191,4 | |
| 757PW | DEFAULT | 2 | 4 | Ubrzanje | Maksimum za penjanje | T_01 | | 1 568,2 | 208,7 | |
| 757PW | DEFAULT | 2 | 5 | Penjanje | Maksimum za penjanje | T_00 | 3 000 | | | |
| 757PW | DEFAULT | 2 | 6 | Ubrzanje | Maksimum za penjanje | T_00 | | 1 742,7 | 250 | |

▼**M2**

| ACFTID | Oznaka profila (Profile_ID) | Dulji-na faze | Broj koraka | Tip koraka | Režim rada motora | Zakrilca (Flap_ID) | Visina krajnje točke (ft) | Stopa penjanja (ft/min) | Kalibri-rana brzina leta u krajnjoj točki (kt) | Postot-ak ubrzan-ja (Acce-lera-te_Per-cent) (%) |
|---|---|---|---|---|---|---|---|---|---|---|
| 757PW | DEFAULT | 2 | 7 | Penjanje | Maksimum za penjanje | ZERO | 5 500 | | | |
| 757PW | DEFAULT | 2 | 8 | Penjanje | Maksimum za penjanje | ZERO | 7 500 | | | |
| 757PW | DEFAULT | 2 | 9 | Penjanje | Maksimum za penjanje | ZERO | 10 000 | | | |
| 757PW | DEFAULT | 3 | 1 | Uzlijeta-nje | Maksimum za uzlijetanje | 5 | | | | |
| 757PW | DEFAULT | 3 | 2 | Penjanje | Maksimum za uzlijetanje | 5 | 1 000 | | | |
| 757PW | DEFAULT | 3 | 3 | Ubrzanje | Maksimum za penjanje | T_05 | | 1 339,2 | 193 | |
| 757PW | DEFAULT | 3 | 4 | Ubrzanje | Maksimum za penjanje | T_01 | | 1 495,9 | 211,1 | |
| 757PW | DEFAULT | 3 | 5 | Ubrzanje | Maksimum za penjanje | T_00 | | 1 666,7 | 211,6 | |
| 757PW | DEFAULT | 3 | 6 | Penjanje | Maksimum za penjanje | T_00 | 3 000 | | | |
| 757PW | DEFAULT | 3 | 7 | Ubrzanje | Maksimum za penjanje | T_00 | | 1 661 | 250 | |
| 757PW | DEFAULT | 3 | 8 | Penjanje | Maksimum za penjanje | ZERO | 5 500 | | | |
| 757PW | DEFAULT | 3 | 9 | Penjanje | Maksimum za penjanje | ZERO | 7 500 | | | |
| 757PW | DEFAULT | 3 | 10 | Penjanje | Maksimum za penjanje | ZERO | 10 000 | | | |
| 757PW | DEFAULT | 4 | 1 | Uzlijeta-nje | Maksimum za uzlijetanje | 5 | | | | |

▼**M2**

| ACFTID | Oznaka profila (Profile_ID) | Dulji-na faze | Broj koraka | Tip koraka | Režim rada motora | Zakrilca (Flap_ID) | Visina krajnje točke (ft) | Stopa penjanja (ft/min) | Kalibri-rana brzina leta u krajnjoj točki (kt) | Postot-ak ubrzan-ja (Acce-lera-te_Per-cent) (%) |
|---|---|---|---|---|---|---|---|---|---|---|
| 757PW | DEFAULT | 4 | 2 | Penjanje | Maksimum za uzlijetanje | 5 | 1 000 | | | |
| 757PW | DEFAULT | 4 | 3 | Ubrzanje | Maksimum za penjanje | T_05 | | 1 213,5 | 196,4 | |
| 757PW | DEFAULT | 4 | 4 | Ubrzanje | Maksimum za penjanje | T_01 | | 1 353,6 | 213,7 | |
| 757PW | DEFAULT | 4 | 5 | Ubrzanje | Maksimum za penjanje | T_00 | | 1 460,3 | 217,4 | |
| 757PW | DEFAULT | 4 | 6 | Penjanje | Maksimum za penjanje | T_00 | 3 000 | | | |
| 757PW | DEFAULT | 4 | 7 | Ubrzanje | Maksimum za penjanje | T_00 | | 1 510,6 | 250 | |
| 757PW | DEFAULT | 4 | 8 | Penjanje | Maksimum za penjanje | ZERO | 5 500 | | | |
| 757PW | DEFAULT | 4 | 9 | Penjanje | Maksimum za penjanje | ZERO | 7 500 | | | |
| 757PW | DEFAULT | 4 | 10 | Penjanje | Maksimum za penjanje | ZERO | 10 000 | | | |
| 757PW | DEFAULT | 5 | 1 | Uzlijeta-nje | Maksimum za uzlijetanje | 5 | | | | |
| 757PW | DEFAULT | 5 | 2 | Penjanje | Maksimum za uzlijetanje | 5 | 1 000 | | | |
| 757PW | DEFAULT | 5 | 3 | Ubrzanje | Maksimum za penjanje | T_05 | | 1 082,9 | 200,8 | |
| 757PW | DEFAULT | 5 | 4 | Ubrzanje | Maksimum za penjanje | T_01 | | 1 212 | 218,5 | |
| 757PW | DEFAULT | 5 | 5 | Ubrzanje | Maksimum za penjanje | T_00 | | 1 291,1 | 224,3 | |

▼**M2**

| ACFTID | Oznaka profila (Profile_ID) | Dulji-na faze | Broj koraka | Tip koraka | Režim rada motora | Zakrilca (Flap_ID) | Visina krajnje točke (ft) | Stopa penjanja (ft/min) | Kalibri-rana brzina leta u krajnjoj točki (kt) | Postot-ak ubrzan-ja (Acce-lera-te_Per-cent) (%) |
|---|---|---|---|---|---|---|---|---|---|---|
| 757PW | DEFAULT | 5 | 6 | Penjanje | Maksimum za penjanje | T_00 | 3 000 | | | |
| 757PW | DEFAULT | 5 | 7 | Ubrzanje | Maksimum za penjanje | T_00 | | 1 352,4 | 250 | |
| 757PW | DEFAULT | 5 | 8 | Penjanje | Maksimum za penjanje | ZERO | 5 500 | | | |
| 757PW | DEFAULT | 5 | 9 | Penjanje | Maksimum za penjanje | ZERO | 7 500 | | | |
| 757PW | DEFAULT | 5 | 10 | Penjanje | Maksimum za penjanje | ZERO | 10 000 | | | |
| 757PW | DEFAULT | 6 | 1 | Uzlijeta-nje | Maksimum za uzlijetanje | 5 | | | | |
| 757PW | DEFAULT | 6 | 2 | Penjanje | Maksimum za uzlijetanje | 5 | 1 000 | | | |
| 757PW | DEFAULT | 6 | 3 | Ubrzanje | Maksimum za penjanje | T_05 | | 1 005,7 | 203,9 | |
| 757PW | DEFAULT | 6 | 4 | Ubrzanje | Maksimum za penjanje | T_01 | | 1 124,3 | 221,9 | |
| 757PW | DEFAULT | 6 | 5 | Ubrzanje | Maksimum za penjanje | T_00 | | 1 220 | 228,7 | |
| 757PW | DEFAULT | 6 | 6 | Penjanje | Maksimum za penjanje | T_00 | 3 000 | | | |
| 757PW | DEFAULT | 6 | 7 | Ubrzanje | Maksimum za penjanje | T_00 | | 1 259,5 | 250 | |
| 757PW | DEFAULT | 6 | 8 | Penjanje | Maksimum za penjanje | ZERO | 5 500 | | | |
| 757PW | DEFAULT | 6 | 9 | Penjanje | Maksimum za penjanje | ZERO | 7 500 | | | |

▼**M2**

| ACFTID | Oznaka profila (Profile_ID) | Dulji-na faze | Broj koraka | Tip koraka | Režim rada motora | Zakrilca (Flap_ID) | Visina krajnje točke (ft) | Stopa penjanja (ft/min) | Kalibri-rana brzina leta u krajnjoj točki (kt) | Postot-ak ubrzan-ja (Acce-lera-te_Per-cent) (%) |
|---|---|---|---|---|---|---|---|---|---|---|
| 757PW | DEFAULT | 6 | 10 | Penjanje | Maksimum za penjanje | ZERO | 10 000 | | | |
| 757PW | DEFAULT | 7 | 1 | Uzlijeta-nje | Maksimum za uzlijetanje | 5 | | | | |
| 757PW | DEFAULT | 7 | 2 | Penjanje | Maksimum za uzlijetanje | 5 | 1 000 | | | |
| 757PW | DEFAULT | 7 | 3 | Ubrzanje | Maksimum za penjanje | T_05 | | 938,1 | 207 | |
| 757PW | DEFAULT | 7 | 4 | Ubrzanje | Maksimum za penjanje | T_01 | | 1 052,4 | 225,2 | |
| 757PW | DEFAULT | 7 | 5 | Ubrzanje | Maksimum za penjanje | T_00 | | 1 134,5 | 233,3 | |
| 757PW | DEFAULT | 7 | 6 | Penjanje | Maksimum za penjanje | T_00 | 3 000 | | | |
| 757PW | DEFAULT | 7 | 7 | Ubrzanje | Maksimum za penjanje | T_00 | | 1 172,9 | 250 | |
| 757PW | DEFAULT | 7 | 8 | Penjanje | Maksimum za penjanje | ZERO | 5 500 | | | |
| 757PW | DEFAULT | 7 | 9 | Penjanje | Maksimum za penjanje | ZERO | 7 500 | | | |
| 757PW | DEFAULT | 7 | 10 | Penjanje | Maksimum za penjanje | ZERO | 10 000 | | | |
| 757PW | ICAO_A | 1 | 1 | Uzlijeta-nje | Maksimum za uzlijetanje | 5 | | | | |
| 757PW | ICAO_A | 1 | 2 | Penjanje | Maksimum za uzlijetanje | 5 | 1 500 | | | |
| 757PW | ICAO_A | 1 | 3 | Penjanje | Maksimum za penjanje | T_05 | 3 000 | | | |

▼**M2**

| ACFTID | Oznaka profila (Profile_ID) | Dulji-na faze | Broj koraka | Tip koraka | Režim rada motora | Zakrilca (Flap_ID) | Visina krajnje točke (ft) | Stopa penjanja (ft/min) | Kalibri-rana brzina leta u krajnjoj točki (kt) | Postot-ak ubrzan-ja (Acce-lera-te_Per-cent) (%) |
|---|---|---|---|---|---|---|---|---|---|---|
| 757PW | ICAO_A | 1 | 4 | Ubrzanje | Maksimum za penjanje | T_05 | | 1 399,5 | 188 | |
| 757PW | ICAO_A | 1 | 5 | Ubrzanje | Maksimum za penjanje | T_01 | | 1 605,4 | 205,8 | |
| 757PW | ICAO_A | 1 | 6 | Ubrzanje | Maksimum za penjanje | ZERO | | 1 804,8 | 250 | |
| 757PW | ICAO_A | 1 | 7 | Penjanje | Maksimum za penjanje | ZERO | 5 500 | | | |
| 757PW | ICAO_A | 1 | 8 | Penjanje | Maksimum za penjanje | ZERO | 7 500 | | | |
| 757PW | ICAO_A | 1 | 9 | Penjanje | Maksimum za penjanje | ZERO | 10 000 | | | |
| 757PW | ICAO_A | 2 | 1 | Uzlijeta-nje | Maksimum za uzlijetanje | 5 | | | | |
| 757PW | ICAO_A | 2 | 2 | Penjanje | Maksimum za uzlijetanje | 5 | 1 500 | | | |
| 757PW | ICAO_A | 2 | 3 | Penjanje | Maksimum za penjanje | T_05 | 3 000 | | | |
| 757PW | ICAO_A | 2 | 4 | Ubrzanje | Maksimum za penjanje | T_05 | | 1 337,7 | 189,5 | |
| 757PW | ICAO_A | 2 | 5 | Ubrzanje | Maksimum za penjanje | T_01 | | 1 522,3 | 207,2 | |
| 757PW | ICAO_A | 2 | 6 | Ubrzanje | Maksimum za penjanje | ZERO | | 1 725,5 | 250 | |
| 757PW | ICAO_A | 2 | 7 | Penjanje | Maksimum za penjanje | ZERO | 5 500 | | | |
| 757PW | ICAO_A | 2 | 8 | Penjanje | Maksimum za penjanje | ZERO | 7 500 | | | |

▼**M2**

| ACFTID | Oznaka profila (Profile_ID) | Dulji-na faze | Broj koraka | Tip koraka | Režim rada motora | Zakrilca (Flap_ID) | Visina krajnje točke (ft) | Stopa penjanja (ft/min) | Kalibri-rana brzina leta u krajnjoj točki (kt) | Postot-ak ubrzan-ja (Acce-lera-te_Per-cent) (%) |
|---|---|---|---|---|---|---|---|---|---|---|
| 757PW | ICAO_A | 2 | 9 | Penjanje | Maksimum za penjanje | ZERO | 10 000 | | | |
| 757PW | ICAO_A | 3 | 1 | Uzlijeta-nje | Maksimum za uzlijetanje | 5 | | | | |
| 757PW | ICAO_A | 3 | 2 | Penjanje | Maksimum za uzlijetanje | 5 | 1 500 | | | |
| 757PW | ICAO_A | 3 | 3 | Penjanje | Maksimum za penjanje | 5 | 3 000 | | | |
| 757PW | ICAO_A | 3 | 4 | Ubrzanje | Maksimum za penjanje | T_05 | | 1 271,9 | 191,1 | |
| 757PW | ICAO_A | 3 | 5 | Ubrzanje | Maksimum za penjanje | T_01 | | 1 451,8 | 208,2 | |
| 757PW | ICAO_A | 3 | 6 | Ubrzanje | Maksimum za penjanje | ZERO | | 1 638 | 250 | |
| 757PW | ICAO_A | 3 | 7 | Penjanje | Maksimum za penjanje | ZERO | 5 500 | | | |
| 757PW | ICAO_A | 3 | 8 | Penjanje | Maksimum za penjanje | ZERO | 7 500 | | | |
| 757PW | ICAO_A | 3 | 9 | Penjanje | Maksimum za penjanje | ZERO | 10 000 | | | |
| 757PW | ICAO_A | 4 | 1 | Uzlijeta-nje | Maksimum za uzlijetanje | 5 | | | | |
| 757PW | ICAO_A | 4 | 2 | Penjanje | Maksimum za uzlijetanje | 5 | 1 500 | | | |
| 757PW | ICAO_A | 4 | 3 | Penjanje | Maksimum za penjanje | 5 | 3 000 | | | |
| 757PW | ICAO_A | 4 | 4 | Ubrzanje | Maksimum za penjanje | T_05 | | 1 153,8 | 194,7 | |

▼**M2**

| ACFTID | Oznaka profila (Profile_ID) | Dulji-na faze | Broj koraka | Tip koraka | Režim rada motora | Zakrilca (Flap_ID) | Visina krajnje točke (ft) | Stopa penjanja (ft/min) | Kalibri-rana brzina leta u krajnjoj točki (kt) | Postot-ak ubrzan-ja (Acce-lera-te_Per-cent) (%) |
|---|---|---|---|---|---|---|---|---|---|---|
| 757PW | ICAO_A | 4 | 5 | Ubrzanje | Maksimum za penjanje | T_01 | | 1 312,6 | 212,2 | |
| 757PW | ICAO_A | 4 | 6 | Ubrzanje | Maksimum za penjanje | ZERO | | 1 486 | 250 | |
| 757PW | ICAO_A | 4 | 7 | Penjanje | Maksimum za penjanje | ZERO | 5 500 | | | |
| 757PW | ICAO_A | 4 | 8 | Penjanje | Maksimum za penjanje | ZERO | 7 500 | | | |
| 757PW | ICAO_A | 4 | 9 | Penjanje | Maksimum za penjanje | ZERO | 10 000 | | | |
| 757PW | ICAO_A | 5 | 1 | Uzlijeta-nje | Maksimum za uzlijetanje | 5 | | | | |
| 757PW | ICAO_A | 5 | 2 | Penjanje | Maksimum za uzlijetanje | 5 | 1 500 | | | |
| 757PW | ICAO_A | 5 | 3 | Penjanje | Maksimum za penjanje | 5 | 3 000 | | | |
| 757PW | ICAO_A | 5 | 4 | Ubrzanje | Maksimum za penjanje | T_05 | | 1 028,8 | 199,2 | |
| 757PW | ICAO_A | 5 | 5 | Ubrzanje | Maksimum za penjanje | T_01 | | 1 171,1 | 217,2 | |
| 757PW | ICAO_A | 5 | 6 | Ubrzanje | Maksimum za penjanje | ZERO | | 1 325,6 | 250 | |
| 757PW | ICAO_A | 5 | 7 | Penjanje | Maksimum za penjanje | ZERO | 5 500 | | | |
| 757PW | ICAO_A | 5 | 8 | Penjanje | Maksimum za penjanje | ZERO | 7 500 | | | |
| 757PW | ICAO_A | 5 | 9 | Penjanje | Maksimum za penjanje | ZERO | 10 000 | | | |

▼M2

| ACFTID | Oznaka profila (Profile_ID) | Dulji-na faze | Broj koraka | Tip koraka | Režim rada motora | Zakrilca (Flap_ID) | Visina krajnje točke (ft) | Stopa penjanja (ft/min) | Kalibri-rana brzina leta u krajnjoj točki (kt) | Postot-ak ubrzan-ja (Acce-lera-te_Per-cent) (%) |
|---|---|---|---|---|---|---|---|---|---|---|
| 757PW | ICAO_A | 6 | 1 | Uzlijeta-nje | Maksimum za uzlijetanje | 5 | | | | |
| 757PW | ICAO_A | 6 | 2 | Penjanje | Maksimum za uzlijetanje | 5 | 1 500 | | | |
| 757PW | ICAO_A | 6 | 3 | Penjanje | Maksimum za penjanje | 5 | 3 000 | | | |
| 757PW | ICAO_A | 6 | 4 | Ubrzanje | Maksimum za penjanje | T_05 | | 953,4 | 202,5 | |
| 757PW | ICAO_A | 6 | 5 | Ubrzanje | Maksimum za penjanje | T_01 | | 1 087,8 | 220,6 | |
| 757PW | ICAO_A | 6 | 6 | Ubrzanje | Maksimum za penjanje | ZERO | | 1 225,5 | 250 | |
| 757PW | ICAO_A | 6 | 7 | Penjanje | Maksimum za penjanje | ZERO | 5 500 | | | |
| 757PW | ICAO_A | 6 | 8 | Penjanje | Maksimum za penjanje | ZERO | 7 500 | | | |
| 757PW | ICAO_A | 6 | 9 | Penjanje | Maksimum za penjanje | ZERO | 10 000 | | | |
| 757PW | ICAO_A | 7 | 1 | Uzlijeta-nje | Maksimum za uzlijetanje | 5 | | | | |
| 757PW | ICAO_A | 7 | 2 | Penjanje | Maksimum za uzlijetanje | 5 | 1 500 | | | |
| 757PW | ICAO_A | 7 | 3 | Penjanje | Maksimum za penjanje | 5 | 3 000 | | | |
| 757PW | ICAO_A | 7 | 4 | Ubrzanje | Maksimum za penjanje | T_05 | | 886,5 | 205,7 | |
| 757PW | ICAO_A | 7 | 5 | Ubrzanje | Maksimum za penjanje | T_01 | | 1 012,8 | 224 | |
| 757PW | ICAO_A | 7 | 6 | Ubrzanje | Maksimum za penjanje | ZERO | | 1 140,1 | 250 | |

▼**M2**

| ACFTID | Oznaka profila (Profile_ID) | Dulji-na faze | Broj koraka | Tip koraka | Režim rada motora | Zakrilca (Flap_ID) | Visina krajnje točke (ft) | Stopa penjanja (ft/min) | Kalibri-rana brzina leta u krajnjoj točki (kt) | Postot-ak ubrzan-ja (Acce-lera-te_Per-cent) (%) |
|---|---|---|---|---|---|---|---|---|---|---|
| 757PW | ICAO_A | 7 | 7 | Penjanje | Maksimum za penjanje | ZERO | 5 500 | | | |
| 757PW | ICAO_A | 7 | 8 | Penjanje | Maksimum za penjanje | ZERO | 7 500 | | | |
| 757PW | ICAO_A | 7 | 9 | Penjanje | Maksimum za penjanje | ZERO | 10 000 | | | |
| 757PW | ICAO_B | 1 | 1 | Uzlijeta-nje | Maksimum za uzlijetanje | 5 | | | | |
| 757PW | ICAO_B | 1 | 2 | Penjanje | Maksimum za uzlijetanje | 5 | 1 000 | | | |
| 757PW | ICAO_B | 1 | 3 | Ubrzanje | Maksimum za uzlijetanje | 5 | | 1 970,1 | 206 | |
| 757PW | ICAO_B | 1 | 4 | Penjanje | Maksimum za penjanje | ZERO | 3 000 | | | |
| 757PW | ICAO_B | 1 | 5 | Ubrzanje | Maksimum za penjanje | ZERO | | 1 821,5 | 250 | |
| 757PW | ICAO_B | 1 | 6 | Penjanje | Maksimum za penjanje | ZERO | 5 500 | | | |
| 757PW | ICAO_B | 1 | 7 | Penjanje | Maksimum za penjanje | ZERO | 7 500 | | | |
| 757PW | ICAO_B | 1 | 8 | Penjanje | Maksimum za penjanje | ZERO | 10 000 | | | |
| 757PW | ICAO_B | 2 | 1 | Uzlijeta-nje | Maksimum za uzlijetanje | 5 | | | | |
| 757PW | ICAO_B | 2 | 2 | Penjanje | Maksimum za uzlijetanje | 5 | 1 000 | | | |
| 757PW | ICAO_B | 2 | 3 | Ubrzanje | Maksimum za uzlijetanje | 5 | | 1 899,2 | 208,7 | |

▼**M2**

| ACFTID | Oznaka profila (Profile_ID) | Dulji-na faze | Broj koraka | Tip koraka | Režim rada motora | Zakrilca (Flap_ID) | Visina krajnje točke (ft) | Stopa penjanja (ft/min) | Kalibri-rana brzina leta u krajnjoj točki (kt) | Postot-ak ubrzan-ja (Acce-lera-te_Per-cent) (%) |
|---|---|---|---|---|---|---|---|---|---|---|
| 757PW | ICAO_B | 2 | 4 | Penjanje | Maksimum za penjanje | ZERO | 3 000 | | | |
| 757PW | ICAO_B | 2 | 5 | Ubrzanje | Maksimum za penjanje | ZERO | | 1 743,3 | 250 | |
| 757PW | ICAO_B | 2 | 6 | Penjanje | Maksimum za penjanje | ZERO | 5 500 | | | |
| 757PW | ICAO_B | 2 | 7 | Penjanje | Maksimum za penjanje | ZERO | 7 500 | | | |
| 757PW | ICAO_B | 2 | 8 | Penjanje | Maksimum za penjanje | ZERO | 10 000 | | | |
| 757PW | ICAO_B | 3 | 1 | Uzlijeta-nje | Maksimum za uzlijetanje | 5 | | | | |
| 757PW | ICAO_B | 3 | 2 | Penjanje | Maksimum za uzlijetanje | 5 | 1 000 | | | |
| 757PW | ICAO_B | 3 | 3 | Ubrzanje | Maksimum za uzlijetanje | 5 | | 1 825,8 | 211,6 | |
| 757PW | ICAO_B | 3 | 4 | Penjanje | Maksimum za penjanje | ZERO | 3 000 | | | |
| 757PW | ICAO_B | 3 | 5 | Ubrzanje | Maksimum za penjanje | ZERO | | 1 659,4 | 250 | |
| 757PW | ICAO_B | 3 | 6 | Penjanje | Maksimum za penjanje | ZERO | 5 500 | | | |
| 757PW | ICAO_B | 3 | 7 | Penjanje | Maksimum za penjanje | ZERO | 7 500 | | | |
| 757PW | ICAO_B | 3 | 8 | Penjanje | Maksimum za penjanje | ZERO | 10 000 | | | |
| 757PW | ICAO_B | 4 | 1 | Uzlijeta-nje | Maksimum za uzlijetanje | 5 | | | | |

▼**M2**

| ACFTID | Oznaka profila (Profile_ID) | Dulji-na faze | Broj koraka | Tip koraka | Režim rada motora | Zakrilca (Flap_ID) | Visina krajnje točke (ft) | Stopa penjanja (ft/min) | Kalibri-rana brzina leta u krajnjoj točki (kt) | Postot-ak ubrzan-ja (Acce-lera-te_Per-cent) (%) |
|---|---|---|---|---|---|---|---|---|---|---|
| 757PW | ICAO_B | 4 | 2 | Penjanje | Maksimum za uzlijetanje | 5 | 1 000 | | | |
| 757PW | ICAO_B | 4 | 3 | Ubrzanje | Maksimum za uzlijetanje | 5 | | 1 690,7 | 217,4 | |
| 757PW | ICAO_B | 4 | 4 | Penjanje | Maksimum za penjanje | ZERO | 3 000 | | | |
| 757PW | ICAO_B | 4 | 5 | Ubrzanje | Maksimum za penjanje | ZERO | | 1 512,3 | 250 | |
| 757PW | ICAO_B | 4 | 6 | Penjanje | Maksimum za penjanje | ZERO | 5 500 | | | |
| 757PW | ICAO_B | 4 | 7 | Penjanje | Maksimum za penjanje | ZERO | 7 500 | | | |
| 757PW | ICAO_B | 4 | 8 | Penjanje | Maksimum za penjanje | ZERO | 10 000 | | | |
| 757PW | ICAO_B | 5 | 1 | Uzlijeta-nje | Maksimum za uzlijetanje | 5 | | | | |
| 757PW | ICAO_B | 5 | 2 | Penjanje | Maksimum za uzlijetanje | 5 | 1 000 | | | |
| 757PW | ICAO_B | 5 | 3 | Ubrzanje | Maksimum za uzlijetanje | 5 | | 1 543,6 | 224,1 | |
| 757PW | ICAO_B | 5 | 4 | Penjanje | Maksimum za penjanje | ZERO | 3 000 | | | |
| 757PW | ICAO_B | 5 | 5 | Ubrzanje | Maksimum za penjanje | ZERO | | 1 351,8 | 250 | |
| 757PW | ICAO_B | 5 | 6 | Penjanje | Maksimum za penjanje | ZERO | 5 500 | | | |
| 757PW | ICAO_B | 5 | 7 | Penjanje | Maksimum za penjanje | ZERO | 7 500 | | | |

▼**M2**

| ACFTID | Oznaka profila (Profile_ID) | Dulji-na faze | Broj koraka | Tip koraka | Režim rada motora | Zakrilca (Flap_ID) | Visina krajnje točke (ft) | Stopa penjanja (ft/min) | Kalibri-rana brzina leta u krajnjoj točki (kt) | Postot-ak ubrzan-ja (Acce-lera-te_Per-cent) (%) |
|---|---|---|---|---|---|---|---|---|---|---|
| 757PW | ICAO_B | 5 | 8 | Penjanje | Maksimum za penjanje | ZERO | 10 000 | | | |
| 757PW | ICAO_B | 6 | 1 | Uzlijeta-nje | Maksimum za uzlijetanje | 5 | | | | |
| 757PW | ICAO_B | 6 | 2 | Penjanje | Maksimum za uzlijetanje | 5 | 1 000 | | | |
| 757PW | ICAO_B | 6 | 3 | Ubrzanje | Maksimum za uzlijetanje | 5 | | 1 458,3 | 228,7 | |
| 757PW | ICAO_B | 6 | 4 | Penjanje | Maksimum za penjanje | ZERO | 3 000 | | | |
| 757PW | ICAO_B | 6 | 5 | Ubrzanje | Maksimum za penjanje | ZERO | | 1 257,5 | 250 | |
| 757PW | ICAO_B | 6 | 6 | Penjanje | Maksimum za penjanje | ZERO | 5 500 | | | |
| 757PW | ICAO_B | 6 | 7 | Penjanje | Maksimum za penjanje | ZERO | 7 500 | | | |
| 757PW | ICAO_B | 6 | 8 | Penjanje | Maksimum za penjanje | ZERO | 10 000 | | | |
| 757PW | ICAO_B | 7 | 1 | Uzlijeta-nje | Maksimum za uzlijetanje | 5 | | | | |
| 757PW | ICAO_B | 7 | 2 | Penjanje | Maksimum za uzlijetanje | 5 | 1 000 | | | |
| 757PW | ICAO_B | 7 | 3 | Ubrzanje | Maksimum za uzlijetanje | 5 | | 1 380,6 | 233,3 | |
| 757PW | ICAO_B | 7 | 4 | Penjanje | Maksimum za penjanje | ZERO | 3 000 | | | |
| 757PW | ICAO_B | 7 | 5 | Ubrzanje | Maksimum za penjanje | ZERO | | 1 173,6 | 250 | |

▼M2

| ACFTID | Oznaka profila (Profile_ID) | Dulji-na faze | Broj koraka | Tip koraka | Režim rada motora | Zakrilca (Flap_ID) | Visina krajnje točke (ft) | Stopa penjanja (ft/min) | Kalibri-rana brzina leta u krajnjoj točki (kt) | Postot-ak ubrzan-ja (Acce-lera-te_Per-cent) (%) |
|---|---|---|---|---|---|---|---|---|---|---|
| 757PW | ICAO_B | 7 | 6 | Penjanje | Maksimum za penjanje | ZERO | 5 500 | | | |
| 757PW | ICAO_B | 7 | 7 | Penjanje | Maksimum za penjanje | ZERO | 7 500 | | | |
| 757PW | ICAO_B | 7 | 8 | Penjanje | Maksimum za penjanje | ZERO | 10 000 | | | |
| 757RR | DEFAULT | 1 | 1 | Uzlijeta-nje | Maksimum za uzlijetanje | 5 | | | | |
| 757RR | DEFAULT | 1 | 2 | Penjanje | Maksimum za uzlijetanje | 5 | 1 000 | | | |
| 757RR | DEFAULT | 1 | 3 | Ubrzanje | Maksimum za penjanje | T_05 | | 1 613,9 | 192,4 | |
| 757RR | DEFAULT | 1 | 4 | Ubrzanje | Maksimum za penjanje | T_01 | | 1 779,7 | 206,3 | |
| 757RR | DEFAULT | 1 | 5 | Penjanje | Maksimum za penjanje | ZERO | 3 000 | | | |
| 757RR | DEFAULT | 1 | 6 | Ubrzanje | Maksimum za penjanje | ZERO | | 1 966,1 | 250 | |
| 757RR | DEFAULT | 1 | 7 | Penjanje | Maksimum za penjanje | ZERO | 5 500 | | | |
| 757RR | DEFAULT | 1 | 8 | Penjanje | Maksimum za penjanje | ZERO | 7 500 | | | |
| 757RR | DEFAULT | 1 | 9 | Penjanje | Maksimum za penjanje | ZERO | 10 000 | | | |
| 757RR | DEFAULT | 2 | 1 | Uzlijeta-nje | Maksimum za uzlijetanje | 5 | | | | |

▼**M2**

| ACFTID | Oznaka profila (Profile_ID) | Dulji-na faze | Broj koraka | Tip koraka | Režim rada motora | Zakrilca (Flap_ID) | Visina krajnje točke (ft) | Stopa penjanja (ft/min) | Kalibri-rana brzina leta u krajnjoj točki (kt) | Postot-ak ubrzan-ja (Acce-lera-te_Per-cent) (%) |
|---|---|---|---|---|---|---|---|---|---|---|
| 757RR | DEFAULT | 2 | 2 | Penjanje | Maksimum za uzlijetanje | 5 | 1 000 | | | |
| 757RR | DEFAULT | 2 | 3 | Ubrzanje | Maksimum za penjanje | T_05 | | 1 544,6 | 193,9 | |
| 757RR | DEFAULT | 2 | 4 | Ubrzanje | Maksimum za penjanje | T_01 | | 1 703,3 | 209,2 | |
| 757RR | DEFAULT | 2 | 5 | Penjanje | Maksimum za penjanje | ZERO | 3 000 | | | |
| 757RR | DEFAULT | 2 | 6 | Ubrzanje | Maksimum za penjanje | ZERO | | 1 879,3 | 250 | |
| 757RR | DEFAULT | 2 | 7 | Penjanje | Maksimum za penjanje | ZERO | 5 500 | | | |
| 757RR | DEFAULT | 2 | 8 | Penjanje | Maksimum za penjanje | ZERO | 7 500 | | | |
| 757RR | DEFAULT | 2 | 9 | Penjanje | Maksimum za penjanje | ZERO | 10 000 | | | |
| 757RR | DEFAULT | 3 | 1 | Uzlijeta-nje | Maksimum za uzlijetanje | 5 | | | | |
| 757RR | DEFAULT | 3 | 2 | Penjanje | Maksimum za uzlijetanje | 5 | 1 000 | | | |
| 757RR | DEFAULT | 3 | 3 | Ubrzanje | Maksimum za penjanje | T_05 | | 1 474,6 | 195,5 | |
| 757RR | DEFAULT | 3 | 4 | Ubrzanje | Maksimum za penjanje | T_01 | | 1 627,6 | 212,2 | |
| 757RR | DEFAULT | 3 | 5 | Penjanje | Maksimum za penjanje | ZERO | 3 000 | | | |

▼**M2**

| ACFTID | Oznaka profila (Profile_ID) | Dulji-na faze | Broj koraka | Tip koraka | Režim rada motora | Zakrilca (Flap_ID) | Visina krajnje točke (ft) | Stopa penjanja (ft/min) | Kalibri-rana brzina leta u krajnjoj točki (kt) | Postot-ak ubrzan-ja (Acce-lera-te_Per-cent) (%) |
|---|---|---|---|---|---|---|---|---|---|---|
| 757RR | DEFAULT | 3 | 6 | Ubrzanje | Maksimum za penjanje | ZERO | | 1 787,2 | 250 | |
| 757RR | DEFAULT | 3 | 7 | Penjanje | Maksimum za penjanje | ZERO | 5 500 | | | |
| 757RR | DEFAULT | 3 | 8 | Penjanje | Maksimum za penjanje | ZERO | 7 500 | | | |
| 757RR | DEFAULT | 3 | 9 | Penjanje | Maksimum za penjanje | ZERO | 10 000 | | | |
| 757RR | DEFAULT | 4 | 1 | Uzlijeta-nje | Maksimum za uzlijetanje | 5 | | | | |
| 757RR | DEFAULT | 4 | 2 | Penjanje | Maksimum za uzlijetanje | 5 | 1 000 | | | |
| 757RR | DEFAULT | 4 | 3 | Ubrzanje | Maksimum za penjanje | T_05 | | 1 338 | 199 | |
| 757RR | DEFAULT | 4 | 4 | Ubrzanje | Maksimum za penjanje | T_01 | | 1 484,6 | 216,4 | |
| 757RR | DEFAULT | 4 | 5 | Ubrzanje | Maksimum za penjanje | ZERO | | 1 560 | 218,3 | |
| 757RR | DEFAULT | 4 | 6 | Penjanje | Maksimum za penjanje | ZERO | 3 000 | | | |
| 757RR | DEFAULT | 4 | 7 | Ubrzanje | Maksimum za penjanje | ZERO | | 1 623,1 | 250 | |
| 757RR | DEFAULT | 4 | 8 | Penjanje | Maksimum za penjanje | T_00 | 5 500 | | | |
| 757RR | DEFAULT | 4 | 9 | Penjanje | Maksimum za penjanje | T_00 | 7 500 | | | |

▼**M2**

| ACFTID | Oznaka profila (Profile_ID) | Dulji-na faze | Broj koraka | Tip koraka | Režim rada motora | Zakrilca (Flap_ID) | Visina krajnje točke (ft) | Stopa penjanja (ft/min) | Kalibri-rana brzina leta u krajnjoj točki (kt) | Postot-ak ubrzan-ja (Acce-lera-te_Per-cent) (%) |
|---|---|---|---|---|---|---|---|---|---|---|
| 757RR | DEFAULT | 4 | 10 | Penjanje | Maksimum za penjanje | T_00 | 10 000 | | | |
| 757RR | DEFAULT | 5 | 1 | Uzlijeta-nje | Maksimum za uzlijetanje | 5 | | | | |
| 757RR | DEFAULT | 5 | 2 | Penjanje | Maksimum za uzlijetanje | 5 | 1 000 | | | |
| 757RR | DEFAULT | 5 | 3 | Ubrzanje | Maksimum za penjanje | T_05 | | 1 196,6 | 203,7 | |
| 757RR | DEFAULT | 5 | 4 | Ubrzanje | Maksimum za penjanje | T_01 | | 1 325,3 | 221,1 | |
| 757RR | DEFAULT | 5 | 5 | Ubrzanje | Maksimum za penjanje | T_00 | | 1 400 | 225,7 | |
| 757RR | DEFAULT | 5 | 6 | Penjanje | Maksimum za penjanje | ZERO | 3 000 | | | |
| 757RR | DEFAULT | 5 | 7 | Ubrzanje | Maksimum za penjanje | ZERO | | 1 447,1 | 250 | |
| 757RR | DEFAULT | 5 | 8 | Penjanje | Maksimum za penjanje | T_00 | 5 500 | | | |
| 757RR | DEFAULT | 5 | 9 | Penjanje | Maksimum za penjanje | T_00 | 7 500 | | | |
| 757RR | DEFAULT | 5 | 10 | Penjanje | Maksimum za penjanje | ZERO | 10 000 | | | |
| 757RR | DEFAULT | 6 | 1 | Uzlijeta-nje | Maksimum za uzlijetanje | 5 | | | | |
| 757RR | DEFAULT | 6 | 2 | Penjanje | Maksimum za uzlijetanje | 5 | 1 000 | | | |

▼**M2**

| ACFTID | Oznaka profila (Profile_ID) | Dulji-na faze | Broj koraka | Tip koraka | Režim rada motora | Zakrilca (Flap_ID) | Visina krajnje točke (ft) | Stopa penjanja (ft/min) | Kalibri-rana brzina leta u krajnjoj točki (kt) | Postot-ak ubrzan-ja (Acce-lera-te_Per-cent) (%) |
|---|---|---|---|---|---|---|---|---|---|---|
| 757RR | DEFAULT | 6 | 3 | Ubrzanje | Maksimum za penjanje | T_05 | | 1 142,2 | 205,8 | |
| 757RR | DEFAULT | 6 | 4 | Ubrzanje | Maksimum za penjanje | T_01 | | 1 258 | 223,4 | |
| 757RR | DEFAULT | 6 | 5 | Ubrzanje | Maksimum za penjanje | T_00 | | 1 329,6 | 228,9 | |
| 757RR | DEFAULT | 6 | 6 | Penjanje | Maksimum za penjanje | ZERO | 3 000 | | | |
| 757RR | DEFAULT | 6 | 7 | Ubrzanje | Maksimum za penjanje | ZERO | | 1 377,4 | 250 | |
| 757RR | DEFAULT | 6 | 8 | Penjanje | Maksimum za penjanje | T_00 | 5 500 | | | |
| 757RR | DEFAULT | 6 | 9 | Penjanje | Maksimum za penjanje | T_00 | 7 500 | | | |
| 757RR | DEFAULT | 6 | 10 | Penjanje | Maksimum za penjanje | ZERO | 10 000 | | | |
| 757RR | DEFAULT | 7 | 1 | Uzlijeta-nje | Maksimum za uzlijetanje | 5 | | | | |
| 757RR | DEFAULT | 7 | 2 | Penjanje | Maksimum za uzlijetanje | 5 | 1 000 | | | |
| 757RR | DEFAULT | 7 | 3 | Ubrzanje | Maksimum za penjanje | T_05 | | 1 071,3 | 208,8 | |
| 757RR | DEFAULT | 7 | 4 | Ubrzanje | Maksimum za penjanje | T_01 | | 1 181,5 | 226,7 | |
| 757RR | DEFAULT | 7 | 5 | Ubrzanje | Maksimum za penjanje | T_00 | | 1 265,9 | 233,3 | |

▼**M2**

| ACFTID | Oznaka profila (Profile_ID) | Dulji-na faze | Broj koraka | Tip koraka | Režim rada motora | Zakrilca (Flap_ID) | Visina krajnje točke (ft) | Stopa penjanja (ft/min) | Kalibri-rana brzina leta u krajnjoj točki (kt) | Postot-ak ubrzan-ja (Acce-lera-te_Per-cent) (%) |
|---|---|---|---|---|---|---|---|---|---|---|
| 757RR | DEFAULT | 7 | 6 | Penjanje | Maksimum za penjanje | ZERO | 3 000 | | | |
| 757RR | DEFAULT | 7 | 7 | Ubrzanje | Maksimum za penjanje | ZERO | | 1 287,6 | 250 | |
| 757RR | DEFAULT | 7 | 8 | Penjanje | Maksimum za penjanje | T_00 | 5 500 | | | |
| 757RR | DEFAULT | 7 | 9 | Penjanje | Maksimum za penjanje | ZERO | 7 500 | | | |
| 757RR | DEFAULT | 7 | 10 | Penjanje | Maksimum za penjanje | ZERO | 10 000 | | | |
| 757RR | ICAO_A | 1 | 1 | Uzlijeta-nje | Maksimum za uzlijetanje | 5 | | | | |
| 757RR | ICAO_A | 1 | 2 | Penjanje | Maksimum za uzlijetanje | 5 | 1 500 | | | |
| 757RR | ICAO_A | 1 | 3 | Penjanje | Maksimum za penjanje | 5 | 3 000 | | | |
| 757RR | ICAO_A | 1 | 4 | Ubrzanje | Maksimum za penjanje | T_05 | | 1 543,3 | 190,3 | |
| 757RR | ICAO_A | 1 | 5 | Ubrzanje | Maksimum za penjanje | T_01 | | 1 735,6 | 206,1 | |
| 757RR | ICAO_A | 1 | 6 | Ubrzanje | Maksimum za penjanje | T_00 | | 1 959,8 | 250 | |
| 757RR | ICAO_A | 1 | 7 | Penjanje | Maksimum za penjanje | ZERO | 5 500 | | | |
| 757RR | ICAO_A | 1 | 8 | Penjanje | Maksimum za penjanje | ZERO | 7 500 | | | |

▼**M2**

| ACFTID | Oznaka profila (Profile_ID) | Dulji-na faze | Broj koraka | Tip koraka | Režim rada motora | Zakrilca (Flap_ID) | Visina krajnje točke (ft) | Stopa penjanja (ft/min) | Kalibri-rana brzina leta u krajnjoj točki (kt) | Postot-ak ubrzan-ja (Acce-lera-te_Per-cent) (%) |
|---|---|---|---|---|---|---|---|---|---|---|
| 757RR | ICAO_A | 1 | 9 | Penjanje | Maksimum za penjanje | ZERO | 10 000 | | | |
| 757RR | ICAO_A | 2 | 1 | Uzlijeta-nje | Maksimum za uzlijetanje | 5 | | | | |
| 757RR | ICAO_A | 2 | 2 | Penjanje | Maksimum za uzlijetanje | 5 | 1 500 | | | |
| 757RR | ICAO_A | 2 | 3 | Penjanje | Maksimum za penjanje | 5 | 3 000 | | | |
| 757RR | ICAO_A | 2 | 4 | Ubrzanje | Maksimum za penjanje | T_05 | | 1 472,7 | 191,9 | |
| 757RR | ICAO_A | 2 | 5 | Ubrzanje | Maksimum za penjanje | T_01 | | 1 660,2 | 208,9 | |
| 757RR | ICAO_A | 2 | 6 | Ubrzanje | Maksimum za penjanje | T_00 | | 1 876 | 250 | |
| 757RR | ICAO_A | 2 | 7 | Penjanje | Maksimum za penjanje | ZERO | 5 500 | | | |
| 757RR | ICAO_A | 2 | 8 | Penjanje | Maksimum za penjanje | ZERO | 7 500 | | | |
| 757RR | ICAO_A | 2 | 9 | Penjanje | Maksimum za penjanje | ZERO | 10 000 | | | |
| 757RR | ICAO_A | 3 | 1 | Uzlijeta-nje | Maksimum za uzlijetanje | 5 | | | | |
| 757RR | ICAO_A | 3 | 2 | Penjanje | Maksimum za uzlijetanje | 5 | 1 500 | | | |
| 757RR | ICAO_A | 3 | 3 | Penjanje | Maksimum za penjanje | 5 | 3 000 | | | |

▼**M2**

| ACFTID | Oznaka profila (Profile_ID) | Dulji-na faze | Broj koraka | Tip koraka | Režim rada motora | Zakrilca (Flap_ID) | Visina krajnje točke (ft) | Stopa penjanja (ft/min) | Kalibri-rana brzina leta u krajnjoj točki (kt) | Postot-ak ubrzan-ja (Acce-lera-te_Per-cent) (%) |
|---|---|---|---|---|---|---|---|---|---|---|
| 757RR | ICAO_A | 3 | 4 | Ubrzanje | Maksimum za penjanje | T_05 | | 1 401 | 193,6 | |
| 757RR | ICAO_A | 3 | 5 | Ubrzanje | Maksimum za penjanje | T_01 | | 1 590,6 | 211,5 | |
| 757RR | ICAO_A | 3 | 6 | Ubrzanje | Maksimum za penjanje | T_00 | | 1 769,2 | 250 | |
| 757RR | ICAO_A | 3 | 7 | Penjanje | Maksimum za penjanje | ZERO | 5 500 | | | |
| 757RR | ICAO_A | 3 | 8 | Penjanje | Maksimum za penjanje | ZERO | 7 500 | | | |
| 757RR | ICAO_A | 3 | 9 | Penjanje | Maksimum za penjanje | ZERO | 10 000 | | | |
| 757RR | ICAO_A | 4 | 1 | Uzlijeta-nje | Maksimum za uzlijetanje | 5 | | | | |
| 757RR | ICAO_A | 4 | 2 | Penjanje | Maksimum za uzlijetanje | 5 | 1 500 | | | |
| 757RR | ICAO_A | 4 | 3 | Penjanje | Maksimum za penjanje | 5 | 3 000 | | | |
| 757RR | ICAO_A | 4 | 4 | Ubrzanje | Maksimum za penjanje | T_05 | | 1 271,5 | 197,3 | |
| 757RR | ICAO_A | 4 | 5 | Ubrzanje | Maksimum za penjanje | T_01 | | 1 436 | 214,5 | |
| 757RR | ICAO_A | 4 | 6 | Ubrzanje | Maksimum za penjanje | T_00 | | 1 593,3 | 250 | |
| 757RR | ICAO_A | 4 | 7 | Penjanje | Maksimum za penjanje | ZERO | 5 500 | | | |

▼**M2**

| ACFTID | Oznaka profila (Profile_ID) | Dulji-na faze | Broj koraka | Tip koraka | Režim rada motora | Zakrilca (Flap_ID) | Visina krajnje točke (ft) | Stopa penjanja (ft/min) | Kalibri-rana brzina leta u krajnjoj točki (kt) | Postot-ak ubrzan-ja (Acce-lera-te_Per-cent) (%) |
|---|---|---|---|---|---|---|---|---|---|---|
| 757RR | ICAO_A | 4 | 8 | Penjanje | Maksimum za penjanje | ZERO | 7 500 | | | |
| 757RR | ICAO_A | 4 | 9 | Penjanje | Maksimum za penjanje | T_00 | 10 000 | | | |
| 757RR | ICAO_A | 5 | 1 | Uzlijeta-nje | Maksimum za uzlijetanje | 5 | | | | |
| 757RR | ICAO_A | 5 | 2 | Penjanje | Maksimum za uzlijetanje | 5 | 1 500 | | | |
| 757RR | ICAO_A | 5 | 3 | Penjanje | Maksimum za penjanje | 5 | 3 000 | | | |
| 757RR | ICAO_A | 5 | 4 | Ubrzanje | Maksimum za penjanje | T_05 | | 1 134,7 | 202,1 | |
| 757RR | ICAO_A | 5 | 5 | Ubrzanje | Maksimum za penjanje | T_01 | | 1 278,3 | 219,8 | |
| 757RR | ICAO_A | 5 | 6 | Ubrzanje | Maksimum za penjanje | T_00 | | 1 416,8 | 250 | |
| 757RR | ICAO_A | 5 | 7 | Penjanje | Maksimum za penjanje | ZERO | 5 500 | | | |
| 757RR | ICAO_A | 5 | 8 | Penjanje | Maksimum za penjanje | ZERO | 7 500 | | | |
| 757RR | ICAO_A | 5 | 9 | Penjanje | Maksimum za penjanje | ZERO | 10 000 | | | |
| 757RR | ICAO_A | 6 | 1 | Uzlijeta-nje | Maksimum za uzlijetanje | 5 | | | | |
| 757RR | ICAO_A | 6 | 2 | Penjanje | Maksimum za uzlijetanje | 5 | 1 500 | | | |

▼**M2**

| ACFTID | Oznaka profila (Profile_ID) | Dulji-na faze | Broj koraka | Tip koraka | Režim rada motora | Zakrilca (Flap_ID) | Visina krajnje točke (ft) | Stopa penjanja (ft/min) | Kalibri-rana brzina leta u krajnjoj točki (kt) | Postot-ak ubrzan-ja (Acce-lera-te_Per-cent) (%) |
|---|---|---|---|---|---|---|---|---|---|---|
| 757RR | ICAO_A | 6 | 3 | Penjanje | Maksimum za penjanje | 5 | 3 000 | | | |
| 757RR | ICAO_A | 6 | 4 | Ubrzanje | Maksimum za penjanje | T_05 | | 1 083,2 | 204,3 | |
| 757RR | ICAO_A | 6 | 5 | Ubrzanje | Maksimum za penjanje | T_01 | | 1 218,6 | 222,1 | |
| 757RR | ICAO_A | 6 | 6 | Ubrzanje | Maksimum za penjanje | T_00 | | 1 348,5 | 250 | |
| 757RR | ICAO_A | 6 | 7 | Penjanje | Maksimum za penjanje | ZERO | 5 500 | | | |
| 757RR | ICAO_A | 6 | 8 | Penjanje | Maksimum za penjanje | ZERO | 7 500 | | | |
| 757RR | ICAO_A | 6 | 9 | Penjanje | Maksimum za penjanje | ZERO | 10 000 | | | |
| 757RR | ICAO_A | 7 | 1 | Uzlijeta-nje | Maksimum za uzlijetanje | 5 | | | | |
| 757RR | ICAO_A | 7 | 2 | Penjanje | Maksimum za uzlijetanje | 5 | 1 500 | | | |
| 757RR | ICAO_A | 7 | 3 | Penjanje | Maksimum za penjanje | 5 | 3 000 | | | |
| 757RR | ICAO_A | 7 | 4 | Ubrzanje | Maksimum za penjanje | T_05 | | 1 013,1 | 207,4 | |
| 757RR | ICAO_A | 7 | 5 | Ubrzanje | Maksimum za penjanje | T_01 | | 1 137,3 | 225,4 | |
| 757RR | ICAO_A | 7 | 6 | Ubrzanje | Maksimum za penjanje | ZERO | | 1 256,7 | 250 | |

▼**M2**

| ACFTID | Oznaka profila (Profile_ID) | Dulji-na faze | Broj koraka | Tip koraka | Režim rada motora | Zakrilca (Flap_ID) | Visina krajnje točke (ft) | Stopa penjanja (ft/min) | Kalibri-rana brzina leta u krajnjoj točki (kt) | Postot-ak ubrzan-ja (Acce-lera-te_Per-cent) (%) |
|---|---|---|---|---|---|---|---|---|---|---|
| 757RR | ICAO_A | 7 | 7 | Penjanje | Maksimum za penjanje | ZERO | 5 500 | | | |
| 757RR | ICAO_A | 7 | 8 | Penjanje | Maksimum za penjanje | ZERO | 7 500 | | | |
| 757RR | ICAO_A | 7 | 9 | Penjanje | Maksimum za penjanje | ZERO | 10 000 | | | |
| 757RR | ICAO_B | 1 | 1 | Uzlijeta-nje | Maksimum za uzlijetanje | 5 | | | | |
| 757RR | ICAO_B | 1 | 2 | Penjanje | Maksimum za uzlijetanje | 5 | 1 000 | | | |
| 757RR | ICAO_B | 1 | 3 | Ubrzanje | Maksimum za uzlijetanje | T_05 | | 2 227,2 | 201,9 | |
| 757RR | ICAO_B | 1 | 4 | Ubrzanje | Maksimum za uzlijetanje | T_01 | | 2 474,2 | 206,3 | |
| 757RR | ICAO_B | 1 | 5 | Penjanje | Maksimum za penjanje | ZERO | 3 000 | | | |
| 757RR | ICAO_B | 1 | 6 | Ubrzanje | Maksimum za penjanje | ZERO | | 1 965,3 | 250 | |
| 757RR | ICAO_B | 1 | 7 | Penjanje | Maksimum za penjanje | ZERO | 5 500 | | | |
| 757RR | ICAO_B | 1 | 8 | Penjanje | Maksimum za penjanje | ZERO | 7 500 | | | |
| 757RR | ICAO_B | 1 | 9 | Penjanje | Maksimum za penjanje | ZERO | 10 000 | | | |
| 757RR | ICAO_B | 2 | 1 | Uzlijeta-nje | Maksimum za uzlijetanje | 5 | | | | |
| 757RR | ICAO_B | 2 | 2 | Penjanje | Maksimum za uzlijetanje | 5 | 1 000 | | | |

▼M2

| ACFTID | Oznaka profila (Profile_ID) | Dulji-na faze | Broj koraka | Tip koraka | Režim rada motora | Zakrilca (Flap_ID) | Visina krajnje točke (ft) | Stopa penjanja (ft/min) | Kalibri-rana brzina leta u krajnjoj točki (kt) | Postot-ak ubrzan-ja (Acce-lera-te_Per-cent) (%) |
|---|---|---|---|---|---|---|---|---|---|---|
| 757RR | ICAO_B | 2 | 3 | Ubrzanje | Maksimum za uzlijetanje | T_05 | | 2 139,9 | 203 | |
| 757RR | ICAO_B | 2 | 4 | Ubrzanje | Maksimum za uzlijetanje | T_01 | | 2 400 | 209,2 | |
| 757RR | ICAO_B | 2 | 5 | Penjanje | Maksimum za penjanje | ZERO | 3 000 | | | |
| 757RR | ICAO_B | 2 | 6 | Ubrzanje | Maksimum za penjanje | T_00 | | 1 876,9 | 250 | |
| 757RR | ICAO_B | 2 | 7 | Penjanje | Maksimum za penjanje | T_00 | 5 500 | | | |
| 757RR | ICAO_B | 2 | 8 | Penjanje | Maksimum za penjanje | ZERO | 7 500 | | | |
| 757RR | ICAO_B | 2 | 9 | Penjanje | Maksimum za penjanje | ZERO | 10 000 | | | |
| 757RR | ICAO_B | 3 | 1 | Uzlijeta-nje | Maksimum za uzlijetanje | 5 | | | | |
| 757RR | ICAO_B | 3 | 2 | Penjanje | Maksimum za uzlijetanje | 5 | 1 000 | | | |
| 757RR | ICAO_B | 3 | 3 | Ubrzanje | Maksimum za uzlijetanje | T_05 | | 2 051,2 | 204,3 | |
| 757RR | ICAO_B | 3 | 4 | Ubrzanje | Maksimum za uzlijetanje | T_01 | | 2 300 | 212,1 | |
| 757RR | ICAO_B | 3 | 5 | Penjanje | Maksimum za penjanje | ZERO | 3 000 | | | |
| 757RR | ICAO_B | 3 | 6 | Ubrzanje | Maksimum za penjanje | T_00 | | 1 788 | 250 | |
| 757RR | ICAO_B | 3 | 7 | Penjanje | Maksimum za penjanje | T_00 | 5 500 | | | |

▼**M2**

| ACFTID | Oznaka profila (Profile_ID) | Dulji-na faze | Broj koraka | Tip koraka | Režim rada motora | Zakrilca (Flap_ID) | Visina krajnje točke (ft) | Stopa penjanja (ft/min) | Kalibri-rana brzina leta u krajnjoj točki (kt) | Postot-ak ubrzan-ja (Acce-lera-te_Per-cent) (%) |
|---|---|---|---|---|---|---|---|---|---|---|
| 757RR | ICAO_B | 3 | 8 | Penjanje | Maksimum za penjanje | T_00 | 7 500 | | | |
| 757RR | ICAO_B | 3 | 9 | Penjanje | Maksimum za penjanje | ZERO | 10 000 | | | |
| 757RR | ICAO_B | 4 | 1 | Uzlijeta-nje | Maksimum za uzlijetanje | 5 | | | | |
| 757RR | ICAO_B | 4 | 2 | Penjanje | Maksimum za uzlijetanje | 5 | 1 000 | | | |
| 757RR | ICAO_B | 4 | 3 | Ubrzanje | Maksimum za uzlijetanje | T_05 | | 1 884,9 | 207,3 | |
| 757RR | ICAO_B | 4 | 4 | Ubrzanje | Maksimum za uzlijetanje | T_01 | | 2 135,6 | 218,4 | |
| 757RR | ICAO_B | 4 | 5 | Penjanje | Maksimum za penjanje | T_00 | 3 000 | | | |
| 757RR | ICAO_B | 4 | 6 | Ubrzanje | Maksimum za penjanje | T_00 | | 1 621,6 | 250 | |
| 757RR | ICAO_B | 4 | 7 | Penjanje | Maksimum za penjanje | T_00 | 5 500 | | | |
| 757RR | ICAO_B | 4 | 8 | Penjanje | Maksimum za penjanje | T_00 | 7 500 | | | |
| 757RR | ICAO_B | 4 | 9 | Penjanje | Maksimum za penjanje | T_00 | 10 000 | | | |
| 757RR | ICAO_B | 5 | 1 | Uzlijeta-nje | Maksimum za uzlijetanje | 5 | | | | |
| 757RR | ICAO_B | 5 | 2 | Penjanje | Maksimum za uzlijetanje | 5 | 1 000 | | | |
| 757RR | ICAO_B | 5 | 3 | Ubrzanje | Maksimum za uzlijetanje | T_05 | | 1 713,8 | 211,3 | |

▼**M2**

| ACFTID | Oznaka profila (Profile_ID) | Dulji-na faze | Broj koraka | Tip koraka | Režim rada motora | Zakrilca (Flap_ID) | Visina krajnje točke (ft) | Stopa penjanja (ft/min) | Kalibri-rana brzina leta u krajnjoj točki (kt) | Postot-ak ubrzan-ja (Acce-lera-te_Per-cent) (%) |
|---|---|---|---|---|---|---|---|---|---|---|
| 757RR | ICAO_B | 5 | 4 | Ubrzanje | Maksimum za uzlijetanje | T_01 | | 1 935,5 | 225,8 | |
| 757RR | ICAO_B | 5 | 5 | Penjanje | Maksimum za penjanje | ZERO | 3 000 | | | |
| 757RR | ICAO_B | 5 | 6 | Ubrzanje | Maksimum za penjanje | T_00 | | 1 447,1 | 250 | |
| 757RR | ICAO_B | 5 | 7 | Penjanje | Maksimum za penjanje | T_00 | 5 500 | | | |
| 757RR | ICAO_B | 5 | 8 | Penjanje | Maksimum za penjanje | T_00 | 7 500 | | | |
| 757RR | ICAO_B | 5 | 9 | Penjanje | Maksimum za penjanje | T_00 | 10 000 | | | |
| 757RR | ICAO_B | 6 | 1 | Uzlijeta-nje | Maksimum za uzlijetanje | 5 | | | | |
| 757RR | ICAO_B | 6 | 2 | Penjanje | Maksimum za uzlijetanje | 5 | 1 000 | | | |
| 757RR | ICAO_B | 6 | 3 | Ubrzanje | Maksimum za uzlijetanje | T_05 | | 1 646,9 | 213,1 | |
| 757RR | ICAO_B | 6 | 4 | Ubrzanje | Maksimum za uzlijetanje | T_01 | | 1 872,3 | 228,9 | |
| 757RR | ICAO_B | 6 | 5 | Penjanje | Maksimum za penjanje | ZERO | 3 000 | | | |
| 757RR | ICAO_B | 6 | 6 | Ubrzanje | Maksimum za penjanje | T_00 | | 1 379,1 | 250 | |
| 757RR | ICAO_B | 6 | 7 | Penjanje | Maksimum za penjanje | T_00 | 5 500 | | | |
| 757RR | ICAO_B | 6 | 8 | Penjanje | Maksimum za penjanje | T_00 | 7 500 | | | |

▼**M2**

| ACFTID | Oznaka profila (Profile_ID) | Dulji-na faze | Broj koraka | Tip koraka | Režim rada motora | Zakrilca (Flap_ID) | Visina krajnje točke (ft) | Stopa penjanja (ft/min) | Kalibri-rana brzina leta u krajnjoj točki (kt) | Postot-ak ubrzan-ja (Acce-lera-te_Per-cent) (%) |
|---|---|---|---|---|---|---|---|---|---|---|
| 757RR | ICAO_B | 6 | 9 | Penjanje | Maksimum za penjanje | T_00 | 10 000 | | | |
| 757RR | ICAO_B | 7 | 1 | Uzlijeta-nje | Maksimum za uzlijetanje | 5 | | | | |
| 757RR | ICAO_B | 7 | 2 | Penjanje | Maksimum za uzlijetanje | 5 | 1 000 | | | |
| 757RR | ICAO_B | 7 | 3 | Ubrzanje | Maksimum za uzlijetanje | T_05 | | 1 562,1 | 215,8 | |
| 757RR | ICAO_B | 7 | 4 | Ubrzanje | Maksimum za uzlijetanje | T_01 | | 1 781,3 | 233,3 | |
| 757RR | ICAO_B | 7 | 5 | Penjanje | Maksimum za penjanje | ZERO | 3 000 | | | |
| 757RR | ICAO_B | 7 | 6 | Ubrzanje | Maksimum za penjanje | T_00 | | 1 287,6 | 250 | |
| 757RR | ICAO_B | 7 | 7 | Penjanje | Maksimum za penjanje | T_00 | 5 500 | | | |
| 757RR | ICAO_B | 7 | 8 | Penjanje | Maksimum za penjanje | T_00 | 7 500 | | | |
| 757RR | ICAO_B | 7 | 9 | Penjanje | Maksimum za penjanje | T_00 | 10 000 | | | |
| 767300 | DEFAULT | 1 | 1 | Uzlijeta-nje | Maksimum za uzlijetanje | 15 | | | | |
| 767300 | DEFAULT | 1 | 2 | Penjanje | Maksimum za uzlijetanje | 15 | 1 000 | | | |
| 767300 | DEFAULT | 1 | 3 | Ubrzanje | Maksimum za uzlijetanje | 15 | | 2 198 | 152 | |
| 767300 | DEFAULT | 1 | 4 | Ubrzanje | Maksimum za uzlijetanje | 5 | | 2 198 | 172 | |

▼**M2**

| ACFTID | Oznaka profila (Profile_ID) | Dulji-na faze | Broj koraka | Tip koraka | Režim rada motora | Zakrilca (Flap_ID) | Visina krajnje točke (ft) | Stopa penjanja (ft/min) | Kalibri-rana brzina leta u krajnjoj točki (kt) | Postot-ak ubrzan-ja (Acce-lera-te_Per-cent) (%) |
|---|---|---|---|---|---|---|---|---|---|---|
| 767300 | DEFAULT | 1 | 5 | Ubrzanje | Maksimum za penjanje | INT | | 1 000 | 215 | |
| 767300 | DEFAULT | 1 | 6 | Ubrzanje | Maksimum za penjanje | ZERO | | 1 000 | 235 | |
| 767300 | DEFAULT | 1 | 7 | Penjanje | Maksimum za penjanje | ZERO | 3 000 | | | |
| 767300 | DEFAULT | 1 | 8 | Ubrzanje | Maksimum za penjanje | ZERO | | 1 000 | 250 | |
| 767300 | DEFAULT | 1 | 9 | Penjanje | Maksimum za penjanje | ZERO | 5 500 | | | |
| 767300 | DEFAULT | 1 | 10 | Penjanje | Maksimum za penjanje | ZERO | 7 500 | | | |
| 767300 | DEFAULT | 1 | 11 | Penjanje | Maksimum za penjanje | ZERO | 10 000 | | | |
| 767300 | DEFAULT | 2 | 1 | Uzlijeta-nje | Maksimum za uzlijetanje | 15 | | | | |
| 767300 | DEFAULT | 2 | 2 | Penjanje | Maksimum za uzlijetanje | 15 | 1 000 | | | |
| 767300 | DEFAULT | 2 | 3 | Ubrzanje | Maksimum za uzlijetanje | 15 | | 2 112 | 155 | |
| 767300 | DEFAULT | 2 | 4 | Ubrzanje | Maksimum za uzlijetanje | 5 | | 2 112 | 175 | |
| 767300 | DEFAULT | 2 | 5 | Ubrzanje | Maksimum za penjanje | INT | | 1 000 | 218 | |
| 767300 | DEFAULT | 2 | 6 | Ubrzanje | Maksimum za penjanje | ZERO | | 1 000 | 238 | |

▼**M2**

| ACFTID | Oznaka profila (Profile_ID) | Dulji-na faze | Broj koraka | Tip koraka | Režim rada motora | Zakrilca (Flap_ID) | Visina krajnje točke (ft) | Stopa penjanja (ft/min) | Kalibri-rana brzina leta u krajnjoj točki (kt) | Postot-ak ubrzan-ja (Acce-lera-te_Per-cent) (%) |
|---|---|---|---|---|---|---|---|---|---|---|
| 767300 | DEFAULT | 2 | 7 | Penjanje | Maksimum za penjanje | ZERO | 3 000 | | | |
| 767300 | DEFAULT | 2 | 8 | Ubrzanje | Maksimum za penjanje | ZERO | | 1 000 | 250 | |
| 767300 | DEFAULT | 2 | 9 | Penjanje | Maksimum za penjanje | ZERO | 5 500 | | | |
| 767300 | DEFAULT | 2 | 10 | Penjanje | Maksimum za penjanje | ZERO | 7 500 | | | |
| 767300 | DEFAULT | 2 | 11 | Penjanje | Maksimum za penjanje | ZERO | 10 000 | | | |
| 767300 | DEFAULT | 3 | 1 | Uzlijeta-nje | Maksimum za uzlijetanje | 15 | | | | |
| 767300 | DEFAULT | 3 | 2 | Penjanje | Maksimum za uzlijetanje | 15 | 1 000 | | | |
| 767300 | DEFAULT | 3 | 3 | Ubrzanje | Maksimum za uzlijetanje | 15 | | 2 029 | 158 | |
| 767300 | DEFAULT | 3 | 4 | Ubrzanje | Maksimum za uzlijetanje | 5 | | 2 029 | 178 | |
| 767300 | DEFAULT | 3 | 5 | Ubrzanje | Maksimum za penjanje | INT | | 1 000 | 221 | |
| 767300 | DEFAULT | 3 | 6 | Ubrzanje | Maksimum za penjanje | ZERO | | 1 000 | 241 | |
| 767300 | DEFAULT | 3 | 7 | Penjanje | Maksimum za penjanje | ZERO | 3 000 | | | |
| 767300 | DEFAULT | 3 | 8 | Ubrzanje | Maksimum za penjanje | ZERO | | 1 000 | 250 | |

▼M2

| ACFTID | Oznaka profila (Profile_ID) | Dulji-na faze | Broj koraka | Tip koraka | Režim rada motora | Zakrilca (Flap_ID) | Visina krajnje točke (ft) | Stopa penjanja (ft/min) | Kalibri-rana brzina leta u krajnjoj točki (kt) | Postot-ak ubrzan-ja (Acce-lera-te_Per-cent) (%) |
|---|---|---|---|---|---|---|---|---|---|---|
| 767300 | DEFAULT | 3 | 9 | Penjanje | Maksimum za penjanje | ZERO | 5 500 | | | |
| 767300 | DEFAULT | 3 | 10 | Penjanje | Maksimum za penjanje | ZERO | 7 500 | | | |
| 767300 | DEFAULT | 3 | 11 | Penjanje | Maksimum za penjanje | ZERO | 10 000 | | | |
| 767300 | DEFAULT | 4 | 1 | Uzlijeta-nje | Maksimum za uzlijetanje | 15 | | | | |
| 767300 | DEFAULT | 4 | 2 | Penjanje | Maksimum za uzlijetanje | 15 | 1 000 | | | |
| 767300 | DEFAULT | 4 | 3 | Ubrzanje | Maksimum za uzlijetanje | 15 | | 1 895 | 163 | |
| 767300 | DEFAULT | 4 | 4 | Ubrzanje | Maksimum za uzlijetanje | 5 | | 1 895 | 183 | |
| 767300 | DEFAULT | 4 | 5 | Ubrzanje | Maksimum za penjanje | INT | | 1 000 | 225 | |
| 767300 | DEFAULT | 4 | 6 | Ubrzanje | Maksimum za penjanje | ZERO | | 1 000 | 245 | |
| 767300 | DEFAULT | 4 | 7 | Penjanje | Maksimum za penjanje | ZERO | 3 000 | | | |
| 767300 | DEFAULT | 4 | 8 | Ubrzanje | Maksimum za penjanje | ZERO | | 1 000 | 250 | |
| 767300 | DEFAULT | 4 | 9 | Penjanje | Maksimum za penjanje | ZERO | 5 500 | | | |
| 767300 | DEFAULT | 4 | 10 | Penjanje | Maksimum za penjanje | ZERO | 7 500 | | | |

▼**M2**

| ACFTID | Oznaka profila (Profile_ID) | Dulji-na faze | Broj koraka | Tip koraka | Režim rada motora | Zakrilca (Flap_ID) | Visina krajnje točke (ft) | Stopa penjanja (ft/min) | Kalibri-rana brzina leta u krajnjoj točki (kt) | Postot-ak ubrzan-ja (Acce-lera-te_Per-cent) (%) |
|---|---|---|---|---|---|---|---|---|---|---|
| 767300 | DEFAULT | 4 | 11 | Penjanje | Maksimum za penjanje | ZERO | 10 000 | | | |
| 767300 | DEFAULT | 5 | 1 | Uzlijeta-nje | Maksimum za uzlijetanje | 15 | | | | |
| 767300 | DEFAULT | 5 | 2 | Penjanje | Maksimum za uzlijetanje | 15 | 1 000 | | | |
| 767300 | DEFAULT | 5 | 3 | Ubrzanje | Maksimum za uzlijetanje | 15 | | 1 744 | 169 | |
| 767300 | DEFAULT | 5 | 4 | Ubrzanje | Maksimum za uzlijetanje | 5 | | 1 744 | 189 | |
| 767300 | DEFAULT | 5 | 5 | Ubrzanje | Maksimum za penjanje | INT | | 1 000 | 231 | |
| 767300 | DEFAULT | 5 | 6 | Ubrzanje | Maksimum za penjanje | ZERO | | 1 000 | 251 | |
| 767300 | DEFAULT | 5 | 7 | Penjanje | Maksimum za penjanje | ZERO | 3 000 | | | |
| 767300 | DEFAULT | 5 | 8 | Penjanje | Maksimum za penjanje | ZERO | 5 500 | | | |
| 767300 | DEFAULT | 5 | 9 | Penjanje | Maksimum za penjanje | ZERO | 7 500 | | | |
| 767300 | DEFAULT | 5 | 10 | Penjanje | Maksimum za penjanje | ZERO | 10 000 | | | |
| 767300 | DEFAULT | 6 | 1 | Uzlijeta-nje | Maksimum za uzlijetanje | 15 | | | | |
| 767300 | DEFAULT | 6 | 2 | Penjanje | Maksimum za uzlijetanje | 15 | 1 000 | | | |

▼**M2**

| ACFTID | Oznaka profila (Profile_ID) | Dulji-na faze | Broj koraka | Tip koraka | Režim rada motora | Zakrilca (Flap_ID) | Visina krajnje točke (ft) | Stopa penjanja (ft/min) | Kalibri-rana brzina leta u krajnjoj točki (kt) | Postot-ak ubrzan-ja (Acce-lera-te_Per-cent) (%) |
|---|---|---|---|---|---|---|---|---|---|---|
| 767300 | DEFAULT | 6 | 3 | Ubrzanje | Maksimum za uzlijetanje | 15 | | 1 602 | 175 | |
| 767300 | DEFAULT | 6 | 4 | Ubrzanje | Maksimum za uzlijetanje | 5 | | 1 602 | 195 | |
| 767300 | DEFAULT | 6 | 5 | Ubrzanje | Maksimum za penjanje | INT | | 1 000 | 237 | |
| 767300 | DEFAULT | 6 | 6 | Ubrzanje | Maksimum za penjanje | ZERO | | 1 000 | 257 | |
| 767300 | DEFAULT | 6 | 7 | Penjanje | Maksimum za penjanje | ZERO | 3 000 | | | |
| 767300 | DEFAULT | 6 | 8 | Penjanje | Maksimum za penjanje | ZERO | 5 500 | | | |
| 767300 | DEFAULT | 6 | 9 | Penjanje | Maksimum za penjanje | ZERO | 7 500 | | | |
| 767300 | DEFAULT | 6 | 10 | Penjanje | Maksimum za penjanje | ZERO | 10 000 | | | |
| 767300 | DEFAULT | 7 | 1 | Uzlijeta-nje | Maksimum za uzlijetanje | 15 | | | | |
| 767300 | DEFAULT | 7 | 2 | Penjanje | Maksimum za uzlijetanje | 15 | 1 000 | | | |
| 767300 | DEFAULT | 7 | 3 | Ubrzanje | Maksimum za uzlijetanje | 15 | | 1 542 | 178 | |
| 767300 | DEFAULT | 7 | 4 | Ubrzanje | Maksimum za uzlijetanje | 5 | | 1 542 | 198 | |
| 767300 | DEFAULT | 7 | 5 | Ubrzanje | Maksimum za penjanje | INT | | 1 000 | 240 | |

▼**M2**

| ACFTID | Oznaka profila (Profile_ID) | Dulji-na faze | Broj koraka | Tip koraka | Režim rada motora | Zakrilca (Flap_ID) | Visina krajnje točke (ft) | Stopa penjanja (ft/min) | Kalibri-rana brzina leta u krajnjoj točki (kt) | Postot-ak ubrzan-ja (Acce-lera-te_Per-cent) (%) |
|---|---|---|---|---|---|---|---|---|---|---|
| 767300 | DEFAULT | 7 | 6 | Ubrzanje | Maksimum za penjanje | ZERO | | 1 000 | 260 | |
| 767300 | DEFAULT | 7 | 7 | Penjanje | Maksimum za penjanje | ZERO | 3 000 | | | |
| 767300 | DEFAULT | 7 | 8 | Penjanje | Maksimum za penjanje | ZERO | 5 500 | | | |
| 767300 | DEFAULT | 7 | 9 | Penjanje | Maksimum za penjanje | ZERO | 7 500 | | | |
| 767300 | DEFAULT | 7 | 10 | Penjanje | Maksimum za penjanje | ZERO | 10 000 | | | |
| 767400 | DEFAULT | 1 | 1 | Uzlijeta-nje | Maksimum za uzlijetanje | T_20_U | | | | |
| 767400 | DEFAULT | 1 | 2 | Penjanje | Maksimum za uzlijetanje | T_20_U | 1 000 | | | |
| 767400 | DEFAULT | 1 | 3 | Ubrzanje | Maksimum za penjanje | T_05_U | | 1 695,3 | 215,4 | |
| 767400 | DEFAULT | 1 | 4 | Penjanje | Maksimum za penjanje | T_00_U | 3 000 | | | |
| 767400 | DEFAULT | 1 | 5 | Ubrzanje | Maksimum za penjanje | T_00_U | | 2 123,3 | 250 | |
| 767400 | DEFAULT | 1 | 6 | Penjanje | Maksimum za penjanje | T_00_U | 5 500 | | | |
| 767400 | DEFAULT | 1 | 7 | Penjanje | Maksimum za penjanje | T_00_U | 7 500 | | | |
| 767400 | DEFAULT | 1 | 8 | Penjanje | Maksimum za penjanje | T_00_U | 10 000 | | | |

▼**M2**

| ACFTID | Oznaka profila (Profile_ID) | Dulji-na faze | Broj koraka | Tip koraka | Režim rada motora | Zakrilca (Flap_ID) | Visina krajnje točke (ft) | Stopa penjanja (ft/min) | Kalibri-rana brzina leta u krajnjoj točki (kt) | Postot-ak ubrzan-ja (Acce-lera-te_Per-cent) (%) |
|---|---|---|---|---|---|---|---|---|---|---|
| 767400 | DEFAULT | 2 | 1 | Uzlijeta-nje | Maksimum za uzlijetanje | T_20_U | | | | |
| 767400 | DEFAULT | 2 | 2 | Penjanje | Maksimum za uzlijetanje | T_20_U | 1 000 | | | |
| 767400 | DEFAULT | 2 | 3 | Ubrzanje | Maksimum za penjanje | T_05_U | | 1 648,7 | 217,9 | |
| 767400 | DEFAULT | 2 | 4 | Penjanje | Maksimum za penjanje | T_00_U | 3 000 | | | |
| 767400 | DEFAULT | 2 | 5 | Ubrzanje | Maksimum za penjanje | T_00_U | | 2 040,6 | 250 | |
| 767400 | DEFAULT | 2 | 6 | Penjanje | Maksimum za penjanje | T_00_U | 5 500 | | | |
| 767400 | DEFAULT | 2 | 7 | Penjanje | Maksimum za penjanje | T_00_U | 7 500 | | | |
| 767400 | DEFAULT | 2 | 8 | Penjanje | Maksimum za penjanje | T_00_U | 10 000 | | | |
| 767400 | DEFAULT | 3 | 1 | Uzlijeta-nje | Maksimum za uzlijetanje | T_20_U | | | | |
| 767400 | DEFAULT | 3 | 2 | Penjanje | Maksimum za uzlijetanje | T_20_U | 1 000 | | | |
| 767400 | DEFAULT | 3 | 3 | Ubrzanje | Maksimum za penjanje | T_05_U | | 1 584,9 | 220,5 | |
| 767400 | DEFAULT | 3 | 4 | Penjanje | Maksimum za penjanje | T_00_U | 3 000 | | | |

▼**M2**

| ACFTID | Oznaka profila (Profile_ID) | Dulji-na faze | Broj koraka | Tip koraka | Režim rada motora | Zakrilca (Flap_ID) | Visina krajnje točke (ft) | Stopa penjanja (ft/min) | Kalibri-rana brzina leta u krajnjoj točki (kt) | Postot-ak ubrzan-ja (Acce-lera-te_Per-cent) (%) |
|---|---|---|---|---|---|---|---|---|---|---|
| 767400 | DEFAULT | 3 | 5 | Ubrzanje | Maksimum za penjanje | T_00_U | | 1 953,3 | 250 | |
| 767400 | DEFAULT | 3 | 6 | Penjanje | Maksimum za penjanje | T_00_U | 5 500 | | | |
| 767400 | DEFAULT | 3 | 7 | Penjanje | Maksimum za penjanje | T_00_U | 7 500 | | | |
| 767400 | DEFAULT | 3 | 8 | Penjanje | Maksimum za penjanje | T_00_U | 10 000 | | | |
| 767400 | DEFAULT | 4 | 1 | Uzlijeta-nje | Maksimum za uzlijetanje | T_20_U | | | | |
| 767400 | DEFAULT | 4 | 2 | Penjanje | Maksimum za uzlijetanje | T_20_U | 1 000 | | | |
| 767400 | DEFAULT | 4 | 3 | Ubrzanje | Maksimum za penjanje | T_05_U | | 1 482,5 | 225,1 | |
| 767400 | DEFAULT | 4 | 4 | Penjanje | Maksimum za penjanje | T_00_U | 3 000 | | | |
| 767400 | DEFAULT | 4 | 5 | Ubrzanje | Maksimum za penjanje | T_00_U | | 1 821,8 | 250 | |
| 767400 | DEFAULT | 4 | 6 | Penjanje | Maksimum za penjanje | T_00_U | 5 500 | | | |
| 767400 | DEFAULT | 4 | 7 | Penjanje | Maksimum za penjanje | T_00_U | 7 500 | | | |
| 767400 | DEFAULT | 4 | 8 | Penjanje | Maksimum za penjanje | T_00_U | 10 000 | | | |

▼**M2**

| ACFTID | Oznaka profila (Profile_ID) | Dulji-na faze | Broj koraka | Tip koraka | Režim rada motora | Zakrilca (Flap_ID) | Visina krajnje točke (ft) | Stopa penjanja (ft/min) | Kalibri-rana brzina leta u krajnjoj točki (kt) | Postot-ak ubrzan-ja (Acce-lera-te_Per-cent) (%) |
|---|---|---|---|---|---|---|---|---|---|---|
| 767400 | DEFAULT | 5 | 1 | Uzlijeta-nje | Maksimum za uzlijetanje | T_20_U | | | | |
| 767400 | DEFAULT | 5 | 2 | Penjanje | Maksimum za uzlijetanje | T_20_U | 1 000 | | | |
| 767400 | DEFAULT | 5 | 3 | Ubrzanje | Maksimum za penjanje | T_05_U | | 1 360,1 | 230,5 | |
| 767400 | DEFAULT | 5 | 4 | Penjanje | Maksimum za penjanje | T_00_U | 3 000 | | | |
| 767400 | DEFAULT | 5 | 5 | Ubrzanje | Maksimum za penjanje | T_00_U | | 1 661,5 | 250 | |
| 767400 | DEFAULT | 5 | 6 | Penjanje | Maksimum za penjanje | T_00_U | 5 500 | | | |
| 767400 | DEFAULT | 5 | 7 | Penjanje | Maksimum za penjanje | T_00_U | 7 500 | | | |
| 767400 | DEFAULT | 5 | 8 | Penjanje | Maksimum za penjanje | T_00_U | 10 000 | | | |
| 767400 | DEFAULT | 6 | 1 | Uzlijeta-nje | Maksimum za uzlijetanje | T_20_U | | | | |
| 767400 | DEFAULT | 6 | 2 | Penjanje | Maksimum za uzlijetanje | T_20_U | 1 000 | | | |
| 767400 | DEFAULT | 6 | 3 | Ubrzanje | Maksimum za penjanje | T_05_U | | 1 246,4 | 236 | |
| 767400 | DEFAULT | 6 | 4 | Penjanje | Maksimum za penjanje | T_00_U | 3 000 | | | |
| 767400 | DEFAULT | 6 | 5 | Ubrzanje | Maksimum za penjanje | T_00_U | | 1 508 | 250 | |

▼**M2**

| ACFTID | Oznaka profila (Profile_ID) | Dulji-na faze | Broj koraka | Tip koraka | Režim rada motora | Zakrilca (Flap_ID) | Visina krajnje točke (ft) | Stopa penjanja (ft/min) | Kalibri-rana brzina leta u krajnjoj točki (kt) | Postot-ak ubrzan-ja (Acce-lera-te_Per-cent) (%) |
|---|---|---|---|---|---|---|---|---|---|---|
| 767400 | DEFAULT | 6 | 6 | Penjanje | Maksimum za penjanje | T_00_U | 5 500 | | | |
| 767400 | DEFAULT | 6 | 7 | Penjanje | Maksimum za penjanje | T_00_U | 7 500 | | | |
| 767400 | DEFAULT | 6 | 8 | Penjanje | Maksimum za penjanje | T_00_U | 10 000 | | | |
| 767400 | DEFAULT | 7 | 1 | Uzlijeta-nje | Maksimum za uzlijetanje | T_20_U | | | | |
| 767400 | DEFAULT | 7 | 2 | Penjanje | Maksimum za uzlijetanje | T_20_U | 1 000 | | | |
| 767400 | DEFAULT | 7 | 3 | Ubrzanje | Maksimum za penjanje | T_05_U | | 1 091,3 | 244,3 | |
| 767400 | DEFAULT | 7 | 4 | Penjanje | Maksimum za penjanje | T_00_U | 3 000 | | | |
| 767400 | DEFAULT | 7 | 5 | Ubrzanje | Maksimum za penjanje | T_00_U | | 1 303,8 | 250 | |
| 767400 | DEFAULT | 7 | 6 | Penjanje | Maksimum za penjanje | T_00_U | 5 500 | | | |
| 767400 | DEFAULT | 7 | 7 | Penjanje | Maksimum za penjanje | T_00_U | 7 500 | | | |
| 767400 | DEFAULT | 7 | 8 | Penjanje | Maksimum za penjanje | T_00_U | 10 000 | | | |
| 767400 | ICAO_A | 1 | 1 | Uzlijeta-nje | Maksimum za uzlijetanje | T_20_U | | | | |
| 767400 | ICAO_A | 1 | 2 | Penjanje | Maksimum za uzlijetanje | T_20_U | 1 500 | | | |

▼**M2**

| ACFTID | Oznaka profila (Profile_ID) | Dulji-na faze | Broj koraka | Tip koraka | Režim rada motora | Zakrilca (Flap_ID) | Visina krajnje točke (ft) | Stopa penjanja (ft/min) | Kalibri-rana brzina leta u krajnjoj točki (kt) | Postot-ak ubrzan-ja (Acce-lera-te_Per-cent) (%) |
|---|---|---|---|---|---|---|---|---|---|---|
| 767400 | ICAO_A | 1 | 3 | Penjanje | Maksimum za penjanje | T_20_U | 3 000 | | | |
| 767400 | ICAO_A | 1 | 4 | Ubrzanje | Maksimum za penjanje | T_05A | | 1 659,9 | 215,1 | |
| 767400 | ICAO_A | 1 | 5 | Penjanje | Maksimum za penjanje | T_00_U | 4 616 | | | |
| 767400 | ICAO_A | 1 | 6 | Ubrzanje | Maksimum za penjanje | T_00_U | | 2 098,5 | 250 | |
| 767400 | ICAO_A | 1 | 7 | Penjanje | Maksimum za penjanje | T_00_U | 5 500 | | | |
| 767400 | ICAO_A | 1 | 8 | Penjanje | Maksimum za penjanje | T_00_U | 7 500 | | | |
| 767400 | ICAO_A | 1 | 9 | Penjanje | Maksimum za penjanje | T_00_U | 10 000 | | | |
| 767400 | ICAO_A | 2 | 1 | Uzlijeta-nje | Maksimum za uzlijetanje | T_20_U | | | | |
| 767400 | ICAO_A | 2 | 2 | Penjanje | Maksimum za uzlijetanje | T_20_U | 1 500 | | | |
| 767400 | ICAO_A | 2 | 3 | Penjanje | Maksimum za penjanje | T_20_U | 3 000 | | | |
| 767400 | ICAO_A | 2 | 4 | Ubrzanje | Maksimum za penjanje | T_05A | | 1 600 | 217,6 | |
| 767400 | ICAO_A | 2 | 5 | Penjanje | Maksimum za penjanje | T_00_U | 4 536 | | | |
| 767400 | ICAO_A | 2 | 6 | Ubrzanje | Maksimum za penjanje | T_00_U | | 2 008 | 250 | |

▼**M2**

| ACFTID | Oznaka profila (Profile_ID) | Dulji-na faze | Broj koraka | Tip koraka | Režim rada motora | Zakrilca (Flap_ID) | Visina krajnje točke (ft) | Stopa penjanja (ft/min) | Kalibri-rana brzina leta u krajnjoj točki (kt) | Postot-ak ubrzan-ja (Acce-lera-te_Per-cent) (%) |
|---|---|---|---|---|---|---|---|---|---|---|
| 767400 | ICAO_A | 2 | 7 | Penjanje | Maksimum za penjanje | T_00_U | 5 500 | | | |
| 767400 | ICAO_A | 2 | 8 | Penjanje | Maksimum za penjanje | T_00_U | 7 500 | | | |
| 767400 | ICAO_A | 2 | 9 | Penjanje | Maksimum za penjanje | T_00_U | 10 000 | | | |
| 767400 | ICAO_A | 3 | 1 | Uzlijeta-nje | Maksimum za uzlijetanje | T_20_U | | | | |
| 767400 | ICAO_A | 3 | 2 | Penjanje | Maksimum za uzlijetanje | T_20_U | 1 500 | | | |
| 767400 | ICAO_A | 3 | 3 | Penjanje | Maksimum za penjanje | T_20_U | 3 000 | | | |
| 767400 | ICAO_A | 3 | 4 | Ubrzanje | Maksimum za penjanje | T_05B | | 1 536,2 | 220,4 | |
| 767400 | ICAO_A | 3 | 5 | Penjanje | Maksimum za penjanje | T_00_U | 4 454 | | | |
| 767400 | ICAO_A | 3 | 6 | Ubrzanje | Maksimum za penjanje | T_00_U | | 1 935,8 | 250 | |
| 767400 | ICAO_A | 3 | 7 | Penjanje | Maksimum za penjanje | T_00_U | 5 500 | | | |
| 767400 | ICAO_A | 3 | 8 | Penjanje | Maksimum za penjanje | T_00_U | 7 500 | | | |
| 767400 | ICAO_A | 3 | 9 | Penjanje | Maksimum za penjanje | T_00_U | 10 000 | | | |
| 767400 | ICAO_A | 4 | 1 | Uzlijeta-nje | Maksimum za uzlijetanje | T_20_U | | | | |

▼**M2**

| ACFTID | Oznaka profila (Profile_ID) | Dulji-na faze | Broj koraka | Tip koraka | Režim rada motora | Zakrilca (Flap_ID) | Visina krajnje točke (ft) | Stopa penjanja (ft/min) | Kalibri-rana brzina leta u krajnjoj točki (kt) | Postot-ak ubrzan-ja (Acce-lera-te_Per-cent) (%) |
|---|---|---|---|---|---|---|---|---|---|---|
| 767400 | ICAO_A | 4 | 2 | Penjanje | Maksimum za uzlijetanje | T_20_U | 1 500 | | | |
| 767400 | ICAO_A | 4 | 3 | Penjanje | Maksimum za penjanje | T_20_U | 3 000 | | | |
| 767400 | ICAO_A | 4 | 4 | Ubrzanje | Maksimum za penjanje | T_05B | | 1 434,4 | 224,8 | |
| 767400 | ICAO_A | 4 | 5 | Penjanje | Maksimum za penjanje | T_00_U | 4 323 | | | |
| 767400 | ICAO_A | 4 | 6 | Ubrzanje | Maksimum za penjanje | T_00_U | | 1 796,6 | 250 | |
| 767400 | ICAO_A | 4 | 7 | Penjanje | Maksimum za penjanje | T_00_U | 5 500 | | | |
| 767400 | ICAO_A | 4 | 8 | Penjanje | Maksimum za penjanje | T_00_U | 7 500 | | | |
| 767400 | ICAO_A | 4 | 9 | Penjanje | Maksimum za penjanje | T_00_U | 10 000 | | | |
| 767400 | ICAO_A | 5 | 1 | Uzlijeta-nje | Maksimum za uzlijetanje | T_20_U | | | | |
| 767400 | ICAO_A | 5 | 2 | Penjanje | Maksimum za uzlijetanje | T_20_U | 1 500 | | | |
| 767400 | ICAO_A | 5 | 3 | Penjanje | Maksimum za penjanje | T_20_U | 3 000 | | | |
| 767400 | ICAO_A | 5 | 4 | Ubrzanje | Maksimum za penjanje | T_05B | | 1 318,8 | 230,2 | |
| 767400 | ICAO_A | 5 | 5 | Penjanje | Maksimum za penjanje | T_00_U | 4 173 | | | |

▼**M2**

| ACFTID | Oznaka profila (Profile_ID) | Dulji-na faze | Broj koraka | Tip koraka | Režim rada motora | Zakrilca (Flap_ID) | Visina krajnje točke (ft) | Stopa penjanja (ft/min) | Kalibri-rana brzina leta u krajnjoj točki (kt) | Postot-ak ubrzan-ja (Acce-lera-te_Per-cent) (%) |
|---|---|---|---|---|---|---|---|---|---|---|
| 767400 | ICAO_A | 5 | 6 | Ubrzanje | Maksimum za penjanje | T_00_U | | 1 640 | 250 | |
| 767400 | ICAO_A | 5 | 7 | Penjanje | Maksimum za penjanje | T_00_U | 5 500 | | | |
| 767400 | ICAO_A | 5 | 8 | Penjanje | Maksimum za penjanje | T_00_U | 7 500 | | | |
| 767400 | ICAO_A | 5 | 9 | Penjanje | Maksimum za penjanje | T_00_U | 10 000 | | | |
| 767400 | ICAO_A | 6 | 1 | Uzlijeta-nje | Maksimum za uzlijetanje | T_20_U | | | | |
| 767400 | ICAO_A | 6 | 2 | Penjanje | Maksimum za uzlijetanje | T_20_U | 1 500 | | | |
| 767400 | ICAO_A | 6 | 3 | Penjanje | Maksimum za penjanje | T_20_U | 3 000 | | | |
| 767400 | ICAO_A | 6 | 4 | Ubrzanje | Maksimum za penjanje | T_05B | | 1 258,5 | 250 | |
| 767400 | ICAO_A | 6 | 5 | Penjanje | Maksimum za penjanje | T_00_U | 5 500 | | | |
| 767400 | ICAO_A | 6 | 6 | Penjanje | Maksimum za penjanje | T_00_U | 7 500 | | | |
| 767400 | ICAO_A | 6 | 7 | Penjanje | Maksimum za penjanje | T_00_U | 10 000 | | | |
| 767400 | ICAO_A | 7 | 1 | Uzlijeta-nje | Maksimum za uzlijetanje | T_20_U | | | | |
| 767400 | ICAO_A | 7 | 2 | Penjanje | Maksimum za uzlijetanje | T_20_U | 1 500 | | | |

▼**M2**

| ACFTID | Oznaka profila (Profile_ID) | Dulji-na faze | Broj koraka | Tip koraka | Režim rada motora | Zakrilca (Flap_ID) | Visina krajnje točke (ft) | Stopa penjanja (ft/min) | Kalibri-rana brzina leta u krajnjoj točki (kt) | Postot-ak ubrzan-ja (Acce-lera-te_Per-cent) (%) |
|---|---|---|---|---|---|---|---|---|---|---|
| 767400 | ICAO_A | 7 | 3 | Penjanje | Maksimum za penjanje | T_20_U | 3 000 | | | |
| 767400 | ICAO_A | 7 | 4 | Ubrzanje | Maksimum za penjanje | T_05B | | 1 073 | 250 | |
| 767400 | ICAO_A | 7 | 5 | Penjanje | Maksimum za penjanje | T_00_U | 5 500 | | | |
| 767400 | ICAO_A | 7 | 6 | Penjanje | Maksimum za penjanje | T_00_U | 7 500 | | | |
| 767400 | ICAO_A | 7 | 7 | Penjanje | Maksimum za penjanje | T_00_U | 10 000 | | | |
| 767400 | ICAO_B | 1 | 1 | Uzlijeta-nje | Maksimum za uzlijetanje | T_20_U | | | | |
| 767400 | ICAO_B | 1 | 2 | Penjanje | Maksimum za uzlijetanje | T_20_U | 1 000 | | | |
| 767400 | ICAO_B | 1 | 3 | Ubrzanje | Maksimum za uzlijetanje | T_05_U | | 2 330,5 | 215,3 | |
| 767400 | ICAO_B | 1 | 4 | Penjanje | Maksimum za uzlijetanje | T_00_U | 3 491 | | | |
| 767400 | ICAO_B | 1 | 5 | Ubrzanje | Maksimum za penjanje | T_00_U | | 2 147 | 250 | |
| 767400 | ICAO_B | 1 | 6 | Penjanje | Maksimum za penjanje | T_00_U | 5 000 | | | |
| 767400 | ICAO_B | 1 | 7 | Penjanje | Maksimum za penjanje | T_00_U | 7 500 | | | |
| 767400 | ICAO_B | 1 | 8 | Penjanje | Maksimum za penjanje | T_00_U | 10 000 | | | |

▼**M2**

| ACFTID | Oznaka profila (Profile_ID) | Dulji-na faze | Broj koraka | Tip koraka | Režim rada motora | Zakrilca (Flap_ID) | Visina krajnje točke (ft) | Stopa penjanja (ft/min) | Kalibri-rana brzina leta u krajnjoj točki (kt) | Postot-ak ubrzan-ja (Acce-lera-te_Per-cent) (%) |
|---|---|---|---|---|---|---|---|---|---|---|
| 767400 | ICAO_B | 2 | 1 | Uzlijeta-nje | Maksimum za uzlijetanje | T_20_U | | | | |
| 767400 | ICAO_B | 2 | 2 | Penjanje | Maksimum za uzlijetanje | T_20_U | 1 000 | | | |
| 767400 | ICAO_B | 2 | 3 | Ubrzanje | Maksimum za uzlijetanje | T_05_U | | 2 267,2 | 217,9 | |
| 767400 | ICAO_B | 2 | 4 | Penjanje | Maksimum za uzlijetanje | T_00_U | 3 393 | | | |
| 767400 | ICAO_B | 2 | 5 | Ubrzanje | Maksimum za penjanje | T_00_U | | 2 080,9 | 250 | |
| 767400 | ICAO_B | 2 | 6 | Penjanje | Maksimum za penjanje | T_00_U | 5 000 | | | |
| 767400 | ICAO_B | 2 | 7 | Penjanje | Maksimum za penjanje | T_00_U | 7 500 | | | |
| 767400 | ICAO_B | 2 | 8 | Penjanje | Maksimum za penjanje | T_00_U | 10 000 | | | |
| 767400 | ICAO_B | 3 | 1 | Uzlijeta-nje | Maksimum za uzlijetanje | T_20_U | | | | |
| 767400 | ICAO_B | 3 | 2 | Penjanje | Maksimum za uzlijetanje | T_20_U | 1 000 | | | |
| 767400 | ICAO_B | 3 | 3 | Ubrzanje | Maksimum za uzlijetanje | T_05_U | | 2 183,7 | 220,6 | |
| 767400 | ICAO_B | 3 | 4 | Penjanje | Maksimum za uzlijetanje | T_00_U | 3 292 | | | |
| 767400 | ICAO_B | 3 | 5 | Ubrzanje | Maksimum za penjanje | T_00_U | | 1 975,7 | 250 | |

▼**M2**

| ACFTID | Oznaka profila (Profile_ID) | Dulji-na faze | Broj koraka | Tip koraka | Režim rada motora | Zakrilca (Flap_ID) | Visina krajnje točke (ft) | Stopa penjanja (ft/min) | Kalibri-rana brzina leta u krajnjoj točki (kt) | Postot-ak ubrzan-ja (Acce-lera-te_Per-cent) (%) |
|---|---|---|---|---|---|---|---|---|---|---|
| 767400 | ICAO_B | 3 | 6 | Penjanje | Maksimum za penjanje | T_00_U | 5 000 | | | |
| 767400 | ICAO_B | 3 | 7 | Penjanje | Maksimum za penjanje | T_00_U | 7 500 | | | |
| 767400 | ICAO_B | 3 | 8 | Penjanje | Maksimum za penjanje | T_00_U | 10 000 | | | |
| 767400 | ICAO_B | 4 | 1 | Uzlijeta-nje | Maksimum za uzlijetanje | T_20_U | | | | |
| 767400 | ICAO_B | 4 | 2 | Penjanje | Maksimum za uzlijetanje | T_20_U | 1 000 | | | |
| 767400 | ICAO_B | 4 | 3 | Ubrzanje | Maksimum za uzlijetanje | T_05_U | | 2 054,4 | 225 | |
| 767400 | ICAO_B | 4 | 4 | Penjanje | Maksimum za uzlijetanje | T_00_U | 3 128 | | | |
| 767400 | ICAO_B | 4 | 5 | Ubrzanje | Maksimum za penjanje | T_00_U | | 1 850,9 | 250 | |
| 767400 | ICAO_B | 4 | 6 | Penjanje | Maksimum za penjanje | T_00_U | 5 000 | | | |
| 767400 | ICAO_B | 4 | 7 | Penjanje | Maksimum za penjanje | T_00_U | 7 500 | | | |
| 767400 | ICAO_B | 4 | 8 | Penjanje | Maksimum za penjanje | T_00_U | 10 000 | | | |
| 767400 | ICAO_B | 5 | 1 | Uzlijeta-nje | Maksimum za uzlijetanje | T_20_U | | | | |
| 767400 | ICAO_B | 5 | 2 | Penjanje | Maksimum za uzlijetanje | T_20_U | 1 000 | | | |
| 767400 | ICAO_B | 5 | 3 | Ubrzanje | Maksimum za uzlijetanje | T_05_U | | 1 908,2 | 230,4 | |

▼M2

| ACFTID | Oznaka profila (Profile_ID) | Dulji-na faze | Broj koraka | Tip koraka | Režim rada motora | Zakrilca (Flap_ID) | Visina krajnje točke (ft) | Stopa penjanja (ft/min) | Kalibri-rana brzina leta u krajnjoj točki (kt) | Postot-ak ubrzan-ja (Acce-lera-te_Per-cent) (%) |
|---|---|---|---|---|---|---|---|---|---|---|
| 767400 | ICAO_B | 5 | 4 | Penjanje | Maksimum za uzlijetanje | T_00_U | 2 944 | | | |
| 767400 | ICAO_B | 5 | 5 | Penjanje | Maksimum za penjanje | T_00_U | 3 000 | | | |
| 767400 | ICAO_B | 5 | 6 | Ubrzanje | Maksimum za penjanje | T_00_U | | 1 653,1 | 250 | |
| 767400 | ICAO_B | 5 | 7 | Penjanje | Maksimum za penjanje | T_00_U | 5 000 | | | |
| 767400 | ICAO_B | 5 | 8 | Penjanje | Maksimum za penjanje | T_00_U | 7 500 | | | |
| 767400 | ICAO_B | 5 | 9 | Penjanje | Maksimum za penjanje | T_00_U | 10 000 | | | |
| 767400 | ICAO_B | 6 | 1 | Uzlijeta-nje | Maksimum za uzlijetanje | T_20_U | | | | |
| 767400 | ICAO_B | 6 | 2 | Penjanje | Maksimum za uzlijetanje | T_20_U | 1 000 | | | |
| 767400 | ICAO_B | 6 | 3 | Ubrzanje | Maksimum za uzlijetanje | T_05_U | | 1 771,1 | 236 | |
| 767400 | ICAO_B | 6 | 4 | Penjanje | Maksimum za uzlijetanje | T_00_U | 2 766 | | | |
| 767400 | ICAO_B | 6 | 5 | Penjanje | Maksimum za penjanje | T_00_U | 3 000 | | | |
| 767400 | ICAO_B | 6 | 6 | Ubrzanje | Maksimum za penjanje | T_00_U | | 1 521,4 | 250 | |
| 767400 | ICAO_B | 6 | 7 | Penjanje | Maksimum za penjanje | T_00_U | 5 000 | | | |

▼**M2**

| ACFTID | Oznaka profila (Profile_ID) | Dulji-na faze | Broj koraka | Tip koraka | Režim rada motora | Zakrilca (Flap_ID) | Visina krajnje točke (ft) | Stopa penjanja (ft/min) | Kalibri-rana brzina leta u krajnjoj točki (kt) | Postot-ak ubrzan-ja (Acce-lera-te_Per-cent) (%) |
|---|---|---|---|---|---|---|---|---|---|---|
| 767400 | ICAO_B | 6 | 8 | Penjanje | Maksimum za penjanje | T_00_U | 7 500 | | | |
| 767400 | ICAO_B | 6 | 9 | Penjanje | Maksimum za penjanje | T_00_U | 10 000 | | | |
| 767400 | ICAO_B | 7 | 1 | Uzlijeta-nje | Maksimum za uzlijetanje | T_20_U | | | | |
| 767400 | ICAO_B | 7 | 2 | Penjanje | Maksimum za uzlijetanje | T_20_U | 1 000 | | | |
| 767400 | ICAO_B | 7 | 3 | Ubrzanje | Maksimum za uzlijetanje | T_05_U | | 1 560,3 | 239,8 | |
| 767400 | ICAO_B | 7 | 4 | Penjanje | Maksimum za uzlijetanje | T_00_U | 2 111 | | | |
| 767400 | ICAO_B | 7 | 5 | Ubrzanje | Maksimum za uzlijetanje | T_00_U | | 1 840 | 244,3 | |
| 767400 | ICAO_B | 7 | 6 | Penjanje | Maksimum za uzlijetanje | T_00_U | 2 523 | | | |
| 767400 | ICAO_B | 7 | 7 | Penjanje | Maksimum za penjanje | T_00_U | 3 000 | | | |
| 767400 | ICAO_B | 7 | 8 | Ubrzanje | Maksimum za penjanje | T_00_U | | 1 303,8 | 250 | |
| 767400 | ICAO_B | 7 | 9 | Penjanje | Maksimum za penjanje | T_00_U | 5 000 | | | |
| 767400 | ICAO_B | 7 | 10 | Penjanje | Maksimum za penjanje | T_00_U | 7 500 | | | |
| 767400 | ICAO_B | 7 | 11 | Penjanje | Maksimum za penjanje | T_00_U | 10 000 | | | |

▼**M2**

| ACFTID | Oznaka profila (Profile_ID) | Dulji-na faze | Broj koraka | Tip koraka | Režim rada motora | Zakrilca (Flap_ID) | Visina krajnje točke (ft) | Stopa penjanja (ft/min) | Kalibri-rana brzina leta u krajnjoj točki (kt) | Postot-ak ubrzan-ja (Acce-lera-te_Per-cent) (%) |
|---|---|---|---|---|---|---|---|---|---|---|
| 767CF6 | DEFAULT | 1 | 1 | Uzlijeta-nje | Maksimum za uzlijetanje | 15 | | | | |
| 767CF6 | DEFAULT | 1 | 2 | Penjanje | Maksimum za uzlijetanje | 15 | 1 000 | | | |
| 767CF6 | DEFAULT | 1 | 3 | Ubrzanje | Maksimum za uzlijetanje | 15 | | 1 913 | 144 | |
| 767CF6 | DEFAULT | 1 | 4 | Ubrzanje | Maksimum za uzlijetanje | 5 | | 1 913 | 164 | |
| 767CF6 | DEFAULT | 1 | 5 | Ubrzanje | Maksimum za penjanje | 1 | | 1 000 | 204 | |
| 767CF6 | DEFAULT | 1 | 6 | Ubrzanje | Maksimum za penjanje | ZERO | | 1 000 | 224 | |
| 767CF6 | DEFAULT | 1 | 7 | Penjanje | Maksimum za penjanje | ZERO | 3 000 | | | |
| 767CF6 | DEFAULT | 1 | 8 | Ubrzanje | Maksimum za penjanje | ZERO | | 1 000 | 250 | |
| 767CF6 | DEFAULT | 1 | 9 | Penjanje | Maksimum za penjanje | ZERO | 5 500 | | | |
| 767CF6 | DEFAULT | 1 | 10 | Penjanje | Maksimum za penjanje | ZERO | 7 500 | | | |
| 767CF6 | DEFAULT | 1 | 11 | Penjanje | Maksimum za penjanje | ZERO | 10 000 | | | |
| 767CF6 | DEFAULT | 2 | 1 | Uzlijeta-nje | Maksimum za uzlijetanje | 15 | | | | |
| 767CF6 | DEFAULT | 2 | 2 | Penjanje | Maksimum za uzlijetanje | 15 | 1 000 | | | |
| 767CF6 | DEFAULT | 2 | 3 | Ubrzanje | Maksimum za uzlijetanje | 15 | | 1 840 | 147 | |

▼**M2**

| ACFTID | Oznaka profila (Profile_ID) | Dulji-na faze | Broj koraka | Tip koraka | Režim rada motora | Zakrilca (Flap_ID) | Visina krajnje točke (ft) | Stopa penjanja (ft/min) | Kalibri-rana brzina leta u krajnjoj točki (kt) | Postot-ak ubrzan-ja (Acce-lera-te_Per-cent) (%) |
|---|---|---|---|---|---|---|---|---|---|---|
| 767CF6 | DEFAULT | 2 | 4 | Ubrzanje | Maksimum za uzlijetanje | 5 | | 1 840 | 167 | |
| 767CF6 | DEFAULT | 2 | 5 | Ubrzanje | Maksimum za penjanje | 1 | | 1 000 | 206 | |
| 767CF6 | DEFAULT | 2 | 6 | Ubrzanje | Maksimum za penjanje | ZERO | | 1 000 | 226 | |
| 767CF6 | DEFAULT | 2 | 7 | Penjanje | Maksimum za penjanje | ZERO | 3 000 | | | |
| 767CF6 | DEFAULT | 2 | 8 | Ubrzanje | Maksimum za penjanje | ZERO | | 1 000 | 250 | |
| 767CF6 | DEFAULT | 2 | 9 | Penjanje | Maksimum za penjanje | ZERO | 5 500 | | | |
| 767CF6 | DEFAULT | 2 | 10 | Penjanje | Maksimum za penjanje | ZERO | 7 500 | | | |
| 767CF6 | DEFAULT | 2 | 11 | Penjanje | Maksimum za penjanje | ZERO | 10 000 | | | |
| 767CF6 | DEFAULT | 3 | 1 | Uzlijeta-nje | Maksimum za uzlijetanje | 15 | | | | |
| 767CF6 | DEFAULT | 3 | 2 | Penjanje | Maksimum za uzlijetanje | 15 | 1 000 | | | |
| 767CF6 | DEFAULT | 3 | 3 | Ubrzanje | Maksimum za uzlijetanje | 15 | | 1 769 | 150 | |
| 767CF6 | DEFAULT | 3 | 4 | Ubrzanje | Maksimum za uzlijetanje | 5 | | 1 769 | 170 | |
| 767CF6 | DEFAULT | 3 | 5 | Ubrzanje | Maksimum za penjanje | 1 | | 1 000 | 209 | |

▼**M2**

| ACFTID | Oznaka profila (Profile_ID) | Dulji-na faze | Broj koraka | Tip koraka | Režim rada motora | Zakrilca (Flap_ID) | Visina krajnje točke (ft) | Stopa penjanja (ft/min) | Kalibri-rana brzina leta u krajnjoj točki (kt) | Postot-ak ubrzan-ja (Acce-lera-te_Per-cent) (%) |
|---|---|---|---|---|---|---|---|---|---|---|
| 767CF6 | DEFAULT | 3 | 6 | Ubrzanje | Maksimum za penjanje | ZERO | | 1 000 | 229 | |
| 767CF6 | DEFAULT | 3 | 7 | Penjanje | Maksimum za penjanje | ZERO | 3 000 | | | |
| 767CF6 | DEFAULT | 3 | 8 | Ubrzanje | Maksimum za penjanje | ZERO | | 1 000 | 250 | |
| 767CF6 | DEFAULT | 3 | 9 | Penjanje | Maksimum za penjanje | ZERO | 5 500 | | | |
| 767CF6 | DEFAULT | 3 | 10 | Penjanje | Maksimum za penjanje | ZERO | 7 500 | | | |
| 767CF6 | DEFAULT | 3 | 11 | Penjanje | Maksimum za penjanje | ZERO | 10 000 | | | |
| 767CF6 | DEFAULT | 4 | 1 | Uzlijeta-nje | Maksimum za uzlijetanje | 15 | | | | |
| 767CF6 | DEFAULT | 4 | 2 | Penjanje | Maksimum za uzlijetanje | 15 | 1 000 | | | |
| 767CF6 | DEFAULT | 4 | 3 | Ubrzanje | Maksimum za uzlijetanje | 15 | | 1 656 | 155 | |
| 767CF6 | DEFAULT | 4 | 4 | Ubrzanje | Maksimum za uzlijetanje | 5 | | 1 656 | 175 | |
| 767CF6 | DEFAULT | 4 | 5 | Ubrzanje | Maksimum za penjanje | 1 | | 1 000 | 214 | |
| 767CF6 | DEFAULT | 4 | 6 | Ubrzanje | Maksimum za penjanje | ZERO | | 1 000 | 234 | |
| 767CF6 | DEFAULT | 4 | 7 | Penjanje | Maksimum za penjanje | ZERO | 3 000 | | | |

▼**M2**

| ACFTID | Oznaka profila (Profile_ID) | Dulji-na faze | Broj koraka | Tip koraka | Režim rada motora | Zakrilca (Flap_ID) | Visina krajnje točke (ft) | Stopa penjanja (ft/min) | Kalibri-rana brzina leta u krajnjoj točki (kt) | Postot-ak ubrzan-ja (Acce-lera-te_Per-cent) (%) |
|---|---|---|---|---|---|---|---|---|---|---|
| 767CF6 | DEFAULT | 4 | 8 | Ubrzanje | Maksimum za penjanje | ZERO | | 1 000 | 250 | |
| 767CF6 | DEFAULT | 4 | 9 | Penjanje | Maksimum za penjanje | ZERO | 5 500 | | | |
| 767CF6 | DEFAULT | 4 | 10 | Penjanje | Maksimum za penjanje | ZERO | 7 500 | | | |
| 767CF6 | DEFAULT | 4 | 11 | Penjanje | Maksimum za penjanje | ZERO | 10 000 | | | |
| 767CF6 | DEFAULT | 5 | 1 | Uzlijeta-nje | Maksimum za uzlijetanje | 15 | | | | |
| 767CF6 | DEFAULT | 5 | 2 | Penjanje | Maksimum za uzlijetanje | 15 | 1 000 | | | |
| 767CF6 | DEFAULT | 5 | 3 | Ubrzanje | Maksimum za uzlijetanje | 15 | | 1 529 | 160 | |
| 767CF6 | DEFAULT | 5 | 4 | Ubrzanje | Maksimum za uzlijetanje | 5 | | 1 529 | 180 | |
| 767CF6 | DEFAULT | 5 | 5 | Ubrzanje | Maksimum za penjanje | 1 | | 1 000 | 219 | |
| 767CF6 | DEFAULT | 5 | 6 | Ubrzanje | Maksimum za penjanje | ZERO | | 1 000 | 239 | |
| 767CF6 | DEFAULT | 5 | 7 | Penjanje | Maksimum za penjanje | ZERO | 3 000 | | | |
| 767CF6 | DEFAULT | 5 | 8 | Ubrzanje | Maksimum za penjanje | ZERO | | 1 000 | 250 | |
| 767CF6 | DEFAULT | 5 | 9 | Penjanje | Maksimum za penjanje | ZERO | 5 500 | | | |

▼**M2**

| ACFTID | Oznaka profila (Profile_ID) | Dulji-na faze | Broj koraka | Tip koraka | Režim rada motora | Zakrilca (Flap_ID) | Visina krajnje točke (ft) | Stopa penjanja (ft/min) | Kalibri-rana brzina leta u krajnjoj točki (kt) | Postot-ak ubrzan-ja (Acce-lera-te_Per-cent) (%) |
|---|---|---|---|---|---|---|---|---|---|---|
| 767CF6 | DEFAULT | 5 | 10 | Penjanje | Maksimum za penjanje | ZERO | 7 500 | | | |
| 767CF6 | DEFAULT | 5 | 11 | Penjanje | Maksimum za penjanje | ZERO | 10 000 | | | |
| 767CF6 | DEFAULT | 6 | 1 | Uzlijeta-nje | Maksimum za uzlijetanje | 15 | | | | |
| 767CF6 | DEFAULT | 6 | 2 | Penjanje | Maksimum za uzlijetanje | 15 | 1 000 | | | |
| 767CF6 | DEFAULT | 6 | 3 | Ubrzanje | Maksimum za uzlijetanje | 15 | | 1 407 | 166 | |
| 767CF6 | DEFAULT | 6 | 4 | Ubrzanje | Maksimum za uzlijetanje | 5 | | 1 407 | 186 | |
| 767CF6 | DEFAULT | 6 | 5 | Ubrzanje | Maksimum za penjanje | 1 | | 1 000 | 225 | |
| 767CF6 | DEFAULT | 6 | 6 | Ubrzanje | Maksimum za penjanje | ZERO | | 1 000 | 245 | |
| 767CF6 | DEFAULT | 6 | 7 | Penjanje | Maksimum za penjanje | ZERO | 3 000 | | | |
| 767CF6 | DEFAULT | 6 | 8 | Ubrzanje | Maksimum za penjanje | ZERO | | 1 000 | 250 | |
| 767CF6 | DEFAULT | 6 | 9 | Penjanje | Maksimum za penjanje | ZERO | 5 500 | | | |
| 767CF6 | DEFAULT | 6 | 10 | Penjanje | Maksimum za penjanje | ZERO | 7 500 | | | |
| 767CF6 | DEFAULT | 6 | 11 | Penjanje | Maksimum za penjanje | ZERO | 10 000 | | | |
| 767CF6 | DEFAULT | 7 | 1 | Uzlijeta-nje | Maksimum za uzlijetanje | 15 | | | | |

▼**M2**

| ACFTID | Oznaka profila (Profile_ID) | Dulji-na faze | Broj koraka | Tip koraka | Režim rada motora | Zakrilca (Flap_ID) | Visina krajnje točke (ft) | Stopa penjanja (ft/min) | Kalibri-rana brzina leta u krajnjoj točki (kt) | Postot-ak ubrzan-ja (Acce-lera-te_Per-cent) (%) |
|---|---|---|---|---|---|---|---|---|---|---|
| 767CF6 | DEFAULT | 7 | 2 | Penjanje | Maksimum za uzlijetanje | 15 | 1 000 | | | |
| 767CF6 | DEFAULT | 7 | 3 | Ubrzanje | Maksimum za uzlijetanje | 15 | | 1 345 | 169 | |
| 767CF6 | DEFAULT | 7 | 4 | Ubrzanje | Maksimum za uzlijetanje | 5 | | 1 345 | 189 | |
| 767CF6 | DEFAULT | 7 | 5 | Ubrzanje | Maksimum za penjanje | 1 | | 1 000 | 228 | |
| 767CF6 | DEFAULT | 7 | 6 | Ubrzanje | Maksimum za penjanje | ZERO | | 1 000 | 248 | |
| 767CF6 | DEFAULT | 7 | 7 | Penjanje | Maksimum za penjanje | ZERO | 3 000 | | | |
| 767CF6 | DEFAULT | 7 | 8 | Ubrzanje | Maksimum za penjanje | ZERO | | 1 000 | 250 | |
| 767CF6 | DEFAULT | 7 | 9 | Penjanje | Maksimum za penjanje | ZERO | 5 500 | | | |
| 767CF6 | DEFAULT | 7 | 10 | Penjanje | Maksimum za penjanje | ZERO | 7 500 | | | |
| 767CF6 | DEFAULT | 7 | 11 | Penjanje | Maksimum za penjanje | ZERO | 10 000 | | | |
| 767JT9 | DEFAULT | 1 | 1 | Uzlijeta-nje | Maksimum za uzlijetanje | 15 | | | | |
| 767JT9 | DEFAULT | 1 | 2 | Penjanje | Maksimum za uzlijetanje | 15 | 1 000 | | | |
| 767JT9 | DEFAULT | 1 | 3 | Ubrzanje | Maksimum za uzlijetanje | 15 | | 1 879 | 145 | |

▼**M2**

| ACFTID | Oznaka profila (Profile_ID) | Dulji-na faze | Broj koraka | Tip koraka | Režim rada motora | Zakrilca (Flap_ID) | Visina krajnje točke (ft) | Stopa penjanja (ft/min) | Kalibri-rana brzina leta u krajnjoj točki (kt) | Postot-ak ubrzan-ja (Acce-lera-te_Per-cent) (%) |
|---|---|---|---|---|---|---|---|---|---|---|
| 767JT9 | DEFAULT | 1 | 4 | Ubrzanje | Maksimum za uzlijetanje | 5 | | 1 879 | 165 | |
| 767JT9 | DEFAULT | 1 | 5 | Ubrzanje | Maksimum za penjanje | 1 | | 1 000 | 204 | |
| 767JT9 | DEFAULT | 1 | 6 | Ubrzanje | Maksimum za penjanje | ZERO | | 1 000 | 224 | |
| 767JT9 | DEFAULT | 1 | 7 | Penjanje | Maksimum za penjanje | ZERO | 3 000 | | | |
| 767JT9 | DEFAULT | 1 | 8 | Ubrzanje | Maksimum za penjanje | ZERO | | 1 000 | 250 | |
| 767JT9 | DEFAULT | 1 | 9 | Penjanje | Maksimum za penjanje | ZERO | 5 500 | | | |
| 767JT9 | DEFAULT | 1 | 10 | Penjanje | Maksimum za penjanje | ZERO | 7 500 | | | |
| 767JT9 | DEFAULT | 1 | 11 | Penjanje | Maksimum za penjanje | ZERO | 10 000 | | | |
| 767JT9 | DEFAULT | 2 | 1 | Uzlijeta-nje | Maksimum za uzlijetanje | 15 | | | | |
| 767JT9 | DEFAULT | 2 | 2 | Penjanje | Maksimum za uzlijetanje | 15 | 1 000 | | | |
| 767JT9 | DEFAULT | 2 | 3 | Ubrzanje | Maksimum za uzlijetanje | 15 | | 1 807 | 148 | |
| 767JT9 | DEFAULT | 2 | 4 | Ubrzanje | Maksimum za uzlijetanje | 5 | | 1 807 | 168 | |
| 767JT9 | DEFAULT | 2 | 5 | Ubrzanje | Maksimum za penjanje | 1 | | 1 000 | 207 | |

▼**M2**

| ACFTID | Oznaka profila (Profile_ID) | Dulji-na faze | Broj koraka | Tip koraka | Režim rada motora | Zakrilca (Flap_ID) | Visina krajnje točke (ft) | Stopa penjanja (ft/min) | Kalibri-rana brzina leta u krajnjoj točki (kt) | Postot-ak ubrzan-ja (Acce-lera-te_Per-cent) (%) |
|---|---|---|---|---|---|---|---|---|---|---|
| 767JT9 | DEFAULT | 2 | 6 | Ubrzanje | Maksimum za penjanje | ZERO | | 1 000 | 227 | |
| 767JT9 | DEFAULT | 2 | 7 | Penjanje | Maksimum za penjanje | ZERO | 3 000 | | | |
| 767JT9 | DEFAULT | 2 | 8 | Ubrzanje | Maksimum za penjanje | ZERO | | 1 000 | 250 | |
| 767JT9 | DEFAULT | 2 | 9 | Penjanje | Maksimum za penjanje | ZERO | 5 500 | | | |
| 767JT9 | DEFAULT | 2 | 10 | Penjanje | Maksimum za penjanje | ZERO | 7 500 | | | |
| 767JT9 | DEFAULT | 2 | 11 | Penjanje | Maksimum za penjanje | ZERO | 10 000 | | | |
| 767JT9 | DEFAULT | 3 | 1 | Uzlijeta-nje | Maksimum za uzlijetanje | 15 | | | | |
| 767JT9 | DEFAULT | 3 | 2 | Penjanje | Maksimum za uzlijetanje | 15 | 1 000 | | | |
| 767JT9 | DEFAULT | 3 | 3 | Ubrzanje | Maksimum za uzlijetanje | 15 | | 1 738 | 150 | |
| 767JT9 | DEFAULT | 3 | 4 | Ubrzanje | Maksimum za uzlijetanje | 5 | | 1 738 | 170 | |
| 767JT9 | DEFAULT | 3 | 5 | Ubrzanje | Maksimum za penjanje | 1 | | 1 000 | 210 | |
| 767JT9 | DEFAULT | 3 | 6 | Ubrzanje | Maksimum za penjanje | ZERO | | 1 000 | 230 | |
| 767JT9 | DEFAULT | 3 | 7 | Penjanje | Maksimum za penjanje | ZERO | 3 000 | | | |

▼M2

| ACFTID | Oznaka profila (Profile_ID) | Dulji-na faze | Broj koraka | Tip koraka | Režim rada motora | Zakrilca (Flap_ID) | Visina krajnje točke (ft) | Stopa penjanja (ft/min) | Kalibri-rana brzina leta u krajnjoj točki (kt) | Postot-ak ubrzan-ja (Acce-lera-te_Per-cent) (%) |
|---|---|---|---|---|---|---|---|---|---|---|
| 767JT9 | DEFAULT | 3 | 8 | Ubrzanje | Maksimum za penjanje | ZERO | | 1 000 | 250 | |
| 767JT9 | DEFAULT | 3 | 9 | Penjanje | Maksimum za penjanje | ZERO | 5 500 | | | |
| 767JT9 | DEFAULT | 3 | 10 | Penjanje | Maksimum za penjanje | ZERO | 7 500 | | | |
| 767JT9 | DEFAULT | 3 | 11 | Penjanje | Maksimum za penjanje | ZERO | 10 000 | | | |
| 767JT9 | DEFAULT | 4 | 1 | Uzlijeta-nje | Maksimum za uzlijetanje | 15 | | | | |
| 767JT9 | DEFAULT | 4 | 2 | Penjanje | Maksimum za uzlijetanje | 15 | 1 000 | | | |
| 767JT9 | DEFAULT | 4 | 3 | Ubrzanje | Maksimum za uzlijetanje | 15 | | 1 626 | 155 | |
| 767JT9 | DEFAULT | 4 | 4 | Ubrzanje | Maksimum za uzlijetanje | 5 | | 1 626 | 175 | |
| 767JT9 | DEFAULT | 4 | 5 | Ubrzanje | Maksimum za penjanje | 1 | | 1 000 | 214 | |
| 767JT9 | DEFAULT | 4 | 6 | Ubrzanje | Maksimum za penjanje | ZERO | | 1 000 | 234 | |
| 767JT9 | DEFAULT | 4 | 7 | Penjanje | Maksimum za penjanje | ZERO | 3 000 | | | |
| 767JT9 | DEFAULT | 4 | 8 | Ubrzanje | Maksimum za penjanje | ZERO | | 1 000 | 250 | |
| 767JT9 | DEFAULT | 4 | 9 | Penjanje | Maksimum za penjanje | ZERO | 5 500 | | | |

▼**M2**

| ACFTID | Oznaka profila (Profile_ID) | Dulji-na faze | Broj koraka | Tip koraka | Režim rada motora | Zakrilca (Flap_ID) | Visina krajnje točke (ft) | Stopa penjanja (ft/min) | Kalibri-rana brzina leta u krajnjoj točki (kt) | Postot-ak ubrzan-ja (Acce-lera-te_Per-cent) (%) |
|---|---|---|---|---|---|---|---|---|---|---|
| 767JT9 | DEFAULT | 4 | 10 | Penjanje | Maksimum za penjanje | ZERO | 7 500 | | | |
| 767JT9 | DEFAULT | 4 | 11 | Penjanje | Maksimum za penjanje | ZERO | 10 000 | | | |
| 767JT9 | DEFAULT | 5 | 1 | Uzlijeta-nje | Maksimum za uzlijetanje | 15 | | | | |
| 767JT9 | DEFAULT | 5 | 2 | Penjanje | Maksimum za uzlijetanje | 15 | 1 000 | | | |
| 767JT9 | DEFAULT | 5 | 3 | Ubrzanje | Maksimum za uzlijetanje | 15 | | 1 499 | 161 | |
| 767JT9 | DEFAULT | 5 | 4 | Ubrzanje | Maksimum za uzlijetanje | 5 | | 1 499 | 181 | |
| 767JT9 | DEFAULT | 5 | 5 | Ubrzanje | Maksimum za penjanje | 1 | | 1 000 | 220 | |
| 767JT9 | DEFAULT | 5 | 6 | Ubrzanje | Maksimum za penjanje | ZERO | | 1 000 | 240 | |
| 767JT9 | DEFAULT | 5 | 7 | Penjanje | Maksimum za penjanje | ZERO | 3 000 | | | |
| 767JT9 | DEFAULT | 5 | 8 | Ubrzanje | Maksimum za penjanje | ZERO | | 1 000 | 250 | |
| 767JT9 | DEFAULT | 5 | 9 | Penjanje | Maksimum za penjanje | ZERO | 5 500 | | | |
| 767JT9 | DEFAULT | 5 | 10 | Penjanje | Maksimum za penjanje | ZERO | 7 500 | | | |
| 767JT9 | DEFAULT | 5 | 11 | Penjanje | Maksimum za penjanje | ZERO | 10 000 | | | |
| 767JT9 | DEFAULT | 6 | 1 | Uzlijeta-nje | Maksimum za uzlijetanje | 15 | | | | |

▼**M2**

| ACFTID | Oznaka profila (Profile_ID) | Dulji-na faze | Broj koraka | Tip koraka | Režim rada motora | Zakrilca (Flap_ID) | Visina krajnje točke (ft) | Stopa penjanja (ft/min) | Kalibri-rana brzina leta u krajnjoj točki (kt) | Postot-ak ubrzan-ja (Acce-lera-te_Per-cent) (%) |
|---|---|---|---|---|---|---|---|---|---|---|
| 767JT9 | DEFAULT | 6 | 2 | Penjanje | Maksimum za uzlijetanje | 15 | 1 000 | | | |
| 767JT9 | DEFAULT | 6 | 3 | Ubrzanje | Maksimum za uzlijetanje | 15 | | 1 379 | 167 | |
| 767JT9 | DEFAULT | 6 | 4 | Ubrzanje | Maksimum za uzlijetanje | 5 | | 1 379 | 187 | |
| 767JT9 | DEFAULT | 6 | 5 | Ubrzanje | Maksimum za penjanje | 1 | | 1 000 | 226 | |
| 767JT9 | DEFAULT | 6 | 6 | Ubrzanje | Maksimum za penjanje | ZERO | | 1 000 | 246 | |
| 767JT9 | DEFAULT | 6 | 7 | Penjanje | Maksimum za penjanje | ZERO | 3 000 | | | |
| 767JT9 | DEFAULT | 6 | 8 | Ubrzanje | Maksimum za penjanje | ZERO | | 1 000 | 250 | |
| 767JT9 | DEFAULT | 6 | 9 | Penjanje | Maksimum za penjanje | ZERO | 5 500 | | | |
| 767JT9 | DEFAULT | 6 | 10 | Penjanje | Maksimum za penjanje | ZERO | 7 500 | | | |
| 767JT9 | DEFAULT | 6 | 11 | Penjanje | Maksimum za penjanje | ZERO | 10 000 | | | |
| 767JT9 | DEFAULT | 7 | 1 | Uzlijeta-nje | Maksimum za uzlijetanje | 15 | | | | |
| 767JT9 | DEFAULT | 7 | 2 | Penjanje | Maksimum za uzlijetanje | 15 | 1 000 | | | |
| 767JT9 | DEFAULT | 7 | 3 | Ubrzanje | Maksimum za uzlijetanje | 15 | | 1 328 | 170 | |
| 767JT9 | DEFAULT | 7 | 4 | Ubrzanje | Maksimum za uzlijetanje | 5 | | 1 328 | 190 | |

▼**M2**

| ACFTID | Oznaka profila (Profile_ID) | Dulji-na faze | Broj koraka | Tip koraka | Režim rada motora | Zakrilca (Flap_ID) | Visina krajnje točke (ft) | Stopa penjanja (ft/min) | Kalibri-rana brzina leta u krajnjoj točki (kt) | Postot-ak ubrzan-ja (Acce-lera-te_Per-cent) (%) |
|---|---|---|---|---|---|---|---|---|---|---|
| 767JT9 | DEFAULT | 7 | 5 | Ubrzanje | Maksimum za penjanje | 1 | | 1 000 | 228 | |
| 767JT9 | DEFAULT | 7 | 6 | Ubrzanje | Maksimum za penjanje | ZERO | | 1 000 | 248 | |
| 767JT9 | DEFAULT | 7 | 7 | Penjanje | Maksimum za penjanje | ZERO | 3 000 | | | |
| 767JT9 | DEFAULT | 7 | 8 | Ubrzanje | Maksimum za penjanje | ZERO | | 1 000 | 250 | |
| 767JT9 | DEFAULT | 7 | 9 | Penjanje | Maksimum za penjanje | ZERO | 5 500 | | | |
| 767JT9 | DEFAULT | 7 | 10 | Penjanje | Maksimum za penjanje | ZERO | 7 500 | | | |
| 767JT9 | DEFAULT | 7 | 11 | Penjanje | Maksimum za penjanje | ZERO | 10 000 | | | |
| 777200 | DEFAULT | 1 | 1 | Uzlijeta-nje | Maksimum za uzlijetanje | T_05 | | | | |
| 777200 | DEFAULT | 1 | 2 | Penjanje | Maksimum za uzlijetanje | T_05C | 1 089 | | | |
| 777200 | DEFAULT | 1 | 3 | Ubrzanje | Maksimum za penjanje | T_01 | | 1 583,4 | 205,9 | |
| 777200 | DEFAULT | 1 | 4 | Ubrzanje | Maksimum za penjanje | T_00 | | 1 744,7 | 213,7 | |
| 777200 | DEFAULT | 1 | 5 | Penjanje | Maksimum za penjanje | T_00 | 3 000 | | | |
| 777200 | DEFAULT | 1 | 6 | Ubrzanje | Maksimum za penjanje | T_00 | | 1 856,6 | 250 | |

▼**M2**

| ACFTID | Oznaka profila (Profile_ID) | Dulji-na faze | Broj koraka | Tip koraka | Režim rada motora | Zakrilca (Flap_ID) | Visina krajnje točke (ft) | Stopa penjanja (ft/min) | Kalibri-rana brzina leta u krajnjoj točki (kt) | Postot-ak ubrzan-ja (Acce-lera-te_Per-cent) (%) |
|---|---|---|---|---|---|---|---|---|---|---|
| 777200 | DEFAULT | 1 | 7 | Penjanje | Maksimum za penjanje | T_00 | 5 500 | | | |
| 777200 | DEFAULT | 1 | 8 | Penjanje | Maksimum za penjanje | T_00 | 7 500 | | | |
| 777200 | DEFAULT | 1 | 9 | Penjanje | Maksimum za penjanje | T_00 | 10 000 | | | |
| 777200 | DEFAULT | 2 | 1 | Uzlijeta-nje | Maksimum za uzlijetanje | T_05 | | | | |
| 777200 | DEFAULT | 2 | 2 | Penjanje | Maksimum za uzlijetanje | T_05C | 1 057 | | | |
| 777200 | DEFAULT | 2 | 3 | Ubrzanje | Maksimum za penjanje | T_01 | | 1 526,8 | 206,6 | |
| 777200 | DEFAULT | 2 | 4 | Ubrzanje | Maksimum za penjanje | T_00 | | 1 681 | 215,6 | |
| 777200 | DEFAULT | 2 | 5 | Penjanje | Maksimum za penjanje | T_00 | 3 000 | | | |
| 777200 | DEFAULT | 2 | 6 | Ubrzanje | Maksimum za penjanje | T_00 | | 1 791,2 | 250 | |
| 777200 | DEFAULT | 2 | 7 | Penjanje | Maksimum za penjanje | T_00 | 5 500 | | | |
| 777200 | DEFAULT | 2 | 8 | Penjanje | Maksimum za penjanje | T_00 | 7 500 | | | |
| 777200 | DEFAULT | 2 | 9 | Penjanje | Maksimum za penjanje | T_00 | 10 000 | | | |
| 777200 | DEFAULT | 3 | 1 | Uzlijeta-nje | Maksimum za uzlijetanje | T_05 | | | | |

▼**M2**

| ACFTID | Oznaka profila (Profile_ID) | Dulji-na faze | Broj koraka | Tip koraka | Režim rada motora | Zakrilca (Flap_ID) | Visina krajnje točke (ft) | Stopa penjanja (ft/min) | Kalibri-rana brzina leta u krajnjoj točki (kt) | Postot-ak ubrzan-ja (Acce-lera-te_Per-cent) (%) |
|---|---|---|---|---|---|---|---|---|---|---|
| 777200 | DEFAULT | 3 | 2 | Penjanje | Maksimum za uzlijetanje | T_05C | 1 022 | | | |
| 777200 | DEFAULT | 3 | 3 | Ubrzanje | Maksimum za penjanje | T_01 | | 1 468,5 | 207,3 | |
| 777200 | DEFAULT | 3 | 4 | Ubrzanje | Maksimum za penjanje | T_00 | | 1 618,3 | 217,7 | |
| 777200 | DEFAULT | 3 | 5 | Penjanje | Maksimum za penjanje | T_00 | 3 000 | | | |
| 777200 | DEFAULT | 3 | 6 | Ubrzanje | Maksimum za penjanje | T_00 | | 1 725,7 | 250 | |
| 777200 | DEFAULT | 3 | 7 | Penjanje | Maksimum za penjanje | T_00 | 5 500 | | | |
| 777200 | DEFAULT | 3 | 8 | Penjanje | Maksimum za penjanje | T_00 | 7 500 | | | |
| 777200 | DEFAULT | 3 | 9 | Penjanje | Maksimum za penjanje | T_00 | 10 000 | | | |
| 777200 | DEFAULT | 4 | 1 | Uzlijeta-nje | Maksimum za uzlijetanje | T_05 | | | | |
| 777200 | DEFAULT | 4 | 2 | Penjanje | Maksimum za uzlijetanje | T_05C | 1 000 | | | |
| 777200 | DEFAULT | 4 | 3 | Ubrzanje | Maksimum za penjanje | T_01 | | 1 363,3 | 208,9 | |
| 777200 | DEFAULT | 4 | 4 | Ubrzanje | Maksimum za penjanje | T_00 | | 1 510,5 | 221,7 | |
| 777200 | DEFAULT | 4 | 5 | Penjanje | Maksimum za penjanje | T_00 | 3 000 | | | |

▼**M2**

| ACFTID | Oznaka profila (Profile_ID) | Dulji-na faze | Broj koraka | Tip koraka | Režim rada motora | Zakrilca (Flap_ID) | Visina krajnje točke (ft) | Stopa penjanja (ft/min) | Kalibri-rana brzina leta u krajnjoj točki (kt) | Postot-ak ubrzan-ja (Acce-lera-te_Per-cent) (%) |
|---|---|---|---|---|---|---|---|---|---|---|
| 777200 | DEFAULT | 4 | 6 | Ubrzanje | Maksimum za penjanje | T_00 | | 1 601,3 | 250 | |
| 777200 | DEFAULT | 4 | 7 | Penjanje | Maksimum za penjanje | T_00 | 5 500 | | | |
| 777200 | DEFAULT | 4 | 8 | Penjanje | Maksimum za penjanje | T_00 | 7 500 | | | |
| 777200 | DEFAULT | 4 | 9 | Penjanje | Maksimum za penjanje | T_00 | 10 000 | | | |
| 777200 | DEFAULT | 5 | 1 | Uzlijeta-nje | Maksimum za uzlijetanje | T_05 | | | | |
| 777200 | DEFAULT | 5 | 2 | Penjanje | Maksimum za uzlijetanje | T_05C | 1 000 | | | |
| 777200 | DEFAULT | 5 | 3 | Ubrzanje | Maksimum za penjanje | T_01 | | 1 247,5 | 211 | |
| 777200 | DEFAULT | 5 | 4 | Ubrzanje | Maksimum za penjanje | T_00 | | 1 389,1 | 225,5 | |
| 777200 | DEFAULT | 5 | 5 | Penjanje | Maksimum za penjanje | T_00 | 3 000 | | | |
| 777200 | DEFAULT | 5 | 6 | Ubrzanje | Maksimum za penjanje | T_00 | | 1 467,1 | 250 | |
| 777200 | DEFAULT | 5 | 7 | Penjanje | Maksimum za penjanje | T_00 | 5 500 | | | |
| 777200 | DEFAULT | 5 | 8 | Penjanje | Maksimum za penjanje | T_00 | 7 500 | | | |
| 777200 | DEFAULT | 5 | 9 | Penjanje | Maksimum za penjanje | T_00 | 10 000 | | | |

▼**M2**

| ACFTID | Oznaka profila (Profile_ID) | Dulji-na faze | Broj koraka | Tip koraka | Režim rada motora | Zakrilca (Flap_ID) | Visina krajnje točke (ft) | Stopa penjanja (ft/min) | Kalibri-rana brzina leta u krajnjoj točki (kt) | Postot-ak ubrzan-ja (Acce-lera-te_Per-cent) (%) |
|---|---|---|---|---|---|---|---|---|---|---|
| 777200 | DEFAULT | 6 | 1 | Uzlijeta-nje | Maksimum za uzlijetanje | T_05 | | | | |
| 777200 | DEFAULT | 6 | 2 | Penjanje | Maksimum za uzlijetanje | T_05C | 1 000 | | | |
| 777200 | DEFAULT | 6 | 3 | Ubrzanje | Maksimum za penjanje | T_01 | | 1 136,7 | 213,4 | |
| 777200 | DEFAULT | 6 | 4 | Ubrzanje | Maksimum za penjanje | T_00 | | 1 275 | 231,5 | |
| 777200 | DEFAULT | 6 | 5 | Penjanje | Maksimum za penjanje | T_00 | 3 000 | | | |
| 777200 | DEFAULT | 6 | 6 | Ubrzanje | Maksimum za penjanje | T_00 | | 1 337,6 | 250 | |
| 777200 | DEFAULT | 6 | 7 | Penjanje | Maksimum za penjanje | T_00 | 5 500 | | | |
| 777200 | DEFAULT | 6 | 8 | Penjanje | Maksimum za penjanje | T_00 | 7 500 | | | |
| 777200 | DEFAULT | 6 | 9 | Penjanje | Maksimum za penjanje | T_00 | 10 000 | | | |
| 777200 | DEFAULT | 7 | 1 | Uzlijeta-nje | Maksimum za uzlijetanje | T_05 | | | | |
| 777200 | DEFAULT | 7 | 2 | Penjanje | Maksimum za uzlijetanje | T_05C | 1 000 | | | |
| 777200 | DEFAULT | 7 | 3 | Ubrzanje | Maksimum za penjanje | T_01 | | 1 032,4 | 216,2 | |
| 777200 | DEFAULT | 7 | 4 | Ubrzanje | Maksimum za penjanje | T_00 | | 1 147 | 228,5 | |

▼**M2**

| ACFTID | Oznaka profila (Profile_ID) | Dulji-na faze | Broj koraka | Tip koraka | Režim rada motora | Zakrilca (Flap_ID) | Visina krajnje točke (ft) | Stopa penjanja (ft/min) | Kalibri-rana brzina leta u krajnjoj točki (kt) | Postot-ak ubrzan-ja (Acce-lera-te_Per-cent) (%) |
|---|---|---|---|---|---|---|---|---|---|---|
| 777200 | DEFAULT | 7 | 5 | Ubrzanje | Maksimum za penjanje | T_00 | | 1 189,4 | 236,6 | |
| 777200 | DEFAULT | 7 | 6 | Penjanje | Maksimum za penjanje | T_00 | 3 000 | | | |
| 777200 | DEFAULT | 7 | 7 | Ubrzanje | Maksimum za penjanje | T_00 | | 1 215,6 | 250 | |
| 777200 | DEFAULT | 7 | 8 | Penjanje | Maksimum za penjanje | T_00 | 5 500 | | | |
| 777200 | DEFAULT | 7 | 9 | Penjanje | Maksimum za penjanje | T_00 | 7 500 | | | |
| 777200 | DEFAULT | 7 | 10 | Penjanje | Maksimum za penjanje | T_00 | 10 000 | | | |
| 777200 | DEFAULT | 8 | 1 | Uzlijeta-nje | Maksimum za uzlijetanje | T_05 | | | | |
| 777200 | DEFAULT | 8 | 2 | Penjanje | Maksimum za uzlijetanje | T_05C | 1 000 | | | |
| 777200 | DEFAULT | 8 | 3 | Ubrzanje | Maksimum za penjanje | T_01 | | 931,9 | 219,4 | |
| 777200 | DEFAULT | 8 | 4 | Ubrzanje | Maksimum za penjanje | T_00H | | 1 033,1 | 232,5 | |
| 777200 | DEFAULT | 8 | 5 | Ubrzanje | Maksimum za penjanje | T_00H | | 1 088,7 | 242 | |
| 777200 | DEFAULT | 8 | 6 | Penjanje | Maksimum za penjanje | T_00H | 3 000 | | | |
| 777200 | DEFAULT | 8 | 7 | Ubrzanje | Maksimum za penjanje | T_00H | | 1 101,5 | 250 | |

▼**M2**

| ACFTID | Oznaka profila (Profile_ID) | Dulji-na faze | Broj koraka | Tip koraka | Režim rada motora | Zakrilca (Flap_ID) | Visina krajnje točke (ft) | Stopa penjanja (ft/min) | Kalibri-rana brzina leta u krajnjoj točki (kt) | Postot-ak ubrzan-ja (Acce-lera-te_Per-cent) (%) |
|---|---|---|---|---|---|---|---|---|---|---|
| 777200 | DEFAULT | 8 | 8 | Penjanje | Maksimum za penjanje | T_00H | 5 500 | | | |
| 777200 | DEFAULT | 8 | 9 | Penjanje | Maksimum za penjanje | T_00H | 7 500 | | | |
| 777200 | DEFAULT | 8 | 10 | Penjanje | Maksimum za penjanje | T_00H | 10 000 | | | |
| 777200 | DEFAULT | 9 | 1 | Uzlijeta-nje | Maksimum za uzlijetanje | T_05 | | | | |
| 777200 | DEFAULT | 9 | 2 | Penjanje | Maksimum za uzlijetanje | T_05C | 1 000 | | | |
| 777200 | DEFAULT | 9 | 3 | Ubrzanje | Maksimum za penjanje | T_01 | | 874,9 | 221,7 | |
| 777200 | DEFAULT | 9 | 4 | Ubrzanje | Maksimum za penjanje | T_00H | | 969,4 | 235,4 | |
| 777200 | DEFAULT | 9 | 5 | Ubrzanje | Maksimum za penjanje | T_00H | | 1 020,2 | 245,6 | |
| 777200 | DEFAULT | 9 | 6 | Penjanje | Maksimum za penjanje | T_00H | 3 000 | | | |
| 777200 | DEFAULT | 9 | 7 | Ubrzanje | Maksimum za penjanje | T_00H | | 1 031,1 | 250 | |
| 777200 | DEFAULT | 9 | 8 | Penjanje | Maksimum za penjanje | T_00H | 5 500 | | | |
| 777200 | DEFAULT | 9 | 9 | Penjanje | Maksimum za penjanje | T_00H | 7 500 | | | |
| 777200 | DEFAULT | 9 | 10 | Penjanje | Maksimum za penjanje | T_00H | 10 000 | | | |

▼**M2**

| ACFTID | Oznaka profila (Profile_ID) | Dulji-na faze | Broj koraka | Tip koraka | Režim rada motora | Zakrilca (Flap_ID) | Visina krajnje točke (ft) | Stopa penjanja (ft/min) | Kalibri-rana brzina leta u krajnjoj točki (kt) | Postot-ak ubrzan-ja (Acce-lera-te_Per-cent) (%) |
|---|---|---|---|---|---|---|---|---|---|---|
| 777200 | ICAO_A | 1 | 1 | Uzlijeta-nje | Maksimum za uzlijetanje | T_05 | | | | |
| 777200 | ICAO_A | 1 | 2 | Penjanje | Maksimum za uzlijetanje | T_05C | 1 500 | | | |
| 777200 | ICAO_A | 1 | 3 | Penjanje | Maksimum za penjanje | T_01 | 3 000 | | | |
| 777200 | ICAO_A | 1 | 4 | Ubrzanje | Maksimum za penjanje | T_05A | | 1 504 | 203,3 | |
| 777200 | ICAO_A | 1 | 5 | Ubrzanje | Maksimum za penjanje | T_01 | | 1 700 | 213,4 | |
| 777200 | ICAO_A | 1 | 6 | Ubrzanje | Maksimum za penjanje | T_00 | | 1 856,1 | 250 | |
| 777200 | ICAO_A | 1 | 7 | Penjanje | Maksimum za penjanje | T_00 | 5 500 | | | |
| 777200 | ICAO_A | 1 | 8 | Penjanje | Maksimum za penjanje | T_00 | 7 500 | | | |
| 777200 | ICAO_A | 1 | 9 | Penjanje | Maksimum za penjanje | T_00 | 10 000 | | | |
| 777200 | ICAO_A | 2 | 1 | Uzlijeta-nje | Maksimum za uzlijetanje | T_05 | | | | |
| 777200 | ICAO_A | 2 | 2 | Penjanje | Maksimum za uzlijetanje | T_05C | 1 500 | | | |
| 777200 | ICAO_A | 2 | 3 | Penjanje | Maksimum za penjanje | T_01 | 3 000 | | | |
| 777200 | ICAO_A | 2 | 4 | Ubrzanje | Maksimum za penjanje | T_05A | | 1 451,9 | 204 | |
| 777200 | ICAO_A | 2 | 5 | Ubrzanje | Maksimum za penjanje | T_01 | | 1 633,4 | 215,4 | |

▼**M2**

| ACFTID | Oznaka profila (Profile_ID) | Dulji-na faze | Broj koraka | Tip koraka | Režim rada motora | Zakrilca (Flap_ID) | Visina krajnje točke (ft) | Stopa penjanja (ft/min) | Kalibri-rana brzina leta u krajnjoj točki (kt) | Postot-ak ubrzan-ja (Acce-lera-te_Per-cent) (%) |
|---|---|---|---|---|---|---|---|---|---|---|
| 777200 | ICAO_A | 2 | 6 | Ubrzanje | Maksimum za penjanje | T_00 | | 1 789,9 | 250 | |
| 777200 | ICAO_A | 2 | 7 | Penjanje | Maksimum za penjanje | T_00 | 5 500 | | | |
| 777200 | ICAO_A | 2 | 8 | Penjanje | Maksimum za penjanje | T_00 | 7 500 | | | |
| 777200 | ICAO_A | 2 | 9 | Penjanje | Maksimum za penjanje | T_00 | 10 000 | | | |
| 777200 | ICAO_A | 3 | 1 | Uzlijeta-nje | Maksimum za uzlijetanje | T_05 | | | | |
| 777200 | ICAO_A | 3 | 2 | Penjanje | Maksimum za uzlijetanje | T_05C | 1 500 | | | |
| 777200 | ICAO_A | 3 | 3 | Penjanje | Maksimum za penjanje | T_01 | 3 000 | | | |
| 777200 | ICAO_A | 3 | 4 | Ubrzanje | Maksimum za penjanje | T_05A | | 1 395,1 | 204,9 | |
| 777200 | ICAO_A | 3 | 5 | Ubrzanje | Maksimum za penjanje | T_01 | | 1 575 | 217,3 | |
| 777200 | ICAO_A | 3 | 6 | Ubrzanje | Maksimum za penjanje | T_00 | | 1 719,4 | 250 | |
| 777200 | ICAO_A | 3 | 7 | Penjanje | Maksimum za penjanje | T_00 | 5 500 | | | |
| 777200 | ICAO_A | 3 | 8 | Penjanje | Maksimum za penjanje | T_00 | 7 500 | | | |
| 777200 | ICAO_A | 3 | 9 | Penjanje | Maksimum za penjanje | T_00 | 10 000 | | | |

▼**M2**

| ACFTID | Oznaka profila (Profile_ID) | Dulji-na faze | Broj koraka | Tip koraka | Režim rada motora | Zakrilca (Flap_ID) | Visina krajnje točke (ft) | Stopa penjanja (ft/min) | Kalibri-rana brzina leta u krajnjoj točki (kt) | Postot-ak ubrzan-ja (Acce-lera-te_Per-cent) (%) |
|---|---|---|---|---|---|---|---|---|---|---|
| 777200 | ICAO_A | 4 | 1 | Uzlijeta-nje | Maksimum za uzlijetanje | T_05 | | | | |
| 777200 | ICAO_A | 4 | 2 | Penjanje | Maksimum za uzlijetanje | T_05C | 1 500 | | | |
| 777200 | ICAO_A | 4 | 3 | Penjanje | Maksimum za penjanje | T_01 | 3 000 | | | |
| 777200 | ICAO_A | 4 | 4 | Ubrzanje | Maksimum za penjanje | T_05A | | 1 295,2 | 206,6 | |
| 777200 | ICAO_A | 4 | 5 | Ubrzanje | Maksimum za penjanje | T_01 | | 1 477,7 | 221,3 | |
| 777200 | ICAO_A | 4 | 6 | Ubrzanje | Maksimum za penjanje | T_00 | | 1 592,4 | 250 | |
| 777200 | ICAO_A | 4 | 7 | Penjanje | Maksimum za penjanje | T_00 | 5 500 | | | |
| 777200 | ICAO_A | 4 | 8 | Penjanje | Maksimum za penjanje | T_00 | 7 500 | | | |
| 777200 | ICAO_A | 4 | 9 | Penjanje | Maksimum za penjanje | T_00 | 10 000 | | | |
| 777200 | ICAO_A | 5 | 1 | Uzlijeta-nje | Maksimum za uzlijetanje | T_05 | | | | |
| 777200 | ICAO_A | 5 | 2 | Penjanje | Maksimum za uzlijetanje | T_05C | 1 500 | | | |
| 777200 | ICAO_A | 5 | 3 | Penjanje | Maksimum za penjanje | T_01 | 3 000 | | | |
| 777200 | ICAO_A | 5 | 4 | Ubrzanje | Maksimum za penjanje | T_05A | | 1 182,6 | 208,8 | |

▼M2

| ACFTID | Oznaka profila (Profile_ID) | Dulji-na faze | Broj koraka | Tip koraka | Režim rada motora | Zakrilca (Flap_ID) | Visina krajnje točke (ft) | Stopa penjanja (ft/min) | Kalibri-rana brzina leta u krajnjoj točki (kt) | Postot-ak ubrzan-ja (Acce-lera-te_Per-cent) (%) |
|---|---|---|---|---|---|---|---|---|---|---|
| 777200 | ICAO_A | 5 | 5 | Ubrzanje | Maksimum za penjanje | T_01 | | 1 346,3 | 222,1 | |
| 777200 | ICAO_A | 5 | 6 | Ubrzanje | Maksimum za penjanje | T_00 | | 1 451,1 | 250 | |
| 777200 | ICAO_A | 5 | 7 | Penjanje | Maksimum za penjanje | T_00 | 5 500 | | | |
| 777200 | ICAO_A | 5 | 8 | Penjanje | Maksimum za penjanje | T_00 | 7 500 | | | |
| 777200 | ICAO_A | 5 | 9 | Penjanje | Maksimum za penjanje | T_00 | 10 000 | | | |
| 777200 | ICAO_A | 6 | 1 | Uzlijeta-nje | Maksimum za uzlijetanje | T_05 | | | | |
| 777200 | ICAO_A | 6 | 2 | Penjanje | Maksimum za uzlijetanje | T_05C | 1 500 | | | |
| 777200 | ICAO_A | 6 | 3 | Penjanje | Maksimum za penjanje | T_01 | 3 000 | | | |
| 777200 | ICAO_A | 6 | 4 | Ubrzanje | Maksimum za penjanje | T_05 | | 1 075,6 | 211,4 | |
| 777200 | ICAO_A | 6 | 5 | Ubrzanje | Maksimum za penjanje | T_01 | | 1 217,4 | 223,4 | |
| 777200 | ICAO_A | 6 | 6 | Ubrzanje | Maksimum za penjanje | T_00 | | 1 316,4 | 250 | |
| 777200 | ICAO_A | 6 | 7 | Penjanje | Maksimum za penjanje | T_00 | 5 500 | | | |
| 777200 | ICAO_A | 6 | 8 | Penjanje | Maksimum za penjanje | T_00 | 7 500 | | | |

▼**M2**

| ACFTID | Oznaka profila (Profile_ID) | Dulji-na faze | Broj koraka | Tip koraka | Režim rada motora | Zakrilca (Flap_ID) | Visina krajnje točke (ft) | Stopa penjanja (ft/min) | Kalibri-rana brzina leta u krajnjoj točki (kt) | Postot-ak ubrzan-ja (Acce-lera-te_Per-cent) (%) |
|---|---|---|---|---|---|---|---|---|---|---|
| 777200 | ICAO_A | 6 | 9 | Penjanje | Maksimum za penjanje | T_00 | 10 000 | | | |
| 777200 | ICAO_A | 7 | 1 | Uzlijeta-nje | Maksimum za uzlijetanje | T_05 | | | | |
| 777200 | ICAO_A | 7 | 2 | Penjanje | Maksimum za uzlijetanje | T_05C | 1 500 | | | |
| 777200 | ICAO_A | 7 | 3 | Penjanje | Maksimum za penjanje | T_01 | 3 000 | | | |
| 777200 | ICAO_A | 7 | 4 | Ubrzanje | Maksimum za penjanje | T_05 | | 973,3 | 214,3 | |
| 777200 | ICAO_A | 7 | 5 | Ubrzanje | Maksimum za penjanje | T_01 | | 1 104,3 | 227,2 | |
| 777200 | ICAO_A | 7 | 6 | Ubrzanje | Maksimum za penjanje | T_00 | | 1 188,2 | 250 | |
| 777200 | ICAO_A | 7 | 7 | Penjanje | Maksimum za penjanje | T_00 | 5 500 | | | |
| 777200 | ICAO_A | 7 | 8 | Penjanje | Maksimum za penjanje | T_00 | 7 500 | | | |
| 777200 | ICAO_A | 7 | 9 | Penjanje | Maksimum za penjanje | T_00 | 10 000 | | | |
| 777200 | ICAO_A | 8 | 1 | Uzlijeta-nje | Maksimum za uzlijetanje | T_05 | | | | |
| 777200 | ICAO_A | 8 | 2 | Penjanje | Maksimum za uzlijetanje | T_05CH | 1 500 | | | |
| 777200 | ICAO_A | 8 | 3 | Penjanje | Maksimum za penjanje | T_01 | 3 000 | | | |

▼**M2**

| ACFTID | Oznaka profila (Profile_ID) | Dulji-na faze | Broj koraka | Tip koraka | Režim rada motora | Zakrilca (Flap_ID) | Visina krajnje točke (ft) | Stopa penjanja (ft/min) | Kalibri-rana brzina leta u krajnjoj točki (kt) | Postot-ak ubrzan-ja (Acce-lera-te_Per-cent) (%) |
|---|---|---|---|---|---|---|---|---|---|---|
| 777200 | ICAO_A | 8 | 4 | Ubrzanje | Maksimum za penjanje | T_05 | | 877,9 | 217,6 | |
| 777200 | ICAO_A | 8 | 5 | Ubrzanje | Maksimum za penjanje | T_01 | | 997,4 | 231,4 | |
| 777200 | ICAO_A | 8 | 6 | Ubrzanje | Maksimum za penjanje | T_00H | | 1 071,6 | 250 | |
| 777200 | ICAO_A | 8 | 7 | Penjanje | Maksimum za penjanje | T_00H | 5 500 | | | |
| 777200 | ICAO_A | 8 | 8 | Penjanje | Maksimum za penjanje | T_00H | 7 500 | | | |
| 777200 | ICAO_A | 8 | 9 | Penjanje | Maksimum za penjanje | T_00H | 10 000 | | | |
| 777200 | ICAO_A | 9 | 1 | Uzlijeta-nje | Maksimum za uzlijetanje | T_05 | | | | |
| 777200 | ICAO_A | 9 | 2 | Penjanje | Maksimum za uzlijetanje | T_05CH | 1 500 | | | |
| 777200 | ICAO_A | 9 | 3 | Penjanje | Maksimum za penjanje | T_05 | 3 000 | | | |
| 777200 | ICAO_A | 9 | 4 | Ubrzanje | Maksimum za penjanje | T_05 | | 820,9 | 220 | |
| 777200 | ICAO_A | 9 | 5 | Ubrzanje | Maksimum za penjanje | T_01 | | 930,3 | 234,3 | |
| 777200 | ICAO_A | 9 | 6 | Ubrzanje | Maksimum za penjanje | T_00H | | 1 000 | 250 | |
| 777200 | ICAO_A | 9 | 7 | Penjanje | Maksimum za penjanje | T_00H | 5 500 | | | |

▼**M2**

| ACFTID | Oznaka profila (Profile_ID) | Dulji-na faze | Broj koraka | Tip koraka | Režim rada motora | Zakrilca (Flap_ID) | Visina krajnje točke (ft) | Stopa penjanja (ft/min) | Kalibri-rana brzina leta u krajnjoj točki (kt) | Postot-ak ubrzan-ja (Acce-lera-te_Per-cent) (%) |
|---|---|---|---|---|---|---|---|---|---|---|
| 777200 | ICAO_A | 9 | 8 | Penjanje | Maksimum za penjanje | T_00 | 7 500 | | | |
| 777200 | ICAO_A | 9 | 9 | Penjanje | Maksimum za penjanje | T_00 | 10 000 | | | |
| 777200 | ICAO_B | 1 | 1 | Uzlijeta-nje | Maksimum za uzlijetanje | T_05 | | | | |
| 777200 | ICAO_B | 1 | 2 | Penjanje | Maksimum za uzlijetanje | T_05C | 1 089 | | | |
| 777200 | ICAO_B | 1 | 3 | Ubrzanje | Maksimum za uzlijetanje | T_05A | | 2 183,5 | 193,8 | |
| 777200 | ICAO_B | 1 | 4 | Ubrzanje | Maksimum za uzlijetanje | T_01 | | 1 783,1 | 213,6 | |
| 777200 | ICAO_B | 1 | 5 | Penjanje | Maksimum za penjanje | T_00 | 3 000 | | | |
| 777200 | ICAO_B | 1 | 6 | Ubrzanje | Maksimum za penjanje | T_00 | | 1 857,4 | 250 | |
| 777200 | ICAO_B | 1 | 7 | Penjanje | Maksimum za penjanje | T_00 | 5 500 | | | |
| 777200 | ICAO_B | 1 | 8 | Penjanje | Maksimum za penjanje | T_00 | 7 500 | | | |
| 777200 | ICAO_B | 1 | 9 | Penjanje | Maksimum za penjanje | T_00 | 10 000 | | | |
| 777200 | ICAO_B | 2 | 1 | Uzlijeta-nje | Maksimum za uzlijetanje | T_05 | | | | |
| 777200 | ICAO_B | 2 | 2 | Penjanje | Maksimum za uzlijetanje | T_05C | 1 057 | | | |

▼**M2**

| ACFTID | Oznaka profila (Profile_ID) | Dulji-na faze | Broj koraka | Tip koraka | Režim rada motora | Zakrilca (Flap_ID) | Visina krajnje točke (ft) | Stopa penjanja (ft/min) | Kalibri-rana brzina leta u krajnjoj točki (kt) | Postot-ak ubrzan-ja (Acce-lera-te_Per-cent) (%) |
|---|---|---|---|---|---|---|---|---|---|---|
| 777200 | ICAO_B | 2 | 3 | Ubrzanje | Maksimum za uzlijetanje | T_05A | | 2 121,3 | 195,8 | |
| 777200 | ICAO_B | 2 | 4 | Ubrzanje | Maksimum za uzlijetanje | T_01 | | 1 722,3 | 215,5 | |
| 777200 | ICAO_B | 2 | 5 | Penjanje | Maksimum za penjanje | T_00 | 3 000 | | | |
| 777200 | ICAO_B | 2 | 6 | Ubrzanje | Maksimum za penjanje | T_00 | | 1 789,8 | 250 | |
| 777200 | ICAO_B | 2 | 7 | Penjanje | Maksimum za penjanje | T_00 | 5 500 | | | |
| 777200 | ICAO_B | 2 | 8 | Penjanje | Maksimum za penjanje | T_00 | 7 500 | | | |
| 777200 | ICAO_B | 2 | 9 | Penjanje | Maksimum za penjanje | T_00 | 10 000 | | | |
| 777200 | ICAO_B | 3 | 1 | Uzlijeta-nje | Maksimum za uzlijetanje | T_05 | | | | |
| 777200 | ICAO_B | 3 | 2 | Penjanje | Maksimum za uzlijetanje | T_05C | 1 022 | | | |
| 777200 | ICAO_B | 3 | 3 | Ubrzanje | Maksimum za uzlijetanje | T_05A | | 2 059,4 | 197,9 | |
| 777200 | ICAO_B | 3 | 4 | Ubrzanje | Maksimum za uzlijetanje | T_01 | | 1 664,2 | 217,6 | |
| 777200 | ICAO_B | 3 | 5 | Penjanje | Maksimum za penjanje | T_00 | 3 000 | | | |
| 777200 | ICAO_B | 3 | 6 | Ubrzanje | Maksimum za penjanje | T_00 | | 1 723 | 250 | |

▼**M2**

| ACFTID | Oznaka profila (Profile_ID) | Dulji-na faze | Broj koraka | Tip koraka | Režim rada motora | Zakrilca (Flap_ID) | Visina krajnje točke (ft) | Stopa penjanja (ft/min) | Kalibri-rana brzina leta u krajnjoj točki (kt) | Postot-ak ubrzan-ja (Acce-lera-te_Per-cent) (%) |
|---|---|---|---|---|---|---|---|---|---|---|
| 777200 | ICAO_B | 3 | 7 | Penjanje | Maksimum za penjanje | T_00 | 5 500 | | | |
| 777200 | ICAO_B | 3 | 8 | Penjanje | Maksimum za penjanje | T_00 | 7 500 | | | |
| 777200 | ICAO_B | 3 | 9 | Penjanje | Maksimum za penjanje | T_00 | 10 000 | | | |
| 777200 | ICAO_B | 4 | 1 | Uzlijeta-nje | Maksimum za uzlijetanje | T_05 | | | | |
| 777200 | ICAO_B | 4 | 2 | Penjanje | Maksimum za uzlijetanje | T_05C | 1 000 | | | |
| 777200 | ICAO_B | 4 | 3 | Ubrzanje | Maksimum za uzlijetanje | T_05A | | 1 940,1 | 201,8 | |
| 777200 | ICAO_B | 4 | 4 | Ubrzanje | Maksimum za uzlijetanje | T_01 | | 1 555,7 | 221,6 | |
| 777200 | ICAO_B | 4 | 5 | Penjanje | Maksimum za penjanje | T_00 | 3 000 | | | |
| 777200 | ICAO_B | 4 | 6 | Ubrzanje | Maksimum za penjanje | T_00 | | 1 602,1 | 250 | |
| 777200 | ICAO_B | 4 | 7 | Penjanje | Maksimum za penjanje | T_00 | 5 500 | | | |
| 777200 | ICAO_B | 4 | 8 | Penjanje | Maksimum za penjanje | T_00 | 7 500 | | | |
| 777200 | ICAO_B | 4 | 9 | Penjanje | Maksimum za penjanje | T_00 | 10 000 | | | |

▼**M2**

| ACFTID | Oznaka profila (Profile_ID) | Dulji-na faze | Broj koraka | Tip koraka | Režim rada motora | Zakrilca (Flap_ID) | Visina krajnje točke (ft) | Stopa penjanja (ft/min) | Kalibri-rana brzina leta u krajnjoj točki (kt) | Postot-ak ubrzan-ja (Acce-lera-te_Per-cent) (%) |
|---|---|---|---|---|---|---|---|---|---|---|
| 777200 | ICAO_B | 5 | 1 | Uzlijeta-nje | Maksimum za uzlijetanje | T_05 | | | | |
| 777200 | ICAO_B | 5 | 2 | Penjanje | Maksimum za uzlijetanje | T_05C | 1 000 | | | |
| 777200 | ICAO_B | 5 | 3 | Ubrzanje | Maksimum za uzlijetanje | T_05A | | 1 809,2 | 206,7 | |
| 777200 | ICAO_B | 5 | 4 | Ubrzanje | Maksimum za uzlijetanje | T_01 | | 1 431,6 | 226,5 | |
| 777200 | ICAO_B | 5 | 5 | Penjanje | Maksimum za penjanje | T_00 | 3 000 | | | |
| 777200 | ICAO_B | 5 | 6 | Ubrzanje | Maksimum za penjanje | T_00 | | 1 466,4 | 250 | |
| 777200 | ICAO_B | 5 | 7 | Penjanje | Maksimum za penjanje | T_00 | 5 500 | | | |
| 777200 | ICAO_B | 5 | 8 | Penjanje | Maksimum za penjanje | T_00 | 7 500 | | | |
| 777200 | ICAO_B | 5 | 9 | Penjanje | Maksimum za penjanje | T_00 | 10 000 | | | |
| 777200 | ICAO_B | 6 | 1 | Uzlijeta-nje | Maksimum za uzlijetanje | T_05 | | | | |
| 777200 | ICAO_B | 6 | 2 | Penjanje | Maksimum za uzlijetanje | T_05C | 1 000 | | | |
| 777200 | ICAO_B | 6 | 3 | Ubrzanje | Maksimum za uzlijetanje | T_05A | | 1 683,9 | 211,6 | |
| 777200 | ICAO_B | 6 | 4 | Ubrzanje | Maksimum za uzlijetanje | T_01 | | 1 315,7 | 231,4 | |

▼**M2**

| ACFTID | Oznaka profila (Profile_ID) | Dulji-na faze | Broj koraka | Tip koraka | Režim rada motora | Zakrilca (Flap_ID) | Visina krajnje točke (ft) | Stopa penjanja (ft/min) | Kalibri-rana brzina leta u krajnjoj točki (kt) | Postot-ak ubrzan-ja (Acce-lera-te_Per-cent) (%) |
|---|---|---|---|---|---|---|---|---|---|---|
| 777200 | ICAO_B | 6 | 5 | Penjanje | Maksimum za penjanje | T_00 | 3 000 | | | |
| 777200 | ICAO_B | 6 | 6 | Ubrzanje | Maksimum za penjanje | T_00 | | 1 337,6 | 250 | |
| 777200 | ICAO_B | 6 | 7 | Penjanje | Maksimum za penjanje | T_00 | 5 500 | | | |
| 777200 | ICAO_B | 6 | 8 | Penjanje | Maksimum za penjanje | T_00 | 7 500 | | | |
| 777200 | ICAO_B | 6 | 9 | Penjanje | Maksimum za penjanje | T_00 | 10 000 | | | |
| 777200 | ICAO_B | 7 | 1 | Uzlijeta-nje | Maksimum za uzlijetanje | T_05 | | | | |
| 777200 | ICAO_B | 7 | 2 | Penjanje | Maksimum za uzlijetanje | T_05C | 1 000 | | | |
| 777200 | ICAO_B | 7 | 3 | Ubrzanje | Maksimum za uzlijetanje | T_05A | | 1 562,2 | 216,6 | |
| 777200 | ICAO_B | 7 | 4 | Ubrzanje | Maksimum za uzlijetanje | T_01 | | 1 197,4 | 236,5 | |
| 777200 | ICAO_B | 7 | 5 | Penjanje | Maksimum za penjanje | T_00 | 3 000 | | | |
| 777200 | ICAO_B | 7 | 6 | Ubrzanje | Maksimum za penjanje | T_00 | | 1 214,8 | 250 | |
| 777200 | ICAO_B | 7 | 7 | Penjanje | Maksimum za penjanje | T_00 | 5 500 | | | |
| 777200 | ICAO_B | 7 | 8 | Penjanje | Maksimum za penjanje | T_00 | 7 500 | | | |

▼**M2**

| ACFTID | Oznaka profila (Profile_ID) | Dulji-na faze | Broj koraka | Tip koraka | Režim rada motora | Zakrilca (Flap_ID) | Visina krajnje točke (ft) | Stopa penjanja (ft/min) | Kalibri-rana brzina leta u krajnjoj točki (kt) | Postot-ak ubrzan-ja (Acce-lera-te_Per-cent) (%) |
|---|---|---|---|---|---|---|---|---|---|---|
| 777200 | ICAO_B | 7 | 9 | Penjanje | Maksimum za penjanje | T_00 | 10 000 | | | |
| 777200 | ICAO_B | 8 | 1 | Uzlijeta-nje | Maksimum za uzlijetanje | T_05 | | | | |
| 777200 | ICAO_B | 8 | 2 | Penjanje | Maksimum za uzlijetanje | T_05C | 1 000 | | | |
| 777200 | ICAO_B | 8 | 3 | Ubrzanje | Maksimum za uzlijetanje | T_05A | | 1 450,3 | 222,2 | |
| 777200 | ICAO_B | 8 | 4 | Ubrzanje | Maksimum za uzlijetanje | T_01 | | 1 090,6 | 241,9 | |
| 777200 | ICAO_B | 8 | 5 | Penjanje | Maksimum za penjanje | T_00 | 3 000 | | | |
| 777200 | ICAO_B | 8 | 6 | Ubrzanje | Maksimum za penjanje | T_00 | | 1 101,5 | 250 | |
| 777200 | ICAO_B | 8 | 7 | Penjanje | Maksimum za penjanje | T_00 | 5 500 | | | |
| 777200 | ICAO_B | 8 | 8 | Penjanje | Maksimum za penjanje | T_00 | 7 500 | | | |
| 777200 | ICAO_B | 8 | 9 | Penjanje | Maksimum za penjanje | T_00 | 10 000 | | | |
| 777200 | ICAO_B | 9 | 1 | Uzlijeta-nje | Maksimum za uzlijetanje | T_05 | | | | |
| 777200 | ICAO_B | 9 | 2 | Penjanje | Maksimum za uzlijetanje | T_05C | 1 000 | | | |

▼**M2**

| ACFTID | Oznaka profila (Profile_ID) | Dulji-na faze | Broj koraka | Tip koraka | Režim rada motora | Zakrilca (Flap_ID) | Visina krajnje točke (ft) | Stopa penjanja (ft/min) | Kalibri-rana brzina leta u krajnjoj točki (kt) | Postot-ak ubrzan-ja (Acce-lera-te_Per-cent) (%) |
|---|---|---|---|---|---|---|---|---|---|---|
| 777200 | ICAO_B | 9 | 3 | Ubrzanje | Maksimum za uzlijetanje | T_05A | | 1 381,9 | 225,8 | |
| 777200 | ICAO_B | 9 | 4 | Ubrzanje | Maksimum za uzlijetanje | T_01 | | 1 025,7 | 245,6 | |
| 777200 | ICAO_B | 9 | 5 | Penjanje | Maksimum za penjanje | T_00 | 3 000 | | | |
| 777200 | ICAO_B | 9 | 6 | Ubrzanje | Maksimum za penjanje | T_00 | | 1 031,1 | 250 | |
| 777200 | ICAO_B | 9 | 7 | Penjanje | Maksimum za penjanje | T_00 | 5 500 | | | |
| 777200 | ICAO_B | 9 | 8 | Penjanje | Maksimum za penjanje | T_00 | 7 500 | | | |
| 777200 | ICAO_B | 9 | 9 | Penjanje | Maksimum za penjanje | T_00 | 10 000 | | | |
| 777300 | DEFAULT | 1 | 1 | Uzlijeta-nje | Maksimum za uzlijetanje | T_20_U | | | | |
| 777300 | DEFAULT | 1 | 2 | Penjanje | Maksimum za uzlijetanje | T_20_U | 1 068 | | | |
| 777300 | DEFAULT | 1 | 3 | Ubrzanje | Maksimum za penjanje | T_05_U | | 1 471,6 | 215,4 | |
| 777300 | DEFAULT | 1 | 4 | Penjanje | Maksimum za penjanje | T_00_U | 3 000 | | | |
| 777300 | DEFAULT | 1 | 5 | Ubrzanje | Maksimum za penjanje | T_00_U | | 1 779,1 | 250 | |

▼**M2**

| ACFTID | Oznaka profila (Profile_ID) | Dulji-na faze | Broj koraka | Tip koraka | Režim rada motora | Zakrilca (Flap_ID) | Visina krajnje točke (ft) | Stopa penjanja (ft/min) | Kalibri-rana brzina leta u krajnjoj točki (kt) | Postot-ak ubrzan-ja (Acce-lera-te_Per-cent) (%) |
|---|---|---|---|---|---|---|---|---|---|---|
| 777300 | DEFAULT | 1 | 6 | Penjanje | Maksimum za penjanje | T_00_U | 5 000 | | | |
| 777300 | DEFAULT | 1 | 7 | Penjanje | Maksimum za penjanje | T_00_U | 7 500 | | | |
| 777300 | DEFAULT | 1 | 8 | Penjanje | Maksimum za penjanje | T_00_U | 10 000 | | | |
| 777300 | DEFAULT | 2 | 1 | Uzlijeta-nje | Maksimum za uzlijetanje | T_20_U | | | | |
| 777300 | DEFAULT | 2 | 2 | Penjanje | Maksimum za uzlijetanje | T_20_U | 1 064 | | | |
| 777300 | DEFAULT | 2 | 3 | Ubrzanje | Maksimum za penjanje | T_05_U | | 1 418 | 217,8 | |
| 777300 | DEFAULT | 2 | 4 | Penjanje | Maksimum za penjanje | T_00_U | 3 000 | | | |
| 777300 | DEFAULT | 2 | 5 | Ubrzanje | Maksimum za penjanje | T_00_U | | 1 713,9 | 250 | |
| 777300 | DEFAULT | 2 | 6 | Penjanje | Maksimum za penjanje | T_00_U | 5 000 | | | |
| 777300 | DEFAULT | 2 | 7 | Penjanje | Maksimum za penjanje | T_00_U | 7 500 | | | |
| 777300 | DEFAULT | 2 | 8 | Penjanje | Maksimum za penjanje | T_00_U | 10 000 | | | |

▼M2

| ACFTID | Oznaka profila (Profile_ID) | Dulji-na faze | Broj koraka | Tip koraka | Režim rada motora | Zakrilca (Flap_ID) | Visina krajnje točke (ft) | Stopa penjanja (ft/min) | Kalibri-rana brzina leta u krajnjoj točki (kt) | Postot-ak ubrzan-ja (Acce-lera-te_Per-cent) (%) |
|---|---|---|---|---|---|---|---|---|---|---|
| 777300 | DEFAULT | 3 | 1 | Uzlijeta-nje | Maksimum za uzlijetanje | T_20_U | | | | |
| 777300 | DEFAULT | 3 | 2 | Penjanje | Maksimum za uzlijetanje | T_20_U | 1 062 | | | |
| 777300 | DEFAULT | 3 | 3 | Ubrzanje | Maksimum za penjanje | T_05_U | | 1 368 | 220,3 | |
| 777300 | DEFAULT | 3 | 4 | Penjanje | Maksimum za penjanje | T_00_U | 3 000 | | | |
| 777300 | DEFAULT | 3 | 5 | Ubrzanje | Maksimum za penjanje | T_00_U | | 1 638,9 | 250 | |
| 777300 | DEFAULT | 3 | 6 | Penjanje | Maksimum za penjanje | T_00_U | 5 000 | | | |
| 777300 | DEFAULT | 3 | 7 | Penjanje | Maksimum za penjanje | T_00_U | 7 500 | | | |
| 777300 | DEFAULT | 3 | 8 | Penjanje | Maksimum za penjanje | T_00_U | 10 000 | | | |
| 777300 | DEFAULT | 4 | 1 | Uzlijeta-nje | Maksimum za uzlijetanje | T_20_U | | | | |
| 777300 | DEFAULT | 4 | 2 | Penjanje | Maksimum za uzlijetanje | T_20_U | 1 058 | | | |
| 777300 | DEFAULT | 4 | 3 | Ubrzanje | Maksimum za penjanje | T_05_U | | 1 279 | 224,3 | |
| 777300 | DEFAULT | 4 | 4 | Penjanje | Maksimum za penjanje | T_00_U | 3 000 | | | |

▼**M2**

| ACFTID | Oznaka profila (Profile_ID) | Dulji-na faze | Broj koraka | Tip koraka | Režim rada motora | Zakrilca (Flap_ID) | Visina krajnje točke (ft) | Stopa penjanja (ft/min) | Kalibri-rana brzina leta u krajnjoj točki (kt) | Postot-ak ubrzan-ja (Acce-lera-te_Per-cent) (%) |
|---|---|---|---|---|---|---|---|---|---|---|
| 777300 | DEFAULT | 4 | 5 | Ubrzanje | Maksimum za penjanje | T_00_U | | 1 519,4 | 250 | |
| 777300 | DEFAULT | 4 | 6 | Penjanje | Maksimum za penjanje | T_00_U | 5 000 | | | |
| 777300 | DEFAULT | 4 | 7 | Penjanje | Maksimum za penjanje | T_00_U | 7 500 | | | |
| 777300 | DEFAULT | 4 | 8 | Penjanje | Maksimum za penjanje | T_00_U | 10 000 | | | |
| 777300 | DEFAULT | 5 | 1 | Uzlijeta-nje | Maksimum za uzlijetanje | T_20_U | | | | |
| 777300 | DEFAULT | 5 | 2 | Penjanje | Maksimum za uzlijetanje | T_20_U | 1 053 | | | |
| 777300 | DEFAULT | 5 | 3 | Ubrzanje | Maksimum za penjanje | T_05_U | | 1 179,2 | 229,4 | |
| 777300 | DEFAULT | 5 | 4 | Penjanje | Maksimum za penjanje | T_00_U | 3 000 | | | |
| 777300 | DEFAULT | 5 | 5 | Ubrzanje | Maksimum za penjanje | T_00_U | | 1 392,1 | 250 | |
| 777300 | DEFAULT | 5 | 6 | Penjanje | Maksimum za penjanje | T_00_U | 5 000 | | | |
| 777300 | DEFAULT | 5 | 7 | Penjanje | Maksimum za penjanje | T_00_U | 7 500 | | | |

▼**M2**

| ACFTID | Oznaka profila (Profile_ID) | Dulji-na faze | Broj koraka | Tip koraka | Režim rada motora | Zakrilca (Flap_ID) | Visina krajnje točke (ft) | Stopa penjanja (ft/min) | Kalibri-rana brzina leta u krajnjoj točki (kt) | Postot-ak ubrzan-ja (Acce-lera-te_Per-cent) (%) |
|---|---|---|---|---|---|---|---|---|---|---|
| 777300 | DEFAULT | 5 | 8 | Penjanje | Maksimum za penjanje | T_00_U | 10 000 | | | |
| 777300 | DEFAULT | 6 | 1 | Uzlijeta-nje | Maksimum za uzlijetanje | T_20_U | | | | |
| 777300 | DEFAULT | 6 | 2 | Penjanje | Maksimum za uzlijetanje | T_20_U | 1 049 | | | |
| 777300 | DEFAULT | 6 | 3 | Ubrzanje | Maksimum za penjanje | T_05_U | | 1 082,8 | 234,4 | |
| 777300 | DEFAULT | 6 | 4 | Penjanje | Maksimum za penjanje | T_00_U | 3 000 | | | |
| 777300 | DEFAULT | 6 | 5 | Ubrzanje | Maksimum za penjanje | T_00_U | | 1 260 | 250 | |
| 777300 | DEFAULT | 6 | 6 | Penjanje | Maksimum za penjanje | T_00_U | 5 000 | | | |
| 777300 | DEFAULT | 6 | 7 | Penjanje | Maksimum za penjanje | T_00_U | 7 500 | | | |
| 777300 | DEFAULT | 6 | 8 | Penjanje | Maksimum za penjanje | T_00_U | 10 000 | | | |
| 777300 | DEFAULT | 7 | 1 | Uzlijeta-nje | Maksimum za uzlijetanje | T_20_U | | | | |
| 777300 | DEFAULT | 7 | 2 | Penjanje | Maksimum za uzlijetanje | T_20_U | 1 042 | | | |
| 777300 | DEFAULT | 7 | 3 | Ubrzanje | Maksimum za penjanje | T_05_U | | 911,6 | 243,4 | |
| 777300 | DEFAULT | 7 | 4 | Penjanje | Maksimum za penjanje | T_00_U | 3 000 | | | |

▼**M2**

| ACFTID | Oznaka profila (Profile_ID) | Dulji-na faze | Broj koraka | Tip koraka | Režim rada motora | Zakrilca (Flap_ID) | Visina krajnje točke (ft) | Stopa penjanja (ft/min) | Kalibri-rana brzina leta u krajnjoj točki (kt) | Postot-ak ubrzan-ja (Acce-lera-te_Per-cent) (%) |
|---|---|---|---|---|---|---|---|---|---|---|
| 777300 | DEFAULT | 7 | 5 | Ubrzanje | Maksimum za penjanje | T_00_U | | 1 060,3 | 250 | |
| 777300 | DEFAULT | 7 | 6 | Penjanje | Maksimum za penjanje | T_00_U | 5 000 | | | |
| 777300 | DEFAULT | 7 | 7 | Penjanje | Maksimum za penjanje | T_00_U | 7 500 | | | |
| 777300 | DEFAULT | 7 | 8 | Penjanje | Maksimum za penjanje | T_00_U | 10 000 | | | |
| 777300 | ICAO_A | 1 | 1 | Uzlijeta-nje | Maksimum za uzlijetanje | T_20_U | | | | |
| 777300 | ICAO_A | 1 | 2 | Penjanje | Maksimum za uzlijetanje | T_20_U | 1 565 | | | |
| 777300 | ICAO_A | 1 | 3 | Penjanje | Maksimum za penjanje | T_20_U | 3 000 | | | |
| 777300 | ICAO_A | 1 | 4 | Ubrzanje | Maksimum za penjanje | T_05_U | | 1 420,7 | 215,2 | |
| 777300 | ICAO_A | 1 | 5 | Penjanje | Maksimum za penjanje | T_00_U | 4 117 | | | |
| 777300 | ICAO_A | 1 | 6 | Ubrzanje | Maksimum za penjanje | T_00_U | | 1 762,5 | 250 | |
| 777300 | ICAO_A | 1 | 7 | Penjanje | Maksimum za penjanje | T_00_U | 5 000 | | | |
| 777300 | ICAO_A | 1 | 8 | Penjanje | Maksimum za penjanje | T_00_U | 7 500 | | | |
| 777300 | ICAO_A | 1 | 9 | Penjanje | Maksimum za penjanje | T_00_U | 10 000 | | | |

▼M2

| ACFTID | Oznaka profila (Profile_ID) | Dulji-na faze | Broj koraka | Tip koraka | Režim rada motora | Zakrilca (Flap_ID) | Visina krajnje točke (ft) | Stopa penjanja (ft/min) | Kalibri-rana brzina leta u krajnjoj točki (kt) | Postot-ak ubrzan-ja (Acce-lera-te_Per-cent) (%) |
|---|---|---|---|---|---|---|---|---|---|---|
| 777300 | ICAO_A | 2 | 1 | Uzlijeta-nje | Maksimum za uzlijetanje | T_20_U | | | | |
| 777300 | ICAO_A | 2 | 2 | Penjanje | Maksimum za uzlijetanje | T_20_U | 1 563 | | | |
| 777300 | ICAO_A | 2 | 3 | Penjanje | Maksimum za penjanje | T_20_U | 3 000 | | | |
| 777300 | ICAO_A | 2 | 4 | Ubrzanje | Maksimum za penjanje | T_05_U | | 1 372,5 | 217,6 | |
| 777300 | ICAO_A | 2 | 5 | Penjanje | Maksimum za penjanje | T_00_U | 4 014 | | | |
| 777300 | ICAO_A | 2 | 6 | Ubrzanje | Maksimum za penjanje | T_00_U | | 1 691,8 | 250 | |
| 777300 | ICAO_A | 2 | 7 | Penjanje | Maksimum za penjanje | T_00_U | 5 000 | | | |
| 777300 | ICAO_A | 2 | 8 | Penjanje | Maksimum za penjanje | T_00_U | 7 500 | | | |
| 777300 | ICAO_A | 2 | 9 | Penjanje | Maksimum za penjanje | T_00_U | 10 000 | | | |
| 777300 | ICAO_A | 3 | 1 | Uzlijeta-nje | Maksimum za uzlijetanje | T_20_U | | | | |
| 777300 | ICAO_A | 3 | 2 | Penjanje | Maksimum za uzlijetanje | T_20_U | 1 561 | | | |
| 777300 | ICAO_A | 3 | 3 | Penjanje | Maksimum za penjanje | T_20_U | 3 000 | | | |
| 777300 | ICAO_A | 3 | 4 | Ubrzanje | Maksimum za penjanje | T_05_U | | 1 320,6 | 220 | |

▼**M2**

| ACFTID | Oznaka profila (Profile_ID) | Dulji-na faze | Broj koraka | Tip koraka | Režim rada motora | Zakrilca (Flap_ID) | Visina krajnje točke (ft) | Stopa penjanja (ft/min) | Kalibri-rana brzina leta u krajnjoj točki (kt) | Postot-ak ubrzan-ja (Acce-lera-te_Per-cent) (%) |
|---|---|---|---|---|---|---|---|---|---|---|
| 777300 | ICAO_A | 3 | 5 | Penjanje | Maksimum za penjanje | T_00_U | 4 041 | | | |
| 777300 | ICAO_A | 3 | 6 | Ubrzanje | Maksimum za penjanje | T_00_U | | 1 616 | 250 | |
| 777300 | ICAO_A | 3 | 7 | Penjanje | Maksimum za penjanje | T_00_U | 5 000 | | | |
| 777300 | ICAO_A | 3 | 8 | Penjanje | Maksimum za penjanje | T_00_U | 7 500 | | | |
| 777300 | ICAO_A | 3 | 9 | Penjanje | Maksimum za penjanje | T_00_U | 10 000 | | | |
| 777300 | ICAO_A | 4 | 1 | Uzlijeta-nje | Maksimum za uzlijetanje | T_20_U | | | | |
| 777300 | ICAO_A | 4 | 2 | Penjanje | Maksimum za uzlijetanje | T_20_U | 1 557 | | | |
| 777300 | ICAO_A | 4 | 3 | Penjanje | Maksimum za penjanje | T_20_U | 3 000 | | | |
| 777300 | ICAO_A | 4 | 4 | Ubrzanje | Maksimum za penjanje | T_00_U | | 1 320,5 | 250 | |
| 777300 | ICAO_A | 4 | 5 | Penjanje | Maksimum za penjanje | T_00_U | 5 000 | | | |
| 777300 | ICAO_A | 4 | 6 | Penjanje | Maksimum za penjanje | T_00_U | 7 500 | | | |
| 777300 | ICAO_A | 4 | 7 | Penjanje | Maksimum za penjanje | T_00_U | 10 000 | | | |

▼M2

| ACFTID | Oznaka profila (Profile_ID) | Dulji-na faze | Broj koraka | Tip koraka | Režim rada motora | Zakrilca (Flap_ID) | Visina krajnje točke (ft) | Stopa penjanja (ft/min) | Kalibri-rana brzina leta u krajnjoj točki (kt) | Postot-ak ubrzan-ja (Acce-lera-te_Per-cent) (%) |
|---|---|---|---|---|---|---|---|---|---|---|
| 777300 | ICAO_A | 5 | 1 | Uzlijeta-nje | Maksimum za uzlijetanje | T_05_U | | | | |
| 777300 | ICAO_A | 5 | 2 | Penjanje | Maksimum za uzlijetanje | T_20_U | 1 553 | | | |
| 777300 | ICAO_A | 5 | 3 | Penjanje | Maksimum za penjanje | T_20_U | 3 000 | | | |
| 777300 | ICAO_A | 5 | 4 | Ubrzanje | Maksimum za penjanje | T_00_U | | 1 199,1 | 250 | |
| 777300 | ICAO_A | 5 | 5 | Penjanje | Maksimum za penjanje | T_00_U | 5 000 | | | |
| 777300 | ICAO_A | 5 | 6 | Penjanje | Maksimum za penjanje | T_00_U | 7 500 | | | |
| 777300 | ICAO_A | 5 | 7 | Penjanje | Maksimum za penjanje | T_00_U | 10 000 | | | |
| 777300 | ICAO_A | 6 | 1 | Uzlijeta-nje | Maksimum za uzlijetanje | T_20_U | | | | |
| 777300 | ICAO_A | 6 | 2 | Penjanje | Maksimum za uzlijetanje | T_20_U | 1 553 | | | |
| 777300 | ICAO_A | 6 | 3 | Penjanje | Maksimum za penjanje | T_20_U | 3 000 | | | |
| 777300 | ICAO_A | 6 | 4 | Ubrzanje | Maksimum za penjanje | T_00_U | | 1 083,7 | 250 | |
| 777300 | ICAO_A | 6 | 5 | Penjanje | Maksimum za penjanje | T_00_U | 5 000 | | | |

▼M2

| ACFTID | Oznaka profila (Profile_ID) | Dulji-na faze | Broj koraka | Tip koraka | Režim rada motora | Zakrilca (Flap_ID) | Visina krajnje točke (ft) | Stopa penjanja (ft/min) | Kalibri-rana brzina leta u krajnjoj točki (kt) | Postot-ak ubrzan-ja (Acce-lera-te_Per-cent) (%) |
|---|---|---|---|---|---|---|---|---|---|---|
| 777300 | ICAO_A | 6 | 6 | Penjanje | Maksimum za penjanje | T_00_U | 7 500 | | | |
| 777300 | ICAO_A | 6 | 7 | Penjanje | Maksimum za penjanje | T_00_U | 10 000 | | | |
| 777300 | ICAO_A | 7 | 1 | Uzlijeta-nje | Maksimum za uzlijetanje | T_20_U | | | | |
| 777300 | ICAO_A | 7 | 2 | Penjanje | Maksimum za uzlijetanje | T_20_U | 1 553 | | | |
| 777300 | ICAO_A | 7 | 3 | Penjanje | Maksimum za penjanje | T_20_U | 3 000 | | | |
| 777300 | ICAO_A | 7 | 4 | Ubrzanje | Maksimum za penjanje | T_00_U | | 889 | 250 | |
| 777300 | ICAO_A | 7 | 5 | Penjanje | Maksimum za penjanje | T_00_U | 5 000 | | | |
| 777300 | ICAO_A | 7 | 6 | Penjanje | Maksimum za penjanje | T_00_U | 7 500 | | | |
| 777300 | ICAO_A | 7 | 7 | Penjanje | Maksimum za penjanje | T_00_U | 10 000 | | | |
| 777300 | ICAO_B | 1 | 1 | Uzlijeta-nje | Maksimum za uzlijetanje | T_20_U | | | | |
| 777300 | ICAO_B | 1 | 2 | Penjanje | Maksimum za uzlijetanje | T_20_U | 1 000 | | | |
| 777300 | ICAO_B | 1 | 3 | Ubrzanje | Maksimum za uzlijetanje | T_05_U | | 2 149,6 | 215,4 | |

▼**M2**

| ACFTID | Oznaka profila (Profile_ID) | Dulji-na faze | Broj koraka | Tip koraka | Režim rada motora | Zakrilca (Flap_ID) | Visina krajnje točke (ft) | Stopa penjanja (ft/min) | Kalibri-rana brzina leta u krajnjoj točki (kt) | Postot-ak ubrzan-ja (Acce-lera-te_Per-cent) (%) |
|---|---|---|---|---|---|---|---|---|---|---|
| 777300 | ICAO_B | 1 | 4 | Penjanje | Maksimum za uzlijetanje | T_00_U | 3 416 | | | |
| 777300 | ICAO_B | 1 | 5 | Ubrzanje | Maksimum za penjanje | T_00_U | | 1 800 | 250 | |
| 777300 | ICAO_B | 1 | 6 | Penjanje | Maksimum za penjanje | T_00_U | 5 000 | | | |
| 777300 | ICAO_B | 1 | 7 | Penjanje | Maksimum za penjanje | T_00_U | 7 500 | | | |
| 777300 | ICAO_B | 1 | 8 | Penjanje | Maksimum za penjanje | T_00_U | 10 000 | | | |
| 777300 | ICAO_B | 2 | 1 | Uzlijeta-nje | Maksimum za uzlijetanje | T_20_U | | | | |
| 777300 | ICAO_B | 2 | 2 | Penjanje | Maksimum za uzlijetanje | T_20_U | 1 000 | | | |
| 777300 | ICAO_B | 2 | 3 | Ubrzanje | Maksimum za uzlijetanje | T_05_U | | 2 086,3 | 217,9 | |
| 777300 | ICAO_B | 2 | 4 | Penjanje | Maksimum za uzlijetanje | T_00_U | 3 205 | | | |
| 777300 | ICAO_B | 2 | 5 | Ubrzanje | Maksimum za penjanje | T_00_U | | 1 772,6 | 250 | |
| 777300 | ICAO_B | 2 | 6 | Penjanje | Maksimum za penjanje | T_00_U | 5 000 | | | |
| 777300 | ICAO_B | 2 | 7 | Penjanje | Maksimum za penjanje | T_00_U | 7 500 | | | |

▼**M2**

| ACFTID | Oznaka profila (Profile_ID) | Dulji-na faze | Broj koraka | Tip koraka | Režim rada motora | Zakrilca (Flap_ID) | Visina krajnje točke (ft) | Stopa penjanja (ft/min) | Kalibri-rana brzina leta u krajnjoj točki (kt) | Postot-ak ubrzan-ja (Acce-lera-te_Per-cent) (%) |
|---|---|---|---|---|---|---|---|---|---|---|
| 777300 | ICAO_B | 2 | 8 | Penjanje | Maksimum za penjanje | T_00_U | 10 000 | | | |
| 777300 | ICAO_B | 3 | 1 | Uzlijeta-nje | Maksimum za uzlijetanje | T_20_U | | | | |
| 777300 | ICAO_B | 3 | 2 | Penjanje | Maksimum za uzlijetanje | T_20_U | 1 000 | | | |
| 777300 | ICAO_B | 3 | 3 | Ubrzanje | Maksimum za uzlijetanje | T_05_U | | 2 020,6 | 220,3 | |
| 777300 | ICAO_B | 3 | 4 | Penjanje | Maksimum za uzlijetanje | T_00_U | 3 076 | | | |
| 777300 | ICAO_B | 3 | 5 | Ubrzanje | Maksimum za penjanje | T_00_U | | 1 708,6 | 250 | |
| 777300 | ICAO_B | 3 | 6 | Penjanje | Maksimum za penjanje | T_00_U | 5 000 | | | |
| 777300 | ICAO_B | 3 | 7 | Penjanje | Maksimum za penjanje | T_00_U | 7 500 | | | |
| 777300 | ICAO_B | 3 | 8 | Penjanje | Maksimum za penjanje | T_00_U | 10 000 | | | |
| 777300 | ICAO_B | 4 | 1 | Uzlijeta-nje | Maksimum za uzlijetanje | T_20_U | | | | |
| 777300 | ICAO_B | 4 | 2 | Penjanje | Maksimum za uzlijetanje | T_20_U | 1 000 | | | |
| 777300 | ICAO_B | 4 | 3 | Ubrzanje | Maksimum za uzlijetanje | T_05_U | | 1 895,3 | 226,3 | |
| 777300 | ICAO_B | 4 | 4 | Penjanje | Maksimum za uzlijetanje | T_00_U | 2 894 | | | |

▼**M2**

| ACFTID | Oznaka profila (Profile_ID) | Dulji-na faze | Broj koraka | Tip koraka | Režim rada motora | Zakrilca (Flap_ID) | Visina krajnje točke (ft) | Stopa penjanja (ft/min) | Kalibri-rana brzina leta u krajnjoj točki (kt) | Postot-ak ubrzan-ja (Acce-lera-te_Per-cent) (%) |
|---|---|---|---|---|---|---|---|---|---|---|
| 777300 | ICAO_B | 4 | 5 | Penjanje | Maksimum za penjanje | T_00_U | 3 000 | | | |
| 777300 | ICAO_B | 4 | 6 | Ubrzanje | Maksimum za penjanje | T_00_U | | 1 525,8 | 250 | |
| 777300 | ICAO_B | 4 | 7 | Penjanje | Maksimum za penjanje | T_00_U | 5 000 | | | |
| 777300 | ICAO_B | 4 | 8 | Penjanje | Maksimum za penjanje | T_00_U | 7 500 | | | |
| 777300 | ICAO_B | 4 | 9 | Penjanje | Maksimum za penjanje | T_00_U | 10 000 | | | |
| 777300 | ICAO_B | 5 | 1 | Uzlijeta-nje | Maksimum za uzlijetanje | T_20_U | | | | |
| 777300 | ICAO_B | 5 | 2 | Penjanje | Maksimum za uzlijetanje | T_20_U | 1 000 | | | |
| 777300 | ICAO_B | 5 | 3 | Ubrzanje | Maksimum za uzlijetanje | T_05_U | | 1 768,6 | 229,4 | |
| 777300 | ICAO_B | 5 | 4 | Penjanje | Maksimum za uzlijetanje | T_00_U | 2 679 | | | |
| 777300 | ICAO_B | 5 | 5 | Penjanje | Maksimum za penjanje | T_00_U | 3 000 | | | |
| 777300 | ICAO_B | 5 | 6 | Ubrzanje | Maksimum za penjanje | T_00_U | | 1 387,7 | 250 | |
| 777300 | ICAO_B | 5 | 7 | Penjanje | Maksimum za penjanje | T_00_U | 5 000 | | | |
| 777300 | ICAO_B | 5 | 8 | Penjanje | Maksimum za penjanje | T_00_U | 7 500 | | | |

▼**M2**

| ACFTID | Oznaka profila (Profile_ID) | Dulji-na faze | Broj koraka | Tip koraka | Režim rada motora | Zakrilca (Flap_ID) | Visina krajnje točke (ft) | Stopa penjanja (ft/min) | Kalibri-rana brzina leta u krajnjoj točki (kt) | Postot-ak ubrzan-ja (Acce-lera-te_Per-cent) (%) |
|---|---|---|---|---|---|---|---|---|---|---|
| 777300 | ICAO_B | 5 | 9 | Penjanje | Maksimum za penjanje | T_00_U | 10 000 | | | |
| 777300 | ICAO_B | 6 | 1 | Uzlijeta-nje | Maksimum za uzlijetanje | T_20_U | | | | |
| 777300 | ICAO_B | 6 | 2 | Penjanje | Maksimum za uzlijetanje | T_20_U | 1 000 | | | |
| 777300 | ICAO_B | 6 | 3 | Ubrzanje | Maksimum za uzlijetanje | T_05_U | | 1 639,4 | 235,5 | |
| 777300 | ICAO_B | 6 | 4 | Penjanje | Maksimum za uzlijetanje | T_00_U | 2 402 | | | |
| 777300 | ICAO_B | 6 | 5 | Penjanje | Maksimum za penjanje | T_00_U | 3 000 | | | |
| 777300 | ICAO_B | 6 | 6 | Ubrzanje | Maksimum za penjanje | T_00_U | | 1 271,6 | 250 | |
| 777300 | ICAO_B | 6 | 7 | Penjanje | Maksimum za penjanje | T_00_U | 5 000 | | | |
| 777300 | ICAO_B | 6 | 8 | Penjanje | Maksimum za penjanje | T_00_U | 7 500 | | | |
| 777300 | ICAO_B | 6 | 9 | Penjanje | Maksimum za penjanje | T_00_U | 10 000 | | | |
| 777300 | ICAO_B | 7 | 1 | Uzlijeta-nje | Maksimum za uzlijetanje | T_20_U | | | | |
| 777300 | ICAO_B | 7 | 2 | Penjanje | Maksimum za uzlijetanje | T_20_U | 1 000 | | | |
| 777300 | ICAO_B | 7 | 3 | Ubrzanje | Maksimum za uzlijetanje | T_05_U | | 1 491 | 244,4 | |

▼**M2**

| ACFTID | Oznaka profila (Profile_ID) | Dulji-na faze | Broj koraka | Tip koraka | Režim rada motora | Zakrilca (Flap_ID) | Visina krajnje točke (ft) | Stopa penjanja (ft/min) | Kalibri-rana brzina leta u krajnjoj točki (kt) | Postot-ak ubrzan-ja (Acce-lera-te_Per-cent) (%) |
|---|---|---|---|---|---|---|---|---|---|---|
| 777300 | ICAO_B | 7 | 4 | Penjanje | Maksimum za uzlijetanje | T_00_U | 2 216 | | | |
| 777300 | ICAO_B | 7 | 5 | Penjanje | Maksimum za penjanje | T_00_U | 3 000 | | | |
| 777300 | ICAO_B | 7 | 6 | Ubrzanje | Maksimum za penjanje | T_00_U | | 1 271,6 | 250 | |
| 777300 | ICAO_B | 7 | 7 | Penjanje | Maksimum za penjanje | T_00_U | 5 000 | | | |
| 777300 | ICAO_B | 7 | 8 | Penjanje | Maksimum za penjanje | T_00_U | 7 500 | | | |
| 777300 | ICAO_B | 7 | 9 | Penjanje | Maksimum za penjanje | T_00_U | 10 000 | | | |
| 7773ER | DEFAULT | 1 | 1 | Uzlijeta-nje | Maksimum za uzlijetanje | FLAP_5 | | | | |
| 7773ER | DEFAULT | 1 | 2 | Penjanje | Maksimum za uzlijetanje | FLAP_5 | 1 434 | | | |
| 7773ER | DEFAULT | 1 | 3 | Ubrza-nje_Po-stotak | Maksimum za penjanje | FLAP_5 | | | 200 | 55 |
| 7773ER | DEFAULT | 1 | 4 | Ubrza-nje_Po-stotak | Maksimum za penjanje | FLAP_1 | | | 223 | 50 |
| 7773ER | DEFAULT | 1 | 5 | Penjanje | Maksimum za penjanje | FLAP_0 | 3 000 | | | |
| 7773ER | DEFAULT | 1 | 6 | Ubrza-nje_Po-stotak | Maksimum za penjanje | FLAP_0 | | | 250 | 50 |

▼**M2**

| ACFTID | Oznaka profila (Profile_ID) | Dulji-na faze | Broj koraka | Tip koraka | Režim rada motora | Zakrilca (Flap_ID) | Visina krajnje točke (ft) | Stopa penjanja (ft/min) | Kalibri-rana brzina leta u krajnjoj točki (kt) | Postot-ak ubrzan-ja (Acce-lera-te_Per-cent) (%) |
|---|---|---|---|---|---|---|---|---|---|---|
| 7773ER | DEFAULT | 1 | 7 | Penjanje | Maksimum za penjanje | FLAP_0 | 10 000 | | | |
| 7773ER | DEFAULT | 2 | 1 | Uzlijeta-nje | Maksimum za uzlijetanje | FLAP_5 | | | | |
| 7773ER | DEFAULT | 2 | 2 | Penjanje | Maksimum za uzlijetanje | FLAP_5 | 1 434 | | | |
| 7773ER | DEFAULT | 2 | 3 | Ubrza-nje_Po-stotak | Maksimum za penjanje | FLAP_5 | | | 200 | 55 |
| 7773ER | DEFAULT | 2 | 4 | Ubrza-nje_Po-stotak | Maksimum za penjanje | FLAP_1 | | | 225 | 50 |
| 7773ER | DEFAULT | 2 | 5 | Penjanje | Maksimum za penjanje | FLAP_0 | 3 000 | | | |
| 7773ER | DEFAULT | 2 | 6 | Ubrza-nje_Po-stotak | Maksimum za penjanje | FLAP_0 | | | 250 | 50 |
| 7773ER | DEFAULT | 2 | 7 | Penjanje | Maksimum za penjanje | FLAP_0 | 10 000 | | | |
| 7773ER | DEFAULT | 3 | 1 | Uzlijeta-nje | Maksimum za uzlijetanje | FLAP_5 | | | | |
| 7773ER | DEFAULT | 3 | 2 | Penjanje | Maksimum za uzlijetanje | FLAP_5 | 1 355 | | | |
| 7773ER | DEFAULT | 3 | 3 | Ubrza-nje_Po-stotak | Maksimum za penjanje | FLAP_5 | | | 204 | 55 |
| 7773ER | DEFAULT | 3 | 4 | Ubrza-nje_Po-stotak | Maksimum za penjanje | FLAP_1 | | | 228 | 50 |

▼**M2**

| ACFTID | Oznaka profila (Profile_ID) | Dulji-na faze | Broj koraka | Tip koraka | Režim rada motora | Zakrilca (Flap_ID) | Visina krajnje točke (ft) | Stopa penjanja (ft/min) | Kalibri-rana brzina leta u krajnjoj točki (kt) | Postot-ak ubrzan-ja (Acce-lera-te_Per-cent) (%) |
|---|---|---|---|---|---|---|---|---|---|---|
| 7773ER | DEFAULT | 3 | 5 | Penjanje | Maksimum za penjanje | FLAP_0 | 3 000 | | | |
| 7773ER | DEFAULT | 3 | 6 | Ubrza-nje_Po-stotak | Maksimum za penjanje | FLAP_0 | | | 250 | 50 |
| 7773ER | DEFAULT | 3 | 7 | Penjanje | Maksimum za penjanje | FLAP_0 | 10 000 | | | |
| 7773ER | DEFAULT | 4 | 1 | Uzlijeta-nje | Maksimum za uzlijetanje | FLAP_5 | | | | |
| 7773ER | DEFAULT | 4 | 2 | Penjanje | Maksimum za uzlijetanje | FLAP_5 | 1 289 | | | |
| 7773ER | DEFAULT | 4 | 3 | Ubrza-nje_Po-stotak | Maksimum za penjanje | FLAP_5 | | | 205 | 55 |
| 7773ER | DEFAULT | 4 | 4 | Ubrza-nje_Po-stotak | Maksimum za penjanje | FLAP_1 | | | 230 | 50 |
| 7773ER | DEFAULT | 4 | 5 | Penjanje | Maksimum za penjanje | FLAP_0 | 3 000 | | | |
| 7773ER | DEFAULT | 4 | 6 | Ubrza-nje_Po-stotak | Maksimum za penjanje | FLAP_0 | | | 250 | 50 |
| 7773ER | DEFAULT | 4 | 7 | Penjanje | Maksimum za penjanje | FLAP_0 | 10 000 | | | |
| 7773ER | DEFAULT | 5 | 1 | Uzlijeta-nje | Maksimum za uzlijetanje | FLAP_5 | | | | |
| 7773ER | DEFAULT | 5 | 2 | Penjanje | Maksimum za uzlijetanje | FLAP_5 | 1 214 | | | |

▼**M2**

| ACFTID | Oznaka profila (Profile_ID) | Dulji-na faze | Broj koraka | Tip koraka | Režim rada motora | Zakrilca (Flap_ID) | Visina krajnje točke (ft) | Stopa penjanja (ft/min) | Kalibri-rana brzina leta u krajnjoj točki (kt) | Postot-ak ubrzan-ja (Acce-lera-te_Per-cent) (%) |
|---|---|---|---|---|---|---|---|---|---|---|
| 7773ER | DEFAULT | 5 | 3 | Ubrza-nje_Po-stotak | Maksimum za penjanje | FLAP_5 | | | 210 | 55 |
| 7773ER | DEFAULT | 5 | 4 | Ubrza-nje_Po-stotak | Maksimum za penjanje | FLAP_1 | | | 235 | 50 |
| 7773ER | DEFAULT | 5 | 5 | Penjanje | Maksimum za penjanje | FLAP_0 | 3 000 | | | |
| 7773ER | DEFAULT | 5 | 6 | Ubrza-nje_Po-stotak | Maksimum za penjanje | FLAP_0 | | | 250 | 50 |
| 7773ER | DEFAULT | 5 | 7 | Penjanje | Maksimum za penjanje | FLAP_0 | 10 000 | | | |
| 7773ER | DEFAULT | 6 | 1 | Uzlijeta-nje | Maksimum za uzlijetanje | FLAP_5 | | | | |
| 7773ER | DEFAULT | 6 | 2 | Penjanje | Maksimum za uzlijetanje | FLAP_5 | 1 142 | | | |
| 7773ER | DEFAULT | 6 | 3 | Ubrza-nje_Po-stotak | Maksimum za penjanje | FLAP_5 | | | 215 | 55 |
| 7773ER | DEFAULT | 6 | 4 | Ubrza-nje_Po-stotak | Maksimum za penjanje | FLAP_1 | | | 240 | 50 |
| 7773ER | DEFAULT | 6 | 5 | Penjanje | Maksimum za penjanje | FLAP_0 | 3 000 | | | |
| 7773ER | DEFAULT | 6 | 6 | Ubrza-nje_Po-stotak | Maksimum za penjanje | FLAP_0 | | | 250 | 50 |
| 7773ER | DEFAULT | 6 | 7 | Penjanje | Maksimum za penjanje | FLAP_0 | 10 000 | | | |

▼M2

| ACFTID | Oznaka profila (Profile_ID) | Dulji-na faze | Broj koraka | Tip koraka | Režim rada motora | Zakrilca (Flap_ID) | Visina krajnje točke (ft) | Stopa penjanja (ft/min) | Kalibri-rana brzina leta u krajnjoj točki (kt) | Postot-ak ubrzan-ja (Acce-lera-te_Per-cent) (%) |
|---|---|---|---|---|---|---|---|---|---|---|
| 7773ER | DEFAULT | 7 | 1 | Uzlijeta-nje | Maksimum za uzlijetanje | FLAP_5 | | | | |
| 7773ER | DEFAULT | 7 | 2 | Penjanje | Maksimum za uzlijetanje | FLAP_5 | 1 067 | | | |
| 7773ER | DEFAULT | 7 | 3 | Ubrza-nje_Po-stotak | Maksimum za penjanje | FLAP_5 | | | 222 | 55 |
| 7773ER | DEFAULT | 7 | 4 | Ubrza-nje_Po-stotak | Maksimum za penjanje | FLAP_1 | | | 248 | 50 |
| 7773ER | DEFAULT | 7 | 5 | Penjanje | Maksimum za penjanje | FLAP_0 | 3 000 | | | |
| 7773ER | DEFAULT | 7 | 6 | Ubrza-nje_Po-stotak | Maksimum za penjanje | FLAP_0 | | | 250 | 50 |
| 7773ER | DEFAULT | 7 | 7 | Penjanje | Maksimum za penjanje | FLAP_0 | 10 000 | | | |
| 7773ER | DEFAULT | 8 | 1 | Uzlijeta-nje | Maksimum za uzlijetanje | FLAP_5 | | | | |
| 7773ER | DEFAULT | 8 | 2 | Penjanje | Maksimum za uzlijetanje | FLAP_5 | 1 000 | | | |
| 7773ER | DEFAULT | 8 | 3 | Ubrza-nje_Po-stotak | Maksimum za penjanje | FLAP_5 | | | 222 | 55 |
| 7773ER | DEFAULT | 8 | 4 | Ubrza-nje_Po-stotak | Maksimum za penjanje | FLAP_1 | | | 255 | 50 |
| 7773ER | DEFAULT | 8 | 5 | Penjanje | Maksimum za penjanje | FLAP_0 | 3 000 | | | |
| 7773ER | DEFAULT | 8 | 6 | Ubrza-nje_Po-stotak | Maksimum za penjanje | FLAP_0 | | | 256 | 50 |

▼**M2**

| ACFTID | Oznaka profila (Profile_ID) | Dulji-na faze | Broj koraka | Tip koraka | Režim rada motora | Zakrilca (Flap_ID) | Visina krajnje točke (ft) | Stopa penjanja (ft/min) | Kalibri-rana brzina leta u krajnjoj točki (kt) | Postot-ak ubrzan-ja (Acce-lera-te_Per-cent) (%) |
|---|---|---|---|---|---|---|---|---|---|---|
| 7773ER | DEFAULT | 8 | 7 | Penjanje | Maksimum za penjanje | FLAP_0 | 10 000 | | | |
| 7773ER | DEFAULT | 9 | 1 | Uzlijeta-nje | Maksimum za uzlijetanje | FLAP_5 | | | | |
| 7773ER | DEFAULT | 9 | 2 | Penjanje | Maksimum za uzlijetanje | FLAP_5 | 1 000 | | | |
| 7773ER | DEFAULT | 9 | 3 | Ubrza-nje_Po-stotak | Maksimum za penjanje | FLAP_5 | | | 226 | 55 |
| 7773ER | DEFAULT | 9 | 4 | Ubrza-nje_Po-stotak | Maksimum za penjanje | FLAP_1 | | | 261 | 50 |
| 7773ER | DEFAULT | 9 | 5 | Penjanje | Maksimum za penjanje | FLAP_0 | 3 000 | | | |
| 7773ER | DEFAULT | 9 | 6 | Ubrza-nje_Po-stotak | Maksimum za penjanje | FLAP_0 | | | 261,1 | 50 |
| 7773ER | DEFAULT | 9 | 7 | Penjanje | Maksimum za penjanje | FLAP_0 | 10 000 | | | |
| 7773ER | ICAO_A | 1 | 1 | Uzlijeta-nje | Maksimum za uzlijetanje | FLAP_5 | | | | |
| 7773ER | ICAO_A | 1 | 2 | Penjanje | Maksimum za uzlijetanje | FLAP_5 | 1 500 | | | |
| 7773ER | ICAO_A | 1 | 3 | Penjanje | Maksimum za penjanje | FLAP_5 | 3 000 | | | |
| 7773ER | ICAO_A | 1 | 4 | Ubrza-nje_Po-stotak | Maksimum za penjanje | FLAP_5 | | | 210 | 55 |
| 7773ER | ICAO_A | 1 | 5 | Ubrza-nje_Po-stotak | Maksimum za penjanje | FLAP_1 | | | 220 | 55 |

▼M2

| ACFTID | Oznaka profila (Profile_ID) | Dulji-na faze | Broj koraka | Tip koraka | Režim rada motora | Zakrilca (Flap_ID) | Visina krajnje točke (ft) | Stopa penjanja (ft/min) | Kalibri-rana brzina leta u krajnjoj točki (kt) | Postot-ak ubrzan-ja (Acce-lera-te_Per-cent) (%) |
|---|---|---|---|---|---|---|---|---|---|---|
| 7773ER | ICAO_A | 1 | 6 | Penjanje | Maksimum za penjanje | FLAP_1 | 4 400 | | | |
| 7773ER | ICAO_A | 1 | 7 | Ubrza-nje_Po-stotak | Maksimum za penjanje | FLAP_0 | | | 250 | 50 |
| 7773ER | ICAO_A | 1 | 8 | Penjanje | Maksimum za penjanje | FLAP_0 | 10 000 | | | |
| 7773ER | ICAO_A | 2 | 1 | Uzlijeta-nje | Maksimum za uzlijetanje | FLAP_5 | | | | |
| 7773ER | ICAO_A | 2 | 2 | Penjanje | Maksimum za uzlijetanje | FLAP_5 | 1 500 | | | |
| 7773ER | ICAO_A | 2 | 3 | Penjanje | Maksimum za penjanje | FLAP_5 | 3 000 | | | |
| 7773ER | ICAO_A | 2 | 4 | Ubrza-nje_Po-stotak | Maksimum za penjanje | FLAP_5 | | | 220 | 55 |
| 7773ER | ICAO_A | 2 | 5 | Ubrza-nje_Po-stotak | Maksimum za penjanje | FLAP_1 | | | 230 | 55 |
| 7773ER | ICAO_A | 2 | 6 | Penjanje | Maksimum za penjanje | FLAP_1 | 4 300 | | | |
| 7773ER | ICAO_A | 2 | 7 | Ubrza-nje_Po-stotak | Maksimum za penjanje | FLAP_0 | | | 250 | 50 |
| 7773ER | ICAO_A | 2 | 8 | Penjanje | Maksimum za penjanje | FLAP_0 | 10 000 | | | |
| 7773ER | ICAO_A | 3 | 1 | Uzlijeta-nje | Maksimum za uzlijetanje | FLAP_5 | | | | |
| 7773ER | ICAO_A | 3 | 2 | Penjanje | Maksimum za uzlijetanje | FLAP_5 | 1 500 | | | |

▼M2

| ACFTID | Oznaka profila (Profile_ID) | Dulji-na faze | Broj koraka | Tip koraka | Režim rada motora | Zakrilca (Flap_ID) | Visina krajnje točke (ft) | Stopa penjanja (ft/min) | Kalibri-rana brzina leta u krajnjoj točki (kt) | Postot-ak ubrzan-ja (Acce-lera-te_Per-cent) (%) |
|---|---|---|---|---|---|---|---|---|---|---|
| 7773ER | ICAO_A | 3 | 3 | Penjanje | Maksimum za penjanje | FLAP_5 | 3 000 | | | |
| 7773ER | ICAO_A | 3 | 4 | Ubrza-nje_Po-stotak | Maksimum za penjanje | FLAP_5 | | | 220 | 55 |
| 7773ER | ICAO_A | 3 | 5 | Ubrza-nje_Po-stotak | Maksimum za penjanje | FLAP_1 | | | 230 | 55 |
| 7773ER | ICAO_A | 3 | 6 | Penjanje | Maksimum za penjanje | FLAP_1 | 4 200 | | | |
| 7773ER | ICAO_A | 3 | 7 | Ubrza-nje_Po-stotak | Maksimum za penjanje | FLAP_0 | | | 250 | 50 |
| 7773ER | ICAO_A | 3 | 8 | Penjanje | Maksimum za penjanje | FLAP_0 | 10 000 | | | |
| 7773ER | ICAO_A | 4 | 1 | Uzlijeta-nje | Maksimum za uzlijetanje | FLAP_5 | | | | |
| 7773ER | ICAO_A | 4 | 2 | Penjanje | Maksimum za uzlijetanje | FLAP_5 | 1 500 | | | |
| 7773ER | ICAO_A | 4 | 3 | Penjanje | Maksimum za penjanje | FLAP_5 | 3 000 | | | |
| 7773ER | ICAO_A | 4 | 4 | Ubrza-nje_Po-stotak | Maksimum za penjanje | FLAP_5 | | | 220 | 55 |
| 7773ER | ICAO_A | 4 | 5 | Ubrza-nje_Po-stotak | Maksimum za penjanje | FLAP_1 | | | 230 | 55 |
| 7773ER | ICAO_A | 4 | 6 | Penjanje | Maksimum za penjanje | FLAP_1 | 4 100 | | | |
| 7773ER | ICAO_A | 4 | 7 | Ubrza-nje_Po-stotak | Maksimum za penjanje | FLAP_0 | | | 250 | 50 |

▼**M2**

| ACFTID | Oznaka profila (Profile_ID) | Dulji-na faze | Broj koraka | Tip koraka | Režim rada motora | Zakrilca (Flap_ID) | Visina krajnje točke (ft) | Stopa penjanja (ft/min) | Kalibri-rana brzina leta u krajnjoj točki (kt) | Postot-ak ubrzan-ja (Acce-lera-te_Per-cent) (%) |
|---|---|---|---|---|---|---|---|---|---|---|
| 7773ER | ICAO_A | 4 | 8 | Penjanje | Maksimum za penjanje | FLAP_0 | 10 000 | | | |
| 7773ER | ICAO_A | 5 | 1 | Uzlijeta-nje | Maksimum za uzlijetanje | FLAP_5 | | | | |
| 7773ER | ICAO_A | 5 | 2 | Penjanje | Maksimum za uzlijetanje | FLAP_5 | 1 500 | | | |
| 7773ER | ICAO_A | 5 | 3 | Penjanje | Maksimum za penjanje | FLAP_5 | 3 000 | | | |
| 7773ER | ICAO_A | 5 | 4 | Ubrza-nje_Po-stotak | Maksimum za penjanje | FLAP_5 | | | 220 | 55 |
| 7773ER | ICAO_A | 5 | 5 | Ubrza-nje_Po-stotak | Maksimum za penjanje | FLAP_1 | | | 230 | 55 |
| 7773ER | ICAO_A | 5 | 6 | Ubrza-nje_Po-stotak | Maksimum za penjanje | FLAP_0 | | | 250 | 50 |
| 7773ER | ICAO_A | 5 | 7 | Penjanje | Maksimum za penjanje | FLAP_0 | 10 000 | | | |
| 7773ER | ICAO_A | 6 | 1 | Uzlijeta-nje | Maksimum za uzlijetanje | FLAP_5 | | | | |
| 7773ER | ICAO_A | 6 | 2 | Penjanje | Maksimum za uzlijetanje | FLAP_5 | 1 500 | | | |
| 7773ER | ICAO_A | 6 | 3 | Penjanje | Maksimum za penjanje | FLAP_5 | 3 000 | | | |
| 7773ER | ICAO_A | 6 | 4 | Ubrza-nje_Po-stotak | Maksimum za penjanje | FLAP_5 | | | 220 | 55 |
| 7773ER | ICAO_A | 6 | 5 | Ubrza-nje_Po-stotak | Maksimum za penjanje | FLAP_1 | | | 230 | 55 |

▼M2

| ACFTID | Oznaka profila (Profile_ID) | Dulji-na faze | Broj koraka | Tip koraka | Režim rada motora | Zakrilca (Flap_ID) | Visina krajnje točke (ft) | Stopa penjanja (ft/min) | Kalibri-rana brzina leta u krajnjoj točki (kt) | Postot-ak ubrzan-ja (Acce-lera-te_Per-cent) (%) |
|---|---|---|---|---|---|---|---|---|---|---|
| 7773ER | ICAO_A | 6 | 6 | Ubrza-nje_Po-stotak | Maksimum za penjanje | FLAP_0 | | | 250 | 50 |
| 7773ER | ICAO_A | 6 | 7 | Penjanje | Maksimum za penjanje | FLAP_0 | 10 000 | | | |
| 7773ER | ICAO_A | 7 | 1 | Uzlijeta-nje | Maksimum za uzlijetanje | FLAP_5 | | | | |
| 7773ER | ICAO_A | 7 | 2 | Penjanje | Maksimum za uzlijetanje | FLAP_5 | 1 500 | | | |
| 7773ER | ICAO_A | 7 | 3 | Penjanje | Maksimum za penjanje | FLAP_5 | 3 000 | | | |
| 7773ER | ICAO_A | 7 | 4 | Ubrza-nje_Po-stotak | Maksimum za penjanje | FLAP_5 | | | 220 | 55 |
| 7773ER | ICAO_A | 7 | 5 | Ubrza-nje_Po-stotak | Maksimum za penjanje | FLAP_1 | | | 230 | 55 |
| 7773ER | ICAO_A | 7 | 6 | Ubrza-nje_Po-stotak | Maksimum za penjanje | FLAP_0 | | | 250 | 50 |
| 7773ER | ICAO_A | 7 | 7 | Penjanje | Maksimum za penjanje | FLAP_0 | 10 000 | | | |
| 7773ER | ICAO_A | 8 | 1 | Uzlijeta-nje | Maksimum za uzlijetanje | FLAP_5 | | | | |
| 7773ER | ICAO_A | 8 | 2 | Penjanje | Maksimum za uzlijetanje | FLAP_5 | 1 500 | | | |
| 7773ER | ICAO_A | 8 | 3 | Penjanje | Maksimum za penjanje | FLAP_5 | 3 000 | | | |
| 7773ER | ICAO_A | 8 | 4 | Ubrza-nje_Po-stotak | Maksimum za penjanje | FLAP_5 | | | 220 | 55 |

▼M2

| ACFTID | Oznaka profila (Profile_ID) | Dulji-na faze | Broj koraka | Tip koraka | Režim rada motora | Zakrilca (Flap_ID) | Visina krajnje točke (ft) | Stopa penjanja (ft/min) | Kalibri-rana brzina leta u krajnjoj točki (kt) | Postot-ak ubrzan-ja (Acce-lera-te_Per-cent) (%) |
|---|---|---|---|---|---|---|---|---|---|---|
| 7773ER | ICAO_A | 8 | 5 | Ubrza-nje_Po-stotak | Maksimum za penjanje | FLAP_1 | | | 230 | 55 |
| 7773ER | ICAO_A | 8 | 6 | Ubrza-nje_Po-stotak | Maksimum za penjanje | FLAP_0 | | | 255 | 50 |
| 7773ER | ICAO_A | 8 | 7 | Penjanje | Maksimum za penjanje | FLAP_0 | 10 000 | | | |
| 7773ER | ICAO_A | 9 | 1 | Uzlijeta-nje | Maksimum za uzlijetanje | FLAP_5 | | | | |
| 7773ER | ICAO_A | 9 | 2 | Penjanje | Maksimum za uzlijetanje | FLAP_5 | 1 500 | | | |
| 7773ER | ICAO_A | 9 | 3 | Penjanje | Maksimum za penjanje | FLAP_5 | 3 000 | | | |
| 7773ER | ICAO_A | 9 | 4 | Ubrza-nje_Po-stotak | Maksimum za penjanje | FLAP_5 | | | 230 | 55 |
| 7773ER | ICAO_A | 9 | 5 | Ubrza-nje_Po-stotak | Maksimum za penjanje | FLAP_1 | | | 240 | 55 |
| 7773ER | ICAO_A | 9 | 6 | Ubrza-nje_Po-stotak | Maksimum za penjanje | FLAP_0 | | | 260 | 50 |
| 7773ER | ICAO_A | 9 | 7 | Penjanje | Maksimum za penjanje | FLAP_0 | 10 000 | | | |
| 7773ER | ICAO_B | 1 | 1 | Uzlijeta-nje | Maksimum za uzlijetanje | FLAP_5 | | | | |
| 7773ER | ICAO_B | 1 | 2 | Penjanje | Maksimum za uzlijetanje | FLAP_5 | 1 434 | | | |
| 7773ER | ICAO_B | 1 | 3 | Ubrza-nje_Po-stotak | Maksimum za uzlijetanje | FLAP_5 | | | 223 | 55 |

▼**M2**

| ACFTID | Oznaka profila (Profile_ID) | Dulji-na faze | Broj koraka | Tip koraka | Režim rada motora | Zakrilca (Flap_ID) | Visina krajnje točke (ft) | Stopa penjanja (ft/min) | Kalibri-rana brzina leta u krajnjoj točki (kt) | Postot-ak ubrzan-ja (Acce-lera-te_Per-cent) (%) |
|---|---|---|---|---|---|---|---|---|---|---|
| 7773ER | ICAO_B | 1 | 4 | Penjanje | Maksimum za uzlijetanje | FLAP_1 | 3 564 | | | |
| 7773ER | ICAO_B | 1 | 5 | Ubrza-nje_Po-stotak | Maksimum za penjanje | FLAP_0 | | | 240 | 50 |
| 7773ER | ICAO_B | 1 | 6 | Ubrza-nje_Po-stotak | Maksimum za penjanje | FLAP_0 | | | 250 | 50 |
| 7773ER | ICAO_B | 1 | 7 | Penjanje | Maksimum za penjanje | FLAP_0 | 10 000 | | | |
| 7773ER | ICAO_B | 2 | 1 | Uzlijeta-nje | Maksimum za uzlijetanje | FLAP_5 | | | | |
| 7773ER | ICAO_B | 2 | 2 | Penjanje | Maksimum za uzlijetanje | FLAP_5 | 1 396 | | | |
| 7773ER | ICAO_B | 2 | 3 | Ubrza-nje_Po-stotak | Maksimum za uzlijetanje | FLAP_5 | | | 225 | 55 |
| 7773ER | ICAO_B | 2 | 4 | Penjanje | Maksimum za uzlijetanje | FLAP_1 | 3 442 | | | |
| 7773ER | ICAO_B | 2 | 5 | Ubrza-nje_Po-stotak | Maksimum za penjanje | FLAP_0 | | | 240 | 50 |
| 7773ER | ICAO_B | 2 | 6 | Ubrza-nje_Po-stotak | Maksimum za penjanje | FLAP_0 | | | 250 | 50 |
| 7773ER | ICAO_B | 2 | 7 | Penjanje | Maksimum za penjanje | FLAP_0 | 10 000 | | | |
| 7773ER | ICAO_B | 3 | 1 | Uzlijeta-nje | Maksimum za uzlijetanje | FLAP_5 | | | | |
| 7773ER | ICAO_B | 3 | 2 | Penjanje | Maksimum za uzlijetanje | FLAP_5 | 1 355 | | | |

▼**M2**

| ACFTID | Oznaka profila (Profile_ID) | Dulji-na faze | Broj koraka | Tip koraka | Režim rada motora | Zakrilca (Flap_ID) | Visina krajnje točke (ft) | Stopa penjanja (ft/min) | Kalibri-rana brzina leta u krajnjoj točki (kt) | Postot-ak ubrzan-ja (Acce-lera-te_Per-cent) (%) |
|---|---|---|---|---|---|---|---|---|---|---|
| 7773ER | ICAO_B | 3 | 3 | Ubrza-nje_Po-stotak | Maksimum za uzlijetanje | FLAP_5 | | | 228 | 55 |
| 7773ER | ICAO_B | 3 | 4 | Penjanje | Maksimum za uzlijetanje | FLAP_1 | 3 314 | | | |
| 7773ER | ICAO_B | 3 | 5 | Ubrza-nje_Po-stotak | Maksimum za penjanje | FLAP_0 | | | 240 | 50 |
| 7773ER | ICAO_B | 3 | 6 | Ubrza-nje_Po-stotak | Maksimum za penjanje | FLAP_0 | | | 250 | 50 |
| 7773ER | ICAO_B | 3 | 7 | Penjanje | Maksimum za penjanje | FLAP_0 | 10 000 | | | |
| 7773ER | ICAO_B | 4 | 1 | Uzlijeta-nje | Maksimum za uzlijetanje | FLAP_5 | | | | |
| 7773ER | ICAO_B | 4 | 2 | Penjanje | Maksimum za uzlijetanje | FLAP_5 | 1 289 | | | |
| 7773ER | ICAO_B | 4 | 3 | Ubrza-nje_Po-stotak | Maksimum za uzlijetanje | FLAP_5 | | | 231 | 55 |
| 7773ER | ICAO_B | 4 | 4 | Penjanje | Maksimum za uzlijetanje | FLAP_1 | 3 104 | | | |
| 7773ER | ICAO_B | 4 | 5 | Ubrza-nje_Po-stotak | Maksimum za penjanje | FLAP_0 | | | 240 | 50 |
| 7773ER | ICAO_B | 4 | 6 | Ubrza-nje_Po-stotak | Maksimum za penjanje | FLAP_0 | | | 250 | 50 |
| 7773ER | ICAO_B | 4 | 7 | Penjanje | Maksimum za penjanje | FLAP_0 | 10 000 | | | |
| 7773ER | ICAO_B | 5 | 1 | Uzlijeta-nje | Maksimum za uzlijetanje | FLAP_5 | | | | |
| 7773ER | ICAO_B | 5 | 2 | Penjanje | Maksimum za uzlijetanje | FLAP_5 | 1 214 | | | |

▼**M2**

| ACFTID | Oznaka profila (Profile_ID) | Dulji-na faze | Broj koraka | Tip koraka | Režim rada motora | Zakrilca (Flap_ID) | Visina krajnje točke (ft) | Stopa penjanja (ft/min) | Kalibri-rana brzina leta u krajnjoj točki (kt) | Postot-ak ubrzan-ja (Acce-lera-te_Per-cent) (%) |
|---|---|---|---|---|---|---|---|---|---|---|
| 7773ER | ICAO_B | 5 | 3 | Ubrza-nje_Po-stotak | Maksimum za uzlijetanje | FLAP_5 | | | 236 | 55 |
| 7773ER | ICAO_B | 5 | 4 | Penjanje | Maksimum za uzlijetanje | FLAP_1 | 3 000 | | | |
| 7773ER | ICAO_B | 5 | 5 | Ubrza-nje_Po-stotak | Maksimum za penjanje | FLAP_0 | | | 245 | 50 |
| 7773ER | ICAO_B | 5 | 6 | Ubrza-nje_Po-stotak | Maksimum za penjanje | FLAP_0 | | | 250 | 50 |
| 7773ER | ICAO_B | 5 | 7 | Penjanje | Maksimum za penjanje | FLAP_0 | 10 000 | | | |
| 7773ER | ICAO_B | 6 | 1 | Uzlijeta-nje | Maksimum za uzlijetanje | FLAP_5 | | | | |
| 7773ER | ICAO_B | 6 | 2 | Penjanje | Maksimum za uzlijetanje | FLAP_5 | 1 138 | | | |
| 7773ER | ICAO_B | 6 | 3 | Ubrza-nje_Po-stotak | Maksimum za uzlijetanje | FLAP_5 | | | 241 | 55 |
| 7773ER | ICAO_B | 6 | 4 | Penjanje | Maksimum za uzlijetanje | FLAP_1 | 3 000 | | | |
| 7773ER | ICAO_B | 6 | 5 | Ubrza-nje_Po-stotak | Maksimum za penjanje | FLAP_0 | | | 250 | 50 |
| 7773ER | ICAO_B | 6 | 6 | Penjanje | Maksimum za penjanje | FLAP_0 | 10 000 | | | |
| 7773ER | ICAO_B | 7 | 1 | Uzlijeta-nje | Maksimum za uzlijetanje | FLAP_5 | | | | |
| 7773ER | ICAO_B | 7 | 2 | Penjanje | Maksimum za uzlijetanje | FLAP_5 | 1 067 | | | |
| 7773ER | ICAO_B | 7 | 3 | Ubrza-nje_Po-stotak | Maksimum za uzlijetanje | FLAP_5 | | | 249 | 55 |

▼M2

| ACFTID | Oznaka profila (Profile_ID) | Dulji-na faze | Broj koraka | Tip koraka | Režim rada motora | Zakrilca (Flap_ID) | Visina krajnje točke (ft) | Stopa penjanja (ft/min) | Kalibri-rana brzina leta u krajnjoj točki (kt) | Postot-ak ubrzan-ja (Acce-lera-te_Per-cent) (%) |
|---|---|---|---|---|---|---|---|---|---|---|
| 7773ER | ICAO_B | 7 | 4 | Penjanje | Maksimum za uzlijetanje | FLAP_1 | 2 451 | | | |
| 7773ER | ICAO_B | 7 | 5 | Ubrza-nje_Po-stotak | Maksimum za penjanje | FLAP_1 | | | 250 | 55 |
| 7773ER | ICAO_B | 7 | 6 | Penjanje | Maksimum za penjanje | FLAP_0 | 3 000 | | | |
| 7773ER | ICAO_B | 7 | 7 | Penjanje | Maksimum za penjanje | FLAP_0 | 10 000 | | | |
| 7773ER | ICAO_B | 8 | 1 | Uzlijeta-nje | Maksimum za uzlijetanje | FLAP_5 | | | | |
| 7773ER | ICAO_B | 8 | 2 | Penjanje | Maksimum za uzlijetanje | FLAP_5 | 1 000 | | | |
| 7773ER | ICAO_B | 8 | 3 | Ubrza-nje_Po-stotak | Maksimum za uzlijetanje | FLAP_5 | | | 257 | 55 |
| 7773ER | ICAO_B | 8 | 4 | Penjanje | Maksimum za uzlijetanje | FLAP_1 | 2 280 | | | |
| 7773ER | ICAO_B | 8 | 5 | Ubrza-nje_Po-stotak | Maksimum za penjanje | FLAP_1 | | | 257 | 55 |
| 7773ER | ICAO_B | 8 | 6 | Penjanje | Maksimum za penjanje | FLAP_0 | 3 000 | | | |
| 7773ER | ICAO_B | 8 | 7 | Penjanje | Maksimum za penjanje | FLAP_0 | 10 000 | | | |
| 7773ER | ICAO_B | 9 | 1 | Uzlijeta-nje | Maksimum za uzlijetanje | FLAP_5 | | | | |
| 7773ER | ICAO_B | 9 | 2 | Penjanje | Maksimum za uzlijetanje | FLAP_5 | 1 000 | | | |

▼M2

| ACFTID | Oznaka profila (Profile_ID) | Dulji-na faze | Broj koraka | Tip koraka | Režim rada motora | Zakrilca (Flap_ID) | Visina krajnje točke (ft) | Stopa penjanja (ft/min) | Kalibri-rana brzina leta u krajnjoj točki (kt) | Postot-ak ubrzan-ja (Acce-lera-te_Per-cent) (%) |
|---|---|---|---|---|---|---|---|---|---|---|
| 7773ER | ICAO_B | 9 | 3 | Ubrza-nje_Po-stotak | Maksimum za uzlijetanje | FLAP_5 | | | 261 | 55 |
| 7773ER | ICAO_B | 9 | 4 | Penjanje | Maksimum za uzlijetanje | FLAP_1 | 2 180 | | | |
| 7773ER | ICAO_B | 9 | 5 | Ubrza-nje_Po-stotak | Maksimum za penjanje | FLAP_1 | | | 262 | 55 |
| 7773ER | ICAO_B | 9 | 6 | Penjanje | Maksimum za penjanje | FLAP_0 | 3 000 | | | |
| 7773ER | ICAO_B | 9 | 7 | Penjanje | Maksimum za penjanje | FLAP_0 | 10 000 | | | |
| 7878R | DEFAULT | 1 | 1 | Uzlijeta-nje | Maksimum za uzlijetanje | FLAP_5 | | | | |
| 7878R | DEFAULT | 1 | 2 | Penjanje | Maksimum za uzlijetanje | FLAP_5 | 1 000 | | | |
| 7878R | DEFAULT | 1 | 3 | Ubrza-nje_Po-stotak | Maksimum za penjanje | FLAP_5 | | | 214 | 55 |
| 7878R | DEFAULT | 1 | 4 | Ubrza-nje_Po-stotak | Maksimum za penjanje | FLAP_1 | | | 225 | 55 |
| 7878R | DEFAULT | 1 | 5 | Penjanje | Maksimum za penjanje | FLAP_0 | 3 000 | | | |
| 7878R | DEFAULT | 1 | 6 | Ubrza-nje_Po-stotak | Maksimum za penjanje | FLAP_0 | | | 250 | 50 |
| 7878R | DEFAULT | 1 | 7 | Penjanje | Maksimum za penjanje | FLAP_0 | 10 000 | | | |
| 7878R | DEFAULT | 2 | 1 | Uzlijeta-nje | Maksimum za uzlijetanje | FLAP_5 | | | | |
| 7878R | DEFAULT | 2 | 2 | Penjanje | Maksimum za uzlijetanje | FLAP_5 | 1 000 | | | |

▼M2

| ACFTID | Oznaka profila (Profile_ID) | Dulji-na faze | Broj koraka | Tip koraka | Režim rada motora | Zakrilca (Flap_ID) | Visina krajnje točke (ft) | Stopa penjanja (ft/min) | Kalibri-rana brzina leta u krajnjoj točki (kt) | Postot-ak ubrzan-ja (Acce-lera-te_Per-cent) (%) |
|---|---|---|---|---|---|---|---|---|---|---|
| 7878R | DEFAULT | 2 | 3 | Ubrza-nje_Po-stotak | Maksimum za penjanje | FLAP_5 | | | 214 | 55 |
| 7878R | DEFAULT | 2 | 4 | Ubrza-nje_Po-stotak | Maksimum za penjanje | FLAP_1 | | | 222 | 55 |
| 7878R | DEFAULT | 2 | 5 | Penjanje | Maksimum za penjanje | FLAP_0 | 3 000 | | | |
| 7878R | DEFAULT | 2 | 6 | Ubrza-nje_Po-stotak | Maksimum za penjanje | FLAP_0 | | | 250 | 50 |
| 7878R | DEFAULT | 2 | 7 | Penjanje | Maksimum za penjanje | FLAP_0 | 10 000 | | | |
| 7878R | DEFAULT | 3 | 1 | Uzlijeta-nje | Maksimum za uzlijetanje | FLAP_5 | | | | |
| 7878R | DEFAULT | 3 | 2 | Penjanje | Maksimum za uzlijetanje | FLAP_5 | 1 000 | | | |
| 7878R | DEFAULT | 3 | 3 | Ubrza-nje_Po-stotak | Maksimum za penjanje | FLAP_5 | | | 215 | 55 |
| 7878R | DEFAULT | 3 | 4 | Ubrza-nje_Po-stotak | Maksimum za penjanje | FLAP_1 | | | 230 | 55 |
| 7878R | DEFAULT | 3 | 5 | Penjanje | Maksimum za penjanje | FLAP_0 | 3 000 | | | |
| 7878R | DEFAULT | 3 | 6 | Ubrza-nje_Po-stotak | Maksimum za penjanje | FLAP_0 | | | 250 | 50 |
| 7878R | DEFAULT | 3 | 7 | Penjanje | Maksimum za penjanje | FLAP_0 | 10 000 | | | |
| 7878R | DEFAULT | 4 | 1 | Uzlijeta-nje | Maksimum za uzlijetanje | FLAP_5 | | | | |

▼M2

| ACFTID | Oznaka profila (Profile_ID) | Dulji-na faze | Broj koraka | Tip koraka | Režim rada motora | Zakrilca (Flap_ID) | Visina krajnje točke (ft) | Stopa penjanja (ft/min) | Kalibri-rana brzina leta u krajnjoj točki (kt) | Postot-ak ubrzan-ja (Acce-lera-te_Per-cent) (%) |
|---|---|---|---|---|---|---|---|---|---|---|
| 7878R | DEFAULT | 4 | 2 | Penjanje | Maksimum za uzlijetanje | FLAP_5 | 1 000 | | | |
| 7878R | DEFAULT | 4 | 3 | Ubrza-nje_Po-stotak | Maksimum za penjanje | FLAP_5 | | | 215 | 55 |
| 7878R | DEFAULT | 4 | 4 | Ubrza-nje_Po-stotak | Maksimum za penjanje | FLAP_1 | | | 228 | 55 |
| 7878R | DEFAULT | 4 | 5 | Penjanje | Maksimum za penjanje | FLAP_0 | 3 000 | | | |
| 7878R | DEFAULT | 4 | 6 | Ubrza-nje_Po-stotak | Maksimum za penjanje | FLAP_0 | | | 250 | 50 |
| 7878R | DEFAULT | 4 | 7 | Penjanje | Maksimum za penjanje | FLAP_0 | 10 000 | | | |
| 7878R | DEFAULT | 5 | 1 | Uzlijeta-nje | Maksimum za uzlijetanje | FLAP_5 | | | | |
| 7878R | DEFAULT | 5 | 2 | Penjanje | Maksimum za uzlijetanje | FLAP_5 | 1 000 | | | |
| 7878R | DEFAULT | 5 | 3 | Ubrza-nje_Po-stotak | Maksimum za penjanje | FLAP_5 | | | 218 | 55 |
| 7878R | DEFAULT | 5 | 4 | Ubrza-nje_Po-stotak | Maksimum za penjanje | FLAP_1 | | | 235 | 55 |
| 7878R | DEFAULT | 5 | 5 | Penjanje | Maksimum za penjanje | FLAP_0 | 3 000 | | | |
| 7878R | DEFAULT | 5 | 6 | Ubrza-nje_Po-stotak | Maksimum za penjanje | FLAP_0 | | | 250 | 50 |
| 7878R | DEFAULT | 5 | 7 | Penjanje | Maksimum za penjanje | FLAP_0 | 10 000 | | | |

▼M2

| ACFTID | Oznaka profila (Profile_ID) | Dulji-na faze | Broj koraka | Tip koraka | Režim rada motora | Zakrilca (Flap_ID) | Visina krajnje točke (ft) | Stopa penjanja (ft/min) | Kalibri-rana brzina leta u krajnjoj točki (kt) | Postot-ak ubrzan-ja (Acce-lera-te_Per-cent) (%) |
|---|---|---|---|---|---|---|---|---|---|---|
| 7878R | DEFAULT | 6 | 1 | Uzlijeta-nje | Maksimum za uzlijetanje | FLAP_5 | | | | |
| 7878R | DEFAULT | 6 | 2 | Penjanje | Maksimum za uzlijetanje | FLAP_5 | 1 000 | | | |
| 7878R | DEFAULT | 6 | 3 | Ubrza-nje_Po-stotak | Maksimum za penjanje | FLAP_5 | | | 220 | 55 |
| 7878R | DEFAULT | 6 | 4 | Ubrza-nje_Po-stotak | Maksimum za penjanje | FLAP_1 | | | 238 | 55 |
| 7878R | DEFAULT | 6 | 5 | Penjanje | Maksimum za penjanje | FLAP_0 | 3 000 | | | |
| 7878R | DEFAULT | 6 | 6 | Ubrza-nje_Po-stotak | Maksimum za penjanje | FLAP_0 | | | 250 | 50 |
| 7878R | DEFAULT | 6 | 7 | Penjanje | Maksimum za penjanje | FLAP_0 | 10 000 | | | |
| 7878R | DEFAULT | 7 | 1 | Uzlijeta-nje | Maksimum za uzlijetanje | FLAP_5 | | | | |
| 7878R | DEFAULT | 7 | 2 | Penjanje | Maksimum za uzlijetanje | FLAP_5 | 1 000 | | | |
| 7878R | DEFAULT | 7 | 3 | Ubrza-nje_Po-stotak | Maksimum za penjanje | FLAP_5 | | | 224 | 55 |
| 7878R | DEFAULT | 7 | 4 | Ubrza-nje_Po-stotak | Maksimum za penjanje | FLAP_1 | | | 243 | 55 |
| 7878R | DEFAULT | 7 | 5 | Penjanje | Maksimum za penjanje | FLAP_0 | 3 000 | | | |
| 7878R | DEFAULT | 7 | 6 | Ubrza-nje_Po-stotak | Maksimum za penjanje | FLAP_0 | | | 250 | 50 |

▼M2

| ACFTID | Oznaka profila (Profile_ID) | Dulji-na faze | Broj koraka | Tip koraka | Režim rada motora | Zakrilca (Flap_ID) | Visina krajnje točke (ft) | Stopa penjanja (ft/min) | Kalibri-rana brzina leta u krajnjoj točki (kt) | Postot-ak ubrzan-ja (Acce-lera-te_Per-cent) (%) |
|---|---|---|---|---|---|---|---|---|---|---|
| 7878R | DEFAULT | 7 | 7 | Penjanje | Maksimum za penjanje | FLAP_0 | 10 000 | | | |
| 7878R | DEFAULT | 8 | 1 | Uzlijeta-nje | Maksimum za uzlijetanje | FLAP_5 | | | | |
| 7878R | DEFAULT | 8 | 2 | Penjanje | Maksimum za uzlijetanje | FLAP_5 | 1 000 | | | |
| 7878R | DEFAULT | 8 | 3 | Ubrza-nje_Po-stotak | Maksimum za penjanje | FLAP_5 | | | 226 | 55 |
| 7878R | DEFAULT | 8 | 4 | Ubrza-nje_Po-stotak | Maksimum za penjanje | FLAP_1 | | | 246 | 55 |
| 7878R | DEFAULT | 8 | 5 | Penjanje | Maksimum za penjanje | FLAP_0 | 3 000 | | | |
| 7878R | DEFAULT | 8 | 6 | Ubrza-nje_Po-stotak | Maksimum za penjanje | FLAP_0 | | | 250 | 50 |
| 7878R | DEFAULT | 8 | 7 | Penjanje | Maksimum za penjanje | FLAP_0 | 10 000 | | | |
| 7878R | DEFAULT | 9 | 1 | Uzlijeta-nje | Maksimum za uzlijetanje | FLAP_5 | | | | |
| 7878R | DEFAULT | 9 | 2 | Penjanje | Maksimum za uzlijetanje | FLAP_5 | 1 000 | | | |
| 7878R | DEFAULT | 9 | 3 | Ubrza-nje_Po-stotak | Maksimum za penjanje | FLAP_5 | | | 230 | 55 |
| 7878R | DEFAULT | 9 | 4 | Ubrza-nje_Po-stotak | Maksimum za penjanje | FLAP_1 | | | 245 | 55 |
| 7878R | DEFAULT | 9 | 5 | Penjanje | Maksimum za penjanje | FLAP_0 | 3 000 | | | |

▼M2

| ACFTID | Oznaka profila (Profile_ID) | Dulji-na faze | Broj koraka | Tip koraka | Režim rada motora | Zakrilca (Flap_ID) | Visina krajnje točke (ft) | Stopa penjanja (ft/min) | Kalibri-rana brzina leta u krajnjoj točki (kt) | Postot-ak ubrzan-ja (Acce-lera-te_Per-cent) (%) |
|---|---|---|---|---|---|---|---|---|---|---|
| 7878R | DEFAULT | 9 | 6 | Ubrza-nje_Po-stotak | Maksimum za penjanje | FLAP_0 | | | 250 | 50 |
| 7878R | DEFAULT | 9 | 7 | Penjanje | Maksimum za penjanje | FLAP_0 | 10 000 | | | |
| 7878R | ICAO_A | 1 | 1 | Uzlijeta-nje | Maksimum za uzlijetanje | FLAP_5 | | | | |
| 7878R | ICAO_A | 1 | 2 | Penjanje | Maksimum za uzlijetanje | FLAP_5 | 1 500 | | | |
| 7878R | ICAO_A | 1 | 3 | Penjanje | Maksimum za penjanje | FLAP_5 | 3 000 | | | |
| 7878R | ICAO_A | 1 | 4 | Ubrza-nje_Po-stotak | Maksimum za penjanje | FLAP_5 | | | 220 | 55 |
| 7878R | ICAO_A | 1 | 5 | Penjanje | Maksimum za penjanje | FLAP_1 | 4 500 | | | |
| 7878R | ICAO_A | 1 | 6 | Ubrza-nje_Po-stotak | Maksimum za penjanje | FLAP_0 | | | 250 | 50 |
| 7878R | ICAO_A | 1 | 7 | Penjanje | Maksimum za penjanje | FLAP_0 | 10 000 | | | |
| 7878R | ICAO_A | 2 | 1 | Uzlijeta-nje | Maksimum za uzlijetanje | FLAP_5 | | | | |
| 7878R | ICAO_A | 2 | 2 | Penjanje | Maksimum za uzlijetanje | FLAP_5 | 1 500 | | | |
| 7878R | ICAO_A | 2 | 3 | Penjanje | Maksimum za penjanje | FLAP_5 | 3 000 | | | |
| 7878R | ICAO_A | 2 | 4 | Ubrza-nje_Po-stotak | Maksimum za penjanje | FLAP_5 | | | 220 | 55 |

▼**M2**

| ACFTID | Oznaka profila (Profile_ID) | Dulji-na faze | Broj koraka | Tip koraka | Režim rada motora | Zakrilca (Flap_ID) | Visina krajnje točke (ft) | Stopa penjanja (ft/min) | Kalibri-rana brzina leta u krajnjoj točki (kt) | Postot-ak ubrzan-ja (Acce-lera-te_Per-cent) (%) |
|---|---|---|---|---|---|---|---|---|---|---|
| 7878R | ICAO_A | 2 | 5 | Penjanje | Maksimum za penjanje | FLAP_1 | 4 400 | | | |
| 7878R | ICAO_A | 2 | 6 | Ubrza-nje_Po-stotak | Maksimum za penjanje | FLAP_0 | | | 250 | 50 |
| 7878R | ICAO_A | 2 | 7 | Penjanje | Maksimum za penjanje | FLAP_0 | 10 000 | | | |
| 7878R | ICAO_A | 3 | 1 | Uzlijeta-nje | Maksimum za uzlijetanje | FLAP_5 | | | | |
| 7878R | ICAO_A | 3 | 2 | Penjanje | Maksimum za uzlijetanje | FLAP_5 | 1 500 | | | |
| 7878R | ICAO_A | 3 | 3 | Penjanje | Maksimum za penjanje | FLAP_5 | 3 000 | | | |
| 7878R | ICAO_A | 3 | 4 | Ubrza-nje_Po-stotak | Maksimum za penjanje | FLAP_5 | | | 220 | 55 |
| 7878R | ICAO_A | 3 | 5 | Penjanje | Maksimum za penjanje | FLAP_1 | 4 400 | | | |
| 7878R | ICAO_A | 3 | 6 | Ubrza-nje_Po-stotak | Maksimum za penjanje | FLAP_0 | | | 250 | 50 |
| 7878R | ICAO_A | 3 | 7 | Penjanje | Maksimum za penjanje | FLAP_0 | 10 000 | | | |
| 7878R | ICAO_A | 4 | 1 | Uzlijeta-nje | Maksimum za uzlijetanje | FLAP_5 | | | | |
| 7878R | ICAO_A | 4 | 2 | Penjanje | Maksimum za uzlijetanje | FLAP_5 | 1 500 | | | |
| 7878R | ICAO_A | 4 | 3 | Penjanje | Maksimum za penjanje | FLAP_5 | 3 000 | | | |

▼M2

| ACFTID | Oznaka profila (Profile_ID) | Dulji-na faze | Broj koraka | Tip koraka | Režim rada motora | Zakrilca (Flap_ID) | Visina krajnje točke (ft) | Stopa penjanja (ft/min) | Kalibri-rana brzina leta u krajnjoj točki (kt) | Postot-ak ubrzan-ja (Acce-lera-te_Per-cent) (%) |
|---|---|---|---|---|---|---|---|---|---|---|
| 7878R | ICAO_A | 4 | 4 | Ubrza-nje_Po-stotak | Maksimum za penjanje | FLAP_5 | | | 220 | 55 |
| 7878R | ICAO_A | 4 | 5 | Penjanje | Maksimum za penjanje | FLAP_1 | 4 300 | | | |
| 7878R | ICAO_A | 4 | 6 | Ubrza-nje_Po-stotak | Maksimum za penjanje | FLAP_0 | | | 250 | 50 |
| 7878R | ICAO_A | 4 | 7 | Penjanje | Maksimum za penjanje | FLAP_0 | 10 000 | | | |
| 7878R | ICAO_A | 5 | 1 | Uzlijeta-nje | Maksimum za uzlijetanje | FLAP_5 | | | | |
| 7878R | ICAO_A | 5 | 2 | Penjanje | Maksimum za uzlijetanje | FLAP_5 | 1 500 | | | |
| 7878R | ICAO_A | 5 | 3 | Penjanje | Maksimum za penjanje | FLAP_5 | 3 000 | | | |
| 7878R | ICAO_A | 5 | 4 | Ubrza-nje_Po-stotak | Maksimum za penjanje | FLAP_5 | | | 224 | 55 |
| 7878R | ICAO_A | 5 | 5 | Penjanje | Maksimum za penjanje | FLAP_1 | 4 200 | | | |
| 7878R | ICAO_A | 5 | 6 | Ubrza-nje_Po-stotak | Maksimum za penjanje | FLAP_0 | | | 250 | 50 |
| 7878R | ICAO_A | 5 | 7 | Penjanje | Maksimum za penjanje | FLAP_0 | 10 000 | | | |
| 7878R | ICAO_A | 6 | 1 | Uzlijeta-nje | Maksimum za uzlijetanje | FLAP_5 | | | | |
| 7878R | ICAO_A | 6 | 2 | Penjanje | Maksimum za uzlijetanje | FLAP_5 | 1 500 | | | |

▼M2

| ACFTID | Oznaka profila (Profile_ID) | Dulji-na faze | Broj koraka | Tip koraka | Režim rada motora | Zakrilca (Flap_ID) | Visina krajnje točke (ft) | Stopa penjanja (ft/min) | Kalibri-rana brzina leta u krajnjoj točki (kt) | Postot-ak ubrzan-ja (Acce-lera-te_Per-cent) (%) |
|---|---|---|---|---|---|---|---|---|---|---|
| 7878R | ICAO_A | 6 | 3 | Penjanje | Maksimum za penjanje | FLAP_5 | 3 000 | | | |
| 7878R | ICAO_A | 6 | 4 | Ubrza-nje_Po-stotak | Maksimum za penjanje | FLAP_5 | | | 226 | 55 |
| 7878R | ICAO_A | 6 | 5 | Penjanje | Maksimum za penjanje | FLAP_1 | 4 100 | | | |
| 7878R | ICAO_A | 6 | 6 | Ubrza-nje_Po-stotak | Maksimum za penjanje | FLAP_0 | | | 250 | 50 |
| 7878R | ICAO_A | 6 | 7 | Penjanje | Maksimum za penjanje | FLAP_0 | 10 000 | | | |
| 7878R | ICAO_A | 7 | 1 | Uzlijeta-nje | Maksimum za uzlijetanje | FLAP_5 | | | | |
| 7878R | ICAO_A | 7 | 2 | Penjanje | Maksimum za uzlijetanje | FLAP_5 | 1 500 | | | |
| 7878R | ICAO_A | 7 | 3 | Penjanje | Maksimum za penjanje | FLAP_5 | 3 000 | | | |
| 7878R | ICAO_A | 7 | 4 | Ubrza-nje_Po-stotak | Maksimum za penjanje | FLAP_5 | | | 232 | 55 |
| 7878R | ICAO_A | 7 | 5 | Penjanje | Maksimum za penjanje | FLAP_1 | 4 000 | | | |
| 7878R | ICAO_A | 7 | 6 | Ubrza-nje_Po-stotak | Maksimum za penjanje | FLAP_0 | | | 250 | 50 |
| 7878R | ICAO_A | 7 | 7 | Penjanje | Maksimum za penjanje | FLAP_0 | 10 000 | | | |
| 7878R | ICAO_A | 8 | 1 | Uzlijeta-nje | Maksimum za uzlijetanje | FLAP_5 | | | | |

▼M2

| ACFTID | Oznaka profila (Profile_ID) | Dulji-na faze | Broj koraka | Tip koraka | Režim rada motora | Zakrilca (Flap_ID) | Visina krajnje točke (ft) | Stopa penjanja (ft/min) | Kalibri-rana brzina leta u krajnjoj točki (kt) | Postot-ak ubrzan-ja (Acce-lera-te_Per-cent) (%) |
|---|---|---|---|---|---|---|---|---|---|---|
| 7878R | ICAO_A | 8 | 2 | Penjanje | Maksimum za uzlijetanje | FLAP_5 | 1 500 | | | |
| 7878R | ICAO_A | 8 | 3 | Penjanje | Maksimum za penjanje | FLAP_5 | 3 000 | | | |
| 7878R | ICAO_A | 8 | 4 | Ubrza-nje_Po-stotak | Maksimum za penjanje | FLAP_5 | | | 232 | 55 |
| 7878R | ICAO_A | 8 | 5 | Penjanje | Maksimum za penjanje | FLAP_1 | 4 000 | | | |
| 7878R | ICAO_A | 8 | 6 | Ubrza-nje_Po-stotak | Maksimum za penjanje | FLAP_0 | | | 250 | 50 |
| 7878R | ICAO_A | 8 | 7 | Penjanje | Maksimum za penjanje | FLAP_0 | 10 000 | | | |
| 7878R | ICAO_A | 9 | 1 | Uzlijeta-nje | Maksimum za uzlijetanje | FLAP_5 | | | | |
| 7878R | ICAO_A | 9 | 2 | Penjanje | Maksimum za uzlijetanje | FLAP_5 | 1 500 | | | |
| 7878R | ICAO_A | 9 | 3 | Penjanje | Maksimum za penjanje | FLAP_5 | 3 000 | | | |
| 7878R | ICAO_A | 9 | 4 | Ubrza-nje_Po-stotak | Maksimum za penjanje | FLAP_5 | | | 235 | 55 |
| 7878R | ICAO_A | 9 | 5 | Penjanje | Maksimum za penjanje | FLAP_1 | 4 000 | | | |
| 7878R | ICAO_A | 9 | 6 | Ubrza-nje_Po-stotak | Maksimum za penjanje | FLAP_0 | | | 250 | 50 |
| 7878R | ICAO_A | 9 | 7 | Penjanje | Maksimum za penjanje | FLAP_0 | 10 000 | | | |

▼**M2**

| ACFTID | Oznaka profila (Profile_ID) | Dulji-na faze | Broj koraka | Tip koraka | Režim rada motora | Zakrilca (Flap_ID) | Visina krajnje točke (ft) | Stopa penjanja (ft/min) | Kalibri-rana brzina leta u krajnjoj točki (kt) | Postot-ak ubrzan-ja (Acce-lera-te_Per-cent) (%) |
|---|---|---|---|---|---|---|---|---|---|---|
| 7878R | ICAO_B | 1 | 1 | Uzlijeta-nje | Maksimum za uzlijetanje | FLAP_5 | | | | |
| 7878R | ICAO_B | 1 | 2 | Penjanje | Maksimum za uzlijetanje | FLAP_5 | 1 000 | | | |
| 7878R | ICAO_B | 1 | 3 | Ubrza-nje_Po-stotak | Maksimum za uzlijetanje | FLAP_5 | | | 220 | 55 |
| 7878R | ICAO_B | 1 | 4 | Penjanje | Maksimum za uzlijetanje | FLAP_1 | 2 700 | | | |
| 7878R | ICAO_B | 1 | 5 | Penjanje | Maksimum za penjanje | FLAP_0 | 3 000 | | | |
| 7878R | ICAO_B | 1 | 6 | Ubrza-nje_Po-stotak | Maksimum za penjanje | FLAP_0 | | | 250 | 50 |
| 7878R | ICAO_B | 1 | 7 | Penjanje | Maksimum za penjanje | FLAP_0 | 10 000 | | | |
| 7878R | ICAO_B | 2 | 1 | Uzlijeta-nje | Maksimum za uzlijetanje | FLAP_5 | | | | |
| 7878R | ICAO_B | 2 | 2 | Penjanje | Maksimum za uzlijetanje | FLAP_5 | 1 000 | | | |
| 7878R | ICAO_B | 2 | 3 | Ubrza-nje_Po-stotak | Maksimum za uzlijetanje | FLAP_5 | | | 220 | 55 |
| 7878R | ICAO_B | 2 | 4 | Penjanje | Maksimum za uzlijetanje | FLAP_1 | 2 700 | | | |
| 7878R | ICAO_B | 2 | 5 | Penjanje | Maksimum za penjanje | FLAP_0 | 3 000 | | | |
| 7878R | ICAO_B | 2 | 6 | Ubrza-nje_Po-stotak | Maksimum za penjanje | FLAP_0 | | | 250 | 50 |
| 7878R | ICAO_B | 2 | 7 | Penjanje | Maksimum za penjanje | FLAP_0 | 10 000 | | | |

▼**M2**

| ACFTID | Oznaka profila (Profile_ID) | Dulji-na faze | Broj koraka | Tip koraka | Režim rada motora | Zakrilca (Flap_ID) | Visina krajnje točke (ft) | Stopa penjanja (ft/min) | Kalibri-rana brzina leta u krajnjoj točki (kt) | Postot-ak ubrzan-ja (Acce-lera-te_Per-cent) (%) |
|---|---|---|---|---|---|---|---|---|---|---|
| 7878R | ICAO_B | 3 | 1 | Uzlijeta-nje | Maksimum za uzlijetanje | FLAP_5 | | | | |
| 7878R | ICAO_B | 3 | 2 | Penjanje | Maksimum za uzlijetanje | FLAP_5 | 1 000 | | | |
| 7878R | ICAO_B | 3 | 3 | Ubrza-nje_Po-stotak | Maksimum za uzlijetanje | FLAP_5 | | | 220 | 55 |
| 7878R | ICAO_B | 3 | 4 | Penjanje | Maksimum za uzlijetanje | FLAP_1 | 2 700 | | | |
| 7878R | ICAO_B | 3 | 5 | Penjanje | Maksimum za penjanje | FLAP_0 | 3 000 | | | |
| 7878R | ICAO_B | 3 | 6 | Ubrza-nje_Po-stotak | Maksimum za penjanje | FLAP_0 | | | 250 | 50 |
| 7878R | ICAO_B | 3 | 7 | Penjanje | Maksimum za penjanje | FLAP_0 | 10 000 | | | |
| 7878R | ICAO_B | 4 | 1 | Uzlijeta-nje | Maksimum za uzlijetanje | FLAP_5 | | | | |
| 7878R | ICAO_B | 4 | 2 | Penjanje | Maksimum za uzlijetanje | FLAP_5 | 1 000 | | | |
| 7878R | ICAO_B | 4 | 3 | Ubrza-nje_Po-stotak | Maksimum za uzlijetanje | FLAP_5 | | | 225 | 55 |
| 7878R | ICAO_B | 4 | 4 | Penjanje | Maksimum za uzlijetanje | FLAP_1 | 2 600 | | | |
| 7878R | ICAO_B | 4 | 5 | Penjanje | Maksimum za penjanje | FLAP_0 | 3 000 | | | |
| 7878R | ICAO_B | 4 | 6 | Ubrza-nje_Po-stotak | Maksimum za penjanje | FLAP_0 | | | 250 | 50 |
| 7878R | ICAO_B | 4 | 7 | Penjanje | Maksimum za penjanje | FLAP_0 | 10 000 | | | |

▼**M2**

| ACFTID | Oznaka profila (Profile_ID) | Dulji-na faze | Broj koraka | Tip koraka | Režim rada motora | Zakrilca (Flap_ID) | Visina krajnje točke (ft) | Stopa penjanja (ft/min) | Kalibri-rana brzina leta u krajnjoj točki (kt) | Postot-ak ubrzan-ja (Acce-lera-te_Per-cent) (%) |
|---|---|---|---|---|---|---|---|---|---|---|
| 7878R | ICAO_B | 5 | 1 | Uzlijeta-nje | Maksimum za uzlijetanje | FLAP_5 | | | | |
| 7878R | ICAO_B | 5 | 2 | Penjanje | Maksimum za uzlijetanje | FLAP_5 | 1 000 | | | |
| 7878R | ICAO_B | 5 | 3 | Ubrza-nje_Po-stotak | Maksimum za uzlijetanje | FLAP_5 | | | 230 | 55 |
| 7878R | ICAO_B | 5 | 4 | Penjanje | Maksimum za uzlijetanje | FLAP_1 | 2 500 | | | |
| 7878R | ICAO_B | 5 | 5 | Penjanje | Maksimum za penjanje | FLAP_0 | 3 000 | | | |
| 7878R | ICAO_B | 5 | 6 | Ubrza-nje_Po-stotak | Maksimum za penjanje | FLAP_0 | | | 250 | 50 |
| 7878R | ICAO_B | 5 | 7 | Penjanje | Maksimum za penjanje | FLAP_0 | 10 000 | | | |
| 7878R | ICAO_B | 6 | 1 | Uzlijeta-nje | Maksimum za uzlijetanje | FLAP_5 | | | | |
| 7878R | ICAO_B | 6 | 2 | Penjanje | Maksimum za uzlijetanje | FLAP_5 | 1 000 | | | |
| 7878R | ICAO_B | 6 | 3 | Ubrza-nje_Po-stotak | Maksimum za uzlijetanje | FLAP_5 | | | 230 | 55 |
| 7878R | ICAO_B | 6 | 4 | Penjanje | Maksimum za uzlijetanje | FLAP_1 | 2 400 | | | |
| 7878R | ICAO_B | 6 | 5 | Penjanje | Maksimum za penjanje | FLAP_0 | 3 000 | | | |
| 7878R | ICAO_B | 6 | 6 | Ubrza-nje_Po-stotak | Maksimum za penjanje | FLAP_0 | | | 250 | 50 |
| 7878R | ICAO_B | 6 | 7 | Penjanje | Maksimum za penjanje | FLAP_0 | 10 000 | | | |

▼M2

| ACFTID | Oznaka profila (Profile_ID) | Dulji-na faze | Broj koraka | Tip koraka | Režim rada motora | Zakrilca (Flap_ID) | Visina krajnje točke (ft) | Stopa penjanja (ft/min) | Kalibri-rana brzina leta u krajnjoj točki (kt) | Postot-ak ubrzan-ja (Acce-lera-te_Per-cent) (%) |
|---|---|---|---|---|---|---|---|---|---|---|
| 7878R | ICAO_B | 7 | 1 | Uzlijeta-nje | Maksimum za uzlijetanje | FLAP_5 | | | | |
| 7878R | ICAO_B | 7 | 2 | Penjanje | Maksimum za uzlijetanje | FLAP_5 | 1 000 | | | |
| 7878R | ICAO_B | 7 | 3 | Ubrza-nje_Po-stotak | Maksimum za uzlijetanje | FLAP_5 | | | 235 | 55 |
| 7878R | ICAO_B | 7 | 4 | Penjanje | Maksimum za uzlijetanje | FLAP_1 | 2 200 | | | |
| 7878R | ICAO_B | 7 | 5 | Penjanje | Maksimum za penjanje | FLAP_0 | 3 000 | | | |
| 7878R | ICAO_B | 7 | 6 | Ubrza-nje_Po-stotak | Maksimum za penjanje | FLAP_0 | | | 250 | 50 |
| 7878R | ICAO_B | 7 | 7 | Penjanje | Maksimum za penjanje | FLAP_0 | 10 000 | | | |
| 7878R | ICAO_B | 8 | 1 | Uzlijeta-nje | Maksimum za uzlijetanje | FLAP_5 | | | | |
| 7878R | ICAO_B | 8 | 2 | Penjanje | Maksimum za uzlijetanje | FLAP_5 | 1 000 | | | |
| 7878R | ICAO_B | 8 | 3 | Ubrza-nje_Po-stotak | Maksimum za uzlijetanje | FLAP_5 | | | 240 | 55 |
| 7878R | ICAO_B | 8 | 4 | Penjanje | Maksimum za uzlijetanje | FLAP_1 | 2 100 | | | |
| 7878R | ICAO_B | 8 | 5 | Penjanje | Maksimum za penjanje | FLAP_0 | 3 000 | | | |
| 7878R | ICAO_B | 8 | 6 | Ubrza-nje_Po-stotak | Maksimum za penjanje | FLAP_0 | | | 250 | 50 |
| 7878R | ICAO_B | 8 | 7 | Penjanje | Maksimum za penjanje | FLAP_0 | 10 000 | | | |

▼M2

| ACFTID | Oznaka profila (Profile_ID) | Dulji-na faze | Broj koraka | Tip koraka | Režim rada motora | Zakrilca (Flap_ID) | Visina krajnje točke (ft) | Stopa penjanja (ft/min) | Kalibri-rana brzina leta u krajnjoj točki (kt) | Postot-ak ubrzan-ja (Acce-lera-te_Per-cent) (%) |
|---|---|---|---|---|---|---|---|---|---|---|
| 7878R | ICAO_B | 9 | 1 | Uzlijeta-nje | Maksimum za uzlijetanje | FLAP_5 | | | | |
| 7878R | ICAO_B | 9 | 2 | Penjanje | Maksimum za uzlijetanje | FLAP_5 | 1 000 | | | |
| 7878R | ICAO_B | 9 | 3 | Ubrza-nje_Po-stotak | Maksimum za uzlijetanje | FLAP_5 | | | 245 | 55 |
| 7878R | ICAO_B | 9 | 4 | Penjanje | Maksimum za uzlijetanje | FLAP_1 | 2 100 | | | |
| 7878R | ICAO_B | 9 | 5 | Penjanje | Maksimum za penjanje | FLAP_0 | 3 000 | | | |
| 7878R | ICAO_B | 9 | 6 | Ubrza-nje_Po-stotak | Maksimum za penjanje | FLAP_0 | | | 250 | 50 |
| 7878R | ICAO_B | 9 | 7 | Penjanje | Maksimum za penjanje | FLAP_0 | 10 000 | | | |
| A300-622R | DEFAULT | 1 | 1 | Uzlijeta-nje | Maksimum za uzlijetanje | 1500 | | | | |
| A300-622R | DEFAULT | 1 | 2 | Penjanje | Maksimum za uzlijetanje | 1500 | 1 000 | | | |
| A300-622R | DEFAULT | 1 | 3 | Ubrzanje | Maksimum za uzlijetanje | 1500 | | 1 419,5 | 185,3 | |
| A300-622R | DEFAULT | 1 | 4 | Penjanje | Maksimum za penjanje | 0 | 3 000 | | | |
| A300-622R | DEFAULT | 1 | 5 | Ubrzanje | Maksimum za penjanje | 0 | | 1 275 | 250 | |
| A300-622R | DEFAULT | 1 | 6 | Penjanje | Maksimum za penjanje | 0 | 5 500 | | | |
| A300-622R | DEFAULT | 1 | 7 | Penjanje | Maksimum za penjanje | 0 | 7 500 | | | |

▼**M2**

| ACFTID | Oznaka profila (Profile_ID) | Dulji-na faze | Broj koraka | Tip koraka | Režim rada motora | Zakrilca (Flap_ID) | Visina krajnje točke (ft) | Stopa penjanja (ft/min) | Kalibri-rana brzina leta u krajnjoj točki (kt) | Postot-ak ubrzan-ja (Acce-lera-te_Per-cent) (%) |
|---|---|---|---|---|---|---|---|---|---|---|
| A300-622R | DEFAULT | 1 | 8 | Penjanje | Maksimum za penjanje | 0 | 10 000 | | | |
| A300-622R | DEFAULT | 2 | 1 | Uzlijeta-nje | Maksimum za uzlijetanje | 1500 | | | | |
| A300-622R | DEFAULT | 2 | 2 | Penjanje | Maksimum za uzlijetanje | 1500 | 1 000 | | | |
| A300-622R | DEFAULT | 2 | 3 | Ubrzanje | Maksimum za uzlijetanje | 1500 | | 1 361,3 | 189,3 | |
| A300-622R | DEFAULT | 2 | 4 | Penjanje | Maksimum za penjanje | 0 | 3 000 | | | |
| A300-622R | DEFAULT | 2 | 5 | Ubrzanje | Maksimum za penjanje | 0 | | 1 216,8 | 250 | |
| A300-622R | DEFAULT | 2 | 6 | Penjanje | Maksimum za penjanje | 0 | 5 500 | | | |
| A300-622R | DEFAULT | 2 | 7 | Penjanje | Maksimum za penjanje | 0 | 7 500 | | | |
| A300-622R | DEFAULT | 2 | 8 | Penjanje | Maksimum za penjanje | 0 | 10 000 | | | |
| A300-622R | DEFAULT | 3 | 1 | Uzlijeta-nje | Maksimum za uzlijetanje | 1500 | | | | |
| A300-622R | DEFAULT | 3 | 2 | Penjanje | Maksimum za uzlijetanje | 1500 | 1 000 | | | |
| A300-622R | DEFAULT | 3 | 3 | Ubrzanje | Maksimum za uzlijetanje | 1500 | | 1 303,7 | 193,2 | |
| A300-622R | DEFAULT | 3 | 4 | Penjanje | Maksimum za penjanje | 0 | 3 000 | | | |
| A300-622R | DEFAULT | 3 | 5 | Ubrzanje | Maksimum za penjanje | 0 | | 1 159,4 | 250 | |

▼**M2**

| ACFTID | Oznaka profila (Profile_ID) | Dulji-na faze | Broj koraka | Tip koraka | Režim rada motora | Zakrilca (Flap_ID) | Visina krajnje točke (ft) | Stopa penjanja (ft/min) | Kalibri-rana brzina leta u krajnjoj točki (kt) | Postot-ak ubrzan-ja (Acce-lera-te_Per-cent) (%) |
|---|---|---|---|---|---|---|---|---|---|---|
| A300-622R | DEFAULT | 3 | 6 | Penjanje | Maksimum za penjanje | 0 | 5 500 | | | |
| A300-622R | DEFAULT | 3 | 7 | Penjanje | Maksimum za penjanje | 0 | 7 500 | | | |
| A300-622R | DEFAULT | 3 | 8 | Penjanje | Maksimum za penjanje | 0 | 10 000 | | | |
| A300-622R | DEFAULT | 4 | 1 | Uzlijeta-nje | Maksimum za uzlijetanje | 1500 | | | | |
| A300-622R | DEFAULT | 4 | 2 | Penjanje | Maksimum za uzlijetanje | 1500 | 1 000 | | | |
| A300-622R | DEFAULT | 4 | 3 | Ubrzanje | Maksimum za uzlijetanje | 1500 | | 1 210,4 | 200,1 | |
| A300-622R | DEFAULT | 4 | 4 | Penjanje | Maksimum za penjanje | 0 | 3 000 | | | |
| A300-622R | DEFAULT | 4 | 5 | Ubrzanje | Maksimum za penjanje | 0 | | 1 065,5 | 250 | |
| A300-622R | DEFAULT | 4 | 6 | Penjanje | Maksimum za penjanje | 0 | 5 500 | | | |
| A300-622R | DEFAULT | 4 | 7 | Penjanje | Maksimum za penjanje | 0 | 7 500 | | | |
| A300-622R | DEFAULT | 4 | 8 | Penjanje | Maksimum za penjanje | 0 | 10 000 | | | |
| A300-622R | DEFAULT | 5 | 1 | Uzlijeta-nje | Maksimum za uzlijetanje | 1500 | | | | |
| A300-622R | DEFAULT | 5 | 2 | Penjanje | Maksimum za uzlijetanje | 1500 | 1 000 | | | |

▼**M2**

| ACFTID | Oznaka profila (Profile_ID) | Dulji-na faze | Broj koraka | Tip koraka | Režim rada motora | Zakrilca (Flap_ID) | Visina krajnje točke (ft) | Stopa penjanja (ft/min) | Kalibri-rana brzina leta u krajnjoj točki (kt) | Postot-ak ubrzan-ja (Acce-lera-te_Per-cent) (%) |
|---|---|---|---|---|---|---|---|---|---|---|
| A300-622R | DEFAULT | 5 | 3 | Ubrzanje | Maksimum za uzlijetanje | 1500 | | 1 099,6 | 209,1 | |
| A300-622R | DEFAULT | 5 | 4 | Penjanje | Maksimum za penjanje | 0 | 3 000 | | | |
| A300-622R | DEFAULT | 5 | 5 | Ubrzanje | Maksimum za penjanje | 0 | | 953,9 | 250 | |
| A300-622R | DEFAULT | 5 | 6 | Penjanje | Maksimum za penjanje | 0 | 5 500 | | | |
| A300-622R | DEFAULT | 5 | 7 | Penjanje | Maksimum za penjanje | 0 | 7 500 | | | |
| A300-622R | DEFAULT | 5 | 8 | Penjanje | Maksimum za penjanje | 0 | 10 000 | | | |
| A300-622R | DEFAULT | 6 | 1 | Uzlijeta-nje | Maksimum za uzlijetanje | 1500 | | | | |
| A300-622R | DEFAULT | 6 | 2 | Penjanje | Maksimum za uzlijetanje | 1500 | 1 000 | | | |
| A300-622R | DEFAULT | 6 | 3 | Ubrzanje | Maksimum za uzlijetanje | 1500 | | 1 015,3 | 216,4 | |
| A300-622R | DEFAULT | 6 | 4 | Penjanje | Maksimum za penjanje | 0 | 3 000 | | | |
| A300-622R | DEFAULT | 6 | 5 | Ubrzanje | Maksimum za penjanje | 0 | | 870,9 | 250 | |
| A300-622R | DEFAULT | 6 | 6 | Penjanje | Maksimum za penjanje | 0 | 5 500 | | | |
| A300-622R | DEFAULT | 6 | 7 | Penjanje | Maksimum za penjanje | 0 | 7 500 | | | |

▼**M2**

| ACFTID | Oznaka profila (Profile_ID) | Dulji-na faze | Broj koraka | Tip koraka | Režim rada motora | Zakrilca (Flap_ID) | Visina krajnje točke (ft) | Stopa penjanja (ft/min) | Kalibri-rana brzina leta u krajnjoj točki (kt) | Postot-ak ubrzan-ja (Acce-lera-te_Per-cent) (%) |
|---|---|---|---|---|---|---|---|---|---|---|
| A300-622R | DEFAULT | 6 | 8 | Penjanje | Maksimum za penjanje | 0 | 10 000 | | | |
| A300-622R | ICAO_A | 1 | 1 | Uzlijeta-nje | Maksimum za uzlijetanje | 1500 | | | | |
| A300-622R | ICAO_A | 1 | 2 | Penjanje | Maksimum za uzlijetanje | 1500 | 1 500 | | | |
| A300-622R | ICAO_A | 1 | 3 | Penjanje | Maksimum za penjanje | 1500 | 3 000 | | | |
| A300-622R | ICAO_A | 1 | 4 | Ubrzanje | Maksimum za penjanje | 1500 | | 979,6 | 185,2 | |
| A300-622R | ICAO_A | 1 | 5 | Ubrzanje | Maksimum za penjanje | 0 | | 1 107,6 | 204,5 | |
| A300-622R | ICAO_A | 1 | 6 | Ubrzanje | Maksimum za penjanje | 0 | | 1 303,7 | 250 | |
| A300-622R | ICAO_A | 1 | 7 | Penjanje | Maksimum za penjanje | 0 | 5 500 | | | |
| A300-622R | ICAO_A | 1 | 8 | Penjanje | Maksimum za penjanje | 0 | 7 500 | | | |
| A300-622R | ICAO_A | 1 | 9 | Penjanje | Maksimum za penjanje | 0 | 10 000 | | | |
| A300-622R | ICAO_A | 2 | 1 | Uzlijeta-nje | Maksimum za uzlijetanje | 1500 | | | | |
| A300-622R | ICAO_A | 2 | 2 | Penjanje | Maksimum za uzlijetanje | 1500 | 1 500 | | | |
| A300-622R | ICAO_A | 2 | 3 | Penjanje | Maksimum za penjanje | 1500 | 3 000 | | | |

▼**M2**

| ACFTID | Oznaka profila (Profile_ID) | Dulji-na faze | Broj koraka | Tip koraka | Režim rada motora | Zakrilca (Flap_ID) | Visina krajnje točke (ft) | Stopa penjanja (ft/min) | Kalibri-rana brzina leta u krajnjoj točki (kt) | Postot-ak ubrzan-ja (Acce-lera-te_Per-cent) (%) |
|---|---|---|---|---|---|---|---|---|---|---|
| A300-622R | ICAO_A | 2 | 4 | Ubrzanje | Maksimum za penjanje | 1500 | | 935 | 189,1 | |
| A300-622R | ICAO_A | 2 | 5 | Ubrzanje | Maksimum za penjanje | 0 | | 1 059,7 | 207,3 | |
| A300-622R | ICAO_A | 2 | 6 | Ubrzanje | Maksimum za penjanje | 0 | | 1 241,6 | 250 | |
| A300-622R | ICAO_A | 2 | 7 | Penjanje | Maksimum za penjanje | 0 | 5 500 | | | |
| A300-622R | ICAO_A | 2 | 8 | Penjanje | Maksimum za penjanje | 0 | 7 500 | | | |
| A300-622R | ICAO_A | 2 | 9 | Penjanje | Maksimum za penjanje | 0 | 10 000 | | | |
| A300-622R | ICAO_A | 3 | 1 | Uzlijeta-nje | Maksimum za uzlijetanje | 1500 | | | | |
| A300-622R | ICAO_A | 3 | 2 | Penjanje | Maksimum za uzlijetanje | 1500 | 1 500 | | | |
| A300-622R | ICAO_A | 3 | 3 | Penjanje | Maksimum za penjanje | 1500 | 3 000 | | | |
| A300-622R | ICAO_A | 3 | 4 | Ubrzanje | Maksimum za penjanje | 1500 | | 890,5 | 193,1 | |
| A300-622R | ICAO_A | 3 | 5 | Ubrzanje | Maksimum za penjanje | 0 | | 1 012,1 | 210,1 | |
| A300-622R | ICAO_A | 3 | 6 | Ubrzanje | Maksimum za penjanje | 0 | | 1 180,8 | 250 | |
| A300-622R | ICAO_A | 3 | 7 | Penjanje | Maksimum za penjanje | 0 | 5 500 | | | |

▼**M2**

| ACFTID | Oznaka profila (Profile_ID) | Dulji-na faze | Broj koraka | Tip koraka | Režim rada motora | Zakrilca (Flap_ID) | Visina krajnje točke (ft) | Stopa penjanja (ft/min) | Kalibri-rana brzina leta u krajnjoj točki (kt) | Postot-ak ubrzan-ja (Acce-lera-te_Per-cent) (%) |
|---|---|---|---|---|---|---|---|---|---|---|
| A300-622R | ICAO_A | 3 | 8 | Penjanje | Maksimum za penjanje | 0 | 7 500 | | | |
| A300-622R | ICAO_A | 3 | 9 | Penjanje | Maksimum za penjanje | 0 | 10 000 | | | |
| A300-622R | ICAO_A | 4 | 1 | Uzlijeta-nje | Maksimum za uzlijetanje | 1500 | | | | |
| A300-622R | ICAO_A | 4 | 2 | Penjanje | Maksimum za uzlijetanje | 1500 | 1 500 | | | |
| A300-622R | ICAO_A | 4 | 3 | Penjanje | Maksimum za penjanje | 1500 | 3 000 | | | |
| A300-622R | ICAO_A | 4 | 4 | Ubrzanje | Maksimum za penjanje | 1500 | | 817,4 | 200 | |
| A300-622R | ICAO_A | 4 | 5 | Ubrzanje | Maksimum za penjanje | 0 | | 933,4 | 215,2 | |
| A300-622R | ICAO_A | 4 | 6 | Ubrzanje | Maksimum za penjanje | 0 | | 1 081,4 | 250 | |
| A300-622R | ICAO_A | 4 | 7 | Penjanje | Maksimum za penjanje | 0 | 5 500 | | | |
| A300-622R | ICAO_A | 4 | 8 | Penjanje | Maksimum za penjanje | 0 | 7 500 | | | |
| A300-622R | ICAO_A | 4 | 9 | Penjanje | Maksimum za penjanje | 0 | 10 000 | | | |
| A300-622R | ICAO_A | 5 | 1 | Uzlijeta-nje | Maksimum za uzlijetanje | 1500 | | | | |
| A300-622R | ICAO_A | 5 | 2 | Penjanje | Maksimum za uzlijetanje | 1500 | 1 500 | | | |

▼**M2**

| ACFTID | Oznaka profila (Profile_ID) | Dulji-na faze | Broj koraka | Tip koraka | Režim rada motora | Zakrilca (Flap_ID) | Visina krajnje točke (ft) | Stopa penjanja (ft/min) | Kalibri-rana brzina leta u krajnjoj točki (kt) | Postot-ak ubrzan-ja (Acce-lera-te_Per-cent) (%) |
|---|---|---|---|---|---|---|---|---|---|---|
| A300-622R | ICAO_A | 5 | 3 | Penjanje | Maksimum za penjanje | 1500 | 3 000 | | | |
| A300-622R | ICAO_A | 5 | 4 | Ubrzanje | Maksimum za penjanje | 1500 | | 729 | 208,9 | |
| A300-622R | ICAO_A | 5 | 5 | Ubrzanje | Maksimum za penjanje | 0 | | 839,1 | 222,1 | |
| A300-622R | ICAO_A | 5 | 6 | Ubrzanje | Maksimum za penjanje | 0 | | 963,8 | 250 | |
| A300-622R | ICAO_A | 5 | 7 | Penjanje | Maksimum za penjanje | 0 | 5 500 | | | |
| A300-622R | ICAO_A | 5 | 8 | Penjanje | Maksimum za penjanje | 0 | 7 500 | | | |
| A300-622R | ICAO_A | 5 | 9 | Penjanje | Maksimum za penjanje | 0 | 10 000 | | | |
| A300-622R | ICAO_A | 6 | 1 | Uzlijeta-nje | Maksimum za uzlijetanje | 1500 | | | | |
| A300-622R | ICAO_A | 6 | 2 | Penjanje | Maksimum za uzlijetanje | 1500 | 1 500 | | | |
| A300-622R | ICAO_A | 6 | 3 | Penjanje | Maksimum za penjanje | 1500 | 3 000 | | | |
| A300-622R | ICAO_A | 6 | 4 | Ubrzanje | Maksimum za penjanje | 1500 | | 660,6 | 216,3 | |
| A300-622R | ICAO_A | 6 | 5 | Ubrzanje | Maksimum za penjanje | 0 | | 765,7 | 227,9 | |
| A300-622R | ICAO_A | 6 | 6 | Ubrzanje | Maksimum za penjanje | 0 | | 876,5 | 250 | |

▼M2

| ACFTID | Oznaka profila (Profile_ID) | Dulji-na faze | Broj koraka | Tip koraka | Režim rada motora | Zakrilca (Flap_ID) | Visina krajnje točke (ft) | Stopa penjanja (ft/min) | Kalibri-rana brzina leta u krajnjoj točki (kt) | Postot-ak ubrzan-ja (Acce-lera-te_Per-cent) (%) |
|---|---|---|---|---|---|---|---|---|---|---|
| A300-622R | ICAO_A | 6 | 7 | Penjanje | Maksimum za penjanje | 0 | 5 500 | | | |
| A300-622R | ICAO_A | 6 | 8 | Penjanje | Maksimum za penjanje | 0 | 7 500 | | | |
| A300-622R | ICAO_A | 6 | 9 | Penjanje | Maksimum za penjanje | 0 | 10 000 | | | |
| A300-622R | ICAO_B | 1 | 1 | Uzlijeta-nje | Maksimum za uzlijetanje | 1500 | | | | |
| A300-622R | ICAO_B | 1 | 2 | Penjanje | Maksimum za uzlijetanje | 1500 | 1 000 | | | |
| A300-622R | ICAO_B | 1 | 3 | Ubrzanje | Maksimum za uzlijetanje | 1500 | | 1 419,5 | 185,3 | |
| A300-622R | ICAO_B | 1 | 4 | Penjanje | Maksimum za penjanje | 0 | 3 000 | | | |
| A300-622R | ICAO_B | 1 | 5 | Ubrzanje | Maksimum za penjanje | 0 | | 1 275 | 250 | |
| A300-622R | ICAO_B | 1 | 6 | Penjanje | Maksimum za penjanje | 0 | 5 500 | | | |
| A300-622R | ICAO_B | 1 | 7 | Penjanje | Maksimum za penjanje | 0 | 7 500 | | | |
| A300-622R | ICAO_B | 1 | 8 | Penjanje | Maksimum za penjanje | 0 | 10 000 | | | |
| A300-622R | ICAO_B | 2 | 1 | Uzlijeta-nje | Maksimum za uzlijetanje | 1500 | | | | |

▼**M2**

| ACFTID | Oznaka profila (Profile_ID) | Dulji-na faze | Broj koraka | Tip koraka | Režim rada motora | Zakrilca (Flap_ID) | Visina krajnje točke (ft) | Stopa penjanja (ft/min) | Kalibri-rana brzina leta u krajnjoj točki (kt) | Postot-ak ubrzan-ja (Acce-lera-te_Per-cent) (%) |
|---|---|---|---|---|---|---|---|---|---|---|
| A300-622R | ICAO_B | 2 | 2 | Penjanje | Maksimum za uzlijetanje | 1500 | 1 000 | | | |
| A300-622R | ICAO_B | 2 | 3 | Ubrzanje | Maksimum za uzlijetanje | 1500 | | 1 361,3 | 189,3 | |
| A300-622R | ICAO_B | 2 | 4 | Penjanje | Maksimum za penjanje | 0 | 3 000 | | | |
| A300-622R | ICAO_B | 2 | 5 | Ubrzanje | Maksimum za penjanje | 0 | | 1 216,8 | 250 | |
| A300-622R | ICAO_B | 2 | 6 | Penjanje | Maksimum za penjanje | 0 | 5 500 | | | |
| A300-622R | ICAO_B | 2 | 7 | Penjanje | Maksimum za penjanje | 0 | 7 500 | | | |
| A300-622R | ICAO_B | 2 | 8 | Penjanje | Maksimum za penjanje | 0 | 10 000 | | | |
| A300-622R | ICAO_B | 3 | 1 | Uzlijeta-nje | Maksimum za uzlijetanje | 1500 | | | | |
| A300-622R | ICAO_B | 3 | 2 | Penjanje | Maksimum za uzlijetanje | 1500 | 1 000 | | | |
| A300-622R | ICAO_B | 3 | 3 | Ubrzanje | Maksimum za uzlijetanje | 1500 | | 1 303,7 | 193,2 | |
| A300-622R | ICAO_B | 3 | 4 | Penjanje | Maksimum za penjanje | 0 | 3 000 | | | |
| A300-622R | ICAO_B | 3 | 5 | Ubrzanje | Maksimum za penjanje | 0 | | 1 159,4 | 250 | |
| A300-622R | ICAO_B | 3 | 6 | Penjanje | Maksimum za penjanje | 0 | 5 500 | | | |

▼**M2**

| ACFTID | Oznaka profila (Profile_ID) | Dulji-na faze | Broj koraka | Tip koraka | Režim rada motora | Zakrilca (Flap_ID) | Visina krajnje točke (ft) | Stopa penjanja (ft/min) | Kalibri-rana brzina leta u krajnjoj točki (kt) | Postot-ak ubrzan-ja (Acce-lera-te_Per-cent) (%) |
|---|---|---|---|---|---|---|---|---|---|---|
| A300-622R | ICAO_B | 3 | 7 | Penjanje | Maksimum za penjanje | 0 | 7 500 | | | |
| A300-622R | ICAO_B | 3 | 8 | Penjanje | Maksimum za penjanje | 0 | 10 000 | | | |
| A300-622R | ICAO_B | 4 | 1 | Uzlijeta-nje | Maksimum za uzlijetanje | 1500 | | | | |
| A300-622R | ICAO_B | 4 | 2 | Penjanje | Maksimum za uzlijetanje | 1500 | 1 000 | | | |
| A300-622R | ICAO_B | 4 | 3 | Ubrzanje | Maksimum za uzlijetanje | 1500 | | 1 210,4 | 200,1 | |
| A300-622R | ICAO_B | 4 | 4 | Penjanje | Maksimum za penjanje | 0 | 3 000 | | | |
| A300-622R | ICAO_B | 4 | 5 | Ubrzanje | Maksimum za penjanje | 0 | | 1 065,5 | 250 | |
| A300-622R | ICAO_B | 4 | 6 | Penjanje | Maksimum za penjanje | 0 | 5 500 | | | |
| A300-622R | ICAO_B | 4 | 7 | Penjanje | Maksimum za penjanje | 0 | 7 500 | | | |
| A300-622R | ICAO_B | 4 | 8 | Penjanje | Maksimum za penjanje | 0 | 10 000 | | | |
| A300-622R | ICAO_B | 5 | 1 | Uzlijeta-nje | Maksimum za uzlijetanje | 1500 | | | | |
| A300-622R | ICAO_B | 5 | 2 | Penjanje | Maksimum za uzlijetanje | 1500 | 1 000 | | | |
| A300-622R | ICAO_B | 5 | 3 | Ubrzanje | Maksimum za uzlijetanje | 1500 | | 1 099,6 | 209,1 | |
| A300-622R | ICAO_B | 5 | 4 | Penjanje | Maksimum za penjanje | 0 | 3 000 | | | |

▼**M2**

| ACFTID | Oznaka profila (Profile_ID) | Dulji-na faze | Broj koraka | Tip koraka | Režim rada motora | Zakrilca (Flap_ID) | Visina krajnje točke (ft) | Stopa penjanja (ft/min) | Kalibri-rana brzina leta u krajnjoj točki (kt) | Postot-ak ubrzan-ja (Acce-lera-te_Per-cent) (%) |
|---|---|---|---|---|---|---|---|---|---|---|
| A300-622R | ICAO_B | 5 | 5 | Ubrzanje | Maksimum za penjanje | 0 | | 953,9 | 250 | |
| A300-622R | ICAO_B | 5 | 6 | Penjanje | Maksimum za penjanje | 0 | 5 500 | | | |
| A300-622R | ICAO_B | 5 | 7 | Penjanje | Maksimum za penjanje | 0 | 7 500 | | | |
| A300-622R | ICAO_B | 5 | 8 | Penjanje | Maksimum za penjanje | 0 | 10 000 | | | |
| A300-622R | ICAO_B | 6 | 1 | Uzlijeta-nje | Maksimum za uzlijetanje | 1500 | | | | |
| A300-622R | ICAO_B | 6 | 2 | Penjanje | Maksimum za uzlijetanje | 1500 | 1 000 | | | |
| A300-622R | ICAO_B | 6 | 3 | Ubrzanje | Maksimum za uzlijetanje | 1500 | | 1 015,3 | 216,4 | |
| A300-622R | ICAO_B | 6 | 4 | Penjanje | Maksimum za penjanje | 0 | 3 000 | | | |
| A300-622R | ICAO_B | 6 | 5 | Ubrzanje | Maksimum za penjanje | 0 | | 870,9 | 250 | |
| A300-622R | ICAO_B | 6 | 6 | Penjanje | Maksimum za penjanje | 0 | 5 500 | | | |
| A300-622R | ICAO_B | 6 | 7 | Penjanje | Maksimum za penjanje | 0 | 7 500 | | | |
| A300-622R | ICAO_B | 6 | 8 | Penjanje | Maksimum za penjanje | 0 | 10 000 | | | |
| A300B4-203 | DEFAULT | 1 | 1 | Uzlijeta-nje | Maksimum za uzlijetanje | 8 | | | | |
| A300B4-203 | DEFAULT | 1 | 2 | Penjanje | Maksimum za uzlijetanje | 8 | 1 000 | | | |

▼**M2**

| ACFTID | Oznaka profila (Profile_ID) | Dulji-na faze | Broj koraka | Tip koraka | Režim rada motora | Zakrilca (Flap_ID) | Visina krajnje točke (ft) | Stopa penjanja (ft/min) | Kalibri-rana brzina leta u krajnjoj točki (kt) | Postot-ak ubrzan-ja (Acce-lera-te_Per-cent) (%) |
|---|---|---|---|---|---|---|---|---|---|---|
| A300B4-203 | DEFAULT | 1 | 3 | Ubrzanje | Maksimum za uzlijetanje | 8 | | 2 440 | 169 | |
| A300B4-203 | DEFAULT | 1 | 4 | Ubrzanje | Maksimum za uzlijetanje | 1 | | 1 830 | 189 | |
| A300B4-203 | DEFAULT | 1 | 5 | Ubrzanje | Maksimum za penjanje | ZERO | | 1 000 | 209 | |
| A300B4-203 | DEFAULT | 1 | 6 | Penjanje | Maksimum za penjanje | ZERO | 3 000 | | | |
| A300B4-203 | DEFAULT | 1 | 7 | Ubrzanje | Maksimum za penjanje | ZERO | | 1 000 | 250 | |
| A300B4-203 | DEFAULT | 1 | 8 | Penjanje | Maksimum za penjanje | ZERO | 5 500 | | | |
| A300B4-203 | DEFAULT | 1 | 9 | Penjanje | Maksimum za penjanje | ZERO | 7 500 | | | |
| A300B4-203 | DEFAULT | 1 | 10 | Penjanje | Maksimum za penjanje | ZERO | 10 000 | | | |
| A300B4-203 | DEFAULT | 2 | 1 | Uzlijeta-nje | Maksimum za uzlijetanje | 8 | | | | |
| A300B4-203 | DEFAULT | 2 | 2 | Penjanje | Maksimum za uzlijetanje | 8 | 1 000 | | | |
| A300B4-203 | DEFAULT | 2 | 3 | Ubrzanje | Maksimum za uzlijetanje | 8 | | 2 268 | 174 | |
| A300B4-203 | DEFAULT | 2 | 4 | Ubrzanje | Maksimum za uzlijetanje | 1 | | 1 701 | 194 | |
| A300B4-203 | DEFAULT | 2 | 5 | Ubrzanje | Maksimum za penjanje | ZERO | | 1 000 | 214 | |

▼M2

| ACFTID | Oznaka profila (Profile_ID) | Dulji-na faze | Broj koraka | Tip koraka | Režim rada motora | Zakrilca (Flap_ID) | Visina krajnje točke (ft) | Stopa penjanja (ft/min) | Kalibri-rana brzina leta u krajnjoj točki (kt) | Postot-ak ubrzan-ja (Acce-lera-te_Per-cent) (%) |
|---|---|---|---|---|---|---|---|---|---|---|
| A300B4-203 | DEFAULT | 2 | 6 | Penjanje | Maksimum za penjanje | ZERO | 3 000 | | | |
| A300B4-203 | DEFAULT | 2 | 7 | Ubrzanje | Maksimum za penjanje | ZERO | | 1 000 | 250 | |
| A300B4-203 | DEFAULT | 2 | 8 | Penjanje | Maksimum za penjanje | ZERO | 5 500 | | | |
| A300B4-203 | DEFAULT | 2 | 9 | Penjanje | Maksimum za penjanje | ZERO | 7 500 | | | |
| A300B4-203 | DEFAULT | 2 | 10 | Penjanje | Maksimum za penjanje | ZERO | 10 000 | | | |
| A300B4-203 | DEFAULT | 3 | 1 | Uzlijeta-nje | Maksimum za uzlijetanje | 8 | | | | |
| A300B4-203 | DEFAULT | 3 | 2 | Penjanje | Maksimum za uzlijetanje | 8 | 1 000 | | | |
| A300B4-203 | DEFAULT | 3 | 3 | Ubrzanje | Maksimum za uzlijetanje | 8 | | 2 137 | 178 | |
| A300B4-203 | DEFAULT | 3 | 4 | Ubrzanje | Maksimum za uzlijetanje | 1 | | 1 603 | 198 | |
| A300B4-203 | DEFAULT | 3 | 5 | Ubrzanje | Maksimum za penjanje | ZERO | | 1 000 | 218 | |
| A300B4-203 | DEFAULT | 3 | 6 | Penjanje | Maksimum za penjanje | ZERO | 3 000 | | | |
| A300B4-203 | DEFAULT | 3 | 7 | Ubrzanje | Maksimum za penjanje | ZERO | | 1 000 | 250 | |
| A300B4-203 | DEFAULT | 3 | 8 | Penjanje | Maksimum za penjanje | ZERO | 5 500 | | | |

▼M2

| ACFTID | Oznaka profila (Profile_ID) | Dulji-na faze | Broj koraka | Tip koraka | Režim rada motora | Zakrilca (Flap_ID) | Visina krajnje točke (ft) | Stopa penjanja (ft/min) | Kalibri-rana brzina leta u krajnjoj točki (kt) | Postot-ak ubrzan-ja (Acce-lera-te_Per-cent) (%) |
|---|---|---|---|---|---|---|---|---|---|---|
| A300B4-203 | DEFAULT | 3 | 9 | Penjanje | Maksimum za penjanje | ZERO | 7 500 | | | |
| A300B4-203 | DEFAULT | 3 | 10 | Penjanje | Maksimum za penjanje | ZERO | 10 000 | | | |
| A300B4-203 | DEFAULT | 4 | 1 | Uzlijeta-nje | Maksimum za uzlijetanje | 8 | | | | |
| A300B4-203 | DEFAULT | 4 | 2 | Penjanje | Maksimum za uzlijetanje | 8 | 1 000 | | | |
| A300B4-203 | DEFAULT | 4 | 3 | Ubrzanje | Maksimum za uzlijetanje | 8 | | 1 912 | 186 | |
| A300B4-203 | DEFAULT | 4 | 4 | Ubrzanje | Maksimum za uzlijetanje | 1 | | 1 434 | 206 | |
| A300B4-203 | DEFAULT | 4 | 5 | Ubrzanje | Maksimum za penjanje | ZERO | | 1 000 | 226 | |
| A300B4-203 | DEFAULT | 4 | 6 | Penjanje | Maksimum za penjanje | ZERO | 3 000 | | | |
| A300B4-203 | DEFAULT | 4 | 7 | Ubrzanje | Maksimum za penjanje | ZERO | | 1 000 | 250 | |
| A300B4-203 | DEFAULT | 4 | 8 | Penjanje | Maksimum za penjanje | ZERO | 5 500 | | | |
| A300B4-203 | DEFAULT | 4 | 9 | Penjanje | Maksimum za penjanje | ZERO | 7 500 | | | |
| A300B4-203 | DEFAULT | 4 | 10 | Penjanje | Maksimum za penjanje | ZERO | 10 000 | | | |

▼**M2**

| ACFTID | Oznaka profila (Profile_ID) | Dulji-na faze | Broj koraka | Tip koraka | Režim rada motora | Zakrilca (Flap_ID) | Visina krajnje točke (ft) | Stopa penjanja (ft/min) | Kalibri-rana brzina leta u krajnjoj točki (kt) | Postot-ak ubrzan-ja (Acce-lera-te_Per-cent) (%) |
|---|---|---|---|---|---|---|---|---|---|---|
| A300B4-203 | DEFAULT | 5 | 1 | Uzlijeta-nje | Maksimum za uzlijetanje | 8 | | | | |
| A300B4-203 | DEFAULT | 5 | 2 | Penjanje | Maksimum za uzlijetanje | 8 | 1 000 | | | |
| A300B4-203 | DEFAULT | 5 | 3 | Ubrzanje | Maksimum za uzlijetanje | 8 | | 1 688 | 194 | |
| A300B4-203 | DEFAULT | 5 | 4 | Ubrzanje | Maksimum za uzlijetanje | 1 | | 1 266 | 214 | |
| A300B4-203 | DEFAULT | 5 | 5 | Ubrzanje | Maksimum za penjanje | ZERO | | 1 000 | 234 | |
| A300B4-203 | DEFAULT | 5 | 6 | Penjanje | Maksimum za penjanje | ZERO | 3 000 | | | |
| A300B4-203 | DEFAULT | 5 | 7 | Ubrzanje | Maksimum za penjanje | ZERO | | 1 000 | 250 | |
| A300B4-203 | DEFAULT | 5 | 8 | Penjanje | Maksimum za penjanje | ZERO | 5 500 | | | |
| A300B4-203 | DEFAULT | 5 | 9 | Penjanje | Maksimum za penjanje | ZERO | 7 500 | | | |
| A300B4-203 | DEFAULT | 5 | 10 | Penjanje | Maksimum za penjanje | ZERO | 10 000 | | | |
| A310-304 | DEFAULT | 1 | 1 | Uzlijeta-nje | Maksimum za uzlijetanje | 1500 | | | | |
| A310-304 | DEFAULT | 1 | 2 | Penjanje | Maksimum za uzlijetanje | 1500 | 1 000 | | | |
| A310-304 | DEFAULT | 1 | 3 | Ubrzanje | Maksimum za uzlijetanje | 1500 | | 1 475,7 | 179,5 | |

▼**M2**

| ACFTID | Oznaka profila (Profile_ID) | Dulji-na faze | Broj koraka | Tip koraka | Režim rada motora | Zakrilca (Flap_ID) | Visina krajnje točke (ft) | Stopa penjanja (ft/min) | Kalibri-rana brzina leta u krajnjoj točki (kt) | Postot-ak ubrzan-ja (Acce-lera-te_Per-cent) (%) |
|---|---|---|---|---|---|---|---|---|---|---|
| A310-304 | DEFAULT | 1 | 4 | Penjanje | Maksimum za penjanje | 0 | 3 000 | | | |
| A310-304 | DEFAULT | 1 | 5 | Ubrzanje | Maksimum za penjanje | 0 | | 1 454,9 | 250 | |
| A310-304 | DEFAULT | 1 | 6 | Penjanje | Maksimum za penjanje | 0 | 5 500 | | | |
| A310-304 | DEFAULT | 1 | 7 | Penjanje | Maksimum za penjanje | 0 | 7 500 | | | |
| A310-304 | DEFAULT | 1 | 8 | Penjanje | Maksimum za penjanje | 0 | 10 000 | | | |
| A310-304 | DEFAULT | 2 | 1 | Uzlijeta-nje | Maksimum za uzlijetanje | 1500 | | | | |
| A310-304 | DEFAULT | 2 | 2 | Penjanje | Maksimum za uzlijetanje | 1500 | 1 000 | | | |
| A310-304 | DEFAULT | 2 | 3 | Ubrzanje | Maksimum za uzlijetanje | 1500 | | 1 415,7 | 183 | |
| A310-304 | DEFAULT | 2 | 4 | Penjanje | Maksimum za penjanje | 0 | 3 000 | | | |
| A310-304 | DEFAULT | 2 | 5 | Ubrzanje | Maksimum za penjanje | 0 | | 1 392,7 | 250 | |
| A310-304 | DEFAULT | 2 | 6 | Penjanje | Maksimum za penjanje | 0 | 5 500 | | | |
| A310-304 | DEFAULT | 2 | 7 | Penjanje | Maksimum za penjanje | 0 | 7 500 | | | |
| A310-304 | DEFAULT | 2 | 8 | Penjanje | Maksimum za penjanje | 0 | 10 000 | | | |

▼**M2**

| ACFTID | Oznaka profila (Profile_ID) | Dulji-na faze | Broj koraka | Tip koraka | Režim rada motora | Zakrilca (Flap_ID) | Visina krajnje točke (ft) | Stopa penjanja (ft/min) | Kalibri-rana brzina leta u krajnjoj točki (kt) | Postot-ak ubrzan-ja (Acce-lera-te_Per-cent) (%) |
|---|---|---|---|---|---|---|---|---|---|---|
| A310-304 | DEFAULT | 3 | 1 | Uzlijeta-nje | Maksimum za uzlijetanje | 1500 | | | | |
| A310-304 | DEFAULT | 3 | 2 | Penjanje | Maksimum za uzlijetanje | 1500 | 1 000 | | | |
| A310-304 | DEFAULT | 3 | 3 | Ubrzanje | Maksimum za uzlijetanje | 1500 | | 1 357 | 186,6 | |
| A310-304 | DEFAULT | 3 | 4 | Penjanje | Maksimum za penjanje | 0 | 3 000 | | | |
| A310-304 | DEFAULT | 3 | 5 | Ubrzanje | Maksimum za penjanje | 0 | | 1 332,3 | 250 | |
| A310-304 | DEFAULT | 3 | 6 | Penjanje | Maksimum za penjanje | 0 | 5 500 | | | |
| A310-304 | DEFAULT | 3 | 7 | Penjanje | Maksimum za penjanje | 0 | 7 500 | | | |
| A310-304 | DEFAULT | 3 | 8 | Penjanje | Maksimum za penjanje | 0 | 10 000 | | | |
| A310-304 | DEFAULT | 4 | 1 | Uzlijeta-nje | Maksimum za uzlijetanje | 1500 | | | | |
| A310-304 | DEFAULT | 4 | 2 | Penjanje | Maksimum za uzlijetanje | 1500 | 1 000 | | | |
| A310-304 | DEFAULT | 4 | 3 | Ubrzanje | Maksimum za uzlijetanje | 1500 | | 1 262,8 | 192,8 | |
| A310-304 | DEFAULT | 4 | 4 | Penjanje | Maksimum za penjanje | 0 | 3 000 | | | |
| A310-304 | DEFAULT | 4 | 5 | Ubrzanje | Maksimum za penjanje | 0 | | 1 234,1 | 250 | |
| A310-304 | DEFAULT | 4 | 6 | Penjanje | Maksimum za penjanje | 0 | 5 500 | | | |

▼**M2**

| ACFTID | Oznaka profila (Profile_ID) | Dulji-na faze | Broj koraka | Tip koraka | Režim rada motora | Zakrilca (Flap_ID) | Visina krajnje točke (ft) | Stopa penjanja (ft/min) | Kalibri-rana brzina leta u krajnjoj točki (kt) | Postot-ak ubrzan-ja (Acce-lera-te_Per-cent) (%) |
|---|---|---|---|---|---|---|---|---|---|---|
| A310-304 | DEFAULT | 4 | 7 | Penjanje | Maksimum za penjanje | 0 | 7 500 | | | |
| A310-304 | DEFAULT | 4 | 8 | Penjanje | Maksimum za penjanje | 0 | 10 000 | | | |
| A310-304 | DEFAULT | 5 | 1 | Uzlijeta-nje | Maksimum za uzlijetanje | 1500 | | | | |
| A310-304 | DEFAULT | 5 | 2 | Penjanje | Maksimum za uzlijetanje | 1500 | 1 000 | | | |
| A310-304 | DEFAULT | 5 | 3 | Ubrzanje | Maksimum za uzlijetanje | 1500 | | 1 151,8 | 200,9 | |
| A310-304 | DEFAULT | 5 | 4 | Penjanje | Maksimum za penjanje | 0 | 3 000 | | | |
| A310-304 | DEFAULT | 5 | 5 | Ubrzanje | Maksimum za penjanje | 0 | | 1 117,9 | 250 | |
| A310-304 | DEFAULT | 5 | 6 | Penjanje | Maksimum za penjanje | 0 | 5 500 | | | |
| A310-304 | DEFAULT | 5 | 7 | Penjanje | Maksimum za penjanje | 0 | 7 500 | | | |
| A310-304 | DEFAULT | 5 | 8 | Penjanje | Maksimum za penjanje | 0 | 10 000 | | | |
| A310-304 | DEFAULT | 6 | 1 | Uzlijeta-nje | Maksimum za uzlijetanje | 1500 | | | | |
| A310-304 | DEFAULT | 6 | 2 | Penjanje | Maksimum za uzlijetanje | 1500 | 1 000 | | | |
| A310-304 | DEFAULT | 6 | 3 | Ubrzanje | Maksimum za uzlijetanje | 1500 | | 990,5 | 214,3 | |
| A310-304 | DEFAULT | 6 | 4 | Penjanje | Maksimum za penjanje | 0 | 3 000 | | | |

▼**M2**

| ACFTID | Oznaka profila (Profile_ID) | Dulji-na faze | Broj koraka | Tip koraka | Režim rada motora | Zakrilca (Flap_ID) | Visina krajnje točke (ft) | Stopa penjanja (ft/min) | Kalibri-rana brzina leta u krajnjoj točki (kt) | Postot-ak ubrzan-ja (Acce-lera-te_Per-cent) (%) |
|---|---|---|---|---|---|---|---|---|---|---|
| A310-304 | DEFAULT | 6 | 5 | Ubrzanje | Maksimum za penjanje | 0 | | 944,8 | 250 | |
| A310-304 | DEFAULT | 6 | 6 | Penjanje | Maksimum za penjanje | 0 | 5 500 | | | |
| A310-304 | DEFAULT | 6 | 7 | Penjanje | Maksimum za penjanje | 0 | 7 500 | | | |
| A310-304 | DEFAULT | 6 | 8 | Penjanje | Maksimum za penjanje | 0 | 10 000 | | | |
| A310-304 | ICAO_A | 1 | 1 | Uzlijeta-nje | Maksimum za uzlijetanje | 1500 | | | | |
| A310-304 | ICAO_A | 1 | 2 | Penjanje | Maksimum za uzlijetanje | 1500 | 1 500 | | | |
| A310-304 | ICAO_A | 1 | 3 | Penjanje | Maksimum za penjanje | 1500 | 3 000 | | | |
| A310-304 | ICAO_A | 1 | 4 | Ubrzanje | Maksimum za penjanje | 1500 | | 1 167,6 | 179,4 | |
| A310-304 | ICAO_A | 1 | 5 | Ubrzanje | Maksimum za penjanje | 0 | | 1 273,6 | 200,4 | |
| A310-304 | ICAO_A | 1 | 6 | Ubrzanje | Maksimum za penjanje | 0 | | 1 496,6 | 250 | |
| A310-304 | ICAO_A | 1 | 7 | Penjanje | Maksimum za penjanje | 0 | 5 500 | | | |
| A310-304 | ICAO_A | 1 | 8 | Penjanje | Maksimum za penjanje | 0 | 7 500 | | | |
| A310-304 | ICAO_A | 1 | 9 | Penjanje | Maksimum za penjanje | 0 | 10 000 | | | |
| A310-304 | ICAO_A | 2 | 1 | Uzlijeta-nje | Maksimum za uzlijetanje | 1500 | | | | |

▼**M2**

| ACFTID | Oznaka profila (Profile_ID) | Dulji-na faze | Broj koraka | Tip koraka | Režim rada motora | Zakrilca (Flap_ID) | Visina krajnje točke (ft) | Stopa penjanja (ft/min) | Kalibri-rana brzina leta u krajnjoj točki (kt) | Postot-ak ubrzan-ja (Acce-lera-te_Per-cent) (%) |
|---|---|---|---|---|---|---|---|---|---|---|
| A310-304 | ICAO_A | 2 | 2 | Penjanje | Maksimum za uzlijetanje | 1500 | 1 500 | | | |
| A310-304 | ICAO_A | 2 | 3 | Penjanje | Maksimum za penjanje | 1500 | 3 000 | | | |
| A310-304 | ICAO_A | 2 | 4 | Ubrzanje | Maksimum za penjanje | 1500 | | 1 115,8 | 182,9 | |
| A310-304 | ICAO_A | 2 | 5 | Ubrzanje | Maksimum za penjanje | 0 | | 1 222,3 | 202,8 | |
| A310-304 | ICAO_A | 2 | 6 | Ubrzanje | Maksimum za penjanje | 0 | | 1 430,5 | 250 | |
| A310-304 | ICAO_A | 2 | 7 | Penjanje | Maksimum za penjanje | 0 | 5 500 | | | |
| A310-304 | ICAO_A | 2 | 8 | Penjanje | Maksimum za penjanje | 0 | 7 500 | | | |
| A310-304 | ICAO_A | 2 | 9 | Penjanje | Maksimum za penjanje | 0 | 10 000 | | | |
| A310-304 | ICAO_A | 3 | 1 | Uzlijeta-nje | Maksimum za uzlijetanje | 1500 | | | | |
| A310-304 | ICAO_A | 3 | 2 | Penjanje | Maksimum za uzlijetanje | 1500 | 1 500 | | | |
| A310-304 | ICAO_A | 3 | 3 | Penjanje | Maksimum za penjanje | 1500 | 3 000 | | | |
| A310-304 | ICAO_A | 3 | 4 | Ubrzanje | Maksimum za penjanje | 1500 | | 1 065,4 | 186,5 | |
| A310-304 | ICAO_A | 3 | 5 | Ubrzanje | Maksimum za penjanje | 0 | | 1 172,6 | 205,3 | |

▼**M2**

| ACFTID | Oznaka profila (Profile_ID) | Dulji-na faze | Broj koraka | Tip koraka | Režim rada motora | Zakrilca (Flap_ID) | Visina krajnje točke (ft) | Stopa penjanja (ft/min) | Kalibri-rana brzina leta u krajnjoj točki (kt) | Postot-ak ubrzan-ja (Acce-lera-te_Per-cent) (%) |
|---|---|---|---|---|---|---|---|---|---|---|
| A310-304 | ICAO_A | 3 | 6 | Ubrzanje | Maksimum za penjanje | 0 | | 1 366,6 | 250 | |
| A310-304 | ICAO_A | 3 | 7 | Penjanje | Maksimum za penjanje | 0 | 5 500 | | | |
| A310-304 | ICAO_A | 3 | 8 | Penjanje | Maksimum za penjanje | 0 | 7 500 | | | |
| A310-304 | ICAO_A | 3 | 9 | Penjanje | Maksimum za penjanje | 0 | 10 000 | | | |
| A310-304 | ICAO_A | 4 | 1 | Uzlijeta-nje | Maksimum za uzlijetanje | 1500 | | | | |
| A310-304 | ICAO_A | 4 | 2 | Penjanje | Maksimum za uzlijetanje | 1500 | 1 500 | | | |
| A310-304 | ICAO_A | 4 | 3 | Penjanje | Maksimum za penjanje | 1500 | 3 000 | | | |
| A310-304 | ICAO_A | 4 | 4 | Ubrzanje | Maksimum za penjanje | 1500 | | 984,3 | 192,7 | |
| A310-304 | ICAO_A | 4 | 5 | Ubrzanje | Maksimum za penjanje | 0 | | 1 091,4 | 209,7 | |
| A310-304 | ICAO_A | 4 | 6 | Ubrzanje | Maksimum za penjanje | 0 | | 1 262,9 | 250 | |
| A310-304 | ICAO_A | 4 | 7 | Penjanje | Maksimum za penjanje | 0 | 5 500 | | | |
| A310-304 | ICAO_A | 4 | 8 | Penjanje | Maksimum za penjanje | 0 | 7 500 | | | |
| A310-304 | ICAO_A | 4 | 9 | Penjanje | Maksimum za penjanje | 0 | 10 000 | | | |
| A310-304 | ICAO_A | 5 | 1 | Uzlijeta-nje | Maksimum za uzlijetanje | 1500 | | | | |

▼**M2**

| ACFTID | Oznaka profila (Profile_ID) | Dulji-na faze | Broj koraka | Tip koraka | Režim rada motora | Zakrilca (Flap_ID) | Visina krajnje točke (ft) | Stopa penjanja (ft/min) | Kalibri-rana brzina leta u krajnjoj točki (kt) | Postot-ak ubrzan-ja (Acce-lera-te_Per-cent) (%) |
|---|---|---|---|---|---|---|---|---|---|---|
| A310-304 | ICAO_A | 5 | 2 | Penjanje | Maksimum za uzlijetanje | 1500 | 1 500 | | | |
| A310-304 | ICAO_A | 5 | 3 | Penjanje | Maksimum za penjanje | 1500 | 3 000 | | | |
| A310-304 | ICAO_A | 5 | 4 | Ubrzanje | Maksimum za penjanje | 1500 | | 888,4 | 200,8 | |
| A310-304 | ICAO_A | 5 | 5 | Ubrzanje | Maksimum za penjanje | 0 | | 994,5 | 215,7 | |
| A310-304 | ICAO_A | 5 | 6 | Ubrzanje | Maksimum za penjanje | 0 | | 1 140,7 | 250 | |
| A310-304 | ICAO_A | 5 | 7 | Penjanje | Maksimum za penjanje | 0 | 5 500 | | | |
| A310-304 | ICAO_A | 5 | 8 | Penjanje | Maksimum za penjanje | 0 | 7 500 | | | |
| A310-304 | ICAO_A | 5 | 9 | Penjanje | Maksimum za penjanje | 0 | 10 000 | | | |
| A310-304 | ICAO_A | 6 | 1 | Uzlijeta-nje | Maksimum za uzlijetanje | 1500 | | | | |
| A310-304 | ICAO_A | 6 | 2 | Penjanje | Maksimum za uzlijetanje | 1500 | 1 500 | | | |
| A310-304 | ICAO_A | 6 | 3 | Penjanje | Maksimum za penjanje | 1500 | 3 000 | | | |
| A310-304 | ICAO_A | 6 | 4 | Ubrzanje | Maksimum za penjanje | 1500 | | 747,4 | 214,2 | |
| A310-304 | ICAO_A | 6 | 5 | Ubrzanje | Maksimum za penjanje | 0 | | 848,6 | 226,2 | |
| A310-304 | ICAO_A | 6 | 6 | Ubrzanje | Maksimum za penjanje | 0 | | 959,5 | 250 | |

▼**M2**

| ACFTID | Oznaka profila (Profile_ID) | Dulji-na faze | Broj koraka | Tip koraka | Režim rada motora | Zakrilca (Flap_ID) | Visina krajnje točke (ft) | Stopa penjanja (ft/min) | Kalibri-rana brzina leta u krajnjoj točki (kt) | Postot-ak ubrzan-ja (Acce-lera-te_Per-cent) (%) |
|---|---|---|---|---|---|---|---|---|---|---|
| A310-304 | ICAO_A | 6 | 7 | Penjanje | Maksimum za penjanje | 0 | 5 500 | | | |
| A310-304 | ICAO_A | 6 | 8 | Penjanje | Maksimum za penjanje | 0 | 7 500 | | | |
| A310-304 | ICAO_A | 6 | 9 | Penjanje | Maksimum za penjanje | 0 | 10 000 | | | |
| A310-304 | ICAO_B | 1 | 1 | Uzlijeta-nje | Maksimum za uzlijetanje | 1500 | | | | |
| A310-304 | ICAO_B | 1 | 2 | Penjanje | Maksimum za uzlijetanje | 1500 | 1 000 | | | |
| A310-304 | ICAO_B | 1 | 3 | Ubrzanje | Maksimum za uzlijetanje | 1500 | | 1 475,7 | 179,5 | |
| A310-304 | ICAO_B | 1 | 4 | Penjanje | Maksimum za penjanje | 0 | 3 000 | | | |
| A310-304 | ICAO_B | 1 | 5 | Ubrzanje | Maksimum za penjanje | 0 | | 1 454,9 | 250 | |
| A310-304 | ICAO_B | 1 | 6 | Penjanje | Maksimum za penjanje | 0 | 5 500 | | | |
| A310-304 | ICAO_B | 1 | 7 | Penjanje | Maksimum za penjanje | 0 | 7 500 | | | |
| A310-304 | ICAO_B | 1 | 8 | Penjanje | Maksimum za penjanje | 0 | 10 000 | | | |
| A310-304 | ICAO_B | 2 | 1 | Uzlijeta-nje | Maksimum za uzlijetanje | 1500 | | | | |
| A310-304 | ICAO_B | 2 | 2 | Penjanje | Maksimum za uzlijetanje | 1500 | 1 000 | | | |
| A310-304 | ICAO_B | 2 | 3 | Ubrzanje | Maksimum za uzlijetanje | 1500 | | 1 415,7 | 183 | |

▼**M2**

| ACFTID | Oznaka profila (Profile_ID) | Dulji-na faze | Broj koraka | Tip koraka | Režim rada motora | Zakrilca (Flap_ID) | Visina krajnje točke (ft) | Stopa penjanja (ft/min) | Kalibri-rana brzina leta u krajnjoj točki (kt) | Postot-ak ubrzan-ja (Acce-lera-te_Per-cent) (%) |
|---|---|---|---|---|---|---|---|---|---|---|
| A310-304 | ICAO_B | 2 | 4 | Penjanje | Maksimum za penjanje | 0 | 3 000 | | | |
| A310-304 | ICAO_B | 2 | 5 | Ubrzanje | Maksimum za penjanje | 0 | | 1 392,7 | 250 | |
| A310-304 | ICAO_B | 2 | 6 | Penjanje | Maksimum za penjanje | 0 | 5 500 | | | |
| A310-304 | ICAO_B | 2 | 7 | Penjanje | Maksimum za penjanje | 0 | 7 500 | | | |
| A310-304 | ICAO_B | 2 | 8 | Penjanje | Maksimum za penjanje | 0 | 10 000 | | | |
| A310-304 | ICAO_B | 3 | 1 | Uzlijeta-nje | Maksimum za uzlijetanje | 1500 | | | | |
| A310-304 | ICAO_B | 3 | 2 | Penjanje | Maksimum za uzlijetanje | 1500 | 1 000 | | | |
| A310-304 | ICAO_B | 3 | 3 | Ubrzanje | Maksimum za uzlijetanje | 1500 | | 1 357 | 186,6 | |
| A310-304 | ICAO_B | 3 | 4 | Penjanje | Maksimum za penjanje | 0 | 3 000 | | | |
| A310-304 | ICAO_B | 3 | 5 | Ubrzanje | Maksimum za penjanje | 0 | | 1 332,3 | 250 | |
| A310-304 | ICAO_B | 3 | 6 | Penjanje | Maksimum za penjanje | 0 | 5 500 | | | |
| A310-304 | ICAO_B | 3 | 7 | Penjanje | Maksimum za penjanje | 0 | 7 500 | | | |
| A310-304 | ICAO_B | 3 | 8 | Penjanje | Maksimum za penjanje | 0 | 10 000 | | | |
| A310-304 | ICAO_B | 4 | 1 | Uzlijeta-nje | Maksimum za uzlijetanje | 1500 | | | | |

▼**M2**

| ACFTID | Oznaka profila (Profile_ID) | Dulji-na faze | Broj koraka | Tip koraka | Režim rada motora | Zakrilca (Flap_ID) | Visina krajnje točke (ft) | Stopa penjanja (ft/min) | Kalibri-rana brzina leta u krajnjoj točki (kt) | Postot-ak ubrzan-ja (Acce-lera-te_Per-cent) (%) |
|---|---|---|---|---|---|---|---|---|---|---|
| A310-304 | ICAO_B | 4 | 2 | Penjanje | Maksimum za uzlijetanje | 1500 | 1 000 | | | |
| A310-304 | ICAO_B | 4 | 3 | Ubrzanje | Maksimum za uzlijetanje | 1500 | | 1 262,8 | 192,8 | |
| A310-304 | ICAO_B | 4 | 4 | Penjanje | Maksimum za penjanje | 0 | 3 000 | | | |
| A310-304 | ICAO_B | 4 | 5 | Ubrzanje | Maksimum za penjanje | 0 | | 1 234,1 | 250 | |
| A310-304 | ICAO_B | 4 | 6 | Penjanje | Maksimum za penjanje | 0 | 5 500 | | | |
| A310-304 | ICAO_B | 4 | 7 | Penjanje | Maksimum za penjanje | 0 | 7 500 | | | |
| A310-304 | ICAO_B | 4 | 8 | Penjanje | Maksimum za penjanje | 0 | 10 000 | | | |
| A310-304 | ICAO_B | 5 | 1 | Uzlijeta-nje | Maksimum za uzlijetanje | 1500 | | | | |
| A310-304 | ICAO_B | 5 | 2 | Penjanje | Maksimum za uzlijetanje | 1500 | 1 000 | | | |
| A310-304 | ICAO_B | 5 | 3 | Ubrzanje | Maksimum za uzlijetanje | 1500 | | 1 151,8 | 200,9 | |
| A310-304 | ICAO_B | 5 | 4 | Penjanje | Maksimum za penjanje | 0 | 3 000 | | | |
| A310-304 | ICAO_B | 5 | 5 | Ubrzanje | Maksimum za penjanje | 0 | | 1 117,9 | 250 | |
| A310-304 | ICAO_B | 5 | 6 | Penjanje | Maksimum za penjanje | 0 | 5 500 | | | |
| A310-304 | ICAO_B | 5 | 7 | Penjanje | Maksimum za penjanje | 0 | 7 500 | | | |

▼M2

| ACFTID | Oznaka profila (Profile_ID) | Dulji-na faze | Broj koraka | Tip koraka | Režim rada motora | Zakrilca (Flap_ID) | Visina krajnje točke (ft) | Stopa penjanja (ft/min) | Kalibri-rana brzina leta u krajnjoj točki (kt) | Postot-ak ubrzan-ja (Acce-lera-te_Per-cent) (%) |
|---|---|---|---|---|---|---|---|---|---|---|
| A310-304 | ICAO_B | 5 | 8 | Penjanje | Maksimum za penjanje | 0 | 10 000 | | | |
| A310-304 | ICAO_B | 6 | 1 | Uzlijeta-nje | Maksimum za uzlijetanje | 1500 | | | | |
| A310-304 | ICAO_B | 6 | 2 | Penjanje | Maksimum za uzlijetanje | 1500 | 1 000 | | | |
| A310-304 | ICAO_B | 6 | 3 | Ubrzanje | Maksimum za uzlijetanje | 1500 | | 990,5 | 214,3 | |
| A310-304 | ICAO_B | 6 | 4 | Penjanje | Maksimum za penjanje | 0 | 3 000 | | | |
| A310-304 | ICAO_B | 6 | 5 | Ubrzanje | Maksimum za penjanje | 0 | | 944,8 | 250 | |
| A310-304 | ICAO_B | 6 | 6 | Penjanje | Maksimum za penjanje | 0 | 5 500 | | | |
| A310-304 | ICAO_B | 6 | 7 | Penjanje | Maksimum za penjanje | 0 | 7 500 | | | |
| A310-304 | ICAO_B | 6 | 8 | Penjanje | Maksimum za penjanje | 0 | 10 000 | | | |
| A319-131 | DEFAULT | 1 | 1 | Uzlijeta-nje | Maksimum za uzlijetanje | 1+F | | | | |
| A319-131 | DEFAULT | 1 | 2 | Penjanje | Maksimum za uzlijetanje | 1+F | 1 000 | | | |
| A319-131 | DEFAULT | 1 | 3 | Ubrzanje | Maksimum za uzlijetanje | 1+F | | 1 042,6 | 181,6 | |
| A319-131 | DEFAULT | 1 | 4 | Ubrzanje | Maksimum za uzlijetanje | 1 | | 1 177,5 | 200,7 | |
| A319-131 | DEFAULT | 1 | 5 | Penjanje | Maksimum za penjanje | ZERO | 3 000 | | | |
| A319-131 | DEFAULT | 1 | 6 | Ubrzanje | Maksimum za penjanje | ZERO | | 1 320,8 | 250 | |

▼**M2**

| ACFTID | Oznaka profila (Profile_ID) | Dulji-na faze | Broj koraka | Tip koraka | Režim rada motora | Zakrilca (Flap_ID) | Visina krajnje točke (ft) | Stopa penjanja (ft/min) | Kalibri-rana brzina leta u krajnjoj točki (kt) | Postot-ak ubrzan-ja (Acce-lera-te_Per-cent) (%) |
|---|---|---|---|---|---|---|---|---|---|---|
| A319-131 | DEFAULT | 1 | 7 | Penjanje | Maksimum za penjanje | ZERO | 5 500 | | | |
| A319-131 | DEFAULT | 1 | 8 | Penjanje | Maksimum za penjanje | ZERO | 7 500 | | | |
| A319-131 | DEFAULT | 1 | 9 | Penjanje | Maksimum za penjanje | ZERO | 10 000 | | | |
| A319-131 | DEFAULT | 2 | 1 | Uzlijeta-nje | Maksimum za uzlijetanje | 1+F | | | | |
| A319-131 | DEFAULT | 2 | 2 | Penjanje | Maksimum za uzlijetanje | 1+F | 1 000 | | | |
| A319-131 | DEFAULT | 2 | 3 | Ubrzanje | Maksimum za uzlijetanje | 1+F | | 997,1 | 185,3 | |
| A319-131 | DEFAULT | 2 | 4 | Ubrzanje | Maksimum za uzlijetanje | 1 | | 1 128,9 | 203,3 | |
| A319-131 | DEFAULT | 2 | 5 | Penjanje | Maksimum za penjanje | ZERO | 3 000 | | | |
| A319-131 | DEFAULT | 2 | 6 | Ubrzanje | Maksimum za penjanje | ZERO | | 1 264 | 250 | |
| A319-131 | DEFAULT | 2 | 7 | Penjanje | Maksimum za penjanje | ZERO | 5 500 | | | |
| A319-131 | DEFAULT | 2 | 8 | Penjanje | Maksimum za penjanje | ZERO | 7 500 | | | |
| A319-131 | DEFAULT | 2 | 9 | Penjanje | Maksimum za penjanje | ZERO | 10 000 | | | |
| A319-131 | DEFAULT | 3 | 1 | Uzlijeta-nje | Maksimum za uzlijetanje | 1+F | | | | |
| A319-131 | DEFAULT | 3 | 2 | Penjanje | Maksimum za uzlijetanje | 1+F | 1 000 | | | |
| A319-131 | DEFAULT | 3 | 3 | Ubrzanje | Maksimum za uzlijetanje | 1+F | | 952,7 | 189 | |

▼M2

| ACFTID | Oznaka profila (Profile_ID) | Dulji-na faze | Broj koraka | Tip koraka | Režim rada motora | Zakrilca (Flap_ID) | Visina krajnje točke (ft) | Stopa penjanja (ft/min) | Kalibri-rana brzina leta u krajnjoj točki (kt) | Postot-ak ubrzan-ja (Acce-lera-te_Per-cent) (%) |
|---|---|---|---|---|---|---|---|---|---|---|
| A319-131 | DEFAULT | 3 | 4 | Ubrzanje | Maksimum za uzlijetanje | 1 | | 1 081 | 206 | |
| A319-131 | DEFAULT | 3 | 5 | Penjanje | Maksimum za penjanje | ZERO | 3 000 | | | |
| A319-131 | DEFAULT | 3 | 6 | Ubrzanje | Maksimum za penjanje | ZERO | | 1 208,7 | 250 | |
| A319-131 | DEFAULT | 3 | 7 | Penjanje | Maksimum za penjanje | ZERO | 5 500 | | | |
| A319-131 | DEFAULT | 3 | 8 | Penjanje | Maksimum za penjanje | ZERO | 7 500 | | | |
| A319-131 | DEFAULT | 3 | 9 | Penjanje | Maksimum za penjanje | ZERO | 10 000 | | | |
| A319-131 | DEFAULT | 4 | 1 | Uzlijeta-nje | Maksimum za uzlijetanje | 1+F | | | | |
| A319-131 | DEFAULT | 4 | 2 | Penjanje | Maksimum za uzlijetanje | 1+F | 1 000 | | | |
| A319-131 | DEFAULT | 4 | 3 | Ubrzanje | Maksimum za uzlijetanje | 1+F | | 880,8 | 195,6 | |
| A319-131 | DEFAULT | 4 | 4 | Ubrzanje | Maksimum za uzlijetanje | 1 | | 1 001,7 | 210,8 | |
| A319-131 | DEFAULT | 4 | 5 | Penjanje | Maksimum za penjanje | ZERO | 3 000 | | | |
| A319-131 | DEFAULT | 4 | 6 | Ubrzanje | Maksimum za penjanje | ZERO | | 1 119,6 | 250 | |
| A319-131 | DEFAULT | 4 | 7 | Penjanje | Maksimum za penjanje | ZERO | 5 500 | | | |
| A319-131 | DEFAULT | 4 | 8 | Penjanje | Maksimum za penjanje | ZERO | 7 500 | | | |
| A319-131 | DEFAULT | 4 | 9 | Penjanje | Maksimum za penjanje | ZERO | 10 000 | | | |

▼M2

| ACFTID | Oznaka profila (Profile_ID) | Dulji-na faze | Broj koraka | Tip koraka | Režim rada motora | Zakrilca (Flap_ID) | Visina krajnje točke (ft) | Stopa penjanja (ft/min) | Kalibri-rana brzina leta u krajnjoj točki (kt) | Postot-ak ubrzan-ja (Acce-lera-te_Per-cent) (%) |
|---|---|---|---|---|---|---|---|---|---|---|
| A319-131 | DEFAULT | 5 | 1 | Uzlijeta-nje | Maksimum za uzlijetanje | 1+F | | | | |
| A319-131 | DEFAULT | 5 | 2 | Ubrzanje | Maksimum za uzlijetanje | 1+F | | 735,2 | 169,7 | |
| A319-131 | DEFAULT | 5 | 3 | Penjanje | Maksimum za uzlijetanje | 1+F | 1 000 | | | |
| A319-131 | DEFAULT | 5 | 4 | Ubrzanje | Maksimum za uzlijetanje | 1+F | | 793,4 | 208,8 | |
| A319-131 | DEFAULT | 5 | 5 | Ubrzanje | Maksimum za uzlijetanje | ZERO | | 860 | 221,2 | |
| A319-131 | DEFAULT | 5 | 6 | Penjanje | Maksimum za penjanje | ZERO | 3 000 | | | |
| A319-131 | DEFAULT | 5 | 7 | Ubrzanje | Maksimum za penjanje | ZERO | | 964,2 | 250 | |
| A319-131 | DEFAULT | 5 | 8 | Penjanje | Maksimum za penjanje | ZERO | 5 500 | | | |
| A319-131 | DEFAULT | 5 | 9 | Penjanje | Maksimum za penjanje | ZERO | 7 500 | | | |
| A319-131 | DEFAULT | 5 | 10 | Penjanje | Maksimum za penjanje | ZERO | 10 000 | | | |
| A319-131 | ICAO_A | 1 | 1 | Uzlijeta-nje | Maksimum za uzlijetanje | 1+F | | | | |
| A319-131 | ICAO_A | 1 | 2 | Penjanje | Maksimum za uzlijetanje | 1+F | 1 500 | | | |
| A319-131 | ICAO_A | 1 | 3 | Penjanje | Maksimum za penjanje | 1+F | 3 000 | | | |
| A319-131 | ICAO_A | 1 | 4 | Ubrzanje | Maksimum za penjanje | 1+F | | 822,7 | 181,4 | |
| A319-131 | ICAO_A | 1 | 5 | Ubrzanje | Maksimum za penjanje | 1 | | 972,3 | 196,5 | |

▼M2

| ACFTID | Oznaka profila (Profile_ID) | Dulji-na faze | Broj koraka | Tip koraka | Režim rada motora | Zakrilca (Flap_ID) | Visina krajnje točke (ft) | Stopa penjanja (ft/min) | Kalibri-rana brzina leta u krajnjoj točki (kt) | Postot-ak ubrzan-ja (Acce-lera-te_Per-cent) (%) |
|---|---|---|---|---|---|---|---|---|---|---|
| A319-131 | ICAO_A | 1 | 6 | Ubrzanje | Maksimum za penjanje | ZERO | | 1 162,8 | 223,8 | |
| A319-131 | ICAO_A | 1 | 7 | Ubrzanje | Maksimum za penjanje | ZERO | | 1 374,2 | 250 | |
| A319-131 | ICAO_A | 1 | 8 | Penjanje | Maksimum za penjanje | ZERO | 5 500 | | | |
| A319-131 | ICAO_A | 1 | 9 | Penjanje | Maksimum za penjanje | ZERO | 7 500 | | | |
| A319-131 | ICAO_A | 1 | 10 | Penjanje | Maksimum za penjanje | ZERO | 10 000 | | | |
| A319-131 | ICAO_A | 2 | 1 | Uzlijeta-nje | Maksimum za uzlijetanje | 1+F | | | | |
| A319-131 | ICAO_A | 2 | 2 | Penjanje | Maksimum za uzlijetanje | 1+F | 1 500 | | | |
| A319-131 | ICAO_A | 2 | 3 | Penjanje | Maksimum za penjanje | 1+F | 3 000 | | | |
| A319-131 | ICAO_A | 2 | 4 | Ubrzanje | Maksimum za penjanje | 1+F | | 786,5 | 185,2 | |
| A319-131 | ICAO_A | 2 | 5 | Ubrzanje | Maksimum za penjanje | 1 | | 935,4 | 199,4 | |
| A319-131 | ICAO_A | 2 | 6 | Ubrzanje | Maksimum za penjanje | ZERO | | 1 115,9 | 225,3 | |
| A319-131 | ICAO_A | 2 | 7 | Ubrzanje | Maksimum za penjanje | ZERO | | 1 312,1 | 250 | |
| A319-131 | ICAO_A | 2 | 8 | Penjanje | Maksimum za penjanje | ZERO | 5 500 | | | |
| A319-131 | ICAO_A | 2 | 9 | Penjanje | Maksimum za penjanje | ZERO | 7 500 | | | |

▼**M2**

| ACFTID | Oznaka profila (Profile_ID) | Dulji-na faze | Broj koraka | Tip koraka | Režim rada motora | Zakrilca (Flap_ID) | Visina krajnje točke (ft) | Stopa penjanja (ft/min) | Kalibri-rana brzina leta u krajnjoj točki (kt) | Postot-ak ubrzan-ja (Acce-lera-te_Per-cent) (%) |
|---|---|---|---|---|---|---|---|---|---|---|
| A319-131 | ICAO_A | 2 | 10 | Penjanje | Maksimum za penjanje | ZERO | 10 000 | | | |
| A319-131 | ICAO_A | 3 | 1 | Uzlijeta-nje | Maksimum za uzlijetanje | 1+F | | | | |
| A319-131 | ICAO_A | 3 | 2 | Penjanje | Maksimum za uzlijetanje | 1+F | 1 500 | | | |
| A319-131 | ICAO_A | 3 | 3 | Penjanje | Maksimum za penjanje | 1+F | 3 000 | | | |
| A319-131 | ICAO_A | 3 | 4 | Ubrzanje | Maksimum za penjanje | 1+F | | 751,1 | 188,9 | |
| A319-131 | ICAO_A | 3 | 5 | Ubrzanje | Maksimum za penjanje | 1 | | 899,4 | 202,4 | |
| A319-131 | ICAO_A | 3 | 6 | Ubrzanje | Maksimum za penjanje | ZERO | | 1 070,2 | 226,9 | |
| A319-131 | ICAO_A | 3 | 7 | Ubrzanje | Maksimum za penjanje | ZERO | | 1 252 | 250 | |
| A319-131 | ICAO_A | 3 | 8 | Penjanje | Maksimum za penjanje | ZERO | 5 500 | | | |
| A319-131 | ICAO_A | 3 | 9 | Penjanje | Maksimum za penjanje | ZERO | 7 500 | | | |
| A319-131 | ICAO_A | 3 | 10 | Penjanje | Maksimum za penjanje | ZERO | 10 000 | | | |
| A319-131 | ICAO_A | 4 | 1 | Uzlijeta-nje | Maksimum za uzlijetanje | 1+F | | | | |
| A319-131 | ICAO_A | 4 | 2 | Penjanje | Maksimum za uzlijetanje | 1+F | 1 500 | | | |
| A319-131 | ICAO_A | 4 | 3 | Penjanje | Maksimum za penjanje | 1+F | 3 000 | | | |

▼M2

| ACFTID | Oznaka profila (Profile_ID) | Dulji-na faze | Broj koraka | Tip koraka | Režim rada motora | Zakrilca (Flap_ID) | Visina krajnje točke (ft) | Stopa penjanja (ft/min) | Kalibri-rana brzina leta u krajnjoj točki (kt) | Postot-ak ubrzan-ja (Acce-lera-te_Per-cent) (%) |
|---|---|---|---|---|---|---|---|---|---|---|
| A319-131 | ICAO_A | 4 | 4 | Ubrzanje | Maksimum za penjanje | 1+F | | 693,7 | 195,4 | |
| A319-131 | ICAO_A | 4 | 5 | Ubrzanje | Maksimum za penjanje | 1 | | 840,2 | 207,6 | |
| A319-131 | ICAO_A | 4 | 6 | Ubrzanje | Maksimum za penjanje | ZERO | | 996,8 | 230 | |
| A319-131 | ICAO_A | 4 | 7 | Ubrzanje | Maksimum za penjanje | ZERO | | 1 155,3 | 250 | |
| A319-131 | ICAO_A | 4 | 8 | Penjanje | Maksimum za penjanje | ZERO | 5 500 | | | |
| A319-131 | ICAO_A | 4 | 9 | Penjanje | Maksimum za penjanje | ZERO | 7 500 | | | |
| A319-131 | ICAO_A | 4 | 10 | Penjanje | Maksimum za penjanje | ZERO | 10 000 | | | |
| A319-131 | ICAO_A | 5 | 1 | Uzlijeta-nje | Maksimum za uzlijetanje | 1+F | | | | |
| A319-131 | ICAO_A | 5 | 2 | Ubrzanje | Maksimum za uzlijetanje | 1+F | | 735,2 | 169,7 | |
| A319-131 | ICAO_A | 5 | 3 | Penjanje | Maksimum za uzlijetanje | 1+F | 1 500 | | | |
| A319-131 | ICAO_A | 5 | 4 | Penjanje | Maksimum za penjanje | 1+F | 3 000 | | | |
| A319-131 | ICAO_A | 5 | 5 | Ubrzanje | Maksimum za penjanje | 1+F | | 637,2 | 208,7 | |
| A319-131 | ICAO_A | 5 | 6 | Ubrzanje | Maksimum za penjanje | 1 | | 733,4 | 218,7 | |
| A319-131 | ICAO_A | 5 | 7 | Ubrzanje | Maksimum za penjanje | ZERO | | 869,2 | 237,4 | |

▼**M2**

| ACFTID | Oznaka profila (Profile_ID) | Dulji-na faze | Broj koraka | Tip koraka | Režim rada motora | Zakrilca (Flap_ID) | Visina krajnje točke (ft) | Stopa penjanja (ft/min) | Kalibri-rana brzina leta u krajnjoj točki (kt) | Postot-ak ubrzan-ja (Acce-lera-te_Per-cent) (%) |
|---|---|---|---|---|---|---|---|---|---|---|
| A319-131 | ICAO_A | 5 | 8 | Ubrzanje | Maksimum za penjanje | ZERO | | 987,8 | 250 | |
| A319-131 | ICAO_A | 5 | 9 | Penjanje | Maksimum za penjanje | ZERO | 5 500 | | | |
| A319-131 | ICAO_A | 5 | 10 | Penjanje | Maksimum za penjanje | ZERO | 7 500 | | | |
| A319-131 | ICAO_A | 5 | 11 | Penjanje | Maksimum za penjanje | ZERO | 10 000 | | | |
| A319-131 | ICAO_B | 1 | 1 | Uzlijeta-nje | Maksimum za uzlijetanje | 1+F | | | | |
| A319-131 | ICAO_B | 1 | 2 | Penjanje | Maksimum za uzlijetanje | 1+F | 1 000 | | | |
| A319-131 | ICAO_B | 1 | 3 | Ubrzanje | Maksimum za uzlijetanje | 1+F | | 1 042,6 | 181,6 | |
| A319-131 | ICAO_B | 1 | 4 | Ubrzanje | Maksimum za uzlijetanje | 1 | | 1 177,5 | 200,7 | |
| A319-131 | ICAO_B | 1 | 5 | Penjanje | Maksimum za penjanje | ZERO | 3 000 | | | |
| A319-131 | ICAO_B | 1 | 6 | Ubrzanje | Maksimum za penjanje | ZERO | | 1 320,8 | 250 | |
| A319-131 | ICAO_B | 1 | 7 | Penjanje | Maksimum za penjanje | ZERO | 5 500 | | | |
| A319-131 | ICAO_B | 1 | 8 | Penjanje | Maksimum za penjanje | ZERO | 7 500 | | | |
| A319-131 | ICAO_B | 1 | 9 | Penjanje | Maksimum za penjanje | ZERO | 10 000 | | | |
| A319-131 | ICAO_B | 2 | 1 | Uzlijeta-nje | Maksimum za uzlijetanje | 1+F | | | | |
| A319-131 | ICAO_B | 2 | 2 | Penjanje | Maksimum za uzlijetanje | 1+F | 1 000 | | | |

▼M2

| ACFTID | Oznaka profila (Profile_ID) | Dulji-na faze | Broj koraka | Tip koraka | Režim rada motora | Zakrilca (Flap_ID) | Visina krajnje točke (ft) | Stopa penjanja (ft/min) | Kalibri-rana brzina leta u krajnjoj točki (kt) | Postot-ak ubrzan-ja (Acce-lera-te_Per-cent) (%) |
|---|---|---|---|---|---|---|---|---|---|---|
| A319-131 | ICAO_B | 2 | 3 | Ubrzanje | Maksimum za uzlijetanje | 1+F | | 997,1 | 185,3 | |
| A319-131 | ICAO_B | 2 | 4 | Ubrzanje | Maksimum za uzlijetanje | 1 | | 1 128,9 | 203,3 | |
| A319-131 | ICAO_B | 2 | 5 | Penjanje | Maksimum za penjanje | ZERO | 3 000 | | | |
| A319-131 | ICAO_B | 2 | 6 | Ubrzanje | Maksimum za penjanje | ZERO | | 1 264 | 250 | |
| A319-131 | ICAO_B | 2 | 7 | Penjanje | Maksimum za penjanje | ZERO | 5 500 | | | |
| A319-131 | ICAO_B | 2 | 8 | Penjanje | Maksimum za penjanje | ZERO | 7 500 | | | |
| A319-131 | ICAO_B | 2 | 9 | Penjanje | Maksimum za penjanje | ZERO | 10 000 | | | |
| A319-131 | ICAO_B | 3 | 1 | Uzlijeta-nje | Maksimum za uzlijetanje | 1+F | | | | |
| A319-131 | ICAO_B | 3 | 2 | Penjanje | Maksimum za uzlijetanje | 1+F | 1 000 | | | |
| A319-131 | ICAO_B | 3 | 3 | Ubrzanje | Maksimum za uzlijetanje | 1+F | | 952,7 | 189 | |
| A319-131 | ICAO_B | 3 | 4 | Ubrzanje | Maksimum za uzlijetanje | 1 | | 1 081 | 206 | |
| A319-131 | ICAO_B | 3 | 5 | Penjanje | Maksimum za penjanje | ZERO | 3 000 | | | |
| A319-131 | ICAO_B | 3 | 6 | Ubrzanje | Maksimum za penjanje | ZERO | | 1 208,7 | 250 | |
| A319-131 | ICAO_B | 3 | 7 | Penjanje | Maksimum za penjanje | ZERO | 5 500 | | | |
| A319-131 | ICAO_B | 3 | 8 | Penjanje | Maksimum za penjanje | ZERO | 7 500 | | | |

▼M2

| ACFTID | Oznaka profila (Profile_ID) | Dulji-na faze | Broj koraka | Tip koraka | Režim rada motora | Zakrilca (Flap_ID) | Visina krajnje točke (ft) | Stopa penjanja (ft/min) | Kalibri-rana brzina leta u krajnjoj točki (kt) | Postot-ak ubrzan-ja (Acce-lera-te_Per-cent) (%) |
|---|---|---|---|---|---|---|---|---|---|---|
| A319-131 | ICAO_B | 3 | 9 | Penjanje | Maksimum za penjanje | ZERO | 10 000 | | | |
| A319-131 | ICAO_B | 4 | 1 | Uzlijeta-nje | Maksimum za uzlijetanje | 1+F | | | | |
| A319-131 | ICAO_B | 4 | 2 | Penjanje | Maksimum za uzlijetanje | 1+F | 1 000 | | | |
| A319-131 | ICAO_B | 4 | 3 | Ubrzanje | Maksimum za uzlijetanje | 1+F | | 880,8 | 195,6 | |
| A319-131 | ICAO_B | 4 | 4 | Ubrzanje | Maksimum za uzlijetanje | 1 | | 1 001,7 | 210,8 | |
| A319-131 | ICAO_B | 4 | 5 | Penjanje | Maksimum za penjanje | ZERO | 3 000 | | | |
| A319-131 | ICAO_B | 4 | 6 | Ubrzanje | Maksimum za penjanje | ZERO | | 1 119,6 | 250 | |
| A319-131 | ICAO_B | 4 | 7 | Penjanje | Maksimum za penjanje | ZERO | 5 500 | | | |
| A319-131 | ICAO_B | 4 | 8 | Penjanje | Maksimum za penjanje | ZERO | 7 500 | | | |
| A319-131 | ICAO_B | 4 | 9 | Penjanje | Maksimum za penjanje | ZERO | 10 000 | | | |
| A319-131 | ICAO_B | 5 | 1 | Uzlijeta-nje | Maksimum za uzlijetanje | 1+F | | | | |
| A319-131 | ICAO_B | 5 | 2 | Ubrzanje | Maksimum za uzlijetanje | 1+F | | 735,2 | 169,7 | |
| A319-131 | ICAO_B | 5 | 3 | Penjanje | Maksimum za uzlijetanje | 1+F | 1 000 | | | |
| A319-131 | ICAO_B | 5 | 4 | Ubrzanje | Maksimum za uzlijetanje | 1+F | | 793,4 | 208,8 | |
| A319-131 | ICAO_B | 5 | 5 | Ubrzanje | Maksimum za uzlijetanje | ZERO | | 860 | 221,2 | |

▼**M2**

| ACFTID | Oznaka profila (Profile_ID) | Dulji-na faze | Broj koraka | Tip koraka | Režim rada motora | Zakrilca (Flap_ID) | Visina krajnje točke (ft) | Stopa penjanja (ft/min) | Kalibri-rana brzina leta u krajnjoj točki (kt) | Postot-ak ubrzan-ja (Acce-lera-te_Per-cent) (%) |
|---|---|---|---|---|---|---|---|---|---|---|
| A319-131 | ICAO_B | 5 | 6 | Penjanje | Maksimum za penjanje | ZERO | 3 000 | | | |
| A319-131 | ICAO_B | 5 | 7 | Ubrzanje | Maksimum za penjanje | ZERO | | 964,2 | 250 | |
| A319-131 | ICAO_B | 5 | 8 | Penjanje | Maksimum za penjanje | ZERO | 5 500 | | | |
| A319-131 | ICAO_B | 5 | 9 | Penjanje | Maksimum za penjanje | ZERO | 7 500 | | | |
| A319-131 | ICAO_B | 5 | 10 | Penjanje | Maksimum za penjanje | ZERO | 10 000 | | | |
| A320-211 | DEFAULT | 1 | 1 | Uzlijeta-nje | Maksimum za uzlijetanje | 1+F | | | | |
| A320-211 | DEFAULT | 1 | 2 | Penjanje | Maksimum za uzlijetanje | 1+F | 1 000 | | | |
| A320-211 | DEFAULT | 1 | 3 | Ubrzanje | Maksimum za uzlijetanje | 1+F | | 1 150,5 | 186,2 | |
| A320-211 | DEFAULT | 1 | 4 | Ubrzanje | Maksimum za uzlijetanje | 1 | | 1 300,7 | 208,1 | |
| A320-211 | DEFAULT | 1 | 5 | Penjanje | Maksimum za penjanje | ZERO | 3 000 | | | |
| A320-211 | DEFAULT | 1 | 6 | Ubrzanje | Maksimum za penjanje | ZERO | | 1 230,7 | 250 | |
| A320-211 | DEFAULT | 1 | 7 | Penjanje | Maksimum za penjanje | ZERO | 5 500 | | | |
| A320-211 | DEFAULT | 1 | 8 | Penjanje | Maksimum za penjanje | ZERO | 7 500 | | | |
| A320-211 | DEFAULT | 1 | 9 | Penjanje | Maksimum za penjanje | ZERO | 10 000 | | | |

▼**M2**

| ACFTID | Oznaka profila (Profile_ID) | Dulji-na faze | Broj koraka | Tip koraka | Režim rada motora | Zakrilca (Flap_ID) | Visina krajnje točke (ft) | Stopa penjanja (ft/min) | Kalibri-rana brzina leta u krajnjoj točki (kt) | Postot-ak ubrzan-ja (Acce-lera-te_Per-cent) (%) |
|---|---|---|---|---|---|---|---|---|---|---|
| A320-211 | DEFAULT | 2 | 1 | Uzlijeta-nje | Maksimum za uzlijetanje | 1+F | | | | |
| A320-211 | DEFAULT | 2 | 2 | Penjanje | Maksimum za uzlijetanje | 1+F | 1 000 | | | |
| A320-211 | DEFAULT | 2 | 3 | Ubrzanje | Maksimum za uzlijetanje | 1+F | | 1 098,5 | 190,2 | |
| A320-211 | DEFAULT | 2 | 4 | Ubrzanje | Maksimum za uzlijetanje | 1 | | 1 243,7 | 210,7 | |
| A320-211 | DEFAULT | 2 | 5 | Penjanje | Maksimum za penjanje | ZERO | 3 000 | | | |
| A320-211 | DEFAULT | 2 | 6 | Ubrzanje | Maksimum za penjanje | ZERO | | 1 171 | 250 | |
| A320-211 | DEFAULT | 2 | 7 | Penjanje | Maksimum za penjanje | ZERO | 5 500 | | | |
| A320-211 | DEFAULT | 2 | 8 | Penjanje | Maksimum za penjanje | ZERO | 7 500 | | | |
| A320-211 | DEFAULT | 2 | 9 | Penjanje | Maksimum za penjanje | ZERO | 10 000 | | | |
| A320-211 | DEFAULT | 3 | 1 | Uzlijeta-nje | Maksimum za uzlijetanje | 1+F | | | | |
| A320-211 | DEFAULT | 3 | 2 | Penjanje | Maksimum za uzlijetanje | 1+F | 1 000 | | | |
| A320-211 | DEFAULT | 3 | 3 | Ubrzanje | Maksimum za uzlijetanje | 1+F | | 1 049,6 | 194,3 | |
| A320-211 | DEFAULT | 3 | 4 | Ubrzanje | Maksimum za uzlijetanje | 1 | | 1 189,2 | 213,5 | |
| A320-211 | DEFAULT | 3 | 5 | Penjanje | Maksimum za penjanje | ZERO | 3 000 | | | |

▼**M2**

| ACFTID | Oznaka profila (Profile_ID) | Dulji-na faze | Broj koraka | Tip koraka | Režim rada motora | Zakrilca (Flap_ID) | Visina krajnje točke (ft) | Stopa penjanja (ft/min) | Kalibri-rana brzina leta u krajnjoj točki (kt) | Postot-ak ubrzan-ja (Acce-lera-te_Per-cent) (%) |
|---|---|---|---|---|---|---|---|---|---|---|
| A320-211 | DEFAULT | 3 | 6 | Ubrzanje | Maksimum za penjanje | ZERO | | 1 113,9 | 250 | |
| A320-211 | DEFAULT | 3 | 7 | Penjanje | Maksimum za penjanje | ZERO | 5 500 | | | |
| A320-211 | DEFAULT | 3 | 8 | Penjanje | Maksimum za penjanje | ZERO | 7 500 | | | |
| A320-211 | DEFAULT | 3 | 9 | Penjanje | Maksimum za penjanje | ZERO | 10 000 | | | |
| A320-211 | DEFAULT | 4 | 1 | Uzlijeta-nje | Maksimum za uzlijetanje | 1+F | | | | |
| A320-211 | DEFAULT | 4 | 2 | Penjanje | Maksimum za uzlijetanje | 1+F | 1 000 | | | |
| A320-211 | DEFAULT | 4 | 3 | Ubrzanje | Maksimum za uzlijetanje | 1+F | | 972,6 | 201,4 | |
| A320-211 | DEFAULT | 4 | 4 | Ubrzanje | Maksimum za uzlijetanje | 1 | | 1 101 | 218,7 | |
| A320-211 | DEFAULT | 4 | 5 | Penjanje | Maksimum za penjanje | ZERO | 3 000 | | | |
| A320-211 | DEFAULT | 4 | 6 | Ubrzanje | Maksimum za penjanje | ZERO | | 1 021 | 250 | |
| A320-211 | DEFAULT | 4 | 7 | Penjanje | Maksimum za penjanje | ZERO | 5 500 | | | |
| A320-211 | DEFAULT | 4 | 8 | Penjanje | Maksimum za penjanje | ZERO | 7 500 | | | |
| A320-211 | DEFAULT | 4 | 9 | Penjanje | Maksimum za penjanje | ZERO | 10 000 | | | |
| A320-211 | DEFAULT | 5 | 1 | Uzlijeta-nje | Maksimum za uzlijetanje | 1+F | | | | |
| A320-211 | DEFAULT | 5 | 2 | Penjanje | Maksimum za uzlijetanje | 1+F | 1 000 | | | |

▼**M2**

| ACFTID | Oznaka profila (Profile_ID) | Dulji-na faze | Broj koraka | Tip koraka | Režim rada motora | Zakrilca (Flap_ID) | Visina krajnje točke (ft) | Stopa penjanja (ft/min) | Kalibri-rana brzina leta u krajnjoj točki (kt) | Postot-ak ubrzan-ja (Acce-lera-te_Per-cent) (%) |
|---|---|---|---|---|---|---|---|---|---|---|
| A320-211 | DEFAULT | 5 | 3 | Ubrzanje | Maksimum za uzlijetanje | 1+F | | 933,1 | 205,1 | |
| A320-211 | DEFAULT | 5 | 4 | Ubrzanje | Maksimum za uzlijetanje | 1 | | 1 056 | 221,4 | |
| A320-211 | DEFAULT | 5 | 5 | Penjanje | Maksimum za penjanje | ZERO | 3 000 | | | |
| A320-211 | DEFAULT | 5 | 6 | Ubrzanje | Maksimum za penjanje | ZERO | | 973,2 | 250 | |
| A320-211 | DEFAULT | 5 | 7 | Penjanje | Maksimum za penjanje | ZERO | 5 500 | | | |
| A320-211 | DEFAULT | 5 | 8 | Penjanje | Maksimum za penjanje | ZERO | 7 500 | | | |
| A320-211 | DEFAULT | 5 | 9 | Penjanje | Maksimum za penjanje | ZERO | 10 000 | | | |
| A320-211 | ICAO_A | 1 | 1 | Uzlijeta-nje | Maksimum za uzlijetanje | 1+F | | | | |
| A320-211 | ICAO_A | 1 | 2 | Penjanje | Maksimum za uzlijetanje | 1+F | 1 500 | | | |
| A320-211 | ICAO_A | 1 | 3 | Penjanje | Maksimum za penjanje | 1+F | 3 000 | | | |
| A320-211 | ICAO_A | 1 | 4 | Ubrzanje | Maksimum za penjanje | 1+F | | 812,1 | 186,1 | |
| A320-211 | ICAO_A | 1 | 5 | Ubrzanje | Maksimum za penjanje | 1 | | 933,5 | 201,2 | |
| A320-211 | ICAO_A | 1 | 6 | Ubrzanje | Maksimum za penjanje | ZERO | | 1 119,7 | 228,2 | |
| A320-211 | ICAO_A | 1 | 7 | Ubrzanje | Maksimum za penjanje | ZERO | | 1 240,5 | 250 | |

▼**M2**

| ACFTID | Oznaka profila (Profile_ID) | Dulji-na faze | Broj koraka | Tip koraka | Režim rada motora | Zakrilca (Flap_ID) | Visina krajnje točke (ft) | Stopa penjanja (ft/min) | Kalibri-rana brzina leta u krajnjoj točki (kt) | Postot-ak ubrzan-ja (Acce-lera-te_Per-cent) (%) |
|---|---|---|---|---|---|---|---|---|---|---|
| A320-211 | ICAO_A | 1 | 8 | Penjanje | Maksimum za penjanje | ZERO | 5 500 | | | |
| A320-211 | ICAO_A | 1 | 9 | Penjanje | Maksimum za penjanje | ZERO | 7 500 | | | |
| A320-211 | ICAO_A | 1 | 10 | Penjanje | Maksimum za penjanje | ZERO | 10 000 | | | |
| A320-211 | ICAO_A | 2 | 1 | Uzlijeta-nje | Maksimum za uzlijetanje | 1+F | | | | |
| A320-211 | ICAO_A | 2 | 2 | Penjanje | Maksimum za uzlijetanje | 1+F | 1 500 | | | |
| A320-211 | ICAO_A | 2 | 3 | Penjanje | Maksimum za penjanje | 1+F | 3 000 | | | |
| A320-211 | ICAO_A | 2 | 4 | Ubrzanje | Maksimum za penjanje | 1+F | | 769,5 | 190,1 | |
| A320-211 | ICAO_A | 2 | 5 | Ubrzanje | Maksimum za penjanje | 1 | | 899,8 | 204,3 | |
| A320-211 | ICAO_A | 2 | 6 | Ubrzanje | Maksimum za penjanje | ZERO | | 1 069,9 | 229,9 | |
| A320-211 | ICAO_A | 2 | 7 | Ubrzanje | Maksimum za penjanje | ZERO | | 1 176,4 | 250 | |
| A320-211 | ICAO_A | 2 | 8 | Penjanje | Maksimum za penjanje | ZERO | 5 500 | | | |
| A320-211 | ICAO_A | 2 | 9 | Penjanje | Maksimum za penjanje | ZERO | 7 500 | | | |
| A320-211 | ICAO_A | 2 | 10 | Penjanje | Maksimum za penjanje | ZERO | 10 000 | | | |
| A320-211 | ICAO_A | 3 | 1 | Uzlijeta-nje | Maksimum za uzlijetanje | 1+F | | | | |

▼M2

| ACFTID | Oznaka profila (Profile_ID) | Dulji-na faze | Broj koraka | Tip koraka | Režim rada motora | Zakrilca (Flap_ID) | Visina krajnje točke (ft) | Stopa penjanja (ft/min) | Kalibri-rana brzina leta u krajnjoj točki (kt) | Postot-ak ubrzan-ja (Acce-lera-te_Per-cent) (%) |
|---|---|---|---|---|---|---|---|---|---|---|
| A320-211 | ICAO_A | 3 | 2 | Penjanje | Maksimum za uzlijetanje | 1+F | 1 500 | | | |
| A320-211 | ICAO_A | 3 | 3 | Penjanje | Maksimum za penjanje | 1+F | 3 000 | | | |
| A320-211 | ICAO_A | 3 | 4 | Ubrzanje | Maksimum za penjanje | 1+F | | 730,3 | 194,1 | |
| A320-211 | ICAO_A | 3 | 5 | Ubrzanje | Maksimum za penjanje | 1 | | 868 | 207,6 | |
| A320-211 | ICAO_A | 3 | 6 | Ubrzanje | Maksimum za penjanje | ZERO | | 1 021,8 | 231,7 | |
| A320-211 | ICAO_A | 3 | 7 | Ubrzanje | Maksimum za penjanje | ZERO | | 1 115,4 | 250 | |
| A320-211 | ICAO_A | 3 | 8 | Penjanje | Maksimum za penjanje | ZERO | 5 500 | | | |
| A320-211 | ICAO_A | 3 | 9 | Penjanje | Maksimum za penjanje | ZERO | 7 500 | | | |
| A320-211 | ICAO_A | 3 | 10 | Penjanje | Maksimum za penjanje | ZERO | 10 000 | | | |
| A320-211 | ICAO_A | 4 | 1 | Uzlijeta-nje | Maksimum za uzlijetanje | 1+F | | | | |
| A320-211 | ICAO_A | 4 | 2 | Penjanje | Maksimum za uzlijetanje | 1+F | 1 500 | | | |
| A320-211 | ICAO_A | 4 | 3 | Penjanje | Maksimum za penjanje | 1+F | 3 000 | | | |
| A320-211 | ICAO_A | 4 | 4 | Ubrzanje | Maksimum za penjanje | 1+F | | 670,3 | 201,2 | |
| A320-211 | ICAO_A | 4 | 5 | Ubrzanje | Maksimum za penjanje | 1 | | 816,4 | 213,5 | |
| A320-211 | ICAO_A | 4 | 6 | Ubrzanje | Maksimum za penjanje | ZERO | | 942 | 235,2 | |

▼**M2**

| ACFTID | Oznaka profila (Profile_ID) | Dulji-na faze | Broj koraka | Tip koraka | Režim rada motora | Zakrilca (Flap_ID) | Visina krajnje točke (ft) | Stopa penjanja (ft/min) | Kalibri-rana brzina leta u krajnjoj točki (kt) | Postot-ak ubrzan-ja (Acce-lera-te_Per-cent) (%) |
|---|---|---|---|---|---|---|---|---|---|---|
| A320-211 | ICAO_A | 4 | 7 | Ubrzanje | Maksimum za penjanje | ZERO | | 1 017,5 | 250 | |
| A320-211 | ICAO_A | 4 | 8 | Penjanje | Maksimum za penjanje | ZERO | 5 500 | | | |
| A320-211 | ICAO_A | 4 | 9 | Penjanje | Maksimum za penjanje | ZERO | 7 500 | | | |
| A320-211 | ICAO_A | 4 | 10 | Penjanje | Maksimum za penjanje | ZERO | 10 000 | | | |
| A320-211 | ICAO_A | 5 | 1 | Uzlijeta-nje | Maksimum za uzlijetanje | 1+F | | | | |
| A320-211 | ICAO_A | 5 | 2 | Penjanje | Maksimum za uzlijetanje | 1+F | 1 500 | | | |
| A320-211 | ICAO_A | 5 | 3 | Penjanje | Maksimum za penjanje | 1+F | 3 000 | | | |
| A320-211 | ICAO_A | 5 | 4 | Ubrzanje | Maksimum za penjanje | 1+F | | 640,5 | 205 | |
| A320-211 | ICAO_A | 5 | 5 | Ubrzanje | Maksimum za penjanje | 1 | | 789,5 | 216,6 | |
| A320-211 | ICAO_A | 5 | 6 | Ubrzanje | Maksimum za penjanje | ZERO | | 899,5 | 237,1 | |
| A320-211 | ICAO_A | 5 | 7 | Ubrzanje | Maksimum za penjanje | ZERO | | 968,2 | 250 | |
| A320-211 | ICAO_A | 5 | 8 | Penjanje | Maksimum za penjanje | ZERO | 5 500 | | | |
| A320-211 | ICAO_A | 5 | 9 | Penjanje | Maksimum za penjanje | ZERO | 7 500 | | | |
| A320-211 | ICAO_A | 5 | 10 | Penjanje | Maksimum za penjanje | ZERO | 10 000 | | | |

▼**M2**

| ACFTID | Oznaka profila (Profile_ID) | Dulji-na faze | Broj koraka | Tip koraka | Režim rada motora | Zakrilca (Flap_ID) | Visina krajnje točke (ft) | Stopa penjanja (ft/min) | Kalibri-rana brzina leta u krajnjoj točki (kt) | Postot-ak ubrzan-ja (Acce-lera-te_Per-cent) (%) |
|---|---|---|---|---|---|---|---|---|---|---|
| A320-211 | ICAO_B | 1 | 1 | Uzlijeta-nje | Maksimum za uzlijetanje | 1+F | | | | |
| A320-211 | ICAO_B | 1 | 2 | Penjanje | Maksimum za uzlijetanje | 1+F | 1 000 | | | |
| A320-211 | ICAO_B | 1 | 3 | Ubrzanje | Maksimum za uzlijetanje | 1+F | | 1 150,5 | 186,2 | |
| A320-211 | ICAO_B | 1 | 4 | Ubrzanje | Maksimum za uzlijetanje | 1 | | 1 300,7 | 208,1 | |
| A320-211 | ICAO_B | 1 | 5 | Penjanje | Maksimum za penjanje | ZERO | 3 000 | | | |
| A320-211 | ICAO_B | 1 | 6 | Ubrzanje | Maksimum za penjanje | ZERO | | 1 230,7 | 250 | |
| A320-211 | ICAO_B | 1 | 7 | Penjanje | Maksimum za penjanje | ZERO | 5 500 | | | |
| A320-211 | ICAO_B | 1 | 8 | Penjanje | Maksimum za penjanje | ZERO | 7 500 | | | |
| A320-211 | ICAO_B | 1 | 9 | Penjanje | Maksimum za penjanje | ZERO | 10 000 | | | |
| A320-211 | ICAO_B | 2 | 1 | Uzlijeta-nje | Maksimum za uzlijetanje | 1+F | | | | |
| A320-211 | ICAO_B | 2 | 2 | Penjanje | Maksimum za uzlijetanje | 1+F | 1 000 | | | |
| A320-211 | ICAO_B | 2 | 3 | Ubrzanje | Maksimum za uzlijetanje | 1+F | | 1 098,5 | 190,2 | |
| A320-211 | ICAO_B | 2 | 4 | Ubrzanje | Maksimum za uzlijetanje | 1 | | 1 243,7 | 210,7 | |
| A320-211 | ICAO_B | 2 | 5 | Penjanje | Maksimum za penjanje | ZERO | 3 000 | | | |
| A320-211 | ICAO_B | 2 | 6 | Ubrzanje | Maksimum za penjanje | ZERO | | 1 171 | 250 | |

▼**M2**

| ACFTID | Oznaka profila (Profile_ID) | Dulji-na faze | Broj koraka | Tip koraka | Režim rada motora | Zakrilca (Flap_ID) | Visina krajnje točke (ft) | Stopa penjanja (ft/min) | Kalibri-rana brzina leta u krajnjoj točki (kt) | Postot-ak ubrzan-ja (Acce-lera-te_Per-cent) (%) |
|---|---|---|---|---|---|---|---|---|---|---|
| A320-211 | ICAO_B | 2 | 7 | Penjanje | Maksimum za penjanje | ZERO | 5 500 | | | |
| A320-211 | ICAO_B | 2 | 8 | Penjanje | Maksimum za penjanje | ZERO | 7 500 | | | |
| A320-211 | ICAO_B | 2 | 9 | Penjanje | Maksimum za penjanje | ZERO | 10 000 | | | |
| A320-211 | ICAO_B | 3 | 1 | Uzlijeta-nje | Maksimum za uzlijetanje | 1+F | | | | |
| A320-211 | ICAO_B | 3 | 2 | Penjanje | Maksimum za uzlijetanje | 1+F | 1 000 | | | |
| A320-211 | ICAO_B | 3 | 3 | Ubrzanje | Maksimum za uzlijetanje | 1+F | | 1 049,6 | 194,3 | |
| A320-211 | ICAO_B | 3 | 4 | Ubrzanje | Maksimum za uzlijetanje | 1 | | 1 189,2 | 213,5 | |
| A320-211 | ICAO_B | 3 | 5 | Penjanje | Maksimum za penjanje | ZERO | 3 000 | | | |
| A320-211 | ICAO_B | 3 | 6 | Ubrzanje | Maksimum za penjanje | ZERO | | 1 113,9 | 250 | |
| A320-211 | ICAO_B | 3 | 7 | Penjanje | Maksimum za penjanje | ZERO | 5 500 | | | |
| A320-211 | ICAO_B | 3 | 8 | Penjanje | Maksimum za penjanje | ZERO | 7 500 | | | |
| A320-211 | ICAO_B | 3 | 9 | Penjanje | Maksimum za penjanje | ZERO | 10 000 | | | |
| A320-211 | ICAO_B | 4 | 1 | Uzlijeta-nje | Maksimum za uzlijetanje | 1+F | | | | |
| A320-211 | ICAO_B | 4 | 2 | Penjanje | Maksimum za uzlijetanje | 1+F | 1 000 | | | |

▼M2

| ACFTID | Oznaka profila (Profile_ID) | Dulji-na faze | Broj koraka | Tip koraka | Režim rada motora | Zakrilca (Flap_ID) | Visina krajnje točke (ft) | Stopa penjanja (ft/min) | Kalibri-rana brzina leta u krajnjoj točki (kt) | Postot-ak ubrzan-ja (Acce-lera-te_Per-cent) (%) |
|---|---|---|---|---|---|---|---|---|---|---|
| A320-211 | ICAO_B | 4 | 3 | Ubrzanje | Maksimum za uzlijetanje | 1+F | | 972,6 | 201,4 | |
| A320-211 | ICAO_B | 4 | 4 | Ubrzanje | Maksimum za uzlijetanje | 1 | | 1 101 | 218,7 | |
| A320-211 | ICAO_B | 4 | 5 | Penjanje | Maksimum za penjanje | ZERO | 3 000 | | | |
| A320-211 | ICAO_B | 4 | 6 | Ubrzanje | Maksimum za penjanje | ZERO | | 1 021 | 250 | |
| A320-211 | ICAO_B | 4 | 7 | Penjanje | Maksimum za penjanje | ZERO | 5 500 | | | |
| A320-211 | ICAO_B | 4 | 8 | Penjanje | Maksimum za penjanje | ZERO | 7 500 | | | |
| A320-211 | ICAO_B | 4 | 9 | Penjanje | Maksimum za penjanje | ZERO | 10 000 | | | |
| A320-211 | ICAO_B | 5 | 1 | Uzlijeta-nje | Maksimum za uzlijetanje | 1+F | | | | |
| A320-211 | ICAO_B | 5 | 2 | Penjanje | Maksimum za uzlijetanje | 1+F | 1 000 | | | |
| A320-211 | ICAO_B | 5 | 3 | Ubrzanje | Maksimum za uzlijetanje | 1+F | | 933,1 | 205,1 | |
| A320-211 | ICAO_B | 5 | 4 | Ubrzanje | Maksimum za uzlijetanje | 1 | | 1 056 | 221,4 | |
| A320-211 | ICAO_B | 5 | 5 | Penjanje | Maksimum za penjanje | ZERO | 3 000 | | | |
| A320-211 | ICAO_B | 5 | 6 | Ubrzanje | Maksimum za penjanje | ZERO | | 973,2 | 250 | |
| A320-211 | ICAO_B | 5 | 7 | Penjanje | Maksimum za penjanje | ZERO | 5 500 | | | |
| A320-211 | ICAO_B | 5 | 8 | Penjanje | Maksimum za penjanje | ZERO | 7 500 | | | |

▼M2

| ACFTID | Oznaka profila (Profile_ID) | Dulji-na faze | Broj koraka | Tip koraka | Režim rada motora | Zakrilca (Flap_ID) | Visina krajnje točke (ft) | Stopa penjanja (ft/min) | Kalibri-rana brzina leta u krajnjoj točki (kt) | Postot-ak ubrzan-ja (Acce-lera-te_Per-cent) (%) |
|---|---|---|---|---|---|---|---|---|---|---|
| A320-211 | ICAO_B | 5 | 9 | Penjanje | Maksimum za penjanje | ZERO | 10 000 | | | |
| A320-232 | DEFAULT | 1 | 1 | Uzlijeta-nje | Maksimum za uzlijetanje | 1+F | | | | |
| A320-232 | DEFAULT | 1 | 2 | Penjanje | Maksimum za uzlijetanje | 1+F | 1 000 | | | |
| A320-232 | DEFAULT | 1 | 3 | Ubrzanje | Maksimum za uzlijetanje | 1+F | | 1 219,6 | 185,5 | |
| A320-232 | DEFAULT | 1 | 4 | Ubrzanje | Maksimum za uzlijetanje | 1 | | 1 372,6 | 208,6 | |
| A320-232 | DEFAULT | 1 | 5 | Penjanje | Maksimum za penjanje | ZERO | 3 000 | | | |
| A320-232 | DEFAULT | 1 | 6 | Ubrzanje | Maksimum za penjanje | ZERO | | 1 192,1 | 250 | |
| A320-232 | DEFAULT | 1 | 7 | Penjanje | Maksimum za penjanje | ZERO | 5 500 | | | |
| A320-232 | DEFAULT | 1 | 8 | Penjanje | Maksimum za penjanje | ZERO | 7 500 | | | |
| A320-232 | DEFAULT | 1 | 9 | Penjanje | Maksimum za penjanje | ZERO | 10 000 | | | |
| A320-232 | DEFAULT | 2 | 1 | Uzlijeta-nje | Maksimum za uzlijetanje | 1+F | | | | |
| A320-232 | DEFAULT | 2 | 2 | Penjanje | Maksimum za uzlijetanje | 1+F | 1 000 | | | |
| A320-232 | DEFAULT | 2 | 3 | Ubrzanje | Maksimum za uzlijetanje | 1+F | | 1 167,9 | 189,3 | |
| A320-232 | DEFAULT | 2 | 4 | Ubrzanje | Maksimum za uzlijetanje | 1 | | 1 315,7 | 211 | |
| A320-232 | DEFAULT | 2 | 5 | Penjanje | Maksimum za penjanje | ZERO | 3 000 | | | |

▼M2

| ACFTID | Oznaka profila (Profile_ID) | Dulji-na faze | Broj koraka | Tip koraka | Režim rada motora | Zakrilca (Flap_ID) | Visina krajnje točke (ft) | Stopa penjanja (ft/min) | Kalibri-rana brzina leta u krajnjoj točki (kt) | Postot-ak ubrzan-ja (Acce-lera-te_Per-cent) (%) |
|---|---|---|---|---|---|---|---|---|---|---|
| A320-232 | DEFAULT | 2 | 6 | Ubrzanje | Maksimum za penjanje | ZERO | | 1 137,4 | 250 | |
| A320-232 | DEFAULT | 2 | 7 | Penjanje | Maksimum za penjanje | ZERO | 5 500 | | | |
| A320-232 | DEFAULT | 2 | 8 | Penjanje | Maksimum za penjanje | ZERO | 7 500 | | | |
| A320-232 | DEFAULT | 2 | 9 | Penjanje | Maksimum za penjanje | ZERO | 10 000 | | | |
| A320-232 | DEFAULT | 3 | 1 | Uzlijeta-nje | Maksimum za uzlijetanje | 1+F | | | | |
| A320-232 | DEFAULT | 3 | 2 | Penjanje | Maksimum za uzlijetanje | 1+F | 1 000 | | | |
| A320-232 | DEFAULT | 3 | 3 | Ubrzanje | Maksimum za uzlijetanje | 1+F | | 1 118,6 | 193,2 | |
| A320-232 | DEFAULT | 3 | 4 | Ubrzanje | Maksimum za uzlijetanje | 1 | | 1 260,6 | 213,6 | |
| A320-232 | DEFAULT | 3 | 5 | Penjanje | Maksimum za penjanje | ZERO | 3 000 | | | |
| A320-232 | DEFAULT | 3 | 6 | Ubrzanje | Maksimum za penjanje | ZERO | | 1 085,2 | 250 | |
| A320-232 | DEFAULT | 3 | 7 | Penjanje | Maksimum za penjanje | ZERO | 5 500 | | | |
| A320-232 | DEFAULT | 3 | 8 | Penjanje | Maksimum za penjanje | ZERO | 7 500 | | | |
| A320-232 | DEFAULT | 3 | 9 | Penjanje | Maksimum za penjanje | ZERO | 10 000 | | | |
| A320-232 | DEFAULT | 4 | 1 | Uzlijeta-nje | Maksimum za uzlijetanje | 1+F | | | | |
| A320-232 | DEFAULT | 4 | 2 | Penjanje | Maksimum za uzlijetanje | 1+F | 1 000 | | | |

▼M2

| ACFTID | Oznaka profila (Profile_ID) | Dulji-na faze | Broj koraka | Tip koraka | Režim rada motora | Zakrilca (Flap_ID) | Visina krajnje točke (ft) | Stopa penjanja (ft/min) | Kalibri-rana brzina leta u krajnjoj točki (kt) | Postot-ak ubrzan-ja (Acce-lera-te_Per-cent) (%) |
|---|---|---|---|---|---|---|---|---|---|---|
| A320-232 | DEFAULT | 4 | 3 | Ubrzanje | Maksimum za uzlijetanje | 1+F | | 1 040,6 | 199,9 | |
| A320-232 | DEFAULT | 4 | 4 | Ubrzanje | Maksimum za uzlijetanje | 1 | | 1 170,7 | 218,4 | |
| A320-232 | DEFAULT | 4 | 5 | Penjanje | Maksimum za penjanje | ZERO | 3 000 | | | |
| A320-232 | DEFAULT | 4 | 6 | Ubrzanje | Maksimum za penjanje | ZERO | | 1 001,5 | 250 | |
| A320-232 | DEFAULT | 4 | 7 | Penjanje | Maksimum za penjanje | ZERO | 5 500 | | | |
| A320-232 | DEFAULT | 4 | 8 | Penjanje | Maksimum za penjanje | ZERO | 7 500 | | | |
| A320-232 | DEFAULT | 4 | 9 | Penjanje | Maksimum za penjanje | ZERO | 10 000 | | | |
| A320-232 | DEFAULT | 5 | 1 | Uzlijeta-nje | Maksimum za uzlijetanje | 1+F | | | | |
| A320-232 | DEFAULT | 5 | 2 | Penjanje | Maksimum za uzlijetanje | 1+F | 1 000 | | | |
| A320-232 | DEFAULT | 5 | 3 | Ubrzanje | Maksimum za uzlijetanje | 1+F | | 921,9 | 210,9 | |
| A320-232 | DEFAULT | 5 | 4 | Ubrzanje | Maksimum za uzlijetanje | 1 | | 1 033,9 | 226,5 | |
| A320-232 | DEFAULT | 5 | 5 | Penjanje | Maksimum za penjanje | ZERO | 3 000 | | | |
| A320-232 | DEFAULT | 5 | 6 | Ubrzanje | Maksimum za penjanje | ZERO | | 876,3 | 250 | |
| A320-232 | DEFAULT | 5 | 7 | Penjanje | Maksimum za penjanje | ZERO | 5 500 | | | |
| A320-232 | DEFAULT | 5 | 8 | Penjanje | Maksimum za penjanje | ZERO | 7 500 | | | |

▼**M2**

| ACFTID | Oznaka profila (Profile_ID) | Dulji-na faze | Broj koraka | Tip koraka | Režim rada motora | Zakrilca (Flap_ID) | Visina krajnje točke (ft) | Stopa penjanja (ft/min) | Kalibri-rana brzina leta u krajnjoj točki (kt) | Postot-ak ubrzan-ja (Acce-lera-te_Per-cent) (%) |
|---|---|---|---|---|---|---|---|---|---|---|
| A320-232 | DEFAULT | 5 | 9 | Penjanje | Maksimum za penjanje | ZERO | 10 000 | | | |
| A320-232 | ICAO_A | 1 | 1 | Uzlijeta-nje | Maksimum za uzlijetanje | 1+F | | | | |
| A320-232 | ICAO_A | 1 | 2 | Penjanje | Maksimum za uzlijetanje | 1+F | 1 500 | | | |
| A320-232 | ICAO_A | 1 | 3 | Penjanje | Maksimum za penjanje | 1+F | 3 000 | | | |
| A320-232 | ICAO_A | 1 | 4 | Ubrzanje | Maksimum za penjanje | 1+F | | 776,1 | 185,4 | |
| A320-232 | ICAO_A | 1 | 5 | Ubrzanje | Maksimum za penjanje | 1 | | 906,7 | 200,1 | |
| A320-232 | ICAO_A | 1 | 6 | Ubrzanje | Maksimum za penjanje | ZERO | | 1 062 | 226 | |
| A320-232 | ICAO_A | 1 | 7 | Ubrzanje | Maksimum za penjanje | ZERO | | 1 218,7 | 250 | |
| A320-232 | ICAO_A | 1 | 8 | Penjanje | Maksimum za penjanje | ZERO | 5 500 | | | |
| A320-232 | ICAO_A | 1 | 9 | Penjanje | Maksimum za penjanje | ZERO | 7 500 | | | |
| A320-232 | ICAO_A | 1 | 10 | Penjanje | Maksimum za penjanje | ZERO | 10 000 | | | |
| A320-232 | ICAO_A | 2 | 1 | Uzlijeta-nje | Maksimum za uzlijetanje | 1+F | | | | |
| A320-232 | ICAO_A | 2 | 2 | Penjanje | Maksimum za uzlijetanje | 1+F | 1 500 | | | |

▼**M2**

| ACFTID | Oznaka profila (Profile_ID) | Dulji-na faze | Broj koraka | Tip koraka | Režim rada motora | Zakrilca (Flap_ID) | Visina krajnje točke (ft) | Stopa penjanja (ft/min) | Kalibri-rana brzina leta u krajnjoj točki (kt) | Postot-ak ubrzan-ja (Acce-lera-te_Per-cent) (%) |
|---|---|---|---|---|---|---|---|---|---|---|
| A320-232 | ICAO_A | 2 | 3 | Penjanje | Maksimum za penjanje | 1+F | 3 000 | | | |
| A320-232 | ICAO_A | 2 | 4 | Ubrzanje | Maksimum za penjanje | 1+F | | 739,7 | 189,1 | |
| A320-232 | ICAO_A | 2 | 5 | Ubrzanje | Maksimum za penjanje | 1 | | 870 | 203 | |
| A320-232 | ICAO_A | 2 | 6 | Ubrzanje | Maksimum za penjanje | ZERO | | 1 015,7 | 227,5 | |
| A320-232 | ICAO_A | 2 | 7 | Ubrzanje | Maksimum za penjanje | ZERO | | 1 160,7 | 250 | |
| A320-232 | ICAO_A | 2 | 8 | Penjanje | Maksimum za penjanje | ZERO | 5 500 | | | |
| A320-232 | ICAO_A | 2 | 9 | Penjanje | Maksimum za penjanje | ZERO | 7 500 | | | |
| A320-232 | ICAO_A | 2 | 10 | Penjanje | Maksimum za penjanje | ZERO | 10 000 | | | |
| A320-232 | ICAO_A | 3 | 1 | Uzlijeta-nje | Maksimum za uzlijetanje | 1+F | | | | |
| A320-232 | ICAO_A | 3 | 2 | Penjanje | Maksimum za uzlijetanje | 1+F | 1 500 | | | |
| A320-232 | ICAO_A | 3 | 3 | Penjanje | Maksimum za penjanje | 1+F | 3 000 | | | |
| A320-232 | ICAO_A | 3 | 4 | Ubrzanje | Maksimum za penjanje | 1+F | | 705 | 193 | |
| A320-232 | ICAO_A | 3 | 5 | Ubrzanje | Maksimum za penjanje | 1 | | 834,6 | 206,1 | |

▼**M2**

| ACFTID | Oznaka profila (Profile_ID) | Dulji-na faze | Broj koraka | Tip koraka | Režim rada motora | Zakrilca (Flap_ID) | Visina krajnje točke (ft) | Stopa penjanja (ft/min) | Kalibri-rana brzina leta u krajnjoj točki (kt) | Postot-ak ubrzan-ja (Acce-lera-te_Per-cent) (%) |
|---|---|---|---|---|---|---|---|---|---|---|
| A320-232 | ICAO_A | 3 | 6 | Ubrzanje | Maksimum za penjanje | ZERO | | 971,6 | 229,2 | |
| A320-232 | ICAO_A | 3 | 7 | Ubrzanje | Maksimum za penjanje | ZERO | | 1 105,4 | 250 | |
| A320-232 | ICAO_A | 3 | 8 | Penjanje | Maksimum za penjanje | ZERO | 5 500 | | | |
| A320-232 | ICAO_A | 3 | 9 | Penjanje | Maksimum za penjanje | ZERO | 7 500 | | | |
| A320-232 | ICAO_A | 3 | 10 | Penjanje | Maksimum za penjanje | ZERO | 10 000 | | | |
| A320-232 | ICAO_A | 4 | 1 | Uzlijeta-nje | Maksimum za uzlijetanje | 1+F | | | | |
| A320-232 | ICAO_A | 4 | 2 | Penjanje | Maksimum za uzlijetanje | 1+F | 1 500 | | | |
| A320-232 | ICAO_A | 4 | 3 | Penjanje | Maksimum za penjanje | 1+F | 3 000 | | | |
| A320-232 | ICAO_A | 4 | 4 | Ubrzanje | Maksimum za penjanje | 1+F | | 650,5 | 199,8 | |
| A320-232 | ICAO_A | 4 | 5 | Ubrzanje | Maksimum za penjanje | 1 | | 776,9 | 211,6 | |
| A320-232 | ICAO_A | 4 | 6 | Ubrzanje | Maksimum za penjanje | ZERO | | 901,1 | 232,6 | |
| A320-232 | ICAO_A | 4 | 7 | Ubrzanje | Maksimum za penjanje | ZERO | | 1 016,8 | 250 | |
| A320-232 | ICAO_A | 4 | 8 | Penjanje | Maksimum za penjanje | ZERO | 5 500 | | | |

▼**M2**

| ACFTID | Oznaka profila (Profile_ID) | Dulji-na faze | Broj koraka | Tip koraka | Režim rada motora | Zakrilca (Flap_ID) | Visina krajnje točke (ft) | Stopa penjanja (ft/min) | Kalibri-rana brzina leta u krajnjoj točki (kt) | Postot-ak ubrzan-ja (Acce-lera-te_Per-cent) (%) |
|---|---|---|---|---|---|---|---|---|---|---|
| A320-232 | ICAO_A | 4 | 9 | Penjanje | Maksimum za penjanje | ZERO | 7 500 | | | |
| A320-232 | ICAO_A | 4 | 10 | Penjanje | Maksimum za penjanje | ZERO | 10 000 | | | |
| A320-232 | ICAO_A | 5 | 1 | Uzlijeta-nje | Maksimum za uzlijetanje | 1+F | | | | |
| A320-232 | ICAO_A | 5 | 2 | Penjanje | Maksimum za uzlijetanje | 1+F | 1 500 | | | |
| A320-232 | ICAO_A | 5 | 3 | Penjanje | Maksimum za penjanje | 1+F | 3 000 | | | |
| A320-232 | ICAO_A | 5 | 4 | Ubrzanje | Maksimum za penjanje | 1+F | | 568,3 | 210,7 | |
| A320-232 | ICAO_A | 5 | 5 | Ubrzanje | Maksimum za penjanje | 1 | | 687,3 | 220,6 | |
| A320-232 | ICAO_A | 5 | 6 | Ubrzanje | Maksimum za penjanje | ZERO | | 794,5 | 238,5 | |
| A320-232 | ICAO_A | 5 | 7 | Ubrzanje | Maksimum za penjanje | ZERO | | 884,4 | 250 | |
| A320-232 | ICAO_A | 5 | 8 | Penjanje | Maksimum za penjanje | ZERO | 5 500 | | | |
| A320-232 | ICAO_A | 5 | 9 | Penjanje | Maksimum za penjanje | ZERO | 7 500 | | | |
| A320-232 | ICAO_A | 5 | 10 | Penjanje | Maksimum za penjanje | ZERO | 10 000 | | | |
| A320-232 | ICAO_B | 1 | 1 | Uzlijeta-nje | Maksimum za uzlijetanje | 1+F | | | | |

▼**M2**

| ACFTID | Oznaka profila (Profile_ID) | Dulji-na faze | Broj koraka | Tip koraka | Režim rada motora | Zakrilca (Flap_ID) | Visina krajnje točke (ft) | Stopa penjanja (ft/min) | Kalibri-rana brzina leta u krajnjoj točki (kt) | Postot-ak ubrzan-ja (Acce-lera-te_Per-cent) (%) |
|---|---|---|---|---|---|---|---|---|---|---|
| A320-232 | ICAO_B | 1 | 2 | Penjanje | Maksimum za uzlijetanje | 1+F | 1 000 | | | |
| A320-232 | ICAO_B | 1 | 3 | Ubrzanje | Maksimum za uzlijetanje | 1+F | | 1 219,6 | 185,5 | |
| A320-232 | ICAO_B | 1 | 4 | Ubrzanje | Maksimum za uzlijetanje | 1 | | 1 372,6 | 208,6 | |
| A320-232 | ICAO_B | 1 | 5 | Penjanje | Maksimum za penjanje | ZERO | 3 000 | | | |
| A320-232 | ICAO_B | 1 | 6 | Ubrzanje | Maksimum za penjanje | ZERO | | 1 192,1 | 250 | |
| A320-232 | ICAO_B | 1 | 7 | Penjanje | Maksimum za penjanje | ZERO | 5 500 | | | |
| A320-232 | ICAO_B | 1 | 8 | Penjanje | Maksimum za penjanje | ZERO | 7 500 | | | |
| A320-232 | ICAO_B | 1 | 9 | Penjanje | Maksimum za penjanje | ZERO | 10 000 | | | |
| A320-232 | ICAO_B | 2 | 1 | Uzlijeta-nje | Maksimum za uzlijetanje | 1+F | | | | |
| A320-232 | ICAO_B | 2 | 2 | Penjanje | Maksimum za uzlijetanje | 1+F | 1 000 | | | |
| A320-232 | ICAO_B | 2 | 3 | Ubrzanje | Maksimum za uzlijetanje | 1+F | | 1 167,9 | 189,3 | |
| A320-232 | ICAO_B | 2 | 4 | Ubrzanje | Maksimum za uzlijetanje | 1 | | 1 315,7 | 211 | |
| A320-232 | ICAO_B | 2 | 5 | Penjanje | Maksimum za penjanje | ZERO | 3 000 | | | |

▼M2

| ACFTID | Oznaka profila (Profile_ID) | Dulji-na faze | Broj koraka | Tip koraka | Režim rada motora | Zakrilca (Flap_ID) | Visina krajnje točke (ft) | Stopa penjanja (ft/min) | Kalibri-rana brzina leta u krajnjoj točki (kt) | Postot-ak ubrzan-ja (Acce-lera-te_Per-cent) (%) |
|---|---|---|---|---|---|---|---|---|---|---|
| A320-232 | ICAO_B | 2 | 6 | Ubrzanje | Maksimum za penjanje | ZERO | | 1 137,4 | 250 | |
| A320-232 | ICAO_B | 2 | 7 | Penjanje | Maksimum za penjanje | ZERO | 5 500 | | | |
| A320-232 | ICAO_B | 2 | 8 | Penjanje | Maksimum za penjanje | ZERO | 7 500 | | | |
| A320-232 | ICAO_B | 2 | 9 | Penjanje | Maksimum za penjanje | ZERO | 10 000 | | | |
| A320-232 | ICAO_B | 3 | 1 | Uzlijeta-nje | Maksimum za uzlijetanje | 1+F | | | | |
| A320-232 | ICAO_B | 3 | 2 | Penjanje | Maksimum za uzlijetanje | 1+F | 1 000 | | | |
| A320-232 | ICAO_B | 3 | 3 | Ubrzanje | Maksimum za uzlijetanje | 1+F | | 1 118,6 | 193,2 | |
| A320-232 | ICAO_B | 3 | 4 | Ubrzanje | Maksimum za uzlijetanje | 1 | | 1 260,6 | 213,6 | |
| A320-232 | ICAO_B | 3 | 5 | Penjanje | Maksimum za penjanje | ZERO | 3 000 | | | |
| A320-232 | ICAO_B | 3 | 6 | Ubrzanje | Maksimum za penjanje | ZERO | | 1 085,2 | 250 | |
| A320-232 | ICAO_B | 3 | 7 | Penjanje | Maksimum za penjanje | ZERO | 5 500 | | | |
| A320-232 | ICAO_B | 3 | 8 | Penjanje | Maksimum za penjanje | ZERO | 7 500 | | | |
| A320-232 | ICAO_B | 3 | 9 | Penjanje | Maksimum za penjanje | ZERO | 10 000 | | | |

▼M2

*Tablica I-4 (3. dio)*

**Uobičajeni proceduralni koraci pri odletu**

| ACFTID | Oznaka profila (Profile_ID) | Duljina faze | Broj koraka | Tip koraka | Režim rada motora | Zakrilca (Flap_ID) | Visina krajnje točke (ft) | Stopa penjanja (ft/min) | Kalibrirana brzina leta u krajnjoj točki (kt) | Postotak ubrzanja (Accelerate_Percent) (%) |
|---|---|---|---|---|---|---|---|---|---|---|
| A320-232 | ICAO_B | 4 | 1 | Uzlijetanje | Maksimum za uzlijetanje | 1+F | | | | |
| A320-232 | ICAO_B | 4 | 2 | Penjanje | Maksimum za uzlijetanje | 1+F | 1 000 | | | |
| A320-232 | ICAO_B | 4 | 3 | Ubrzanje | Maksimum za uzlijetanje | 1+F | | 1 040,6 | 199,9 | |
| A320-232 | ICAO_B | 4 | 4 | Ubrzanje | Maksimum za uzlijetanje | 1 | | 1 170,7 | 218,4 | |
| A320-232 | ICAO_B | 4 | 5 | Penjanje | Maksimum za penjanje | ZERO | 3 000 | | | |
| A320-232 | ICAO_B | 4 | 6 | Ubrzanje | Maksimum za penjanje | ZERO | | 1 001,5 | 250 | |
| A320-232 | ICAO_B | 4 | 7 | Penjanje | Maksimum za penjanje | ZERO | 5 500 | | | |
| A320-232 | ICAO_B | 4 | 8 | Penjanje | Maksimum za penjanje | ZERO | 7 500 | | | |
| A320-232 | ICAO_B | 4 | 9 | Penjanje | Maksimum za penjanje | ZERO | 10 000 | | | |
| A320-232 | ICAO_B | 5 | 1 | Uzlijetanje | Maksimum za uzlijetanje | 1+F | | | | |
| A320-232 | ICAO_B | 5 | 2 | Penjanje | Maksimum za uzlijetanje | 1+F | 1 000 | | | |
| A320-232 | ICAO_B | 5 | 3 | Ubrzanje | Maksimum za uzlijetanje | 1+F | | 921,9 | 210,9 | |
| A320-232 | ICAO_B | 5 | 4 | Ubrzanje | Maksimum za uzlijetanje | 1 | | 1 033,9 | 226,5 | |
| A320-232 | ICAO_B | 5 | 5 | Penjanje | Maksimum za penjanje | ZERO | 3 000 | | | |

▼**M2**

| ACFTID | Oznaka profila (Profile_ID) | Duljina faze | Broj koraka | Tip koraka | Režim rada motora | Zakrilca (Flap_ID) | Visina krajnje točke (ft) | Stopa penjanja (ft/min) | Kalibrirana brzina leta u krajnjoj točki (kt) | Postotak ubrzanja (Accelerate_Percent) (%) |
|---|---|---|---|---|---|---|---|---|---|---|
| A320-232 | ICAO_B | 5 | 6 | Ubrzanje | Maksimum za penjanje | ZERO | | 876,3 | 250 | |
| A320-232 | ICAO_B | 5 | 7 | Penjanje | Maksimum za penjanje | ZERO | 5 500 | | | |
| A320-232 | ICAO_B | 5 | 8 | Penjanje | Maksimum za penjanje | ZERO | 7 500 | | | |
| A320-232 | ICAO_B | 5 | 9 | Penjanje | Maksimum za penjanje | ZERO | 10 000 | | | |
| A321-232 | DEFAULT | 1 | 1 | Uzlijetanje | Maksimum za uzlijetanje | 1+F | | | | |
| A321-232 | DEFAULT | 1 | 2 | Penjanje | Maksimum za uzlijetanje | 1+F | 1 000 | | | |
| A321-232 | DEFAULT | 1 | 3 | Ubrzanje | Maksimum za uzlijetanje | 1+F | | 1 235,6 | 195 | |
| A321-232 | DEFAULT | 1 | 4 | Ubrzanje | Maksimum za uzlijetanje | 1 | | 1 376 | 219,7 | |
| A321-232 | DEFAULT | 1 | 5 | Penjanje | Maksimum za penjanje | ZERO | 3 000 | | | |
| A321-232 | DEFAULT | 1 | 6 | Ubrzanje | Maksimum za penjanje | ZERO | | 1 127,8 | 250 | |
| A321-232 | DEFAULT | 1 | 7 | Penjanje | Maksimum za penjanje | ZERO | 5 500 | | | |
| A321-232 | DEFAULT | 1 | 8 | Penjanje | Maksimum za penjanje | ZERO | 7 500 | | | |
| A321-232 | DEFAULT | 1 | 9 | Penjanje | Maksimum za penjanje | ZERO | 10 000 | | | |
| A321-232 | DEFAULT | 2 | 1 | Uzlijetanje | Maksimum za uzlijetanje | 1+F | | | | |

▼**M2**

| ACFTID | Oznaka profila (Profile_ID) | Duljina faze | Broj koraka | Tip koraka | Režim rada motora | Zakrilca (Flap_ID) | Visina krajnje točke (ft) | Stopa penjanja (ft/min) | Kalibrirana brzina leta u krajnjoj točki (kt) | Postotak ubrzanja (Accelerate_Percent) (%) |
|---|---|---|---|---|---|---|---|---|---|---|
| A321-232 | DEFAULT | 2 | 2 | Penjanje | Maksimum za uzlijetanje | 1+F | 1 000 | | | |
| A321-232 | DEFAULT | 2 | 3 | Ubrzanje | Maksimum za uzlijetanje | 1+F | | 1 180,9 | 199 | |
| A321-232 | DEFAULT | 2 | 4 | Ubrzanje | Maksimum za uzlijetanje | 1 | | 1 316,8 | 222,2 | |
| A321-232 | DEFAULT | 2 | 5 | Penjanje | Maksimum za penjanje | ZERO | 3 000 | | | |
| A321-232 | DEFAULT | 2 | 6 | Ubrzanje | Maksimum za penjanje | ZERO | | 1 070,3 | 250 | |
| A321-232 | DEFAULT | 2 | 7 | Penjanje | Maksimum za penjanje | ZERO | 5 500 | | | |
| A321-232 | DEFAULT | 2 | 8 | Penjanje | Maksimum za penjanje | ZERO | 7 500 | | | |
| A321-232 | DEFAULT | 2 | 9 | Penjanje | Maksimum za penjanje | ZERO | 10 000 | | | |
| A321-232 | DEFAULT | 3 | 1 | Uzlijetanje | Maksimum za uzlijetanje | 1+F | | | | |
| A321-232 | DEFAULT | 3 | 2 | Penjanje | Maksimum za uzlijetanje | 1+F | 1 000 | | | |
| A321-232 | DEFAULT | 3 | 3 | Ubrzanje | Maksimum za uzlijetanje | 1+F | | 1 127,9 | 203 | |
| A321-232 | DEFAULT | 3 | 4 | Ubrzanje | Maksimum za uzlijetanje | 1 | | 1 259,2 | 224,8 | |
| A321-232 | DEFAULT | 3 | 5 | Penjanje | Maksimum za penjanje | ZERO | 3 000 | | | |
| A321-232 | DEFAULT | 3 | 6 | Ubrzanje | Maksimum za penjanje | ZERO | | 1 015,1 | 250 | |

▼M2

| ACFTID | Oznaka profila (Profile_ID) | Duljina faze | Broj koraka | Tip koraka | Režim rada motora | Zakrilca (Flap_ID) | Visina krajnje točke (ft) | Stopa penjanja (ft/min) | Kalibrirana brzina leta u krajnjoj točki (kt) | Postotak ubrzanja (Accelerate_Percent) (%) |
|---|---|---|---|---|---|---|---|---|---|---|
| A321-232 | DEFAULT | 3 | 7 | Penjanje | Maksimum za penjanje | ZERO | 5 500 | | | |
| A321-232 | DEFAULT | 3 | 8 | Penjanje | Maksimum za penjanje | ZERO | 7 500 | | | |
| A321-232 | DEFAULT | 3 | 9 | Penjanje | Maksimum za penjanje | ZERO | 10 000 | | | |
| A321-232 | DEFAULT | 4 | 1 | Uzlijetanje | Maksimum za uzlijetanje | 1+F | | | | |
| A321-232 | DEFAULT | 4 | 2 | Penjanje | Maksimum za uzlijetanje | 1+F | 1 000 | | | |
| A321-232 | DEFAULT | 4 | 3 | Ubrzanje | Maksimum za uzlijetanje | 1+F | | 1 039 | 209 | |
| A321-232 | DEFAULT | 4 | 4 | Ubrzanje | Maksimum za uzlijetanje | 1 | | 1 161,6 | 228,6 | |
| A321-232 | DEFAULT | 4 | 5 | Penjanje | Maksimum za penjanje | ZERO | 3 000 | | | |
| A321-232 | DEFAULT | 4 | 6 | Ubrzanje | Maksimum za penjanje | ZERO | | 923,7 | 250 | |
| A321-232 | DEFAULT | 4 | 7 | Penjanje | Maksimum za penjanje | ZERO | 5 500 | | | |
| A321-232 | DEFAULT | 4 | 8 | Penjanje | Maksimum za penjanje | ZERO | 7 500 | | | |
| A321-232 | DEFAULT | 4 | 9 | Penjanje | Maksimum za penjanje | ZERO | 10 000 | | | |
| A321-232 | DEFAULT | 5 | 1 | Uzlijetanje | Maksimum za uzlijetanje | 1+F | | | | |

▼M2

| ACFTID | Oznaka profila (Profile_ID) | Duljina faze | Broj koraka | Tip koraka | Režim rada motora | Zakrilca (Flap_ID) | Visina krajnje točke (ft) | Stopa penjanja (ft/min) | Kalibrirana brzina leta u krajnjoj točki (kt) | Postotak ubrzanja (Accelerate_Percent) (%) |
|---|---|---|---|---|---|---|---|---|---|---|
| A321-232 | DEFAULT | 5 | 2 | Penjanje | Maksimum za uzlijetanje | 1+F | 1 000 | | | |
| A321-232 | DEFAULT | 5 | 3 | Ubrzanje | Maksimum za uzlijetanje | 1+F | | 889,6 | 210 | |
| A321-232 | DEFAULT | 5 | 4 | Ubrzanje | Maksimum za uzlijetanje | 1 | | 969,1 | 226,5 | |
| A321-232 | DEFAULT | 5 | 5 | Penjanje | Maksimum za penjanje | ZERO | 3 000 | | | |
| A321-232 | DEFAULT | 5 | 6 | Ubrzanje | Maksimum za penjanje | ZERO | | 752,3 | 250 | |
| A321-232 | DEFAULT | 5 | 7 | Penjanje | Maksimum za penjanje | ZERO | 5 500 | | | |
| A321-232 | DEFAULT | 5 | 8 | Penjanje | Maksimum za penjanje | ZERO | 7 500 | | | |
| A321-232 | DEFAULT | 5 | 9 | Penjanje | Maksimum za penjanje | ZERO | 10 000 | | | |
| A321-232 | ICAO_A | 1 | 1 | Uzlijetanje | Maksimum za uzlijetanje | 1+F | | | | |
| A321-232 | ICAO_A | 1 | 2 | Penjanje | Maksimum za uzlijetanje | 1+F | 1 500 | | | |
| A321-232 | ICAO_A | 1 | 3 | Penjanje | Maksimum za penjanje | 1+F | 3 000 | | | |
| A321-232 | ICAO_A | 1 | 4 | Ubrzanje | Maksimum za penjanje | 1+F | | 819,7 | 194,9 | |
| A321-232 | ICAO_A | 1 | 5 | Ubrzanje | Maksimum za penjanje | 1 | | 920,7 | 210,8 | |
| A321-232 | ICAO_A | 1 | 6 | Ubrzanje | Maksimum za penjanje | ZERO | | 1 039,9 | 234,6 | |

▼M2

| ACFTID | Oznaka profila (Profile_ID) | Duljina faze | Broj koraka | Tip koraka | Režim rada motora | Zakrilca (Flap_ID) | Visina krajnje točke (ft) | Stopa penjanja (ft/min) | Kalibrirana brzina leta u krajnjoj točki (kt) | Postotak ubrzanja (Accelerate_Percent) (%) |
|---|---|---|---|---|---|---|---|---|---|---|
| A321-232 | ICAO_A | 1 | 7 | Ubrzanje | Maksimum za penjanje | ZERO | | 1 125,4 | 250 | |
| A321-232 | ICAO_A | 1 | 8 | Penjanje | Maksimum za penjanje | ZERO | 5 500 | | | |
| A321-232 | ICAO_A | 1 | 9 | Penjanje | Maksimum za penjanje | ZERO | 7 500 | | | |
| A321-232 | ICAO_A | 1 | 10 | Penjanje | Maksimum za penjanje | ZERO | 10 000 | | | |
| A321-232 | ICAO_A | 2 | 1 | Uzlijetanje | Maksimum za uzlijetanje | 1+F | | | | |
| A321-232 | ICAO_A | 2 | 2 | Penjanje | Maksimum za uzlijetanje | 1+F | 1 500 | | | |
| A321-232 | ICAO_A | 2 | 3 | Penjanje | Maksimum za penjanje | 1+F | 3 000 | | | |
| A321-232 | ICAO_A | 2 | 4 | Ubrzanje | Maksimum za penjanje | 1+F | | 778,4 | 198,9 | |
| A321-232 | ICAO_A | 2 | 5 | Ubrzanje | Maksimum za penjanje | 1 | | 874,3 | 213,7 | |
| A321-232 | ICAO_A | 2 | 6 | Ubrzanje | Maksimum za penjanje | ZERO | | 987,1 | 236,1 | |
| A321-232 | ICAO_A | 2 | 7 | Ubrzanje | Maksimum za penjanje | ZERO | | 1 066,3 | 250 | |
| A321-232 | ICAO_A | 2 | 8 | Penjanje | Maksimum za penjanje | ZERO | 5 500 | | | |
| A321-232 | ICAO_A | 2 | 9 | Penjanje | Maksimum za penjanje | ZERO | 7 500 | | | |
| A321-232 | ICAO_A | 2 | 10 | Penjanje | Maksimum za penjanje | ZERO | 10 000 | | | |

▼M2

| ACFTID | Oznaka profila (Profile_ID) | Duljina faze | Broj koraka | Tip koraka | Režim rada motora | Zakrilca (Flap_ID) | Visina krajnje točke (ft) | Stopa penjanja (ft/min) | Kalibrirana brzina leta u krajnjoj točki (kt) | Postotak ubrzanja (Accelerate_Percent) (%) |
|---|---|---|---|---|---|---|---|---|---|---|
| A321-232 | ICAO_A | 3 | 1 | Uzlijetanje | Maksimum za uzlijetanje | 1+F | | | | |
| A321-232 | ICAO_A | 3 | 2 | Penjanje | Maksimum za uzlijetanje | 1+F | 1 500 | | | |
| A321-232 | ICAO_A | 3 | 3 | Penjanje | Maksimum za penjanje | 1+F | 3 000 | | | |
| A321-232 | ICAO_A | 3 | 4 | Ubrzanje | Maksimum za penjanje | 1+F | | 737,9 | 202,9 | |
| A321-232 | ICAO_A | 3 | 5 | Ubrzanje | Maksimum za penjanje | 1 | | 829,1 | 216,7 | |
| A321-232 | ICAO_A | 3 | 6 | Ubrzanje | Maksimum za penjanje | ZERO | | 936,1 | 237,7 | |
| A321-232 | ICAO_A | 3 | 7 | Ubrzanje | Maksimum za penjanje | ZERO | | 1 009,5 | 250 | |
| A321-232 | ICAO_A | 3 | 8 | Penjanje | Maksimum za penjanje | ZERO | 5 500 | | | |
| A321-232 | ICAO_A | 3 | 9 | Penjanje | Maksimum za penjanje | ZERO | 7 500 | | | |
| A321-232 | ICAO_A | 3 | 10 | Penjanje | Maksimum za penjanje | ZERO | 10 000 | | | |
| A321-232 | ICAO_A | 4 | 1 | Uzlijetanje | Maksimum za uzlijetanje | 1+F | | | | |
| A321-232 | ICAO_A | 4 | 2 | Penjanje | Maksimum za uzlijetanje | 1+F | 1 500 | | | |
| A321-232 | ICAO_A | 4 | 3 | Penjanje | Maksimum za penjanje | 1+F | 3 000 | | | |
| A321-232 | ICAO_A | 4 | 4 | Ubrzanje | Maksimum za penjanje | 1+F | | 670,5 | 209,9 | |

▼M2

| ACFTID | Oznaka profila (Profile_ID) | Duljina faze | Broj koraka | Tip koraka | Režim rada motora | Zakrilca (Flap_ID) | Visina krajnje točke (ft) | Stopa penjanja (ft/min) | Kalibrirana brzina leta u krajnjoj točki (kt) | Postotak ubrzanja (Accelerate_Percent) (%) |
|---|---|---|---|---|---|---|---|---|---|---|
| A321-232 | ICAO_A | 4 | 5 | Ubrzanje | Maksimum za penjanje | 1 | | 754,2 | 222,1 | |
| A321-232 | ICAO_A | 4 | 6 | Ubrzanje | Maksimum za penjanje | ZERO | | 852,9 | 240,9 | |
| A321-232 | ICAO_A | 4 | 7 | Ubrzanje | Maksimum za penjanje | ZERO | | 917,2 | 250 | |
| A321-232 | ICAO_A | 4 | 8 | Penjanje | Maksimum za penjanje | ZERO | 5 500 | | | |
| A321-232 | ICAO_A | 4 | 9 | Penjanje | Maksimum za penjanje | ZERO | 7 500 | | | |
| A321-232 | ICAO_A | 4 | 10 | Penjanje | Maksimum za penjanje | ZERO | 10 000 | | | |
| A321-232 | ICAO_A | 5 | 1 | Uzlijetanje | Maksimum za uzlijetanje | 1+F | | | | |
| A321-232 | ICAO_A | 5 | 2 | Penjanje | Maksimum za uzlijetanje | 1+F | 1 500 | | | |
| A321-232 | ICAO_A | 5 | 3 | Penjanje | Maksimum za penjanje | 1+F | 3 000 | | | |
| A321-232 | ICAO_A | 5 | 4 | Ubrzanje | Maksimum za penjanje | 1+F | | 551,5 | 210 | |
| A321-232 | ICAO_A | 5 | 5 | Ubrzanje | Maksimum za penjanje | 1 | | 604,9 | 219,9 | |
| A321-232 | ICAO_A | 5 | 6 | Ubrzanje | Maksimum za penjanje | ZERO | | 685,2 | 235,3 | |
| A321-232 | ICAO_A | 5 | 7 | Ubrzanje | Maksimum za penjanje | ZERO | | 749,8 | 250 | |

▼**M2**

| ACFTID | Oznaka profila (Profile_ID) | Duljina faze | Broj koraka | Tip koraka | Režim rada motora | Zakrilca (Flap_ID) | Visina krajnje točke (ft) | Stopa penjanja (ft/min) | Kalibrirana brzina leta u krajnjoj točki (kt) | Postotak ubrzanja (Accelerate_Percent) (%) |
|---|---|---|---|---|---|---|---|---|---|---|
| A321-232 | ICAO_A | 5 | 8 | Penjanje | Maksimum za penjanje | ZERO | 5 500 | | | |
| A321-232 | ICAO_A | 5 | 9 | Penjanje | Maksimum za penjanje | ZERO | 7 500 | | | |
| A321-232 | ICAO_A | 5 | 10 | Penjanje | Maksimum za penjanje | ZERO | 10 000 | | | |
| A321-232 | ICAO_B | 1 | 1 | Uzlijetanje | Maksimum za uzlijetanje | 1+F | | | | |
| A321-232 | ICAO_B | 1 | 2 | Penjanje | Maksimum za uzlijetanje | 1+F | 1 000 | | | |
| A321-232 | ICAO_B | 1 | 3 | Ubrzanje | Maksimum za uzlijetanje | 1+F | | 1 235,6 | 195 | |
| A321-232 | ICAO_B | 1 | 4 | Ubrzanje | Maksimum za uzlijetanje | 1 | | 1 376 | 219,7 | |
| A321-232 | ICAO_B | 1 | 5 | Penjanje | Maksimum za penjanje | ZERO | 3 000 | | | |
| A321-232 | ICAO_B | 1 | 6 | Ubrzanje | Maksimum za penjanje | ZERO | | 1 127,8 | 250 | |
| A321-232 | ICAO_B | 1 | 7 | Penjanje | Maksimum za penjanje | ZERO | 5 500 | | | |
| A321-232 | ICAO_B | 1 | 8 | Penjanje | Maksimum za penjanje | ZERO | 7 500 | | | |
| A321-232 | ICAO_B | 1 | 9 | Penjanje | Maksimum za penjanje | ZERO | 10 000 | | | |
| A321-232 | ICAO_B | 2 | 1 | Uzlijetanje | Maksimum za uzlijetanje | 1+F | | | | |
| A321-232 | ICAO_B | 2 | 2 | Penjanje | Maksimum za uzlijetanje | 1+F | 1 000 | | | |

▼M2

| ACFTID | Oznaka profila (Profile_ID) | Duljina faze | Broj koraka | Tip koraka | Režim rada motora | Zakrilca (Flap_ID) | Visina krajnje točke (ft) | Stopa penjanja (ft/min) | Kalibrirana brzina leta u krajnjoj točki (kt) | Postotak ubrzanja (Accelerate_Percent) (%) |
|---|---|---|---|---|---|---|---|---|---|---|
| A321-232 | ICAO_B | 2 | 3 | Ubrzanje | Maksimum za uzlijetanje | 1+F | | 1 180,9 | 199 | |
| A321-232 | ICAO_B | 2 | 4 | Ubrzanje | Maksimum za uzlijetanje | 1 | | 1 316,8 | 222,2 | |
| A321-232 | ICAO_B | 2 | 5 | Penjanje | Maksimum za penjanje | ZERO | 3 000 | | | |
| A321-232 | ICAO_B | 2 | 6 | Ubrzanje | Maksimum za penjanje | ZERO | | 1 070,3 | 250 | |
| A321-232 | ICAO_B | 2 | 7 | Penjanje | Maksimum za penjanje | ZERO | 5 500 | | | |
| A321-232 | ICAO_B | 2 | 8 | Penjanje | Maksimum za penjanje | ZERO | 7 500 | | | |
| A321-232 | ICAO_B | 2 | 9 | Penjanje | Maksimum za penjanje | ZERO | 10 000 | | | |
| A321-232 | ICAO_B | 3 | 1 | Uzlijetanje | Maksimum za uzlijetanje | 1+F | | | | |
| A321-232 | ICAO_B | 3 | 2 | Penjanje | Maksimum za uzlijetanje | 1+F | 1 000 | | | |
| A321-232 | ICAO_B | 3 | 3 | Ubrzanje | Maksimum za uzlijetanje | 1+F | | 1 127,9 | 203 | |
| A321-232 | ICAO_B | 3 | 4 | Ubrzanje | Maksimum za uzlijetanje | 1 | | 1 259,2 | 224,8 | |
| A321-232 | ICAO_B | 3 | 5 | Penjanje | Maksimum za penjanje | ZERO | 3 000 | | | |
| A321-232 | ICAO_B | 3 | 6 | Ubrzanje | Maksimum za penjanje | ZERO | | 1 015,1 | 250 | |
| A321-232 | ICAO_B | 3 | 7 | Penjanje | Maksimum za penjanje | ZERO | 5 500 | | | |

▼**M2**

| ACFTID | Oznaka profila (Profile_ID) | Duljina faze | Broj koraka | Tip koraka | Režim rada motora | Zakrilca (Flap_ID) | Visina krajnje točke (ft) | Stopa penjanja (ft/min) | Kalibrirana brzina leta u krajnjoj točki (kt) | Postotak ubrzanja (Accelerate_Percent) (%) |
|---|---|---|---|---|---|---|---|---|---|---|
| A321-232 | ICAO_B | 3 | 8 | Penjanje | Maksimum za penjanje | ZERO | 7 500 | | | |
| A321-232 | ICAO_B | 3 | 9 | Penjanje | Maksimum za penjanje | ZERO | 10 000 | | | |
| A321-232 | ICAO_B | 4 | 1 | Uzlijetanje | Maksimum za uzlijetanje | 1+F | | | | |
| A321-232 | ICAO_B | 4 | 2 | Penjanje | Maksimum za uzlijetanje | 1+F | 1 000 | | | |
| A321-232 | ICAO_B | 4 | 3 | Ubrzanje | Maksimum za uzlijetanje | 1+F | | 1 039 | 209 | |
| A321-232 | ICAO_B | 4 | 4 | Ubrzanje | Maksimum za uzlijetanje | 1 | | 1 161,6 | 228,6 | |
| A321-232 | ICAO_B | 4 | 5 | Penjanje | Maksimum za penjanje | ZERO | 3 000 | | | |
| A321-232 | ICAO_B | 4 | 6 | Ubrzanje | Maksimum za penjanje | ZERO | | 923,7 | 250 | |
| A321-232 | ICAO_B | 4 | 7 | Penjanje | Maksimum za penjanje | ZERO | 5 500 | | | |
| A321-232 | ICAO_B | 4 | 8 | Penjanje | Maksimum za penjanje | ZERO | 7 500 | | | |
| A321-232 | ICAO_B | 4 | 9 | Penjanje | Maksimum za penjanje | ZERO | 10 000 | | | |
| A321-232 | ICAO_B | 5 | 1 | Uzlijetanje | Maksimum za uzlijetanje | 1+F | | | | |
| A321-232 | ICAO_B | 5 | 2 | Penjanje | Maksimum za uzlijetanje | 1+F | 1 000 | | | |
| A321-232 | ICAO_B | 5 | 3 | Ubrzanje | Maksimum za uzlijetanje | 1+F | | 889,6 | 210 | |

▼M2

| ACFTID | Oznaka profila (Profile_ID) | Duljina faze | Broj koraka | Tip koraka | Režim rada motora | Zakrilca (Flap_ID) | Visina krajnje točke (ft) | Stopa penjanja (ft/min) | Kalibrirana brzina leta u krajnjoj točki (kt) | Postotak ubrzanja (Accelerate_Percent) (%) |
|---|---|---|---|---|---|---|---|---|---|---|
| A321-232 | ICAO_B | 5 | 4 | Ubrzanje | Maksimum za uzlijetanje | 1 | | 969,1 | 226,5 | |
| A321-232 | ICAO_B | 5 | 5 | Penjanje | Maksimum za penjanje | ZERO | 3 000 | | | |
| A321-232 | ICAO_B | 5 | 6 | Ubrzanje | Maksimum za penjanje | ZERO | | 752,3 | 250 | |
| A321-232 | ICAO_B | 5 | 7 | Penjanje | Maksimum za penjanje | ZERO | 5 500 | | | |
| A321-232 | ICAO_B | 5 | 8 | Penjanje | Maksimum za penjanje | ZERO | 7 500 | | | |
| A321-232 | ICAO_B | 5 | 9 | Penjanje | Maksimum za penjanje | ZERO | 10 000 | | | |
| A330-301 | DEFAULT | 1 | 1 | Uzlijetanje | Maksimum za uzlijetanje | 1+F | | | | |
| A330-301 | DEFAULT | 1 | 2 | Penjanje | Maksimum za uzlijetanje | 1+F | 1 000 | | | |
| A330-301 | DEFAULT | 1 | 3 | Ubrzanje | Maksimum za uzlijetanje | 1+F | | 1 160,6 | 170,7 | |
| A330-301 | DEFAULT | 1 | 4 | Ubrzanje | Maksimum za uzlijetanje | 1 | | 1 267,7 | 207,4 | |
| A330-301 | DEFAULT | 1 | 5 | Penjanje | Maksimum za penjanje | ZERO | 3 000 | | | |
| A330-301 | DEFAULT | 1 | 6 | Ubrzanje | Maksimum za penjanje | ZERO | | 1 218,2 | 250 | |
| A330-301 | DEFAULT | 1 | 7 | Penjanje | Maksimum za penjanje | ZERO | 5 500 | | | |
| A330-301 | DEFAULT | 1 | 8 | Penjanje | Maksimum za penjanje | ZERO | 7 500 | | | |

▼**M2**

| ACFTID | Oznaka profila (Profile_ID) | Duljina faze | Broj koraka | Tip koraka | Režim rada motora | Zakrilca (Flap_ID) | Visina krajnje točke (ft) | Stopa penjanja (ft/min) | Kalibrirana brzina leta u krajnjoj točki (kt) | Postotak ubrzanja (Accelerate_Percent) (%) |
|---|---|---|---|---|---|---|---|---|---|---|
| A330-301 | DEFAULT | 1 | 9 | Penjanje | Maksimum za penjanje | ZERO | 10 000 | | | |
| A330-301 | DEFAULT | 2 | 1 | Uzlijetanje | Maksimum za uzlijetanje | 1+F | | | | |
| A330-301 | DEFAULT | 2 | 2 | Penjanje | Maksimum za uzlijetanje | 1+F | 1 000 | | | |
| A330-301 | DEFAULT | 2 | 3 | Ubrzanje | Maksimum za uzlijetanje | 1+F | | 1 121,7 | 173,4 | |
| A330-301 | DEFAULT | 2 | 4 | Ubrzanje | Maksimum za uzlijetanje | 1 | | 1 228,7 | 208,6 | |
| A330-301 | DEFAULT | 2 | 5 | Penjanje | Maksimum za penjanje | ZERO | 3 000 | | | |
| A330-301 | DEFAULT | 2 | 6 | Ubrzanje | Maksimum za penjanje | ZERO | | 1 176 | 250 | |
| A330-301 | DEFAULT | 2 | 7 | Penjanje | Maksimum za penjanje | ZERO | 5 500 | | | |
| A330-301 | DEFAULT | 2 | 8 | Penjanje | Maksimum za penjanje | ZERO | 7 500 | | | |
| A330-301 | DEFAULT | 2 | 9 | Penjanje | Maksimum za penjanje | ZERO | 10 000 | | | |
| A330-301 | DEFAULT | 3 | 1 | Uzlijetanje | Maksimum za uzlijetanje | 1+F | | | | |
| A330-301 | DEFAULT | 3 | 2 | Penjanje | Maksimum za uzlijetanje | 1+F | 1 000 | | | |
| A330-301 | DEFAULT | 3 | 3 | Ubrzanje | Maksimum za uzlijetanje | 1+F | | 1 083,6 | 176,1 | |
| A330-301 | DEFAULT | 3 | 4 | Ubrzanje | Maksimum za uzlijetanje | 1 | | 1 190,2 | 209,8 | |

▼**M2**

| ACFTID | Oznaka profila (Profile_ID) | Duljina faze | Broj koraka | Tip koraka | Režim rada motora | Zakrilca (Flap_ID) | Visina krajnje točke (ft) | Stopa penjanja (ft/min) | Kalibrirana brzina leta u krajnjoj točki (kt) | Postotak ubrzanja (Accelerate_Percent) (%) |
|---|---|---|---|---|---|---|---|---|---|---|
| A330-301 | DEFAULT | 3 | 5 | Penjanje | Maksimum za penjanje | ZERO | 3 000 | | | |
| A330-301 | DEFAULT | 3 | 6 | Ubrzanje | Maksimum za penjanje | ZERO | | 1 134,5 | 250 | |
| A330-301 | DEFAULT | 3 | 7 | Penjanje | Maksimum za penjanje | ZERO | 5 500 | | | |
| A330-301 | DEFAULT | 3 | 8 | Penjanje | Maksimum za penjanje | ZERO | 7 500 | | | |
| A330-301 | DEFAULT | 3 | 9 | Penjanje | Maksimum za penjanje | ZERO | 10 000 | | | |
| A330-301 | DEFAULT | 4 | 1 | Uzlijetanje | Maksimum za uzlijetanje | 1+F | | | | |
| A330-301 | DEFAULT | 4 | 2 | Penjanje | Maksimum za uzlijetanje | 1+F | 1 000 | | | |
| A330-301 | DEFAULT | 4 | 3 | Ubrzanje | Maksimum za uzlijetanje | 1+F | | 1 022,6 | 180,8 | |
| A330-301 | DEFAULT | 4 | 4 | Ubrzanje | Maksimum za uzlijetanje | 1 | | 1 126,6 | 212,1 | |
| A330-301 | DEFAULT | 4 | 5 | Penjanje | Maksimum za penjanje | ZERO | 3 000 | | | |
| A330-301 | DEFAULT | 4 | 6 | Ubrzanje | Maksimum za penjanje | ZERO | | 1 066,4 | 250 | |
| A330-301 | DEFAULT | 4 | 7 | Penjanje | Maksimum za penjanje | ZERO | 5 500 | | | |
| A330-301 | DEFAULT | 4 | 8 | Penjanje | Maksimum za penjanje | ZERO | 7 500 | | | |
| A330-301 | DEFAULT | 4 | 9 | Penjanje | Maksimum za penjanje | ZERO | 10 000 | | | |

▼**M2**

| ACFTID | Oznaka profila (Profile_ID) | Duljina faze | Broj koraka | Tip koraka | Režim rada motora | Zakrilca (Flap_ID) | Visina krajnje točke (ft) | Stopa penjanja (ft/min) | Kalibrirana brzina leta u krajnjoj točki (kt) | Postotak ubrzanja (Accelerate_Percent) (%) |
|---|---|---|---|---|---|---|---|---|---|---|
| A330-301 | DEFAULT | 5 | 1 | Uzlijetanje | Maksimum za uzlijetanje | 1+F | | | | |
| A330-301 | DEFAULT | 5 | 2 | Penjanje | Maksimum za uzlijetanje | 1+F | 1 000 | | | |
| A330-301 | DEFAULT | 5 | 3 | Ubrzanje | Maksimum za uzlijetanje | 1+F | | 951,6 | 186,7 | |
| A330-301 | DEFAULT | 5 | 4 | Ubrzanje | Maksimum za uzlijetanje | 1 | | 1 051,7 | 215,3 | |
| A330-301 | DEFAULT | 5 | 5 | Penjanje | Maksimum za penjanje | ZERO | 3 000 | | | |
| A330-301 | DEFAULT | 5 | 6 | Ubrzanje | Maksimum za penjanje | ZERO | | 986,6 | 250 | |
| A330-301 | DEFAULT | 5 | 7 | Penjanje | Maksimum za penjanje | ZERO | 5 500 | | | |
| A330-301 | DEFAULT | 5 | 8 | Penjanje | Maksimum za penjanje | ZERO | 7 500 | | | |
| A330-301 | DEFAULT | 5 | 9 | Penjanje | Maksimum za penjanje | ZERO | 10 000 | | | |
| A330-301 | DEFAULT | 6 | 1 | Uzlijetanje | Maksimum za uzlijetanje | 1+F | | | | |
| A330-301 | DEFAULT | 6 | 2 | Penjanje | Maksimum za uzlijetanje | 1+F | 1 000 | | | |
| A330-301 | DEFAULT | 6 | 3 | Ubrzanje | Maksimum za uzlijetanje | 1+F | | 883,9 | 193 | |
| A330-301 | DEFAULT | 6 | 4 | Ubrzanje | Maksimum za uzlijetanje | 1 | | 978,1 | 218,9 | |
| A330-301 | DEFAULT | 6 | 5 | Penjanje | Maksimum za penjanje | ZERO | 3 000 | | | |

▼M2

| ACFTID | Oznaka profila (Profile_ID) | Duljina faze | Broj koraka | Tip koraka | Režim rada motora | Zakrilca (Flap_ID) | Visina krajnje točke (ft) | Stopa penjanja (ft/min) | Kalibrirana brzina leta u krajnjoj točki (kt) | Postotak ubrzanja (Accelerate_Percent) (%) |
|---|---|---|---|---|---|---|---|---|---|---|
| A330-301 | DEFAULT | 6 | 6 | Ubrzanje | Maksimum za penjanje | ZERO | | 908,7 | 250 | |
| A330-301 | DEFAULT | 6 | 7 | Penjanje | Maksimum za penjanje | ZERO | 5 500 | | | |
| A330-301 | DEFAULT | 6 | 8 | Penjanje | Maksimum za penjanje | ZERO | 7 500 | | | |
| A330-301 | DEFAULT | 6 | 9 | Penjanje | Maksimum za penjanje | ZERO | 10 000 | | | |
| A330-301 | DEFAULT | 7 | 1 | Uzlijetanje | Maksimum za uzlijetanje | 1+F | | | | |
| A330-301 | DEFAULT | 7 | 2 | Penjanje | Maksimum za uzlijetanje | 1+F | 1 000 | | | |
| A330-301 | DEFAULT | 7 | 3 | Ubrzanje | Maksimum za uzlijetanje | 1+F | | 864,2 | 195 | |
| A330-301 | DEFAULT | 7 | 4 | Ubrzanje | Maksimum za uzlijetanje | 1 | | 956,5 | 220,1 | |
| A330-301 | DEFAULT | 7 | 5 | Penjanje | Maksimum za penjanje | ZERO | 3 000 | | | |
| A330-301 | DEFAULT | 7 | 6 | Ubrzanje | Maksimum za penjanje | ZERO | | 885,7 | 250 | |
| A330-301 | DEFAULT | 7 | 7 | Penjanje | Maksimum za penjanje | ZERO | 5 500 | | | |
| A330-301 | DEFAULT | 7 | 8 | Penjanje | Maksimum za penjanje | ZERO | 7 500 | | | |
| A330-301 | DEFAULT | 7 | 9 | Penjanje | Maksimum za penjanje | ZERO | 10 000 | | | |
| A330-301 | ICAO_A | 1 | 1 | Uzlijetanje | Maksimum za uzlijetanje | 1+F | | | | |

▼M2

| ACFTID | Oznaka profila (Profile_ID) | Duljina faze | Broj koraka | Tip koraka | Režim rada motora | Zakrilca (Flap_ID) | Visina krajnje točke (ft) | Stopa penjanja (ft/min) | Kalibrirana brzina leta u krajnjoj točki (kt) | Postotak ubrzanja (Accelerate_Percent) (%) |
|---|---|---|---|---|---|---|---|---|---|---|
| A330-301 | ICAO_A | 1 | 2 | Penjanje | Maksimum za uzlijetanje | 1+F | 1 500 | | | |
| A330-301 | ICAO_A | 1 | 3 | Penjanje | Maksimum za penjanje | 1+F | 3 000 | | | |
| A330-301 | ICAO_A | 1 | 4 | Ubrzanje | Maksimum za penjanje | 1+F | | 722,8 | 170,7 | |
| A330-301 | ICAO_A | 1 | 5 | Ubrzanje | Maksimum za penjanje | 1 | | 783,9 | 193 | |
| A330-301 | ICAO_A | 1 | 6 | Ubrzanje | Maksimum za penjanje | ZERO | | 965 | 210,2 | |
| A330-301 | ICAO_A | 1 | 7 | Ubrzanje | Maksimum za penjanje | ZERO | | 1 210,9 | 250 | |
| A330-301 | ICAO_A | 1 | 8 | Penjanje | Maksimum za penjanje | ZERO | 5 500 | | | |
| A330-301 | ICAO_A | 1 | 9 | Penjanje | Maksimum za penjanje | ZERO | 7 500 | | | |
| A330-301 | ICAO_A | 1 | 10 | Penjanje | Maksimum za penjanje | ZERO | 10 000 | | | |
| A330-301 | ICAO_A | 2 | 1 | Uzlijetanje | Maksimum za uzlijetanje | 1+F | | | | |
| A330-301 | ICAO_A | 2 | 2 | Penjanje | Maksimum za uzlijetanje | 1+F | 1 500 | | | |
| A330-301 | ICAO_A | 2 | 3 | Penjanje | Maksimum za penjanje | 1+F | 3 000 | | | |
| A330-301 | ICAO_A | 2 | 4 | Ubrzanje | Maksimum za penjanje | 1+F | | 694,4 | 173,3 | |
| A330-301 | ICAO_A | 2 | 5 | Ubrzanje | Maksimum za penjanje | 1 | | 758,4 | 194,7 | |

▼**M2**

| ACFTID | Oznaka profila (Profile_ID) | Duljina faze | Broj koraka | Tip koraka | Režim rada motora | Zakrilca (Flap_ID) | Visina krajnje točke (ft) | Stopa penjanja (ft/min) | Kalibrirana brzina leta u krajnjoj točki (kt) | Postotak ubrzanja (Accelerate_Percent) (%) |
|---|---|---|---|---|---|---|---|---|---|---|
| A330-301 | ICAO_A | 2 | 6 | Ubrzanje | Maksimum za penjanje | ZERO | | 938 | 211,3 | |
| A330-301 | ICAO_A | 2 | 7 | Ubrzanje | Maksimum za penjanje | ZERO | | 1 168,1 | 250 | |
| A330-301 | ICAO_A | 2 | 8 | Penjanje | Maksimum za penjanje | ZERO | 5 500 | | | |
| A330-301 | ICAO_A | 2 | 9 | Penjanje | Maksimum za penjanje | ZERO | 7 500 | | | |
| A330-301 | ICAO_A | 2 | 10 | Penjanje | Maksimum za penjanje | ZERO | 10 000 | | | |
| A330-301 | ICAO_A | 3 | 1 | Uzlijetanje | Maksimum za uzlijetanje | 1+F | | | | |
| A330-301 | ICAO_A | 3 | 2 | Penjanje | Maksimum za uzlijetanje | 1+F | 1 500 | | | |
| A330-301 | ICAO_A | 3 | 3 | Penjanje | Maksimum za penjanje | 1+F | 3 000 | | | |
| A330-301 | ICAO_A | 3 | 4 | Ubrzanje | Maksimum za penjanje | 1+F | | 668,3 | 176 | |
| A330-301 | ICAO_A | 3 | 5 | Ubrzanje | Maksimum za penjanje | 1 | | 734,4 | 196,4 | |
| A330-301 | ICAO_A | 3 | 6 | Ubrzanje | Maksimum za penjanje | ZERO | | 911,9 | 212,4 | |
| A330-301 | ICAO_A | 3 | 7 | Ubrzanje | Maksimum za penjanje | ZERO | | 1 126,3 | 250 | |
| A330-301 | ICAO_A | 3 | 8 | Penjanje | Maksimum za penjanje | ZERO | 5 500 | | | |

▼**M2**

| ACFTID | Oznaka profila (Profile_ID) | Duljina faze | Broj koraka | Tip koraka | Režim rada motora | Zakrilca (Flap_ID) | Visina krajnje točke (ft) | Stopa penjanja (ft/min) | Kalibrirana brzina leta u krajnjoj točki (kt) | Postotak ubrzanja (Accelerate_Percent) (%) |
|---|---|---|---|---|---|---|---|---|---|---|
| A330-301 | ICAO_A | 3 | 9 | Penjanje | Maksimum za penjanje | ZERO | 7 500 | | | |
| A330-301 | ICAO_A | 3 | 10 | Penjanje | Maksimum za penjanje | ZERO | 10 000 | | | |
| A330-301 | ICAO_A | 4 | 1 | Uzlijetanje | Maksimum za uzlijetanje | 1+F | | | | |
| A330-301 | ICAO_A | 4 | 2 | Penjanje | Maksimum za uzlijetanje | 1+F | 1 500 | | | |
| A330-301 | ICAO_A | 4 | 3 | Penjanje | Maksimum za penjanje | 1+F | 3 000 | | | |
| A330-301 | ICAO_A | 4 | 4 | Ubrzanje | Maksimum za penjanje | 1+F | | 622 | 180,8 | |
| A330-301 | ICAO_A | 4 | 5 | Ubrzanje | Maksimum za penjanje | 1 | | 698,3 | 199,8 | |
| A330-301 | ICAO_A | 4 | 6 | Ubrzanje | Maksimum za penjanje | ZERO | | 871,8 | 214,9 | |
| A330-301 | ICAO_A | 4 | 7 | Ubrzanje | Maksimum za penjanje | ZERO | | 1 057,8 | 250 | |
| A330-301 | ICAO_A | 4 | 8 | Penjanje | Maksimum za penjanje | ZERO | 5 500 | | | |
| A330-301 | ICAO_A | 4 | 9 | Penjanje | Maksimum za penjanje | ZERO | 7 500 | | | |
| A330-301 | ICAO_A | 4 | 10 | Penjanje | Maksimum za penjanje | ZERO | 10 000 | | | |
| A330-301 | ICAO_A | 5 | 1 | Uzlijetanje | Maksimum za uzlijetanje | 1+F | | | | |

▼**M2**

| ACFTID | Oznaka profila (Profile_ID) | Duljina faze | Broj koraka | Tip koraka | Režim rada motora | Zakrilca (Flap_ID) | Visina krajnje točke (ft) | Stopa penjanja (ft/min) | Kalibrirana brzina leta u krajnjoj točki (kt) | Postotak ubrzanja (Accelerate_Percent) (%) |
|---|---|---|---|---|---|---|---|---|---|---|
| A330-301 | ICAO_A | 5 | 2 | Penjanje | Maksimum za uzlijetanje | 1+F | 1 500 | | | |
| A330-301 | ICAO_A | 5 | 3 | Penjanje | Maksimum za penjanje | 1+F | 3 000 | | | |
| A330-301 | ICAO_A | 5 | 4 | Ubrzanje | Maksimum za penjanje | 1+F | | 569,3 | 186,8 | |
| A330-301 | ICAO_A | 5 | 5 | Ubrzanje | Maksimum za penjanje | 1 | | 663,1 | 204,4 | |
| A330-301 | ICAO_A | 5 | 6 | Ubrzanje | Maksimum za penjanje | ZERO | | 827,1 | 218,4 | |
| A330-301 | ICAO_A | 5 | 7 | Ubrzanje | Maksimum za penjanje | ZERO | | 977,1 | 250 | |
| A330-301 | ICAO_A | 5 | 8 | Penjanje | Maksimum za penjanje | ZERO | 5 500 | | | |
| A330-301 | ICAO_A | 5 | 9 | Penjanje | Maksimum za penjanje | ZERO | 7 500 | | | |
| A330-301 | ICAO_A | 5 | 10 | Penjanje | Maksimum za penjanje | ZERO | 10 000 | | | |
| A330-301 | ICAO_A | 6 | 1 | Uzlijetanje | Maksimum za uzlijetanje | 1+F | | | | |
| A330-301 | ICAO_A | 6 | 2 | Penjanje | Maksimum za uzlijetanje | 1+F | 1 500 | | | |
| A330-301 | ICAO_A | 6 | 3 | Penjanje | Maksimum za penjanje | 1+F | 3 000 | | | |
| A330-301 | ICAO_A | 6 | 4 | Ubrzanje | Maksimum za penjanje | 1+F | | 519,8 | 193 | |

▼**M2**

| ACFTID | Oznaka profila (Profile_ID) | Duljina faze | Broj koraka | Tip koraka | Režim rada motora | Zakrilca (Flap_ID) | Visina krajnje točke (ft) | Stopa penjanja (ft/min) | Kalibrirana brzina leta u krajnjoj točki (kt) | Postotak ubrzanja (Accelerate_Percent) (%) |
|---|---|---|---|---|---|---|---|---|---|---|
| A330-301 | ICAO_A | 6 | 5 | Ubrzanje | Maksimum za penjanje | 1 | | 634,2 | 209,3 | |
| A330-301 | ICAO_A | 6 | 6 | Ubrzanje | Maksimum za penjanje | ZERO | | 781 | 222,2 | |
| A330-301 | ICAO_A | 6 | 7 | Ubrzanje | Maksimum za penjanje | ZERO | | 898,1 | 250 | |
| A330-301 | ICAO_A | 6 | 8 | Penjanje | Maksimum za penjanje | ZERO | 5 500 | | | |
| A330-301 | ICAO_A | 6 | 9 | Penjanje | Maksimum za penjanje | ZERO | 7 500 | | | |
| A330-301 | ICAO_A | 6 | 10 | Penjanje | Maksimum za penjanje | ZERO | 10 000 | | | |
| A330-301 | ICAO_A | 7 | 1 | Uzlijetanje | Maksimum za uzlijetanje | 1+F | | | | |
| A330-301 | ICAO_A | 7 | 2 | Penjanje | Maksimum za uzlijetanje | 1+F | 1 500 | | | |
| A330-301 | ICAO_A | 7 | 3 | Penjanje | Maksimum za penjanje | 1+F | 3 000 | | | |
| A330-301 | ICAO_A | 7 | 4 | Ubrzanje | Maksimum za penjanje | 1+F | | 506,2 | 194,9 | |
| A330-301 | ICAO_A | 7 | 5 | Ubrzanje | Maksimum za penjanje | 1 | | 625,8 | 210,8 | |
| A330-301 | ICAO_A | 7 | 6 | Ubrzanje | Maksimum za penjanje | ZERO | | 766,4 | 223,5 | |
| A330-301 | ICAO_A | 7 | 7 | Ubrzanje | Maksimum za penjanje | ZERO | | 875,2 | 250 | |

▼M2

| ACFTID | Oznaka profila (Profile_ID) | Duljina faze | Broj koraka | Tip koraka | Režim rada motora | Zakrilca (Flap_ID) | Visina krajnje točke (ft) | Stopa penjanja (ft/min) | Kalibrirana brzina leta u krajnjoj točki (kt) | Postotak ubrzanja (Accelerate_Percent) (%) |
|---|---|---|---|---|---|---|---|---|---|---|
| A330-301 | ICAO_A | 7 | 8 | Penjanje | Maksimum za penjanje | ZERO | 5 500 | | | |
| A330-301 | ICAO_A | 7 | 9 | Penjanje | Maksimum za penjanje | ZERO | 7 500 | | | |
| A330-301 | ICAO_A | 7 | 10 | Penjanje | Maksimum za penjanje | ZERO | 10 000 | | | |
| A330-301 | ICAO_B | 1 | 1 | Uzlijetanje | Maksimum za uzlijetanje | 1+F | | | | |
| A330-301 | ICAO_B | 1 | 2 | Penjanje | Maksimum za uzlijetanje | 1+F | 1 000 | | | |
| A330-301 | ICAO_B | 1 | 3 | Ubrzanje | Maksimum za uzlijetanje | 1+F | | 1 160,6 | 170,7 | |
| A330-301 | ICAO_B | 1 | 4 | Ubrzanje | Maksimum za uzlijetanje | 1 | | 1 267,7 | 207,4 | |
| A330-301 | ICAO_B | 1 | 5 | Penjanje | Maksimum za penjanje | ZERO | 3 000 | | | |
| A330-301 | ICAO_B | 1 | 6 | Ubrzanje | Maksimum za penjanje | ZERO | | 1 218,2 | 250 | |
| A330-301 | ICAO_B | 1 | 7 | Penjanje | Maksimum za penjanje | ZERO | 5 500 | | | |
| A330-301 | ICAO_B | 1 | 8 | Penjanje | Maksimum za penjanje | ZERO | 7 500 | | | |
| A330-301 | ICAO_B | 1 | 9 | Penjanje | Maksimum za penjanje | ZERO | 10 000 | | | |
| A330-301 | ICAO_B | 2 | 1 | Uzlijetanje | Maksimum za uzlijetanje | 1+F | | | | |

▼**M2**

| ACFTID | Oznaka profila (Profile_ID) | Duljina faze | Broj koraka | Tip koraka | Režim rada motora | Zakrilca (Flap_ID) | Visina krajnje točke (ft) | Stopa penjanja (ft/min) | Kalibrirana brzina leta u krajnjoj točki (kt) | Postotak ubrzanja (Accelerate_Percent) (%) |
|---|---|---|---|---|---|---|---|---|---|---|
| A330-301 | ICAO_B | 2 | 2 | Penjanje | Maksimum za uzlijetanje | 1+F | 1 000 | | | |
| A330-301 | ICAO_B | 2 | 3 | Ubrzanje | Maksimum za uzlijetanje | 1+F | | 1 121,7 | 173,4 | |
| A330-301 | ICAO_B | 2 | 4 | Ubrzanje | Maksimum za uzlijetanje | 1 | | 1 228,7 | 208,6 | |
| A330-301 | ICAO_B | 2 | 5 | Penjanje | Maksimum za penjanje | ZERO | 3 000 | | | |
| A330-301 | ICAO_B | 2 | 6 | Ubrzanje | Maksimum za penjanje | ZERO | | 1 176 | 250 | |
| A330-301 | ICAO_B | 2 | 7 | Penjanje | Maksimum za penjanje | ZERO | 5 500 | | | |
| A330-301 | ICAO_B | 2 | 8 | Penjanje | Maksimum za penjanje | ZERO | 7 500 | | | |
| A330-301 | ICAO_B | 2 | 9 | Penjanje | Maksimum za penjanje | ZERO | 10 000 | | | |
| A330-301 | ICAO_B | 3 | 1 | Uzlijetanje | Maksimum za uzlijetanje | 1+F | | | | |
| A330-301 | ICAO_B | 3 | 2 | Penjanje | Maksimum za uzlijetanje | 1+F | 1 000 | | | |
| A330-301 | ICAO_B | 3 | 3 | Ubrzanje | Maksimum za uzlijetanje | 1+F | | 1 083,6 | 176,1 | |
| A330-301 | ICAO_B | 3 | 4 | Ubrzanje | Maksimum za uzlijetanje | 1 | | 1 190,2 | 209,8 | |
| A330-301 | ICAO_B | 3 | 5 | Penjanje | Maksimum za penjanje | ZERO | 3 000 | | | |
| A330-301 | ICAO_B | 3 | 6 | Ubrzanje | Maksimum za penjanje | ZERO | | 1 134,5 | 250 | |

▼M2

| ACFTID | Oznaka profila (Profile_ID) | Duljina faze | Broj koraka | Tip koraka | Režim rada motora | Zakrilca (Flap_ID) | Visina krajnje točke (ft) | Stopa penjanja (ft/min) | Kalibrirana brzina leta u krajnjoj točki (kt) | Postotak ubrzanja (Accelerate_Percent) (%) |
|---|---|---|---|---|---|---|---|---|---|---|
| A330-301 | ICAO_B | 3 | 7 | Penjanje | Maksimum za penjanje | ZERO | 5 500 | | | |
| A330-301 | ICAO_B | 3 | 8 | Penjanje | Maksimum za penjanje | ZERO | 7 500 | | | |
| A330-301 | ICAO_B | 3 | 9 | Penjanje | Maksimum za penjanje | ZERO | 10 000 | | | |
| A330-301 | ICAO_B | 4 | 1 | Uzlijetanje | Maksimum za uzlijetanje | 1+F | | | | |
| A330-301 | ICAO_B | 4 | 2 | Penjanje | Maksimum za uzlijetanje | 1+F | 1 000 | | | |
| A330-301 | ICAO_B | 4 | 3 | Ubrzanje | Maksimum za uzlijetanje | 1+F | | 1 022,6 | 180,8 | |
| A330-301 | ICAO_B | 4 | 4 | Ubrzanje | Maksimum za uzlijetanje | 1 | | 1 126,6 | 212,1 | |
| A330-301 | ICAO_B | 4 | 5 | Penjanje | Maksimum za penjanje | ZERO | 3 000 | | | |
| A330-301 | ICAO_B | 4 | 6 | Ubrzanje | Maksimum za penjanje | ZERO | | 1 066,4 | 250 | |
| A330-301 | ICAO_B | 4 | 7 | Penjanje | Maksimum za penjanje | ZERO | 5 500 | | | |
| A330-301 | ICAO_B | 4 | 8 | Penjanje | Maksimum za penjanje | ZERO | 7 500 | | | |
| A330-301 | ICAO_B | 4 | 9 | Penjanje | Maksimum za penjanje | ZERO | 10 000 | | | |
| A330-301 | ICAO_B | 5 | 1 | Uzlijetanje | Maksimum za uzlijetanje | 1+F | | | | |
| A330-301 | ICAO_B | 5 | 2 | Penjanje | Maksimum za uzlijetanje | 1+F | 1 000 | | | |

▼**M2**

| ACFTID | Oznaka profila (Profile_ID) | Duljina faze | Broj koraka | Tip koraka | Režim rada motora | Zakrilca (Flap_ID) | Visina krajnje točke (ft) | Stopa penjanja (ft/min) | Kalibrirana brzina leta u krajnjoj točki (kt) | Postotak ubrzanja (Accelerate_Percent) (%) |
|---|---|---|---|---|---|---|---|---|---|---|
| A330-301 | ICAO_B | 5 | 3 | Ubrzanje | Maksimum za uzlijetanje | 1+F | | 951,6 | 186,7 | |
| A330-301 | ICAO_B | 5 | 4 | Ubrzanje | Maksimum za uzlijetanje | 1 | | 1 051,7 | 215,3 | |
| A330-301 | ICAO_B | 5 | 5 | Penjanje | Maksimum za penjanje | ZERO | 3 000 | | | |
| A330-301 | ICAO_B | 5 | 6 | Ubrzanje | Maksimum za penjanje | ZERO | | 986,6 | 250 | |
| A330-301 | ICAO_B | 5 | 7 | Penjanje | Maksimum za penjanje | ZERO | 5 500 | | | |
| A330-301 | ICAO_B | 5 | 8 | Penjanje | Maksimum za penjanje | ZERO | 7 500 | | | |
| A330-301 | ICAO_B | 5 | 9 | Penjanje | Maksimum za penjanje | ZERO | 10 000 | | | |
| A330-301 | ICAO_B | 6 | 1 | Uzlijetanje | Maksimum za uzlijetanje | 1+F | | | | |
| A330-301 | ICAO_B | 6 | 2 | Penjanje | Maksimum za uzlijetanje | 1+F | 1 000 | | | |
| A330-301 | ICAO_B | 6 | 3 | Ubrzanje | Maksimum za uzlijetanje | 1+F | | 883,9 | 193 | |
| A330-301 | ICAO_B | 6 | 4 | Ubrzanje | Maksimum za uzlijetanje | 1 | | 978,1 | 218,9 | |
| A330-301 | ICAO_B | 6 | 5 | Penjanje | Maksimum za penjanje | ZERO | 3 000 | | | |
| A330-301 | ICAO_B | 6 | 6 | Ubrzanje | Maksimum za penjanje | ZERO | | 908,7 | 250 | |
| A330-301 | ICAO_B | 6 | 7 | Penjanje | Maksimum za penjanje | ZERO | 5 500 | | | |

▼**M2**

| ACFTID | Oznaka profila (Profile_ID) | Duljina faze | Broj koraka | Tip koraka | Režim rada motora | Zakrilca (Flap_ID) | Visina krajnje točke (ft) | Stopa penjanja (ft/min) | Kalibrirana brzina leta u krajnjoj točki (kt) | Postotak ubrzanja (Accelerate_Percent) (%) |
|---|---|---|---|---|---|---|---|---|---|---|
| A330-301 | ICAO_B | 6 | 8 | Penjanje | Maksimum za penjanje | ZERO | 7 500 | | | |
| A330-301 | ICAO_B | 6 | 9 | Penjanje | Maksimum za penjanje | ZERO | 10 000 | | | |
| A330-301 | ICAO_B | 7 | 1 | Uzlijetanje | Maksimum za uzlijetanje | 1+F | | | | |
| A330-301 | ICAO_B | 7 | 2 | Penjanje | Maksimum za uzlijetanje | 1+F | 1 000 | | | |
| A330-301 | ICAO_B | 7 | 3 | Ubrzanje | Maksimum za uzlijetanje | 1+F | | 864,2 | 195 | |
| A330-301 | ICAO_B | 7 | 4 | Ubrzanje | Maksimum za uzlijetanje | 1 | | 956,5 | 220,1 | |
| A330-301 | ICAO_B | 7 | 5 | Penjanje | Maksimum za penjanje | ZERO | 3 000 | | | |
| A330-301 | ICAO_B | 7 | 6 | Ubrzanje | Maksimum za penjanje | ZERO | | 885,7 | 250 | |
| A330-301 | ICAO_B | 7 | 7 | Penjanje | Maksimum za penjanje | ZERO | 5 500 | | | |
| A330-301 | ICAO_B | 7 | 8 | Penjanje | Maksimum za penjanje | ZERO | 7 500 | | | |
| A330-301 | ICAO_B | 7 | 9 | Penjanje | Maksimum za penjanje | ZERO | 10 000 | | | |
| A330-343 | DEFAULT | 1 | 1 | Uzlijetanje | Maksimum za uzlijetanje | 1+F | | | | |
| A330-343 | DEFAULT | 1 | 2 | Penjanje | Maksimum za uzlijetanje | 1+F | 1 000 | | | |

▼**M2**

| ACFTID | Oznaka profila (Profile_ID) | Duljina faze | Broj koraka | Tip koraka | Režim rada motora | Zakrilca (Flap_ID) | Visina krajnje točke (ft) | Stopa penjanja (ft/min) | Kalibrirana brzina leta u krajnjoj točki (kt) | Postotak ubrzanja (Accelerate_Percent) (%) |
|---|---|---|---|---|---|---|---|---|---|---|
| A330-343 | DEFAULT | 1 | 3 | Ubrzanje | Maksimum za uzlijetanje | 1+F | | 1 273,5 | 174,9 | |
| A330-343 | DEFAULT | 1 | 4 | Ubrzanje | Maksimum za uzlijetanje | 1 | | 1 384,8 | 213,9 | |
| A330-343 | DEFAULT | 1 | 5 | Penjanje | Maksimum za penjanje | ZERO | 3 000 | | | |
| A330-343 | DEFAULT | 1 | 6 | Ubrzanje | Maksimum za penjanje | ZERO | | 1 268,1 | 250 | |
| A330-343 | DEFAULT | 1 | 7 | Penjanje | Maksimum za penjanje | ZERO | 5 500 | | | |
| A330-343 | DEFAULT | 1 | 8 | Penjanje | Maksimum za penjanje | ZERO | 7 500 | | | |
| A330-343 | DEFAULT | 1 | 9 | Penjanje | Maksimum za penjanje | ZERO | 10 000 | | | |
| A330-343 | DEFAULT | 2 | 1 | Uzlijetanje | Maksimum za uzlijetanje | 1+F | | | | |
| A330-343 | DEFAULT | 2 | 2 | Penjanje | Maksimum za uzlijetanje | 1+F | 1 000 | | | |
| A330-343 | DEFAULT | 2 | 3 | Ubrzanje | Maksimum za uzlijetanje | 1+F | | 1 218,9 | 177,7 | |
| A330-343 | DEFAULT | 2 | 4 | Ubrzanje | Maksimum za uzlijetanje | 1 | | 1 340,4 | 215 | |
| A330-343 | DEFAULT | 2 | 5 | Penjanje | Maksimum za penjanje | ZERO | 3 000 | | | |
| A330-343 | DEFAULT | 2 | 6 | Ubrzanje | Maksimum za penjanje | ZERO | | 1 223,6 | 250 | |
| A330-343 | DEFAULT | 2 | 7 | Penjanje | Maksimum za penjanje | ZERO | 5 500 | | | |

▼**M2**

| ACFTID | Oznaka profila (Profile_ID) | Duljina faze | Broj koraka | Tip koraka | Režim rada motora | Zakrilca (Flap_ID) | Visina krajnje točke (ft) | Stopa penjanja (ft/min) | Kalibrirana brzina leta u krajnjoj točki (kt) | Postotak ubrzanja (Accelerate_Percent) (%) |
|---|---|---|---|---|---|---|---|---|---|---|
| A330-343 | DEFAULT | 2 | 8 | Penjanje | Maksimum za penjanje | ZERO | 7 500 | | | |
| A330-343 | DEFAULT | 2 | 9 | Penjanje | Maksimum za penjanje | ZERO | 10 000 | | | |
| A330-343 | DEFAULT | 3 | 1 | Uzlijetanje | Maksimum za uzlijetanje | 1+F | | | | |
| A330-343 | DEFAULT | 3 | 2 | Penjanje | Maksimum za uzlijetanje | 1+F | 1 000 | | | |
| A330-343 | DEFAULT | 3 | 3 | Ubrzanje | Maksimum za uzlijetanje | 1+F | | 1 181,2 | 180,4 | |
| A330-343 | DEFAULT | 3 | 4 | Ubrzanje | Maksimum za uzlijetanje | 1 | | 1 296,6 | 216,1 | |
| A330-343 | DEFAULT | 3 | 5 | Penjanje | Maksimum za penjanje | ZERO | 3 000 | | | |
| A330-343 | DEFAULT | 3 | 6 | Ubrzanje | Maksimum za penjanje | ZERO | | 1 180 | 250 | |
| A330-343 | DEFAULT | 3 | 7 | Penjanje | Maksimum za penjanje | ZERO | 5 500 | | | |
| A330-343 | DEFAULT | 3 | 8 | Penjanje | Maksimum za penjanje | ZERO | 7 500 | | | |
| A330-343 | DEFAULT | 3 | 9 | Penjanje | Maksimum za penjanje | ZERO | 10 000 | | | |
| A330-343 | DEFAULT | 4 | 1 | Uzlijetanje | Maksimum za uzlijetanje | 1+F | | | | |
| A330-343 | DEFAULT | 4 | 2 | Penjanje | Maksimum za uzlijetanje | 1+F | 1 000 | | | |
| A330-343 | DEFAULT | 4 | 3 | Ubrzanje | Maksimum za uzlijetanje | 1+F | | 1 115,2 | 185,2 | |

▼**M2**

| ACFTID | Oznaka profila (Profile_ID) | Duljina faze | Broj koraka | Tip koraka | Režim rada motora | Zakrilca (Flap_ID) | Visina krajnje točke (ft) | Stopa penjanja (ft/min) | Kalibrirana brzina leta u krajnjoj točki (kt) | Postotak ubrzanja (Accelerate_Percent) (%) |
|---|---|---|---|---|---|---|---|---|---|---|
| A330-343 | DEFAULT | 4 | 4 | Ubrzanje | Maksimum za uzlijetanje | 1 | | 1 224,1 | 218,3 | |
| A330-343 | DEFAULT | 4 | 5 | Penjanje | Maksimum za penjanje | ZERO | 3 000 | | | |
| A330-343 | DEFAULT | 4 | 6 | Ubrzanje | Maksimum za penjanje | ZERO | | 1 108,4 | 250 | |
| A330-343 | DEFAULT | 4 | 7 | Penjanje | Maksimum za penjanje | ZERO | 5 500 | | | |
| A330-343 | DEFAULT | 4 | 8 | Penjanje | Maksimum za penjanje | ZERO | 7 500 | | | |
| A330-343 | DEFAULT | 4 | 9 | Penjanje | Maksimum za penjanje | ZERO | 10 000 | | | |
| A330-343 | DEFAULT | 5 | 1 | Uzlijetanje | Maksimum za uzlijetanje | 1+F | | | | |
| A330-343 | DEFAULT | 5 | 2 | Penjanje | Maksimum za uzlijetanje | 1+F | 1 000 | | | |
| A330-343 | DEFAULT | 5 | 3 | Ubrzanje | Maksimum za uzlijetanje | 1+F | | 1 038,3 | 191,3 | |
| A330-343 | DEFAULT | 5 | 4 | Ubrzanje | Maksimum za uzlijetanje | 1 | | 1 139,2 | 221,4 | |
| A330-343 | DEFAULT | 5 | 5 | Penjanje | Maksimum za penjanje | ZERO | 3 000 | | | |
| A330-343 | DEFAULT | 5 | 6 | Ubrzanje | Maksimum za penjanje | ZERO | | 1 025,2 | 250 | |
| A330-343 | DEFAULT | 5 | 7 | Penjanje | Maksimum za penjanje | ZERO | 5 500 | | | |

▼**M2**

| ACFTID | Oznaka profila (Profile_ID) | Duljina faze | Broj koraka | Tip koraka | Režim rada motora | Zakrilca (Flap_ID) | Visina krajnje točke (ft) | Stopa penjanja (ft/min) | Kalibrirana brzina leta u krajnjoj točki (kt) | Postotak ubrzanja (Accelerate_Percent) (%) |
|---|---|---|---|---|---|---|---|---|---|---|
| A330-343 | DEFAULT | 5 | 8 | Penjanje | Maksimum za penjanje | ZERO | 7 500 | | | |
| A330-343 | DEFAULT | 5 | 9 | Penjanje | Maksimum za penjanje | ZERO | 10 000 | | | |
| A330-343 | DEFAULT | 6 | 1 | Uzlijetanje | Maksimum za uzlijetanje | 1+F | | | | |
| A330-343 | DEFAULT | 6 | 2 | Penjanje | Maksimum za uzlijetanje | 1+F | 1 000 | | | |
| A330-343 | DEFAULT | 6 | 3 | Ubrzanje | Maksimum za uzlijetanje | 1+F | | 962,8 | 197,3 | |
| A330-343 | DEFAULT | 6 | 4 | Ubrzanje | Maksimum za uzlijetanje | 1 | | 1 054,3 | 224,5 | |
| A330-343 | DEFAULT | 6 | 5 | Penjanje | Maksimum za penjanje | ZERO | 3 000 | | | |
| A330-343 | DEFAULT | 6 | 6 | Ubrzanje | Maksimum za penjanje | ZERO | | 943,3 | 250 | |
| A330-343 | DEFAULT | 6 | 7 | Penjanje | Maksimum za penjanje | ZERO | 5 500 | | | |
| A330-343 | DEFAULT | 6 | 8 | Penjanje | Maksimum za penjanje | ZERO | 7 500 | | | |
| A330-343 | DEFAULT | 6 | 9 | Penjanje | Maksimum za penjanje | ZERO | 10 000 | | | |
| A330-343 | DEFAULT | 7 | 1 | Uzlijetanje | Maksimum za uzlijetanje | 1+F | | | | |
| A330-343 | DEFAULT | 7 | 2 | Penjanje | Maksimum za uzlijetanje | 1+F | 1 000 | | | |
| A330-343 | DEFAULT | 7 | 3 | Ubrzanje | Maksimum za uzlijetanje | 1+F | | 869,5 | 200,8 | |

▼M2

| ACFTID | Oznaka profila (Profile_ID) | Duljina faze | Broj koraka | Tip koraka | Režim rada motora | Zakrilca (Flap_ID) | Visina krajnje točke (ft) | Stopa penjanja (ft/min) | Kalibrirana brzina leta u krajnjoj točki (kt) | Postotak ubrzanja (Accelerate_Percent) (%) |
|---|---|---|---|---|---|---|---|---|---|---|
| A330-343 | DEFAULT | 7 | 4 | Ubrzanje | Maksimum za uzlijetanje | 1 | | 948,6 | 225 | |
| A330-343 | DEFAULT | 7 | 5 | Penjanje | Maksimum za penjanje | ZERO | 3 000 | | | |
| A330-343 | DEFAULT | 7 | 6 | Ubrzanje | Maksimum za penjanje | ZERO | | 842 | 250 | |
| A330-343 | DEFAULT | 7 | 7 | Penjanje | Maksimum za penjanje | ZERO | 5 500 | | | |
| A330-343 | DEFAULT | 7 | 8 | Penjanje | Maksimum za penjanje | ZERO | 7 500 | | | |
| A330-343 | DEFAULT | 7 | 9 | Penjanje | Maksimum za penjanje | ZERO | 10 000 | | | |
| A330-343 | ICAO_A | 1 | 1 | Uzlijetanje | Maksimum za uzlijetanje | 1+F | | | | |
| A330-343 | ICAO_A | 1 | 2 | Penjanje | Maksimum za uzlijetanje | 1+F | 1 500 | | | |
| A330-343 | ICAO_A | 1 | 3 | Penjanje | Maksimum za penjanje | 1+F | 3 000 | | | |
| A330-343 | ICAO_A | 1 | 4 | Ubrzanje | Maksimum za penjanje | 1+F | | 839,6 | 174,8 | |
| A330-343 | ICAO_A | 1 | 5 | Ubrzanje | Maksimum za penjanje | 1 | | 914,2 | 200,1 | |
| A330-343 | ICAO_A | 1 | 6 | Ubrzanje | Maksimum za penjanje | ZERO | | 1 103,7 | 218,9 | |
| A330-343 | ICAO_A | 1 | 7 | Ubrzanje | Maksimum za penjanje | ZERO | | 1 253,2 | 250 | |
| A330-343 | ICAO_A | 1 | 8 | Penjanje | Maksimum za penjanje | ZERO | 5 500 | | | |

▼**M2**

| ACFTID | Oznaka profila (Profile_ID) | Duljina faze | Broj koraka | Tip koraka | Režim rada motora | Zakrilca (Flap_ID) | Visina krajnje točke (ft) | Stopa penjanja (ft/min) | Kalibrirana brzina leta u krajnjoj točki (kt) | Postotak ubrzanja (Accelerate_Percent) (%) |
|---|---|---|---|---|---|---|---|---|---|---|
| A330-343 | ICAO_A | 1 | 9 | Penjanje | Maksimum za penjanje | ZERO | 7 500 | | | |
| A330-343 | ICAO_A | 1 | 10 | Penjanje | Maksimum za penjanje | ZERO | 10 000 | | | |
| A330-343 | ICAO_A | 2 | 1 | Uzlijetanje | Maksimum za uzlijetanje | 1+F | | | | |
| A330-343 | ICAO_A | 2 | 2 | Penjanje | Maksimum za uzlijetanje | 1+F | 1 500 | | | |
| A330-343 | ICAO_A | 2 | 3 | Penjanje | Maksimum za penjanje | 1+F | 3 000 | | | |
| A330-343 | ICAO_A | 2 | 4 | Ubrzanje | Maksimum za penjanje | 1+F | | 801,5 | 177,5 | |
| A330-343 | ICAO_A | 2 | 5 | Ubrzanje | Maksimum za penjanje | 1 | | 885,4 | 201,7 | |
| A330-343 | ICAO_A | 2 | 6 | Ubrzanje | Maksimum za penjanje | ZERO | | 1 068,3 | 219,8 | |
| A330-343 | ICAO_A | 2 | 7 | Ubrzanje | Maksimum za penjanje | ZERO | | 1 208,4 | 250 | |
| A330-343 | ICAO_A | 2 | 8 | Penjanje | Maksimum za penjanje | ZERO | 5 500 | | | |
| A330-343 | ICAO_A | 2 | 9 | Penjanje | Maksimum za penjanje | ZERO | 7 500 | | | |
| A330-343 | ICAO_A | 2 | 10 | Penjanje | Maksimum za penjanje | ZERO | 10 000 | | | |
| A330-343 | ICAO_A | 3 | 1 | Uzlijetanje | Maksimum za uzlijetanje | 1+F | | | | |

▼**M2**

| ACFTID | Oznaka profila (Profile_ID) | Duljina faze | Broj koraka | Tip koraka | Režim rada motora | Zakrilca (Flap_ID) | Visina krajnje točke (ft) | Stopa penjanja (ft/min) | Kalibrirana brzina leta u krajnjoj točki (kt) | Postotak ubrzanja (Accelerate_Percent) (%) |
|---|---|---|---|---|---|---|---|---|---|---|
| A330-343 | ICAO_A | 3 | 2 | Penjanje | Maksimum za uzlijetanje | 1+F | 1 500 | | | |
| A330-343 | ICAO_A | 3 | 3 | Penjanje | Maksimum za penjanje | 1+F | 3 000 | | | |
| A330-343 | ICAO_A | 3 | 4 | Ubrzanje | Maksimum za penjanje | 1+F | | 766,4 | 180,3 | |
| A330-343 | ICAO_A | 3 | 5 | Ubrzanje | Maksimum za penjanje | 1 | | 857,9 | 203,5 | |
| A330-343 | ICAO_A | 3 | 6 | Ubrzanje | Maksimum za penjanje | ZERO | | 1 033,8 | 220,9 | |
| A330-343 | ICAO_A | 3 | 7 | Ubrzanje | Maksimum za penjanje | ZERO | | 1 164,8 | 250 | |
| A330-343 | ICAO_A | 3 | 8 | Penjanje | Maksimum za penjanje | ZERO | 5 500 | | | |
| A330-343 | ICAO_A | 3 | 9 | Penjanje | Maksimum za penjanje | ZERO | 7 500 | | | |
| A330-343 | ICAO_A | 3 | 10 | Penjanje | Maksimum za penjanje | ZERO | 10 000 | | | |
| A330-343 | ICAO_A | 4 | 1 | Uzlijetanje | Maksimum za uzlijetanje | 1+F | | | | |
| A330-343 | ICAO_A | 4 | 2 | Penjanje | Maksimum za uzlijetanje | 1+F | 1 500 | | | |
| A330-343 | ICAO_A | 4 | 3 | Penjanje | Maksimum za penjanje | 1+F | 3 000 | | | |
| A330-343 | ICAO_A | 4 | 4 | Ubrzanje | Maksimum za penjanje | 1+F | | 717,5 | 185,3 | |

▼**M2**

| ACFTID | Oznaka profila (Profile_ID) | Duljina faze | Broj koraka | Tip koraka | Režim rada motora | Zakrilca (Flap_ID) | Visina krajnje točke (ft) | Stopa penjanja (ft/min) | Kalibrirana brzina leta u krajnjoj točki (kt) | Postotak ubrzanja (Accelerate_Percent) (%) |
|---|---|---|---|---|---|---|---|---|---|---|
| A330-343 | ICAO_A | 4 | 5 | Ubrzanje | Maksimum za penjanje | 1 | | 814,6 | 206,8 | |
| A330-343 | ICAO_A | 4 | 6 | Ubrzanje | Maksimum za penjanje | ZERO | | 977,3 | 223 | |
| A330-343 | ICAO_A | 4 | 7 | Ubrzanje | Maksimum za penjanje | ZERO | | 1 093,5 | 250 | |
| A330-343 | ICAO_A | 4 | 8 | Penjanje | Maksimum za penjanje | ZERO | 5 500 | | | |
| A330-343 | ICAO_A | 4 | 9 | Penjanje | Maksimum za penjanje | ZERO | 7 500 | | | |
| A330-343 | ICAO_A | 4 | 10 | Penjanje | Maksimum za penjanje | ZERO | 10 000 | | | |
| A330-343 | ICAO_A | 5 | 1 | Uzlijetanje | Maksimum za uzlijetanje | 1+F | | | | |
| A330-343 | ICAO_A | 5 | 2 | Penjanje | Maksimum za uzlijetanje | 1+F | 1 500 | | | |
| A330-343 | ICAO_A | 5 | 3 | Penjanje | Maksimum za penjanje | 1+F | 3 000 | | | |
| A330-343 | ICAO_A | 5 | 4 | Ubrzanje | Maksimum za penjanje | 1+F | | 661,1 | 191,5 | |
| A330-343 | ICAO_A | 5 | 5 | Ubrzanje | Maksimum za penjanje | 1 | | 767 | 211,2 | |
| A330-343 | ICAO_A | 5 | 6 | Ubrzanje | Maksimum za penjanje | ZERO | | 910,6 | 226,1 | |
| A330-343 | ICAO_A | 5 | 7 | Ubrzanje | Maksimum za penjanje | ZERO | | 1 011 | 250 | |

▼M2

| ACFTID | Oznaka profila (Profile_ID) | Duljina faze | Broj koraka | Tip koraka | Režim rada motora | Zakrilca (Flap_ID) | Visina krajnje točke (ft) | Stopa penjanja (ft/min) | Kalibrirana brzina leta u krajnjoj točki (kt) | Postotak ubrzanja (Accelerate_Percent) (%) |
|---|---|---|---|---|---|---|---|---|---|---|
| A330-343 | ICAO_A | 5 | 8 | Penjanje | Maksimum za penjanje | ZERO | 5 500 | | | |
| A330-343 | ICAO_A | 5 | 9 | Penjanje | Maksimum za penjanje | ZERO | 7 500 | | | |
| A330-343 | ICAO_A | 5 | 10 | Penjanje | Maksimum za penjanje | ZERO | 10 000 | | | |
| A330-343 | ICAO_A | 6 | 1 | Uzlijetanje | Maksimum za uzlijetanje | 1+F | | | | |
| A330-343 | ICAO_A | 6 | 2 | Penjanje | Maksimum za uzlijetanje | 1+F | 1 500 | | | |
| A330-343 | ICAO_A | 6 | 3 | Penjanje | Maksimum za penjanje | 1+F | 3 000 | | | |
| A330-343 | ICAO_A | 6 | 4 | Ubrzanje | Maksimum za penjanje | 1+F | | 607,1 | 197,4 | |
| A330-343 | ICAO_A | 6 | 5 | Ubrzanje | Maksimum za penjanje | 1 | | 717 | 215,3 | |
| A330-343 | ICAO_A | 6 | 6 | Ubrzanje | Maksimum za penjanje | ZERO | | 840,3 | 228,8 | |
| A330-343 | ICAO_A | 6 | 7 | Ubrzanje | Maksimum za penjanje | ZERO | | 929,9 | 250 | |
| A330-343 | ICAO_A | 6 | 8 | Penjanje | Maksimum za penjanje | ZERO | 5 500 | | | |
| A330-343 | ICAO_A | 6 | 9 | Penjanje | Maksimum za penjanje | ZERO | 7 500 | | | |
| A330-343 | ICAO_A | 6 | 10 | Penjanje | Maksimum za penjanje | ZERO | 10 000 | | | |

▼**M2**

| ACFTID | Oznaka profila (Profile_ID) | Duljina faze | Broj koraka | Tip koraka | Režim rada motora | Zakrilca (Flap_ID) | Visina krajnje točke (ft) | Stopa penjanja (ft/min) | Kalibrirana brzina leta u krajnjoj točki (kt) | Postotak ubrzanja (Accelerate_Percent) (%) |
|---|---|---|---|---|---|---|---|---|---|---|
| A330-343 | ICAO_A | 7 | 1 | Uzlijetanje | Maksimum za uzlijetanje | 1+F | | | | |
| A330-343 | ICAO_A | 7 | 2 | Penjanje | Maksimum za uzlijetanje | 1+F | 1 500 | | | |
| A330-343 | ICAO_A | 7 | 3 | Penjanje | Maksimum za penjanje | 1+F | 3 000 | | | |
| A330-343 | ICAO_A | 7 | 4 | Ubrzanje | Maksimum za penjanje | 1+F | | 538 | 200,4 | |
| A330-343 | ICAO_A | 7 | 5 | Ubrzanje | Maksimum za penjanje | 1 | | 638,8 | 216,2 | |
| A330-343 | ICAO_A | 7 | 6 | Ubrzanje | Maksimum za penjanje | ZERO | | 743,9 | 228,1 | |
| A330-343 | ICAO_A | 7 | 7 | Ubrzanje | Maksimum za penjanje | ZERO | | 830,4 | 250 | |
| A330-343 | ICAO_A | 7 | 8 | Penjanje | Maksimum za penjanje | ZERO | 5 500 | | | |
| A330-343 | ICAO_A | 7 | 9 | Penjanje | Maksimum za penjanje | ZERO | 7 500 | | | |
| A330-343 | ICAO_A | 7 | 10 | Penjanje | Maksimum za penjanje | ZERO | 10 000 | | | |
| A330-343 | ICAO_B | 1 | 1 | Uzlijetanje | Maksimum za uzlijetanje | 1+F | | | | |
| A330-343 | ICAO_B | 1 | 2 | Penjanje | Maksimum za uzlijetanje | 1+F | 1 000 | | | |
| A330-343 | ICAO_B | 1 | 3 | Ubrzanje | Maksimum za uzlijetanje | 1+F | | 1 273,5 | 174,9 | |

▼**M2**

| ACFTID | Oznaka profila (Profile_ID) | Duljina faze | Broj koraka | Tip koraka | Režim rada motora | Zakrilca (Flap_ID) | Visina krajnje točke (ft) | Stopa penjanja (ft/min) | Kalibrirana brzina leta u krajnjoj točki (kt) | Postotak ubrzanja (Accelerate_Percent) (%) |
|---|---|---|---|---|---|---|---|---|---|---|
| A330-343 | ICAO_B | 1 | 4 | Ubrzanje | Maksimum za uzlijetanje | 1 | | 1 384,8 | 213,9 | |
| A330-343 | ICAO_B | 1 | 5 | Penjanje | Maksimum za penjanje | ZERO | 3 000 | | | |
| A330-343 | ICAO_B | 1 | 6 | Ubrzanje | Maksimum za penjanje | ZERO | | 1 268,1 | 250 | |
| A330-343 | ICAO_B | 1 | 7 | Penjanje | Maksimum za penjanje | ZERO | 5 500 | | | |
| A330-343 | ICAO_B | 1 | 8 | Penjanje | Maksimum za penjanje | ZERO | 7 500 | | | |
| A330-343 | ICAO_B | 1 | 9 | Penjanje | Maksimum za penjanje | ZERO | 10 000 | | | |
| A330-343 | ICAO_B | 2 | 1 | Uzlijetanje | Maksimum za uzlijetanje | 1+F | | | | |
| A330-343 | ICAO_B | 2 | 2 | Penjanje | Maksimum za uzlijetanje | 1+F | 1 000 | | | |
| A330-343 | ICAO_B | 2 | 3 | Ubrzanje | Maksimum za uzlijetanje | 1+F | | 1 218,9 | 177,7 | |
| A330-343 | ICAO_B | 2 | 4 | Ubrzanje | Maksimum za uzlijetanje | 1 | | 1 340,4 | 215 | |
| A330-343 | ICAO_B | 2 | 5 | Penjanje | Maksimum za penjanje | ZERO | 3 000 | | | |
| A330-343 | ICAO_B | 2 | 6 | Ubrzanje | Maksimum za penjanje | ZERO | | 1 223,6 | 250 | |
| A330-343 | ICAO_B | 2 | 7 | Penjanje | Maksimum za penjanje | ZERO | 5 500 | | | |

▼**M2**

| ACFTID | Oznaka profila (Profile_ID) | Duljina faze | Broj koraka | Tip koraka | Režim rada motora | Zakrilca (Flap_ID) | Visina krajnje točke (ft) | Stopa penjanja (ft/min) | Kalibrirana brzina leta u krajnjoj točki (kt) | Postotak ubrzanja (Accelerate_Percent) (%) |
|---|---|---|---|---|---|---|---|---|---|---|
| A330-343 | ICAO_B | 2 | 8 | Penjanje | Maksimum za penjanje | ZERO | 7 500 | | | |
| A330-343 | ICAO_B | 2 | 9 | Penjanje | Maksimum za penjanje | ZERO | 10 000 | | | |
| A330-343 | ICAO_B | 3 | 1 | Uzlijetanje | Maksimum za uzlijetanje | 1+F | | | | |
| A330-343 | ICAO_B | 3 | 2 | Penjanje | Maksimum za uzlijetanje | 1+F | 1 000 | | | |
| A330-343 | ICAO_B | 3 | 3 | Ubrzanje | Maksimum za uzlijetanje | 1+F | | 1 181,2 | 180,4 | |
| A330-343 | ICAO_B | 3 | 4 | Ubrzanje | Maksimum za uzlijetanje | 1 | | 1 296,6 | 216,1 | |
| A330-343 | ICAO_B | 3 | 5 | Penjanje | Maksimum za penjanje | ZERO | 3 000 | | | |
| A330-343 | ICAO_B | 3 | 6 | Ubrzanje | Maksimum za penjanje | ZERO | | 1 180 | 250 | |
| A330-343 | ICAO_B | 3 | 7 | Penjanje | Maksimum za penjanje | ZERO | 5 500 | | | |
| A330-343 | ICAO_B | 3 | 8 | Penjanje | Maksimum za penjanje | ZERO | 7 500 | | | |
| A330-343 | ICAO_B | 3 | 9 | Penjanje | Maksimum za penjanje | ZERO | 10 000 | | | |
| A330-343 | ICAO_B | 4 | 1 | Uzlijetanje | Maksimum za uzlijetanje | 1+F | | | | |
| A330-343 | ICAO_B | 4 | 2 | Penjanje | Maksimum za uzlijetanje | 1+F | 1 000 | | | |
| A330-343 | ICAO_B | 4 | 3 | Ubrzanje | Maksimum za uzlijetanje | 1+F | | 1 115,2 | 185,2 | |

▼**M2**

| ACFTID | Oznaka profila (Profile_ID) | Duljina faze | Broj koraka | Tip koraka | Režim rada motora | Zakrilca (Flap_ID) | Visina krajnje točke (ft) | Stopa penjanja (ft/min) | Kalibrirana brzina leta u krajnjoj točki (kt) | Postotak ubrzanja (Accelerate_Percent) (%) |
|---|---|---|---|---|---|---|---|---|---|---|
| A330-343 | ICAO_B | 4 | 4 | Ubrzanje | Maksimum za uzlijetanje | 1 | | 1 224,1 | 218,3 | |
| A330-343 | ICAO_B | 4 | 5 | Penjanje | Maksimum za penjanje | ZERO | 3 000 | | | |
| A330-343 | ICAO_B | 4 | 6 | Ubrzanje | Maksimum za penjanje | ZERO | | 1 108,4 | 250 | |
| A330-343 | ICAO_B | 4 | 7 | Penjanje | Maksimum za penjanje | ZERO | 5 500 | | | |
| A330-343 | ICAO_B | 4 | 8 | Penjanje | Maksimum za penjanje | ZERO | 7 500 | | | |
| A330-343 | ICAO_B | 4 | 9 | Penjanje | Maksimum za penjanje | ZERO | 10 000 | | | |
| A330-343 | ICAO_B | 5 | 1 | Uzlijetanje | Maksimum za uzlijetanje | 1+F | | | | |
| A330-343 | ICAO_B | 5 | 2 | Penjanje | Maksimum za uzlijetanje | 1+F | 1 000 | | | |
| A330-343 | ICAO_B | 5 | 3 | Ubrzanje | Maksimum za uzlijetanje | 1+F | | 1 038,3 | 191,3 | |
| A330-343 | ICAO_B | 5 | 4 | Ubrzanje | Maksimum za uzlijetanje | 1 | | 1 139,2 | 221,4 | |
| A330-343 | ICAO_B | 5 | 5 | Penjanje | Maksimum za penjanje | ZERO | 3 000 | | | |
| A330-343 | ICAO_B | 5 | 6 | Ubrzanje | Maksimum za penjanje | ZERO | | 1 025,2 | 250 | |
| A330-343 | ICAO_B | 5 | 7 | Penjanje | Maksimum za penjanje | ZERO | 5 500 | | | |
| A330-343 | ICAO_B | 5 | 8 | Penjanje | Maksimum za penjanje | ZERO | 7 500 | | | |

▼M2

| ACFTID | Oznaka profila (Profile_ID) | Duljina faze | Broj koraka | Tip koraka | Režim rada motora | Zakrilca (Flap_ID) | Visina krajnje točke (ft) | Stopa penjanja (ft/min) | Kalibrirana brzina leta u krajnjoj točki (kt) | Postotak ubrzanja (Accelerate_Percent) (%) |
|---|---|---|---|---|---|---|---|---|---|---|
| A330-343 | ICAO_B | 5 | 9 | Penjanje | Maksimum za penjanje | ZERO | 10 000 | | | |
| A330-343 | ICAO_B | 6 | 1 | Uzlijetanje | Maksimum za uzlijetanje | 1+F | | | | |
| A330-343 | ICAO_B | 6 | 2 | Penjanje | Maksimum za uzlijetanje | 1+F | 1 000 | | | |
| A330-343 | ICAO_B | 6 | 3 | Ubrzanje | Maksimum za uzlijetanje | 1+F | | 962,8 | 197,3 | |
| A330-343 | ICAO_B | 6 | 4 | Ubrzanje | Maksimum za uzlijetanje | 1 | | 1 054,3 | 224,5 | |
| A330-343 | ICAO_B | 6 | 5 | Penjanje | Maksimum za penjanje | ZERO | 3 000 | | | |
| A330-343 | ICAO_B | 6 | 6 | Ubrzanje | Maksimum za penjanje | ZERO | | 943,3 | 250 | |
| A330-343 | ICAO_B | 6 | 7 | Penjanje | Maksimum za penjanje | ZERO | 5 500 | | | |
| A330-343 | ICAO_B | 6 | 8 | Penjanje | Maksimum za penjanje | ZERO | 7 500 | | | |
| A330-343 | ICAO_B | 6 | 9 | Penjanje | Maksimum za penjanje | ZERO | 10 000 | | | |
| A330-343 | ICAO_B | 7 | 1 | Uzlijetanje | Maksimum za uzlijetanje | 1+F | | | | |
| A330-343 | ICAO_B | 7 | 2 | Penjanje | Maksimum za uzlijetanje | 1+F | 1 000 | | | |
| A330-343 | ICAO_B | 7 | 3 | Ubrzanje | Maksimum za uzlijetanje | 1+F | | 869,5 | 200,8 | |
| A330-343 | ICAO_B | 7 | 4 | Ubrzanje | Maksimum za uzlijetanje | 1 | | 948,6 | 225 | |

▼**M2**

| ACFTID | Oznaka profila (Profile_ID) | Duljina faze | Broj koraka | Tip koraka | Režim rada motora | Zakrilca (Flap_ID) | Visina krajnje točke (ft) | Stopa penjanja (ft/min) | Kalibrirana brzina leta u krajnjoj točki (kt) | Postotak ubrzanja (Accelerate_Percent) (%) |
|---|---|---|---|---|---|---|---|---|---|---|
| A330-343 | ICAO_B | 7 | 5 | Penjanje | Maksimum za penjanje | ZERO | 3 000 | | | |
| A330-343 | ICAO_B | 7 | 6 | Ubrzanje | Maksimum za penjanje | ZERO | | 842 | 250 | |
| A330-343 | ICAO_B | 7 | 7 | Penjanje | Maksimum za penjanje | ZERO | 5 500 | | | |
| A330-343 | ICAO_B | 7 | 8 | Penjanje | Maksimum za penjanje | ZERO | 7 500 | | | |
| A330-343 | ICAO_B | 7 | 9 | Penjanje | Maksimum za penjanje | ZERO | 10 000 | | | |
| A340-211 | DEFAULT | 1 | 1 | Uzlijetanje | Maksimum za uzlijetanje | 1+F | | | | |
| A340-211 | DEFAULT | 1 | 2 | Penjanje | Maksimum za uzlijetanje | 1+F | 1 000 | | | |
| A340-211 | DEFAULT | 1 | 3 | Ubrzanje | Maksimum za uzlijetanje | 1+F | | 1 019,3 | 177,6 | |
| A340-211 | DEFAULT | 1 | 4 | Ubrzanje | Maksimum za uzlijetanje | 1 | | 1 101,1 | 215,2 | |
| A340-211 | DEFAULT | 1 | 5 | Penjanje | Maksimum za penjanje | ZERO | 3 000 | | | |
| A340-211 | DEFAULT | 1 | 6 | Ubrzanje | Maksimum za penjanje | ZERO | | 1 165,6 | 250 | |
| A340-211 | DEFAULT | 1 | 7 | Penjanje | Maksimum za penjanje | ZERO | 5 500 | | | |
| A340-211 | DEFAULT | 1 | 8 | Penjanje | Maksimum za penjanje | ZERO | 7 500 | | | |
| A340-211 | DEFAULT | 1 | 9 | Penjanje | Maksimum za penjanje | ZERO | 10 000 | | | |

▼**M2**

| ACFTID | Oznaka profila (Profile_ID) | Duljina faze | Broj koraka | Tip koraka | Režim rada motora | Zakrilca (Flap_ID) | Visina krajnje točke (ft) | Stopa penjanja (ft/min) | Kalibrirana brzina leta u krajnjoj točki (kt) | Postotak ubrzanja (Accelerate_Percent) (%) |
|---|---|---|---|---|---|---|---|---|---|---|
| A340-211 | DEFAULT | 2 | 1 | Uzlijetanje | Maksimum za uzlijetanje | 1+F | | | | |
| A340-211 | DEFAULT | 2 | 2 | Penjanje | Maksimum za uzlijetanje | 1+F | 1 000 | | | |
| A340-211 | DEFAULT | 2 | 3 | Ubrzanje | Maksimum za uzlijetanje | 1+F | | 973,9 | 180,5 | |
| A340-211 | DEFAULT | 2 | 4 | Ubrzanje | Maksimum za uzlijetanje | 1 | | 1 061,1 | 216,3 | |
| A340-211 | DEFAULT | 2 | 5 | Penjanje | Maksimum za penjanje | ZERO | 3 000 | | | |
| A340-211 | DEFAULT | 2 | 6 | Ubrzanje | Maksimum za penjanje | ZERO | | 1 120,6 | 250 | |
| A340-211 | DEFAULT | 2 | 7 | Penjanje | Maksimum za penjanje | ZERO | 5 500 | | | |
| A340-211 | DEFAULT | 2 | 8 | Penjanje | Maksimum za penjanje | ZERO | 7 500 | | | |
| A340-211 | DEFAULT | 2 | 9 | Penjanje | Maksimum za penjanje | ZERO | 10 000 | | | |
| A340-211 | DEFAULT | 3 | 1 | Uzlijetanje | Maksimum za uzlijetanje | 1+F | | | | |
| A340-211 | DEFAULT | 3 | 2 | Penjanje | Maksimum za uzlijetanje | 1+F | 1 000 | | | |
| A340-211 | DEFAULT | 3 | 3 | Ubrzanje | Maksimum za uzlijetanje | 1+F | | 930,2 | 183,1 | |
| A340-211 | DEFAULT | 3 | 4 | Ubrzanje | Maksimum za uzlijetanje | 1 | | 1 021,2 | 217,3 | |
| A340-211 | DEFAULT | 3 | 5 | Penjanje | Maksimum za penjanje | ZERO | 3 000 | | | |

▼**M2**

| ACFTID | Oznaka profila (Profile_ID) | Duljina faze | Broj koraka | Tip koraka | Režim rada motora | Zakrilca (Flap_ID) | Visina krajnje točke (ft) | Stopa penjanja (ft/min) | Kalibrirana brzina leta u krajnjoj točki (kt) | Postotak ubrzanja (Accelerate_Percent) (%) |
|---|---|---|---|---|---|---|---|---|---|---|
| A340-211 | DEFAULT | 3 | 6 | Ubrzanje | Maksimum za penjanje | ZERO | | 1 076,1 | 250 | |
| A340-211 | DEFAULT | 3 | 7 | Penjanje | Maksimum za penjanje | ZERO | 5 500 | | | |
| A340-211 | DEFAULT | 3 | 8 | Penjanje | Maksimum za penjanje | ZERO | 7 500 | | | |
| A340-211 | DEFAULT | 3 | 9 | Penjanje | Maksimum za penjanje | ZERO | 10 000 | | | |
| A340-211 | DEFAULT | 4 | 1 | Uzlijetanje | Maksimum za uzlijetanje | 1+F | | | | |
| A340-211 | DEFAULT | 4 | 2 | Penjanje | Maksimum za uzlijetanje | 1+F | 1 000 | | | |
| A340-211 | DEFAULT | 4 | 3 | Ubrzanje | Maksimum za uzlijetanje | 1+F | | 860,1 | 188,2 | |
| A340-211 | DEFAULT | 4 | 4 | Ubrzanje | Maksimum za uzlijetanje | 1 | | 955,9 | 219,5 | |
| A340-211 | DEFAULT | 4 | 5 | Penjanje | Maksimum za penjanje | ZERO | 3 000 | | | |
| A340-211 | DEFAULT | 4 | 6 | Ubrzanje | Maksimum za penjanje | ZERO | | 1 003,9 | 250 | |
| A340-211 | DEFAULT | 4 | 7 | Penjanje | Maksimum za penjanje | ZERO | 5 500 | | | |
| A340-211 | DEFAULT | 4 | 8 | Penjanje | Maksimum za penjanje | ZERO | 7 500 | | | |
| A340-211 | DEFAULT | 4 | 9 | Penjanje | Maksimum za penjanje | ZERO | 10 000 | | | |

▼**M2**

| ACFTID | Oznaka profila (Profile_ID) | Duljina faze | Broj koraka | Tip koraka | Režim rada motora | Zakrilca (Flap_ID) | Visina krajnje točke (ft) | Stopa penjanja (ft/min) | Kalibrirana brzina leta u krajnjoj točki (kt) | Postotak ubrzanja (Accelerate_Percent) (%) |
|---|---|---|---|---|---|---|---|---|---|---|
| A340-211 | DEFAULT | 5 | 1 | Uzlijetanje | Maksimum za uzlijetanje | 1+F | | | | |
| A340-211 | DEFAULT | 5 | 2 | Penjanje | Maksimum za uzlijetanje | 1+F | 1 000 | | | |
| A340-211 | DEFAULT | 5 | 3 | Ubrzanje | Maksimum za uzlijetanje | 1+F | | 779,4 | 194,9 | |
| A340-211 | DEFAULT | 5 | 4 | Ubrzanje | Maksimum za uzlijetanje | 1 | | 879,4 | 222,9 | |
| A340-211 | DEFAULT | 5 | 5 | Penjanje | Maksimum za penjanje | ZERO | 3 000 | | | |
| A340-211 | DEFAULT | 5 | 6 | Ubrzanje | Maksimum za penjanje | ZERO | | 920,2 | 250 | |
| A340-211 | DEFAULT | 5 | 7 | Penjanje | Maksimum za penjanje | ZERO | 5 500 | | | |
| A340-211 | DEFAULT | 5 | 8 | Penjanje | Maksimum za penjanje | ZERO | 7 500 | | | |
| A340-211 | DEFAULT | 5 | 9 | Penjanje | Maksimum za penjanje | ZERO | 10 000 | | | |
| A340-211 | DEFAULT | 6 | 1 | Uzlijetanje | Maksimum za uzlijetanje | 1+F | | | | |
| A340-211 | DEFAULT | 6 | 2 | Penjanje | Maksimum za uzlijetanje | 1+F | 1 000 | | | |
| A340-211 | DEFAULT | 6 | 3 | Ubrzanje | Maksimum za uzlijetanje | 1+F | | 705,2 | 199,2 | |
| A340-211 | DEFAULT | 6 | 4 | Ubrzanje | Maksimum za uzlijetanje | 1 | | 802 | 224,4 | |
| A340-211 | DEFAULT | 6 | 5 | Penjanje | Maksimum za penjanje | ZERO | 3 000 | | | |

▼**M2**

| ACFTID | Oznaka profila (Profile_ID) | Duljina faze | Broj koraka | Tip koraka | Režim rada motora | Zakrilca (Flap_ID) | Visina krajnje točke (ft) | Stopa penjanja (ft/min) | Kalibrirana brzina leta u krajnjoj točki (kt) | Postotak ubrzanja (Accelerate_Percent) (%) |
|---|---|---|---|---|---|---|---|---|---|---|
| A340-211 | DEFAULT | 6 | 6 | Ubrzanje | Maksimum za penjanje | ZERO | | 836,4 | 250 | |
| A340-211 | DEFAULT | 6 | 7 | Penjanje | Maksimum za penjanje | ZERO | 5 500 | | | |
| A340-211 | DEFAULT | 6 | 8 | Penjanje | Maksimum za penjanje | ZERO | 7 500 | | | |
| A340-211 | DEFAULT | 6 | 9 | Penjanje | Maksimum za penjanje | ZERO | 10 000 | | | |
| A340-211 | DEFAULT | 7 | 1 | Uzlijetanje | Maksimum za uzlijetanje | 1+F | | | | |
| A340-211 | DEFAULT | 7 | 2 | Penjanje | Maksimum za uzlijetanje | 1+F | 1 000 | | | |
| A340-211 | DEFAULT | 7 | 3 | Ubrzanje | Maksimum za uzlijetanje | 1+F | | 519,8 | 199,2 | |
| A340-211 | DEFAULT | 7 | 4 | Ubrzanje | Maksimum za uzlijetanje | 1 | | 591,5 | 218,2 | |
| A340-211 | DEFAULT | 7 | 5 | Ubrzanje | Maksimum za uzlijetanje | 1 | | 653,7 | 223,4 | |
| A340-211 | DEFAULT | 7 | 6 | Penjanje | Maksimum za penjanje | ZERO | 3 000 | | | |
| A340-211 | DEFAULT | 7 | 7 | Ubrzanje | Maksimum za penjanje | ZERO | | 622,6 | 250 | |
| A340-211 | DEFAULT | 7 | 8 | Penjanje | Maksimum za penjanje | ZERO | 5 500 | | | |
| A340-211 | DEFAULT | 7 | 9 | Penjanje | Maksimum za penjanje | ZERO | 7 500 | | | |
| A340-211 | DEFAULT | 7 | 10 | Penjanje | Maksimum za penjanje | ZERO | 10 000 | | | |

▼**M2**

| ACFTID | Oznaka profila (Profile_ID) | Duljina faze | Broj koraka | Tip koraka | Režim rada motora | Zakrilca (Flap_ID) | Visina krajnje točke (ft) | Stopa penjanja (ft/min) | Kalibrirana brzina leta u krajnjoj točki (kt) | Postotak ubrzanja (Accelerate_Percent) (%) |
|---|---|---|---|---|---|---|---|---|---|---|
| A340-211 | ICAO_A | 1 | 1 | Uzlijetanje | Maksimum za uzlijetanje | 1+F | | | | |
| A340-211 | ICAO_A | 1 | 2 | Penjanje | Maksimum za uzlijetanje | 1+F | 1 500 | | | |
| A340-211 | ICAO_A | 1 | 3 | Penjanje | Maksimum za penjanje | 1+F | 3 000 | | | |
| A340-211 | ICAO_A | 1 | 4 | Ubrzanje | Maksimum za penjanje | 1+F | | 832,3 | 177,4 | |
| A340-211 | ICAO_A | 1 | 5 | Ubrzanje | Maksimum za penjanje | 1 | | 890,6 | 206,8 | |
| A340-211 | ICAO_A | 1 | 6 | Ubrzanje | Maksimum za penjanje | ZERO | | 1 039,6 | 227,9 | |
| A340-211 | ICAO_A | 1 | 7 | Ubrzanje | Maksimum za penjanje | ZERO | | 1 154,4 | 250 | |
| A340-211 | ICAO_A | 1 | 8 | Penjanje | Maksimum za penjanje | ZERO | 5 500 | | | |
| A340-211 | ICAO_A | 1 | 9 | Penjanje | Maksimum za penjanje | ZERO | 7 500 | | | |
| A340-211 | ICAO_A | 1 | 10 | Penjanje | Maksimum za penjanje | ZERO | 10 000 | | | |
| A340-211 | ICAO_A | 2 | 1 | Uzlijetanje | Maksimum za uzlijetanje | 1+F | | | | |
| A340-211 | ICAO_A | 2 | 2 | Penjanje | Maksimum za uzlijetanje | 1+F | 1 500 | | | |
| A340-211 | ICAO_A | 2 | 3 | Penjanje | Maksimum za penjanje | 1+F | 3 000 | | | |

▼**M2**

| ACFTID | Oznaka profila (Profile_ID) | Duljina faze | Broj koraka | Tip koraka | Režim rada motora | Zakrilca (Flap_ID) | Visina krajnje točke (ft) | Stopa penjanja (ft/min) | Kalibrirana brzina leta u krajnjoj točki (kt) | Postotak ubrzanja (Accelerate_Percent) (%) |
|---|---|---|---|---|---|---|---|---|---|---|
| A340-211 | ICAO_A | 2 | 4 | Ubrzanje | Maksimum za penjanje | 1+F | | 793 | 180,4 | |
| A340-211 | ICAO_A | 2 | 5 | Ubrzanje | Maksimum za penjanje | 1 | | 855,5 | 208,3 | |
| A340-211 | ICAO_A | 2 | 6 | Ubrzanje | Maksimum za penjanje | ZERO | | 999,1 | 228,5 | |
| A340-211 | ICAO_A | 2 | 7 | Ubrzanje | Maksimum za penjanje | ZERO | | 1 109,1 | 250 | |
| A340-211 | ICAO_A | 2 | 8 | Penjanje | Maksimum za penjanje | ZERO | 5 500 | | | |
| A340-211 | ICAO_A | 2 | 9 | Penjanje | Maksimum za penjanje | ZERO | 7 500 | | | |
| A340-211 | ICAO_A | 2 | 10 | Penjanje | Maksimum za penjanje | ZERO | 10 000 | | | |
| A340-211 | ICAO_A | 3 | 1 | Uzlijetanje | Maksimum za uzlijetanje | 1+F | | | | |
| A340-211 | ICAO_A | 3 | 2 | Penjanje | Maksimum za uzlijetanje | 1+F | 1 500 | | | |
| A340-211 | ICAO_A | 3 | 3 | Penjanje | Maksimum za penjanje | 1+F | 3 000 | | | |
| A340-211 | ICAO_A | 3 | 4 | Ubrzanje | Maksimum za penjanje | 1+F | | 754,7 | 183 | |
| A340-211 | ICAO_A | 3 | 5 | Ubrzanje | Maksimum za penjanje | 1 | | 820,5 | 209,4 | |
| A340-211 | ICAO_A | 3 | 6 | Ubrzanje | Maksimum za penjanje | ZERO | | 959,1 | 228,8 | |

▼M2

| ACFTID | Oznaka profila (Profile_ID) | Duljina faze | Broj koraka | Tip koraka | Režim rada motora | Zakrilca (Flap_ID) | Visina krajnje točke (ft) | Stopa penjanja (ft/min) | Kalibrirana brzina leta u krajnjoj točki (kt) | Postotak ubrzanja (Accelerate_Percent) (%) |
|---|---|---|---|---|---|---|---|---|---|---|
| A340-211 | ICAO_A | 3 | 7 | Ubrzanje | Maksimum za penjanje | ZERO | | 1 064,5 | 250 | |
| A340-211 | ICAO_A | 3 | 8 | Penjanje | Maksimum za penjanje | ZERO | 5 500 | | | |
| A340-211 | ICAO_A | 3 | 9 | Penjanje | Maksimum za penjanje | ZERO | 7 500 | | | |
| A340-211 | ICAO_A | 3 | 10 | Penjanje | Maksimum za penjanje | ZERO | 10 000 | | | |
| A340-211 | ICAO_A | 4 | 1 | Uzlijetanje | Maksimum za uzlijetanje | 1+F | | | | |
| A340-211 | ICAO_A | 4 | 2 | Penjanje | Maksimum za uzlijetanje | 1+F | 1 500 | | | |
| A340-211 | ICAO_A | 4 | 3 | Penjanje | Maksimum za penjanje | 1+F | 3 000 | | | |
| A340-211 | ICAO_A | 4 | 4 | Ubrzanje | Maksimum za penjanje | 1+F | | 690,8 | 188,1 | |
| A340-211 | ICAO_A | 4 | 5 | Ubrzanje | Maksimum za penjanje | 1 | | 763 | 212,2 | |
| A340-211 | ICAO_A | 4 | 6 | Ubrzanje | Maksimum za penjanje | ZERO | | 893,8 | 230 | |
| A340-211 | ICAO_A | 4 | 7 | Ubrzanje | Maksimum za penjanje | ZERO | | 991,5 | 250 | |
| A340-211 | ICAO_A | 4 | 8 | Penjanje | Maksimum za penjanje | ZERO | 5 500 | | | |
| A340-211 | ICAO_A | 4 | 9 | Penjanje | Maksimum za penjanje | ZERO | 7 500 | | | |

▼**M2**

| ACFTID | Oznaka profila (Profile_ID) | Duljina faze | Broj koraka | Tip koraka | Režim rada motora | Zakrilca (Flap_ID) | Visina krajnje točke (ft) | Stopa penjanja (ft/min) | Kalibrirana brzina leta u krajnjoj točki (kt) | Postotak ubrzanja (Accelerate_Percent) (%) |
|---|---|---|---|---|---|---|---|---|---|---|
| A340-211 | ICAO_A | 4 | 10 | Penjanje | Maksimum za penjanje | ZERO | 10 000 | | | |
| A340-211 | ICAO_A | 5 | 1 | Uzlijetanje | Maksimum za uzlijetanje | 1+F | | | | |
| A340-211 | ICAO_A | 5 | 2 | Penjanje | Maksimum za uzlijetanje | 1+F | 1 500 | | | |
| A340-211 | ICAO_A | 5 | 3 | Penjanje | Maksimum za penjanje | 1+F | 3 000 | | | |
| A340-211 | ICAO_A | 5 | 4 | Ubrzanje | Maksimum za penjanje | 1+F | | 621,5 | 194,8 | |
| A340-211 | ICAO_A | 5 | 5 | Ubrzanje | Maksimum za penjanje | 1 | | 695,5 | 216,1 | |
| A340-211 | ICAO_A | 5 | 6 | Ubrzanje | Maksimum za penjanje | ZERO | | 818,3 | 232,2 | |
| A340-211 | ICAO_A | 5 | 7 | Ubrzanje | Maksimum za penjanje | ZERO | | 906,8 | 250 | |
| A340-211 | ICAO_A | 5 | 8 | Penjanje | Maksimum za penjanje | ZERO | 5 500 | | | |
| A340-211 | ICAO_A | 5 | 9 | Penjanje | Maksimum za penjanje | ZERO | 7 500 | | | |
| A340-211 | ICAO_A | 5 | 10 | Penjanje | Maksimum za penjanje | ZERO | 10 000 | | | |
| A340-211 | ICAO_A | 6 | 1 | Uzlijetanje | Maksimum za uzlijetanje | 1+F | | | | |
| A340-211 | ICAO_A | 6 | 2 | Penjanje | Maksimum za uzlijetanje | 1+F | 1 500 | | | |

▼**M2**

| ACFTID | Oznaka profila (Profile_ID) | Duljina faze | Broj koraka | Tip koraka | Režim rada motora | Zakrilca (Flap_ID) | Visina krajnje točke (ft) | Stopa penjanja (ft/min) | Kalibrirana brzina leta u krajnjoj točki (kt) | Postotak ubrzanja (Accelerate_Percent) (%) |
|---|---|---|---|---|---|---|---|---|---|---|
| A340-211 | ICAO_A | 6 | 3 | Penjanje | Maksimum za penjanje | 1+F | 3 000 | | | |
| A340-211 | ICAO_A | 6 | 4 | Ubrzanje | Maksimum za penjanje | 1+F | | 555,3 | 199,2 | |
| A340-211 | ICAO_A | 6 | 5 | Ubrzanje | Maksimum za penjanje | 1 | | 627,4 | 218,1 | |
| A340-211 | ICAO_A | 6 | 6 | Ubrzanje | Maksimum za penjanje | ZERO | | 742,5 | 232,6 | |
| A340-211 | ICAO_A | 6 | 7 | Ubrzanje | Maksimum za penjanje | ZERO | | 824,1 | 250 | |
| A340-211 | ICAO_A | 6 | 8 | Penjanje | Maksimum za penjanje | ZERO | 5 500 | | | |
| A340-211 | ICAO_A | 6 | 9 | Penjanje | Maksimum za penjanje | ZERO | 7 500 | | | |
| A340-211 | ICAO_A | 6 | 10 | Penjanje | Maksimum za penjanje | ZERO | 10 000 | | | |
| A340-211 | ICAO_A | 7 | 1 | Uzlijetanje | Maksimum za uzlijetanje | 1+F | | | | |
| A340-211 | ICAO_A | 7 | 2 | Penjanje | Maksimum za uzlijetanje | 1+F | 1 500 | | | |
| A340-211 | ICAO_A | 7 | 3 | Penjanje | Maksimum za penjanje | 1+F | 3 000 | | | |
| A340-211 | ICAO_A | 7 | 4 | Ubrzanje | Maksimum za penjanje | 1+F | | 388,7 | 199,2 | |
| A340-211 | ICAO_A | 7 | 5 | Ubrzanje | Maksimum za penjanje | 1 | | 444,2 | 212,8 | |

▼M2

| ACFTID | Oznaka profila (Profile_ID) | Duljina faze | Broj koraka | Tip koraka | Režim rada motora | Zakrilca (Flap_ID) | Visina krajnje točke (ft) | Stopa penjanja (ft/min) | Kalibrirana brzina leta u krajnjoj točki (kt) | Postotak ubrzanja (Accelerate_Percent) (%) |
|---|---|---|---|---|---|---|---|---|---|---|
| A340-211 | ICAO_A | 7 | 6 | Ubrzanje | Maksimum za penjanje | 1 | | 500,7 | 224,8 | |
| A340-211 | ICAO_A | 7 | 7 | Ubrzanje | Maksimum za penjanje | ZERO | | 555,6 | 235,4 | |
| A340-211 | ICAO_A | 7 | 8 | Ubrzanje | Maksimum za penjanje | ZERO | | 623 | 250 | |
| A340-211 | ICAO_A | 7 | 9 | Penjanje | Maksimum za penjanje | ZERO | 5 500 | | | |
| A340-211 | ICAO_A | 7 | 10 | Penjanje | Maksimum za penjanje | ZERO | 7 500 | | | |
| A340-211 | ICAO_A | 7 | 11 | Penjanje | Maksimum za penjanje | ZERO | 10 000 | | | |
| A340-211 | ICAO_B | 1 | 1 | Uzlijetanje | Maksimum za uzlijetanje | 1+F | | | | |
| A340-211 | ICAO_B | 1 | 2 | Penjanje | Maksimum za uzlijetanje | 1+F | 1 000 | | | |
| A340-211 | ICAO_B | 1 | 3 | Ubrzanje | Maksimum za uzlijetanje | 1+F | | 1 019,3 | 177,6 | |
| A340-211 | ICAO_B | 1 | 4 | Ubrzanje | Maksimum za uzlijetanje | 1 | | 1 101,1 | 215,2 | |
| A340-211 | ICAO_B | 1 | 5 | Penjanje | Maksimum za penjanje | ZERO | 3 000 | | | |
| A340-211 | ICAO_B | 1 | 6 | Ubrzanje | Maksimum za penjanje | ZERO | | 1 165,6 | 250 | |
| A340-211 | ICAO_B | 1 | 7 | Penjanje | Maksimum za penjanje | ZERO | 5 500 | | | |
| A340-211 | ICAO_B | 1 | 8 | Penjanje | Maksimum za penjanje | ZERO | 7 500 | | | |

▼**M2**

| ACFTID | Oznaka profila (Profile_ID) | Duljina faze | Broj koraka | Tip koraka | Režim rada motora | Zakrilca (Flap_ID) | Visina krajnje točke (ft) | Stopa penjanja (ft/min) | Kalibrirana brzina leta u krajnjoj točki (kt) | Postotak ubrzanja (Accelerate_Percent) (%) |
|---|---|---|---|---|---|---|---|---|---|---|
| A340-211 | ICAO_B | 1 | 9 | Penjanje | Maksimum za penjanje | ZERO | 10 000 | | | |
| A340-211 | ICAO_B | 2 | 1 | Uzlijetanje | Maksimum za uzlijetanje | 1+F | | | | |
| A340-211 | ICAO_B | 2 | 2 | Penjanje | Maksimum za uzlijetanje | 1+F | 1 000 | | | |
| A340-211 | ICAO_B | 2 | 3 | Ubrzanje | Maksimum za uzlijetanje | 1+F | | 973,9 | 180,5 | |
| A340-211 | ICAO_B | 2 | 4 | Ubrzanje | Maksimum za uzlijetanje | 1 | | 1 061,1 | 216,3 | |
| A340-211 | ICAO_B | 2 | 5 | Penjanje | Maksimum za penjanje | ZERO | 3 000 | | | |
| A340-211 | ICAO_B | 2 | 6 | Ubrzanje | Maksimum za penjanje | ZERO | | 1 120,6 | 250 | |
| A340-211 | ICAO_B | 2 | 7 | Penjanje | Maksimum za penjanje | ZERO | 5 500 | | | |
| A340-211 | ICAO_B | 2 | 8 | Penjanje | Maksimum za penjanje | ZERO | 7 500 | | | |
| A340-211 | ICAO_B | 2 | 9 | Penjanje | Maksimum za penjanje | ZERO | 10 000 | | | |
| A340-211 | ICAO_B | 3 | 1 | Uzlijetanje | Maksimum za uzlijetanje | 1+F | | | | |
| A340-211 | ICAO_B | 3 | 2 | Penjanje | Maksimum za uzlijetanje | 1+F | 1 000 | | | |

▼M2

| ACFTID | Oznaka profila (Profile_ID) | Duljina faze | Broj koraka | Tip koraka | Režim rada motora | Zakrilca (Flap_ID) | Visina krajnje točke (ft) | Stopa penjanja (ft/min) | Kalibrirana brzina leta u krajnjoj točki (kt) | Postotak ubrzanja (Accelerate_Percent) (%) |
|---|---|---|---|---|---|---|---|---|---|---|
| A340-211 | ICAO_B | 3 | 3 | Ubrzanje | Maksimum za uzlijetanje | 1+F | | 930,2 | 183,1 | |
| A340-211 | ICAO_B | 3 | 4 | Ubrzanje | Maksimum za uzlijetanje | 1 | | 1 021,2 | 217,3 | |
| A340-211 | ICAO_B | 3 | 5 | Penjanje | Maksimum za penjanje | ZERO | 3 000 | | | |
| A340-211 | ICAO_B | 3 | 6 | Ubrzanje | Maksimum za penjanje | ZERO | | 1 076,1 | 250 | |
| A340-211 | ICAO_B | 3 | 7 | Penjanje | Maksimum za penjanje | ZERO | 5 500 | | | |
| A340-211 | ICAO_B | 3 | 8 | Penjanje | Maksimum za penjanje | ZERO | 7 500 | | | |
| A340-211 | ICAO_B | 3 | 9 | Penjanje | Maksimum za penjanje | ZERO | 10 000 | | | |
| A340-211 | ICAO_B | 4 | 1 | Uzlijetanje | Maksimum za uzlijetanje | 1+F | | | | |
| A340-211 | ICAO_B | 4 | 2 | Penjanje | Maksimum za uzlijetanje | 1+F | 1 000 | | | |
| A340-211 | ICAO_B | 4 | 3 | Ubrzanje | Maksimum za uzlijetanje | 1+F | | 860,1 | 188,2 | |
| A340-211 | ICAO_B | 4 | 4 | Ubrzanje | Maksimum za uzlijetanje | 1 | | 955,9 | 219,5 | |
| A340-211 | ICAO_B | 4 | 5 | Penjanje | Maksimum za penjanje | ZERO | 3 000 | | | |
| A340-211 | ICAO_B | 4 | 6 | Ubrzanje | Maksimum za penjanje | ZERO | | 1 003,9 | 250 | |
| A340-211 | ICAO_B | 4 | 7 | Penjanje | Maksimum za penjanje | ZERO | 5 500 | | | |

▼M2

| ACFTID | Oznaka profila (Profile_ID) | Duljina faze | Broj koraka | Tip koraka | Režim rada motora | Zakrilca (Flap_ID) | Visina krajnje točke (ft) | Stopa penjanja (ft/min) | Kalibrirana brzina leta u krajnjoj točki (kt) | Postotak ubrzanja (Accelerate_Percent) (%) |
|---|---|---|---|---|---|---|---|---|---|---|
| A340-211 | ICAO_B | 4 | 8 | Penjanje | Maksimum za penjanje | ZERO | 7 500 | | | |
| A340-211 | ICAO_B | 4 | 9 | Penjanje | Maksimum za penjanje | ZERO | 10 000 | | | |
| A340-211 | ICAO_B | 5 | 1 | Uzlijetanje | Maksimum za uzlijetanje | 1+F | | | | |
| A340-211 | ICAO_B | 5 | 2 | Penjanje | Maksimum za uzlijetanje | 1+F | 1 000 | | | |
| A340-211 | ICAO_B | 5 | 3 | Ubrzanje | Maksimum za uzlijetanje | 1+F | | 779,4 | 194,9 | |
| A340-211 | ICAO_B | 5 | 4 | Ubrzanje | Maksimum za uzlijetanje | 1 | | 879,4 | 222,9 | |
| A340-211 | ICAO_B | 5 | 5 | Penjanje | Maksimum za penjanje | ZERO | 3 000 | | | |
| A340-211 | ICAO_B | 5 | 6 | Ubrzanje | Maksimum za penjanje | ZERO | | 920,2 | 250 | |
| A340-211 | ICAO_B | 5 | 7 | Penjanje | Maksimum za penjanje | ZERO | 5 500 | | | |
| A340-211 | ICAO_B | 5 | 8 | Penjanje | Maksimum za penjanje | ZERO | 7 500 | | | |
| A340-211 | ICAO_B | 5 | 9 | Penjanje | Maksimum za penjanje | ZERO | 10 000 | | | |
| A340-211 | ICAO_B | 6 | 1 | Uzlijetanje | Maksimum za uzlijetanje | 1+F | | | | |
| A340-211 | ICAO_B | 6 | 2 | Penjanje | Maksimum za uzlijetanje | 1+F | 1 000 | | | |
| A340-211 | ICAO_B | 6 | 3 | Ubrzanje | Maksimum za uzlijetanje | 1+F | | 705,2 | 199,2 | |

▼M2

| ACFTID | Oznaka profila (Profile_ID) | Duljina faze | Broj koraka | Tip koraka | Režim rada motora | Zakrilca (Flap_ID) | Visina krajnje točke (ft) | Stopa penjanja (ft/min) | Kalibrirana brzina leta u krajnjoj točki (kt) | Postotak ubrzanja (Accelerate_Percent) (%) |
|---|---|---|---|---|---|---|---|---|---|---|
| A340-211 | ICAO_B | 6 | 4 | Ubrzanje | Maksimum za uzlijetanje | 1 | | 802 | 224,4 | |
| A340-211 | ICAO_B | 6 | 5 | Penjanje | Maksimum za penjanje | ZERO | 3 000 | | | |
| A340-211 | ICAO_B | 6 | 6 | Ubrzanje | Maksimum za penjanje | ZERO | | 836,4 | 250 | |
| A340-211 | ICAO_B | 6 | 7 | Penjanje | Maksimum za penjanje | ZERO | 5 500 | | | |
| A340-211 | ICAO_B | 6 | 8 | Penjanje | Maksimum za penjanje | ZERO | 7 500 | | | |
| A340-211 | ICAO_B | 6 | 9 | Penjanje | Maksimum za penjanje | ZERO | 10 000 | | | |
| A340-211 | ICAO_B | 7 | 1 | Uzlijetanje | Maksimum za uzlijetanje | 1+F | | | | |
| A340-211 | ICAO_B | 7 | 2 | Penjanje | Maksimum za uzlijetanje | 1+F | 1 000 | | | |
| A340-211 | ICAO_B | 7 | 3 | Ubrzanje | Maksimum za uzlijetanje | 1+F | | 519,8 | 199,2 | |
| A340-211 | ICAO_B | 7 | 4 | Ubrzanje | Maksimum za uzlijetanje | 1 | | 591,5 | 218,2 | |
| A340-211 | ICAO_B | 7 | 5 | Ubrzanje | Maksimum za uzlijetanje | 1 | | 653,7 | 223,4 | |
| A340-211 | ICAO_B | 7 | 6 | Penjanje | Maksimum za penjanje | ZERO | 3 000 | | | |
| A340-211 | ICAO_B | 7 | 7 | Ubrzanje | Maksimum za penjanje | ZERO | | 622,6 | 250 | |
| A340-211 | ICAO_B | 7 | 8 | Penjanje | Maksimum za penjanje | ZERO | 5 500 | | | |

▼M2

| ACFTID | Oznaka profila (Profile_ID) | Duljina faze | Broj koraka | Tip koraka | Režim rada motora | Zakrilca (Flap_ID) | Visina krajnje točke (ft) | Stopa penjanja (ft/min) | Kalibrirana brzina leta u krajnjoj točki (kt) | Postotak ubrzanja (Accelerate_Percent) (%) |
|---|---|---|---|---|---|---|---|---|---|---|
| A340-211 | ICAO_B | 7 | 9 | Penjanje | Maksimum za penjanje | ZERO | 7 500 | | | |
| A340-211 | ICAO_B | 7 | 10 | Penjanje | Maksimum za penjanje | ZERO | 10 000 | | | |
| A340-642 | DEFAULT | 1 | 1 | Uzlijetanje | Maksimum za uzlijetanje | 1+F | | | | |
| A340-642 | DEFAULT | 1 | 2 | Ubrzanje | Maksimum za uzlijetanje | 1+F | | 1 518,1 | 178,9 | |
| A340-642 | DEFAULT | 1 | 3 | Penjanje | Maksimum za uzlijetanje | 1+F | 1 000 | | | |
| A340-642 | DEFAULT | 1 | 4 | Ubrzanje | Maksimum za uzlijetanje | 1+F | | 1 534,7 | 191,5 | |
| A340-642 | DEFAULT | 1 | 5 | Ubrzanje | Maksimum za uzlijetanje | 1 | | 1 638,4 | 240,3 | |
| A340-642 | DEFAULT | 1 | 6 | Penjanje | Maksimum za penjanje | ZERO | 3 000 | | | |
| A340-642 | DEFAULT | 1 | 7 | Ubrzanje | Maksimum za penjanje | ZERO | | 1 461,4 | 250 | |
| A340-642 | DEFAULT | 1 | 8 | Penjanje | Maksimum za penjanje | ZERO | 5 500 | | | |
| A340-642 | DEFAULT | 1 | 9 | Penjanje | Maksimum za penjanje | ZERO | 7 500 | | | |
| A340-642 | DEFAULT | 1 | 10 | Penjanje | Maksimum za penjanje | ZERO | 10 000 | | | |
| A340-642 | DEFAULT | 2 | 1 | Uzlijetanje | Maksimum za uzlijetanje | 1+F | | | | |

▼**M2**

| ACFTID | Oznaka profila (Profile_ID) | Duljina faze | Broj koraka | Tip koraka | Režim rada motora | Zakrilca (Flap_ID) | Visina krajnje točke (ft) | Stopa penjanja (ft/min) | Kalibrirana brzina leta u krajnjoj točki (kt) | Postotak ubrzanja (Accelerate_Percent) (%) |
|---|---|---|---|---|---|---|---|---|---|---|
| A340-642 | DEFAULT | 2 | 2 | Ubrzanje | Maksimum za uzlijetanje | 1+F | | 1 481 | 178,3 | |
| A340-642 | DEFAULT | 2 | 3 | Penjanje | Maksimum za uzlijetanje | 1+F | 1 000 | | | |
| A340-642 | DEFAULT | 2 | 4 | Ubrzanje | Maksimum za uzlijetanje | 1+F | | 1 452,6 | 194,6 | |
| A340-642 | DEFAULT | 2 | 5 | Ubrzanje | Maksimum za uzlijetanje | 1 | | 1 595,8 | 241,6 | |
| A340-642 | DEFAULT | 2 | 6 | Penjanje | Maksimum za penjanje | ZERO | 3 000 | | | |
| A340-642 | DEFAULT | 2 | 7 | Ubrzanje | Maksimum za penjanje | ZERO | | 1 415 | 250 | |
| A340-642 | DEFAULT | 2 | 8 | Penjanje | Maksimum za penjanje | ZERO | 5 500 | | | |
| A340-642 | DEFAULT | 2 | 9 | Penjanje | Maksimum za penjanje | ZERO | 7 500 | | | |
| A340-642 | DEFAULT | 2 | 10 | Penjanje | Maksimum za penjanje | ZERO | 10 000 | | | |
| A340-642 | DEFAULT | 3 | 1 | Uzlijetanje | Maksimum za uzlijetanje | 1+F | | | | |
| A340-642 | DEFAULT | 3 | 2 | Ubrzanje | Maksimum za uzlijetanje | 1+F | | 1 444,1 | 177,7 | |
| A340-642 | DEFAULT | 3 | 3 | Penjanje | Maksimum za uzlijetanje | 1+F | 1 000 | | | |
| A340-642 | DEFAULT | 3 | 4 | Ubrzanje | Maksimum za uzlijetanje | 1+F | | 1 382,6 | 197,7 | |
| A340-642 | DEFAULT | 3 | 5 | Ubrzanje | Maksimum za uzlijetanje | 1 | | 1 554,9 | 243 | |

▼**M2**

| ACFTID | Oznaka profila (Profile_ID) | Duljina faze | Broj koraka | Tip koraka | Režim rada motora | Zakrilca (Flap_ID) | Visina krajnje točke (ft) | Stopa penjanja (ft/min) | Kalibrirana brzina leta u krajnjoj točki (kt) | Postotak ubrzanja (Accelerate_Percent) (%) |
|---|---|---|---|---|---|---|---|---|---|---|
| A340-642 | DEFAULT | 3 | 6 | Penjanje | Maksimum za penjanje | ZERO | 3 000 | | | |
| A340-642 | DEFAULT | 3 | 7 | Ubrzanje | Maksimum za penjanje | ZERO | | 1 374,5 | 250 | |
| A340-642 | DEFAULT | 3 | 8 | Penjanje | Maksimum za penjanje | ZERO | 5 500 | | | |
| A340-642 | DEFAULT | 3 | 9 | Penjanje | Maksimum za penjanje | ZERO | 7 500 | | | |
| A340-642 | DEFAULT | 3 | 10 | Penjanje | Maksimum za penjanje | ZERO | 10 000 | | | |
| A340-642 | DEFAULT | 4 | 1 | Uzlijetanje | Maksimum za uzlijetanje | 1+F | | | | |
| A340-642 | DEFAULT | 4 | 2 | Ubrzanje | Maksimum za uzlijetanje | 1+F | | 1 383,2 | 176,9 | |
| A340-642 | DEFAULT | 4 | 3 | Penjanje | Maksimum za uzlijetanje | 1+F | 1 000 | | | |
| A340-642 | DEFAULT | 4 | 4 | Ubrzanje | Maksimum za uzlijetanje | 1+F | | 1 292 | 203 | |
| A340-642 | DEFAULT | 4 | 5 | Ubrzanje | Maksimum za uzlijetanje | 1 | | 1 478,5 | 245,2 | |
| A340-642 | DEFAULT | 4 | 6 | Penjanje | Maksimum za penjanje | ZERO | 3 000 | | | |
| A340-642 | DEFAULT | 4 | 7 | Ubrzanje | Maksimum za penjanje | ZERO | | 1 320,3 | 250 | |
| A340-642 | DEFAULT | 4 | 8 | Penjanje | Maksimum za penjanje | ZERO | 5 500 | | | |
| A340-642 | DEFAULT | 4 | 9 | Penjanje | Maksimum za penjanje | ZERO | 7 500 | | | |

▼**M2**

| ACFTID | Oznaka profila (Profile_ID) | Duljina faze | Broj koraka | Tip koraka | Režim rada motora | Zakrilca (Flap_ID) | Visina krajnje točke (ft) | Stopa penjanja (ft/min) | Kalibrirana brzina leta u krajnjoj točki (kt) | Postotak ubrzanja (Accelerate_Percent) (%) |
|---|---|---|---|---|---|---|---|---|---|---|
| A340-642 | DEFAULT | 4 | 10 | Penjanje | Maksimum za penjanje | ZERO | 10 000 | | | |
| A340-642 | DEFAULT | 5 | 1 | Uzlijetanje | Maksimum za uzlijetanje | 1+F | | | | |
| A340-642 | DEFAULT | 5 | 2 | Ubrzanje | Maksimum za uzlijetanje | 1+F | | 1 327,9 | 180,6 | |
| A340-642 | DEFAULT | 5 | 3 | Penjanje | Maksimum za uzlijetanje | 1+F | 1 000 | | | |
| A340-642 | DEFAULT | 5 | 4 | Ubrzanje | Maksimum za uzlijetanje | 1+F | | 1 209,7 | 210,1 | |
| A340-642 | DEFAULT | 5 | 5 | Ubrzanje | Maksimum za uzlijetanje | 1 | | 1 373,5 | 248,4 | |
| A340-642 | DEFAULT | 5 | 6 | Penjanje | Maksimum za penjanje | ZERO | 3 000 | | | |
| A340-642 | DEFAULT | 5 | 7 | Ubrzanje | Maksimum za penjanje | ZERO | | 1 410,4 | 250 | |
| A340-642 | DEFAULT | 5 | 8 | Penjanje | Maksimum za penjanje | ZERO | 5 500 | | | |
| A340-642 | DEFAULT | 5 | 9 | Penjanje | Maksimum za penjanje | ZERO | 7 500 | | | |
| A340-642 | DEFAULT | 5 | 10 | Penjanje | Maksimum za penjanje | ZERO | 10 000 | | | |
| A340-642 | DEFAULT | 6 | 1 | Uzlijetanje | Maksimum za uzlijetanje | 1+F | | | | |
| A340-642 | DEFAULT | 6 | 2 | Ubrzanje | Maksimum za uzlijetanje | 1+F | | 1 185 | 185,4 | |
| A340-642 | DEFAULT | 6 | 3 | Penjanje | Maksimum za uzlijetanje | 1+F | 1 000 | | | |

▼**M2**

| ACFTID | Oznaka profila (Profile_ID) | Duljina faze | Broj koraka | Tip koraka | Režim rada motora | Zakrilca (Flap_ID) | Visina krajnje točke (ft) | Stopa penjanja (ft/min) | Kalibrirana brzina leta u krajnjoj točki (kt) | Postotak ubrzanja (Accelerate_Percent) (%) |
|---|---|---|---|---|---|---|---|---|---|---|
| A340-642 | DEFAULT | 6 | 4 | Ubrzanje | Maksimum za uzlijetanje | 1+F | | 1 126,6 | 214,9 | |
| A340-642 | DEFAULT | 6 | 5 | Ubrzanje | Maksimum za uzlijetanje | 1 | | 1 268,8 | 249,8 | |
| A340-642 | DEFAULT | 6 | 6 | Penjanje | Maksimum za penjanje | ZERO | 3 000 | | | |
| A340-642 | DEFAULT | 6 | 7 | Ubrzanje | Maksimum za penjanje | ZERO | | 2 048,9 | 250 | |
| A340-642 | DEFAULT | 6 | 8 | Penjanje | Maksimum za penjanje | ZERO | 5 500 | | | |
| A340-642 | DEFAULT | 6 | 9 | Penjanje | Maksimum za penjanje | ZERO | 7 500 | | | |
| A340-642 | DEFAULT | 6 | 10 | Penjanje | Maksimum za penjanje | ZERO | 10 000 | | | |
| A340-642 | DEFAULT | 7 | 1 | Uzlijetanje | Maksimum za uzlijetanje | 1+F | | | | |
| A340-642 | DEFAULT | 7 | 2 | Penjanje | Maksimum za uzlijetanje | 1+F | 1 000 | | | |
| A340-642 | DEFAULT | 7 | 3 | Ubrzanje | Maksimum za uzlijetanje | 1+F | | 868,2 | 214,9 | |
| A340-642 | DEFAULT | 7 | 4 | Ubrzanje | Maksimum za uzlijetanje | 1 | | 929,6 | 241,1 | |
| A340-642 | DEFAULT | 7 | 5 | Penjanje | Maksimum za penjanje | ZERO | 3 000 | | | |
| A340-642 | DEFAULT | 7 | 6 | Ubrzanje | Maksimum za penjanje | ZERO | | 748,4 | 250 | |
| A340-642 | DEFAULT | 7 | 7 | Penjanje | Maksimum za penjanje | ZERO | 5 500 | | | |

▼**M2**

| ACFTID | Oznaka profila (Profile_ID) | Duljina faze | Broj koraka | Tip koraka | Režim rada motora | Zakrilca (Flap_ID) | Visina krajnje točke (ft) | Stopa penjanja (ft/min) | Kalibrirana brzina leta u krajnjoj točki (kt) | Postotak ubrzanja (Accelerate_Percent) (%) |
|---|---|---|---|---|---|---|---|---|---|---|
| A340-642 | DEFAULT | 7 | 8 | Penjanje | Maksimum za penjanje | ZERO | 7 500 | | | |
| A340-642 | DEFAULT | 7 | 9 | Penjanje | Maksimum za penjanje | ZERO | 10 000 | | | |
| A340-642 | ICAO_A | 1 | 1 | Uzlijetanje | Maksimum za uzlijetanje | 1+F | | | | |
| A340-642 | ICAO_A | 1 | 2 | Ubrzanje | Maksimum za uzlijetanje | 1+F | | 1 518,1 | 178,9 | |
| A340-642 | ICAO_A | 1 | 3 | Penjanje | Maksimum za uzlijetanje | 1+F | 1 500 | | | |
| A340-642 | ICAO_A | 1 | 4 | Penjanje | Maksimum za penjanje | 1+F | 3 000 | | | |
| A340-642 | ICAO_A | 1 | 5 | Ubrzanje | Maksimum za penjanje | 1+F | | 1 110,7 | 191,6 | |
| A340-642 | ICAO_A | 1 | 6 | Ubrzanje | Maksimum za penjanje | 1 | | 1 176,6 | 225,9 | |
| A340-642 | ICAO_A | 1 | 7 | Ubrzanje | Maksimum za penjanje | 1 | | 1 342,4 | 250 | |
| A340-642 | ICAO_A | 1 | 8 | Penjanje | Maksimum za penjanje | ZERO | 5 500 | | | |
| A340-642 | ICAO_A | 1 | 9 | Penjanje | Maksimum za penjanje | ZERO | 7 500 | | | |
| A340-642 | ICAO_A | 1 | 10 | Penjanje | Maksimum za penjanje | ZERO | 10 000 | | | |
| A340-642 | ICAO_A | 2 | 1 | Uzlijetanje | Maksimum za uzlijetanje | 1+F | | | | |

▼**M2**

| ACFTID | Oznaka profila (Profile_ID) | Duljina faze | Broj koraka | Tip koraka | Režim rada motora | Zakrilca (Flap_ID) | Visina krajnje točke (ft) | Stopa penjanja (ft/min) | Kalibrirana brzina leta u krajnjoj točki (kt) | Postotak ubrzanja (Accelerate_Percent) (%) |
|---|---|---|---|---|---|---|---|---|---|---|
| A340-642 | ICAO_A | 2 | 2 | Ubrzanje | Maksimum za uzlijetanje | 1+F | | 1 481 | 178,3 | |
| A340-642 | ICAO_A | 2 | 3 | Penjanje | Maksimum za uzlijetanje | 1+F | 1 500 | | | |
| A340-642 | ICAO_A | 2 | 4 | Penjanje | Maksimum za penjanje | 1+F | 3 000 | | | |
| A340-642 | ICAO_A | 2 | 5 | Ubrzanje | Maksimum za penjanje | 1+F | | 1 053,1 | 194,6 | |
| A340-642 | ICAO_A | 2 | 6 | Ubrzanje | Maksimum za penjanje | 1 | | 1 135,6 | 227,4 | |
| A340-642 | ICAO_A | 2 | 7 | Ubrzanje | Maksimum za penjanje | 1 | | 1 292,5 | 250 | |
| A340-642 | ICAO_A | 2 | 8 | Penjanje | Maksimum za penjanje | ZERO | 5 500 | | | |
| A340-642 | ICAO_A | 2 | 9 | Penjanje | Maksimum za penjanje | ZERO | 7 500 | | | |
| A340-642 | ICAO_A | 2 | 10 | Penjanje | Maksimum za penjanje | ZERO | 10 000 | | | |
| A340-642 | ICAO_A | 3 | 1 | Uzlijetanje | Maksimum za uzlijetanje | 1+F | | | | |
| A340-642 | ICAO_A | 3 | 2 | Ubrzanje | Maksimum za uzlijetanje | 1+F | | 1 444,1 | 177,7 | |
| A340-642 | ICAO_A | 3 | 3 | Penjanje | Maksimum za uzlijetanje | 1+F | 1 500 | | | |
| A340-642 | ICAO_A | 3 | 4 | Penjanje | Maksimum za penjanje | 1+F | 3 000 | | | |

▼**M2**

| ACFTID | Oznaka profila (Profile_ID) | Duljina faze | Broj koraka | Tip koraka | Režim rada motora | Zakrilca (Flap_ID) | Visina krajnje točke (ft) | Stopa penjanja (ft/min) | Kalibrirana brzina leta u krajnjoj točki (kt) | Postotak ubrzanja (Accelerate_Percent) (%) |
|---|---|---|---|---|---|---|---|---|---|---|
| A340-642 | ICAO_A | 3 | 5 | Ubrzanje | Maksimum za penjanje | 1+F | | 1 002,2 | 197,7 | |
| A340-642 | ICAO_A | 3 | 6 | Ubrzanje | Maksimum za penjanje | 1 | | 1 095,6 | 228,9 | |
| A340-642 | ICAO_A | 3 | 7 | Ubrzanje | Maksimum za penjanje | 1 | | 1 243,9 | 250 | |
| A340-642 | ICAO_A | 3 | 8 | Penjanje | Maksimum za penjanje | ZERO | 5 500 | | | |
| A340-642 | ICAO_A | 3 | 9 | Penjanje | Maksimum za penjanje | ZERO | 7 500 | | | |
| A340-642 | ICAO_A | 3 | 10 | Penjanje | Maksimum za penjanje | ZERO | 10 000 | | | |
| A340-642 | ICAO_A | 4 | 1 | Uzlijetanje | Maksimum za uzlijetanje | 1+F | | | | |
| A340-642 | ICAO_A | 4 | 2 | Ubrzanje | Maksimum za uzlijetanje | 1+F | | 1 383,2 | 176,9 | |
| A340-642 | ICAO_A | 4 | 3 | Penjanje | Maksimum za uzlijetanje | 1+F | 1 500 | | | |
| A340-642 | ICAO_A | 4 | 4 | Penjanje | Maksimum za penjanje | 1+F | 3 000 | | | |
| A340-642 | ICAO_A | 4 | 5 | Ubrzanje | Maksimum za penjanje | 1+F | | 925,2 | 203,3 | |
| A340-642 | ICAO_A | 4 | 6 | Ubrzanje | Maksimum za penjanje | 1 | | 1 029,9 | 232 | |
| A340-642 | ICAO_A | 4 | 7 | Ubrzanje | Maksimum za penjanje | 1 | | 1 164 | 250 | |

▼M2

| ACFTID | Oznaka profila (Profile_ID) | Duljina faze | Broj koraka | Tip koraka | Režim rada motora | Zakrilca (Flap_ID) | Visina krajnje točke (ft) | Stopa penjanja (ft/min) | Kalibrirana brzina leta u krajnjoj točki (kt) | Postotak ubrzanja (Accelerate_Percent) (%) |
|---|---|---|---|---|---|---|---|---|---|---|
| A340-642 | ICAO_A | 4 | 8 | Penjanje | Maksimum za penjanje | ZERO | 5 500 | | | |
| A340-642 | ICAO_A | 4 | 9 | Penjanje | Maksimum za penjanje | ZERO | 7 500 | | | |
| A340-642 | ICAO_A | 4 | 10 | Penjanje | Maksimum za penjanje | ZERO | 10 000 | | | |
| A340-642 | ICAO_A | 5 | 1 | Uzlijetanje | Maksimum za uzlijetanje | 1+F | | | | |
| A340-642 | ICAO_A | 5 | 2 | Ubrzanje | Maksimum za uzlijetanje | 1+F | | 1 327,9 | 180,6 | |
| A340-642 | ICAO_A | 5 | 3 | Penjanje | Maksimum za uzlijetanje | 1+F | 1 500 | | | |
| A340-642 | ICAO_A | 5 | 4 | Penjanje | Maksimum za penjanje | 1+F | 3 000 | | | |
| A340-642 | ICAO_A | 5 | 5 | Ubrzanje | Maksimum za penjanje | 1+F | | 848,8 | 210,8 | |
| A340-642 | ICAO_A | 5 | 6 | Ubrzanje | Maksimum za penjanje | 1 | | 950,4 | 236,5 | |
| A340-642 | ICAO_A | 5 | 7 | Ubrzanje | Maksimum za penjanje | 1 | | 1 067,5 | 250 | |
| A340-642 | ICAO_A | 5 | 8 | Penjanje | Maksimum za penjanje | ZERO | 5 500 | | | |
| A340-642 | ICAO_A | 5 | 9 | Penjanje | Maksimum za penjanje | ZERO | 7 500 | | | |
| A340-642 | ICAO_A | 5 | 10 | Penjanje | Maksimum za penjanje | ZERO | 10 000 | | | |

▼**M2**

| ACFTID | Oznaka profila (Profile_ID) | Duljina faze | Broj koraka | Tip koraka | Režim rada motora | Zakrilca (Flap_ID) | Visina krajnje točke (ft) | Stopa penjanja (ft/min) | Kalibrirana brzina leta u krajnjoj točki (kt) | Postotak ubrzanja (Accelerate_Percent) (%) |
|---|---|---|---|---|---|---|---|---|---|---|
| A340-642 | ICAO_A | 6 | 1 | Uzlijetanje | Maksimum za uzlijetanje | 1+F | | | | |
| A340-642 | ICAO_A | 6 | 2 | Ubrzanje | Maksimum za uzlijetanje | 1+F | | 1 185 | 185,4 | |
| A340-642 | ICAO_A | 6 | 3 | Penjanje | Maksimum za uzlijetanje | 1+F | 1 500 | | | |
| A340-642 | ICAO_A | 6 | 4 | Penjanje | Maksimum za penjanje | 1+F | 3 000 | | | |
| A340-642 | ICAO_A | 6 | 5 | Ubrzanje | Maksimum za penjanje | 1+F | | 780,5 | 219 | |
| A340-642 | ICAO_A | 6 | 6 | Ubrzanje | Maksimum za penjanje | 1 | | 875,9 | 242 | |
| A340-642 | ICAO_A | 6 | 7 | Ubrzanje | Maksimum za penjanje | 1 | | 975,3 | 250 | |
| A340-642 | ICAO_A | 6 | 8 | Penjanje | Maksimum za penjanje | ZERO | 5 500 | | | |
| A340-642 | ICAO_A | 6 | 9 | Penjanje | Maksimum za penjanje | ZERO | 7 500 | | | |
| A340-642 | ICAO_A | 6 | 10 | Penjanje | Maksimum za penjanje | ZERO | 10 000 | | | |
| A340-642 | ICAO_A | 7 | 1 | Uzlijetanje | Maksimum za uzlijetanje | 1+F | | | | |
| A340-642 | ICAO_A | 7 | 2 | Penjanje | Maksimum za uzlijetanje | 1+F | 1 500 | | | |
| A340-642 | ICAO_A | 7 | 3 | Penjanje | Maksimum za penjanje | 1+F | 3 000 | | | |

▼M2

| ACFTID | Oznaka profila (Profile_ID) | Duljina faze | Broj koraka | Tip koraka | Režim rada motora | Zakrilca (Flap_ID) | Visina krajnje točke (ft) | Stopa penjanja (ft/min) | Kalibrirana brzina leta u krajnjoj točki (kt) | Postotak ubrzanja (Accelerate_Percent) (%) |
|---|---|---|---|---|---|---|---|---|---|---|
| A340-642 | ICAO_A | 7 | 4 | Ubrzanje | Maksimum za penjanje | 1+F | | 556,7 | 214,9 | |
| A340-642 | ICAO_A | 7 | 5 | Ubrzanje | Maksimum za penjanje | 1 | | 601,9 | 231,3 | |
| A340-642 | ICAO_A | 7 | 6 | Ubrzanje | Maksimum za penjanje | ZERO | | 681,8 | 244 | |
| A340-642 | ICAO_A | 7 | 7 | Ubrzanje | Maksimum za penjanje | ZERO | | 729,1 | 250 | |
| A340-642 | ICAO_A | 7 | 8 | Penjanje | Maksimum za penjanje | ZERO | 5 500 | | | |
| A340-642 | ICAO_A | 7 | 9 | Penjanje | Maksimum za penjanje | ZERO | 7 500 | | | |
| A340-642 | ICAO_A | 7 | 10 | Penjanje | Maksimum za penjanje | ZERO | 10 000 | | | |
| A340-642 | ICAO_B | 1 | 1 | Uzlijetanje | Maksimum za uzlijetanje | 1+F | | | | |
| A340-642 | ICAO_B | 1 | 2 | Ubrzanje | Maksimum za uzlijetanje | 1+F | | 1 518,1 | 178,9 | |
| A340-642 | ICAO_B | 1 | 3 | Penjanje | Maksimum za uzlijetanje | 1+F | 1 000 | | | |
| A340-642 | ICAO_B | 1 | 4 | Ubrzanje | Maksimum za uzlijetanje | 1+F | | 1 534,7 | 191,5 | |
| A340-642 | ICAO_B | 1 | 5 | Ubrzanje | Maksimum za uzlijetanje | 1 | | 1 638,4 | 240,3 | |
| A340-642 | ICAO_B | 1 | 6 | Penjanje | Maksimum za penjanje | ZERO | 3 000 | | | |

▼M2

| ACFTID | Oznaka profila (Profile_ID) | Duljina faze | Broj koraka | Tip koraka | Režim rada motora | Zakrilca (Flap_ID) | Visina krajnje točke (ft) | Stopa penjanja (ft/min) | Kalibrirana brzina leta u krajnjoj točki (kt) | Postotak ubrzanja (Accelerate_Percent) (%) |
|---|---|---|---|---|---|---|---|---|---|---|
| A340-642 | ICAO_B | 1 | 7 | Ubrzanje | Maksimum za penjanje | ZERO | | 1 461,4 | 250 | |
| A340-642 | ICAO_B | 1 | 8 | Penjanje | Maksimum za penjanje | ZERO | 5 500 | | | |
| A340-642 | ICAO_B | 1 | 9 | Penjanje | Maksimum za penjanje | ZERO | 7 500 | | | |
| A340-642 | ICAO_B | 1 | 10 | Penjanje | Maksimum za penjanje | ZERO | 10 000 | | | |
| A340-642 | ICAO_B | 2 | 1 | Uzlijetanje | Maksimum za uzlijetanje | 1+F | | | | |
| A340-642 | ICAO_B | 2 | 2 | Ubrzanje | Maksimum za uzlijetanje | 1+F | | 1 481 | 178,3 | |
| A340-642 | ICAO_B | 2 | 3 | Penjanje | Maksimum za uzlijetanje | 1+F | 1 000 | | | |
| A340-642 | ICAO_B | 2 | 4 | Ubrzanje | Maksimum za uzlijetanje | 1+F | | 1 452,6 | 194,6 | |
| A340-642 | ICAO_B | 2 | 5 | Ubrzanje | Maksimum za uzlijetanje | 1 | | 1 595,8 | 241,6 | |
| A340-642 | ICAO_B | 2 | 6 | Penjanje | Maksimum za penjanje | ZERO | 3 000 | | | |
| A340-642 | ICAO_B | 2 | 7 | Ubrzanje | Maksimum za penjanje | ZERO | | 1 415 | 250 | |
| A340-642 | ICAO_B | 2 | 8 | Penjanje | Maksimum za penjanje | ZERO | 5 500 | | | |
| A340-642 | ICAO_B | 2 | 9 | Penjanje | Maksimum za penjanje | ZERO | 7 500 | | | |

▼M2

| ACFTID | Oznaka profila (Profile_ID) | Duljina faze | Broj koraka | Tip koraka | Režim rada motora | Zakrilca (Flap_ID) | Visina krajnje točke (ft) | Stopa penjanja (ft/min) | Kalibrirana brzina leta u krajnjoj točki (kt) | Postotak ubrzanja (Accelerate_Percent) (%) |
|---|---|---|---|---|---|---|---|---|---|---|
| A340-642 | ICAO_B | 2 | 10 | Penjanje | Maksimum za penjanje | ZERO | 10 000 | | | |
| A340-642 | ICAO_B | 3 | 1 | Uzlijetanje | Maksimum za uzlijetanje | 1+F | | | | |
| A340-642 | ICAO_B | 3 | 2 | Ubrzanje | Maksimum za uzlijetanje | 1+F | | 1 444,1 | 177,7 | |
| A340-642 | ICAO_B | 3 | 3 | Penjanje | Maksimum za uzlijetanje | 1+F | 1 000 | | | |
| A340-642 | ICAO_B | 3 | 4 | Ubrzanje | Maksimum za uzlijetanje | 1+F | | 1 382,6 | 197,7 | |
| A340-642 | ICAO_B | 3 | 5 | Ubrzanje | Maksimum za uzlijetanje | 1 | | 1 554,9 | 243 | |
| A340-642 | ICAO_B | 3 | 6 | Penjanje | Maksimum za penjanje | ZERO | 3 000 | | | |
| A340-642 | ICAO_B | 3 | 7 | Ubrzanje | Maksimum za penjanje | ZERO | | 1 374,5 | 250 | |
| A340-642 | ICAO_B | 3 | 8 | Penjanje | Maksimum za penjanje | ZERO | 5 500 | | | |
| A340-642 | ICAO_B | 3 | 9 | Penjanje | Maksimum za penjanje | ZERO | 7 500 | | | |
| A340-642 | ICAO_B | 3 | 10 | Penjanje | Maksimum za penjanje | ZERO | 10 000 | | | |
| A340-642 | ICAO_B | 4 | 1 | Uzlijetanje | Maksimum za uzlijetanje | 1+F | | | | |
| A340-642 | ICAO_B | 4 | 2 | Ubrzanje | Maksimum za uzlijetanje | 1+F | | 1 383,2 | 176,9 | |

▼**M2**

| ACFTID | Oznaka profila (Profile_ID) | Duljina faze | Broj koraka | Tip koraka | Režim rada motora | Zakrilca (Flap_ID) | Visina krajnje točke (ft) | Stopa penjanja (ft/min) | Kalibrirana brzina leta u krajnjoj točki (kt) | Postotak ubrzanja (Accelerate_Percent) (%) |
|---|---|---|---|---|---|---|---|---|---|---|
| A340-642 | ICAO_B | 4 | 3 | Penjanje | Maksimum za uzlijetanje | 1+F | 1 000 | | | |
| A340-642 | ICAO_B | 4 | 4 | Ubrzanje | Maksimum za uzlijetanje | 1+F | | 1 292 | 203 | |
| A340-642 | ICAO_B | 4 | 5 | Ubrzanje | Maksimum za uzlijetanje | 1 | | 1 478,5 | 245,2 | |
| A340-642 | ICAO_B | 4 | 6 | Penjanje | Maksimum za penjanje | ZERO | 3 000 | | | |
| A340-642 | ICAO_B | 4 | 7 | Ubrzanje | Maksimum za penjanje | ZERO | | 1 320,3 | 250 | |
| A340-642 | ICAO_B | 4 | 8 | Penjanje | Maksimum za penjanje | ZERO | 5 500 | | | |
| A340-642 | ICAO_B | 4 | 9 | Penjanje | Maksimum za penjanje | ZERO | 7 500 | | | |
| A340-642 | ICAO_B | 4 | 10 | Penjanje | Maksimum za penjanje | ZERO | 10 000 | | | |
| A340-642 | ICAO_B | 5 | 1 | Uzlijetanje | Maksimum za uzlijetanje | 1+F | | | | |
| A340-642 | ICAO_B | 5 | 2 | Ubrzanje | Maksimum za uzlijetanje | 1+F | | 1 327,9 | 180,6 | |
| A340-642 | ICAO_B | 5 | 3 | Penjanje | Maksimum za uzlijetanje | 1+F | 1 000 | | | |
| A340-642 | ICAO_B | 5 | 4 | Ubrzanje | Maksimum za uzlijetanje | 1+F | | 1 209,7 | 210,1 | |
| A340-642 | ICAO_B | 5 | 5 | Ubrzanje | Maksimum za uzlijetanje | 1 | | 1 373,5 | 248,4 | |

▼**M2**

| ACFTID | Oznaka profila (Profile_ID) | Duljina faze | Broj koraka | Tip koraka | Režim rada motora | Zakrilca (Flap_ID) | Visina krajnje točke (ft) | Stopa penjanja (ft/min) | Kalibrirana brzina leta u krajnjoj točki (kt) | Postotak ubrzanja (Accelerate_Percent) (%) |
|---|---|---|---|---|---|---|---|---|---|---|
| A340-642 | ICAO_B | 5 | 6 | Penjanje | Maksimum za penjanje | ZERO | 3 000 | | | |
| A340-642 | ICAO_B | 5 | 7 | Ubrzanje | Maksimum za penjanje | ZERO | | 1 410,4 | 250 | |
| A340-642 | ICAO_B | 5 | 8 | Penjanje | Maksimum za penjanje | ZERO | 5 500 | | | |
| A340-642 | ICAO_B | 5 | 9 | Penjanje | Maksimum za penjanje | ZERO | 7 500 | | | |
| A340-642 | ICAO_B | 5 | 10 | Penjanje | Maksimum za penjanje | ZERO | 10 000 | | | |
| A340-642 | ICAO_B | 6 | 1 | Uzlijetanje | Maksimum za uzlijetanje | 1+F | | | | |
| A340-642 | ICAO_B | 6 | 2 | Ubrzanje | Maksimum za uzlijetanje | 1+F | | 1 185 | 185,4 | |
| A340-642 | ICAO_B | 6 | 3 | Penjanje | Maksimum za uzlijetanje | 1+F | 1 000 | | | |
| A340-642 | ICAO_B | 6 | 4 | Ubrzanje | Maksimum za uzlijetanje | 1+F | | 1 126,6 | 214,9 | |
| A340-642 | ICAO_B | 6 | 5 | Ubrzanje | Maksimum za uzlijetanje | 1 | | 1 268,8 | 249,8 | |
| A340-642 | ICAO_B | 6 | 6 | Penjanje | Maksimum za penjanje | ZERO | 3 000 | | | |
| A340-642 | ICAO_B | 6 | 7 | Ubrzanje | Maksimum za penjanje | ZERO | | 2 048,9 | 250 | |
| A340-642 | ICAO_B | 6 | 8 | Penjanje | Maksimum za penjanje | ZERO | 5 500 | | | |

▼M2

| ACFTID | Oznaka profila (Profile_ID) | Duljina faze | Broj koraka | Tip koraka | Režim rada motora | Zakrilca (Flap_ID) | Visina krajnje točke (ft) | Stopa penjanja (ft/min) | Kalibrirana brzina leta u krajnjoj točki (kt) | Postotak ubrzanja (Accelerate_Percent) (%) |
|---|---|---|---|---|---|---|---|---|---|---|
| A340-642 | ICAO_B | 6 | 9 | Penjanje | Maksimum za penjanje | ZERO | 7 500 | | | |
| A340-642 | ICAO_B | 6 | 10 | Penjanje | Maksimum za penjanje | ZERO | 10 000 | | | |
| A340-642 | ICAO_B | 7 | 1 | Uzlijetanje | Maksimum za uzlijetanje | 1+F | | | | |
| A340-642 | ICAO_B | 7 | 2 | Penjanje | Maksimum za uzlijetanje | 1+F | 1 000 | | | |
| A340-642 | ICAO_B | 7 | 3 | Ubrzanje | Maksimum za uzlijetanje | 1+F | | 868,2 | 214,9 | |
| A340-642 | ICAO_B | 7 | 4 | Ubrzanje | Maksimum za uzlijetanje | 1 | | 929,6 | 241,1 | |
| A340-642 | ICAO_B | 7 | 5 | Penjanje | Maksimum za penjanje | ZERO | 3 000 | | | |
| A340-642 | ICAO_B | 7 | 6 | Ubrzanje | Maksimum za penjanje | ZERO | | 748,4 | 250 | |
| A340-642 | ICAO_B | 7 | 7 | Penjanje | Maksimum za penjanje | ZERO | 5 500 | | | |
| A340-642 | ICAO_B | 7 | 8 | Penjanje | Maksimum za penjanje | ZERO | 7 500 | | | |
| A340-642 | ICAO_B | 7 | 9 | Penjanje | Maksimum za penjanje | ZERO | 10 000 | | | |
| A380-841 | DEFAULT | 1 | 1 | Uzlijetanje | Maksimum za uzlijetanje | D_1+F | | | | |
| A380-841 | DEFAULT | 1 | 2 | Penjanje | Maksimum za uzlijetanje | D_1+F | 1 000 | | | |

▼M2

| ACFTID | Oznaka profila (Profile_ID) | Duljina faze | Broj koraka | Tip koraka | Režim rada motora | Zakrilca (Flap_ID) | Visina krajnje točke (ft) | Stopa penjanja (ft/min) | Kalibrirana brzina leta u krajnjoj točki (kt) | Postotak ubrzanja (Accelerate_Percent) (%) |
|---|---|---|---|---|---|---|---|---|---|---|
| A380-841 | DEFAULT | 1 | 3 | Ubrzanje | Maksimum za uzlijetanje | D_1+F | | 1 085 | 175,1 | |
| A380-841 | DEFAULT | 1 | 4 | Ubrzanje | Maksimum za uzlijetanje | D_1 | | 1 306 | 238,9 | |
| A380-841 | DEFAULT | 1 | 5 | Penjanje | Maksimum za penjanje | D_1 | 3 000 | | | |
| A380-841 | DEFAULT | 1 | 6 | Ubrzanje | Maksimum za penjanje | ZERO | | 1 497,8 | 250 | |
| A380-841 | DEFAULT | 1 | 7 | Penjanje | Maksimum za penjanje | ZERO | 10 000 | | | |
| A380-841 | DEFAULT | 2 | 1 | Uzlijetanje | Maksimum za uzlijetanje | D_1+F | | | | |
| A380-841 | DEFAULT | 2 | 2 | Penjanje | Maksimum za uzlijetanje | D_1+F | 1 000 | | | |
| A380-841 | DEFAULT | 2 | 3 | Ubrzanje | Maksimum za uzlijetanje | D_1+F | | 1 054 | 177,6 | |
| A380-841 | DEFAULT | 2 | 4 | Ubrzanje | Maksimum za uzlijetanje | D_1 | | 1 262,8 | 238,9 | |
| A380-841 | DEFAULT | 2 | 5 | Penjanje | Maksimum za penjanje | D_1 | 3 000 | | | |
| A380-841 | DEFAULT | 2 | 6 | Ubrzanje | Maksimum za penjanje | ZERO | | 1 444,8 | 250 | |
| A380-841 | DEFAULT | 2 | 7 | Penjanje | Maksimum za penjanje | ZERO | 10 000 | | | |
| A380-841 | DEFAULT | 3 | 1 | Uzlijetanje | Maksimum za uzlijetanje | D_1+F | | | | |

▼**M2**

| ACFTID | Oznaka profila (Profile_ID) | Duljina faze | Broj koraka | Tip koraka | Režim rada motora | Zakrilca (Flap_ID) | Visina krajnje točke (ft) | Stopa penjanja (ft/min) | Kalibrirana brzina leta u krajnjoj točki (kt) | Postotak ubrzanja (Accelerate_Percent) (%) |
|---|---|---|---|---|---|---|---|---|---|---|
| A380-841 | DEFAULT | 3 | 2 | Penjanje | Maksimum za uzlijetanje | D_1+F | 1 000 | | | |
| A380-841 | DEFAULT | 3 | 3 | Ubrzanje | Maksimum za uzlijetanje | D_1+F | | 1 022,1 | 180,2 | |
| A380-841 | DEFAULT | 3 | 4 | Ubrzanje | Maksimum za uzlijetanje | D_1 | | 1 220,9 | 239,1 | |
| A380-841 | DEFAULT | 3 | 5 | Penjanje | Maksimum za penjanje | D_1 | 3 000 | | | |
| A380-841 | DEFAULT | 3 | 6 | Ubrzanje | Maksimum za penjanje | ZERO | | 1 394,3 | 250 | |
| A380-841 | DEFAULT | 3 | 7 | Penjanje | Maksimum za penjanje | ZERO | 10 000 | | | |
| A380-841 | DEFAULT | 4 | 1 | Uzlijetanje | Maksimum za uzlijetanje | D_1+F | | | | |
| A380-841 | DEFAULT | 4 | 2 | Penjanje | Maksimum za uzlijetanje | D_1+F | 1 000 | | | |
| A380-841 | DEFAULT | 4 | 3 | Ubrzanje | Maksimum za uzlijetanje | D_1+F | | 975,4 | 184,8 | |
| A380-841 | DEFAULT | 4 | 4 | Ubrzanje | Maksimum za uzlijetanje | D_1 | | 1 152,5 | 239,6 | |
| A380-841 | DEFAULT | 4 | 5 | Penjanje | Maksimum za penjanje | D_1 | 3 000 | | | |
| A380-841 | DEFAULT | 4 | 6 | Ubrzanje | Maksimum za penjanje | ZERO | | 1 313,6 | 250 | |
| A380-841 | DEFAULT | 4 | 7 | Penjanje | Maksimum za penjanje | ZERO | 10 000 | | | |
| A380-841 | DEFAULT | 5 | 1 | Uzlijetanje | Maksimum za uzlijetanje | D_1+F | | | | |

▼M2

| ACFTID | Oznaka profila (Profile_ID) | Duljina faze | Broj koraka | Tip koraka | Režim rada motora | Zakrilca (Flap_ID) | Visina krajnje točke (ft) | Stopa penjanja (ft/min) | Kalibrirana brzina leta u krajnjoj točki (kt) | Postotak ubrzanja (Accelerate_Percent) (%) |
|---|---|---|---|---|---|---|---|---|---|---|
| A380-841 | DEFAULT | 5 | 2 | Penjanje | Maksimum za uzlijetanje | D_1+F | 1 000 | | | |
| A380-841 | DEFAULT | 5 | 3 | Ubrzanje | Maksimum za uzlijetanje | D_1+F | | 908,1 | 190,6 | |
| A380-841 | DEFAULT | 5 | 4 | Ubrzanje | Maksimum za uzlijetanje | D_1 | | 1 072,2 | 240,8 | |
| A380-841 | DEFAULT | 5 | 5 | Penjanje | Maksimum za penjanje | D_1 | 3 000 | | | |
| A380-841 | DEFAULT | 5 | 6 | Ubrzanje | Maksimum za penjanje | ZERO | | 1 220,7 | 250 | |
| A380-841 | DEFAULT | 5 | 7 | Penjanje | Maksimum za penjanje | ZERO | 10 000 | | | |
| A380-841 | DEFAULT | 6 | 1 | Uzlijetanje | Maksimum za uzlijetanje | D_1+F | | | | |
| A380-841 | DEFAULT | 6 | 2 | Penjanje | Maksimum za uzlijetanje | D_1+F | 1 000 | | | |
| A380-841 | DEFAULT | 6 | 3 | Ubrzanje | Maksimum za uzlijetanje | D_1+F | | 843 | 196,7 | |
| A380-841 | DEFAULT | 6 | 4 | Ubrzanje | Maksimum za uzlijetanje | D_1 | | 994,4 | 242,4 | |
| A380-841 | DEFAULT | 6 | 5 | Penjanje | Maksimum za penjanje | D_1 | 3 000 | | | |
| A380-841 | DEFAULT | 6 | 6 | Ubrzanje | Maksimum za penjanje | ZERO | | 1 134,1 | 250 | |
| A380-841 | DEFAULT | 6 | 7 | Penjanje | Maksimum za penjanje | ZERO | 10 000 | | | |
| A380-841 | DEFAULT | 7 | 1 | Uzlijetanje | Maksimum za uzlijetanje | D_1+F | | | | |

▼M2

| ACFTID | Oznaka profila (Profile_ID) | Duljina faze | Broj koraka | Tip koraka | Režim rada motora | Zakrilca (Flap_ID) | Visina krajnje točke (ft) | Stopa penjanja (ft/min) | Kalibrirana brzina leta u krajnjoj točki (kt) | Postotak ubrzanja (Accelerate_Percent) (%) |
|---|---|---|---|---|---|---|---|---|---|---|
| A380-841 | DEFAULT | 7 | 2 | Penjanje | Maksimum za uzlijetanje | D_1+F | 1 000 | | | |
| A380-841 | DEFAULT | 7 | 3 | Ubrzanje | Maksimum za uzlijetanje | D_1+F | | 783 | 202,7 | |
| A380-841 | DEFAULT | 7 | 4 | Ubrzanje | Maksimum za uzlijetanje | D_1 | | 925 | 244,4 | |
| A380-841 | DEFAULT | 7 | 5 | Penjanje | Maksimum za penjanje | D_1 | 3 000 | | | |
| A380-841 | DEFAULT | 7 | 6 | Ubrzanje | Maksimum za penjanje | ZERO | | 1 065,1 | 250 | |
| A380-841 | DEFAULT | 7 | 7 | Penjanje | Maksimum za penjanje | ZERO | 10 000 | | | |
| A380-841 | DEFAULT | 8 | 1 | Uzlijetanje | Maksimum za uzlijetanje | D_1+F | | | | |
| A380-841 | DEFAULT | 8 | 2 | Penjanje | Maksimum za uzlijetanje | D_1+F | 1 000 | | | |
| A380-841 | DEFAULT | 8 | 3 | Ubrzanje | Maksimum za uzlijetanje | D_1+F | | 622,4 | 220 | |
| A380-841 | DEFAULT | 8 | 4 | Ubrzanje | Maksimum za uzlijetanje | D_1 | | 744,8 | 251,7 | |
| A380-841 | DEFAULT | 8 | 5 | Penjanje | Maksimum za penjanje | D_1 | 3 000 | | | |
| A380-841 | DEFAULT | 8 | 6 | Penjanje | Maksimum za penjanje | ZERO | 10 000 | | | |
| A380-841 | ICAO_A | 1 | 1 | Uzlijetanje | Maksimum za uzlijetanje | D_1+F | | | | |
| A380-841 | ICAO_A | 1 | 2 | Penjanje | Maksimum za uzlijetanje | D_1+F | 1 500 | | | |

▼M2

| ACFTID | Oznaka profila (Profile_ID) | Duljina faze | Broj koraka | Tip koraka | Režim rada motora | Zakrilca (Flap_ID) | Visina krajnje točke (ft) | Stopa penjanja (ft/min) | Kalibrirana brzina leta u krajnjoj točki (kt) | Postotak ubrzanja (Accelerate_Percent) (%) |
|---|---|---|---|---|---|---|---|---|---|---|
| A380-841 | ICAO_A | 1 | 3 | Penjanje | Maksimum za penjanje | D_1+F | 3 000 | | | |
| A380-841 | ICAO_A | 1 | 4 | Ubrzanje | Maksimum za penjanje | D_1 | | 1 049,1 | 175,1 | |
| A380-841 | ICAO_A | 1 | 5 | Ubrzanje | Maksimum za penjanje | D_1 | | 1 257,9 | 233,9 | |
| A380-841 | ICAO_A | 1 | 6 | Ubrzanje | Maksimum za penjanje | ZERO | | 1 403,3 | 250 | |
| A380-841 | ICAO_A | 1 | 7 | Penjanje | Maksimum za penjanje | ZERO | 10 000 | | | |
| A380-841 | ICAO_A | 2 | 1 | Uzlijetanje | Maksimum za uzlijetanje | D_1+F | | | | |
| A380-841 | ICAO_A | 2 | 2 | Penjanje | Maksimum za uzlijetanje | D_1+F | 1 500 | | | |
| A380-841 | ICAO_A | 2 | 3 | Penjanje | Maksimum za penjanje | D_1+F | 3 000 | | | |
| A380-841 | ICAO_A | 2 | 4 | Ubrzanje | Maksimum za penjanje | D_1 | | 1 005,4 | 177,7 | |
| A380-841 | ICAO_A | 2 | 5 | Ubrzanje | Maksimum za penjanje | D_1 | | 1 217,2 | 234,1 | |
| A380-841 | ICAO_A | 2 | 6 | Ubrzanje | Maksimum za penjanje | ZERO | | 1 355,3 | 250 | |
| A380-841 | ICAO_A | 2 | 7 | Penjanje | Maksimum za penjanje | ZERO | 10 000 | | | |
| A380-841 | ICAO_A | 3 | 1 | Uzlijetanje | Maksimum za uzlijetanje | D_1+F | | | | |

▼**M2**

| ACFTID | Oznaka profila (Profile_ID) | Duljina faze | Broj koraka | Tip koraka | Režim rada motora | Zakrilca (Flap_ID) | Visina krajnje točke (ft) | Stopa penjanja (ft/min) | Kalibrirana brzina leta u krajnjoj točki (kt) | Postotak ubrzanja (Accelerate_Percent) (%) |
|---|---|---|---|---|---|---|---|---|---|---|
| A380-841 | ICAO_A | 3 | 2 | Penjanje | Maksimum za uzlijetanje | D_1+F | 1 500 | | | |
| A380-841 | ICAO_A | 3 | 3 | Penjanje | Maksimum za penjanje | D_1+F | 3 000 | | | |
| A380-841 | ICAO_A | 3 | 4 | Ubrzanje | Maksimum za penjanje | D_1 | | 965,1 | 180,3 | |
| A380-841 | ICAO_A | 3 | 5 | Ubrzanje | Maksimum za penjanje | D_1 | | 1 177,8 | 234,5 | |
| A380-841 | ICAO_A | 3 | 6 | Ubrzanje | Maksimum za penjanje | ZERO | | 1 308,6 | 250 | |
| A380-841 | ICAO_A | 3 | 7 | Penjanje | Maksimum za penjanje | ZERO | 10 000 | | | |
| A380-841 | ICAO_A | 4 | 1 | Uzlijetanje | Maksimum za uzlijetanje | D_1+F | | | | |
| A380-841 | ICAO_A | 4 | 2 | Penjanje | Maksimum za uzlijetanje | D_1+F | 1 500 | | | |
| A380-841 | ICAO_A | 4 | 3 | Penjanje | Maksimum za penjanje | D_1+F | 3 000 | | | |
| A380-841 | ICAO_A | 4 | 4 | Ubrzanje | Maksimum za penjanje | D_1 | | 912,3 | 184,9 | |
| A380-841 | ICAO_A | 4 | 5 | Ubrzanje | Maksimum za penjanje | D_1 | | 1 113,9 | 235,4 | |
| A380-841 | ICAO_A | 4 | 6 | Ubrzanje | Maksimum za penjanje | ZERO | | 1 231,9 | 250 | |
| A380-841 | ICAO_A | 4 | 7 | Penjanje | Maksimum za penjanje | ZERO | 10 000 | | | |

▼**M2**

| ACFTID | Oznaka profila (Profile_ID) | Duljina faze | Broj koraka | Tip koraka | Režim rada motora | Zakrilca (Flap_ID) | Visina krajnje točke (ft) | Stopa penjanja (ft/min) | Kalibrirana brzina leta u krajnjoj točki (kt) | Postotak ubrzanja (Accelerate_Percent) (%) |
|---|---|---|---|---|---|---|---|---|---|---|
| A380-841 | ICAO_A | 5 | 1 | Uzlijetanje | Maksimum za uzlijetanje | D_1+F | | | | |
| A380-841 | ICAO_A | 5 | 2 | Penjanje | Maksimum za uzlijetanje | D_1+F | 1 500 | | | |
| A380-841 | ICAO_A | 5 | 3 | Penjanje | Maksimum za penjanje | D_1+F | 3 000 | | | |
| A380-841 | ICAO_A | 5 | 4 | Ubrzanje | Maksimum za penjanje | D_1 | | 850,1 | 190,8 | |
| A380-841 | ICAO_A | 5 | 5 | Ubrzanje | Maksimum za penjanje | D_1 | | 1 038,8 | 237,1 | |
| A380-841 | ICAO_A | 5 | 6 | Ubrzanje | Maksimum za penjanje | ZERO | | 1 141,2 | 250 | |
| A380-841 | ICAO_A | 5 | 7 | Penjanje | Maksimum za penjanje | ZERO | 10 000 | | | |
| A380-841 | ICAO_A | 6 | 1 | Uzlijetanje | Maksimum za uzlijetanje | D_1+F | | | | |
| A380-841 | ICAO_A | 6 | 2 | Penjanje | Maksimum za uzlijetanje | D_1+F | 1 500 | | | |
| A380-841 | ICAO_A | 6 | 3 | Penjanje | Maksimum za penjanje | D_1+F | 3 000 | | | |
| A380-841 | ICAO_A | 6 | 4 | Ubrzanje | Maksimum za penjanje | D_1 | | 789,5 | 196,9 | |
| A380-841 | ICAO_A | 6 | 5 | Ubrzanje | Maksimum za penjanje | D_1 | | 965,9 | 239,1 | |
| A380-841 | ICAO_A | 6 | 6 | Ubrzanje | Maksimum za penjanje | ZERO | | 1 053 | 250 | |

▼**M2**

| ACFTID | Oznaka profila (Profile_ID) | Duljina faze | Broj koraka | Tip koraka | Režim rada motora | Zakrilca (Flap_ID) | Visina krajnje točke (ft) | Stopa penjanja (ft/min) | Kalibrirana brzina leta u krajnjoj točki (kt) | Postotak ubrzanja (Accelerate_Percent) (%) |
|---|---|---|---|---|---|---|---|---|---|---|
| A380-841 | ICAO_A | 6 | 7 | Penjanje | Maksimum za penjanje | ZERO | 10 000 | | | |
| A380-841 | ICAO_A | 7 | 1 | Uzlijetanje | Maksimum za uzlijetanje | D_1+F | | | | |
| A380-841 | ICAO_A | 7 | 2 | Penjanje | Maksimum za uzlijetanje | D_1+F | 1 500 | | | |
| A380-841 | ICAO_A | 7 | 3 | Penjanje | Maksimum za penjanje | D_1+F | 3 000 | | | |
| A380-841 | ICAO_A | 7 | 4 | Ubrzanje | Maksimum za penjanje | D_1 | | 735,4 | 203,1 | |
| A380-841 | ICAO_A | 7 | 5 | Ubrzanje | Maksimum za penjanje | D_1 | | 900,3 | 241,6 | |
| A380-841 | ICAO_A | 7 | 6 | Ubrzanje | Maksimum za penjanje | ZERO | | 973,7 | 250 | |
| A380-841 | ICAO_A | 7 | 7 | Penjanje | Maksimum za penjanje | ZERO | 10 000 | | | |
| A380-841 | ICAO_A | 8 | 1 | Uzlijetanje | Maksimum za uzlijetanje | D_1+F | | | | |
| A380-841 | ICAO_A | 8 | 2 | Penjanje | Maksimum za uzlijetanje | D_1+F | 1 500 | | | |
| A380-841 | ICAO_A | 8 | 3 | Penjanje | Maksimum za penjanje | D_1+F | 3 000 | | | |
| A380-841 | ICAO_A | 8 | 4 | Ubrzanje | Maksimum za penjanje | D_1 | | 587,9 | 220 | |
| A380-841 | ICAO_A | 8 | 5 | Ubrzanje | Maksimum za penjanje | D_1 | | 722,8 | 249,2 | |

▼M2

| ACFTID | Oznaka profila (Profile_ID) | Duljina faze | Broj koraka | Tip koraka | Režim rada motora | Zakrilca (Flap_ID) | Visina krajnje točke (ft) | Stopa penjanja (ft/min) | Kalibrirana brzina leta u krajnjoj točki (kt) | Postotak ubrzanja (Accelerate_Percent) (%) |
|---|---|---|---|---|---|---|---|---|---|---|
| A380-841 | ICAO_A | 8 | 6 | Ubrzanje | Maksimum za penjanje | ZERO | | 762,6 | 250 | |
| A380-841 | ICAO_A | 8 | 7 | Penjanje | Maksimum za penjanje | ZERO | 10 000 | | | |
| A380-841 | ICAO_B | 1 | 1 | Uzlijetanje | Maksimum za uzlijetanje | D_1+F | | | | |
| A380-841 | ICAO_B | 1 | 2 | Penjanje | Maksimum za uzlijetanje | D_1+F | 1 000 | | | |
| A380-841 | ICAO_B | 1 | 3 | Ubrzanje | Maksimum za uzlijetanje | D_1+F | | 1 085 | 175,1 | |
| A380-841 | ICAO_B | 1 | 4 | Ubrzanje | Maksimum za uzlijetanje | D_1 | | 1 306 | 238,9 | |
| A380-841 | ICAO_B | 1 | 5 | Penjanje | Maksimum za penjanje | D_1 | 3 000 | | | |
| A380-841 | ICAO_B | 1 | 6 | Ubrzanje | Maksimum za penjanje | ZERO | | 1 497,8 | 250 | |
| A380-841 | ICAO_B | 1 | 7 | Penjanje | Maksimum za penjanje | ZERO | 10 000 | | | |
| A380-841 | ICAO_B | 2 | 1 | Uzlijetanje | Maksimum za uzlijetanje | D_1+F | | | | |
| A380-841 | ICAO_B | 2 | 2 | Penjanje | Maksimum za uzlijetanje | D_1+F | 1 000 | | | |
| A380-841 | ICAO_B | 2 | 3 | Ubrzanje | Maksimum za uzlijetanje | D_1+F | | 1 054 | 177,6 | |
| A380-841 | ICAO_B | 2 | 4 | Ubrzanje | Maksimum za uzlijetanje | D_1 | | 1 262,8 | 238,9 | |
| A380-841 | ICAO_B | 2 | 5 | Penjanje | Maksimum za penjanje | D_1 | 3 000 | | | |

▼**M2**

| ACFTID | Oznaka profila (Profile_ID) | Duljina faze | Broj koraka | Tip koraka | Režim rada motora | Zakrilca (Flap_ID) | Visina krajnje točke (ft) | Stopa penjanja (ft/min) | Kalibrirana brzina leta u krajnjoj točki (kt) | Postotak ubrzanja (Accelerate_Percent) (%) |
|---|---|---|---|---|---|---|---|---|---|---|
| A380-841 | ICAO_B | 2 | 6 | Ubrzanje | Maksimum za penjanje | ZERO | | 1 444,8 | 250 | |
| A380-841 | ICAO_B | 2 | 7 | Penjanje | Maksimum za penjanje | ZERO | 10 000 | | | |
| A380-841 | ICAO_B | 3 | 1 | Uzlijetanje | Maksimum za uzlijetanje | D_1+F | | | | |
| A380-841 | ICAO_B | 3 | 2 | Penjanje | Maksimum za uzlijetanje | D_1+F | 1 000 | | | |
| A380-841 | ICAO_B | 3 | 3 | Ubrzanje | Maksimum za uzlijetanje | D_1+F | | 1 022,1 | 180,2 | |
| A380-841 | ICAO_B | 3 | 4 | Ubrzanje | Maksimum za uzlijetanje | D_1 | | 1 220,9 | 239,1 | |
| A380-841 | ICAO_B | 3 | 5 | Penjanje | Maksimum za penjanje | D_1 | 3 000 | | | |
| A380-841 | ICAO_B | 3 | 6 | Ubrzanje | Maksimum za penjanje | ZERO | | 1 394,3 | 250 | |
| A380-841 | ICAO_B | 3 | 7 | Penjanje | Maksimum za penjanje | ZERO | 10 000 | | | |
| A380-841 | ICAO_B | 4 | 1 | Uzlijetanje | Maksimum za uzlijetanje | D_1+F | | | | |
| A380-841 | ICAO_B | 4 | 2 | Penjanje | Maksimum za uzlijetanje | D_1+F | 1 000 | | | |
| A380-841 | ICAO_B | 4 | 3 | Ubrzanje | Maksimum za uzlijetanje | D_1+F | | 975,4 | 184,8 | |
| A380-841 | ICAO_B | 4 | 4 | Ubrzanje | Maksimum za uzlijetanje | D_1 | | 1 152,5 | 239,6 | |
| A380-841 | ICAO_B | 4 | 5 | Penjanje | Maksimum za penjanje | D_1 | 3 000 | | | |

▼**M2**

| ACFTID | Oznaka profila (Profile_ID) | Duljina faze | Broj koraka | Tip koraka | Režim rada motora | Zakrilca (Flap_ID) | Visina krajnje točke (ft) | Stopa penjanja (ft/min) | Kalibrirana brzina leta u krajnjoj točki (kt) | Postotak ubrzanja (Accelerate_Percent) (%) |
|---|---|---|---|---|---|---|---|---|---|---|
| A380-841 | ICAO_B | 4 | 6 | Ubrzanje | Maksimum za penjanje | ZERO | | 1 313,6 | 250 | |
| A380-841 | ICAO_B | 4 | 7 | Penjanje | Maksimum za penjanje | ZERO | 10 000 | | | |
| A380-841 | ICAO_B | 5 | 1 | Uzlijetanje | Maksimum za uzlijetanje | D_1+F | | | | |
| A380-841 | ICAO_B | 5 | 2 | Penjanje | Maksimum za uzlijetanje | D_1+F | 1 000 | | | |
| A380-841 | ICAO_B | 5 | 3 | Ubrzanje | Maksimum za uzlijetanje | D_1+F | | 908,1 | 190,6 | |
| A380-841 | ICAO_B | 5 | 4 | Ubrzanje | Maksimum za uzlijetanje | D_1 | | 1 072,2 | 240,8 | |
| A380-841 | ICAO_B | 5 | 5 | Penjanje | Maksimum za penjanje | D_1 | 3 000 | | | |
| A380-841 | ICAO_B | 5 | 6 | Ubrzanje | Maksimum za penjanje | ZERO | | 1 220,7 | 250 | |
| A380-841 | ICAO_B | 5 | 7 | Penjanje | Maksimum za penjanje | ZERO | 10 000 | | | |
| A380-841 | ICAO_B | 6 | 1 | Uzlijetanje | Maksimum za uzlijetanje | D_1+F | | | | |
| A380-841 | ICAO_B | 6 | 2 | Penjanje | Maksimum za uzlijetanje | D_1+F | 1 000 | | | |
| A380-841 | ICAO_B | 6 | 3 | Ubrzanje | Maksimum za uzlijetanje | D_1+F | | 843 | 196,7 | |
| A380-841 | ICAO_B | 6 | 4 | Ubrzanje | Maksimum za uzlijetanje | D_1 | | 994,4 | 242,4 | |
| A380-841 | ICAO_B | 6 | 5 | Penjanje | Maksimum za penjanje | D_1 | 3 000 | | | |

▼M2

| ACFTID | Oznaka profila (Profile_ID) | Duljina faze | Broj koraka | Tip koraka | Režim rada motora | Zakrilca (Flap_ID) | Visina krajnje točke (ft) | Stopa penjanja (ft/min) | Kalibrirana brzina leta u krajnjoj točki (kt) | Postotak ubrzanja (Accelerate_Percent) (%) |
|---|---|---|---|---|---|---|---|---|---|---|
| A380-841 | ICAO_B | 6 | 6 | Ubrzanje | Maksimum za penjanje | ZERO | | 1 134,1 | 250 | |
| A380-841 | ICAO_B | 6 | 7 | Penjanje | Maksimum za penjanje | ZERO | 10 000 | | | |
| A380-841 | ICAO_B | 7 | 1 | Uzlijetanje | Maksimum za uzlijetanje | D_1+F | | | | |
| A380-841 | ICAO_B | 7 | 2 | Penjanje | Maksimum za uzlijetanje | D_1+F | 1 000 | | | |
| A380-841 | ICAO_B | 7 | 3 | Ubrzanje | Maksimum za uzlijetanje | D_1+F | | 783 | 202,7 | |
| A380-841 | ICAO_B | 7 | 4 | Ubrzanje | Maksimum za uzlijetanje | D_1 | | 925 | 244,4 | |
| A380-841 | ICAO_B | 7 | 5 | Penjanje | Maksimum za penjanje | D_1 | 3 000 | | | |
| A380-841 | ICAO_B | 7 | 6 | Ubrzanje | Maksimum za penjanje | ZERO | | 1 065,1 | 250 | |
| A380-841 | ICAO_B | 7 | 7 | Penjanje | Maksimum za penjanje | ZERO | 10 000 | | | |
| A380-841 | ICAO_B | 8 | 1 | Uzlijetanje | Maksimum za uzlijetanje | D_1+F | | | | |
| A380-841 | ICAO_B | 8 | 2 | Penjanje | Maksimum za uzlijetanje | D_1+F | 1 000 | | | |
| A380-841 | ICAO_B | 8 | 3 | Ubrzanje | Maksimum za uzlijetanje | D_1+F | | 622,4 | 220 | |
| A380-841 | ICAO_B | 8 | 4 | Ubrzanje | Maksimum za uzlijetanje | D_1 | | 744,8 | 251,7 | |
| A380-841 | ICAO_B | 8 | 5 | Penjanje | Maksimum za penjanje | D_1 | 3 000 | | | |

▼**M2**

| ACFTID | Oznaka profila (Profile_ID) | Duljina faze | Broj koraka | Tip koraka | Režim rada motora | Zakrilca (Flap_ID) | Visina krajnje točke (ft) | Stopa penjanja (ft/min) | Kalibrirana brzina leta u krajnjoj točki (kt) | Postotak ubrzanja (Accelerate_Percent) (%) |
|---|---|---|---|---|---|---|---|---|---|---|
| A380-841 | ICAO_B | 8 | 6 | Penjanje | Maksimum za penjanje | ZERO | 10 000 | | | |
| A380-861 | DEFAULT | 1 | 1 | Uzlijetanje | Maksimum za uzlijetanje | D_1+F | | | | |
| A380-861 | DEFAULT | 1 | 2 | Penjanje | Maksimum za uzlijetanje | D_1+F | 1 000 | | | |
| A380-861 | DEFAULT | 1 | 3 | Ubrzanje | Maksimum za uzlijetanje | D_1+F | | 1 086 | 175,1 | |
| A380-861 | DEFAULT | 1 | 4 | Ubrzanje | Maksimum za uzlijetanje | D_1 | | 1 312,2 | 239,2 | |
| A380-861 | DEFAULT | 1 | 5 | Penjanje | Maksimum za penjanje | D_1 | 3 000 | | | |
| A380-861 | DEFAULT | 1 | 6 | Ubrzanje | Maksimum za penjanje | ZERO | | 1 499,1 | 250 | |
| A380-861 | DEFAULT | 1 | 7 | Penjanje | Maksimum za penjanje | ZERO | 10 000 | | | |
| A380-861 | DEFAULT | 2 | 1 | Uzlijetanje | Maksimum za uzlijetanje | D_1+F | | | | |
| A380-861 | DEFAULT | 2 | 2 | Penjanje | Maksimum za uzlijetanje | D_1+F | 1 000 | | | |
| A380-861 | DEFAULT | 2 | 3 | Ubrzanje | Maksimum za uzlijetanje | D_1+F | | 1 056 | 177,6 | |
| A380-861 | DEFAULT | 2 | 4 | Ubrzanje | Maksimum za uzlijetanje | D_1 | | 1 269 | 239,2 | |
| A380-861 | DEFAULT | 2 | 5 | Penjanje | Maksimum za penjanje | D_1 | 3 000 | | | |

▼**M2**

| ACFTID | Oznaka profila (Profile_ID) | Duljina faze | Broj koraka | Tip koraka | Režim rada motora | Zakrilca (Flap_ID) | Visina krajnje točke (ft) | Stopa penjanja (ft/min) | Kalibrirana brzina leta u krajnjoj točki (kt) | Postotak ubrzanja (Accelerate_Percent) (%) |
|---|---|---|---|---|---|---|---|---|---|---|
| A380-861 | DEFAULT | 2 | 6 | Ubrzanje | Maksimum za penjanje | ZERO | | 1 446,4 | 250 | |
| A380-861 | DEFAULT | 2 | 7 | Penjanje | Maksimum za penjanje | ZERO | 10 000 | | | |
| A380-861 | DEFAULT | 3 | 1 | Uzlijetanje | Maksimum za uzlijetanje | D_1+F | | | | |
| A380-861 | DEFAULT | 3 | 2 | Penjanje | Maksimum za uzlijetanje | D_1+F | 1 000 | | | |
| A380-861 | DEFAULT | 3 | 3 | Ubrzanje | Maksimum za uzlijetanje | D_1+F | | 1 024,4 | 180,2 | |
| A380-861 | DEFAULT | 3 | 4 | Ubrzanje | Maksimum za uzlijetanje | D_1 | | 1 226,4 | 239,2 | |
| A380-861 | DEFAULT | 3 | 5 | Penjanje | Maksimum za penjanje | D_1 | 3 000 | | | |
| A380-861 | DEFAULT | 3 | 6 | Ubrzanje | Maksimum za penjanje | ZERO | | 1 394,9 | 250 | |
| A380-861 | DEFAULT | 3 | 7 | Penjanje | Maksimum za penjanje | ZERO | 10 000 | | | |
| A380-861 | DEFAULT | 4 | 1 | Uzlijetanje | Maksimum za uzlijetanje | D_1+F | | | | |
| A380-861 | DEFAULT | 4 | 2 | Penjanje | Maksimum za uzlijetanje | D_1+F | 1 000 | | | |
| A380-861 | DEFAULT | 4 | 3 | Ubrzanje | Maksimum za uzlijetanje | D_1+F | | 972,5 | 184,7 | |
| A380-861 | DEFAULT | 4 | 4 | Ubrzanje | Maksimum za uzlijetanje | D_1 | | 1 158,3 | 239,8 | |
| A380-861 | DEFAULT | 4 | 5 | Penjanje | Maksimum za penjanje | D_1 | 3 000 | | | |

▼M2

| ACFTID | Oznaka profila (Profile_ID) | Duljina faze | Broj koraka | Tip koraka | Režim rada motora | Zakrilca (Flap_ID) | Visina krajnje točke (ft) | Stopa penjanja (ft/min) | Kalibrirana brzina leta u krajnjoj točki (kt) | Postotak ubrzanja (Accelerate_Percent) (%) |
|---|---|---|---|---|---|---|---|---|---|---|
| A380-861 | DEFAULT | 4 | 6 | Ubrzanje | Maksimum za penjanje | ZERO | | 1 315,9 | 250 | |
| A380-861 | DEFAULT | 4 | 7 | Penjanje | Maksimum za penjanje | ZERO | 10 000 | | | |
| A380-861 | DEFAULT | 5 | 1 | Uzlijetanje | Maksimum za uzlijetanje | D_1+F | | | | |
| A380-861 | DEFAULT | 5 | 2 | Penjanje | Maksimum za uzlijetanje | D_1+F | 1 000 | | | |
| A380-861 | DEFAULT | 5 | 3 | Ubrzanje | Maksimum za uzlijetanje | D_1+F | | 906,2 | 190,4 | |
| A380-861 | DEFAULT | 5 | 4 | Ubrzanje | Maksimum za uzlijetanje | D_1 | | 1 080,4 | 240,9 | |
| A380-861 | DEFAULT | 5 | 5 | Penjanje | Maksimum za penjanje | D_1 | 3 000 | | | |
| A380-861 | DEFAULT | 5 | 6 | Ubrzanje | Maksimum za penjanje | ZERO | | 1 225,2 | 250 | |
| A380-861 | DEFAULT | 5 | 7 | Penjanje | Maksimum za penjanje | ZERO | 10 000 | | | |
| A380-861 | DEFAULT | 6 | 1 | Uzlijetanje | Maksimum za uzlijetanje | D_1+F | | | | |
| A380-861 | DEFAULT | 6 | 2 | Penjanje | Maksimum za uzlijetanje | D_1+F | 1 000 | | | |
| A380-861 | DEFAULT | 6 | 3 | Ubrzanje | Maksimum za uzlijetanje | D_1+F | | 840 | 196,4 | |
| A380-861 | DEFAULT | 6 | 4 | Ubrzanje | Maksimum za uzlijetanje | D_1 | | 1 003 | 242,5 | |
| A380-861 | DEFAULT | 6 | 5 | Penjanje | Maksimum za penjanje | D_1 | 3 000 | | | |

▼**M2**

| ACFTID | Oznaka profila (Profile_ID) | Duljina faze | Broj koraka | Tip koraka | Režim rada motora | Zakrilca (Flap_ID) | Visina krajnje točke (ft) | Stopa penjanja (ft/min) | Kalibrirana brzina leta u krajnjoj točki (kt) | Postotak ubrzanja (Accelerate_Percent) (%) |
|---|---|---|---|---|---|---|---|---|---|---|
| A380-861 | DEFAULT | 6 | 6 | Ubrzanje | Maksimum za penjanje | ZERO | | 1 139 | 250 | |
| A380-861 | DEFAULT | 6 | 7 | Penjanje | Maksimum za penjanje | ZERO | 10 000 | | | |
| A380-861 | DEFAULT | 7 | 1 | Uzlijetanje | Maksimum za uzlijetanje | D_1+F | | | | |
| A380-861 | DEFAULT | 7 | 2 | Penjanje | Maksimum za uzlijetanje | D_1+F | 1 000 | | | |
| A380-861 | DEFAULT | 7 | 3 | Ubrzanje | Maksimum za uzlijetanje | D_1+F | | 777,6 | 202,7 | |
| A380-861 | DEFAULT | 7 | 4 | Ubrzanje | Maksimum za uzlijetanje | D_1 | | 930,4 | 244,6 | |
| A380-861 | DEFAULT | 7 | 5 | Penjanje | Maksimum za penjanje | D_1 | 3 000 | | | |
| A380-861 | DEFAULT | 7 | 6 | Ubrzanje | Maksimum za penjanje | ZERO | | 1 063,2 | 250 | |
| A380-861 | DEFAULT | 7 | 7 | Penjanje | Maksimum za penjanje | ZERO | 10 000 | | | |
| A380-861 | DEFAULT | 8 | 1 | Uzlijetanje | Maksimum za uzlijetanje | D_1+F | | | | |
| A380-861 | DEFAULT | 8 | 2 | Penjanje | Maksimum za uzlijetanje | D_1+F | 1 000 | | | |
| A380-861 | DEFAULT | 8 | 3 | Ubrzanje | Maksimum za uzlijetanje | D_1+F | | 618,5 | 220 | |
| A380-861 | DEFAULT | 8 | 4 | Ubrzanje | Maksimum za uzlijetanje | D_1 | | 746,6 | 251,8 | |
| A380-861 | DEFAULT | 8 | 5 | Penjanje | Maksimum za penjanje | D_1 | 3 000 | | | |

▼**M2**

| ACFTID | Oznaka profila (Profile_ID) | Duljina faze | Broj koraka | Tip koraka | Režim rada motora | Zakrilca (Flap_ID) | Visina krajnje točke (ft) | Stopa penjanja (ft/min) | Kalibrirana brzina leta u krajnjoj točki (kt) | Postotak ubrzanja (Accelerate_Percent) (%) |
|---|---|---|---|---|---|---|---|---|---|---|
| A380-861 | DEFAULT | 8 | 6 | Penjanje | Maksimum za penjanje | ZERO | 10 000 | | | |
| A380-861 | ICAO_A | 1 | 1 | Uzlijetanje | Maksimum za uzlijetanje | D_1+F | | | | |
| A380-861 | ICAO_A | 1 | 2 | Penjanje | Maksimum za uzlijetanje | D_1+F | 1 500 | | | |
| A380-861 | ICAO_A | 1 | 3 | Penjanje | Maksimum za penjanje | D_1+F | 3 000 | | | |
| A380-861 | ICAO_A | 1 | 4 | Ubrzanje | Maksimum za penjanje | D_1 | | 1 057,7 | 175,1 | |
| A380-861 | ICAO_A | 1 | 5 | Ubrzanje | Maksimum za penjanje | D_1 | | 1 257,2 | 233,9 | |
| A380-861 | ICAO_A | 1 | 6 | Ubrzanje | Maksimum za penjanje | ZERO | | 1 386,8 | 250 | |
| A380-861 | ICAO_A | 1 | 7 | Penjanje | Maksimum za penjanje | ZERO | 10 000 | | | |
| A380-861 | ICAO_A | 2 | 1 | Uzlijetanje | Maksimum za uzlijetanje | D_1+F | | | | |
| A380-861 | ICAO_A | 2 | 2 | Penjanje | Maksimum za uzlijetanje | D_1+F | 1 500 | | | |
| A380-861 | ICAO_A | 2 | 3 | Penjanje | Maksimum za penjanje | D_1+F | 3 000 | | | |
| A380-861 | ICAO_A | 2 | 4 | Ubrzanje | Maksimum za penjanje | D_1 | | 1 012,5 | 177,6 | |
| A380-861 | ICAO_A | 2 | 5 | Ubrzanje | Maksimum za penjanje | D_1 | | 1 208,1 | 233,8 | |
| A380-861 | ICAO_A | 2 | 6 | Ubrzanje | Maksimum za penjanje | ZERO | | 1 339,4 | 250 | |

▼**M2**

| ACFTID | Oznaka profila (Profile_ID) | Duljina faze | Broj koraka | Tip koraka | Režim rada motora | Zakrilca (Flap_ID) | Visina krajnje točke (ft) | Stopa penjanja (ft/min) | Kalibrirana brzina leta u krajnjoj točki (kt) | Postotak ubrzanja (Accelerate_Percent) (%) |
|---|---|---|---|---|---|---|---|---|---|---|
| A380-861 | ICAO_A | 2 | 7 | Penjanje | Maksimum za penjanje | ZERO | 10 000 | | | |
| A380-861 | ICAO_A | 3 | 1 | Uzlijetanje | Maksimum za uzlijetanje | D_1+F | | | | |
| A380-861 | ICAO_A | 3 | 2 | Penjanje | Maksimum za uzlijetanje | D_1+F | 1 500 | | | |
| A380-861 | ICAO_A | 3 | 3 | Penjanje | Maksimum za penjanje | D_1+F | 3 000 | | | |
| A380-861 | ICAO_A | 3 | 4 | Ubrzanje | Maksimum za penjanje | D_1 | | 970 | 180,2 | |
| A380-861 | ICAO_A | 3 | 5 | Ubrzanje | Maksimum za penjanje | D_1 | | 1 168,2 | 234,1 | |
| A380-861 | ICAO_A | 3 | 6 | Ubrzanje | Maksimum za penjanje | ZERO | | 1 293 | 250 | |
| A380-861 | ICAO_A | 3 | 7 | Penjanje | Maksimum za penjanje | ZERO | 10 000 | | | |
| A380-861 | ICAO_A | 4 | 1 | Uzlijetanje | Maksimum za uzlijetanje | D_1+F | | | | |
| A380-861 | ICAO_A | 4 | 2 | Penjanje | Maksimum za uzlijetanje | D_1+F | 1 500 | | | |
| A380-861 | ICAO_A | 4 | 3 | Penjanje | Maksimum za penjanje | D_1+F | 3 000 | | | |
| A380-861 | ICAO_A | 4 | 4 | Ubrzanje | Maksimum za penjanje | D_1 | | 908,4 | 184,8 | |
| A380-861 | ICAO_A | 4 | 5 | Ubrzanje | Maksimum za penjanje | D_1 | | 1 103,5 | 235 | |
| A380-861 | ICAO_A | 4 | 6 | Ubrzanje | Maksimum za penjanje | ZERO | | 1 216,8 | 250 | |

▼M2

| ACFTID | Oznaka profila (Profile_ID) | Duljina faze | Broj koraka | Tip koraka | Režim rada motora | Zakrilca (Flap_ID) | Visina krajnje točke (ft) | Stopa penjanja (ft/min) | Kalibrirana brzina leta u krajnjoj točki (kt) | Postotak ubrzanja (Accelerate_Percent) (%) |
|---|---|---|---|---|---|---|---|---|---|---|
| A380-861 | ICAO_A | 4 | 7 | Penjanje | Maksimum za penjanje | ZERO | 10 000 | | | |
| A380-861 | ICAO_A | 5 | 1 | Uzlijetanje | Maksimum za uzlijetanje | D_1+F | | | | |
| A380-861 | ICAO_A | 5 | 2 | Penjanje | Maksimum za uzlijetanje | D_1+F | 1 500 | | | |
| A380-861 | ICAO_A | 5 | 3 | Penjanje | Maksimum za penjanje | D_1+F | 3 000 | | | |
| A380-861 | ICAO_A | 5 | 4 | Ubrzanje | Maksimum za penjanje | D_1 | | 847,3 | 190,5 | |
| A380-861 | ICAO_A | 5 | 5 | Ubrzanje | Maksimum za penjanje | D_1 | | 1 029,6 | 236,5 | |
| A380-861 | ICAO_A | 5 | 6 | Ubrzanje | Maksimum za penjanje | ZERO | | 1 129,4 | 250 | |
| A380-861 | ICAO_A | 5 | 7 | Penjanje | Maksimum za penjanje | ZERO | 10 000 | | | |
| A380-861 | ICAO_A | 6 | 1 | Uzlijetanje | Maksimum za uzlijetanje | D_1+F | | | | |
| A380-861 | ICAO_A | 6 | 2 | Penjanje | Maksimum za uzlijetanje | D_1+F | 1 500 | | | |
| A380-861 | ICAO_A | 6 | 3 | Penjanje | Maksimum za penjanje | D_1+F | 3 000 | | | |
| A380-861 | ICAO_A | 6 | 4 | Ubrzanje | Maksimum za penjanje | D_1 | | 786 | 196,7 | |
| A380-861 | ICAO_A | 6 | 5 | Ubrzanje | Maksimum za penjanje | D_1 | | 955,7 | 238,5 | |
| A380-861 | ICAO_A | 6 | 6 | Ubrzanje | Maksimum za penjanje | ZERO | | 1 041,8 | 250 | |

▼M2

| ACFTID | Oznaka profila (Profile_ID) | Duljina faze | Broj koraka | Tip koraka | Režim rada motora | Zakrilca (Flap_ID) | Visina krajnje točke (ft) | Stopa penjanja (ft/min) | Kalibrirana brzina leta u krajnjoj točki (kt) | Postotak ubrzanja (Accelerate_Percent) (%) |
|---|---|---|---|---|---|---|---|---|---|---|
| A380-861 | ICAO_A | 6 | 7 | Penjanje | Maksimum za penjanje | ZERO | 10 000 | | | |
| A380-861 | ICAO_A | 7 | 1 | Uzlijetanje | Maksimum za uzlijetanje | D_1+F | | | | |
| A380-861 | ICAO_A | 7 | 2 | Penjanje | Maksimum za uzlijetanje | D_1+F | 1 500 | | | |
| A380-861 | ICAO_A | 7 | 3 | Penjanje | Maksimum za penjanje | D_1+F | 3 000 | | | |
| A380-861 | ICAO_A | 7 | 4 | Ubrzanje | Maksimum za penjanje | D_1 | | 728,1 | 203,1 | |
| A380-861 | ICAO_A | 7 | 5 | Ubrzanje | Maksimum za penjanje | D_1 | | 886,1 | 241,1 | |
| A380-861 | ICAO_A | 7 | 6 | Ubrzanje | Maksimum za penjanje | ZERO | | 959,3 | 250 | |
| A380-861 | ICAO_A | 7 | 7 | Penjanje | Maksimum za penjanje | ZERO | 10 000 | | | |
| A380-861 | ICAO_A | 8 | 1 | Uzlijetanje | Maksimum za uzlijetanje | D_1+F | | | | |
| A380-861 | ICAO_A | 8 | 2 | Penjanje | Maksimum za uzlijetanje | D_1+F | 1 500 | | | |
| A380-861 | ICAO_A | 8 | 3 | Penjanje | Maksimum za penjanje | D_1+F | 3 000 | | | |
| A380-861 | ICAO_A | 8 | 4 | Ubrzanje | Maksimum za penjanje | D_1 | | 577,2 | 220 | |
| A380-861 | ICAO_A | 8 | 5 | Ubrzanje | Maksimum za penjanje | D_1 | | 705,6 | 248,6 | |
| A380-861 | ICAO_A | 8 | 6 | Ubrzanje | Maksimum za penjanje | ZERO | | 749,1 | 250 | |

▼**M2**

| ACFTID | Oznaka profila (Profile_ID) | Duljina faze | Broj koraka | Tip koraka | Režim rada motora | Zakrilca (Flap_ID) | Visina krajnje točke (ft) | Stopa penjanja (ft/min) | Kalibrirana brzina leta u krajnjoj točki (kt) | Postotak ubrzanja (Accelerate_Percent) (%) |
|---|---|---|---|---|---|---|---|---|---|---|
| A380-861 | ICAO_A | 8 | 7 | Penjanje | Maksimum za penjanje | ZERO | 10 000 | | | |
| A380-861 | ICAO_B | 1 | 1 | Uzlijetanje | Maksimum za uzlijetanje | D_1+F | | | | |
| A380-861 | ICAO_B | 1 | 2 | Penjanje | Maksimum za uzlijetanje | D_1+F | 1 000 | | | |
| A380-861 | ICAO_B | 1 | 3 | Ubrzanje | Maksimum za uzlijetanje | D_1+F | | 1 086 | 175,1 | |
| A380-861 | ICAO_B | 1 | 4 | Ubrzanje | Maksimum za uzlijetanje | D_1 | | 1 312,2 | 239,2 | |
| A380-861 | ICAO_B | 1 | 5 | Penjanje | Maksimum za penjanje | D_1 | 3 000 | | | |
| A380-861 | ICAO_B | 1 | 6 | Ubrzanje | Maksimum za penjanje | ZERO | | 1 499,1 | 250 | |
| A380-861 | ICAO_B | 1 | 7 | Penjanje | Maksimum za penjanje | ZERO | 10 000 | | | |
| A380-861 | ICAO_B | 2 | 1 | Uzlijetanje | Maksimum za uzlijetanje | D_1+F | | | | |
| A380-861 | ICAO_B | 2 | 2 | Penjanje | Maksimum za uzlijetanje | D_1+F | 1 000 | | | |
| A380-861 | ICAO_B | 2 | 3 | Ubrzanje | Maksimum za uzlijetanje | D_1+F | | 1 056 | 177,6 | |
| A380-861 | ICAO_B | 2 | 4 | Ubrzanje | Maksimum za uzlijetanje | D_1 | | 1 269 | 239,2 | |
| A380-861 | ICAO_B | 2 | 5 | Penjanje | Maksimum za penjanje | D_1 | 3 000 | | | |
| A380-861 | ICAO_B | 2 | 6 | Ubrzanje | Maksimum za penjanje | ZERO | | 1 446,4 | 250 | |

▼**M2**

| ACFTID | Oznaka profila (Profile_ID) | Duljina faze | Broj koraka | Tip koraka | Režim rada motora | Zakrilca (Flap_ID) | Visina krajnje točke (ft) | Stopa penjanja (ft/min) | Kalibrirana brzina leta u krajnjoj točki (kt) | Postotak ubrzanja (Accelerate_Percent) (%) |
|---|---|---|---|---|---|---|---|---|---|---|
| A380-861 | ICAO_B | 2 | 7 | Penjanje | Maksimum za penjanje | ZERO | 10 000 | | | |
| A380-861 | ICAO_B | 3 | 1 | Uzlijetanje | Maksimum za uzlijetanje | D_1+F | | | | |
| A380-861 | ICAO_B | 3 | 2 | Penjanje | Maksimum za uzlijetanje | D_1+F | 1 000 | | | |
| A380-861 | ICAO_B | 3 | 3 | Ubrzanje | Maksimum za uzlijetanje | D_1+F | | 1 024,4 | 180,2 | |
| A380-861 | ICAO_B | 3 | 4 | Ubrzanje | Maksimum za uzlijetanje | D_1 | | 1 226,4 | 239,2 | |
| A380-861 | ICAO_B | 3 | 5 | Penjanje | Maksimum za penjanje | D_1 | 3 000 | | | |
| A380-861 | ICAO_B | 3 | 6 | Ubrzanje | Maksimum za penjanje | ZERO | | 1 394,9 | 250 | |
| A380-861 | ICAO_B | 3 | 7 | Penjanje | Maksimum za penjanje | ZERO | 10 000 | | | |
| A380-861 | ICAO_B | 4 | 1 | Uzlijetanje | Maksimum za uzlijetanje | D_1+F | | | | |
| A380-861 | ICAO_B | 4 | 2 | Penjanje | Maksimum za uzlijetanje | D_1+F | 1 000 | | | |
| A380-861 | ICAO_B | 4 | 3 | Ubrzanje | Maksimum za uzlijetanje | D_1+F | | 972,5 | 184,7 | |
| A380-861 | ICAO_B | 4 | 4 | Ubrzanje | Maksimum za uzlijetanje | D_1 | | 1 158,3 | 239,8 | |
| A380-861 | ICAO_B | 4 | 5 | Penjanje | Maksimum za penjanje | D_1 | 3 000 | | | |
| A380-861 | ICAO_B | 4 | 6 | Ubrzanje | Maksimum za penjanje | ZERO | | 1 315,9 | 250 | |

▼M2

| ACFTID | Oznaka profila (Profile_ID) | Duljina faze | Broj koraka | Tip koraka | Režim rada motora | Zakrilca (Flap_ID) | Visina krajnje točke (ft) | Stopa penjanja (ft/min) | Kalibrirana brzina leta u krajnjoj točki (kt) | Postotak ubrzanja (Accelerate_Percent) (%) |
|---|---|---|---|---|---|---|---|---|---|---|
| A380-861 | ICAO_B | 4 | 7 | Penjanje | Maksimum za penjanje | ZERO | 10 000 | | | |
| A380-861 | ICAO_B | 5 | 1 | Uzlijetanje | Maksimum za uzlijetanje | D_1+F | | | | |
| A380-861 | ICAO_B | 5 | 2 | Penjanje | Maksimum za uzlijetanje | D_1+F | 1 000 | | | |
| A380-861 | ICAO_B | 5 | 3 | Ubrzanje | Maksimum za uzlijetanje | D_1+F | | 906,2 | 190,4 | |
| A380-861 | ICAO_B | 5 | 4 | Ubrzanje | Maksimum za uzlijetanje | D_1 | | 1 080,4 | 240,9 | |
| A380-861 | ICAO_B | 5 | 5 | Penjanje | Maksimum za penjanje | D_1 | 3 000 | | | |
| A380-861 | ICAO_B | 5 | 6 | Ubrzanje | Maksimum za penjanje | ZERO | | 1 225,2 | 250 | |
| A380-861 | ICAO_B | 5 | 7 | Penjanje | Maksimum za penjanje | ZERO | 10 000 | | | |
| A380-861 | ICAO_B | 6 | 1 | Uzlijetanje | Maksimum za uzlijetanje | D_1+F | | | | |
| A380-861 | ICAO_B | 6 | 2 | Penjanje | Maksimum za uzlijetanje | D_1+F | 1 000 | | | |
| A380-861 | ICAO_B | 6 | 3 | Ubrzanje | Maksimum za uzlijetanje | D_1+F | | 840 | 196,4 | |
| A380-861 | ICAO_B | 6 | 4 | Ubrzanje | Maksimum za uzlijetanje | D_1 | | 1 003 | 242,5 | |
| A380-861 | ICAO_B | 6 | 5 | Penjanje | Maksimum za penjanje | D_1 | 3 000 | | | |
| A380-861 | ICAO_B | 6 | 6 | Ubrzanje | Maksimum za penjanje | ZERO | | 1 139 | 250 | |

▼M2

| ACFTID | Oznaka profila (Profile_ID) | Duljina faze | Broj koraka | Tip koraka | Režim rada motora | Zakrilca (Flap_ID) | Visina krajnje točke (ft) | Stopa penjanja (ft/min) | Kalibrirana brzina leta u krajnjoj točki (kt) | Postotak ubrzanja (Accelerate_Percent) (%) |
|---|---|---|---|---|---|---|---|---|---|---|
| A380-861 | ICAO_B | 6 | 7 | Penjanje | Maksimum za penjanje | ZERO | 10 000 | | | |
| A380-861 | ICAO_B | 7 | 1 | Uzlijetanje | Maksimum za uzlijetanje | D_1+F | | | | |
| A380-861 | ICAO_B | 7 | 2 | Penjanje | Maksimum za uzlijetanje | D_1+F | 1 000 | | | |
| A380-861 | ICAO_B | 7 | 3 | Ubrzanje | Maksimum za uzlijetanje | D_1+F | | 777,6 | 202,7 | |
| A380-861 | ICAO_B | 7 | 4 | Ubrzanje | Maksimum za uzlijetanje | D_1 | | 930,4 | 244,6 | |
| A380-861 | ICAO_B | 7 | 5 | Penjanje | Maksimum za penjanje | D_1 | 3 000 | | | |
| A380-861 | ICAO_B | 7 | 6 | Ubrzanje | Maksimum za penjanje | ZERO | | 1 063,2 | 250 | |
| A380-861 | ICAO_B | 7 | 7 | Penjanje | Maksimum za penjanje | ZERO | 10 000 | | | |
| A380-861 | ICAO_B | 8 | 1 | Uzlijetanje | Maksimum za uzlijetanje | D_1+F | | | | |
| A380-861 | ICAO_B | 8 | 2 | Penjanje | Maksimum za uzlijetanje | D_1+F | 1 000 | | | |
| A380-861 | ICAO_B | 8 | 3 | Ubrzanje | Maksimum za uzlijetanje | D_1+F | | 618,5 | 220 | |
| A380-861 | ICAO_B | 8 | 4 | Ubrzanje | Maksimum za uzlijetanje | D_1 | | 746,6 | 251,8 | |
| A380-861 | ICAO_B | 8 | 5 | Penjanje | Maksimum za penjanje | D_1 | 3 000 | | | |
| A380-861 | ICAO_B | 8 | 6 | Penjanje | Maksimum za penjanje | ZERO | 10 000 | | | |

▼**M2**

| ACFTID | Oznaka profila (Profile_ID) | Duljina faze | Broj koraka | Tip koraka | Režim rada motora | Zakrilca (Flap_ID) | Visina krajnje točke (ft) | Stopa penjanja (ft/min) | Kalibrirana brzina leta u krajnjoj točki (kt) | Postotak ubrzanja (Accelerate_Percent) (%) |
|---|---|---|---|---|---|---|---|---|---|---|
| BAC111 | DEFAULT | 1 | 1 | Uzlijetanje | Maksimum za uzlijetanje | 8 | | | | |
| BAC111 | DEFAULT | 1 | 2 | Penjanje | Maksimum za uzlijetanje | 8 | 1 000 | | | |
| BAC111 | DEFAULT | 1 | 3 | Ubrzanje | Maksimum za uzlijetanje | 8 | | 1 942 | 158 | |
| BAC111 | DEFAULT | 1 | 4 | Ubrzanje | Maksimum za uzlijetanje | INT1 | | 1 457 | 178 | |
| BAC111 | DEFAULT | 1 | 5 | Ubrzanje | Maksimum za penjanje | INT1 | | 1 000 | 198 | |
| BAC111 | DEFAULT | 1 | 6 | Penjanje | Maksimum za penjanje | ZERO | 3 000 | | | |
| BAC111 | DEFAULT | 1 | 7 | Ubrzanje | Maksimum za penjanje | ZERO | | 1 000 | 250 | |
| BAC111 | DEFAULT | 1 | 8 | Penjanje | Maksimum za penjanje | ZERO | 5 500 | | | |
| BAC111 | DEFAULT | 1 | 9 | Penjanje | Maksimum za penjanje | ZERO | 7 500 | | | |
| BAC111 | DEFAULT | 1 | 10 | Penjanje | Maksimum za penjanje | ZERO | 10 000 | | | |
| BAC111 | DEFAULT | 2 | 1 | Uzlijetanje | Maksimum za uzlijetanje | 8 | | | | |
| BAC111 | DEFAULT | 2 | 2 | Penjanje | Maksimum za uzlijetanje | 8 | 1 000 | | | |
| BAC111 | DEFAULT | 2 | 3 | Ubrzanje | Maksimum za uzlijetanje | 8 | | 1 809 | 163 | |
| BAC111 | DEFAULT | 2 | 4 | Ubrzanje | Maksimum za uzlijetanje | INT1 | | 1 357 | 183 | |

▼**M2**

| ACFTID | Oznaka profila (Profile_ID) | Duljina faze | Broj koraka | Tip koraka | Režim rada motora | Zakrilca (Flap_ID) | Visina krajnje točke (ft) | Stopa penjanja (ft/min) | Kalibrirana brzina leta u krajnjoj točki (kt) | Postotak ubrzanja (Accelerate_Percent) (%) |
|---|---|---|---|---|---|---|---|---|---|---|
| BAC111 | DEFAULT | 2 | 5 | Ubrzanje | Maksimum za penjanje | INT1 | | 1 000 | 203 | |
| BAC111 | DEFAULT | 2 | 6 | Penjanje | Maksimum za penjanje | ZERO | 3 000 | | | |
| BAC111 | DEFAULT | 2 | 7 | Ubrzanje | Maksimum za penjanje | ZERO | | 1 000 | 250 | |
| BAC111 | DEFAULT | 2 | 8 | Penjanje | Maksimum za penjanje | ZERO | 5 500 | | | |
| BAC111 | DEFAULT | 2 | 9 | Penjanje | Maksimum za penjanje | ZERO | 7 500 | | | |
| BAC111 | DEFAULT | 2 | 10 | Penjanje | Maksimum za penjanje | ZERO | 10 000 | | | |
| BAC111 | DEFAULT | 3 | 1 | Uzlijetanje | Maksimum za uzlijetanje | 8 | | | | |
| BAC111 | DEFAULT | 3 | 2 | Penjanje | Maksimum za uzlijetanje | 8 | 1 000 | | | |
| BAC111 | DEFAULT | 3 | 3 | Ubrzanje | Maksimum za uzlijetanje | 8 | | 1 665 | 169 | |
| BAC111 | DEFAULT | 3 | 4 | Ubrzanje | Maksimum za uzlijetanje | INT1 | | 1 249 | 189 | |
| BAC111 | DEFAULT | 3 | 5 | Ubrzanje | Maksimum za penjanje | INT1 | | 1 000 | 209 | |
| BAC111 | DEFAULT | 3 | 6 | Penjanje | Maksimum za penjanje | ZERO | 3 000 | | | |
| BAC111 | DEFAULT | 3 | 7 | Ubrzanje | Maksimum za penjanje | ZERO | | 1 000 | 250 | |

▼M2

| ACFTID | Oznaka profila (Profile_ID) | Duljina faze | Broj koraka | Tip koraka | Režim rada motora | Zakrilca (Flap_ID) | Visina krajnje točke (ft) | Stopa penjanja (ft/min) | Kalibrirana brzina leta u krajnjoj točki (kt) | Postotak ubrzanja (Accelerate_Percent) (%) |
|---|---|---|---|---|---|---|---|---|---|---|
| BAC111 | DEFAULT | 3 | 8 | Penjanje | Maksimum za penjanje | ZERO | 5 500 | | | |
| BAC111 | DEFAULT | 3 | 9 | Penjanje | Maksimum za penjanje | ZERO | 7 500 | | | |
| BAC111 | DEFAULT | 3 | 10 | Penjanje | Maksimum za penjanje | ZERO | 10 000 | | | |
| BAE146 | DEFAULT | 1 | 1 | Uzlijetanje | Maksimum za uzlijetanje | 18 | | | | |
| BAE146 | DEFAULT | 1 | 2 | Penjanje | Maksimum za uzlijetanje | 18 | 1 000 | | | |
| BAE146 | DEFAULT | 1 | 3 | Ubrzanje | Maksimum za uzlijetanje | 18 | | 970 | 171 | |
| BAE146 | DEFAULT | 1 | 4 | Ubrzanje | Maksimum za penjanje | ZERO | | 900 | 201 | |
| BAE146 | DEFAULT | 1 | 5 | Penjanje | Maksimum za penjanje | ZERO | 3 000 | | | |
| BAE146 | DEFAULT | 1 | 6 | Ubrzanje | Maksimum za penjanje | ZERO | | 900 | 250 | |
| BAE146 | DEFAULT | 1 | 7 | Penjanje | Maksimum za penjanje | ZERO | 5 500 | | | |
| BAE146 | DEFAULT | 1 | 8 | Penjanje | Maksimum za penjanje | ZERO | 7 500 | | | |
| BAE146 | DEFAULT | 1 | 9 | Penjanje | Maksimum za penjanje | ZERO | 10 000 | | | |
| BAE146 | DEFAULT | 2 | 1 | Uzlijetanje | Maksimum za uzlijetanje | 18 | | | | |

▼**M2**

| ACFTID | Oznaka profila (Profile_ID) | Duljina faze | Broj koraka | Tip koraka | Režim rada motora | Zakrilca (Flap_ID) | Visina krajnje točke (ft) | Stopa penjanja (ft/min) | Kalibrirana brzina leta u krajnjoj točki (kt) | Postotak ubrzanja (Accelerate_Percent) (%) |
|---|---|---|---|---|---|---|---|---|---|---|
| BAE146 | DEFAULT | 2 | 2 | Penjanje | Maksimum za uzlijetanje | 18 | 1 000 | | | |
| BAE146 | DEFAULT | 2 | 3 | Ubrzanje | Maksimum za uzlijetanje | 18 | | 801 | 178 | |
| BAE146 | DEFAULT | 2 | 4 | Ubrzanje | Maksimum za penjanje | ZERO | | 750 | 208 | |
| BAE146 | DEFAULT | 2 | 5 | Penjanje | Maksimum za penjanje | ZERO | 3 000 | | | |
| BAE146 | DEFAULT | 2 | 6 | Ubrzanje | Maksimum za penjanje | ZERO | | 750 | 250 | |
| BAE146 | DEFAULT | 2 | 7 | Penjanje | Maksimum za penjanje | ZERO | 5 500 | | | |
| BAE146 | DEFAULT | 2 | 8 | Penjanje | Maksimum za penjanje | ZERO | 7 500 | | | |
| BAE146 | DEFAULT | 2 | 9 | Penjanje | Maksimum za penjanje | ZERO | 10 000 | | | |
| BAE146 | DEFAULT | 3 | 1 | Uzlijetanje | Maksimum za uzlijetanje | 18 | | | | |
| BAE146 | DEFAULT | 3 | 2 | Penjanje | Maksimum za uzlijetanje | 18 | 1 000 | | | |
| BAE146 | DEFAULT | 3 | 3 | Ubrzanje | Maksimum za uzlijetanje | 18 | | 671 | 184 | |
| BAE146 | DEFAULT | 3 | 4 | Ubrzanje | Maksimum za penjanje | ZERO | | 500 | 214 | |
| BAE146 | DEFAULT | 3 | 5 | Penjanje | Maksimum za penjanje | ZERO | 3 000 | | | |

▼**M2**

| ACFTID | Oznaka profila (Profile_ID) | Duljina faze | Broj koraka | Tip koraka | Režim rada motora | Zakrilca (Flap_ID) | Visina krajnje točke (ft) | Stopa penjanja (ft/min) | Kalibrirana brzina leta u krajnjoj točki (kt) | Postotak ubrzanja (Accelerate_Percent) (%) |
|---|---|---|---|---|---|---|---|---|---|---|
| BAE146 | DEFAULT | 3 | 6 | Ubrzanje | Maksimum za penjanje | ZERO | | 500 | 250 | |
| BAE146 | DEFAULT | 3 | 7 | Penjanje | Maksimum za penjanje | ZERO | 5 500 | | | |
| BAE146 | DEFAULT | 3 | 8 | Penjanje | Maksimum za penjanje | ZERO | 7 500 | | | |
| BAE146 | DEFAULT | 3 | 9 | Penjanje | Maksimum za penjanje | ZERO | 10 000 | | | |
| BAE300 | DEFAULT | 1 | 1 | Uzlijetanje | Maksimum za uzlijetanje | 18 | | | | |
| BAE300 | DEFAULT | 1 | 2 | Penjanje | Maksimum za uzlijetanje | 18 | 1 000 | | | |
| BAE300 | DEFAULT | 1 | 3 | Ubrzanje | Maksimum za uzlijetanje | 18 | | 920 | 176 | |
| BAE300 | DEFAULT | 1 | 4 | Ubrzanje | Maksimum za penjanje | ZERO | | 900 | 206 | |
| BAE300 | DEFAULT | 1 | 5 | Penjanje | Maksimum za penjanje | ZERO | 3 000 | | | |
| BAE300 | DEFAULT | 1 | 6 | Ubrzanje | Maksimum za penjanje | ZERO | | 900 | 250 | |
| BAE300 | DEFAULT | 1 | 7 | Penjanje | Maksimum za penjanje | ZERO | 5 500 | | | |
| BAE300 | DEFAULT | 1 | 8 | Penjanje | Maksimum za penjanje | ZERO | 7 500 | | | |
| BAE300 | DEFAULT | 1 | 9 | Penjanje | Maksimum za penjanje | ZERO | 10 000 | | | |

▼**M2**

| ACFTID | Oznaka profila (Profile_ID) | Duljina faze | Broj koraka | Tip koraka | Režim rada motora | Zakrilca (Flap_ID) | Visina krajnje točke (ft) | Stopa penjanja (ft/min) | Kalibrirana brzina leta u krajnjoj točki (kt) | Postotak ubrzanja (Accelerate_Percent) (%) |
|---|---|---|---|---|---|---|---|---|---|---|
| BAE300 | DEFAULT | 2 | 1 | Uzlijetanje | Maksimum za uzlijetanje | 18 | | | | |
| BAE300 | DEFAULT | 2 | 2 | Penjanje | Maksimum za uzlijetanje | 18 | 1 000 | | | |
| BAE300 | DEFAULT | 2 | 3 | Ubrzanje | Maksimum za uzlijetanje | 18 | | 762 | 183 | |
| BAE300 | DEFAULT | 2 | 4 | Ubrzanje | Maksimum za penjanje | ZERO | | 750 | 213 | |
| BAE300 | DEFAULT | 2 | 5 | Penjanje | Maksimum za penjanje | ZERO | 3 000 | | | |
| BAE300 | DEFAULT | 2 | 6 | Ubrzanje | Maksimum za penjanje | ZERO | | 750 | 250 | |
| BAE300 | DEFAULT | 2 | 7 | Penjanje | Maksimum za penjanje | ZERO | 5 500 | | | |
| BAE300 | DEFAULT | 2 | 8 | Penjanje | Maksimum za penjanje | ZERO | 7 500 | | | |
| BAE300 | DEFAULT | 2 | 9 | Penjanje | Maksimum za penjanje | ZERO | 10 000 | | | |
| BAE300 | DEFAULT | 3 | 1 | Uzlijetanje | Maksimum za uzlijetanje | 18 | | | | |
| BAE300 | DEFAULT | 3 | 2 | Penjanje | Maksimum za uzlijetanje | 18 | 1 000 | | | |
| BAE300 | DEFAULT | 3 | 3 | Ubrzanje | Maksimum za uzlijetanje | 18 | | 622 | 189 | |
| BAE300 | DEFAULT | 3 | 4 | Ubrzanje | Maksimum za penjanje | ZERO | | 500 | 219 | |

▼M2

| ACFTID | Oznaka profila (Profile_ID) | Duljina faze | Broj koraka | Tip koraka | Režim rada motora | Zakrilca (Flap_ID) | Visina krajnje točke (ft) | Stopa penjanja (ft/min) | Kalibrirana brzina leta u krajnjoj točki (kt) | Postotak ubrzanja (Accelerate_Percent) (%) |
|---|---|---|---|---|---|---|---|---|---|---|
| BAE300 | DEFAULT | 3 | 5 | Penjanje | Maksimum za penjanje | ZERO | 3 000 | | | |
| BAE300 | DEFAULT | 3 | 6 | Ubrzanje | Maksimum za penjanje | ZERO | | 500 | 250 | |
| BAE300 | DEFAULT | 3 | 7 | Penjanje | Maksimum za penjanje | ZERO | 5 500 | | | |
| BAE300 | DEFAULT | 3 | 8 | Penjanje | Maksimum za penjanje | ZERO | 7 500 | | | |
| BAE300 | DEFAULT | 3 | 9 | Penjanje | Maksimum za penjanje | ZERO | 10 000 | | | |
| BEC58P | DEFAULT | 1 | 1 | Uzlijetanje | Maksimum za uzlijetanje | TO | | | | |
| BEC58P | DEFAULT | 1 | 2 | Ubrzanje | Maksimum za uzlijetanje | TO | | 1 040 | 115 | |
| BEC58P | DEFAULT | 1 | 3 | Penjanje | Maksimum za uzlijetanje | TO | 1 000 | | | |
| BEC58P | DEFAULT | 1 | 4 | Ubrzanje | Maksimum za uzlijetanje | TO | | 1 040 | 130 | |
| BEC58P | DEFAULT | 1 | 5 | Penjanje | Maksimum za penjanje | ZERO | 3 000 | | | |
| BEC58P | DEFAULT | 1 | 6 | Penjanje | Maksimum za penjanje | ZERO | 5 500 | | | |
| BEC58P | DEFAULT | 1 | 7 | Penjanje | Maksimum za penjanje | ZERO | 7 500 | | | |
| BEC58P | DEFAULT | 1 | 8 | Penjanje | Maksimum za penjanje | ZERO | 10 000 | | | |

▼**M2**

| ACFTID | Oznaka profila (Profile_ID) | Duljina faze | Broj koraka | Tip koraka | Režim rada motora | Zakrilca (Flap_ID) | Visina krajnje točke (ft) | Stopa penjanja (ft/min) | Kalibrirana brzina leta u krajnjoj točki (kt) | Postotak ubrzanja (Accelerate_Percent) (%) |
|---|---|---|---|---|---|---|---|---|---|---|
| CIT3 | DEFAULT | 1 | 1 | Uzlijetanje | Maksimum za uzlijetanje | 20 | | | | |
| CIT3 | DEFAULT | 1 | 2 | Ubrzanje | Maksimum za uzlijetanje | 20 | | 1 146 | 149 | |
| CIT3 | DEFAULT | 1 | 3 | Penjanje | Maksimum za uzlijetanje | 20 | 1 500 | | | |
| CIT3 | DEFAULT | 1 | 4 | Ubrzanje | Maksimum za uzlijetanje | 10 | | 1 146 | 174 | |
| CIT3 | DEFAULT | 1 | 5 | Penjanje | Maksimum za penjanje | ZERO | 3 000 | | | |
| CIT3 | DEFAULT | 1 | 6 | Ubrzanje | Maksimum za penjanje | ZERO | | 1 503 | 250 | |
| CIT3 | DEFAULT | 1 | 7 | Penjanje | Maksimum za penjanje | ZERO | 5 500 | | | |
| CIT3 | DEFAULT | 1 | 8 | Penjanje | Maksimum za penjanje | ZERO | 7 500 | | | |
| CIT3 | DEFAULT | 1 | 9 | Penjanje | Maksimum za penjanje | ZERO | 10 000 | | | |
| CL600 | DEFAULT | 1 | 1 | Uzlijetanje | Maksimum za uzlijetanje | 20 | | | | |
| CL600 | DEFAULT | 1 | 2 | Ubrzanje | Maksimum za uzlijetanje | 20 | | 1 554 | 163 | |
| CL600 | DEFAULT | 1 | 3 | Penjanje | Maksimum za uzlijetanje | 20 | 1 500 | | | |
| CL600 | DEFAULT | 1 | 4 | Ubrzanje | Maksimum za uzlijetanje | 10 | | 1 554 | 200 | |
| CL600 | DEFAULT | 1 | 5 | Penjanje | Maksimum za penjanje | ZERO | 3 000 | | | |

▼M2

| ACFTID | Oznaka profila (Profile_ID) | Duljina faze | Broj koraka | Tip koraka | Režim rada motora | Zakrilca (Flap_ID) | Visina krajnje točke (ft) | Stopa penjanja (ft/min) | Kalibrirana brzina leta u krajnjoj točki (kt) | Postotak ubrzanja (Accelerate_Percent) (%) |
|---|---|---|---|---|---|---|---|---|---|---|
| CL600 | DEFAULT | 1 | 6 | Ubrzanje | Maksimum za penjanje | ZERO | | 1 771 | 250 | |
| CL600 | DEFAULT | 1 | 7 | Penjanje | Maksimum za penjanje | ZERO | 5 500 | | | |
| CL600 | DEFAULT | 1 | 8 | Penjanje | Maksimum za penjanje | ZERO | 7 500 | | | |
| CL600 | DEFAULT | 1 | 9 | Penjanje | Maksimum za penjanje | ZERO | 10 000 | | | |
| CL601 | DEFAULT | 1 | 1 | Uzlijetanje | Maksimum za uzlijetanje | 20 | | | | |
| CL601 | DEFAULT | 1 | 2 | Ubrzanje | Maksimum za uzlijetanje | 20 | | 1 673 | 177 | |
| CL601 | DEFAULT | 1 | 3 | Penjanje | Maksimum za uzlijetanje | 20 | 1 500 | | | |
| CL601 | DEFAULT | 1 | 4 | Ubrzanje | Maksimum za uzlijetanje | 10 | | 1 673 | 200 | |
| CL601 | DEFAULT | 1 | 5 | Penjanje | Maksimum za penjanje | ZERO | 3 000 | | | |
| CL601 | DEFAULT | 1 | 6 | Ubrzanje | Maksimum za penjanje | ZERO | | 1 724 | 250 | |
| CL601 | DEFAULT | 1 | 7 | Penjanje | Maksimum za penjanje | ZERO | 5 500 | | | |
| CL601 | DEFAULT | 1 | 8 | Penjanje | Maksimum za penjanje | ZERO | 7 500 | | | |
| CL601 | DEFAULT | 1 | 9 | Penjanje | Maksimum za penjanje | ZERO | 10 000 | | | |

▼**M2**

| ACFTID | Oznaka profila (Profile_ID) | Duljina faze | Broj koraka | Tip koraka | Režim rada motora | Zakrilca (Flap_ID) | Visina krajnje točke (ft) | Stopa penjanja (ft/min) | Kalibrirana brzina leta u krajnjoj točki (kt) | Postotak ubrzanja (Accelerate_Percent) (%) |
|---|---|---|---|---|---|---|---|---|---|---|
| CNA172 | DEFAULT | 1 | 1 | Uzlijetanje | Maksimum za uzlijetanje | ZERO-C | | | | |
| CNA172 | DEFAULT | 1 | 2 | Ubrzanje | Maksimum za uzlijetanje | ZERO-C | | 500 | 75 | |
| CNA172 | DEFAULT | 1 | 3 | Penjanje | Maksimum za uzlijetanje | ZERO-C | 1 000 | | | |
| CNA172 | DEFAULT | 1 | 4 | Ubrzanje | Maksimum za uzlijetanje | ZERO-C | | 500 | 80 | |
| CNA172 | DEFAULT | 1 | 5 | Penjanje | Maksimum za penjanje | ZERO-C | 3 000 | | | |
| CNA172 | DEFAULT | 1 | 6 | Penjanje | Maksimum za penjanje | ZERO-C | 5 000 | | | |
| CNA172 | DEFAULT | 1 | 7 | Penjanje | Maksimum za penjanje | ZERO-C | 8 000 | | | |
| CNA182 | DEFAULT | 1 | 1 | Uzlijetanje | Maksimum za uzlijetanje | F-20D | | | | |
| CNA182 | DEFAULT | 1 | 2 | Ubrzanje | Maksimum za uzlijetanje | F-20D | | 500 | 80 | |
| CNA182 | DEFAULT | 1 | 3 | Penjanje | Maksimum za uzlijetanje | ZERO | 1 000 | | | |
| CNA182 | DEFAULT | 1 | 4 | Ubrzanje | Maksimum za uzlijetanje | ZERO | | 500 | 85 | |
| CNA182 | DEFAULT | 1 | 5 | Penjanje | Maksimum za penjanje | ZERO | 3 000 | | | |
| CNA182 | DEFAULT | 1 | 6 | Penjanje | Maksimum za penjanje | ZERO | 5 000 | | | |
| CNA182 | DEFAULT | 1 | 7 | Penjanje | Maksimum za penjanje | ZERO | 8 000 | | | |

▼**M2**

| ACFTID | Oznaka profila (Profile_ID) | Duljina faze | Broj koraka | Tip koraka | Režim rada motora | Zakrilca (Flap_ID) | Visina krajnje točke (ft) | Stopa penjanja (ft/min) | Kalibrirana brzina leta u krajnjoj točki (kt) | Postotak ubrzanja (Accelerate_Percent) (%) |
|---|---|---|---|---|---|---|---|---|---|---|
| CNA182 | DEFAULT | 1 | 8 | Penjanje | Maksimum za penjanje | ZERO | 10 000 | | | |
| CNA208 | DEFAULT | 1 | 1 | Uzlijetanje | Maksimum za uzlijetanje | F-20D | | | | |
| CNA208 | DEFAULT | 1 | 2 | Ubrzanje | Maksimum za uzlijetanje | F-20D | | 915 | 104 | |
| CNA208 | DEFAULT | 1 | 3 | Penjanje | Maksimum za uzlijetanje | ZERO | 1 000 | | | |
| CNA208 | DEFAULT | 1 | 4 | Ubrzanje | Maksimum za penjanje | ZERO | | 846 | 115 | |
| CNA208 | DEFAULT | 1 | 5 | Penjanje | Maksimum za penjanje | ZERO | 2 000 | | | |
| CNA208 | DEFAULT | 1 | 6 | Penjanje | Maksimum za penjanje | ZERO | 4 000 | | | |
| CNA208 | DEFAULT | 1 | 7 | Penjanje | Maksimum za penjanje | ZERO | 6 000 | | | |
| CNA208 | DEFAULT | 1 | 8 | Penjanje | Maksimum za penjanje | ZERO | 8 000 | | | |
| CNA208 | DEFAULT | 1 | 9 | Penjanje | Maksimum za penjanje | ZERO | 10 000 | | | |
| CNA441 | DEFAULT | 1 | 1 | Uzlijetanje | Maksimum za uzlijetanje | TO | | | | |
| CNA441 | DEFAULT | 1 | 2 | Ubrzanje | Maksimum za uzlijetanje | TO | | 1 216 | 120 | |
| CNA441 | DEFAULT | 1 | 3 | Ubrzanje | Maksimum za uzlijetanje | ZERO | | 1 216 | 140 | |
| CNA441 | DEFAULT | 1 | 4 | Penjanje | Maksimum za uzlijetanje | ZERO | 3 000 | | | |

▼M2

| ACFTID | Oznaka profila (Profile_ID) | Duljina faze | Broj koraka | Tip koraka | Režim rada motora | Zakrilca (Flap_ID) | Visina krajnje točke (ft) | Stopa penjanja (ft/min) | Kalibrirana brzina leta u krajnjoj točki (kt) | Postotak ubrzanja (Accelerate_Percent) (%) |
|---|---|---|---|---|---|---|---|---|---|---|
| CNA441 | DEFAULT | 1 | 5 | Penjanje | Maksimum za penjanje | ZERO | 5 500 | | | |
| CNA441 | DEFAULT | 1 | 6 | Penjanje | Maksimum za penjanje | ZERO | 7 500 | | | |
| CNA441 | DEFAULT | 1 | 7 | Penjanje | Maksimum za penjanje | ZERO | 10 000 | | | |
| CNA500 | DEFAULT | 1 | 1 | Uzlijetanje | Maksimum za uzlijetanje | 12 | | | | |
| CNA500 | DEFAULT | 1 | 2 | Ubrzanje | Maksimum za uzlijetanje | 12 | | 997 | 131 | |
| CNA500 | DEFAULT | 1 | 3 | Penjanje | Maksimum za uzlijetanje | 12 | 1 500 | | | |
| CNA500 | DEFAULT | 1 | 4 | Ubrzanje | Maksimum za uzlijetanje | 1 | | 997 | 200 | |
| CNA500 | DEFAULT | 1 | 5 | Penjanje | Maksimum za penjanje | ZERO | 3 000 | | | |
| CNA500 | DEFAULT | 1 | 6 | Ubrzanje | Maksimum za penjanje | ZERO | | 1 459 | 250 | |
| CNA500 | DEFAULT | 1 | 7 | Penjanje | Maksimum za penjanje | ZERO | 5 500 | | | |
| CNA500 | DEFAULT | 1 | 8 | Penjanje | Maksimum za penjanje | ZERO | 7 500 | | | |
| CNA500 | DEFAULT | 1 | 9 | Penjanje | Maksimum za penjanje | ZERO | 10 000 | | | |
| CNA510 | DEFAULT | 1 | 1 | Uzlijetanje | Maksimum za uzlijetanje | D_15 | | | | |
| CNA510 | DEFAULT | 1 | 2 | Penjanje | Maksimum za uzlijetanje | D_15 | 535 | | | |

▼**M2**

| ACFTID | Oznaka profila (Profile_ID) | Duljina faze | Broj koraka | Tip koraka | Režim rada motora | Zakrilca (Flap_ID) | Visina krajnje točke (ft) | Stopa penjanja (ft/min) | Kalibrirana brzina leta u krajnjoj točki (kt) | Postotak ubrzanja (Accelerate_Percent) (%) |
|---|---|---|---|---|---|---|---|---|---|---|
| CNA510 | DEFAULT | 1 | 3 | Ubrzanje | Maksimum za uzlijetanje | D_15 | | 1 500 | 138,3 | |
| CNA510 | DEFAULT | 1 | 4 | Penjanje | Maksimum za uzlijetanje | D_15 | 1 500 | | | |
| CNA510 | DEFAULT | 1 | 5 | Ubrzanje | Maksimum za penjanje | ZERO_C | | 1 500 | 171 | |
| CNA510 | DEFAULT | 1 | 6 | Penjanje | Maksimum za penjanje | ZERO_C | 3 000 | | | |
| CNA510 | DEFAULT | 1 | 7 | Ubrzanje | Maksimum za penjanje | ZERO_C | | 1 000 | 250 | |
| CNA510 | DEFAULT | 1 | 8 | Penjanje | Maksimum za penjanje | ZERO_C | 5 500 | | | |
| CNA510 | DEFAULT | 1 | 9 | Penjanje | Maksimum za penjanje | ZERO_C | 7 500 | | | |
| CNA510 | DEFAULT | 1 | 10 | Penjanje | Maksimum za penjanje | ZERO_C | 10 000 | | | |
| CNA510 | FLAPS_0 | 1 | 1 | Uzlijetanje | Maksimum za uzlijetanje | ZERO_D | | | | |
| CNA510 | FLAPS_0 | 1 | 2 | Penjanje | Maksimum za uzlijetanje | ZERO_D | 601 | | | |
| CNA510 | FLAPS_0 | 1 | 3 | Ubrzanje | Maksimum za uzlijetanje | ZERO_D | | 1 500 | 138,3 | |
| CNA510 | FLAPS_0 | 1 | 4 | Penjanje | Maksimum za uzlijetanje | ZERO_D | 1 500 | | | |
| CNA510 | FLAPS_0 | 1 | 5 | Ubrzanje | Maksimum za penjanje | ZERO_C | | 1 500 | 171 | |
| CNA510 | FLAPS_0 | 1 | 6 | Penjanje | Maksimum za penjanje | ZERO_C | 3 000 | | | |

▼**M2**

| ACFTID | Oznaka profila (Profile_ID) | Duljina faze | Broj koraka | Tip koraka | Režim rada motora | Zakrilca (Flap_ID) | Visina krajnje točke (ft) | Stopa penjanja (ft/min) | Kalibrirana brzina leta u krajnjoj točki (kt) | Postotak ubrzanja (Accelerate_Percent) (%) |
|---|---|---|---|---|---|---|---|---|---|---|
| CNA510 | FLAPS_0 | 1 | 7 | Ubrzanje | Maksimum za penjanje | ZERO_C | | 1 000 | 250 | |
| CNA510 | FLAPS_0 | 1 | 8 | Penjanje | Maksimum za penjanje | ZERO_C | 5 500 | | | |
| CNA510 | FLAPS_0 | 1 | 9 | Penjanje | Maksimum za penjanje | ZERO_C | 7 500 | | | |
| CNA510 | FLAPS_0 | 1 | 10 | Penjanje | Maksimum za penjanje | ZERO_C | 10 000 | | | |
| CNA510 | FLAPS_15 | 1 | 1 | Uzlijetanje | Maksimum za uzlijetanje | D_15 | | | | |
| CNA510 | FLAPS_15 | 1 | 2 | Penjanje | Maksimum za uzlijetanje | D_15 | 535 | | | |
| CNA510 | FLAPS_15 | 1 | 3 | Ubrzanje | Maksimum za uzlijetanje | D_15 | | 1 500 | 138,3 | |
| CNA510 | FLAPS_15 | 1 | 4 | Penjanje | Maksimum za uzlijetanje | D_15 | 1 500 | | | |
| CNA510 | FLAPS_15 | 1 | 5 | Ubrzanje | Maksimum za penjanje | ZERO_C | | 1 500 | 171 | |
| CNA510 | FLAPS_15 | 1 | 6 | Penjanje | Maksimum za penjanje | ZERO_C | 3 000 | | | |
| CNA510 | FLAPS_15 | 1 | 7 | Ubrzanje | Maksimum za penjanje | ZERO_C | | 1 000 | 250 | |
| CNA510 | FLAPS_15 | 1 | 8 | Penjanje | Maksimum za penjanje | ZERO_C | 5 500 | | | |
| CNA510 | FLAPS_15 | 1 | 9 | Penjanje | Maksimum za penjanje | ZERO_C | 7 500 | | | |
| CNA510 | FLAPS_15 | 1 | 10 | Penjanje | Maksimum za penjanje | ZERO_C | 10 000 | | | |

▼**M2**

| ACFTID | Oznaka profila (Profile_ID) | Duljina faze | Broj koraka | Tip koraka | Režim rada motora | Zakrilca (Flap_ID) | Visina krajnje točke (ft) | Stopa penjanja (ft/min) | Kalibrirana brzina leta u krajnjoj točki (kt) | Postotak ubrzanja (Accelerate_Percent) (%) |
|---|---|---|---|---|---|---|---|---|---|---|
| CNA525C | DEFAULT | 1 | 1 | Uzlijetanje | Maksimum za uzlijetanje | D-15 | | | | |
| CNA525C | DEFAULT | 1 | 2 | Penjanje | Maksimum za uzlijetanje | D-15 | 482,5 | | | |
| CNA525C | DEFAULT | 1 | 3 | Ubrzanje | Maksimum za uzlijetanje | D-15 | | 1 500 | 140,3 | |
| CNA525C | DEFAULT | 1 | 4 | Penjanje | Maksimum za uzlijetanje | D-15 | 1 500 | | | |
| CNA525C | DEFAULT | 1 | 5 | Ubrzanje | Maksimum za penjanje | ZERO_C | | 1 500 | 171 | |
| CNA525C | DEFAULT | 1 | 6 | Penjanje | Maksimum za penjanje | ZERO_C | 3 000 | | | |
| CNA525C | DEFAULT | 1 | 7 | Ubrzanje | Maksimum za penjanje | ZERO_C | | 1 000 | 250 | |
| CNA525C | DEFAULT | 1 | 8 | Penjanje | Maksimum za penjanje | ZERO_C | 5 500 | | | |
| CNA525C | DEFAULT | 1 | 9 | Penjanje | Maksimum za penjanje | ZERO_C | 7 500 | | | |
| CNA525C | DEFAULT | 1 | 10 | Penjanje | Maksimum za penjanje | ZERO_C | 10 000 | | | |
| CNA55B | DEFAULT | 1 | 1 | Uzlijetanje | Maksimum za uzlijetanje | D_15 | | | | |
| CNA55B | DEFAULT | 1 | 2 | Penjanje | Maksimum za uzlijetanje | D_15 | 379 | | | |
| CNA55B | DEFAULT | 1 | 3 | Ubrzanje | Maksimum za uzlijetanje | D_15 | | 1 500 | 146,5 | |
| CNA55B | DEFAULT | 1 | 4 | Penjanje | Maksimum za uzlijetanje | D_15 | 1 500 | | | |
| CNA55B | DEFAULT | 1 | 5 | Ubrzanje | Maksimum za penjanje | ZERO_C | | 1 500 | 171,5 | |

▼**M2**

| ACFTID | Oznaka profila (Profile_ID) | Duljina faze | Broj koraka | Tip koraka | Režim rada motora | Zakrilca (Flap_ID) | Visina krajnje točke (ft) | Stopa penjanja (ft/min) | Kalibrirana brzina leta u krajnjoj točki (kt) | Postotak ubrzanja (Accelerate_Percent) (%) |
|---|---|---|---|---|---|---|---|---|---|---|
| CNA55B | DEFAULT | 1 | 6 | Penjanje | Maksimum za penjanje | ZERO_C | 3 000 | | | |
| CNA55B | DEFAULT | 1 | 7 | Ubrzanje | Maksimum za penjanje | ZERO_C | | 1 000 | 250 | |
| CNA55B | DEFAULT | 1 | 8 | Penjanje | Maksimum za penjanje | ZERO_C | 5 500 | | | |
| CNA55B | DEFAULT | 1 | 9 | Penjanje | Maksimum za penjanje | ZERO_C | 7 500 | | | |
| CNA55B | DEFAULT | 1 | 10 | Penjanje | Maksimum za penjanje | ZERO_C | 10 000 | | | |
| CNA55B | FLAPS_0 | 1 | 1 | Uzlijetanje | Maksimum za uzlijetanje | ZERO_D | | | | |
| CNA55B | FLAPS_0 | 1 | 2 | Penjanje | Maksimum za uzlijetanje | ZERO_D | 420 | | | |
| CNA55B | FLAPS_0 | 1 | 3 | Ubrzanje | Maksimum za uzlijetanje | ZERO_D | | 1 500 | 156 | |
| CNA55B | FLAPS_0 | 1 | 4 | Penjanje | Maksimum za uzlijetanje | ZERO_D | 1 500 | | | |
| CNA55B | FLAPS_0 | 1 | 5 | Ubrzanje | Maksimum za penjanje | ZERO_C | | 1 500 | 181,1 | |
| CNA55B | FLAPS_0 | 1 | 6 | Penjanje | Maksimum za penjanje | ZERO_C | 3 000 | | | |
| CNA55B | FLAPS_0 | 1 | 7 | Ubrzanje | Maksimum za penjanje | ZERO_C | | 1 000 | 250 | |
| CNA55B | FLAPS_0 | 1 | 8 | Penjanje | Maksimum za penjanje | ZERO_C | 5 500 | | | |
| CNA55B | FLAPS_0 | 1 | 9 | Penjanje | Maksimum za penjanje | ZERO_C | 7 500 | | | |

▼**M2**

| ACFTID | Oznaka profila (Profile_ID) | Duljina faze | Broj koraka | Tip koraka | Režim rada motora | Zakrilca (Flap_ID) | Visina krajnje točke (ft) | Stopa penjanja (ft/min) | Kalibrirana brzina leta u krajnjoj točki (kt) | Postotak ubrzanja (Accelerate_Percent) (%) |
|---|---|---|---|---|---|---|---|---|---|---|
| CNA55B | FLAPS_0 | 1 | 10 | Penjanje | Maksimum za penjanje | ZERO_C | 10 000 | | | |
| CNA55B | FLAPS_15 | 1 | 1 | Uzlijetanje | Maksimum za uzlijetanje | D_15 | | | | |
| CNA55B | FLAPS_15 | 1 | 2 | Penjanje | Maksimum za uzlijetanje | D_15 | 379 | | | |
| CNA55B | FLAPS_15 | 1 | 3 | Ubrzanje | Maksimum za uzlijetanje | D_15 | | 1 500 | 146,5 | |
| CNA55B | FLAPS_15 | 1 | 4 | Penjanje | Maksimum za uzlijetanje | D_15 | 1 500 | | | |
| CNA55B | FLAPS_15 | 1 | 5 | Ubrzanje | Maksimum za penjanje | ZERO_C | | 1 500 | 171,5 | |
| CNA55B | FLAPS_15 | 1 | 6 | Penjanje | Maksimum za penjanje | ZERO_C | 3 000 | | | |
| CNA55B | FLAPS_15 | 1 | 7 | Ubrzanje | Maksimum za penjanje | ZERO_C | | 1 000 | 250 | |
| CNA55B | FLAPS_15 | 1 | 8 | Penjanje | Maksimum za penjanje | ZERO_C | 5 500 | | | |
| CNA55B | FLAPS_15 | 1 | 9 | Penjanje | Maksimum za penjanje | ZERO_C | 7 500 | | | |
| CNA55B | FLAPS_15 | 1 | 10 | Penjanje | Maksimum za penjanje | ZERO_C | 10 000 | | | |
| CNA560E | DEFAULT | 1 | 1 | Uzlijetanje | Maksimum za uzlijetanje | 15 | | | | |
| CNA560E | DEFAULT | 1 | 2 | Penjanje | Maksimum za uzlijetanje | 15 | 277 | | | |
| CNA560E | DEFAULT | 1 | 3 | Ubrzanje | Maksimum za uzlijetanje | 15 | | 1 500 | 161,7 | |

▼M2

| ACFTID | Oznaka profila (Profile_ID) | Duljina faze | Broj koraka | Tip koraka | Režim rada motora | Zakrilca (Flap_ID) | Visina krajnje točke (ft) | Stopa penjanja (ft/min) | Kalibrirana brzina leta u krajnjoj točki (kt) | Postotak ubrzanja (Accelerate_Percent) (%) |
|---|---|---|---|---|---|---|---|---|---|---|
| CNA560E | DEFAULT | 1 | 4 | Penjanje | Maksimum za uzlijetanje | 15 | 1 500 | | | |
| CNA560E | DEFAULT | 1 | 5 | Ubrzanje | Maksimum za penjanje | 15 | | 1 500 | 186,7 | |
| CNA560E | DEFAULT | 1 | 6 | Penjanje | Maksimum za penjanje | ZERO | 3 000 | | | |
| CNA560E | DEFAULT | 1 | 7 | Ubrzanje | Maksimum za penjanje | ZERO | | 1 000 | 250 | |
| CNA560E | DEFAULT | 1 | 8 | Penjanje | Maksimum za penjanje | ZERO | 5 500 | | | |
| CNA560E | DEFAULT | 1 | 9 | Penjanje | Maksimum za penjanje | ZERO | 7 500 | | | |
| CNA560E | DEFAULT | 1 | 10 | Penjanje | Maksimum za penjanje | ZERO | 10 000 | | | |
| CNA560U | DEFAULT | 1 | 1 | Uzlijetanje | Maksimum za uzlijetanje | 15 | | | | |
| CNA560U | DEFAULT | 1 | 2 | Ubrzanje | Maksimum za uzlijetanje | 15 | | 1 200 | 148 | |
| CNA560U | DEFAULT | 1 | 3 | Penjanje | Maksimum za uzlijetanje | 15 | 1 500 | | | |
| CNA560U | DEFAULT | 1 | 4 | Ubrzanje | Maksimum za uzlijetanje | ZERO | | 1 500 | 175 | |
| CNA560U | DEFAULT | 1 | 5 | Penjanje | Maksimum za penjanje | ZERO | 3 000 | | | |
| CNA560U | DEFAULT | 1 | 6 | Ubrzanje | Maksimum za penjanje | ZERO | | 1 500 | 250 | |
| CNA560U | DEFAULT | 1 | 7 | Penjanje | Maksimum za penjanje | ZERO | 5 500 | | | |
| CNA560U | DEFAULT | 1 | 8 | Penjanje | Maksimum za penjanje | ZERO | 7 500 | | | |

▼**M2**

| ACFTID | Oznaka profila (Profile_ID) | Duljina faze | Broj koraka | Tip koraka | Režim rada motora | Zakrilca (Flap_ID) | Visina krajnje točke (ft) | Stopa penjanja (ft/min) | Kalibrirana brzina leta u krajnjoj točki (kt) | Postotak ubrzanja (Accelerate_Percent) (%) |
|---|---|---|---|---|---|---|---|---|---|---|
| CNA560U | DEFAULT | 1 | 9 | Penjanje | Maksimum za penjanje | ZERO | 10 000 | | | |
| CNA560XL | DEFAULT | 1 | 1 | Uzlijetanje | Maksimum za uzlijetanje | 15 | | | | |
| CNA560XL | DEFAULT | 1 | 2 | Ubrzanje | Maksimum za uzlijetanje | 15 | | 1 500 | 158 | |
| CNA560XL | DEFAULT | 1 | 3 | Penjanje | Maksimum za uzlijetanje | 15 | 1 500 | | | |
| CNA560XL | DEFAULT | 1 | 4 | Ubrzanje | Maksimum za penjanje | ZERO | | 1 500 | 185 | |
| CNA560XL | DEFAULT | 1 | 5 | Penjanje | Maksimum za penjanje | ZERO | 3 000 | | | |
| CNA560XL | DEFAULT | 1 | 6 | Ubrzanje | Maksimum za penjanje | ZERO | | 1 500 | 250 | |
| CNA560XL | DEFAULT | 1 | 7 | Penjanje | Maksimum za penjanje | ZERO | 10 000 | | | |
| CNA680 | DEFAULT | 1 | 1 | Uzlijetanje | Maksimum za uzlijetanje | 15 | | | | |
| CNA680 | DEFAULT | 1 | 2 | Penjanje | Maksimum za uzlijetanje | 15 | 386 | | | |
| CNA680 | DEFAULT | 1 | 3 | Ubrzanje | Maksimum za uzlijetanje | 15 | | 1 000 | 140,6 | |
| CNA680 | DEFAULT | 1 | 4 | Penjanje | Maksimum za uzlijetanje | 15 | 1 500 | | | |
| CNA680 | DEFAULT | 1 | 5 | Ubrzanje | Maksimum za penjanje | 15 | | 1 500 | 175 | |
| CNA680 | DEFAULT | 1 | 6 | Penjanje | Maksimum za penjanje | ZERO | 3 000 | | | |
| CNA680 | DEFAULT | 1 | 7 | Ubrzanje | Maksimum za penjanje | ZERO | | 1 500 | 250 | |

▼M2

| ACFTID | Oznaka profila (Profile_ID) | Duljina faze | Broj koraka | Tip koraka | Režim rada motora | Zakrilca (Flap_ID) | Visina krajnje točke (ft) | Stopa penjanja (ft/min) | Kalibrirana brzina leta u krajnjoj točki (kt) | Postotak ubrzanja (Accelerate_Percent) (%) |
|---|---|---|---|---|---|---|---|---|---|---|
| CNA680 | DEFAULT | 1 | 8 | Penjanje | Maksimum za penjanje | ZERO | 5 500 | | | |
| CNA680 | DEFAULT | 1 | 9 | Penjanje | Maksimum za penjanje | ZERO | 7 500 | | | |
| CNA680 | DEFAULT | 1 | 10 | Penjanje | Maksimum za penjanje | ZERO | 10 000 | | | |
| CNA750 | DEFAULT | 1 | 1 | Uzlijetanje | Maksimum za uzlijetanje | 15 | | | | |
| CNA750 | DEFAULT | 1 | 2 | Penjanje | Maksimum za uzlijetanje | 15 | 277 | | | |
| CNA750 | DEFAULT | 1 | 3 | Ubrzanje | Maksimum za uzlijetanje | 15 | | 1 500 | 161,7 | |
| CNA750 | DEFAULT | 1 | 4 | Penjanje | Maksimum za uzlijetanje | 15 | 1 500 | | | |
| CNA750 | DEFAULT | 1 | 5 | Ubrzanje | Maksimum za penjanje | 15 | | 1 500 | 186,7 | |
| CNA750 | DEFAULT | 1 | 6 | Penjanje | Maksimum za penjanje | ZERO | 3 000 | | | |
| CNA750 | DEFAULT | 1 | 7 | Ubrzanje | Maksimum za penjanje | ZERO | | 1 000 | 250 | |
| CNA750 | DEFAULT | 1 | 8 | Penjanje | Maksimum za penjanje | ZERO | 5 500 | | | |
| CNA750 | DEFAULT | 1 | 9 | Penjanje | Maksimum za penjanje | ZERO | 7 500 | | | |
| CNA750 | DEFAULT | 1 | 10 | Penjanje | Maksimum za penjanje | ZERO | 10 000 | | | |
| CNA750 | FLAP_15 | 1 | 1 | Uzlijetanje | Maksimum za uzlijetanje | 15 | | | | |
| CNA750 | FLAP_15 | 1 | 2 | Penjanje | Maksimum za uzlijetanje | 15 | 277 | | | |

▼**M2**

| ACFTID | Oznaka profila (Profile_ID) | Duljina faze | Broj koraka | Tip koraka | Režim rada motora | Zakrilca (Flap_ID) | Visina krajnje točke (ft) | Stopa penjanja (ft/min) | Kalibrirana brzina leta u krajnjoj točki (kt) | Postotak ubrzanja (Accelerate_Percent) (%) |
|---|---|---|---|---|---|---|---|---|---|---|
| CNA750 | FLAP_15 | 1 | 3 | Ubrzanje | Maksimum za uzlijetanje | 15 | | 1 500 | 161,7 | |
| CNA750 | FLAP_15 | 1 | 4 | Penjanje | Maksimum za uzlijetanje | 15 | 1 500 | | | |
| CNA750 | FLAP_15 | 1 | 5 | Ubrzanje | Maksimum za penjanje | 15 | | 1 500 | 186,7 | |
| CNA750 | FLAP_15 | 1 | 6 | Penjanje | Maksimum za penjanje | ZERO | 3 000 | | | |
| CNA750 | FLAP_15 | 1 | 7 | Ubrzanje | Maksimum za penjanje | ZERO | | 1 000 | 250 | |
| CNA750 | FLAP_15 | 1 | 8 | Penjanje | Maksimum za penjanje | ZERO | 5 500 | | | |
| CNA750 | FLAP_15 | 1 | 9 | Penjanje | Maksimum za penjanje | ZERO | 7 500 | | | |
| CNA750 | FLAP_15 | 1 | 10 | Penjanje | Maksimum za penjanje | ZERO | 10 000 | | | |
| CNA750 | FLAP_5 | 1 | 1 | Uzlijetanje | Maksimum za uzlijetanje | 5 | | | | |
| CNA750 | FLAP_5 | 1 | 2 | Penjanje | Maksimum za uzlijetanje | 5 | 285 | | | |
| CNA750 | FLAP_5 | 1 | 3 | Ubrzanje | Maksimum za uzlijetanje | 5 | | 1 500 | 168,9 | |
| CNA750 | FLAP_5 | 1 | 4 | Penjanje | Maksimum za uzlijetanje | 5 | 1 500 | | | |
| CNA750 | FLAP_5 | 1 | 5 | Ubrzanje | Maksimum za penjanje | 5 | | 1 500 | 193,9 | |
| CNA750 | FLAP_5 | 1 | 6 | Penjanje | Maksimum za penjanje | ZERO | 3 000 | | | |
| CNA750 | FLAP_5 | 1 | 7 | Ubrzanje | Maksimum za penjanje | ZERO | | 1 000 | 250 | |

▼**M2**

| ACFTID | Oznaka profila (Profile_ID) | Duljina faze | Broj koraka | Tip koraka | Režim rada motora | Zakrilca (Flap_ID) | Visina krajnje točke (ft) | Stopa penjanja (ft/min) | Kalibrirana brzina leta u krajnjoj točki (kt) | Postotak ubrzanja (Accelerate_Percent) (%) |
|---|---|---|---|---|---|---|---|---|---|---|
| CNA750 | FLAP_5 | 1 | 8 | Penjanje | Maksimum za penjanje | ZERO | 5 500 | | | |
| CNA750 | FLAP_5 | 1 | 9 | Penjanje | Maksimum za penjanje | ZERO | 7 500 | | | |
| CNA750 | FLAP_5 | 1 | 10 | Penjanje | Maksimum za penjanje | ZERO | 10 000 | | | |
| CRJ9-ER | DEFAULT | 1 | 1 | Uzlijetanje | Maksimum za uzlijetanje | D-8 | | | | |
| CRJ9-ER | DEFAULT | 1 | 2 | Penjanje | Maksimum za uzlijetanje | D-8 | 595 | | | |
| CRJ9-ER | DEFAULT | 1 | 3 | Penjanje | Maksimum za uzlijetanje | U-8 | 1 000 | | | |
| CRJ9-ER | DEFAULT | 1 | 4 | Ubrzanje | Maksimum za penjanje | 0-204 | | 500 | 204 | |
| CRJ9-ER | DEFAULT | 1 | 5 | Penjanje | Maksimum za penjanje | ZERO | 3 000 | | | |
| CRJ9-ER | DEFAULT | 1 | 6 | Ubrzanje | Maksimum za penjanje | 0-250 | | 500 | 250 | |
| CRJ9-ER | DEFAULT | 1 | 7 | Penjanje | Maksimum za penjanje | ZERO | 10 000 | | | |
| CRJ9-ER | DEFAULT | 2 | 1 | Uzlijetanje | Maksimum za uzlijetanje | D-8 | | | | |
| CRJ9-ER | DEFAULT | 2 | 2 | Penjanje | Maksimum za uzlijetanje | D-8 | 555 | | | |
| CRJ9-ER | DEFAULT | 2 | 3 | Penjanje | Maksimum za uzlijetanje | U-8 | 1 000 | | | |
| CRJ9-ER | DEFAULT | 2 | 4 | Ubrzanje | Maksimum za penjanje | 0-204 | | 500 | 204 | |
| CRJ9-ER | DEFAULT | 2 | 5 | Penjanje | Maksimum za penjanje | ZERO | 3 000 | | | |

▼**M2**

| ACFTID | Oznaka profila (Profile_ID) | Duljina faze | Broj koraka | Tip koraka | Režim rada motora | Zakrilca (Flap_ID) | Visina krajnje točke (ft) | Stopa penjanja (ft/min) | Kalibrirana brzina leta u krajnjoj točki (kt) | Postotak ubrzanja (Accelerate_Percent) (%) |
|---|---|---|---|---|---|---|---|---|---|---|
| CRJ9-ER | DEFAULT | 2 | 6 | Ubrzanje | Maksimum za penjanje | 0-250 | | 500 | 250 | |
| CRJ9-ER | DEFAULT | 2 | 7 | Penjanje | Maksimum za penjanje | ZERO | 10 000 | | | |
| CRJ9-ER | DEFAULT | 3 | 1 | Uzlijetanje | Maksimum za uzlijetanje | D-8 | | | | |
| CRJ9-ER | DEFAULT | 3 | 2 | Penjanje | Maksimum za uzlijetanje | D-8 | 525 | | | |
| CRJ9-ER | DEFAULT | 3 | 3 | Penjanje | Maksimum za uzlijetanje | U-8 | 1 000 | | | |
| CRJ9-ER | DEFAULT | 3 | 4 | Ubrzanje | Maksimum za penjanje | 0-204 | | 500 | 204 | |
| CRJ9-ER | DEFAULT | 3 | 5 | Penjanje | Maksimum za penjanje | ZERO | 3 000 | | | |
| CRJ9-ER | DEFAULT | 3 | 6 | Ubrzanje | Maksimum za penjanje | 0-250 | | 500 | 250 | |
| CRJ9-ER | DEFAULT | 3 | 7 | Penjanje | Maksimum za penjanje | ZERO | 10 000 | | | |
| CRJ9-ER | DEFAULT | 4 | 1 | Uzlijetanje | Maksimum za uzlijetanje | D-8 | | | | |
| CRJ9-ER | DEFAULT | 4 | 2 | Penjanje | Maksimum za uzlijetanje | D-8 | 485 | | | |
| CRJ9-ER | DEFAULT | 4 | 3 | Penjanje | Maksimum za uzlijetanje | U-8 | 1 000 | | | |
| CRJ9-ER | DEFAULT | 4 | 4 | Ubrzanje | Maksimum za penjanje | 0-204 | | 500 | 204 | |
| CRJ9-ER | DEFAULT | 4 | 5 | Penjanje | Maksimum za penjanje | ZERO | 3 000 | | | |
| CRJ9-ER | DEFAULT | 4 | 6 | Ubrzanje | Maksimum za penjanje | 0-250 | | 500 | 250 | |

▼M2

| ACFTID | Oznaka profila (Profile_ID) | Duljina faze | Broj koraka | Tip koraka | Režim rada motora | Zakrilca (Flap_ID) | Visina krajnje točke (ft) | Stopa penjanja (ft/min) | Kalibrirana brzina leta u krajnjoj točki (kt) | Postotak ubrzanja (Accelerate_Percent) (%) |
|---|---|---|---|---|---|---|---|---|---|---|
| CRJ9-ER | DEFAULT | 4 | 7 | Penjanje | Maksimum za penjanje | ZERO | 10 000 | | | |
| CRJ9-ER | DEFAULT | 5 | 1 | Uzlijetanje | Maksimum za uzlijetanje | D-8 | | | | |
| CRJ9-ER | DEFAULT | 5 | 2 | Penjanje | Maksimum za uzlijetanje | D-8 | 465 | | | |
| CRJ9-ER | DEFAULT | 5 | 3 | Penjanje | Maksimum za uzlijetanje | U-8 | 1 000 | | | |
| CRJ9-ER | DEFAULT | 5 | 4 | Ubrzanje | Maksimum za penjanje | 0-204 | | 500 | 204 | |
| CRJ9-ER | DEFAULT | 5 | 5 | Penjanje | Maksimum za penjanje | 0-204 | 3 000 | | | |
| CRJ9-ER | DEFAULT | 5 | 6 | Ubrzanje | Maksimum za penjanje | 0-250 | | 500 | 250 | |
| CRJ9-ER | DEFAULT | 5 | 7 | Penjanje | Maksimum za penjanje | ZERO | 10 000 | | | |
| CRJ9-ER | ICAO_A | 1 | 1 | Uzlijetanje | Maksimum za uzlijetanje | D-8 | | | | |
| CRJ9-ER | ICAO_A | 1 | 2 | Penjanje | Maksimum za uzlijetanje | D-8 | 595 | | | |
| CRJ9-ER | ICAO_A | 1 | 3 | Penjanje | Maksimum za uzlijetanje | U-8 | 1 500 | | | |
| CRJ9-ER | ICAO_A | 1 | 4 | Penjanje | Maksimum za penjanje | U-8 | 3 000 | | | |
| CRJ9-ER | ICAO_A | 1 | 5 | Ubrzanje | Maksimum za penjanje | 0-250 | | 500 | 250 | |
| CRJ9-ER | ICAO_A | 1 | 6 | Penjanje | Maksimum za penjanje | ZERO | 10 000 | | | |
| CRJ9-ER | ICAO_A | 2 | 1 | Uzlijetanje | Maksimum za uzlijetanje | D-8 | | | | |

▼**M2**

| ACFTID | Oznaka profila (Profile_ID) | Duljina faze | Broj koraka | Tip koraka | Režim rada motora | Zakrilca (Flap_ID) | Visina krajnje točke (ft) | Stopa penjanja (ft/min) | Kalibrirana brzina leta u krajnjoj točki (kt) | Postotak ubrzanja (Accelerate_Percent) (%) |
|---|---|---|---|---|---|---|---|---|---|---|
| CRJ9-ER | ICAO_A | 2 | 2 | Penjanje | Maksimum za uzlijetanje | D-8 | 555 | | | |
| CRJ9-ER | ICAO_A | 2 | 3 | Penjanje | Maksimum za uzlijetanje | U-8 | 1 500 | | | |
| CRJ9-ER | ICAO_A | 2 | 4 | Penjanje | Maksimum za penjanje | U-8 | 3 000 | | | |
| CRJ9-ER | ICAO_A | 2 | 5 | Ubrzanje | Maksimum za penjanje | 0-250 | | 500 | 250 | |
| CRJ9-ER | ICAO_A | 2 | 6 | Penjanje | Maksimum za penjanje | ZERO | 10 000 | | | |
| CRJ9-ER | ICAO_A | 3 | 1 | Uzlijetanje | Maksimum za uzlijetanje | D-8 | | | | |
| CRJ9-ER | ICAO_A | 3 | 2 | Penjanje | Maksimum za uzlijetanje | D-8 | 525 | | | |
| CRJ9-ER | ICAO_A | 3 | 3 | Penjanje | Maksimum za uzlijetanje | U-8 | 1 500 | | | |
| CRJ9-ER | ICAO_A | 3 | 4 | Penjanje | Maksimum za penjanje | U-8 | 3 000 | | | |
| CRJ9-ER | ICAO_A | 3 | 5 | Ubrzanje | Maksimum za penjanje | 0-250 | | 500 | 250 | |
| CRJ9-ER | ICAO_A | 3 | 6 | Penjanje | Maksimum za penjanje | ZERO | 10 000 | | | |
| CRJ9-ER | ICAO_A | 4 | 1 | Uzlijetanje | Maksimum za uzlijetanje | D-8 | | | | |
| CRJ9-ER | ICAO_A | 4 | 2 | Penjanje | Maksimum za uzlijetanje | D-8 | 485 | | | |
| CRJ9-ER | ICAO_A | 4 | 3 | Penjanje | Maksimum za uzlijetanje | U-8 | 1 500 | | | |
| CRJ9-ER | ICAO_A | 4 | 4 | Penjanje | Maksimum za penjanje | U-8 | 3 000 | | | |
| CRJ9-ER | ICAO_A | 4 | 5 | Ubrzanje | Maksimum za penjanje | 0-250 | | 500 | 250 | |

▼M2

| ACFTID | Oznaka profila (Profile_ID) | Duljina faze | Broj koraka | Tip koraka | Režim rada motora | Zakrilca (Flap_ID) | Visina krajnje točke (ft) | Stopa penjanja (ft/min) | Kalibrirana brzina leta u krajnjoj točki (kt) | Postotak ubrzanja (Accelerate_Percent) (%) |
|---|---|---|---|---|---|---|---|---|---|---|
| CRJ9-ER | ICAO_A | 4 | 6 | Penjanje | Maksimum za penjanje | ZERO | 10 000 | | | |
| CRJ9-ER | ICAO_A | 5 | 1 | Uzlijetanje | Maksimum za uzlijetanje | D-8 | | | | |
| CRJ9-ER | ICAO_A | 5 | 2 | Penjanje | Maksimum za uzlijetanje | D-8 | 465 | | | |
| CRJ9-ER | ICAO_A | 5 | 3 | Penjanje | Maksimum za uzlijetanje | U-8 | 1 500 | | | |
| CRJ9-ER | ICAO_A | 5 | 4 | Penjanje | Maksimum za penjanje | U-8 | 3 000 | | | |
| CRJ9-ER | ICAO_A | 5 | 5 | Ubrzanje | Maksimum za penjanje | 0-250 | | 500 | 250 | |
| CRJ9-ER | ICAO_A | 5 | 6 | Penjanje | Maksimum za penjanje | ZERO | 10 000 | | | |
| CRJ9-ER | ICAO_B | 1 | 1 | Uzlijetanje | Maksimum za uzlijetanje | D-8 | | | | |
| CRJ9-ER | ICAO_B | 1 | 2 | Penjanje | Maksimum za uzlijetanje | D-8 | 595 | | | |
| CRJ9-ER | ICAO_B | 1 | 3 | Penjanje | Maksimum za uzlijetanje | U-8 | 1 000 | | | |
| CRJ9-ER | ICAO_B | 1 | 4 | Ubrzanje | Maksimum za uzlijetanje | 0-204 | | 500 | 204 | |
| CRJ9-ER | ICAO_B | 1 | 5 | Penjanje | Maksimum za penjanje | ZERO | 3 000 | | | |
| CRJ9-ER | ICAO_B | 1 | 6 | Ubrzanje | Maksimum za penjanje | 0-250 | | 500 | 250 | |
| CRJ9-ER | ICAO_B | 1 | 7 | Penjanje | Maksimum za penjanje | ZERO | 10 000 | | | |
| CRJ9-ER | ICAO_B | 2 | 1 | Uzlijetanje | Maksimum za uzlijetanje | D-8 | | | | |

▼M2

| ACFTID | Oznaka profila (Profile_ID) | Duljina faze | Broj koraka | Tip koraka | Režim rada motora | Zakrilca (Flap_ID) | Visina krajnje točke (ft) | Stopa penjanja (ft/min) | Kalibrirana brzina leta u krajnjoj točki (kt) | Postotak ubrzanja (Accelerate_Percent) (%) |
|---|---|---|---|---|---|---|---|---|---|---|
| CRJ9-ER | ICAO_B | 2 | 2 | Penjanje | Maksimum za uzlijetanje | D-8 | 555 | | | |
| CRJ9-ER | ICAO_B | 2 | 3 | Penjanje | Maksimum za uzlijetanje | U-8 | 1 000 | | | |
| CRJ9-ER | ICAO_B | 2 | 4 | Ubrzanje | Maksimum za uzlijetanje | 0-204 | | 500 | 204 | |
| CRJ9-ER | ICAO_B | 2 | 5 | Penjanje | Maksimum za penjanje | ZERO | 3 000 | | | |
| CRJ9-ER | ICAO_B | 2 | 6 | Ubrzanje | Maksimum za penjanje | 0-250 | | 500 | 250 | |
| CRJ9-ER | ICAO_B | 2 | 7 | Penjanje | Maksimum za penjanje | ZERO | 10 000 | | | |
| CRJ9-ER | ICAO_B | 3 | 1 | Uzlijetanje | Maksimum za uzlijetanje | D-8 | | | | |
| CRJ9-ER | ICAO_B | 3 | 2 | Penjanje | Maksimum za uzlijetanje | D-8 | 525 | | | |
| CRJ9-ER | ICAO_B | 3 | 3 | Penjanje | Maksimum za uzlijetanje | U-8 | 1 000 | | | |
| CRJ9-ER | ICAO_B | 3 | 4 | Ubrzanje | Maksimum za uzlijetanje | 0-204 | | 500 | 204 | |
| CRJ9-ER | ICAO_B | 3 | 5 | Penjanje | Maksimum za penjanje | ZERO | 3 000 | | | |
| CRJ9-ER | ICAO_B | 3 | 6 | Ubrzanje | Maksimum za penjanje | 0-250 | | 500 | 250 | |
| CRJ9-ER | ICAO_B | 3 | 7 | Penjanje | Maksimum za penjanje | ZERO | 10 000 | | | |
| CRJ9-ER | ICAO_B | 4 | 1 | Uzlijetanje | Maksimum za uzlijetanje | D-8 | | | | |
| CRJ9-ER | ICAO_B | 4 | 2 | Penjanje | Maksimum za uzlijetanje | D-8 | 485 | | | |

▼**M2**

| ACFTID | Oznaka profila (Profile_ID) | Duljina faze | Broj koraka | Tip koraka | Režim rada motora | Zakrilca (Flap_ID) | Visina krajnje točke (ft) | Stopa penjanja (ft/min) | Kalibrirana brzina leta u krajnjoj točki (kt) | Postotak ubrzanja (Accelerate_Percent) (%) |
|---|---|---|---|---|---|---|---|---|---|---|
| CRJ9-ER | ICAO_B | 4 | 3 | Penjanje | Maksimum za uzlijetanje | U-8 | 1 000 | | | |
| CRJ9-ER | ICAO_B | 4 | 4 | Ubrzanje | Maksimum za uzlijetanje | 0-204 | | 500 | 204 | |
| CRJ9-ER | ICAO_B | 4 | 5 | Penjanje | Maksimum za penjanje | ZERO | 3 000 | | | |
| CRJ9-ER | ICAO_B | 4 | 6 | Ubrzanje | Maksimum za penjanje | 0-250 | | 500 | 250 | |
| CRJ9-ER | ICAO_B | 4 | 7 | Penjanje | Maksimum za penjanje | ZERO | 10 000 | | | |
| CRJ9-ER | ICAO_B | 5 | 1 | Uzlijetanje | Maksimum za uzlijetanje | D-8 | | | | |
| CRJ9-ER | ICAO_B | 5 | 2 | Penjanje | Maksimum za uzlijetanje | D-8 | 465 | | | |
| CRJ9-ER | ICAO_B | 5 | 3 | Penjanje | Maksimum za uzlijetanje | U-8 | 1 000 | | | |
| CRJ9-ER | ICAO_B | 5 | 4 | Ubrzanje | Maksimum za uzlijetanje | 0-204 | | 500 | 204 | |
| CRJ9-ER | ICAO_B | 5 | 5 | Penjanje | Maksimum za penjanje | ZERO | 3 000 | | | |
| CRJ9-ER | ICAO_B | 5 | 6 | Ubrzanje | Maksimum za penjanje | 0-250 | | 500 | 250 | |
| CRJ9-ER | ICAO_B | 5 | 7 | Penjanje | Maksimum za penjanje | ZERO | 10 000 | | | |
| CRJ9-LR | DEFAULT | 1 | 1 | Uzlijetanje | Maksimum za uzlijetanje | D-8 | | | | |
| CRJ9-LR | DEFAULT | 1 | 2 | Penjanje | Maksimum za uzlijetanje | D-8 | 615 | | | |
| CRJ9-LR | DEFAULT | 1 | 3 | Penjanje | Maksimum za uzlijetanje | U-8 | 1 000 | | | |

▼**M2**

| ACFTID | Oznaka profila (Profile_ID) | Duljina faze | Broj koraka | Tip koraka | Režim rada motora | Zakrilca (Flap_ID) | Visina krajnje točke (ft) | Stopa penjanja (ft/min) | Kalibrirana brzina leta u krajnjoj točki (kt) | Postotak ubrzanja (Accelerate_Percent) (%) |
|---|---|---|---|---|---|---|---|---|---|---|
| CRJ9-LR | DEFAULT | 1 | 4 | Ubrzanje | Maksimum za penjanje | 0-204 | | 500 | 204 | |
| CRJ9-LR | DEFAULT | 1 | 5 | Penjanje | Maksimum za penjanje | ZERO | 3 000 | | | |
| CRJ9-LR | DEFAULT | 1 | 6 | Ubrzanje | Maksimum za penjanje | 0-250 | | 500 | 250 | |
| CRJ9-LR | DEFAULT | 1 | 7 | Penjanje | Maksimum za penjanje | ZERO | 10 000 | | | |
| CRJ9-LR | DEFAULT | 2 | 1 | Uzlijetanje | Maksimum za uzlijetanje | D-8 | | | | |
| CRJ9-LR | DEFAULT | 2 | 2 | Penjanje | Maksimum za uzlijetanje | D-8 | 575 | | | |
| CRJ9-LR | DEFAULT | 2 | 3 | Penjanje | Maksimum za uzlijetanje | U-8 | 1 000 | | | |
| CRJ9-LR | DEFAULT | 2 | 4 | Ubrzanje | Maksimum za penjanje | 0-204 | | 500 | 204 | |
| CRJ9-LR | DEFAULT | 2 | 5 | Penjanje | Maksimum za penjanje | ZERO | 3 000 | | | |
| CRJ9-LR | DEFAULT | 2 | 6 | Ubrzanje | Maksimum za penjanje | 0-250 | | 500 | 250 | |
| CRJ9-LR | DEFAULT | 2 | 7 | Penjanje | Maksimum za penjanje | ZERO | 10 000 | | | |
| CRJ9-LR | DEFAULT | 3 | 1 | Uzlijetanje | Maksimum za uzlijetanje | D-8 | | | | |
| CRJ9-LR | DEFAULT | 3 | 2 | Penjanje | Maksimum za uzlijetanje | D-8 | 545 | | | |
| CRJ9-LR | DEFAULT | 3 | 3 | Penjanje | Maksimum za uzlijetanje | U-8 | 1 000 | | | |

▼**M2**

| ACFTID | Oznaka profila (Profile_ID) | Duljina faze | Broj koraka | Tip koraka | Režim rada motora | Zakrilca (Flap_ID) | Visina krajnje točke (ft) | Stopa penjanja (ft/min) | Kalibrirana brzina leta u krajnjoj točki (kt) | Postotak ubrzanja (Accelerate_Percent) (%) |
|---|---|---|---|---|---|---|---|---|---|---|
| CRJ9-LR | DEFAULT | 3 | 4 | Ubrzanje | Maksimum za penjanje | 0-204 | | 500 | 204 | |
| CRJ9-LR | DEFAULT | 3 | 5 | Penjanje | Maksimum za penjanje | 0-204 | 3 000 | | | |
| CRJ9-LR | DEFAULT | 3 | 6 | Ubrzanje | Maksimum za penjanje | 0-250 | | 500 | 250 | |
| CRJ9-LR | DEFAULT | 3 | 7 | Penjanje | Maksimum za penjanje | ZERO | 10 000 | | | |
| CRJ9-LR | DEFAULT | 4 | 1 | Uzlijetanje | Maksimum za uzlijetanje | D-8 | | | | |
| CRJ9-LR | DEFAULT | 4 | 2 | Penjanje | Maksimum za uzlijetanje | D-8 | 505 | | | |
| CRJ9-LR | DEFAULT | 4 | 3 | Penjanje | Maksimum za uzlijetanje | U-8 | 1 000 | | | |
| CRJ9-LR | DEFAULT | 4 | 4 | Ubrzanje | Maksimum za penjanje | 0-204 | | 500 | 204 | |
| CRJ9-LR | DEFAULT | 4 | 5 | Penjanje | Maksimum za penjanje | ZERO | 3 000 | | | |
| CRJ9-LR | DEFAULT | 4 | 6 | Ubrzanje | Maksimum za penjanje | 0-250 | | 500 | 250 | |
| CRJ9-LR | DEFAULT | 4 | 7 | Penjanje | Maksimum za penjanje | 0-250 | 10 000 | | | |
| CRJ9-LR | DEFAULT | 5 | 1 | Uzlijetanje | Maksimum za uzlijetanje | D-8 | | | | |
| CRJ9-LR | DEFAULT | 5 | 2 | Penjanje | Maksimum za uzlijetanje | D-8 | 455 | | | |
| CRJ9-LR | DEFAULT | 5 | 3 | Penjanje | Maksimum za uzlijetanje | U-8 | 1 000 | | | |

▼**M2**

| ACFTID | Oznaka profila (Profile_ID) | Duljina faze | Broj koraka | Tip koraka | Režim rada motora | Zakrilca (Flap_ID) | Visina krajnje točke (ft) | Stopa penjanja (ft/min) | Kalibrirana brzina leta u krajnjoj točki (kt) | Postotak ubrzanja (Accelerate_Percent) (%) |
|---|---|---|---|---|---|---|---|---|---|---|
| CRJ9-LR | DEFAULT | 5 | 4 | Ubrzanje | Maksimum za penjanje | 0-204 | | 500 | 204 | |
| CRJ9-LR | DEFAULT | 5 | 5 | Penjanje | Maksimum za penjanje | ZERO | 3 000 | | | |
| CRJ9-LR | DEFAULT | 5 | 6 | Ubrzanje | Maksimum za penjanje | 0-250 | | 500 | 250 | |
| CRJ9-LR | DEFAULT | 5 | 7 | Penjanje | Maksimum za penjanje | ZERO | 10 000 | | | |
| CRJ9-LR | ICAO_A | 1 | 1 | Uzlijetanje | Maksimum za uzlijetanje | D-8 | | | | |
| CRJ9-LR | ICAO_A | 1 | 2 | Penjanje | Maksimum za uzlijetanje | D-8 | 615 | | | |
| CRJ9-LR | ICAO_A | 1 | 3 | Penjanje | Maksimum za uzlijetanje | U-8 | 1 500 | | | |
| CRJ9-LR | ICAO_A | 1 | 4 | Penjanje | Maksimum za penjanje | U-8 | 3 000 | | | |
| CRJ9-LR | ICAO_A | 1 | 5 | Ubrzanje | Maksimum za penjanje | 0-250 | | 500 | 250 | |
| CRJ9-LR | ICAO_A | 1 | 6 | Penjanje | Maksimum za penjanje | ZERO | 10 000 | | | |
| CRJ9-LR | ICAO_A | 2 | 1 | Uzlijetanje | Maksimum za uzlijetanje | D-8 | | | | |
| CRJ9-LR | ICAO_A | 2 | 2 | Penjanje | Maksimum za uzlijetanje | D-8 | 575 | | | |
| CRJ9-LR | ICAO_A | 2 | 3 | Penjanje | Maksimum za uzlijetanje | U-8 | 1 500 | | | |
| CRJ9-LR | ICAO_A | 2 | 4 | Penjanje | Maksimum za penjanje | U-8 | 3 000 | | | |

▼**M2**

| ACFTID | Oznaka profila (Profile_ID) | Duljina faze | Broj koraka | Tip koraka | Režim rada motora | Zakrilca (Flap_ID) | Visina krajnje točke (ft) | Stopa penjanja (ft/min) | Kalibrirana brzina leta u krajnjoj točki (kt) | Postotak ubrzanja (Accelerate_Percent) (%) |
|---|---|---|---|---|---|---|---|---|---|---|
| CRJ9-LR | ICAO_A | 2 | 5 | Ubrzanje | Maksimum za penjanje | U-8 | | 500 | 250 | |
| CRJ9-LR | ICAO_A | 2 | 6 | Penjanje | Maksimum za penjanje | ZERO | 10 000 | | | |
| CRJ9-LR | ICAO_A | 3 | 1 | Uzlijetanje | Maksimum za uzlijetanje | D-8 | | | | |
| CRJ9-LR | ICAO_A | 3 | 2 | Penjanje | Maksimum za uzlijetanje | D-8 | 545 | | | |
| CRJ9-LR | ICAO_A | 3 | 3 | Penjanje | Maksimum za uzlijetanje | U-8 | 1 500 | | | |
| CRJ9-LR | ICAO_A | 3 | 4 | Penjanje | Maksimum za penjanje | U-8 | 3 000 | | | |
| CRJ9-LR | ICAO_A | 3 | 5 | Ubrzanje | Maksimum za penjanje | U-8 | | 500 | 250 | |
| CRJ9-LR | ICAO_A | 3 | 6 | Penjanje | Maksimum za penjanje | ZERO | 10 000 | | | |
| CRJ9-LR | ICAO_A | 4 | 1 | Uzlijetanje | Maksimum za uzlijetanje | D-8 | | | | |
| CRJ9-LR | ICAO_A | 4 | 2 | Penjanje | Maksimum za uzlijetanje | D-8 | 505 | | | |
| CRJ9-LR | ICAO_A | 4 | 3 | Penjanje | Maksimum za uzlijetanje | U-8 | 1 500 | | | |
| CRJ9-LR | ICAO_A | 4 | 4 | Penjanje | Maksimum za penjanje | U-8 | 3 000 | | | |
| CRJ9-LR | ICAO_A | 4 | 5 | Ubrzanje | Maksimum za penjanje | U-8 | | 500 | 250 | |
| CRJ9-LR | ICAO_A | 4 | 6 | Penjanje | Maksimum za penjanje | ZERO | 10 000 | | | |
| CRJ9-LR | ICAO_A | 5 | 1 | Uzlijetanje | Maksimum za uzlijetanje | D-8 | | | | |

▼**M2**

| ACFTID | Oznaka profila (Profile_ID) | Duljina faze | Broj koraka | Tip koraka | Režim rada motora | Zakrilca (Flap_ID) | Visina krajnje točke (ft) | Stopa penjanja (ft/min) | Kalibrirana brzina leta u krajnjoj točki (kt) | Postotak ubrzanja (Accelerate_Percent) (%) |
|---|---|---|---|---|---|---|---|---|---|---|
| CRJ9-LR | ICAO_A | 5 | 2 | Penjanje | Maksimum za uzlijetanje | D-8 | 455 | | | |
| CRJ9-LR | ICAO_A | 5 | 3 | Penjanje | Maksimum za uzlijetanje | U-8 | 1 500 | | | |
| CRJ9-LR | ICAO_A | 5 | 4 | Penjanje | Maksimum za penjanje | U-8 | 3 000 | | | |
| CRJ9-LR | ICAO_A | 5 | 5 | Ubrzanje | Maksimum za penjanje | 0-250 | | 500 | 250 | |
| CRJ9-LR | ICAO_A | 5 | 6 | Penjanje | Maksimum za penjanje | ZERO | 10 000 | | | |
| CRJ9-LR | ICAO_B | 1 | 1 | Uzlijetanje | Maksimum za uzlijetanje | D-8 | | | | |
| CRJ9-LR | ICAO_B | 1 | 2 | Penjanje | Maksimum za uzlijetanje | D-8 | 615 | | | |
| CRJ9-LR | ICAO_B | 1 | 3 | Penjanje | Maksimum za uzlijetanje | U-8 | 1 000 | | | |
| CRJ9-LR | ICAO_B | 1 | 4 | Ubrzanje | Maksimum za uzlijetanje | 0-204 | | 500 | 204 | |
| CRJ9-LR | ICAO_B | 1 | 5 | Penjanje | Maksimum za penjanje | ZERO | 3 000 | | | |
| CRJ9-LR | ICAO_B | 1 | 6 | Ubrzanje | Maksimum za penjanje | 0-250 | | 500 | 250 | |
| CRJ9-LR | ICAO_B | 1 | 7 | Penjanje | Maksimum za penjanje | ZERO | 10 000 | | | |
| CRJ9-LR | ICAO_B | 2 | 1 | Uzlijetanje | Maksimum za uzlijetanje | D-8 | | | | |
| CRJ9-LR | ICAO_B | 2 | 2 | Penjanje | Maksimum za uzlijetanje | D-8 | 575 | | | |
| CRJ9-LR | ICAO_B | 2 | 3 | Penjanje | Maksimum za uzlijetanje | U-8 | 1 000 | | | |

▼**M2**

| ACFTID | Oznaka profila (Profile_ID) | Duljina faze | Broj koraka | Tip koraka | Režim rada motora | Zakrilca (Flap_ID) | Visina krajnje točke (ft) | Stopa penjanja (ft/min) | Kalibrirana brzina leta u krajnjoj točki (kt) | Postotak ubrzanja (Accelerate_Percent) (%) |
|---|---|---|---|---|---|---|---|---|---|---|
| CRJ9-LR | ICAO_B | 2 | 4 | Ubrzanje | Maksimum za uzlijetanje | 0-204 | | 500 | 204 | |
| CRJ9-LR | ICAO_B | 2 | 5 | Penjanje | Maksimum za penjanje | ZERO | 3 000 | | | |
| CRJ9-LR | ICAO_B | 2 | 6 | Ubrzanje | Maksimum za penjanje | 0-250 | | 500 | 250 | |
| CRJ9-LR | ICAO_B | 2 | 7 | Penjanje | Maksimum za penjanje | ZERO | 10 000 | | | |
| CRJ9-LR | ICAO_B | 3 | 1 | Uzlijetanje | Maksimum za uzlijetanje | D-8 | | | | |
| CRJ9-LR | ICAO_B | 3 | 2 | Penjanje | Maksimum za uzlijetanje | D-8 | 545 | | | |
| CRJ9-LR | ICAO_B | 3 | 3 | Penjanje | Maksimum za uzlijetanje | U-8 | 1 000 | | | |
| CRJ9-LR | ICAO_B | 3 | 4 | Ubrzanje | Maksimum za uzlijetanje | 0-204 | | 500 | 204 | |
| CRJ9-LR | ICAO_B | 3 | 5 | Penjanje | Maksimum za penjanje | ZERO | 3 000 | | | |
| CRJ9-LR | ICAO_B | 3 | 6 | Ubrzanje | Maksimum za penjanje | 0-250 | | 500 | 250 | |
| CRJ9-LR | ICAO_B | 3 | 7 | Penjanje | Maksimum za penjanje | ZERO | 10 000 | | | |
| CRJ9-LR | ICAO_B | 4 | 1 | Uzlijetanje | Maksimum za uzlijetanje | D-8 | | | | |
| CRJ9-LR | ICAO_B | 4 | 2 | Penjanje | Maksimum za uzlijetanje | D-8 | 505 | | | |
| CRJ9-LR | ICAO_B | 4 | 3 | Penjanje | Maksimum za uzlijetanje | U-8 | 1 000 | | | |
| CRJ9-LR | ICAO_B | 4 | 4 | Ubrzanje | Maksimum za uzlijetanje | 0-204 | | 500 | 204 | |

▼M2

| ACFTID | Oznaka profila (Profile_ID) | Duljina faze | Broj koraka | Tip koraka | Režim rada motora | Zakrilca (Flap_ID) | Visina krajnje točke (ft) | Stopa penjanja (ft/min) | Kalibrirana brzina leta u krajnjoj točki (kt) | Postotak ubrzanja (Accelerate_Percent) (%) |
|---|---|---|---|---|---|---|---|---|---|---|
| CRJ9-LR | ICAO_B | 4 | 5 | Penjanje | Maksimum za penjanje | ZERO | 3 000 | | | |
| CRJ9-LR | ICAO_B | 4 | 6 | Ubrzanje | Maksimum za penjanje | 0-250 | | 500 | 250 | |
| CRJ9-LR | ICAO_B | 4 | 7 | Penjanje | Maksimum za penjanje | ZERO | 10 000 | | | |
| CRJ9-LR | ICAO_B | 5 | 1 | Uzlijetanje | Maksimum za uzlijetanje | D-8 | | | | |
| CRJ9-LR | ICAO_B | 5 | 2 | Penjanje | Maksimum za uzlijetanje | D-8 | 455 | | | |
| CRJ9-LR | ICAO_B | 5 | 3 | Penjanje | Maksimum za uzlijetanje | U-8 | 1 000 | | | |
| CRJ9-LR | ICAO_B | 5 | 4 | Ubrzanje | Maksimum za uzlijetanje | 0-204 | | 500 | 204 | |
| CRJ9-LR | ICAO_B | 5 | 5 | Penjanje | Maksimum za penjanje | ZERO | 3 000 | | | |
| CRJ9-LR | ICAO_B | 5 | 6 | Ubrzanje | Maksimum za penjanje | 0-250 | | 500 | 250 | |
| CRJ9-LR | ICAO_B | 5 | 7 | Penjanje | Maksimum za penjanje | ZERO | 10 000 | | | |
| CVR580 | DEFAULT | 1 | 1 | Uzlijetanje | Maksimum za uzlijetanje | 10 | | | | |
| CVR580 | DEFAULT | 1 | 2 | Penjanje | Maksimum za uzlijetanje | 10 | 1 000 | | | |
| CVR580 | DEFAULT | 1 | 3 | Ubrzanje | Maksimum za uzlijetanje | 10 | | 1 907 | 130 | |
| CVR580 | DEFAULT | 1 | 4 | Ubrzanje | Maksimum za penjanje | INTR | | 1 430 | 150 | |
| CVR580 | DEFAULT | 1 | 5 | Penjanje | Maksimum za penjanje | ZERO | 3 000 | | | |

▼**M2**

| ACFTID | Oznaka profila (Profile_ID) | Duljina faze | Broj koraka | Tip koraka | Režim rada motora | Zakrilca (Flap_ID) | Visina krajnje točke (ft) | Stopa penjanja (ft/min) | Kalibrirana brzina leta u krajnjoj točki (kt) | Postotak ubrzanja (Accelerate_Percent) (%) |
|---|---|---|---|---|---|---|---|---|---|---|
| CVR580 | DEFAULT | 1 | 6 | Penjanje | Maksimum za penjanje | ZERO | 5 500 | | | |
| CVR580 | DEFAULT | 1 | 7 | Penjanje | Maksimum za penjanje | ZERO | 7 500 | | | |
| CVR580 | DEFAULT | 1 | 8 | Penjanje | Maksimum za penjanje | ZERO | 10 000 | | | |
| CVR580 | DEFAULT | 2 | 1 | Uzlijetanje | Maksimum za uzlijetanje | 10 | | | | |
| CVR580 | DEFAULT | 2 | 2 | Penjanje | Maksimum za uzlijetanje | 10 | 1 000 | | | |
| CVR580 | DEFAULT | 2 | 3 | Ubrzanje | Maksimum za uzlijetanje | 10 | | 1 557 | 136 | |
| CVR580 | DEFAULT | 2 | 4 | Ubrzanje | Maksimum za penjanje | INTR | | 1 168 | 156 | |
| CVR580 | DEFAULT | 2 | 5 | Penjanje | Maksimum za penjanje | ZERO | 3 000 | | | |
| CVR580 | DEFAULT | 2 | 6 | Penjanje | Maksimum za penjanje | ZERO | 5 500 | | | |
| CVR580 | DEFAULT | 2 | 7 | Penjanje | Maksimum za penjanje | ZERO | 7 500 | | | |
| CVR580 | DEFAULT | 2 | 8 | Penjanje | Maksimum za penjanje | ZERO | 10 000 | | | |
| CVR580 | DEFAULT | 3 | 1 | Uzlijetanje | Maksimum za uzlijetanje | 10 | | | | |
| CVR580 | DEFAULT | 3 | 2 | Penjanje | Maksimum za uzlijetanje | 10 | 1 000 | | | |
| CVR580 | DEFAULT | 3 | 3 | Ubrzanje | Maksimum za uzlijetanje | 10 | | 1 321 | 140 | |

▼**M2**

| ACFTID | Oznaka profila (Profile_ID) | Duljina faze | Broj koraka | Tip koraka | Režim rada motora | Zakrilca (Flap_ID) | Visina krajnje točke (ft) | Stopa penjanja (ft/min) | Kalibrirana brzina leta u krajnjoj točki (kt) | Postotak ubrzanja (Accelerate_Percent) (%) |
|---|---|---|---|---|---|---|---|---|---|---|
| CVR580 | DEFAULT | 3 | 4 | Ubrzanje | Maksimum za penjanje | INTR | | 991 | 160 | |
| CVR580 | DEFAULT | 3 | 5 | Penjanje | Maksimum za penjanje | ZERO | 3 000 | | | |
| CVR580 | DEFAULT | 3 | 6 | Penjanje | Maksimum za penjanje | ZERO | 5 500 | | | |
| CVR580 | DEFAULT | 3 | 7 | Penjanje | Maksimum za penjanje | ZERO | 7 500 | | | |
| CVR580 | DEFAULT | 3 | 8 | Penjanje | Maksimum za penjanje | ZERO | 10 000 | | | |
| DC1010 | DEFAULT | 1 | 1 | Uzlijetanje | Maksimum za uzlijetanje | 10 | | | | |
| DC1010 | DEFAULT | 1 | 2 | Penjanje | Maksimum za uzlijetanje | 10 | 1 000 | | | |
| DC1010 | DEFAULT | 1 | 3 | Ubrzanje | Maksimum za uzlijetanje | 10 | | 1 904 | 159 | |
| DC1010 | DEFAULT | 1 | 4 | Ubrzanje | Maksimum za uzlijetanje | 5 | | 1 428 | 174 | |
| DC1010 | DEFAULT | 1 | 5 | Ubrzanje | Maksimum za penjanje | INT | | 1 000 | 189 | |
| DC1010 | DEFAULT | 1 | 6 | Penjanje | Maksimum za penjanje | ZERO | 3 000 | | | |
| DC1010 | DEFAULT | 1 | 7 | Ubrzanje | Maksimum za penjanje | ZERO | | 1 000 | 250 | |
| DC1010 | DEFAULT | 1 | 8 | Penjanje | Maksimum za penjanje | ZERO | 5 500 | | | |
| DC1010 | DEFAULT | 1 | 9 | Penjanje | Maksimum za penjanje | ZERO | 7 500 | | | |

▼**M2**

| ACFTID | Oznaka profila (Profile_ID) | Duljina faze | Broj koraka | Tip koraka | Režim rada motora | Zakrilca (Flap_ID) | Visina krajnje točke (ft) | Stopa penjanja (ft/min) | Kalibrirana brzina leta u krajnjoj točki (kt) | Postotak ubrzanja (Accelerate_Percent) (%) |
|---|---|---|---|---|---|---|---|---|---|---|
| DC1010 | DEFAULT | 1 | 10 | Penjanje | Maksimum za penjanje | ZERO | 10 000 | | | |
| DC1010 | DEFAULT | 2 | 1 | Uzlijetanje | Maksimum za uzlijetanje | 10 | | | | |
| DC1010 | DEFAULT | 2 | 2 | Penjanje | Maksimum za uzlijetanje | 10 | 1 000 | | | |
| DC1010 | DEFAULT | 2 | 3 | Ubrzanje | Maksimum za uzlijetanje | 10 | | 1 799 | 163 | |
| DC1010 | DEFAULT | 2 | 4 | Ubrzanje | Maksimum za uzlijetanje | 5 | | 1 350 | 178 | |
| DC1010 | DEFAULT | 2 | 5 | Ubrzanje | Maksimum za penjanje | INT | | 1 000 | 193 | |
| DC1010 | DEFAULT | 2 | 6 | Penjanje | Maksimum za penjanje | ZERO | 3 000 | | | |
| DC1010 | DEFAULT | 2 | 7 | Ubrzanje | Maksimum za penjanje | ZERO | | 1 000 | 250 | |
| DC1010 | DEFAULT | 2 | 8 | Penjanje | Maksimum za penjanje | ZERO | 5 500 | | | |
| DC1010 | DEFAULT | 2 | 9 | Penjanje | Maksimum za penjanje | ZERO | 7 500 | | | |
| DC1010 | DEFAULT | 2 | 10 | Penjanje | Maksimum za penjanje | ZERO | 10 000 | | | |
| DC1010 | DEFAULT | 3 | 1 | Uzlijetanje | Maksimum za uzlijetanje | 10 | | | | |
| DC1010 | DEFAULT | 3 | 2 | Penjanje | Maksimum za uzlijetanje | 10 | 1 000 | | | |
| DC1010 | DEFAULT | 3 | 3 | Ubrzanje | Maksimum za uzlijetanje | 10 | | 1 670 | 167 | |

▼**M2**

| ACFTID | Oznaka profila (Profile_ID) | Duljina faze | Broj koraka | Tip koraka | Režim rada motora | Zakrilca (Flap_ID) | Visina krajnje točke (ft) | Stopa penjanja (ft/min) | Kalibrirana brzina leta u krajnjoj točki (kt) | Postotak ubrzanja (Accelerate_Percent) (%) |
|---|---|---|---|---|---|---|---|---|---|---|
| DC1010 | DEFAULT | 3 | 4 | Ubrzanje | Maksimum za uzlijetanje | 5 | | 1 253 | 182 | |
| DC1010 | DEFAULT | 3 | 5 | Ubrzanje | Maksimum za penjanje | INT | | 1 000 | 197 | |
| DC1010 | DEFAULT | 3 | 6 | Penjanje | Maksimum za penjanje | ZERO | 3 000 | | | |
| DC1010 | DEFAULT | 3 | 7 | Ubrzanje | Maksimum za penjanje | ZERO | | 1 000 | 250 | |
| DC1010 | DEFAULT | 3 | 8 | Penjanje | Maksimum za penjanje | ZERO | 5 500 | | | |
| DC1010 | DEFAULT | 3 | 9 | Penjanje | Maksimum za penjanje | ZERO | 7 500 | | | |
| DC1010 | DEFAULT | 3 | 10 | Penjanje | Maksimum za penjanje | ZERO | 10 000 | | | |
| DC1010 | DEFAULT | 4 | 1 | Uzlijetanje | Maksimum za uzlijetanje | 10 | | | | |
| DC1010 | DEFAULT | 4 | 2 | Penjanje | Maksimum za uzlijetanje | 10 | 1 000 | | | |
| DC1010 | DEFAULT | 4 | 3 | Ubrzanje | Maksimum za uzlijetanje | 10 | | 1 494 | 174 | |
| DC1010 | DEFAULT | 4 | 4 | Ubrzanje | Maksimum za uzlijetanje | 5 | | 1 121 | 189 | |
| DC1010 | DEFAULT | 4 | 5 | Ubrzanje | Maksimum za penjanje | INT | | 1 000 | 204 | |
| DC1010 | DEFAULT | 4 | 6 | Penjanje | Maksimum za penjanje | ZERO | 3 000 | | | |
| DC1010 | DEFAULT | 4 | 7 | Ubrzanje | Maksimum za penjanje | ZERO | | 1 000 | 250 | |

▼**M2**

| ACFTID | Oznaka profila (Profile_ID) | Duljina faze | Broj koraka | Tip koraka | Režim rada motora | Zakrilca (Flap_ID) | Visina krajnje točke (ft) | Stopa penjanja (ft/min) | Kalibrirana brzina leta u krajnjoj točki (kt) | Postotak ubrzanja (Accelerate_Percent) (%) |
|---|---|---|---|---|---|---|---|---|---|---|
| DC1010 | DEFAULT | 4 | 8 | Penjanje | Maksimum za penjanje | ZERO | 5 500 | | | |
| DC1010 | DEFAULT | 4 | 9 | Penjanje | Maksimum za penjanje | ZERO | 7 500 | | | |
| DC1010 | DEFAULT | 4 | 10 | Penjanje | Maksimum za penjanje | ZERO | 10 000 | | | |
| DC1010 | DEFAULT | 5 | 1 | Uzlijetanje | Maksimum za uzlijetanje | 10 | | | | |
| DC1010 | DEFAULT | 5 | 2 | Penjanje | Maksimum za uzlijetanje | 10 | 1 000 | | | |
| DC1010 | DEFAULT | 5 | 3 | Ubrzanje | Maksimum za uzlijetanje | 10 | | 1 335 | 180 | |
| DC1010 | DEFAULT | 5 | 4 | Ubrzanje | Maksimum za uzlijetanje | 5 | | 1 002 | 195 | |
| DC1010 | DEFAULT | 5 | 5 | Ubrzanje | Maksimum za penjanje | INT | | 1 000 | 210 | |
| DC1010 | DEFAULT | 5 | 6 | Penjanje | Maksimum za penjanje | ZERO | 3 000 | | | |
| DC1010 | DEFAULT | 5 | 7 | Ubrzanje | Maksimum za penjanje | ZERO | | 1 000 | 250 | |
| DC1010 | DEFAULT | 5 | 8 | Penjanje | Maksimum za penjanje | ZERO | 5 500 | | | |
| DC1010 | DEFAULT | 5 | 9 | Penjanje | Maksimum za penjanje | ZERO | 7 500 | | | |
| DC1010 | DEFAULT | 5 | 10 | Penjanje | Maksimum za penjanje | ZERO | 10 000 | | | |
| DC1010 | DEFAULT | 6 | 1 | Uzlijetanje | Maksimum za uzlijetanje | 10 | | | | |

▼**M2**

| ACFTID | Oznaka profila (Profile_ID) | Duljina faze | Broj koraka | Tip koraka | Režim rada motora | Zakrilca (Flap_ID) | Visina krajnje točke (ft) | Stopa penjanja (ft/min) | Kalibrirana brzina leta u krajnjoj točki (kt) | Postotak ubrzanja (Accelerate_Percent) (%) |
|---|---|---|---|---|---|---|---|---|---|---|
| DC1010 | DEFAULT | 6 | 2 | Penjanje | Maksimum za uzlijetanje | 10 | 1 000 | | | |
| DC1010 | DEFAULT | 6 | 3 | Ubrzanje | Maksimum za uzlijetanje | 10 | | 1 191 | 186 | |
| DC1010 | DEFAULT | 6 | 4 | Ubrzanje | Maksimum za uzlijetanje | 5 | | 894 | 201 | |
| DC1010 | DEFAULT | 6 | 5 | Ubrzanje | Maksimum za penjanje | INT | | 800 | 216 | |
| DC1010 | DEFAULT | 6 | 6 | Penjanje | Maksimum za penjanje | ZERO | 3 000 | | | |
| DC1010 | DEFAULT | 6 | 7 | Ubrzanje | Maksimum za penjanje | ZERO | | 800 | 250 | |
| DC1010 | DEFAULT | 6 | 8 | Penjanje | Maksimum za penjanje | ZERO | 5 500 | | | |
| DC1010 | DEFAULT | 6 | 9 | Penjanje | Maksimum za penjanje | ZERO | 7 500 | | | |
| DC1010 | DEFAULT | 6 | 10 | Penjanje | Maksimum za penjanje | ZERO | 10 000 | | | |
| DC1040 | DEFAULT | 1 | 1 | Uzlijetanje | Maksimum za uzlijetanje | 15 | | | | |
| DC1040 | DEFAULT | 1 | 2 | Penjanje | Maksimum za uzlijetanje | 15 | 1 000 | | | |
| DC1040 | DEFAULT | 1 | 3 | Ubrzanje | Maksimum za uzlijetanje | 15 | | 2 255 | 175 | |
| DC1040 | DEFAULT | 1 | 4 | Ubrzanje | Maksimum za uzlijetanje | 5 | | 1 692 | 190 | |
| DC1040 | DEFAULT | 1 | 5 | Ubrzanje | Maksimum za penjanje | INT | | 1 000 | 205 | |
| DC1040 | DEFAULT | 1 | 6 | Penjanje | Maksimum za penjanje | ZERO | 3 000 | | | |

▼M2

| ACFTID | Oznaka profila (Profile_ID) | Duljina faze | Broj koraka | Tip koraka | Režim rada motora | Zakrilca (Flap_ID) | Visina krajnje točke (ft) | Stopa penjanja (ft/min) | Kalibrirana brzina leta u krajnjoj točki (kt) | Postotak ubrzanja (Accelerate_Percent) (%) |
|---|---|---|---|---|---|---|---|---|---|---|
| DC1040 | DEFAULT | 1 | 7 | Ubrzanje | Maksimum za penjanje | ZERO | | 1 000 | 250 | |
| DC1040 | DEFAULT | 1 | 8 | Penjanje | Maksimum za penjanje | ZERO | 5 500 | | | |
| DC1040 | DEFAULT | 1 | 9 | Penjanje | Maksimum za penjanje | ZERO | 7 500 | | | |
| DC1040 | DEFAULT | 1 | 10 | Penjanje | Maksimum za penjanje | ZERO | 10 000 | | | |
| DC1040 | DEFAULT | 2 | 1 | Uzlijetanje | Maksimum za uzlijetanje | 15 | | | | |
| DC1040 | DEFAULT | 2 | 2 | Penjanje | Maksimum za uzlijetanje | 15 | 1 000 | | | |
| DC1040 | DEFAULT | 2 | 3 | Ubrzanje | Maksimum za uzlijetanje | 15 | | 2 146 | 178 | |
| DC1040 | DEFAULT | 2 | 4 | Ubrzanje | Maksimum za uzlijetanje | 5 | | 1 610 | 193 | |
| DC1040 | DEFAULT | 2 | 5 | Ubrzanje | Maksimum za penjanje | INT | | 1 000 | 208 | |
| DC1040 | DEFAULT | 2 | 6 | Penjanje | Maksimum za penjanje | ZERO | 3 000 | | | |
| DC1040 | DEFAULT | 2 | 7 | Ubrzanje | Maksimum za penjanje | ZERO | | 1 000 | 250 | |
| DC1040 | DEFAULT | 2 | 8 | Penjanje | Maksimum za penjanje | ZERO | 5 500 | | | |
| DC1040 | DEFAULT | 2 | 9 | Penjanje | Maksimum za penjanje | ZERO | 7 500 | | | |
| DC1040 | DEFAULT | 2 | 10 | Penjanje | Maksimum za penjanje | ZERO | 10 000 | | | |

▼**M2**

| ACFTID | Oznaka profila (Profile_ID) | Duljina faze | Broj koraka | Tip koraka | Režim rada motora | Zakrilca (Flap_ID) | Visina krajnje točke (ft) | Stopa penjanja (ft/min) | Kalibrirana brzina leta u krajnjoj točki (kt) | Postotak ubrzanja (Accelerate_Percent) (%) |
|---|---|---|---|---|---|---|---|---|---|---|
| DC1040 | DEFAULT | 3 | 1 | Uzlijetanje | Maksimum za uzlijetanje | 15 | | | | |
| DC1040 | DEFAULT | 3 | 2 | Penjanje | Maksimum za uzlijetanje | 15 | 1 000 | | | |
| DC1040 | DEFAULT | 3 | 3 | Ubrzanje | Maksimum za uzlijetanje | 15 | | 2 050 | 181 | |
| DC1040 | DEFAULT | 3 | 4 | Ubrzanje | Maksimum za uzlijetanje | 5 | | 1 538 | 196 | |
| DC1040 | DEFAULT | 3 | 5 | Ubrzanje | Maksimum za penjanje | INT | | 1 000 | 211 | |
| DC1040 | DEFAULT | 3 | 6 | Penjanje | Maksimum za penjanje | ZERO | 3 000 | | | |
| DC1040 | DEFAULT | 3 | 7 | Ubrzanje | Maksimum za penjanje | ZERO | | 1 000 | 250 | |
| DC1040 | DEFAULT | 3 | 8 | Penjanje | Maksimum za penjanje | ZERO | 5 500 | | | |
| DC1040 | DEFAULT | 3 | 9 | Penjanje | Maksimum za penjanje | ZERO | 7 500 | | | |
| DC1040 | DEFAULT | 3 | 10 | Penjanje | Maksimum za penjanje | ZERO | 10 000 | | | |
| DC1040 | DEFAULT | 4 | 1 | Uzlijetanje | Maksimum za uzlijetanje | 15 | | | | |
| DC1040 | DEFAULT | 4 | 2 | Penjanje | Maksimum za uzlijetanje | 15 | 1 000 | | | |
| DC1040 | DEFAULT | 4 | 3 | Ubrzanje | Maksimum za uzlijetanje | 15 | | 1 859 | 187 | |
| DC1040 | DEFAULT | 4 | 4 | Ubrzanje | Maksimum za uzlijetanje | 5 | | 1 395 | 202 | |

▼**M2**

| ACFTID | Oznaka profila (Profile_ID) | Duljina faze | Broj koraka | Tip koraka | Režim rada motora | Zakrilca (Flap_ID) | Visina krajnje točke (ft) | Stopa penjanja (ft/min) | Kalibrirana brzina leta u krajnjoj točki (kt) | Postotak ubrzanja (Accelerate_Percent) (%) |
|---|---|---|---|---|---|---|---|---|---|---|
| DC1040 | DEFAULT | 4 | 5 | Ubrzanje | Maksimum za penjanje | INT | | 1 000 | 217 | |
| DC1040 | DEFAULT | 4 | 6 | Penjanje | Maksimum za penjanje | ZERO | 3 000 | | | |
| DC1040 | DEFAULT | 4 | 7 | Ubrzanje | Maksimum za penjanje | ZERO | | 1 000 | 250 | |
| DC1040 | DEFAULT | 4 | 8 | Penjanje | Maksimum za penjanje | ZERO | 5 500 | | | |
| DC1040 | DEFAULT | 4 | 9 | Penjanje | Maksimum za penjanje | ZERO | 7 500 | | | |
| DC1040 | DEFAULT | 4 | 10 | Penjanje | Maksimum za penjanje | ZERO | 10 000 | | | |
| DC1040 | DEFAULT | 5 | 1 | Uzlijetanje | Maksimum za uzlijetanje | 15 | | | | |
| DC1040 | DEFAULT | 5 | 2 | Penjanje | Maksimum za uzlijetanje | 15 | 1 000 | | | |
| DC1040 | DEFAULT | 5 | 3 | Ubrzanje | Maksimum za uzlijetanje | 15 | | 1 639 | 195 | |
| DC1040 | DEFAULT | 5 | 4 | Ubrzanje | Maksimum za uzlijetanje | 5 | | 1 229 | 210 | |
| DC1040 | DEFAULT | 5 | 5 | Ubrzanje | Maksimum za penjanje | INT | | 1 000 | 225 | |
| DC1040 | DEFAULT | 5 | 6 | Penjanje | Maksimum za penjanje | ZERO | 3 000 | | | |
| DC1040 | DEFAULT | 5 | 7 | Ubrzanje | Maksimum za penjanje | ZERO | | 1 000 | 250 | |
| DC1040 | DEFAULT | 5 | 8 | Penjanje | Maksimum za penjanje | ZERO | 5 500 | | | |

▼M2

| ACFTID | Oznaka profila (Profile_ID) | Duljina faze | Broj koraka | Tip koraka | Režim rada motora | Zakrilca (Flap_ID) | Visina krajnje točke (ft) | Stopa penjanja (ft/min) | Kalibrirana brzina leta u krajnjoj točki (kt) | Postotak ubrzanja (Accelerate_Percent) (%) |
|---|---|---|---|---|---|---|---|---|---|---|
| DC1040 | DEFAULT | 5 | 9 | Penjanje | Maksimum za penjanje | ZERO | 7 500 | | | |
| DC1040 | DEFAULT | 5 | 10 | Penjanje | Maksimum za penjanje | ZERO | 10 000 | | | |
| DC1040 | DEFAULT | 6 | 1 | Uzlijetanje | Maksimum za uzlijetanje | 15 | | | | |
| DC1040 | DEFAULT | 6 | 2 | Penjanje | Maksimum za uzlijetanje | 15 | 1 000 | | | |
| DC1040 | DEFAULT | 6 | 3 | Ubrzanje | Maksimum za uzlijetanje | 15 | | 1 436 | 203 | |
| DC1040 | DEFAULT | 6 | 4 | Ubrzanje | Maksimum za uzlijetanje | 5 | | 1 077 | 218 | |
| DC1040 | DEFAULT | 6 | 5 | Ubrzanje | Maksimum za penjanje | INT | | 1 000 | 233 | |
| DC1040 | DEFAULT | 6 | 6 | Penjanje | Maksimum za penjanje | ZERO | 3 000 | | | |
| DC1040 | DEFAULT | 6 | 7 | Ubrzanje | Maksimum za penjanje | ZERO | | 1 000 | 250 | |
| DC1040 | DEFAULT | 6 | 8 | Penjanje | Maksimum za penjanje | ZERO | 5 500 | | | |
| DC1040 | DEFAULT | 6 | 9 | Penjanje | Maksimum za penjanje | ZERO | 7 500 | | | |
| DC1040 | DEFAULT | 6 | 10 | Penjanje | Maksimum za penjanje | ZERO | 10 000 | | | |
| DC1040 | DEFAULT | 7 | 1 | Uzlijetanje | Maksimum za uzlijetanje | 15 | | | | |
| DC1040 | DEFAULT | 7 | 2 | Penjanje | Maksimum za uzlijetanje | 15 | 1 000 | | | |

▼**M2**

| ACFTID | Oznaka profila (Profile_ID) | Duljina faze | Broj koraka | Tip koraka | Režim rada motora | Zakrilca (Flap_ID) | Visina krajnje točke (ft) | Stopa penjanja (ft/min) | Kalibrirana brzina leta u krajnjoj točki (kt) | Postotak ubrzanja (Accelerate_Percent) (%) |
|---|---|---|---|---|---|---|---|---|---|---|
| DC1040 | DEFAULT | 7 | 3 | Ubrzanje | Maksimum za uzlijetanje | 15 | | 1 170 | 211 | |
| DC1040 | DEFAULT | 7 | 4 | Ubrzanje | Maksimum za uzlijetanje | 5 | | 878 | 226 | |
| DC1040 | DEFAULT | 7 | 5 | Ubrzanje | Maksimum za penjanje | INT | | 800 | 241 | |
| DC1040 | DEFAULT | 7 | 6 | Penjanje | Maksimum za penjanje | ZERO | 3 000 | | | |
| DC1040 | DEFAULT | 7 | 7 | Ubrzanje | Maksimum za penjanje | ZERO | | 800 | 250 | |
| DC1040 | DEFAULT | 7 | 8 | Penjanje | Maksimum za penjanje | ZERO | 5 500 | | | |
| DC1040 | DEFAULT | 7 | 9 | Penjanje | Maksimum za penjanje | ZERO | 7 500 | | | |
| DC1040 | DEFAULT | 7 | 10 | Penjanje | Maksimum za penjanje | ZERO | 10 000 | | | |
| DC3 | DEFAULT | 1 | 1 | Uzlijetanje | Maksimum za uzlijetanje | TO | | | | |
| DC3 | DEFAULT | 1 | 2 | Penjanje | Maksimum za uzlijetanje | TO | 400 | | | |
| DC3 | DEFAULT | 1 | 3 | Penjanje | Maksimum za penjanje | ZERO | 3 000 | | | |
| DC3 | DEFAULT | 1 | 4 | Ubrzanje | Maksimum za penjanje | ZERO | | 1 000 | 126 | |
| DC3 | DEFAULT | 1 | 5 | Penjanje | Maksimum za penjanje | ZERO | 5 500 | | | |

▼M2

| ACFTID | Oznaka profila (Profile_ID) | Duljina faze | Broj koraka | Tip koraka | Režim rada motora | Zakrilca (Flap_ID) | Visina krajnje točke (ft) | Stopa penjanja (ft/min) | Kalibrirana brzina leta u krajnjoj točki (kt) | Postotak ubrzanja (Accelerate_Percent) (%) |
|---|---|---|---|---|---|---|---|---|---|---|
| DC3 | DEFAULT | 1 | 6 | Penjanje | Maksimum za penjanje | ZERO | 7 500 | | | |
| DC3 | DEFAULT | 1 | 7 | Penjanje | Maksimum za penjanje | ZERO | 10 000 | | | |
| DC3 | DEFAULT | 2 | 1 | Uzlijetanje | Maksimum za uzlijetanje | TO | | | | |
| DC3 | DEFAULT | 2 | 2 | Penjanje | Maksimum za uzlijetanje | TO | 400 | | | |
| DC3 | DEFAULT | 2 | 3 | Penjanje | Maksimum za penjanje | ZERO | 3 000 | | | |
| DC3 | DEFAULT | 2 | 4 | Ubrzanje | Maksimum za penjanje | ZERO | | 800 | 130 | |
| DC3 | DEFAULT | 2 | 5 | Penjanje | Maksimum za penjanje | ZERO | 5 500 | | | |
| DC3 | DEFAULT | 2 | 6 | Penjanje | Maksimum za penjanje | ZERO | 7 500 | | | |
| DC3 | DEFAULT | 2 | 7 | Penjanje | Maksimum za penjanje | ZERO | 10 000 | | | |
| DC3 | DEFAULT | 3 | 1 | Uzlijetanje | Maksimum za uzlijetanje | TO | | | | |
| DC3 | DEFAULT | 3 | 2 | Penjanje | Maksimum za uzlijetanje | TO | 400 | | | |
| DC3 | DEFAULT | 3 | 3 | Penjanje | Maksimum za penjanje | ZERO | 3 000 | | | |
| DC3 | DEFAULT | 3 | 4 | Ubrzanje | Maksimum za penjanje | ZERO | | 633 | 134 | |

▼**M2**

| ACFTID | Oznaka profila (Profile_ID) | Duljina faze | Broj koraka | Tip koraka | Režim rada motora | Zakrilca (Flap_ID) | Visina krajnje točke (ft) | Stopa penjanja (ft/min) | Kalibrirana brzina leta u krajnjoj točki (kt) | Postotak ubrzanja (Accelerate_Percent) (%) |
|---|---|---|---|---|---|---|---|---|---|---|
| DC3 | DEFAULT | 3 | 5 | Penjanje | Maksimum za penjanje | ZERO | 7 500 | | | |
| DC3 | DEFAULT | 3 | 6 | Penjanje | Maksimum za penjanje | ZERO | 10 000 | | | |
| DC6 | DEFAULT | 1 | 1 | Uzlijetanje | Maksimum za uzlijetanje | TO | | | | |
| DC6 | DEFAULT | 1 | 2 | Penjanje | Maksimum za uzlijetanje | TO | 1 500 | | | |
| DC6 | DEFAULT | 1 | 3 | Ubrzanje | Maksimum za uzlijetanje | TO | | 818 | 135 | |
| DC6 | DEFAULT | 1 | 4 | Penjanje | Maksimum za penjanje | ZERO | 3 000 | | | |
| DC6 | DEFAULT | 1 | 5 | Penjanje | Maksimum za penjanje | ZERO | 5 500 | | | |
| DC6 | DEFAULT | 1 | 6 | Penjanje | Maksimum za penjanje | ZERO | 7 500 | | | |
| DC6 | DEFAULT | 1 | 7 | Penjanje | Maksimum za penjanje | ZERO | 10 000 | | | |
| DC6 | DEFAULT | 2 | 1 | Uzlijetanje | Maksimum za uzlijetanje | TO | | | | |
| DC6 | DEFAULT | 2 | 2 | Penjanje | Maksimum za uzlijetanje | TO | 1 500 | | | |
| DC6 | DEFAULT | 2 | 3 | Ubrzanje | Maksimum za uzlijetanje | TO | | 643 | 143 | |
| DC6 | DEFAULT | 2 | 4 | Penjanje | Maksimum za penjanje | ZERO | 3 000 | | | |
| DC6 | DEFAULT | 2 | 5 | Penjanje | Maksimum za penjanje | ZERO | 5 500 | | | |

▼**M2**

| ACFTID | Oznaka profila (Profile_ID) | Duljina faze | Broj koraka | Tip koraka | Režim rada motora | Zakrilca (Flap_ID) | Visina krajnje točke (ft) | Stopa penjanja (ft/min) | Kalibrirana brzina leta u krajnjoj točki (kt) | Postotak ubrzanja (Accelerate_Percent) (%) |
|---|---|---|---|---|---|---|---|---|---|---|
| DC6 | DEFAULT | 2 | 6 | Penjanje | Maksimum za penjanje | ZERO | 7 500 | | | |
| DC6 | DEFAULT | 2 | 7 | Penjanje | Maksimum za penjanje | ZERO | 10 000 | | | |
| DC6 | DEFAULT | 3 | 1 | Uzlijetanje | Maksimum za uzlijetanje | TO | | | | |
| DC6 | DEFAULT | 3 | 2 | Penjanje | Maksimum za uzlijetanje | TO | 1 500 | | | |
| DC6 | DEFAULT | 3 | 3 | Ubrzanje | Maksimum za uzlijetanje | TO | | 498 | 149 | |
| DC6 | DEFAULT | 3 | 4 | Penjanje | Maksimum za penjanje | ZERO | 3 000 | | | |
| DC6 | DEFAULT | 3 | 5 | Penjanje | Maksimum za penjanje | ZERO | 5 500 | | | |
| DC6 | DEFAULT | 3 | 6 | Penjanje | Maksimum za penjanje | ZERO | 7 500 | | | |
| DC6 | DEFAULT | 3 | 7 | Penjanje | Maksimum za penjanje | ZERO | 10 000 | | | |
| DC850 | DEFAULT | 1 | 1 | Uzlijetanje | Maksimum za uzlijetanje | 15 | | | | |
| DC850 | DEFAULT | 1 | 2 | Penjanje | Maksimum za uzlijetanje | 15 | 1 000 | | | |
| DC850 | DEFAULT | 1 | 3 | Ubrzanje | Maksimum za uzlijetanje | 15 | | 2 205 | 149 | |
| DC850 | DEFAULT | 1 | 4 | Ubrzanje | Maksimum za uzlijetanje | INT | | 1 654 | 169 | |
| DC850 | DEFAULT | 1 | 5 | Ubrzanje | Maksimum za penjanje | INT | | 1 000 | 189 | |

▼**M2**

| ACFTID | Oznaka profila (Profile_ID) | Duljina faze | Broj koraka | Tip koraka | Režim rada motora | Zakrilca (Flap_ID) | Visina krajnje točke (ft) | Stopa penjanja (ft/min) | Kalibrirana brzina leta u krajnjoj točki (kt) | Postotak ubrzanja (Accelerate_Percent) (%) |
|---|---|---|---|---|---|---|---|---|---|---|
| DC850 | DEFAULT | 1 | 6 | Penjanje | Maksimum za penjanje | ZERO | 3 000 | | | |
| DC850 | DEFAULT | 1 | 7 | Ubrzanje | Maksimum za penjanje | ZERO | | 1 000 | 250 | |
| DC850 | DEFAULT | 1 | 8 | Penjanje | Maksimum za penjanje | ZERO | 5 500 | | | |
| DC850 | DEFAULT | 1 | 9 | Penjanje | Maksimum za penjanje | ZERO | 7 500 | | | |
| DC850 | DEFAULT | 1 | 10 | Penjanje | Maksimum za penjanje | ZERO | 10 000 | | | |
| DC850 | DEFAULT | 2 | 1 | Uzlijetanje | Maksimum za uzlijetanje | 15 | | | | |
| DC850 | DEFAULT | 2 | 2 | Penjanje | Maksimum za uzlijetanje | 15 | 1 000 | | | |
| DC850 | DEFAULT | 2 | 3 | Ubrzanje | Maksimum za uzlijetanje | 15 | | 2 089 | 153 | |
| DC850 | DEFAULT | 2 | 4 | Ubrzanje | Maksimum za uzlijetanje | INT | | 1 567 | 173 | |
| DC850 | DEFAULT | 2 | 5 | Ubrzanje | Maksimum za penjanje | INT | | 1 000 | 193 | |
| DC850 | DEFAULT | 2 | 6 | Penjanje | Maksimum za penjanje | ZERO | 3 000 | | | |
| DC850 | DEFAULT | 2 | 7 | Ubrzanje | Maksimum za penjanje | ZERO | | 1 000 | 250 | |
| DC850 | DEFAULT | 2 | 8 | Penjanje | Maksimum za penjanje | ZERO | 5 500 | | | |

▼**M2**

| ACFTID | Oznaka profila (Profile_ID) | Duljina faze | Broj koraka | Tip koraka | Režim rada motora | Zakrilca (Flap_ID) | Visina krajnje točke (ft) | Stopa penjanja (ft/min) | Kalibrirana brzina leta u krajnjoj točki (kt) | Postotak ubrzanja (Accelerate_Percent) (%) |
|---|---|---|---|---|---|---|---|---|---|---|
| DC850 | DEFAULT | 2 | 9 | Penjanje | Maksimum za penjanje | ZERO | 7 500 | | | |
| DC850 | DEFAULT | 2 | 10 | Penjanje | Maksimum za penjanje | ZERO | 10 000 | | | |
| DC850 | DEFAULT | 3 | 1 | Uzlijetanje | Maksimum za uzlijetanje | 15 | | | | |
| DC850 | DEFAULT | 3 | 2 | Penjanje | Maksimum za uzlijetanje | 15 | 1 000 | | | |
| DC850 | DEFAULT | 3 | 3 | Ubrzanje | Maksimum za uzlijetanje | 15 | | 1 930 | 158 | |
| DC850 | DEFAULT | 3 | 4 | Ubrzanje | Maksimum za uzlijetanje | INT | | 1 448 | 178 | |
| DC850 | DEFAULT | 3 | 5 | Ubrzanje | Maksimum za penjanje | INT | | 1 000 | 198 | |
| DC850 | DEFAULT | 3 | 6 | Penjanje | Maksimum za penjanje | ZERO | 3 000 | | | |
| DC850 | DEFAULT | 3 | 7 | Ubrzanje | Maksimum za penjanje | ZERO | | 1 000 | 250 | |
| DC850 | DEFAULT | 3 | 8 | Penjanje | Maksimum za penjanje | ZERO | 5 500 | | | |
| DC850 | DEFAULT | 3 | 9 | Penjanje | Maksimum za penjanje | ZERO | 7 500 | | | |
| DC850 | DEFAULT | 3 | 10 | Penjanje | Maksimum za penjanje | ZERO | 10 000 | | | |
| DC850 | DEFAULT | 4 | 1 | Uzlijetanje | Maksimum za uzlijetanje | 15 | | | | |

▼**M2**

| ACFTID | Oznaka profila (Profile_ID) | Duljina faze | Broj koraka | Tip koraka | Režim rada motora | Zakrilca (Flap_ID) | Visina krajnje točke (ft) | Stopa penjanja (ft/min) | Kalibrirana brzina leta u krajnjoj točki (kt) | Postotak ubrzanja (Accelerate_Percent) (%) |
|---|---|---|---|---|---|---|---|---|---|---|
| DC850 | DEFAULT | 4 | 2 | Penjanje | Maksimum za uzlijetanje | 15 | 1 000 | | | |
| DC850 | DEFAULT | 4 | 3 | Ubrzanje | Maksimum za uzlijetanje | 15 | | 1 743 | 165 | |
| DC850 | DEFAULT | 4 | 4 | Ubrzanje | Maksimum za uzlijetanje | INT | | 1 308 | 185 | |
| DC850 | DEFAULT | 4 | 5 | Ubrzanje | Maksimum za penjanje | INT | | 1 000 | 205 | |
| DC850 | DEFAULT | 4 | 6 | Penjanje | Maksimum za penjanje | ZERO | 3 000 | | | |
| DC850 | DEFAULT | 4 | 7 | Ubrzanje | Maksimum za penjanje | ZERO | | 1 000 | 250 | |
| DC850 | DEFAULT | 4 | 8 | Penjanje | Maksimum za penjanje | ZERO | 5 500 | | | |
| DC850 | DEFAULT | 4 | 9 | Penjanje | Maksimum za penjanje | ZERO | 7 500 | | | |
| DC850 | DEFAULT | 4 | 10 | Penjanje | Maksimum za penjanje | ZERO | 10 000 | | | |
| DC850 | DEFAULT | 5 | 1 | Uzlijetanje | Maksimum za uzlijetanje | 15 | | | | |
| DC850 | DEFAULT | 5 | 2 | Penjanje | Maksimum za uzlijetanje | 15 | 1 000 | | | |
| DC850 | DEFAULT | 5 | 3 | Ubrzanje | Maksimum za uzlijetanje | 15 | | 1 541 | 173 | |
| DC850 | DEFAULT | 5 | 4 | Ubrzanje | Maksimum za uzlijetanje | INT | | 1 156 | 193 | |

▼**M2**

| ACFTID | Oznaka profila (Profile_ID) | Duljina faze | Broj koraka | Tip koraka | Režim rada motora | Zakrilca (Flap_ID) | Visina krajnje točke (ft) | Stopa penjanja (ft/min) | Kalibrirana brzina leta u krajnjoj točki (kt) | Postotak ubrzanja (Accelerate_Percent) (%) |
|---|---|---|---|---|---|---|---|---|---|---|
| DC850 | DEFAULT | 5 | 5 | Ubrzanje | Maksimum za penjanje | INT | | 1 000 | 213 | |
| DC850 | DEFAULT | 5 | 6 | Penjanje | Maksimum za penjanje | ZERO | 3 000 | | | |
| DC850 | DEFAULT | 5 | 7 | Ubrzanje | Maksimum za penjanje | ZERO | | 1 000 | 250 | |
| DC850 | DEFAULT | 5 | 8 | Penjanje | Maksimum za penjanje | ZERO | 5 500 | | | |
| DC850 | DEFAULT | 5 | 9 | Penjanje | Maksimum za penjanje | ZERO | 7 500 | | | |
| DC850 | DEFAULT | 5 | 10 | Penjanje | Maksimum za penjanje | ZERO | 10 000 | | | |
| DC850 | DEFAULT | 6 | 1 | Uzlijetanje | Maksimum za uzlijetanje | 15 | | | | |
| DC850 | DEFAULT | 6 | 2 | Penjanje | Maksimum za uzlijetanje | 15 | 1 000 | | | |
| DC850 | DEFAULT | 6 | 3 | Ubrzanje | Maksimum za uzlijetanje | 15 | | 1 397 | 180 | |
| DC850 | DEFAULT | 6 | 4 | Ubrzanje | Maksimum za uzlijetanje | INT | | 1 048 | 200 | |
| DC850 | DEFAULT | 6 | 5 | Ubrzanje | Maksimum za penjanje | INT | | 1 000 | 220 | |
| DC850 | DEFAULT | 6 | 6 | Penjanje | Maksimum za penjanje | ZERO | 3 000 | | | |
| DC850 | DEFAULT | 6 | 7 | Ubrzanje | Maksimum za penjanje | ZERO | | 1 000 | 250 | |

▼**M2**

| ACFTID | Oznaka profila (Profile_ID) | Duljina faze | Broj koraka | Tip koraka | Režim rada motora | Zakrilca (Flap_ID) | Visina krajnje točke (ft) | Stopa penjanja (ft/min) | Kalibrirana brzina leta u krajnjoj točki (kt) | Postotak ubrzanja (Accelerate_Percent) (%) |
|---|---|---|---|---|---|---|---|---|---|---|
| DC850 | DEFAULT | 6 | 8 | Penjanje | Maksimum za penjanje | ZERO | 5 500 | | | |
| DC850 | DEFAULT | 6 | 9 | Penjanje | Maksimum za penjanje | ZERO | 7 500 | | | |
| DC850 | DEFAULT | 6 | 10 | Penjanje | Maksimum za penjanje | ZERO | 10 000 | | | |
| DC860 | DEFAULT | 1 | 1 | Uzlijetanje | Maksimum za uzlijetanje | 12 | | | | |
| DC860 | DEFAULT | 1 | 2 | Penjanje | Maksimum za uzlijetanje | 12 | 1 000 | | | |
| DC860 | DEFAULT | 1 | 3 | Ubrzanje | Maksimum za uzlijetanje | 12 | | 2 055 | 160 | |
| DC860 | DEFAULT | 1 | 4 | Ubrzanje | Maksimum za uzlijetanje | INT | | 1 541 | 180 | |
| DC860 | DEFAULT | 1 | 5 | Ubrzanje | Maksimum za penjanje | INT | | 1 000 | 200 | |
| DC860 | DEFAULT | 1 | 6 | Penjanje | Maksimum za penjanje | ZERO | 3 000 | | | |
| DC860 | DEFAULT | 1 | 7 | Ubrzanje | Maksimum za penjanje | ZERO | | 1 000 | 250 | |
| DC860 | DEFAULT | 1 | 8 | Penjanje | Maksimum za penjanje | ZERO | 5 500 | | | |
| DC860 | DEFAULT | 1 | 9 | Penjanje | Maksimum za penjanje | ZERO | 7 500 | | | |
| DC860 | DEFAULT | 1 | 10 | Penjanje | Maksimum za penjanje | ZERO | 10 000 | | | |

▼**M2**

| ACFTID | Oznaka profila (Profile_ID) | Duljina faze | Broj koraka | Tip koraka | Režim rada motora | Zakrilca (Flap_ID) | Visina krajnje točke (ft) | Stopa penjanja (ft/min) | Kalibrirana brzina leta u krajnjoj točki (kt) | Postotak ubrzanja (Accelerate_Percent) (%) |
|---|---|---|---|---|---|---|---|---|---|---|
| DC860 | DEFAULT | 2 | 1 | Uzlijetanje | Maksimum za uzlijetanje | 12 | | | | |
| DC860 | DEFAULT | 2 | 2 | Penjanje | Maksimum za uzlijetanje | 12 | 1 000 | | | |
| DC860 | DEFAULT | 2 | 3 | Ubrzanje | Maksimum za uzlijetanje | 12 | | 1 959 | 164 | |
| DC860 | DEFAULT | 2 | 4 | Ubrzanje | Maksimum za uzlijetanje | INT | | 1 470 | 184 | |
| DC860 | DEFAULT | 2 | 5 | Ubrzanje | Maksimum za penjanje | INT | | 1 000 | 204 | |
| DC860 | DEFAULT | 2 | 6 | Penjanje | Maksimum za penjanje | ZERO | 3 000 | | | |
| DC860 | DEFAULT | 2 | 7 | Ubrzanje | Maksimum za penjanje | ZERO | | 1 000 | 250 | |
| DC860 | DEFAULT | 2 | 8 | Penjanje | Maksimum za penjanje | ZERO | 5 500 | | | |
| DC860 | DEFAULT | 2 | 9 | Penjanje | Maksimum za penjanje | ZERO | 7 500 | | | |
| DC860 | DEFAULT | 2 | 10 | Penjanje | Maksimum za penjanje | ZERO | 10 000 | | | |
| DC860 | DEFAULT | 3 | 1 | Uzlijetanje | Maksimum za uzlijetanje | 12 | | | | |
| DC860 | DEFAULT | 3 | 2 | Penjanje | Maksimum za uzlijetanje | 12 | 1 000 | | | |
| DC860 | DEFAULT | 3 | 3 | Ubrzanje | Maksimum za uzlijetanje | 12 | | 1 827 | 168 | |
| DC860 | DEFAULT | 3 | 4 | Ubrzanje | Maksimum za uzlijetanje | INT | | 1 371 | 188 | |

▼**M2**

| ACFTID | Oznaka profila (Profile_ID) | Duljina faze | Broj koraka | Tip koraka | Režim rada motora | Zakrilca (Flap_ID) | Visina krajnje točke (ft) | Stopa penjanja (ft/min) | Kalibrirana brzina leta u krajnjoj točki (kt) | Postotak ubrzanja (Accelerate_Percent) (%) |
|---|---|---|---|---|---|---|---|---|---|---|
| DC860 | DEFAULT | 3 | 5 | Ubrzanje | Maksimum za penjanje | INT | | 1 000 | 208 | |
| DC860 | DEFAULT | 3 | 6 | Penjanje | Maksimum za penjanje | ZERO | 3 000 | | | |
| DC860 | DEFAULT | 3 | 7 | Ubrzanje | Maksimum za penjanje | ZERO | | 1 000 | 250 | |
| DC860 | DEFAULT | 3 | 8 | Penjanje | Maksimum za penjanje | ZERO | 5 500 | | | |
| DC860 | DEFAULT | 3 | 9 | Penjanje | Maksimum za penjanje | ZERO | 7 500 | | | |
| DC860 | DEFAULT | 3 | 10 | Penjanje | Maksimum za penjanje | ZERO | 10 000 | | | |
| DC860 | DEFAULT | 4 | 1 | Uzlijetanje | Maksimum za uzlijetanje | 12 | | | | |
| DC860 | DEFAULT | 4 | 2 | Penjanje | Maksimum za uzlijetanje | 12 | 1 000 | | | |
| DC860 | DEFAULT | 4 | 3 | Ubrzanje | Maksimum za uzlijetanje | 12 | | 1 668 | 175 | |
| DC860 | DEFAULT | 4 | 4 | Ubrzanje | Maksimum za uzlijetanje | INT | | 1 251 | 195 | |
| DC860 | DEFAULT | 4 | 5 | Ubrzanje | Maksimum za penjanje | INT | | 1 000 | 215 | |
| DC860 | DEFAULT | 4 | 6 | Penjanje | Maksimum za penjanje | ZERO | 3 000 | | | |
| DC860 | DEFAULT | 4 | 7 | Ubrzanje | Maksimum za penjanje | ZERO | | 1 000 | 250 | |
| DC860 | DEFAULT | 4 | 8 | Penjanje | Maksimum za penjanje | ZERO | 5 500 | | | |

▼M2

| ACFTID | Oznaka profila (Profile_ID) | Duljina faze | Broj koraka | Tip koraka | Režim rada motora | Zakrilca (Flap_ID) | Visina krajnje točke (ft) | Stopa penjanja (ft/min) | Kalibrirana brzina leta u krajnjoj točki (kt) | Postotak ubrzanja (Accelerate_Percent) (%) |
|---|---|---|---|---|---|---|---|---|---|---|
| DC860 | DEFAULT | 4 | 9 | Penjanje | Maksimum za penjanje | ZERO | 7 500 | | | |
| DC860 | DEFAULT | 4 | 10 | Penjanje | Maksimum za penjanje | ZERO | 10 000 | | | |
| DC860 | DEFAULT | 5 | 1 | Uzlijetanje | Maksimum za uzlijetanje | 12 | | | | |
| DC860 | DEFAULT | 5 | 2 | Penjanje | Maksimum za uzlijetanje | 12 | 1 000 | | | |
| DC860 | DEFAULT | 5 | 3 | Ubrzanje | Maksimum za uzlijetanje | 12 | | 1 491 | 182 | |
| DC860 | DEFAULT | 5 | 4 | Ubrzanje | Maksimum za uzlijetanje | INT | | 1 118 | 202 | |
| DC860 | DEFAULT | 5 | 5 | Ubrzanje | Maksimum za penjanje | INT | | 1 000 | 222 | |
| DC860 | DEFAULT | 5 | 6 | Penjanje | Maksimum za penjanje | ZERO | 3 000 | | | |
| DC860 | DEFAULT | 5 | 7 | Ubrzanje | Maksimum za penjanje | ZERO | | 1 000 | 250 | |
| DC860 | DEFAULT | 5 | 8 | Penjanje | Maksimum za penjanje | ZERO | 5 500 | | | |
| DC860 | DEFAULT | 5 | 9 | Penjanje | Maksimum za penjanje | ZERO | 7 500 | | | |
| DC860 | DEFAULT | 5 | 10 | Penjanje | Maksimum za penjanje | ZERO | 10 000 | | | |
| DC860 | DEFAULT | 6 | 1 | Uzlijetanje | Maksimum za uzlijetanje | 12 | | | | |
| DC860 | DEFAULT | 6 | 2 | Penjanje | Maksimum za uzlijetanje | 12 | 1 000 | | | |

▼M2

| ACFTID | Oznaka profila (Profile_ID) | Duljina faze | Broj koraka | Tip koraka | Režim rada motora | Zakrilca (Flap_ID) | Visina krajnje točke (ft) | Stopa penjanja (ft/min) | Kalibrirana brzina leta u krajnjoj točki (kt) | Postotak ubrzanja (Accelerate_Percent) (%) |
|---|---|---|---|---|---|---|---|---|---|---|
| DC860 | DEFAULT | 6 | 3 | Ubrzanje | Maksimum za uzlijetanje | 12 | | 1 394 | 187 | |
| DC860 | DEFAULT | 6 | 4 | Ubrzanje | Maksimum za uzlijetanje | INT | | 1 046 | 207 | |
| DC860 | DEFAULT | 6 | 5 | Ubrzanje | Maksimum za penjanje | INT | | 1 000 | 227 | |
| DC860 | DEFAULT | 6 | 6 | Penjanje | Maksimum za penjanje | ZERO | 3 000 | | | |
| DC860 | DEFAULT | 6 | 7 | Ubrzanje | Maksimum za penjanje | ZERO | | 1 000 | 250 | |
| DC860 | DEFAULT | 6 | 8 | Penjanje | Maksimum za penjanje | ZERO | 5 500 | | | |
| DC860 | DEFAULT | 6 | 9 | Penjanje | Maksimum za penjanje | ZERO | 7 500 | | | |
| DC860 | DEFAULT | 6 | 10 | Penjanje | Maksimum za penjanje | ZERO | 10 000 | | | |
| DC860 | DEFAULT | 7 | 1 | Uzlijetanje | Maksimum za uzlijetanje | 12 | | | | |
| DC860 | DEFAULT | 7 | 2 | Penjanje | Maksimum za uzlijetanje | 12 | 1 000 | | | |
| DC860 | DEFAULT | 7 | 3 | Ubrzanje | Maksimum za uzlijetanje | 12 | | 1 275 | 192 | |
| DC860 | DEFAULT | 7 | 4 | Ubrzanje | Maksimum za uzlijetanje | INT | | 956 | 212 | |
| DC860 | DEFAULT | 7 | 5 | Ubrzanje | Maksimum za penjanje | INT | | 900 | 232 | |
| DC860 | DEFAULT | 7 | 6 | Penjanje | Maksimum za penjanje | ZERO | 3 000 | | | |

▼M2

| ACFTID | Oznaka profila (Profile_ID) | Duljina faze | Broj koraka | Tip koraka | Režim rada motora | Zakrilca (Flap_ID) | Visina krajnje točke (ft) | Stopa penjanja (ft/min) | Kalibrirana brzina leta u krajnjoj točki (kt) | Postotak ubrzanja (Accelerate_Percent) (%) |
|---|---|---|---|---|---|---|---|---|---|---|
| DC860 | DEFAULT | 7 | 7 | Ubrzanje | Maksimum za penjanje | ZERO | | 900 | 250 | |
| DC860 | DEFAULT | 7 | 8 | Penjanje | Maksimum za penjanje | ZERO | 5 500 | | | |
| DC860 | DEFAULT | 7 | 9 | Penjanje | Maksimum za penjanje | ZERO | 7 500 | | | |
| DC860 | DEFAULT | 7 | 10 | Penjanje | Maksimum za penjanje | ZERO | 10 000 | | | |
| DC870 | DEFAULT | 1 | 1 | Uzlijetanje | Maksimum za uzlijetanje | 12 | | | | |
| DC870 | DEFAULT | 1 | 2 | Penjanje | Maksimum za uzlijetanje | 12 | 1 000 | | | |
| DC870 | DEFAULT | 1 | 3 | Ubrzanje | Maksimum za uzlijetanje | 12 | | 2 405 | 160 | |
| DC870 | DEFAULT | 1 | 4 | Ubrzanje | Maksimum za uzlijetanje | INT | | 1 804 | 180 | |
| DC870 | DEFAULT | 1 | 5 | Ubrzanje | Maksimum za penjanje | INT | | 1 000 | 200 | |
| DC870 | DEFAULT | 1 | 6 | Penjanje | Maksimum za penjanje | ZERO | 3 000 | | | |
| DC870 | DEFAULT | 1 | 7 | Ubrzanje | Maksimum za penjanje | ZERO | | 1 000 | 250 | |
| DC870 | DEFAULT | 1 | 8 | Penjanje | Maksimum za penjanje | ZERO | 5 500 | | | |
| DC870 | DEFAULT | 1 | 9 | Penjanje | Maksimum za penjanje | ZERO | 7 500 | | | |

▼M2

| ACFTID | Oznaka profila (Profile_ID) | Duljina faze | Broj koraka | Tip koraka | Režim rada motora | Zakrilca (Flap_ID) | Visina krajnje točke (ft) | Stopa penjanja (ft/min) | Kalibrirana brzina leta u krajnjoj točki (kt) | Postotak ubrzanja (Accelerate_Percent) (%) |
|---|---|---|---|---|---|---|---|---|---|---|
| DC870 | DEFAULT | 1 | 10 | Penjanje | Maksimum za penjanje | ZERO | 10 000 | | | |
| DC870 | DEFAULT | 2 | 1 | Uzlijetanje | Maksimum za uzlijetanje | 12 | | | | |
| DC870 | DEFAULT | 2 | 2 | Penjanje | Maksimum za uzlijetanje | 12 | 1 000 | | | |
| DC870 | DEFAULT | 2 | 3 | Ubrzanje | Maksimum za uzlijetanje | 12 | | 2 289 | 164 | |
| DC870 | DEFAULT | 2 | 4 | Ubrzanje | Maksimum za uzlijetanje | INT | | 1 717 | 184 | |
| DC870 | DEFAULT | 2 | 5 | Ubrzanje | Maksimum za penjanje | INT | | 1 000 | 204 | |
| DC870 | DEFAULT | 2 | 6 | Penjanje | Maksimum za penjanje | ZERO | 3 000 | | | |
| DC870 | DEFAULT | 2 | 7 | Ubrzanje | Maksimum za penjanje | ZERO | | 1 000 | 250 | |
| DC870 | DEFAULT | 2 | 8 | Penjanje | Maksimum za penjanje | ZERO | 5 500 | | | |
| DC870 | DEFAULT | 2 | 9 | Penjanje | Maksimum za penjanje | ZERO | 7 500 | | | |
| DC870 | DEFAULT | 2 | 10 | Penjanje | Maksimum za penjanje | ZERO | 10 000 | | | |
| DC870 | DEFAULT | 3 | 1 | Uzlijetanje | Maksimum za uzlijetanje | 12 | | | | |
| DC870 | DEFAULT | 3 | 2 | Penjanje | Maksimum za uzlijetanje | 12 | 1 000 | | | |

▼M2

| ACFTID | Oznaka profila (Profile_ID) | Duljina faze | Broj koraka | Tip koraka | Režim rada motora | Zakrilca (Flap_ID) | Visina krajnje točke (ft) | Stopa penjanja (ft/min) | Kalibrirana brzina leta u krajnjoj točki (kt) | Postotak ubrzanja (Accelerate_Percent) (%) |
|---|---|---|---|---|---|---|---|---|---|---|
| DC870 | DEFAULT | 3 | 3 | Ubrzanje | Maksimum za uzlijetanje | 12 | | 2 129 | 168 | |
| DC870 | DEFAULT | 3 | 4 | Ubrzanje | Maksimum za uzlijetanje | INT | | 1 597 | 188 | |
| DC870 | DEFAULT | 3 | 5 | Ubrzanje | Maksimum za penjanje | INT | | 1 000 | 208 | |
| DC870 | DEFAULT | 3 | 6 | Penjanje | Maksimum za penjanje | ZERO | 3 000 | | | |
| DC870 | DEFAULT | 3 | 7 | Ubrzanje | Maksimum za penjanje | ZERO | | 1 000 | 250 | |
| DC870 | DEFAULT | 3 | 8 | Penjanje | Maksimum za penjanje | ZERO | 5 500 | | | |
| DC870 | DEFAULT | 3 | 9 | Penjanje | Maksimum za penjanje | ZERO | 7 500 | | | |
| DC870 | DEFAULT | 3 | 10 | Penjanje | Maksimum za penjanje | ZERO | 10 000 | | | |
| DC870 | DEFAULT | 4 | 1 | Uzlijetanje | Maksimum za uzlijetanje | 12 | | | | |
| DC870 | DEFAULT | 4 | 2 | Penjanje | Maksimum za uzlijetanje | 12 | 1 000 | | | |
| DC870 | DEFAULT | 4 | 3 | Ubrzanje | Maksimum za uzlijetanje | 12 | | 1 938 | 175 | |
| DC870 | DEFAULT | 4 | 4 | Ubrzanje | Maksimum za uzlijetanje | INT | | 1 454 | 195 | |
| DC870 | DEFAULT | 4 | 5 | Ubrzanje | Maksimum za penjanje | INT | | 1 000 | 215 | |

▼**M2**

| ACFTID | Oznaka profila (Profile_ID) | Duljina faze | Broj koraka | Tip koraka | Režim rada motora | Zakrilca (Flap_ID) | Visina krajnje točke (ft) | Stopa penjanja (ft/min) | Kalibrirana brzina leta u krajnjoj točki (kt) | Postotak ubrzanja (Accelerate_Percent) (%) |
|---|---|---|---|---|---|---|---|---|---|---|
| DC870 | DEFAULT | 4 | 6 | Penjanje | Maksimum za penjanje | ZERO | 3 000 | | | |
| DC870 | DEFAULT | 4 | 7 | Ubrzanje | Maksimum za penjanje | ZERO | | 1 000 | 250 | |
| DC870 | DEFAULT | 4 | 8 | Penjanje | Maksimum za penjanje | ZERO | 5 500 | | | |
| DC870 | DEFAULT | 4 | 9 | Penjanje | Maksimum za penjanje | ZERO | 7 500 | | | |
| DC870 | DEFAULT | 4 | 10 | Penjanje | Maksimum za penjanje | ZERO | 10 000 | | | |
| DC870 | DEFAULT | 5 | 1 | Uzlijetanje | Maksimum za uzlijetanje | 12 | | | | |
| DC870 | DEFAULT | 5 | 2 | Penjanje | Maksimum za uzlijetanje | 12 | 1 000 | | | |
| DC870 | DEFAULT | 5 | 3 | Ubrzanje | Maksimum za uzlijetanje | 12 | | 1 727 | 182 | |
| DC870 | DEFAULT | 5 | 4 | Ubrzanje | Maksimum za uzlijetanje | INT | | 1 295 | 202 | |
| DC870 | DEFAULT | 5 | 5 | Ubrzanje | Maksimum za penjanje | INT | | 1 000 | 222 | |
| DC870 | DEFAULT | 5 | 6 | Penjanje | Maksimum za penjanje | ZERO | 3 000 | | | |
| DC870 | DEFAULT | 5 | 7 | Ubrzanje | Maksimum za penjanje | ZERO | | 1 000 | 250 | |
| DC870 | DEFAULT | 5 | 8 | Penjanje | Maksimum za penjanje | ZERO | 5 500 | | | |
| DC870 | DEFAULT | 5 | 9 | Penjanje | Maksimum za penjanje | ZERO | 7 500 | | | |

▼M2

| ACFTID | Oznaka profila (Profile_ID) | Duljina faze | Broj koraka | Tip koraka | Režim rada motora | Zakrilca (Flap_ID) | Visina krajnje točke (ft) | Stopa penjanja (ft/min) | Kalibrirana brzina leta u krajnjoj točki (kt) | Postotak ubrzanja (Accelerate_Percent) (%) |
|---|---|---|---|---|---|---|---|---|---|---|
| DC870 | DEFAULT | 5 | 10 | Penjanje | Maksimum za penjanje | ZERO | 10 000 | | | |
| DC870 | DEFAULT | 6 | 1 | Uzlijetanje | Maksimum za uzlijetanje | 12 | | | | |
| DC870 | DEFAULT | 6 | 2 | Penjanje | Maksimum za uzlijetanje | 12 | 1 000 | | | |
| DC870 | DEFAULT | 6 | 3 | Ubrzanje | Maksimum za uzlijetanje | 12 | | 1 611 | 187 | |
| DC870 | DEFAULT | 6 | 4 | Ubrzanje | Maksimum za uzlijetanje | INT | | 1 209 | 207 | |
| DC870 | DEFAULT | 6 | 5 | Ubrzanje | Maksimum za penjanje | INT | | 1 000 | 227 | |
| DC870 | DEFAULT | 6 | 6 | Penjanje | Maksimum za penjanje | ZERO | 3 000 | | | |
| DC870 | DEFAULT | 6 | 7 | Ubrzanje | Maksimum za penjanje | ZERO | | 1 000 | 250 | |
| DC870 | DEFAULT | 6 | 8 | Penjanje | Maksimum za penjanje | ZERO | 5 500 | | | |
| DC870 | DEFAULT | 6 | 9 | Penjanje | Maksimum za penjanje | ZERO | 7 500 | | | |
| DC870 | DEFAULT | 6 | 10 | Penjanje | Maksimum za penjanje | ZERO | 10 000 | | | |
| DC870 | DEFAULT | 7 | 1 | Uzlijetanje | Maksimum za uzlijetanje | 12 | | | | |
| DC870 | DEFAULT | 7 | 2 | Penjanje | Maksimum za uzlijetanje | 12 | 1 000 | | | |

▼M2

| ACFTID | Oznaka profila (Profile_ID) | Duljina faze | Broj koraka | Tip koraka | Režim rada motora | Zakrilca (Flap_ID) | Visina krajnje točke (ft) | Stopa penjanja (ft/min) | Kalibrirana brzina leta u krajnjoj točki (kt) | Postotak ubrzanja (Accelerate_Percent) (%) |
|---|---|---|---|---|---|---|---|---|---|---|
| DC870 | DEFAULT | 7 | 3 | Ubrzanje | Maksimum za uzlijetanje | 12 | | 1 470 | 192 | |
| DC870 | DEFAULT | 7 | 4 | Ubrzanje | Maksimum za uzlijetanje | INT | | 1 103 | 212 | |
| DC870 | DEFAULT | 7 | 5 | Ubrzanje | Maksimum za penjanje | INT | | 1 000 | 232 | |
| DC870 | DEFAULT | 7 | 6 | Penjanje | Maksimum za penjanje | ZERO | 3 000 | | | |
| DC870 | DEFAULT | 7 | 7 | Ubrzanje | Maksimum za penjanje | ZERO | | 1 000 | 250 | |
| DC870 | DEFAULT | 7 | 8 | Penjanje | Maksimum za penjanje | ZERO | 5 500 | | | |
| DC870 | DEFAULT | 7 | 9 | Penjanje | Maksimum za penjanje | ZERO | 7 500 | | | |
| DC870 | DEFAULT | 7 | 10 | Penjanje | Maksimum za penjanje | ZERO | 10 000 | | | |
| DC8QN | DEFAULT | 1 | 1 | Uzlijetanje | Maksimum za uzlijetanje | 12 | | | | |
| DC8QN | DEFAULT | 1 | 2 | Penjanje | Maksimum za uzlijetanje | 12 | 1 000 | | | |
| DC8QN | DEFAULT | 1 | 3 | Ubrzanje | Maksimum za uzlijetanje | 12 | | 2 055 | 160 | |
| DC8QN | DEFAULT | 1 | 4 | Ubrzanje | Maksimum za uzlijetanje | INT | | 1 541 | 180 | |

▼M2

| ACFTID | Oznaka profila (Profile_ID) | Duljina faze | Broj koraka | Tip koraka | Režim rada motora | Zakrilca (Flap_ID) | Visina krajnje točke (ft) | Stopa penjanja (ft/min) | Kalibrirana brzina leta u krajnjoj točki (kt) | Postotak ubrzanja (Accelerate_Percent) (%) |
|---|---|---|---|---|---|---|---|---|---|---|
| DC8QN | DEFAULT | 1 | 5 | Ubrzanje | Maksimum za penjanje | INT | | 1 000 | 200 | |
| DC8QN | DEFAULT | 1 | 6 | Penjanje | Maksimum za penjanje | ZERO | 3 000 | | | |
| DC8QN | DEFAULT | 1 | 7 | Ubrzanje | Maksimum za penjanje | ZERO | | 1 000 | 250 | |
| DC8QN | DEFAULT | 1 | 8 | Penjanje | Maksimum za penjanje | ZERO | 5 500 | | | |
| DC8QN | DEFAULT | 1 | 9 | Penjanje | Maksimum za penjanje | ZERO | 7 500 | | | |
| DC8QN | DEFAULT | 1 | 10 | Penjanje | Maksimum za penjanje | ZERO | 10 000 | | | |
| DC8QN | DEFAULT | 2 | 1 | Uzlijetanje | Maksimum za uzlijetanje | 12 | | | | |
| DC8QN | DEFAULT | 2 | 2 | Penjanje | Maksimum za uzlijetanje | 12 | 1 000 | | | |
| DC8QN | DEFAULT | 2 | 3 | Ubrzanje | Maksimum za uzlijetanje | 12 | | 1 959 | 164 | |
| DC8QN | DEFAULT | 2 | 4 | Ubrzanje | Maksimum za uzlijetanje | INT | | 1 470 | 184 | |
| DC8QN | DEFAULT | 2 | 5 | Ubrzanje | Maksimum za penjanje | INT | | 1 000 | 204 | |
| DC8QN | DEFAULT | 2 | 6 | Penjanje | Maksimum za penjanje | ZERO | 3 000 | | | |
| DC8QN | DEFAULT | 2 | 7 | Ubrzanje | Maksimum za penjanje | ZERO | | 1 000 | 250 | |

▼**M2**

| ACFTID | Oznaka profila (Profile_ID) | Duljina faze | Broj koraka | Tip koraka | Režim rada motora | Zakrilca (Flap_ID) | Visina krajnje točke (ft) | Stopa penjanja (ft/min) | Kalibrirana brzina leta u krajnjoj točki (kt) | Postotak ubrzanja (Accelerate_Percent) (%) |
|---|---|---|---|---|---|---|---|---|---|---|
| DC8QN | DEFAULT | 2 | 8 | Penjanje | Maksimum za penjanje | ZERO | 5 500 | | | |
| DC8QN | DEFAULT | 2 | 9 | Penjanje | Maksimum za penjanje | ZERO | 7 500 | | | |
| DC8QN | DEFAULT | 2 | 10 | Penjanje | Maksimum za penjanje | ZERO | 10 000 | | | |
| DC8QN | DEFAULT | 3 | 1 | Uzlijetanje | Maksimum za uzlijetanje | 12 | | | | |
| DC8QN | DEFAULT | 3 | 2 | Penjanje | Maksimum za uzlijetanje | 12 | 1 000 | | | |
| DC8QN | DEFAULT | 3 | 3 | Ubrzanje | Maksimum za uzlijetanje | 12 | | 1 827 | 168 | |
| DC8QN | DEFAULT | 3 | 4 | Ubrzanje | Maksimum za uzlijetanje | INT | | 1 371 | 188 | |
| DC8QN | DEFAULT | 3 | 5 | Ubrzanje | Maksimum za penjanje | INT | | 1 000 | 208 | |
| DC8QN | DEFAULT | 3 | 6 | Penjanje | Maksimum za penjanje | ZERO | 3 000 | | | |
| DC8QN | DEFAULT | 3 | 7 | Ubrzanje | Maksimum za penjanje | ZERO | | 1 000 | 250 | |
| DC8QN | DEFAULT | 3 | 8 | Penjanje | Maksimum za penjanje | ZERO | 5 500 | | | |
| DC8QN | DEFAULT | 3 | 9 | Penjanje | Maksimum za penjanje | ZERO | 7 500 | | | |
| DC8QN | DEFAULT | 3 | 10 | Penjanje | Maksimum za penjanje | ZERO | 10 000 | | | |

▼**M2**

| ACFTID | Oznaka profila (Profile_ID) | Duljina faze | Broj koraka | Tip koraka | Režim rada motora | Zakrilca (Flap_ID) | Visina krajnje točke (ft) | Stopa penjanja (ft/min) | Kalibrirana brzina leta u krajnjoj točki (kt) | Postotak ubrzanja (Accelerate_Percent) (%) |
|---|---|---|---|---|---|---|---|---|---|---|
| DC8QN | DEFAULT | 4 | 1 | Uzlijetanje | Maksimum za uzlijetanje | 12 | | | | |
| DC8QN | DEFAULT | 4 | 2 | Penjanje | Maksimum za uzlijetanje | 12 | 1 000 | | | |
| DC8QN | DEFAULT | 4 | 3 | Ubrzanje | Maksimum za uzlijetanje | 12 | | 1 668 | 175 | |
| DC8QN | DEFAULT | 4 | 4 | Ubrzanje | Maksimum za uzlijetanje | INT | | 1 251 | 195 | |
| DC8QN | DEFAULT | 4 | 5 | Ubrzanje | Maksimum za penjanje | INT | | 1 000 | 215 | |
| DC8QN | DEFAULT | 4 | 6 | Penjanje | Maksimum za penjanje | ZERO | 3 000 | | | |
| DC8QN | DEFAULT | 4 | 7 | Ubrzanje | Maksimum za penjanje | ZERO | | 1 000 | 250 | |
| DC8QN | DEFAULT | 4 | 8 | Penjanje | Maksimum za penjanje | ZERO | 5 500 | | | |
| DC8QN | DEFAULT | 4 | 9 | Penjanje | Maksimum za penjanje | ZERO | 7 500 | | | |
| DC8QN | DEFAULT | 4 | 10 | Penjanje | Maksimum za penjanje | ZERO | 10 000 | | | |
| DC8QN | DEFAULT | 5 | 1 | Uzlijetanje | Maksimum za uzlijetanje | 12 | | | | |
| DC8QN | DEFAULT | 5 | 2 | Penjanje | Maksimum za uzlijetanje | 12 | 1 000 | | | |
| DC8QN | DEFAULT | 5 | 3 | Ubrzanje | Maksimum za uzlijetanje | 12 | | 1 491 | 182 | |

▼**M2**

| ACFTID | Oznaka profila (Profile_ID) | Duljina faze | Broj koraka | Tip koraka | Režim rada motora | Zakrilca (Flap_ID) | Visina krajnje točke (ft) | Stopa penjanja (ft/min) | Kalibrirana brzina leta u krajnjoj točki (kt) | Postotak ubrzanja (Accelerate_Percent) (%) |
|---|---|---|---|---|---|---|---|---|---|---|
| DC8QN | DEFAULT | 5 | 4 | Ubrzanje | Maksimum za uzlijetanje | INT | | 1 118 | 202 | |
| DC8QN | DEFAULT | 5 | 5 | Ubrzanje | Maksimum za penjanje | INT | | 1 000 | 222 | |
| DC8QN | DEFAULT | 5 | 6 | Penjanje | Maksimum za penjanje | ZERO | 3 000 | | | |
| DC8QN | DEFAULT | 5 | 7 | Ubrzanje | Maksimum za penjanje | ZERO | | 1 000 | 250 | |
| DC8QN | DEFAULT | 5 | 8 | Penjanje | Maksimum za penjanje | ZERO | 5 500 | | | |
| DC8QN | DEFAULT | 5 | 9 | Penjanje | Maksimum za penjanje | ZERO | 7 500 | | | |
| DC8QN | DEFAULT | 5 | 10 | Penjanje | Maksimum za penjanje | ZERO | 10 000 | | | |
| DC8QN | DEFAULT | 6 | 1 | Uzlijetanje | Maksimum za uzlijetanje | 12 | | | | |
| DC8QN | DEFAULT | 6 | 2 | Penjanje | Maksimum za uzlijetanje | 12 | 1 000 | | | |
| DC8QN | DEFAULT | 6 | 3 | Ubrzanje | Maksimum za uzlijetanje | 12 | | 1 394 | 187 | |
| DC8QN | DEFAULT | 6 | 4 | Ubrzanje | Maksimum za uzlijetanje | INT | | 1 046 | 207 | |
| DC8QN | DEFAULT | 6 | 5 | Ubrzanje | Maksimum za penjanje | INT | | 1 000 | 227 | |
| DC8QN | DEFAULT | 6 | 6 | Penjanje | Maksimum za penjanje | ZERO | 3 000 | | | |

▼**M2**

| ACFTID | Oznaka profila (Profile_ID) | Duljina faze | Broj koraka | Tip koraka | Režim rada motora | Zakrilca (Flap_ID) | Visina krajnje točke (ft) | Stopa penjanja (ft/min) | Kalibrirana brzina leta u krajnjoj točki (kt) | Postotak ubrzanja (Accelerate_Percent) (%) |
|---|---|---|---|---|---|---|---|---|---|---|
| DC8QN | DEFAULT | 6 | 7 | Ubrzanje | Maksimum za penjanje | ZERO | | 1 000 | 250 | |
| DC8QN | DEFAULT | 6 | 8 | Penjanje | Maksimum za penjanje | ZERO | 5 500 | | | |
| DC8QN | DEFAULT | 6 | 9 | Penjanje | Maksimum za penjanje | ZERO | 7 500 | | | |
| DC8QN | DEFAULT | 6 | 10 | Penjanje | Maksimum za penjanje | ZERO | 10 000 | | | |
| DC8QN | DEFAULT | 7 | 1 | Uzlijetanje | Maksimum za uzlijetanje | 12 | | | | |
| DC8QN | DEFAULT | 7 | 2 | Penjanje | Maksimum za uzlijetanje | 12 | 1 000 | | | |
| DC8QN | DEFAULT | 7 | 3 | Ubrzanje | Maksimum za uzlijetanje | 12 | | 1 275 | 192 | |
| DC8QN | DEFAULT | 7 | 4 | Ubrzanje | Maksimum za uzlijetanje | INT | | 956 | 212 | |
| DC8QN | DEFAULT | 7 | 5 | Ubrzanje | Maksimum za penjanje | INT | | 900 | 232 | |
| DC8QN | DEFAULT | 7 | 6 | Penjanje | Maksimum za penjanje | ZERO | 3 000 | | | |
| DC8QN | DEFAULT | 7 | 7 | Ubrzanje | Maksimum za penjanje | ZERO | | 900 | 250 | |
| DC8QN | DEFAULT | 7 | 8 | Penjanje | Maksimum za penjanje | ZERO | 5 500 | | | |
| DC8QN | DEFAULT | 7 | 9 | Penjanje | Maksimum za penjanje | ZERO | 7 500 | | | |

▼M2

| ACFTID | Oznaka profila (Profile_ID) | Duljina faze | Broj koraka | Tip koraka | Režim rada motora | Zakrilca (Flap_ID) | Visina krajnje točke (ft) | Stopa penjanja (ft/min) | Kalibrirana brzina leta u krajnjoj točki (kt) | Postotak ubrzanja (Accelerate_Percent) (%) |
|---|---|---|---|---|---|---|---|---|---|---|
| DC8QN | DEFAULT | 7 | 10 | Penjanje | Maksimum za penjanje | ZERO | 10 000 | | | |
| DC910 | DEFAULT | 1 | 1 | Uzlijetanje | Maksimum za uzlijetanje | 15 | | | | |
| DC910 | DEFAULT | 1 | 2 | Penjanje | Maksimum za uzlijetanje | 15 | 1 000 | | | |
| DC910 | DEFAULT | 1 | 3 | Ubrzanje | Maksimum za uzlijetanje | 15 | | 2 296 | 136 | |
| DC910 | DEFAULT | 1 | 4 | Ubrzanje | Maksimum za uzlijetanje | 5 | | 1 722 | 146 | |
| DC910 | DEFAULT | 1 | 5 | Ubrzanje | Maksimum za penjanje | INT | | 1 000 | 181 | |
| DC910 | DEFAULT | 1 | 6 | Penjanje | Maksimum za penjanje | ZERO | 3 000 | | | |
| DC910 | DEFAULT | 1 | 7 | Ubrzanje | Maksimum za penjanje | ZERO | | 1 000 | 250 | |
| DC910 | DEFAULT | 1 | 8 | Penjanje | Maksimum za penjanje | ZERO | 5 500 | | | |
| DC910 | DEFAULT | 1 | 9 | Penjanje | Maksimum za penjanje | ZERO | 7 500 | | | |
| DC910 | DEFAULT | 1 | 10 | Penjanje | Maksimum za penjanje | ZERO | 10 000 | | | |
| DC910 | DEFAULT | 2 | 1 | Uzlijetanje | Maksimum za uzlijetanje | 15 | | | | |
| DC910 | DEFAULT | 2 | 2 | Penjanje | Maksimum za uzlijetanje | 15 | 1 000 | | | |

▼**M2**

| ACFTID | Oznaka profila (Profile_ID) | Duljina faze | Broj koraka | Tip koraka | Režim rada motora | Zakrilca (Flap_ID) | Visina krajnje točke (ft) | Stopa penjanja (ft/min) | Kalibrirana brzina leta u krajnjoj točki (kt) | Postotak ubrzanja (Accelerate_Percent) (%) |
|---|---|---|---|---|---|---|---|---|---|---|
| DC910 | DEFAULT | 2 | 3 | Ubrzanje | Maksimum za uzlijetanje | 15 | | 2 070 | 143 | |
| DC910 | DEFAULT | 2 | 4 | Ubrzanje | Maksimum za uzlijetanje | 5 | | 1 553 | 153 | |
| DC910 | DEFAULT | 2 | 5 | Ubrzanje | Maksimum za penjanje | INT | | 1 000 | 188 | |
| DC910 | DEFAULT | 2 | 6 | Penjanje | Maksimum za penjanje | ZERO | 3 000 | | | |
| DC910 | DEFAULT | 2 | 7 | Ubrzanje | Maksimum za penjanje | ZERO | | 1 000 | 250 | |
| DC910 | DEFAULT | 2 | 8 | Penjanje | Maksimum za penjanje | ZERO | 5 500 | | | |
| DC910 | DEFAULT | 2 | 9 | Penjanje | Maksimum za penjanje | ZERO | 7 500 | | | |
| DC910 | DEFAULT | 2 | 10 | Penjanje | Maksimum za penjanje | ZERO | 10 000 | | | |
| DC910 | DEFAULT | 3 | 1 | Uzlijetanje | Maksimum za uzlijetanje | 15 | | | | |
| DC910 | DEFAULT | 3 | 2 | Penjanje | Maksimum za uzlijetanje | 15 | 1 000 | | | |
| DC910 | DEFAULT | 3 | 3 | Ubrzanje | Maksimum za uzlijetanje | 15 | | 1 901 | 149 | |
| DC910 | DEFAULT | 3 | 4 | Ubrzanje | Maksimum za uzlijetanje | 5 | | 1 426 | 159 | |
| DC910 | DEFAULT | 3 | 5 | Ubrzanje | Maksimum za penjanje | INT | | 1 000 | 194 | |

▼**M2**

| ACFTID | Oznaka profila (Profile_ID) | Duljina faze | Broj koraka | Tip koraka | Režim rada motora | Zakrilca (Flap_ID) | Visina krajnje točke (ft) | Stopa penjanja (ft/min) | Kalibrirana brzina leta u krajnjoj točki (kt) | Postotak ubrzanja (Accelerate_Percent) (%) |
|---|---|---|---|---|---|---|---|---|---|---|
| DC910 | DEFAULT | 3 | 6 | Penjanje | Maksimum za penjanje | ZERO | 3 000 | | | |
| DC910 | DEFAULT | 3 | 7 | Ubrzanje | Maksimum za penjanje | ZERO | | 1 000 | 250 | |
| DC910 | DEFAULT | 3 | 8 | Penjanje | Maksimum za penjanje | ZERO | 5 500 | | | |
| DC910 | DEFAULT | 3 | 9 | Penjanje | Maksimum za penjanje | ZERO | 7 500 | | | |
| DC910 | DEFAULT | 3 | 10 | Penjanje | Maksimum za penjanje | ZERO | 10 000 | | | |
| DC930 | DEFAULT | 1 | 1 | Uzlijetanje | Maksimum za uzlijetanje | 15 | | | | |
| DC930 | DEFAULT | 1 | 2 | Penjanje | Maksimum za uzlijetanje | 15 | 1 000 | | | |
| DC930 | DEFAULT | 1 | 3 | Ubrzanje | Maksimum za uzlijetanje | 15 | | 1 741 | 154 | |
| DC930 | DEFAULT | 1 | 4 | Ubrzanje | Maksimum za uzlijetanje | 5 | | 1 306 | 164 | |
| DC930 | DEFAULT | 1 | 5 | Ubrzanje | Maksimum za penjanje | INT | | 1 000 | 199 | |
| DC930 | DEFAULT | 1 | 6 | Penjanje | Maksimum za penjanje | ZERO | 3 000 | | | |
| DC930 | DEFAULT | 1 | 7 | Ubrzanje | Maksimum za penjanje | ZERO | | 1 000 | 250 | |
| DC930 | DEFAULT | 1 | 8 | Penjanje | Maksimum za penjanje | ZERO | 5 500 | | | |

▼M2

| ACFTID | Oznaka profila (Profile_ID) | Duljina faze | Broj koraka | Tip koraka | Režim rada motora | Zakrilca (Flap_ID) | Visina krajnje točke (ft) | Stopa penjanja (ft/min) | Kalibrirana brzina leta u krajnjoj točki (kt) | Postotak ubrzanja (Accelerate_Percent) (%) |
|---|---|---|---|---|---|---|---|---|---|---|
| DC930 | DEFAULT | 1 | 9 | Penjanje | Maksimum za penjanje | ZERO | 7 500 | | | |
| DC930 | DEFAULT | 1 | 10 | Penjanje | Maksimum za penjanje | ZERO | 10 000 | | | |
| DC930 | DEFAULT | 2 | 1 | Uzlijetanje | Maksimum za uzlijetanje | 15 | | | | |
| DC930 | DEFAULT | 2 | 2 | Penjanje | Maksimum za uzlijetanje | 15 | 1 000 | | | |
| DC930 | DEFAULT | 2 | 3 | Ubrzanje | Maksimum za uzlijetanje | 15 | | 1 559 | 161 | |
| DC930 | DEFAULT | 2 | 4 | Ubrzanje | Maksimum za uzlijetanje | 5 | | 1 169 | 171 | |
| DC930 | DEFAULT | 2 | 5 | Ubrzanje | Maksimum za penjanje | INT | | 1 000 | 206 | |
| DC930 | DEFAULT | 2 | 6 | Penjanje | Maksimum za penjanje | ZERO | 3 000 | | | |
| DC930 | DEFAULT | 2 | 7 | Ubrzanje | Maksimum za penjanje | ZERO | | 1 000 | 250 | |
| DC930 | DEFAULT | 2 | 8 | Penjanje | Maksimum za penjanje | ZERO | 5 500 | | | |
| DC930 | DEFAULT | 2 | 9 | Penjanje | Maksimum za penjanje | ZERO | 7 500 | | | |
| DC930 | DEFAULT | 2 | 10 | Penjanje | Maksimum za penjanje | ZERO | 10 000 | | | |
| DC930 | DEFAULT | 3 | 1 | Uzlijetanje | Maksimum za uzlijetanje | 15 | | | | |

▼**M2**

| ACFTID | Oznaka profila (Profile_ID) | Duljina faze | Broj koraka | Tip koraka | Režim rada motora | Zakrilca (Flap_ID) | Visina krajnje točke (ft) | Stopa penjanja (ft/min) | Kalibrirana brzina leta u krajnjoj točki (kt) | Postotak ubrzanja (Accelerate_Percent) (%) |
|---|---|---|---|---|---|---|---|---|---|---|
| DC930 | DEFAULT | 3 | 2 | Penjanje | Maksimum za uzlijetanje | 15 | 1 000 | | | |
| DC930 | DEFAULT | 3 | 3 | Ubrzanje | Maksimum za uzlijetanje | 15 | | 1 406 | 168 | |
| DC930 | DEFAULT | 3 | 4 | Ubrzanje | Maksimum za uzlijetanje | 5 | | 1 055 | 178 | |
| DC930 | DEFAULT | 3 | 5 | Ubrzanje | Maksimum za penjanje | INT | | 1 000 | 213 | |
| DC930 | DEFAULT | 3 | 6 | Penjanje | Maksimum za penjanje | ZERO | 3 000 | | | |
| DC930 | DEFAULT | 3 | 7 | Ubrzanje | Maksimum za penjanje | ZERO | | 1 000 | 250 | |
| DC930 | DEFAULT | 3 | 8 | Penjanje | Maksimum za penjanje | ZERO | 5 500 | | | |
| DC930 | DEFAULT | 3 | 9 | Penjanje | Maksimum za penjanje | ZERO | 7 500 | | | |
| DC930 | DEFAULT | 3 | 10 | Penjanje | Maksimum za penjanje | ZERO | 10 000 | | | |
| DC93LW | DEFAULT | 1 | 1 | Uzlijetanje | Maksimum za uzlijetanje | 15 | | | | |
| DC93LW | DEFAULT | 1 | 2 | Penjanje | Maksimum za uzlijetanje | 15 | 1 000 | | | |
| DC93LW | DEFAULT | 1 | 3 | Ubrzanje | Maksimum za uzlijetanje | 15 | | 1 741 | 154 | |
| DC93LW | DEFAULT | 1 | 4 | Ubrzanje | Maksimum za uzlijetanje | 5 | | 1 306 | 164 | |

▼**M2**

| ACFTID | Oznaka profila (Profile_ID) | Duljina faze | Broj koraka | Tip koraka | Režim rada motora | Zakrilca (Flap_ID) | Visina krajnje točke (ft) | Stopa penjanja (ft/min) | Kalibrirana brzina leta u krajnjoj točki (kt) | Postotak ubrzanja (Accelerate_Percent) (%) |
|---|---|---|---|---|---|---|---|---|---|---|
| DC93LW | DEFAULT | 1 | 5 | Ubrzanje | Maksimum za penjanje | INT | | 1 000 | 199 | |
| DC93LW | DEFAULT | 1 | 6 | Penjanje | Maksimum za penjanje | ZERO | 3 000 | | | |
| DC93LW | DEFAULT | 1 | 7 | Ubrzanje | Maksimum za penjanje | ZERO | | 1 000 | 250 | |
| DC93LW | DEFAULT | 1 | 8 | Penjanje | Maksimum za penjanje | ZERO | 5 500 | | | |
| DC93LW | DEFAULT | 1 | 9 | Penjanje | Maksimum za penjanje | ZERO | 7 500 | | | |
| DC93LW | DEFAULT | 1 | 10 | Penjanje | Maksimum za penjanje | ZERO | 10 000 | | | |
| DC93LW | DEFAULT | 2 | 1 | Uzlijetanje | Maksimum za uzlijetanje | 15 | | | | |
| DC93LW | DEFAULT | 2 | 2 | Penjanje | Maksimum za uzlijetanje | 15 | 1 000 | | | |
| DC93LW | DEFAULT | 2 | 3 | Ubrzanje | Maksimum za uzlijetanje | 15 | | 1 559 | 161 | |
| DC93LW | DEFAULT | 2 | 4 | Ubrzanje | Maksimum za uzlijetanje | 5 | | 1 169 | 171 | |
| DC93LW | DEFAULT | 2 | 5 | Ubrzanje | Maksimum za penjanje | INT | | 1 000 | 206 | |
| DC93LW | DEFAULT | 2 | 6 | Penjanje | Maksimum za penjanje | ZERO | 3 000 | | | |
| DC93LW | DEFAULT | 2 | 7 | Ubrzanje | Maksimum za penjanje | ZERO | | 1 000 | 250 | |

▼**M2**

| ACFTID | Oznaka profila (Profile_ID) | Duljina faze | Broj koraka | Tip koraka | Režim rada motora | Zakrilca (Flap_ID) | Visina krajnje točke (ft) | Stopa penjanja (ft/min) | Kalibrirana brzina leta u krajnjoj točki (kt) | Postotak ubrzanja (Accelerate_Percent) (%) |
|---|---|---|---|---|---|---|---|---|---|---|
| DC93LW | DEFAULT | 2 | 8 | Penjanje | Maksimum za penjanje | ZERO | 5 500 | | | |
| DC93LW | DEFAULT | 2 | 9 | Penjanje | Maksimum za penjanje | ZERO | 7 500 | | | |
| DC93LW | DEFAULT | 2 | 10 | Penjanje | Maksimum za penjanje | ZERO | 10 000 | | | |
| DC93LW | DEFAULT | 3 | 1 | Uzlijetanje | Maksimum za uzlijetanje | 15 | | | | |
| DC93LW | DEFAULT | 3 | 2 | Penjanje | Maksimum za uzlijetanje | 15 | 1 000 | | | |
| DC93LW | DEFAULT | 3 | 3 | Ubrzanje | Maksimum za uzlijetanje | 15 | | 1 406 | 168 | |
| DC93LW | DEFAULT | 3 | 4 | Ubrzanje | Maksimum za uzlijetanje | 5 | | 1 055 | 178 | |
| DC93LW | DEFAULT | 3 | 5 | Ubrzanje | Maksimum za penjanje | INT | | 1 000 | 213 | |
| DC93LW | DEFAULT | 3 | 6 | Penjanje | Maksimum za penjanje | ZERO | 3 000 | | | |
| DC93LW | DEFAULT | 3 | 7 | Ubrzanje | Maksimum za penjanje | ZERO | | 1 000 | 250 | |
| DC93LW | DEFAULT | 3 | 8 | Penjanje | Maksimum za penjanje | ZERO | 5 500 | | | |
| DC93LW | DEFAULT | 3 | 9 | Penjanje | Maksimum za penjanje | ZERO | 7 500 | | | |
| DC93LW | DEFAULT | 3 | 10 | Penjanje | Maksimum za penjanje | ZERO | 10 000 | | | |

▼M2

| ACFTID | Oznaka profila (Profile_ID) | Duljina faze | Broj koraka | Tip koraka | Režim rada motora | Zakrilca (Flap_ID) | Visina krajnje točke (ft) | Stopa penjanja (ft/min) | Kalibrirana brzina leta u krajnjoj točki (kt) | Postotak ubrzanja (Accelerate_Percent) (%) |
|---|---|---|---|---|---|---|---|---|---|---|
| DC950 | DEFAULT | 1 | 1 | Uzlijetanje | Maksimum za uzlijetanje | 15 | | | | |
| DC950 | DEFAULT | 1 | 2 | Penjanje | Maksimum za uzlijetanje | 15 | 1 000 | | | |
| DC950 | DEFAULT | 1 | 3 | Ubrzanje | Maksimum za uzlijetanje | 15 | | 1 983 | 159 | |
| DC950 | DEFAULT | 1 | 4 | Ubrzanje | Maksimum za uzlijetanje | 5 | | 1 487 | 169 | |
| DC950 | DEFAULT | 1 | 5 | Ubrzanje | Maksimum za penjanje | INTR | | 1 000 | 204 | |
| DC950 | DEFAULT | 1 | 6 | Penjanje | Maksimum za penjanje | ZERO | 3 000 | | | |
| DC950 | DEFAULT | 1 | 7 | Ubrzanje | Maksimum za penjanje | ZERO | | 1 000 | 250 | |
| DC950 | DEFAULT | 1 | 8 | Penjanje | Maksimum za penjanje | ZERO | 5 500 | | | |
| DC950 | DEFAULT | 1 | 9 | Penjanje | Maksimum za penjanje | ZERO | 7 500 | | | |
| DC950 | DEFAULT | 1 | 10 | Penjanje | Maksimum za penjanje | ZERO | 10 000 | | | |
| DC950 | DEFAULT | 2 | 1 | Uzlijetanje | Maksimum za uzlijetanje | 15 | | | | |
| DC950 | DEFAULT | 2 | 2 | Penjanje | Maksimum za uzlijetanje | 15 | 1 000 | | | |
| DC950 | DEFAULT | 2 | 3 | Ubrzanje | Maksimum za uzlijetanje | 15 | | 1 843 | 164 | |

▼M2

| ACFTID | Oznaka profila (Profile_ID) | Duljina faze | Broj koraka | Tip koraka | Režim rada motora | Zakrilca (Flap_ID) | Visina krajnje točke (ft) | Stopa penjanja (ft/min) | Kalibrirana brzina leta u krajnjoj točki (kt) | Postotak ubrzanja (Accelerate_Percent) (%) |
|---|---|---|---|---|---|---|---|---|---|---|
| DC950 | DEFAULT | 2 | 4 | Ubrzanje | Maksimum za uzlijetanje | 5 | | 1 382 | 174 | |
| DC950 | DEFAULT | 2 | 5 | Ubrzanje | Maksimum za penjanje | INTR | | 1 000 | 209 | |
| DC950 | DEFAULT | 2 | 6 | Penjanje | Maksimum za penjanje | ZERO | 3 000 | | | |
| DC950 | DEFAULT | 2 | 7 | Ubrzanje | Maksimum za penjanje | ZERO | | 1 000 | 250 | |
| DC950 | DEFAULT | 2 | 8 | Penjanje | Maksimum za penjanje | ZERO | 5 500 | | | |
| DC950 | DEFAULT | 2 | 9 | Penjanje | Maksimum za penjanje | ZERO | 7 500 | | | |
| DC950 | DEFAULT | 2 | 10 | Penjanje | Maksimum za penjanje | ZERO | 10 000 | | | |
| DC950 | DEFAULT | 3 | 1 | Uzlijetanje | Maksimum za uzlijetanje | 15 | | | | |
| DC950 | DEFAULT | 3 | 2 | Penjanje | Maksimum za uzlijetanje | 15 | 1 000 | | | |
| DC950 | DEFAULT | 3 | 3 | Ubrzanje | Maksimum za uzlijetanje | 15 | | 1 698 | 170 | |
| DC950 | DEFAULT | 3 | 4 | Ubrzanje | Maksimum za uzlijetanje | 5 | | 1 274 | 180 | |
| DC950 | DEFAULT | 3 | 5 | Ubrzanje | Maksimum za penjanje | INTR | | 1 000 | 215 | |
| DC950 | DEFAULT | 3 | 6 | Penjanje | Maksimum za penjanje | ZERO | 3 000 | | | |

▼M2

| ACFTID | Oznaka profila (Profile_ID) | Duljina faze | Broj koraka | Tip koraka | Režim rada motora | Zakrilca (Flap_ID) | Visina krajnje točke (ft) | Stopa penjanja (ft/min) | Kalibrirana brzina leta u krajnjoj točki (kt) | Postotak ubrzanja (Accelerate_Percent) (%) |
|---|---|---|---|---|---|---|---|---|---|---|
| DC950 | DEFAULT | 3 | 7 | Ubrzanje | Maksimum za penjanje | ZERO | | 1 000 | 250 | |
| DC950 | DEFAULT | 3 | 8 | Penjanje | Maksimum za penjanje | ZERO | 5 500 | | | |
| DC950 | DEFAULT | 3 | 9 | Penjanje | Maksimum za penjanje | ZERO | 7 500 | | | |
| DC950 | DEFAULT | 3 | 10 | Penjanje | Maksimum za penjanje | ZERO | 10 000 | | | |
| DC95HW | DEFAULT | 1 | 1 | Uzlijetanje | Maksimum za uzlijetanje | 15 | | | | |
| DC95HW | DEFAULT | 1 | 2 | Penjanje | Maksimum za uzlijetanje | 15 | 1 000 | | | |
| DC95HW | DEFAULT | 1 | 3 | Ubrzanje | Maksimum za uzlijetanje | 15 | | 1 983 | 159 | |
| DC95HW | DEFAULT | 1 | 4 | Ubrzanje | Maksimum za uzlijetanje | 5 | | 1 487 | 169 | |
| DC95HW | DEFAULT | 1 | 5 | Ubrzanje | Maksimum za penjanje | INTR | | 1 000 | 204 | |
| DC95HW | DEFAULT | 1 | 6 | Penjanje | Maksimum za penjanje | ZERO | 3 000 | | | |
| DC95HW | DEFAULT | 1 | 7 | Ubrzanje | Maksimum za penjanje | ZERO | | 1 000 | 250 | |
| DC95HW | DEFAULT | 1 | 8 | Penjanje | Maksimum za penjanje | ZERO | 5 500 | | | |
| DC95HW | DEFAULT | 1 | 9 | Penjanje | Maksimum za penjanje | ZERO | 7 500 | | | |

▼M2

| ACFTID | Oznaka profila (Profile_ID) | Duljina faze | Broj koraka | Tip koraka | Režim rada motora | Zakrilca (Flap_ID) | Visina krajnje točke (ft) | Stopa penjanja (ft/min) | Kalibrirana brzina leta u krajnjoj točki (kt) | Postotak ubrzanja (Accelerate_Percent) (%) |
|---|---|---|---|---|---|---|---|---|---|---|
| DC95HW | DEFAULT | 1 | 10 | Penjanje | Maksimum za penjanje | ZERO | 10 000 | | | |
| DC95HW | DEFAULT | 2 | 1 | Uzlijetanje | Maksimum za uzlijetanje | 15 | | | | |
| DC95HW | DEFAULT | 2 | 2 | Penjanje | Maksimum za uzlijetanje | 15 | 1 000 | | | |
| DC95HW | DEFAULT | 2 | 3 | Ubrzanje | Maksimum za uzlijetanje | 15 | | 1 843 | 164 | |
| DC95HW | DEFAULT | 2 | 4 | Ubrzanje | Maksimum za uzlijetanje | 5 | | 1 382 | 174 | |
| DC95HW | DEFAULT | 2 | 5 | Ubrzanje | Maksimum za penjanje | INTR | | 1 000 | 209 | |
| DC95HW | DEFAULT | 2 | 6 | Penjanje | Maksimum za penjanje | ZERO | 3 000 | | | |
| DC95HW | DEFAULT | 2 | 7 | Ubrzanje | Maksimum za penjanje | ZERO | | 1 000 | 250 | |
| DC95HW | DEFAULT | 2 | 8 | Penjanje | Maksimum za penjanje | ZERO | 5 500 | | | |
| DC95HW | DEFAULT | 2 | 9 | Penjanje | Maksimum za penjanje | ZERO | 7 500 | | | |
| DC95HW | DEFAULT | 2 | 10 | Penjanje | Maksimum za penjanje | ZERO | 10 000 | | | |
| DC95HW | DEFAULT | 3 | 1 | Uzlijetanje | Maksimum za uzlijetanje | 15 | | | | |
| DC95HW | DEFAULT | 3 | 2 | Penjanje | Maksimum za uzlijetanje | 15 | 1 000 | | | |

▼**M2**

| ACFTID | Oznaka profila (Profile_ID) | Duljina faze | Broj koraka | Tip koraka | Režim rada motora | Zakrilca (Flap_ID) | Visina krajnje točke (ft) | Stopa penjanja (ft/min) | Kalibrirana brzina leta u krajnjoj točki (kt) | Postotak ubrzanja (Accelerate_Percent) (%) |
|---|---|---|---|---|---|---|---|---|---|---|
| DC95HW | DEFAULT | 3 | 3 | Ubrzanje | Maksimum za uzlijetanje | 15 | | 1 698 | 170 | |
| DC95HW | DEFAULT | 3 | 4 | Ubrzanje | Maksimum za uzlijetanje | 5 | | 1 274 | 180 | |
| DC95HW | DEFAULT | 3 | 5 | Ubrzanje | Maksimum za penjanje | INTR | | 1 000 | 215 | |
| DC95HW | DEFAULT | 3 | 6 | Penjanje | Maksimum za penjanje | ZERO | 3 000 | | | |
| DC95HW | DEFAULT | 3 | 7 | Ubrzanje | Maksimum za penjanje | ZERO | | 1 000 | 250 | |
| DC95HW | DEFAULT | 3 | 8 | Penjanje | Maksimum za penjanje | ZERO | 5 500 | | | |
| DC95HW | DEFAULT | 3 | 9 | Penjanje | Maksimum za penjanje | ZERO | 7 500 | | | |
| DC95HW | DEFAULT | 3 | 10 | Penjanje | Maksimum za penjanje | ZERO | 10 000 | | | |
| DC9Q7 | DEFAULT | 1 | 1 | Uzlijetanje | Maksimum za uzlijetanje | 15 | | | | |
| DC9Q7 | DEFAULT | 1 | 2 | Penjanje | Maksimum za uzlijetanje | 15 | 1 000 | | | |
| DC9Q7 | DEFAULT | 1 | 3 | Ubrzanje | Maksimum za uzlijetanje | 15 | | 2 296 | 136 | |
| DC9Q7 | DEFAULT | 1 | 4 | Ubrzanje | Maksimum za uzlijetanje | 5 | | 1 722 | 146 | |
| DC9Q7 | DEFAULT | 1 | 5 | Ubrzanje | Maksimum za penjanje | INT | | 1 000 | 181 | |
| DC9Q7 | DEFAULT | 1 | 6 | Penjanje | Maksimum za penjanje | ZERO | 3 000 | | | |

▼**M2**

| ACFTID | Oznaka profila (Profile_ID) | Duljina faze | Broj koraka | Tip koraka | Režim rada motora | Zakrilca (Flap_ID) | Visina krajnje točke (ft) | Stopa penjanja (ft/min) | Kalibrirana brzina leta u krajnjoj točki (kt) | Postotak ubrzanja (Accelerate_Percent) (%) |
|---|---|---|---|---|---|---|---|---|---|---|
| DC9Q7 | DEFAULT | 1 | 7 | Ubrzanje | Maksimum za penjanje | ZERO | | 1 000 | 250 | |
| DC9Q7 | DEFAULT | 1 | 8 | Penjanje | Maksimum za penjanje | ZERO | 5 500 | | | |
| DC9Q7 | DEFAULT | 1 | 9 | Penjanje | Maksimum za penjanje | ZERO | 7 500 | | | |
| DC9Q7 | DEFAULT | 1 | 10 | Penjanje | Maksimum za penjanje | ZERO | 10 000 | | | |
| DC9Q7 | DEFAULT | 2 | 1 | Uzlijetanje | Maksimum za uzlijetanje | 15 | | | | |
| DC9Q7 | DEFAULT | 2 | 2 | Penjanje | Maksimum za uzlijetanje | 15 | 1 000 | | | |
| DC9Q7 | DEFAULT | 2 | 3 | Ubrzanje | Maksimum za uzlijetanje | 15 | | 2 070 | 143 | |
| DC9Q7 | DEFAULT | 2 | 4 | Ubrzanje | Maksimum za uzlijetanje | 5 | | 1 553 | 153 | |
| DC9Q7 | DEFAULT | 2 | 5 | Ubrzanje | Maksimum za penjanje | INT | | 1 000 | 188 | |
| DC9Q7 | DEFAULT | 2 | 6 | Penjanje | Maksimum za penjanje | ZERO | 3 000 | | | |
| DC9Q7 | DEFAULT | 2 | 7 | Ubrzanje | Maksimum za penjanje | ZERO | | 1 000 | 250 | |
| DC9Q7 | DEFAULT | 2 | 8 | Penjanje | Maksimum za penjanje | ZERO | 5 500 | | | |
| DC9Q7 | DEFAULT | 2 | 9 | Penjanje | Maksimum za penjanje | ZERO | 7 500 | | | |
| DC9Q7 | DEFAULT | 2 | 10 | Penjanje | Maksimum za penjanje | ZERO | 10 000 | | | |

▼**M2**

| ACFTID | Oznaka profila (Profile_ID) | Duljina faze | Broj koraka | Tip koraka | Režim rada motora | Zakrilca (Flap_ID) | Visina krajnje točke (ft) | Stopa penjanja (ft/min) | Kalibrirana brzina leta u krajnjoj točki (kt) | Postotak ubrzanja (Accelerate_Percent) (%) |
|---|---|---|---|---|---|---|---|---|---|---|
| DC9Q7 | DEFAULT | 3 | 1 | Uzlijetanje | Maksimum za uzlijetanje | 15 | | | | |
| DC9Q7 | DEFAULT | 3 | 2 | Penjanje | Maksimum za uzlijetanje | 15 | 1 000 | | | |
| DC9Q7 | DEFAULT | 3 | 3 | Ubrzanje | Maksimum za uzlijetanje | 15 | | 1 901 | 149 | |
| DC9Q7 | DEFAULT | 3 | 4 | Ubrzanje | Maksimum za uzlijetanje | 5 | | 1 426 | 159 | |
| DC9Q7 | DEFAULT | 3 | 5 | Ubrzanje | Maksimum za penjanje | INT | | 1 000 | 194 | |
| DC9Q7 | DEFAULT | 3 | 6 | Penjanje | Maksimum za penjanje | ZERO | 3 000 | | | |
| DC9Q7 | DEFAULT | 3 | 7 | Ubrzanje | Maksimum za penjanje | ZERO | | 1 000 | 250 | |
| DC9Q7 | DEFAULT | 3 | 8 | Penjanje | Maksimum za penjanje | ZERO | 5 500 | | | |
| DC9Q7 | DEFAULT | 3 | 9 | Penjanje | Maksimum za penjanje | ZERO | 7 500 | | | |
| DC9Q7 | DEFAULT | 3 | 10 | Penjanje | Maksimum za penjanje | ZERO | 10 000 | | | |
| DC9Q9 | DEFAULT | 1 | 1 | Uzlijetanje | Maksimum za uzlijetanje | 15 | | | | |
| DC9Q9 | DEFAULT | 1 | 2 | Penjanje | Maksimum za uzlijetanje | 15 | 1 000 | | | |
| DC9Q9 | DEFAULT | 1 | 3 | Ubrzanje | Maksimum za uzlijetanje | 15 | | 1 741 | 154 | |
| DC9Q9 | DEFAULT | 1 | 4 | Ubrzanje | Maksimum za uzlijetanje | 5 | | 1 306 | 164 | |
| DC9Q9 | DEFAULT | 1 | 5 | Ubrzanje | Maksimum za penjanje | INT | | 1 000 | 199 | |

▼**M2**

| ACFTID | Oznaka profila (Profile_ID) | Duljina faze | Broj koraka | Tip koraka | Režim rada motora | Zakrilca (Flap_ID) | Visina krajnje točke (ft) | Stopa penjanja (ft/min) | Kalibrirana brzina leta u krajnjoj točki (kt) | Postotak ubrzanja (Accelerate_Percent) (%) |
|---|---|---|---|---|---|---|---|---|---|---|
| DC9Q9 | DEFAULT | 1 | 6 | Penjanje | Maksimum za penjanje | ZERO | 3 000 | | | |
| DC9Q9 | DEFAULT | 1 | 7 | Ubrzanje | Maksimum za penjanje | ZERO | | 1 000 | 250 | |
| DC9Q9 | DEFAULT | 1 | 8 | Penjanje | Maksimum za penjanje | ZERO | 5 500 | | | |
| DC9Q9 | DEFAULT | 1 | 9 | Penjanje | Maksimum za penjanje | ZERO | 7 500 | | | |
| DC9Q9 | DEFAULT | 1 | 10 | Penjanje | Maksimum za penjanje | ZERO | 10 000 | | | |
| DC9Q9 | DEFAULT | 2 | 1 | Uzlijetanje | Maksimum za uzlijetanje | 15 | | | | |
| DC9Q9 | DEFAULT | 2 | 2 | Penjanje | Maksimum za uzlijetanje | 15 | 1 000 | | | |
| DC9Q9 | DEFAULT | 2 | 3 | Ubrzanje | Maksimum za uzlijetanje | 15 | | 1 559 | 161 | |
| DC9Q9 | DEFAULT | 2 | 4 | Ubrzanje | Maksimum za uzlijetanje | 5 | | 1 169 | 171 | |
| DC9Q9 | DEFAULT | 2 | 5 | Ubrzanje | Maksimum za penjanje | INT | | 1 000 | 206 | |
| DC9Q9 | DEFAULT | 2 | 6 | Penjanje | Maksimum za penjanje | ZERO | 3 000 | | | |
| DC9Q9 | DEFAULT | 2 | 7 | Ubrzanje | Maksimum za penjanje | ZERO | | 1 000 | 250 | |
| DC9Q9 | DEFAULT | 2 | 8 | Penjanje | Maksimum za penjanje | ZERO | 5 500 | | | |
| DC9Q9 | DEFAULT | 2 | 9 | Penjanje | Maksimum za penjanje | ZERO | 7 500 | | | |

▼**M2**

| ACFTID | Oznaka profila (Profile_ID) | Duljina faze | Broj koraka | Tip koraka | Režim rada motora | Zakrilca (Flap_ID) | Visina krajnje točke (ft) | Stopa penjanja (ft/min) | Kalibrirana brzina leta u krajnjoj točki (kt) | Postotak ubrzanja (Accelerate_Percent) (%) |
|---|---|---|---|---|---|---|---|---|---|---|
| DC9Q9 | DEFAULT | 2 | 10 | Penjanje | Maksimum za penjanje | ZERO | 10 000 | | | |
| DC9Q9 | DEFAULT | 3 | 1 | Uzlijetanje | Maksimum za uzlijetanje | 15 | | | | |
| DC9Q9 | DEFAULT | 3 | 2 | Penjanje | Maksimum za uzlijetanje | 15 | 1 000 | | | |
| DC9Q9 | DEFAULT | 3 | 3 | Ubrzanje | Maksimum za uzlijetanje | 15 | | 1 406 | 168 | |
| DC9Q9 | DEFAULT | 3 | 4 | Ubrzanje | Maksimum za uzlijetanje | 5 | | 1 055 | 178 | |
| DC9Q9 | DEFAULT | 3 | 5 | Ubrzanje | Maksimum za penjanje | INT | | 1 000 | 213 | |
| DC9Q9 | DEFAULT | 3 | 6 | Penjanje | Maksimum za penjanje | ZERO | 3 000 | | | |
| DC9Q9 | DEFAULT | 3 | 7 | Ubrzanje | Maksimum za penjanje | ZERO | | 1 000 | 250 | |
| DC9Q9 | DEFAULT | 3 | 8 | Penjanje | Maksimum za penjanje | ZERO | 5 500 | | | |
| DC9Q9 | DEFAULT | 3 | 9 | Penjanje | Maksimum za penjanje | ZERO | 7 500 | | | |
| DC9Q9 | DEFAULT | 3 | 10 | Penjanje | Maksimum za penjanje | ZERO | 10 000 | | | |
| DHC6 | DEFAULT | 1 | 1 | Uzlijetanje | Maksimum za uzlijetanje | TO | | | | |
| DHC6 | DEFAULT | 1 | 2 | Penjanje | Maksimum za uzlijetanje | TO | 1 000 | | | |
| DHC6 | DEFAULT | 1 | 3 | Ubrzanje | Maksimum za uzlijetanje | TO | | 952 | 98 | |
| DHC6 | DEFAULT | 1 | 4 | Penjanje | Maksimum za penjanje | ZERO | 3 000 | | | |

▼**M2**

| ACFTID | Oznaka profila (Profile_ID) | Duljina faze | Broj koraka | Tip koraka | Režim rada motora | Zakrilca (Flap_ID) | Visina krajnje točke (ft) | Stopa penjanja (ft/min) | Kalibrirana brzina leta u krajnjoj točki (kt) | Postotak ubrzanja (Accelerate_Percent) (%) |
|---|---|---|---|---|---|---|---|---|---|---|
| DHC6 | DEFAULT | 1 | 5 | Penjanje | Maksimum za penjanje | ZERO | 5 500 | | | |
| DHC6 | DEFAULT | 1 | 6 | Penjanje | Maksimum za penjanje | ZERO | 7 500 | | | |
| DHC6 | DEFAULT | 1 | 7 | Penjanje | Maksimum za penjanje | ZERO | 10 000 | | | |
| DHC6QP | DEFAULT | 1 | 1 | Uzlijetanje | Maksimum za uzlijetanje | TO | | | | |
| DHC6QP | DEFAULT | 1 | 2 | Penjanje | Maksimum za uzlijetanje | TO | 1 000 | | | |
| DHC6QP | DEFAULT | 1 | 3 | Ubrzanje | Maksimum za uzlijetanje | TO | | 952 | 98 | |
| DHC6QP | DEFAULT | 1 | 4 | Penjanje | Maksimum za penjanje | ZERO | 3 000 | | | |
| DHC6QP | DEFAULT | 1 | 5 | Penjanje | Maksimum za penjanje | ZERO | 5 500 | | | |
| DHC6QP | DEFAULT | 1 | 6 | Penjanje | Maksimum za penjanje | ZERO | 7 500 | | | |
| DHC6QP | DEFAULT | 1 | 7 | Penjanje | Maksimum za penjanje | ZERO | 10 000 | | | |
| DHC7 | DEFAULT | 1 | 1 | Uzlijetanje | Maksimum za uzlijetanje | 25 | | | | |
| DHC7 | DEFAULT | 1 | 2 | Penjanje | Maksimum za uzlijetanje | 25 | 1 000 | | | |
| DHC7 | DEFAULT | 1 | 3 | Ubrzanje | Maksimum za uzlijetanje | 25 | | 933 | 102 | |
| DHC7 | DEFAULT | 1 | 4 | Ubrzanje | Maksimum za uzlijetanje | 10 | | 700 | 122 | |

▼M2

| ACFTID | Oznaka profila (Profile_ID) | Duljina faze | Broj koraka | Tip koraka | Režim rada motora | Zakrilca (Flap_ID) | Visina krajnje točke (ft) | Stopa penjanja (ft/min) | Kalibrirana brzina leta u krajnjoj točki (kt) | Postotak ubrzanja (Accelerate_Percent) (%) |
|---|---|---|---|---|---|---|---|---|---|---|
| DHC7 | DEFAULT | 1 | 5 | Penjanje | Maksimum za penjanje | ZERO | 3 000 | | | |
| DHC7 | DEFAULT | 1 | 6 | Ubrzanje | Maksimum za penjanje | ZERO | | 700 | 160 | |
| DHC7 | DEFAULT | 1 | 7 | Penjanje | Maksimum za penjanje | ZERO | 5 500 | | | |
| DHC7 | DEFAULT | 1 | 8 | Penjanje | Maksimum za penjanje | ZERO | 7 500 | | | |
| DHC7 | DEFAULT | 1 | 9 | Penjanje | Maksimum za penjanje | ZERO | 10 000 | | | |
| DHC8 | DEFAULT | 1 | 1 | Uzlijetanje | Maksimum za uzlijetanje | 15 | | | | |
| DHC8 | DEFAULT | 1 | 2 | Penjanje | Maksimum za uzlijetanje | 15 | 1 000 | | | |
| DHC8 | DEFAULT | 1 | 3 | Ubrzanje | Maksimum za uzlijetanje | 15 | | 1 491 | 110 | |
| DHC8 | DEFAULT | 1 | 4 | Ubrzanje | Maksimum za penjanje | 5 | | 1 119 | 125 | |
| DHC8 | DEFAULT | 1 | 5 | Penjanje | Maksimum za penjanje | ZERO | 3 000 | | | |
| DHC8 | DEFAULT | 1 | 6 | Ubrzanje | Maksimum za penjanje | ZERO | | 1 119 | 165 | |
| DHC8 | DEFAULT | 1 | 7 | Penjanje | Maksimum za penjanje | ZERO | 5 500 | | | |
| DHC8 | DEFAULT | 1 | 8 | Penjanje | Maksimum za penjanje | ZERO | 7 500 | | | |
| DHC8 | DEFAULT | 1 | 9 | Penjanje | Maksimum za penjanje | ZERO | 10 000 | | | |

▼M2

*Tablica I-4 (4. dio)*

**Uobičajeni proceduralni koraci pri odletu**

| ACFTID | Oznaka profila (Profile_ID) | Duljina faze | Broj koraka | Tip koraka | Režim rada motora | Zakrilca (Flap_ID) | Visina krajnje točke (ft) | Stopa penjanja (ft/min) | Kalibrirana brzina leta u krajnjoj točki (kt) | Postotak ubrzanja (Accelerate_Percent) (%) |
|---|---|---|---|---|---|---|---|---|---|---|
| DHC830 | DEFAULT | 1 | 1 | Penjanje | Maksimum za uzlijetanje | 10 | | | | |
| DHC830 | DEFAULT | 1 | 2 | Penjanje | Maksimum za uzlijetanje | 10 | 1 000 | | | |
| DHC830 | DEFAULT | 1 | 3 | Ubrzanje | Maksimum za uzlijetanje | 10 | | 1 280 | 122 | |
| DHC830 | DEFAULT | 1 | 4 | Ubrzanje | Maksimum za penjanje | 5 | | 960 | 137 | |
| DHC830 | DEFAULT | 1 | 5 | Penjanje | Maksimum za penjanje | ZERO | 3 000 | | | |
| DHC830 | DEFAULT | 1 | 6 | Ubrzanje | Maksimum za penjanje | ZERO | | 960 | 179 | |
| DHC830 | DEFAULT | 1 | 7 | Penjanje | Maksimum za penjanje | ZERO | 5 500 | | | |
| DHC830 | DEFAULT | 1 | 8 | Penjanje | Maksimum za penjanje | ZERO | 7 500 | | | |
| DHC830 | DEFAULT | 1 | 9 | Penjanje | Maksimum za penjanje | ZERO | 10 000 | | | |
| DO228 | DEFAULT | 1 | 1 | Penjanje | Maksimum za uzlijetanje | FLAPS1 | | | | |
| DO228 | DEFAULT | 1 | 2 | Ubrzanje | Maksimum za uzlijetanje | FLAPS1 | | 1 000 | 101 | |
| DO228 | DEFAULT | 1 | 3 | Penjanje | Maksimum za uzlijetanje | ZERO | 1 000 | | | |
| DO228 | DEFAULT | 1 | 4 | Ubrzanje | Maksimum za penjanje | ZERO | | 1 000 | 122 | |

▼**M2**

| ACFTID | Oznaka profila (Profile_ID) | Duljina faze | Broj koraka | Tip koraka | Režim rada motora | Zakrilca (Flap_ID) | Visina krajnje točke (ft) | Stopa penjanja (ft/min) | Kalibrirana brzina leta u krajnjoj točki (kt) | Postotak ubrzanja (Accelerate_Percent) (%) |
|---|---|---|---|---|---|---|---|---|---|---|
| DO228 | DEFAULT | 1 | 5 | Penjanje | Maksimum za penjanje | ZERO | 2 000 | | | |
| DO228 | DEFAULT | 1 | 6 | Penjanje | Maksimum za penjanje | ZERO | 4 000 | | | |
| DO228 | DEFAULT | 1 | 7 | Penjanje | Maksimum za penjanje | ZERO | 6 000 | | | |
| DO228 | DEFAULT | 1 | 8 | Penjanje | Maksimum za penjanje | ZERO | 8 000 | | | |
| DO228 | DEFAULT | 1 | 9 | Penjanje | Maksimum za penjanje | ZERO | 10 000 | | | |
| DO328 | DEFAULT | 1 | 1 | Penjanje | Maksimum za uzlijetanje | F12-D | | | | |
| DO328 | DEFAULT | 1 | 2 | Ubrzanje | Maksimum za uzlijetanje | F12-D | | 1 000 | 120 | |
| DO328 | DEFAULT | 1 | 3 | Penjanje | Maksimum za uzlijetanje | ZERO | 1 000 | | | |
| DO328 | DEFAULT | 1 | 4 | Ubrzanje | Maksimum za uzlijetanje | ZERO | | 1 000 | 130 | |
| DO328 | DEFAULT | 1 | 5 | Penjanje | Maksimum za penjanje | ZERO | 2 000 | | | |
| DO328 | DEFAULT | 1 | 6 | Penjanje | Maksimum za penjanje | ZERO | 4 000 | | | |
| DO328 | DEFAULT | 1 | 7 | Penjanje | Maksimum za penjanje | ZERO | 6 000 | | | |
| DO328 | DEFAULT | 1 | 8 | Penjanje | Maksimum za penjanje | ZERO | 8 000 | | | |

▼M2

| ACFTID | Oznaka profila (Profile_ID) | Duljina faze | Broj koraka | Tip koraka | Režim rada motora | Zakrilca (Flap_ID) | Visina krajnje točke (ft) | Stopa penjanja (ft/min) | Kalibrirana brzina leta u krajnjoj točki (kt) | Postotak ubrzanja (Accelerate_Percent) (%) |
|---|---|---|---|---|---|---|---|---|---|---|
| DO328 | DEFAULT | 1 | 9 | Penjanje | Maksimum za penjanje | ZERO | 10 000 | | | |
| ECLIPSE500 | DEFAULT | 1 | 1 | Penjanje | Maksimum za uzlijetanje | TO_DN | | | | |
| ECLIPSE500 | DEFAULT | 1 | 2 | Penjanje | Maksimum za uzlijetanje | TO_DN | 200 | | | |
| ECLIPSE500 | DEFAULT | 1 | 3 | Penjanje | Maksimum za uzlijetanje | TO_UP | 400 | | | |
| ECLIPSE500 | DEFAULT | 1 | 4 | Ubrzanje | Maksimum za penjanje | UP_UP | | 1 972,9 | 114 | |
| ECLIPSE500 | DEFAULT | 1 | 5 | Ubrzanje | Maksimum za penjanje | UP_UP | | 2 153,3 | 130,7 | |
| ECLIPSE500 | DEFAULT | 1 | 6 | Ubrzanje | Maksimum za penjanje | UP_UP | | 2 276 | 145,3 | |
| ECLIPSE500 | DEFAULT | 1 | 7 | Ubrzanje | Maksimum za penjanje | UP_UP | | 2 313,3 | 158,2 | |
| ECLIPSE500 | DEFAULT | 1 | 8 | Ubrzanje | Maksimum za penjanje | UP_UP | | 2 288,2 | 170 | |
| ECLIPSE500 | DEFAULT | 1 | 9 | Penjanje | Smanjeni potisak za penjanje | UP_UP | 6 000 | | | |
| ECLIPSE500 | DEFAULT | 1 | 10 | Penjanje | Smanjeni potisak za penjanje | UP_UP | 8 000 | | | |
| ECLIPSE500 | DEFAULT | 1 | 11 | Penjanje | Smanjeni potisak za penjanje | UP_UP | 10 000 | | | |
| ECLIPSE500 | DEFAULT | 2 | 1 | Penjanje | Maksimum za uzlijetanje | TO_DN | | | | |
| ECLIPSE500 | DEFAULT | 2 | 2 | Penjanje | Maksimum za uzlijetanje | TO_DN | 200 | | | |

▼**M2**

| ACFTID | Oznaka profila (Profile_ID) | Duljina faze | Broj koraka | Tip koraka | Režim rada motora | Zakrilca (Flap_ID) | Visina krajnje točke (ft) | Stopa penjanja (ft/min) | Kalibrirana brzina leta u krajnjoj točki (kt) | Postotak ubrzanja (Accelerate_Percent) (%) |
|---|---|---|---|---|---|---|---|---|---|---|
| ECLIPSE500 | DEFAULT | 2 | 3 | Penjanje | Maksimum za uzlijetanje | TO_UP | 400 | | | |
| ECLIPSE500 | DEFAULT | 2 | 4 | Ubrzanje | Maksimum za penjanje | UP_UP | | 1 803,3 | 114,8 | |
| ECLIPSE500 | DEFAULT | 2 | 5 | Ubrzanje | Maksimum za penjanje | UP_UP | | 1 971,7 | 131,2 | |
| ECLIPSE500 | DEFAULT | 2 | 6 | Ubrzanje | Maksimum za penjanje | UP_UP | | 2 087,6 | 145,6 | |
| ECLIPSE500 | DEFAULT | 2 | 7 | Ubrzanje | Maksimum za penjanje | UP_UP | | 2 124,1 | 158,4 | |
| ECLIPSE500 | DEFAULT | 2 | 8 | Ubrzanje | Maksimum za penjanje | UP_UP | | 2 102,8 | 170 | |
| ECLIPSE500 | DEFAULT | 2 | 9 | Penjanje | Smanjeni potisak za penjanje | UP_UP | 6 000 | | | |
| ECLIPSE500 | DEFAULT | 2 | 10 | Penjanje | Smanjeni potisak za penjanje | UP_UP | 8 000 | | | |
| ECLIPSE500 | DEFAULT | 2 | 11 | Penjanje | Smanjeni potisak za penjanje | UP_UP | 10 000 | | | |
| ECLIPSE500 | DEFAULT | 3 | 1 | Penjanje | Maksimum za uzlijetanje | TO_DN | | | | |
| ECLIPSE500 | DEFAULT | 3 | 2 | Penjanje | Maksimum za uzlijetanje | TO_DN | 200 | | | |
| ECLIPSE500 | DEFAULT | 3 | 3 | Penjanje | Maksimum za uzlijetanje | TO_UP | 400 | | | |
| ECLIPSE500 | DEFAULT | 3 | 4 | Ubrzanje | Maksimum za penjanje | UP_UP | | 1 760,4 | 115 | |
| ECLIPSE500 | DEFAULT | 3 | 5 | Ubrzanje | Maksimum za penjanje | UP_UP | | 1 926,2 | 131,4 | |

▼M2

| ACFTID | Oznaka profila (Profile_ID) | Duljina faze | Broj koraka | Tip koraka | Režim rada motora | Zakrilca (Flap_ID) | Visina krajnje točke (ft) | Stopa penjanja (ft/min) | Kalibrirana brzina leta u krajnjoj točki (kt) | Postotak ubrzanja (Accelerate_Percent) (%) |
|---|---|---|---|---|---|---|---|---|---|---|
| ECLIPSE500 | DEFAULT | 3 | 6 | Ubrzanje | Maksimum za penjanje | UP_UP | | 2 039,6 | 145,7 | |
| ECLIPSE500 | DEFAULT | 3 | 7 | Ubrzanje | Maksimum za penjanje | UP_UP | | 2 075,3 | 158,4 | |
| ECLIPSE500 | DEFAULT | 3 | 8 | Ubrzanje | Maksimum za penjanje | UP_UP | | 2 054,5 | 170 | |
| ECLIPSE500 | DEFAULT | 3 | 9 | Penjanje | Smanjeni potisak za penjanje | UP_UP | 6 000 | | | |
| ECLIPSE500 | DEFAULT | 3 | 10 | Penjanje | Smanjeni potisak za penjanje | UP_UP | 8 000 | | | |
| ECLIPSE500 | DEFAULT | 3 | 11 | Penjanje | Smanjeni potisak za penjanje | UP_UP | 10 000 | | | |
| ECLIPSE500 | HI_ALT | 1 | 1 | Penjanje | Maksimum za uzlijetanje | TO_DN | | | | |
| ECLIPSE500 | HI_ALT | 1 | 2 | Penjanje | Maksimum za uzlijetanje | TO_DN | 200 | | | |
| ECLIPSE500 | HI_ALT | 1 | 3 | Penjanje | Maksimum za uzlijetanje | TO_UP | 400 | | | |
| ECLIPSE500 | HI_ALT | 1 | 4 | Ubrzanje | Smanjeni potisak za penjanje | UP_UP | | 1 798,3 | 113,9 | |
| ECLIPSE500 | HI_ALT | 1 | 5 | Ubrzanje | Smanjeni potisak za penjanje | UP_UP | | 1 951,8 | 130,7 | |
| ECLIPSE500 | HI_ALT | 1 | 6 | Ubrzanje | Smanjeni potisak za penjanje | UP_UP | | 2 043,9 | 145,3 | |
| ECLIPSE500 | HI_ALT | 1 | 7 | Ubrzanje | Smanjeni potisak za penjanje | UP_UP | | 2 054,7 | 158,2 | |
| ECLIPSE500 | HI_ALT | 1 | 8 | Ubrzanje | Smanjeni potisak za penjanje | UP_UP | | 1 998,7 | 170 | |

▼M2

| ACFTID | Oznaka profila (Profile_ID) | Duljina faze | Broj koraka | Tip koraka | Režim rada motora | Zakrilca (Flap_ID) | Visina krajnje točke (ft) | Stopa penjanja (ft/min) | Kalibrirana brzina leta u krajnjoj točki (kt) | Postotak ubrzanja (Accelerate_Percent) (%) |
|---|---|---|---|---|---|---|---|---|---|---|
| ECLIPSE500 | HI_ALT | 1 | 9 | Penjanje | Smanjeni potisak za penjanje | UP_UP | 6 000 | | | |
| ECLIPSE500 | HI_ALT | 1 | 10 | Penjanje | Smanjeni potisak za penjanje | UP_UP | 8 000 | | | |
| ECLIPSE500 | HI_ALT | 1 | 11 | Penjanje | Smanjeni potisak za penjanje | UP_UP | 10 000 | | | |
| ECLIPSE500 | HI_ALT | 2 | 1 | Penjanje | Maksimum za uzlijetanje | TO_DN | | | | |
| ECLIPSE500 | HI_ALT | 2 | 2 | Penjanje | Maksimum za uzlijetanje | TO_DN | 200 | | | |
| ECLIPSE500 | HI_ALT | 2 | 3 | Penjanje | Maksimum za uzlijetanje | TO_UP | 400 | | | |
| ECLIPSE500 | HI_ALT | 2 | 4 | Ubrzanje | Smanjeni potisak za penjanje | UP_UP | | 1 637 | 114,8 | |
| ECLIPSE500 | HI_ALT | 2 | 5 | Ubrzanje | Smanjeni potisak za penjanje | UP_UP | | 1 780,8 | 131,2 | |
| ECLIPSE500 | HI_ALT | 2 | 6 | Ubrzanje | Smanjeni potisak za penjanje | UP_UP | | 1 868,3 | 145,6 | |
| ECLIPSE500 | HI_ALT | 2 | 7 | Ubrzanje | Smanjeni potisak za penjanje | UP_UP | | 1 880,3 | 158,4 | |
| ECLIPSE500 | HI_ALT | 2 | 8 | Ubrzanje | Smanjeni potisak za penjanje | UP_UP | | 1 838,2 | 170 | |
| ECLIPSE500 | HI_ALT | 2 | 9 | Penjanje | Smanjeni potisak za penjanje | UP_UP | 6 000 | | | |
| ECLIPSE500 | HI_ALT | 2 | 10 | Penjanje | Smanjeni potisak za penjanje | UP_UP | 8 000 | | | |
| ECLIPSE500 | HI_ALT | 2 | 11 | Penjanje | Smanjeni potisak za penjanje | UP_UP | 10 000 | | | |

▼M2

| ACFTID | Oznaka profila (Profile_ID) | Duljina faze | Broj koraka | Tip koraka | Režim rada motora | Zakrilca (Flap_ID) | Visina krajnje točke (ft) | Stopa penjanja (ft/min) | Kalibrirana brzina leta u krajnjoj točki (kt) | Postotak ubrzanja (Accelerate_Percent) (%) |
|---|---|---|---|---|---|---|---|---|---|---|
| ECLIPSE500 | HI_ALT | 3 | 1 | Penjanje | Maksimum za uzlijetanje | TO_DN | | | | |
| ECLIPSE500 | HI_ALT | 3 | 2 | Penjanje | Maksimum za uzlijetanje | TO_DN | 200 | | | |
| ECLIPSE500 | HI_ALT | 3 | 3 | Penjanje | Maksimum za uzlijetanje | TO_UP | 400 | | | |
| ECLIPSE500 | HI_ALT | 3 | 4 | Ubrzanje | Smanjeni potisak za penjanje | UP_UP | | 1 595,5 | 115 | |
| ECLIPSE500 | HI_ALT | 3 | 5 | Ubrzanje | Smanjeni potisak za penjanje | UP_UP | | 1 736,8 | 131,4 | |
| ECLIPSE500 | HI_ALT | 3 | 6 | Ubrzanje | Smanjeni potisak za penjanje | UP_UP | | 1 823,1 | 145,6 | |
| ECLIPSE500 | HI_ALT | 3 | 7 | Ubrzanje | Smanjeni potisak za penjanje | UP_UP | | 1 835,6 | 158,4 | |
| ECLIPSE500 | HI_ALT | 3 | 8 | Ubrzanje | Smanjeni potisak za penjanje | UP_UP | | 1 794,8 | 170 | |
| ECLIPSE500 | HI_ALT | 3 | 9 | Penjanje | Smanjeni potisak za penjanje | UP_UP | 6 000 | | | |
| ECLIPSE500 | HI_ALT | 3 | 10 | Penjanje | Smanjeni potisak za penjanje | UP_UP | 8 000 | | | |
| ECLIPSE500 | HI_ALT | 3 | 11 | Penjanje | Smanjeni potisak za penjanje | UP_UP | 10 000 | | | |
| EMB120 | DEFAULT | 1 | 1 | Penjanje | Maksimum za uzlijetanje | 15 | | | | |
| EMB120 | DEFAULT | 1 | 2 | Penjanje | Maksimum za uzlijetanje | 15 | 1 000 | | | |
| EMB120 | DEFAULT | 1 | 3 | Ubrzanje | Maksimum za uzlijetanje | 15 | | 460 | 130 | |

▼M2

| ACFTID | Oznaka profila (Profile_ID) | Duljina faze | Broj koraka | Tip koraka | Režim rada motora | Zakrilca (Flap_ID) | Visina krajnje točke (ft) | Stopa penjanja (ft/min) | Kalibrirana brzina leta u krajnjoj točki (kt) | Postotak ubrzanja (Accelerate_Percent) (%) |
|---|---|---|---|---|---|---|---|---|---|---|
| EMB120 | DEFAULT | 1 | 4 | Ubrzanje | Maksimum za uzlijetanje | ZERO | | 345 | 135 | |
| EMB120 | DEFAULT | 1 | 5 | Ubrzanje | Maksimum za penjanje | ZERO | | 1 000 | 143 | |
| EMB120 | DEFAULT | 1 | 6 | Penjanje | Maksimum za penjanje | ZERO | 3 000 | | | |
| EMB120 | DEFAULT | 1 | 7 | Penjanje | Maksimum za penjanje | ZERO | 5 500 | | | |
| EMB120 | DEFAULT | 1 | 8 | Penjanje | Maksimum za penjanje | ZERO | 7 500 | | | |
| EMB120 | DEFAULT | 1 | 9 | Penjanje | Maksimum za penjanje | ZERO | 10 000 | | | |
| EMB145 | DEFAULT | 1 | 1 | Penjanje | Maksimum za uzlijetanje | 9-GEAR | | | | |
| EMB145 | DEFAULT | 1 | 2 | Penjanje | Maksimum za uzlijetanje | 9 | 1 000 | | | |
| EMB145 | DEFAULT | 1 | 3 | Ubrzanje | Maksimum za penjanje | ZERO | | 1 367 | 220 | |
| EMB145 | DEFAULT | 1 | 4 | Penjanje | Maksimum za penjanje | ZERO | 3 000 | | | |
| EMB145 | DEFAULT | 1 | 5 | Ubrzanje | Maksimum za penjanje | ZERO | | 1 000 | 250 | |
| EMB145 | DEFAULT | 1 | 6 | Penjanje | Maksimum za penjanje | ZERO | 5 500 | | | |
| EMB145 | DEFAULT | 1 | 7 | Penjanje | Maksimum za penjanje | ZERO | 7 500 | | | |
| EMB145 | DEFAULT | 1 | 8 | Penjanje | Maksimum za penjanje | ZERO | 10 000 | | | |

▼M2

| ACFTID | Oznaka profila (Profile_ID) | Duljina faze | Broj koraka | Tip koraka | Režim rada motora | Zakrilca (Flap_ID) | Visina krajnje točke (ft) | Stopa penjanja (ft/min) | Kalibrirana brzina leta u krajnjoj točki (kt) | Postotak ubrzanja (Accelerate_Percent) (%) |
|---|---|---|---|---|---|---|---|---|---|---|
| EMB145 | DEFAULT | 2 | 1 | Penjanje | Maksimum za uzlijetanje | 9-GEAR | | | | |
| EMB145 | DEFAULT | 2 | 2 | Penjanje | Maksimum za uzlijetanje | 9 | 1 000 | | | |
| EMB145 | DEFAULT | 2 | 3 | Ubrzanje | Maksimum za penjanje | ZERO | | 1 334 | 220 | |
| EMB145 | DEFAULT | 2 | 4 | Penjanje | Maksimum za penjanje | ZERO | 3 000 | | | |
| EMB145 | DEFAULT | 2 | 5 | Ubrzanje | Maksimum za penjanje | ZERO | | 1 000 | 250 | |
| EMB145 | DEFAULT | 2 | 6 | Penjanje | Maksimum za penjanje | ZERO | 5 500 | | | |
| EMB145 | DEFAULT | 2 | 7 | Penjanje | Maksimum za penjanje | ZERO | 7 500 | | | |
| EMB145 | DEFAULT | 2 | 8 | Penjanje | Maksimum za penjanje | ZERO | 10 000 | | | |
| EMB145 | DEFAULT | 3 | 1 | Penjanje | Maksimum za uzlijetanje | 9-GEAR | | | | |
| EMB145 | DEFAULT | 3 | 2 | Penjanje | Maksimum za uzlijetanje | 9 | 1 000 | | | |
| EMB145 | DEFAULT | 3 | 3 | Ubrzanje | Maksimum za penjanje | ZERO | | 1 315 | 220 | |
| EMB145 | DEFAULT | 3 | 4 | Penjanje | Maksimum za penjanje | ZERO | 3 000 | | | |
| EMB145 | DEFAULT | 3 | 5 | Ubrzanje | Maksimum za penjanje | ZERO | | 1 000 | 250 | |
| EMB145 | DEFAULT | 3 | 6 | Penjanje | Maksimum za penjanje | ZERO | 5 500 | | | |

▼**M2**

| ACFTID | Oznaka profila (Profile_ID) | Duljina faze | Broj koraka | Tip koraka | Režim rada motora | Zakrilca (Flap_ID) | Visina krajnje točke (ft) | Stopa penjanja (ft/min) | Kalibrirana brzina leta u krajnjoj točki (kt) | Postotak ubrzanja (Accelerate_Percent) (%) |
|---|---|---|---|---|---|---|---|---|---|---|
| EMB145 | DEFAULT | 3 | 7 | Penjanje | Maksimum za penjanje | ZERO | 7 500 | | | |
| EMB145 | DEFAULT | 3 | 8 | Penjanje | Maksimum za penjanje | ZERO | 10 000 | | | |
| EMB145 | DEFAULT | 4 | 1 | Penjanje | Maksimum za uzlijetanje | 9-GEAR | | | | |
| EMB145 | DEFAULT | 4 | 2 | Penjanje | Maksimum za uzlijetanje | 9 | 1 000 | | | |
| EMB145 | DEFAULT | 4 | 3 | Ubrzanje | Maksimum za penjanje | ZERO | | 1 293 | 220 | |
| EMB145 | DEFAULT | 4 | 4 | Penjanje | Maksimum za penjanje | ZERO | 3 200 | | | |
| EMB145 | DEFAULT | 4 | 5 | Ubrzanje | Maksimum za penjanje | ZERO | | 1 000 | 250 | |
| EMB145 | DEFAULT | 4 | 6 | Penjanje | Maksimum za penjanje | ZERO | 5 500 | | | |
| EMB145 | DEFAULT | 4 | 7 | Penjanje | Maksimum za penjanje | ZERO | 7 500 | | | |
| EMB145 | DEFAULT | 4 | 8 | Penjanje | Maksimum za penjanje | ZERO | 10 000 | | | |
| EMB14L | DEFAULT | 1 | 1 | Penjanje | Maksimum za uzlijetanje | 9-GEAR | | | | |
| EMB14L | DEFAULT | 1 | 2 | Penjanje | Maksimum za uzlijetanje | 9 | 1 000 | | | |
| EMB14L | DEFAULT | 1 | 3 | Ubrzanje | Maksimum za penjanje | ZERO | | 1 465 | 220 | |
| EMB14L | DEFAULT | 1 | 4 | Penjanje | Maksimum za penjanje | ZERO | 3 000 | | | |

▼M2

| ACFTID | Oznaka profila (Profile_ID) | Duljina faze | Broj koraka | Tip koraka | Režim rada motora | Zakrilca (Flap_ID) | Visina krajnje točke (ft) | Stopa penjanja (ft/min) | Kalibrirana brzina leta u krajnjoj točki (kt) | Postotak ubrzanja (Accelerate_Percent) (%) |
|---|---|---|---|---|---|---|---|---|---|---|
| EMB14L | DEFAULT | 1 | 5 | Ubrzanje | Maksimum za penjanje | ZERO | | 1 000 | 250 | |
| EMB14L | DEFAULT | 1 | 6 | Penjanje | Maksimum za penjanje | ZERO | 5 500 | | | |
| EMB14L | DEFAULT | 1 | 7 | Penjanje | Maksimum za penjanje | ZERO | 7 500 | | | |
| EMB14L | DEFAULT | 1 | 8 | Penjanje | Maksimum za penjanje | ZERO | 10 000 | | | |
| EMB14L | DEFAULT | 2 | 1 | Penjanje | Maksimum za uzlijetanje | 9-GEAR | | | | |
| EMB14L | DEFAULT | 2 | 2 | Penjanje | Maksimum za uzlijetanje | 9 | 1 000 | | | |
| EMB14L | DEFAULT | 2 | 3 | Ubrzanje | Maksimum za penjanje | ZERO | | 1 420 | 220 | |
| EMB14L | DEFAULT | 2 | 4 | Penjanje | Maksimum za penjanje | ZERO | 3 000 | | | |
| EMB14L | DEFAULT | 2 | 5 | Ubrzanje | Maksimum za penjanje | ZERO | | 1 000 | 250 | |
| EMB14L | DEFAULT | 2 | 6 | Penjanje | Maksimum za penjanje | ZERO | 5 500 | | | |
| EMB14L | DEFAULT | 2 | 7 | Penjanje | Maksimum za penjanje | ZERO | 7 500 | | | |
| EMB14L | DEFAULT | 2 | 8 | Penjanje | Maksimum za penjanje | ZERO | 10 000 | | | |
| EMB14L | DEFAULT | 3 | 1 | Penjanje | Maksimum za uzlijetanje | 9-GEAR | | | | |

▼**M2**

| ACFTID | Oznaka profila (Profile_ID) | Duljina faze | Broj koraka | Tip koraka | Režim rada motora | Zakrilca (Flap_ID) | Visina krajnje točke (ft) | Stopa penjanja (ft/min) | Kalibrirana brzina leta u krajnjoj točki (kt) | Postotak ubrzanja (Accelerate_Percent) (%) |
|---|---|---|---|---|---|---|---|---|---|---|
| EMB14L | DEFAULT | 3 | 2 | Penjanje | Maksimum za uzlijetanje | 9 | 1 000 | | | |
| EMB14L | DEFAULT | 3 | 3 | Ubrzanje | Maksimum za penjanje | ZERO | | 1 395 | 220 | |
| EMB14L | DEFAULT | 3 | 4 | Penjanje | Maksimum za penjanje | ZERO | 3 000 | | | |
| EMB14L | DEFAULT | 3 | 5 | Ubrzanje | Maksimum za penjanje | ZERO | | 1 000 | 250 | |
| EMB14L | DEFAULT | 3 | 6 | Penjanje | Maksimum za penjanje | ZERO | 5 500 | | | |
| EMB14L | DEFAULT | 3 | 7 | Penjanje | Maksimum za penjanje | ZERO | 7 500 | | | |
| EMB14L | DEFAULT | 3 | 8 | Penjanje | Maksimum za penjanje | ZERO | 10 000 | | | |
| EMB14L | DEFAULT | 4 | 1 | Penjanje | Maksimum za uzlijetanje | 9-GEAR | | | | |
| EMB14L | DEFAULT | 4 | 2 | Penjanje | Maksimum za uzlijetanje | 9 | 1 000 | | | |
| EMB14L | DEFAULT | 4 | 3 | Ubrzanje | Maksimum za penjanje | ZERO | | 1 366 | 220 | |
| EMB14L | DEFAULT | 4 | 4 | Penjanje | Maksimum za penjanje | ZERO | 3 000 | | | |
| EMB14L | DEFAULT | 4 | 5 | Ubrzanje | Maksimum za penjanje | ZERO | | 1 000 | 250 | |
| EMB14L | DEFAULT | 4 | 6 | Penjanje | Maksimum za penjanje | ZERO | 5 500 | | | |
| EMB14L | DEFAULT | 4 | 7 | Penjanje | Maksimum za penjanje | ZERO | 7 500 | | | |

▼M2

| ACFTID | Oznaka profila (Profile_ID) | Duljina faze | Broj koraka | Tip koraka | Režim rada motora | Zakrilca (Flap_ID) | Visina krajnje točke (ft) | Stopa penjanja (ft/min) | Kalibrirana brzina leta u krajnjoj točki (kt) | Postotak ubrzanja (Accelerate_Percent) (%) |
|---|---|---|---|---|---|---|---|---|---|---|
| EMB14L | DEFAULT | 4 | 8 | Penjanje | Maksimum za penjanje | ZERO | 10 000 | | | |
| EMB14L | DEFAULT | 5 | 1 | Penjanje | Maksimum za uzlijetanje | 9-GEAR | | | | |
| EMB14L | DEFAULT | 5 | 2 | Penjanje | Maksimum za uzlijetanje | 9 | 1 000 | | | |
| EMB14L | DEFAULT | 5 | 3 | Ubrzanje | Maksimum za penjanje | ZERO | | 1 335 | 220 | |
| EMB14L | DEFAULT | 5 | 4 | Penjanje | Maksimum za penjanje | ZERO | 3 000 | | | |
| EMB14L | DEFAULT | 5 | 5 | Ubrzanje | Maksimum za penjanje | ZERO | | 1 000 | 250 | |
| EMB14L | DEFAULT | 5 | 6 | Penjanje | Maksimum za penjanje | ZERO | 5 500 | | | |
| EMB14L | DEFAULT | 5 | 7 | Penjanje | Maksimum za penjanje | ZERO | 7 500 | | | |
| EMB14L | DEFAULT | 5 | 8 | Penjanje | Maksimum za penjanje | ZERO | 10 000 | | | |
| EMB14L | DEFAULT | 6 | 1 | Penjanje | Maksimum za uzlijetanje | 9-GEAR | | | | |
| EMB14L | DEFAULT | 6 | 2 | Penjanje | Maksimum za uzlijetanje | 9 | 1 000 | | | |
| EMB14L | DEFAULT | 6 | 3 | Ubrzanje | Maksimum za penjanje | ZERO | | 1 298 | 220 | |
| EMB14L | DEFAULT | 6 | 4 | Penjanje | Maksimum za penjanje | ZERO | 3 000 | | | |
| EMB14L | DEFAULT | 6 | 5 | Ubrzanje | Maksimum za penjanje | ZERO | | 1 000 | 250 | |
| EMB14L | DEFAULT | 6 | 6 | Penjanje | Maksimum za penjanje | ZERO | 5 500 | | | |

▼**M2**

| ACFTID | Oznaka profila (Profile_ID) | Duljina faze | Broj koraka | Tip koraka | Režim rada motora | Zakrilca (Flap_ID) | Visina krajnje točke (ft) | Stopa penjanja (ft/min) | Kalibrirana brzina leta u krajnjoj točki (kt) | Postotak ubrzanja (Accelerate_Percent) (%) |
|---|---|---|---|---|---|---|---|---|---|---|
| EMB14L | DEFAULT | 6 | 7 | Penjanje | Maksimum za penjanje | ZERO | 7 500 | | | |
| EMB14L | DEFAULT | 6 | 8 | Penjanje | Maksimum za penjanje | ZERO | 10 000 | | | |
| EMB170 | DEFAULT | 1 | 1 | Penjanje | Maksimum za uzlijetanje | 1 | | | | |
| EMB170 | DEFAULT | 1 | 2 | Penjanje | Maksimum za uzlijetanje | 1 | 1 000 | | | |
| EMB170 | DEFAULT | 1 | 3 | Ubrzanje | Maksimum za penjanje | ZERO | | 1 936 | 196 | |
| EMB170 | DEFAULT | 1 | 4 | Penjanje | Maksimum za penjanje | ZERO | 3 000 | | | |
| EMB170 | DEFAULT | 1 | 5 | Ubrzanje | Maksimum za penjanje | ZERO | | 2 339 | 240 | |
| EMB170 | DEFAULT | 1 | 6 | Penjanje | Maksimum za penjanje | ZERO | 5 500 | | | |
| EMB170 | DEFAULT | 1 | 7 | Penjanje | Maksimum za penjanje | ZERO | 7 500 | | | |
| EMB170 | DEFAULT | 1 | 8 | Penjanje | Maksimum za penjanje | ZERO | 10 000 | | | |
| EMB170 | DEFAULT | 2 | 1 | Penjanje | Maksimum za uzlijetanje | 1 | | | | |
| EMB170 | DEFAULT | 2 | 2 | Penjanje | Maksimum za uzlijetanje | 1 | 1 000 | | | |
| EMB170 | DEFAULT | 2 | 3 | Ubrzanje | Maksimum za penjanje | ZERO | | 1 836 | 197,1 | |
| EMB170 | DEFAULT | 2 | 4 | Penjanje | Maksimum za penjanje | ZERO | 3 000 | | | |
| EMB170 | DEFAULT | 2 | 5 | Ubrzanje | Maksimum za penjanje | ZERO | | 2 228 | 240 | |

▼M2

| ACFTID | Oznaka profila (Profile_ID) | Duljina faze | Broj koraka | Tip koraka | Režim rada motora | Zakrilca (Flap_ID) | Visina krajnje točke (ft) | Stopa penjanja (ft/min) | Kalibrirana brzina leta u krajnjoj točki (kt) | Postotak ubrzanja (Accelerate_Percent) (%) |
|---|---|---|---|---|---|---|---|---|---|---|
| EMB170 | DEFAULT | 2 | 6 | Penjanje | Maksimum za penjanje | ZERO | 5 500 | | | |
| EMB170 | DEFAULT | 2 | 7 | Penjanje | Maksimum za penjanje | ZERO | 7 500 | | | |
| EMB170 | DEFAULT | 2 | 8 | Penjanje | Maksimum za penjanje | ZERO | 10 000 | | | |
| EMB170 | DEFAULT | 3 | 1 | Penjanje | Maksimum za uzlijetanje | 1 | | | | |
| EMB170 | DEFAULT | 3 | 2 | Penjanje | Maksimum za uzlijetanje | 1 | 1 000 | | | |
| EMB170 | DEFAULT | 3 | 3 | Ubrzanje | Maksimum za penjanje | ZERO | | 1 772 | 200,9 | |
| EMB170 | DEFAULT | 3 | 4 | Penjanje | Maksimum za penjanje | ZERO | 3 000 | | | |
| EMB170 | DEFAULT | 3 | 5 | Ubrzanje | Maksimum za penjanje | ZERO | | 2 120 | 240 | |
| EMB170 | DEFAULT | 3 | 6 | Penjanje | Maksimum za penjanje | ZERO | 5 500 | | | |
| EMB170 | DEFAULT | 3 | 7 | Penjanje | Maksimum za penjanje | ZERO | 7 500 | | | |
| EMB170 | DEFAULT | 3 | 8 | Penjanje | Maksimum za penjanje | ZERO | 10 000 | | | |
| EMB170 | ICAO_A | 1 | 1 | Penjanje | Maksimum za uzlijetanje | 1 | | | | |
| EMB170 | ICAO_A | 1 | 2 | Penjanje | Maksimum za uzlijetanje | 1 | 1 500 | | | |
| EMB170 | ICAO_A | 1 | 3 | Penjanje | Maksimum za penjanje | 1 | 3 000 | | | |
| EMB170 | ICAO_A | 1 | 4 | Ubrzanje | Maksimum za penjanje | ZERO | | 1 650 | 195 | |

▼M2

| ACFTID | Oznaka profila (Profile_ID) | Duljina faze | Broj koraka | Tip koraka | Režim rada motora | Zakrilca (Flap_ID) | Visina krajnje točke (ft) | Stopa penjanja (ft/min) | Kalibrirana brzina leta u krajnjoj točki (kt) | Postotak ubrzanja (Accelerate_Percent) (%) |
|---|---|---|---|---|---|---|---|---|---|---|
| EMB170 | ICAO_A | 1 | 5 | Ubrzanje | Maksimum za penjanje | ZERO | | 2 035 | 240 | |
| EMB170 | ICAO_A | 1 | 6 | Penjanje | Maksimum za penjanje | ZERO | 5 500 | | | |
| EMB170 | ICAO_A | 1 | 7 | Penjanje | Maksimum za penjanje | ZERO | 7 500 | | | |
| EMB170 | ICAO_A | 1 | 8 | Penjanje | Maksimum za penjanje | ZERO | 10 000 | | | |
| EMB170 | ICAO_A | 2 | 1 | Penjanje | Maksimum za uzlijetanje | 1 | | | | |
| EMB170 | ICAO_A | 2 | 2 | Penjanje | Maksimum za uzlijetanje | 1 | 1 500 | | | |
| EMB170 | ICAO_A | 2 | 3 | Penjanje | Maksimum za penjanje | 1 | 3 000 | | | |
| EMB170 | ICAO_A | 2 | 4 | Ubrzanje | Maksimum za penjanje | ZERO | | 1 617 | 198,1 | |
| EMB170 | ICAO_A | 2 | 5 | Ubrzanje | Maksimum za penjanje | ZERO | | 1 944 | 240 | |
| EMB170 | ICAO_A | 2 | 6 | Penjanje | Maksimum za penjanje | ZERO | 5 500 | | | |
| EMB170 | ICAO_A | 2 | 7 | Penjanje | Maksimum za penjanje | ZERO | 7 500 | | | |
| EMB170 | ICAO_A | 2 | 8 | Penjanje | Maksimum za penjanje | ZERO | 10 000 | | | |
| EMB170 | ICAO_A | 3 | 1 | Penjanje | Maksimum za uzlijetanje | 1 | | | | |
| EMB170 | ICAO_A | 3 | 2 | Penjanje | Maksimum za uzlijetanje | 1 | 1 500 | | | |
| EMB170 | ICAO_A | 3 | 3 | Penjanje | Maksimum za penjanje | 1 | 3 000 | | | |

▼**M2**

| ACFTID | Oznaka profila (Profile_ID) | Duljina faze | Broj koraka | Tip koraka | Režim rada motora | Zakrilca (Flap_ID) | Visina krajnje točke (ft) | Stopa penjanja (ft/min) | Kalibrirana brzina leta u krajnjoj točki (kt) | Postotak ubrzanja (Accelerate_Percent) (%) |
|---|---|---|---|---|---|---|---|---|---|---|
| EMB170 | ICAO_A | 3 | 4 | Ubrzanje | Maksimum za penjanje | ZERO | | 1 546 | 200,4 | |
| EMB170 | ICAO_A | 3 | 5 | Ubrzanje | Maksimum za penjanje | ZERO | | 1 850 | 240 | |
| EMB170 | ICAO_A | 3 | 6 | Penjanje | Maksimum za penjanje | ZERO | 5 500 | | | |
| EMB170 | ICAO_A | 3 | 7 | Penjanje | Maksimum za penjanje | ZERO | 7 500 | | | |
| EMB170 | ICAO_A | 3 | 8 | Penjanje | Maksimum za penjanje | ZERO | 10 000 | | | |
| EMB170 | ICAO_B | 1 | 1 | Penjanje | Maksimum za uzlijetanje | 1 | | | | |
| EMB170 | ICAO_B | 1 | 2 | Penjanje | Maksimum za uzlijetanje | 1 | 1 000 | | | |
| EMB170 | ICAO_B | 1 | 3 | Ubrzanje | Maksimum za uzlijetanje | ZERO | | 1 899 | 195,5 | |
| EMB170 | ICAO_B | 1 | 4 | Penjanje | Maksimum za penjanje | ZERO | 3 000 | | | |
| EMB170 | ICAO_B | 1 | 5 | Ubrzanje | Maksimum za penjanje | ZERO | | 2 301 | 240 | |
| EMB170 | ICAO_B | 1 | 6 | Penjanje | Maksimum za penjanje | ZERO | 5 500 | | | |
| EMB170 | ICAO_B | 1 | 7 | Penjanje | Maksimum za penjanje | ZERO | 7 500 | | | |
| EMB170 | ICAO_B | 1 | 8 | Penjanje | Maksimum za penjanje | ZERO | 10 000 | | | |
| EMB170 | ICAO_B | 2 | 1 | Penjanje | Maksimum za uzlijetanje | 1 | | | | |
| EMB170 | ICAO_B | 2 | 2 | Penjanje | Maksimum za uzlijetanje | 1 | 1 000 | | | |

▼**M2**

| ACFTID | Oznaka profila (Profile_ID) | Duljina faze | Broj koraka | Tip koraka | Režim rada motora | Zakrilca (Flap_ID) | Visina krajnje točke (ft) | Stopa penjanja (ft/min) | Kalibrirana brzina leta u krajnjoj točki (kt) | Postotak ubrzanja (Accelerate_Percent) (%) |
|---|---|---|---|---|---|---|---|---|---|---|
| EMB170 | ICAO_B | 2 | 3 | Ubrzanje | Maksimum za uzlijetanje | ZERO | | 1 823 | 198,2 | |
| EMB170 | ICAO_B | 2 | 4 | Penjanje | Maksimum za penjanje | ZERO | 3 000 | | | |
| EMB170 | ICAO_B | 2 | 5 | Ubrzanje | Maksimum za penjanje | ZERO | | 2 195 | 240 | |
| EMB170 | ICAO_B | 2 | 6 | Penjanje | Maksimum za penjanje | ZERO | 5 500 | | | |
| EMB170 | ICAO_B | 2 | 7 | Penjanje | Maksimum za penjanje | ZERO | 7 500 | | | |
| EMB170 | ICAO_B | 2 | 8 | Penjanje | Maksimum za penjanje | ZERO | 10 000 | | | |
| EMB170 | ICAO_B | 3 | 1 | Penjanje | Maksimum za uzlijetanje | 1 | | | | |
| EMB170 | ICAO_B | 3 | 2 | Penjanje | Maksimum za uzlijetanje | 1 | 1 000 | | | |
| EMB170 | ICAO_B | 3 | 3 | Ubrzanje | Maksimum za uzlijetanje | ZERO | | 1 743 | 201 | |
| EMB170 | ICAO_B | 3 | 4 | Penjanje | Maksimum za penjanje | ZERO | 3 000 | | | |
| EMB170 | ICAO_B | 3 | 5 | Ubrzanje | Maksimum za penjanje | ZERO | | 2 085 | 240 | |
| EMB170 | ICAO_B | 3 | 6 | Penjanje | Maksimum za penjanje | ZERO | 5 500 | | | |
| EMB170 | ICAO_B | 3 | 7 | Penjanje | Maksimum za penjanje | ZERO | 7 500 | | | |
| EMB170 | ICAO_B | 3 | 8 | Penjanje | Maksimum za penjanje | ZERO | 10 000 | | | |
| EMB175 | DEFAULT | 1 | 1 | Penjanje | Maksimum za uzlijetanje | 1 | | | | |

▼**M2**

| ACFTID | Oznaka profila (Profile_ID) | Duljina faze | Broj koraka | Tip koraka | Režim rada motora | Zakrilca (Flap_ID) | Visina krajnje točke (ft) | Stopa penjanja (ft/min) | Kalibrirana brzina leta u krajnjoj točki (kt) | Postotak ubrzanja (Accelerate_Percent) (%) |
|---|---|---|---|---|---|---|---|---|---|---|
| EMB175 | DEFAULT | 1 | 2 | Penjanje | Maksimum za uzlijetanje | 1 | 1 000 | | | |
| EMB175 | DEFAULT | 1 | 3 | Ubrzanje | Maksimum za penjanje | ZERO | | 1 900 | 196 | |
| EMB175 | DEFAULT | 1 | 4 | Penjanje | Maksimum za penjanje | ZERO | 3 000 | | | |
| EMB175 | DEFAULT | 1 | 5 | Ubrzanje | Maksimum za penjanje | ZERO | | 2 308 | 240 | |
| EMB175 | DEFAULT | 1 | 6 | Penjanje | Maksimum za penjanje | ZERO | 5 500 | | | |
| EMB175 | DEFAULT | 1 | 7 | Penjanje | Maksimum za penjanje | ZERO | 7 500 | | | |
| EMB175 | DEFAULT | 1 | 8 | Penjanje | Maksimum za penjanje | ZERO | 10 000 | | | |
| EMB175 | DEFAULT | 2 | 1 | Penjanje | Maksimum za uzlijetanje | 1 | | | | |
| EMB175 | DEFAULT | 2 | 2 | Penjanje | Maksimum za uzlijetanje | 1 | 1 000 | | | |
| EMB175 | DEFAULT | 2 | 3 | Ubrzanje | Maksimum za penjanje | ZERO | | 1 823 | 198,1 | |
| EMB175 | DEFAULT | 2 | 4 | Penjanje | Maksimum za penjanje | ZERO | 3 000 | | | |
| EMB175 | DEFAULT | 2 | 5 | Ubrzanje | Maksimum za penjanje | ZERO | | 2 190 | 240 | |
| EMB175 | DEFAULT | 2 | 6 | Penjanje | Maksimum za penjanje | ZERO | 5 500 | | | |
| EMB175 | DEFAULT | 2 | 7 | Penjanje | Maksimum za penjanje | ZERO | 7 500 | | | |

▼M2

| ACFTID | Oznaka profila (Profile_ID) | Duljina faze | Broj koraka | Tip koraka | Režim rada motora | Zakrilca (Flap_ID) | Visina krajnje točke (ft) | Stopa penjanja (ft/min) | Kalibrirana brzina leta u krajnjoj točki (kt) | Postotak ubrzanja (Accelerate_Percent) (%) |
|---|---|---|---|---|---|---|---|---|---|---|
| EMB175 | DEFAULT | 2 | 8 | Penjanje | Maksimum za penjanje | ZERO | 10 000 | | | |
| EMB175 | DEFAULT | 3 | 1 | Penjanje | Maksimum za uzlijetanje | 1 | | | | |
| EMB175 | DEFAULT | 3 | 2 | Penjanje | Maksimum za uzlijetanje | 1 | 1 000 | | | |
| EMB175 | DEFAULT | 3 | 3 | Ubrzanje | Maksimum za penjanje | ZERO | | 1 745 | 200,3 | |
| EMB175 | DEFAULT | 3 | 4 | Penjanje | Maksimum za penjanje | ZERO | 3 000 | | | |
| EMB175 | DEFAULT | 3 | 5 | Ubrzanje | Maksimum za penjanje | ZERO | | 2 086 | 240 | |
| EMB175 | DEFAULT | 3 | 6 | Penjanje | Maksimum za penjanje | ZERO | 5 500 | | | |
| EMB175 | DEFAULT | 3 | 7 | Penjanje | Maksimum za penjanje | ZERO | 7 500 | | | |
| EMB175 | DEFAULT | 3 | 8 | Penjanje | Maksimum za penjanje | ZERO | 10 000 | | | |
| EMB175 | ICAO_A | 1 | 1 | Penjanje | Maksimum za uzlijetanje | 1 | | | | |
| EMB175 | ICAO_A | 1 | 2 | Penjanje | Maksimum za uzlijetanje | 1 | 1 500 | | | |
| EMB175 | ICAO_A | 1 | 3 | Penjanje | Maksimum za penjanje | 1 | 3 000 | | | |
| EMB175 | ICAO_A | 1 | 4 | Ubrzanje | Maksimum za penjanje | ZERO | | 1 634 | 195 | |
| EMB175 | ICAO_A | 1 | 5 | Ubrzanje | Maksimum za penjanje | ZERO | | 1 979 | 240 | |

▼**M2**

| ACFTID | Oznaka profila (Profile_ID) | Duljina faze | Broj koraka | Tip koraka | Režim rada motora | Zakrilca (Flap_ID) | Visina krajnje točke (ft) | Stopa penjanja (ft/min) | Kalibrirana brzina leta u krajnjoj točki (kt) | Postotak ubrzanja (Accelerate_Percent) (%) |
|---|---|---|---|---|---|---|---|---|---|---|
| EMB175 | ICAO_A | 1 | 6 | Penjanje | Maksimum za penjanje | ZERO | 5 500 | | | |
| EMB175 | ICAO_A | 1 | 7 | Penjanje | Maksimum za penjanje | ZERO | 7 500 | | | |
| EMB175 | ICAO_A | 1 | 8 | Penjanje | Maksimum za penjanje | ZERO | 10 000 | | | |
| EMB175 | ICAO_A | 2 | 1 | Penjanje | Maksimum za uzlijetanje | 1 | | | | |
| EMB175 | ICAO_A | 2 | 2 | Penjanje | Maksimum za uzlijetanje | 1 | 1 500 | | | |
| EMB175 | ICAO_A | 2 | 3 | Penjanje | Maksimum za penjanje | 1 | 3 000 | | | |
| EMB175 | ICAO_A | 2 | 4 | Ubrzanje | Maksimum za penjanje | ZERO | | 1 568 | 198,5 | |
| EMB175 | ICAO_A | 2 | 5 | Ubrzanje | Maksimum za penjanje | ZERO | | 1 885 | 240 | |
| EMB175 | ICAO_A | 2 | 6 | Penjanje | Maksimum za penjanje | ZERO | 5 500 | | | |
| EMB175 | ICAO_A | 2 | 7 | Penjanje | Maksimum za penjanje | ZERO | 7 500 | | | |
| EMB175 | ICAO_A | 2 | 8 | Penjanje | Maksimum za penjanje | ZERO | 10 000 | | | |
| EMB175 | ICAO_A | 3 | 1 | Penjanje | Maksimum za uzlijetanje | 1 | | | | |
| EMB175 | ICAO_A | 3 | 2 | Penjanje | Maksimum za uzlijetanje | 1 | 1 500 | | | |
| EMB175 | ICAO_A | 3 | 3 | Penjanje | Maksimum za penjanje | 1 | 3 000 | | | |

▼**M2**

| ACFTID | Oznaka profila (Profile_ID) | Duljina faze | Broj koraka | Tip koraka | Režim rada motora | Zakrilca (Flap_ID) | Visina krajnje točke (ft) | Stopa penjanja (ft/min) | Kalibrirana brzina leta u krajnjoj točki (kt) | Postotak ubrzanja (Accelerate_Percent) (%) |
|---|---|---|---|---|---|---|---|---|---|---|
| EMB175 | ICAO_A | 3 | 4 | Ubrzanje | Maksimum za penjanje | ZERO | | 1 499 | 201,3 | |
| EMB175 | ICAO_A | 3 | 5 | Ubrzanje | Maksimum za penjanje | ZERO | | 1 794 | 240 | |
| EMB175 | ICAO_A | 3 | 6 | Penjanje | Maksimum za penjanje | ZERO | 5 500 | | | |
| EMB175 | ICAO_A | 3 | 7 | Penjanje | Maksimum za penjanje | ZERO | 7 500 | | | |
| EMB175 | ICAO_A | 3 | 8 | Penjanje | Maksimum za penjanje | ZERO | 10 000 | | | |
| EMB175 | ICAO_B | 1 | 1 | Penjanje | Maksimum za uzlijetanje | 1 | | | | |
| EMB175 | ICAO_B | 1 | 2 | Penjanje | Maksimum za uzlijetanje | 1 | 1 000 | | | |
| EMB175 | ICAO_B | 1 | 3 | Ubrzanje | Maksimum za uzlijetanje | ZERO | | 1 818 | 195,5 | |
| EMB175 | ICAO_B | 1 | 4 | Penjanje | Maksimum za penjanje | ZERO | 3 000 | | | |
| EMB175 | ICAO_B | 1 | 5 | Ubrzanje | Maksimum za penjanje | ZERO | | 2 202 | 240 | |
| EMB175 | ICAO_B | 1 | 6 | Penjanje | Maksimum za penjanje | ZERO | 5 500 | | | |
| EMB175 | ICAO_B | 1 | 7 | Penjanje | Maksimum za penjanje | ZERO | 7 500 | | | |
| EMB175 | ICAO_B | 1 | 8 | Penjanje | Maksimum za penjanje | ZERO | 10 000 | | | |
| EMB175 | ICAO_B | 2 | 1 | Penjanje | Maksimum za uzlijetanje | 1 | | | | |

▼**M2**

| ACFTID | Oznaka profila (Profile_ID) | Duljina faze | Broj koraka | Tip koraka | Režim rada motora | Zakrilca (Flap_ID) | Visina krajnje točke (ft) | Stopa penjanja (ft/min) | Kalibrirana brzina leta u krajnjoj točki (kt) | Postotak ubrzanja (Accelerate_Percent) (%) |
|---|---|---|---|---|---|---|---|---|---|---|
| EMB175 | ICAO_B | 2 | 2 | Penjanje | Maksimum za uzlijetanje | 1 | 1 000 | | | |
| EMB175 | ICAO_B | 2 | 3 | Ubrzanje | Maksimum za uzlijetanje | ZERO | | 1 744 | 197,1 | |
| EMB175 | ICAO_B | 2 | 4 | Penjanje | Maksimum za penjanje | ZERO | 3 000 | | | |
| EMB175 | ICAO_B | 2 | 5 | Ubrzanje | Maksimum za penjanje | ZERO | | 2 099 | 240 | |
| EMB175 | ICAO_B | 2 | 6 | Penjanje | Maksimum za penjanje | ZERO | 5 500 | | | |
| EMB175 | ICAO_B | 2 | 7 | Penjanje | Maksimum za penjanje | ZERO | 7 500 | | | |
| EMB175 | ICAO_B | 2 | 8 | Penjanje | Maksimum za penjanje | ZERO | 10 000 | | | |
| EMB175 | ICAO_B | 3 | 1 | Penjanje | Maksimum za uzlijetanje | 1 | | | | |
| EMB175 | ICAO_B | 3 | 2 | Penjanje | Maksimum za uzlijetanje | 1 | 1 000 | | | |
| EMB175 | ICAO_B | 3 | 3 | Ubrzanje | Maksimum za uzlijetanje | ZERO | | 1 668 | 200,8 | |
| EMB175 | ICAO_B | 3 | 4 | Penjanje | Maksimum za penjanje | ZERO | 3 000 | | | |
| EMB175 | ICAO_B | 3 | 5 | Ubrzanje | Maksimum za penjanje | ZERO | | 1 996 | 240 | |
| EMB175 | ICAO_B | 3 | 6 | Penjanje | Maksimum za penjanje | ZERO | 5 500 | | | |
| EMB175 | ICAO_B | 3 | 7 | Penjanje | Maksimum za penjanje | ZERO | 7 500 | | | |

▼**M2**

| ACFTID | Oznaka profila (Profile_ID) | Duljina faze | Broj koraka | Tip koraka | Režim rada motora | Zakrilca (Flap_ID) | Visina krajnje točke (ft) | Stopa penjanja (ft/min) | Kalibrirana brzina leta u krajnjoj točki (kt) | Postotak ubrzanja (Accelerate_Percent) (%) |
|---|---|---|---|---|---|---|---|---|---|---|
| EMB175 | ICAO_B | 3 | 8 | Penjanje | Maksimum za penjanje | ZERO | 10 000 | | | |
| EMB190 | DEFAULT | 1 | 1 | Penjanje | Maksimum za uzlijetanje | 1 | | | | |
| EMB190 | DEFAULT | 1 | 2 | Penjanje | Maksimum za uzlijetanje | 1 | 1 000 | | | |
| EMB190 | DEFAULT | 1 | 3 | Ubrzanje | Maksimum za penjanje | ZERO | | 1 685 | 194,5 | |
| EMB190 | DEFAULT | 1 | 4 | Penjanje | Maksimum za penjanje | ZERO | 3 000 | | | |
| EMB190 | DEFAULT | 1 | 5 | Ubrzanje | Maksimum za penjanje | ZERO | | 2 041 | 250 | |
| EMB190 | DEFAULT | 1 | 6 | Penjanje | Maksimum za penjanje | ZERO | 5 500 | | | |
| EMB190 | DEFAULT | 1 | 7 | Penjanje | Maksimum za penjanje | ZERO | 7 500 | | | |
| EMB190 | DEFAULT | 1 | 8 | Penjanje | Maksimum za penjanje | ZERO | 10 000 | | | |
| EMB190 | DEFAULT | 2 | 1 | Penjanje | Maksimum za uzlijetanje | 1 | | | | |
| EMB190 | DEFAULT | 2 | 2 | Penjanje | Maksimum za uzlijetanje | 1 | 1 000 | | | |
| EMB190 | DEFAULT | 2 | 3 | Ubrzanje | Maksimum za penjanje | ZERO | | 1 616 | 197,1 | |
| EMB190 | DEFAULT | 2 | 4 | Penjanje | Maksimum za penjanje | ZERO | 3 000 | | | |
| EMB190 | DEFAULT | 2 | 5 | Ubrzanje | Maksimum za penjanje | ZERO | | 1 944 | 250 | |

▼**M2**

| ACFTID | Oznaka profila (Profile_ID) | Duljina faze | Broj koraka | Tip koraka | Režim rada motora | Zakrilca (Flap_ID) | Visina krajnje točke (ft) | Stopa penjanja (ft/min) | Kalibrirana brzina leta u krajnjoj točki (kt) | Postotak ubrzanja (Accelerate_Percent) (%) |
|---|---|---|---|---|---|---|---|---|---|---|
| EMB190 | DEFAULT | 2 | 6 | Penjanje | Maksimum za penjanje | ZERO | 5 500 | | | |
| EMB190 | DEFAULT | 2 | 7 | Penjanje | Maksimum za penjanje | ZERO | 7 500 | | | |
| EMB190 | DEFAULT | 2 | 8 | Penjanje | Maksimum za penjanje | ZERO | 10 000 | | | |
| EMB190 | DEFAULT | 3 | 1 | Penjanje | Maksimum za uzlijetanje | 1 | | | | |
| EMB190 | DEFAULT | 3 | 2 | Penjanje | Maksimum za uzlijetanje | 1 | 1 000 | | | |
| EMB190 | DEFAULT | 3 | 3 | Ubrzanje | Maksimum za penjanje | ZERO | | 1 546 | 199,7 | |
| EMB190 | DEFAULT | 3 | 4 | Penjanje | Maksimum za penjanje | ZERO | 3 000 | | | |
| EMB190 | DEFAULT | 3 | 5 | Ubrzanje | Maksimum za penjanje | ZERO | | 1 850 | 250 | |
| EMB190 | DEFAULT | 3 | 6 | Penjanje | Maksimum za penjanje | ZERO | 5 500 | | | |
| EMB190 | DEFAULT | 3 | 7 | Penjanje | Maksimum za penjanje | ZERO | 7 500 | | | |
| EMB190 | DEFAULT | 3 | 8 | Penjanje | Maksimum za penjanje | ZERO | 10 000 | | | |
| EMB190 | DEFAULT | 4 | 1 | Penjanje | Maksimum za uzlijetanje | 1 | | | | |
| EMB190 | DEFAULT | 4 | 2 | Penjanje | Maksimum za uzlijetanje | 1 | 1 000 | | | |

▼**M2**

| ACFTID | Oznaka profila (Profile_ID) | Duljina faze | Broj koraka | Tip koraka | Režim rada motora | Zakrilca (Flap_ID) | Visina krajnje točke (ft) | Stopa penjanja (ft/min) | Kalibrirana brzina leta u krajnjoj točki (kt) | Postotak ubrzanja (Accelerate_Percent) (%) |
|---|---|---|---|---|---|---|---|---|---|---|
| EMB190 | DEFAULT | 4 | 3 | Ubrzanje | Maksimum za penjanje | ZERO | | 1 416 | 205,2 | |
| EMB190 | DEFAULT | 4 | 4 | Penjanje | Maksimum za penjanje | ZERO | 3 000 | | | |
| EMB190 | DEFAULT | 4 | 5 | Ubrzanje | Maksimum za penjanje | ZERO | | 1 677 | 250 | |
| EMB190 | DEFAULT | 4 | 6 | Penjanje | Maksimum za penjanje | ZERO | 5 500 | | | |
| EMB190 | DEFAULT | 4 | 7 | Penjanje | Maksimum za penjanje | ZERO | 7 500 | | | |
| EMB190 | DEFAULT | 4 | 8 | Penjanje | Maksimum za penjanje | ZERO | 10 000 | | | |
| EMB190 | ICAO_A | 1 | 1 | Penjanje | Maksimum za uzlijetanje | 1 | | | | |
| EMB190 | ICAO_A | 1 | 2 | Penjanje | Maksimum za uzlijetanje | 1 | 1 500 | | | |
| EMB190 | ICAO_A | 1 | 3 | Penjanje | Maksimum za penjanje | 1 | 3 000 | | | |
| EMB190 | ICAO_A | 1 | 4 | Ubrzanje | Maksimum za penjanje | ZERO | | 1 652 | 194,1 | |
| EMB190 | ICAO_A | 1 | 5 | Ubrzanje | Maksimum za penjanje | ZERO | | 2 012 | 250 | |
| EMB190 | ICAO_A | 1 | 6 | Penjanje | Maksimum za penjanje | ZERO | 5 500 | | | |
| EMB190 | ICAO_A | 1 | 7 | Penjanje | Maksimum za penjanje | ZERO | 7 500 | | | |

▼**M2**

| ACFTID | Oznaka profila (Profile_ID) | Duljina faze | Broj koraka | Tip koraka | Režim rada motora | Zakrilca (Flap_ID) | Visina krajnje točke (ft) | Stopa penjanja (ft/min) | Kalibrirana brzina leta u krajnjoj točki (kt) | Postotak ubrzanja (Accelerate_Percent) (%) |
|---|---|---|---|---|---|---|---|---|---|---|
| EMB190 | ICAO_A | 1 | 8 | Penjanje | Maksimum za penjanje | ZERO | 10 000 | | | |
| EMB190 | ICAO_A | 2 | 1 | Penjanje | Maksimum za uzlijetanje | 1 | | | | |
| EMB190 | ICAO_A | 2 | 2 | Penjanje | Maksimum za uzlijetanje | 1 | 1 500 | | | |
| EMB190 | ICAO_A | 2 | 3 | Penjanje | Maksimum za penjanje | 1 | 3 000 | | | |
| EMB190 | ICAO_A | 2 | 4 | Ubrzanje | Maksimum za penjanje | ZERO | | 1 582 | 196,6 | |
| EMB190 | ICAO_A | 2 | 5 | Ubrzanje | Maksimum za penjanje | ZERO | | 1 918 | 250 | |
| EMB190 | ICAO_A | 2 | 6 | Penjanje | Maksimum za penjanje | ZERO | 5 500 | | | |
| EMB190 | ICAO_A | 2 | 7 | Penjanje | Maksimum za penjanje | ZERO | 7 500 | | | |
| EMB190 | ICAO_A | 2 | 8 | Penjanje | Maksimum za penjanje | ZERO | 10 000 | | | |
| EMB190 | ICAO_A | 3 | 1 | Penjanje | Maksimum za uzlijetanje | 1 | | | | |
| EMB190 | ICAO_A | 3 | 2 | Penjanje | Maksimum za uzlijetanje | 1 | 1 500 | | | |
| EMB190 | ICAO_A | 3 | 3 | Penjanje | Maksimum za penjanje | 1 | 3 000 | | | |
| EMB190 | ICAO_A | 3 | 4 | Ubrzanje | Maksimum za penjanje | ZERO | | 1 513 | 199,4 | |
| EMB190 | ICAO_A | 3 | 5 | Ubrzanje | Maksimum za penjanje | ZERO | | 1 826 | 250 | |

▼**M2**

| ACFTID | Oznaka profila (Profile_ID) | Duljina faze | Broj koraka | Tip koraka | Režim rada motora | Zakrilca (Flap_ID) | Visina krajnje točke (ft) | Stopa penjanja (ft/min) | Kalibrirana brzina leta u krajnjoj točki (kt) | Postotak ubrzanja (Accelerate_Percent) (%) |
|---|---|---|---|---|---|---|---|---|---|---|
| EMB190 | ICAO_A | 3 | 6 | Penjanje | Maksimum za penjanje | ZERO | 5 500 | | | |
| EMB190 | ICAO_A | 3 | 7 | Penjanje | Maksimum za penjanje | ZERO | 7 500 | | | |
| EMB190 | ICAO_A | 3 | 8 | Penjanje | Maksimum za penjanje | ZERO | 10 000 | | | |
| EMB190 | ICAO_A | 4 | 1 | Penjanje | Maksimum za uzlijetanje | 1 | | | | |
| EMB190 | ICAO_A | 4 | 2 | Penjanje | Maksimum za uzlijetanje | 1 | 1 500 | | | |
| EMB190 | ICAO_A | 4 | 3 | Penjanje | Maksimum za penjanje | 1 | 3 000 | | | |
| EMB190 | ICAO_A | 4 | 4 | Ubrzanje | Maksimum za penjanje | ZERO | | 1 382 | 204,8 | |
| EMB190 | ICAO_A | 4 | 5 | Ubrzanje | Maksimum za penjanje | ZERO | | 1 658 | 250 | |
| EMB190 | ICAO_A | 4 | 6 | Penjanje | Maksimum za penjanje | ZERO | 7 500 | | | |
| EMB190 | ICAO_A | 4 | 7 | Penjanje | Maksimum za penjanje | ZERO | 10 000 | | | |
| EMB190 | ICAO_B | 1 | 1 | Penjanje | Maksimum za uzlijetanje | 1 | | | | |
| EMB190 | ICAO_B | 1 | 2 | Penjanje | Maksimum za uzlijetanje | 1 | 1 000 | | | |
| EMB190 | ICAO_B | 1 | 3 | Ubrzanje | Maksimum za uzlijetanje | ZERO | | 1 899 | 194,4 | |
| EMB190 | ICAO_B | 1 | 4 | Penjanje | Maksimum za penjanje | ZERO | 3 000 | | | |

▼**M2**

| ACFTID | Oznaka profila (Profile_ID) | Duljina faze | Broj koraka | Tip koraka | Režim rada motora | Zakrilca (Flap_ID) | Visina krajnje točke (ft) | Stopa penjanja (ft/min) | Kalibrirana brzina leta u krajnjoj točki (kt) | Postotak ubrzanja (Accelerate_Percent) (%) |
|---|---|---|---|---|---|---|---|---|---|---|
| EMB190 | ICAO_B | 1 | 5 | Ubrzanje | Maksimum za penjanje | ZERO | | 2 171 | 250 | |
| EMB190 | ICAO_B | 1 | 6 | Penjanje | Maksimum za penjanje | ZERO | 5 500 | | | |
| EMB190 | ICAO_B | 1 | 7 | Penjanje | Maksimum za penjanje | ZERO | 7 500 | | | |
| EMB190 | ICAO_B | 1 | 8 | Penjanje | Maksimum za penjanje | ZERO | 10 000 | | | |
| EMB190 | ICAO_B | 2 | 1 | Penjanje | Maksimum za uzlijetanje | 1 | | | | |
| EMB190 | ICAO_B | 2 | 2 | Penjanje | Maksimum za uzlijetanje | 1 | 1 000 | | | |
| EMB190 | ICAO_B | 2 | 3 | Ubrzanje | Maksimum za uzlijetanje | ZERO | | 1 824 | 197 | |
| EMB190 | ICAO_B | 2 | 4 | Penjanje | Maksimum za penjanje | ZERO | 3 000 | | | |
| EMB190 | ICAO_B | 2 | 5 | Ubrzanje | Maksimum za penjanje | ZERO | | 2 069 | 250 | |
| EMB190 | ICAO_B | 2 | 6 | Penjanje | Maksimum za penjanje | ZERO | 5 500 | | | |
| EMB190 | ICAO_B | 2 | 7 | Penjanje | Maksimum za penjanje | ZERO | 7 500 | | | |
| EMB190 | ICAO_B | 2 | 8 | Penjanje | Maksimum za penjanje | ZERO | 10 000 | | | |
| EMB190 | ICAO_B | 3 | 1 | Penjanje | Maksimum za uzlijetanje | 1 | | | | |
| EMB190 | ICAO_B | 3 | 2 | Penjanje | Maksimum za uzlijetanje | 1 | 1 000 | | | |
| EMB190 | ICAO_B | 3 | 3 | Ubrzanje | Maksimum za uzlijetanje | ZERO | | 1 628 | 199,7 | |

▼M2

| ACFTID | Oznaka profila (Profile_ID) | Duljina faze | Broj koraka | Tip koraka | Režim rada motora | Zakrilca (Flap_ID) | Visina krajnje točke (ft) | Stopa penjanja (ft/min) | Kalibrirana brzina leta u krajnjoj točki (kt) | Postotak ubrzanja (Accelerate_Percent) (%) |
|---|---|---|---|---|---|---|---|---|---|---|
| EMB190 | ICAO_B | 3 | 4 | Penjanje | Maksimum za penjanje | ZERO | 3 000 | | | |
| EMB190 | ICAO_B | 3 | 5 | Ubrzanje | Maksimum za penjanje | ZERO | | 1 969 | 250 | |
| EMB190 | ICAO_B | 3 | 6 | Penjanje | Maksimum za penjanje | ZERO | 5 500 | | | |
| EMB190 | ICAO_B | 3 | 7 | Penjanje | Maksimum za penjanje | ZERO | 7 500 | | | |
| EMB190 | ICAO_B | 3 | 8 | Penjanje | Maksimum za penjanje | ZERO | 10 000 | | | |
| EMB190 | ICAO_B | 4 | 1 | Penjanje | Maksimum za uzlijetanje | 1 | | | | |
| EMB190 | ICAO_B | 4 | 2 | Penjanje | Maksimum za uzlijetanje | 1 | 1 000 | | | |
| EMB190 | ICAO_B | 4 | 3 | Ubrzanje | Maksimum za uzlijetanje | ZERO | | 1 603 | 205,1 | |
| EMB190 | ICAO_B | 4 | 4 | Penjanje | Maksimum za penjanje | ZERO | 3 000 | | | |
| EMB190 | ICAO_B | 4 | 5 | Ubrzanje | Maksimum za penjanje | ZERO | | 1 784 | 250 | |
| EMB190 | ICAO_B | 4 | 6 | Penjanje | Maksimum za penjanje | ZERO | 5 500 | | | |
| EMB190 | ICAO_B | 4 | 7 | Penjanje | Maksimum za penjanje | ZERO | 7 500 | | | |
| EMB190 | ICAO_B | 4 | 8 | Penjanje | Maksimum za penjanje | ZERO | 10 000 | | | |
| EMB195 | DEFAULT | 1 | 1 | Penjanje | Maksimum za uzlijetanje | 1 | | | | |
| EMB195 | DEFAULT | 1 | 2 | Penjanje | Maksimum za uzlijetanje | 1 | 1 000 | | | |

▼**M2**

| ACFTID | Oznaka profila (Profile_ID) | Duljina faze | Broj koraka | Tip koraka | Režim rada motora | Zakrilca (Flap_ID) | Visina krajnje točke (ft) | Stopa penjanja (ft/min) | Kalibrirana brzina leta u krajnjoj točki (kt) | Postotak ubrzanja (Accelerate_Percent) (%) |
|---|---|---|---|---|---|---|---|---|---|---|
| EMB195 | DEFAULT | 1 | 3 | Ubrzanje | Maksimum za penjanje | ZERO | | 1 622 | 195 | |
| EMB195 | DEFAULT | 1 | 4 | Penjanje | Maksimum za penjanje | ZERO | 3 000 | | | |
| EMB195 | DEFAULT | 1 | 5 | Ubrzanje | Maksimum za penjanje | ZERO | | 1 965 | 250 | |
| EMB195 | DEFAULT | 1 | 6 | Penjanje | Maksimum za penjanje | ZERO | 5 500 | | | |
| EMB195 | DEFAULT | 1 | 7 | Penjanje | Maksimum za penjanje | ZERO | 7 500 | | | |
| EMB195 | DEFAULT | 1 | 8 | Penjanje | Maksimum za penjanje | ZERO | 10 000 | | | |
| EMB195 | DEFAULT | 2 | 1 | Penjanje | Maksimum za uzlijetanje | 1 | | | | |
| EMB195 | DEFAULT | 2 | 2 | Penjanje | Maksimum za uzlijetanje | 1 | 1 000 | | | |
| EMB195 | DEFAULT | 2 | 3 | Ubrzanje | Maksimum za penjanje | ZERO | | 1 556 | 197,6 | |
| EMB195 | DEFAULT | 2 | 4 | Penjanje | Maksimum za penjanje | ZERO | 3 000 | | | |
| EMB195 | DEFAULT | 2 | 5 | Ubrzanje | Maksimum za penjanje | ZERO | | 1 872 | 250 | |
| EMB195 | DEFAULT | 2 | 6 | Penjanje | Maksimum za penjanje | ZERO | 5 500 | | | |
| EMB195 | DEFAULT | 2 | 7 | Penjanje | Maksimum za penjanje | ZERO | 7 500 | | | |
| EMB195 | DEFAULT | 2 | 8 | Penjanje | Maksimum za penjanje | ZERO | 10 000 | | | |

▼**M2**

| ACFTID | Oznaka profila (Profile_ID) | Duljina faze | Broj koraka | Tip koraka | Režim rada motora | Zakrilca (Flap_ID) | Visina krajnje točke (ft) | Stopa penjanja (ft/min) | Kalibrirana brzina leta u krajnjoj točki (kt) | Postotak ubrzanja (Accelerate_Percent) (%) |
|---|---|---|---|---|---|---|---|---|---|---|
| EMB195 | DEFAULT | 3 | 1 | Penjanje | Maksimum za uzlijetanje | 1 | | | | |
| EMB195 | DEFAULT | 3 | 2 | Penjanje | Maksimum za uzlijetanje | 1 | 1 000 | | | |
| EMB195 | DEFAULT | 3 | 3 | Ubrzanje | Maksimum za penjanje | ZERO | | 1 489 | 200,2 | |
| EMB195 | DEFAULT | 3 | 4 | Penjanje | Maksimum za penjanje | ZERO | 3 000 | | | |
| EMB195 | DEFAULT | 3 | 5 | Ubrzanje | Maksimum za penjanje | ZERO | | 1 781 | 250 | |
| EMB195 | DEFAULT | 3 | 6 | Penjanje | Maksimum za penjanje | ZERO | 5 500 | | | |
| EMB195 | DEFAULT | 3 | 7 | Penjanje | Maksimum za penjanje | ZERO | 7 500 | | | |
| EMB195 | DEFAULT | 3 | 8 | Penjanje | Maksimum za penjanje | ZERO | 10 000 | | | |
| EMB195 | DEFAULT | 4 | 1 | Penjanje | Maksimum za uzlijetanje | 1 | | | | |
| EMB195 | DEFAULT | 4 | 2 | Penjanje | Maksimum za uzlijetanje | 1 | 1 000 | | | |
| EMB195 | DEFAULT | 4 | 3 | Ubrzanje | Maksimum za penjanje | ZERO | | 1 364 | 205,7 | |
| EMB195 | DEFAULT | 4 | 4 | Penjanje | Maksimum za penjanje | ZERO | 3 000 | | | |
| EMB195 | DEFAULT | 4 | 5 | Ubrzanje | Maksimum za penjanje | ZERO | | 1 615 | 250 | |
| EMB195 | DEFAULT | 4 | 6 | Penjanje | Maksimum za penjanje | ZERO | 7 500 | | | |

▼M2

| ACFTID | Oznaka profila (Profile_ID) | Duljina faze | Broj koraka | Tip koraka | Režim rada motora | Zakrilca (Flap_ID) | Visina krajnje točke (ft) | Stopa penjanja (ft/min) | Kalibrirana brzina leta u krajnjoj točki (kt) | Postotak ubrzanja (Accelerate_Percent) (%) |
|---|---|---|---|---|---|---|---|---|---|---|
| EMB195 | DEFAULT | 4 | 7 | Penjanje | Maksimum za penjanje | ZERO | 10 000 | | | |
| EMB195 | ICAO_A | 1 | 1 | Penjanje | Maksimum za uzlijetanje | 1 | | | | |
| EMB195 | ICAO_A | 1 | 2 | Penjanje | Maksimum za uzlijetanje | 1 | 1 500 | | | |
| EMB195 | ICAO_A | 1 | 3 | Penjanje | Maksimum za penjanje | 1 | 3 000 | | | |
| EMB195 | ICAO_A | 1 | 4 | Ubrzanje | Maksimum za penjanje | ZERO | | 1 605 | 196,5 | |
| EMB195 | ICAO_A | 1 | 5 | Ubrzanje | Maksimum za penjanje | ZERO | | 1 930 | 250 | |
| EMB195 | ICAO_A | 1 | 6 | Penjanje | Maksimum za penjanje | ZERO | 7 500 | | | |
| EMB195 | ICAO_A | 1 | 7 | Penjanje | Maksimum za penjanje | ZERO | 10 000 | | | |
| EMB195 | ICAO_A | 2 | 1 | Penjanje | Maksimum za uzlijetanje | 1 | | | | |
| EMB195 | ICAO_A | 2 | 2 | Penjanje | Maksimum za uzlijetanje | 1 | 1 500 | | | |
| EMB195 | ICAO_A | 2 | 3 | Penjanje | Maksimum za penjanje | 1 | 3 000 | | | |
| EMB195 | ICAO_A | 2 | 4 | Ubrzanje | Maksimum za penjanje | ZERO | | 1 538 | 198,1 | |
| EMB195 | ICAO_A | 2 | 5 | Ubrzanje | Maksimum za penjanje | ZERO | | 1 871 | 250 | |
| EMB195 | ICAO_A | 2 | 6 | Penjanje | Maksimum za penjanje | ZERO | 7 500 | | | |

▼**M2**

| ACFTID | Oznaka profila (Profile_ID) | Duljina faze | Broj koraka | Tip koraka | Režim rada motora | Zakrilca (Flap_ID) | Visina krajnje točke (ft) | Stopa penjanja (ft/min) | Kalibrirana brzina leta u krajnjoj točki (kt) | Postotak ubrzanja (Accelerate_Percent) (%) |
|---|---|---|---|---|---|---|---|---|---|---|
| EMB195 | ICAO_A | 2 | 7 | Penjanje | Maksimum za penjanje | ZERO | 10 000 | | | |
| EMB195 | ICAO_A | 3 | 1 | Penjanje | Maksimum za uzlijetanje | 1 | | | | |
| EMB195 | ICAO_A | 3 | 2 | Penjanje | Maksimum za uzlijetanje | 1 | 1 500 | | | |
| EMB195 | ICAO_A | 3 | 3 | Penjanje | Maksimum za penjanje | 1 | 3 000 | | | |
| EMB195 | ICAO_A | 3 | 4 | Ubrzanje | Maksimum za penjanje | ZERO | | 1 467 | 201,3 | |
| EMB195 | ICAO_A | 3 | 5 | Ubrzanje | Maksimum za penjanje | ZERO | | 1 768 | 250 | |
| EMB195 | ICAO_A | 3 | 6 | Penjanje | Maksimum za penjanje | ZERO | 7 500 | | | |
| EMB195 | ICAO_A | 3 | 7 | Penjanje | Maksimum za penjanje | ZERO | 10 000 | | | |
| EMB195 | ICAO_A | 4 | 1 | Penjanje | Maksimum za uzlijetanje | 1 | | | | |
| EMB195 | ICAO_A | 4 | 2 | Penjanje | Maksimum za uzlijetanje | 1 | 1 500 | | | |
| EMB195 | ICAO_A | 4 | 3 | Penjanje | Maksimum za penjanje | 1 | 3 000 | | | |
| EMB195 | ICAO_A | 4 | 4 | Ubrzanje | Maksimum za penjanje | ZERO | | 1 336 | 206,2 | |
| EMB195 | ICAO_A | 4 | 5 | Ubrzanje | Maksimum za penjanje | ZERO | | 1 607 | 250 | |
| EMB195 | ICAO_A | 4 | 6 | Penjanje | Maksimum za penjanje | ZERO | 7 500 | | | |

▼**M2**

| ACFTID | Oznaka profila (Profile_ID) | Duljina faze | Broj koraka | Tip koraka | Režim rada motora | Zakrilca (Flap_ID) | Visina krajnje točke (ft) | Stopa penjanja (ft/min) | Kalibrirana brzina leta u krajnjoj točki (kt) | Postotak ubrzanja (Accelerate_Percent) (%) |
|---|---|---|---|---|---|---|---|---|---|---|
| EMB195 | ICAO_A | 4 | 7 | Penjanje | Maksimum za penjanje | ZERO | 10 000 | | | |
| EMB195 | ICAO_B | 1 | 1 | Penjanje | Maksimum za uzlijetanje | 1 | | | | |
| EMB195 | ICAO_B | 1 | 2 | Penjanje | Maksimum za uzlijetanje | 1 | 1 000 | | | |
| EMB195 | ICAO_B | 1 | 3 | Ubrzanje | Maksimum za uzlijetanje | ZERO | | 1 732 | 194,8 | |
| EMB195 | ICAO_B | 1 | 4 | Penjanje | Maksimum za penjanje | ZERO | 3 000 | | | |
| EMB195 | ICAO_B | 1 | 5 | Ubrzanje | Maksimum za penjanje | ZERO | | 1 988 | 250 | |
| EMB195 | ICAO_B | 1 | 6 | Penjanje | Maksimum za penjanje | ZERO | 5 500 | | | |
| EMB195 | ICAO_B | 1 | 7 | Penjanje | Maksimum za penjanje | ZERO | 7 500 | | | |
| EMB195 | ICAO_B | 1 | 8 | Penjanje | Maksimum za penjanje | ZERO | 10 000 | | | |
| EMB195 | ICAO_B | 2 | 1 | Penjanje | Maksimum za uzlijetanje | 1 | | | | |
| EMB195 | ICAO_B | 2 | 2 | Penjanje | Maksimum za uzlijetanje | 1 | 1 000 | | | |
| EMB195 | ICAO_B | 2 | 3 | Ubrzanje | Maksimum za uzlijetanje | ZERO | | 1 664 | 197 | |
| EMB195 | ICAO_B | 2 | 4 | Penjanje | Maksimum za penjanje | ZERO | 3 000 | | | |
| EMB195 | ICAO_B | 2 | 5 | Ubrzanje | Maksimum za penjanje | ZERO | | 1 895 | 250 | |
| EMB195 | ICAO_B | 2 | 6 | Penjanje | Maksimum za penjanje | ZERO | 5 500 | | | |

▼**M2**

| ACFTID | Oznaka profila (Profile_ID) | Duljina faze | Broj koraka | Tip koraka | Režim rada motora | Zakrilca (Flap_ID) | Visina krajnje točke (ft) | Stopa penjanja (ft/min) | Kalibrirana brzina leta u krajnjoj točki (kt) | Postotak ubrzanja (Accelerate_Percent) (%) |
|---|---|---|---|---|---|---|---|---|---|---|
| EMB195 | ICAO_B | 2 | 7 | Penjanje | Maksimum za penjanje | ZERO | 7 500 | | | |
| EMB195 | ICAO_B | 2 | 8 | Penjanje | Maksimum za penjanje | ZERO | 10 000 | | | |
| EMB195 | ICAO_B | 3 | 1 | Penjanje | Maksimum za uzlijetanje | 1 | | | | |
| EMB195 | ICAO_B | 3 | 2 | Penjanje | Maksimum za uzlijetanje | 1 | 1 000 | | | |
| EMB195 | ICAO_B | 3 | 3 | Ubrzanje | Maksimum za uzlijetanje | ZERO | | 1 485 | 195 | |
| EMB195 | ICAO_B | 3 | 4 | Penjanje | Maksimum za penjanje | ZERO | 3 000 | | | |
| EMB195 | ICAO_B | 3 | 5 | Ubrzanje | Maksimum za penjanje | ZERO | | 1 800 | 250 | |
| EMB195 | ICAO_B | 3 | 6 | Penjanje | Maksimum za penjanje | ZERO | 5 500 | | | |
| EMB195 | ICAO_B | 3 | 7 | Penjanje | Maksimum za penjanje | ZERO | 7 500 | | | |
| EMB195 | ICAO_B | 3 | 8 | Penjanje | Maksimum za penjanje | ZERO | 10 000 | | | |
| EMB195 | ICAO_B | 4 | 1 | Penjanje | Maksimum za uzlijetanje | 1 | | | | |
| EMB195 | ICAO_B | 4 | 2 | Penjanje | Maksimum za uzlijetanje | 1 | 1 000 | | | |
| EMB195 | ICAO_B | 4 | 3 | Ubrzanje | Maksimum za uzlijetanje | ZERO | | 1 468 | 205,4 | |
| EMB195 | ICAO_B | 4 | 4 | Penjanje | Maksimum za penjanje | ZERO | 3 000 | | | |
| EMB195 | ICAO_B | 4 | 5 | Ubrzanje | Maksimum za penjanje | ZERO | | 1 631 | 250 | |

▼**M2**

| ACFTID | Oznaka profila (Profile_ID) | Duljina faze | Broj koraka | Tip koraka | Režim rada motora | Zakrilca (Flap_ID) | Visina krajnje točke (ft) | Stopa penjanja (ft/min) | Kalibrirana brzina leta u krajnjoj točki (kt) | Postotak ubrzanja (Accelerate_Percent) (%) |
|---|---|---|---|---|---|---|---|---|---|---|
| EMB195 | ICAO_B | 4 | 6 | Penjanje | Maksimum za penjanje | ZERO | 5 500 | | | |
| EMB195 | ICAO_B | 4 | 7 | Penjanje | Maksimum za penjanje | ZERO | 7 500 | | | |
| EMB195 | ICAO_B | 4 | 8 | Penjanje | Maksimum za penjanje | ZERO | 10 000 | | | |
| F10062 | DEFAULT | 1 | 1 | Penjanje | Maksimum za uzlijetanje | TO | | | | |
| F10062 | DEFAULT | 1 | 2 | Penjanje | Maksimum za uzlijetanje | TO | 1 000 | | | |
| F10062 | DEFAULT | 1 | 3 | Ubrzanje | Maksimum za uzlijetanje | TO | | 2 196 | 154 | |
| F10062 | DEFAULT | 1 | 4 | Ubrzanje | Maksimum za uzlijetanje | TO | | 1 647 | 169 | |
| F10062 | DEFAULT | 1 | 5 | Ubrzanje | Maksimum za penjanje | TO | | 1 000 | 184 | |
| F10062 | DEFAULT | 1 | 6 | Penjanje | Maksimum za penjanje | TO | 3 000 | | | |
| F10062 | DEFAULT | 1 | 7 | Ubrzanje | Maksimum za penjanje | TO | | 1 000 | 250 | |
| F10062 | DEFAULT | 1 | 8 | Penjanje | Maksimum za penjanje | TO | 5 500 | | | |
| F10062 | DEFAULT | 1 | 9 | Penjanje | Maksimum za penjanje | TO | 7 500 | | | |
| F10062 | DEFAULT | 1 | 10 | Penjanje | Maksimum za penjanje | TO | 10 000 | | | |
| F10062 | DEFAULT | 2 | 1 | Penjanje | Maksimum za uzlijetanje | TO | | | | |

▼**M2**

| ACFTID | Oznaka profila (Profile_ID) | Duljina faze | Broj koraka | Tip koraka | Režim rada motora | Zakrilca (Flap_ID) | Visina krajnje točke (ft) | Stopa penjanja (ft/min) | Kalibrirana brzina leta u krajnjoj točki (kt) | Postotak ubrzanja (Accelerate_Percent) (%) |
|---|---|---|---|---|---|---|---|---|---|---|
| F10062 | DEFAULT | 2 | 2 | Penjanje | Maksimum za uzlijetanje | TO | 1 000 | | | |
| F10062 | DEFAULT | 2 | 3 | Ubrzanje | Maksimum za uzlijetanje | TO | | 1 982 | 161 | |
| F10062 | DEFAULT | 2 | 4 | Ubrzanje | Maksimum za uzlijetanje | TO | | 1 487 | 176 | |
| F10062 | DEFAULT | 2 | 5 | Ubrzanje | Maksimum za penjanje | TO | | 1 000 | 191 | |
| F10062 | DEFAULT | 2 | 6 | Penjanje | Maksimum za penjanje | TO | 3 000 | | | |
| F10062 | DEFAULT | 2 | 7 | Ubrzanje | Maksimum za penjanje | TO | | 1 000 | 250 | |
| F10062 | DEFAULT | 2 | 8 | Penjanje | Maksimum za penjanje | TO | 5 500 | | | |
| F10062 | DEFAULT | 2 | 9 | Penjanje | Maksimum za penjanje | TO | 7 500 | | | |
| F10062 | DEFAULT | 2 | 10 | Penjanje | Maksimum za penjanje | TO | 10 000 | | | |
| F10062 | DEFAULT | 3 | 1 | Penjanje | Maksimum za uzlijetanje | TO | | | | |
| F10062 | DEFAULT | 3 | 2 | Penjanje | Maksimum za uzlijetanje | TO | 1 000 | | | |
| F10062 | DEFAULT | 3 | 3 | Ubrzanje | Maksimum za uzlijetanje | TO | | 1 819 | 167 | |
| F10062 | DEFAULT | 3 | 4 | Ubrzanje | Maksimum za uzlijetanje | TO | | 1 364 | 182 | |
| F10062 | DEFAULT | 3 | 5 | Ubrzanje | Maksimum za penjanje | TO | | 1 000 | 197 | |

▼**M2**

| ACFTID | Oznaka profila (Profile_ID) | Duljina faze | Broj koraka | Tip koraka | Režim rada motora | Zakrilca (Flap_ID) | Visina krajnje točke (ft) | Stopa penjanja (ft/min) | Kalibrirana brzina leta u krajnjoj točki (kt) | Postotak ubrzanja (Accelerate_Percent) (%) |
|---|---|---|---|---|---|---|---|---|---|---|
| F10062 | DEFAULT | 3 | 6 | Penjanje | Maksimum za penjanje | TO | 3 000 | | | |
| F10062 | DEFAULT | 3 | 7 | Ubrzanje | Maksimum za penjanje | TO | | 1 000 | 250 | |
| F10062 | DEFAULT | 3 | 8 | Penjanje | Maksimum za penjanje | TO | 5 500 | | | |
| F10062 | DEFAULT | 3 | 9 | Penjanje | Maksimum za penjanje | TO | 7 500 | | | |
| F10062 | DEFAULT | 3 | 10 | Penjanje | Maksimum za penjanje | TO | 10 000 | | | |
| F10065 | DEFAULT | 1 | 1 | Penjanje | Maksimum za uzlijetanje | TO | | | | |
| F10065 | DEFAULT | 1 | 2 | Penjanje | Maksimum za uzlijetanje | TO | 1 000 | | | |
| F10065 | DEFAULT | 1 | 3 | Ubrzanje | Maksimum za uzlijetanje | TO | | 2 446 | 157 | |
| F10065 | DEFAULT | 1 | 4 | Ubrzanje | Maksimum za uzlijetanje | TO | | 1 835 | 172 | |
| F10065 | DEFAULT | 1 | 5 | Ubrzanje | Maksimum za penjanje | TO | | 1 000 | 187 | |
| F10065 | DEFAULT | 1 | 6 | Penjanje | Maksimum za penjanje | TO | 3 000 | | | |
| F10065 | DEFAULT | 1 | 7 | Ubrzanje | Maksimum za penjanje | TO | | 1 000 | 250 | |
| F10065 | DEFAULT | 1 | 8 | Penjanje | Maksimum za penjanje | TO | 5 500 | | | |

▼**M2**

| ACFTID | Oznaka profila (Profile_ID) | Duljina faze | Broj koraka | Tip koraka | Režim rada motora | Zakrilca (Flap_ID) | Visina krajnje točke (ft) | Stopa penjanja (ft/min) | Kalibrirana brzina leta u krajnjoj točki (kt) | Postotak ubrzanja (Accelerate_Percent) (%) |
|---|---|---|---|---|---|---|---|---|---|---|
| F10065 | DEFAULT | 1 | 9 | Penjanje | Maksimum za penjanje | TO | 7 500 | | | |
| F10065 | DEFAULT | 1 | 10 | Penjanje | Maksimum za penjanje | TO | 10 000 | | | |
| F10065 | DEFAULT | 2 | 1 | Penjanje | Maksimum za uzlijetanje | TO | | | | |
| F10065 | DEFAULT | 2 | 2 | Penjanje | Maksimum za uzlijetanje | TO | 1 000 | | | |
| F10065 | DEFAULT | 2 | 3 | Ubrzanje | Maksimum za uzlijetanje | TO | | 2 218 | 165 | |
| F10065 | DEFAULT | 2 | 4 | Ubrzanje | Maksimum za uzlijetanje | TO | | 1 664 | 180 | |
| F10065 | DEFAULT | 2 | 5 | Ubrzanje | Maksimum za penjanje | TO | | 1 000 | 195 | |
| F10065 | DEFAULT | 2 | 6 | Penjanje | Maksimum za penjanje | TO | 3 000 | | | |
| F10065 | DEFAULT | 2 | 7 | Ubrzanje | Maksimum za penjanje | TO | | 1 000 | 250 | |
| F10065 | DEFAULT | 2 | 8 | Penjanje | Maksimum za penjanje | TO | 5 500 | | | |
| F10065 | DEFAULT | 2 | 9 | Penjanje | Maksimum za penjanje | TO | 7 500 | | | |
| F10065 | DEFAULT | 2 | 10 | Penjanje | Maksimum za penjanje | TO | 10 000 | | | |
| F10065 | DEFAULT | 3 | 1 | Penjanje | Maksimum za uzlijetanje | TO | | | | |

▼**M2**

| ACFTID | Oznaka profila (Profile_ID) | Duljina faze | Broj koraka | Tip koraka | Režim rada motora | Zakrilca (Flap_ID) | Visina krajnje točke (ft) | Stopa penjanja (ft/min) | Kalibrirana brzina leta u krajnjoj točki (kt) | Postotak ubrzanja (Accelerate_Percent) (%) |
|---|---|---|---|---|---|---|---|---|---|---|
| F10065 | DEFAULT | 3 | 2 | Penjanje | Maksimum za uzlijetanje | TO | 1 000 | | | |
| F10065 | DEFAULT | 3 | 3 | Ubrzanje | Maksimum za uzlijetanje | TO | | 2 021 | 171 | |
| F10065 | DEFAULT | 3 | 4 | Ubrzanje | Maksimum za uzlijetanje | TO | | 1 516 | 186 | |
| F10065 | DEFAULT | 3 | 5 | Ubrzanje | Maksimum za penjanje | TO | | 1 000 | 201 | |
| F10065 | DEFAULT | 3 | 6 | Penjanje | Maksimum za penjanje | TO | 3 000 | | | |
| F10065 | DEFAULT | 3 | 7 | Ubrzanje | Maksimum za penjanje | TO | | 1 000 | 250 | |
| F10065 | DEFAULT | 3 | 8 | Penjanje | Maksimum za penjanje | TO | 5 500 | | | |
| F10065 | DEFAULT | 3 | 9 | Penjanje | Maksimum za penjanje | TO | 7 500 | | | |
| F10065 | DEFAULT | 3 | 10 | Penjanje | Maksimum za penjanje | TO | 10 000 | | | |
| F28MK2 | DEFAULT | 1 | 1 | Penjanje | Maksimum za uzlijetanje | 6 | | | | |
| F28MK2 | DEFAULT | 1 | 2 | Penjanje | Maksimum za uzlijetanje | 6 | 1 000 | | | |
| F28MK2 | DEFAULT | 1 | 3 | Ubrzanje | Maksimum za uzlijetanje | 6 | | 2 229 | 155 | |
| F28MK2 | DEFAULT | 1 | 4 | Ubrzanje | Maksimum za uzlijetanje | ZERO | | 1 672 | 170 | |
| F28MK2 | DEFAULT | 1 | 5 | Ubrzanje | Maksimum za penjanje | ZERO | | 1 000 | 185 | |

▼**M2**

| ACFTID | Oznaka profila (Profile_ID) | Duljina faze | Broj koraka | Tip koraka | Režim rada motora | Zakrilca (Flap_ID) | Visina krajnje točke (ft) | Stopa penjanja (ft/min) | Kalibrirana brzina leta u krajnjoj točki (kt) | Postotak ubrzanja (Accelerate_Percent) (%) |
|---|---|---|---|---|---|---|---|---|---|---|
| F28MK2 | DEFAULT | 1 | 6 | Penjanje | Maksimum za penjanje | ZERO | 3 000 | | | |
| F28MK2 | DEFAULT | 1 | 7 | Ubrzanje | Maksimum za penjanje | ZERO | | 1 000 | 250 | |
| F28MK2 | DEFAULT | 1 | 8 | Penjanje | Maksimum za penjanje | ZERO | 5 500 | | | |
| F28MK2 | DEFAULT | 1 | 9 | Penjanje | Maksimum za penjanje | ZERO | 7 500 | | | |
| F28MK2 | DEFAULT | 1 | 10 | Penjanje | Maksimum za penjanje | ZERO | 10 000 | | | |
| F28MK2 | DEFAULT | 2 | 1 | Penjanje | Maksimum za uzlijetanje | 6 | | | | |
| F28MK2 | DEFAULT | 2 | 2 | Penjanje | Maksimum za uzlijetanje | 6 | 1 000 | | | |
| F28MK2 | DEFAULT | 2 | 3 | Ubrzanje | Maksimum za uzlijetanje | 6 | | 2 011 | 162 | |
| F28MK2 | DEFAULT | 2 | 4 | Ubrzanje | Maksimum za uzlijetanje | ZERO | | 1 508 | 177 | |
| F28MK2 | DEFAULT | 2 | 5 | Ubrzanje | Maksimum za penjanje | ZERO | | 1 000 | 192 | |
| F28MK2 | DEFAULT | 2 | 6 | Penjanje | Maksimum za penjanje | ZERO | 3 000 | | | |
| F28MK2 | DEFAULT | 2 | 7 | Ubrzanje | Maksimum za penjanje | ZERO | | 1 000 | 250 | |
| F28MK2 | DEFAULT | 2 | 8 | Penjanje | Maksimum za penjanje | ZERO | 5 500 | | | |
| F28MK2 | DEFAULT | 2 | 9 | Penjanje | Maksimum za penjanje | ZERO | 7 500 | | | |

▼M2

| ACFTID | Oznaka profila (Profile_ID) | Duljina faze | Broj koraka | Tip koraka | Režim rada motora | Zakrilca (Flap_ID) | Visina krajnje točke (ft) | Stopa penjanja (ft/min) | Kalibrirana brzina leta u krajnjoj točki (kt) | Postotak ubrzanja (Accelerate_Percent) (%) |
|---|---|---|---|---|---|---|---|---|---|---|
| F28MK2 | DEFAULT | 2 | 10 | Penjanje | Maksimum za penjanje | ZERO | 10 000 | | | |
| F28MK4 | DEFAULT | 1 | 1 | Penjanje | Maksimum za uzlijetanje | 6 | | | | |
| F28MK4 | DEFAULT | 1 | 2 | Penjanje | Maksimum za uzlijetanje | 6 | 1 000 | | | |
| F28MK4 | DEFAULT | 1 | 3 | Ubrzanje | Maksimum za uzlijetanje | 6 | | 2 103 | 152 | |
| F28MK4 | DEFAULT | 1 | 4 | Ubrzanje | Maksimum za uzlijetanje | ZERO | | 1 578 | 167 | |
| F28MK4 | DEFAULT | 1 | 5 | Ubrzanje | Maksimum za penjanje | ZERO | | 1 000 | 182 | |
| F28MK4 | DEFAULT | 1 | 6 | Penjanje | Maksimum za penjanje | ZERO | 3 000 | | | |
| F28MK4 | DEFAULT | 1 | 7 | Ubrzanje | Maksimum za penjanje | ZERO | | 1 000 | 250 | |
| F28MK4 | DEFAULT | 1 | 8 | Penjanje | Maksimum za penjanje | ZERO | 5 500 | | | |
| F28MK4 | DEFAULT | 1 | 9 | Penjanje | Maksimum za penjanje | ZERO | 7 500 | | | |
| F28MK4 | DEFAULT | 1 | 10 | Penjanje | Maksimum za penjanje | ZERO | 10 000 | | | |
| F28MK4 | DEFAULT | 2 | 1 | Penjanje | Maksimum za uzlijetanje | 6 | | | | |
| F28MK4 | DEFAULT | 2 | 2 | Penjanje | Maksimum za uzlijetanje | 6 | 1 000 | | | |
| F28MK4 | DEFAULT | 2 | 3 | Ubrzanje | Maksimum za uzlijetanje | 6 | | 1 941 | 157 | |

▼**M2**

| ACFTID | Oznaka profila (Profile_ID) | Duljina faze | Broj koraka | Tip koraka | Režim rada motora | Zakrilca (Flap_ID) | Visina krajnje točke (ft) | Stopa penjanja (ft/min) | Kalibrirana brzina leta u krajnjoj točki (kt) | Postotak ubrzanja (Accelerate_Percent) (%) |
|---|---|---|---|---|---|---|---|---|---|---|
| F28MK4 | DEFAULT | 2 | 4 | Ubrzanje | Maksimum za uzlijetanje | ZERO | | 1 456 | 172 | |
| F28MK4 | DEFAULT | 2 | 5 | Ubrzanje | Maksimum za penjanje | ZERO | | 1 000 | 187 | |
| F28MK4 | DEFAULT | 2 | 6 | Penjanje | Maksimum za penjanje | ZERO | 3 000 | | | |
| F28MK4 | DEFAULT | 2 | 7 | Ubrzanje | Maksimum za penjanje | ZERO | | 1 000 | 250 | |
| F28MK4 | DEFAULT | 2 | 8 | Penjanje | Maksimum za penjanje | ZERO | 5 500 | | | |
| F28MK4 | DEFAULT | 2 | 9 | Penjanje | Maksimum za penjanje | ZERO | 7 500 | | | |
| F28MK4 | DEFAULT | 2 | 10 | Penjanje | Maksimum za penjanje | ZERO | 10 000 | | | |
| F28MK4 | DEFAULT | 3 | 1 | Penjanje | Maksimum za uzlijetanje | 6 | | | | |
| F28MK4 | DEFAULT | 3 | 2 | Penjanje | Maksimum za uzlijetanje | 6 | 1 000 | | | |
| F28MK4 | DEFAULT | 3 | 3 | Ubrzanje | Maksimum za uzlijetanje | 6 | | 1 743 | 165 | |
| F28MK4 | DEFAULT | 3 | 4 | Ubrzanje | Maksimum za uzlijetanje | 6 | | 1 307 | 180 | |
| F28MK4 | DEFAULT | 3 | 5 | Ubrzanje | Maksimum za penjanje | ZERO | | 1 000 | 195 | |
| F28MK4 | DEFAULT | 3 | 6 | Penjanje | Maksimum za penjanje | ZERO | 3 000 | | | |
| F28MK4 | DEFAULT | 3 | 7 | Ubrzanje | Maksimum za penjanje | ZERO | | 1 000 | 250 | |

▼**M2**

| ACFTID | Oznaka profila (Profile_ID) | Duljina faze | Broj koraka | Tip koraka | Režim rada motora | Zakrilca (Flap_ID) | Visina krajnje točke (ft) | Stopa penjanja (ft/min) | Kalibrirana brzina leta u krajnjoj točki (kt) | Postotak ubrzanja (Accelerate_Percent) (%) |
|---|---|---|---|---|---|---|---|---|---|---|
| F28MK4 | DEFAULT | 3 | 8 | Penjanje | Maksimum za penjanje | ZERO | 5 500 | | | |
| F28MK4 | DEFAULT | 3 | 9 | Penjanje | Maksimum za penjanje | ZERO | 7 500 | | | |
| F28MK4 | DEFAULT | 3 | 10 | Penjanje | Maksimum za penjanje | ZERO | 10 000 | | | |
| FAL20 | DEFAULT | 1 | 1 | Penjanje | Maksimum za uzlijetanje | 10 | | | | |
| FAL20 | DEFAULT | 1 | 2 | Ubrzanje | Maksimum za uzlijetanje | 10 | | 1 388 | 152 | |
| FAL20 | DEFAULT | 1 | 3 | Penjanje | Maksimum za uzlijetanje | 10 | 1 500 | | | |
| FAL20 | DEFAULT | 1 | 4 | Ubrzanje | Maksimum za uzlijetanje | 10 | | 1 388 | 162 | |
| FAL20 | DEFAULT | 1 | 5 | Ubrzanje | Maksimum za penjanje | INTR | | 1 041 | 177 | |
| FAL20 | DEFAULT | 1 | 6 | Penjanje | Maksimum za penjanje | ZERO | 3 000 | | | |
| FAL20 | DEFAULT | 1 | 7 | Ubrzanje | Maksimum za penjanje | ZERO | | 1 432 | 250 | |
| FAL20 | DEFAULT | 1 | 8 | Penjanje | Maksimum za penjanje | ZERO | 5 500 | | | |
| FAL20 | DEFAULT | 1 | 9 | Penjanje | Maksimum za penjanje | ZERO | 7 500 | | | |
| FAL20 | DEFAULT | 1 | 10 | Penjanje | Maksimum za penjanje | ZERO | 10 000 | | | |
| GII | DEFAULT | 1 | 1 | Penjanje | Smanjeni potisak za penjanje | T-20-D | | | | |

▼M2

| ACFTID | Oznaka profila (Profile_ID) | Duljina faze | Broj koraka | Tip koraka | Režim rada motora | Zakrilca (Flap_ID) | Visina krajnje točke (ft) | Stopa penjanja (ft/min) | Kalibrirana brzina leta u krajnjoj točki (kt) | Postotak ubrzanja (Accelerate_Percent) (%) |
|---|---|---|---|---|---|---|---|---|---|---|
| GII | DEFAULT | 1 | 2 | Penjanje | Smanjeni potisak za penjanje | T-20-D | 35 | | | |
| GII | DEFAULT | 1 | 3 | Ubrzanje | Smanjeni potisak za penjanje | T-20-D | | 1 500 | 162 | |
| GII | DEFAULT | 1 | 4 | Penjanje | Smanjeni potisak za penjanje | T-20-D | 400 | | | |
| GII | DEFAULT | 1 | 5 | Penjanje | Smanjeni potisak za penjanje | T-10-U | 520 | | | |
| GII | DEFAULT | 1 | 6 | Penjanje | Smanjeni potisak za penjanje | T-10-U | 1 500 | | | |
| GII | DEFAULT | 1 | 7 | Penjanje | Smanjeni potisak za penjanje | T-10-U | 3 000 | | | |
| GII | DEFAULT | 1 | 8 | Ubrzanje | Maksimum za penjanje | T-0-U | | 1 675 | 192 | |
| GII | DEFAULT | 1 | 9 | Ubrzanje | Maksimum za penjanje | T-0-U | | 1 775 | 250 | |
| GII | DEFAULT | 1 | 10 | Penjanje | Maksimum za penjanje | T-0-U | 5 500 | | | |
| GII | DEFAULT | 1 | 11 | Penjanje | Maksimum za penjanje | T-0-U | 7 500 | | | |
| GII | DEFAULT | 1 | 12 | Penjanje | Maksimum za penjanje | T-0-U | 10 000 | | | |
| GII | QF_FULL | 1 | 1 | Penjanje | Maksimum za uzlijetanje | T-20-D | | | | |
| GII | QF_FULL | 1 | 2 | Penjanje | Maksimum za uzlijetanje | T-20-D | 35 | | | |
| GII | QF_FULL | 1 | 3 | Ubrzanje | Maksimum za uzlijetanje | T-20-D | | 1 500 | 162 | |

▼**M2**

| ACFTID | Oznaka profila (Profile_ID) | Duljina faze | Broj koraka | Tip koraka | Režim rada motora | Zakrilca (Flap_ID) | Visina krajnje točke (ft) | Stopa penjanja (ft/min) | Kalibrirana brzina leta u krajnjoj točki (kt) | Postotak ubrzanja (Accelerate_Percent) (%) |
|---|---|---|---|---|---|---|---|---|---|---|
| GII | QF_FULL | 1 | 4 | Penjanje | Maksimum za uzlijetanje | T-20-D | 400 | | | |
| GII | QF_FULL | 1 | 5 | Penjanje | Smanjeni potisak za penjanje | T-10-U | 520 | | | |
| GII | QF_FULL | 1 | 6 | Penjanje | Smanjeni potisak za penjanje | T-10-U | 1 500 | | | |
| GII | QF_FULL | 1 | 7 | Penjanje | Smanjeni potisak za penjanje | T-10-U | 3 000 | | | |
| GII | QF_FULL | 1 | 8 | Ubrzanje | Maksimum za penjanje | T-0-U | | 1 675 | 192 | |
| GII | QF_FULL | 1 | 9 | Ubrzanje | Maksimum za penjanje | T-0-U | | 1 775 | 250 | |
| GII | QF_FULL | 1 | 10 | Penjanje | Maksimum za penjanje | T-0-U | 5 500 | | | |
| GII | QF_FULL | 1 | 11 | Penjanje | Maksimum za penjanje | T-0-U | 7 500 | | | |
| GII | QF_FULL | 1 | 12 | Penjanje | Maksimum za penjanje | T-0-U | 10 000 | | | |
| GIIB | DEFAULT | 1 | 1 | Penjanje | Smanjeni potisak za penjanje | T-20-D | | | | |
| GIIB | DEFAULT | 1 | 2 | Penjanje | Smanjeni potisak za penjanje | T-20-D | 35 | | | |
| GIIB | DEFAULT | 1 | 3 | Ubrzanje | Smanjeni potisak za penjanje | T-20-D | | 1 500 | 156 | |
| GIIB | DEFAULT | 1 | 4 | Penjanje | Smanjeni potisak za penjanje | T-20-D | 400 | | | |
| GIIB | DEFAULT | 1 | 5 | Penjanje | Smanjeni potisak za penjanje | T-10-U | 520 | | | |

▼**M2**

| ACFTID | Oznaka profila (Profile_ID) | Duljina faze | Broj koraka | Tip koraka | Režim rada motora | Zakrilca (Flap_ID) | Visina krajnje točke (ft) | Stopa penjanja (ft/min) | Kalibrirana brzina leta u krajnjoj točki (kt) | Postotak ubrzanja (Accelerate_Percent) (%) |
|---|---|---|---|---|---|---|---|---|---|---|
| GIIB | DEFAULT | 1 | 6 | Penjanje | Smanjeni potisak za penjanje | T-10-U | 1 500 | | | |
| GIIB | DEFAULT | 1 | 7 | Penjanje | Smanjeni potisak za penjanje | T-10-U | 3 000 | | | |
| GIIB | DEFAULT | 1 | 8 | Ubrzanje | Maksimum za penjanje | T-0-U | | 1 675 | 192 | |
| GIIB | DEFAULT | 1 | 9 | Ubrzanje | Maksimum za penjanje | T-0-U | | 1 775 | 250 | |
| GIIB | DEFAULT | 1 | 10 | Penjanje | Maksimum za penjanje | T-0-U | 5 500 | | | |
| GIIB | DEFAULT | 1 | 11 | Penjanje | Maksimum za penjanje | T-0-U | 7 500 | | | |
| GIIB | DEFAULT | 1 | 12 | Penjanje | Maksimum za penjanje | T-0-U | 10 000 | | | |
| GIIB | QF_FULL | 1 | 1 | Penjanje | Maksimum za uzlijetanje | T-20-D | | | | |
| GIIB | QF_FULL | 1 | 2 | Penjanje | Maksimum za uzlijetanje | T-20-D | 35 | | | |
| GIIB | QF_FULL | 1 | 3 | Ubrzanje | Maksimum za uzlijetanje | T-20-D | | 1 500 | 156 | |
| GIIB | QF_FULL | 1 | 4 | Penjanje | Maksimum za uzlijetanje | T-20-D | 400 | | | |
| GIIB | QF_FULL | 1 | 5 | Penjanje | Smanjeni potisak za penjanje | T-10-U | 520 | | | |
| GIIB | QF_FULL | 1 | 6 | Penjanje | Smanjeni potisak za penjanje | T-10-U | 1 500 | | | |
| GIIB | QF_FULL | 1 | 7 | Penjanje | Smanjeni potisak za penjanje | T-10-U | 3 000 | | | |

▼**M2**

| ACFTID | Oznaka profila (Profile_ID) | Duljina faze | Broj koraka | Tip koraka | Režim rada motora | Zakrilca (Flap_ID) | Visina krajnje točke (ft) | Stopa penjanja (ft/min) | Kalibrirana brzina leta u krajnjoj točki (kt) | Postotak ubrzanja (Accelerate_Percent) (%) |
|---|---|---|---|---|---|---|---|---|---|---|
| GIIB | QF_FULL | 1 | 8 | Ubrzanje | Maksimum za penjanje | T-0-U | | 1 675 | 192 | |
| GIIB | QF_FULL | 1 | 9 | Ubrzanje | Maksimum za penjanje | T-0-U | | 1 775 | 250 | |
| GIIB | QF_FULL | 1 | 10 | Penjanje | Maksimum za penjanje | T-0-U | 5 500 | | | |
| GIIB | QF_FULL | 1 | 11 | Penjanje | Maksimum za penjanje | T-0-U | 7 500 | | | |
| GIIB | QF_FULL | 1 | 12 | Penjanje | Maksimum za penjanje | T-0-U | 10 000 | | | |
| GIV | DEFAULT | 1 | 1 | Penjanje | Maksimum za uzlijetanje | T-20-D | | | | |
| GIV | DEFAULT | 1 | 2 | Penjanje | Maksimum za uzlijetanje | T-20-D | 35 | | | |
| GIV | DEFAULT | 1 | 3 | Ubrzanje | Maksimum za uzlijetanje | T-20-D | | 1 800 | 159,2 | |
| GIV | DEFAULT | 1 | 4 | Penjanje | Maksimum za uzlijetanje | T-20-U | 400 | | | |
| GIV | DEFAULT | 1 | 5 | Penjanje | Maksimum za penjanje | T-20-U | 600 | | | |
| GIV | DEFAULT | 1 | 6 | Penjanje | Maksimum za penjanje | T-20-U | 750 | | | |
| GIV | DEFAULT | 1 | 7 | Penjanje | Maksimum za penjanje | T-10-U | 1 850 | | | |
| GIV | DEFAULT | 1 | 8 | Penjanje | Maksimum za penjanje | T-10-U | 3 000 | | | |
| GIV | DEFAULT | 1 | 9 | Ubrzanje | Maksimum za penjanje | T-0-U | | 1 750 | 250 | |

▼**M2**

| ACFTID | Oznaka profila (Profile_ID) | Duljina faze | Broj koraka | Tip koraka | Režim rada motora | Zakrilca (Flap_ID) | Visina krajnje točke (ft) | Stopa penjanja (ft/min) | Kalibrirana brzina leta u krajnjoj točki (kt) | Postotak ubrzanja (Accelerate_Percent) (%) |
|---|---|---|---|---|---|---|---|---|---|---|
| GIV | DEFAULT | 1 | 10 | Penjanje | Maksimum za penjanje | T-0-U | 5 000 | | | |
| GIV | DEFAULT | 1 | 11 | Penjanje | Maksimum za penjanje | T-0-U | 6 000 | | | |
| GIV | DEFAULT | 1 | 12 | Penjanje | Maksimum za penjanje | T-0-U | 7 000 | | | |
| GIV | DEFAULT | 1 | 13 | Penjanje | Maksimum za penjanje | T-0-U | 8 000 | | | |
| GIV | DEFAULT | 1 | 14 | Penjanje | Maksimum za penjanje | T-0-U | 9 000 | | | |
| GIV | DEFAULT | 1 | 15 | Penjanje | Maksimum za penjanje | T-0-U | 10 000 | | | |
| GV | DEFAULT | 1 | 1 | Penjanje | Maksimum za uzlijetanje | T-20-D | | | | |
| GV | DEFAULT | 1 | 2 | Penjanje | Maksimum za uzlijetanje | T-20-D | 35 | | | |
| GV | DEFAULT | 1 | 3 | Ubrzanje | Maksimum za uzlijetanje | T-20-D | | 1 500 | 165,7 | |
| GV | DEFAULT | 1 | 4 | Penjanje | Maksimum za uzlijetanje | T-20-U | 400 | | | |
| GV | DEFAULT | 1 | 5 | Penjanje | Maksimum za penjanje | T-20-U | 600 | | | |
| GV | DEFAULT | 1 | 6 | Penjanje | Maksimum za penjanje | T-20-U | 750 | | | |
| GV | DEFAULT | 1 | 7 | Penjanje | Maksimum za penjanje | T-10-U | 1 800 | | | |
| GV | DEFAULT | 1 | 8 | Penjanje | Maksimum za penjanje | T-10-U | 3 000 | | | |

▼**M2**

| ACFTID | Oznaka profila (Profile_ID) | Duljina faze | Broj koraka | Tip koraka | Režim rada motora | Zakrilca (Flap_ID) | Visina krajnje točke (ft) | Stopa penjanja (ft/min) | Kalibrirana brzina leta u krajnjoj točki (kt) | Postotak ubrzanja (Accelerate_Percent) (%) |
|---|---|---|---|---|---|---|---|---|---|---|
| GV | DEFAULT | 1 | 9 | Ubrzanje | Maksimum za penjanje | T-0-U | | 1 750 | 250 | |
| GV | DEFAULT | 1 | 10 | Penjanje | Maksimum za penjanje | T-0-U | 5 000 | | | |
| GV | DEFAULT | 1 | 11 | Penjanje | Maksimum za penjanje | T-0-U | 6 000 | | | |
| GV | DEFAULT | 1 | 12 | Penjanje | Maksimum za penjanje | T-0-U | 7 000 | | | |
| GV | DEFAULT | 1 | 13 | Penjanje | Maksimum za penjanje | T-0-U | 8 000 | | | |
| GV | DEFAULT | 1 | 14 | Penjanje | Maksimum za penjanje | T-0-U | 9 000 | | | |
| GV | DEFAULT | 1 | 15 | Penjanje | Maksimum za penjanje | T-0-U | 10 000 | | | |
| HS748A | DEFAULT | 1 | 1 | Penjanje | Maksimum za uzlijetanje | TO | | | | |
| HS748A | DEFAULT | 1 | 2 | Penjanje | Maksimum za uzlijetanje | TO | 1 000 | | | |
| HS748A | DEFAULT | 1 | 3 | Ubrzanje | Maksimum za uzlijetanje | TO | | 917 | 127 | |
| HS748A | DEFAULT | 1 | 4 | Ubrzanje | Maksimum za penjanje | INTR | | 688 | 147 | |
| HS748A | DEFAULT | 1 | 5 | Penjanje | Maksimum za penjanje | ZERO | 3 000 | | | |
| HS748A | DEFAULT | 1 | 6 | Penjanje | Maksimum za penjanje | ZERO | 5 500 | | | |
| HS748A | DEFAULT | 1 | 7 | Penjanje | Maksimum za penjanje | ZERO | 7 500 | | | |

▼M2

| ACFTID | Oznaka profila (Profile_ID) | Duljina faze | Broj koraka | Tip koraka | Režim rada motora | Zakrilca (Flap_ID) | Visina krajnje točke (ft) | Stopa penjanja (ft/min) | Kalibrirana brzina leta u krajnjoj točki (kt) | Postotak ubrzanja (Accelerate_Percent) (%) |
|---|---|---|---|---|---|---|---|---|---|---|
| HS748A | DEFAULT | 1 | 8 | Penjanje | Maksimum za penjanje | ZERO | 10 000 | | | |
| IA1125 | DEFAULT | 1 | 1 | Penjanje | Maksimum za uzlijetanje | 12 | | | | |
| IA1125 | DEFAULT | 1 | 2 | Ubrzanje | Maksimum za uzlijetanje | 12 | | 1 094 | 163 | |
| IA1125 | DEFAULT | 1 | 3 | Penjanje | Maksimum za uzlijetanje | 12 | 1 500 | | | |
| IA1125 | DEFAULT | 1 | 4 | Ubrzanje | Maksimum za uzlijetanje | INTR | | 1 094 | 188 | |
| IA1125 | DEFAULT | 1 | 5 | Penjanje | Maksimum za penjanje | ZERO | 3 000 | | | |
| IA1125 | DEFAULT | 1 | 6 | Ubrzanje | Maksimum za penjanje | ZERO | | 1 286 | 250 | |
| IA1125 | DEFAULT | 1 | 7 | Penjanje | Maksimum za penjanje | ZERO | 5 500 | | | |
| IA1125 | DEFAULT | 1 | 8 | Penjanje | Maksimum za penjanje | ZERO | 7 500 | | | |
| IA1125 | DEFAULT | 1 | 9 | Penjanje | Maksimum za penjanje | ZERO | 10 000 | | | |
| L1011 | DEFAULT | 1 | 1 | Penjanje | Maksimum za uzlijetanje | 10 | | | | |
| L1011 | DEFAULT | 1 | 2 | Penjanje | Maksimum za uzlijetanje | 10 | 1 000 | | | |
| L1011 | DEFAULT | 1 | 3 | Ubrzanje | Maksimum za uzlijetanje | 10 | | 2 145 | 162 | |
| L1011 | DEFAULT | 1 | 4 | Ubrzanje | Maksimum za uzlijetanje | INTR | | 1 609 | 182 | |

▼**M2**

| ACFTID | Oznaka profila (Profile_ID) | Duljina faze | Broj koraka | Tip koraka | Režim rada motora | Zakrilca (Flap_ID) | Visina krajnje točke (ft) | Stopa penjanja (ft/min) | Kalibrirana brzina leta u krajnjoj točki (kt) | Postotak ubrzanja (Accelerate_Percent) (%) |
|---|---|---|---|---|---|---|---|---|---|---|
| L1011 | DEFAULT | 1 | 5 | Ubrzanje | Maksimum za penjanje | INTR | | 1 000 | 202 | |
| L1011 | DEFAULT | 1 | 6 | Penjanje | Maksimum za penjanje | ZERO | 3 000 | | | |
| L1011 | DEFAULT | 1 | 7 | Ubrzanje | Maksimum za penjanje | ZERO | | 1 000 | 250 | |
| L1011 | DEFAULT | 1 | 8 | Penjanje | Maksimum za penjanje | ZERO | 5 500 | | | |
| L1011 | DEFAULT | 1 | 9 | Penjanje | Maksimum za penjanje | ZERO | 7 500 | | | |
| L1011 | DEFAULT | 1 | 10 | Penjanje | Maksimum za penjanje | ZERO | 10 000 | | | |
| L1011 | DEFAULT | 2 | 1 | Penjanje | Maksimum za uzlijetanje | 10 | | | | |
| L1011 | DEFAULT | 2 | 2 | Penjanje | Maksimum za uzlijetanje | 10 | 1 000 | | | |
| L1011 | DEFAULT | 2 | 3 | Ubrzanje | Maksimum za uzlijetanje | 10 | | 2 068 | 165 | |
| L1011 | DEFAULT | 2 | 4 | Ubrzanje | Maksimum za uzlijetanje | INTR | | 1 551 | 185 | |
| L1011 | DEFAULT | 2 | 5 | Ubrzanje | Maksimum za penjanje | INTR | | 1 000 | 205 | |
| L1011 | DEFAULT | 2 | 6 | Penjanje | Maksimum za penjanje | ZERO | 3 000 | | | |
| L1011 | DEFAULT | 2 | 7 | Ubrzanje | Maksimum za penjanje | ZERO | | 1 000 | 250 | |

▼**M2**

| ACFTID | Oznaka profila (Profile_ID) | Duljina faze | Broj koraka | Tip koraka | Režim rada motora | Zakrilca (Flap_ID) | Visina krajnje točke (ft) | Stopa penjanja (ft/min) | Kalibrirana brzina leta u krajnjoj točki (kt) | Postotak ubrzanja (Accelerate_Percent) (%) |
|---|---|---|---|---|---|---|---|---|---|---|
| L1011 | DEFAULT | 2 | 8 | Penjanje | Maksimum za penjanje | ZERO | 5 500 | | | |
| L1011 | DEFAULT | 2 | 9 | Penjanje | Maksimum za penjanje | ZERO | 7 500 | | | |
| L1011 | DEFAULT | 2 | 10 | Penjanje | Maksimum za penjanje | ZERO | 10 000 | | | |
| L1011 | DEFAULT | 3 | 1 | Penjanje | Maksimum za uzlijetanje | 10 | | | | |
| L1011 | DEFAULT | 3 | 2 | Penjanje | Maksimum za uzlijetanje | 10 | 1 000 | | | |
| L1011 | DEFAULT | 3 | 3 | Ubrzanje | Maksimum za uzlijetanje | 10 | | 1 959 | 168 | |
| L1011 | DEFAULT | 3 | 4 | Ubrzanje | Maksimum za uzlijetanje | INTR | | 1 469 | 188 | |
| L1011 | DEFAULT | 3 | 5 | Ubrzanje | Maksimum za penjanje | INTR | | 1 000 | 208 | |
| L1011 | DEFAULT | 3 | 6 | Penjanje | Maksimum za penjanje | ZERO | 3 000 | | | |
| L1011 | DEFAULT | 3 | 7 | Ubrzanje | Maksimum za penjanje | ZERO | | 1 000 | 250 | |
| L1011 | DEFAULT | 3 | 8 | Penjanje | Maksimum za penjanje | ZERO | 5 500 | | | |
| L1011 | DEFAULT | 3 | 9 | Penjanje | Maksimum za penjanje | ZERO | 7 500 | | | |
| L1011 | DEFAULT | 3 | 10 | Penjanje | Maksimum za penjanje | ZERO | 10 000 | | | |
| L1011 | DEFAULT | 4 | 1 | Penjanje | Maksimum za uzlijetanje | 10 | | | | |

▼**M2**

| ACFTID | Oznaka profila (Profile_ID) | Duljina faze | Broj koraka | Tip koraka | Režim rada motora | Zakrilca (Flap_ID) | Visina krajnje točke (ft) | Stopa penjanja (ft/min) | Kalibrirana brzina leta u krajnjoj točki (kt) | Postotak ubrzanja (Accelerate_Percent) (%) |
|---|---|---|---|---|---|---|---|---|---|---|
| L1011 | DEFAULT | 4 | 2 | Penjanje | Maksimum za uzlijetanje | 10 | 1 000 | | | |
| L1011 | DEFAULT | 4 | 3 | Ubrzanje | Maksimum za uzlijetanje | 10 | | 1 857 | 171 | |
| L1011 | DEFAULT | 4 | 4 | Ubrzanje | Maksimum za uzlijetanje | INTR | | 1 393 | 191 | |
| L1011 | DEFAULT | 4 | 5 | Ubrzanje | Maksimum za penjanje | INTR | | 1 000 | 211 | |
| L1011 | DEFAULT | 4 | 6 | Penjanje | Maksimum za penjanje | ZERO | 3 000 | | | |
| L1011 | DEFAULT | 4 | 7 | Ubrzanje | Maksimum za penjanje | ZERO | | 1 000 | 250 | |
| L1011 | DEFAULT | 4 | 8 | Penjanje | Maksimum za penjanje | ZERO | 5 500 | | | |
| L1011 | DEFAULT | 4 | 9 | Penjanje | Maksimum za penjanje | ZERO | 7 500 | | | |
| L1011 | DEFAULT | 4 | 10 | Penjanje | Maksimum za penjanje | ZERO | 10 000 | | | |
| L1011 | DEFAULT | 5 | 1 | Penjanje | Maksimum za uzlijetanje | 10 | | | | |
| L1011 | DEFAULT | 5 | 2 | Penjanje | Maksimum za uzlijetanje | 10 | 1 000 | | | |
| L1011 | DEFAULT | 5 | 3 | Ubrzanje | Maksimum za uzlijetanje | 10 | | 1 669 | 178 | |
| L1011 | DEFAULT | 5 | 4 | Ubrzanje | Maksimum za uzlijetanje | INTR | | 1 252 | 198 | |
| L1011 | DEFAULT | 5 | 5 | Ubrzanje | Maksimum za penjanje | INTR | | 1 000 | 218 | |

▼**M2**

| ACFTID | Oznaka profila (Profile_ID) | Duljina faze | Broj koraka | Tip koraka | Režim rada motora | Zakrilca (Flap_ID) | Visina krajnje točke (ft) | Stopa penjanja (ft/min) | Kalibrirana brzina leta u krajnjoj točki (kt) | Postotak ubrzanja (Accelerate_Percent) (%) |
|---|---|---|---|---|---|---|---|---|---|---|
| L1011 | DEFAULT | 5 | 6 | Penjanje | Maksimum za penjanje | ZERO | 3 000 | | | |
| L1011 | DEFAULT | 5 | 7 | Ubrzanje | Maksimum za penjanje | ZERO | | 1 000 | 250 | |
| L1011 | DEFAULT | 5 | 8 | Penjanje | Maksimum za penjanje | ZERO | 5 500 | | | |
| L1011 | DEFAULT | 5 | 9 | Penjanje | Maksimum za penjanje | ZERO | 7 500 | | | |
| L1011 | DEFAULT | 5 | 10 | Penjanje | Maksimum za penjanje | ZERO | 10 000 | | | |
| L1011 | DEFAULT | 6 | 1 | Penjanje | Maksimum za uzlijetanje | 10 | | | | |
| L1011 | DEFAULT | 6 | 2 | Penjanje | Maksimum za uzlijetanje | 10 | 1 000 | | | |
| L1011 | DEFAULT | 6 | 3 | Ubrzanje | Maksimum za uzlijetanje | 10 | | 1 501 | 184 | |
| L1011 | DEFAULT | 6 | 4 | Ubrzanje | Maksimum za uzlijetanje | INTR | | 1 126 | 204 | |
| L1011 | DEFAULT | 6 | 5 | Ubrzanje | Maksimum za penjanje | INTR | | 1 000 | 224 | |
| L1011 | DEFAULT | 6 | 6 | Penjanje | Maksimum za penjanje | ZERO | 3 000 | | | |
| L1011 | DEFAULT | 6 | 7 | Ubrzanje | Maksimum za penjanje | ZERO | | 1 000 | 250 | |
| L1011 | DEFAULT | 6 | 8 | Penjanje | Maksimum za penjanje | ZERO | 5 500 | | | |
| L1011 | DEFAULT | 6 | 9 | Penjanje | Maksimum za penjanje | ZERO | 7 500 | | | |

▼**M2**

| ACFTID | Oznaka profila (Profile_ID) | Duljina faze | Broj koraka | Tip koraka | Režim rada motora | Zakrilca (Flap_ID) | Visina krajnje točke (ft) | Stopa penjanja (ft/min) | Kalibrirana brzina leta u krajnjoj točki (kt) | Postotak ubrzanja (Accelerate_Percent) (%) |
|---|---|---|---|---|---|---|---|---|---|---|
| L1011 | DEFAULT | 6 | 10 | Penjanje | Maksimum za penjanje | ZERO | 10 000 | | | |
| L10115 | DEFAULT | 1 | 1 | Penjanje | Maksimum za uzlijetanje | 10 | | | | |
| L10115 | DEFAULT | 1 | 2 | Penjanje | Maksimum za uzlijetanje | 10 | 1 000 | | | |
| L10115 | DEFAULT | 1 | 3 | Ubrzanje | Maksimum za uzlijetanje | 10 | | 2 632 | 166 | |
| L10115 | DEFAULT | 1 | 4 | Ubrzanje | Maksimum za uzlijetanje | INTR | | 1 974 | 186 | |
| L10115 | DEFAULT | 1 | 5 | Ubrzanje | Maksimum za penjanje | INTR | | 1 000 | 206 | |
| L10115 | DEFAULT | 1 | 6 | Penjanje | Maksimum za penjanje | ZERO | 3 000 | | | |
| L10115 | DEFAULT | 1 | 7 | Ubrzanje | Maksimum za penjanje | ZERO | | 1 000 | 250 | |
| L10115 | DEFAULT | 1 | 8 | Penjanje | Maksimum za penjanje | ZERO | 5 500 | | | |
| L10115 | DEFAULT | 1 | 9 | Penjanje | Maksimum za penjanje | ZERO | 7 500 | | | |
| L10115 | DEFAULT | 1 | 10 | Penjanje | Maksimum za penjanje | ZERO | 10 000 | | | |
| L10115 | DEFAULT | 2 | 1 | Penjanje | Maksimum za uzlijetanje | 10 | | | | |
| L10115 | DEFAULT | 2 | 2 | Penjanje | Maksimum za uzlijetanje | 10 | 1 000 | | | |
| L10115 | DEFAULT | 2 | 3 | Ubrzanje | Maksimum za uzlijetanje | 10 | | 2 547 | 168 | |
| L10115 | DEFAULT | 2 | 4 | Ubrzanje | Maksimum za uzlijetanje | INTR | | 1 911 | 188 | |

▼**M2**

| ACFTID | Oznaka profila (Profile_ID) | Duljina faze | Broj koraka | Tip koraka | Režim rada motora | Zakrilca (Flap_ID) | Visina krajnje točke (ft) | Stopa penjanja (ft/min) | Kalibrirana brzina leta u krajnjoj točki (kt) | Postotak ubrzanja (Accelerate_Percent) (%) |
|---|---|---|---|---|---|---|---|---|---|---|
| L10115 | DEFAULT | 2 | 5 | Ubrzanje | Maksimum za penjanje | INTR | | 1 000 | 208 | |
| L10115 | DEFAULT | 2 | 6 | Penjanje | Maksimum za penjanje | ZERO | 3 000 | | | |
| L10115 | DEFAULT | 2 | 7 | Ubrzanje | Maksimum za penjanje | ZERO | | 1 000 | 250 | |
| L10115 | DEFAULT | 2 | 8 | Penjanje | Maksimum za penjanje | ZERO | 5 500 | | | |
| L10115 | DEFAULT | 2 | 9 | Penjanje | Maksimum za penjanje | ZERO | 7 500 | | | |
| L10115 | DEFAULT | 2 | 10 | Penjanje | Maksimum za penjanje | ZERO | 10 000 | | | |
| L10115 | DEFAULT | 3 | 1 | Penjanje | Maksimum za uzlijetanje | 10 | | | | |
| L10115 | DEFAULT | 3 | 2 | Penjanje | Maksimum za uzlijetanje | 10 | 1 000 | | | |
| L10115 | DEFAULT | 3 | 3 | Ubrzanje | Maksimum za uzlijetanje | 10 | | 2 428 | 171 | |
| L10115 | DEFAULT | 3 | 4 | Ubrzanje | Maksimum za uzlijetanje | INTR | | 1 821 | 191 | |
| L10115 | DEFAULT | 3 | 5 | Ubrzanje | Maksimum za penjanje | INTR | | 1 000 | 211 | |
| L10115 | DEFAULT | 3 | 6 | Penjanje | Maksimum za penjanje | ZERO | 3 000 | | | |
| L10115 | DEFAULT | 3 | 7 | Ubrzanje | Maksimum za penjanje | ZERO | | 1 000 | 250 | |
| L10115 | DEFAULT | 3 | 8 | Penjanje | Maksimum za penjanje | ZERO | 5 500 | | | |

▼**M2**

| ACFTID | Oznaka profila (Profile_ID) | Duljina faze | Broj koraka | Tip koraka | Režim rada motora | Zakrilca (Flap_ID) | Visina krajnje točke (ft) | Stopa penjanja (ft/min) | Kalibrirana brzina leta u krajnjoj točki (kt) | Postotak ubrzanja (Accelerate_Percent) (%) |
|---|---|---|---|---|---|---|---|---|---|---|
| L10115 | DEFAULT | 3 | 9 | Penjanje | Maksimum za penjanje | ZERO | 7 500 | | | |
| L10115 | DEFAULT | 3 | 10 | Penjanje | Maksimum za penjanje | ZERO | 10 000 | | | |
| L10115 | DEFAULT | 4 | 1 | Penjanje | Maksimum za uzlijetanje | 10 | | | | |
| L10115 | DEFAULT | 4 | 2 | Penjanje | Maksimum za uzlijetanje | 10 | 1 000 | | | |
| L10115 | DEFAULT | 4 | 3 | Ubrzanje | Maksimum za uzlijetanje | 10 | | 2 317 | 175 | |
| L10115 | DEFAULT | 4 | 4 | Ubrzanje | Maksimum za uzlijetanje | INTR | | 1 738 | 195 | |
| L10115 | DEFAULT | 4 | 5 | Ubrzanje | Maksimum za penjanje | INTR | | 1 000 | 215 | |
| L10115 | DEFAULT | 4 | 6 | Penjanje | Maksimum za penjanje | ZERO | 3 000 | | | |
| L10115 | DEFAULT | 4 | 7 | Ubrzanje | Maksimum za penjanje | ZERO | | 1 000 | 250 | |
| L10115 | DEFAULT | 4 | 8 | Penjanje | Maksimum za penjanje | ZERO | 5 500 | | | |
| L10115 | DEFAULT | 4 | 9 | Penjanje | Maksimum za penjanje | ZERO | 7 500 | | | |
| L10115 | DEFAULT | 4 | 10 | Penjanje | Maksimum za penjanje | ZERO | 10 000 | | | |
| L10115 | DEFAULT | 5 | 1 | Penjanje | Maksimum za uzlijetanje | 10 | | | | |
| L10115 | DEFAULT | 5 | 2 | Penjanje | Maksimum za uzlijetanje | 10 | 1 000 | | | |

▼**M2**

| ACFTID | Oznaka profila (Profile_ID) | Duljina faze | Broj koraka | Tip koraka | Režim rada motora | Zakrilca (Flap_ID) | Visina krajnje točke (ft) | Stopa penjanja (ft/min) | Kalibrirana brzina leta u krajnjoj točki (kt) | Postotak ubrzanja (Accelerate_Percent) (%) |
|---|---|---|---|---|---|---|---|---|---|---|
| L10115 | DEFAULT | 5 | 3 | Ubrzanje | Maksimum za uzlijetanje | 10 | | 2 125 | 181 | |
| L10115 | DEFAULT | 5 | 4 | Ubrzanje | Maksimum za uzlijetanje | INTR | | 1 594 | 201 | |
| L10115 | DEFAULT | 5 | 5 | Ubrzanje | Maksimum za penjanje | INTR | | 1 000 | 221 | |
| L10115 | DEFAULT | 5 | 6 | Penjanje | Maksimum za penjanje | ZERO | 3 000 | | | |
| L10115 | DEFAULT | 5 | 7 | Ubrzanje | Maksimum za penjanje | ZERO | | 1 000 | 250 | |
| L10115 | DEFAULT | 5 | 8 | Penjanje | Maksimum za penjanje | ZERO | 5 500 | | | |
| L10115 | DEFAULT | 5 | 9 | Penjanje | Maksimum za penjanje | ZERO | 7 500 | | | |
| L10115 | DEFAULT | 5 | 10 | Penjanje | Maksimum za penjanje | ZERO | 10 000 | | | |
| L10115 | DEFAULT | 6 | 1 | Penjanje | Maksimum za uzlijetanje | 10 | | | | |
| L10115 | DEFAULT | 6 | 2 | Penjanje | Maksimum za uzlijetanje | 10 | 1 000 | | | |
| L10115 | DEFAULT | 6 | 3 | Ubrzanje | Maksimum za uzlijetanje | 10 | | 1 953 | 186 | |
| L10115 | DEFAULT | 6 | 4 | Ubrzanje | Maksimum za uzlijetanje | INTR | | 1 465 | 206 | |
| L10115 | DEFAULT | 6 | 5 | Ubrzanje | Maksimum za penjanje | INTR | | 1 000 | 226 | |
| L10115 | DEFAULT | 6 | 6 | Penjanje | Maksimum za penjanje | ZERO | 3 000 | | | |

▼**M2**

| ACFTID | Oznaka profila (Profile_ID) | Duljina faze | Broj koraka | Tip koraka | Režim rada motora | Zakrilca (Flap_ID) | Visina krajnje točke (ft) | Stopa penjanja (ft/min) | Kalibrirana brzina leta u krajnjoj točki (kt) | Postotak ubrzanja (Accelerate_Percent) (%) |
|---|---|---|---|---|---|---|---|---|---|---|
| L10115 | DEFAULT | 6 | 7 | Ubrzanje | Maksimum za penjanje | ZERO | | 1 000 | 250 | |
| L10115 | DEFAULT | 6 | 8 | Penjanje | Maksimum za penjanje | ZERO | 5 500 | | | |
| L10115 | DEFAULT | 6 | 9 | Penjanje | Maksimum za penjanje | ZERO | 7 500 | | | |
| L10115 | DEFAULT | 6 | 10 | Penjanje | Maksimum za penjanje | ZERO | 10 000 | | | |
| L10115 | DEFAULT | 7 | 1 | Penjanje | Maksimum za uzlijetanje | 10 | | | | |
| L10115 | DEFAULT | 7 | 2 | Penjanje | Maksimum za uzlijetanje | 10 | 1 000 | | | |
| L10115 | DEFAULT | 7 | 3 | Ubrzanje | Maksimum za uzlijetanje | 10 | | 1 790 | 192 | |
| L10115 | DEFAULT | 7 | 4 | Ubrzanje | Maksimum za uzlijetanje | INTR | | 1 343 | 212 | |
| L10115 | DEFAULT | 7 | 5 | Ubrzanje | Maksimum za penjanje | INTR | | 1 000 | 232 | |
| L10115 | DEFAULT | 7 | 6 | Penjanje | Maksimum za penjanje | ZERO | 3 000 | | | |
| L10115 | DEFAULT | 7 | 7 | Ubrzanje | Maksimum za penjanje | ZERO | | 1 000 | 250 | |
| L10115 | DEFAULT | 7 | 8 | Penjanje | Maksimum za penjanje | ZERO | 5 500 | | | |
| L10115 | DEFAULT | 7 | 9 | Penjanje | Maksimum za penjanje | ZERO | 7 500 | | | |
| L10115 | DEFAULT | 7 | 10 | Penjanje | Maksimum za penjanje | ZERO | 10 000 | | | |

▼**M2**

| ACFTID | Oznaka profila (Profile_ID) | Duljina faze | Broj koraka | Tip koraka | Režim rada motora | Zakrilca (Flap_ID) | Visina krajnje točke (ft) | Stopa penjanja (ft/min) | Kalibrirana brzina leta u krajnjoj točki (kt) | Postotak ubrzanja (Accelerate_Percent) (%) |
|---|---|---|---|---|---|---|---|---|---|---|
| L188 | DEFAULT | 1 | 1 | Penjanje | Maksimum za uzlijetanje | 78-% | | | | |
| L188 | DEFAULT | 1 | 2 | Penjanje | Maksimum za uzlijetanje | 78-% | 1 000 | | | |
| L188 | DEFAULT | 1 | 3 | Ubrzanje | Maksimum za uzlijetanje | 78-% | | 1 653 | 133 | |
| L188 | DEFAULT | 1 | 4 | Ubrzanje | Maksimum za penjanje | INTR | | 1 240 | 153 | |
| L188 | DEFAULT | 1 | 5 | Penjanje | Maksimum za penjanje | ZERO | 3 000 | | | |
| L188 | DEFAULT | 1 | 6 | Penjanje | Maksimum za penjanje | ZERO | 5 500 | | | |
| L188 | DEFAULT | 1 | 7 | Penjanje | Maksimum za penjanje | ZERO | 7 500 | | | |
| L188 | DEFAULT | 1 | 8 | Penjanje | Maksimum za penjanje | ZERO | 10 000 | | | |
| L188 | DEFAULT | 2 | 1 | Penjanje | Maksimum za uzlijetanje | 78-% | | | | |
| L188 | DEFAULT | 2 | 2 | Penjanje | Maksimum za uzlijetanje | 78-% | 1 000 | | | |
| L188 | DEFAULT | 2 | 3 | Ubrzanje | Maksimum za uzlijetanje | 78-% | | 1 309 | 139 | |
| L188 | DEFAULT | 2 | 4 | Ubrzanje | Maksimum za penjanje | INTR | | 982 | 159 | |
| L188 | DEFAULT | 2 | 5 | Penjanje | Maksimum za penjanje | ZERO | 3 000 | | | |
| L188 | DEFAULT | 2 | 6 | Penjanje | Maksimum za penjanje | ZERO | 5 500 | | | |

▼**M2**

| ACFTID | Oznaka profila (Profile_ID) | Duljina faze | Broj koraka | Tip koraka | Režim rada motora | Zakrilca (Flap_ID) | Visina krajnje točke (ft) | Stopa penjanja (ft/min) | Kalibrirana brzina leta u krajnjoj točki (kt) | Postotak ubrzanja (Accelerate_Percent) (%) |
|---|---|---|---|---|---|---|---|---|---|---|
| L188 | DEFAULT | 2 | 7 | Penjanje | Maksimum za penjanje | ZERO | 7 500 | | | |
| L188 | DEFAULT | 2 | 8 | Penjanje | Maksimum za penjanje | ZERO | 10 000 | | | |
| L188 | DEFAULT | 3 | 1 | Penjanje | Maksimum za uzlijetanje | 78-% | | | | |
| L188 | DEFAULT | 3 | 2 | Penjanje | Maksimum za uzlijetanje | 78-% | 1 000 | | | |
| L188 | DEFAULT | 3 | 3 | Ubrzanje | Maksimum za uzlijetanje | 78-% | | 905 | 147 | |
| L188 | DEFAULT | 3 | 4 | Ubrzanje | Maksimum za penjanje | INTR | | 679 | 167 | |
| L188 | DEFAULT | 3 | 5 | Penjanje | Maksimum za penjanje | ZERO | 3 000 | | | |
| L188 | DEFAULT | 3 | 6 | Penjanje | Maksimum za penjanje | ZERO | 5 500 | | | |
| L188 | DEFAULT | 3 | 7 | Penjanje | Maksimum za penjanje | ZERO | 7 500 | | | |
| L188 | DEFAULT | 3 | 8 | Penjanje | Maksimum za penjanje | ZERO | 10 000 | | | |
| LEAR25 | DEFAULT | 1 | 1 | Penjanje | Maksimum za uzlijetanje | 20 | | | | |
| LEAR25 | DEFAULT | 1 | 2 | Ubrzanje | Maksimum za uzlijetanje | 20 | | 1 698 | 171 | |
| LEAR25 | DEFAULT | 1 | 3 | Penjanje | Maksimum za uzlijetanje | 20 | 1 500 | | | |
| LEAR25 | DEFAULT | 1 | 4 | Ubrzanje | Maksimum za uzlijetanje | 10 | | 1 698 | 196 | |

▼**M2**

| ACFTID | Oznaka profila (Profile_ID) | Duljina faze | Broj koraka | Tip koraka | Režim rada motora | Zakrilca (Flap_ID) | Visina krajnje točke (ft) | Stopa penjanja (ft/min) | Kalibrirana brzina leta u krajnjoj točki (kt) | Postotak ubrzanja (Accelerate_Percent) (%) |
|---|---|---|---|---|---|---|---|---|---|---|
| LEAR25 | DEFAULT | 1 | 5 | Penjanje | Maksimum za penjanje | ZERO | 3 000 | | | |
| LEAR25 | DEFAULT | 1 | 6 | Ubrzanje | Maksimum za penjanje | ZERO | | 2 075 | 250 | |
| LEAR25 | DEFAULT | 1 | 7 | Penjanje | Maksimum za penjanje | ZERO | 5 500 | | | |
| LEAR25 | DEFAULT | 1 | 8 | Penjanje | Maksimum za penjanje | ZERO | 7 500 | | | |
| LEAR25 | DEFAULT | 1 | 9 | Penjanje | Maksimum za penjanje | ZERO | 10 000 | | | |
| LEAR35 | DEFAULT | 1 | 1 | Penjanje | Maksimum za uzlijetanje | 20 | | | | |
| LEAR35 | DEFAULT | 1 | 2 | Ubrzanje | Maksimum za uzlijetanje | 20 | | 1 493 | 158 | |
| LEAR35 | DEFAULT | 1 | 3 | Penjanje | Maksimum za uzlijetanje | 20 | 1 500 | | | |
| LEAR35 | DEFAULT | 1 | 4 | Ubrzanje | Maksimum za uzlijetanje | 10 | | 1 493 | 183 | |
| LEAR35 | DEFAULT | 1 | 5 | Penjanje | Maksimum za penjanje | ZERO | 3 000 | | | |
| LEAR35 | DEFAULT | 1 | 6 | Ubrzanje | Maksimum za penjanje | ZERO | | 1 706 | 250 | |
| LEAR35 | DEFAULT | 1 | 7 | Penjanje | Maksimum za penjanje | ZERO | 5 500 | | | |
| LEAR35 | DEFAULT | 1 | 8 | Penjanje | Maksimum za penjanje | ZERO | 7 500 | | | |

▼**M2**

| ACFTID | Oznaka profila (Profile_ID) | Duljina faze | Broj koraka | Tip koraka | Režim rada motora | Zakrilca (Flap_ID) | Visina krajnje točke (ft) | Stopa penjanja (ft/min) | Kalibrirana brzina leta u krajnjoj točki (kt) | Postotak ubrzanja (Accelerate_Percent) (%) |
|---|---|---|---|---|---|---|---|---|---|---|
| LEAR35 | DEFAULT | 1 | 9 | Penjanje | Maksimum za penjanje | ZERO | 10 000 | | | |
| MD11GE | DEFAULT | 1 | 1 | Penjanje | Maksimum za uzlijetanje | 25 | | | | |
| MD11GE | DEFAULT | 1 | 2 | Penjanje | Maksimum za uzlijetanje | 25 | 1 000 | | | |
| MD11GE | DEFAULT | 1 | 3 | Ubrzanje | Maksimum za uzlijetanje | 0/EXT | | 1 500 | 211 | |
| MD11GE | DEFAULT | 1 | 4 | Penjanje | Maksimum za penjanje | 0/EXT | 2 000 | | | |
| MD11GE | DEFAULT | 1 | 5 | Penjanje | Maksimum za penjanje | 0/EXT | 3 000 | | | |
| MD11GE | DEFAULT | 1 | 6 | Ubrzanje | Maksimum za penjanje | 0/RET | | 1 500 | 250 | |
| MD11GE | DEFAULT | 1 | 7 | Penjanje | Maksimum za penjanje | 0/RET | 10 000 | | | |
| MD11GE | DEFAULT | 2 | 1 | Penjanje | Maksimum za uzlijetanje | 25 | | | | |
| MD11GE | DEFAULT | 2 | 2 | Penjanje | Maksimum za uzlijetanje | 25 | 1 000 | | | |
| MD11GE | DEFAULT | 2 | 3 | Ubrzanje | Maksimum za uzlijetanje | 0/EXT | | 1 500 | 210 | |
| MD11GE | DEFAULT | 2 | 4 | Penjanje | Maksimum za penjanje | 0/EXT | 2 000 | | | |
| MD11GE | DEFAULT | 2 | 5 | Penjanje | Maksimum za penjanje | 0/EXT | 3 000 | | | |
| MD11GE | DEFAULT | 2 | 6 | Ubrzanje | Maksimum za penjanje | 0/RET | | 1 500 | 250 | |

▼**M2**

| ACFTID | Oznaka profila (Profile_ID) | Duljina faze | Broj koraka | Tip koraka | Režim rada motora | Zakrilca (Flap_ID) | Visina krajnje točke (ft) | Stopa penjanja (ft/min) | Kalibrirana brzina leta u krajnjoj točki (kt) | Postotak ubrzanja (Accelerate_Percent) (%) |
|---|---|---|---|---|---|---|---|---|---|---|
| MD11GE | DEFAULT | 2 | 7 | Penjanje | Maksimum za penjanje | 0/RET | 10 000 | | | |
| MD11GE | DEFAULT | 3 | 1 | Penjanje | Maksimum za uzlijetanje | 25 | | | | |
| MD11GE | DEFAULT | 3 | 2 | Penjanje | Maksimum za uzlijetanje | 25 | 1 000 | | | |
| MD11GE | DEFAULT | 3 | 3 | Ubrzanje | Maksimum za uzlijetanje | 0/EXT | | 1 500 | 210 | |
| MD11GE | DEFAULT | 3 | 4 | Penjanje | Maksimum za penjanje | 0/EXT | 2 000 | | | |
| MD11GE | DEFAULT | 3 | 5 | Penjanje | Maksimum za penjanje | 0/EXT | 3 000 | | | |
| MD11GE | DEFAULT | 3 | 6 | Ubrzanje | Maksimum za penjanje | 0/RET | | 1 500 | 250 | |
| MD11GE | DEFAULT | 3 | 7 | Penjanje | Maksimum za penjanje | 0/RET | 10 000 | | | |
| MD11GE | DEFAULT | 4 | 1 | Penjanje | Maksimum za uzlijetanje | 25 | | | | |
| MD11GE | DEFAULT | 4 | 2 | Penjanje | Maksimum za uzlijetanje | 25 | 1 000 | | | |
| MD11GE | DEFAULT | 4 | 3 | Ubrzanje | Maksimum za uzlijetanje | 0/EXT | | 1 500 | 209 | |
| MD11GE | DEFAULT | 4 | 4 | Penjanje | Maksimum za penjanje | 0/EXT | 2 000 | | | |
| MD11GE | DEFAULT | 4 | 5 | Penjanje | Maksimum za penjanje | 0/EXT | 3 000 | | | |
| MD11GE | DEFAULT | 4 | 6 | Ubrzanje | Maksimum za penjanje | 0/RET | | 1 500 | 250 | |

▼**M2**

| ACFTID | Oznaka profila (Profile_ID) | Duljina faze | Broj koraka | Tip koraka | Režim rada motora | Zakrilca (Flap_ID) | Visina krajnje točke (ft) | Stopa penjanja (ft/min) | Kalibrirana brzina leta u krajnjoj točki (kt) | Postotak ubrzanja (Accelerate_Percent) (%) |
|---|---|---|---|---|---|---|---|---|---|---|
| MD11GE | DEFAULT | 4 | 7 | Penjanje | Maksimum za penjanje | 0/RET | 10 000 | | | |
| MD11GE | DEFAULT | 5 | 1 | Penjanje | Maksimum za uzlijetanje | 25 | | | | |
| MD11GE | DEFAULT | 5 | 2 | Penjanje | Maksimum za uzlijetanje | 25 | 1 000 | | | |
| MD11GE | DEFAULT | 5 | 3 | Ubrzanje | Maksimum za uzlijetanje | 0/EXT | | 1 500 | 208 | |
| MD11GE | DEFAULT | 5 | 4 | Penjanje | Maksimum za penjanje | 0/EXT | 2 000 | | | |
| MD11GE | DEFAULT | 5 | 5 | Penjanje | Maksimum za penjanje | 0/EXT | 3 000 | | | |
| MD11GE | DEFAULT | 5 | 6 | Ubrzanje | Maksimum za penjanje | 0/RET | | 1 500 | 250 | |
| MD11GE | DEFAULT | 5 | 7 | Penjanje | Maksimum za penjanje | 0/RET | 10 000 | | | |
| MD11GE | DEFAULT | 6 | 1 | Penjanje | Maksimum za uzlijetanje | 25 | | | | |
| MD11GE | DEFAULT | 6 | 2 | Penjanje | Maksimum za uzlijetanje | 25 | 1 000 | | | |
| MD11GE | DEFAULT | 6 | 3 | Ubrzanje | Maksimum za uzlijetanje | 0/EXT | | 1 500 | 208 | |
| MD11GE | DEFAULT | 6 | 4 | Penjanje | Maksimum za penjanje | 0/EXT | 2 000 | | | |
| MD11GE | DEFAULT | 6 | 5 | Penjanje | Maksimum za penjanje | 0/EXT | 3 000 | | | |
| MD11GE | DEFAULT | 6 | 6 | Ubrzanje | Maksimum za penjanje | 0/RET | | 1 500 | 250 | |

▼**M2**

| ACFTID | Oznaka profila (Profile_ID) | Duljina faze | Broj koraka | Tip koraka | Režim rada motora | Zakrilca (Flap_ID) | Visina krajnje točke (ft) | Stopa penjanja (ft/min) | Kalibrirana brzina leta u krajnjoj točki (kt) | Postotak ubrzanja (Accelerate_Percent) (%) |
|---|---|---|---|---|---|---|---|---|---|---|
| MD11GE | DEFAULT | 6 | 7 | Penjanje | Maksimum za penjanje | 0/RET | 10 000 | | | |
| MD11GE | DEFAULT | 7 | 1 | Penjanje | Maksimum za uzlijetanje | 25 | | | | |
| MD11GE | DEFAULT | 7 | 2 | Penjanje | Maksimum za uzlijetanje | 25 | 1 000 | | | |
| MD11GE | DEFAULT | 7 | 3 | Ubrzanje | Maksimum za uzlijetanje | 0/EXT | | 1 500 | 207 | |
| MD11GE | DEFAULT | 7 | 4 | Penjanje | Maksimum za penjanje | 0/EXT | 2 000 | | | |
| MD11GE | DEFAULT | 7 | 5 | Penjanje | Maksimum za penjanje | 0/EXT | 3 000 | | | |
| MD11GE | DEFAULT | 7 | 6 | Ubrzanje | Maksimum za penjanje | 0/RET | | 1 500 | 250 | |
| MD11GE | DEFAULT | 7 | 7 | Penjanje | Maksimum za penjanje | 0/RET | 10 000 | | | |
| MD11PW | DEFAULT | 1 | 1 | Penjanje | Maksimum za uzlijetanje | 25 | | | | |
| MD11PW | DEFAULT | 1 | 2 | Penjanje | Maksimum za uzlijetanje | 25 | 1 000 | | | |
| MD11PW | DEFAULT | 1 | 3 | Ubrzanje | Maksimum za uzlijetanje | 0/EXT | | 1 500 | 206 | |
| MD11PW | DEFAULT | 1 | 4 | Penjanje | Maksimum za penjanje | 0/EXT | 2 000 | | | |
| MD11PW | DEFAULT | 1 | 5 | Penjanje | Maksimum za penjanje | 0/EXT | 3 000 | | | |
| MD11PW | DEFAULT | 1 | 6 | Ubrzanje | Maksimum za penjanje | 0/RET | | 1 500 | 250 | |

▼**M2**

| ACFTID | Oznaka profila (Profile_ID) | Duljina faze | Broj koraka | Tip koraka | Režim rada motora | Zakrilca (Flap_ID) | Visina krajnje točke (ft) | Stopa penjanja (ft/min) | Kalibrirana brzina leta u krajnjoj točki (kt) | Postotak ubrzanja (Accelerate_Percent) (%) |
|---|---|---|---|---|---|---|---|---|---|---|
| MD11PW | DEFAULT | 1 | 7 | Penjanje | Maksimum za penjanje | 0/RET | 10 000 | | | |
| MD11PW | DEFAULT | 2 | 1 | Penjanje | Maksimum za uzlijetanje | 25 | | | | |
| MD11PW | DEFAULT | 2 | 2 | Penjanje | Maksimum za uzlijetanje | 25 | 1 000 | | | |
| MD11PW | DEFAULT | 2 | 3 | Ubrzanje | Maksimum za uzlijetanje | 0/EXT | | 1 500 | 206 | |
| MD11PW | DEFAULT | 2 | 4 | Penjanje | Maksimum za penjanje | 0/EXT | 2 000 | | | |
| MD11PW | DEFAULT | 2 | 5 | Penjanje | Maksimum za penjanje | 0/EXT | 3 000 | | | |
| MD11PW | DEFAULT | 2 | 6 | Ubrzanje | Maksimum za penjanje | 0/RET | | 1 500 | 250 | |
| MD11PW | DEFAULT | 2 | 7 | Penjanje | Maksimum za penjanje | 0/RET | 10 000 | | | |
| MD11PW | DEFAULT | 3 | 1 | Penjanje | Maksimum za uzlijetanje | 25 | | | | |
| MD11PW | DEFAULT | 3 | 2 | Penjanje | Maksimum za uzlijetanje | 25 | 1 000 | | | |
| MD11PW | DEFAULT | 3 | 3 | Ubrzanje | Maksimum za uzlijetanje | 0/EXT | | 1 500 | 205 | |
| MD11PW | DEFAULT | 3 | 4 | Penjanje | Maksimum za penjanje | 0/EXT | 2 000 | | | |
| MD11PW | DEFAULT | 3 | 5 | Penjanje | Maksimum za penjanje | 0/EXT | 3 000 | | | |
| MD11PW | DEFAULT | 3 | 6 | Ubrzanje | Maksimum za penjanje | 0/RET | | 1 500 | 250 | |

▼**M2**

| ACFTID | Oznaka profila (Profile_ID) | Duljina faze | Broj koraka | Tip koraka | Režim rada motora | Zakrilca (Flap_ID) | Visina krajnje točke (ft) | Stopa penjanja (ft/min) | Kalibrirana brzina leta u krajnjoj točki (kt) | Postotak ubrzanja (Accelerate_Percent) (%) |
|---|---|---|---|---|---|---|---|---|---|---|
| MD11PW | DEFAULT | 3 | 7 | Penjanje | Maksimum za penjanje | 0/RET | 10 000 | | | |
| MD11PW | DEFAULT | 4 | 1 | Penjanje | Maksimum za uzlijetanje | 25 | | | | |
| MD11PW | DEFAULT | 4 | 2 | Penjanje | Maksimum za uzlijetanje | 25 | 1 000 | | | |
| MD11PW | DEFAULT | 4 | 3 | Ubrzanje | Maksimum za uzlijetanje | 0/EXT | | 1 500 | 205 | |
| MD11PW | DEFAULT | 4 | 4 | Penjanje | Maksimum za penjanje | 0/EXT | 2 000 | | | |
| MD11PW | DEFAULT | 4 | 5 | Penjanje | Maksimum za penjanje | 0/EXT | 3 000 | | | |
| MD11PW | DEFAULT | 4 | 6 | Ubrzanje | Maksimum za penjanje | 0/RET | | 1 500 | 250 | |
| MD11PW | DEFAULT | 4 | 7 | Penjanje | Maksimum za penjanje | 0/RET | 10 000 | | | |
| MD11PW | DEFAULT | 5 | 1 | Penjanje | Maksimum za uzlijetanje | 25 | | | | |
| MD11PW | DEFAULT | 5 | 2 | Penjanje | Maksimum za uzlijetanje | 25 | 1 000 | | | |
| MD11PW | DEFAULT | 5 | 3 | Ubrzanje | Maksimum za uzlijetanje | 0/EXT | | 1 500 | 205 | |
| MD11PW | DEFAULT | 5 | 4 | Penjanje | Maksimum za penjanje | 0/EXT | 2 000 | | | |
| MD11PW | DEFAULT | 5 | 5 | Penjanje | Maksimum za penjanje | 0/EXT | 3 000 | | | |
| MD11PW | DEFAULT | 5 | 6 | Ubrzanje | Maksimum za penjanje | 0/RET | | 1 500 | 250 | |

▼**M2**

| ACFTID | Oznaka profila (Profile_ID) | Duljina faze | Broj koraka | Tip koraka | Režim rada motora | Zakrilca (Flap_ID) | Visina krajnje točke (ft) | Stopa penjanja (ft/min) | Kalibrirana brzina leta u krajnjoj točki (kt) | Postotak ubrzanja (Accelerate_Percent) (%) |
|---|---|---|---|---|---|---|---|---|---|---|
| MD11PW | DEFAULT | 5 | 7 | Penjanje | Maksimum za penjanje | 0/RET | 10 000 | | | |
| MD11PW | DEFAULT | 6 | 1 | Penjanje | Maksimum za uzlijetanje | 25 | | | | |
| MD11PW | DEFAULT | 6 | 2 | Penjanje | Maksimum za uzlijetanje | 25 | 1 000 | | | |
| MD11PW | DEFAULT | 6 | 3 | Ubrzanje | Maksimum za uzlijetanje | 0/EXT | | 1 500 | 206 | |
| MD11PW | DEFAULT | 6 | 4 | Penjanje | Maksimum za penjanje | 0/EXT | 2 000 | | | |
| MD11PW | DEFAULT | 6 | 5 | Penjanje | Maksimum za penjanje | 0/EXT | 3 000 | | | |
| MD11PW | DEFAULT | 6 | 6 | Ubrzanje | Maksimum za penjanje | 0/RET | | 1 500 | 250 | |
| MD11PW | DEFAULT | 6 | 7 | Penjanje | Maksimum za penjanje | 0/RET | 10 000 | | | |
| MD11PW | DEFAULT | 7 | 1 | Penjanje | Maksimum za uzlijetanje | 25 | | | | |
| MD11PW | DEFAULT | 7 | 2 | Penjanje | Maksimum za uzlijetanje | 25 | 1 000 | | | |
| MD11PW | DEFAULT | 7 | 3 | Ubrzanje | Maksimum za uzlijetanje | 0/EXT | | 1 500 | 207 | |
| MD11PW | DEFAULT | 7 | 4 | Penjanje | Maksimum za penjanje | 0/EXT | 2 000 | | | |
| MD11PW | DEFAULT | 7 | 5 | Penjanje | Maksimum za penjanje | 0/EXT | 3 000 | | | |
| MD11PW | DEFAULT | 7 | 6 | Ubrzanje | Maksimum za penjanje | 0/RET | | 1 500 | 250 | |

▼**M2**

| ACFTID | Oznaka profila (Profile_ID) | Duljina faze | Broj koraka | Tip koraka | Režim rada motora | Zakrilca (Flap_ID) | Visina krajnje točke (ft) | Stopa penjanja (ft/min) | Kalibrirana brzina leta u krajnjoj točki (kt) | Postotak ubrzanja (Accelerate_Percent) (%) |
|---|---|---|---|---|---|---|---|---|---|---|
| MD11PW | DEFAULT | 7 | 7 | Penjanje | Maksimum za penjanje | 0/RET | 10 000 | | | |
| MD81 | DEFAULT | 1 | 1 | Penjanje | Maksimum za uzlijetanje | T_15 | | | | |
| MD81 | DEFAULT | 1 | 2 | Penjanje | Maksimum za uzlijetanje | T_15 | 1 000 | | | |
| MD81 | DEFAULT | 1 | 3 | Ubrzanje | Maksimum za penjanje | T_INT | | 1 434,2 | 214,1 | |
| MD81 | DEFAULT | 1 | 4 | Penjanje | Maksimum za penjanje | T_ZERO | 3 000 | | | |
| MD81 | DEFAULT | 1 | 5 | Ubrzanje | Maksimum za penjanje | T_ZERO | | 1 866,9 | 250 | |
| MD81 | DEFAULT | 1 | 6 | Penjanje | Maksimum za penjanje | T_ZERO | 5 500 | | | |
| MD81 | DEFAULT | 1 | 7 | Penjanje | Maksimum za penjanje | T_ZERO | 7 500 | | | |
| MD81 | DEFAULT | 1 | 8 | Penjanje | Maksimum za penjanje | T_ZERO | 10 000 | | | |
| MD81 | DEFAULT | 2 | 1 | Penjanje | Maksimum za uzlijetanje | T_15 | | | | |
| MD81 | DEFAULT | 2 | 2 | Penjanje | Maksimum za uzlijetanje | T_15 | 1 000 | | | |
| MD81 | DEFAULT | 2 | 3 | Ubrzanje | Maksimum za penjanje | T_INT | | 1 346,9 | 218,7 | |
| MD81 | DEFAULT | 2 | 4 | Penjanje | Maksimum za penjanje | T_ZERO | 3 000 | | | |

▼**M2**

| ACFTID | Oznaka profila (Profile_ID) | Duljina faze | Broj koraka | Tip koraka | Režim rada motora | Zakrilca (Flap_ID) | Visina krajnje točke (ft) | Stopa penjanja (ft/min) | Kalibrirana brzina leta u krajnjoj točki (kt) | Postotak ubrzanja (Accelerate_Percent) (%) |
|---|---|---|---|---|---|---|---|---|---|---|
| MD81 | DEFAULT | 2 | 5 | Ubrzanje | Maksimum za penjanje | T_ZERO | | 1 745 | 250 | |
| MD81 | DEFAULT | 2 | 6 | Penjanje | Maksimum za penjanje | T_ZERO | 5 500 | | | |
| MD81 | DEFAULT | 2 | 7 | Penjanje | Maksimum za penjanje | T_ZERO | 7 500 | | | |
| MD81 | DEFAULT | 2 | 8 | Penjanje | Maksimum za penjanje | T_ZERO | 10 000 | | | |
| MD81 | DEFAULT | 3 | 1 | Penjanje | Maksimum za uzlijetanje | T_15 | | | | |
| MD81 | DEFAULT | 3 | 2 | Penjanje | Maksimum za uzlijetanje | T_15 | 1 000 | | | |
| MD81 | DEFAULT | 3 | 3 | Ubrzanje | Maksimum za penjanje | T_INT | | 1 266 | 223,2 | |
| MD81 | DEFAULT | 3 | 4 | Penjanje | Maksimum za penjanje | T_ZERO | 3 000 | | | |
| MD81 | DEFAULT | 3 | 5 | Ubrzanje | Maksimum za penjanje | T_ZERO | | 1 643,2 | 250 | |
| MD81 | DEFAULT | 3 | 6 | Penjanje | Maksimum za penjanje | T_ZERO | 5 500 | | | |
| MD81 | DEFAULT | 3 | 7 | Penjanje | Maksimum za penjanje | T_ZERO | 7 500 | | | |
| MD81 | DEFAULT | 3 | 8 | Penjanje | Maksimum za penjanje | T_ZERO | 10 000 | | | |
| MD81 | DEFAULT | 4 | 1 | Penjanje | Maksimum za uzlijetanje | T_15 | | | | |

▼**M2**

| ACFTID | Oznaka profila (Profile_ID) | Duljina faze | Broj koraka | Tip koraka | Režim rada motora | Zakrilca (Flap_ID) | Visina krajnje točke (ft) | Stopa penjanja (ft/min) | Kalibrirana brzina leta u krajnjoj točki (kt) | Postotak ubrzanja (Accelerate_Percent) (%) |
|---|---|---|---|---|---|---|---|---|---|---|
| MD81 | DEFAULT | 4 | 2 | Penjanje | Maksimum za uzlijetanje | T_15 | 1 000 | | | |
| MD81 | DEFAULT | 4 | 3 | Ubrzanje | Maksimum za penjanje | T_INT | | 1 211,7 | 226,3 | |
| MD81 | DEFAULT | 4 | 4 | Penjanje | Maksimum za penjanje | T_ZERO | 3 000 | | | |
| MD81 | DEFAULT | 4 | 5 | Ubrzanje | Maksimum za penjanje | T_ZERO | | 1 577,9 | 250 | |
| MD81 | DEFAULT | 4 | 6 | Penjanje | Maksimum za penjanje | T_ZERO | 5 500 | | | |
| MD81 | DEFAULT | 4 | 7 | Penjanje | Maksimum za penjanje | T_ZERO | 7 500 | | | |
| MD81 | DEFAULT | 4 | 8 | Penjanje | Maksimum za penjanje | T_ZERO | 10 000 | | | |
| MD81 | ICAO_A | 1 | 1 | Penjanje | Maksimum za uzlijetanje | T_15 | | | | |
| MD81 | ICAO_A | 1 | 2 | Penjanje | Maksimum za uzlijetanje | T_15 | 1 500 | | | |
| MD81 | ICAO_A | 1 | 3 | Penjanje | Maksimum za penjanje | T_15 | 3 000 | | | |
| MD81 | ICAO_A | 1 | 4 | Ubrzanje | Maksimum za penjanje | T_ZERO | | 1 169,8 | 250 | |
| MD81 | ICAO_A | 1 | 5 | Penjanje | Maksimum za penjanje | T_ZERO | 5 500 | | | |
| MD81 | ICAO_A | 1 | 6 | Penjanje | Maksimum za penjanje | T_ZERO | 7 500 | | | |

▼**M2**

| ACFTID | Oznaka profila (Profile_ID) | Duljina faze | Broj koraka | Tip koraka | Režim rada motora | Zakrilca (Flap_ID) | Visina krajnje točke (ft) | Stopa penjanja (ft/min) | Kalibrirana brzina leta u krajnjoj točki (kt) | Postotak ubrzanja (Accelerate_Percent) (%) |
|---|---|---|---|---|---|---|---|---|---|---|
| MD81 | ICAO_A | 1 | 7 | Penjanje | Maksimum za penjanje | T_ZERO | 10 000 | | | |
| MD81 | ICAO_A | 2 | 1 | Penjanje | Maksimum za uzlijetanje | T_15 | | | | |
| MD81 | ICAO_A | 2 | 2 | Penjanje | Maksimum za uzlijetanje | T_15 | 1 500 | | | |
| MD81 | ICAO_A | 2 | 3 | Penjanje | Maksimum za penjanje | T_15 | 3 000 | | | |
| MD81 | ICAO_A | 2 | 4 | Ubrzanje | Maksimum za penjanje | T_ZERO | | 1 089,3 | 250 | |
| MD81 | ICAO_A | 2 | 5 | Penjanje | Maksimum za penjanje | T_ZERO | 5 500 | | | |
| MD81 | ICAO_A | 2 | 6 | Penjanje | Maksimum za penjanje | T_ZERO | 7 500 | | | |
| MD81 | ICAO_A | 2 | 7 | Penjanje | Maksimum za penjanje | T_ZERO | 10 000 | | | |
| MD81 | ICAO_A | 3 | 1 | Penjanje | Maksimum za uzlijetanje | T_15 | | | | |
| MD81 | ICAO_A | 3 | 2 | Penjanje | Maksimum za uzlijetanje | T_15 | 1 500 | | | |
| MD81 | ICAO_A | 3 | 3 | Penjanje | Maksimum za penjanje | T_15 | 3 000 | | | |
| MD81 | ICAO_A | 3 | 4 | Ubrzanje | Maksimum za penjanje | T_ZERO | | 1 049,8 | 250 | |
| MD81 | ICAO_A | 3 | 5 | Penjanje | Maksimum za penjanje | T_ZERO | 5 500 | | | |

▼**M2**

| ACFTID | Oznaka profila (Profile_ID) | Duljina faze | Broj koraka | Tip koraka | Režim rada motora | Zakrilca (Flap_ID) | Visina krajnje točke (ft) | Stopa penjanja (ft/min) | Kalibrirana brzina leta u krajnjoj točki (kt) | Postotak ubrzanja (Accelerate_Percent) (%) |
|---|---|---|---|---|---|---|---|---|---|---|
| MD81 | ICAO_A | 3 | 6 | Penjanje | Maksimum za penjanje | T_ZERO | 7 500 | | | |
| MD81 | ICAO_A | 3 | 7 | Penjanje | Maksimum za penjanje | T_ZERO | 10 000 | | | |
| MD81 | ICAO_A | 4 | 1 | Penjanje | Maksimum za uzlijetanje | T_15 | | | | |
| MD81 | ICAO_A | 4 | 2 | Penjanje | Maksimum za uzlijetanje | T_15 | 1 500 | | | |
| MD81 | ICAO_A | 4 | 3 | Penjanje | Maksimum za penjanje | T_15 | 3 000 | | | |
| MD81 | ICAO_A | 4 | 4 | Ubrzanje | Maksimum za penjanje | T_ZERO | | 998,8 | 250 | |
| MD81 | ICAO_A | 4 | 5 | Penjanje | Maksimum za penjanje | T_ZERO | 5 500 | | | |
| MD81 | ICAO_A | 4 | 6 | Penjanje | Maksimum za penjanje | T_ZERO | 7 500 | | | |
| MD81 | ICAO_A | 4 | 7 | Penjanje | Maksimum za penjanje | T_ZERO | 10 000 | | | |
| MD81 | ICAO_B | 1 | 1 | Penjanje | Maksimum za uzlijetanje | T_15 | | | | |
| MD81 | ICAO_B | 1 | 2 | Penjanje | Maksimum za uzlijetanje | T_15 | 1 000 | | | |
| MD81 | ICAO_B | 1 | 3 | Ubrzanje | Maksimum za uzlijetanje | T_INT | | 1 434,8 | 218,8 | |
| MD81 | ICAO_B | 1 | 4 | Penjanje | Maksimum za penjanje | T_ZERO | 3 000 | | | |

▼**M2**

| ACFTID | Oznaka profila (Profile_ID) | Duljina faze | Broj koraka | Tip koraka | Režim rada motora | Zakrilca (Flap_ID) | Visina krajnje točke (ft) | Stopa penjanja (ft/min) | Kalibrirana brzina leta u krajnjoj točki (kt) | Postotak ubrzanja (Accelerate_Percent) (%) |
|---|---|---|---|---|---|---|---|---|---|---|
| MD81 | ICAO_B | 1 | 5 | Ubrzanje | Maksimum za penjanje | T_ZERO | | 1 900,5 | 250 | |
| MD81 | ICAO_B | 1 | 6 | Penjanje | Maksimum za penjanje | T_ZERO | 5 500 | | | |
| MD81 | ICAO_B | 1 | 7 | Penjanje | Maksimum za penjanje | T_ZERO | 7 500 | | | |
| MD81 | ICAO_B | 1 | 8 | Penjanje | Maksimum za penjanje | T_ZERO | 10 000 | | | |
| MD81 | ICAO_B | 2 | 1 | Penjanje | Maksimum za uzlijetanje | T_15 | | | | |
| MD81 | ICAO_B | 2 | 2 | Penjanje | Maksimum za uzlijetanje | T_15 | 1 000 | | | |
| MD81 | ICAO_B | 2 | 3 | Ubrzanje | Maksimum za uzlijetanje | T_INT | | 1 345,2 | 223 | |
| MD81 | ICAO_B | 2 | 4 | Penjanje | Maksimum za penjanje | T_ZERO | 3 000 | | | |
| MD81 | ICAO_B | 2 | 5 | Ubrzanje | Maksimum za penjanje | T_ZERO | | 1 779,8 | 250 | |
| MD81 | ICAO_B | 2 | 6 | Penjanje | Maksimum za penjanje | T_ZERO | 5 500 | | | |
| MD81 | ICAO_B | 2 | 7 | Penjanje | Maksimum za penjanje | T_ZERO | 7 500 | | | |
| MD81 | ICAO_B | 2 | 8 | Penjanje | Maksimum za penjanje | T_ZERO | 10 000 | | | |
| MD81 | ICAO_B | 3 | 1 | Penjanje | Maksimum za uzlijetanje | T_15 | | | | |

▼**M2**

| ACFTID | Oznaka profila (Profile_ID) | Duljina faze | Broj koraka | Tip koraka | Režim rada motora | Zakrilca (Flap_ID) | Visina krajnje točke (ft) | Stopa penjanja (ft/min) | Kalibrirana brzina leta u krajnjoj točki (kt) | Postotak ubrzanja (Accelerate_Percent) (%) |
|---|---|---|---|---|---|---|---|---|---|---|
| MD81 | ICAO_B | 3 | 2 | Penjanje | Maksimum za uzlijetanje | T_15 | 1 000 | | | |
| MD81 | ICAO_B | 3 | 3 | Ubrzanje | Maksimum za uzlijetanje | T_INT | | 1 264,5 | 227,4 | |
| MD81 | ICAO_B | 3 | 4 | Penjanje | Maksimum za penjanje | T_ZERO | 3 000 | | | |
| MD81 | ICAO_B | 3 | 5 | Ubrzanje | Maksimum za penjanje | T_ZERO | | 1 664,2 | 250 | |
| MD81 | ICAO_B | 3 | 6 | Penjanje | Maksimum za penjanje | T_ZERO | 5 500 | | | |
| MD81 | ICAO_B | 3 | 7 | Penjanje | Maksimum za penjanje | T_ZERO | 7 500 | | | |
| MD81 | ICAO_B | 3 | 8 | Penjanje | Maksimum za penjanje | T_ZERO | 10 000 | | | |
| MD81 | ICAO_B | 4 | 1 | Penjanje | Maksimum za uzlijetanje | T_15 | | | | |
| MD81 | ICAO_B | 4 | 2 | Penjanje | Maksimum za uzlijetanje | T_15 | 1 000 | | | |
| MD81 | ICAO_B | 4 | 3 | Ubrzanje | Maksimum za uzlijetanje | T_INT | | 1 211,1 | 230,2 | |
| MD81 | ICAO_B | 4 | 4 | Penjanje | Maksimum za penjanje | T_ZERO | 3 000 | | | |
| MD81 | ICAO_B | 4 | 5 | Ubrzanje | Maksimum za penjanje | T_ZERO | | 1 594,3 | 250 | |
| MD81 | ICAO_B | 4 | 6 | Penjanje | Maksimum za penjanje | T_ZERO | 5 500 | | | |
| MD81 | ICAO_B | 4 | 7 | Penjanje | Maksimum za penjanje | T_ZERO | 7 500 | | | |

▼**M2**

| ACFTID | Oznaka profila (Profile_ID) | Duljina faze | Broj koraka | Tip koraka | Režim rada motora | Zakrilca (Flap_ID) | Visina krajnje točke (ft) | Stopa penjanja (ft/min) | Kalibrirana brzina leta u krajnjoj točki (kt) | Postotak ubrzanja (Accelerate_Percent) (%) |
|---|---|---|---|---|---|---|---|---|---|---|
| MD81 | ICAO_B | 4 | 8 | Penjanje | Maksimum za penjanje | T_ZERO | 10 000 | | | |
| MD82 | DEFAULT | 1 | 1 | Penjanje | Maksimum za uzlijetanje | T_15 | | | | |
| MD82 | DEFAULT | 1 | 2 | Penjanje | Maksimum za uzlijetanje | T_15 | 1 000 | | | |
| MD82 | DEFAULT | 1 | 3 | Ubrzanje | Maksimum za penjanje | INT4 | | 1 247,7 | 216,4 | |
| MD82 | DEFAULT | 1 | 4 | Penjanje | Maksimum za penjanje | INT3 | 3 000 | | | |
| MD82 | DEFAULT | 1 | 5 | Ubrzanje | Maksimum za penjanje | T_ZERO | | 1 933 | 250 | |
| MD82 | DEFAULT | 1 | 6 | Penjanje | Maksimum za penjanje | T_ZERO | 5 500 | | | |
| MD82 | DEFAULT | 1 | 7 | Penjanje | Maksimum za penjanje | T_ZERO | 7 500 | | | |
| MD82 | DEFAULT | 1 | 8 | Penjanje | Maksimum za penjanje | T_ZERO | 10 000 | | | |
| MD82 | DEFAULT | 2 | 1 | Penjanje | Maksimum za uzlijetanje | T_15 | | | | |
| MD82 | DEFAULT | 2 | 2 | Penjanje | Maksimum za uzlijetanje | T_15 | 1 000 | | | |
| MD82 | DEFAULT | 2 | 3 | Ubrzanje | Maksimum za penjanje | INT4 | | 1 169,5 | 220,7 | |
| MD82 | DEFAULT | 2 | 4 | Penjanje | Maksimum za penjanje | INT3 | 3 000 | | | |
| MD82 | DEFAULT | 2 | 5 | Ubrzanje | Maksimum za penjanje | T_ZERO | | 1 805,5 | 250 | |

▼**M2**

| ACFTID | Oznaka profila (Profile_ID) | Duljina faze | Broj koraka | Tip koraka | Režim rada motora | Zakrilca (Flap_ID) | Visina krajnje točke (ft) | Stopa penjanja (ft/min) | Kalibrirana brzina leta u krajnjoj točki (kt) | Postotak ubrzanja (Accelerate_Percent) (%) |
|---|---|---|---|---|---|---|---|---|---|---|
| MD82 | DEFAULT | 2 | 6 | Penjanje | Maksimum za penjanje | T_ZERO | 5 500 | | | |
| MD82 | DEFAULT | 2 | 7 | Penjanje | Maksimum za penjanje | T_ZERO | 7 500 | | | |
| MD82 | DEFAULT | 2 | 8 | Penjanje | Maksimum za penjanje | T_ZERO | 10 000 | | | |
| MD82 | DEFAULT | 3 | 1 | Penjanje | Maksimum za uzlijetanje | T_15 | | | | |
| MD82 | DEFAULT | 3 | 2 | Penjanje | Maksimum za uzlijetanje | T_15 | 1 000 | | | |
| MD82 | DEFAULT | 3 | 3 | Ubrzanje | Maksimum za penjanje | INT4 | | 1 099,1 | 225,1 | |
| MD82 | DEFAULT | 3 | 4 | Penjanje | Maksimum za penjanje | INT3 | 3 000 | | | |
| MD82 | DEFAULT | 3 | 5 | Ubrzanje | Maksimum za penjanje | T_ZERO | | 1 710,9 | 250 | |
| MD82 | DEFAULT | 3 | 6 | Penjanje | Maksimum za penjanje | T_ZERO | 5 500 | | | |
| MD82 | DEFAULT | 3 | 7 | Penjanje | Maksimum za penjanje | T_ZERO | 7 500 | | | |
| MD82 | DEFAULT | 3 | 8 | Penjanje | Maksimum za penjanje | T_ZERO | 10 000 | | | |
| MD82 | DEFAULT | 4 | 1 | Penjanje | Maksimum za uzlijetanje | T_15 | | | | |
| MD82 | DEFAULT | 4 | 2 | Penjanje | Maksimum za uzlijetanje | T_15 | 1 000 | | | |

▼**M2**

| ACFTID | Oznaka profila (Profile_ID) | Duljina faze | Broj koraka | Tip koraka | Režim rada motora | Zakrilca (Flap_ID) | Visina krajnje točke (ft) | Stopa penjanja (ft/min) | Kalibrirana brzina leta u krajnjoj točki (kt) | Postotak ubrzanja (Accelerate_Percent) (%) |
|---|---|---|---|---|---|---|---|---|---|---|
| MD82 | DEFAULT | 4 | 3 | Ubrzanje | Maksimum za penjanje | INT4 | | 989,5 | 231,9 | |
| MD82 | DEFAULT | 4 | 4 | Penjanje | Maksimum za penjanje | INT3 | 3 000 | | | |
| MD82 | DEFAULT | 4 | 5 | Ubrzanje | Maksimum za penjanje | T_ZERO | | 1 563,6 | 250 | |
| MD82 | DEFAULT | 4 | 6 | Penjanje | Maksimum za penjanje | T_ZERO | 5 500 | | | |
| MD82 | DEFAULT | 4 | 7 | Penjanje | Maksimum za penjanje | T_ZERO | 7 500 | | | |
| MD82 | DEFAULT | 4 | 8 | Penjanje | Maksimum za penjanje | T_ZERO | 10 000 | | | |
| MD82 | DEFAULT | 5 | 1 | Penjanje | Maksimum za uzlijetanje | T_15 | | | | |
| MD82 | DEFAULT | 5 | 2 | Penjanje | Maksimum za uzlijetanje | T_15 | 1 000 | | | |
| MD82 | DEFAULT | 5 | 3 | Ubrzanje | Maksimum za penjanje | INT4 | | 950,4 | 234,2 | |
| MD82 | DEFAULT | 5 | 4 | Penjanje | Maksimum za penjanje | INT3 | 3 000 | | | |
| MD82 | DEFAULT | 5 | 5 | Ubrzanje | Maksimum za penjanje | T_ZERO | | 1 518,1 | 250 | |
| MD82 | DEFAULT | 5 | 6 | Penjanje | Maksimum za penjanje | T_ZERO | 5 500 | | | |
| MD82 | DEFAULT | 5 | 7 | Penjanje | Maksimum za penjanje | T_ZERO | 7 500 | | | |

▼**M2**

| ACFTID | Oznaka profila (Profile_ID) | Duljina faze | Broj koraka | Tip koraka | Režim rada motora | Zakrilca (Flap_ID) | Visina krajnje točke (ft) | Stopa penjanja (ft/min) | Kalibrirana brzina leta u krajnjoj točki (kt) | Postotak ubrzanja (Accelerate_Percent) (%) |
|---|---|---|---|---|---|---|---|---|---|---|
| MD82 | DEFAULT | 5 | 8 | Penjanje | Maksimum za penjanje | T_ZERO | 10 000 | | | |
| MD82 | ICAO_A | 1 | 1 | Penjanje | Maksimum za uzlijetanje | T_15 | | | | |
| MD82 | ICAO_A | 1 | 2 | Penjanje | Maksimum za uzlijetanje | T_15 | 1 500 | | | |
| MD82 | ICAO_A | 1 | 3 | Penjanje | Maksimum za penjanje | T_INT | 3 000 | | | |
| MD82 | ICAO_A | 1 | 4 | Ubrzanje | Maksimum za penjanje | T_ZERO | | 1 200 | 250 | |
| MD82 | ICAO_A | 1 | 5 | Penjanje | Maksimum za penjanje | T_ZERO | 5 500 | | | |
| MD82 | ICAO_A | 1 | 6 | Penjanje | Maksimum za penjanje | T_ZERO | 7 500 | | | |
| MD82 | ICAO_A | 1 | 7 | Penjanje | Maksimum za penjanje | T_ZERO | 10 000 | | | |
| MD82 | ICAO_A | 2 | 1 | Penjanje | Maksimum za uzlijetanje | T_15 | | | | |
| MD82 | ICAO_A | 2 | 2 | Penjanje | Maksimum za uzlijetanje | T_15 | 1 500 | | | |
| MD82 | ICAO_A | 2 | 3 | Penjanje | Maksimum za penjanje | T_15 | 3 000 | | | |
| MD82 | ICAO_A | 2 | 4 | Ubrzanje | Maksimum za penjanje | T_ZERO | | 1 120,6 | 250 | |
| MD82 | ICAO_A | 2 | 5 | Penjanje | Maksimum za penjanje | T_ZERO | 5 500 | | | |

▼**M2**

| ACFTID | Oznaka profila (Profile_ID) | Duljina faze | Broj koraka | Tip koraka | Režim rada motora | Zakrilca (Flap_ID) | Visina krajnje točke (ft) | Stopa penjanja (ft/min) | Kalibrirana brzina leta u krajnjoj točki (kt) | Postotak ubrzanja (Accelerate_Percent) (%) |
|---|---|---|---|---|---|---|---|---|---|---|
| MD82 | ICAO_A | 2 | 6 | Penjanje | Maksimum za penjanje | T_ZERO | 7 500 | | | |
| MD82 | ICAO_A | 2 | 7 | Penjanje | Maksimum za penjanje | T_ZERO | 10 000 | | | |
| MD82 | ICAO_A | 3 | 1 | Penjanje | Maksimum za uzlijetanje | T_15 | | | | |
| MD82 | ICAO_A | 3 | 2 | Penjanje | Maksimum za uzlijetanje | T_15 | 1 500 | | | |
| MD82 | ICAO_A | 3 | 3 | Penjanje | Maksimum za penjanje | T_15 | 3 000 | | | |
| MD82 | ICAO_A | 3 | 4 | Ubrzanje | Maksimum za penjanje | T_ZERO | | 1 051,4 | 250 | |
| MD82 | ICAO_A | 3 | 5 | Penjanje | Maksimum za penjanje | T_ZERO | 5 500 | | | |
| MD82 | ICAO_A | 3 | 6 | Penjanje | Maksimum za penjanje | T_ZERO | 7 500 | | | |
| MD82 | ICAO_A | 3 | 7 | Penjanje | Maksimum za penjanje | T_ZERO | 10 000 | | | |
| MD82 | ICAO_A | 4 | 1 | Penjanje | Maksimum za uzlijetanje | T_15 | | | | |
| MD82 | ICAO_A | 4 | 2 | Penjanje | Maksimum za uzlijetanje | T_15 | 1 500 | | | |
| MD82 | ICAO_A | 4 | 3 | Penjanje | Maksimum za penjanje | T_15 | 3 000 | | | |
| MD82 | ICAO_A | 4 | 4 | Ubrzanje | Maksimum za penjanje | T_ZERO | | 939,4 | 250 | |

▼**M2**

| ACFTID | Oznaka profila (Profile_ID) | Duljina faze | Broj koraka | Tip koraka | Režim rada motora | Zakrilca (Flap_ID) | Visina krajnje točke (ft) | Stopa penjanja (ft/min) | Kalibrirana brzina leta u krajnjoj točki (kt) | Postotak ubrzanja (Accelerate_Percent) (%) |
|---|---|---|---|---|---|---|---|---|---|---|
| MD82 | ICAO_A | 4 | 5 | Penjanje | Maksimum za penjanje | T_ZERO | 5 500 | | | |
| MD82 | ICAO_A | 4 | 6 | Penjanje | Maksimum za penjanje | T_ZERO | 7 500 | | | |
| MD82 | ICAO_A | 4 | 7 | Penjanje | Maksimum za penjanje | T_ZERO | 10 000 | | | |
| MD82 | ICAO_A | 5 | 1 | Penjanje | Maksimum za uzlijetanje | T_15 | | | | |
| MD82 | ICAO_A | 5 | 2 | Penjanje | Maksimum za uzlijetanje | T_15 | 1 500 | | | |
| MD82 | ICAO_A | 5 | 3 | Penjanje | Maksimum za penjanje | T_15 | 3 000 | | | |
| MD82 | ICAO_A | 5 | 4 | Ubrzanje | Maksimum za penjanje | T_ZERO | | 900 | 250 | |
| MD82 | ICAO_A | 5 | 5 | Penjanje | Maksimum za penjanje | T_ZERO | 5 500 | | | |
| MD82 | ICAO_A | 5 | 6 | Penjanje | Maksimum za penjanje | T_ZERO | 7 500 | | | |
| MD82 | ICAO_A | 5 | 7 | Penjanje | Maksimum za penjanje | T_ZERO | 10 000 | | | |
| MD82 | ICAO_B | 1 | 1 | Penjanje | Maksimum za uzlijetanje | T_15 | | | | |
| MD82 | ICAO_B | 1 | 2 | Penjanje | Maksimum za uzlijetanje | T_15 | 1 000 | | | |
| MD82 | ICAO_B | 1 | 3 | Ubrzanje | Maksimum za uzlijetanje | T_INT | | 1 447,7 | 218,7 | |
| MD82 | ICAO_B | 1 | 4 | Penjanje | Maksimum za penjanje | T_ZERO | 3 000 | | | |

▼**M2**

| ACFTID | Oznaka profila (Profile_ID) | Duljina faze | Broj koraka | Tip koraka | Režim rada motora | Zakrilca (Flap_ID) | Visina krajnje točke (ft) | Stopa penjanja (ft/min) | Kalibrirana brzina leta u krajnjoj točki (kt) | Postotak ubrzanja (Accelerate_Percent) (%) |
|---|---|---|---|---|---|---|---|---|---|---|
| MD82 | ICAO_B | 1 | 5 | Ubrzanje | Maksimum za penjanje | T_ZERO | | 1 952,8 | 250 | |
| MD82 | ICAO_B | 1 | 6 | Penjanje | Maksimum za penjanje | T_ZERO | 5 500 | | | |
| MD82 | ICAO_B | 1 | 7 | Penjanje | Maksimum za penjanje | T_ZERO | 7 500 | | | |
| MD82 | ICAO_B | 1 | 8 | Penjanje | Maksimum za penjanje | T_ZERO | 10 000 | | | |
| MD82 | ICAO_B | 2 | 1 | Penjanje | Maksimum za uzlijetanje | T_15 | | | | |
| MD82 | ICAO_B | 2 | 2 | Penjanje | Maksimum za uzlijetanje | T_15 | 1 000 | | | |
| MD82 | ICAO_B | 2 | 3 | Ubrzanje | Maksimum za uzlijetanje | T_INT | | 1 360,4 | 222,9 | |
| MD82 | ICAO_B | 2 | 4 | Penjanje | Maksimum za penjanje | T_ZERO | 3 000 | | | |
| MD82 | ICAO_B | 2 | 5 | Ubrzanje | Maksimum za penjanje | T_ZERO | | 1 838,2 | 250 | |
| MD82 | ICAO_B | 2 | 6 | Penjanje | Maksimum za penjanje | T_ZERO | 5 500 | | | |
| MD82 | ICAO_B | 2 | 7 | Penjanje | Maksimum za penjanje | T_ZERO | 7 500 | | | |
| MD82 | ICAO_B | 2 | 8 | Penjanje | Maksimum za penjanje | T_ZERO | 10 000 | | | |
| MD82 | ICAO_B | 3 | 1 | Penjanje | Maksimum za uzlijetanje | T_15 | | | | |
| MD82 | ICAO_B | 3 | 2 | Penjanje | Maksimum za uzlijetanje | T_15 | 1 000 | | | |

▼**M2**

| ACFTID | Oznaka profila (Profile_ID) | Duljina faze | Broj koraka | Tip koraka | Režim rada motora | Zakrilca (Flap_ID) | Visina krajnje točke (ft) | Stopa penjanja (ft/min) | Kalibrirana brzina leta u krajnjoj točki (kt) | Postotak ubrzanja (Accelerate_Percent) (%) |
|---|---|---|---|---|---|---|---|---|---|---|
| MD82 | ICAO_B | 3 | 3 | Ubrzanje | Maksimum za uzlijetanje | T_INT | | 1 279,8 | 227,2 | |
| MD82 | ICAO_B | 3 | 4 | Penjanje | Maksimum za penjanje | T_ZERO | 3 000 | | | |
| MD82 | ICAO_B | 3 | 5 | Ubrzanje | Maksimum za penjanje | T_ZERO | | 1 732,3 | 250 | |
| MD82 | ICAO_B | 3 | 6 | Penjanje | Maksimum za penjanje | T_ZERO | 5 500 | | | |
| MD82 | ICAO_B | 3 | 7 | Penjanje | Maksimum za penjanje | T_ZERO | 7 500 | | | |
| MD82 | ICAO_B | 3 | 8 | Penjanje | Maksimum za penjanje | T_ZERO | 10 000 | | | |
| MD82 | ICAO_B | 4 | 1 | Penjanje | Maksimum za uzlijetanje | T_15 | | | | |
| MD82 | ICAO_B | 4 | 2 | Penjanje | Maksimum za uzlijetanje | T_15 | 1 000 | | | |
| MD82 | ICAO_B | 4 | 3 | Ubrzanje | Maksimum za uzlijetanje | T_INT | | 1 160,8 | 233,9 | |
| MD82 | ICAO_B | 4 | 4 | Penjanje | Maksimum za penjanje | T_ZERO | 3 000 | | | |
| MD82 | ICAO_B | 4 | 5 | Ubrzanje | Maksimum za penjanje | T_ZERO | | 1 564,9 | 250 | |
| MD82 | ICAO_B | 4 | 6 | Penjanje | Maksimum za penjanje | T_ZERO | 5 500 | | | |
| MD82 | ICAO_B | 4 | 7 | Penjanje | Maksimum za penjanje | T_ZERO | 7 500 | | | |
| MD82 | ICAO_B | 4 | 8 | Penjanje | Maksimum za penjanje | T_ZERO | 10 000 | | | |

▼**M2**

| ACFTID | Oznaka profila (Profile_ID) | Duljina faze | Broj koraka | Tip koraka | Režim rada motora | Zakrilca (Flap_ID) | Visina krajnje točke (ft) | Stopa penjanja (ft/min) | Kalibrirana brzina leta u krajnjoj točki (kt) | Postotak ubrzanja (Accelerate_Percent) (%) |
|---|---|---|---|---|---|---|---|---|---|---|
| MD82 | ICAO_B | 5 | 1 | Penjanje | Maksimum za uzlijetanje | T_15 | | | | |
| MD82 | ICAO_B | 5 | 2 | Penjanje | Maksimum za uzlijetanje | T_15 | 1 000 | | | |
| MD82 | ICAO_B | 5 | 3 | Ubrzanje | Maksimum za uzlijetanje | T_INT | | 1 131,1 | 236,1 | |
| MD82 | ICAO_B | 5 | 4 | Penjanje | Maksimum za penjanje | T_ZERO | 3 000 | | | |
| MD82 | ICAO_B | 5 | 5 | Ubrzanje | Maksimum za penjanje | T_ZERO | | 1 522,4 | 250 | |
| MD82 | ICAO_B | 5 | 6 | Penjanje | Maksimum za penjanje | T_ZERO | 5 500 | | | |
| MD82 | ICAO_B | 5 | 7 | Penjanje | Maksimum za penjanje | T_ZERO | 7 500 | | | |
| MD82 | ICAO_B | 5 | 8 | Penjanje | Maksimum za penjanje | T_ZERO | 10 000 | | | |
| MD83 | DEFAULT | 1 | 1 | Penjanje | Maksimum za uzlijetanje | T_15 | | | | |
| MD83 | DEFAULT | 1 | 2 | Penjanje | Maksimum za uzlijetanje | T_15 | 1 000 | | | |
| MD83 | DEFAULT | 1 | 3 | Ubrzanje | Maksimum za penjanje | T_INT | | 1 319 | 218,1 | |
| MD83 | DEFAULT | 1 | 4 | Penjanje | Maksimum za penjanje | T_ZERO | 3 000 | | | |
| MD83 | DEFAULT | 1 | 5 | Ubrzanje | Maksimum za penjanje | T_ZERO | | 2 033,2 | 250 | |

▼**M2**

| ACFTID | Oznaka profila (Profile_ID) | Duljina faze | Broj koraka | Tip koraka | Režim rada motora | Zakrilca (Flap_ID) | Visina krajnje točke (ft) | Stopa penjanja (ft/min) | Kalibrirana brzina leta u krajnjoj točki (kt) | Postotak ubrzanja (Accelerate_Percent) (%) |
|---|---|---|---|---|---|---|---|---|---|---|
| MD83 | DEFAULT | 1 | 6 | Penjanje | Maksimum za penjanje | T_ZERO | 5 500 | | | |
| MD83 | DEFAULT | 1 | 7 | Penjanje | Maksimum za penjanje | T_ZERO | 7 500 | | | |
| MD83 | DEFAULT | 1 | 8 | Penjanje | Maksimum za penjanje | T_ZERO | 10 000 | | | |
| MD83 | DEFAULT | 2 | 1 | Penjanje | Maksimum za uzlijetanje | T_15 | | | | |
| MD83 | DEFAULT | 2 | 2 | Penjanje | Maksimum za uzlijetanje | T_15 | 1 000 | | | |
| MD83 | DEFAULT | 2 | 3 | Ubrzanje | Maksimum za penjanje | T_INT | | 1 239,2 | 222,2 | |
| MD83 | DEFAULT | 2 | 4 | Penjanje | Maksimum za penjanje | T_ZERO | 3 000 | | | |
| MD83 | DEFAULT | 2 | 5 | Ubrzanje | Maksimum za penjanje | T_ZERO | | 1 921,8 | 250 | |
| MD83 | DEFAULT | 2 | 6 | Penjanje | Maksimum za penjanje | T_ZERO | 5 500 | | | |
| MD83 | DEFAULT | 2 | 7 | Penjanje | Maksimum za penjanje | T_ZERO | 7 500 | | | |
| MD83 | DEFAULT | 2 | 8 | Penjanje | Maksimum za penjanje | T_ZERO | 10 000 | | | |
| MD83 | DEFAULT | 3 | 1 | Penjanje | Maksimum za uzlijetanje | T_15 | | | | |
| MD83 | DEFAULT | 3 | 2 | Penjanje | Maksimum za uzlijetanje | T_15 | 1 000 | | | |

▼**M2**

| ACFTID | Oznaka profila (Profile_ID) | Duljina faze | Broj koraka | Tip koraka | Režim rada motora | Zakrilca (Flap_ID) | Visina krajnje točke (ft) | Stopa penjanja (ft/min) | Kalibrirana brzina leta u krajnjoj točki (kt) | Postotak ubrzanja (Accelerate_Percent) (%) |
|---|---|---|---|---|---|---|---|---|---|---|
| MD83 | DEFAULT | 3 | 3 | Ubrzanje | Maksimum za penjanje | T_INT | | 1 158,7 | 226,6 | |
| MD83 | DEFAULT | 3 | 4 | Penjanje | Maksimum za penjanje | T_ZERO | 3 000 | | | |
| MD83 | DEFAULT | 3 | 5 | Ubrzanje | Maksimum za penjanje | T_ZERO | | 1 810 | 250 | |
| MD83 | DEFAULT | 3 | 6 | Penjanje | Maksimum za penjanje | T_ZERO | 5 500 | | | |
| MD83 | DEFAULT | 3 | 7 | Penjanje | Maksimum za penjanje | T_ZERO | 7 500 | | | |
| MD83 | DEFAULT | 3 | 8 | Penjanje | Maksimum za penjanje | T_ZERO | 10 000 | | | |
| MD83 | DEFAULT | 4 | 1 | Penjanje | Maksimum za uzlijetanje | T_15 | | | | |
| MD83 | DEFAULT | 4 | 2 | Penjanje | Maksimum za uzlijetanje | T_15 | 1 000 | | | |
| MD83 | DEFAULT | 4 | 3 | Ubrzanje | Maksimum za penjanje | T_INT | | 1 049,7 | 233,6 | |
| MD83 | DEFAULT | 4 | 4 | Penjanje | Maksimum za penjanje | T_ZERO | 3 000 | | | |
| MD83 | DEFAULT | 4 | 5 | Ubrzanje | Maksimum za penjanje | T_ZERO | | 1 649 | 250 | |
| MD83 | DEFAULT | 4 | 6 | Penjanje | Maksimum za penjanje | T_ZERO | 5 500 | | | |
| MD83 | DEFAULT | 4 | 7 | Penjanje | Maksimum za penjanje | T_ZERO | 7 500 | | | |

▼**M2**

| ACFTID | Oznaka profila (Profile_ID) | Duljina faze | Broj koraka | Tip koraka | Režim rada motora | Zakrilca (Flap_ID) | Visina krajnje točke (ft) | Stopa penjanja (ft/min) | Kalibrirana brzina leta u krajnjoj točki (kt) | Postotak ubrzanja (Accelerate_Percent) (%) |
|---|---|---|---|---|---|---|---|---|---|---|
| MD83 | DEFAULT | 4 | 8 | Penjanje | Maksimum za penjanje | T_ZERO | 10 000 | | | |
| MD83 | DEFAULT | 5 | 1 | Penjanje | Maksimum za uzlijetanje | T_15 | | | | |
| MD83 | DEFAULT | 5 | 2 | Penjanje | Maksimum za uzlijetanje | T_15 | 1 000 | | | |
| MD83 | DEFAULT | 5 | 3 | Ubrzanje | Maksimum za penjanje | T_INT | | 929,7 | 241,3 | |
| MD83 | DEFAULT | 5 | 4 | Penjanje | Maksimum za penjanje | T_ZERO | 3 000 | | | |
| MD83 | DEFAULT | 5 | 5 | Ubrzanje | Maksimum za penjanje | T_ZERO | | 1 482,4 | 250 | |
| MD83 | DEFAULT | 5 | 6 | Penjanje | Maksimum za penjanje | T_ZERO | 5 500 | | | |
| MD83 | DEFAULT | 5 | 7 | Penjanje | Maksimum za penjanje | T_ZERO | 7 500 | | | |
| MD83 | DEFAULT | 5 | 8 | Penjanje | Maksimum za penjanje | T_ZERO | 10 000 | | | |
| MD83 | ICAO_A | 1 | 1 | Penjanje | Maksimum za uzlijetanje | T_15 | | | | |
| MD83 | ICAO_A | 1 | 2 | Penjanje | Maksimum za uzlijetanje | T_15 | 1 500 | | | |
| MD83 | ICAO_A | 1 | 3 | Penjanje | Maksimum za penjanje | T_15 | 3 000 | | | |
| MD83 | ICAO_A | 1 | 4 | Ubrzanje | Maksimum za penjanje | T_INT | | 1 269,6 | 250 | |
| MD83 | ICAO_A | 1 | 5 | Penjanje | Maksimum za penjanje | T_ZERO | 5 500 | | | |

▼**M2**

| ACFTID | Oznaka profila (Profile_ID) | Duljina faze | Broj koraka | Tip koraka | Režim rada motora | Zakrilca (Flap_ID) | Visina krajnje točke (ft) | Stopa penjanja (ft/min) | Kalibrirana brzina leta u krajnjoj točki (kt) | Postotak ubrzanja (Accelerate_Percent) (%) |
|---|---|---|---|---|---|---|---|---|---|---|
| MD83 | ICAO_A | 1 | 6 | Penjanje | Maksimum za penjanje | T_ZERO | 7 500 | | | |
| MD83 | ICAO_A | 1 | 7 | Penjanje | Maksimum za penjanje | T_ZERO | 10 000 | | | |
| MD83 | ICAO_A | 2 | 1 | Penjanje | Maksimum za uzlijetanje | T_15 | | | | |
| MD83 | ICAO_A | 2 | 2 | Penjanje | Maksimum za uzlijetanje | T_15 | 1 500 | | | |
| MD83 | ICAO_A | 2 | 3 | Penjanje | Maksimum za penjanje | T_15 | 3 000 | | | |
| MD83 | ICAO_A | 2 | 4 | Ubrzanje | Maksimum za penjanje | T_INT | | 1 188,7 | 250 | |
| MD83 | ICAO_A | 2 | 5 | Penjanje | Maksimum za penjanje | T_ZERO | 5 500 | | | |
| MD83 | ICAO_A | 2 | 6 | Penjanje | Maksimum za penjanje | T_ZERO | 7 500 | | | |
| MD83 | ICAO_A | 2 | 7 | Penjanje | Maksimum za penjanje | T_ZERO | 10 000 | | | |
| MD83 | ICAO_A | 3 | 1 | Penjanje | Maksimum za uzlijetanje | T_15 | | | | |
| MD83 | ICAO_A | 3 | 2 | Penjanje | Maksimum za uzlijetanje | T_15 | 1 500 | | | |
| MD83 | ICAO_A | 3 | 3 | Penjanje | Maksimum za penjanje | T_15 | 3 000 | | | |
| MD83 | ICAO_A | 3 | 4 | Ubrzanje | Maksimum za penjanje | T_INT | | 1 109,5 | 250 | |
| MD83 | ICAO_A | 3 | 5 | Penjanje | Maksimum za penjanje | T_ZERO | 5 500 | | | |

▼**M2**

| ACFTID | Oznaka profila (Profile_ID) | Duljina faze | Broj koraka | Tip koraka | Režim rada motora | Zakrilca (Flap_ID) | Visina krajnje točke (ft) | Stopa penjanja (ft/min) | Kalibrirana brzina leta u krajnjoj točki (kt) | Postotak ubrzanja (Accelerate_Percent) (%) |
|---|---|---|---|---|---|---|---|---|---|---|
| MD83 | ICAO_A | 3 | 6 | Penjanje | Maksimum za penjanje | T_ZERO | 7 500 | | | |
| MD83 | ICAO_A | 3 | 7 | Penjanje | Maksimum za penjanje | T_ZERO | 10 000 | | | |
| MD83 | ICAO_A | 4 | 1 | Penjanje | Maksimum za uzlijetanje | T_15 | | | | |
| MD83 | ICAO_A | 4 | 2 | Penjanje | Maksimum za uzlijetanje | T_15 | 1 500 | | | |
| MD83 | ICAO_A | 4 | 3 | Penjanje | Maksimum za penjanje | T_15 | 3 000 | | | |
| MD83 | ICAO_A | 4 | 4 | Ubrzanje | Maksimum za penjanje | T_INT | | 989,8 | 250 | |
| MD83 | ICAO_A | 4 | 5 | Penjanje | Maksimum za penjanje | T_ZERO | 5 500 | | | |
| MD83 | ICAO_A | 4 | 6 | Penjanje | Maksimum za penjanje | T_ZERO | 7 500 | | | |
| MD83 | ICAO_A | 4 | 7 | Penjanje | Maksimum za penjanje | T_ZERO | 10 000 | | | |
| MD83 | ICAO_A | 5 | 1 | Penjanje | Maksimum za uzlijetanje | T_15 | | | | |
| MD83 | ICAO_A | 5 | 2 | Penjanje | Maksimum za uzlijetanje | T_15 | 1 500 | | | |
| MD83 | ICAO_A | 5 | 3 | Penjanje | Maksimum za penjanje | T_15 | 3 000 | | | |
| MD83 | ICAO_A | 5 | 4 | Ubrzanje | Maksimum za penjanje | T_INT | | 880,1 | 250 | |
| MD83 | ICAO_A | 5 | 5 | Penjanje | Maksimum za penjanje | T_ZERO | 5 500 | | | |

▼**M2**

| ACFTID | Oznaka profila (Profile_ID) | Duljina faze | Broj koraka | Tip koraka | Režim rada motora | Zakrilca (Flap_ID) | Visina krajnje točke (ft) | Stopa penjanja (ft/min) | Kalibrirana brzina leta u krajnjoj točki (kt) | Postotak ubrzanja (Accelerate_Percent) (%) |
|---|---|---|---|---|---|---|---|---|---|---|
| MD83 | ICAO_A | 5 | 6 | Penjanje | Maksimum za penjanje | T_ZERO | 7 500 | | | |
| MD83 | ICAO_A | 5 | 7 | Penjanje | Maksimum za penjanje | T_ZERO | 10 000 | | | |
| MD83 | ICAO_B | 1 | 1 | Penjanje | Maksimum za uzlijetanje | T_15 | | | | |
| MD83 | ICAO_B | 1 | 2 | Penjanje | Maksimum za uzlijetanje | T_15 | 1 000 | | | |
| MD83 | ICAO_B | 1 | 3 | Ubrzanje | Maksimum za uzlijetanje | T_INT | | 1 546,8 | 221,1 | |
| MD83 | ICAO_B | 1 | 4 | Penjanje | Maksimum za penjanje | T_ZERO | 3 000 | | | |
| MD83 | ICAO_B | 1 | 5 | Ubrzanje | Maksimum za penjanje | T_ZERO | | 2 056,2 | 250 | |
| MD83 | ICAO_B | 1 | 6 | Penjanje | Maksimum za penjanje | T_ZERO | 5 500 | | | |
| MD83 | ICAO_B | 1 | 7 | Penjanje | Maksimum za penjanje | T_ZERO | 7 500 | | | |
| MD83 | ICAO_B | 1 | 8 | Penjanje | Maksimum za penjanje | T_ZERO | 10 000 | | | |
| MD83 | ICAO_B | 2 | 1 | Penjanje | Maksimum za uzlijetanje | T_15 | | | | |
| MD83 | ICAO_B | 2 | 2 | Penjanje | Maksimum za uzlijetanje | T_15 | 1 000 | | | |
| MD83 | ICAO_B | 2 | 3 | Ubrzanje | Maksimum za uzlijetanje | T_INT | | 1 462 | 225,1 | |
| MD83 | ICAO_B | 2 | 4 | Penjanje | Maksimum za penjanje | T_ZERO | 3 000 | | | |

▼**M2**

| ACFTID | Oznaka profila (Profile_ID) | Duljina faze | Broj koraka | Tip koraka | Režim rada motora | Zakrilca (Flap_ID) | Visina krajnje točke (ft) | Stopa penjanja (ft/min) | Kalibrirana brzina leta u krajnjoj točki (kt) | Postotak ubrzanja (Accelerate_Percent) (%) |
|---|---|---|---|---|---|---|---|---|---|---|
| MD83 | ICAO_B | 2 | 5 | Ubrzanje | Maksimum za penjanje | T_ZERO | | 1 941,6 | 250 | |
| MD83 | ICAO_B | 2 | 6 | Penjanje | Maksimum za penjanje | T_ZERO | 5 500 | | | |
| MD83 | ICAO_B | 2 | 7 | Penjanje | Maksimum za penjanje | T_ZERO | 7 500 | | | |
| MD83 | ICAO_B | 2 | 8 | Penjanje | Maksimum za penjanje | T_ZERO | 10 000 | | | |
| MD83 | ICAO_B | 3 | 1 | Penjanje | Maksimum za uzlijetanje | T_15 | | | | |
| MD83 | ICAO_B | 3 | 2 | Penjanje | Maksimum za uzlijetanje | T_15 | 1 000 | | | |
| MD83 | ICAO_B | 3 | 3 | Ubrzanje | Maksimum za uzlijetanje | T_INT | | 1 376,3 | 229,2 | |
| MD83 | ICAO_B | 3 | 4 | Penjanje | Maksimum za penjanje | T_ZERO | 3 000 | | | |
| MD83 | ICAO_B | 3 | 5 | Ubrzanje | Maksimum za penjanje | T_ZERO | | 1 837,5 | 250 | |
| MD83 | ICAO_B | 3 | 6 | Penjanje | Maksimum za penjanje | T_ZERO | 5 500 | | | |
| MD83 | ICAO_B | 3 | 7 | Penjanje | Maksimum za penjanje | T_ZERO | 7 500 | | | |
| MD83 | ICAO_B | 3 | 8 | Penjanje | Maksimum za penjanje | T_ZERO | 10 000 | | | |
| MD83 | ICAO_B | 4 | 1 | Penjanje | Maksimum za uzlijetanje | T_15 | | | | |
| MD83 | ICAO_B | 4 | 2 | Penjanje | Maksimum za uzlijetanje | T_15 | 1 000 | | | |

▼**M2**

| ACFTID | Oznaka profila (Profile_ID) | Duljina faze | Broj koraka | Tip koraka | Režim rada motora | Zakrilca (Flap_ID) | Visina krajnje točke (ft) | Stopa penjanja (ft/min) | Kalibrirana brzina leta u krajnjoj točki (kt) | Postotak ubrzanja (Accelerate_Percent) (%) |
|---|---|---|---|---|---|---|---|---|---|---|
| MD83 | ICAO_B | 4 | 3 | Ubrzanje | Maksimum za uzlijetanje | T_INT | | 1 249,5 | 236,1 | |
| MD83 | ICAO_B | 4 | 4 | Penjanje | Maksimum za penjanje | T_ZERO | 3 000 | | | |
| MD83 | ICAO_B | 4 | 5 | Ubrzanje | Maksimum za penjanje | T_ZERO | | 1 671,1 | 250 | |
| MD83 | ICAO_B | 4 | 6 | Penjanje | Maksimum za penjanje | T_ZERO | 5 500 | | | |
| MD83 | ICAO_B | 4 | 7 | Penjanje | Maksimum za penjanje | T_ZERO | 7 500 | | | |
| MD83 | ICAO_B | 4 | 8 | Penjanje | Maksimum za penjanje | T_ZERO | 10 000 | | | |
| MD83 | ICAO_B | 5 | 1 | Penjanje | Maksimum za uzlijetanje | T_15 | | | | |
| MD83 | ICAO_B | 5 | 2 | Penjanje | Maksimum za uzlijetanje | T_15 | 1 000 | | | |
| MD83 | ICAO_B | 5 | 3 | Ubrzanje | Maksimum za uzlijetanje | T_INT | | 1 130,3 | 243,6 | |
| MD83 | ICAO_B | 5 | 4 | Penjanje | Maksimum za penjanje | T_ZERO | 3 000 | | | |
| MD83 | ICAO_B | 5 | 5 | Ubrzanje | Maksimum za penjanje | T_ZERO | | 1 504,9 | 250 | |
| MD83 | ICAO_B | 5 | 6 | Penjanje | Maksimum za penjanje | T_ZERO | 5 500 | | | |
| MD83 | ICAO_B | 5 | 7 | Penjanje | Maksimum za penjanje | T_ZERO | 7 500 | | | |

▼**M2**

| ACFTID | Oznaka profila (Profile_ID) | Duljina faze | Broj koraka | Tip koraka | Režim rada motora | Zakrilca (Flap_ID) | Visina krajnje točke (ft) | Stopa penjanja (ft/min) | Kalibrirana brzina leta u krajnjoj točki (kt) | Postotak ubrzanja (Accelerate_Percent) (%) |
|---|---|---|---|---|---|---|---|---|---|---|
| MD83 | ICAO_B | 5 | 8 | Penjanje | Maksimum za penjanje | T_ZERO | 10 000 | | | |
| MD9025 | DEFAULT | 1 | 1 | Penjanje | Maksimum za uzlijetanje | EXT/11 | | | | |
| MD9025 | DEFAULT | 1 | 2 | Penjanje | Maksimum za uzlijetanje | EXT/11 | 1 000 | | | |
| MD9025 | DEFAULT | 1 | 3 | Ubrzanje | Maksimum za uzlijetanje | RET/0 | | 2 280 | 194 | |
| MD9025 | DEFAULT | 1 | 4 | Penjanje | Maksimum za penjanje | RET/0 | 3 000 | | | |
| MD9025 | DEFAULT | 1 | 5 | Ubrzanje | Maksimum za penjanje | RET/0 | | 1 000 | 250 | |
| MD9025 | DEFAULT | 1 | 6 | Penjanje | Maksimum za penjanje | RET/0 | 10 000 | | | |
| MD9025 | DEFAULT | 2 | 1 | Penjanje | Maksimum za uzlijetanje | EXT/11 | | | | |
| MD9025 | DEFAULT | 2 | 2 | Penjanje | Maksimum za uzlijetanje | EXT/11 | 1 000 | | | |
| MD9025 | DEFAULT | 2 | 3 | Ubrzanje | Maksimum za uzlijetanje | RET/0 | | 2 150 | 193 | |
| MD9025 | DEFAULT | 2 | 4 | Penjanje | Maksimum za penjanje | RET/0 | 3 000 | | | |
| MD9025 | DEFAULT | 2 | 5 | Ubrzanje | Maksimum za penjanje | RET/0 | | 1 000 | 250 | |
| MD9025 | DEFAULT | 2 | 6 | Penjanje | Maksimum za penjanje | RET/0 | 10 000 | | | |
| MD9025 | DEFAULT | 3 | 1 | Penjanje | Maksimum za uzlijetanje | EXT/11 | | | | |

▼**M2**

| ACFTID | Oznaka profila (Profile_ID) | Duljina faze | Broj koraka | Tip koraka | Režim rada motora | Zakrilca (Flap_ID) | Visina krajnje točke (ft) | Stopa penjanja (ft/min) | Kalibrirana brzina leta u krajnjoj točki (kt) | Postotak ubrzanja (Accelerate_Percent) (%) |
|---|---|---|---|---|---|---|---|---|---|---|
| MD9025 | DEFAULT | 3 | 2 | Penjanje | Maksimum za uzlijetanje | EXT/11 | 1 000 | | | |
| MD9025 | DEFAULT | 3 | 3 | Ubrzanje | Maksimum za uzlijetanje | RET/0 | | 2 031 | 192 | |
| MD9025 | DEFAULT | 3 | 4 | Penjanje | Maksimum za penjanje | RET/0 | 3 000 | | | |
| MD9025 | DEFAULT | 3 | 5 | Ubrzanje | Maksimum za penjanje | RET/0 | | 1 000 | 250 | |
| MD9025 | DEFAULT | 3 | 6 | Penjanje | Maksimum za penjanje | RET/0 | 10 000 | | | |
| MD9025 | DEFAULT | 4 | 1 | Penjanje | Maksimum za uzlijetanje | EXT/11 | | | | |
| MD9025 | DEFAULT | 4 | 2 | Penjanje | Maksimum za uzlijetanje | EXT/11 | 1 000 | | | |
| MD9025 | DEFAULT | 4 | 3 | Ubrzanje | Maksimum za uzlijetanje | RET/0 | | 1 916 | 191 | |
| MD9025 | DEFAULT | 4 | 4 | Penjanje | Maksimum za penjanje | RET/0 | 3 000 | | | |
| MD9025 | DEFAULT | 4 | 5 | Ubrzanje | Maksimum za penjanje | RET/0 | | 1 000 | 250 | |
| MD9025 | DEFAULT | 4 | 6 | Penjanje | Maksimum za penjanje | RET/0 | 10 000 | | | |
| MD9025 | DEFAULT | 5 | 1 | Penjanje | Maksimum za uzlijetanje | EXT/11 | | | | |
| MD9025 | DEFAULT | 5 | 2 | Penjanje | Maksimum za uzlijetanje | EXT/11 | 1 000 | | | |
| MD9025 | DEFAULT | 5 | 3 | Ubrzanje | Maksimum za uzlijetanje | RET/0 | | 1 840 | 190 | |

▼**M2**

| ACFTID | Oznaka profila (Profile_ID) | Duljina faze | Broj koraka | Tip koraka | Režim rada motora | Zakrilca (Flap_ID) | Visina krajnje točke (ft) | Stopa penjanja (ft/min) | Kalibrirana brzina leta u krajnjoj točki (kt) | Postotak ubrzanja (Accelerate_Percent) (%) |
|---|---|---|---|---|---|---|---|---|---|---|
| MD9025 | DEFAULT | 5 | 4 | Penjanje | Maksimum za penjanje | RET/0 | 3 000 | | | |
| MD9025 | DEFAULT | 5 | 5 | Ubrzanje | Maksimum za penjanje | RET/0 | | 1 000 | 250 | |
| MD9025 | DEFAULT | 5 | 6 | Penjanje | Maksimum za penjanje | RET/0 | 10 000 | | | |
| MD9028 | DEFAULT | 1 | 1 | Penjanje | Maksimum za uzlijetanje | EXT/11 | | | | |
| MD9028 | DEFAULT | 1 | 2 | Penjanje | Maksimum za uzlijetanje | EXT/11 | 1 000 | | | |
| MD9028 | DEFAULT | 1 | 3 | Ubrzanje | Maksimum za uzlijetanje | RET/0 | | 2 666 | 196 | |
| MD9028 | DEFAULT | 1 | 4 | Penjanje | Maksimum za penjanje | RET/0 | 3 000 | | | |
| MD9028 | DEFAULT | 1 | 5 | Ubrzanje | Maksimum za penjanje | RET/0 | | 1 000 | 250 | |
| MD9028 | DEFAULT | 1 | 6 | Penjanje | Maksimum za penjanje | RET/0 | 10 000 | | | |
| MD9028 | DEFAULT | 2 | 1 | Penjanje | Maksimum za uzlijetanje | EXT/11 | | | | |
| MD9028 | DEFAULT | 2 | 2 | Penjanje | Maksimum za uzlijetanje | EXT/11 | 1 000 | | | |
| MD9028 | DEFAULT | 2 | 3 | Ubrzanje | Maksimum za uzlijetanje | RET/0 | | 2 525 | 194 | |
| MD9028 | DEFAULT | 2 | 4 | Penjanje | Maksimum za penjanje | RET/0 | 3 000 | | | |
| MD9028 | DEFAULT | 2 | 5 | Ubrzanje | Maksimum za penjanje | RET/0 | | 1 000 | 250 | |

▼**M2**

| ACFTID | Oznaka profila (Profile_ID) | Duljina faze | Broj koraka | Tip koraka | Režim rada motora | Zakrilca (Flap_ID) | Visina krajnje točke (ft) | Stopa penjanja (ft/min) | Kalibrirana brzina leta u krajnjoj točki (kt) | Postotak ubrzanja (Accelerate_Percent) (%) |
|---|---|---|---|---|---|---|---|---|---|---|
| MD9028 | DEFAULT | 2 | 6 | Penjanje | Maksimum za penjanje | RET/0 | 10 000 | | | |
| MD9028 | DEFAULT | 3 | 1 | Penjanje | Maksimum za uzlijetanje | EXT/11 | | | | |
| MD9028 | DEFAULT | 3 | 2 | Penjanje | Maksimum za uzlijetanje | EXT/11 | 1 000 | | | |
| MD9028 | DEFAULT | 3 | 3 | Ubrzanje | Maksimum za uzlijetanje | RET/0 | | 2 391 | 193 | |
| MD9028 | DEFAULT | 3 | 4 | Penjanje | Maksimum za penjanje | RET/0 | 3 000 | | | |
| MD9028 | DEFAULT | 3 | 5 | Ubrzanje | Maksimum za penjanje | RET/0 | | 1 000 | 250 | |
| MD9028 | DEFAULT | 3 | 6 | Penjanje | Maksimum za penjanje | RET/0 | 10 000 | | | |
| MD9028 | DEFAULT | 4 | 1 | Penjanje | Maksimum za uzlijetanje | EXT/11 | | | | |
| MD9028 | DEFAULT | 4 | 2 | Penjanje | Maksimum za uzlijetanje | EXT/11 | 1 000 | | | |
| MD9028 | DEFAULT | 4 | 3 | Ubrzanje | Maksimum za uzlijetanje | RET/0 | | 2 263 | 192 | |
| MD9028 | DEFAULT | 4 | 4 | Penjanje | Maksimum za penjanje | RET/0 | 3 000 | | | |
| MD9028 | DEFAULT | 4 | 5 | Ubrzanje | Maksimum za penjanje | RET/0 | | 1 000 | 250 | |
| MD9028 | DEFAULT | 4 | 6 | Penjanje | Maksimum za penjanje | RET/0 | 10 000 | | | |

▼**M2**

| ACFTID | Oznaka profila (Profile_ID) | Duljina faze | Broj koraka | Tip koraka | Režim rada motora | Zakrilca (Flap_ID) | Visina krajnje točke (ft) | Stopa penjanja (ft/min) | Kalibrirana brzina leta u krajnjoj točki (kt) | Postotak ubrzanja (Accelerate_Percent) (%) |
|---|---|---|---|---|---|---|---|---|---|---|
| MD9028 | DEFAULT | 5 | 1 | Penjanje | Maksimum za uzlijetanje | EXT/11 | | | | |
| MD9028 | DEFAULT | 5 | 2 | Penjanje | Maksimum za uzlijetanje | EXT/11 | 1 000 | | | |
| MD9028 | DEFAULT | 5 | 3 | Ubrzanje | Maksimum za uzlijetanje | RET/0 | | 2 180 | 189 | |
| MD9028 | DEFAULT | 5 | 4 | Penjanje | Maksimum za penjanje | RET/0 | 3 000 | | | |
| MD9028 | DEFAULT | 5 | 5 | Ubrzanje | Maksimum za penjanje | RET/0 | | 1 000 | 250 | |
| MD9028 | DEFAULT | 5 | 6 | Penjanje | Maksimum za penjanje | RET/0 | 10 000 | | | |
| MU3001 | DEFAULT | 1 | 1 | Penjanje | Maksimum za uzlijetanje | 10 | | | | |
| MU3001 | DEFAULT | 1 | 2 | Ubrzanje | Maksimum za uzlijetanje | 10 | | 1 130 | 142 | |
| MU3001 | DEFAULT | 1 | 3 | Penjanje | Maksimum za uzlijetanje | 1 | 1 500 | | | |
| MU3001 | DEFAULT | 1 | 4 | Ubrzanje | Maksimum za uzlijetanje | 1 | | 1 130 | 200 | |
| MU3001 | DEFAULT | 1 | 5 | Penjanje | Maksimum za penjanje | ZERO | 3 000 | | | |
| MU3001 | DEFAULT | 1 | 6 | Ubrzanje | Maksimum za penjanje | ZERO | | 1 555 | 250 | |
| MU3001 | DEFAULT | 1 | 7 | Penjanje | Maksimum za penjanje | ZERO | 5 500 | | | |
| MU3001 | DEFAULT | 1 | 8 | Penjanje | Maksimum za penjanje | ZERO | 7 500 | | | |

▼**M2**

| ACFTID | Oznaka profila (Profile_ID) | Duljina faze | Broj koraka | Tip koraka | Režim rada motora | Zakrilca (Flap_ID) | Visina krajnje točke (ft) | Stopa penjanja (ft/min) | Kalibrirana brzina leta u krajnjoj točki (kt) | Postotak ubrzanja (Accelerate_Percent) (%) |
|---|---|---|---|---|---|---|---|---|---|---|
| MU3001 | DEFAULT | 1 | 9 | Penjanje | Maksimum za penjanje | ZERO | 10 000 | | | |
| PA30 | DEFAULT | 1 | 1 | Penjanje | Maksimum za uzlijetanje | 15-D | | | | |
| PA30 | DEFAULT | 1 | 2 | Ubrzanje | Maksimum za uzlijetanje | 15-D | | 415 | 79 | |
| PA30 | DEFAULT | 1 | 3 | Ubrzanje | Maksimum za uzlijetanje | 15-D | | 500 | 113 | |
| PA30 | DEFAULT | 1 | 4 | Penjanje | Maksimum za uzlijetanje | ZERO-D | 1 500 | | | |
| PA30 | DEFAULT | 1 | 5 | Penjanje | Maksimum za uzlijetanje | ZERO-D | 3 000 | | | |
| PA30 | DEFAULT | 1 | 6 | Penjanje | Maksimum za penjanje | ZERO-D | 5 500 | | | |
| PA30 | DEFAULT | 1 | 7 | Penjanje | Maksimum za penjanje | ZERO-D | 7 500 | | | |
| PA30 | DEFAULT | 1 | 8 | Penjanje | Maksimum za penjanje | ZERO-D | 10 000 | | | |
| PA42 | DEFAULT | 1 | 1 | Penjanje | Maksimum za uzlijetanje | ZER-DN | | | | |
| PA42 | DEFAULT | 1 | 2 | Ubrzanje | Maksimum za uzlijetanje | ZER-DN | | 1 000 | 118 | |
| PA42 | DEFAULT | 1 | 3 | Penjanje | Maksimum za uzlijetanje | ZER-DN | 1 000 | | | |
| PA42 | DEFAULT | 1 | 4 | Ubrzanje | Maksimum za penjanje | ZERO | | 1 000 | 154 | |
| PA42 | DEFAULT | 1 | 5 | Penjanje | Maksimum za penjanje | ZERO | 3 000 | | | |

▼**M2**

| ACFTID | Oznaka profila (Profile_ID) | Duljina faze | Broj koraka | Tip koraka | Režim rada motora | Zakrilca (Flap_ID) | Visina krajnje točke (ft) | Stopa penjanja (ft/min) | Kalibrirana brzina leta u krajnjoj točki (kt) | Postotak ubrzanja (Accelerate_Percent) (%) |
|---|---|---|---|---|---|---|---|---|---|---|
| PA42 | DEFAULT | 1 | 6 | Penjanje | Maksimum za penjanje | ZERO | 4 000 | | | |
| PA42 | DEFAULT | 1 | 7 | Penjanje | Maksimum za penjanje | ZERO | 6 000 | | | |
| PA42 | DEFAULT | 1 | 8 | Penjanje | Maksimum za penjanje | ZERO | 8 000 | | | |
| PA42 | DEFAULT | 1 | 9 | Penjanje | Maksimum za penjanje | ZERO | 10 000 | | | |
| SD330 | DEFAULT | 1 | 1 | Penjanje | Maksimum za uzlijetanje | 10 | | | | |
| SD330 | DEFAULT | 1 | 2 | Penjanje | Maksimum za uzlijetanje | 10 | 1 000 | | | |
| SD330 | DEFAULT | 1 | 3 | Ubrzanje | Maksimum za uzlijetanje | 10 | | 971 | 117 | |
| SD330 | DEFAULT | 1 | 4 | Ubrzanje | Maksimum za penjanje | INTR | | 728 | 137 | |
| SD330 | DEFAULT | 1 | 5 | Penjanje | Maksimum za penjanje | ZERO | 3 000 | | | |
| SD330 | DEFAULT | 1 | 6 | Penjanje | Maksimum za penjanje | ZERO | 5 500 | | | |
| SD330 | DEFAULT | 1 | 7 | Penjanje | Maksimum za penjanje | ZERO | 7 500 | | | |
| SD330 | DEFAULT | 1 | 8 | Penjanje | Maksimum za penjanje | ZERO | 10 000 | | | |
| SF340 | DEFAULT | 1 | 1 | Penjanje | Maksimum za uzlijetanje | 15 | | | | |
| SF340 | DEFAULT | 1 | 2 | Penjanje | Maksimum za uzlijetanje | 15 | 1 000 | | | |

▼M2

| ACFTID | Oznaka profila (Profile_ID) | Duljina faze | Broj koraka | Tip koraka | Režim rada motora | Zakrilca (Flap_ID) | Visina krajnje točke (ft) | Stopa penjanja (ft/min) | Kalibrirana brzina leta u krajnjoj točki (kt) | Postotak ubrzanja (Accelerate_Percent) (%) |
|---|---|---|---|---|---|---|---|---|---|---|
| SF340 | DEFAULT | 1 | 3 | Ubrzanje | Maksimum za uzlijetanje | 15 | | 1 821 | 127 | |
| SF340 | DEFAULT | 1 | 4 | Ubrzanje | Maksimum za penjanje | 5 | | 1 366 | 147 | |
| SF340 | DEFAULT | 1 | 5 | Penjanje | Maksimum za penjanje | ZERO | 3 000 | | | |
| SF340 | DEFAULT | 1 | 6 | Penjanje | Maksimum za penjanje | ZERO | 5 500 | | | |
| SF340 | DEFAULT | 1 | 7 | Penjanje | Maksimum za penjanje | ZERO | 7 500 | | | |
| SF340 | DEFAULT | 1 | 8 | Penjanje | Maksimum za penjanje | ZERO | 10 000 | | | |
| SF340 | DEFAULT | 2 | 1 | Penjanje | Maksimum za uzlijetanje | 15 | | | | |
| SF340 | DEFAULT | 2 | 2 | Penjanje | Maksimum za uzlijetanje | 15 | 1 000 | | | |
| SF340 | DEFAULT | 2 | 3 | Ubrzanje | Maksimum za uzlijetanje | 15 | | 1 450 | 133 | |
| SF340 | DEFAULT | 2 | 4 | Ubrzanje | Maksimum za penjanje | 5 | | 1 088 | 153 | |
| SF340 | DEFAULT | 2 | 5 | Penjanje | Maksimum za penjanje | ZERO | 3 000 | | | |
| SF340 | DEFAULT | 2 | 6 | Penjanje | Maksimum za penjanje | ZERO | 5 500 | | | |
| SF340 | DEFAULT | 2 | 7 | Penjanje | Maksimum za penjanje | ZERO | 7 500 | | | |
| SF340 | DEFAULT | 2 | 8 | Penjanje | Maksimum za penjanje | ZERO | 10 000 | | | |

▼M2

*Tablica I-5*

**Unaprijed zadane fiksne točke profila**

| ACFTID | Opis | Tip motora | Broj motora | Klasifikacija po masi | Kategorija vlasnika | MGTOW (lb) | MGLW (lb) | Najveća duljina za slijetanje (ft) | Najveća razina statičkog potiska na razini mora (lb) | Poglavlje o buci | NPD oznaka (NPD_ID) | Parametar snage | Oznaka spektralne klase za prilaz | Oznaka spektralne klase za odlet | Oznaka lateralne usmjerenosti |
|---|---|---|---|---|---|---|---|---|---|---|---|---|---|---|---|
| 1900D | Beech 1900D/PT6A67 | Turboelisni | 2 | Veliki | Komercijalni | 16 950 | 14 940 | 1 696 | 3 367 | 1 | PT6A67 | CNT (lb) | 213 | 109 | Elisa |
| 707 | Boeing 707-120/JT3C | Mlazni | 4 | Teški | Komercijalni | 302 400 | 188 900 | 6 682 | 10 120 | 1 | JT4A | CNT (lb) | 208 | 107 | Krilo |
| 707120 | Boeing 707-120B/JT3D-3 | Mlazni | 4 | Teški | Komercijalni | 302 400 | 188 900 | 6 893 | 14 850 | 1 | JT3D | CNT (lb) | 208 | 107 | Krilo |
| 707320 | Boeing 707-320B/JT3D-7 | Mlazni | 4 | Teški | Komercijalni | 334 000 | 247 000 | 5 622 | 19 000 | 1 | JT3D | CNT (lb) | 208 | 107 | Krilo |
| 707QN | Boeing 707-320B/JT3D-7QN | Mlazni | 4 | Teški | Komercijalni | 334 000 | 247 000 | 5 622 | 19 000 | 2 | JT3DQ | CNT (lb) | 208 | 106 | Krilo |
| 717200 | Boeing 717-200/BR 715 | Mlazni | 2 | Veliki | Komercijalni | 121 000 | 110 000 | 4 600 | 18 000 | 3 | BR715 | CNT (lb) | 203 | 105 | Trup |
| 720 | Boeing 720/JT3C | Mlazni | 4 | Veliki | Komercijalni | 223 500 | 155 600 | 4 871 | 10 120 | 1 | JT4A | CNT (lb) | 208 | 107 | Krilo |
| 720B | Boeing 720B/JT3D-3 | Mlazni | 4 | Veliki | Komercijalni | 234 000 | 175 000 | 5 717 | 18 000 | 1 | JT3D | CNT (lb) | 208 | 107 | Krilo |
| 727100 | Boeing 727-100/JT8D-7 | Mlazni | 3 | Veliki | Komercijalni | 169 500 | 142 500 | 4 867 | 14 000 | 1 | 3JT8D | CNT (lb) | 201 | 101 | Trup |
| 727200 | Boeing 727-200/JT8D-7 | Mlazni | 3 | Veliki | Komercijalni | 217 600 | 163 300 | 5 571 | 11 895 | 1 | 3JT8D | CNT (lb) | 201 | 101 | Trup |
| 727D15 | Boeing 727-200/JT8D-15 | Mlazni | 3 | Veliki | Komercijalni | 208 000 | 169 000 | 4 922 | 15 500 | 1 | 3JT8D | CNT (lb) | 201 | 101 | Trup |
| 727D17 | Boeing 727-200/JT8D-17 | Mlazni | 3 | Veliki | Komercijalni | 208 000 | 169 000 | 5 444 | 16 000 | 2 | 3JT8DQ | CNT (lb) | 201 | 101 | Trup |
| 727EM1 | FEDX 727-100/JT8D-7 | Mlazni | 3 | Veliki | Komercijalni | 169 500 | 142 500 | 4 867 | 14 000 | 3 | 3JT8E7 | CNT (lb) | 201 | 101 | Trup |

▼M2

| ACFTID | Opis | Tip motora | Broj motora | Klasifikacija po masi | Kategorija vlasnika | MGTOW (lb) | MGLW (lb) | Najveća duljina za slijetanje (ft) | Najveća razina statičkog potiska na razini mora (lb) | Poglavlje o buci | NPD oznaka (NPD_ID) | Parametar snage | Oznaka spektralne klase za prilaz | Oznaka spektralne klase za odlet | Oznaka lateralne usmjerenosti |
|---|---|---|---|---|---|---|---|---|---|---|---|---|---|---|---|
| 727EM2 | FEDX 727-200/JT8D-15 | Mlazni | 3 | Veliki | Komercijalni | 208 000 | 169 000 | 4 922 | 15 500 | 3 | 3JT8E5 | CNT (lb) | 201 | 101 | Trup |
| 727Q15 | Boeing 727-200/JT8D-15QN | Mlazni | 3 | Veliki | Komercijalni | 208 000 | 169 000 | 4 922 | 15 500 | 2 | 3JT8DQ | CNT (lb) | 201 | 101 | Trup |
| 727Q7 | Boeing 727-100/JT8D-7QN | Mlazni | 3 | Veliki | Komercijalni | 169 500 | 142 500 | 4 867 | 14 000 | 2 | 3JT8DQ | CNT (lb) | 201 | 101 | Trup |
| 727Q9 | Boeing 727-200/JT8D-9 | Mlazni | 3 | Veliki | Komercijalni | 191 000 | 160 000 | 5 444 | 14 500 | 2 | 3JT8DQ | CNT (lb) | 201 | 101 | Trup |
| 727QF | UPS 727-100 22C 25C | Mlazni | 3 | Veliki | Komercijalni | 169 000 | 142 500 | 4 448 | 15 380 | 3 | TAY651 | CNT (lb) | 201 | 101 | Trup |
| 737 | Boeing 737/JT8D-9 | Mlazni | 2 | Veliki | Komercijalni | 109 000 | 98 000 | 3 900 | 14 500 | 1 | 2JT8DW | CNT (lb) | 201 | 101 | Krilo |
| 737300 | Boeing 737-300/CFM56-3B-1 | Mlazni | 2 | Veliki | Komercijalni | 135 000 | 114 000 | 4 580 | 20 000 | 3 | CFM563 | CNT (lb) | 202 | 102 | Krilo |
| 7373B2 | Boeing 737-300/CFM56-3B-2 | Mlazni | 2 | Veliki | Komercijalni | 139 500 | 114 000 | 4 580 | 22 000 | 3 | CFM563 | CNT (lb) | 202 | 102 | Krilo |
| 737400 | Boeing 737-400/CFM56-3C-1 | Mlazni | 2 | Veliki | Komercijalni | 150 000 | 124 000 | 5 062 | 23 500 | 3 | CFM563 | CNT (lb) | 202 | 102 | Krilo |
| 737500 | Boeing 737-500/CFM56-3C-1 | Mlazni | 2 | Veliki | Komercijalni | 133 500 | 111 000 | 4 551 | 20 000 | 3 | CFM563 | CNT (lb) | 202 | 102 | Krilo |
| 737700 | Boeing 737-700/CFM56-7B24 | Mlazni | 2 | Veliki | Komercijalni | 154 500 | 129 200 | 4 445 | 24 000 | 3 | CF567B | CNT (lb) | 203 | 104 | Krilo |
| 737800 | Boeing 737-800/CFM56-7B26 | Mlazni | 2 | Veliki | Komercijalni | 174 200 | 146 300 | 5 435 | 26 300 | 3 | CF567B | CNT (lb) | 203 | 104 | Krilo |
| 737D17 | Boeing 737-200/JT8D-17 | Mlazni | 2 | Veliki | Komercijalni | 124 000 | 107 000 | 4 244 | 16 000 | 2 | 2JT8QW | CNT (lb) | 201 | 101 | Krilo |

▼M2

| ACFTID | Opis | Tip motora | Broj motora | Klasifikacija po masi | Kategorija vlasnika | MGTOW (lb) | MGLW (lb) | Najveća duljina za slijetanje (ft) | Najveća razina statičkog potiska na razini mora (lb) | Poglavlje o buci | NPD oznaka (NPD_ID) | Parametar snage | Oznaka spektralne klase za prilaz | Oznaka spektralne klase za odlet | Oznaka lateralne usmjerenosti |
|---|---|---|---|---|---|---|---|---|---|---|---|---|---|---|---|
| 737N17 | Boeing 737-200/JT8D-17 Nordam B737 LGW Hushkit | Mlazni | 2 | Veliki | Komercijalni | 124 000 | 107 000 | 4 244 | 16 000 | 3 | 2JT8DN | CNT (lb) | 202 | 104 | Krilo |
| 737N9 | Boeing 737/JT8D-9 Nordam B737 LGW Hushkit | Mlazni | 2 | Veliki | Komercijalni | 109 000 | 98 000 | 3 900 | 14 500 | 3 | 2JT8DN | CNT (lb) | 202 | 104 | Krilo |
| 737QN | Boeing 737/JT8D-9QN | Mlazni | 2 | Veliki | Komercijalni | 109 000 | 98 000 | 3 900 | 14 500 | 2 | 2JT8QW | CNT (lb) | 201 | 101 | Krilo |
| 747100 | Boeing 747-100/JT9DBD | Mlazni | 4 | Teški | Komercijalni | 733 000 | 516 600 | 5 727 | 33 042 | 2 | JT9DBD | CNT (lb) | 209 | 107 | Krilo |
| 74710Q | Boeing 747-100/JT9D-7QN | Mlazni | 4 | Teški | Komercijalni | 733 000 | 564 000 | 6 200 | 45 500 | 3 | JT9DFL | CNT (lb) | 207 | 107 | Krilo |
| 747200 | Boeing 747-200/JT9D-7 | Mlazni | 4 | Teški | Komercijalni | 775 000 | 564 000 | 6 200 | 45 500 | 3 | JT9DFL | CNT (lb) | 207 | 107 | Krilo |
| 74720A | Boeing 747-200/JT9D-7A | Mlazni | 4 | Teški | Komercijalni | 785 000 | 564 000 | 6 200 | 46 300 | 3 | JT9D7Q | CNT (lb) | 207 | 107 | Krilo |
| 74720B | Boeing 747-200/JT9D-7Q | Mlazni | 4 | Teški | Komercijalni | 800 000 | 630 000 | 6 200 | 53 000 | 3 | JT9D7Q | CNT (lb) | 207 | 107 | Krilo |
| 747400 | Boeing 747-400/PW4056 | Mlazni | 4 | Teški | Komercijalni | 875 000 | 652 000 | 6 989 | 56 800 | 3 | PW4056 | CNT (lb) | 207 | 107 | Krilo |
| 7478 | Boeing 747-8F/GEnx-2B67 | Mlazni | 4 | Teški | Komercijalni | 987 000 | 757 000 | 7 900 | 68 000 | 4 | GENX67 | CNT (lb) | 205 | 107 | Krilo |
| 747SP | Boeing 747SP/JT9D-7 | Mlazni | 4 | Teški | Komercijalni | 702 000 | 475 000 | 5 911 | 45 500 | 3 | JT9DFL | CNT (lb) | 207 | 107 | Krilo |
| 757300 | Boeing 757-300/RB211-535E4B | Mlazni | 2 | Veliki | Komercijalni | 275 000 | 224 000 | 5 651 | 43 100 | 3 | RR535E | CNT (lb) | 203 | 103 | Krilo |
| 757PW | Boeing 757-200/PW2037 | Mlazni | 2 | Veliki | Komercijalni | 255 000 | 210 000 | 4 790 | 38 300 | 3 | PW2037 | CNT (lb) | 203 | 103 | Krilo |

▼M2

| ACFTID | Opis | Tip motora | Broj motora | Klasifikacija po masi | Kategorija vlasnika | MGTOW (lb) | MGLW (lb) | Najveća duljina za slijetanje (ft) | Najveća razina statičkog potiska na razini mora (lb) | Poglavlje o buci | NPD oznaka (NPD_ID) | Parametar snage | Oznaka spektralne klase za prilaz | Oznaka spektralne klase za odlet | Oznaka lateralne usmjerenosti |
|---|---|---|---|---|---|---|---|---|---|---|---|---|---|---|---|
| 757RR | Boeing 757-200/RB211-535E4 | Mlazni | 2 | Veliki | Komercijalni | 255 000 | 210 000 | 4 640 | 40 100 | 3 | RR535E | CNT (lb) | 203 | 103 | Krilo |
| 767300 | Boeing 767-300/PW4060 | Mlazni | 2 | Teški | Komercijalni | 407 000 | 320 000 | 4 710 | 60 000 | 3 | 2CF680 | CNT (lb) | 203 | 103 | Krilo |
| 767400 | Boeing 767-400ER/CF6-80C2B(F) | Mlazni | 2 | Teški | Komercijalni | 450 000 | 340 000 | 6 000 | 58 685 | 3 | CF680C | CNT (lb) | 205 | 102 | Krilo |
| 767CF6 | Boeing 767-200/CF6-80A | Mlazni | 2 | Teški | Komercijalni | 315 500 | 270 000 | 4 700 | 48 000 | 3 | 2CF680 | CNT (lb) | 203 | 103 | Krilo |
| 767JT9 | Boeing 767-200/JT9D-7R4D | Mlazni | 2 | Teški | Komercijalni | 351 000 | 270 000 | 4 744 | 48 000 | 3 | 2CF680 | CNT (lb) | 203 | 103 | Krilo |
| 777200 | Boeing 777-200/GE90-76B | Mlazni | 2 | Teški | Komercijalni | 656 000 | 470 000 | 4 450 | 90 000 | 3 | GE90 | CNT (lb) | 205 | 105 | Krilo |
| 777300 | Boeing 777-300/Trent 892 | Mlazni | 2 | Teški | Komercijalni | 660 000 | 524 000 | 6 012 | 77 000 | 0 | TRENT8 | CNT (lb) | 203 | 105 | Krilo |
| 7773ER | Boeing 777-300ER/GE90-115B-EIS | Mlazni | 2 | Teški | Komercijalni | 775 000 | 554 000 | 5 805 | 115 000 | 3 | GE9015 | CNT (lb) | 204 | 107 | Krilo |
| 7878R | Boeing 787-8/T1000-C/01 Family Plan Cert | Mlazni | 2 | Teški | Komercijalni | 502 500 | 380 000 | 5 090 | 70 000 | 4 | T1KBFP | CNT (lb) | 205 | 103 | Krilo |
| A300-622R | Airbus A300-622R/PW4158 | Mlazni | 2 | Teški | Komercijalni | 378 533 | 308 647 | 4 735 | 58 000 | 3 | PW4158 | CNT (lb) | 202 | 103 | Krilo |
| A300B4-203 | Airbus A300B4-200/CF6-50C2 | Mlazni | 2 | Teški | Komercijalni | 364 000 | 295 000 | 5 367 | 52 500 | 3 | 2CF650 | CNT (lb) | 203 | 103 | Krilo |
| A310-304 | Airbus A310-304/GE CF6-80C2A2 | Mlazni | 2 | Teški | Komercijalni | 346 126 | 273 373 | 4 682 | 53 500 | 3 | A310 | CNT (lb) | 204 | 103 | Krilo |

▼M2

| ACFTID | Opis | Tip motora | Broj motora | Klasifikacija po masi | Kategorija vlasnika | MGTOW (lb) | MGLW (lb) | Najveća duljina za slijetanje (ft) | Najveća razina statičkog potiska na razini mora (lb) | Poglavlje o buci | NPD oznaka (NPD_ID) | Parametar snage | Oznaka spektralne klase za prilaz | Oznaka spektralne klase za odlet | Oznaka lateralne usmjerenosti |
|---|---|---|---|---|---|---|---|---|---|---|---|---|---|---|---|
| A319-131 | Airbus A319-131/V2522-A5 | Mlazni | 2 | Veliki | Komercijalni | 166 449 | 137 789 | 4 364 | 22 000 | 3 | V2522A | CNT (lb) | 205 | 103 | Krilo |
| A320-211 | Airbus A320-211/ CFM56-5A1 | Mlazni | 2 | Veliki | Komercijalni | 169 756 | 142 198 | 4 753 | 25 000 | 3 | CFM565 | CNT (lb) | 202 | 103 | Krilo |
| A320-232 | Airbus A320-232/V2527-A5 | Mlazni | 2 | Veliki | Komercijalni | 169 756 | 145 505 | 4 917 | 26 500 | 3 | V2527A | CNT (lb) | 205 | 103 | Krilo |
| A321-232 | Airbus A321-232/IAE V2530-A5 | Mlazni | 2 | Veliki | Komercijalni | 196 211 | 166 449 | 5 587 | 30 000 | 3 | V2530 | CNT (lb) | 202 | 103 | Krilo |
| A330-301 | Airbus A330-301/GE CF6-80 E1A2 | Mlazni | 2 | Teški | Komercijalni | 478 400 | 383 604 | 5 966 | 67 500 | 3 | CF680E | CNT (lb) | 202 | 102 | Krilo |
| A330-343 | Airbus A330-343/RR Trent 772B | Mlazni | 2 | Teški | Komercijalni | 513 677 | 412 264 | 5 512 | 71 100 | 3 | TRENT7 | CNT (lb) | 205 | 102 | Krilo |
| A340-211 | Airbus A340-211/ CFM56-5C2 | Mlazni | 4 | Teški | Komercijalni | 573 200 | 399 036 | 5 900 | 31 200 | 3 | CF565C | CNT (lb) | 206 | 107 | Krilo |
| A340-642 | Airbus A340-642/RR Trent 556 | Mlazni | 4 | Teški | Komercijalni | 804 687 | 564 383 | 6 919 | 56 000 | 4 | TRENT5 | CNT (lb) | 205 | 102 | Krilo |
| A380-841 | Airbus A380-841/RR Trent 970 | Mlazni | 4 | Teški | Komercijalni | 1 254 430 | 862 007 | 6 752 | 70 000 | 4 | TRENT9 | CNT (lb) | 205 | 105 | Krilo |
| A380-861 | Airbus A380-861/EA GP7270 | Mlazni | 4 | Teški | Komercijalni | 1 254 430 | 862 007 | 6 837 | 70 000 | 4 | GP7270 | CNT (lb) | 206 | 105 | Krilo |
| BAC111 | BAC 111/SPEY MK511-14 | Mlazni | 2 | Veliki | Komercijalni | 89 600 | 82 000 | 4 449 | 11 400 | 2 | 2JT8D | CNT (lb) | 201 | 101 | Trup |
| BAE146 | BAe 146-200/ALF502R-5 | Mlazni | 4 | Veliki | Komercijalni | 93 000 | 81 000 | 3 770 | 6 970 | 3 | AL502R | CNT (lb) | 206 | 108 | Krilo |

▼M2

| ACFTID | Opis | Tip motora | Broj motora | Klasifikacija po masi | Kategorija vlasnika | MGTOW (lb) | MGLW (lb) | Najveća duljina za slijetanje (ft) | Najveća razina statičkog potiska na razini mora (lb) | Poglavlje o buci | NPD oznaka (NPD_ID) | Parametar snage | Oznaka spektralne klase za prilaz | Oznaka spektralne klase za odlet | Oznaka lateralne usmjerenosti |
|---|---|---|---|---|---|---|---|---|---|---|---|---|---|---|---|
| BAE300 | BAe 146-300/ALF502R-5 | Mlazni | 4 | Veliki | Komercijalni | 97 500 | 84 500 | 3 960 | 6 970 | 3 | AL502R | CNT (lb) | 206 | 108 | Krilo |
| BEC58P | Raytheon BARON 58P/ TS10-520-L | Klipni | 2 | Mali | Opće zrakoplovstvo | 6 100 | 6 100 | 2 733 | 779 | 0 | TSIO52 | CNT (% maksimalnog statičkog potiska) | 215 | 109 | Elisa |
| CIT3 | Cessna Citation III/ TFE731-3-100S | Mlazni | 2 | Veliki | Opće zrakoplovstvo | 20 000 | 17 000 | 2 770 | 3 650 | 3 | TF7313 | CNT (lb) | 216 | 113 | Trup |
| CL600 | Canadair CL-600/ ALF502L | Mlazni | 2 | Veliki | Opće zrakoplovstvo | 36 000 | 33 000 | 3 300 | 7 500 | 3 | AL502L | CNT (lb) | 216 | 113 | Trup |
| CL601 | Canadair CL-601/CF34-3A | Mlazni | 2 | Veliki | Opće zrakoplovstvo | 43 100 | 36 000 | 3 550 | 9 220 | 3 | CF34 | CNT (lb) | 216 | 113 | Trup |
| CNA172 | Cessna 172R/Lycoming IO-360-L2A | Klipni | 1 | Mali | Opće zrakoplovstvo | 2 450 | 2 450 | 1 695 | 436 | 0 | IO360L | CNT (% maksimalnog statičkog potiska) | 215 | 109 | Elisa |
| CNA182 | Cessna 182H/Continental O-470-R | Klipni | 1 | Mali | Opće zrakoplovstvo | 2 800 | 2 800 | 1 544 | 965 | 2 | O470R | CNT (lb) | 215 | 113 | Elisa |
| CNA206 | Cessna 206H/Lycoming IO-540-AC | Klipni | 1 | Mali | Opće zrakoplovstvo | 3 600 | 3 600 | 1 880 | 798 | 0 | IO540 | Drugo (RPM) | 215 | 109 | Elisa |
| CNA208 | Cessna 208/PT6A-114 | Turboelisni | 1 | Mali | Opće zrakoplovstvo | 8 750 | 8 500 | 1 740 | 2 300 | 3 | PT6A114 | CNT (lb) | 210 | 109 | Elisa |
| CNA20T | Cessna T206H/Lycoming TIO-540-AJ1A | Klipni | 1 | Mali | Opće zrakoplovstvo | 3 600 | 3 600 | 1 880 | 825 | 0 | TIO540 | Drugo (RPM) | 215 | 109 | Elisa |

▼M2

| ACFTID | Opis | Tip motora | Broj motora | Klasifikacija po masi | Kategorija vlasnika | MGTOW (lb) | MGLW (lb) | Najveća duljina za slijetanje (ft) | Najveća razina statičkog potiska na razini mora (lb) | Poglavlje o buci | NPD oznaka (NPD_ID) | Parametar snage | Oznaka spektralne klase za prilaz | Oznaka spektralne klase za odlet | Oznaka lateralne usmjerenosti |
|---|---|---|---|---|---|---|---|---|---|---|---|---|---|---|---|
| CNA441 | Cessna CONQUEST II /TPE331-8 | Turboelisni | 2 | Mali | Komercijalni | 9 900 | 9 400 | 1 939 | 1 535 | 0 | TPE331 | CNT (% maksimalnog statičkog potiska) | 210 | 111 | Elisa |
| CNA500 | Cessna Citation II/JT15D-4 | Mlazni | 2 | Veliki | Opće zrakoplovstvo | 14 700 | 14 000 | 3 050 | 2 500 | 3 | JT15D1 | CNT (lb) | 216 | 113 | Trup |
| CNA510 | Cessna Mustang Model 510/PW615F | Mlazni | 2 | Mali | Komercijalni | 8 645 | 7 200 | 3 010 | 1 466 | 0 | PW615F | CNT (lb) | 203 | 113 | Trup |
| CNA525C | Cessna Citation CJ4 525C /FJ44-4A | Mlazni | 2 | Mali | Komercijalni | 16 950 | 15 500 | 3 010 | 3 600 | 4 | FJ44-4 | CNT (lb) | 235 | 136 | Trup |
| CNA55B | Cessna 550 Citation Bravo/PW530A | Mlazni | 2 | Veliki | Opće zrakoplovstvo | 14 800 | 13 500 | 3 010 | 2 863 | 0 | PW530A | CNT (lb) | 203 | 113 | Trup |
| CNA560E | Cessna Citation Encore 560/PW535A | Mlazni | 2 | Mali | Komercijalni | 16 300 | 13 680 | 3 000 | 3 313 | 3 | 2PW535 | CNT (lb) | 238 | 138 | Trup |
| CNA560U | Cessna Citation Ultra 560/ JT15D-5D | Mlazni | 2 | Mali | Komercijalni | 16 300 | 13 680 | 2 700 | 3 029 | 3 | 2J155D | CNT (lb) | 237 | 113 | Trup |
| CNA560-XL | Cessna Citation Excel 560/PW545A | Mlazni | 2 | Mali | Komercijalni | 20 000 | 16 830 | 3 000 | 3 824 | 3 | PW545A | CNT (lb) | 238 | 137 | Trup |
| CNA680 | Cessna Citation Sovereign 680/PW306C | Mlazni | 2 | Mali | Komercijalni | 30 000 | 24 390 | 3 010 | 5 749 | 3 | PW306C | CNT (lb) | 236 | 136 | Trup |
| CNA750 | Cessna Citation X/Rolls Royce Allison AE3007C | Mlazni | 2 | Veliki | Opće zrakoplovstvo | 35 700 | 31 800 | 3 500 | 6 407 | 3 | AE300C | CNT (lb) | 202 | 105 | Trup |
| CONCRD | Concorde/OLY593 | Mlazni | 4 | Teški | Komercijalni | 400 000 | 245 000 | 10 600 | 38 100 | 0 | OLY593 | CNT (lb) | 206 | 106 | Krilo |

▼M2

| ACFTID | Opis | Tip motora | Broj motora | Klasifikacija po masi | Kategorija vlasnika | MGTOW (lb) | MGLW (lb) | Najveća duljina za slijetanje (ft) | Najveća razina statičkog potiska na razini mora (lb) | Poglavlje o buci | NPD oznaka (NPD_ID) | Parametar snage | Oznaka spektralne klase za prilaz | Oznaka spektralne klase za odlet | Oznaka lateralne usmjerenosti |
|---|---|---|---|---|---|---|---|---|---|---|---|---|---|---|---|
| CRJ9-ER | Bombardier CL-600-2D15/CL-600-2D24/CF34-8C5 | Mlazni | 2 | Veliki | Komercijalni | 82 500 | 73 500 | 5 779 | 13 525 | 3 | CF348C5 | CNT (lb) | 216 | 113 | Trup |
| CRJ9-LR | Bombardier CL-600-2D15/CL-600-2D24/CF34-8C5 | Mlazni | 2 | Veliki | Komercijalni | 84 500 | 75 100 | 5 680 | 13 525 | 3 | CF348C5 | CNT (lb) | 216 | 113 | Trup |
| CVR580 | Convair CV-580/ALL 501-D15 | Turboelisni | 2 | Veliki | Komercijalni | 58 000 | 52 000 | 4 256 | 8 100 | 0 | 501D13 | CNT (% maksimalnog statičkog potiska) | 214 | 112 | Elisa |
| DC1010 | McDonnell Douglas DC10-10/CF6-6D | Mlazni | 3 | Teški | Komercijalni | 455 000 | 363 000 | 5 820 | 40 000 | 3 | CF66D | CNT (lb) | 203 | 101 | Krilo |
| DC1030 | McDonnell Douglas DC10-30/CF6-50C2 | Mlazni | 3 | Teški | Komercijalni | 572 000 | 403 000 | 5 418 | 53 200 | 3 | CF66D | CNT (lb) | 203 | 101 | Krilo |
| DC1040 | McDonnell Douglas DC10-40/JT9D-20 | Mlazni | 3 | Teški | Komercijalni | 555 000 | 403 000 | 6 020 | 49 400 | 3 | CF66D | CNT (lb) | 203 | 101 | Krilo |
| DC3 | Douglas DC-3/R1820-86 | Klipni | 2 | Veliki | Komercijalni | 28 000 | 24 500 | 2 222 | 3 120 | 0 | 2R2800 | CNT (% maksimalnog statičkog potiska) | 213 | 110 | Elisa |
| DC6 | Douglas DC-6/R2800-CB17 | Klipni | 4 | Veliki | Komercijalni | 106 000 | 95 000 | 3 010 | 4 180 | 0 | 4R2800 | CNT (% maksimalnog statičkog potiska) | 213 | 110 | Elisa |
| DC820 | Douglas DC-8-20/JT4A | Mlazni | 4 | Teški | Komercijalni | 317 600 | 194 400 | 6 527 | 11 850 | 1 | JT4A | CNT (lb) | 208 | 107 | Krilo |

▼M2

| ACFTID | Opis | Tip motora | Broj motora | Klasifikacija po masi | Kategorija vlasnika | MGTOW (lb) | MGLW (lb) | Najveća duljina za slijetanje (ft) | Najveća razina statičkog potiska na razini mora (lb) | Poglavlje o buci | NPD oznaka (NPD_ID) | Parametar snage | Oznaka spektralne klase za prilaz | Oznaka spektralne klase za odlet | Oznaka lateralne usmjerenosti |
|---|---|---|---|---|---|---|---|---|---|---|---|---|---|---|---|
| DC850 | Douglas DC-8-50/JT3D-3B | Mlazni | 4 | Teški | Komercijalni | 325 000 | 240 000 | 5 400 | 18 000 | 1 | JT3D | CNT (lb) | 208 | 107 | Krilo |
| DC860 | Douglas DC-8-60/JT3D-7 | Mlazni | 4 | Teški | Komercijalni | 355 000 | 275 000 | 5 310 | 19 000 | 1 | JT3D | CNT (lb) | 208 | 107 | Krilo |
| DC870 | Douglas DC-8-70/ CFM56-2C-5 | Mlazni | 4 | Teški | Komercijalni | 355 000 | 258 000 | 6 500 | 22 000 | 3 | CFM562 | CNT (lb) | 206 | 106 | Krilo |
| DC8QN | Douglas DC-8-60/JT8D-7QN | Mlazni | 4 | Teški | Komercijalni | 355 000 | 275 000 | 5 310 | 19 000 | 2 | JT3DQ | CNT (lb) | 208 | 106 | Krilo |
| DC910 | McDonnell Douglas DC-9-10/JT8D-7 | Mlazni | 2 | Veliki | Komercijalni | 90 700 | 81 700 | 5 030 | 14 000 | 1 | 2JT8D | CNT (lb) | 201 | 101 | Trup |
| DC930 | McDonnell Douglas DC-9-30/JT8D-9 | Mlazni | 2 | Veliki | Komercijalni | 114 000 | 102 000 | 4 680 | 14 500 | 1 | 2JT8D | CNT (lb) | 201 | 101 | Trup |
| DC93LW | McDonnell Douglas DC-9-30/JT8D-9 w/ ABS Lightweight hushkit | Mlazni | 2 | Veliki | Komercijalni | 114 000 | 102 000 | 4 680 | 14 500 | 3 | 2JT8DL | CNT (lb) | 201 | 101 | Trup |
| DC950 | McDonnell Douglas DC-9-50/JT8D-17 | Mlazni | 2 | Veliki | Komercijalni | 121 000 | 110 000 | 4 880 | 16 000 | 2 | 2JT8DQ | CNT (lb) | 201 | 101 | Trup |
| DC95HW | McDonnell Douglas DC-9-50/JT8D17 w/ ABS Heavyweight hushkit | Mlazni | 2 | Veliki | Komercijalni | 121 000 | 110 000 | 4 880 | 16 000 | 3 | 2JT8DH | CNT (lb) | 201 | 101 | Trup |
| DC9Q7 | McDonnell Douglas DC-9-10/JT8D-7QN | Mlazni | 2 | Veliki | Komercijalni | 90 700 | 81 700 | 5 030 | 14 000 | 2 | 2JT8DQ | CNT (lb) | 201 | 101 | Trup |
| DC9Q9 | McDonnell Douglas DC-9-30/JT8D-9QN | Mlazni | 2 | Veliki | Komercijalni | 114 000 | 102 000 | 4 680 | 14 500 | 2 | 2JT8DQ | CNT (lb) | 201 | 101 | Trup |

▼M2

| ACFTID | Opis | Tip motora | Broj motora | Klasifikacija po masi | Kategorija vlasnika | MGTOW (lb) | MGLW (lb) | Najveća duljina za slijetanje (ft) | Najveća razina statičkog potiska na razini mora (lb) | Poglavlje o buci | NPD oznaka (NPD_ID) | Parametar snage | Oznaka spektralne klase za prilaz | Oznaka spektralne klase za odlet | Oznaka lateralne usmjerenosti |
|---|---|---|---|---|---|---|---|---|---|---|---|---|---|---|---|
| DHC6 | De Havilland DASH 6/ PT6A-27 | Turboelisni | 2 | Mali | Komercijalni | 12 500 | 12 300 | 1 500 | 2 000 | 0 | PT6A27 | CNT (% maksimalnog statičkog potiska) | 210 | 109 | Elisa |
| DHC6QP | De Havilland DASH 6/ PT6A-27 Raisbeck Quiet PropMod | Turboelisni | 2 | Mali | Komercijalni | 12 500 | 12 300 | 1 500 | 2 000 | 0 | RAISQP | CNT (% maksimalnog statičkog potiska) | 210 | 109 | Elisa |
| DHC7 | De Havilland DASH 7/ PT6A-50 | Turboelisni | 4 | Veliki | Komercijalni | 41 000 | 39 000 | 2 150 | 2 850 | 3 | PT6A50 | CNT (% maksimalnog statičkog potiska) | 213 | 112 | Elisa |
| DHC8 | Bombardier de Havilland DASH 8-100/PW121 | Turboelisni | 2 | Veliki | Komercijalni | 34 500 | 33 900 | 3 000 | 4 750 | 3 | PW120 | CNT (% maksimalnog statičkog potiska) | 213 | 112 | Elisa |
| DHC830 | Bombardier de Havilland DASH 8-300/PW123 | Turboelisni | 2 | Veliki | Komercijalni | 43 000 | 42 000 | 3 500 | 4 918 | 3 | PW120 | CNT (% maksimalnog statičkog potiska) | 213 | 112 | Elisa |
| DO228 | Dornier 228-202/TPE 311-5 | Turboelisni | 2 | Veliki | Komercijalni | 13 669 | 13 448 | 2 375 | 2 240 | 3 | TPE331-5 | CNT (lb) | 216 | 110 | Elisa |
| DO328 | Dornier 328-100/PW119C | Turboelisni | 2 | Veliki | Komercijalni | 30 843 | 29 167 | 3 825 | 6 745 | 3 | PW119C | CNT (lb) | 214 | 109 | Elisa |
| ECLIP-SE500 | Eclipse 500/PW610F | Mlazni | 2 | Mali | Opće zrakoplovstvo | 6 000 | 5 600 | 2 389 | 1 031 | 3 | PW610F | CNT (lb) | 201 | 103 | Trup |
| EMB120 | Embraer 120 ER/Pratt & Whitney PW118 | Turboelisni | 2 | Veliki | Komercijalni | 26 433 | 25 794 | 5 571 | 4 000 | 3 | EPW118 | CNT (lb) | 213 | 109 | Elisa |

▼M2

| ACFTID | Opis | Tip motora | Broj motora | Klasifikacija po masi | Kategorija vlasnika | MGTOW (lb) | MGLW (lb) | Najveća duljina za slijetanje (ft) | Najveća razina statičkog potiska na razini mora (lb) | Poglavlje o buci | NPD oznaka (NPD_ID) | Parametar snage | Oznaka spektralne klase za prilaz | Oznaka spektralne klase za odlet | Oznaka lateralne usmjerenosti |
|---|---|---|---|---|---|---|---|---|---|---|---|---|---|---|---|
| EMB145 | Embraer 145 ER/Allison AE3007 | Mlazni | 2 | Veliki | Komercijalni | 45 420 | 41 230 | 4 232 | 7 500 | 3 | AE3007 | CNT (lb) | 216 | 113 | Trup |
| EMB14L | Embraer 145 LR/Allison AE3007A1 | Mlazni | 2 | Veliki | Komercijalni | 48 500 | 42 550 | 4 232 | 7 500 | 3 | AE3007 | CNT (lb) | 216 | 113 | Trup |
| EMB170 | Embraer ERJ170-100 | Mlazni | 2 | Veliki | Komercijalni | 82 012 | 72 312 | 4 029 | 13 800 | 3 | CF348E | CNT (lb) | 216 | 113 | Krilo |
| EMB175 | Embraer ERJ170-200 | Mlazni | 2 | Veliki | Komercijalni | 85 517 | 74 957 | 4 130 | 13 800 | 3 | CF348E | CNT (lb) | 216 | 113 | Krilo |
| EMB190 | Embraer ERJ190-100 | Mlazni | 2 | Veliki | Komercijalni | 114 199 | 97 003 | 4 081 | 18 500 | 3 | CF3410E | CNT (lb) | 205 | 105 | Krilo |
| EMB195 | Embraer ERJ190-200 | Mlazni | 2 | Veliki | Komercijalni | 115 280 | 100 972 | 4 183 | 18 500 | 3 | CF3410E | CNT (lb) | 205 | 105 | Krilo |
| F10062 | Fokker 100/TAY 620-15 | Mlazni | 2 | Veliki | Komercijalni | 95 000 | 85 500 | 4 560 | 13 900 | 3 | TAY620 | CNT (lb) | 201 | 101 | Trup |
| F10065 | Fokker 100/TAY 650-15 | Mlazni | 2 | Veliki | Komercijalni | 98 000 | 88 000 | 4 704 | 15 100 | 3 | TAY650 | CNT (lb) | 201 | 101 | Trup |
| F28MK2 | Fokker F-28-2000/ RB183MK555 | Mlazni | 2 | Veliki | Komercijalni | 65 000 | 59 000 | 3 540 | 9 850 | 2 | RB183 | CNT (lb) | 216 | 104 | Trup |
| F28MK4 | Fokker F-28-4000/ RB183MK555 | Mlazni | 2 | Veliki | Komercijalni | 73 000 | 64 000 | 3 546 | 9 900 | 2 | RB183P | CNT (lb) | 216 | 104 | Trup |
| FAL20 | Dassault FALCON 20/ CF700-2D-2 | Mlazni | 2 | Veliki | Opće zrakoplovstvo | 28 700 | 27 300 | 2 490 | 4 500 | 2 | CF700 | CNT (lb) | 203 | 113 | Trup |
| GII | Gulfstream GII/SPEY 511-8 | Mlazni | 2 | Veliki | Opće zrakoplovstvo | 64 800 | 58 500 | 3 200 | 11 400 | 2 | SPEYHK | CNT (lb) | 216 | 104 | Trup |
| GIIB | Gulfstream GIIB/GIII — SPEY 511-8 | Mlazni | 2 | Veliki | Opće zrakoplovstvo | 69 700 | 58 500 | 3 250 | 11 400 | 2 | SPEYHK | CNT (lb) | 216 | 104 | Trup |

▼M2

| ACFTID | Opis | Tip motora | Broj motora | Klasifikacija po masi | Kategorija vlasnika | MGTOW (lb) | MGLW (lb) | Najveća duljina za slijetanje (ft) | Najveća razina statičkog potiska na razini mora (lb) | Poglavlje o buci | NPD oznaka (NPD_ID) | Parametar snage | Oznaka spektralne klase za prilaz | Oznaka spektralne klase za odlet | Oznaka lateralne usmjerenosti |
|---|---|---|---|---|---|---|---|---|---|---|---|---|---|---|---|
| GIV | Gulfstream GIV-SP/TAY 611-8 | Mlazni | 2 | Veliki | Opće zrakoplovstvo | 74 600 | 66 000 | 3 190 | 13 850 | 3 | TAYGIV | CNT (lb) | 203 | 113 | Trup |
| GV | Gulfstream GV/BR 710 | Mlazni | 2 | Veliki | Opće zrakoplovstvo | 90 500 | 75 300 | 2 760 | 14 750 | 3 | BR710 | CNT (lb) | 205 | 105 | Trup |
| HS748A | Hawker Siddeley HS-748/ DART MK532-2 | Turboelisni | 2 | Veliki | Komercijalni | 46 500 | 43 000 | 3 360 | 5 150 | 2 | RDA532 | CNT (% maksimalnog statičkog potiska) | 212 | 110 | Elisa |
| IA1125 | IAI-1125 ASTRA/ TFE731-3A | Mlazni | 2 | Veliki | Opće zrakoplovstvo | 23 500 | 20 700 | 3 689 | 3 700 | 3 | TF7313 | CNT (lb) | 216 | 113 | Trup |
| L1011 | Lockheed Martin L-1011/ RB211-22B | Mlazni | 3 | Teški | Komercijalni | 430 000 | 358 000 | 5 693 | 42 000 | 3 | RB2112 | CNT (lb) | 203 | 101 | Krilo |
| L10115 | Lockheed Martin L-1011-500/RB211-224B | Mlazni | 3 | Teški | Komercijalni | 510 000 | 368 000 | 6 800 | 50 000 | 3 | RB2112 | CNT (lb) | 203 | 101 | Krilo |
| L188 | Lockheed L-188C/ALL 501-D13 | Turboelisni | 4 | Veliki | Komercijalni | 116 000 | 98 100 | 4 960 | 8 000 | 0 | T56A7 | CNT (% maksimalnog statičkog potiska) | 214 | 112 | Elisa |
| LEAR25 | Learjet 25/CJ610-8 | Mlazni | 2 | Veliki | Opće zrakoplovstvo | 15 000 | 13 500 | 2 620 | 2 950 | 2 | CJ610 | CNT (lb) | 202 | 113 | Trup |
| LEAR35 | Learjet 36/TFE731-2 | Mlazni | 2 | Veliki | Opće zrakoplovstvo | 18 300 | 15 300 | 3 076 | 3 500 | 3 | TF7312 | CNT (lb) | 216 | 113 | Trup |
| MD11GE | McDonnell Douglas MD-11/CF6-80C2D1F | Mlazni | 3 | Teški | Komercijalni | 682 400 | 433 300 | 5 131 | 61 500 | 3 | 2CF68D | CNT (lb) | 203 | 103 | Krilo |

▼M2

| ACFTID | Opis | Tip motora | Broj motora | Klasifikacija po masi | Kategorija vlasnika | MGTOW (lb) | MGLW (lb) | Najveća duljina za slijetanje (ft) | Najveća razina statičkog potiska na razini mora (lb) | Poglavlje o buci | NPD oznaka (NPD_ID) | Parametar snage | Oznaka spektralne klase za prilaz | Oznaka spektralne klase za odlet | Oznaka lateralne usmjerenosti |
|---|---|---|---|---|---|---|---|---|---|---|---|---|---|---|---|
| MD11PW | McDonnell Douglas MD-11/PW 4460 | Mlazni | 3 | Teški | Komercijalni | 682 400 | 433 300 | 4 681 | 60 000 | 3 | PW4460 | CNT (lb) | 203 | 103 | Krilo |
| MD81 | McDonnell Douglas MD-81/JT8D-209 | Mlazni | 2 | Veliki | Komercijalni | 140 000 | 128 000 | 4 860 | 19 300 | 3 | 2JT8D2 | CNT (lb) | 204 | 104 | Trup |
| MD82 | McDonnell Douglas MD-82/JT8D-217A | Mlazni | 2 | Veliki | Komercijalni | 149 500 | 130 000 | 4 920 | 20 900 | 3 | 2JT8D2 | CNT (lb) | 204 | 104 | Trup |
| MD83 | McDonnell Douglas MD-83/JT8D-219 | Mlazni | 2 | Veliki | Komercijalni | 160 000 | 139 500 | 5 200 | 21 700 | 3 | 2JT8D2 | CNT (lb) | 204 | 104 | Trup |
| MD9025 | McDonnell Douglas MD-90/V2525-D5 | Mlazni | 2 | Veliki | Komercijalni | 156 000 | 142 000 | 3 000 | 25 000 | 3 | V2525 | CNT (lb) | 205 | 105 | Trup |
| MD9028 | McDonnell Douglas MD-90/V2528-D5 | Mlazni | 2 | Veliki | Komercijalni | 156 000 | 142 000 | 3 000 | 28 000 | 3 | V2525 | CNT (lb) | 205 | 105 | Trup |
| MU3001 | Mitsubishi MU300-10 Diamond II/JT15D-5 | Mlazni | 2 | Veliki | Opće zrakoplovstvo | 14 100 | 13 200 | 2 800 | 2 500 | 3 | JT15D5 | CNT (lb) | 203 | 113 | Trup |
| PA28 | Piper Warrior PA-28-161/O-320-D3G | Klipni | 1 | Mali | Opće zrakoplovstvo | 2 325 | 2 325 | 1 695 | 400 | 0 | O320D3 | Drugo (RPM) | 213 | 113 | Elisa |
| PA30 | Piper Twin Comanche PA-30/IO-320-B1A | Klipni | 2 | Mali | Opće zrakoplovstvo | 3 600 | 3 600 | 1 654 | 777 | 0 | IO320B | CNT (lb) | 213 | 113 | Elisa |
| PA31 | Piper Navajo Chieftain PA-31-350/TIO-5 | Klipni | 2 | Mali | Opće zrakoplovstvo | 7 000 | 7 000 | 1 850 | 1 481 | 0 | TIO542 | Drugo (RPM) | 213 | 109 | Elisa |
| PA42 | Piper PA-42/PT6A-41 | Turboelisni | 2 | Mali | Opće zrakoplovstvo | 11 200 | 10 330 | 3 300 | 1 800 | 3 | PT6A41 | CNT (lb) | 213 | 109 | Elisa |

▼M2

| ACFTID | Opis | Tip motora | Broj motora | Klasifikacija po masi | Kategorija vlasnika | MGTOW (lb) | MGLW (lb) | Najveća duljina za slijetanje (ft) | Najveća razina statičkog potiska na razini mora (lb) | Poglavlje o buci | NPD oznaka (NPD_ID) | Parametar snage | Oznaka spektralne klase za prilaz | Oznaka spektralne klase za odlet | Oznaka lateralne usmjerenosti |
|---|---|---|---|---|---|---|---|---|---|---|---|---|---|---|---|
| SABR80 | NA Sabreliner 80 | Mlazni | 2 | Veliki | Opće zrakoplovstvo | 33 720 | 27 290 | 2 490 | 3 962 | 2 | CF700 | CNT (lb) | 203 | 113 | Trup |
| SD330 | Short SD3-30/PT6A-45AR | Turboelisni | 2 | Veliki | Komercijalni | 22 900 | 22 600 | 3 650 | 2 670 | 3 | PT6A45 | CNT (% maksimalnog statičkog potiska) | 211 | 109 | Elisa |
| SF340 | Saab SF340B/CT7-9B | Turboelisni | 2 | Veliki | Komercijalni | 27 300 | 26 500 | 3 470 | 4 067 | 3 | CT75 | CNT (% maksimalnog statičkog potiska) | 211 | 110 | Elisa |

▼M2

*Tablica I-6*

**Unaprijed zadane mase**

| ACFTID | Duljina faze | Masa (lb) |
|---|---|---|
| 1900D | 1 | 15 500 |
| 1900D | 2 | 16 950 |
| 707 | 1 | 175 000 |
| 707 | 2 | 185 000 |
| 707 | 3 | 200 000 |
| 707 | 4 | 220 000 |
| 707 | 5 | 245 000 |
| 707 | 6 | 257 000 |
| 707120 | 1 | 175 000 |
| 707120 | 2 | 185 000 |
| 707120 | 3 | 200 000 |
| 707120 | 4 | 220 000 |
| 707120 | 5 | 245 000 |
| 707120 | 6 | 257 000 |
| 707320 | 1 | 214 000 |
| 707320 | 2 | 228 000 |
| 707320 | 3 | 240 000 |
| 707320 | 4 | 260 000 |
| 707320 | 5 | 286 000 |
| 707320 | 6 | 312 000 |
| 707320 | 7 | 330 000 |
| 707QN | 1 | 214 000 |
| 707QN | 2 | 228 000 |
| 707QN | 3 | 240 000 |
| 707QN | 4 | 260 000 |
| 707QN | 5 | 286 000 |
| 707QN | 6 | 312 000 |
| 707QN | 7 | 330 000 |
| 717200 | 1 | 94 900 |
| 717200 | 2 | 99 700 |
| 717200 | 3 | 104 900 |
| 717200 | 4 | 110 400 |
| 717200 | 5 | 112 700 |
| 717200 | 6 | 121 000 |

▼**M2**

| ACFTID | Duljina faze | Masa (lb) |
|---|---|---|
| 720 | 1 | 145 000 |
| 720 | 2 | 155 000 |
| 720 | 3 | 165 000 |
| 720 | 4 | 180 000 |
| 720 | 5 | 190 000 |
| 720B | 1 | 165 000 |
| 720B | 2 | 175 000 |
| 720B | 3 | 185 000 |
| 720B | 4 | 200 000 |
| 720B | 5 | 210 000 |
| 727100 | 1 | 136 000 |
| 727100 | 2 | 143 000 |
| 727100 | 3 | 150 000 |
| 727100 | 4 | 158 000 |
| 727200 | 1 | 152 000 |
| 727200 | 2 | 163 000 |
| 727200 | 3 | 174 000 |
| 727200 | 4 | 185 000 |
| 727D15 | 1 | 156 000 |
| 727D15 | 2 | 164 000 |
| 727D15 | 3 | 175 000 |
| 727D15 | 4 | 189 000 |
| 727D15 | 5 | 204 000 |
| 727D17 | 1 | 157 000 |
| 727D17 | 2 | 169 000 |
| 727D17 | 3 | 180 000 |
| 727D17 | 4 | 189 000 |
| 727EM1 | 1 | 136 000 |
| 727EM1 | 2 | 143 000 |
| 727EM1 | 3 | 150 000 |
| 727EM1 | 4 | 158 000 |
| 727EM2 | 1 | 156 000 |
| 727EM2 | 2 | 164 000 |
| 727EM2 | 3 | 175 000 |
| 727EM2 | 4 | 189 000 |
| 727EM2 | 5 | 204 000 |

▼**M2**

| ACFTID | Duljina faze | Masa (lb) |
|---|---|---|
| 727Q15 | 1 | 156 000 |
| 727Q15 | 2 | 164 000 |
| 727Q15 | 3 | 175 000 |
| 727Q15 | 4 | 189 000 |
| 727Q15 | 5 | 204 000 |
| 727Q7 | 1 | 136 000 |
| 727Q7 | 2 | 143 000 |
| 727Q7 | 3 | 150 000 |
| 727Q7 | 4 | 158 000 |
| 727Q9 | 1 | 156 000 |
| 727Q9 | 2 | 168 000 |
| 727Q9 | 3 | 180 000 |
| 727Q9 | 4 | 191 000 |
| 727QF | 1 | 136 000 |
| 727QF | 2 | 143 000 |
| 727QF | 3 | 150 000 |
| 727QF | 4 | 158 000 |
| 737 | 1 | 82 000 |
| 737 | 2 | 85 000 |
| 737 | 3 | 92 000 |
| 737 | 4 | 100 000 |
| 737300 | 1 | 108 800 |
| 737300 | 2 | 114 100 |
| 737300 | 3 | 119 900 |
| 737300 | 4 | 131 800 |
| 7373B2 | 1 | 108 800 |
| 7373B2 | 2 | 114 100 |
| 7373B2 | 3 | 119 900 |
| 7373B2 | 4 | 131 800 |
| 7373B2 | M | 139 500 |
| 737400 | 1 | 115 800 |
| 737400 | 2 | 121 400 |
| 737400 | 3 | 127 700 |
| 737400 | 4 | 138 200 |
| 737400 | M | 150 000 |
| 737500 | 1 | 103 400 |

▼**M2**

| ACFTID | Duljina faze | Masa (lb) |
|---|---|---|
| 737500 | 2 | 108 500 |
| 737500 | 3 | 114 100 |
| 737500 | 4 | 125 700 |
| 737500 | 5 | 126 900 |
| 737500 | M | 128 500 |
| 737700 | 1 | 120 000 |
| 737700 | 2 | 125 000 |
| 737700 | 3 | 130 300 |
| 737700 | 4 | 141 100 |
| 737700 | 5 | 154 400 |
| 737700 | 6 | 154 500 |
| 737800 | 1 | 133 300 |
| 737800 | 2 | 139 200 |
| 737800 | 3 | 145 500 |
| 737800 | 4 | 156 700 |
| 737800 | 5 | 167 600 |
| 737800 | 6 | 172 300 |
| 737D17 | 1 | 90 000 |
| 737D17 | 2 | 95 000 |
| 737D17 | 3 | 100 000 |
| 737D17 | 4 | 105 000 |
| 737N17 | 1 | 90 000 |
| 737N17 | 2 | 95 000 |
| 737N17 | 3 | 100 000 |
| 737N17 | 4 | 105 000 |
| 737N9 | 1 | 82 000 |
| 737N9 | 2 | 85 000 |
| 737N9 | 3 | 92 000 |
| 737N9 | 4 | 100 000 |
| 737QN | 1 | 82 000 |
| 737QN | 2 | 85 000 |
| 737QN | 3 | 92 000 |
| 737QN | 4 | 100 000 |
| 747100 | 1 | 475 000 |
| 747100 | 2 | 495 000 |
| 747100 | 3 | 520 000 |

▼**M2**

| ACFTID | Duljina faze | Masa (lb) |
|---|---|---|
| 747100 | 4 | 550 000 |
| 747100 | 5 | 625 000 |
| 747100 | 6 | 635 000 |
| 74710Q | 1 | 475 000 |
| 74710Q | 2 | 495 000 |
| 74710Q | 3 | 520 000 |
| 74710Q | 4 | 550 000 |
| 74710Q | 5 | 625 000 |
| 74710Q | 6 | 635 000 |
| 747200 | 1 | 525 000 |
| 747200 | 2 | 545 000 |
| 747200 | 3 | 565 000 |
| 747200 | 4 | 610 000 |
| 747200 | 5 | 665 000 |
| 747200 | 6 | 725 000 |
| 747200 | 7 | 775 000 |
| 74720A | 1 | 475 000 |
| 74720A | 2 | 500 000 |
| 74720A | 3 | 520 000 |
| 74720A | 4 | 560 000 |
| 74720A | 5 | 610 000 |
| 74720A | 6 | 675 000 |
| 74720A | 7 | 725 000 |
| 74720B | 1 | 525 000 |
| 74720B | 2 | 545 000 |
| 74720B | 3 | 565 000 |
| 74720B | 4 | 610 000 |
| 74720B | 5 | 665 000 |
| 74720B | 6 | 725 000 |
| 74720B | 7 | 775 000 |
| 747400 | 1 | 545 000 |
| 747400 | 2 | 563 800 |
| 747400 | 3 | 583 100 |
| 747400 | 4 | 621 500 |
| 747400 | 5 | 669 500 |
| 747400 | 6 | 720 900 |

▼**M2**

| ACFTID | Duljina faze | Masa (lb) |
|---|---|---|
| 747400 | 7 | 776 600 |
| 747400 | 8 | 836 200 |
| 747400 | 9 | 875 000 |
| 7478 | 1 | 671 100 |
| 7478 | 2 | 691 200 |
| 7478 | 3 | 713 300 |
| 7478 | 4 | 752 400 |
| 7478 | 5 | 801 000 |
| 7478 | 6 | 853 400 |
| 7478 | 7 | 909 300 |
| 7478 | 8 | 969 000 |
| 7478 | 9 | 987 000 |
| 747SP | 1 | 400 000 |
| 747SP | 2 | 422 000 |
| 747SP | 3 | 443 000 |
| 747SP | 4 | 475 000 |
| 747SP | 5 | 518 000 |
| 747SP | 6 | 560 000 |
| 747SP | 7 | 625 000 |
| 757300 | 1 | 203 900 |
| 757300 | 2 | 212 700 |
| 757300 | 3 | 222 100 |
| 757300 | 4 | 239 100 |
| 757300 | 5 | 260 700 |
| 757300 | 6 | 269 400 |
| 757PW | 1 | 183 200 |
| 757PW | 2 | 190 000 |
| 757PW | 3 | 197 500 |
| 757PW | 4 | 212 600 |
| 757PW | 5 | 230 900 |
| 757PW | 6 | 243 200 |
| 757PW | 7 | 255 000 |
| 757RR | 1 | 183 900 |
| 757RR | 2 | 191 200 |
| 757RR | 3 | 199 100 |
| 757RR | 4 | 215 200 |

▼**M2**

| ACFTID | Duljina faze | Masa (lb) |
|---|---|---|
| 757RR | 5 | 234 800 |
| 757RR | 6 | 243 200 |
| 757RR | 7 | 255 000 |
| 767300 | 1 | 265 000 |
| 767300 | 2 | 275 500 |
| 767300 | 3 | 286 400 |
| 767300 | 4 | 305 700 |
| 767300 | 5 | 330 000 |
| 767300 | 6 | 355 900 |
| 767300 | 7 | 367 700 |
| 767400 | 1 | 288 818 |
| 767400 | 2 | 299 037 |
| 767400 | 3 | 310 125 |
| 767400 | 4 | 329 861 |
| 767400 | 5 | 354 427 |
| 767400 | 6 | 380 906 |
| 767400 | 7 | 422 420 |
| 767CF6 | 1 | 227 000 |
| 767CF6 | 2 | 236 000 |
| 767CF6 | 3 | 245 300 |
| 767CF6 | 4 | 261 400 |
| 767CF6 | 5 | 281 600 |
| 767CF6 | 6 | 303 300 |
| 767CF6 | 7 | 315 500 |
| 767JT9 | 1 | 228 500 |
| 767JT9 | 2 | 237 600 |
| 767JT9 | 3 | 247 000 |
| 767JT9 | 4 | 263 600 |
| 767JT9 | 5 | 284 600 |
| 767JT9 | 6 | 306 900 |
| 767JT9 | 7 | 317 100 |
| 777200 | 1 | 429 900 |
| 777200 | 2 | 442 400 |
| 777200 | 3 | 456 100 |
| 777200 | 4 | 483 100 |
| 777200 | 5 | 516 400 |

▼**M2**

| ACFTID | Duljina faze | Masa (lb) |
|---|---|---|
| 777200 | 6 | 551 700 |
| 777200 | 7 | 589 400 |
| 777200 | 8 | 629 500 |
| 777200 | 9 | 656 000 |
| 777300 | 1 | 435 100 |
| 777300 | 2 | 449 700 |
| 777300 | 3 | 465 300 |
| 777300 | 4 | 493 100 |
| 777300 | 5 | 527 700 |
| 777300 | 6 | 564 500 |
| 777300 | 7 | 636 100 |
| 7773ER | 1 | 503 600 |
| 7773ER | 2 | 519 100 |
| 7773ER | 3 | 536 100 |
| 7773ER | 4 | 565 800 |
| 7773ER | 5 | 602 700 |
| 7773ER | 6 | 642 600 |
| 7773ER | 7 | 684 500 |
| 7773ER | 8 | 728 900 |
| 7773ER | 9 | 775 000 |
| 7878R | 1 | 343 400 |
| 7878R | 2 | 353 200 |
| 7878R | 3 | 363 900 |
| 7878R | 4 | 382 600 |
| 7878R | 5 | 405 700 |
| 7878R | 6 | 430 100 |
| 7878R | 7 | 455 900 |
| 7878R | 8 | 483 600 |
| 7878R | 9 | 502 500 |
| A300-622R | 1 | 278 700 |
| A300-622R | 2 | 290 300 |
| A300-622R | 3 | 302 400 |
| A300-622R | 4 | 324 100 |
| A300-622R | 5 | 353 300 |
| A300-622R | 6 | 378 500 |
| A300B4-203 | 1 | 262 000 |

▼**M2**

| ACFTID | Duljina faze | Masa (lb) |
|---|---|---|
| A300B4-203 | 2 | 280 000 |
| A300B4-203 | 3 | 295 000 |
| A300B4-203 | 4 | 324 000 |
| A300B4-203 | 5 | 357 000 |
| A310-304 | 1 | 243 300 |
| A310-304 | 2 | 253 000 |
| A310-304 | 3 | 262 900 |
| A310-304 | 4 | 280 700 |
| A310-304 | 5 | 304 400 |
| A310-304 | 6 | 346 100 |
| A319-131 | 1 | 125 900 |
| A319-131 | 2 | 131 000 |
| A319-131 | 3 | 136 500 |
| A319-131 | 4 | 146 100 |
| A319-131 | 5 | 166 400 |
| A320-211 | 1 | 133 400 |
| A320-211 | 2 | 139 200 |
| A320-211 | 3 | 145 200 |
| A320-211 | 4 | 155 900 |
| A320-211 | 5 | 169 800 |
| A320-232 | 1 | 132 900 |
| A320-232 | 2 | 138 500 |
| A320-232 | 3 | 144 200 |
| A320-232 | 4 | 154 300 |
| A320-232 | 5 | 172 000 |
| A321-232 | 1 | 156 800 |
| A321-232 | 2 | 163 300 |
| A321-232 | 3 | 170 000 |
| A321-232 | 4 | 182 100 |
| A321-232 | 5 | 206 100 |
| A330-301 | 1 | 367 000 |
| A330-301 | 2 | 378 500 |
| A330-301 | 3 | 390 500 |
| A330-301 | 4 | 411 700 |
| A330-301 | 5 | 439 200 |
| A330-301 | 6 | 469 100 |

▼**M2**

| ACFTID | Duljina faze | Masa (lb) |
|---|---|---|
| A330-301 | 7 | 478 400 |
| A330-343 | 1 | 369 200 |
| A330-343 | 2 | 380 800 |
| A330-343 | 3 | 392 900 |
| A330-343 | 4 | 414 300 |
| A330-343 | 5 | 441 900 |
| A330-343 | 6 | 472 000 |
| A330-343 | 7 | 513 700 |
| A340-211 | 1 | 369 500 |
| A340-211 | 2 | 381 600 |
| A340-211 | 3 | 394 100 |
| A340-211 | 4 | 416 600 |
| A340-211 | 5 | 446 000 |
| A340-211 | 6 | 477 600 |
| A340-211 | 7 | 573 200 |
| A340-642 | 1 | 524 100 |
| A340-642 | 2 | 540 700 |
| A340-642 | 3 | 557 800 |
| A340-642 | 4 | 588 000 |
| A340-642 | 5 | 628 600 |
| A340-642 | 6 | 671 300 |
| A340-642 | 7 | 811 300 |
| A380-841 | 1 | 799 160 |
| A380-841 | 2 | 822 921 |
| A380-841 | 3 | 847 265 |
| A380-841 | 4 | 890 164 |
| A380-841 | 5 | 945 893 |
| A380-841 | 6 | 1 006 106 |
| A380-841 | 7 | 1 066 266 |
| A380-841 | 8 | 1 254 430 |
| A380-861 | 1 | 798 928 |
| A380-861 | 2 | 822 613 |
| A380-861 | 3 | 846 941 |
| A380-861 | 4 | 889 750 |
| A380-861 | 5 | 943 737 |
| A380-861 | 6 | 1 003 582 |

▼**M2**

| ACFTID | Duljina faze | Masa (lb) |
|---|---|---|
| A380-861 | 7 | 1 066 266 |
| A380-861 | 8 | 1 254 430 |
| BAC111 | 1 | 74 000 |
| BAC111 | 2 | 79 000 |
| BAC111 | 3 | 85 000 |
| BAE146 | 1 | 76 000 |
| BAE146 | 2 | 84 000 |
| BAE146 | 3 | 91 000 |
| BAE300 | 1 | 80 000 |
| BAE300 | 2 | 88 000 |
| BAE300 | 3 | 96 000 |
| BEC58P | 1 | 5 500 |
| CIT3 | 1 | 20 000 |
| CL600 | 1 | 36 000 |
| CL601 | 1 | 43 100 |
| CNA172 | 1 | 2 450 |
| CNA182 | 1 | 2 800 |
| CNA206 | 1 | 3 000 |
| CNA206 | 2 | 3 300 |
| CNA206 | 3 | 3 600 |
| CNA208 | 1 | 8 750 |
| CNA20T | 1 | 3 000 |
| CNA20T | 2 | 3 300 |
| CNA20T | 3 | 3 600 |
| CNA441 | 1 | 9 850 |
| CNA500 | 1 | 14 700 |
| CNA510 | 1 | 8 645 |
| CNA525C | 1 | 16 950 |
| CNA55B | 1 | 14 800 |
| CNA560E | 1 | 16 300 |
| CNA560U | 1 | 16 300 |
| CNA560XL | 1 | 20 000 |
| CNA680 | 1 | 30 000 |
| CNA750 | 1 | 35 700 |
| CONCRD | 1 | 340 000 |
| CONCRD | 2 | 340 000 |

▼**M2**

| ACFTID | Duljina faze | Masa (lb) |
|---|---|---|
| CONCRD | 3 | 375 000 |
| CONCRD | 4 | 375 000 |
| CONCRD | 5 | 400 000 |
| CONCRD | 6 | 400 000 |
| CRJ9-ER | 1 | 67 500 |
| CRJ9-ER | 2 | 71 000 |
| CRJ9-ER | 3 | 75 000 |
| CRJ9-ER | 4 | 80 000 |
| CRJ9-ER | 5 | 82 500 |
| CRJ9-LR | 1 | 65 500 |
| CRJ9-LR | 2 | 69 000 |
| CRJ9-LR | 3 | 73 000 |
| CRJ9-LR | 4 | 78 000 |
| CRJ9-LR | 5 | 84 500 |
| CVR580 | 1 | 49 000 |
| CVR580 | 2 | 54 000 |
| CVR580 | 3 | 58 000 |
| DC1010 | 1 | 325 000 |
| DC1010 | 2 | 340 000 |
| DC1010 | 3 | 360 000 |
| DC1010 | 4 | 390 000 |
| DC1010 | 5 | 420 000 |
| DC1010 | 6 | 450 000 |
| DC1030 | 1 | 375 000 |
| DC1030 | 2 | 390 000 |
| DC1030 | 3 | 405 000 |
| DC1030 | 4 | 436 000 |
| DC1030 | 5 | 476 000 |
| DC1030 | 6 | 517 000 |
| DC1030 | 7 | 561 000 |
| DC1040 | 1 | 364 000 |
| DC1040 | 2 | 379 000 |
| DC1040 | 3 | 393 000 |
| DC1040 | 4 | 423 000 |
| DC1040 | 5 | 462 000 |
| DC1040 | 6 | 502 000 |

▼**M2**

| ACFTID | Duljina faze | Masa (lb) |
|---|---|---|
| DC1040 | 7 | 544 000 |
| DC3 | 1 | 24 000 |
| DC3 | 2 | 26 000 |
| DC3 | 3 | 28 000 |
| DC6 | 1 | 85 000 |
| DC6 | 2 | 95 000 |
| DC6 | 3 | 105 000 |
| DC820 | 1 | 180 000 |
| DC820 | 2 | 190 000 |
| DC820 | 3 | 205 000 |
| DC820 | 4 | 225 000 |
| DC820 | 5 | 250 000 |
| DC820 | 6 | 270 000 |
| DC850 | 1 | 185 000 |
| DC850 | 2 | 195 000 |
| DC850 | 3 | 210 000 |
| DC850 | 4 | 230 000 |
| DC850 | 5 | 255 000 |
| DC850 | 6 | 275 000 |
| DC860 | 1 | 220 000 |
| DC860 | 2 | 230 000 |
| DC860 | 3 | 245 000 |
| DC860 | 4 | 265 000 |
| DC860 | 5 | 290 000 |
| DC860 | 6 | 305 000 |
| DC860 | 7 | 325 000 |
| DC870 | 1 | 220 000 |
| DC870 | 2 | 230 000 |
| DC870 | 3 | 245 000 |
| DC870 | 4 | 265 000 |
| DC870 | 5 | 290 000 |
| DC870 | 6 | 305 000 |
| DC870 | 7 | 325 000 |
| DC8QN | 1 | 220 000 |
| DC8QN | 2 | 230 000 |
| DC8QN | 3 | 245 000 |

▼**M2**

| ACFTID | Duljina faze | Masa (lb) |
|---|---|---|
| DC8QN | 4 | 265 000 |
| DC8QN | 5 | 290 000 |
| DC8QN | 6 | 305 000 |
| DC8QN | 7 | 325 000 |
| DC910 | 1 | 70 000 |
| DC910 | 2 | 78 000 |
| DC910 | 3 | 85 000 |
| DC930 | 1 | 93 500 |
| DC930 | 2 | 103 000 |
| DC930 | 3 | 112 000 |
| DC93LW | 1 | 93 500 |
| DC93LW | 2 | 103 000 |
| DC93LW | 3 | 112 000 |
| DC950 | 1 | 100 000 |
| DC950 | 2 | 107 000 |
| DC950 | 3 | 115 000 |
| DC95HW | 1 | 100 000 |
| DC95HW | 2 | 107 000 |
| DC95HW | 3 | 115 000 |
| DC9Q7 | 1 | 70 000 |
| DC9Q7 | 2 | 78 000 |
| DC9Q7 | 3 | 85 000 |
| DC9Q9 | 1 | 93 500 |
| DC9Q9 | 2 | 103 000 |
| DC9Q9 | 3 | 112 000 |
| DHC6 | 1 | 12 500 |
| DHC6QP | 1 | 12 500 |
| DHC7 | 1 | 38 950 |
| DHC8 | 1 | 31 000 |
| DHC830 | 1 | 38 700 |
| DO228 | 1 | 13 669 |
| DO328 | 1 | 30 843 |
| ECLIPSE500 | 1 | 5 500 |
| ECLIPSE500 | 2 | 5 891 |
| ECLIPSE500 | 3 | 6 000 |
| EMB120 | 1 | 22 475 |

▼**M2**

| ACFTID | Duljina faze | Masa (lb) |
|---|---|---|
| EMB145 | 1 | 35 500 |
| EMB145 | 2 | 39 500 |
| EMB145 | 3 | 41 800 |
| EMB145 | 4 | 44 000 |
| EMB14L | 1 | 35 275 |
| EMB14L | 2 | 39 675 |
| EMB14L | 3 | 41 900 |
| EMB14L | 4 | 44 100 |
| EMB14L | 5 | 46 300 |
| EMB14L | 6 | 48 500 |
| EMB170 | 1 | 63 070 |
| EMB170 | 2 | 66 599 |
| EMB170 | 3 | 70 484 |
| EMB175 | 1 | 65 698 |
| EMB175 | 2 | 69 459 |
| EMB175 | 3 | 73 518 |
| EMB190 | 1 | 83 520 |
| EMB190 | 2 | 87 757 |
| EMB190 | 3 | 92 363 |
| EMB190 | 4 | 100 656 |
| EMB195 | 1 | 87 096 |
| EMB195 | 2 | 91 558 |
| EMB195 | 3 | 96 388 |
| EMB195 | 4 | 105 138 |
| F10062 | 1 | 78 000 |
| F10062 | 2 | 86 000 |
| F10062 | 3 | 93 000 |
| F10065 | 1 | 80 000 |
| F10065 | 2 | 88 000 |
| F10065 | 3 | 96 000 |
| F28MK2 | 1 | 58 000 |
| F28MK2 | 2 | 64 000 |
| F28MK4 | 1 | 61 000 |
| F28MK4 | 2 | 66 000 |
| F28MK4 | 3 | 73 000 |

▼**M2**

| ACFTID | Duljina faze | Masa (lb) |
|---|---|---|
| FAL20 | 1 | 28 660 |
| GII | 1 | 56 000 |
| GIIB | 1 | 59 245 |
| GIV | 1 | 63 410 |
| GV | 1 | 76 925 |
| HS748A | 1 | 46 500 |
| IA1125 | 1 | 23 500 |
| L1011 | 1 | 330 000 |
| L1011 | 2 | 340 000 |
| L1011 | 3 | 355 000 |
| L1011 | 4 | 370 000 |
| L1011 | 5 | 400 000 |
| L1011 | 6 | 430 000 |
| L10115 | 1 | 345 000 |
| L10115 | 2 | 355 000 |
| L10115 | 3 | 370 000 |
| L10115 | 4 | 385 000 |
| L10115 | 5 | 413 000 |
| L10115 | 6 | 441 000 |
| L10115 | 7 | 470 000 |
| L188 | 1 | 93 000 |
| L188 | 2 | 102 000 |
| L188 | 3 | 115 000 |
| LEAR25 | 1 | 15 000 |
| LEAR35 | 1 | 18 300 |
| MD11GE | 1 | 395 000 |
| MD11GE | 2 | 410 000 |
| MD11GE | 3 | 425 000 |
| MD11GE | 4 | 460 000 |
| MD11GE | 5 | 495 000 |
| MD11GE | 6 | 535 000 |
| MD11GE | 7 | 580 000 |
| MD11PW | 1 | 395 000 |
| MD11PW | 2 | 410 000 |
| MD11PW | 3 | 425 000 |
| MD11PW | 4 | 460 000 |
| MD11PW | 5 | 495 000 |

▼**M2**

| ACFTID | Duljina faze | Masa (lb) |
|---|---|---|
| MD11PW | 6 | 535 000 |
| MD11PW | 7 | 580 000 |
| MD81 | 1 | 120 680 |
| MD81 | 2 | 127 804 |
| MD81 | 3 | 135 134 |
| MD81 | 4 | 140 000 |
| MD82 | 1 | 120 383 |
| MD82 | 2 | 127 379 |
| MD82 | 3 | 134 584 |
| MD82 | 4 | 145 838 |
| MD82 | 5 | 149 500 |
| MD83 | 1 | 121 555 |
| MD83 | 2 | 128 361 |
| MD83 | 3 | 135 456 |
| MD83 | 4 | 147 079 |
| MD83 | 5 | 160 000 |
| MD9025 | 1 | 131 021 |
| MD9025 | 2 | 137 490 |
| MD9025 | 3 | 144 181 |
| MD9025 | 4 | 151 107 |
| MD9025 | 5 | 156 000 |
| MD9028 | 1 | 131 021 |
| MD9028 | 2 | 137 490 |
| MD9028 | 3 | 144 181 |
| MD9028 | 4 | 151 107 |
| MD9028 | 5 | 156 000 |
| MU3001 | 1 | 14 100 |
| PA28 | 1 | 2 325 |
| PA30 | 1 | 3 600 |
| PA31 | 1 | 7 000 |
| PA42 | 1 | 11 200 |
| SABR80 | 1 | 28 660 |
| SD330 | 1 | 21 800 |
| SF340 | 1 | 24 548 |
| SF340 | 2 | 27 275 |

▼M2

*Tablica I-7*

**Koeficijenti za mlazne motore**

| ACFTID | Režim rada motora | E (lb) | F (lb/kt) | Ga (lb/ft) | Gb (lb/ft$^2$) | H (lb/ °C) | K1 (lb/EPR) | K2 (lb/EPR$^2$) | K3 (lb/(N1/√θ)) | K4 (lb/(N1/√θ)$^2$) |
|---|---|---|---|---|---|---|---|---|---|---|
| 1900D | Maksimum za penjanje | 2 548,8 | – 6,7075 | – 0,014 | 0 | – 0,72 | | | | |
| 1900D | Maksimum za uzlijetanje | 3 374,6 | – 9,6869 | – 0,0046 | 0 | – 0,504 | | | | |
| 707320 | Opći | – 25 447,4 | – 6,79039 | – 0,01775 | 0 | 0 | 33 299,8 | – 5 817 | | |
| 707320 | Maksimum za penjanje | 15 943,8 | – 13,9584 | 0,1672 | 5,7074E-06 | 0 | | | | |
| 707320 | Maksimum za uzlijetanje | 18 044,7 | – 15,7976 | 0,1893 | 6,4595E-06 | 0 | | | | |
| 707QN | Opći | – 25 447,4 | – 6,79039 | – 0,01775 | 0 | 0 | 33 299,8 | – 5 817 | | |
| 707QN | Maksimum za penjanje | 15 943,8 | – 13,9584 | 0,1672 | 5,7074E-06 | 0 | | | | |
| 707QN | Maksimum za uzlijetanje | 18 044,7 | – 15,7976 | 0,1893 | 6,4595E-06 | 0 | | | | |
| 717200 | Maksimum za penjanje | 15 541,5 | – 17,8282 | 0,253495 | 0 | 0 | | | | |
| 717200 | Maksimum za penjanje, visoka temperatura | 22 232 | – 18,025 | – 0,201 | 0 | – 218 | | | | |
| 717200 | Maksimum za uzlijetanje | 17 542,7 | – 19,588 | 0,234981 | 0 | 0 | | | | |
| 717200 | Maksimum za penjanje, visoka temperatura | 22 280,7 | – 19,819 | – 0,097 | 0 | – 154,5 | | | | |
| 720B | Opći | – 27 419,9 | – 5,81791 | – 0,01175 | 0 | 0 | 35 654,5 | – 6 560,9 | | |
| 720B | Maksimum za penjanje | 14 540,1 | – 13,4149 | 0,121548 | 1,78264E-06 | 0 | | | | |

▼M2

| ACFTID | Režim rada motora | E (lb) | F (lb/kt) | Ga (lb/ft) | Gb (lb/ft$^2$) | H (lb/ °C) | K1 (lb/EPR) | K2 (lb/EPR$^2$) | K3 (lb/(N1/√θ)) | K4 (lb/(N1/√θ)$^2$) |
|---|---|---|---|---|---|---|---|---|---|---|
| 720B | Maksimum za uzlijetanje | 16 768,6 | – 15,471 | 0,140178 | 2,0559E-06 | 0 | | | | |
| 727100 | Opći | – 14 205,5 | – 4,53212 | 0 | 0 | 0 | 16 602,8 | – 1 403,02 | | |
| 727100 | Maksimum za penjanje | 12 029,2 | – 7,99864 | – 0,05203 | 5,44617E-06 | 0 | | | | |
| 727100 | Maksimum za uzlijetanje | 13 218,9 | – 8,78972 | – 0,05717 | 5,9848E-06 | 0 | | | | |
| 727D15 | Opći | – 14 773,7 | – 5,09534 | 0 | 0 | 0 | 17 717,3 | – 1 845,07 | | |
| 727D15 | Maksimum za penjanje | 14 249,6 | – 8,103 | – 0,0436 | 0 | – 103 | | | | |
| 727D15 | Maksimum za uzlijetanje | 14 935,3 | – 7,459 | 0,3337 | 0 | – 14,78 | | | | |
| 727D15 | Maksimum za penjanje, visoka temperatura | 15 524,3 | – 7,066 | 0 | 0 | – 32,38 | | | | |
| 727D17 | Opći | – 14 773,7 | – 5,09534 | 0 | 0 | 0 | 17 717,3 | – 1 845,07 | | |
| 727D17 | Maksimum za penjanje | 13 812,7 | – 7,52948 | 0,207702 | – 0,000025939 | 0 | | | | |
| 727D17 | Maksimum za uzlijetanje | 15 519,8 | – 8,46009 | 0,233373 | – 0,000029145 | 0 | | | | |
| 727EM1 | Maksimum za penjanje | 12 029,2 | – 7,99864 | – 0,05203 | 5,44617E-06 | 0 | | | | |
| 727EM1 | Maksimum za uzlijetanje | 13 218,9 | – 8,78972 | – 0,05717 | 5,9848E-06 | 0 | | | | |
| 727EM2 | Opći | – 14 773,7 | – 5,09534 | 0 | 0 | 0 | 17 717,3 | – 1 845,07 | | |
| 727EM2 | Maksimum za penjanje | 14 249,6 | – 8,103 | – 0,0436 | 0 | – 103 | | | | |
| 727EM2 | Maksimum za uzlijetanje | 14 935,3 | – 7,459 | 0,3337 | 0 | – 14,78 | | | | |
| 727EM2 | Maksimum za penjanje, visoka temperatura | 15 524,3 | – 7,066 | 0 | 0 | – 32,38 | | | | |

▼M2

| ACFTID | Režim rada motora | E (lb) | F (lb/kt) | Ga (lb/ft) | Gb (lb/ft$^2$) | H (lb/ °C) | K1 (lb/EPR) | K2 (lb/EPR$^2$) | K3 (lb/(N1/√θ)) | K4 (lb/(N1/√θ)$^2$) |
|---|---|---|---|---|---|---|---|---|---|---|
| 727Q15 | Opći | – 14 773,7 | – 5,09534 | 0 | 0 | 0 | 17 717,3 | – 1 845,07 | | |
| 727Q15 | Maksimum za penjanje | 14 249,6 | – 8,103 | – 0,0436 | 0 | – 103 | | | | |
| 727Q15 | Maksimum za uzlijetanje | 14 935,3 | – 7,459 | 0,3337 | 0 | – 14,78 | | | | |
| 727Q15 | Maksimum za penjanje, visoka temperatura | 15 524,3 | – 7,066 | 0 | 0 | – 32,38 | | | | |
| 727Q7 | Opći | – 14 205,5 | – 4,53212 | 0 | 0 | 0 | 16 602,8 | – 1 403,02 | | |
| 727Q7 | Maksimum za penjanje | 12 029,2 | – 7,99864 | – 0,05203 | 5,44617E-06 | 0 | | | | |
| 727Q7 | Maksimum za uzlijetanje | 13 218,9 | – 8,78972 | – 0,05717 | 5,9848E-06 | 0 | | | | |
| 727Q9 | Opći | – 14 095,4 | – 4,77532 | 0 | 0 | 0 | 16 666,2 | – 1 490,42 | | |
| 727Q9 | Maksimum za penjanje | 12 746,2 | – 8,11613 | – 0,00049 | – 4,53384E-06 | 0 | | | | |
| 727Q9 | Maksimum za uzlijetanje | 13 705,6 | – 8,72702 | – 0,00053 | – 4,8751E-06 | 0 | | | | |
| 727QF | Opći | – 10 908 | – 23,3571 | – 0,0723 | – 0,00000138 | 0 | 10 929,8 | 2 380,86 | | |
| 727QF | Maksimum za penjanje | 11 266 | – 9,335 | 0,169297 | – 4,70391E-06 | 0 | | | | |
| 727QF | Maksimum za penjanje, visoka temperatura | 13 966 | – 9,335 | 0 | 0 | – 90 | | | | |
| 727QF | Maksimum za trajnu upotrebu, visoka temperatura | 14 687 | – 9,335 | 0 | 0 | – 90 | | | | |
| 727QF | Maksimum za trajnu upotrebu | 11 987 | – 9,335 | 0,158001 | – 4,70391E-06 | 0 | | | | |
| 727QF | Maksimum za uzlijetanje | 14 100 | – 12,25 | 0,1495 | – 0,00001175 | 0 | | | | |

▼M2

| ACFTID | Režim rada motora | E (lb) | F (lb/kt) | Ga (lb/ft) | Gb (lb/ft$^2$) | H (lb/ °C) | K1 (lb/EPR) | K2 (lb/EPR$^2$) | K3 (lb/(N1/√θ)) | K4 (lb/(N1/√θ)$^2$) |
|---|---|---|---|---|---|---|---|---|---|---|
| 727QF | Maksimum za penjanje, visoka temperatura | 16 800 | – 12,25 | 0 | 0 | – 90 | | | | |
| 737 | Opći | – 14 095,4 | – 4,77532 | 0 | 0 | 0 | 16 666,2 | – 1 490,42 | | |
| 737 | Maksimum za penjanje | 12 740,1 | – 7,93589 | – 0,02662 | – 4,2762E-07 | 0 | | | | |
| 737 | Maksimum za uzlijetanje | 13 847,9 | – 8,62596 | – 0,02894 | – 4,648E-07 | 0 | | | | |
| 737300 | Opći | 11 106 | – 10,09 | – 0,0409 | 0 | 0 | | | – 369,8 | 4,835 |
| 737300 | Maksimum za penjanje | 17 383,1 | – 15,6072 | 0,148043 | – 0,000001 | – 24,2 | | | | |
| 737300 | Maksimum za penjanje, visoka temperatura | 20 363,9 | – 17,0452 | – 0,06578 | – 0,000001 | – 119 | | | | |
| 737300 | Maksimum za uzlijetanje | 19 347 | – 25,8689 | 0,456499 | – 0,0000112 | – 14,78 | | | | |
| 737300 | Maksimum za penjanje, visoka temperatura | 21 143,7 | – 26,2402 | 0,398451 | – 0,000014 | – 79,95 | | | | |
| 7373B2 | Opći | 11 106 | – 10,09 | – 0,0409 | 0 | 0 | | | – 369,8 | 4,835 |
| 7373B2 | Maksimum za penjanje | 18 623,5 | – 16,4797 | 0,169674 | 0 | – 9,126 | | | | |
| 7373B2 | Maksimum za penjanje, visoka temperatura | 21 906,6 | – 17,4327 | – 0,07536 | 0 | – 132,5 | | | | |
| 7373B2 | Maksimum za uzlijetanje | 21 480,7 | – 25,888 | 0,225791 | 0 | – 8,441 | | | | |
| 7373B2 | Maksimum za penjanje, visoka temperatura | 25 393,2 | – 25,7175 | – 0,0246 | 0 | – 141,3 | | | | |
| 737400 | Opći | 21 384 | – 13,79 | – 0,0435 | 0 | 0 | | | – 615,8 | 6,409 |

▼M2

| ACFTID | Režim rada motora | E (lb) | F (lb/kt) | Ga (lb/ft) | Gb (lb/ft$^2$) | H (lb/ °C) | K1 (lb/EPR) | K2 (lb/EPR$^2$) | K3 (lb/(N1/√θ)) | K4 (lb/(N1/√θ)$^2$) |
|---|---|---|---|---|---|---|---|---|---|---|
| 737400 | Maksimum za penjanje | 19 662,2 | – 18,221 | 0,207237 | 0 | 0 | | | | |
| 737400 | Maksimum za penjanje, visoka temperatura | 22 875,1 | – 18,001 | – 0,07615 | 0 | – 124,7 | | | | |
| 737400 | Maksimum za uzlijetanje | 22 116,3 | – 26,0175 | 0,259442 | 0 | 0 | | | | |
| 737400 | Maksimum za penjanje, visoka temperatura | 26 883,2 | – 26,1707 | – 0,04324 | 0 | – 159,7 | | | | |
| 737500 | Opći | 11 106 | – 10,09 | 0,0409 | 0 | 0 | | | – 369,8 | 4,835 |
| 737500 | Maksimum za penjanje | 17 530,9 | – 16,3556 | 0,153997 | – 0,0000013 | – 23,39 | | | | |
| 737500 | Maksimum za penjanje, visoka temperatura | 20 510,5 | – 17,1336 | – 0,07687 | – 0,0000004 | – 122,3 | | | | |
| 737500 | Maksimum za uzlijetanje | 19 629,4 | – 26,7504 | 0,550433 | – 0,0000217 | – 7,999 | | | | |
| 737500 | Maksimum za penjanje, visoka temperatura | 22 636,2 | – 28,0937 | 0,225263 | 0,0000409 | – 105,6 | | | | |
| 737700 | Maksimum za penjanje | 22 106,7 | – 23,7147 | 0,165546 | 0,0000065 | 0 | | | | |
| 737700 | Maksimum za penjanje, visoka temperatura | 29 618,1 | – 24,596 | – 0,273 | 0 | – 249,1 | | | | |
| 737700 | Maksimum za uzlijetanje | 23 534,8 | – 29,3547 | 0,308407 | 0 | 0 | | | | |
| 737700 | Maksimum za penjanje, visoka temperatura | 29 335,5 | – 28,632 | – 0,105 | 0 | – 195,6 | | | | |
| 737800 | Maksimum za penjanje | 22 403,5 | – 27,2645 | 0,305603 | 0 | 0 | | | | |

▼M2

| ACFTID | Režim rada motora | E (lb) | F (lb/kt) | Ga (lb/ft) | Gb (lb/ft$^2$) | H (lb/ °C) | K1 (lb/EPR) | K2 (lb/EPR$^2$) | K3 (lb/(N1/√θ)) | K4 (lb/(N1/√θ)$^2$) |
|---|---|---|---|---|---|---|---|---|---|---|
| 737800 | Maksimum za penjanje, visoka temperatura | 26 593,3 | – 26,293 | – 0,078 | 0 | – 174,4 | | | | |
| 737800 | Maksimum za uzlijetanje | 26 089,1 | – 29,1098 | 0,143559 | 0 | 0 | | | | |
| 737800 | Maksimum za penjanje, visoka temperatura | 30 143,2 | – 29,773 | – 0,029 | 0 | – 145,2 | | | | |
| 737D17 | Opći | – 14 773,7 | – 5,09534 | 0 | 0 | 0 | 17 717,3 | – 1 845,07 | | |
| 737D17 | Maksimum za penjanje | 13 083,2 | – 7,13185 | 0,196733 | – 0,000024569 | 0 | | | | |
| 737D17 | Maksimum za uzlijetanje | 15 519,8 | – 8,46009 | 0,233373 | – 0,000029145 | 0 | | | | |
| 737N17 | Opći | – 14 773,7 | – 5,09534 | 0 | 0 | 0 | 17 717,3 | – 1 845,07 | | |
| 737N17 | Maksimum za penjanje | 13 083,2 | – 7,13185 | 0,196733 | – 0,000024569 | 0 | | | | |
| 737N17 | Maksimum za uzlijetanje | 15 519,8 | – 8,46009 | 0,233373 | – 0,000029145 | 0 | | | | |
| 737N9 | Opći | – 14 095,4 | – 4,77532 | 0 | 0 | 0 | 16 666,2 | – 1 490,42 | | |
| 737N9 | Maksimum za penjanje | 12 740,1 | – 7,93589 | – 0,02662 | – 4,2762E-07 | 0 | | | | |
| 737N9 | Maksimum za uzlijetanje | 13 847,9 | – 8,62596 | – 0,02894 | – 4,648E-07 | 0 | | | | |
| 737QN | Opći | – 14 095,4 | – 4,77532 | 0 | 0 | 0 | 16 666,2 | – 1 490,42 | | |
| 737QN | Maksimum za penjanje | 12 740,1 | – 7,93589 | – 0,02662 | – 4,2762E-07 | 0 | | | | |
| 737QN | Maksimum za uzlijetanje | 13 847,9 | – 8,62596 | – 0,02894 | – 4,648E-07 | 0 | | | | |
| 74710Q | Opći | – 141 079 | – 11,7298 | – 0,02833 | 0 | 0 | 201 105 | – 53 843 | | |
| 74710Q | Maksimum za penjanje | 36 791,4 | – 43,5074 | 0,3004 | – 0,0000092 | 0 | | | | |

▼M2

| ACFTID | Režim rada motora | E (lb) | F (lb/kt) | Ga (lb/ft) | Gb (lb/ft$^2$) | H (lb/ °C) | K1 (lb/EPR) | K2 (lb/EPR$^2$) | K3 (lb/(N1/√θ)) | K4 (lb/(N1/√θ)$^2$) |
|---|---|---|---|---|---|---|---|---|---|---|
| 74710Q | Maksimum za uzlijetanje | 42 780,7 | – 50,59 | 0,349279 | – 0,000010697 | 0 | | | | |
| 747200 | Opći | – 141 079 | – 11,7298 | – 0,02833 | 0 | 0 | 201 105 | – 53 843 | | |
| 747200 | Maksimum za penjanje | 36 791,4 | – 43,5074 | 0,3004 | – 0,0000092 | 0 | | | | |
| 747200 | Maksimum za uzlijetanje | 42 780,7 | – 50,59 | 0,349279 | – 0,000010697 | 0 | | | | |
| 74720A | Opći | – 32 370 | – 7,83 | – 0,02105 | 0 | 0 | 47 590 | 0 | | |
| 74720A | Maksimum za penjanje | 34 860 | – 35 | 0,4962 | 0 | 0 | | | | |
| 74720A | Maksimum za uzlijetanje | 40 870 | – 40,11 | 0,4435 | 0 | 0 | | | | |
| 74720B | Opći | – 28 110 | – 10,05 | – 0,03543 | 0 | 0 | 46 375 | 0 | | |
| 74720B | Maksimum za penjanje | 39 594 | – 38,08 | 0,5262 | 0 | 0 | | | | |
| 74720B | Maksimum za uzlijetanje | 48 866 | – 43,68 | 0,6641 | 0 | 0 | | | | |
| 747400 | Opći | – 49 250 | 0 | 0 | 0 | 0 | 62 210 | 0 | | |
| 747400 | Maksimum za penjanje | 44 157,4 | – 42,6142 | 0,635772 | 0 | 0 | | | | |
| 747400 | Maksimum za penjanje, visoka temperatura | 56 826,2 | – 45,4912 | – 0,20856 | 0 | – 392,3 | | | | |
| 747400 | Maksimum za uzlijetanje | 53 290,5 | – 53,434 | 0,606283 | 0 | 0 | | | | |
| 747400 | Maksimum za penjanje, visoka temperatura | 66 921,4 | – 54,5627 | – 0,1278 | 0 | – 410,2 | | | | |
| 7478 | Prilaz uz minimalni potisak | 5 920 | – 19,02 | 0,225 | 0 | 0 | | | | |
| 7478 | Maksimum za penjanje | 50 523 | – 39,8663 | 0,842437 | – 0,000015 | 0 | | | | |

▼M2

| ACFTID | Režim rada motora | E (lb) | F (lb/kt) | Ga (lb/ft) | Gb (lb/ft$^2$) | H (lb/ °C) | K1 (lb/EPR) | K2 (lb/EPR$^2$) | K3 (lb/(N1/√θ)) | K4 (lb/(N1/√θ)$^2$) |
|---|---|---|---|---|---|---|---|---|---|---|
| 7478 | Maksimum za penjanje, visoka temperatura | 56 739,2 | – 27,469 | – 0,1411 | – 0,000015 | – 343,137 | | | | |
| 7478 | Maksimum za uzlijetanje | 64 247,2 | – 66,0662 | 0,481932 | 0,000004 | 0 | | | | |
| 7478 | Maksimum za penjanje, visoka temperatura | 80 923,7 | – 71,3162 | – 0,30655 | – 0,00001 | – 520,464 | | | | |
| 747SP | Opći | – 141 079 | – 11,7298 | – 0,02833 | 0 | 0 | 201 105 | – 53 843 | | |
| 747SP | Maksimum za penjanje | 36 791,4 | – 43,5074 | 0,3004 | – 0,0000092 | 0 | | | | |
| 747SP | Maksimum za uzlijetanje | 42 780,7 | – 50,59 | 0,349279 | – 0,000010697 | 0 | | | | |
| 757300 | Maksimum za penjanje | 29 549,2 | – 30,6086 | 0,398179 | 0 | 0 | | | | |
| 757300 | Maksimum za penjanje, visoka temperatura | 36 157 | – 30,9643 | – 0,16465 | 0 | – 250,7 | | | | |
| 757300 | Maksimum za uzlijetanje | 40 175,5 | – 35,323 | – 0,11328 | 0 | 0 | | | | |
| 757300 | Maksimum za penjanje, visoka temperatura | 46 892,4 | – 35,6127 | – 0,53031 | 0 | – 241,7 | | | | |
| 757PW | Opći | – 44 951 | – 0,83 | 0,0198 | 0 | 0 | 52 972 | 0 | | |
| 757PW | Maksimum za penjanje | 27 775,1 | – 27,6876 | 0,381725 | 0 | 0 | | | | |
| 757PW | Maksimum za penjanje, visoka temperatura | 34 748,3 | – 29,9467 | – 0,16641 | 0 | – 250,7 | | | | |
| 757PW | Maksimum za uzlijetanje | 36 214,8 | – 48,2704 | 0,908044 | 0 | 0 | | | | |
| 757PW | Maksimum za penjanje, visoka temperatura | 45 592,5 | – 49,7383 | 0,213208 | 0 | – 290,6 | | | | |

▼M2

| ACFTID | Režim rada motora | E (lb) | F (lb/kt) | Ga (lb/ft) | Gb (lb/ft$^2$) | H (lb/ °C) | K1 (lb/EPR) | K2 (lb/EPR$^2$) | K3 (lb/(N1/√θ)) | K4 (lb/(N1/√θ)$^2$) |
|---|---|---|---|---|---|---|---|---|---|---|
| 757RR | Opći | – 44 907 | – 21,97 | – 0,0589 | 0 | 0 | 46 999 | 0 | | |
| 757RR | Maksimum za penjanje | 30 065,2 | – 32,4779 | 0,397321 | 0 | 0 | | | | |
| 757RR | Maksimum za penjanje, visoka temperatura | 36 735,1 | – 32,445 | – 0,16871 | 0 | – 258,4 | | | | |
| 757RR | Maksimum za uzlijetanje | 37 802,1 | – 38,2839 | 0,527181 | 0 | 0 | | | | |
| 757RR | Maksimum za penjanje, visoka temperatura | 45 336,5 | – 39,1302 | – 0,00514 | 0 | – 257,4 | | | | |
| 767300 | Opći | – 49 250 | 0 | 0 | 0 | 0 | 62 210 | 0 | | |
| 767300 | Maksimum za penjanje | 45 480 | – 41,9 | 0,559 | 0 | 0 | | | | |
| 767300 | Maksimum za uzlijetanje | 56 370 | – 53 | 0,251 | 0 | 0 | | | | |
| 767400 | Maksimum za penjanje | 45 902,7 | – 39,5895 | 0,633446 | 0 | 0 | | | | |
| 767400 | Maksimum za penjanje, visoka temperatura | 63 647,5 | – 41,082 | – 0,55 | 0 | – 562,3 | | | | |
| 767400 | Maksimum za uzlijetanje | 60 475,4 | – 56,8041 | 0,478788 | 0 | 0 | | | | |
| 767400 | Maksimum za penjanje, visoka temperatura | 72 425,5 | – 55,569 | – 0,236 | 0 | – 416,2 | | | | |
| 767CF6 | Opći | 62 790 | – 35,03 | – 0,1177 | 0 | 0 | | | – 1 610,37 | 14 |
| 767CF6 | Maksimum za penjanje | 38 057 | – 43,24 | 0,705 | 0 | 0 | | | | |
| 767CF6 | Maksimum za uzlijetanje | 44 769 | – 48,34 | 0,5 | 0 | 0 | | | | |
| 767JT9 | Opći | – 39 777 | – 17,367 | – 0,0467 | 0 | 0 | 56 550 | 0 | | |

▼M2

| ACFTID | Režim rada motora | E (lb) | F (lb/kt) | Ga (lb/ft) | Gb (lb/ft$^2$) | H (lb/ °C) | K1 (lb/EPR) | K2 (lb/EPR$^2$) | K3 (lb/(N1/√θ)) | K4 (lb/(N1/√θ)$^2$) |
|---|---|---|---|---|---|---|---|---|---|---|
| 767JT9 | Maksimum za penjanje | 38 700 | – 34,5 | 0,49 | 0 | 0 | | | | |
| 767JT9 | Maksimum za uzlijetanje | 43 190 | – 38,3 | 0,876 | 0 | 0 | | | | |
| 777200 | Opći | 32 710 | 0 | 0 | 0 | 0 | | | – 1 258 | 16,16 |
| 777200 | Maksimum za penjanje | 67 093,7 | – 85,7553 | 1,8498 | – 0,000076 | 0 | | | | |
| 777200 | Maksimum za penjanje, visoka temperatura | 82 096,7 | – 72,2859 | – 0,32818 | – 0,0000179 | – 637 | | | | |
| 777200 | Maksimum za uzlijetanje | 93 672,6 | – 122,251 | 1,1818 | – 0,0000806 | 0 | | | | |
| 777200 | Maksimum za penjanje, visoka temperatura | 114 758,6 | – 125,38 | – 0,159 | – 0,0000261 | – 702,4 | | | | |
| 777300 | Maksimum za penjanje | 64 636,2 | – 70,833 | 0,880073 | 0 | 0 | | | | |
| 777300 | Maksimum za penjanje, visoka temperatura | 90 015,1 | – 70,745 | – 0,852 | 0 | – 823 | | | | |
| 777300 | Maksimum za uzlijetanje | 87 833,8 | – 97,7894 | 0,27543 | 0 | 0 | | | | |
| 777300 | Maksimum za penjanje, visoka temperatura | 103 835,2 | – 97,831 | – 0,632 | 0 | – 549,1 | | | | |
| 7773ER | Prilaz uz minimalni potisak | 8 950 | – 27,25 | 0,131 | 0 | 0 | | | | |
| 7773ER | Maksimum za penjanje | 92 110 | – 119 | 1,14 | – 0,000007 | 0 | | | | |
| 7773ER | Maksimum za penjanje, visoka temperatura | 96 550 | – 69,4 | – 0,542 | – 0,00005 | – 533 | | | | |
| 7773ER | Maksimum za uzlijetanje | 112 250 | – 120 | 0,713 | – 0,00011 | 0 | | | | |

▼M2

| ACFTID | Režim rada motora | E (lb) | F (lb/kt) | Ga (lb/ft) | Gb (lb/ft$^2$) | H (lb/ °C) | K1 (lb/EPR) | K2 (lb/EPR$^2$) | K3 (lb/(N1/√θ)) | K4 (lb/(N1/√θ)$^2$) |
|---|---|---|---|---|---|---|---|---|---|---|
| 7878R | Prilaz uz minimalni potisak | 3 425 | – 12,03 | 0,0955 | 0 | 0 | | | | |
| 7878R | Maksimum za penjanje | 61 142,6 | – 78,8116 | 1,219801 | – 0,000039 | 0 | | | | |
| 7878R | Maksimum za penjanje, visoka temperatura | 65 000 | – 55 | 0,1 | – 0,00002 | – 404,274 | | | | |
| 7878R | Maksimum za uzlijetanje | 71 214,6 | – 93,4796 | 0,652462 | 0,000002 | 0 | | | | |
| 7878R | Maksimum za penjanje, visoka temperatura | 86 784,2 | – 92 | – 0,27021 | – 0,00001 | – 520,488 | | | | |
| A300-622R | Opći | – 148 952 | – 6,71 | – 0,03 | 0 | 0 | 203 740 | – 50 104,7 | | |
| A300-622R | Prilaz uz minimalni potisak | 8 432,8 | – 47,7662 | 0,750523 | – 0,000059071 | 0 | | | | |
| A300-622R | Prilaz uz minimalni potisak, visoka temperatura | 8 432,8 | – 47,7662 | 0,750523 | – 0,000059071 | 0 | | | | |
| A300-622R | Maksimum za penjanje | 44 457,2 | – 45,778 | 0,735506 | – 0,000015775 | 0 | | | | |
| A300-622R | Maksimum za penjanje, visoka temperatura | 52 183,7 | – 44,1929 | 0 | 0 | – 271 | | | | |
| A300-622R | Maksimum za uzlijetanje | 56 307,1 | – 50,9157 | 0,405632 | – 2,0986E-06 | 0 | | | | |
| A300-622R | Maksimum za penjanje, visoka temperatura | 61 250,3 | – 51,5373 | 0 | 0 | – 192 | | | | |
| A300B4-203 | Opći | – 132 687 | – 30,4092 | – 0,10796 | 4,02686E-07 | 0 | | | 2 535,75 | – 8,23842 |
| A300B4-203 | Maksimum za penjanje | 43 416,5 | – 35 | – 0,12523 | 6,27209E-07 | 0 | | | | |
| A300B4-203 | Maksimum za uzlijetanje | 49 336,9 | – 39,8243 | – 0,14231 | 7,12738E-07 | 0 | | | | |
| A310-304 | Opći | 41 317 | – 32,9 | – 0,0857 | – 0,0000016 | 0 | – 1 131,6 | 11,8 | | |

▼M2

| ACFTID | Režim rada motora | E (lb) | F (lb/kt) | Ga (lb/ft) | Gb (lb/ft$^2$) | H (lb/ °C) | K1 (lb/EPR) | K2 (lb/EPR$^2$) | K3 (lb/(N1/√θ)) | K4 (lb/(N1/√θ)$^2$) |
|---|---|---|---|---|---|---|---|---|---|---|
| A310-304 | Prilaz uz minimalni potisak | 4 613,2 | – 22,0136 | 0,082133 | – 2,7376E-06 | 0 | | | | |
| A310-304 | Prilaz uz minimalni potisak, visoka temperatura | 4 613,2 | – 22,0136 | 0,082133 | – 2,7376E-06 | 0 | | | | |
| A310-304 | Maksimum za penjanje | 42 008 | – 49,5706 | 1,64076 | – 0,000043059 | 0 | | | | |
| A310-304 | Maksimum za penjanje, visoka temperatura | 55 143,3 | – 37,4839 | 0 | 0 | – 505 | | | | |
| A310-304 | Maksimum za uzlijetanje | 50 530,5 | – 51,1538 | 1,26398 | – 0,000012839 | 0 | | | | |
| A310-304 | Maksimum za penjanje, visoka temperatura | 71 457,7 | – 50,7768 | 0 | 0 | – 608 | | | | |
| A319-131 | Opći | – 105 513 | – 6,58 | 0,006828 | – 8,055E-07 | 0 | 149 900 | – 42 300 | | |
| A319-131 | Prilaz uz minimalni potisak | 1 219,5 | – 7,22737 | 0,154266 | – 0,000007955 | 0 | | | | |
| A319-131 | Prilaz uz minimalni potisak, visoka temperatura | 1 219,5 | – 7,22737 | 0,154266 | – 0,000007955 | 0 | | | | |
| A319-131 | Maksimum za penjanje | 14 957,2 | 1,71654 | 0,442593 | – 0,000013824 | 0 | | | | |
| A319-131 | Maksimum za penjanje, visoka temperatura | 12 977,6 | 18,59062 | 0 | 0 | – 78,7 | | | | |
| A319-131 | Maksimum za uzlijetanje | 21 435,4 | – 21,3236 | 0,309465 | 1,26125E-05 | 0 | | | | |
| A319-131 | Maksimum za penjanje, visoka temperatura | 23 853,8 | – 18,7311 | 0 | 0 | – 76,8 | | | | |
| A320-211 | Opći | 24 380 | – 18,534 | – 0,07842 | – 2,509E-07 | 0 | | | – 669,457 | 6,9451 |
| A320-211 | Prilaz uz minimalni potisak | 2 858,8 | – 14,7325 | 0,096537 | – 6,7861E-06 | 0 | | | | |

▼M2

| ACFTID | Režim rada motora | E (lb) | F (lb/kt) | Ga (lb/ft) | Gb (lb/ft$^2$) | H (lb/ °C) | K1 (lb/EPR) | K2 (lb/EPR$^2$) | K3 (lb/(N1/√θ)) | K4 (lb/(N1/√θ)$^2$) |
|---|---|---|---|---|---|---|---|---|---|---|
| A320-211 | Prilaz uz minimalni potisak, visoka temperatura | 2 858,8 | – 14,7325 | 0,096537 | – 6,7861E-06 | 0 | | | | |
| A320-211 | Maksimum za penjanje | 16 859,1 | – 4,3786 | 0,183576 | 2,9851E-06 | 0 | | | | |
| A320-211 | Maksimum za penjanje, visoka temperatura | 19 148,5 | – 6,50173 | 0 | 0 | – 95 | | | | |
| A320-211 | Maksimum za uzlijetanje | 23 652,9 | – 22,9338 | 0,295879 | – 5,4631E-06 | 0 | | | | |
| A320-211 | Maksimum za penjanje, visoka temperatura | 27 385 | – 23,3 | 0 | 0 | – 132 | | | | |
| A320-232 | Opći | – 65 083,3 | – 7,25 | – 0,01918 | 2,575E-08 | 0 | 87 817,6 | – 18 693,1 | | |
| A320-232 | Prilaz uz minimalni potisak | 1 138,9 | – 6,52566 | 0,1667 | – 9,2579E-06 | 0 | | | | |
| A320-232 | Prilaz uz minimalni potisak, visoka temperatura | 1 138,9 | – 6,52566 | 0,1667 | – 9,2579E-06 | 0 | | | | |
| A320-232 | Maksimum za penjanje | 15 539,2 | – 4,08932 | 0,438331 | – 0,00001439 | 0 | | | | |
| A320-232 | Maksimum za penjanje, visoka temperatura | 14 111,4 | 10,67953 | 0 | 0 | – 82,2 | | | | |
| A320-232 | Maksimum za uzlijetanje | 24 746,2 | – 25,2473 | 0,304165 | 9,2451E-06 | 0 | | | | |
| A320-232 | Maksimum za penjanje, visoka temperatura | 29 506,5 | – 24,4165 | 0 | 0 | – 139 | | | | |
| A321-232 | Opći | – 26 190,2 | – 6,6 | – 0,0197 | – 3,408E-07 | 0 | 33 032,2 | 0 | | |
| A321-232 | Prilaz uz minimalni potisak | 1 274,1 | – 7,34054 | 0,175187 | – 0,000011478 | 0 | | | | |
| A321-232 | Prilaz uz minimalni potisak, visoka temperatura | 1 274,1 | – 7,34054 | 0,175187 | – 0,000011478 | 0 | | | | |

▼M2

| ACFTID | Režim rada motora | E (lb) | F (lb/kt) | Ga (lb/ft) | Gb (lb/ft$^2$) | H (lb/ °C) | K1 (lb/EPR) | K2 (lb/EPR$^2$) | K3 (lb/(N1/√θ)) | K4 (lb/(N1/√θ)$^2$) |
|---|---|---|---|---|---|---|---|---|---|---|
| A321-232 | Maksimum za penjanje | 21 870,8 | – 21,4867 | 0,380647 | – 5,5566E-06 | 0 | | | | |
| A321-232 | Maksimum za penjanje, visoka temperatura | 24 158,5 | – 16,8504 | 0 | 0 | – 147 | | | | |
| A321-232 | Maksimum za uzlijetanje | 28 636,4 | – 26,7318 | 0,249782 | – 3,9163E-06 | 0 | | | | |
| A321-232 | Maksimum za penjanje, visoka temperatura | 31 608,2 | – 25,9736 | 0 | 0 | – 114 | | | | |
| A330-301 | Opći | – 36 339,3 | – 31,32 | – 0,1297 | 0 | 0 | | | 484,645 | 4,0056 |
| A330-301 | Prilaz uz minimalni potisak | 4 572,4 | – 26,0005 | 0,013461 | 2,8669E-06 | 0 | | | | |
| A330-301 | Prilaz uz minimalni potisak, visoka temperatura | 4 572,4 | – 26,0005 | 0,013461 | 2,8669E-06 | 0 | | | | |
| A330-301 | Maksimum za penjanje | 34 249,9 | 25,9859 | 0,764157 | – 8,1437E-07 | 0 | | | | |
| A330-301 | Maksimum za penjanje, visoka temperatura | 46 667,8 | 10,51272 | 0 | 0 | – 346 | | | | |
| A330-301 | Maksimum za uzlijetanje | 61 384,5 | – 48,4678 | 0,582821 | – 6,2628E-06 | 0 | | | | |
| A330-301 | Maksimum za penjanje, visoka temperatura | 69 058 | – 46,465 | 0 | 0 | – 288 | | | | |
| A330-343 | Opći | – 127 410 | – 9,31 | – 0,0386 | 0,000000569 | 0 | 162 922 | – 29 498,6 | | |
| A330-343 | Prilaz uz minimalni potisak | 3 134,3 | – 13,0338 | 0,085938 | 1,7155E-06 | 0 | | | | |
| A330-343 | Prilaz uz minimalni potisak, visoka temperatura | 3 134,3 | – 13,0338 | 0,085938 | 1,7155E-06 | 0 | | | | |
| A330-343 | Maksimum za penjanje | 44 462 | – 12,031 | 0,711026 | 5,12762E-06 | 0 | | | | |

▼M2

| ACFTID | Režim rada motora | E (lb) | F (lb/kt) | Ga (lb/ft) | Gb (lb/ft$^2$) | H (lb/ °C) | K1 (lb/EPR) | K2 (lb/EPR$^2$) | K3 (lb/(N1/√θ)) | K4 (lb/(N1/√θ)$^2$) |
|---|---|---|---|---|---|---|---|---|---|---|
| A330-343 | Maksimum za penjanje, visoka temperatura | 63 522,4 | – 50,7504 | 0 | 0 | – 411 | | | | |
| A330-343 | Maksimum za uzlijetanje | 69 831 | – 77,9676 | 0,882955 | – 0,000026894 | 0 | | | | |
| A330-343 | Maksimum za penjanje, visoka temperatura | 85 732,2 | – 78,8957 | 0 | 0 | – 451 | | | | |
| A340-211 | Opći | 19 716 | – 17,65 | – 0,0878 | 0 | 0 | | | – 590,77 | 7,341 |
| A340-211 | Prilaz uz minimalni potisak | 4 019,5 | – 20,508 | – 0,02271 | 1,16972E-05 | 0 | | | | |
| A340-211 | Prilaz uz minimalni potisak, visoka temperatura | 4 019,5 | – 20,508 | – 0,02271 | 1,16972E-05 | 0 | | | | |
| A340-211 | Maksimum za penjanje | 26 802,9 | – 28,8264 | 0,31673 | 3,50144E-06 | 0 | | | | |
| A340-211 | Maksimum za penjanje, visoka temperatura | 31 091,8 | – 31,4492 | 0 | 0 | – 160 | | | | |
| A340-211 | Maksimum za uzlijetanje | 29 929,8 | – 30,7732 | 0,29922 | – 4,1757E-06 | 0 | | | | |
| A340-211 | Maksimum za penjanje, visoka temperatura | 34 594,4 | – 30,094 | 0 | 0 | – 175 | | | | |
| A340-642 | Prilaz uz minimalni potisak | 6 529,4 | – 29,9521 | 0,272155 | – 0,000020281 | 0 | | | | |
| A340-642 | Prilaz uz minimalni potisak, visoka temperatura | 6 529,4 | – 29,9521 | 0,272155 | – 0,000020281 | 0 | | | | |
| A340-642 | Maksimum za penjanje | 42 621,6 | – 44,2784 | 0,484124 | 2,668E-07 | 0 | | | | |
| A340-642 | Maksimum za penjanje, visoka temperatura | 50 112 | – 60,5262 | 0 | 0 | – 212 | | | | |
| A340-642 | Maksimum za uzlijetanje | 55 248,1 | – 61,4744 | 0,506968 | – 9,6324E-06 | 0 | | | | |

▼M2

| ACFTID | Režim rada motora | E (lb) | F (lb/kt) | Ga (lb/ft) | Gb (lb/ft$^2$) | H (lb/ °C) | K1 (lb/EPR) | K2 (lb/EPR$^2$) | K3 (lb/(N1/√θ)) | K4 (lb/(N1/√θ)$^2$) |
|---|---|---|---|---|---|---|---|---|---|---|
| A340-642 | Maksimum za penjanje, visoka temperatura | 63 276,8 | – 59,6458 | 0 | 0 | – 300 | | | | |
| A380-841 | Prilaz uz minimalni potisak | 10 914,8 | – 31,2899 | – 2,1424 | 0,000260636 | 0 | | | | |
| A380-841 | Prilaz uz minimalni potisak, visoka temperatura | 10 914,8 | – 31,2899 | – 2,1424 | 0,000260636 | 0 | | | | |
| A380-841 | Maksimum za penjanje | 63 586,2 | – 53,9292 | 1,23082 | – 0,00003343 | 0 | | | | |
| A380-841 | Maksimum za penjanje, visoka temperatura | 72 974,3 | – 52,6993 | 0 | 0 | – 420 | | | | |
| A380-841 | Maksimum za uzlijetanje | 71 176,1 | – 84,4052 | 0,220679 | 0,000428339 | 0 | | | | |
| A380-841 | Maksimum za penjanje, visoka temperatura | 90 820,8 | – 94,5354 | 0 | 0 | – 610 | | | | |
| A380-861 | Prilaz uz minimalni potisak | 8 921,7 | – 30,2153 | – 0,87777 | 0,000104691 | 0 | | | | |
| A380-861 | Prilaz uz minimalni potisak, visoka temperatura | 8 921,7 | – 30,2153 | – 0,87777 | 0,000104691 | 0 | | | | |
| A380-861 | Maksimum za penjanje | 66 053,2 | – 61,754 | 0,977183 | – 0,000025178 | 0 | | | | |
| A380-861 | Maksimum za penjanje, visoka temperatura | 73 729,7 | – 65,1895 | 0 | 0 | – 324 | | | | |
| A380-861 | Maksimum za uzlijetanje | 70 053,6 | – 76,0931 | 0,838794 | – 0,000010766 | 0 | | | | |
| A380-861 | Maksimum za penjanje, visoka temperatura | 83 320,5 | – 82,3362 | 0 | 0 | – 432 | | | | |
| BAC111 | Maksimum za penjanje | 9 827,9 | – 5,89674 | – 0,01966 | 0 | 0 | | | | |
| BAC111 | Maksimum za uzlijetanje | 11 168,1 | – 6,70084 | – 0,02234 | 0 | 0 | | | | |

▼M2

| ACFTID | Režim rada motora | E (lb) | F (lb/kt) | Ga (lb/ft) | Gb (lb/ft$^2$) | H (lb/ °C) | K1 (lb/EPR) | K2 (lb/EPR$^2$) | K3 (lb/(N1/√θ)) | K4 (lb/(N1/√θ)$^2$) |
|---|---|---|---|---|---|---|---|---|---|---|
| BAE146 | Opći | – 13 783 | – 9,9585 | 0,056057 | – 1,23124E-05 | 0 | | | 304,295 | – 0,84327 |
| BAE146 | Maksimum za penjanje | 6 339,4 | – 9,9585 | 0,056057 | – 0,0000035 | 0 | | | | |
| BAE146 | Maksimum za uzlijetanje | 6 542,4 | – 9,9585 | 0,056057 | – 0,0000035 | 0 | | | | |
| BAE300 | Opći | – 13 783 | – 9,9585 | 0,056057 | – 1,23124E-05 | 0 | | | 304,295 | – 0,84327 |
| BAE300 | Maksimum za penjanje | 6 339,4 | – 9,9585 | 0,056057 | – 0,0000035 | 0 | | | | |
| BAE300 | Maksimum za uzlijetanje | 6 542,4 | – 9,9585 | 0,056057 | – 0,0000035 | 0 | | | | |
| CIT3 | Maksimum za penjanje | 2 987,4 | – 3,4992 | 0,06123 | – 1,1664E-06 | 0 | | | | |
| CIT3 | Maksimum za uzlijetanje | 3 319,3 | – 3,888 | 0,068032 | – 0,000001296 | 0 | | | | |
| CL600 | Maksimum za penjanje | 5 543,3 | – 5,6542 | 0,08442 | 0 | 0 | | | | |
| CL600 | Maksimum za uzlijetanje | 6 159,2 | – 6,2824 | 0,0938 | 0 | 0 | | | | |
| CL601 | Maksimum za penjanje | 6 517,3 | – 6,6476 | 0,09776 | 0 | 0 | | | | |
| CL601 | Maksimum za uzlijetanje | 7 241,4 | – 7,3862 | 0,10862 | 0 | 0 | | | | |
| CNA208 | Maksimum za penjanje | 2 953,9 | – 8,581 | – 0,00453 | – 7,2035E-07 | – 1,44 | | | | |
| CNA208 | Maksimum za uzlijetanje | 3 245,2 | – 11,69 | – 0,01053 | – 6,777E-07 | – 1,62 | | | | |
| CNA500 | Opći | 1 743,1 | – 1,64678 | – 0,00201 | – 1,5642E-07 | 0 | | | – 49,6794 | 0,545 |
| CNA500 | Maksimum za penjanje | 1 919,5 | – 1,99614 | 0,0615 | – 2,40502E-06 | 0 | | | | |
| CNA500 | Maksimum za uzlijetanje | 2 132,8 | – 2,21793 | 0,068333 | – 2,67224E-06 | 0 | | | | |

▼M2

| ACFTID | Režim rada motora | E (lb) | F (lb/kt) | Ga (lb/ft) | Gb (lb/ft$^2$) | H (lb/ °C) | K1 (lb/EPR) | K2 (lb/EPR$^2$) | K3 (lb/(N1/√θ)) | K4 (lb/(N1/√θ)$^2$) |
|---|---|---|---|---|---|---|---|---|---|---|
| CNA510 | Opći | 4 234,6 | – 1,68388 | 0,001047 | – 5,78019E-08 | 0 | | | – 103,817 | 0,811333 |
| CNA510 | Maksimum za penjanje | 1 486 | – 1,60533 | 0 | – 1,04748E-07 | 0 | | | | |
| CNA510 | Maksimum za uzlijetanje | 1 492,8 | – 1,87734 | 0 | – 2,55208E-06 | 0 | | | | |
| CNA525C | Opći | 1 528,4 | – 2,83667 | – 0,00013 | 2,55648E-07 | 0 | | | – 51,50512788 | 0,724013467 |
| CNA525C | Maksimum za penjanje | 3 001,7 | – 2,38854 | 0,004585 | – 1,4045E-07 | 0 | | | | |
| CNA525C | Maksimum za uzlijetanje | 3 464,1 | – 2,5254 | 0,001981 | – 1,46353E-06 | 0 | | | | |
| CNA55B | Opći | 1 373,8 | – 2,2903 | – 8,9E-05 | 3,2273E-08 | 0 | | | – 44,861 | 0,66327 |
| CNA55B | Maksimum za penjanje | 2 323,1 | – 2,4386 | 0,002159 | – 2,1456E-07 | 0 | | | | |
| CNA55B | Maksimum za uzlijetanje | 2 658,7 | – 2,6269 | – 0,00359 | 1,7262E-07 | 0 | | | | |
| CNA560E | Opći | 1 533,4 | – 2,49247 | 0,011973 | – 6,90894E-07 | 0 | | | – 53,9835 | 0,839574 |
| CNA560E | Maksimum za penjanje | 3 194,3 | – 2,53358 | 0,028038 | 2,70832E-07 | 0 | | | | |
| CNA560E | Maksimum za uzlijetanje | 3 316,5 | – 2,7005 | 0,04349 | – 6,52616E-07 | 0 | | | | |
| CNA560U | Maksimum za penjanje | 2 597,5 | – 2,22178 | 0,023781 | 6,12239E-08 | 0 | | | | |
| CNA560U | Maksimum za uzlijetanje | 2 920 | – 2,0264 | 0,025133 | 2,95314E-07 | 0 | | | | |
| CNA560XL | Maksimum za penjanje | 3 454,5 | – 3,98132 | – 0,0704 | 0 | 0 | | | | |
| CNA560XL | Maksimum za uzlijetanje | 3 838,3 | – 4,42368 | – 0,07823 | 0 | 0 | | | | |
| CNA680 | Opći | 2 904,8 | – 4,80092 | – 0,00174 | 5,62892E-07 | 0 | | | – 101,327 | 1,3401 |

▼M2

| ACFTID | Režim rada motora | E (lb) | F (lb/kt) | Ga (lb/ft) | Gb (lb/ft$^2$) | H (lb/ °C) | K1 (lb/EPR) | K2 (lb/EPR$^2$) | K3 (lb/(N1/√θ)) | K4 (lb/(N1/√θ)$^2$) |
|---|---|---|---|---|---|---|---|---|---|---|
| CNA680 | Maksimum za penjanje | 5 520,2 | – 5,32711 | – 0,02377 | 1,89918E-06 | 0 | | | | |
| CNA680 | Maksimum za uzlijetanje | 5 683 | – 6,55907 | – 0,00159 | 8,72971E-07 | 0 | | | | |
| CNA750 | Opći | 4 778,6 | – 6,56521 | 0,000671 | – 4,11321E-07 | 0 | | | – 146,712 | 1,9748 |
| CNA750 | Maksimum za penjanje | 6 097,8 | – 7,0102 | – 0,00528 | 3,74689E-08 | 0 | | | | |
| CNA750 | Maksimum za uzlijetanje | 6 127,8 | – 7,07624 | – 0,00394 | 3,95764E-08 | 0 | | | | |
| CONCRD | Maksimum za penjanje | 33 252,1 | – 26,6 | 0,2328 | 0 | 0 | | | | |
| CONCRD | Maksimum za uzlijetanje | 39 653 | – 31,722 | 0,2776 | 0 | 0 | | | | |
| CRJ9-ER | Opći | 6 087,3 | – 9,35507 | – 0,04736 | 1,55476E-07 | – 1,4767 | | | – 183,9266 | 2,785981 |
| CRJ9-ER | Prilaz uz minimalni potisak | 1 163,1 | – 4,5855 | – 0,0238 | 1,63611E-06 | – 0,0249 | | | | |
| CRJ9-ER | Maksimum za penjanje | 10 438,3 | – 9,64192 | 0,15855 | – 3,00077E-07 | – 1,3095 | | | | |
| CRJ9-ER | Maksimum za penjanje, visoka temperatura | 12 973,4 | – 9,57675 | – 0,05589 | 3,05523E-07 | – 100,415 | | | | |
| CRJ9-ER | Maksimum za uzlijetanje | 13 260,6 | – 16,6244 | 0,19849 | – 7,00045E-06 | – 1,6224 | | | | |
| CRJ9-ER | Maksimum za penjanje, visoka temperatura | 16 247,3 | – 17,4575 | 0,077341 | – 1,06353E-05 | – 109,219 | | | | |
| CRJ9-LR | Opći | 6 087,3 | – 9,35507 | – 0,04736 | 1,55476E-07 | – 1,4767 | | | – 183,9266 | 2,785981 |
| CRJ9-LR | Prilaz uz minimalni potisak | 1 163,1 | – 4,5855 | – 0,0238 | 1,63611E-06 | – 0,0249 | | | | |
| CRJ9-LR | Maksimum za penjanje | 10 438,3 | – 9,64192 | 0,15855 | – 3,00077E-07 | – 1,3095 | | | | |

▼M2

| ACFTID | Režim rada motora | E (lb) | F (lb/kt) | Ga (lb/ft) | Gb (lb/ft$^2$) | H (lb/ °C) | K1 (lb/EPR) | K2 (lb/EPR$^2$) | K3 (lb/(N1/√θ)) | K4 (lb/(N1/√θ)$^2$) |
|---|---|---|---|---|---|---|---|---|---|---|
| CRJ9-LR | Maksimum za penjanje, visoka temperatura | 12 973,4 | – 9,57675 | – 0,05589 | 3,05523E-07 | – 100,415 | | | | |
| CRJ9-LR | Maksimum za uzlijetanje | 13 260,6 | – 16,6244 | 0,19849 | – 7,00045E-06 | – 1,6224 | | | | |
| CRJ9-LR | Maksimum za penjanje, visoka temperatura | 16 247,3 | – 17,4575 | 0,077341 | – 1,06353E-05 | – 109,219 | | | | |
| DC1010 | Opći | 25 027,6 | – 27,4313 | – 0,07828 | 0 | 0 | | | – 694,556 | 8,02362 |
| DC1010 | Maksimum za penjanje | 30 596 | – 28,4416 | – 0,10164 | 5,0902E-07 | 0 | | | | |
| DC1010 | Maksimum za uzlijetanje | 35 985,4 | – 30,9909 | – 0,11075 | 5,5465E-07 | 0 | | | | |
| DC1030 | Maksimum za penjanje | 38 520 | – 29,38 | 0,49 | 0 | 0 | | | | |
| DC1030 | Maksimum za uzlijetanje | 49 310 | – 42,42 | 0,61 | 0 | 0 | | | | |
| DC1040 | Opći | – 143 602 | – 14,4996 | – 0,05026 | 0 | 0 | 204 567 | – 54 761,9 | | |
| DC1040 | Maksimum za penjanje | 34 087,9 | – 12,9859 | – 0,04641 | 2,3241E-07 | 0 | | | | |
| DC1040 | Maksimum za uzlijetanje | 41 594,9 | – 22,3071 | – 0,07971 | 3,9923E-07 | 0 | | | | |
| DC850 | Opći | – 22 582,8 | – 6,58409 | – 0,02081 | 0 | 0 | 29 070,9 | – 4 341,84 | | |
| DC850 | Maksimum za penjanje | 14 243,5 | – 5,6565 | – 0,02021 | 1,0123E-07 | 0 | | | | |
| DC850 | Maksimum za uzlijetanje | 15 670,3 | – 5,8955 | – 0,02107 | 1,0551E-07 | 0 | | | | |
| DC860 | Opći | – 27 959,5 | – 6,35297 | – 0,01835 | 0 | 0 | 35 850,3 | – 6 157,74 | | |
| DC860 | Maksimum za penjanje | 15 558,7 | – 7,2339 | – 0,02585 | 1,2947E-07 | 0 | | | | |
| DC860 | Maksimum za uzlijetanje | 16 740,5 | – 4,9394 | – 0,01765 | 8,8401E-08 | 0 | | | | |

▼M2

| ACFTID | Režim rada motora | E (lb) | F (lb/kt) | Ga (lb/ft) | Gb (lb/ft$^2$) | H (lb/ °C) | K1 (lb/EPR) | K2 (lb/EPR$^2$) | K3 (lb/(N1/√θ)) | K4 (lb/(N1/√θ)$^2$) |
|---|---|---|---|---|---|---|---|---|---|---|
| DC870 | Opći | 11 106 | – 10,09 | – 0,0409 | 0 | 0 | | | – 369,8 | 4,835 |
| DC870 | Maksimum za penjanje | 18 859 | – 17,91 | 0,1953 | 0 | – 2,034 | | | | |
| DC870 | Maksimum za uzlijetanje | 20 758 | – 20,65 | 0,2173 | 0 | 0 | | | | |
| DC8QN | Opći | – 27 959,5 | – 6,35297 | – 0,01835 | 0 | 0 | 35 850,3 | – 6 157,74 | | |
| DC8QN | Maksimum za penjanje | 15 558,7 | – 7,2339 | – 0,02585 | 1,2947E-07 | 0 | | | | |
| DC8QN | Maksimum za uzlijetanje | 16 740,5 | – 4,9394 | – 0,01765 | 8,8401E-08 | 0 | | | | |
| DC910 | Opći | – 10 596,5 | – 1,51369 | – 0,00525 | 0 | 0 | 11 541,7 | 162,698 | | |
| DC910 | Maksimum za penjanje | 11 194,3 | – 3,0274 | – 0,01082 | 5,4181E-08 | 0 | | | | |
| DC910 | Maksimum za uzlijetanje | 12 308,2 | – 0,478 | 0,001708 | 8,55E-09 | 0 | | | | |
| DC930 | Opći | – 13 523,2 | – 2,66888 | – 0,00925 | 0 | 0 | 15 803,6 | – 1 257,94 | | |
| DC930 | Maksimum za penjanje | 11 561,8 | – 2,94773 | – 0,01053 | 5,2756E-08 | 0 | | | | |
| DC930 | Maksimum za uzlijetanje | 12 972 | – 2,31038 | – 0,00826 | 4,1349E-08 | 0 | | | | |
| DC93LW | Opći | – 13 523,2 | – 2,66888 | – 0,00925 | 0 | 0 | 15 803,6 | – 1 257,94 | | |
| DC93LW | Maksimum za penjanje | 11 561,8 | – 2,94773 | – 0,01053 | 5,2756E-08 | 0 | | | | |
| DC93LW | Maksimum za uzlijetanje | 12 972 | – 2,31038 | – 0,00826 | 4,1349E-08 | 0 | | | | |
| DC950 | Opći | – 13 523,2 | – 2,66888 | – 0,00925 | 0 | 0 | 15 803,6 | – 1 257,94 | | |
| DC950 | Maksimum za penjanje | 12 365,4 | – 2,54939 | – 0,00911 | 4,5627E-08 | 0 | | | | |
| DC950 | Maksimum za uzlijetanje | 14 698,5 | – 2,13511 | – 0,00763 | 3,8212E-08 | 0 | | | | |

▼M2

| ACFTID | Režim rada motora | E (lb) | F (lb/kt) | Ga (lb/ft) | Gb (lb/ft$^2$) | H (lb/ °C) | K1 (lb/EPR) | K2 (lb/EPR$^2$) | K3 (lb/(N1/√θ)) | K4 (lb/(N1/√θ)$^2$) |
|---|---|---|---|---|---|---|---|---|---|---|
| DC95HW | Opći | – 13 523,2 | – 2,66888 | – 0,00925 | 0 | 0 | 15 803,6 | – 1 257,94 | | |
| DC95HW | Maksimum za penjanje | 12 365,4 | – 2,54939 | – 0,00911 | 4,5627E-08 | 0 | | | | |
| DC95HW | Maksimum za uzlijetanje | 14 698,5 | – 2,13511 | – 0,00763 | 3,8212E-08 | 0 | | | | |
| DC9Q7 | Opći | – 10 596,5 | – 1,51369 | – 0,00525 | 0 | 0 | 11 541,7 | 162,698 | | |
| DC9Q7 | Maksimum za penjanje | 11 194,3 | – 3,0274 | – 0,01082 | 5,4181E-08 | 0 | | | | |
| DC9Q7 | Maksimum za uzlijetanje | 12 308,2 | – 0,478 | 0,001708 | 8,55E-09 | 0 | | | | |
| DC9Q9 | Opći | – 13 523,2 | – 2,66888 | – 0,00925 | 0 | 0 | 15 803,6 | – 1 257,94 | | |
| DC9Q9 | Maksimum za penjanje | 11 561,8 | – 2,94773 | – 0,01053 | 5,2756E-08 | 0 | | | | |
| DC9Q9 | Maksimum za uzlijetanje | 12 972 | – 2,31038 | – 0,00826 | 4,1349E-08 | 0 | | | | |
| DHC8 | Opći | 2 010,7 | – 19,409 | 0,07743 | 0 | 0 | | | 54,6666 | – 0,0828 |
| DHC8 | Maksimum za penjanje | 6 323,6 | – 21,4445 | 0,088232 | 0 | 0 | | | | |
| DHC8 | Maksimum za uzlijetanje | 7 026,2 | – 23,8272 | 0,098036 | 0 | 0 | | | | |
| DHC830 | Opći | 1 623,1 | – 18,411 | 0,075104 | 0 | 0 | | | 72,6356 | – 0,17951 |
| DHC830 | Maksimum za penjanje | 6 679 | – 21,9919 | 0,090305 | 0 | 0 | | | | |
| DHC830 | Maksimum za uzlijetanje | 7 421,1 | – 24,4354 | 0,100339 | 0 | 0 | | | | |
| DO228 | Maksimum za penjanje | 2 571 | – 7,9721 | 0,07004 | – 4,9292E-06 | 0 | | | | |
| DO228 | Maksimum za uzlijetanje | 2 524,3 | – 8,067 | 0,06042 | – 6,8678E-06 | 0 | | | | |
| DO328 | Maksimum za penjanje | 7 752,5 | – 23,2 | 0,225 | – 0,0000158 | 0 | | | | |

▼M2

| ACFTID | Režim rada motora | E (lb) | F (lb/kt) | Ga (lb/ft) | Gb (lb/ft$^2$) | H (lb/ °C) | K1 (lb/EPR) | K2 (lb/EPR$^2$) | K3 (lb/(N1/√θ)) | K4 (lb/(N1/√θ)$^2$) |
|---|---|---|---|---|---|---|---|---|---|---|
| DO328 | Maksimum za uzlijetanje | 8 138,2 | – 28,1 | 0,199 | – 0,000021 | 0 | | | | |
| ECLIPSE500 | Maksimum za penjanje | 947,7 | – 0,73662 | 0,018307 | 2,63346E-07 | – 0,0571 | | | | |
| ECLIPSE500 | Maksimum za penjanje, visoka temperatura | 1 077,4 | – 1,20966 | – 0,00912 | 1,28125E-07 | – 9,84248 | | | | |
| ECLIPSE500 | Maksimum za uzlijetanje | 1 039,2 | – 1,57439 | 0,034769 | – 0,000002274 | – 0,0323 | | | | |
| ECLIPSE500 | Maksimum za penjanje, visoka temperatura | 1 258,9 | – 1,6144 | – 0,00748 | 3,13285E-08 | – 10,7499 | | | | |
| ECLIPSE500 | Smanjeni potisak za penjanje | 1 084,2 | – 1,38862 | 0,009974 | 7,08687E-08 | 0,048579 | | | | |
| ECLIPSE500 | Smanjeni potisak za penjanje, visoka temperatura | 1 168,6 | – 1,50732 | – 0,01586 | 3,07776E-07 | – 11,2558 | | | | |
| EMB120 | Maksimum za penjanje | 4 668 | – 11,932 | 0,0664 | 0 | – 5,663 | | | | |
| EMB120 | Maksimum za uzlijetanje | 5 212 | – 12,45 | 0,0728 | 0 | – 6,87 | | | | |
| EMB145 | Maksimum za penjanje | 5 554,3 | – 6,86092 | 0,065416 | 0 | – 4,036 | | | | |
| EMB145 | Maksimum za uzlijetanje | 7 499,5 | – 9,12812 | 0,045563 | 0 | – 22,89 | | | | |
| EMB14L | Maksimum za penjanje | 6 432,5 | – 7,56929 | 0,069004 | 0 | – 5,419 | | | | |
| EMB14L | Maksimum za uzlijetanje | 7 246,1 | – 8,61031 | 0,232825 | 0 | – 0,9689 | | | | |
| EMB170 | Prilaz uz minimalni potisak | 945 | – 3,5 | – 0,01 | 0 | 0 | | | | |
| EMB170 | Maksimum za penjanje | 11 716 | – 13,423 | 0,25 | – 0,000019 | 0 | | | | |

▼M2

| ACFTID | Režim rada motora | E (lb) | F (lb/kt) | Ga (lb/ft) | Gb (lb/ft$^2$) | H (lb/ °C) | K1 (lb/EPR) | K2 (lb/EPR$^2$) | K3 (lb/(N1/√θ)) | K4 (lb/(N1/√θ)$^2$) |
|---|---|---|---|---|---|---|---|---|---|---|
| EMB170 | Maksimum za uzlijetanje | 13 350 | – 17,43 | 0,1875 | – 0,000013 | – 4,47 | | | | |
| EMB175 | Prilaz uz minimalni potisak | 945 | – 3,5 | – 0,01 | 0 | 0 | | | | |
| EMB175 | Maksimum za penjanje | 11 716 | – 13,423 | 0,25 | – 0,000019 | 0 | | | | |
| EMB175 | Maksimum za uzlijetanje | 13 350 | – 17,43 | 0,1875 | – 0,000013 | – 4,47 | | | | |
| EMB190 | Prilaz uz minimalni potisak | 1 080 | – 3,65 | 0,011 | 0 | 0 | | | | |
| EMB190 | Maksimum za penjanje | 15 137 | – 14,3 | 0,239 | – 0,0000187 | 0 | | | | |
| EMB190 | Maksimum za uzlijetanje | 17 499 | – 18,99 | 0,3207 | – 0,000021 | – 4,29 | | | | |
| EMB195 | Prilaz uz minimalni potisak | 1 080 | – 3,65 | 0,011 | 0 | 0 | | | | |
| EMB195 | Maksimum za penjanje | 15 137 | – 14,3 | 0,239 | – 0,0000187 | 0 | | | | |
| EMB195 | Maksimum za uzlijetanje | 17 499 | – 18,99 | 0,3207 | – 0,000021 | – 4,29 | | | | |
| F10062 | Maksimum za penjanje | 10 472 | – 9,57 | 0,137 | 0 | 0 | | | | |
| F10062 | Maksimum za uzlijetanje | 13 551 | – 16,56 | 0,2804 | 0 | 0 | | | | |
| F10065 | Maksimum za penjanje | 10 970 | – 10,52 | 0,1238 | 0 | 0 | | | | |
| F10065 | Maksimum za uzlijetanje | 14 814 | – 16,72 | 0,065 | 0 | 0 | | | | |
| F28MK2 | Maksimum za penjanje | 8 408 | – 4,72 | 0,1048 | 0 | 0 | | | | |
| F28MK2 | Maksimum za uzlijetanje | 9 851 | – 7,68 | 0,0889 | 0 | 0 | | | | |
| F28MK4 | Maksimum za penjanje | 8 459 | – 4,874 | 0,0997 | 0 | 0 | | | | |

▼M2

| ACFTID | Režim rada motora | E (lb) | F (lb/kt) | Ga (lb/ft) | Gb (lb/ft$^2$) | H (lb/ °C) | K1 (lb/EPR) | K2 (lb/EPR$^2$) | K3 (lb/(N1/√θ)) | K4 (lb/(N1/√θ)$^2$) |
|---|---|---|---|---|---|---|---|---|---|---|
| F28MK4 | Maksimum za uzlijetanje | 9 905 | – 7,445 | 0,0765 | 0 | 0 | | | | |
| FAL20 | Maksimum za penjanje | 4 102 | – 2,3831 | – 0,11465 | 1,02126E-05 | 0 | | | | |
| FAL20 | Maksimum za uzlijetanje | 4 017,4 | – 3,4567 | 0,058024 | – 2,49247E-06 | 0 | | | | |
| GII | Maksimum za penjanje | 9 827,9 | – 5,89674 | – 0,01966 | 0 | 0 | | | | |
| GII | Maksimum za uzlijetanje | 11 324 | – 9,697 | 0,1539 | – 0,000004 | 0 | | | | |
| GII | Maksimum za penjanje, visoka temperatura | 12 833 | – 8,35 | 0,0346 | – 0,000004 | – 74,58 | | | | |
| GII | Smanjeni potisak za penjanje | 6 030 | 0 | – 0,0081 | 0,0000002 | 0 | | | | |
| GII | Smanjeni potisak za uzlijetanje | 9 060 | – 7,27 | 0,121 | – 0,000003 | 0 | | | | |
| GII | Smanjeni potisak za uzlijetanje, visoka temperatura | 10 266 | – 6,25 | 0,0277 | – 0,0000003 | – 59,7 | | | | |
| GIIB | Maksimum za penjanje | 9 827,9 | – 5,89674 | – 0,01966 | 0 | 0 | | | | |
| GIIB | Maksimum za uzlijetanje | 11 324 | – 9,697 | 0,1539 | – 0,000004 | 0 | | | | |
| GIIB | Maksimum za penjanje, visoka temperatura | 12 833 | – 8,35 | 0,0346 | – 0,000004 | – 74,58 | | | | |
| GIIB | Smanjeni potisak za penjanje | 5 369 | 0 | – 0,0081 | 0 | 0 | | | | |
| GIIB | Smanjeni potisak za uzlijetanje | 9 060 | – 7,27 | 0,121 | – 0,000003 | 0 | | | | |
| GIIB | Smanjeni potisak za uzlijetanje, visoka temperatura | 10 266 | – 6,25 | 0,0277 | – 0,0000003 | – 59,7 | | | | |
| GIV | Maksimum za penjanje | 10 770 | – 10,96 | 0,1784 | – 0,000001 | 0 | | | | |

▼M2

| ACFTID | Režim rada motora | E (lb) | F (lb/kt) | Ga (lb/ft) | Gb (lb/ft$^2$) | H (lb/ °C) | K1 (lb/EPR) | K2 (lb/EPR$^2$) | K3 (lb/(N1/√θ)) | K4 (lb/(N1/√θ)$^2$) |
|---|---|---|---|---|---|---|---|---|---|---|
| GIV | Maksimum za penjanje, visoka temperatura | 11 805 | – 9,4 | – 0,0624 | 0 | – 89 | | | | |
| GIV | Maksimum za uzlijetanje | 13 725 | – 18,2 | 0,3189 | – 0,00002 | 0 | | | | |
| GIV | Maksimum za penjanje, visoka temperatura | 17 129 | – 17,6 | – 0,0472 | 0,0000003 | – 114 | | | | |
| GV | Maksimum za penjanje | 12 400 | – 11,6 | 0,12 | 0 | 0 | | | | |
| GV | Maksimum za penjanje, visoka temperatura | 14 900 | – 11,2 | – 0,11 | 0 | – 107 | | | | |
| GV | Maksimum za uzlijetanje | 14 600 | – 18,86 | 0,1649 | 0 | 0 | | | | |
| GV | Maksimum za penjanje, visoka temperatura | 18 970 | – 18,4 | – 0,115 | 0 | – 126,5 | | | | |
| IA1125 | Maksimum za penjanje | 3 114,4 | – 3,4992 | 0,04125 | – 2,81988E-06 | 0 | | | | |
| IA1125 | Maksimum za uzlijetanje | 3 460,5 | – 3,888 | 0,045834 | – 3,1332E-06 | 0 | | | | |
| L1011 | Opći | – 80 222,2 | – 25,0263 | 0 | 0 | 0 | 92 893,5 | – 10 186,1 | | |
| L1011 | Maksimum za penjanje | 34 204,8 | – 43,8172 | 0,270193 | 2,0153E-06 | 0 | | | | |
| L1011 | Maksimum za uzlijetanje | 40 720 | – 52,1633 | 0,321659 | 2,3992E-06 | 0 | | | | |
| L10115 | Maksimum za penjanje | 39 532,9 | – 44,0258 | 0,27148 | 2,02494E-06 | 0 | | | | |
| L10115 | Maksimum za uzlijetanje | 46 840 | – 52,1633 | 0,321659 | 2,3992E-06 | 0 | | | | |
| LEAR25 | Maksimum za penjanje | 2 560,9 | – 1,8352 | – 0,01509 | 1,95912E-06 | 0 | | | | |

▼M2

| ACFTID | Režim rada motora | E (lb) | F (lb/kt) | Ga (lb/ft) | Gb (lb/ft$^2$) | H (lb/ °C) | K1 (lb/EPR) | K2 (lb/EPR$^2$) | K3 (lb/(N1/√θ)) | K4 (lb/(N1/√θ)$^2$) |
|---|---|---|---|---|---|---|---|---|---|---|
| LEAR25 | Maksimum za uzlijetanje | 2 845,4 | – 2,03911 | – 0,01677 | 2,1768E-06 | 0 | | | | |
| LEAR35 | Maksimum za penjanje | 3 071 | – 3,4992 | – 0,00397 | 1,38915E-06 | 0 | | | | |
| LEAR35 | Maksimum za uzlijetanje | 3 412,2 | – 3,888 | – 0,00441 | 1,5435E-06 | 0 | | | | |
| MD11GE | Maksimum za penjanje | 47 037 | – 45,71 | 0,854 | 0 | – 368,1 | | | | |
| MD11GE | Maksimum za uzlijetanje | 57 156 | – 42,73 | 0,303 | 0 | – 357,5 | | | | |
| MD11PW | Maksimum za penjanje | 51 197 | – 59,27 | 0,416 | 0 | – 357 | | | | |
| MD11PW | Maksimum za uzlijetanje | 57 661 | – 51,3 | 0,513 | 0 | – 426,6 | | | | |
| MD81 | Opći | – 15 384 | – 10 | 0,019 | 0 | 0 | 17 917 | 0 | | |
| MD81 | Maksimum za penjanje | 18 040,9 | – 8,83022 | – 0,02993 | 0 | – 114,3 | | | | |
| MD81 | Maksimum za penjanje, visoka temperatura | 21 047,1 | – 12,8373 | – 0,07163 | 0 | – 151,8 | | | | |
| MD81 | Maksimum za uzlijetanje | 18 810,5 | – 11,1271 | 0,092622 | 0 | – 2,101 | | | | |
| MD81 | Maksimum za penjanje, visoka temperatura | 22 678,5 | – 14,546 | – 0,05823 | 0 | – 138,4 | | | | |
| MD82 | Opći | – 13 488 | – 10 | 0,025 | 0 | 0 | 16 750 | 0 | | |
| MD82 | Maksimum za penjanje | 16 810,1 | – 5,36467 | 0,048334 | 0 | – 60,8 | | | | |
| MD82 | Maksimum za penjanje, visoka temperatura | 22 606,4 | – 13,9975 | – 0,09177 | 0 | – 168,1 | | | | |
| MD82 | Maksimum za uzlijetanje | 19 344,5 | – 15,5531 | 0,333164 | 0 | – 1,031 | | | | |

▼M2

| ACFTID | Režim rada motora | E (lb) | F (lb/kt) | Ga (lb/ft) | Gb (lb/ft$^2$) | H (lb/ °C) | K1 (lb/EPR) | K2 (lb/EPR$^2$) | K3 (lb/(N1/√θ)) | K4 (lb/(N1/√θ)$^2$) |
|---|---|---|---|---|---|---|---|---|---|---|
| MD82 | Maksimum za penjanje, visoka temperatura | 24 452 | – 16,6869 | 0,005711 | 0 | – 162,5 | | | | |
| MD83 | Opći | – 13 845 | – 13,33 | 0,019 | 0 | 0 | 17 500 | 0 | | |
| MD83 | Maksimum za penjanje | 18 075,2 | – 7,63873 | 0,058915 | 0 | – 64,7 | | | | |
| MD83 | Maksimum za penjanje, visoka temperatura | 23 181,6 | – 13,4908 | – 0,09344 | 0 | – 164 | | | | |
| MD83 | Maksimum za uzlijetanje | 20 080,8 | – 11,9047 | 0,191099 | 0 | – 4,078 | | | | |
| MD83 | Maksimum za penjanje, visoka temperatura | 25 460,4 | – 15,5681 | – 0,05468 | 0 | – 176,1 | | | | |
| MD9025 | Opći | – 31 899 | – 8,5718 | – 0,0276 | 0 | 0 | 37 206 | 0 | | |
| MD9025 | Maksimum za penjanje | 23 881 | – 30,625 | 0,2551 | 0 | 0 | | | | |
| MD9025 | Maksimum za penjanje, visoka temperatura | 27 078,4 | – 30,625 | 0 | 0 | – 213,2 | | | | |
| MD9025 | Maksimum za uzlijetanje | 23 066 | – 23,5769 | 0,3147 | 0 | 0 | | | | |
| MD9025 | Maksimum za penjanje, visoka temperatura | 28 697,1 | – 23,5769 | 0 | 0 | – 225,2 | | | | |
| MD9028 | Opći | – 31 899 | – 8,5718 | – 0,0276 | 0 | 0 | 37 206 | 0 | | |
| MD9028 | Maksimum za penjanje | 23 421 | – 26,5453 | 0,2599 | 0 | 0 | | | | |
| MD9028 | Maksimum za penjanje, visoka temperatura | 26 678,6 | – 26,5453 | 0 | 0 | – 217,2 | | | | |
| MD9028 | Maksimum za uzlijetanje | 25 656 | – 25,3418 | 0,2419 | 0 | 0 | | | | |

▼M2

| ACFTID | Režim rada motora | E (lb) | F (lb/kt) | Ga (lb/ft) | Gb (lb/ft$^2$) | H (lb/ °C) | K1 (lb/EPR) | K2 (lb/EPR$^2$) | K3 (lb/(N1/√θ)) | K4 (lb/(N1/√θ)$^2$) |
|---|---|---|---|---|---|---|---|---|---|---|
| MD9028 | Maksimum za penjanje, visoka temperatura | 30 520 | – 25,3418 | 0 | 0 | – 194,6 | | | | |
| MU3001 | Opći | 1 743,1 | – 1,64678 | – 0,00201 | – 1,5642E-07 | 0 | | | – 49,6794 | 0,545 |
| MU3001 | Maksimum za penjanje | 1 919,5 | – 1,99614 | 0,0615 | – 2,40502E-06 | 0 | | | | |
| MU3001 | Maksimum za uzlijetanje | 2 132,8 | – 2,21793 | 0,068333 | – 2,67224E-06 | 0 | | | | |
| PA42 | Maksimum za penjanje | 2 295,2 | – 6,6307 | 0,041917 | 5,8567E-07 | 0 | | | | |
| PA42 | Maksimum za uzlijetanje | 2 219,6 | – 5,9898 | 0,044468 | 2,8008E-07 | 0 | | | | |

▼M2

*Tablica I-8*

**Koeficijenti za elisne motore**

| ACFT_ID | Režim rada motora | Učinkovitost elise | Instalirana neto pogonska snaga (hp) |
|---|---|---|---|
| BEC58P | Maksimum za penjanje | 0,90 | 261,3 |
| BEC58P | Maksimum za uzlijetanje | 0,90 | 310,0 |
| CNA172 | Maksimum za penjanje | 0,69 | 140,0 |
| CNA172 | Maksimum za uzlijetanje | 0,67 | 155,0 |
| CNA182 | Maksimum za penjanje | 0,78 | 189,8 |
| CNA182 | Maksimum za uzlijetanje | 0,75 | 222,4 |
| CNA206 | Maksimum za penjanje | 0,77 | 234,0 |
| CNA206 | Maksimum za uzlijetanje | 0,70 | 300,0 |
| CNA20T | Maksimum za penjanje | 0,77 | 238,0 |
| CNA20T | Maksimum za uzlijetanje | 0,69 | 310,0 |
| CNA441 | Maksimum za penjanje | 0,90 | 620,0 |
| CNA441 | Maksimum za uzlijetanje | 0,90 | 635,5 |
| CVR580 | Maksimum za penjanje | 0,85 | 3 344,0 |
| CVR580 | Maksimum za uzlijetanje | 0,85 | 3 800,0 |
| DC3 | Maksimum za penjanje | 0,85 | 1 130,0 |
| DC3 | Maksimum za uzlijetanje | 0,85 | 1 302,0 |
| DC6 | Maksimum za penjanje | 0,90 | 1 750,0 |
| DC6 | Maksimum za uzlijetanje | 0,90 | 1 900,0 |
| DHC6 | Maksimum za penjanje | 0,90 | 557,5 |

▼**M2**

| ACFT_ID | Režim rada motora | Učinkovitost elise | Instalirana neto pogonska snaga (hp) |
|---|---|---|---|
| DHC6 | Maksimum za uzlijetanje | 0,90 | 587,0 |
| DHC6QP | Maksimum za penjanje | 0,90 | 557,5 |
| DHC6QP | Maksimum za uzlijetanje | 0,90 | 587,0 |
| DHC7 | Maksimum za penjanje | 0,90 | 846,0 |
| DHC7 | Maksimum za uzlijetanje | 0,90 | 940,0 |
| HS748A | Maksimum za penjanje | 0,90 | 1 805,0 |
| HS748A | Maksimum za uzlijetanje | 0,90 | 2 006,0 |
| L188 | Maksimum za penjanje | 0,90 | 3 180,0 |
| L188 | Maksimum za uzlijetanje | 0,90 | 3 460,0 |
| PA30 | Maksimum za penjanje | 0,80 | 130,5 |
| PA30 | Maksimum za uzlijetanje | 0,80 | 139,5 |
| SD330 | Maksimum za penjanje | 0,90 | 972,0 |
| SD330 | Maksimum za uzlijetanje | 0,90 | 1 080,0 |
| SF340 | Maksimum za penjanje | 0,90 | 1 587,0 |
| SF340 | Maksimum za uzlijetanje | 0,90 | 1 763,0 |

▼M2

*Tablica I-9*

**NPD (buka-snaga-udaljenost) podaci**

| NPD_ID | Mjera buke | Tip operacije (Op type) | Režim rada motora (polje „Parametar snage ” u tablici „Zrakoplov” navodi vrstu režima rada i jedinicu) | L_200ft | L_400ft | L_630ft | L_1000ft | L_2000ft | L_4000ft | L_6300ft | L_10000ft | L_16000ft | L_25000ft |
|---|---|---|---|---|---|---|---|---|---|---|---|---|---|
| 2CF650 | LAmax | A | 10 000,0 | 99,2 | 91,9 | 86,7 | 81,0 | 72,1 | 63,0 | 56,7 | 49,6 | 41,6 | 33,1 |
| 2CF650 | LAmax | A | 25 000,0 | 105,3 | 98,3 | 93,4 | 88,0 | 79,5 | 70,5 | 64,3 | 57,4 | 49,7 | 41,5 |
| 2CF650 | LAmax | D | 25 000,0 | 105,3 | 98,3 | 93,4 | 88,0 | 79,5 | 70,5 | 64,3 | 57,4 | 49,7 | 41,5 |
| 2CF650 | LAmax | D | 40 000,0 | 109,1 | 102,3 | 97,6 | 92,5 | 84,3 | 75,4 | 69,3 | 62,6 | 55,1 | 47,2 |
| 2CF650 | SEL | A | 10 000,0 | 99,9 | 95,0 | 91,4 | 87,5 | 81,3 | 74,6 | 69,7 | 64,2 | 57,7 | 50,7 |
| 2CF650 | SEL | A | 25 000,0 | 103,7 | 99,3 | 96,1 | 92,7 | 87,1 | 80,6 | 75,8 | 70,5 | 64,3 | 57,5 |
| 2CF650 | SEL | D | 25 000,0 | 103,7 | 99,3 | 96,1 | 92,7 | 87,1 | 80,6 | 75,8 | 70,5 | 64,3 | 57,5 |
| 2CF650 | SEL | D | 40 000,0 | 106,8 | 102,9 | 100,1 | 97,1 | 92,0 | 85,8 | 81,0 | 75,9 | 69,9 | 63,4 |
| 2CF680 | LAmax | A | 7 000,0 | 96,3 | 89,8 | 85,2 | 80,2 | 71,9 | 63,2 | 56,9 | 50,8 | 44,1 | 37,7 |
| 2CF680 | LAmax | A | 12 000,0 | 97,5 | 90,9 | 86,3 | 81,3 | 73,0 | 64,4 | 58,3 | 52,3 | 45,8 | 39,6 |
| 2CF680 | LAmax | D | 17 000,0 | 98,2 | 91,5 | 87,0 | 82,1 | 74,2 | 65,8 | 59,7 | 53,6 | 46,9 | 40,4 |
| 2CF680 | LAmax | D | 25 000,0 | 98,5 | 92,6 | 88,3 | 83,7 | 76,4 | 68,0 | 62,0 | 55,6 | 48,7 | 41,8 |
| 2CF680 | LAmax | D | 33 000,0 | 101,5 | 95,8 | 91,7 | 87,3 | 80,2 | 71,8 | 65,8 | 59,4 | 52,5 | 45,5 |
| 2CF680 | LAmax | D | 41 000,0 | 104,4 | 99,0 | 95,2 | 91,0 | 84,1 | 75,8 | 69,7 | 63,2 | 56,0 | 48,8 |
| 2CF680 | SEL | A | 7 000,0 | 98,1 | 93,9 | 90,8 | 87,4 | 81,4 | 75,0 | 70,3 | 65,7 | 60,6 | 55,7 |
| 2CF680 | SEL | A | 12 000,0 | 99,3 | 95,0 | 91,9 | 88,5 | 82,5 | 76,2 | 71,7 | 67,2 | 62,3 | 57,6 |

▼M2

| NPD_ID | Mjera buke | Tip operacije (Op type) | Režim rada motora (polje „Parametar snage ” u tablici „Zrakoplov” navodi vrstu režima rada i jedinicu) | L_200ft | L_400ft | L_630ft | L_1000ft | L_2000ft | L_4000ft | L_6300ft | L_10000ft | L_16000ft | L_25000ft |
|---|---|---|---|---|---|---|---|---|---|---|---|---|---|
| 2CF680 | SEL | D | 17 000,0 | 100,0 | 95,6 | 92,6 | 89,3 | 83,7 | 77,6 | 73,1 | 68,5 | 63,4 | 58,4 |
| 2CF680 | SEL | D | 25 000,0 | 100,3 | 96,7 | 93,9 | 90,9 | 85,9 | 79,8 | 75,4 | 70,5 | 65,2 | 59,8 |
| 2CF680 | SEL | D | 33 000,0 | 103,3 | 99,9 | 97,3 | 94,5 | 89,7 | 83,6 | 79,2 | 74,3 | 69,0 | 63,5 |
| 2CF680 | SEL | D | 41 000,0 | 106,2 | 103,1 | 100,8 | 98,2 | 93,6 | 87,6 | 83,1 | 78,1 | 72,5 | 66,8 |
| 2CF68D | LAmax | A | 10 020,0 | 97,7 | 91,0 | 85,8 | 81,1 | 73,0 | 64,5 | 58,5 | 51,7 | 44,8 | 38,3 |
| 2CF68D | LAmax | A | 23 190,0 | 103,3 | 96,5 | 91,5 | 86,5 | 77,5 | 68,3 | 61,7 | 54,6 | 47,5 | 40,4 |
| 2CF68D | LAmax | D | 25 940,0 | 101,9 | 94,6 | 89,8 | 85,0 | 77,5 | 68,9 | 62,6 | 55,3 | 47,5 | 37,2 |
| 2CF68D | LAmax | D | 39 180,0 | 104,2 | 97,6 | 93,1 | 89,0 | 81,7 | 73,4 | 66,8 | 60,1 | 52,2 | 42,2 |
| 2CF68D | LAmax | D | 51 530,0 | 108,4 | 102,1 | 97,8 | 93,5 | 86,7 | 78,9 | 72,8 | 66,3 | 58,7 | 49,2 |
| 2CF68D | LAmax | D | 55 500,0 | 111,4 | 105,1 | 100,8 | 96,5 | 88,7 | 82,4 | 76,3 | 70,3 | 62,7 | 54,0 |
| 2CF68D | SEL | A | 10 020,0 | 99,5 | 95,1 | 91,4 | 88,3 | 82,5 | 76,3 | 71,9 | 66,6 | 61,3 | 56,3 |
| 2CF68D | SEL | A | 23 190,0 | 105,1 | 100,6 | 97,1 | 93,7 | 87,0 | 80,1 | 75,1 | 69,5 | 64,0 | 58,4 |
| 2CF68D | SEL | D | 25 940,0 | 103,7 | 98,7 | 95,4 | 92,2 | 87,0 | 80,7 | 76,0 | 70,2 | 64,0 | 55,2 |
| 2CF68D | SEL | D | 39 180,0 | 106,0 | 101,7 | 98,7 | 96,2 | 91,2 | 85,2 | 80,2 | 75,0 | 68,7 | 60,2 |
| 2CF68D | SEL | D | 51 530,0 | 110,2 | 106,2 | 103,4 | 100,7 | 96,2 | 90,7 | 86,2 | 81,2 | 75,2 | 67,2 |
| 2CF68D | SEL | D | 55 500,0 | 113,2 | 109,2 | 106,4 | 103,7 | 98,2 | 94,2 | 89,7 | 85,2 | 79,2 | 72,0 |
| 2J155D | LAmax | A | 500,0 | 87,0 | 79,3 | 74,0 | 68,2 | 59,0 | 49,2 | 42,4 | 35,2 | 27,6 | 20,0 |
| 2J155D | LAmax | A | 1 000,0 | 92,9 | 85,4 | 80,2 | 74,6 | 65,6 | 56,0 | 49,4 | 42,4 | 35,0 | 27,6 |

▼M2

| NPD_ID | Mjera buke | Tip operacije (Op type) | Režim rada motora (polje „Parametar snage ” u tablici „Zrakoplov” navodi vrstu režima rada i jedinicu) | L_200ft | L_400ft | L_630ft | L_1000ft | L_2000ft | L_4000ft | L_6300ft | L_10000ft | L_16000ft | L_25000ft |
|---|---|---|---|---|---|---|---|---|---|---|---|---|---|
| 2J155D | LAmax | D | 1 500,0 | 98,3 | 90,9 | 85,7 | 80,1 | 71,2 | 61,7 | 55,1 | 48,1 | 40,7 | 33,4 |
| 2J155D | LAmax | D | 2 400,0 | 103,2 | 97,1 | 92,5 | 87,5 | 79,2 | 70,0 | 63,4 | 56,3 | 48,7 | 41,1 |
| 2J155D | LAmax | D | 2 800,0 | 107,7 | 101,4 | 96,9 | 91,8 | 83,5 | 74,2 | 67,7 | 60,6 | 53,0 | 45,4 |
| 2J155D | SEL | A | 500,0 | 87,3 | 81,9 | 78,1 | 73,8 | 66,9 | 59,3 | 54,0 | 48,3 | 42,3 | 36,2 |
| 2J155D | SEL | A | 1 000,0 | 93,3 | 88,1 | 84,4 | 80,3 | 73,6 | 66,3 | 61,1 | 55,6 | 49,7 | 43,8 |
| 2J155D | SEL | D | 1 500,0 | 99,5 | 94,3 | 90,6 | 86,5 | 79,9 | 72,6 | 67,5 | 62,0 | 56,1 | 50,3 |
| 2J155D | SEL | D | 2 400,0 | 106,2 | 102,4 | 99,3 | 95,8 | 89,8 | 82,8 | 77,8 | 72,2 | 66,1 | 59,9 |
| 2J155D | SEL | D | 2 800,0 | 109,9 | 106,0 | 102,9 | 99,4 | 93,3 | 86,4 | 81,3 | 75,7 | 69,6 | 63,4 |
| 2JT8D | LAmax | A | 3 000,0 | 102,6 | 94,6 | 88,6 | 82,3 | 73,8 | 64,5 | 58,0 | 51,0 | 42,8 | 34,4 |
| 2JT8D | LAmax | A | 6 000,0 | 105,4 | 97,9 | 91,5 | 85,8 | 77,2 | 68,5 | 61,9 | 55,1 | 47,1 | 38,5 |
| 2JT8D | LAmax | D | 8 000,0 | 108,6 | 100,7 | 95,6 | 89,9 | 81,8 | 73,2 | 66,5 | 59,9 | 52,0 | 43,8 |
| 2JT8D | LAmax | D | 10 000,0 | 111,6 | 104,3 | 99,5 | 94,6 | 86,3 | 77,7 | 71,8 | 64,9 | 57,2 | 48,9 |
| 2JT8D | LAmax | D | 12 000,0 | 115,9 | 108,9 | 104,3 | 99,4 | 91,1 | 82,8 | 76,8 | 70,1 | 62,8 | 54,6 |
| 2JT8D | LAmax | D | 14 000,0 | 120,8 | 113,4 | 109,4 | 104,5 | 96,4 | 88,2 | 82,3 | 75,8 | 68,6 | 60,9 |
| 2JT8D | SEL | A | 3 000,0 | 102,3 | 97,2 | 92,9 | 88,5 | 82,8 | 75,6 | 70,9 | 65,4 | 58,8 | 51,8 |
| 2JT8D | SEL | A | 6 000,0 | 106,1 | 100,5 | 96,7 | 93,0 | 87,2 | 80,9 | 76,1 | 70,7 | 64,1 | 56,9 |
| 2JT8D | SEL | D | 8 000,0 | 108,8 | 103,9 | 100,5 | 96,8 | 91,5 | 85,7 | 80,5 | 75,1 | 68,9 | 62,0 |
| 2JT8D | SEL | D | 10 000,0 | 111,4 | 107,2 | 104,3 | 101,1 | 95,7 | 89,5 | 85,0 | 79,8 | 73,5 | 66,7 |
| 2JT8D | SEL | D | 12 000,0 | 115,1 | 111,1 | 108,4 | 105,5 | 100,2 | 94,3 | 89,9 | 85,0 | 78,8 | 72,1 |

▼M2

| NPD_ID | Mjera buke | Tip operacije (Op type) | Režim rada motora (polje „Parametar snage ” u tablici „Zrakoplov” navodi vrstu režima rada i jedinicu) | L_200ft | L_400ft | L_630ft | L_1000ft | L_2000ft | L_4000ft | L_6300ft | L_10000ft | L_16000ft | L_25000ft |
|---|---|---|---|---|---|---|---|---|---|---|---|---|---|
| 2JT8D | SEL | D | 14 000,0 | 119,8 | 115,9 | 113,3 | 110,5 | 105,4 | 99,7 | 95,3 | 90,3 | 84,5 | 78,4 |
| 2JT8D2 | LAmax | A | 4 000,0 | 89,8 | 82,7 | 78,0 | 73,2 | 65,6 | 57,3 | 51,1 | 44,5 | 37,7 | 31,3 |
| 2JT8D2 | LAmax | A | 4 667,0 | 90,8 | 83,6 | 79,0 | 74,2 | 66,6 | 58,2 | 52,0 | 45,4 | 38,6 | 32,2 |
| 2JT8D2 | LAmax | A | 5 333,0 | 91,8 | 84,6 | 79,9 | 75,1 | 67,5 | 59,1 | 52,9 | 46,3 | 39,4 | 33,0 |
| 2JT8D2 | LAmax | A | 6 000,0 | 92,9 | 85,6 | 80,9 | 76,1 | 68,4 | 60,0 | 53,8 | 47,1 | 40,3 | 33,9 |
| 2JT8D2 | LAmax | D | 9 000,0 | 100,6 | 93,9 | 89,5 | 84,8 | 77,3 | 69,0 | 62,9 | 56,1 | 49,2 | 42,5 |
| 2JT8D2 | LAmax | D | 11 000,0 | 103,0 | 96,3 | 91,9 | 87,2 | 79,6 | 71,2 | 65,0 | 58,2 | 51,2 | 44,4 |
| 2JT8D2 | LAmax | D | 13 000,0 | 105,4 | 98,7 | 94,2 | 89,5 | 81,8 | 73,3 | 67,1 | 60,2 | 53,1 | 46,3 |
| 2JT8D2 | LAmax | D | 15 000,0 | 107,8 | 101,1 | 96,6 | 91,8 | 84,1 | 75,5 | 69,2 | 62,2 | 55,1 | 48,2 |
| 2JT8D2 | LAmax | D | 17 000,0 | 110,2 | 103,5 | 99,0 | 94,2 | 86,4 | 77,6 | 71,3 | 64,2 | 57,0 | 50,1 |
| 2JT8D2 | LAmax | D | 19 000,0 | 112,6 | 105,9 | 101,4 | 96,5 | 88,6 | 79,8 | 73,4 | 66,2 | 59,0 | 52,0 |
| 2JT8D2 | SEL | A | 4 000,0 | 91,5 | 87,5 | 84,7 | 81,9 | 77,1 | 71,6 | 67,2 | 62,4 | 57,5 | 52,9 |
| 2JT8D2 | SEL | A | 4 667,0 | 92,6 | 88,5 | 85,8 | 82,9 | 78,1 | 72,6 | 68,2 | 63,4 | 58,5 | 53,8 |
| 2JT8D2 | SEL | A | 5 333,0 | 93,7 | 89,6 | 86,8 | 83,9 | 79,1 | 73,6 | 69,2 | 64,4 | 59,4 | 54,8 |
| 2JT8D2 | SEL | A | 6 000,0 | 94,7 | 90,6 | 87,8 | 84,9 | 80,1 | 74,6 | 70,2 | 65,4 | 60,4 | 55,7 |
| 2JT8D2 | SEL | D | 9 000,0 | 100,1 | 96,3 | 93,7 | 91,0 | 86,3 | 80,8 | 76,6 | 71,6 | 66,5 | 61,7 |
| 2JT8D2 | SEL | D | 11 000,0 | 102,4 | 98,7 | 96,1 | 93,3 | 88,6 | 83,0 | 78,7 | 73,7 | 68,7 | 63,8 |
| 2JT8D2 | SEL | D | 13 000,0 | 104,8 | 101,0 | 98,5 | 95,6 | 90,9 | 85,2 | 80,9 | 75,9 | 70,8 | 65,9 |
| 2JT8D2 | SEL | D | 15 000,0 | 107,1 | 103,4 | 100,8 | 98,0 | 93,1 | 87,4 | 83,1 | 78,0 | 72,9 | 68,0 |

▼M2

| NPD_ID | Mjera buke | Tip operacije (Op type) | Režim rada motora (polje „Parametar snage ” u tablici „Zrakoplov” navodi vrstu režima rada i jedinicu) | L_200ft | L_400ft | L_630ft | L_1000ft | L_2000ft | L_4000ft | L_6300ft | L_10000ft | L_16000ft | L_25000ft |
|---|---|---|---|---|---|---|---|---|---|---|---|---|---|
| 2JT8D2 | SEL | D | 17 000,0 | 109,5 | 105,7 | 103,2 | 100,3 | 95,4 | 89,6 | 85,2 | 80,2 | 75,0 | 70,1 |
| 2JT8D2 | SEL | D | 19 000,0 | 111,8 | 108,1 | 105,5 | 102,7 | 97,7 | 91,8 | 87,4 | 82,3 | 77,2 | 72,2 |
| 2JT8DH | LAmax | A | 3 000,0 | 88,6 | 83,0 | 76,9 | 71,2 | 62,7 | 54,1 | 48,0 | 41,2 | 33,4 | 25,2 |
| 2JT8DH | LAmax | A | 6 000,0 | 93,9 | 88,7 | 84,5 | 79,9 | 72,5 | 64,0 | 57,8 | 50,8 | 42,9 | 34,3 |
| 2JT8DH | LAmax | D | 8 000,0 | 101,1 | 94,5 | 90,0 | 85,2 | 77,5 | 68,8 | 62,5 | 55,4 | 47,3 | 38,7 |
| 2JT8DH | LAmax | D | 10 000,0 | 103,5 | 96,9 | 92,5 | 87,7 | 79,9 | 71,2 | 64,8 | 57,6 | 49,6 | 41,2 |
| 2JT8DH | LAmax | D | 12 000,0 | 108,0 | 101,4 | 97,0 | 92,2 | 84,5 | 75,8 | 69,4 | 62,4 | 54,4 | 45,9 |
| 2JT8DH | LAmax | D | 14 000,0 | 110,7 | 104,2 | 99,8 | 95,1 | 87,5 | 79,0 | 72,8 | 65,9 | 58,2 | 50,0 |
| 2JT8DH | SEL | A | 3 000,0 | 92,6 | 88,5 | 85,0 | 81,2 | 75,5 | 69,0 | 64,1 | 58,5 | 51,9 | 44,9 |
| 2JT8DH | SEL | A | 6 000,0 | 97,9 | 93,6 | 90,8 | 87,9 | 83,0 | 76,7 | 71,7 | 65,9 | 59,2 | 51,8 |
| 2JT8DH | SEL | D | 8 000,0 | 99,5 | 95,8 | 93,2 | 90,3 | 85,4 | 79,0 | 73,8 | 67,9 | 61,1 | 53,6 |
| 2JT8DH | SEL | D | 10 000,0 | 103,6 | 99,9 | 97,3 | 94,4 | 89,5 | 83,0 | 77,8 | 71,8 | 65,0 | 57,7 |
| 2JT8DH | SEL | D | 12 000,0 | 107,2 | 103,5 | 100,9 | 98,0 | 93,1 | 86,7 | 81,5 | 75,6 | 68,9 | 61,5 |
| 2JT8DH | SEL | D | 14 000,0 | 110,8 | 107,2 | 104,6 | 101,8 | 97,0 | 90,6 | 85,6 | 79,9 | 73,4 | 66,4 |
| 2JT8DL | LAmax | A | 3 000,0 | 92,7 | 85,7 | 80,8 | 75,8 | 67,8 | 59,0 | 52,6 | 45,4 | 37,2 | 28,7 |
| 2JT8DL | LAmax | A | 6 000,0 | 96,7 | 89,9 | 85,3 | 80,4 | 72,4 | 63,6 | 57,2 | 50,0 | 41,8 | 33,2 |
| 2JT8DL | LAmax | D | 8 000,0 | 102,0 | 95,2 | 90,7 | 85,8 | 77,8 | 69,0 | 62,6 | 55,5 | 47,3 | 38,7 |
| 2JT8DL | LAmax | D | 10 000,0 | 105,7 | 98,5 | 93,9 | 89,0 | 81,0 | 72,2 | 65,8 | 58,6 | 50,6 | 42,0 |

▼M2

| NPD_ID | Mjera buke | Tip operacije (Op type) | Režim rada motora (polje „Parametar snage ” u tablici „Zrakoplov” navodi vrstu režima rada i jedinicu) | L_200ft | L_400ft | L_630ft | L_1000ft | L_2000ft | L_4000ft | L_6300ft | L_10000ft | L_16000ft | L_25000ft |
|---|---|---|---|---|---|---|---|---|---|---|---|---|---|
| 2JT8DL | LAmax | D | 12 000,0 | 109,3 | 102,5 | 98,0 | 93,2 | 85,3 | 76,5 | 70,0 | 62,9 | 54,9 | 46,4 |
| 2JT8DL | LAmax | D | 14 000,0 | 112,5 | 105,8 | 101,3 | 96,4 | 88,5 | 79,5 | 72,9 | 65,7 | 57,6 | 49,1 |
| 2JT8DL | SEL | A | 3 000,0 | 94,7 | 90,2 | 87,0 | 83,7 | 78,4 | 71,7 | 66,5 | 60,4 | 53,5 | 46,1 |
| 2JT8DL | SEL | A | 6 000,0 | 97,9 | 94,0 | 91,2 | 88,2 | 83,0 | 76,5 | 71,2 | 65,2 | 58,3 | 50,8 |
| 2JT8DL | SEL | D | 8 000,0 | 101,2 | 97,3 | 94,5 | 91,5 | 86,3 | 79,7 | 74,5 | 68,5 | 61,6 | 54,1 |
| 2JT8DL | SEL | D | 10 000,0 | 104,6 | 101,3 | 98,4 | 95,3 | 90,1 | 83,6 | 78,3 | 72,4 | 65,5 | 58,1 |
| 2JT8DL | SEL | D | 12 000,0 | 108,1 | 104,7 | 101,9 | 99,0 | 94,0 | 87,4 | 82,1 | 76,2 | 69,4 | 62,1 |
| 2JT8DL | SEL | D | 14 000,0 | 111,7 | 108,0 | 105,3 | 102,4 | 97,3 | 90,6 | 85,3 | 79,2 | 72,3 | 65,0 |
| 2JT8DN | LAmax | A | 3 000,0 | 90,6 | 84,2 | 79,7 | 74,9 | 67,3 | 59,2 | 53,6 | 47,7 | 41,5 | 35,4 |
| 2JT8DN | LAmax | A | 5 000,0 | 95,8 | 89,3 | 84,8 | 80,0 | 72,4 | 64,3 | 58,8 | 52,9 | 46,6 | 40,5 |
| 2JT8DN | LAmax | D | 6 000,0 | 96,8 | 90,8 | 86,5 | 81,8 | 74,1 | 65,8 | 59,9 | 53,7 | 47,0 | 40,4 |
| 2JT8DN | LAmax | D | 8 000,0 | 101,2 | 95,2 | 90,9 | 86,1 | 78,5 | 70,2 | 64,4 | 58,2 | 51,6 | 45,0 |
| 2JT8DN | LAmax | D | 10 000,0 | 105,1 | 99,1 | 94,7 | 90,0 | 82,3 | 73,8 | 67,9 | 61,6 | 54,8 | 48,0 |
| 2JT8DN | LAmax | D | 12 000,0 | 108,5 | 102,5 | 98,1 | 93,3 | 85,5 | 77,0 | 71,0 | 64,6 | 57,8 | 51,0 |
| 2JT8DN | LAmax | D | 14 000,0 | 111,4 | 105,4 | 101,0 | 96,3 | 88,5 | 80,1 | 74,1 | 67,8 | 60,9 | 54,2 |
| 2JT8DN | LAmax | D | 16 000,0 | 113,8 | 107,8 | 103,4 | 98,7 | 90,9 | 82,5 | 76,5 | 70,1 | 63,3 | 56,6 |
| 2JT8DN | SEL | A | 3 000,0 | 94,0 | 90,4 | 87,5 | 84,2 | 78,4 | 71,7 | 66,7 | 61,3 | 55,3 | 49,3 |
| 2JT8DN | SEL | A | 5 000,0 | 98,5 | 94,9 | 92,1 | 88,8 | 83,0 | 76,3 | 71,4 | 66,0 | 60,0 | 53,9 |

▼M2

| NPD_ID | Mjera buke | Tip operacije (Op type) | Režim rada motora (polje „Parametar snage ” u tablici „Zrakoplov” navodi vrstu režima rada i jedinicu) | L_200ft | L_400ft | L_630ft | L_1000ft | L_2000ft | L_4000ft | L_6300ft | L_10000ft | L_16000ft | L_25000ft |
|---|---|---|---|---|---|---|---|---|---|---|---|---|---|
| 2JT8DN | SEL | D | 6 000,0 | 98,6 | 94,8 | 92,0 | 88,8 | 83,4 | 77,4 | 73,0 | 68,3 | 63,1 | 57,9 |
| 2JT8DN | SEL | D | 8 000,0 | 102,7 | 99,0 | 96,1 | 92,9 | 87,6 | 81,5 | 77,2 | 72,5 | 67,4 | 62,3 |
| 2JT8DN | SEL | D | 10 000,0 | 106,6 | 102,9 | 100,0 | 96,8 | 91,3 | 85,1 | 80,7 | 75,9 | 70,6 | 65,3 |
| 2JT8DN | SEL | D | 12 000,0 | 110,2 | 106,4 | 103,5 | 100,2 | 94,7 | 88,4 | 83,9 | 79,0 | 73,7 | 68,3 |
| 2JT8DN | SEL | D | 14 000,0 | 113,1 | 109,5 | 106,7 | 103,5 | 98,0 | 91,8 | 87,3 | 82,4 | 77,0 | 71,6 |
| 2JT8DN | SEL | D | 16 000,0 | 115,9 | 112,3 | 109,5 | 106,3 | 100,8 | 94,6 | 90,1 | 85,2 | 79,8 | 74,4 |
| 2JT8DQ | LAmax | A | 3 000,0 | 94,9 | 88,2 | 83,6 | 78,6 | 70,8 | 62,3 | 56,1 | 49,2 | 41,3 | 32,8 |
| 2JT8DQ | LAmax | A | 6 000,0 | 99,1 | 92,4 | 87,8 | 82,8 | 75,0 | 66,5 | 60,3 | 53,4 | 45,5 | 37,0 |
| 2JT8DQ | LAmax | D | 8 000,0 | 104,1 | 97,4 | 92,7 | 87,8 | 80,0 | 71,6 | 65,5 | 58,6 | 50,9 | 42,6 |
| 2JT8DQ | LAmax | D | 10 000,0 | 109,2 | 102,5 | 98,4 | 92,8 | 85,2 | 76,8 | 70,8 | 64,1 | 56,5 | 48,5 |
| 2JT8DQ | LAmax | D | 12 000,0 | 114,6 | 107,9 | 103,3 | 98,2 | 90,5 | 82,3 | 76,4 | 69,7 | 62,4 | 54,6 |
| 2JT8DQ | LAmax | D | 14 000,0 | 120,1 | 113,4 | 108,8 | 104,0 | 96,1 | 87,9 | 82,1 | 75,6 | 68,4 | 60,9 |
| 2JT8DQ | SEL | A | 3 000,0 | 94,6 | 90,8 | 87,9 | 84,8 | 79,8 | 73,4 | 69,0 | 63,6 | 57,2 | 50,2 |
| 2JT8DQ | SEL | A | 6 000,0 | 99,8 | 96,0 | 93,1 | 90,0 | 85,0 | 78,9 | 74,2 | 68,8 | 62,4 | 55,4 |
| 2JT8DQ | SEL | D | 8 000,0 | 104,3 | 100,6 | 97,7 | 94,7 | 89,7 | 83,7 | 79,1 | 73,8 | 67,6 | 60,8 |
| 2JT8DQ | SEL | D | 10 000,0 | 109,0 | 105,2 | 102,5 | 99,5 | 94,6 | 88,6 | 84,1 | 79,0 | 72,9 | 66,3 |
| 2JT8DQ | SEL | D | 12 000,0 | 113,8 | 110,1 | 107,4 | 104,5 | 99,6 | 93,8 | 89,3 | 84,2 | 78,4 | 72,1 |
| 2JT8DQ | SEL | D | 14 000,0 | 119,1 | 115,4 | 112,8 | 110,0 | 105,1 | 99,4 | 95,0 | 90,1 | 84,4 | 78,4 |

▼M2

| NPD_ID | Mjera buke | Tip operacije (Op type) | Režim rada motora (polje „Parametar snage ” u tablici „Zrakoplov” navodi vrstu režima rada i jedinicu) | L_200ft | L_400ft | L_630ft | L_1000ft | L_2000ft | L_4000ft | L_6300ft | L_10000ft | L_16000ft | L_25000ft |
|---|---|---|---|---|---|---|---|---|---|---|---|---|---|
| 2JT8DW | LAmax | A | 3 000,0 | 102,6 | 94,6 | 88,6 | 82,3 | 73,8 | 64,5 | 58,0 | 51,0 | 42,8 | 34,4 |
| 2JT8DW | LAmax | A | 6 000,0 | 105,4 | 97,9 | 91,5 | 85,8 | 77,2 | 68,5 | 61,9 | 55,1 | 47,1 | 38,5 |
| 2JT8DW | LAmax | D | 8 000,0 | 108,6 | 100,7 | 95,6 | 89,9 | 81,8 | 73,2 | 66,5 | 59,9 | 52,0 | 43,8 |
| 2JT8DW | LAmax | D | 10 000,0 | 111,6 | 104,3 | 99,5 | 94,6 | 86,3 | 77,7 | 71,8 | 64,9 | 57,2 | 48,9 |
| 2JT8DW | LAmax | D | 12 000,0 | 115,9 | 108,9 | 104,3 | 99,4 | 91,1 | 82,8 | 76,8 | 70,1 | 62,8 | 54,6 |
| 2JT8DW | LAmax | D | 14 000,0 | 120,8 | 113,4 | 109,4 | 104,5 | 96,4 | 88,2 | 82,3 | 75,8 | 68,6 | 60,9 |
| 2JT8DW | SEL | A | 3 000,0 | 102,3 | 97,2 | 92,9 | 88,5 | 82,8 | 75,6 | 70,9 | 65,4 | 58,8 | 51,8 |
| 2JT8DW | SEL | A | 6 000,0 | 106,1 | 100,5 | 96,7 | 93,0 | 87,2 | 80,9 | 76,1 | 70,7 | 64,1 | 56,9 |
| 2JT8DW | SEL | D | 8 000,0 | 108,8 | 103,9 | 100,5 | 96,8 | 91,5 | 85,7 | 80,5 | 75,1 | 68,9 | 62,0 |
| 2JT8DW | SEL | D | 10 000,0 | 111,4 | 107,2 | 104,3 | 101,1 | 95,7 | 89,5 | 85,0 | 79,8 | 73,5 | 66,7 |
| 2JT8DW | SEL | D | 12 000,0 | 115,1 | 111,1 | 108,4 | 105,5 | 100,2 | 94,3 | 89,9 | 85,0 | 78,8 | 72,1 |
| 2JT8DW | SEL | D | 14 000,0 | 119,8 | 115,9 | 113,3 | 110,5 | 105,4 | 99,7 | 95,3 | 90,3 | 84,5 | 78,4 |
| 2JT8QW | LAmax | A | 3 000,0 | 94,9 | 88,2 | 83,6 | 78,6 | 70,8 | 62,3 | 56,1 | 49,2 | 41,3 | 32,8 |
| 2JT8QW | LAmax | A | 6 000,0 | 99,1 | 92,4 | 87,8 | 82,8 | 75,0 | 66,5 | 60,3 | 53,4 | 45,5 | 37,0 |
| 2JT8QW | LAmax | D | 8 000,0 | 104,1 | 97,4 | 92,7 | 87,8 | 80,0 | 71,6 | 65,5 | 58,6 | 50,9 | 42,6 |
| 2JT8QW | LAmax | D | 10 000,0 | 109,2 | 102,5 | 98,4 | 92,8 | 85,2 | 76,8 | 70,8 | 64,1 | 56,5 | 48,5 |
| 2JT8QW | LAmax | D | 12 000,0 | 114,6 | 107,9 | 103,3 | 98,2 | 90,5 | 82,3 | 76,4 | 69,7 | 62,4 | 54,6 |
| 2JT8QW | LAmax | D | 14 000,0 | 120,1 | 113,4 | 108,8 | 104,0 | 96,1 | 87,9 | 82,1 | 75,6 | 68,4 | 60,9 |

▼M2

| NPD_ID | Mjera buke | Tip operacije (Op type) | Režim rada motora (polje „Parametar snage ” u tablici „Zrakoplov” navodi vrstu režima rada i jedinicu) | L_200ft | L_400ft | L_630ft | L_1000ft | L_2000ft | L_4000ft | L_6300ft | L_10000ft | L_16000ft | L_25000ft |
|---|---|---|---|---|---|---|---|---|---|---|---|---|---|
| 2JT8QW | SEL | A | 3 000,0 | 94,6 | 90,8 | 87,9 | 84,8 | 79,8 | 73,4 | 69,0 | 63,6 | 57,2 | 50,2 |
| 2JT8QW | SEL | A | 6 000,0 | 99,8 | 96,0 | 93,1 | 90,0 | 85,0 | 78,9 | 74,2 | 68,8 | 62,4 | 55,4 |
| 2JT8QW | SEL | D | 8 000,0 | 104,3 | 100,6 | 97,7 | 94,7 | 89,7 | 83,7 | 79,1 | 73,8 | 67,6 | 60,8 |
| 2JT8QW | SEL | D | 10 000,0 | 109,0 | 105,2 | 102,5 | 99,5 | 94,6 | 88,6 | 84,1 | 79,0 | 72,9 | 66,3 |
| 2JT8QW | SEL | D | 12 000,0 | 113,8 | 110,1 | 107,4 | 104,5 | 99,6 | 93,8 | 89,3 | 84,2 | 78,4 | 72,1 |
| 2JT8QW | SEL | D | 14 000,0 | 119,1 | 115,4 | 112,8 | 110,0 | 105,1 | 99,4 | 95,0 | 90,1 | 84,4 | 78,4 |
| 2PW535 | LAmax | A | 500,0 | 89,5 | 81,8 | 76,3 | 70,3 | 60,6 | 50,0 | 42,6 | 34,6 | 26,2 | 17,7 |
| 2PW535 | LAmax | A | 700,0 | 89,6 | 82,2 | 76,9 | 71,1 | 61,6 | 51,2 | 43,9 | 36,1 | 28,7 | 19,5 |
| 2PW535 | LAmax | D | 1 200,0 | 96,1 | 87,5 | 81,6 | 75,4 | 65,6 | 55,3 | 48,3 | 40,9 | 33,2 | 25,6 |
| 2PW535 | LAmax | D | 1 600,0 | 99,2 | 89,9 | 83,7 | 77,2 | 67,2 | 57,0 | 50,2 | 43,1 | 35,8 | 28,8 |
| 2PW535 | LAmax | D | 2 000,0 | 100,7 | 92,2 | 86,4 | 80,3 | 70,9 | 61,1 | 54,4 | 47,4 | 40,2 | 33,1 |
| 2PW535 | LAmax | D | 3 000,0 | 103,5 | 96,4 | 91,5 | 86,1 | 77,3 | 67,9 | 61,3 | 54,3 | 46,8 | 39,4 |
| 2PW535 | SEL | A | 500,0 | 89,4 | 84,8 | 81,3 | 77,4 | 70,8 | 63,2 | 57,8 | 51,9 | 45,6 | 39,1 |
| 2PW535 | SEL | A | 700,0 | 89,3 | 85,1 | 81,8 | 78,1 | 71,7 | 64,5 | 59,3 | 53,5 | 47,3 | 41,0 |
| 2PW535 | SEL | D | 1 200,0 | 90,8 | 87,1 | 84,1 | 80,7 | 74,7 | 67,8 | 62,8 | 57,2 | 51,1 | 44,9 |
| 2PW535 | SEL | D | 1 600,0 | 92,6 | 89,0 | 86,2 | 82,9 | 77,2 | 70,6 | 65,8 | 60,5 | 54,7 | 48,8 |
| 2PW535 | SEL | D | 2 000,0 | 96,0 | 92,3 | 89,4 | 86,1 | 80,4 | 73,9 | 69,2 | 64,0 | 58,3 | 52,6 |
| 2PW535 | SEL | D | 3 000,0 | 102,3 | 98,9 | 96,2 | 93,1 | 87,7 | 81,5 | 77,0 | 72,0 | 66,6 | 61,1 |

▼M2

| NPD_ID | Mjera buke | Tip operacije (Op type) | Režim rada motora (polje „Parametar snage ” u tablici „Zrakoplov” navodi vrstu režima rada i jedinicu) | L_200ft | L_400ft | L_630ft | L_1000ft | L_2000ft | L_4000ft | L_6300ft | L_10000ft | L_16000ft | L_25000ft |
|---|---|---|---|---|---|---|---|---|---|---|---|---|---|
| 2R2800 | LAmax | A | 30,0 | 92,6 | 86,1 | 81,7 | 77,0 | 69,5 | 61,3 | 55,5 | 49,6 | 43,4 | 36,6 |
| 2R2800 | LAmax | A | 100,0 | 103,5 | 97,2 | 92,9 | 88,4 | 81,3 | 73,6 | 68,0 | 61,9 | 55,3 | 47,9 |
| 2R2800 | LAmax | D | 30,0 | 92,6 | 86,1 | 81,7 | 77,0 | 69,5 | 61,3 | 55,5 | 49,6 | 43,4 | 36,6 |
| 2R2800 | LAmax | D | 100,0 | 103,5 | 97,2 | 92,9 | 88,4 | 81,3 | 73,6 | 68,0 | 61,9 | 55,3 | 47,9 |
| 2R2800 | SEL | A | 30,0 | 96,9 | 92,7 | 89,7 | 86,5 | 81,3 | 75,3 | 71,0 | 66,6 | 61,9 | 56,6 |
| 2R2800 | SEL | A | 100,0 | 107,5 | 103,0 | 99,9 | 96,6 | 91,3 | 85,4 | 81,0 | 76,2 | 70,7 | 64,5 |
| 2R2800 | SEL | D | 30,0 | 96,9 | 92,7 | 89,7 | 86,5 | 81,3 | 75,3 | 71,0 | 66,6 | 61,9 | 56,6 |
| 2R2800 | SEL | D | 100,0 | 107,5 | 103,0 | 99,9 | 96,6 | 91,3 | 85,4 | 81,0 | 76,2 | 70,7 | 64,5 |
| 3JT8D | LAmax | A | 3 000,0 | 104,6 | 96,6 | 90,6 | 84,3 | 75,8 | 66,5 | 60,0 | 53,0 | 44,8 | 36,4 |
| 3JT8D | LAmax | A | 6 000,0 | 107,4 | 98,9 | 93,5 | 87,8 | 79,2 | 70,5 | 63,9 | 57,1 | 49,1 | 40,5 |
| 3JT8D | LAmax | D | 8 000,0 | 110,6 | 102,7 | 97,6 | 91,9 | 83,8 | 75,2 | 68,5 | 61,9 | 54,0 | 45,8 |
| 3JT8D | LAmax | D | 10 000,0 | 113,6 | 106,3 | 101,5 | 96,6 | 88,3 | 79,7 | 73,8 | 66,9 | 59,2 | 50,9 |
| 3JT8D | LAmax | D | 12 000,0 | 117,9 | 110,9 | 106,3 | 101,4 | 93,1 | 84,8 | 78,8 | 72,1 | 64,8 | 56,6 |
| 3JT8D | LAmax | D | 14 000,0 | 122,8 | 115,4 | 111,4 | 106,5 | 98,4 | 90,2 | 84,3 | 77,8 | 70,6 | 62,8 |
| 3JT8D | SEL | A | 3 000,0 | 104,3 | 99,2 | 94,9 | 90,5 | 84,8 | 77,6 | 72,9 | 67,4 | 60,8 | 53,8 |
| 3JT8D | SEL | A | 6 000,0 | 108,1 | 102,5 | 98,7 | 95,0 | 89,2 | 82,9 | 78,1 | 72,7 | 66,1 | 58,9 |
| 3JT8D | SEL | D | 8 000,0 | 110,8 | 105,9 | 102,5 | 98,8 | 93,5 | 87,7 | 82,5 | 77,1 | 70,9 | 64,0 |
| 3JT8D | SEL | D | 10 000,0 | 113,4 | 109,2 | 106,3 | 103,1 | 97,7 | 91,5 | 87,0 | 81,8 | 75,5 | 68,7 |

▼M2

| NPD_ID | Mjera buke | Tip operacije (Op type) | Režim rada motora (polje „Parametar snage ” u tablici „Zrakoplov” navodi vrstu režima rada i jedinicu) | L_200ft | L_400ft | L_630ft | L_1000ft | L_2000ft | L_4000ft | L_6300ft | L_10000ft | L_16000ft | L_25000ft |
|---|---|---|---|---|---|---|---|---|---|---|---|---|---|
| 3JT8D | SEL | D | 12 000,0 | 117,1 | 113,1 | 110,4 | 107,5 | 102,2 | 96,3 | 91,9 | 87,0 | 80,8 | 74,1 |
| 3JT8D | SEL | D | 14 000,0 | 121,8 | 117,9 | 115,3 | 112,5 | 107,4 | 101,7 | 97,3 | 92,3 | 86,5 | 80,4 |
| 3JT8DQ | LAmax | A | 3 000,0 | 96,9 | 90,2 | 85,6 | 80,6 | 72,8 | 64,3 | 58,1 | 51,2 | 43,3 | 34,8 |
| 3JT8DQ | LAmax | A | 6 000,0 | 101,1 | 94,4 | 89,8 | 84,8 | 77,0 | 68,5 | 62,3 | 55,4 | 47,5 | 39,0 |
| 3JT8DQ | LAmax | D | 8 000,0 | 106,1 | 99,4 | 94,8 | 89,8 | 82,0 | 73,6 | 67,5 | 60,6 | 52,9 | 44,6 |
| 3JT8DQ | LAmax | D | 10 000,0 | 111,2 | 104,5 | 99,9 | 95,0 | 87,2 | 78,8 | 72,8 | 66,1 | 58,5 | 50,5 |
| 3JT8DQ | LAmax | D | 12 000,0 | 116,6 | 109,9 | 105,3 | 100,4 | 92,5 | 84,3 | 78,4 | 71,7 | 64,4 | 56,6 |
| 3JT8DQ | LAmax | D | 14 000,0 | 122,1 | 115,4 | 110,8 | 106,0 | 98,1 | 89,9 | 84,1 | 77,6 | 70,4 | 62,9 |
| 3JT8DQ | SEL | A | 3 000,0 | 96,6 | 92,8 | 89,8 | 86,8 | 81,8 | 75,4 | 71,0 | 65,6 | 59,2 | 52,2 |
| 3JT8DQ | SEL | A | 6 000,0 | 101,8 | 98,0 | 95,1 | 92,0 | 87,0 | 80,9 | 76,2 | 70,8 | 64,4 | 57,4 |
| 3JT8DQ | SEL | D | 8 000,0 | 106,3 | 102,6 | 99,7 | 96,7 | 91,7 | 85,7 | 81,1 | 75,8 | 69,6 | 62,8 |
| 3JT8DQ | SEL | D | 10 000,0 | 111,0 | 107,2 | 104,5 | 101,5 | 96,6 | 90,6 | 86,1 | 81,0 | 74,9 | 68,3 |
| 3JT8DQ | SEL | D | 12 000,0 | 115,8 | 112,1 | 109,4 | 106,5 | 101,6 | 95,8 | 91,3 | 86,2 | 80,4 | 74,1 |
| 3JT8DQ | SEL | D | 14 000,0 | 121,1 | 117,4 | 114,8 | 112,0 | 107,1 | 101,4 | 97,0 | 92,1 | 86,4 | 80,4 |
| 3JT8E5 | LAmax | A | 3 000,0 | 96,4 | 89,3 | 84,5 | 79,3 | 71,3 | 62,6 | 56,1 | 49,0 | 41,0 | 32,0 |
| 3JT8E5 | LAmax | A | 5 000,0 | 98,0 | 91,3 | 86,7 | 81,8 | 74,0 | 65,4 | 59,1 | 52,2 | 44,3 | 35,6 |
| 3JT8E5 | LAmax | D | 7 000,0 | 104,7 | 97,8 | 93,0 | 87,8 | 79,5 | 70,3 | 63,4 | 55,8 | 47,3 | 38,0 |
| 3JT8E5 | LAmax | D | 10 000,0 | 109,2 | 102,3 | 97,5 | 92,4 | 84,2 | 75,1 | 68,4 | 61,3 | 53,3 | 44,7 |

▼M2

| NPD_ID | Mjera buke | Tip operacije (Op type) | Režim rada motora (polje „Parametar snage ” u tablici „Zrakoplov” navodi vrstu režima rada i jedinicu) | L_200ft | L_400ft | L_630ft | L_1000ft | L_2000ft | L_4000ft | L_6300ft | L_10000ft | L_16000ft | L_25000ft |
|---|---|---|---|---|---|---|---|---|---|---|---|---|---|
| 3JT8E5 | LAmax | D | 12 000,0 | 112,1 | 105,3 | 100,6 | 95,6 | 87,7 | 79,3 | 73,2 | 66,7 | 59,5 | 51,5 |
| 3JT8E5 | LAmax | D | 14 000,0 | 115,5 | 108,7 | 104,1 | 99,1 | 91,4 | 83,1 | 77,1 | 70,9 | 63,9 | 56,2 |
| 3JT8E5 | SEL | A | 3 000,0 | 98,2 | 93,4 | 90,1 | 86,5 | 80,8 | 74,4 | 69,5 | 63,9 | 57,5 | 50,0 |
| 3JT8E5 | SEL | A | 5 000,0 | 99,8 | 95,4 | 92,3 | 89,0 | 83,5 | 77,2 | 72,5 | 67,1 | 60,8 | 53,6 |
| 3JT8E5 | SEL | D | 7 000,0 | 106,5 | 101,9 | 98,6 | 95,0 | 89,0 | 82,1 | 76,8 | 70,7 | 63,8 | 56,0 |
| 3JT8E5 | SEL | D | 10 000,0 | 111,0 | 106,4 | 103,1 | 99,6 | 93,7 | 86,9 | 81,8 | 76,2 | 69,8 | 62,7 |
| 3JT8E5 | SEL | D | 12 000,0 | 113,9 | 109,4 | 106,2 | 102,8 | 97,2 | 91,1 | 86,6 | 81,6 | 76,0 | 69,5 |
| 3JT8E5 | SEL | D | 14 000,0 | 117,3 | 112,8 | 109,7 | 106,3 | 100,9 | 94,9 | 90,5 | 85,8 | 80,4 | 74,2 |
| 3JT8E7 | LAmax | A | 3 000,0 | 95,1 | 88,3 | 84,0 | 78,3 | 70,1 | 61,1 | 54,4 | 47,2 | 39,2 | 30,4 |
| 3JT8E7 | LAmax | A | 5 000,0 | 98,1 | 91,3 | 86,5 | 81,3 | 73,1 | 64,1 | 57,4 | 50,2 | 42,2 | 33,4 |
| 3JT8E7 | LAmax | D | 7 000,0 | 103,9 | 97,0 | 92,2 | 87,0 | 78,7 | 69,5 | 62,6 | 55,0 | 46,5 | 37,2 |
| 3JT8E7 | LAmax | D | 10 000,0 | 109,1 | 102,2 | 97,4 | 92,2 | 83,9 | 74,7 | 68,0 | 60,8 | 52,9 | 44,0 |
| 3JT8E7 | LAmax | D | 12 000,0 | 111,9 | 105,2 | 100,4 | 95,4 | 87,4 | 78,6 | 72,1 | 65,1 | 57,0 | 47,9 |
| 3JT8E7 | LAmax | D | 14 000,0 | 114,6 | 107,9 | 103,2 | 98,2 | 90,3 | 81,7 | 75,2 | 68,3 | 60,5 | 51,7 |
| 3JT8E7 | SEL | A | 3 000,0 | 96,9 | 92,4 | 89,6 | 85,5 | 79,6 | 72,9 | 67,8 | 62,1 | 55,7 | 48,4 |
| 3JT8E7 | SEL | A | 5 000,0 | 99,9 | 95,4 | 92,1 | 88,5 | 82,6 | 75,9 | 70,8 | 65,1 | 58,7 | 51,4 |
| 3JT8E7 | SEL | D | 7 000,0 | 105,7 | 101,1 | 97,8 | 94,2 | 88,2 | 81,3 | 76,0 | 69,9 | 63,0 | 55,2 |
| 3JT8E7 | SEL | D | 10 000,0 | 110,9 | 106,3 | 103,0 | 99,4 | 93,4 | 86,5 | 81,4 | 75,7 | 69,4 | 62,0 |

▼M2

| NPD_ID | Mjera buke | Tip operacije (Op type) | Režim rada motora (polje „Parametar snage ” u tablici „Zrakoplov” navodi vrstu režima rada i jedinicu) | L_200ft | L_400ft | L_630ft | L_1000ft | L_2000ft | L_4000ft | L_6300ft | L_10000ft | L_16000ft | L_25000ft |
|---|---|---|---|---|---|---|---|---|---|---|---|---|---|
| 3JT8E7 | SEL | D | 12 000,0 | 113,7 | 109,3 | 106,0 | 102,6 | 96,9 | 90,4 | 85,5 | 80,0 | 73,5 | 65,9 |
| 3JT8E7 | SEL | D | 14 000,0 | 116,4 | 112,0 | 108,8 | 105,4 | 99,8 | 93,5 | 88,6 | 83,2 | 77,0 | 69,7 |
| 4R2800 | LAmax | A | 30,0 | 95,6 | 89,1 | 84,7 | 80,0 | 72,5 | 64,3 | 58,5 | 52,6 | 46,4 | 39,6 |
| 4R2800 | LAmax | A | 100,0 | 106,5 | 100,2 | 95,9 | 91,4 | 84,3 | 76,6 | 71,0 | 64,9 | 58,3 | 50,9 |
| 4R2800 | LAmax | D | 30,0 | 95,6 | 89,1 | 84,7 | 80,0 | 72,5 | 64,3 | 58,5 | 52,6 | 46,4 | 39,6 |
| 4R2800 | LAmax | D | 100,0 | 106,5 | 100,2 | 95,9 | 91,4 | 84,3 | 76,6 | 71,0 | 64,9 | 58,3 | 50,9 |
| 4R2800 | SEL | A | 30,0 | 99,9 | 95,7 | 92,7 | 89,5 | 84,3 | 78,3 | 74,0 | 69,6 | 64,9 | 59,6 |
| 4R2800 | SEL | A | 100,0 | 110,5 | 106,0 | 102,9 | 99,6 | 94,3 | 88,4 | 84,0 | 79,2 | 73,7 | 67,5 |
| 4R2800 | SEL | D | 30,0 | 99,9 | 95,7 | 92,7 | 89,5 | 84,3 | 78,3 | 74,0 | 69,6 | 64,9 | 59,6 |
| 4R2800 | SEL | D | 100,0 | 110,5 | 106,0 | 102,9 | 99,6 | 94,3 | 88,4 | 84,0 | 79,2 | 73,7 | 67,5 |
| 501D13 | LAmax | A | 30,0 | 93,0 | 86,4 | 81,8 | 76,9 | 68,9 | 59,4 | 52,0 | 44,0 | 36,2 | 28,6 |
| 501D13 | LAmax | A | 100,0 | 96,8 | 90,3 | 85,9 | 81,3 | 74,3 | 67,0 | 62,1 | 57,0 | 51,5 | 45,4 |
| 501D13 | LAmax | D | 30,0 | 93,0 | 86,4 | 81,8 | 76,9 | 68,9 | 59,4 | 52,0 | 44,0 | 36,2 | 28,6 |
| 501D13 | LAmax | D | 100,0 | 96,8 | 90,3 | 85,9 | 81,3 | 74,3 | 67,0 | 62,1 | 57,0 | 51,5 | 45,4 |
| 501D13 | SEL | A | 30,0 | 95,0 | 90,7 | 87,6 | 84,2 | 78,4 | 71,2 | 65,3 | 58,8 | 52,5 | 46,4 |
| 501D13 | SEL | A | 100,0 | 97,1 | 92,8 | 89,9 | 86,8 | 82,0 | 77,0 | 73,6 | 69,9 | 66,0 | 61,4 |
| 501D13 | SEL | D | 30,0 | 95,0 | 90,7 | 87,6 | 84,2 | 78,4 | 71,2 | 65,3 | 58,8 | 52,5 | 46,4 |

▼M2

| NPD_ID | Mjera buke | Tip operacije (Op type) | Režim rada motora (polje „Parametar snage ” u tablici „Zrakoplov” navodi vrstu režima rada i jedinicu) | L_200ft | L_400ft | L_630ft | L_1000ft | L_2000ft | L_4000ft | L_6300ft | L_10000ft | L_16000ft | L_25000ft |
|---|---|---|---|---|---|---|---|---|---|---|---|---|---|
| 501D13 | SEL | D | 100,0 | 97,1 | 92,8 | 89,9 | 86,8 | 82,0 | 77,0 | 73,6 | 69,9 | 66,0 | 61,4 |
| A310 | LAmax | A | 3 000,0 | 92,2 | 86,2 | 81,7 | 77,0 | 69,2 | 60,4 | 54,0 | 47,1 | 39,4 | 31,4 |
| A310 | LAmax | A | 12 000,0 | 95,5 | 89,4 | 84,4 | 79,2 | 70,8 | 61,9 | 55,6 | 48,6 | 40,8 | 32,6 |
| A310 | LAmax | D | 20 000,0 | 101,6 | 93,8 | 88,6 | 82,7 | 73,0 | 63,1 | 56,1 | 48,3 | 40,1 | 31,8 |
| A310 | LAmax | D | 30 000,0 | 103,4 | 95,3 | 89,9 | 84,2 | 75,4 | 66,1 | 59,6 | 52,5 | 44,5 | 36,1 |
| A310 | LAmax | D | 40 000,0 | 104,4 | 96,9 | 91,9 | 86,6 | 78,3 | 69,2 | 62,7 | 55,7 | 48,0 | 39,7 |
| A310 | LAmax | D | 50 000,0 | 108,8 | 101,6 | 96,7 | 91,5 | 83,0 | 73,7 | 67,7 | 61,0 | 53,3 | 44,8 |
| A310 | SEL | A | 3 000,0 | 97,5 | 93,3 | 90,1 | 87,0 | 81,6 | 75,7 | 71,2 | 66,4 | 60,0 | 51,9 |
| A310 | SEL | A | 12 000,0 | 98,9 | 94,5 | 91,3 | 88,0 | 82,6 | 76,4 | 71,8 | 66,4 | 60,5 | 52,3 |
| A310 | SEL | D | 20 000,0 | 102,7 | 98,3 | 94,5 | 90,5 | 83,8 | 76,5 | 71,6 | 66,1 | 59,5 | 52,7 |
| A310 | SEL | D | 30 000,0 | 103,7 | 99,2 | 95,8 | 92,3 | 86,7 | 80,4 | 75,8 | 70,4 | 64,3 | 57,6 |
| A310 | SEL | D | 40 000,0 | 104,5 | 100,4 | 97,6 | 94,4 | 89,2 | 83,4 | 79,0 | 73,9 | 68,0 | 61,4 |
| A310 | SEL | D | 50 000,0 | 108,0 | 103,9 | 101,2 | 98,2 | 93,3 | 87,8 | 83,6 | 78,6 | 72,9 | 66,4 |
| AE3007 | LAmax | A | 2 000,0 | 85,5 | 78,7 | 74,2 | 69,3 | 61,5 | 52,7 | 46,4 | 39,3 | 31,2 | 22,7 |
| AE3007 | LAmax | A | 3 000,0 | 90,4 | 83,5 | 78,7 | 73,5 | 65,5 | 56,8 | 50,6 | 43,6 | 35,4 | 26,9 |
| AE3007 | LAmax | D | 4 000,0 | 90,8 | 84,3 | 79,8 | 75,1 | 67,5 | 58,9 | 52,6 | 45,5 | 37,4 | 28,6 |
| AE3007 | LAmax | D | 5 000,0 | 93,0 | 86,6 | 82,1 | 77,4 | 69,8 | 61,2 | 54,9 | 47,8 | 39,8 | 31,3 |
| AE3007 | LAmax | D | 6 000,0 | 96,0 | 89,5 | 85,0 | 80,3 | 72,6 | 64,0 | 57,7 | 50,6 | 42,5 | 34,0 |
| AE3007 | SEL | A | 2 000,0 | 89,8 | 85,6 | 82,7 | 79,5 | 74,1 | 67,8 | 63,2 | 57,7 | 51,4 | 44,3 |

▼M2

| NPD_ID | Mjera buke | Tip operacije (Op type) | Režim rada motora (polje „Parametar snage ” u tablici „Zrakoplov” navodi vrstu režima rada i jedinicu) | L_200ft | L_400ft | L_630ft | L_1000ft | L_2000ft | L_4000ft | L_6300ft | L_10000ft | L_16000ft | L_25000ft |
|---|---|---|---|---|---|---|---|---|---|---|---|---|---|
| AE3007 | SEL | A | 3 000,0 | 92,7 | 88,6 | 85,6 | 82,3 | 77,0 | 70,9 | 66,3 | 61,0 | 54,8 | 47,9 |
| AE3007 | SEL | D | 4 000,0 | 91,7 | 88,1 | 85,4 | 82,5 | 77,7 | 72,0 | 67,6 | 62,4 | 56,1 | 49,1 |
| AE3007 | SEL | D | 5 000,0 | 93,6 | 90,0 | 87,4 | 84,6 | 79,8 | 74,2 | 69,9 | 64,8 | 58,7 | 51,9 |
| AE3007 | SEL | D | 6 000,0 | 96,7 | 93,0 | 90,3 | 87,5 | 82,8 | 77,2 | 72,8 | 67,7 | 61,6 | 54,9 |
| AE300C | LAmax | A | 1 100,0 | 88,6 | 80,4 | 74,8 | 69,0 | 59,9 | 50,4 | 44,0 | 37,0 | 30,4 | 23,6 |
| AE300C | LAmax | A | 1 400,0 | 88,6 | 80,4 | 74,8 | 69,0 | 59,9 | 50,4 | 44,0 | 37,0 | 30,4 | 23,6 |
| AE300C | LAmax | A | 1 900,0 | 88,6 | 80,7 | 75,3 | 69,5 | 60,6 | 51,3 | 44,9 | 38,1 | 31,3 | 24,5 |
| AE300C | LAmax | D | 3 500,0 | 90,6 | 83,5 | 78,4 | 73,1 | 64,4 | 55,2 | 48,7 | 42,0 | 34,7 | 27,5 |
| AE300C | LAmax | D | 4 500,0 | 92,7 | 85,7 | 80,7 | 75,5 | 67,1 | 58,1 | 51,9 | 45,2 | 38,3 | 31,4 |
| AE300C | LAmax | D | 5 500,0 | 94,7 | 88,0 | 83,3 | 78,2 | 69,9 | 60,9 | 54,7 | 47,9 | 40,9 | 33,9 |
| AE300C | SEL | A | 1 100,0 | 91,1 | 86,1 | 82,6 | 78,7 | 72,5 | 65,8 | 61,1 | 56,0 | 50,8 | 45,5 |
| AE300C | SEL | A | 1 400,0 | 91,1 | 86,1 | 82,6 | 78,7 | 72,5 | 65,8 | 61,1 | 56,0 | 50,8 | 45,5 |
| AE300C | SEL | A | 1 900,0 | 92,5 | 87,1 | 83,3 | 79,4 | 73,1 | 66,4 | 61,8 | 56,7 | 51,8 | 46,8 |
| AE300C | SEL | D | 3 500,0 | 92,9 | 88,2 | 84,7 | 80,8 | 74,4 | 67,2 | 62,1 | 56,7 | 50,6 | 44,6 |
| AE300C | SEL | D | 4 500,0 | 95,2 | 90,4 | 87,0 | 83,2 | 77,1 | 70,4 | 65,7 | 60,6 | 55,2 | 49,8 |
| AE300C | SEL | D | 5 500,0 | 96,6 | 92,4 | 89,3 | 85,7 | 79,7 | 72,9 | 68,0 | 62,7 | 57,0 | 51,2 |
| AL502L | LAmax | A | 1 900,0 | 88,4 | 81,5 | 76,6 | 71,3 | 62,7 | 53,2 | 46,4 | 39,1 | 31,4 | 23,2 |
| AL502L | LAmax | A | 5 000,0 | 98,0 | 91,5 | 86,9 | 82,2 | 74,4 | 65,8 | 59,4 | 52,6 | 45,1 | 36,8 |

▼M2

| NPD_ID | Mjera buke | Tip operacije (Op type) | Režim rada motora (polje „Parametar snage ” u tablici „Zrakoplov” navodi vrstu režima rada i jedinicu) | L_200ft | L_400ft | L_630ft | L_1000ft | L_2000ft | L_4000ft | L_6300ft | L_10000ft | L_16000ft | L_25000ft |
|---|---|---|---|---|---|---|---|---|---|---|---|---|---|
| AL502L | LAmax | D | 1 900,0 | 88,4 | 81,5 | 76,6 | 71,3 | 62,7 | 53,2 | 46,4 | 39,1 | 31,4 | 23,2 |
| AL502L | LAmax | D | 5 000,0 | 98,0 | 91,5 | 86,9 | 82,2 | 74,4 | 65,8 | 59,4 | 52,6 | 45,1 | 36,8 |
| AL502L | SEL | A | 1 900,0 | 90,2 | 85,5 | 82,1 | 78,3 | 72,0 | 64,7 | 59,4 | 53,6 | 47,4 | 40,7 |
| AL502L | SEL | A | 5 000,0 | 101,1 | 96,8 | 93,8 | 90,5 | 85,0 | 78,6 | 73,8 | 68,4 | 62,5 | 55,6 |
| AL502L | SEL | D | 1 900,0 | 90,2 | 85,5 | 82,1 | 78,3 | 72,0 | 64,7 | 59,4 | 53,6 | 47,4 | 40,7 |
| AL502L | SEL | D | 5 000,0 | 101,1 | 96,8 | 93,8 | 90,5 | 85,0 | 78,6 | 73,8 | 68,4 | 62,5 | 55,6 |
| AL502R | LAmax | A | 1 600,0 | 91,2 | 84,5 | 79,7 | 74,5 | 66,3 | 57,0 | 50,1 | 42,3 | 33,7 | 25,0 |
| AL502R | LAmax | A | 5 200,0 | 101,6 | 94,8 | 89,8 | 84,6 | 76,3 | 67,5 | 61,2 | 54,3 | 47,0 | 39,7 |
| AL502R | LAmax | D | 1 600,0 | 91,2 | 84,5 | 79,7 | 74,5 | 66,3 | 57,0 | 50,1 | 42,3 | 33,7 | 25,0 |
| AL502R | LAmax | D | 5 200,0 | 101,6 | 94,8 | 89,8 | 84,6 | 76,3 | 67,5 | 61,2 | 54,3 | 47,0 | 39,7 |
| AL502R | SEL | A | 1 600,0 | 92,9 | 89,0 | 86,0 | 82,7 | 77,3 | 70,4 | 65,0 | 58,7 | 51,6 | 44,3 |
| AL502R | SEL | A | 5 200,0 | 102,3 | 98,4 | 95,4 | 92,1 | 86,8 | 80,4 | 75,6 | 70,3 | 64,4 | 58,7 |
| AL502R | SEL | D | 1 600,0 | 92,9 | 89,0 | 86,0 | 82,7 | 77,3 | 70,4 | 65,0 | 58,7 | 51,6 | 44,3 |
| AL502R | SEL | D | 5 200,0 | 102,3 | 98,4 | 95,4 | 92,1 | 86,8 | 80,4 | 75,6 | 70,3 | 64,4 | 58,7 |
| BR710 | LAmax | A | 1 830,0 | 87,7 | 80,6 | 75,8 | 70,7 | 62,6 | 54,0 | 47,8 | 41,1 | 33,7 | 26,0 |
| BR710 | LAmax | A | 2 000,0 | 87,9 | 80,7 | 75,9 | 70,7 | 62,7 | 54,0 | 47,9 | 41,2 | 33,7 | 25,9 |
| BR710 | LAmax | A | 3 000,0 | 88,9 | 81,7 | 76,7 | 71,5 | 63,4 | 54,8 | 48,6 | 41,7 | 34,1 | 26,1 |
| BR710 | LAmax | A | 4 000,0 | 90,1 | 82,9 | 77,9 | 72,7 | 64,6 | 55,9 | 49,7 | 42,8 | 35,1 | 27,1 |

▼M2

| NPD_ID | Mjera buke | Tip operacije (Op type) | Režim rada motora (polje „Parametar snage ” u tablici „Zrakoplov” navodi vrstu režima rada i jedinicu) | L_200ft | L_400ft | L_630ft | L_1000ft | L_2000ft | L_4000ft | L_6300ft | L_10000ft | L_16000ft | L_25000ft |
|---|---|---|---|---|---|---|---|---|---|---|---|---|---|
| BR710 | LAmax | A | 5 000,0 | 92,5 | 85,3 | 80,4 | 75,0 | 66,6 | 57,6 | 51,1 | 44,0 | 35,9 | 27,5 |
| BR710 | LAmax | A | 6 000,0 | 94,7 | 87,7 | 82,7 | 77,3 | 68,8 | 59,8 | 53,3 | 46,0 | 37,9 | 29,3 |
| BR710 | LAmax | A | 7 000,0 | 96,7 | 89,7 | 84,7 | 79,3 | 70,9 | 61,8 | 55,2 | 47,9 | 39,7 | 31,1 |
| BR710 | LAmax | A | 8 000,0 | 98,4 | 91,5 | 86,5 | 81,1 | 72,7 | 63,6 | 57,1 | 49,8 | 41,6 | 32,9 |
| BR710 | LAmax | A | 9 000,0 | 99,9 | 93,0 | 88,0 | 82,7 | 74,4 | 65,3 | 58,8 | 51,5 | 43,3 | 34,7 |
| BR710 | LAmax | A | 10 000,0 | 101,0 | 94,1 | 89,3 | 84,0 | 75,8 | 66,8 | 60,4 | 53,2 | 45,0 | 36,5 |
| BR710 | LAmax | A | 11 000,0 | 101,6 | 95,0 | 90,2 | 85,1 | 77,0 | 68,2 | 61,8 | 54,7 | 46,7 | 38,3 |
| BR710 | LAmax | A | 12 000,0 | 102,6 | 95,6 | 90,9 | 85,9 | 78,0 | 69,3 | 63,1 | 56,1 | 48,3 | 40,1 |
| BR710 | LAmax | A | 12 900,0 | 102,9 | 95,9 | 91,3 | 86,4 | 78,7 | 70,3 | 64,1 | 57,3 | 49,7 | 41,7 |
| BR710 | LAmax | D | 4 000,0 | 90,0 | 82,7 | 77,7 | 72,5 | 64,1 | 55,2 | 48,9 | 41,8 | 33,9 | 25,7 |
| BR710 | LAmax | D | 5 000,0 | 92,5 | 85,3 | 80,4 | 75,0 | 66,6 | 57,6 | 51,1 | 44,0 | 35,9 | 27,5 |
| BR710 | LAmax | D | 6 000,0 | 94,7 | 87,7 | 82,7 | 77,3 | 68,8 | 59,8 | 53,3 | 46,0 | 37,9 | 29,3 |
| BR710 | LAmax | D | 7 000,0 | 96,7 | 89,7 | 84,7 | 79,3 | 70,9 | 61,8 | 55,2 | 47,9 | 39,7 | 31,1 |
| BR710 | LAmax | D | 8 000,0 | 98,4 | 91,5 | 86,5 | 81,1 | 72,7 | 63,6 | 57,1 | 49,8 | 41,6 | 32,9 |
| BR710 | LAmax | D | 9 000,0 | 99,9 | 93,0 | 88,0 | 82,7 | 74,4 | 65,3 | 58,8 | 51,5 | 43,3 | 34,7 |
| BR710 | LAmax | D | 10 000,0 | 101,0 | 94,1 | 89,3 | 84,0 | 75,8 | 66,8 | 60,4 | 53,2 | 45,0 | 36,5 |
| BR710 | LAmax | D | 11 000,0 | 101,6 | 95,0 | 90,2 | 85,1 | 77,0 | 68,2 | 61,8 | 54,7 | 46,7 | 38,3 |
| BR710 | LAmax | D | 12 000,0 | 102,6 | 95,6 | 90,9 | 85,9 | 78,0 | 69,3 | 63,1 | 56,1 | 48,3 | 40,1 |

▼M2

| NPD_ID | Mjera buke | Tip operacije (Op type) | Režim rada motora (polje „Parametar snage ” u tablici „Zrakoplov” navodi vrstu režima rada i jedinicu) | L_200ft | L_400ft | L_630ft | L_1000ft | L_2000ft | L_4000ft | L_6300ft | L_10000ft | L_16000ft | L_25000ft |
|---|---|---|---|---|---|---|---|---|---|---|---|---|---|
| BR710 | LAmax | D | 12 900,0 | 102,9 | 95,9 | 91,3 | 86,4 | 78,7 | 70,3 | 64,1 | 57,3 | 49,7 | 41,7 |
| BR710 | SEL | A | 1 830,0 | 90,3 | 85,8 | 82,8 | 79,6 | 74,3 | 68,3 | 63,8 | 58,7 | 53,0 | 46,8 |
| BR710 | SEL | A | 2 000,0 | 90,3 | 85,9 | 82,9 | 79,7 | 74,4 | 68,4 | 63,9 | 58,8 | 53,0 | 46,8 |
| BR710 | SEL | A | 3 000,0 | 91,0 | 86,6 | 83,6 | 80,3 | 75,0 | 69,1 | 64,6 | 59,5 | 53,6 | 47,2 |
| BR710 | SEL | A | 4 000,0 | 92,2 | 87,6 | 84,5 | 81,2 | 76,0 | 70,1 | 65,7 | 60,6 | 54,7 | 48,2 |
| BR710 | SEL | A | 5 000,0 | 92,7 | 88,5 | 85,6 | 82,3 | 76,9 | 70,8 | 66,3 | 61,1 | 54,9 | 48,1 |
| BR710 | SEL | A | 6 000,0 | 94,7 | 90,5 | 87,6 | 84,2 | 78,8 | 72,7 | 68,1 | 62,9 | 56,7 | 49,9 |
| BR710 | SEL | A | 7 000,0 | 96,5 | 92,4 | 89,4 | 86,1 | 80,6 | 74,5 | 69,9 | 64,7 | 58,5 | 51,7 |
| BR710 | SEL | A | 8 000,0 | 98,1 | 94,1 | 91,1 | 87,8 | 82,3 | 76,2 | 71,7 | 66,4 | 60,3 | 53,5 |
| BR710 | SEL | A | 9 000,0 | 99,6 | 95,6 | 92,6 | 89,4 | 83,9 | 77,9 | 73,4 | 68,1 | 62,0 | 55,3 |
| BR710 | SEL | A | 10 000,0 | 100,9 | 96,9 | 94,0 | 90,8 | 85,5 | 79,5 | 75,0 | 69,8 | 63,8 | 57,1 |
| BR710 | SEL | A | 11 000,0 | 102,1 | 98,1 | 95,3 | 92,2 | 86,9 | 81,0 | 76,6 | 71,5 | 65,5 | 58,9 |
| BR710 | SEL | A | 12 000,0 | 103,1 | 99,1 | 96,4 | 93,4 | 88,3 | 82,5 | 78,1 | 73,1 | 67,2 | 60,7 |
| BR710 | SEL | A | 12 900,0 | 103,8 | 99,9 | 97,3 | 94,4 | 89,5 | 83,8 | 79,5 | 74,5 | 68,7 | 62,3 |
| BR710 | SEL | D | 4 000,0 | 90,5 | 86,4 | 83,5 | 80,2 | 74,9 | 68,9 | 64,4 | 59,2 | 53,0 | 46,2 |
| BR710 | SEL | D | 5 000,0 | 92,7 | 88,5 | 85,6 | 82,3 | 76,9 | 70,8 | 66,3 | 61,1 | 54,9 | 48,1 |
| BR710 | SEL | D | 6 000,0 | 94,7 | 90,5 | 87,6 | 84,2 | 78,8 | 72,7 | 68,1 | 62,9 | 56,7 | 49,9 |
| BR710 | SEL | D | 7 000,0 | 96,5 | 92,4 | 89,4 | 86,1 | 80,6 | 74,5 | 69,9 | 64,7 | 58,5 | 51,7 |

▼M2

| NPD_ID | Mjera buke | Tip operacije (Op type) | Režim rada motora (polje „Parametar snage ” u tablici „Zrakoplov” navodi vrstu režima rada i jedinicu) | L_200ft | L_400ft | L_630ft | L_1000ft | L_2000ft | L_4000ft | L_6300ft | L_10000ft | L_16000ft | L_25000ft |
|---|---|---|---|---|---|---|---|---|---|---|---|---|---|
| BR710 | SEL | D | 8 000,0 | 98,1 | 94,1 | 91,1 | 87,8 | 82,3 | 76,2 | 71,7 | 66,4 | 60,3 | 53,5 |
| BR710 | SEL | D | 9 000,0 | 99,6 | 95,6 | 92,6 | 89,4 | 83,9 | 77,9 | 73,4 | 68,1 | 62,0 | 55,3 |
| BR710 | SEL | D | 10 000,0 | 100,9 | 96,9 | 94,0 | 90,8 | 85,5 | 79,5 | 75,0 | 69,8 | 63,8 | 57,1 |
| BR710 | SEL | D | 11 000,0 | 102,1 | 98,1 | 95,3 | 92,2 | 86,9 | 81,0 | 76,6 | 71,5 | 65,5 | 58,9 |
| BR710 | SEL | D | 12 000,0 | 103,1 | 99,1 | 96,4 | 93,4 | 88,3 | 82,5 | 78,1 | 73,1 | 67,2 | 60,7 |
| BR710 | SEL | D | 12 900,0 | 103,8 | 99,9 | 97,3 | 94,4 | 89,5 | 83,8 | 79,5 | 74,5 | 68,7 | 62,3 |
| BR715 | LAmax | A | 4 250,0 | 89,2 | 81,6 | 76,8 | 71,6 | 63,4 | 54,6 | 48,3 | 41,6 | 34,7 | 28,2 |
| BR715 | LAmax | A | 5 000,0 | 89,6 | 82,4 | 77,5 | 72,4 | 64,2 | 55,4 | 49,1 | 42,3 | 35,5 | 28,9 |
| BR715 | LAmax | A | 5 750,0 | 89,9 | 83,0 | 78,2 | 73,0 | 64,9 | 56,1 | 49,7 | 43,0 | 36,1 | 29,6 |
| BR715 | LAmax | A | 9 875,0 | 93,8 | 87,0 | 82,4 | 77,6 | 69,8 | 61,4 | 55,3 | 48,6 | 41,8 | 35,3 |
| BR715 | LAmax | D | 11 000,0 | 95,7 | 88,9 | 84,3 | 79,5 | 71,7 | 63,1 | 57,0 | 50,2 | 43,4 | 36,9 |
| BR715 | LAmax | D | 13 000,0 | 98,6 | 91,9 | 87,3 | 82,5 | 74,6 | 66,0 | 59,8 | 52,9 | 46,0 | 39,4 |
| BR715 | LAmax | D | 15 000,0 | 101,2 | 94,5 | 90,0 | 85,1 | 77,2 | 68,5 | 62,2 | 55,3 | 48,3 | 41,6 |
| BR715 | LAmax | D | 17 000,0 | 103,5 | 97,0 | 92,4 | 87,5 | 79,6 | 70,7 | 64,4 | 57,4 | 50,4 | 43,7 |
| BR715 | LAmax | D | 19 000,0 | 106,4 | 99,9 | 95,3 | 90,4 | 82,4 | 73,4 | 67,0 | 60,0 | 52,9 | 46,2 |
| BR715 | LAmax | D | 19 750,0 | 107,5 | 101,0 | 96,5 | 91,6 | 83,5 | 74,5 | 68,1 | 61,1 | 53,9 | 47,2 |
| BR715 | SEL | A | 4 250,0 | 91,9 | 87,1 | 84,1 | 80,7 | 75,2 | 69,0 | 64,4 | 59,4 | 54,2 | 49,4 |
| BR715 | SEL | A | 5 000,0 | 92,2 | 88,0 | 84,9 | 81,5 | 76,1 | 69,9 | 65,3 | 60,3 | 55,2 | 50,3 |

▼M2

| NPD_ID | Mjera buke | Tip operacije (Op type) | Režim rada motora (polje „Parametar snage ” u tablici „Zrakoplov” navodi vrstu režima rada i jedinicu) | L_200ft | L_400ft | L_630ft | L_1000ft | L_2000ft | L_4000ft | L_6300ft | L_10000ft | L_16000ft | L_25000ft |
|---|---|---|---|---|---|---|---|---|---|---|---|---|---|
| BR715 | SEL | A | 5 750,0 | 92,5 | 88,6 | 85,6 | 82,2 | 76,8 | 70,6 | 66,0 | 61,0 | 55,9 | 51,1 |
| BR715 | SEL | A | 9 875,0 | 95,7 | 91,5 | 88,7 | 85,6 | 80,5 | 74,8 | 70,5 | 65,6 | 60,7 | 56,0 |
| BR715 | SEL | D | 11 000,0 | 97,3 | 93,1 | 90,3 | 87,2 | 82,1 | 76,4 | 72,1 | 67,2 | 62,3 | 57,6 |
| BR715 | SEL | D | 13 000,0 | 99,8 | 95,7 | 92,9 | 89,8 | 84,7 | 78,9 | 74,7 | 69,8 | 64,9 | 60,2 |
| BR715 | SEL | D | 15 000,0 | 102,1 | 98,0 | 95,2 | 92,1 | 87,0 | 81,2 | 77,0 | 72,1 | 67,2 | 62,5 |
| BR715 | SEL | D | 17 000,0 | 104,1 | 100,1 | 97,3 | 94,2 | 89,1 | 83,3 | 79,0 | 74,2 | 69,2 | 64,6 |
| BR715 | SEL | D | 19 000,0 | 106,6 | 102,7 | 99,8 | 96,7 | 91,6 | 85,8 | 81,5 | 76,7 | 71,8 | 67,2 |
| BR715 | SEL | D | 19 750,0 | 107,6 | 103,7 | 100,8 | 97,7 | 92,6 | 86,8 | 82,5 | 77,7 | 72,8 | 68,2 |
| CF34 | LAmax | A | 2 000,0 | 87,3 | 80,7 | 76,0 | 71,1 | 63,0 | 54,1 | 47,6 | 40,6 | 33,0 | 24,6 |
| CF34 | LAmax | A | 3 000,0 | 90,6 | 83,8 | 79,0 | 73,9 | 65,6 | 56,5 | 49,8 | 42,7 | 34,9 | 26,5 |
| CF34 | LAmax | D | 4 000,0 | 93,1 | 86,3 | 81,5 | 76,5 | 68,4 | 59,6 | 53,1 | 46,0 | 38,2 | 29,6 |
| CF34 | LAmax | D | 5 000,0 | 95,0 | 88,2 | 83,5 | 78,6 | 70,6 | 61,9 | 55,6 | 48,7 | 40,9 | 32,3 |
| CF34 | LAmax | D | 6 000,0 | 97,2 | 90,9 | 86,1 | 81,2 | 73,2 | 64,5 | 58,2 | 51,5 | 43,5 | 34,9 |
| CF34 | SEL | A | 2 000,0 | 90,9 | 86,7 | 83,3 | 79,9 | 74,1 | 67,4 | 62,4 | 56,9 | 50,7 | 43,9 |
| CF34 | SEL | A | 3 000,0 | 94,3 | 89,8 | 86,5 | 82,9 | 76,9 | 70,0 | 64,8 | 59,2 | 52,9 | 46,0 |
| CF34 | SEL | D | 4 000,0 | 96,3 | 91,8 | 88,5 | 85,0 | 79,1 | 72,5 | 67,5 | 61,9 | 55,6 | 48,6 |
| CF34 | SEL | D | 5 000,0 | 97,7 | 93,2 | 90,0 | 86,5 | 80,8 | 74,3 | 69,5 | 64,1 | 57,9 | 50,7 |
| CF34 | SEL | D | 6 000,0 | 99,7 | 95,2 | 92,0 | 88,5 | 82,8 | 76,3 | 71,5 | 66,1 | 59,9 | 52,7 |

▼M2

| NPD_ID | Mjera buke | Tip operacije (Op type) | Režim rada motora (polje „Parametar snage ” u tablici „Zrakoplov” navodi vrstu režima rada i jedinicu) | L_200ft | L_400ft | L_630ft | L_1000ft | L_2000ft | L_4000ft | L_6300ft | L_10000ft | L_16000ft | L_25000ft |
|---|---|---|---|---|---|---|---|---|---|---|---|---|---|
| CF3410E | LAmax | A | 3 000,0 | 90,1 | 83,6 | 79,1 | 74,4 | 66,9 | 58,6 | 52,6 | 45,7 | 37,9 | 29,5 |
| CF3410E | LAmax | A | 5 000,0 | 91,9 | 85,3 | 80,7 | 75,9 | 68,3 | 59,9 | 53,9 | 47,2 | 39,6 | 31,4 |
| CF3410E | LAmax | D | 8 000,0 | 94,9 | 88,5 | 84,0 | 79,3 | 71,9 | 63,7 | 57,7 | 51,0 | 43,3 | 34,8 |
| CF3410E | LAmax | D | 10 000,0 | 97,6 | 91,1 | 86,6 | 81,9 | 74,3 | 66,0 | 60,2 | 53,4 | 45,6 | 37,1 |
| CF3410E | LAmax | D | 15 000,0 | 103,3 | 96,8 | 92,3 | 87,5 | 79,8 | 71,3 | 65,1 | 58,3 | 50,4 | 42,0 |
| CF3410E | SEL | A | 3 000,0 | 92,5 | 88,8 | 86,1 | 83,2 | 78,4 | 72,7 | 68,3 | 63,3 | 57,2 | 50,5 |
| CF3410E | SEL | A | 5 000,0 | 93,9 | 90,1 | 87,4 | 84,4 | 79,5 | 73,9 | 69,6 | 64,7 | 58,9 | 52,4 |
| CF3410E | SEL | D | 8 000,0 | 95,9 | 92,2 | 89,6 | 86,7 | 81,8 | 76,3 | 72,1 | 67,1 | 61,2 | 54,5 |
| CF3410E | SEL | D | 10 000,0 | 98,6 | 94,9 | 92,1 | 89,2 | 84,4 | 78,8 | 74,6 | 69,9 | 63,9 | 57,2 |
| CF3410E | SEL | D | 15 000,0 | 103,8 | 100,2 | 97,5 | 94,6 | 89,8 | 84,1 | 79,9 | 74,9 | 69,1 | 62,6 |
| CF348C5 | LAmax | A | 2 500,0 | 89,7 | 83,1 | 78,6 | 73,8 | 66,2 | 57,6 | 51,3 | 44,1 | 36,0 | 27,3 |
| CF348C5 | LAmax | A | 7 250,0 | 91,3 | 84,7 | 80,2 | 75,4 | 67,6 | 58,9 | 52,6 | 45,5 | 37,6 | 29,2 |
| CF348C5 | LAmax | D | 7 250,0 | 94,5 | 87,9 | 83,5 | 78,7 | 71,0 | 62,3 | 56,0 | 48,8 | 40,5 | 31,7 |
| CF348C5 | LAmax | D | 16 250,0 | 103,6 | 97,1 | 92,6 | 87,9 | 80,2 | 71,6 | 65,3 | 58,3 | 50,3 | 42,0 |
| CF348C5 | SEL | A | 2 500,0 | 93,1 | 89,2 | 86,4 | 83,3 | 78,2 | 72,0 | 67,1 | 61,5 | 54,9 | 47,7 |
| CF348C5 | SEL | A | 7 250,0 | 95,2 | 91,0 | 88,1 | 85,0 | 79,8 | 73,6 | 68,8 | 63,2 | 56,8 | 49,9 |
| CF348C5 | SEL | D | 7 250,0 | 96,4 | 92,3 | 89,5 | 86,5 | 81,5 | 75,3 | 70,4 | 64,7 | 58,0 | 50,6 |
| CF348C5 | SEL | D | 16 250,0 | 104,7 | 100,9 | 98,2 | 95,3 | 90,4 | 84,4 | 79,6 | 74,0 | 67,6 | 60,7 |

▼M2

| NPD_ID | Mjera buke | Tip operacije (Op type) | Režim rada motora (polje „Parametar snage ” u tablici „Zrakoplov” navodi vrstu režima rada i jedinicu) | L_200ft | L_400ft | L_630ft | L_1000ft | L_2000ft | L_4000ft | L_6300ft | L_10000ft | L_16000ft | L_25000ft |
|---|---|---|---|---|---|---|---|---|---|---|---|---|---|
| CF348E | LAmax | A | 3 000,0 | 91,1 | 84,4 | 79,8 | 74,8 | 66,8 | 57,8 | 51,3 | 44,0 | 35,9 | 27,5 |
| CF348E | LAmax | A | 4 000,0 | 92,0 | 85,3 | 80,7 | 75,8 | 67,8 | 59,0 | 52,5 | 45,5 | 37,6 | 29,6 |
| CF348E | LAmax | D | 7 000,0 | 95,5 | 88,9 | 84,3 | 79,4 | 71,5 | 62,8 | 56,5 | 49,5 | 41,6 | 33,5 |
| CF348E | LAmax | D | 9 000,0 | 99,3 | 92,7 | 88,2 | 83,4 | 75,5 | 66,8 | 60,6 | 53,7 | 46,0 | 38,0 |
| CF348E | LAmax | D | 11 000,0 | 103,3 | 96,6 | 92,0 | 87,1 | 79,2 | 70,3 | 64,0 | 57,2 | 49,6 | 41,8 |
| CF348E | SEL | A | 3 000,0 | 93,5 | 89,6 | 86,7 | 83,5 | 78,2 | 72,0 | 67,2 | 61,6 | 55,3 | 48,6 |
| CF348E | SEL | A | 4 000,0 | 94,7 | 90,7 | 87,9 | 84,7 | 79,4 | 73,3 | 68,7 | 63,3 | 57,2 | 50,7 |
| CF348E | SEL | D | 7 000,0 | 97,3 | 93,2 | 90,5 | 87,4 | 82,3 | 76,2 | 71,7 | 66,4 | 60,4 | 54,0 |
| CF348E | SEL | D | 9 000,0 | 100,3 | 96,5 | 93,9 | 91,0 | 86,0 | 80,3 | 75,9 | 70,9 | 65,0 | 58,6 |
| CF348E | SEL | D | 11 000,0 | 103,4 | 99,7 | 97,1 | 94,2 | 89,4 | 83,8 | 79,5 | 74,6 | 68,9 | 62,5 |
| CF565C | LAmax | A | 3 000,0 | 93,3 | 86,6 | 82,1 | 77,3 | 69,7 | 61,5 | 55,6 | 48,9 | 41,5 | 33,6 |
| CF565C | LAmax | A | 5 000,0 | 94,2 | 87,3 | 82,5 | 77,6 | 69,9 | 61,6 | 55,6 | 49,0 | 41,5 | 33,6 |
| CF565C | LAmax | D | 12 500,0 | 98,9 | 89,4 | 82,8 | 76,4 | 67,3 | 57,8 | 51,3 | 44,2 | 36,3 | 27,7 |
| CF565C | LAmax | D | 20 000,0 | 103,4 | 95,3 | 89,8 | 83,9 | 75,3 | 66,2 | 59,9 | 53,0 | 45,0 | 36,3 |
| CF565C | LAmax | D | 27 500,0 | 106,9 | 99,4 | 94,4 | 89,3 | 81,0 | 71,9 | 65,4 | 58,3 | 50,2 | 41,5 |
| CF565C | SEL | A | 3 000,0 | 98,7 | 92,8 | 89,9 | 86,8 | 81,7 | 76,0 | 71,7 | 66,6 | 60,8 | 54,3 |
| CF565C | SEL | A | 5 000,0 | 99,0 | 93,3 | 90,1 | 86,9 | 81,9 | 76,1 | 71,8 | 66,7 | 60,9 | 54,3 |
| CF565C | SEL | D | 12 500,0 | 98,8 | 92,6 | 88,7 | 84,8 | 78,6 | 71,9 | 67,1 | 61,6 | 55,4 | 48,5 |

▼M2

| NPD_ID | Mjera buke | Tip operacije (Op type) | Režim rada motora (polje „Parametar snage ” u tablici „Zrakoplov” navodi vrstu režima rada i jedinicu) | L_200ft | L_400ft | L_630ft | L_1000ft | L_2000ft | L_4000ft | L_6300ft | L_10000ft | L_16000ft | L_25000ft |
|---|---|---|---|---|---|---|---|---|---|---|---|---|---|
| CF565C | SEL | D | 20 000,0 | 105,3 | 99,9 | 96,4 | 92,9 | 87,3 | 81,0 | 76,4 | 70,9 | 64,7 | 57,8 |
| CF565C | SEL | D | 27 500,0 | 108,0 | 103,5 | 100,5 | 97,4 | 92,1 | 86,2 | 81,7 | 76,2 | 70,7 | 64,6 |
| CF567B | LAmax | A | 3 000,0 | 93,0 | 85,9 | 81,1 | 76,1 | 68,0 | 59,2 | 52,5 | 45,6 | 37,5 | 29,3 |
| CF567B | LAmax | A | 4 000,0 | 93,6 | 86,5 | 81,7 | 76,6 | 68,7 | 59,9 | 53,4 | 46,6 | 37,8 | 29,7 |
| CF567B | LAmax | A | 5 000,0 | 94,1 | 87,0 | 82,2 | 77,2 | 69,2 | 60,5 | 54,1 | 47,4 | 39,0 | 31,1 |
| CF567B | LAmax | A | 6 000,0 | 94,6 | 87,5 | 82,7 | 77,6 | 69,7 | 61,1 | 54,7 | 48,1 | 40,4 | 32,9 |
| CF567B | LAmax | A | 7 000,0 | 95,0 | 87,9 | 83,0 | 78,0 | 70,1 | 61,5 | 55,2 | 48,7 | 41,8 | 34,5 |
| CF567B | LAmax | D | 10 000,0 | 95,2 | 87,9 | 83,6 | 78,8 | 71,3 | 63,0 | 57,3 | 50,4 | 44,2 | 36,9 |
| CF567B | LAmax | D | 13 000,0 | 98,1 | 91,0 | 86,7 | 82,0 | 74,5 | 66,3 | 60,7 | 53,9 | 46,9 | 39,6 |
| CF567B | LAmax | D | 16 000,0 | 100,5 | 93,7 | 89,3 | 84,6 | 77,3 | 69,2 | 63,5 | 56,8 | 49,4 | 42,1 |
| CF567B | LAmax | D | 19 000,0 | 102,7 | 96,0 | 91,7 | 87,1 | 79,7 | 71,7 | 66,1 | 59,5 | 52,2 | 44,9 |
| CF567B | LAmax | D | 23 500,0 | 107,2 | 100,9 | 96,5 | 91,9 | 84,7 | 76,8 | 71,4 | 64,6 | 57,7 | 50,4 |
| CF567B | SEL | A | 3 000,0 | 95,5 | 91,3 | 88,2 | 84,9 | 79,5 | 73,3 | 68,3 | 63,2 | 55,9 | 49,6 |
| CF567B | SEL | A | 4 000,0 | 96,2 | 91,9 | 88,8 | 85,6 | 80,2 | 74,1 | 69,4 | 64,3 | 56,8 | 50,7 |
| CF567B | SEL | A | 5 000,0 | 96,7 | 92,5 | 89,4 | 86,1 | 80,8 | 74,8 | 70,1 | 65,2 | 58,0 | 52,4 |
| CF567B | SEL | A | 6 000,0 | 97,2 | 93,0 | 89,9 | 86,7 | 81,4 | 75,5 | 70,9 | 66,0 | 59,4 | 54,3 |
| CF567B | SEL | A | 7 000,0 | 97,7 | 93,4 | 90,4 | 87,1 | 81,9 | 76,0 | 71,5 | 66,7 | 60,8 | 55,6 |
| CF567B | SEL | D | 10 000,0 | 96,3 | 92,1 | 89,4 | 86,3 | 81,4 | 75,9 | 72,0 | 67,0 | 61,3 | 51,9 |

▼M2

| NPD_ID | Mjera buke | Tip operacije (Op type) | Režim rada motora (polje „Parametar snage ” u tablici „Zrakoplov” navodi vrstu režima rada i jedinicu) | L_200ft | L_400ft | L_630ft | L_1000ft | L_2000ft | L_4000ft | L_6300ft | L_10000ft | L_16000ft | L_25000ft |
|---|---|---|---|---|---|---|---|---|---|---|---|---|---|
| CF567B | SEL | D | 13 000,0 | 99,2 | 95,2 | 92,4 | 89,4 | 84,7 | 79,3 | 75,4 | 70,5 | 64,5 | 56,1 |
| CF567B | SEL | D | 16 000,0 | 101,7 | 97,6 | 95,0 | 92,1 | 87,4 | 82,1 | 78,3 | 73,5 | 67,3 | 60,0 |
| CF567B | SEL | D | 19 000,0 | 103,9 | 99,9 | 97,3 | 94,5 | 89,9 | 84,7 | 81,0 | 76,2 | 70,3 | 63,7 |
| CF567B | SEL | D | 23 500,0 | 108,4 | 104,5 | 102,0 | 99,3 | 95,0 | 89,9 | 86,4 | 81,5 | 75,5 | 69,5 |
| CF66D | LAmax | A | 8 000,0 | 99,2 | 92,0 | 86,6 | 81,0 | 72,1 | 63,0 | 56,5 | 49,1 | 40,8 | 32,5 |
| CF66D | LAmax | A | 14 000,0 | 102,1 | 95,0 | 89,9 | 84,5 | 76,0 | 67,0 | 60,6 | 53,3 | 45,1 | 37,1 |
| CF66D | LAmax | D | 20 000,0 | 104,5 | 97,6 | 92,7 | 87,5 | 79,3 | 70,4 | 64,1 | 56,9 | 48,9 | 41,0 |
| CF66D | LAmax | D | 28 000,0 | 106,2 | 99,4 | 94,6 | 89,5 | 81,5 | 72,6 | 66,4 | 59,3 | 51,3 | 43,6 |
| CF66D | LAmax | D | 36 000,0 | 107,8 | 101,1 | 96,5 | 91,5 | 83,7 | 74,9 | 68,7 | 61,7 | 53,8 | 46,2 |
| CF66D | SEL | A | 8 000,0 | 100,7 | 95,5 | 91,7 | 87,5 | 81,1 | 74,0 | 68,8 | 63,0 | 56,3 | 49,7 |
| CF66D | SEL | A | 14 000,0 | 104,4 | 99,5 | 95,9 | 92,0 | 85,9 | 79,0 | 73,9 | 68,3 | 61,7 | 55,2 |
| CF66D | SEL | D | 20 000,0 | 106,8 | 102,2 | 98,7 | 95,0 | 89,0 | 82,3 | 77,3 | 71,8 | 65,4 | 58,9 |
| CF66D | SEL | D | 28 000,0 | 109,3 | 104,8 | 101,4 | 98,0 | 92,2 | 85,6 | 80,7 | 75,3 | 69,0 | 62,6 |
| CF66D | SEL | D | 36 000,0 | 110,9 | 106,6 | 103,3 | 100,0 | 94,3 | 87,8 | 83,0 | 77,6 | 71,4 | 65,1 |
| CF680C | LAmax | A | 5 500,0 | 94,4 | 87,4 | 82,8 | 78,0 | 70,4 | 61,9 | 55,7 | 48,8 | 40,9 | 31,7 |
| CF680C | LAmax | A | 7 000,0 | 95,3 | 88,1 | 83,5 | 78,5 | 70,7 | 62,1 | 55,8 | 49,0 | 40,9 | 31,4 |
| CF680C | LAmax | A | 12 000,0 | 95,9 | 88,8 | 84,1 | 79,1 | 71,3 | 62,7 | 56,4 | 49,6 | 41,7 | 32,5 |
| CF680C | LAmax | A | 15 000,0 | 98,9 | 91,2 | 86,2 | 80,7 | 72,3 | 63,4 | 57,0 | 50,1 | 42,0 | 32,1 |

▼M2

| NPD_ID | Mjera buke | Tip operacije (Op type) | Režim rada motora (polje „Parametar snage ” u tablici „Zrakoplov” navodi vrstu režima rada i jedinicu) | L_200ft | L_400ft | L_630ft | L_1000ft | L_2000ft | L_4000ft | L_6300ft | L_10000ft | L_16000ft | L_25000ft |
|---|---|---|---|---|---|---|---|---|---|---|---|---|---|
| CF680C | LAmax | D | 17 000,0 | 101,6 | 93,6 | 87,8 | 81,4 | 71,6 | 62,2 | 55,8 | 48,8 | 40,6 | 30,5 |
| CF680C | LAmax | D | 21 000,0 | 100,8 | 93,1 | 87,6 | 81,7 | 72,6 | 63,6 | 57,4 | 50,7 | 42,7 | 33,0 |
| CF680C | LAmax | D | 25 000,0 | 100,6 | 93,1 | 87,8 | 82,3 | 73,8 | 65,0 | 59,0 | 52,4 | 44,7 | 35,2 |
| CF680C | LAmax | D | 33 000,0 | 101,3 | 94,2 | 89,3 | 84,2 | 76,3 | 67,9 | 62,1 | 55,7 | 48,2 | 39,2 |
| CF680C | LAmax | D | 41 000,0 | 103,1 | 96,3 | 91,5 | 86,7 | 79,1 | 70,9 | 65,1 | 58,9 | 51,5 | 42,6 |
| CF680C | LAmax | D | 54 000,0 | 109,7 | 103,2 | 98,8 | 94,0 | 86,4 | 78,2 | 72,5 | 66,2 | 59,0 | 50,4 |
| CF680C | SEL | A | 5 500,0 | 95,9 | 93,2 | 90,4 | 87,2 | 82,1 | 76,2 | 71,6 | 66,4 | 60,4 | 53,5 |
| CF680C | SEL | A | 7 000,0 | 96,6 | 93,7 | 90,7 | 87,5 | 82,2 | 76,2 | 71,5 | 66,4 | 60,4 | 53,4 |
| CF680C | SEL | A | 12 000,0 | 98,0 | 94,9 | 91,8 | 88,5 | 83,0 | 76,9 | 72,2 | 67,1 | 61,0 | 53,9 |
| CF680C | SEL | A | 15 000,0 | 99,2 | 97,1 | 93,8 | 90,1 | 84,2 | 77,6 | 72,9 | 67,7 | 61,6 | 54,5 |
| CF680C | SEL | D | 17 000,0 | 104,5 | 99,3 | 95,3 | 90,7 | 83,1 | 75,4 | 70,6 | 65,4 | 59,2 | 51,4 |
| CF680C | SEL | D | 21 000,0 | 103,1 | 98,4 | 94,7 | 90,5 | 83,7 | 76,8 | 72,3 | 67,3 | 61,4 | 53,9 |
| CF680C | SEL | D | 25 000,0 | 102,5 | 98,0 | 94,6 | 90,8 | 84,6 | 78,2 | 73,8 | 69,1 | 63,4 | 56,2 |
| CF680C | SEL | D | 33 000,0 | 102,6 | 98,5 | 95,5 | 92,1 | 86,7 | 80,9 | 76,9 | 72,3 | 66,9 | 60,1 |
| CF680C | SEL | D | 41 000,0 | 104,0 | 100,1 | 97,3 | 94,2 | 89,2 | 83,8 | 79,9 | 75,4 | 70,1 | 63,5 |
| CF680C | SEL | D | 54 000,0 | 109,8 | 106,1 | 103,6 | 100,8 | 96,1 | 90,8 | 86,9 | 82,6 | 77,5 | 71,2 |
| CF680E | LAmax | A | 6 000,0 | 93,8 | 86,6 | 82,0 | 77,2 | 69,6 | 61,4 | 55,4 | 48,7 | 41,1 | 33,0 |
| CF680E | LAmax | A | 12 000,0 | 96,7 | 89,2 | 84,3 | 79,1 | 71,0 | 62,4 | 56,2 | 49,2 | 41,6 | 33,5 |

▼M2

| NPD_ID | Mjera buke | Tip operacije (Op type) | Režim rada motora (polje „Parametar snage ” u tablici „Zrakoplov” navodi vrstu režima rada i jedinicu) | L_200ft | L_400ft | L_630ft | L_1000ft | L_2000ft | L_4000ft | L_6300ft | L_10000ft | L_16000ft | L_25000ft |
|---|---|---|---|---|---|---|---|---|---|---|---|---|---|
| CF680E | LAmax | D | 34 000,0 | 105,5 | 97,4 | 92,0 | 86,3 | 77,7 | 68,4 | 61,8 | 54,3 | 46,2 | 37,4 |
| CF680E | LAmax | D | 42 000,0 | 106,0 | 98,2 | 93,2 | 88,0 | 79,8 | 70,7 | 64,2 | 56,9 | 48,8 | 40,1 |
| CF680E | LAmax | D | 52 000,0 | 107,5 | 100,1 | 95,2 | 90,2 | 82,3 | 73,8 | 67,6 | 60,6 | 52,7 | 44,0 |
| CF680E | LAmax | D | 62 000,0 | 111,7 | 104,4 | 99,6 | 94,5 | 86,6 | 78,4 | 72,4 | 65,6 | 57,6 | 48,8 |
| CF680E | SEL | A | 6 000,0 | 99,1 | 93,5 | 90,3 | 87,1 | 81,9 | 76,1 | 71,7 | 66,6 | 60,3 | 53,7 |
| CF680E | SEL | A | 12 000,0 | 100,0 | 94,8 | 91,5 | 88,2 | 82,8 | 76,9 | 72,3 | 67,1 | 60,8 | 54,2 |
| CF680E | SEL | D | 34 000,0 | 106,7 | 101,4 | 98,1 | 94,5 | 88,6 | 82,2 | 77,6 | 72,2 | 65,9 | 58,9 |
| CF680E | SEL | D | 42 000,0 | 107,2 | 102,4 | 99,4 | 96,0 | 90,6 | 84,4 | 79,9 | 74,6 | 68,4 | 61,5 |
| CF680E | SEL | D | 52 000,0 | 108,4 | 104,1 | 101,2 | 98,2 | 93,2 | 87,4 | 83,0 | 77,6 | 71,6 | 64,8 |
| CF680E | SEL | D | 62 000,0 | 112,7 | 108,3 | 105,4 | 102,5 | 97,6 | 91,9 | 87,7 | 82,5 | 76,5 | 70,4 |
| CF700 | LAmax | A | 850,0 | 98,2 | 90,6 | 84,9 | 78,7 | 68,7 | 59,1 | 52,4 | 45,3 | 37,6 | 29,2 |
| CF700 | LAmax | A | 1 500,0 | 100,5 | 93,5 | 88,6 | 83,5 | 74,6 | 64,9 | 57,6 | 49,7 | 41,7 | 33,0 |
| CF700 | LAmax | D | 2 500,0 | 101,0 | 94,0 | 89,1 | 84,0 | 75,9 | 66,9 | 60,2 | 52,8 | 44,8 | 36,1 |
| CF700 | LAmax | D | 3 750,0 | 108,6 | 101,4 | 96,3 | 91,0 | 82,4 | 72,6 | 65,3 | 57,2 | 48,4 | 38,9 |
| CF700 | SEL | A | 850,0 | 100,7 | 95,3 | 91,2 | 86,4 | 78,7 | 71,4 | 66,2 | 60,5 | 54,4 | 47,4 |
| CF700 | SEL | A | 1 500,0 | 102,8 | 97,8 | 94,1 | 90,0 | 83,4 | 75,9 | 70,1 | 63,7 | 57,2 | 50,0 |
| CF700 | SEL | D | 2 500,0 | 104,2 | 99,5 | 96,1 | 92,5 | 86,7 | 79,9 | 74,7 | 68,9 | 62,3 | 55,1 |
| CF700 | SEL | D | 3 750,0 | 111,3 | 106,4 | 102,8 | 99,0 | 92,6 | 85,1 | 79,2 | 72,7 | 65,4 | 57,4 |

▼M2

| NPD_ID | Mjera buke | Tip operacije (Op type) | Režim rada motora (polje „Parametar snage ” u tablici „Zrakoplov” navodi vrstu režima rada i jedinicu) | L_200ft | L_400ft | L_630ft | L_1000ft | L_2000ft | L_4000ft | L_6300ft | L_10000ft | L_16000ft | L_25000ft |
|---|---|---|---|---|---|---|---|---|---|---|---|---|---|
| CFM562 | LAmax | A | 5 000,0 | 96,4 | 89,8 | 85,2 | 80,4 | 72,6 | 64,0 | 57,5 | 50,3 | 42,1 | 33,4 |
| CFM562 | LAmax | A | 10 000,0 | 100,5 | 94,0 | 89,2 | 84,4 | 76,7 | 68,7 | 61,8 | 54,7 | 46,5 | 37,8 |
| CFM562 | LAmax | D | 10 000,0 | 100,5 | 94,0 | 89,2 | 84,4 | 76,7 | 68,7 | 61,8 | 54,7 | 46,5 | 37,8 |
| CFM562 | LAmax | D | 15 500,0 | 106,1 | 99,5 | 94,8 | 89,9 | 82,3 | 73,9 | 67,8 | 60,8 | 52,6 | 43,9 |
| CFM562 | SEL | A | 5 000,0 | 97,9 | 93,5 | 90,4 | 87,1 | 81,9 | 75,6 | 70,7 | 64,9 | 58,2 | 51,0 |
| CFM562 | SEL | A | 10 000,0 | 101,5 | 97,2 | 94,2 | 91,0 | 85,9 | 79,8 | 75,0 | 69,3 | 62,6 | 55,4 |
| CFM562 | SEL | D | 10 000,0 | 101,5 | 97,2 | 94,2 | 91,0 | 85,9 | 79,8 | 75,0 | 69,3 | 62,6 | 55,4 |
| CFM562 | SEL | D | 15 500,0 | 106,5 | 102,5 | 99,6 | 96,5 | 91,6 | 85,7 | 81,0 | 75,5 | 68,9 | 61,6 |
| CFM563 | LAmax | A | 2 500,0 | 93,4 | 85,7 | 80,8 | 75,6 | 67,4 | 58,2 | 51,5 | 44,0 | 36,5 | 29,1 |
| CFM563 | LAmax | A | 3 500,0 | 94,5 | 86,7 | 81,8 | 76,5 | 68,2 | 59,1 | 52,5 | 45,1 | 37,6 | 30,4 |
| CFM563 | LAmax | A | 4 500,0 | 95,8 | 88,0 | 83,0 | 77,7 | 69,5 | 60,4 | 53,9 | 46,6 | 39,2 | 32,1 |
| CFM563 | LAmax | A | 5 500,0 | 97,2 | 89,3 | 84,4 | 79,1 | 71,0 | 62,0 | 55,6 | 48,3 | 41,0 | 33,9 |
| CFM563 | LAmax | D | 6 500,0 | 95,8 | 89,1 | 84,5 | 79,6 | 71,7 | 63,2 | 56,9 | 49,8 | 42,5 | 35,7 |
| CFM563 | LAmax | D | 9 000,0 | 97,0 | 90,3 | 85,8 | 80,9 | 73,2 | 64,8 | 58,6 | 51,6 | 44,5 | 37,8 |
| CFM563 | LAmax | D | 11 500,0 | 98,6 | 92,0 | 87,4 | 82,7 | 75,0 | 66,7 | 60,6 | 53,8 | 46,8 | 40,2 |
| CFM563 | LAmax | D | 14 000,0 | 100,4 | 93,8 | 89,3 | 84,5 | 77,0 | 68,8 | 62,8 | 56,0 | 49,2 | 42,7 |
| CFM563 | LAmax | D | 16 500,0 | 102,2 | 95,7 | 91,2 | 86,5 | 79,0 | 70,9 | 65,0 | 58,4 | 51,6 | 45,3 |
| CFM563 | LAmax | D | 19 000,0 | 104,4 | 97,9 | 93,5 | 88,9 | 81,5 | 73,5 | 67,6 | 61,1 | 54,5 | 48,3 |

▼M2

| NPD_ID | Mjera buke | Tip operacije (Op type) | Režim rada motora (polje „Parametar snage ” u tablici „Zrakoplov” navodi vrstu režima rada i jedinicu) | L_200ft | L_400ft | L_630ft | L_1000ft | L_2000ft | L_4000ft | L_6300ft | L_10000ft | L_16000ft | L_25000ft |
|---|---|---|---|---|---|---|---|---|---|---|---|---|---|
| CFM563 | SEL | A | 2 500,0 | 94,7 | 90,2 | 87,1 | 83,7 | 78,1 | 71,5 | 66,7 | 61,1 | 55,4 | 49,8 |
| CFM563 | SEL | A | 3 500,0 | 96,3 | 91,5 | 88,3 | 84,7 | 79,0 | 72,5 | 67,7 | 62,2 | 56,6 | 51,2 |
| CFM563 | SEL | A | 4 500,0 | 97,6 | 92,8 | 89,5 | 85,8 | 80,1 | 73,7 | 69,0 | 63,6 | 58,1 | 52,8 |
| CFM563 | SEL | A | 5 500,0 | 98,8 | 93,9 | 90,6 | 86,9 | 81,4 | 75,0 | 70,4 | 65,1 | 59,7 | 54,4 |
| CFM563 | SEL | D | 6 500,0 | 96,4 | 92,3 | 89,3 | 86,1 | 80,9 | 75,2 | 70,8 | 65,6 | 60,3 | 55,4 |
| CFM563 | SEL | D | 9 000,0 | 97,9 | 93,7 | 90,7 | 87,5 | 82,4 | 76,8 | 72,5 | 67,5 | 62,5 | 57,7 |
| CFM563 | SEL | D | 11 500,0 | 99,5 | 95,4 | 92,5 | 89,3 | 84,3 | 78,9 | 74,7 | 69,9 | 64,9 | 60,3 |
| CFM563 | SEL | D | 14 000,0 | 101,1 | 97,2 | 94,4 | 91,3 | 86,5 | 81,2 | 77,1 | 72,3 | 67,5 | 63,0 |
| CFM563 | SEL | D | 16 500,0 | 102,8 | 99,0 | 96,3 | 93,5 | 88,8 | 83,6 | 79,6 | 74,9 | 70,2 | 65,8 |
| CFM563 | SEL | D | 19 000,0 | 104,7 | 101,2 | 98,7 | 96,0 | 91,5 | 86,4 | 82,5 | 78,0 | 73,4 | 69,1 |
| CFM565 | LAmax | A | 2 700,0 | 91,7 | 84,4 | 79,7 | 74,8 | 67,0 | 58,5 | 52,2 | 45,3 | 37,5 | 29,5 |
| CFM565 | LAmax | A | 6 000,0 | 93,8 | 86,1 | 80,9 | 75,6 | 67,4 | 58,7 | 52,4 | 45,5 | 37,7 | 29,7 |
| CFM565 | LAmax | D | 12 000,0 | 100,3 | 92,0 | 86,2 | 80,3 | 71,1 | 61,7 | 55,4 | 48,6 | 40,9 | 33,1 |
| CFM565 | LAmax | D | 15 500,0 | 102,5 | 94,9 | 89,5 | 83,6 | 74,0 | 65,0 | 58,8 | 52,1 | 44,7 | 36,8 |
| CFM565 | LAmax | D | 19 000,0 | 104,3 | 96,6 | 91,1 | 85,7 | 77,2 | 68,2 | 62,2 | 55,5 | 47,9 | 40,0 |
| CFM565 | LAmax | D | 22 500,0 | 105,9 | 98,9 | 94,1 | 88,9 | 80,9 | 72,5 | 66,1 | 59,4 | 51,7 | 43,3 |
| CFM565 | SEL | A | 2 700,0 | 96,6 | 90,5 | 87,5 | 84,2 | 78,9 | 72,8 | 68,2 | 62,9 | 56,8 | 50,3 |
| CFM565 | SEL | A | 6 000,0 | 97,4 | 91,6 | 88,2 | 84,8 | 79,3 | 73,1 | 68,5 | 63,3 | 57,1 | 50,6 |

▼M2

| NPD_ID | Mjera buke | Tip operacije (Op type) | Režim rada motora (polje „Parametar snage ” u tablici „Zrakoplov” navodi vrstu režima rada i jedinicu) | L_200ft | L_400ft | L_630ft | L_1000ft | L_2000ft | L_4000ft | L_6300ft | L_10000ft | L_16000ft | L_25000ft |
|---|---|---|---|---|---|---|---|---|---|---|---|---|---|
| CFM565 | SEL | D | 12 000,0 | 100,9 | 96,2 | 92,4 | 88,3 | 81,9 | 75,5 | 71,1 | 66,0 | 60,0 | 53,8 |
| CFM565 | SEL | D | 15 500,0 | 103,6 | 99,0 | 95,3 | 91,5 | 85,6 | 79,3 | 74,9 | 69,9 | 64,2 | 57,9 |
| CFM565 | SEL | D | 19 000,0 | 104,7 | 100,5 | 97,3 | 93,9 | 88,3 | 82,4 | 78,1 | 73,2 | 67,3 | 61,0 |
| CFM565 | SEL | D | 22 500,0 | 106,5 | 102,4 | 99,6 | 96,4 | 91,4 | 85,7 | 81,5 | 76,5 | 70,8 | 64,3 |
| CJ610 | LAmax | A | 700,0 | 98,5 | 91,9 | 87,3 | 82,4 | 74,3 | 65,0 | 58,0 | 50,1 | 41,3 | 31,6 |
| CJ610 | LAmax | A | 1 800,0 | 117,1 | 110,3 | 105,6 | 100,5 | 92,2 | 82,5 | 75,1 | 66,7 | 57,0 | 46,0 |
| CJ610 | LAmax | D | 1 800,0 | 117,1 | 110,3 | 105,6 | 100,5 | 92,2 | 82,5 | 75,1 | 66,7 | 57,0 | 46,0 |
| CJ610 | LAmax | D | 2 600,0 | 122,2 | 115,0 | 109,8 | 104,3 | 95,3 | 85,3 | 77,6 | 68,9 | 59,0 | 47,9 |
| CJ610 | SEL | A | 700,0 | 100,8 | 96,4 | 93,3 | 89,9 | 84,0 | 77,0 | 71,5 | 65,1 | 57,8 | 49,6 |
| CJ610 | SEL | A | 1 800,0 | 119,3 | 114,8 | 111,6 | 108,0 | 101,9 | 94,5 | 88,6 | 81,6 | 73,4 | 63,9 |
| CJ610 | SEL | D | 1 800,0 | 119,3 | 114,8 | 111,6 | 108,0 | 101,9 | 94,5 | 88,6 | 81,6 | 73,4 | 63,9 |
| CJ610 | SEL | D | 2 600,0 | 124,7 | 119,7 | 116,0 | 112,0 | 105,3 | 97,5 | 91,3 | 84,1 | 75,7 | 66,1 |
| CT75 | LAmax | A | 30,0 | 86,9 | 80,5 | 76,1 | 71,6 | 64,5 | 57,0 | 51,6 | 45,6 | 38,6 | 30,9 |
| CT75 | LAmax | A | 75,0 | 88,1 | 81,7 | 77,4 | 73,0 | 66,0 | 58,5 | 53,3 | 47,6 | 41,3 | 34,5 |
| CT75 | LAmax | D | 75,0 | 88,1 | 81,7 | 77,4 | 73,0 | 66,0 | 58,5 | 53,3 | 47,6 | 41,3 | 34,5 |
| CT75 | LAmax | D | 100,0 | 95,2 | 88,9 | 84,7 | 80,3 | 73,4 | 66,1 | 60,8 | 54,8 | 47,9 | 40,1 |
| CT75 | SEL | A | 30,0 | 87,5 | 83,4 | 80,5 | 77,5 | 72,7 | 67,4 | 63,6 | 59,1 | 53,6 | 47,3 |
| CT75 | SEL | A | 75,0 | 89,0 | 85,1 | 82,5 | 79,5 | 75,1 | 69,9 | 66,2 | 62,0 | 57,2 | 51,8 |

▼M2

| NPD_ID | Mjera buke | Tip operacije (Op type) | Režim rada motora (polje „Parametar snage ” u tablici „Zrakoplov” navodi vrstu režima rada i jedinicu) | L_200ft | L_400ft | L_630ft | L_1000ft | L_2000ft | L_4000ft | L_6300ft | L_10000ft | L_16000ft | L_25000ft |
|---|---|---|---|---|---|---|---|---|---|---|---|---|---|
| CT75 | SEL | D | 75,0 | 89,0 | 85,1 | 82,5 | 79,5 | 75,1 | 69,9 | 66,2 | 62,0 | 57,2 | 51,8 |
| CT75 | SEL | D | 100,0 | 97,0 | 92,8 | 90,1 | 87,3 | 82,9 | 77,8 | 74,0 | 69,5 | 64,1 | 57,8 |
| EPW118 | LAmax | A | 700,0 | 88,9 | 82,0 | 77,1 | 71,9 | 63,6 | 55,2 | 49,3 | 42,9 | 34,7 | 27,0 |
| EPW118 | LAmax | A | 1 000,0 | 88,3 | 81,5 | 76,8 | 71,8 | 64,0 | 55,5 | 49,4 | 42,4 | 33,5 | 25,1 |
| EPW118 | LAmax | D | 2 000,0 | 85,8 | 79,2 | 74,8 | 70,2 | 63,0 | 55,2 | 49,6 | 43,2 | 35,4 | 28,1 |
| EPW118 | LAmax | D | 3 000,0 | 86,4 | 79,9 | 75,6 | 71,1 | 64,0 | 56,6 | 51,3 | 45,6 | 38,7 | 32,1 |
| EPW118 | LAmax | D | 3 800,0 | 92,0 | 85,7 | 81,5 | 77,1 | 70,4 | 63,3 | 58,4 | 53,0 | 46,2 | 39,7 |
| EPW118 | SEL | A | 700,0 | 94,5 | 87,5 | 82,7 | 77,5 | 69,2 | 60,7 | 54,9 | 48,4 | 40,3 | 32,6 |
| EPW118 | SEL | A | 1 000,0 | 94,9 | 88,1 | 83,4 | 78,4 | 70,6 | 62,1 | 56,0 | 49,0 | 40,2 | 31,7 |
| EPW118 | SEL | D | 2 000,0 | 98,4 | 91,9 | 87,4 | 82,8 | 75,6 | 67,8 | 62,2 | 55,9 | 48,1 | 40,7 |
| EPW118 | SEL | D | 3 000,0 | 98,7 | 92,3 | 87,9 | 83,4 | 76,4 | 68,9 | 63,7 | 58,0 | 51,0 | 44,5 |
| EPW118 | SEL | D | 3 800,0 | 100,9 | 94,6 | 90,4 | 86,0 | 79,3 | 72,2 | 67,3 | 61,9 | 55,0 | 48,6 |
| FJ44-4 | LAmax | A | 600,0 | 86,7 | 79,1 | 73,8 | 68,1 | 59,1 | 49,4 | 42,7 | 35,7 | 28,2 | 20,8 |
| FJ44-4 | LAmax | A | 900,0 | 89,1 | 81,8 | 76,6 | 70,9 | 61,7 | 51,7 | 44,6 | 37,1 | 29,1 | 21,1 |
| FJ44-4 | LAmax | D | 1 700,0 | 96,4 | 88,4 | 82,8 | 76,9 | 67,6 | 57,7 | 50,9 | 43,7 | 36,2 | 28,8 |
| FJ44-4 | LAmax | D | 2 400,0 | 98,2 | 91,8 | 87,1 | 81,8 | 73,2 | 63,5 | 56,7 | 49,3 | 41,3 | 33,4 |
| FJ44-4 | LAmax | D | 3 000,0 | 101,5 | 95,2 | 90,6 | 85,4 | 76,8 | 67,3 | 60,5 | 53,1 | 45,2 | 37,3 |
| FJ44-4 | LAmax | D | 3 300,0 | 103,8 | 97,4 | 92,7 | 87,5 | 78,9 | 69,4 | 62,7 | 55,4 | 47,6 | 39,8 |

▼M2

| NPD_ID | Mjera buke | Tip operacije (Op type) | Režim rada motora (polje „Parametar snage ” u tablici „Zrakoplov” navodi vrstu režima rada i jedinicu) | L_200ft | L_400ft | L_630ft | L_1000ft | L_2000ft | L_4000ft | L_6300ft | L_10000ft | L_16000ft | L_25000ft |
|---|---|---|---|---|---|---|---|---|---|---|---|---|---|
| FJ44-4 | SEL | A | 600,0 | 87,3 | 82,8 | 79,5 | 75,9 | 70,0 | 63,4 | 58,8 | 53,9 | 48,6 | 43,3 |
| FJ44-4 | SEL | A | 900,0 | 90,4 | 85,5 | 82,0 | 78,1 | 71,8 | 64,9 | 60,0 | 54,8 | 49,2 | 43,6 |
| FJ44-4 | SEL | D | 1 700,0 | 94,2 | 90,0 | 86,8 | 83,2 | 77,2 | 70,5 | 65,7 | 60,6 | 55,0 | 49,3 |
| FJ44-4 | SEL | D | 2 400,0 | 98,2 | 94,4 | 91,5 | 88,2 | 82,5 | 76,0 | 71,3 | 66,1 | 60,5 | 54,8 |
| FJ44-4 | SEL | D | 3 000,0 | 102,0 | 98,5 | 95,7 | 92,5 | 86,9 | 80,4 | 75,7 | 70,5 | 64,9 | 59,1 |
| FJ44-4 | SEL | D | 3 300,0 | 104,5 | 101,0 | 98,2 | 95,0 | 89,5 | 83,2 | 78,6 | 73,5 | 68,0 | 62,4 |
| GE90 | LAmax | A | 12 000,0 | 94,2 | 86,8 | 81,8 | 76,8 | 68,9 | 60,3 | 54,1 | 47,5 | 40,8 | 34,5 |
| GE90 | LAmax | A | 17 000,0 | 95,3 | 87,9 | 82,9 | 77,9 | 69,9 | 61,2 | 55,0 | 48,3 | 41,5 | 35,1 |
| GE90 | LAmax | A | 22 000,0 | 96,6 | 89,0 | 84,0 | 78,9 | 70,7 | 62,0 | 55,6 | 48,9 | 42,0 | 35,6 |
| GE90 | LAmax | A | 27 000,0 | 97,9 | 90,0 | 84,9 | 79,7 | 71,4 | 62,5 | 56,2 | 49,4 | 42,5 | 36,0 |
| GE90 | LAmax | D | 31 000,0 | 97,5 | 90,7 | 86,0 | 80,8 | 72,8 | 63,8 | 57,5 | 50,4 | 43,3 | 36,4 |
| GE90 | LAmax | D | 41 000,0 | 98,8 | 92,0 | 87,3 | 82,2 | 74,2 | 65,3 | 59,0 | 52,1 | 45,1 | 38,4 |
| GE90 | LAmax | D | 51 000,0 | 100,6 | 93,8 | 89,2 | 84,1 | 76,2 | 67,3 | 61,1 | 54,3 | 47,5 | 40,9 |
| GE90 | LAmax | D | 61 000,0 | 102,8 | 96,0 | 91,4 | 86,4 | 78,5 | 69,7 | 63,6 | 56,9 | 50,1 | 43,5 |
| GE90 | LAmax | D | 71 000,0 | 105,0 | 98,3 | 93,7 | 88,7 | 80,8 | 72,1 | 66,1 | 59,4 | 52,7 | 46,3 |
| GE90 | LAmax | D | 81 000,0 | 109,0 | 102,4 | 97,8 | 92,9 | 85,2 | 76,7 | 70,8 | 64,4 | 58,0 | 52,0 |
| GE90 | SEL | A | 12 000,0 | 97,7 | 92,8 | 89,5 | 86,3 | 80,9 | 74,9 | 70,4 | 65,5 | 60,5 | 55,8 |
| GE90 | SEL | A | 17 000,0 | 98,6 | 93,9 | 90,6 | 87,2 | 81,7 | 75,7 | 71,1 | 66,1 | 61,1 | 56,4 |

▼M2

| NPD_ID | Mjera buke | Tip operacije (Op type) | Režim rada motora (polje „Parametar snage ” u tablici „Zrakoplov” navodi vrstu režima rada i jedinicu) | L_200ft | L_400ft | L_630ft | L_1000ft | L_2000ft | L_4000ft | L_6300ft | L_10000ft | L_16000ft | L_25000ft |
|---|---|---|---|---|---|---|---|---|---|---|---|---|---|
| GE90 | SEL | A | 22 000,0 | 99,8 | 94,9 | 91,5 | 88,1 | 82,5 | 76,3 | 71,7 | 66,7 | 61,6 | 56,9 |
| GE90 | SEL | A | 27 000,0 | 101,0 | 95,9 | 92,4 | 88,8 | 83,2 | 76,9 | 72,3 | 67,2 | 62,1 | 57,3 |
| GE90 | SEL | D | 31 000,0 | 100,0 | 95,8 | 92,7 | 89,2 | 83,5 | 76,9 | 72,2 | 66,9 | 61,4 | 56,2 |
| GE90 | SEL | D | 41 000,0 | 101,2 | 97,1 | 94,2 | 90,7 | 85,1 | 78,5 | 73,9 | 68,7 | 63,4 | 58,4 |
| GE90 | SEL | D | 51 000,0 | 102,7 | 98,8 | 95,9 | 92,5 | 87,0 | 80,6 | 76,1 | 71,1 | 66,0 | 61,1 |
| GE90 | SEL | D | 61 000,0 | 104,4 | 100,6 | 97,7 | 94,5 | 89,2 | 82,9 | 78,6 | 73,7 | 68,7 | 64,0 |
| GE90 | SEL | D | 71 000,0 | 106,1 | 102,3 | 99,5 | 96,4 | 91,3 | 85,3 | 81,1 | 76,3 | 71,5 | 66,9 |
| GE90 | SEL | D | 81 000,0 | 109,1 | 105,4 | 102,7 | 99,7 | 95,0 | 89,6 | 85,7 | 81,3 | 77,0 | 73,0 |
| GE9015 | LAmax | A | 12 000,0 | 96,1 | 88,9 | 84,3 | 79,4 | 71,6 | 63,2 | 57,1 | 50,5 | 43,8 | 37,5 |
| GE9015 | LAmax | A | 17 333,0 | 96,5 | 89,3 | 84,6 | 79,7 | 71,9 | 63,4 | 57,3 | 50,7 | 43,9 | 37,6 |
| GE9015 | LAmax | A | 22 667,0 | 97,2 | 90,0 | 85,3 | 80,3 | 72,5 | 63,9 | 57,6 | 51,0 | 44,1 | 37,7 |
| GE9015 | LAmax | A | 28 000,0 | 98,2 | 90,9 | 86,1 | 81,1 | 73,2 | 64,5 | 58,1 | 51,4 | 44,4 | 37,9 |
| GE9015 | LAmax | D | 39 000,0 | 100,4 | 93,2 | 88,4 | 83,4 | 75,3 | 66,5 | 60,1 | 52,9 | 45,6 | 38,6 |
| GE9015 | LAmax | D | 50 600,0 | 101,8 | 94,7 | 89,9 | 84,8 | 76,6 | 67,7 | 61,5 | 54,5 | 47,4 | 40,6 |
| GE9015 | LAmax | D | 62 200,0 | 103,5 | 96,6 | 91,8 | 86,7 | 78,5 | 69,6 | 63,3 | 56,4 | 49,4 | 42,7 |
| GE9015 | LAmax | D | 73 800,0 | 105,5 | 98,6 | 93,8 | 88,7 | 80,5 | 71,7 | 65,4 | 58,6 | 51,7 | 45,0 |
| GE9015 | LAmax | D | 85 400,0 | 108,5 | 101,7 | 96,9 | 91,9 | 83,8 | 75,1 | 68,9 | 62,1 | 55,3 | 48,8 |
| GE9015 | LAmax | D | 97 000,0 | 114,5 | 107,6 | 103,0 | 98,1 | 90,4 | 81,8 | 75,7 | 68,9 | 61,9 | 55,4 |

▼M2

| NPD_ID | Mjera buke | Tip operacije (Op type) | Režim rada motora (polje „Parametar snage ” u tablici „Zrakoplov” navodi vrstu režima rada i jedinicu) | L_200ft | L_400ft | L_630ft | L_1000ft | L_2000ft | L_4000ft | L_6300ft | L_10000ft | L_16000ft | L_25000ft |
|---|---|---|---|---|---|---|---|---|---|---|---|---|---|
| GE9015 | SEL | A | 12 000,0 | 99,5 | 94,9 | 91,8 | 88,7 | 83,5 | 77,6 | 73,1 | 68,3 | 63,3 | 58,6 |
| GE9015 | SEL | A | 17 333,0 | 99,9 | 95,2 | 92,1 | 88,9 | 83,6 | 77,7 | 73,2 | 68,3 | 63,2 | 58,5 |
| GE9015 | SEL | A | 22 667,0 | 100,5 | 95,9 | 92,8 | 89,5 | 84,1 | 78,1 | 73,5 | 68,5 | 63,4 | 58,6 |
| GE9015 | SEL | A | 28 000,0 | 101,3 | 96,7 | 93,5 | 90,2 | 84,8 | 78,7 | 74,0 | 68,9 | 63,7 | 58,9 |
| GE9015 | SEL | D | 39 000,0 | 102,7 | 97,8 | 94,4 | 90,9 | 85,3 | 78,9 | 74,3 | 68,9 | 63,5 | 58,3 |
| GE9015 | SEL | D | 50 600,0 | 103,6 | 98,9 | 95,7 | 92,3 | 86,7 | 80,4 | 75,9 | 70,7 | 65,5 | 60,6 |
| GE9015 | SEL | D | 62 200,0 | 105,0 | 100,5 | 97,4 | 94,1 | 88,5 | 82,3 | 77,9 | 72,9 | 67,8 | 63,0 |
| GE9015 | SEL | D | 73 800,0 | 106,6 | 102,3 | 99,2 | 96,0 | 90,5 | 84,4 | 80,0 | 75,1 | 70,1 | 65,4 |
| GE9015 | SEL | D | 85 400,0 | 109,3 | 105,0 | 102,1 | 98,9 | 93,6 | 87,7 | 83,4 | 78,6 | 73,7 | 69,1 |
| GE9015 | SEL | D | 97 000,0 | 114,7 | 110,6 | 107,7 | 104,7 | 99,7 | 94,1 | 89,9 | 85,1 | 80,2 | 75,6 |
| GENX67 | LAmax | A | 7 000,0 | 99,0 | 91,8 | 87,0 | 82,2 | 74,4 | 65,9 | 59,6 | 52,8 | 45,9 | 39,4 |
| GENX67 | LAmax | A | 12 000,0 | 99,6 | 92,4 | 87,6 | 82,8 | 75,0 | 66,5 | 60,2 | 53,3 | 46,4 | 39,9 |
| GENX67 | LAmax | A | 17 000,0 | 100,0 | 92,8 | 88,0 | 83,2 | 75,3 | 66,7 | 60,4 | 53,5 | 46,5 | 40,0 |
| GENX67 | LAmax | A | 22 000,0 | 100,4 | 93,2 | 88,3 | 83,4 | 75,4 | 66,8 | 60,4 | 53,5 | 46,5 | 39,9 |
| GENX67 | LAmax | D | 17 000,0 | 101,0 | 94,3 | 89,7 | 84,9 | 77,2 | 68,7 | 62,5 | 55,5 | 48,4 | 41,5 |
| GENX67 | LAmax | D | 25 000,0 | 101,5 | 94,8 | 90,2 | 85,3 | 77,5 | 68,8 | 62,6 | 55,6 | 48,4 | 41,6 |
| GENX67 | LAmax | D | 33 000,0 | 102,9 | 96,2 | 91,5 | 86,6 | 78,7 | 70,0 | 63,7 | 56,6 | 49,5 | 42,6 |
| GENX67 | LAmax | D | 41 000,0 | 104,8 | 98,0 | 93,4 | 88,5 | 80,5 | 71,7 | 65,4 | 58,3 | 51,0 | 44,1 |

▼M2

| NPD_ID | Mjera buke | Tip operacije (Op type) | Režim rada motora (polje „Parametar snage ” u tablici „Zrakoplov” navodi vrstu režima rada i jedinicu) | L_200ft | L_400ft | L_630ft | L_1000ft | L_2000ft | L_4000ft | L_6300ft | L_10000ft | L_16000ft | L_25000ft |
|---|---|---|---|---|---|---|---|---|---|---|---|---|---|
| GENX67 | LAmax | D | 49 000,0 | 107,0 | 100,2 | 95,5 | 90,6 | 82,6 | 73,8 | 67,4 | 60,2 | 53,0 | 46,0 |
| GENX67 | LAmax | D | 57 000,0 | 110,1 | 103,4 | 98,7 | 93,8 | 85,8 | 76,9 | 70,5 | 63,2 | 55,9 | 49,0 |
| GENX67 | SEL | A | 7 000,0 | 101,0 | 96,8 | 93,9 | 90,9 | 85,7 | 79,7 | 75,1 | 70,0 | 64,9 | 60,1 |
| GENX67 | SEL | A | 12 000,0 | 101,6 | 97,4 | 94,5 | 91,4 | 86,2 | 80,2 | 75,6 | 70,5 | 65,3 | 60,4 |
| GENX67 | SEL | A | 17 000,0 | 102,3 | 98,0 | 95,0 | 91,9 | 86,6 | 80,6 | 75,9 | 70,7 | 65,4 | 60,5 |
| GENX67 | SEL | A | 22 000,0 | 102,8 | 98,5 | 95,5 | 92,3 | 86,9 | 80,8 | 76,1 | 70,8 | 65,4 | 60,4 |
| GENX67 | SEL | D | 17 000,0 | 102,0 | 98,1 | 95,3 | 92,4 | 87,4 | 81,7 | 77,3 | 72,1 | 66,9 | 61,8 |
| GENX67 | SEL | D | 25 000,0 | 102,6 | 98,6 | 95,8 | 92,8 | 87,6 | 81,7 | 77,3 | 72,1 | 66,9 | 61,8 |
| GENX67 | SEL | D | 33 000,0 | 103,9 | 99,9 | 97,1 | 94,0 | 88,8 | 82,8 | 78,4 | 73,2 | 68,0 | 62,9 |
| GENX67 | SEL | D | 41 000,0 | 105,5 | 101,6 | 98,8 | 95,7 | 90,5 | 84,5 | 80,1 | 74,9 | 69,7 | 64,7 |
| GENX67 | SEL | D | 49 000,0 | 107,4 | 103,5 | 100,7 | 97,7 | 92,5 | 86,6 | 82,2 | 77,0 | 71,8 | 66,8 |
| GENX67 | SEL | D | 57 000,0 | 110,1 | 106,3 | 103,5 | 100,6 | 95,5 | 89,7 | 85,3 | 80,2 | 75,1 | 70,2 |
| GP7270 | LAmax | A | 5 500,0 | 92,0 | 86,2 | 81,9 | 77,4 | 69,8 | 61,4 | 55,3 | 48,6 | 41,2 | 33,5 |
| GP7270 | LAmax | A | 7 500,0 | 92,4 | 86,4 | 82,1 | 77,5 | 69,9 | 61,6 | 55,5 | 48,8 | 41,3 | 33,5 |
| GP7270 | LAmax | A | 12 000,0 | 93,4 | 87,0 | 82,5 | 77,9 | 70,3 | 61,9 | 55,8 | 49,1 | 41,6 | 33,7 |
| GP7270 | LAmax | A | 14 000,0 | 94,0 | 87,5 | 82,9 | 78,1 | 70,4 | 62,0 | 55,9 | 49,2 | 41,7 | 33,9 |
| GP7270 | LAmax | D | 40 000,0 | 99,3 | 92,8 | 88,5 | 83,7 | 75,9 | 67,2 | 60,9 | 53,9 | 45,9 | 37,3 |
| GP7270 | LAmax | D | 50 000,0 | 102,0 | 95,9 | 91,3 | 86,5 | 78,7 | 70,1 | 63,8 | 56,8 | 48,8 | 40,2 |

▼M2

| NPD_ID | Mjera buke | Tip operacije (Op type) | Režim rada motora (polje „Parametar snage ” u tablici „Zrakoplov” navodi vrstu režima rada i jedinicu) | L_200ft | L_400ft | L_630ft | L_1000ft | L_2000ft | L_4000ft | L_6300ft | L_10000ft | L_16000ft | L_25000ft |
|---|---|---|---|---|---|---|---|---|---|---|---|---|---|
| GP7270 | LAmax | D | 60 000,0 | 104,1 | 98,2 | 93,8 | 89,1 | 81,6 | 73,0 | 66,8 | 59,7 | 51,7 | 43,1 |
| GP7270 | LAmax | D | 80 000,0 | 111,3 | 105,6 | 101,7 | 97,1 | 90,0 | 81,7 | 75,5 | 68,2 | 61,1 | 52,5 |
| GP7270 | SEL | A | 5 500,0 | 96,8 | 92,6 | 89,8 | 86,7 | 81,6 | 75,7 | 71,2 | 66,2 | 60,4 | 54,2 |
| GP7270 | SEL | A | 7 500,0 | 97,3 | 93,0 | 90,0 | 86,9 | 81,8 | 75,9 | 71,5 | 66,4 | 60,6 | 54,3 |
| GP7270 | SEL | A | 12 000,0 | 98,4 | 93,9 | 90,8 | 87,6 | 82,4 | 76,4 | 72,0 | 66,9 | 61,0 | 54,6 |
| GP7270 | SEL | A | 14 000,0 | 99,0 | 94,3 | 91,2 | 88,0 | 82,7 | 76,8 | 72,3 | 67,2 | 61,3 | 54,8 |
| GP7270 | SEL | D | 40 000,0 | 102,6 | 98,2 | 95,0 | 91,8 | 86,5 | 80,6 | 76,1 | 71,0 | 64,9 | 58,2 |
| GP7270 | SEL | D | 50 000,0 | 105,6 | 101,0 | 97,9 | 94,8 | 89,7 | 83,8 | 79,5 | 74,3 | 68,3 | 61,6 |
| GP7270 | SEL | D | 60 000,0 | 107,7 | 103,5 | 100,5 | 97,4 | 92,2 | 86,4 | 82,0 | 76,9 | 70,8 | 64,1 |
| GP7270 | SEL | D | 80 000,0 | 114,8 | 111,0 | 108,5 | 105,6 | 100,6 | 94,9 | 90,6 | 85,5 | 79,6 | 72,7 |
| IO320B | LAmax | A | 55,0 | 79,0 | 72,6 | 68,2 | 63,6 | 56,4 | 48,5 | 43,0 | 36,8 | 30,0 | 22,9 |
| IO320B | LAmax | A | 107,0 | 79,8 | 73,3 | 68,9 | 64,3 | 56,8 | 48,3 | 42,1 | 35,3 | 27,9 | 20,6 |
| IO320B | LAmax | D | 201,0 | 86,6 | 79,8 | 75,1 | 70,0 | 62,5 | 54,3 | 48,3 | 41,6 | 34,2 | 26,7 |
| IO320B | LAmax | D | 214,0 | 89,5 | 82,6 | 77,8 | 72,7 | 64,6 | 56,2 | 50,1 | 43,4 | 35,8 | 28,1 |
| IO320B | LAmax | D | 339,0 | 96,1 | 89,0 | 84,0 | 78,6 | 70,2 | 61,5 | 55,3 | 48,3 | 40,5 | 32,3 |
| IO320B | SEL | A | 55,0 | 82,3 | 78,4 | 75,7 | 72,9 | 68,2 | 62,8 | 58,8 | 54,3 | 49,2 | 44,1 |
| IO320B | SEL | A | 107,0 | 83,5 | 79,8 | 77,1 | 74,2 | 69,1 | 63,0 | 58,5 | 53,5 | 48,0 | 42,8 |
| IO320B | SEL | D | 201,0 | 90,2 | 85,8 | 82,8 | 79,6 | 74,3 | 68,3 | 63,9 | 58,8 | 53,0 | 47,2 |

▼M2

| NPD_ID | Mjera buke | Tip operacije (Op type) | Režim rada motora (polje „Parametar snage ” u tablici „Zrakoplov” navodi vrstu režima rada i jedinicu) | L_200ft | L_400ft | L_630ft | L_1000ft | L_2000ft | L_4000ft | L_6300ft | L_10000ft | L_16000ft | L_25000ft |
|---|---|---|---|---|---|---|---|---|---|---|---|---|---|
| IO320B | SEL | D | 214,0 | 93,9 | 89,0 | 85,7 | 82,2 | 76,6 | 70,4 | 65,9 | 60,7 | 54,7 | 48,6 |
| IO320B | SEL | D | 339,0 | 98,8 | 94,5 | 91,4 | 88,1 | 82,5 | 76,1 | 71,4 | 66,1 | 60,0 | 53,5 |
| IO360L | LAmax | A | 26,6 | 71,6 | 64,2 | 59,7 | 55,0 | 47,7 | 39,8 | 34,4 | 28,5 | 22,4 | 16,9 |
| IO360L | LAmax | A | 58,2 | 78,8 | 72,2 | 67,7 | 62,9 | 55,2 | 46,7 | 40,7 | 34,1 | 27,0 | 20,3 |
| IO360L | LAmax | D | 59,6 | 82,7 | 75,6 | 71,1 | 66,4 | 58,9 | 50,8 | 45,0 | 38,6 | 31,7 | 24,5 |
| IO360L | LAmax | D | 100,0 | 84,6 | 77,8 | 73,2 | 68,2 | 60,4 | 52,0 | 46,2 | 39,9 | 33,5 | 25,6 |
| IO360L | SEL | A | 26,6 | 73,0 | 68,7 | 65,8 | 63,0 | 58,6 | 53,6 | 50,0 | 46,2 | 42,4 | 38,8 |
| IO360L | SEL | A | 58,2 | 79,3 | 75,3 | 72,7 | 69,9 | 65,1 | 59,6 | 55,5 | 51,1 | 46,3 | 43,0 |
| IO360L | SEL | D | 59,6 | 83,5 | 79,8 | 77,2 | 74,4 | 69,7 | 64,1 | 59,9 | 55,3 | 50,3 | 45,8 |
| IO360L | SEL | D | 100,0 | 84,9 | 81,4 | 78,9 | 76,0 | 71,2 | 65,5 | 61,3 | 56,5 | 51,8 | 46,3 |
| IO540 | LAmax | A | 2 400,0 | 82,2 | 75,8 | 71,7 | 67,3 | 60,6 | 53,5 | 48,7 | 43,4 | 37,7 | 31,6 |
| IO540 | LAmax | A | 2 500,0 | 86,4 | 80,1 | 75,9 | 71,5 | 64,7 | 57,6 | 52,7 | 47,4 | 41,7 | 35,6 |
| IO540 | LAmax | A | 2 700,0 | 94,6 | 88,2 | 83,8 | 79,3 | 72,0 | 63,9 | 58,2 | 52,2 | 45,6 | 38,8 |
| IO540 | LAmax | D | 2 500,0 | 92,0 | 85,6 | 81,2 | 76,7 | 69,5 | 62,0 | 56,8 | 51,3 | 45,2 | 38,8 |
| IO540 | LAmax | D | 2 700,0 | 99,0 | 92,6 | 88,3 | 83,8 | 76,6 | 68,7 | 63,1 | 56,9 | 50,0 | 42,7 |
| IO540 | SEL | A | 2 400,0 | 82,7 | 79,3 | 77,0 | 74,6 | 70,8 | 66,6 | 63,5 | 60,1 | 56,1 | 51,7 |
| IO540 | SEL | A | 2 500,0 | 86,6 | 83,2 | 80,8 | 78,4 | 74,4 | 70,2 | 67,1 | 63,7 | 59,8 | 55,4 |
| IO540 | SEL | A | 2 700,0 | 92,9 | 89,5 | 87,2 | 84,6 | 80,5 | 75,8 | 72,2 | 68,2 | 63,6 | 58,4 |

▼M2

| NPD_ID | Mjera buke | Tip operacije (Op type) | Režim rada motora (polje „Parametar snage ” u tablici „Zrakoplov” navodi vrstu režima rada i jedinicu) | L_200ft | L_400ft | L_630ft | L_1000ft | L_2000ft | L_4000ft | L_6300ft | L_10000ft | L_16000ft | L_25000ft |
|---|---|---|---|---|---|---|---|---|---|---|---|---|---|
| IO540 | SEL | D | 2 500,0 | 91,8 | 88,3 | 85,8 | 83,2 | 78,9 | 74,1 | 70,8 | 67,1 | 63,0 | 58,3 |
| IO540 | SEL | D | 2 700,0 | 96,8 | 93,5 | 91,1 | 88,6 | 84,3 | 79,4 | 75,7 | 71,5 | 66,7 | 61,4 |
| JT15D1 | LAmax | A | 300,0 | 83,2 | 76,3 | 71,5 | 66,5 | 58,6 | 50,1 | 43,9 | 37,1 | 29,5 | 21,0 |
| JT15D1 | LAmax | A | 600,0 | 85,7 | 78,8 | 74,0 | 69,0 | 61,1 | 52,6 | 46,4 | 39,6 | 32,0 | 23,5 |
| JT15D1 | LAmax | D | 1 200,0 | 93,2 | 86,2 | 81,3 | 76,0 | 67,6 | 58,4 | 51,8 | 44,6 | 36,7 | 28,1 |
| JT15D1 | LAmax | D | 1 550,0 | 95,3 | 88,6 | 83,9 | 79,0 | 71,1 | 62,3 | 55,7 | 48,4 | 40,1 | 31,0 |
| JT15D1 | SEL | A | 300,0 | 85,6 | 81,0 | 77,7 | 74,2 | 68,5 | 62,3 | 57,6 | 52,3 | 46,2 | 39,2 |
| JT15D1 | SEL | A | 600,0 | 86,8 | 82,2 | 78,9 | 75,4 | 69,7 | 63,5 | 58,8 | 53,5 | 47,4 | 40,4 |
| JT15D1 | SEL | D | 1 200,0 | 96,4 | 91,7 | 88,2 | 84,5 | 78,3 | 71,4 | 66,3 | 60,6 | 54,2 | 47,1 |
| JT15D1 | SEL | D | 1 550,0 | 98,0 | 93,6 | 90,4 | 87,0 | 81,4 | 74,8 | 69,7 | 63,9 | 57,1 | 49,5 |
| JT15D5 | LAmax | A | 670,0 | 90,2 | 82,7 | 77,2 | 71,2 | 61,7 | 52,0 | 45,5 | 38,5 | 30,7 | 21,2 |
| JT15D5 | LAmax | A | 1 500,0 | 101,3 | 94,4 | 89,6 | 84,4 | 75,8 | 67,2 | 61,3 | 54,4 | 46,4 | 37,5 |
| JT15D5 | LAmax | D | 1 500,0 | 101,3 | 94,4 | 89,6 | 84,4 | 75,8 | 67,2 | 61,3 | 54,4 | 46,4 | 37,5 |
| JT15D5 | LAmax | D | 2 100,0 | 103,7 | 97,2 | 92,6 | 87,8 | 80,1 | 72,0 | 66,0 | 59,2 | 51,1 | 42,2 |
| JT15D5 | SEL | A | 670,0 | 90,2 | 85,6 | 82,2 | 78,4 | 72,3 | 65,3 | 60,3 | 54,7 | 48,4 | 41,4 |
| JT15D5 | SEL | A | 1 500,0 | 104,1 | 99,8 | 96,8 | 93,4 | 87,3 | 81,1 | 76,6 | 71,3 | 64,8 | 57,4 |
| JT15D5 | SEL | D | 1 500,0 | 104,1 | 99,8 | 96,8 | 93,4 | 87,3 | 81,1 | 76,6 | 71,3 | 64,8 | 57,4 |
| JT15D5 | SEL | D | 2 100,0 | 106,0 | 102,4 | 99,7 | 96,8 | 91,6 | 85,7 | 81,2 | 75,9 | 69,3 | 61,8 |

▼M2

| NPD_ID | Mjera buke | Tip operacije (Op type) | Režim rada motora (polje „Parametar snage ” u tablici „Zrakoplov” navodi vrstu režima rada i jedinicu) | L_200ft | L_400ft | L_630ft | L_1000ft | L_2000ft | L_4000ft | L_6300ft | L_10000ft | L_16000ft | L_25000ft |
|---|---|---|---|---|---|---|---|---|---|---|---|---|---|
| JT3D | LAmax | A | 4 000,0 | 111,8 | 104,5 | 98,9 | 93,0 | 81,8 | 67,8 | 59,2 | 50,9 | 41,8 | 32,9 |
| JT3D | LAmax | A | 6 000,0 | 114,0 | 106,8 | 101,5 | 95,5 | 84,6 | 71,3 | 63,3 | 55,3 | 46,4 | 37,2 |
| JT3D | LAmax | D | 8 000,0 | 115,9 | 109,0 | 103,7 | 98,0 | 87,6 | 75,4 | 67,7 | 59,8 | 51,1 | 42,1 |
| JT3D | LAmax | D | 10 000,0 | 117,5 | 110,8 | 105,6 | 100,0 | 90,4 | 79,5 | 71,8 | 63,8 | 55,2 | 46,5 |
| JT3D | LAmax | D | 12 000,0 | 118,2 | 111,5 | 106,4 | 101,0 | 92,1 | 82,0 | 74,5 | 66,8 | 58,6 | 49,7 |
| JT3D | LAmax | D | 15 000,0 | 119,7 | 113,0 | 107,9 | 102,5 | 94,0 | 85,0 | 78,1 | 70,3 | 62,0 | 53,5 |
| JT3D | SEL | A | 4 000,0 | 112,5 | 107,5 | 103,6 | 99,0 | 90,0 | 78,3 | 71,2 | 64,5 | 57,0 | 49,5 |
| JT3D | SEL | A | 6 000,0 | 114,8 | 109,8 | 105,9 | 101,5 | 92,8 | 81,8 | 75,2 | 68,9 | 61,7 | 54,1 |
| JT3D | SEL | D | 8 000,0 | 117,1 | 112,0 | 108,2 | 104,0 | 95,9 | 85,9 | 79,6 | 73,4 | 66,1 | 58,6 |
| JT3D | SEL | D | 10 000,0 | 119,0 | 113,9 | 110,1 | 106,0 | 98,5 | 90,0 | 83,7 | 77,5 | 70,1 | 62,8 |
| JT3D | SEL | D | 12 000,0 | 120,7 | 115,6 | 111,9 | 107,7 | 100,8 | 92,6 | 87,1 | 81,0 | 73,9 | 66,5 |
| JT3D | SEL | D | 15 000,0 | 122,5 | 117,4 | 113,6 | 109,5 | 103,1 | 96,4 | 90,8 | 85,1 | 77,9 | 70,4 |
| JT3DQ | LAmax | A | 3 000,0 | 102,8 | 95,2 | 89,6 | 83,1 | 74,3 | 65,0 | 58,4 | 51,0 | 42,6 | 34,0 |
| JT3DQ | LAmax | A | 5 000,0 | 105,2 | 96,2 | 89,9 | 84,4 | 75,7 | 66,2 | 59,5 | 52,1 | 43,9 | 35,5 |
| JT3DQ | LAmax | D | 11 000,0 | 107,5 | 100,8 | 96,3 | 91,4 | 83,5 | 75,0 | 68,7 | 61,7 | 53,6 | 45,3 |
| JT3DQ | LAmax | D | 15 500,0 | 114,2 | 107,7 | 103,2 | 98,7 | 91,4 | 83,7 | 78,2 | 72,0 | 64,9 | 57,3 |
| JT3DQ | SEL | A | 3 000,0 | 104,4 | 99,4 | 95,6 | 91,4 | 84,8 | 77,8 | 72,6 | 66,7 | 59,9 | 52,7 |
| JT3DQ | SEL | A | 5 000,0 | 105,1 | 100,0 | 96,2 | 91,9 | 85,4 | 78,4 | 73,2 | 67,3 | 60,6 | 53,7 |

▼M2

| NPD_ID | Mjera buke | Tip operacije (Op type) | Režim rada motora (polje „Parametar snage ” u tablici „Zrakoplov” navodi vrstu režima rada i jedinicu) | L_200ft | L_400ft | L_630ft | L_1000ft | L_2000ft | L_4000ft | L_6300ft | L_10000ft | L_16000ft | L_25000ft |
|---|---|---|---|---|---|---|---|---|---|---|---|---|---|
| JT3DQ | SEL | D | 11 000,0 | 109,1 | 105,4 | 102,7 | 99,8 | 95,0 | 88,9 | 84,2 | 78,6 | 72,1 | 65,2 |
| JT3DQ | SEL | D | 15 500,0 | 116,9 | 113,3 | 110,8 | 108,1 | 103,5 | 98,1 | 94,1 | 89,4 | 83,9 | 77,7 |
| JT4A | LAmax | A | 4 000,0 | 109,2 | 101,7 | 96,3 | 90,5 | 80,6 | 69,0 | 61,7 | 54,5 | 45,7 | 36,9 |
| JT4A | LAmax | A | 6 000,0 | 111,1 | 103,6 | 98,2 | 92,5 | 82,7 | 71,2 | 63,7 | 56,3 | 48,1 | 39,5 |
| JT4A | LAmax | D | 10 000,0 | 116,5 | 109,3 | 104,1 | 98,5 | 89,3 | 79,0 | 71,6 | 63,7 | 54,5 | 45,4 |
| JT4A | LAmax | D | 12 000,0 | 119,6 | 112,4 | 107,4 | 102,0 | 93,1 | 82,9 | 75,3 | 67,4 | 58,4 | 48,8 |
| JT4A | LAmax | D | 15 000,0 | 125,3 | 118,3 | 113,2 | 108,0 | 99,1 | 89,2 | 81,5 | 73,5 | 64,3 | 54,6 |
| JT4A | SEL | A | 4 000,0 | 110,8 | 105,4 | 101,2 | 97,0 | 89,6 | 80,6 | 74,3 | 68,6 | 60,9 | 52,7 |
| JT4A | SEL | A | 6 000,0 | 112,7 | 107,3 | 103,3 | 99,0 | 91,8 | 82,9 | 76,8 | 71,1 | 63,6 | 55,7 |
| JT4A | SEL | D | 10 000,0 | 117,4 | 112,4 | 108,7 | 104,5 | 97,4 | 89,2 | 83,3 | 76,9 | 69,4 | 61,5 |
| JT4A | SEL | D | 12 000,0 | 120,0 | 115,2 | 111,6 | 107,5 | 100,6 | 92,6 | 86,6 | 80,3 | 72,6 | 64,7 |
| JT4A | SEL | D | 15 000,0 | 125,5 | 120,8 | 117,6 | 113,5 | 106,9 | 99,3 | 93,3 | 86,6 | 78,7 | 70,6 |
| JT9D7Q | LAmax | A | 8 560,0 | 101,8 | 95,4 | 91,0 | 86,3 | 78,6 | 69,9 | 63,6 | 56,7 | 49,0 | 40,9 |
| JT9D7Q | LAmax | A | 14 000,0 | 103,3 | 96,8 | 92,2 | 87,1 | 79,2 | 70,5 | 64,2 | 57,5 | 49,9 | 41,9 |
| JT9D7Q | LAmax | D | 24 370,0 | 106,3 | 99,8 | 95,3 | 90,3 | 82,6 | 74,2 | 68,1 | 61,6 | 54,2 | 46,4 |
| JT9D7Q | LAmax | D | 34 850,0 | 110,0 | 103,8 | 99,4 | 94,7 | 87,2 | 78,7 | 72,7 | 66,0 | 58,6 | 50,8 |
| JT9D7Q | LAmax | D | 40 240,0 | 112,5 | 106,3 | 102,0 | 97,3 | 89,9 | 81,4 | 75,3 | 68,6 | 61,2 | 53,4 |
| JT9D7Q | LAmax | D | 44 940,0 | 115,3 | 109,1 | 104,8 | 100,0 | 92,6 | 84,2 | 78,0 | 71,4 | 63,9 | 56,1 |

▼M2

| NPD_ID | Mjera buke | Tip operacije (Op type) | Režim rada motora (polje „Parametar snage ” u tablici „Zrakoplov” navodi vrstu režima rada i jedinicu) | L_200ft | L_400ft | L_630ft | L_1000ft | L_2000ft | L_4000ft | L_6300ft | L_10000ft | L_16000ft | L_25000ft |
|---|---|---|---|---|---|---|---|---|---|---|---|---|---|
| JT9D7Q | SEL | A | 8 560,0 | 103,6 | 99,5 | 96,6 | 93,5 | 88,1 | 81,7 | 77,0 | 71,6 | 65,5 | 58,9 |
| JT9D7Q | SEL | A | 14 000,0 | 105,1 | 100,9 | 97,8 | 94,3 | 88,7 | 82,3 | 77,6 | 72,4 | 66,4 | 59,9 |
| JT9D7Q | SEL | D | 24 370,0 | 108,1 | 103,9 | 100,9 | 97,5 | 92,1 | 86,0 | 81,5 | 76,5 | 70,7 | 64,4 |
| JT9D7Q | SEL | D | 34 850,0 | 111,8 | 107,9 | 105,0 | 101,9 | 96,7 | 90,5 | 86,1 | 80,9 | 75,1 | 68,8 |
| JT9D7Q | SEL | D | 40 240,0 | 114,3 | 110,4 | 107,6 | 104,5 | 99,4 | 93,2 | 88,7 | 83,5 | 77,7 | 71,4 |
| JT9D7Q | SEL | D | 44 940,0 | 117,1 | 113,2 | 110,4 | 107,2 | 102,1 | 96,0 | 91,4 | 86,3 | 80,4 | 74,1 |
| JT9DBD | LAmax | A | 8 000,0 | 106,5 | 99,5 | 94,5 | 89,0 | 79,8 | 69,1 | 61,2 | 53,2 | 44,9 | 36,3 |
| JT9DBD | LAmax | A | 14 000,0 | 111,0 | 104,0 | 99,0 | 93,5 | 84,3 | 73,6 | 65,7 | 57,7 | 49,4 | 40,8 |
| JT9DBD | LAmax | D | 20 000,0 | 114,3 | 107,2 | 102,1 | 96,5 | 87,1 | 76,9 | 69,8 | 62,3 | 54,2 | 45,4 |
| JT9DBD | LAmax | D | 28 000,0 | 116,4 | 109,3 | 104,2 | 98,5 | 89,0 | 79,1 | 72,3 | 65,0 | 57,0 | 48,0 |
| JT9DBD | LAmax | D | 36 000,0 | 117,9 | 110,8 | 105,7 | 100,0 | 90,5 | 80,6 | 73,8 | 66,5 | 58,5 | 49,7 |
| JT9DBD | SEL | A | 8 000,0 | 108,2 | 103,5 | 99,9 | 96,0 | 89,1 | 80,6 | 74,2 | 67,6 | 60,9 | 53,7 |
| JT9DBD | SEL | A | 14 000,0 | 113,2 | 108,5 | 104,9 | 101,0 | 94,1 | 85,6 | 79,2 | 72,6 | 65,9 | 58,7 |
| JT9DBD | SEL | D | 20 000,0 | 116,6 | 111,8 | 108,1 | 104,0 | 96,9 | 89,0 | 83,4 | 77,3 | 70,7 | 63,4 |
| JT9DBD | SEL | D | 28 000,0 | 118,7 | 113,9 | 110,2 | 106,0 | 98,8 | 91,2 | 85,9 | 80,0 | 73,5 | 66,2 |
| JT9DBD | SEL | D | 36 000,0 | 120,2 | 115,4 | 111,7 | 107,5 | 100,3 | 92,7 | 87,4 | 81,5 | 75,0 | 67,7 |
| JT9DFL | LAmax | A | 8 000,0 | 103,0 | 95,5 | 90,2 | 84,3 | 75,1 | 66,0 | 59,7 | 52,6 | 44,5 | 35,6 |
| JT9DFL | LAmax | A | 16 000,0 | 107,1 | 99,6 | 94,3 | 88,4 | 79,2 | 70,1 | 63,8 | 56,7 | 48,6 | 39,7 |

▼M2

| NPD_ID | Mjera buke | Tip operacije (Op type) | Režim rada motora (polje „Parametar snage ” u tablici „Zrakoplov” navodi vrstu režima rada i jedinicu) | L_200ft | L_400ft | L_630ft | L_1000ft | L_2000ft | L_4000ft | L_6300ft | L_10000ft | L_16000ft | L_25000ft |
|---|---|---|---|---|---|---|---|---|---|---|---|---|---|
| JT9DFL | LAmax | D | 24 000,0 | 110,6 | 103,1 | 97,8 | 92,1 | 83,3 | 74,5 | 68,3 | 61,5 | 53,7 | 45,4 |
| JT9DFL | LAmax | D | 32 000,0 | 113,5 | 105,9 | 100,6 | 95,1 | 86,5 | 77,9 | 71,9 | 65,3 | 57,7 | 49,7 |
| JT9DFL | LAmax | D | 40 000,0 | 115,7 | 108,1 | 102,8 | 97,3 | 88,7 | 80,1 | 74,1 | 67,5 | 59,9 | 51,9 |
| JT9DFL | SEL | A | 8 000,0 | 102,3 | 97,8 | 94,3 | 90,5 | 84,4 | 77,7 | 72,9 | 67,3 | 60,7 | 53,3 |
| JT9DFL | SEL | A | 16 000,0 | 106,3 | 101,8 | 98,3 | 94,5 | 88,4 | 81,7 | 76,9 | 71,3 | 64,7 | 57,3 |
| JT9DFL | SEL | D | 24 000,0 | 109,4 | 105,1 | 101,7 | 98,0 | 92,2 | 85,8 | 81,2 | 75,9 | 69,7 | 62,8 |
| JT9DFL | SEL | D | 32 000,0 | 111,8 | 107,4 | 104,1 | 100,5 | 94,9 | 88,7 | 84,2 | 79,1 | 73,1 | 66,5 |
| JT9DFL | SEL | D | 40 000,0 | 113,8 | 109,4 | 106,1 | 102,5 | 96,9 | 90,7 | 86,2 | 81,1 | 75,1 | 68,5 |
| O320D3 | LAmax | A | 1 500,0 | 66,9 | 60,5 | 56,2 | 51,7 | 44,7 | 37,2 | 32,1 | 26,7 | 21,1 | 15,9 |
| O320D3 | LAmax | A | 1 600,0 | 68,1 | 61,7 | 57,4 | 52,9 | 45,9 | 38,4 | 33,2 | 27,7 | 21,9 | 16,6 |
| O320D3 | LAmax | A | 1 800,0 | 72,1 | 65,6 | 61,2 | 56,6 | 49,3 | 41,3 | 35,8 | 30,0 | 23,9 | 18,0 |
| O320D3 | LAmax | D | 2 150,0 | 79,8 | 73,1 | 68,6 | 63,9 | 56,2 | 47,9 | 42,2 | 36,1 | 29,7 | 23,1 |
| O320D3 | LAmax | D | 2 442,0 | 87,3 | 80,7 | 76,1 | 71,2 | 63,5 | 55,1 | 49,4 | 43,1 | 36,1 | 28,7 |
| O320D3 | LAmax | D | 2 600,0 | 88,8 | 82,1 | 77,5 | 72,6 | 64,7 | 56,2 | 50,2 | 43,8 | 36,7 | 29,3 |
| O320D3 | SEL | A | 1 500,0 | 69,0 | 65,6 | 62,8 | 60,2 | 56,0 | 51,3 | 48,0 | 44,5 | 41,3 | 38,2 |
| O320D3 | SEL | A | 1 600,0 | 70,4 | 67,1 | 64,6 | 62,0 | 57,7 | 53,0 | 49,6 | 45,9 | 42,3 | 38,9 |
| O320D3 | SEL | A | 1 800,0 | 74,1 | 70,5 | 68,0 | 65,3 | 60,7 | 55,5 | 51,8 | 47,8 | 43,8 | 39,9 |
| O320D3 | SEL | D | 2 150,0 | 80,4 | 76,9 | 74,3 | 71,4 | 66,5 | 60,9 | 57,0 | 52,7 | 48,1 | 43,7 |

▼M2

| NPD_ID | Mjera buke | Tip operacije (Op type) | Režim rada motora (polje „Parametar snage ” u tablici „Zrakoplov” navodi vrstu režima rada i jedinicu) | L_200ft | L_400ft | L_630ft | L_1000ft | L_2000ft | L_4000ft | L_6300ft | L_10000ft | L_16000ft | L_25000ft |
|---|---|---|---|---|---|---|---|---|---|---|---|---|---|
| O320D3 | SEL | D | 2 442,0 | 87,9 | 84,2 | 81,5 | 78,5 | 73,4 | 67,9 | 63,9 | 59,5 | 54,4 | 48,9 |
| O320D3 | SEL | D | 2 600,0 | 89,4 | 85,5 | 82,8 | 79,8 | 74,8 | 69,0 | 64,8 | 60,2 | 55,0 | 49,2 |
| O470R | LAmax | A | 169,0 | 73,3 | 67,1 | 62,9 | 58,6 | 51,8 | 44,6 | 39,6 | 34,1 | 28,1 | 21,8 |
| O470R | LAmax | A | 244,0 | 73,9 | 67,7 | 63,5 | 59,2 | 52,5 | 45,4 | 40,3 | 34,8 | 28,8 | 22,4 |
| O470R | LAmax | D | 533,0 | 87,5 | 81,2 | 77,0 | 72,7 | 65,7 | 58,2 | 52,7 | 46,6 | 39,7 | 32,3 |
| O470R | LAmax | D | 640,0 | 96,1 | 89,8 | 85,5 | 80,9 | 73,5 | 65,0 | 58,6 | 51,3 | 43,0 | 34,3 |
| O470R | SEL | A | 169,0 | 75,6 | 71,7 | 69,0 | 66,2 | 61,7 | 56,7 | 53,1 | 49,2 | 44,7 | 39,8 |
| O470R | SEL | A | 244,0 | 76,2 | 72,3 | 69,6 | 66,8 | 62,3 | 57,3 | 53,7 | 49,7 | 45,1 | 40,2 |
| O470R | SEL | D | 533,0 | 87,8 | 83,8 | 81,1 | 78,2 | 73,6 | 68,2 | 64,2 | 59,6 | 54,2 | 48,4 |
| O470R | SEL | D | 640,0 | 95,4 | 91,3 | 88,5 | 85,4 | 80,3 | 74,1 | 69,2 | 63,4 | 56,5 | 49,3 |
| OLY593 | LAmax | A | 10 000,0 | 115,8 | 109,2 | 104,6 | 99,8 | 92,0 | 83,2 | 76,5 | 68,8 | 60,3 | 50,7 |
| OLY593 | LAmax | A | 20 000,0 | 126,4 | 119,4 | 113,3 | 109,2 | 101,2 | 92,4 | 85,9 | 78,7 | 70,2 | 60,7 |
| OLY593 | LAmax | D | 20 000,0 | 126,4 | 119,4 | 113,3 | 109,2 | 101,2 | 92,4 | 85,9 | 78,7 | 70,2 | 60,7 |
| OLY593 | LAmax | D | 28 000,0 | 132,1 | 124,8 | 119,6 | 114,3 | 106,1 | 97,3 | 90,8 | 83,6 | 75,1 | 65,3 |
| OLY593 | LAmax | D | 32 000,0 | 134,0 | 126,7 | 121,4 | 116,0 | 107,8 | 98,9 | 92,4 | 85,2 | 76,7 | 67,3 |
| OLY593 | SEL | A | 10 000,0 | 117,7 | 113,4 | 110,3 | 107,0 | 101,5 | 94,8 | 89,6 | 83,5 | 76,5 | 68,3 |
| OLY593 | SEL | A | 20 000,0 | 130,3 | 125,5 | 122,0 | 118,3 | 112,6 | 106,1 | 101,1 | 95,3 | 88,3 | 80,3 |
| OLY593 | SEL | D | 20 000,0 | 130,3 | 125,5 | 122,0 | 118,3 | 112,6 | 106,1 | 101,1 | 95,3 | 88,3 | 80,3 |
| OLY593 | SEL | D | 28 000,0 | 136,4 | 131,3 | 127,6 | 123,8 | 118,0 | 111,4 | 106,4 | 100,6 | 93,7 | 85,7 |

▼M2

| NPD_ID | Mjera buke | Tip operacije (Op type) | Režim rada motora (polje „Parametar snage ” u tablici „Zrakoplov” navodi vrstu režima rada i jedinicu) | L_200ft | L_400ft | L_630ft | L_1000ft | L_2000ft | L_4000ft | L_6300ft | L_10000ft | L_16000ft | L_25000ft |
|---|---|---|---|---|---|---|---|---|---|---|---|---|---|
| OLY593 | SEL | D | 32 000,0 | 138,4 | 133,2 | 129,4 | 125,5 | 119,6 | 113,0 | 108,0 | 102,2 | 95,3 | 87,4 |
| PT6A114 | LAmax | A | 400,0 | 90,0 | 83,6 | 79,4 | 75,0 | 68,0 | 60,4 | 54,8 | 48,3 | 40,5 | 31,7 |
| PT6A114 | LAmax | A | 427,0 | 90,0 | 83,6 | 79,4 | 75,0 | 68,0 | 60,4 | 54,8 | 48,3 | 40,5 | 31,7 |
| PT6A114 | LAmax | A | 463,0 | 90,3 | 84,0 | 79,7 | 75,2 | 68,2 | 60,6 | 55,1 | 48,7 | 41,1 | 32,6 |
| PT6A114 | LAmax | D | 1 009,0 | 88,2 | 82,0 | 77,8 | 73,5 | 66,7 | 59,1 | 53,5 | 47,1 | 39,4 | 30,8 |
| PT6A114 | LAmax | D | 1 899,0 | 90,0 | 83,8 | 79,7 | 75,4 | 68,7 | 61,4 | 56,1 | 50,1 | 43,1 | 35,4 |
| PT6A114 | SEL | A | 400,0 | 89,9 | 85,8 | 83,0 | 80,1 | 75,4 | 70,1 | 65,9 | 61,0 | 54,7 | 47,4 |
| PT6A114 | SEL | A | 427,0 | 89,9 | 85,8 | 83,0 | 80,1 | 75,4 | 70,1 | 65,9 | 61,0 | 54,7 | 47,4 |
| PT6A114 | SEL | A | 463,0 | 89,4 | 85,3 | 82,4 | 79,4 | 74,7 | 69,3 | 65,3 | 60,6 | 54,7 | 47,9 |
| PT6A114 | SEL | D | 1 009,0 | 87,7 | 83,8 | 81,1 | 78,3 | 73,7 | 68,4 | 64,3 | 59,4 | 53,2 | 46,1 |
| PT6A114 | SEL | D | 1 899,0 | 89,7 | 85,8 | 83,2 | 80,4 | 75,9 | 70,9 | 67,1 | 62,6 | 57,1 | 50,9 |
| PT6A27 | LAmax | A | 30,0 | 90,9 | 84,6 | 80,4 | 76,0 | 69,1 | 61,6 | 56,0 | 49,8 | 42,6 | 34,0 |
| PT6A27 | LAmax | A | 100,0 | 95,6 | 89,5 | 85,3 | 81,0 | 74,3 | 67,0 | 61,6 | 55,6 | 49,0 | 41,4 |
| PT6A27 | LAmax | D | 30,0 | 90,9 | 84,6 | 80,4 | 76,0 | 69,1 | 61,6 | 56,0 | 49,8 | 42,6 | 34,0 |
| PT6A27 | LAmax | D | 100,0 | 95,6 | 89,5 | 85,3 | 81,0 | 74,3 | 67,0 | 61,6 | 55,6 | 49,0 | 41,4 |
| PT6A27 | SEL | A | 30,0 | 91,3 | 87,2 | 84,4 | 81,6 | 76,9 | 71,7 | 67,6 | 62,9 | 57,2 | 50,0 |
| PT6A27 | SEL | A | 100,0 | 95,9 | 92,0 | 89,3 | 86,5 | 82,0 | 77,0 | 73,1 | 68,6 | 63,5 | 57,4 |
| PT6A27 | SEL | D | 30,0 | 91,3 | 87,2 | 84,4 | 81,6 | 76,9 | 71,7 | 67,6 | 62,9 | 57,2 | 50,0 |

▼M2

| NPD_ID | Mjera buke | Tip operacije (Op type) | Režim rada motora (polje „Parametar snage ” u tablici „Zrakoplov” navodi vrstu režima rada i jedinicu) | L_200ft | L_400ft | L_630ft | L_1000ft | L_2000ft | L_4000ft | L_6300ft | L_10000ft | L_16000ft | L_25000ft |
|---|---|---|---|---|---|---|---|---|---|---|---|---|---|
| PT6A27 | SEL | D | 100,0 | 95,9 | 92,0 | 89,3 | 86,5 | 82,0 | 77,0 | 73,1 | 68,6 | 63,5 | 57,4 |
| PT6A41 | LAmax | A | 300,0 | 83,6 | 77,2 | 72,8 | 68,2 | 60,9 | 52,8 | 47,0 | 40,4 | 32,8 | 24,9 |
| PT6A41 | LAmax | A | 311,0 | 83,6 | 77,2 | 72,8 | 68,2 | 60,9 | 52,8 | 47,0 | 40,4 | 32,8 | 24,9 |
| PT6A41 | LAmax | D | 820,0 | 85,2 | 78,9 | 74,7 | 70,3 | 63,5 | 56,0 | 50,6 | 44,4 | 37,2 | 29,1 |
| PT6A41 | LAmax | D | 1 153,0 | 87,2 | 81,0 | 76,9 | 72,6 | 65,9 | 58,6 | 53,4 | 47,5 | 40,6 | 32,9 |
| PT6A41 | SEL | A | 300,0 | 87,8 | 83,6 | 80,7 | 77,6 | 72,5 | 66,7 | 62,3 | 57,3 | 51,3 | 44,8 |
| PT6A41 | SEL | A | 311,0 | 87,8 | 83,6 | 80,7 | 77,6 | 72,5 | 66,7 | 62,3 | 57,3 | 51,3 | 44,8 |
| PT6A41 | SEL | D | 820,0 | 86,6 | 82,5 | 79,8 | 77,0 | 72,3 | 67,1 | 63,2 | 58,5 | 52,8 | 46,3 |
| PT6A41 | SEL | D | 1 153,0 | 88,6 | 84,7 | 82,0 | 79,2 | 74,8 | 69,8 | 66,0 | 61,6 | 56,2 | 50,0 |
| PT6A45 | LAmax | A | 35,0 | 87,2 | 81,0 | 76,7 | 72,4 | 65,1 | 57,7 | 52,9 | 48,0 | 41,9 | 35,1 |
| PT6A45 | LAmax | A | 65,0 | 87,8 | 81,4 | 77,0 | 72,5 | 64,9 | 57,4 | 52,4 | 47,4 | 41,7 | 35,5 |
| PT6A45 | LAmax | D | 65,0 | 87,8 | 81,4 | 77,0 | 72,5 | 64,9 | 57,4 | 52,4 | 47,4 | 41,7 | 35,5 |
| PT6A45 | LAmax | D | 100,0 | 94,9 | 88,6 | 84,4 | 80,0 | 72,6 | 65,2 | 60,3 | 55,4 | 49,4 | 42,4 |
| PT6A45 | SEL | A | 35,0 | 88,0 | 84,0 | 81,3 | 78,5 | 74,0 | 69,2 | 65,6 | 61,6 | 57,0 | 51,6 |
| PT6A45 | SEL | A | 65,0 | 88,5 | 84,4 | 81,5 | 78,5 | 73,7 | 68,5 | 64,8 | 60,9 | 56,8 | 52,0 |
| PT6A45 | SEL | D | 65,0 | 88,5 | 84,4 | 81,5 | 78,5 | 73,7 | 68,5 | 64,8 | 60,9 | 56,8 | 52,0 |
| PT6A45 | SEL | D | 100,0 | 95,1 | 91,1 | 88,4 | 85,5 | 81,0 | 76,1 | 72,4 | 68,4 | 63,8 | 58,4 |
| PT6A50 | LAmax | A | 35,0 | 83,9 | 78,2 | 74,0 | 68,8 | 60,7 | 51,8 | 45,5 | 38,6 | 31,4 | 24,2 |

▼M2

| NPD_ID | Mjera buke | Tip operacije (Op type) | Režim rada motora (polje „Parametar snage ” u tablici „Zrakoplov” navodi vrstu režima rada i jedinicu) | L_200ft | L_400ft | L_630ft | L_1000ft | L_2000ft | L_4000ft | L_6300ft | L_10000ft | L_16000ft | L_25000ft |
|---|---|---|---|---|---|---|---|---|---|---|---|---|---|
| PT6A50 | LAmax | A | 40,0 | 87,4 | 81,7 | 77,5 | 72,4 | 64,2 | 55,5 | 49,0 | 42,1 | 34,4 | 26,7 |
| PT6A50 | LAmax | D | 80,0 | 84,7 | 78,5 | 74,4 | 69,8 | 62,5 | 54,0 | 48,1 | 41,3 | 34,0 | 26,4 |
| PT6A50 | LAmax | D | 100,0 | 86,9 | 80,7 | 76,6 | 72,0 | 64,7 | 56,2 | 50,2 | 43,5 | 36,4 | 29,3 |
| PT6A50 | SEL | A | 35,0 | 85,7 | 82,3 | 79,6 | 76,0 | 70,2 | 63,6 | 58,9 | 53,5 | 47,9 | 42,2 |
| PT6A50 | SEL | A | 40,0 | 89,2 | 85,8 | 83,1 | 79,6 | 73,7 | 67,3 | 62,4 | 57,0 | 50,9 | 44,7 |
| PT6A50 | SEL | D | 80,0 | 86,5 | 82,6 | 80,0 | 77,0 | 72,0 | 65,8 | 61,5 | 56,2 | 50,5 | 44,4 |
| PT6A50 | SEL | D | 100,0 | 88,7 | 84,8 | 82,2 | 79,2 | 74,2 | 68,0 | 63,6 | 58,4 | 52,9 | 47,3 |
| PT6A67 | LAmax | A | 400,0 | 87,8 | 81,2 | 76,8 | 72,2 | 64,9 | 56,7 | 50,6 | 43,5 | 35,4 | 27,1 |
| PT6A67 | LAmax | A | 600,0 | 89,1 | 82,4 | 77,9 | 73,3 | 66,1 | 58,1 | 52,3 | 45,7 | 37,8 | 29,2 |
| PT6A67 | LAmax | D | 1 000,0 | 90,2 | 83,7 | 79,2 | 74,5 | 67,0 | 58,8 | 52,9 | 46,7 | 39,9 | 33,2 |
| PT6A67 | LAmax | D | 1 100,0 | 90,2 | 83,7 | 79,2 | 74,5 | 67,0 | 58,8 | 52,9 | 46,7 | 39,9 | 33,2 |
| PT6A67 | LAmax | D | 1 600,0 | 87,9 | 81,5 | 77,2 | 72,7 | 65,7 | 58,1 | 52,7 | 46,9 | 40,5 | 34,0 |
| PT6A67 | LAmax | D | 1 700,0 | 87,9 | 81,5 | 77,2 | 72,7 | 65,7 | 58,1 | 52,7 | 46,9 | 40,5 | 34,0 |
| PT6A67 | SEL | A | 400,0 | 90,6 | 86,4 | 83,9 | 81,0 | 76,3 | 70,7 | 66,2 | 60,9 | 54,6 | 48,2 |
| PT6A67 | SEL | A | 600,0 | 90,8 | 86,6 | 83,9 | 80,9 | 76,3 | 71,0 | 66,8 | 61,8 | 55,7 | 48,8 |
| PT6A67 | SEL | D | 1 000,0 | 92,8 | 88,9 | 86,3 | 83,3 | 78,4 | 72,7 | 68,5 | 63,9 | 58,8 | 53,6 |
| PT6A67 | SEL | D | 1 100,0 | 92,8 | 88,9 | 86,3 | 83,3 | 78,4 | 72,7 | 68,5 | 63,9 | 58,8 | 53,6 |
| PT6A67 | SEL | D | 1 600,0 | 89,4 | 85,7 | 83,2 | 80,5 | 76,0 | 70,9 | 67,2 | 63,1 | 58,5 | 53,7 |

▼M2

| NPD_ID | Mjera buke | Tip operacije (Op type) | Režim rada motora (polje „Parametar snage ” u tablici „Zrakoplov” navodi vrstu režima rada i jedinicu) | L_200ft | L_400ft | L_630ft | L_1000ft | L_2000ft | L_4000ft | L_6300ft | L_10000ft | L_16000ft | L_25000ft |
|---|---|---|---|---|---|---|---|---|---|---|---|---|---|
| PT6A67 | SEL | D | 1 700,0 | 89,4 | 85,7 | 83,2 | 80,5 | 76,0 | 70,9 | 67,2 | 63,1 | 58,5 | 53,7 |
| PW119C | LAmax | A | 108,0 | 91,0 | 84,0 | 79,0 | 73,6 | 64,7 | 55,1 | 48,4 | 41,1 | 33,2 | 25,4 |
| PW119C | LAmax | A | 465,0 | 91,8 | 84,6 | 79,4 | 73,7 | 64,1 | 53,6 | 46,5 | 39,0 | 31,1 | 22,9 |
| PW119C | LAmax | D | 3 412,0 | 87,2 | 80,6 | 76,2 | 71,5 | 64,3 | 56,5 | 51,0 | 44,9 | 38,3 | 31,6 |
| PW119C | LAmax | D | 4 300,0 | 88,8 | 82,4 | 78,2 | 73,8 | 67,0 | 59,9 | 55,0 | 49,7 | 43,9 | 37,8 |
| PW119C | LAmax | D | 4 301,0 | 88,8 | 82,4 | 78,2 | 73,8 | 67,0 | 59,9 | 55,0 | 49,7 | 43,9 | 37,8 |
| PW119C | SEL | A | 108,0 | 95,0 | 90,3 | 86,8 | 82,8 | 76,2 | 68,8 | 63,6 | 57,8 | 51,4 | 45,1 |
| PW119C | SEL | A | 465,0 | 95,3 | 90,4 | 86,7 | 82,5 | 75,1 | 66,9 | 61,3 | 55,3 | 48,8 | 42,2 |
| PW119C | SEL | D | 3 412,0 | 90,0 | 85,7 | 82,7 | 79,6 | 74,6 | 69,1 | 65,0 | 60,5 | 55,4 | 50,1 |
| PW119C | SEL | D | 4 300,0 | 90,2 | 86,0 | 83,2 | 80,3 | 75,8 | 71,0 | 67,6 | 63,8 | 59,5 | 54,8 |
| PW119C | SEL | D | 4 301,0 | 90,2 | 86,0 | 83,2 | 80,3 | 75,8 | 71,0 | 67,6 | 63,8 | 59,5 | 54,8 |
| PW120 | LAmax | A | 35,0 | 87,1 | 80,3 | 75,5 | 70,5 | 62,4 | 54,0 | 48,9 | 43,8 | 39,1 | 34,8 |
| PW120 | LAmax | A | 40,0 | 90,0 | 83,7 | 79,2 | 74,3 | 66,7 | 59,0 | 54,0 | 48,8 | 43,4 | 38,1 |
| PW120 | LAmax | D | 90,0 | 82,8 | 76,9 | 72,9 | 68,7 | 62,8 | 56,3 | 51,8 | 47,3 | 42,3 | 37,6 |
| PW120 | LAmax | D | 100,0 | 85,2 | 79,4 | 75,8 | 71,9 | 65,9 | 59,7 | 55,3 | 51,0 | 46,2 | 41,6 |
| PW120 | LAmax | D | 150,0 | 90,2 | 84,4 | 80,8 | 76,9 | 70,9 | 64,7 | 60,3 | 56,0 | 51,2 | 46,6 |
| PW120 | SEL | A | 35,0 | 88,9 | 84,4 | 81,1 | 77,7 | 71,9 | 65,8 | 62,3 | 58,7 | 55,6 | 52,8 |
| PW120 | SEL | A | 40,0 | 91,8 | 87,8 | 84,8 | 81,5 | 76,2 | 70,8 | 67,4 | 63,7 | 59,9 | 56,1 |

▼M2

| NPD_ID | Mjera buke | Tip operacije (Op type) | Režim rada motora (polje „Parametar snage ” u tablici „Zrakoplov” navodi vrstu režima rada i jedinicu) | L_200ft | L_400ft | L_630ft | L_1000ft | L_2000ft | L_4000ft | L_6300ft | L_10000ft | L_16000ft | L_25000ft |
|---|---|---|---|---|---|---|---|---|---|---|---|---|---|
| PW120 | SEL | D | 90,0 | 84,6 | 81,0 | 78,5 | 75,9 | 72,3 | 68,1 | 65,2 | 62,2 | 58,8 | 55,6 |
| PW120 | SEL | D | 100,0 | 87,0 | 83,5 | 81,4 | 79,1 | 75,4 | 71,5 | 68,7 | 65,9 | 62,7 | 59,6 |
| PW120 | SEL | D | 150,0 | 92,0 | 88,5 | 86,4 | 84,1 | 80,4 | 76,5 | 73,7 | 70,9 | 67,7 | 64,6 |
| PW2037 | LAmax | A | 5 000,0 | 93,3 | 86,7 | 82,1 | 77,1 | 69,2 | 60,2 | 53,4 | 46,2 | 38,2 | 30,2 |
| PW2037 | LAmax | A | 12 000,0 | 97,8 | 90,9 | 86,1 | 80,9 | 72,6 | 63,4 | 56,5 | 49,0 | 40,7 | 32,4 |
| PW2037 | LAmax | D | 13 000,0 | 95,6 | 89,2 | 84,6 | 79,6 | 71,4 | 62,1 | 55,2 | 47,6 | 39,3 | 30,8 |
| PW2037 | LAmax | D | 24 000,0 | 99,7 | 93,1 | 88,4 | 83,2 | 75,2 | 66,1 | 59,8 | 53,3 | 46,2 | 39,0 |
| PW2037 | LAmax | D | 30 000,0 | 101,5 | 95,5 | 91,1 | 86,4 | 78,8 | 70,1 | 63,7 | 57,0 | 49,5 | 41,9 |
| PW2037 | LAmax | D | 36 000,0 | 103,7 | 98,4 | 94,6 | 90,5 | 83,8 | 75,5 | 68,9 | 61,6 | 53,2 | 44,6 |
| PW2037 | SEL | A | 5 000,0 | 95,1 | 90,8 | 87,7 | 84,3 | 78,7 | 72,0 | 66,8 | 61,1 | 54,7 | 48,2 |
| PW2037 | SEL | A | 12 000,0 | 99,6 | 95,0 | 91,7 | 88,1 | 82,1 | 75,2 | 69,9 | 63,9 | 57,2 | 50,4 |
| PW2037 | SEL | D | 13 000,0 | 97,4 | 93,3 | 90,2 | 86,8 | 80,9 | 73,9 | 68,6 | 62,5 | 55,8 | 48,8 |
| PW2037 | SEL | D | 24 000,0 | 101,5 | 97,2 | 94,0 | 90,4 | 84,7 | 77,9 | 73,2 | 68,2 | 62,7 | 57,0 |
| PW2037 | SEL | D | 30 000,0 | 103,3 | 99,6 | 96,7 | 93,6 | 88,3 | 81,9 | 77,1 | 71,9 | 66,0 | 59,9 |
| PW2037 | SEL | D | 36 000,0 | 105,5 | 102,5 | 100,2 | 97,7 | 93,3 | 87,3 | 82,3 | 76,5 | 69,7 | 62,6 |
| PW306C | LAmax | A | 500,0 | 84,2 | 77,2 | 72,2 | 66,8 | 58,1 | 48,7 | 42,1 | 35,1 | 27,7 | 20,3 |
| PW306C | LAmax | A | 1 000,0 | 85,4 | 78,1 | 73,0 | 67,6 | 58,8 | 49,4 | 42,8 | 35,9 | 28,5 | 21,3 |
| PW306C | LAmax | D | 1 500,0 | 86,2 | 79,5 | 74,7 | 69,4 | 60,7 | 51,2 | 44,5 | 37,2 | 29,5 | 21,8 |

▼M2

| NPD_ID | Mjera buke | Tip operacije (Op type) | Režim rada motora (polje „Parametar snage ” u tablici „Zrakoplov” navodi vrstu režima rada i jedinicu) | L_200ft | L_400ft | L_630ft | L_1000ft | L_2000ft | L_4000ft | L_6300ft | L_10000ft | L_16000ft | L_25000ft |
|---|---|---|---|---|---|---|---|---|---|---|---|---|---|
| PW306C | LAmax | D | 3 500,0 | 95,2 | 88,8 | 84,1 | 78,9 | 70,3 | 60,8 | 54,1 | 46,9 | 39,1 | 31,3 |
| PW306C | LAmax | D | 5 500,0 | 101,4 | 95,1 | 90,4 | 85,2 | 76,5 | 66,8 | 60,0 | 52,6 | 44,6 | 36,5 |
| PW306C | SEL | A | 500,0 | 85,4 | 81,5 | 78,6 | 75,2 | 69,3 | 62,7 | 57,8 | 52,6 | 46,8 | 41,0 |
| PW306C | SEL | A | 1 000,0 | 86,5 | 82,4 | 79,3 | 75,8 | 69,9 | 63,3 | 58,5 | 53,4 | 47,8 | 42,1 |
| PW306C | SEL | D | 1 500,0 | 85,8 | 82,3 | 79,5 | 76,2 | 70,6 | 64,0 | 59,1 | 53,8 | 47,9 | 41,9 |
| PW306C | SEL | D | 3 500,0 | 94,9 | 91,3 | 88,4 | 85,2 | 79,5 | 72,9 | 68,1 | 62,9 | 57,1 | 51,2 |
| PW306C | SEL | D | 5 500,0 | 101,3 | 97,9 | 95,1 | 91,9 | 86,3 | 79,8 | 75,0 | 69,7 | 64,0 | 58,1 |
| PW4056 | LAmax | A | 7 000,0 | 99,8 | 92,4 | 87,3 | 82,0 | 74,1 | 65,7 | 59,6 | 52,8 | 45,8 | 39,1 |
| PW4056 | LAmax | A | 10 000,0 | 99,9 | 92,4 | 87,3 | 82,0 | 74,2 | 65,8 | 59,7 | 52,8 | 45,8 | 39,0 |
| PW4056 | LAmax | A | 13 000,0 | 100,5 | 92,9 | 87,7 | 82,4 | 74,5 | 66,1 | 60,0 | 53,1 | 46,1 | 39,4 |
| PW4056 | LAmax | A | 16 000,0 | 101,4 | 93,6 | 88,2 | 82,9 | 74,9 | 66,5 | 60,4 | 53,6 | 46,6 | 40,0 |
| PW4056 | LAmax | D | 20 000,0 | 101,9 | 94,4 | 89,3 | 83,9 | 75,7 | 67,7 | 61,9 | 55,5 | 49,1 | 42,9 |
| PW4056 | LAmax | D | 26 000,0 | 103,4 | 96,2 | 91,2 | 86,1 | 78,0 | 69,7 | 64,0 | 57,6 | 51,1 | 44,9 |
| PW4056 | LAmax | D | 32 000,0 | 105,1 | 98,0 | 93,2 | 88,1 | 80,2 | 71,8 | 66,0 | 59,7 | 53,2 | 47,0 |
| PW4056 | LAmax | D | 38 000,0 | 107,0 | 100,1 | 95,3 | 90,4 | 82,5 | 74,1 | 68,3 | 61,9 | 55,4 | 49,2 |
| PW4056 | LAmax | D | 44 000,0 | 109,5 | 102,7 | 98,0 | 93,1 | 85,3 | 76,9 | 71,2 | 64,8 | 58,3 | 52,2 |
| PW4056 | LAmax | D | 50 000,0 | 113,3 | 106,5 | 101,7 | 96,9 | 89,1 | 81,0 | 75,3 | 68,9 | 62,5 | 56,4 |
| PW4056 | SEL | A | 7 000,0 | 102,9 | 98,2 | 94,9 | 91,5 | 86,1 | 80,1 | 75,6 | 70,5 | 65,2 | 60,1 |

▼M2

| NPD_ID | Mjera buke | Tip operacije (Op type) | Režim rada motora (polje „Parametar snage ” u tablici „Zrakoplov” navodi vrstu režima rada i jedinicu) | L_200ft | L_400ft | L_630ft | L_1000ft | L_2000ft | L_4000ft | L_6300ft | L_10000ft | L_16000ft | L_25000ft |
|---|---|---|---|---|---|---|---|---|---|---|---|---|---|
| PW4056 | SEL | A | 10 000,0 | 103,3 | 98,6 | 95,2 | 91,7 | 86,3 | 80,3 | 75,8 | 70,6 | 65,2 | 60,1 |
| PW4056 | SEL | A | 13 000,0 | 103,9 | 99,1 | 95,7 | 92,1 | 86,6 | 80,6 | 76,1 | 70,9 | 65,6 | 60,6 |
| PW4056 | SEL | A | 16 000,0 | 104,6 | 99,8 | 96,3 | 92,6 | 87,0 | 80,9 | 76,5 | 71,4 | 66,3 | 61,4 |
| PW4056 | SEL | D | 20 000,0 | 104,5 | 99,9 | 96,5 | 92,7 | 86,9 | 81,1 | 77,1 | 72,6 | 68,0 | 63,6 |
| PW4056 | SEL | D | 26 000,0 | 105,0 | 100,7 | 97,5 | 94,1 | 88,7 | 83,0 | 79,0 | 74,5 | 70,0 | 65,6 |
| PW4056 | SEL | D | 32 000,0 | 106,1 | 102,0 | 99,0 | 95,8 | 90,6 | 85,0 | 81,0 | 76,5 | 72,0 | 67,6 |
| PW4056 | SEL | D | 38 000,0 | 107,6 | 103,6 | 100,8 | 97,7 | 92,7 | 87,2 | 83,3 | 78,8 | 74,3 | 69,9 |
| PW4056 | SEL | D | 44 000,0 | 109,9 | 106,0 | 103,2 | 100,2 | 95,4 | 90,0 | 86,2 | 81,8 | 77,3 | 73,0 |
| PW4056 | SEL | D | 50 000,0 | 113,5 | 109,6 | 106,9 | 104,0 | 99,2 | 94,2 | 90,5 | 86,1 | 81,7 | 77,5 |
| PW4158 | LAmax | A | 4 000,0 | 97,0 | 90,1 | 84,8 | 78,9 | 70,6 | 62,1 | 56,0 | 49,2 | 41,5 | 33,6 |
| PW4158 | LAmax | A | 12 000,0 | 99,5 | 92,3 | 86,8 | 81,1 | 72,4 | 63,4 | 57,2 | 50,2 | 42,5 | 34,5 |
| PW4158 | LAmax | D | 23 000,0 | 104,9 | 95,7 | 89,4 | 83,0 | 73,2 | 62,8 | 56,1 | 49,2 | 41,7 | 34,0 |
| PW4158 | LAmax | D | 32 000,0 | 107,8 | 99,8 | 94,4 | 88,6 | 79,1 | 68,1 | 61,4 | 54,6 | 47,0 | 39,0 |
| PW4158 | LAmax | D | 41 000,0 | 108,7 | 101,0 | 95,9 | 90,3 | 81,0 | 71,5 | 65,1 | 58,2 | 50,5 | 42,4 |
| PW4158 | LAmax | D | 50 000,0 | 111,5 | 103,9 | 98,9 | 93,7 | 85,4 | 76,6 | 70,4 | 63,7 | 56,0 | 47,6 |
| PW4158 | SEL | A | 4 000,0 | 99,7 | 94,9 | 91,6 | 88,2 | 82,7 | 76,6 | 72,0 | 66,8 | 60,8 | 54,3 |
| PW4158 | SEL | A | 12 000,0 | 102,5 | 97,8 | 94,1 | 90,2 | 84,2 | 77,8 | 73,1 | 67,8 | 61,6 | 55,1 |
| PW4158 | SEL | D | 23 000,0 | 104,1 | 98,5 | 94,2 | 90,0 | 83,7 | 76,8 | 71,9 | 66,8 | 61,0 | 54,7 |

▼M2

| NPD_ID | Mjera buke | Tip operacije (Op type) | Režim rada motora (polje „Parametar snage ” u tablici „Zrakoplov” navodi vrstu režima rada i jedinicu) | L_200ft | L_400ft | L_630ft | L_1000ft | L_2000ft | L_4000ft | L_6300ft | L_10000ft | L_16000ft | L_25000ft |
|---|---|---|---|---|---|---|---|---|---|---|---|---|---|
| PW4158 | SEL | D | 32 000,0 | 106,1 | 101,4 | 97,6 | 94,0 | 88,1 | 81,6 | 77,0 | 72,0 | 66,2 | 60,0 |
| PW4158 | SEL | D | 41 000,0 | 107,3 | 103,1 | 99,7 | 96,4 | 91,0 | 85,0 | 80,6 | 75,7 | 70,1 | 63,8 |
| PW4158 | SEL | D | 50 000,0 | 110,6 | 106,5 | 103,4 | 100,2 | 95,1 | 89,5 | 85,3 | 80,4 | 74,6 | 68,1 |
| PW4460 | LAmax | A | 9 300,0 | 99,2 | 92,8 | 87,4 | 82,4 | 74,1 | 65,9 | 59,6 | 53,2 | 46,6 | 40,4 |
| PW4460 | LAmax | A | 22 400,0 | 102,5 | 95,6 | 90,5 | 84,9 | 76,3 | 67,5 | 61,2 | 54,8 | 48,1 | 41,7 |
| PW4460 | LAmax | D | 24 960,0 | 101,9 | 94,1 | 89,1 | 84,0 | 76,2 | 67,6 | 61,3 | 54,8 | 47,2 | 40,0 |
| PW4460 | LAmax | D | 37 100,0 | 104,4 | 97,1 | 92,4 | 87,5 | 80,2 | 71,9 | 65,8 | 59,1 | 51,7 | 44,7 |
| PW4460 | LAmax | D | 49 010,0 | 107,4 | 100,9 | 96,4 | 91,9 | 84,7 | 76,9 | 70,8 | 64,4 | 56,7 | 50,2 |
| PW4460 | LAmax | D | 53 830,0 | 109,6 | 103,2 | 98,6 | 94,0 | 87,3 | 79,4 | 73,8 | 67,1 | 59,7 | 53,2 |
| PW4460 | SEL | A | 9 300,0 | 101,0 | 96,9 | 93,0 | 89,6 | 83,6 | 77,7 | 73,0 | 68,1 | 63,1 | 58,4 |
| PW4460 | SEL | A | 22 400,0 | 104,3 | 99,7 | 96,1 | 92,1 | 85,8 | 79,3 | 74,6 | 69,7 | 64,6 | 59,7 |
| PW4460 | SEL | D | 24 960,0 | 103,7 | 98,2 | 94,7 | 91,2 | 85,7 | 79,4 | 74,7 | 69,7 | 63,7 | 58,0 |
| PW4460 | SEL | D | 37 100,0 | 106,2 | 101,2 | 98,0 | 94,7 | 89,7 | 83,7 | 79,2 | 74,0 | 68,2 | 62,7 |
| PW4460 | SEL | D | 49 010,0 | 109,2 | 105,0 | 102,0 | 99,1 | 94,2 | 88,7 | 84,2 | 79,3 | 73,2 | 68,2 |
| PW4460 | SEL | D | 53 830,0 | 111,4 | 107,3 | 104,2 | 101,2 | 96,8 | 91,2 | 87,2 | 82,0 | 76,2 | 71,2 |
| PW530A | LAmax | A | 500,0 | 88,7 | 81,1 | 75,8 | 70,1 | 60,9 | 51,1 | 44,3 | 37,1 | 29,4 | 21,9 |
| PW530A | LAmax | A | 800,0 | 90,3 | 82,7 | 77,5 | 71,8 | 62,9 | 53,3 | 46,7 | 39,7 | 32,3 | 25,0 |
| PW530A | LAmax | D | 1 200,0 | 94,0 | 87,0 | 81,9 | 76,3 | 67,2 | 57,2 | 50,1 | 42,6 | 34,5 | 26,4 |

▼M2

| NPD_ID | Mjera buke | Tip operacije (Op type) | Režim rada motora (polje „Parametar snage ” u tablici „Zrakoplov” navodi vrstu režima rada i jedinicu) | L_200ft | L_400ft | L_630ft | L_1000ft | L_2000ft | L_4000ft | L_6300ft | L_10000ft | L_16000ft | L_25000ft |
|---|---|---|---|---|---|---|---|---|---|---|---|---|---|
| PW530A | LAmax | D | 1 600,0 | 95,8 | 89,1 | 84,2 | 78,9 | 70,0 | 60,3 | 53,4 | 45,9 | 38,0 | 30,0 |
| PW530A | LAmax | D | 2 000,0 | 98,5 | 91,8 | 86,8 | 81,4 | 72,4 | 62,5 | 55,5 | 47,9 | 39,8 | 31,7 |
| PW530A | LAmax | D | 2 400,0 | 100,2 | 93,6 | 88,8 | 83,5 | 74,7 | 65,0 | 58,1 | 50,7 | 42,8 | 34,8 |
| PW530A | SEL | A | 500,0 | 88,6 | 84,0 | 80,7 | 77,1 | 71,1 | 64,4 | 59,7 | 54,6 | 49,2 | 43,7 |
| PW530A | SEL | A | 800,0 | 90,4 | 85,8 | 82,5 | 78,9 | 73,0 | 66,6 | 62,0 | 57,1 | 51,8 | 46,6 |
| PW530A | SEL | D | 1 200,0 | 92,2 | 88,0 | 84,8 | 81,3 | 75,3 | 68,5 | 63,7 | 58,4 | 52,6 | 46,9 |
| PW530A | SEL | D | 1 600,0 | 95,5 | 91,5 | 88,4 | 84,8 | 78,8 | 71,9 | 66,9 | 61,4 | 55,5 | 49,5 |
| PW530A | SEL | D | 2 000,0 | 98,8 | 94,4 | 91,2 | 87,5 | 81,4 | 74,6 | 69,7 | 64,5 | 58,7 | 53,0 |
| PW530A | SEL | D | 2 400,0 | 100,2 | 96,4 | 93,5 | 90,1 | 84,2 | 77,4 | 72,5 | 67,0 | 61,1 | 55,0 |
| PW545A | LAmax | A | 550,0 | 91,5 | 84,2 | 78,9 | 73,1 | 63,6 | 53,3 | 46,0 | 38,2 | 29,9 | 21,6 |
| PW545A | LAmax | A | 750,0 | 93,0 | 85,6 | 80,3 | 74,5 | 65,1 | 54,7 | 47,4 | 39,6 | 31,3 | 23,0 |
| PW545A | LAmax | D | 1 750,0 | 94,4 | 87,6 | 82,7 | 77,3 | 68,3 | 58,5 | 51,5 | 44,0 | 35,9 | 27,8 |
| PW545A | LAmax | D | 2 000,0 | 94,6 | 87,6 | 82,5 | 77,1 | 68,3 | 58,7 | 52,1 | 45,0 | 37,5 | 30,0 |
| PW545A | LAmax | D | 2 500,0 | 96,4 | 89,3 | 84,3 | 78,9 | 70,1 | 60,6 | 53,9 | 46,8 | 39,3 | 31,8 |
| PW545A | LAmax | D | 3 000,0 | 97,4 | 90,8 | 86,1 | 81,0 | 72,6 | 63,5 | 57,1 | 50,2 | 42,8 | 35,5 |
| PW545A | LAmax | D | 3 500,0 | 99,7 | 93,2 | 88,5 | 83,4 | 75,1 | 66,0 | 59,6 | 52,8 | 45,6 | 38,3 |
| PW545A | SEL | A | 550,0 | 92,1 | 87,1 | 83,4 | 79,1 | 71,7 | 63,4 | 57,4 | 50,8 | 43,6 | 36,4 |
| PW545A | SEL | A | 750,0 | 93,6 | 88,6 | 84,8 | 80,5 | 73,2 | 64,9 | 58,9 | 52,4 | 45,3 | 38,1 |

▼M2

| NPD_ID | Mjera buke | Tip operacije (Op type) | Režim rada motora (polje „Parametar snage ” u tablici „Zrakoplov” navodi vrstu režima rada i jedinicu) | L_200ft | L_400ft | L_630ft | L_1000ft | L_2000ft | L_4000ft | L_6300ft | L_10000ft | L_16000ft | L_25000ft |
|---|---|---|---|---|---|---|---|---|---|---|---|---|---|
| PW545A | SEL | D | 1 750,0 | 94,8 | 90,3 | 86,9 | 83,0 | 76,3 | 68,7 | 63,2 | 57,2 | 50,6 | 44,0 |
| PW545A | SEL | D | 2 000,0 | 95,9 | 91,1 | 87,5 | 83,6 | 77,1 | 69,8 | 64,7 | 59,1 | 53,1 | 47,1 |
| PW545A | SEL | D | 2 500,0 | 98,0 | 93,2 | 89,6 | 85,7 | 79,2 | 71,9 | 66,8 | 61,2 | 55,2 | 49,2 |
| PW545A | SEL | D | 3 000,0 | 98,7 | 94,4 | 91,2 | 87,6 | 81,5 | 74,6 | 69,7 | 64,3 | 58,5 | 52,6 |
| PW545A | SEL | D | 3 500,0 | 101,1 | 96,8 | 93,6 | 90,1 | 84,0 | 77,2 | 72,3 | 67,0 | 61,3 | 55,5 |
| PW610F | LAmax | A | 79,0 | 77,0 | 69,5 | 64,6 | 59,8 | 52,4 | 44,4 | 38,6 | 32,1 | 24,5 | 16,3 |
| PW610F | LAmax | A | 112,0 | 77,3 | 69,8 | 64,9 | 59,9 | 52,4 | 44,3 | 38,5 | 32,0 | 24,5 | 16,2 |
| PW610F | LAmax | A | 160,0 | 77,9 | 70,4 | 65,4 | 60,3 | 52,5 | 44,4 | 38,5 | 32,0 | 24,5 | 16,2 |
| PW610F | LAmax | A | 208,0 | 78,5 | 71,0 | 66,0 | 60,8 | 52,9 | 44,6 | 38,7 | 32,1 | 24,6 | 16,3 |
| PW610F | LAmax | A | 262,0 | 79,2 | 71,8 | 66,8 | 61,5 | 53,5 | 45,0 | 39,0 | 32,4 | 24,8 | 16,6 |
| PW610F | LAmax | A | 328,0 | 80,1 | 72,9 | 67,9 | 62,7 | 54,5 | 45,8 | 39,7 | 32,9 | 25,2 | 17,0 |
| PW610F | LAmax | A | 404,0 | 81,2 | 74,3 | 69,5 | 64,3 | 56,1 | 47,1 | 40,7 | 33,8 | 26,0 | 17,7 |
| PW610F | LAmax | D | 489,0 | 83,7 | 76,9 | 72,1 | 66,9 | 58,4 | 48,9 | 42,1 | 34,6 | 26,1 | 17,0 |
| PW610F | LAmax | D | 587,0 | 86,2 | 79,1 | 74,2 | 68,9 | 60,4 | 50,9 | 44,0 | 36,4 | 27,8 | 18,7 |
| PW610F | LAmax | D | 689,0 | 88,3 | 81,2 | 76,2 | 70,9 | 62,3 | 52,9 | 46,0 | 38,3 | 29,6 | 20,4 |
| PW610F | LAmax | D | 807,0 | 90,3 | 83,3 | 78,3 | 73,1 | 64,6 | 55,2 | 48,3 | 40,5 | 31,8 | 22,6 |
| PW610F | LAmax | D | 910,0 | 91,7 | 84,8 | 80,0 | 74,9 | 66,5 | 57,1 | 50,2 | 42,5 | 33,7 | 24,4 |
| PW610F | LAmax | D | 935,0 | 91,9 | 85,1 | 80,4 | 75,3 | 67,0 | 57,6 | 50,7 | 43,0 | 34,2 | 24,9 |

▼M2

| NPD_ID | Mjera buke | Tip operacije (Op type) | Režim rada motora (polje „Parametar snage ” u tablici „Zrakoplov” navodi vrstu režima rada i jedinicu) | L_200ft | L_400ft | L_630ft | L_1000ft | L_2000ft | L_4000ft | L_6300ft | L_10000ft | L_16000ft | L_25000ft |
|---|---|---|---|---|---|---|---|---|---|---|---|---|---|
| PW610F | SEL | A | 79,0 | 78,5 | 74,3 | 71,3 | 68,3 | 63,5 | 58,1 | 54,0 | 49,2 | 43,4 | 36,9 |
| PW610F | SEL | A | 112,0 | 78,7 | 74,4 | 71,5 | 68,4 | 63,5 | 58,1 | 54,0 | 49,1 | 43,4 | 36,8 |
| PW610F | SEL | A | 160,0 | 79,0 | 74,7 | 71,8 | 68,7 | 63,7 | 58,2 | 54,0 | 49,2 | 43,4 | 36,8 |
| PW610F | SEL | A | 208,0 | 79,5 | 75,2 | 72,3 | 69,2 | 64,1 | 58,4 | 54,2 | 49,3 | 43,5 | 36,9 |
| PW610F | SEL | A | 262,0 | 80,1 | 75,9 | 72,9 | 69,8 | 64,7 | 58,9 | 54,7 | 49,7 | 43,8 | 37,2 |
| PW610F | SEL | A | 328,0 | 81,0 | 76,9 | 74,0 | 70,8 | 65,7 | 59,8 | 55,5 | 50,4 | 44,4 | 37,7 |
| PW610F | SEL | A | 404,0 | 82,2 | 78,3 | 75,5 | 72,4 | 67,2 | 61,3 | 56,8 | 51,6 | 45,4 | 38,6 |
| PW610F | SEL | D | 489,0 | 83,4 | 79,6 | 76,8 | 73,6 | 68,4 | 62,1 | 57,3 | 51,7 | 44,9 | 37,5 |
| PW610F | SEL | D | 587,0 | 85,7 | 81,9 | 78,9 | 75,7 | 70,4 | 64,2 | 59,4 | 53,8 | 47,0 | 39,6 |
| PW610F | SEL | D | 689,0 | 87,9 | 84,1 | 81,0 | 77,7 | 72,4 | 66,3 | 61,5 | 55,9 | 49,2 | 41,7 |
| PW610F | SEL | D | 807,0 | 90,1 | 86,3 | 83,4 | 80,1 | 74,9 | 68,7 | 64,0 | 58,4 | 51,7 | 44,1 |
| PW610F | SEL | D | 910,0 | 91,8 | 88,1 | 85,3 | 82,2 | 77,0 | 70,8 | 66,1 | 60,5 | 53,7 | 46,1 |
| PW610F | SEL | D | 935,0 | 92,2 | 88,4 | 85,7 | 82,7 | 77,5 | 71,3 | 66,6 | 60,9 | 54,2 | 46,6 |
| PW615F | LAmax | A | 300,0 | 82,8 | 75,7 | 70,6 | 65,1 | 56,1 | 46,3 | 39,5 | 32,2 | 24,4 | 16,6 |
| PW615F | LAmax | A | 500,0 | 87,1 | 79,9 | 74,7 | 69,0 | 59,8 | 49,7 | 42,6 | 35,0 | 26,9 | 18,8 |
| PW615F | LAmax | D | 700,0 | 90,2 | 83,5 | 78,6 | 73,1 | 64,1 | 54,0 | 46,9 | 39,2 | 31,0 | 22,7 |
| PW615F | LAmax | D | 900,0 | 94,8 | 87,7 | 82,6 | 77,0 | 67,7 | 57,5 | 50,3 | 42,5 | 34,2 | 25,9 |
| PW615F | LAmax | D | 1 100,0 | 96,4 | 89,8 | 85,0 | 79,6 | 70,6 | 60,5 | 53,4 | 45,7 | 37,3 | 28,9 |

▼M2

| NPD_ID | Mjera buke | Tip operacije (Op type) | Režim rada motora (polje „Parametar snage ” u tablici „Zrakoplov” navodi vrstu režima rada i jedinicu) | L_200ft | L_400ft | L_630ft | L_1000ft | L_2000ft | L_4000ft | L_6300ft | L_10000ft | L_16000ft | L_25000ft |
|---|---|---|---|---|---|---|---|---|---|---|---|---|---|
| PW615F | LAmax | D | 1 300,0 | 97,4 | 91,1 | 86,4 | 81,2 | 72,5 | 62,7 | 55,8 | 48,3 | 40,2 | 32,0 |
| PW615F | SEL | A | 300,0 | 85,5 | 81,7 | 78,7 | 75,3 | 69,5 | 62,8 | 58,0 | 52,7 | 46,9 | 41,1 |
| PW615F | SEL | A | 500,0 | 87,0 | 82,9 | 79,8 | 76,3 | 70,4 | 63,8 | 59,0 | 53,9 | 48,3 | 42,6 |
| PW615F | SEL | D | 700,0 | 89,6 | 85,7 | 82,6 | 79,0 | 73,0 | 65,9 | 60,8 | 55,2 | 49,1 | 42,8 |
| PW615F | SEL | D | 900,0 | 92,9 | 89,0 | 86,0 | 82,5 | 76,5 | 69,6 | 64,6 | 59,2 | 53,2 | 47,1 |
| PW615F | SEL | D | 1 100,0 | 95,6 | 92,0 | 89,1 | 85,7 | 79,8 | 73,0 | 68,0 | 62,5 | 56,5 | 50,4 |
| PW615F | SEL | D | 1 300,0 | 97,4 | 94,1 | 91,3 | 88,1 | 82,4 | 75,7 | 70,8 | 65,4 | 59,4 | 53,3 |
| RAISQP | LAmax | A | 23,0 | 77,2 | 70,0 | 65,1 | 59,9 | 51,5 | 42,3 | 36,2 | 30,0 | 23,6 | 17,9 |
| RAISQP | LAmax | A | 30,0 | 78,3 | 71,3 | 67,4 | 61,7 | 53,9 | 45,6 | 39,8 | 33,6 | 27,0 | 20,1 |
| RAISQP | LAmax | D | 60,0 | 84,7 | 78,1 | 73,6 | 68,9 | 61,5 | 53,8 | 48,4 | 42,6 | 36,3 | 29,8 |
| RAISQP | LAmax | D | 85,0 | 89,2 | 82,7 | 78,4 | 74,0 | 67,2 | 60,1 | 55,3 | 50,2 | 44,6 | 38,7 |
| RAISQP | LAmax | D | 100,0 | 96,8 | 90,5 | 86,3 | 82,1 | 75,4 | 68,3 | 63,3 | 57,7 | 51,3 | 44,6 |
| RAISQP | SEL | A | 23,0 | 82,3 | 77,9 | 74,7 | 71,4 | 65,5 | 59,2 | 54,8 | 50,1 | 45,6 | 41,3 |
| RAISQP | SEL | A | 30,0 | 82,6 | 78,6 | 76,3 | 72,7 | 67,6 | 61,8 | 57,6 | 52,9 | 48,2 | 43,9 |
| RAISQP | SEL | D | 60,0 | 87,6 | 84,1 | 81,6 | 78,8 | 74,1 | 68,8 | 65,0 | 60,8 | 56,1 | 51,4 |
| RAISQP | SEL | D | 85,0 | 92,3 | 88,6 | 86,1 | 83,4 | 79,2 | 74,7 | 71,3 | 68,0 | 63,9 | 60,1 |
| RAISQP | SEL | D | 100,0 | 97,8 | 94,5 | 92,3 | 90,0 | 86,3 | 82,0 | 78,9 | 75,2 | 70,9 | 66,0 |
| RB183 | LAmax | A | 1 798,0 | 94,7 | 87,6 | 82,6 | 77,6 | 69,3 | 60,8 | 54,7 | 47,4 | 38,9 | 29,9 |

▼M2

| NPD_ID | Mjera buke | Tip operacije (Op type) | Režim rada motora (polje „Parametar snage ” u tablici „Zrakoplov” navodi vrstu režima rada i jedinicu) | L_200ft | L_400ft | L_630ft | L_1000ft | L_2000ft | L_4000ft | L_6300ft | L_10000ft | L_16000ft | L_25000ft |
|---|---|---|---|---|---|---|---|---|---|---|---|---|---|
| RB183 | LAmax | A | 2 698,0 | 95,6 | 89,1 | 84,5 | 79,8 | 72,3 | 64,0 | 57,9 | 50,6 | 42,0 | 32,9 |
| RB183 | LAmax | A | 3 147,0 | 98,1 | 91,3 | 86,4 | 81,6 | 74,2 | 65,6 | 59,5 | 52,2 | 43,7 | 34,8 |
| RB183 | LAmax | A | 3 597,0 | 98,7 | 92,2 | 87,3 | 82,6 | 75,6 | 67,2 | 61,1 | 53,8 | 45,3 | 36,3 |
| RB183 | LAmax | A | 4 496,0 | 100,4 | 94,3 | 90,1 | 85,4 | 78,8 | 70,4 | 64,3 | 57,0 | 48,5 | 39,5 |
| RB183 | LAmax | D | 4 496,0 | 101,6 | 95,0 | 90,6 | 85,8 | 78,6 | 70,9 | 65,2 | 58,5 | 50,0 | 39,6 |
| RB183 | LAmax | D | 10 116,0 | 119,8 | 113,4 | 108,9 | 104,2 | 96,9 | 89,3 | 83,5 | 76,9 | 68,4 | 58,0 |
| RB183 | SEL | A | 1 798,0 | 96,5 | 91,7 | 88,2 | 84,8 | 78,8 | 72,6 | 68,1 | 62,3 | 55,4 | 47,9 |
| RB183 | SEL | A | 2 698,0 | 97,4 | 93,2 | 90,1 | 87,0 | 81,8 | 75,8 | 71,3 | 65,5 | 58,5 | 50,9 |
| RB183 | SEL | A | 3 147,0 | 99,9 | 95,4 | 92,0 | 88,8 | 83,7 | 77,4 | 72,9 | 67,1 | 60,2 | 52,8 |
| RB183 | SEL | A | 3 597,0 | 100,5 | 96,3 | 92,9 | 89,8 | 85,1 | 79,0 | 74,5 | 68,7 | 61,8 | 54,3 |
| RB183 | SEL | A | 4 496,0 | 102,2 | 98,4 | 95,7 | 92,6 | 88,3 | 82,2 | 77,7 | 71,9 | 65,0 | 57,5 |
| RB183 | SEL | D | 4 496,0 | 103,4 | 99,1 | 96,2 | 93,0 | 88,1 | 82,7 | 78,6 | 73,4 | 66,5 | 57,6 |
| RB183 | SEL | D | 10 116,0 | 121,6 | 117,5 | 114,5 | 111,4 | 106,4 | 101,1 | 96,9 | 91,8 | 84,9 | 76,0 |
| RB183P | LAmax | A | 1 798,0 | 93,7 | 86,9 | 82,3 | 77,3 | 69,1 | 60,6 | 54,2 | 46,5 | 37,4 | 27,6 |
| RB183P | LAmax | A | 2 698,0 | 94,0 | 87,9 | 83,8 | 79,5 | 72,0 | 63,5 | 57,0 | 49,3 | 40,2 | 30,5 |
| RB183P | LAmax | A | 3 147,0 | 97,0 | 90,5 | 85,9 | 81,3 | 73,7 | 64,9 | 58,5 | 50,8 | 41,9 | 32,4 |
| RB183P | LAmax | A | 3 597,0 | 97,8 | 91,5 | 87,2 | 82,5 | 74,9 | 66,4 | 59,9 | 52,2 | 43,3 | 33,7 |
| RB183P | LAmax | A | 4 496,0 | 99,9 | 93,8 | 89,6 | 85,3 | 77,8 | 69,3 | 62,8 | 55,1 | 46,1 | 36,4 |

▼M2

| NPD_ID | Mjera buke | Tip operacije (Op type) | Režim rada motora (polje „Parametar snage ” u tablici „Zrakoplov” navodi vrstu režima rada i jedinicu) | L_200ft | L_400ft | L_630ft | L_1000ft | L_2000ft | L_4000ft | L_6300ft | L_10000ft | L_16000ft | L_25000ft |
|---|---|---|---|---|---|---|---|---|---|---|---|---|---|
| RB183P | LAmax | D | 4 496,0 | 101,5 | 94,6 | 89,9 | 84,9 | 77,4 | 69,3 | 63,3 | 56,3 | 47,5 | 36,5 |
| RB183P | LAmax | D | 10 116,0 | 116,3 | 109,6 | 104,9 | 100,1 | 92,5 | 84,4 | 78,4 | 71,4 | 62,5 | 51,5 |
| RB183P | SEL | A | 1 798,0 | 95,5 | 91,0 | 87,9 | 84,5 | 78,6 | 72,4 | 67,6 | 61,4 | 53,9 | 45,6 |
| RB183P | SEL | A | 2 698,0 | 95,8 | 92,0 | 89,4 | 86,7 | 81,5 | 75,3 | 70,4 | 64,2 | 56,7 | 48,5 |
| RB183P | SEL | A | 3 147,0 | 98,8 | 94,6 | 91,5 | 88,5 | 83,2 | 76,7 | 71,9 | 65,7 | 58,4 | 50,4 |
| RB183P | SEL | A | 3 597,0 | 99,6 | 95,6 | 92,8 | 89,7 | 84,4 | 78,2 | 73,3 | 67,1 | 59,8 | 51,7 |
| RB183P | SEL | A | 4 496,0 | 101,7 | 97,9 | 95,2 | 92,5 | 87,3 | 81,1 | 76,2 | 70,0 | 62,6 | 54,4 |
| RB183P | SEL | D | 4 496,0 | 103,3 | 98,7 | 95,5 | 92,1 | 86,9 | 81,1 | 76,7 | 71,2 | 64,0 | 54,5 |
| RB183P | SEL | D | 10 116,0 | 118,1 | 113,7 | 110,5 | 107,3 | 102,0 | 96,2 | 91,8 | 86,3 | 79,0 | 69,5 |
| RB2112 | LAmax | A | 8 000,0 | 99,2 | 92,0 | 86,6 | 81,0 | 72,1 | 63,0 | 56,5 | 49,1 | 40,8 | 32,5 |
| RB2112 | LAmax | A | 14 000,0 | 102,8 | 95,8 | 90,7 | 85,3 | 76,8 | 67,9 | 61,5 | 54,2 | 46,1 | 38,1 |
| RB2112 | LAmax | D | 20 000,0 | 104,8 | 97,4 | 93,0 | 87,8 | 79,6 | 70,7 | 64,4 | 57,2 | 49,2 | 41,4 |
| RB2112 | LAmax | D | 28 000,0 | 106,7 | 99,9 | 95,1 | 90,0 | 82,0 | 73,2 | 66,9 | 59,8 | 51,9 | 44,1 |
| RB2112 | LAmax | D | 36 000,0 | 108,3 | 101,6 | 97,0 | 92,0 | 84,2 | 75,4 | 69,2 | 62,2 | 54,3 | 46,7 |
| RB2112 | SEL | A | 8 000,0 | 100,7 | 95,5 | 91,7 | 87,5 | 81,1 | 74,0 | 68,8 | 63,0 | 56,3 | 49,7 |
| RB2112 | SEL | A | 14 000,0 | 104,8 | 100,0 | 96,4 | 92,5 | 86,4 | 79,5 | 74,5 | 68,8 | 62,3 | 55,8 |
| RB2112 | SEL | D | 20 000,0 | 107,3 | 102,6 | 99,1 | 95,5 | 89,5 | 82,8 | 77,8 | 72,3 | 65,8 | 59,5 |
| RB2112 | SEL | D | 28 000,0 | 109,8 | 105,3 | 101,9 | 98,5 | 92,7 | 86,1 | 81,2 | 75,8 | 69,5 | 63,2 |

▼M2

| NPD_ID | Mjera buke | Tip operacije (Op type) | Režim rada motora (polje „Parametar snage ” u tablici „Zrakoplov” navodi vrstu režima rada i jedinicu) | L_200ft | L_400ft | L_630ft | L_1000ft | L_2000ft | L_4000ft | L_6300ft | L_10000ft | L_16000ft | L_25000ft |
|---|---|---|---|---|---|---|---|---|---|---|---|---|---|
| RB2112 | SEL | D | 36 000,0 | 111,4 | 107,1 | 103,8 | 100,5 | 94,8 | 88,3 | 83,5 | 78,1 | 71,9 | 65,6 |
| RDA532 | LAmax | A | 32,0 | 96,4 | 88,7 | 82,9 | 76,2 | 65,3 | 55,1 | 48,3 | 41,3 | 34,1 | 26,4 |
| RDA532 | LAmax | A | 73,0 | 98,2 | 91,1 | 86,2 | 81,2 | 73,6 | 65,9 | 60,5 | 54,7 | 48,2 | 40,7 |
| RDA532 | LAmax | D | 73,0 | 98,2 | 91,1 | 86,2 | 81,2 | 73,6 | 65,9 | 60,5 | 54,7 | 48,2 | 40,7 |
| RDA532 | LAmax | D | 100,0 | 98,6 | 92,2 | 87,8 | 83,4 | 76,4 | 68,9 | 63,4 | 57,3 | 50,3 | 42,0 |
| RDA532 | SEL | A | 32,0 | 98,9 | 93,5 | 89,1 | 84,0 | 75,3 | 67,3 | 62,0 | 56,5 | 50,8 | 44,6 |
| RDA532 | SEL | A | 73,0 | 100,2 | 95,4 | 92,0 | 88,4 | 83,1 | 77,7 | 73,8 | 69,5 | 64,5 | 58,5 |
| RDA532 | SEL | D | 73,0 | 100,2 | 95,4 | 92,0 | 88,4 | 83,1 | 77,7 | 73,8 | 69,5 | 64,5 | 58,5 |
| RDA532 | SEL | D | 100,0 | 101,3 | 97,2 | 94,3 | 91,4 | 86,7 | 81,4 | 77,5 | 72,8 | 67,3 | 60,6 |
| RR535E | LAmax | A | 6 000,0 | 91,9 | 84,7 | 80,1 | 75,2 | 67,4 | 58,6 | 52,1 | 45,1 | 38,1 | 31,4 |
| RR535E | LAmax | A | 7 000,0 | 92,0 | 84,9 | 80,3 | 75,4 | 67,6 | 58,8 | 52,4 | 45,4 | 38,4 | 31,8 |
| RR535E | LAmax | A | 8 000,0 | 92,2 | 85,2 | 80,6 | 75,6 | 67,8 | 59,0 | 52,7 | 45,8 | 38,8 | 32,2 |
| RR535E | LAmax | A | 9 000,0 | 92,5 | 85,5 | 80,8 | 75,9 | 68,0 | 59,3 | 53,0 | 46,2 | 39,2 | 32,7 |
| RR535E | LAmax | D | 10 000,0 | 91,0 | 84,0 | 79,7 | 75,1 | 67,5 | 59,1 | 53,0 | 46,3 | 39,4 | 33,0 |
| RR535E | LAmax | D | 15 000,0 | 95,7 | 87,9 | 83,1 | 78,4 | 70,8 | 62,3 | 56,3 | 49,8 | 43,1 | 36,8 |
| RR535E | LAmax | D | 20 000,0 | 99,1 | 91,1 | 86,3 | 81,5 | 73,8 | 65,4 | 59,5 | 53,0 | 46,4 | 40,1 |
| RR535E | LAmax | D | 25 000,0 | 101,6 | 93,9 | 89,1 | 84,3 | 76,7 | 68,3 | 62,4 | 55,9 | 49,2 | 43,0 |
| RR535E | LAmax | D | 30 000,0 | 103,7 | 96,5 | 91,9 | 87,2 | 79,6 | 71,2 | 65,3 | 58,7 | 52,0 | 45,8 |

▼M2

| NPD_ID | Mjera buke | Tip operacije (Op type) | Režim rada motora (polje „Parametar snage ” u tablici „Zrakoplov” navodi vrstu režima rada i jedinicu) | L_200ft | L_400ft | L_630ft | L_1000ft | L_2000ft | L_4000ft | L_6300ft | L_10000ft | L_16000ft | L_25000ft |
|---|---|---|---|---|---|---|---|---|---|---|---|---|---|
| RR535E | LAmax | D | 35 000,0 | 106,2 | 100,3 | 96,1 | 91,6 | 84,1 | 75,8 | 69,7 | 63,0 | 56,2 | 49,9 |
| RR535E | SEL | A | 6 000,0 | 95,9 | 90,9 | 87,8 | 84,6 | 79,2 | 72,9 | 68,1 | 62,9 | 57,6 | 52,5 |
| RR535E | SEL | A | 7 000,0 | 95,8 | 91,0 | 88,0 | 84,7 | 79,3 | 73,1 | 68,4 | 63,2 | 58,0 | 53,0 |
| RR535E | SEL | A | 8 000,0 | 95,9 | 91,2 | 88,2 | 84,9 | 79,6 | 73,4 | 68,7 | 63,6 | 58,4 | 53,5 |
| RR535E | SEL | A | 9 000,0 | 96,0 | 91,5 | 88,5 | 85,2 | 79,8 | 73,7 | 69,1 | 64,0 | 58,9 | 54,1 |
| RR535E | SEL | D | 10 000,0 | 93,9 | 89,5 | 86,4 | 83,5 | 78,3 | 72,4 | 68,0 | 63,0 | 57,9 | 53,2 |
| RR535E | SEL | D | 15 000,0 | 98,4 | 93,9 | 90,7 | 87,5 | 82,1 | 76,1 | 71,8 | 67,0 | 62,1 | 57,6 |
| RR535E | SEL | D | 20 000,0 | 101,6 | 97,1 | 94,0 | 90,8 | 85,4 | 79,4 | 75,1 | 70,4 | 65,7 | 61,2 |
| RR535E | SEL | D | 25 000,0 | 104,0 | 99,7 | 96,6 | 93,5 | 88,2 | 82,3 | 78,1 | 73,5 | 68,8 | 64,4 |
| RR535E | SEL | D | 30 000,0 | 106,0 | 101,8 | 98,8 | 95,9 | 90,8 | 85,1 | 81,0 | 76,5 | 71,8 | 67,5 |
| RR535E | SEL | D | 35 000,0 | 108,3 | 104,5 | 101,8 | 99,4 | 94,6 | 89,4 | 85,4 | 80,9 | 76,2 | 71,9 |
| SPEYHK | LAmax | A | 1 000,0 | 86,5 | 80,4 | 76,1 | 71,5 | 64,1 | 56,3 | 50,8 | 45,0 | 38,9 | 32,8 |
| SPEYHK | LAmax | A | 2 000,0 | 90,6 | 84,5 | 80,2 | 75,6 | 68,2 | 60,4 | 54,9 | 49,1 | 43,0 | 36,9 |
| SPEYHK | LAmax | A | 4 000,0 | 98,8 | 92,7 | 88,4 | 83,8 | 76,4 | 68,6 | 63,1 | 57,3 | 51,2 | 45,1 |
| SPEYHK | LAmax | A | 6 000,0 | 108,7 | 102,6 | 98,3 | 93,7 | 86,3 | 78,5 | 73,0 | 67,2 | 61,1 | 55,0 |
| SPEYHK | LAmax | A | 8 000,0 | 113,5 | 107,4 | 103,1 | 98,5 | 91,1 | 83,3 | 77,8 | 72,0 | 65,9 | 59,8 |
| SPEYHK | LAmax | A | 10 000,0 | 119,4 | 113,3 | 109,0 | 104,4 | 97,0 | 89,2 | 83,7 | 77,9 | 71,8 | 65,7 |
| SPEYHK | LAmax | D | 1 000,0 | 86,5 | 80,4 | 76,1 | 71,5 | 64,1 | 56,3 | 50,8 | 45,0 | 38,9 | 32,8 |

▼M2

| NPD_ID | Mjera buke | Tip operacije (Op type) | Režim rada motora (polje „Parametar snage ” u tablici „Zrakoplov” navodi vrstu režima rada i jedinicu) | L_200ft | L_400ft | L_630ft | L_1000ft | L_2000ft | L_4000ft | L_6300ft | L_10000ft | L_16000ft | L_25000ft |
|---|---|---|---|---|---|---|---|---|---|---|---|---|---|
| SPEYHK | LAmax | D | 2 000,0 | 90,6 | 84,5 | 80,2 | 75,6 | 68,2 | 60,4 | 54,9 | 49,1 | 43,0 | 36,9 |
| SPEYHK | LAmax | D | 4 000,0 | 98,8 | 92,7 | 88,4 | 83,8 | 76,4 | 68,6 | 63,1 | 57,3 | 51,2 | 45,1 |
| SPEYHK | LAmax | D | 6 000,0 | 108,7 | 102,6 | 98,3 | 93,7 | 86,3 | 78,5 | 73,0 | 67,2 | 61,1 | 55,0 |
| SPEYHK | LAmax | D | 8 000,0 | 113,5 | 107,4 | 103,1 | 98,5 | 91,1 | 83,3 | 77,8 | 72,0 | 65,9 | 59,8 |
| SPEYHK | LAmax | D | 10 000,0 | 119,4 | 113,3 | 109,0 | 104,4 | 97,0 | 89,2 | 83,7 | 77,9 | 71,8 | 65,7 |
| SPEYHK | SEL | A | 1 000,0 | 89,4 | 85,5 | 82,5 | 79,1 | 73,3 | 66,8 | 62,1 | 56,9 | 51,3 | 45,6 |
| SPEYHK | SEL | A | 2 000,0 | 93,5 | 89,6 | 86,6 | 83,2 | 77,4 | 70,9 | 66,2 | 61,0 | 55,4 | 49,7 |
| SPEYHK | SEL | A | 4 000,0 | 101,7 | 97,8 | 94,8 | 91,4 | 85,6 | 79,1 | 74,4 | 69,2 | 63,6 | 57,9 |
| SPEYHK | SEL | A | 6 000,0 | 111,8 | 107,9 | 104,9 | 101,5 | 95,7 | 89,2 | 84,5 | 79,3 | 73,7 | 68,0 |
| SPEYHK | SEL | A | 8 000,0 | 117,3 | 113,4 | 110,4 | 107,0 | 101,2 | 94,7 | 90,0 | 84,8 | 79,2 | 73,5 |
| SPEYHK | SEL | A | 10 000,0 | 123,9 | 120,0 | 117,0 | 113,6 | 107,8 | 101,3 | 96,6 | 91,4 | 85,8 | 80,1 |
| SPEYHK | SEL | D | 1 000,0 | 89,4 | 85,5 | 82,5 | 79,1 | 73,3 | 66,8 | 62,1 | 56,9 | 51,3 | 45,6 |
| SPEYHK | SEL | D | 2 000,0 | 93,5 | 89,6 | 86,6 | 83,2 | 77,4 | 70,9 | 66,2 | 61,0 | 55,4 | 49,7 |
| SPEYHK | SEL | D | 4 000,0 | 101,7 | 97,8 | 94,8 | 91,4 | 85,6 | 79,1 | 74,4 | 69,2 | 63,6 | 57,9 |
| SPEYHK | SEL | D | 6 000,0 | 111,8 | 107,9 | 104,9 | 101,5 | 95,7 | 89,2 | 84,5 | 79,3 | 73,7 | 68,0 |
| SPEYHK | SEL | D | 8 000,0 | 117,3 | 113,4 | 110,4 | 107,0 | 101,2 | 94,7 | 90,0 | 84,8 | 79,2 | 73,5 |
| SPEYHK | SEL | D | 10 000,0 | 123,9 | 120,0 | 117,0 | 113,6 | 107,8 | 101,3 | 96,6 | 91,4 | 85,8 | 80,1 |
| T1KBFP | LAmax | A | 5 250,0 | 92,3 | 85,1 | 80,3 | 75,4 | 67,4 | 58,8 | 52,6 | 45,9 | 39,1 | 32,7 |

▼M2

| NPD_ID | Mjera buke | Tip operacije (Op type) | Režim rada motora (polje „Parametar snage ” u tablici „Zrakoplov” navodi vrstu režima rada i jedinicu) | L_200ft | L_400ft | L_630ft | L_1000ft | L_2000ft | L_4000ft | L_6300ft | L_10000ft | L_16000ft | L_25000ft |
|---|---|---|---|---|---|---|---|---|---|---|---|---|---|
| T1KBFP | LAmax | A | 10 500,0 | 92,7 | 85,5 | 80,7 | 75,7 | 67,8 | 59,2 | 53,0 | 46,3 | 39,6 | 33,3 |
| T1KBFP | LAmax | A | 15 750,0 | 93,6 | 86,4 | 81,5 | 76,5 | 68,6 | 60,0 | 53,9 | 47,2 | 40,5 | 34,3 |
| T1KBFP | LAmax | A | 21 000,0 | 94,6 | 87,4 | 82,5 | 77,5 | 69,5 | 61,0 | 54,9 | 48,3 | 41,7 | 35,5 |
| T1KBFP | LAmax | D | 20 000,0 | 92,9 | 85,9 | 81,3 | 76,4 | 68,5 | 60,0 | 53,9 | 47,0 | 40,1 | 33,6 |
| T1KBFP | LAmax | D | 29 000,0 | 94,8 | 88,0 | 83,3 | 78,2 | 70,1 | 61,4 | 55,2 | 48,5 | 41,7 | 35,4 |
| T1KBFP | LAmax | D | 38 000,0 | 97,1 | 90,2 | 85,7 | 80,4 | 72,3 | 63,5 | 57,3 | 50,7 | 44,0 | 37,8 |
| T1KBFP | LAmax | D | 47 000,0 | 99,5 | 92,5 | 88,2 | 82,8 | 74,6 | 65,9 | 59,8 | 53,2 | 46,6 | 40,4 |
| T1KBFP | LAmax | D | 56 000,0 | 101,9 | 94,8 | 90,8 | 85,1 | 77,0 | 68,4 | 62,4 | 55,9 | 49,3 | 43,2 |
| T1KBFP | LAmax | D | 65 000,0 | 105,2 | 97,8 | 94,2 | 88,3 | 80,3 | 71,9 | 66,0 | 59,6 | 53,2 | 47,2 |
| T1KBFP | SEL | A | 5 250,0 | 94,9 | 90,5 | 87,4 | 84,3 | 79,1 | 73,1 | 68,5 | 63,4 | 58,3 | 53,5 |
| T1KBFP | SEL | A | 10 500,0 | 95,9 | 91,3 | 88,2 | 84,9 | 79,4 | 73,3 | 68,7 | 63,7 | 58,6 | 53,9 |
| T1KBFP | SEL | A | 15 750,0 | 97,1 | 92,5 | 89,2 | 85,8 | 80,2 | 74,1 | 69,6 | 64,7 | 59,6 | 55,0 |
| T1KBFP | SEL | A | 21 000,0 | 98,4 | 93,7 | 90,2 | 86,8 | 81,2 | 75,2 | 70,8 | 65,9 | 61,0 | 56,4 |
| T1KBFP | SEL | D | 20 000,0 | 96,4 | 91,8 | 88,6 | 84,8 | 79,1 | 73,0 | 68,5 | 63,5 | 58,4 | 53,6 |
| T1KBFP | SEL | D | 29 000,0 | 97,1 | 92,7 | 90,0 | 86,1 | 80,5 | 74,5 | 70,1 | 65,2 | 60,3 | 55,8 |
| T1KBFP | SEL | D | 38 000,0 | 98,6 | 94,3 | 91,8 | 87,9 | 82,4 | 76,6 | 72,3 | 67,5 | 62,8 | 58,4 |
| T1KBFP | SEL | D | 47 000,0 | 100,5 | 96,2 | 94,0 | 89,9 | 84,7 | 78,9 | 74,8 | 70,1 | 65,5 | 61,2 |
| T1KBFP | SEL | D | 56 000,0 | 102,5 | 98,3 | 96,2 | 92,1 | 87,0 | 81,5 | 77,4 | 72,9 | 68,3 | 64,1 |

▼M2

| NPD_ID | Mjera buke | Tip operacije (Op type) | Režim rada motora (polje „Parametar snage ” u tablici „Zrakoplov” navodi vrstu režima rada i jedinicu) | L_200ft | L_400ft | L_630ft | L_1000ft | L_2000ft | L_4000ft | L_6300ft | L_10000ft | L_16000ft | L_25000ft |
|---|---|---|---|---|---|---|---|---|---|---|---|---|---|
| T1KBFP | SEL | D | 65 000,0 | 105,4 | 101,2 | 99,3 | 95,1 | 90,2 | 84,9 | 81,0 | 76,6 | 72,2 | 68,2 |
| T56A7 | LAmax | A | 30,0 | 96,0 | 89,4 | 84,8 | 79,9 | 71,9 | 62,4 | 55,0 | 47,0 | 39,2 | 31,6 |
| T56A7 | LAmax | A | 100,0 | 99,8 | 93,3 | 88,9 | 84,3 | 77,3 | 70,0 | 65,1 | 60,0 | 54,5 | 48,4 |
| T56A7 | LAmax | D | 30,0 | 96,0 | 89,4 | 84,8 | 79,9 | 71,9 | 62,4 | 55,0 | 47,0 | 39,2 | 31,6 |
| T56A7 | LAmax | D | 100,0 | 99,8 | 93,3 | 88,9 | 84,3 | 77,3 | 70,0 | 65,1 | 60,0 | 54,5 | 48,4 |
| T56A7 | SEL | A | 30,0 | 98,0 | 93,7 | 90,6 | 87,2 | 81,4 | 74,2 | 68,3 | 61,8 | 55,5 | 49,4 |
| T56A7 | SEL | A | 100,0 | 100,1 | 95,8 | 92,9 | 89,8 | 85,0 | 80,0 | 76,6 | 72,9 | 69,0 | 64,4 |
| T56A7 | SEL | D | 30,0 | 98,0 | 93,7 | 90,6 | 87,2 | 81,4 | 74,2 | 68,3 | 61,8 | 55,5 | 49,4 |
| T56A7 | SEL | D | 100,0 | 100,1 | 95,8 | 92,9 | 89,8 | 85,0 | 80,0 | 76,6 | 72,9 | 69,0 | 64,4 |
| TAY620 | LAmax | A | 3 372,0 | 89,1 | 82,7 | 78,4 | 73,9 | 66,8 | 58,9 | 53,1 | 46,9 | 40,4 | 34,3 |
| TAY620 | LAmax | A | 5 620,0 | 93,0 | 86,8 | 82,6 | 78,0 | 70,7 | 62,6 | 56,8 | 50,3 | 43,6 | 37,2 |
| TAY620 | LAmax | D | 4 496,0 | 91,5 | 85,3 | 81,0 | 76,1 | 68,7 | 60,2 | 54,3 | 48,0 | 41,4 | 35,7 |
| TAY620 | LAmax | D | 13 489,0 | 106,2 | 100,2 | 96,1 | 91,5 | 84,4 | 76,4 | 70,3 | 63,6 | 56,4 | 50,3 |
| TAY620 | SEL | A | 3 372,0 | 90,9 | 86,8 | 84,0 | 81,1 | 76,3 | 70,7 | 66,5 | 61,8 | 56,9 | 52,3 |
| TAY620 | SEL | A | 5 620,0 | 94,8 | 90,9 | 88,2 | 85,2 | 80,2 | 74,4 | 70,2 | 65,2 | 60,1 | 55,2 |
| TAY620 | SEL | D | 4 496,0 | 93,3 | 89,4 | 86,6 | 83,3 | 78,2 | 72,0 | 67,7 | 62,9 | 57,9 | 53,7 |
| TAY620 | SEL | D | 13 489,0 | 108,0 | 104,3 | 101,7 | 98,7 | 93,9 | 88,2 | 83,7 | 78,5 | 72,9 | 68,3 |
| TAY650 | LAmax | A | 3 372,0 | 89,3 | 82,9 | 78,6 | 74,0 | 66,7 | 58,8 | 53,1 | 46,9 | 40,4 | 34,3 |

▼M2

| NPD_ID | Mjera buke | Tip operacije (Op type) | Režim rada motora (polje „Parametar snage ” u tablici „Zrakoplov” navodi vrstu režima rada i jedinicu) | L_200ft | L_400ft | L_630ft | L_1000ft | L_2000ft | L_4000ft | L_6300ft | L_10000ft | L_16000ft | L_25000ft |
|---|---|---|---|---|---|---|---|---|---|---|---|---|---|
| TAY650 | LAmax | A | 5 620,0 | 92,3 | 86,0 | 81,7 | 77,1 | 69,7 | 61,7 | 56,0 | 49,8 | 43,3 | 37,2 |
| TAY650 | LAmax | D | 4 496,0 | 91,3 | 84,8 | 80,2 | 75,0 | 67,3 | 58,6 | 53,0 | 47,2 | 41,1 | 35,8 |
| TAY650 | LAmax | D | 13 488,0 | 104,7 | 98,8 | 94,6 | 90,2 | 83,2 | 75,5 | 69,8 | 63,6 | 57,1 | 51,5 |
| TAY650 | SEL | A | 3 372,0 | 91,1 | 87,0 | 84,2 | 81,2 | 76,2 | 70,6 | 66,5 | 61,8 | 56,9 | 52,3 |
| TAY650 | SEL | A | 5 620,0 | 94,1 | 90,1 | 87,3 | 84,3 | 79,2 | 73,5 | 69,4 | 64,7 | 59,8 | 55,2 |
| TAY650 | SEL | D | 4 496,0 | 93,1 | 88,9 | 85,8 | 82,2 | 76,8 | 70,4 | 66,4 | 62,1 | 57,6 | 53,8 |
| TAY650 | SEL | D | 13 488,0 | 106,5 | 102,9 | 100,2 | 97,4 | 92,7 | 87,3 | 83,2 | 78,5 | 73,6 | 69,5 |
| TAY651 | LAmax | A | 5 000,0 | 91,4 | 84,7 | 80,1 | 75,3 | 67,7 | 59,5 | 53,7 | 47,3 | 40,8 | 34,6 |
| TAY651 | LAmax | A | 7 000,0 | 97,9 | 91,2 | 86,7 | 82,0 | 74,4 | 66,0 | 60,1 | 53,4 | 46,6 | 40,1 |
| TAY651 | LAmax | D | 9 000,0 | 101,2 | 94,6 | 90,1 | 85,4 | 77,8 | 69,4 | 63,3 | 56,6 | 49,8 | 43,3 |
| TAY651 | LAmax | D | 11 000,0 | 104,0 | 97,4 | 92,9 | 88,2 | 80,6 | 72,2 | 66,2 | 59,4 | 52,5 | 45,9 |
| TAY651 | LAmax | D | 13 000,0 | 108,4 | 101,8 | 97,4 | 92,7 | 85,1 | 76,8 | 70,8 | 64,4 | 57,9 | 51,7 |
| TAY651 | SEL | A | 5 000,0 | 95,7 | 91,1 | 87,8 | 84,4 | 79,0 | 73,0 | 68,7 | 63,7 | 58,6 | 53,8 |
| TAY651 | SEL | A | 7 000,0 | 100,5 | 96,1 | 93,1 | 89,8 | 84,5 | 78,4 | 73,9 | 68,7 | 63,4 | 58,4 |
| TAY651 | SEL | D | 9 000,0 | 103,5 | 99,1 | 96,2 | 92,9 | 87,6 | 81,5 | 76,9 | 71,7 | 66,4 | 61,3 |
| TAY651 | SEL | D | 11 000,0 | 106,3 | 101,9 | 98,9 | 95,7 | 90,4 | 84,3 | 79,7 | 74,3 | 68,8 | 63,6 |
| TAY651 | SEL | D | 13 000,0 | 110,2 | 105,9 | 102,9 | 99,7 | 94,4 | 88,3 | 83,8 | 78,7 | 73,5 | 68,6 |
| TAYGIV | LAmax | A | 2 000,0 | 86,0 | 79,9 | 75,6 | 71,0 | 63,7 | 55,8 | 50,3 | 44,5 | 38,4 | 32,4 |

▼M2

| NPD_ID | Mjera buke | Tip operacije (Op type) | Režim rada motora (polje „Parametar snage ” u tablici „Zrakoplov” navodi vrstu režima rada i jedinicu) | L_200ft | L_400ft | L_630ft | L_1000ft | L_2000ft | L_4000ft | L_6300ft | L_10000ft | L_16000ft | L_25000ft |
|---|---|---|---|---|---|---|---|---|---|---|---|---|---|
| TAYGIV | LAmax | A | 3 000,0 | 87,2 | 81,1 | 76,8 | 72,2 | 64,8 | 57,0 | 51,5 | 45,7 | 39,6 | 33,5 |
| TAYGIV | LAmax | A | 4 000,0 | 88,5 | 82,4 | 78,1 | 73,5 | 66,2 | 58,3 | 52,8 | 47,0 | 40,9 | 34,9 |
| TAYGIV | LAmax | A | 6 000,0 | 91,5 | 85,4 | 81,1 | 76,5 | 69,2 | 61,3 | 55,8 | 50,0 | 43,9 | 37,9 |
| TAYGIV | LAmax | A | 8 000,0 | 95,1 | 88,9 | 84,7 | 80,0 | 72,7 | 64,8 | 59,4 | 53,6 | 47,4 | 41,4 |
| TAYGIV | LAmax | A | 10 000,0 | 99,1 | 93,0 | 88,7 | 84,1 | 76,7 | 68,9 | 63,4 | 57,6 | 51,5 | 45,4 |
| TAYGIV | LAmax | D | 2 000,0 | 86,0 | 79,9 | 75,6 | 71,0 | 63,7 | 55,8 | 50,3 | 44,5 | 38,4 | 32,4 |
| TAYGIV | LAmax | D | 3 000,0 | 87,2 | 81,1 | 76,8 | 72,2 | 64,8 | 57,0 | 51,5 | 45,7 | 39,6 | 33,5 |
| TAYGIV | LAmax | D | 4 000,0 | 88,5 | 82,4 | 78,1 | 73,5 | 66,2 | 58,3 | 52,8 | 47,0 | 40,9 | 34,9 |
| TAYGIV | LAmax | D | 6 000,0 | 91,5 | 85,4 | 81,1 | 76,5 | 69,2 | 61,3 | 55,8 | 50,0 | 43,9 | 37,9 |
| TAYGIV | LAmax | D | 8 000,0 | 95,1 | 88,9 | 84,7 | 80,0 | 72,7 | 64,8 | 59,4 | 53,6 | 47,4 | 41,4 |
| TAYGIV | LAmax | D | 10 000,0 | 99,1 | 93,0 | 88,7 | 84,1 | 76,7 | 68,9 | 63,4 | 57,6 | 51,5 | 45,4 |
| TAYGIV | LAmax | D | 11 000,0 | 101,0 | 95,0 | 91,0 | 86,0 | 79,0 | 71,0 | 65,5 | 60,0 | 54,0 | 47,5 |
| TAYGIV | LAmax | D | 11 200,0 | 101,5 | 95,5 | 91,5 | 86,5 | 79,5 | 71,5 | 66,0 | 60,5 | 54,5 | 48,0 |
| TAYGIV | SEL | A | 2 000,0 | 89,9 | 86,0 | 83,0 | 79,6 | 73,9 | 67,3 | 62,6 | 57,4 | 51,8 | 46,2 |
| TAYGIV | SEL | A | 3 000,0 | 90,7 | 86,8 | 83,8 | 80,4 | 74,6 | 68,0 | 63,3 | 58,2 | 52,6 | 46,9 |
| TAYGIV | SEL | A | 4 000,0 | 91,6 | 87,7 | 84,7 | 81,3 | 75,5 | 69,0 | 64,2 | 59,1 | 53,5 | 47,8 |
| TAYGIV | SEL | A | 6 000,0 | 93,9 | 90,0 | 87,0 | 83,6 | 77,8 | 71,3 | 66,5 | 61,4 | 55,8 | 50,1 |
| TAYGIV | SEL | A | 8 000,0 | 96,8 | 92,9 | 89,9 | 86,5 | 80,8 | 74,2 | 69,5 | 64,3 | 58,7 | 53,1 |

▼M2

| NPD_ID | Mjera buke | Tip operacije (Op type) | Režim rada motora (polje „Parametar snage ” u tablici „Zrakoplov” navodi vrstu režima rada i jedinicu) | L_200ft | L_400ft | L_630ft | L_1000ft | L_2000ft | L_4000ft | L_6300ft | L_10000ft | L_16000ft | L_25000ft |
|---|---|---|---|---|---|---|---|---|---|---|---|---|---|
| TAYGIV | SEL | A | 10 000,0 | 100,4 | 96,5 | 93,5 | 90,1 | 84,4 | 77,8 | 73,1 | 67,9 | 62,3 | 56,6 |
| TAYGIV | SEL | D | 2 000,0 | 89,9 | 86,0 | 83,0 | 79,6 | 73,9 | 67,3 | 62,6 | 57,4 | 51,8 | 46,2 |
| TAYGIV | SEL | D | 3 000,0 | 90,7 | 86,8 | 83,8 | 80,4 | 74,6 | 68,0 | 63,3 | 58,2 | 52,6 | 46,9 |
| TAYGIV | SEL | D | 4 000,0 | 91,6 | 87,7 | 84,7 | 81,3 | 75,5 | 69,0 | 64,2 | 59,1 | 53,5 | 47,8 |
| TAYGIV | SEL | D | 6 000,0 | 93,9 | 90,0 | 87,0 | 83,6 | 77,8 | 71,3 | 66,5 | 61,4 | 55,8 | 50,1 |
| TAYGIV | SEL | D | 8 000,0 | 96,8 | 92,9 | 89,9 | 86,5 | 80,8 | 74,2 | 69,5 | 64,3 | 58,7 | 53,1 |
| TAYGIV | SEL | D | 10 000,0 | 100,4 | 96,5 | 93,5 | 90,1 | 84,4 | 77,8 | 73,1 | 67,9 | 62,3 | 56,6 |
| TAYGIV | SEL | D | 11 000,0 | 102,0 | 98,0 | 95,5 | 92,0 | 86,0 | 79,5 | 74,5 | 70,0 | 64,0 | 58,5 |
| TAYGIV | SEL | D | 11 200,0 | 102,5 | 98,5 | 96,0 | 92,5 | 86,5 | 80,0 | 75,0 | 70,5 | 64,5 | 59,0 |
| TF7312 | LAmax | A | 1 000,0 | 91,1 | 84,2 | 79,2 | 73,9 | 65,5 | 56,6 | 50,2 | 43,5 | 36,3 | 28,6 |
| TF7312 | LAmax | A | 1 500,0 | 96,1 | 89,3 | 84,4 | 79,3 | 71,0 | 61,9 | 55,2 | 48,0 | 40,1 | 31,6 |
| TF7312 | LAmax | D | 1 500,0 | 96,1 | 89,3 | 84,4 | 79,3 | 71,0 | 61,9 | 55,2 | 48,0 | 40,1 | 31,6 |
| TF7312 | LAmax | D | 2 650,0 | 107,5 | 99,8 | 94,4 | 88,9 | 80,1 | 70,3 | 62,9 | 54,6 | 45,3 | 35,0 |
| TF7312 | SEL | A | 1 000,0 | 93,7 | 89,0 | 85,6 | 81,8 | 75,6 | 68,9 | 64,1 | 58,8 | 53,1 | 46,9 |
| TF7312 | SEL | A | 1 500,0 | 99,3 | 94,8 | 91,4 | 87,8 | 81,8 | 74,9 | 69,7 | 64,0 | 57,6 | 50,6 |
| TF7312 | SEL | D | 1 500,0 | 99,3 | 94,8 | 91,4 | 87,8 | 81,8 | 74,9 | 69,7 | 64,0 | 57,6 | 50,6 |
| TF7312 | SEL | D | 2 650,0 | 110,5 | 105,0 | 101,1 | 97,1 | 90,6 | 83,0 | 77,1 | 70,3 | 62,5 | 53,8 |
| TF7313 | LAmax | A | 880,0 | 85,8 | 78,6 | 73,4 | 67,9 | 59,1 | 50,0 | 43,6 | 36,6 | 28,8 | 20,7 |

▼M2

| NPD_ID | Mjera buke | Tip operacije (Op type) | Režim rada motora (polje „Parametar snage ” u tablici „Zrakoplov” navodi vrstu režima rada i jedinicu) | L_200ft | L_400ft | L_630ft | L_1000ft | L_2000ft | L_4000ft | L_6300ft | L_10000ft | L_16000ft | L_25000ft |
|---|---|---|---|---|---|---|---|---|---|---|---|---|---|
| TF7313 | LAmax | A | 2 300,0 | 95,2 | 88,6 | 84,1 | 79,3 | 71,7 | 63,4 | 57,3 | 50,1 | 41,6 | 32,2 |
| TF7313 | LAmax | D | 2 300,0 | 95,2 | 88,6 | 84,1 | 79,3 | 71,7 | 63,4 | 57,3 | 50,1 | 41,6 | 32,2 |
| TF7313 | LAmax | D | 3 000,0 | 101,0 | 94,4 | 89,8 | 85,0 | 77,4 | 69,1 | 63,0 | 55,9 | 47,6 | 38,6 |
| TF7313 | SEL | A | 880,0 | 87,1 | 82,9 | 79,8 | 76,4 | 70,8 | 64,3 | 59,3 | 53,8 | 47,6 | 41,0 |
| TF7313 | SEL | A | 2 300,0 | 95,9 | 92,0 | 89,3 | 86,3 | 81,3 | 75,4 | 70,8 | 65,1 | 58,1 | 50,2 |
| TF7313 | SEL | D | 2 300,0 | 95,9 | 92,0 | 89,3 | 86,3 | 81,3 | 75,4 | 70,8 | 65,1 | 58,1 | 50,2 |
| TF7313 | SEL | D | 3 000,0 | 103,4 | 99,4 | 96,4 | 93,8 | 88,8 | 82,9 | 78,3 | 72,7 | 65,9 | 58,3 |
| TIO540 | LAmax | A | 1 900,0 | 77,7 | 70,8 | 65,6 | 61,2 | 54,5 | 47,5 | 42,6 | 37,3 | 31,4 | 25,3 |
| TIO540 | LAmax | A | 2 300,0 | 83,6 | 77,1 | 72,7 | 68,1 | 60,9 | 53,4 | 48,1 | 42,5 | 36,3 | 29,8 |
| TIO540 | LAmax | D | 2 400,0 | 85,2 | 78,7 | 74,4 | 69,9 | 62,8 | 55,5 | 50,4 | 45,0 | 39,0 | 32,7 |
| TIO540 | LAmax | D | 2 500,0 | 89,5 | 83,1 | 78,8 | 74,3 | 67,3 | 60,1 | 55,1 | 49,7 | 43,7 | 37,4 |
| TIO540 | SEL | A | 1 900,0 | 78,6 | 74,8 | 72,3 | 69,7 | 65,9 | 61,7 | 58,6 | 55,1 | 50,9 | 46,4 |
| TIO540 | SEL | A | 2 300,0 | 84,3 | 80,8 | 78,4 | 75,9 | 71,8 | 67,3 | 64,0 | 60,3 | 55,7 | 50,6 |
| TIO540 | SEL | D | 2 400,0 | 86,0 | 82,5 | 80,1 | 77,5 | 73,5 | 69,0 | 65,7 | 62,1 | 57,7 | 52,9 |
| TIO540 | SEL | D | 2 500,0 | 88,9 | 85,4 | 82,9 | 80,4 | 76,4 | 72,0 | 68,8 | 65,2 | 61,0 | 56,2 |
| TIO542 | LAmax | A | 2 380,0 | 85,1 | 78,8 | 74,6 | 70,2 | 63,4 | 56,2 | 51,1 | 45,4 | 39,2 | 32,5 |
| TIO542 | LAmax | A | 2 400,0 | 86,8 | 80,5 | 76,3 | 71,9 | 65,0 | 57,6 | 52,3 | 46,5 | 40,1 | 33,4 |
| TIO542 | LAmax | D | 2 190,0 | 85,9 | 79,4 | 75,0 | 70,5 | 63,4 | 56,0 | 51,0 | 45,6 | 39,7 | 33,6 |

▼M2

| NPD_ID | Mjera buke | Tip operacije (Op type) | Režim rada motora (polje „Parametar snage ” u tablici „Zrakoplov” navodi vrstu režima rada i jedinicu) | L_200ft | L_400ft | L_630ft | L_1000ft | L_2000ft | L_4000ft | L_6300ft | L_10000ft | L_16000ft | L_25000ft |
|---|---|---|---|---|---|---|---|---|---|---|---|---|---|
| TIO542 | LAmax | D | 2 280,0 | 88,2 | 81,7 | 77,4 | 72,8 | 65,7 | 58,1 | 53,0 | 47,4 | 41,4 | 35,0 |
| TIO542 | LAmax | D | 2 500,0 | 92,1 | 85,7 | 81,3 | 76,7 | 69,4 | 61,7 | 56,2 | 50,3 | 43,8 | 37,0 |
| TIO542 | SEL | A | 2 380,0 | 85,2 | 81,6 | 79,3 | 76,8 | 72,9 | 68,4 | 65,2 | 61,5 | 57,1 | 52,4 |
| TIO542 | SEL | A | 2 400,0 | 86,8 | 83,2 | 80,9 | 78,4 | 74,3 | 69,8 | 66,4 | 62,5 | 58,0 | 53,2 |
| TIO542 | SEL | D | 2 190,0 | 87,8 | 84,1 | 81,6 | 78,8 | 74,4 | 69,5 | 66,0 | 62,1 | 57,9 | 53,3 |
| TIO542 | SEL | D | 2 280,0 | 89,5 | 85,6 | 82,9 | 80,2 | 75,7 | 70,9 | 67,4 | 63,5 | 59,1 | 54,3 |
| TIO542 | SEL | D | 2 500,0 | 93,1 | 89,4 | 87,0 | 84,3 | 80,0 | 75,0 | 71,4 | 67,3 | 62,4 | 57,2 |
| TPE331 | LAmax | A | 30,0 | 83,9 | 77,6 | 73,4 | 69,0 | 62,1 | 54,6 | 49,0 | 42,8 | 35,6 | 27,0 |
| TPE331 | LAmax | A | 100,0 | 88,4 | 82,3 | 78,2 | 74,0 | 67,5 | 60,5 | 55,4 | 49,8 | 43,5 | 36,4 |
| TPE331 | LAmax | D | 30,0 | 83,9 | 77,6 | 73,4 | 69,0 | 62,1 | 54,6 | 49,0 | 42,8 | 35,6 | 27,0 |
| TPE331 | LAmax | D | 100,0 | 88,4 | 82,3 | 78,2 | 74,0 | 67,5 | 60,5 | 55,4 | 49,8 | 43,5 | 36,4 |
| TPE331 | SEL | A | 30,0 | 84,3 | 80,2 | 77,4 | 74,6 | 69,9 | 64,7 | 60,6 | 55,9 | 50,2 | 43,7 |
| TPE331 | SEL | A | 100,0 | 88,5 | 84,6 | 82,0 | 79,3 | 75,0 | 70,3 | 66,7 | 62,7 | 57,9 | 52,2 |
| TPE331 | SEL | D | 30,0 | 84,3 | 80,2 | 77,4 | 74,6 | 69,9 | 64,7 | 60,6 | 55,9 | 50,2 | 43,7 |
| TPE331 | SEL | D | 100,0 | 88,5 | 84,6 | 82,0 | 79,3 | 75,0 | 70,3 | 66,7 | 62,7 | 57,9 | 52,2 |
| TPE331-5 | LAmax | A | 300,0 | 85,5 | 78,8 | 74,3 | 69,5 | 61,8 | 53,5 | 47,6 | 41,1 | 33,7 | 26,0 |
| TPE331-5 | LAmax | A | 306,0 | 85,5 | 78,8 | 74,3 | 69,5 | 61,8 | 53,5 | 47,6 | 41,1 | 33,7 | 26,0 |
| TPE331-5 | LAmax | A | 460,0 | 84,2 | 77,5 | 73,0 | 68,2 | 60,5 | 52,2 | 46,2 | 39,5 | 32,1 | 24,5 |

▼M2

| NPD_ID | Mjera buke | Tip operacije (Op type) | Režim rada motora (polje „Parametar snage ” u tablici „Zrakoplov” navodi vrstu režima rada i jedinicu) | L_200ft | L_400ft | L_630ft | L_1000ft | L_2000ft | L_4000ft | L_6300ft | L_10000ft | L_16000ft | L_25000ft |
|---|---|---|---|---|---|---|---|---|---|---|---|---|---|
| TPE331-5 | LAmax | D | 1 491,0 | 86,9 | 80,5 | 76,1 | 71,5 | 64,3 | 56,6 | 51,1 | 45,3 | 39,1 | 32,9 |
| TPE331-5 | LAmax | D | 1 791,0 | 88,1 | 81,6 | 77,2 | 72,6 | 65,3 | 57,3 | 51,5 | 45,2 | 38,4 | 31,5 |
| TPE331-5 | LAmax | D | 1 800,0 | 88,1 | 81,6 | 77,2 | 72,6 | 65,3 | 57,3 | 51,5 | 45,2 | 38,4 | 31,5 |
| TPE331-5 | SEL | A | 300,0 | 88,5 | 84,1 | 81,1 | 77,8 | 72,4 | 66,4 | 61,9 | 56,9 | 51,0 | 44,8 |
| TPE331-5 | SEL | A | 306,0 | 88,5 | 84,1 | 81,1 | 77,8 | 72,4 | 66,4 | 61,9 | 56,9 | 51,0 | 44,8 |
| TPE331-5 | SEL | A | 460,0 | 86,7 | 82,3 | 79,3 | 76,0 | 70,6 | 64,5 | 59,9 | 54,8 | 48,9 | 42,7 |
| TPE331-5 | SEL | D | 1 491,0 | 89,7 | 85,5 | 82,6 | 79,6 | 74,6 | 69,1 | 65,1 | 60,8 | 56,2 | 51,4 |
| TPE331-5 | SEL | D | 1 791,0 | 89,9 | 85,7 | 82,8 | 79,7 | 74,6 | 68,9 | 64,6 | 59,8 | 54,5 | 49,1 |
| TPE331-5 | SEL | D | 1 800,0 | 89,9 | 85,7 | 82,8 | 79,7 | 74,6 | 68,9 | 64,6 | 59,8 | 54,5 | 49,1 |
| TRENT5 | LAmax | A | 3 000,0 | 94,6 | 88,1 | 83,3 | 78,3 | 70,5 | 61,8 | 55,6 | 48,7 | 41,1 | 33,2 |
| TRENT5 | LAmax | A | 5 000,0 | 95,6 | 88,8 | 84,0 | 78,9 | 70,9 | 62,1 | 55,8 | 48,9 | 41,2 | 33,3 |
| TRENT5 | LAmax | A | 7 000,0 | 96,2 | 89,6 | 84,6 | 79,5 | 71,3 | 62,6 | 56,3 | 49,3 | 41,7 | 33,9 |
| TRENT5 | LAmax | A | 9 000,0 | 97,2 | 90,7 | 85,7 | 80,5 | 72,2 | 63,2 | 56,8 | 49,8 | 42,1 | 34,1 |
| TRENT5 | LAmax | D | 30 000,0 | 104,0 | 96,3 | 91,0 | 85,5 | 77,0 | 67,8 | 61,1 | 53,8 | 45,9 | 37,8 |
| TRENT5 | LAmax | D | 35 000,0 | 104,8 | 97,3 | 92,2 | 86,9 | 78,6 | 69,5 | 62,8 | 55,7 | 47,8 | 39,7 |
| TRENT5 | LAmax | D | 40 000,0 | 105,8 | 98,5 | 93,5 | 88,3 | 80,1 | 71,0 | 64,4 | 57,0 | 49,3 | 41,1 |
| TRENT5 | LAmax | D | 47 000,0 | 107,8 | 100,4 | 95,4 | 90,3 | 82,2 | 73,2 | 66,6 | 59,3 | 51,3 | 43,0 |
| TRENT5 | SEL | A | 3 000,0 | 99,0 | 94,3 | 91,0 | 87,7 | 82,3 | 76,1 | 71,5 | 66,3 | 60,4 | 53,9 |

▼M2

| NPD_ID | Mjera buke | Tip operacije (Op type) | Režim rada motora (polje „Parametar snage ” u tablici „Zrakoplov” navodi vrstu režima rada i jedinicu) | L_200ft | L_400ft | L_630ft | L_1000ft | L_2000ft | L_4000ft | L_6300ft | L_10000ft | L_16000ft | L_25000ft |
|---|---|---|---|---|---|---|---|---|---|---|---|---|---|
| TRENT5 | SEL | A | 5 000,0 | 99,6 | 94,8 | 91,6 | 88,2 | 82,7 | 76,4 | 71,8 | 66,5 | 60,5 | 54,1 |
| TRENT5 | SEL | A | 7 000,0 | 100,5 | 95,5 | 92,3 | 88,8 | 83,3 | 76,9 | 72,2 | 66,9 | 60,9 | 54,4 |
| TRENT5 | SEL | A | 9 000,0 | 101,5 | 96,4 | 93,1 | 89,5 | 83,9 | 77,5 | 72,8 | 67,5 | 61,4 | 54,9 |
| TRENT5 | SEL | D | 30 000,0 | 104,9 | 100,0 | 97,0 | 93,6 | 88,2 | 82,0 | 77,4 | 72,0 | 65,9 | 59,0 |
| TRENT5 | SEL | D | 35 000,0 | 106,0 | 101,4 | 98,4 | 95,1 | 89,8 | 83,7 | 79,2 | 73,8 | 67,6 | 60,9 |
| TRENT5 | SEL | D | 40 000,0 | 107,1 | 102,7 | 99,7 | 96,5 | 91,4 | 85,4 | 80,9 | 75,6 | 69,4 | 62,7 |
| TRENT5 | SEL | D | 47 000,0 | 108,6 | 104,4 | 101,5 | 98,4 | 93,3 | 87,3 | 82,8 | 77,6 | 71,6 | 65,1 |
| TRENT7 | LAmax | A | 4 000,0 | 93,6 | 86,6 | 81,9 | 77,1 | 69,4 | 61,2 | 55,3 | 48,7 | 41,2 | 33,4 |
| TRENT7 | LAmax | A | 12 000,0 | 95,1 | 88,1 | 83,3 | 78,4 | 70,7 | 62,3 | 56,2 | 49,4 | 41,8 | 33,8 |
| TRENT7 | LAmax | D | 31 000,0 | 102,6 | 95,4 | 90,6 | 85,5 | 77,3 | 68,0 | 61,1 | 53,3 | 45,0 | 36,6 |
| TRENT7 | LAmax | D | 41 000,0 | 102,6 | 95,3 | 90,5 | 85,4 | 77,4 | 68,5 | 62,0 | 54,7 | 46,6 | 38,1 |
| TRENT7 | LAmax | D | 52 000,0 | 105,6 | 98,5 | 93,8 | 88,8 | 80,8 | 72,0 | 65,5 | 58,3 | 50,2 | 41,8 |
| TRENT7 | LAmax | D | 62 000,0 | 108,7 | 101,6 | 96,9 | 91,9 | 83,9 | 75,1 | 68,9 | 62,0 | 54,1 | 45,5 |
| TRENT7 | SEL | A | 4 000,0 | 97,4 | 93,0 | 89,8 | 86,6 | 81,5 | 75,7 | 71,4 | 66,3 | 60,5 | 54,1 |
| TRENT7 | SEL | A | 12 000,0 | 98,4 | 94,0 | 90,8 | 87,6 | 82,4 | 76,5 | 72,1 | 67,0 | 61,1 | 54,6 |
| TRENT7 | SEL | D | 31 000,0 | 104,2 | 99,6 | 96,5 | 93,1 | 87,7 | 81,2 | 76,2 | 70,6 | 64,3 | 57,6 |
| TRENT7 | SEL | D | 41 000,0 | 104,0 | 99,8 | 96,9 | 93,7 | 88,3 | 82,2 | 77,7 | 72,3 | 66,2 | 59,7 |
| TRENT7 | SEL | D | 52 000,0 | 106,4 | 102,4 | 99,6 | 96,6 | 91,5 | 85,5 | 81,1 | 75,9 | 69,9 | 63,4 |

▼M2

| NPD_ID | Mjera buke | Tip operacije (Op type) | Režim rada motora (polje „Parametar snage ” u tablici „Zrakoplov” navodi vrstu režima rada i jedinicu) | L_200ft | L_400ft | L_630ft | L_1000ft | L_2000ft | L_4000ft | L_6300ft | L_10000ft | L_16000ft | L_25000ft |
|---|---|---|---|---|---|---|---|---|---|---|---|---|---|
| TRENT7 | SEL | D | 62 000,0 | 109,1 | 105,1 | 102,4 | 99,5 | 94,6 | 88,9 | 84,5 | 79,4 | 73,4 | 67,3 |
| TRENT8 | LAmax | A | 7 000,0 | 93,6 | 85,9 | 80,9 | 75,9 | 68,1 | 59,5 | 53,3 | 46,7 | 39,2 | 30,3 |
| TRENT8 | LAmax | A | 14 000,0 | 96,4 | 88,7 | 83,6 | 78,3 | 70,1 | 61,2 | 54,9 | 48,2 | 40,6 | 31,8 |
| TRENT8 | LAmax | A | 22 000,0 | 98,7 | 90,8 | 85,6 | 80,2 | 71,8 | 62,8 | 56,5 | 49,7 | 42,0 | 33,1 |
| TRENT8 | LAmax | A | 28 000,0 | 100,2 | 91,9 | 86,7 | 81,3 | 72,9 | 63,8 | 57,5 | 50,8 | 43,2 | 34,4 |
| TRENT8 | LAmax | D | 32 000,0 | 100,4 | 93,4 | 88,5 | 83,3 | 74,9 | 65,7 | 59,4 | 52,6 | 44,8 | 35,6 |
| TRENT8 | LAmax | D | 42 000,0 | 102,1 | 95,3 | 90,6 | 85,5 | 77,2 | 68,1 | 61,9 | 55,3 | 47,7 | 38,6 |
| TRENT8 | LAmax | D | 52 000,0 | 103,8 | 97,1 | 92,5 | 87,5 | 79,3 | 70,4 | 64,3 | 57,8 | 50,3 | 41,3 |
| TRENT8 | LAmax | D | 62 000,0 | 105,7 | 99,0 | 94,4 | 89,6 | 81,6 | 72,9 | 66,9 | 60,4 | 52,8 | 43,8 |
| TRENT8 | LAmax | D | 72 000,0 | 107,9 | 101,3 | 96,9 | 92,1 | 84,6 | 76,2 | 70,3 | 63,8 | 56,3 | 47,4 |
| TRENT8 | LAmax | D | 80 000,0 | 110,5 | 104,0 | 99,6 | 95,1 | 88,0 | 80,3 | 74,4 | 67,9 | 60,5 | 52,0 |
| TRENT8 | SEL | A | 7 000,0 | 97,4 | 92,1 | 88,8 | 85,3 | 80,0 | 74,0 | 69,6 | 64,8 | 59,3 | 52,8 |
| TRENT8 | SEL | A | 14 000,0 | 99,6 | 94,6 | 91,3 | 87,8 | 82,2 | 75,9 | 71,2 | 66,2 | 60,4 | 53,7 |
| TRENT8 | SEL | A | 22 000,0 | 101,6 | 96,7 | 93,3 | 89,7 | 83,9 | 77,4 | 72,7 | 67,6 | 61,8 | 55,2 |
| TRENT8 | SEL | A | 28 000,0 | 103,1 | 97,9 | 94,5 | 90,8 | 84,9 | 78,3 | 73,6 | 68,6 | 63,0 | 56,6 |
| TRENT8 | SEL | D | 32 000,0 | 102,6 | 98,4 | 95,3 | 91,8 | 85,9 | 79,1 | 74,2 | 69,1 | 63,5 | 57,2 |
| TRENT8 | SEL | D | 42 000,0 | 104,5 | 100,4 | 97,4 | 94,0 | 88,2 | 81,5 | 76,8 | 71,9 | 66,5 | 60,4 |
| TRENT8 | SEL | D | 52 000,0 | 106,1 | 102,1 | 99,2 | 95,9 | 90,3 | 83,9 | 79,3 | 74,4 | 69,1 | 63,1 |

▼M2

| NPD_ID | Mjera buke | Tip operacije (Op type) | Režim rada motora (polje „Parametar snage ” u tablici „Zrakoplov” navodi vrstu režima rada i jedinicu) | L_200ft | L_400ft | L_630ft | L_1000ft | L_2000ft | L_4000ft | L_6300ft | L_10000ft | L_16000ft | L_25000ft |
|---|---|---|---|---|---|---|---|---|---|---|---|---|---|
| TRENT8 | SEL | D | 62 000,0 | 107,6 | 103,8 | 101,0 | 97,8 | 92,4 | 86,2 | 81,7 | 77,0 | 71,6 | 65,3 |
| TRENT8 | SEL | D | 72 000,0 | 109,5 | 105,8 | 103,1 | 100,1 | 95,0 | 89,2 | 84,9 | 80,2 | 74,8 | 68,3 |
| TRENT8 | SEL | D | 80 000,0 | 111,6 | 108,0 | 105,4 | 102,7 | 98,0 | 92,7 | 88,7 | 84,2 | 78,7 | 72,0 |
| TRENT9 | LAmax | A | 4 000,0 | 93,1 | 86,6 | 82,2 | 77,5 | 69,9 | 61,4 | 55,3 | 48,6 | 41,2 | 33,5 |
| TRENT9 | LAmax | A | 6 000,0 | 93,4 | 86,8 | 82,3 | 77,6 | 70,0 | 61,5 | 55,5 | 48,8 | 41,4 | 33,6 |
| TRENT9 | LAmax | A | 9 000,0 | 93,9 | 87,2 | 82,6 | 77,9 | 70,3 | 61,8 | 55,7 | 49,1 | 41,6 | 33,9 |
| TRENT9 | LAmax | A | 13 000,0 | 94,2 | 87,7 | 83,2 | 78,5 | 71,0 | 62,5 | 56,4 | 49,7 | 42,1 | 34,3 |
| TRENT9 | LAmax | D | 40 000,0 | 98,9 | 92,4 | 87,8 | 83,0 | 75,1 | 66,4 | 60,2 | 53,3 | 45,6 | 37,4 |
| TRENT9 | LAmax | D | 50 000,0 | 101,1 | 94,9 | 90,3 | 85,5 | 77,6 | 68,9 | 62,7 | 55,8 | 48,2 | 40,1 |
| TRENT9 | LAmax | D | 60 000,0 | 104,1 | 98,0 | 93,5 | 88,6 | 80,8 | 72,0 | 65,7 | 58,7 | 50,9 | 42,7 |
| TRENT9 | LAmax | D | 80 000,0 | 107,0 | 101,2 | 97,0 | 92,3 | 84,6 | 76,0 | 69,8 | 62,8 | 55,0 | 46,8 |
| TRENT9 | SEL | A | 4 000,0 | 98,5 | 93,7 | 90,5 | 87,2 | 82,0 | 76,0 | 71,5 | 66,4 | 60,6 | 54,3 |
| TRENT9 | SEL | A | 6 000,0 | 98,7 | 93,8 | 90,6 | 87,3 | 82,1 | 76,1 | 71,6 | 66,6 | 60,8 | 54,5 |
| TRENT9 | SEL | A | 9 000,0 | 99,2 | 94,2 | 91,0 | 87,7 | 82,4 | 76,4 | 72,0 | 66,9 | 61,1 | 54,8 |
| TRENT9 | SEL | A | 13 000,0 | 99,8 | 95,0 | 91,8 | 88,5 | 83,2 | 77,3 | 72,8 | 67,7 | 61,7 | 55,2 |
| TRENT9 | SEL | D | 40 000,0 | 102,7 | 98,2 | 95,0 | 91,6 | 86,3 | 80,3 | 75,8 | 70,8 | 64,9 | 58,5 |
| TRENT9 | SEL | D | 50 000,0 | 104,7 | 100,4 | 97,4 | 94,1 | 88,9 | 83,0 | 79,0 | 73,6 | 67,8 | 61,4 |

▼M2

| NPD_ID | Mjera buke | Tip operacije (Op type) | Režim rada motora (polje „Parametar snage ” u tablici „Zrakoplov” navodi vrstu režima rada i jedinicu) | L_200ft | L_400ft | L_630ft | L_1000ft | L_2000ft | L_4000ft | L_6300ft | L_10000ft | L_16000ft | L_25000ft |
|---|---|---|---|---|---|---|---|---|---|---|---|---|---|
| TRENT9 | SEL | D | 60 000,0 | 107,5 | 103,5 | 100,6 | 97,4 | 92,2 | 86,2 | 81,8 | 76,7 | 70,8 | 64,4 |
| TRENT9 | SEL | D | 80 000,0 | 110,3 | 106,6 | 103,7 | 100,7 | 95,7 | 89,9 | 85,5 | 80,4 | 74,6 | 68,4 |
| TSIO52 | LAmax | A | 30,0 | 83,1 | 76,9 | 72,6 | 68,3 | 61,5 | 54,1 | 48,7 | 42,8 | 36,4 | 29,5 |
| TSIO52 | LAmax | A | 100,0 | 95,4 | 89,1 | 84,9 | 80,5 | 73,7 | 66,3 | 60,9 | 55,1 | 48,8 | 42,0 |
| TSIO52 | LAmax | D | 30,0 | 83,1 | 76,9 | 72,6 | 68,3 | 61,5 | 54,1 | 48,7 | 42,8 | 36,4 | 29,5 |
| TSIO52 | LAmax | D | 100,0 | 95,4 | 89,1 | 84,9 | 80,5 | 73,7 | 66,3 | 60,9 | 55,1 | 48,8 | 42,0 |
| TSIO52 | SEL | A | 30,0 | 84,6 | 80,6 | 77,9 | 75,1 | 70,5 | 65,3 | 61,4 | 57,1 | 52,2 | 46,8 |
| TSIO52 | SEL | A | 100,0 | 97,6 | 93,6 | 90,9 | 88,0 | 83,4 | 78,3 | 74,4 | 70,1 | 65,3 | 59,9 |
| TSIO52 | SEL | D | 30,0 | 84,6 | 80,6 | 77,9 | 75,1 | 70,5 | 65,3 | 61,4 | 57,1 | 52,2 | 46,8 |
| TSIO52 | SEL | D | 100,0 | 97,6 | 93,6 | 90,9 | 88,0 | 83,4 | 78,3 | 74,4 | 70,1 | 65,3 | 59,9 |
| V2522A | LAmax | A | 2 000,0 | 89,7 | 83,1 | 78,5 | 73,4 | 65,3 | 56,3 | 49,8 | 42,6 | 34,5 | 26,3 |
| V2522A | LAmax | A | 2 700,0 | 89,9 | 83,3 | 78,6 | 73,6 | 65,5 | 56,5 | 49,9 | 42,8 | 34,7 | 26,6 |
| V2522A | LAmax | A | 6 000,0 | 91,8 | 85,0 | 80,0 | 74,8 | 66,6 | 57,6 | 51,0 | 43,7 | 35,5 | 27,2 |
| V2522A | LAmax | D | 10 000,0 | 94,8 | 86,3 | 80,5 | 74,7 | 66,4 | 57,4 | 50,9 | 43,8 | 36,0 | 27,9 |
| V2522A | LAmax | D | 14 000,0 | 96,6 | 88,4 | 83,2 | 78,2 | 70,3 | 61,5 | 55,1 | 47,9 | 39,8 | 31,5 |
| V2522A | LAmax | D | 18 000,0 | 101,4 | 93,9 | 89,1 | 84,0 | 76,1 | 67,2 | 60,8 | 53,6 | 46,0 | 37,7 |
| V2522A | LAmax | D | 21 000,0 | 103,1 | 95,8 | 91,0 | 86,1 | 78,2 | 69,4 | 63,2 | 56,3 | 48,6 | 40,5 |
| V2522A | SEL | A | 2 000,0 | 93,7 | 89,5 | 86,3 | 82,8 | 77,0 | 70,6 | 65,6 | 60,2 | 53,9 | 47,2 |

▼M2

| NPD_ID | Mjera buke | Tip operacije (Op type) | Režim rada motora (polje „Parametar snage ” u tablici „Zrakoplov” navodi vrstu režima rada i jedinicu) | L_200ft | L_400ft | L_630ft | L_1000ft | L_2000ft | L_4000ft | L_6300ft | L_10000ft | L_16000ft | L_25000ft |
|---|---|---|---|---|---|---|---|---|---|---|---|---|---|
| V2522A | SEL | A | 2 700,0 | 93,9 | 89,7 | 86,4 | 82,9 | 77,1 | 70,7 | 65,8 | 60,4 | 54,0 | 47,4 |
| V2522A | SEL | A | 6 000,0 | 95,6 | 91,3 | 87,9 | 84,1 | 78,2 | 71,5 | 66,7 | 61,2 | 54,7 | 47,9 |
| V2522A | SEL | D | 10 000,0 | 94,9 | 90,1 | 86,7 | 83,3 | 77,9 | 71,7 | 67,0 | 61,7 | 55,7 | 49,1 |
| V2522A | SEL | D | 14 000,0 | 98,2 | 94,0 | 90,9 | 87,6 | 82,1 | 75,7 | 71,0 | 65,4 | 59,2 | 52,6 |
| V2522A | SEL | D | 18 000,0 | 102,6 | 98,6 | 95,6 | 92,5 | 87,2 | 81,1 | 76,6 | 71,3 | 65,3 | 58,9 |
| V2522A | SEL | D | 21 000,0 | 103,9 | 100,0 | 97,1 | 94,1 | 89,0 | 83,0 | 78,7 | 73,6 | 67,8 | 61,7 |
| V2525 | LAmax | A | 3 000,0 | 89,2 | 83,0 | 78,2 | 73,7 | 66,0 | 57,5 | 51,0 | 44,1 | 36,5 | 28,3 |
| V2525 | LAmax | A | 6 950,0 | 91,0 | 84,5 | 80,0 | 75,0 | 67,7 | 58,9 | 53,0 | 46,0 | 38,2 | 30,0 |
| V2525 | LAmax | D | 10 500,0 | 93,1 | 86,5 | 82,0 | 77,2 | 69,9 | 61,1 | 55,3 | 48,7 | 41,2 | 33,4 |
| V2525 | LAmax | D | 13 150,0 | 95,2 | 88,8 | 84,0 | 79,5 | 72,1 | 63,5 | 57,9 | 51,0 | 43,8 | 36,0 |
| V2525 | LAmax | D | 18 500,0 | 100,0 | 93,4 | 88,8 | 84,0 | 76,7 | 68,1 | 62,2 | 56,0 | 48,6 | 40,8 |
| V2525 | LAmax | D | 23 000,0 | 104,8 | 98,5 | 93,9 | 89,0 | 81,8 | 73,3 | 67,8 | 61,0 | 53,5 | 45,4 |
| V2525 | SEL | A | 3 000,0 | 91,9 | 88,5 | 85,4 | 81,9 | 76,7 | 71,2 | 66,9 | 61,7 | 55,7 | 49,1 |
| V2525 | SEL | A | 6 950,0 | 94,3 | 90,2 | 86,6 | 83,5 | 78,3 | 72,8 | 68,4 | 63,7 | 57,5 | 51,5 |
| V2525 | SEL | D | 10 500,0 | 95,8 | 91,6 | 88,5 | 85,3 | 80,2 | 74,7 | 70,2 | 65,7 | 59,5 | 54,1 |
| V2525 | SEL | D | 13 150,0 | 98,1 | 94,0 | 91,0 | 87,9 | 82,7 | 76,9 | 72,7 | 68,2 | 62,7 | 56,7 |
| V2525 | SEL | D | 18 500,0 | 102,4 | 98,5 | 95,7 | 92,7 | 87,7 | 82,2 | 78,2 | 73,2 | 67,8 | 61,7 |
| V2525 | SEL | D | 23 000,0 | 106,2 | 102,7 | 99,7 | 97,0 | 92,2 | 86,7 | 82,7 | 78,0 | 72,7 | 66,5 |

▼M2

| NPD_ID | Mjera buke | Tip operacije (Op type) | Režim rada motora (polje „Parametar snage ” u tablici „Zrakoplov” navodi vrstu režima rada i jedinicu) | L_200ft | L_400ft | L_630ft | L_1000ft | L_2000ft | L_4000ft | L_6300ft | L_10000ft | L_16000ft | L_25000ft |
|---|---|---|---|---|---|---|---|---|---|---|---|---|---|
| V2527A | LAmax | A | 2 000,0 | 89,3 | 82,8 | 78,2 | 73,4 | 65,8 | 57,4 | 51,2 | 44,4 | 36,7 | 28,6 |
| V2527A | LAmax | A | 2 700,0 | 89,5 | 83,0 | 78,3 | 73,5 | 65,8 | 57,4 | 51,3 | 44,4 | 36,7 | 28,6 |
| V2527A | LAmax | A | 6 000,0 | 91,6 | 84,7 | 79,5 | 74,2 | 66,5 | 58,0 | 51,9 | 45,0 | 37,2 | 29,1 |
| V2527A | LAmax | D | 10 000,0 | 94,8 | 86,3 | 80,5 | 74,8 | 66,5 | 57,6 | 51,1 | 44,0 | 36,2 | 28,2 |
| V2527A | LAmax | D | 14 000,0 | 96,7 | 88,6 | 83,5 | 78,4 | 70,5 | 61,7 | 55,3 | 48,1 | 40,1 | 31,8 |
| V2527A | LAmax | D | 19 000,0 | 101,2 | 93,9 | 89,0 | 84,0 | 76,1 | 67,3 | 61,1 | 54,1 | 46,3 | 38,2 |
| V2527A | LAmax | D | 23 000,0 | 104,0 | 96,9 | 92,2 | 87,3 | 79,4 | 70,8 | 64,7 | 57,9 | 50,3 | 42,0 |
| V2527A | SEL | A | 2 000,0 | 93,1 | 89,1 | 86,1 | 82,9 | 77,7 | 71,7 | 67,1 | 61,9 | 55,8 | 49,2 |
| V2527A | SEL | A | 2 700,0 | 93,3 | 89,2 | 86,2 | 83,0 | 77,7 | 71,8 | 67,2 | 62,0 | 55,8 | 49,3 |
| V2527A | SEL | A | 6 000,0 | 94,7 | 90,5 | 87,4 | 83,9 | 78,5 | 72,3 | 67,7 | 62,5 | 56,3 | 49,7 |
| V2527A | SEL | D | 10 000,0 | 95,0 | 90,2 | 86,8 | 83,5 | 78,1 | 71,8 | 67,2 | 61,9 | 55,9 | 49,4 |
| V2527A | SEL | D | 14 000,0 | 98,3 | 93,9 | 90,9 | 87,6 | 82,1 | 75,8 | 71,1 | 65,6 | 59,4 | 52,8 |
| V2527A | SEL | D | 19 000,0 | 102,5 | 98,4 | 95,5 | 92,3 | 87,2 | 81,1 | 76,7 | 71,5 | 65,7 | 59,4 |
| V2527A | SEL | D | 23 000,0 | 104,6 | 100,7 | 98,0 | 95,0 | 90,0 | 84,3 | 80,0 | 75,1 | 69,5 | 63,3 |
| V2530 | LAmax | A | 2 000,0 | 91,8 | 84,4 | 79,6 | 74,5 | 66,3 | 57,2 | 50,5 | 43,2 | 35,2 | 26,9 |
| V2530 | LAmax | A | 6 000,0 | 93,3 | 86,1 | 81,2 | 75,9 | 67,6 | 58,5 | 51,8 | 44,4 | 36,2 | 27,8 |
| V2530 | LAmax | D | 13 000,0 | 96,8 | 88,3 | 83,2 | 78,2 | 70,3 | 61,4 | 54,9 | 47,6 | 39,6 | 31,3 |
| V2530 | LAmax | D | 18 000,0 | 99,6 | 92,1 | 87,3 | 82,3 | 74,3 | 65,4 | 59,0 | 51,9 | 44,1 | 35,9 |

▼M2

| NPD_ID | Mjera buke | Tip operacije (Op type) | Režim rada motora (polje „Parametar snage ” u tablici „Zrakoplov” navodi vrstu režima rada i jedinicu) | L_200ft | L_400ft | L_630ft | L_1000ft | L_2000ft | L_4000ft | L_6300ft | L_10000ft | L_16000ft | L_25000ft |
|---|---|---|---|---|---|---|---|---|---|---|---|---|---|
| V2530 | LAmax | D | 22 000,0 | 103,3 | 96,1 | 91,4 | 86,4 | 78,5 | 69,8 | 63,6 | 56,9 | 49,2 | 41,1 |
| V2530 | LAmax | D | 27 000,0 | 107,0 | 100,0 | 95,3 | 90,4 | 82,6 | 74,2 | 68,1 | 61,5 | 54,0 | 45,8 |
| V2530 | SEL | A | 2 000,0 | 94,6 | 90,2 | 86,9 | 83,4 | 77,7 | 71,2 | 66,2 | 60,5 | 54,3 | 47,6 |
| V2530 | SEL | A | 6 000,0 | 96,0 | 91,4 | 88,1 | 84,6 | 78,8 | 72,3 | 67,4 | 61,7 | 55,4 | 48,6 |
| V2530 | SEL | D | 13 000,0 | 98,3 | 94,3 | 91,2 | 87,8 | 82,2 | 75,8 | 71,0 | 65,5 | 59,2 | 52,5 |
| V2530 | SEL | D | 18 000,0 | 100,8 | 96,8 | 93,8 | 90,7 | 85,4 | 79,4 | 74,8 | 69,5 | 63,6 | 57,1 |
| V2530 | SEL | D | 22 000,0 | 104,1 | 100,1 | 97,3 | 94,3 | 89,3 | 83,5 | 79,1 | 74,0 | 68,4 | 62,2 |
| V2530 | SEL | D | 27 000,0 | 107,5 | 103,5 | 100,9 | 98,0 | 93,2 | 87,6 | 83,4 | 78,6 | 73,0 | 67,1 |

▼M2

*Tablica I-10*

**Spektralne klase**

| Oznaka spektralne klase | Tip operacije (Op Type) | Opis | L_50Hz | L_63Hz | L_80Hz | L_100Hz | L_125Hz | L_160Hz | L_200Hz | L_250Hz | L_315Hz | L_400Hz | L_500Hz |
|---|---|---|---|---|---|---|---|---|---|---|---|---|---|
| 101 | Odlet | 2/3-motora, nizak omjer, turboventilatorski | 59,5 | 61,6 | 62,8 | 73,1 | 80,8 | 78,3 | 72,3 | 75,8 | 75,9 | 73,6 | 71,8 |
| 102 | Odlet | 2-motora, visok omjer, turboventilatorski | 59,7 | 60,0 | 68,5 | 73,0 | 73,8 | 70,4 | 67,6 | 71,4 | 68,7 | 72,8 | 73,2 |
| 103 | Odlet | 2-motora, visok omjer, turboventilatorski | 56,7 | 66,1 | 70,1 | 72,8 | 76,6 | 73,0 | 74,5 | 77,0 | 75,3 | 72,2 | 72,2 |
| 104 | Odlet | 2-motora, nizak/srednji omjer, turboventilatorski | 57,3 | 56,3 | 61,5 | 67,7 | 71,4 | 73,7 | 67,0 | 72,1 | 73,8 | 74,1 | 71,3 |
| 105 | Odlet | 2-motora, visok omjer, turboventilatorski | 66,5 | 60,4 | 67,1 | 75,0 | 78,2 | 79,3 | 71,5 | 76,7 | 74,4 | 74,6 | 72,3 |
| 106 | Odlet | 4-motora, turboventilatorski+nadzvučni | 62,5 | 57,4 | 66,9 | 73,7 | 75,5 | 74,0 | 71,4 | 73,4 | 73,4 | 75,7 | 75,8 |
| 107 | Odlet | 4-motora, turboventilatorski | 58,6 | 62,7 | 69,1 | 74,1 | 76,0 | 74,3 | 74,1 | 74,4 | 74,0 | 73,6 | 73,2 |
| 108 | Odlet | 4-motora, turboventilatorski | 66,2 | 66,2 | 66,2 | 72,2 | 80,8 | 67,9 | 67,6 | 72,0 | 70,0 | 70,7 | 71,1 |
| 109 | Odlet | 2-motora, turboelisni+1/2-motora, klipni | 64,7 | 67,1 | 73,1 | 89,4 | 84,5 | 76,3 | 89,3 | 80,7 | 79,3 | 79,3 | 81,6 |
| 110 | Odlet | 2-motora, turboelisni+4-motora, klipni | 71,4 | 69,9 | 79,9 | 87,4 | 76,5 | 80,9 | 86,2 | 86,0 | 85,6 | 81,2 | 76,8 |
| 111 | Odlet | 2-motora, turboelisni | 78,0 | 76,0 | 90,0 | 103,0 | 82,0 | 85,0 | 97,0 | 89,0 | 94,0 | 80,0 | 79,0 |
| 112 | Odlet | 2/4-motora, turboelisni | 74,0 | 95,0 | 92,0 | 75,0 | 96,0 | 90,0 | 74,9 | 78,0 | 75,0 | 75,0 | 74,1 |

▼M2

| Oznaka spektralne klase | Tip operacije (Op Type) | Opis | L_50Hz | L_63Hz | L_80Hz | L_100Hz | L_125Hz | L_160Hz | L_200Hz | L_250Hz | L_315Hz | L_400Hz | L_500Hz |
|---|---|---|---|---|---|---|---|---|---|---|---|---|---|
| 113 | Odlet | 2-motora, turbomlazni+turboventilatorski, poslovni | 58,5 | 57,9 | 60,7 | 67,0 | 71,2 | 72,6 | 70,3 | 72,7 | 72,9 | 73,5 | 72,8 |
| 136 | Odlet | 2-motora, turboventilatorski, poslovni | 59,7 | 60,0 | 68,5 | 73,0 | 73,8 | 70,4 | 67,6 | 71,4 | 68,7 | 72,8 | 73,2 |
| 137 | Odlet | 2-motora, turboventilatorski, poslovni | 58,6 | 62,7 | 69,1 | 74,1 | 76,0 | 74,3 | 74,1 | 74,4 | 74,0 | 73,6 | 73,2 |
| 138 | Odlet | 2-motora, turboventilatorski, poslovni | 66,2 | 66,2 | 66,2 | 72,2 | 80,8 | 67,9 | 67,6 | 72,0 | 70,0 | 70,7 | 71,1 |
| 201 | Prilaz | 2/3-motora, nizak omjer, turboventilatorski | 64,9 | 65,5 | 66,2 | 66,7 | 73,0 | 77,6 | 74,8 | 70,7 | 76,6 | 72,5 | 74,4 |
| 202 | Prilaz | 2-motora, nizak/visok omjer, turboventilatorski | 68,5 | 68,5 | 68,5 | 68,4 | 68,5 | 70,9 | 73,3 | 67,3 | 72,6 | 72,5 | 72,1 |
| 203 | Prilaz | 2-motora, visok omjer, turboventilatorski, poslovni | 67,3 | 68,9 | 69,6 | 70,0 | 70,2 | 74,0 | 74,7 | 73,1 | 71,3 | 74,1 | 72,9 |
| 204 | Prilaz | 2-motora, nizak/srednji omjer, turboventilatorski | 58,8 | 57,1 | 59,4 | 68,0 | 72,8 | 73,7 | 69,1 | 72,3 | 74,8 | 75,6 | 73,6 |
| 205 | Prilaz | 2-motora, visok omjer, turboventilatorski | 68,3 | 60,7 | 64,6 | 67,4 | 78,4 | 74,8 | 71,4 | 72,4 | 72,0 | 72,4 | 71,6 |
| 206 | Prilaz | 4-motora, turbomlazni+turboventilatorski | 63,3 | 65,4 | 64,1 | 63,2 | 66,0 | 66,6 | 69,6 | 70,1 | 71,5 | 67,1 | 71,0 |
| 207 | Prilaz | 4-motora, turboventilatorski | 67,0 | 61,1 | 62,7 | 64,1 | 70,4 | 74,4 | 71,8 | 68,4 | 76,3 | 72,3 | 73,5 |
| 208 | Prilaz | 4-motora, turbomlazni+turboventilatorski | 66,7 | 65,0 | 61,7 | 65,4 | 72,9 | 76,2 | 73,0 | 68,1 | 72,7 | 70,7 | 72,1 |
| 209 | Prilaz | 4-motora, turboventilatorski | 60,0 | 59,0 | 60,0 | 69,0 | 71,0 | 70,0 | 69,0 | 69,0 | 69,0 | 69,0 | 70,0 |
| 210 | Prilaz | 2-motora, turboelisni | 65,0 | 70,0 | 65,0 | 72,0 | 77,0 | 68,0 | 78,0 | 85,0 | 86,0 | 79,0 | 73,0 |

▼M2

| Oznaka spektralne klase | Tip operacije (Op Type) | Opis | L_50Hz | L_63Hz | L_80Hz | L_100Hz | L_125Hz | L_160Hz | L_200Hz | L_250Hz | L_315Hz | L_400Hz | L_500Hz |
|---|---|---|---|---|---|---|---|---|---|---|---|---|---|
| 211 | Prilaz | 2-motora, turboelisni | 71,3 | 65,4 | 74,7 | 88,1 | 77,1 | 80,3 | 86,9 | 80,0 | 86,8 | 78,2 | 75,5 |
| 212 | Prilaz | 2-motora, turboelisni | 72,0 | 68,0 | 79,0 | 71,0 | 73,0 | 84,0 | 74,0 | 75,0 | 73,0 | 72,0 | 71,0 |
| 213 | Prilaz | 4-motora, turboelisni+klipni | 64,0 | 73,0 | 76,0 | 71,0 | 82,0 | 83,0 | 67,0 | 71,0 | 70,0 | 69,0 | 69,0 |
| 214 | Prilaz | 2/4-motora, turboelisni | 61,8 | 69,8 | 61,8 | 58,8 | 67,8 | 70,8 | 62,8 | 59,8 | 62,8 | 60,8 | 60,8 |
| 215 | Prilaz | 1/2-motora, klipni | 83,0 | 98,0 | 83,0 | 79,0 | 91,0 | 80,0 | 85,0 | 76,0 | 75,0 | 73,0 | 72,0 |
| 216 | Prilaz | 2-motora, turbomlazni+turboventilatorski | 68,0 | 63,1 | 64,7 | 71,2 | 74,3 | 75,0 | 70,3 | 72,6 | 72,1 | 73,3 | 71,3 |
| 235 | Prilaz | 2-motora, turboventilatorski, poslovni | 67,3 | 68,9 | 69,6 | 70,0 | 70,2 | 74,0 | 74,7 | 73,1 | 71,3 | 74,1 | 72,9 |
| 236 | Prilaz | 2-motora, turboventilatorski, poslovni | 62,7 | 64,8 | 63,5 | 62,6 | 65,4 | 66,0 | 69,0 | 69,5 | 70,8 | 66,5 | 70,4 |
| 237 | Prilaz | 2-motora, turboventilatorski, poslovni | 67,0 | 61,1 | 62,7 | 64,1 | 70,4 | 74,4 | 71,8 | 68,4 | 76,3 | 72,3 | 73,5 |
| 238 | Prilaz | 2-motora, turboventilatorski, poslovni | 60,0 | 59,0 | 60,0 | 69,0 | 71,0 | 70,0 | 69,0 | 69,0 | 69,0 | 69,0 | 70,0 |

| Oznaka spektralne klase | Tip operacije (Op Type) | Opis | L_50Hz | L_63Hz | L_80Hz | L_100Hz | L_125Hz | L_160Hz | L_200Hz | L_250Hz | L_315Hz | L_400Hz | L_500Hz | L_630Hz | L_800Hz | L_1000Hz | L_1250Hz | L_1600Hz | L_2000Hz | L_2500Hz | L_3150Hz | L_4000Hz | L_5000Hz | L_6300Hz | L_8000Hz | L_10000Hz |
|---|---|---|---|---|---|---|---|---|---|---|---|---|---|---|---|---|---|---|---|---|---|---|---|---|---|---|
| 101 | Odlet | 2/3-motora, nizak omjer, turboventilatorski | 59,5 | 61,6 | 62,8 | 73,1 | 80,8 | 78,3 | 72,3 | 75,8 | 75,9 | 73,6 | 71,8 | 71,6 | 72,3 | 70,0 | 68,3 | 66,6 | 64,2 | 61,4 | 58,6 | 54,8 | 50,9 | 45,7 | 43,9 | 40,9 |

▼M2

| Oznaka spektralne klase | Tip operacije (Op Type) | Opis | L_50Hz | L_63Hz | L_80Hz | L_100Hz | L_125Hz | L_160Hz | L_200Hz | L_250Hz | L_315Hz | L_400Hz | L_500Hz | L_630Hz | L_800Hz | L_1000Hz | L_1250Hz | L_1600Hz | L_2000Hz | L_2500Hz | L_3150Hz | L_4000Hz | L_5000Hz | L_6300Hz | L_8000Hz | L_10000Hz |
|---|---|---|---|---|---|---|---|---|---|---|---|---|---|---|---|---|---|---|---|---|---|---|---|---|---|---|
| 102 | Odlet | 2-motora, visok omjer, turboventilatorski | 59,7 | 60,0 | 68,5 | 73,0 | 73,8 | 70,4 | 67,6 | 71,4 | 68,7 | 72,8 | 73,2 | 73,0 | 72,9 | 70,0 | 68,0 | 67,3 | 62,3 | 61,4 | 58,0 | 58,8 | 58,7 | 46,7 | 44,2 | 44,1 |
| 103 | Odlet | 2-motora, visok omjer, turboventilatorski | 56,7 | 66,1 | 70,1 | 72,8 | 76,6 | 73,0 | 74,5 | 77,0 | 75,3 | 72,2 | 72,2 | 71,2 | 70,2 | 70,0 | 69,6 | 71,1 | 70,6 | 67,1 | 63,4 | 63,5 | 58,2 | 51,5 | 42,3 | 37,7 |
| 104 | Odlet | 2-motora, nizak/srednji omjer, turboventilatorski | 57,3 | 56,3 | 61,5 | 67,7 | 71,4 | 73,7 | 67,0 | 72,1 | 73,8 | 74,1 | 71,3 | 70,4 | 70,9 | 70,0 | 68,2 | 67,3 | 63,4 | 60,9 | 56,6 | 53,2 | 47,8 | 40,5 | 31,7 | 27,9 |
| 105 | Odlet | 2-motora, visok omjer, turboventilatorski | 66,5 | 60,4 | 67,1 | 75,0 | 78,2 | 79,3 | 71,5 | 76,7 | 74,4 | 74,6 | 72,3 | 71,9 | 71,1 | 70,0 | 69,0 | 68,8 | 67,0 | 65,5 | 63,4 | 59,2 | 53,8 | 50,0 | 44,7 | 38,2 |
| 106 | Odlet | 4-motora, turboventilatorski+nadzvučni | 62,5 | 57,4 | 66,9 | 73,7 | 75,5 | 74,0 | 71,4 | 73,4 | 73,4 | 75,7 | 75,8 | 74,1 | 71,6 | 70,0 | 68,9 | 68,2 | 66,4 | 63,5 | 62,5 | 62,5 | 59,2 | 53,7 | 48,1 | 41,2 |
| 107 | Odlet | 4-motora, turboventilatorski | 58,6 | 62,7 | 69,1 | 74,1 | 76,0 | 74,3 | 74,1 | 74,4 | 74,0 | 73,6 | 73,2 | 72,3 | 71,7 | 70,0 | 69,1 | 69,4 | 69,6 | 73,6 | 67,7 | 63,1 | 58,3 | 51,5 | 44,2 | 34,7 |

▼M2

| Oznaka spektralne klase | Tip operacije (Op Type) | Opis | L_50Hz | L_63Hz | L_80Hz | L_100Hz | L_125Hz | L_160Hz | L_200Hz | L_250Hz | L_315Hz | L_400Hz | L_500Hz | L_630Hz | L_800Hz | L_1000Hz | L_1250Hz | L_1600Hz | L_2000Hz | L_2500Hz | L_3150Hz | L_4000Hz | L_5000Hz | L_6300Hz | L_8000Hz | L_10000Hz |
|---|---|---|---|---|---|---|---|---|---|---|---|---|---|---|---|---|---|---|---|---|---|---|---|---|---|---|
| 108 | Odlet | 4-motora, turboventilatorski | 66,2 | 66,2 | 66,2 | 72,2 | 80,8 | 67,9 | 67,6 | 72,0 | 70,0 | 70,7 | 71,1 | 68,9 | 71,1 | 70,0 | 68,3 | 67,5 | 65,4 | 63,6 | 63,9 | 64,8 | 62,1 | 59,3 | 54,6 | 47,3 |
| 109 | Odlet | 2-motora, turboelisni+1/2-motora, klipni | 64,7 | 67,1 | 73,1 | 89,4 | 84,5 | 76,3 | 89,3 | 80,7 | 79,3 | 79,3 | 81,6 | 80,3 | 76,4 | 70,0 | 65,0 | 61,9 | 59,8 | 57,3 | 55,6 | 52,7 | 50,9 | 44,8 | 36,3 | 28,4 |
| 110 | Odlet | 2-motora, turboelisni+4-motora, klipni | 71,4 | 69,9 | 79,9 | 87,4 | 76,5 | 80,9 | 86,2 | 86,0 | 85,6 | 81,2 | 76,8 | 74,5 | 73,2 | 70,0 | 69,5 | 69,2 | 67,2 | 65,4 | 63,2 | 60,2 | 58,4 | 51,4 | 40,4 | 29,0 |
| 111 | Odlet | 2-motora, turboelisni | 78,0 | 76,0 | 90,0 | 103,0 | 82,0 | 85,0 | 97,0 | 89,0 | 94,0 | 80,0 | 79,0 | 79,0 | 75,0 | 70,0 | 68,0 | 64,0 | 62,0 | 58,0 | 57,0 | 53,0 | 48,0 | 43,0 | 38,0 | 33,0 |
| 112 | Odlet | 2/4-motora, turboelisni | 74,0 | 95,0 | 92,0 | 75,0 | 96,0 | 90,0 | 74,9 | 78,0 | 75,0 | 75,0 | 74,1 | 74,0 | 72,0 | 70,0 | 71,0 | 72,0 | 71,0 | 70,0 | 66,0 | 64,0 | 60,0 | 54,0 | 46,0 | 39,9 |
| 113 | Odlet | 2-motora, turbomlazni+turboventilatorski, poslovni | 58,5 | 57,9 | 60,7 | 67,0 | 71,2 | 72,6 | 70,3 | 72,7 | 72,9 | 73,5 | 72,8 | 72,0 | 71,3 | 70,0 | 68,9 | 67,1 | 64,5 | 63,0 | 60,2 | 55,8 | 52,1 | 45,1 | 38,8 | 29,6 |
| 136 | Odlet | 2-motora, turboventilatorski, poslovni | 59,7 | 60,0 | 68,5 | 73,0 | 73,8 | 70,4 | 67,6 | 71,4 | 68,7 | 72,8 | 73,2 | 73,0 | 72,9 | 70,0 | 68,0 | 67,3 | 62,3 | 61,4 | 58,0 | 58,8 | 58,7 | 46,7 | 44,2 | 44,1 |
| 137 | Odlet | 2-motora, turboventilatorski, poslovni | 58,6 | 62,7 | 69,1 | 74,1 | 76,0 | 74,3 | 74,1 | 74,4 | 74,0 | 73,6 | 73,2 | 72,3 | 71,7 | 70,0 | 69,1 | 69,4 | 69,6 | 73,6 | 67,7 | 63,1 | 58,3 | 51,5 | 44,2 | 34,7 |

▼M2

| Oznaka spektralne klase | Tip operacije (Op Type) | Opis | L_50Hz | L_63Hz | L_80Hz | L_100Hz | L_125Hz | L_160Hz | L_200Hz | L_250Hz | L_315Hz | L_400Hz | L_500Hz | L_630Hz | L_800Hz | L_1000Hz | L_1250Hz | L_1600Hz | L_2000Hz | L_2500Hz | L_3150Hz | L_4000Hz | L_5000Hz | L_6300Hz | L_8000Hz | L_10000Hz |
|---|---|---|---|---|---|---|---|---|---|---|---|---|---|---|---|---|---|---|---|---|---|---|---|---|---|---|
| 138 | Odlet | 2-motora, turboventilatorski, poslovni | 66,2 | 66,2 | 66,2 | 72,2 | 80,8 | 67,9 | 67,6 | 72,0 | 70,0 | 70,7 | 71,1 | 68,9 | 71,1 | 70,0 | 68,3 | 67,5 | 65,4 | 63,6 | 63,9 | 64,8 | 62,1 | 59,3 | 54,6 | 47,3 |
| 201 | Prilaz | 2/3-motora, nizak omjer, turboventilatorski | 64,9 | 65,5 | 66,2 | 66,7 | 73,0 | 77,6 | 74,8 | 70,7 | 76,6 | 72,5 | 74,4 | 73,6 | 70,9 | 70,0 | 69,2 | 67,8 | 66,5 | 68,0 | 63,0 | 60,0 | 57,6 | 56,3 | 54,6 | 45,8 |
| 202 | Prilaz | 2-motora, nizak/visok omjer, turboventilatorski | 68,5 | 68,5 | 68,5 | 68,4 | 68,5 | 70,9 | 73,3 | 67,3 | 72,6 | 72,5 | 72,1 | 75,4 | 75,4 | 70,0 | 68,9 | 68,3 | 65,8 | 64,7 | 63,5 | 62,1 | 60,2 | 57,8 | 48,6 | 38,8 |
| 203 | Prilaz | 2-motora, visok omjer, turboventilatorski, poslovni | 67,3 | 68,9 | 69,6 | 70,0 | 70,2 | 74,0 | 74,7 | 73,1 | 71,3 | 74,1 | 72,9 | 73,1 | 71,6 | 70,0 | 70,4 | 67,4 | 67,4 | 70,8 | 69,7 | 72,1 | 64,2 | 56,4 | 49,6 | 38,9 |
| 204 | Prilaz | 2-motora, nizak/srednji omjer, turboventilatorski | 58,8 | 57,1 | 59,4 | 68,0 | 72,8 | 73,7 | 69,1 | 72,3 | 74,8 | 75,6 | 73,6 | 72,1 | 72,1 | 70,0 | 66,3 | 63,6 | 59,9 | 57,5 | 54,8 | 51,8 | 48,8 | 45,8 | 42,8 | 39,8 |

▼M2

| Oznaka spektralne klase | Tip operacije (Op Type) | Opis | L_50Hz | L_63Hz | L_80Hz | L_100Hz | L_125Hz | L_160Hz | L_200Hz | L_250Hz | L_315Hz | L_400Hz | L_500Hz | L_630Hz | L_800Hz | L_1000Hz | L_1250Hz | L_1600Hz | L_2000Hz | L_2500Hz | L_3150Hz | L_4000Hz | L_5000Hz | L_6300Hz | L_8000Hz | L_10000Hz |
|---|---|---|---|---|---|---|---|---|---|---|---|---|---|---|---|---|---|---|---|---|---|---|---|---|---|---|
| 205 | Prilaz | 2-motora, visok omjer, turboventilatorski | 68,3 | 60,7 | 64,6 | 67,4 | 78,4 | 74,8 | 71,4 | 72,4 | 72,0 | 72,4 | 71,6 | 72,0 | 71,0 | 70,0 | 68,9 | 67,2 | 65,8 | 64,4 | 63,0 | 62,0 | 60,6 | 54,4 | 48,5 | 39,0 |
| 206 | Prilaz | 4-motora, turbomlazni+turboventilatorski | 63,3 | 65,4 | 64,1 | 63,2 | 66,0 | 66,6 | 69,6 | 70,1 | 71,5 | 67,1 | 71,0 | 70,4 | 71,8 | 70,0 | 69,6 | 66,6 | 62,9 | 62,0 | 62,7 | 59,1 | 58,8 | 53,3 | 50,2 | 40,6 |
| 207 | Prilaz | 4-motora, turboventilatorski | 67,0 | 61,1 | 62,7 | 64,1 | 70,4 | 74,4 | 71,8 | 68,4 | 76,3 | 72,3 | 73,5 | 71,2 | 70,5 | 70,0 | 68,7 | 67,1 | 67,5 | 69,4 | 71,1 | 72,5 | 65,7 | 59,3 | 52,2 | 45,6 |
| 208 | Prilaz | 4-motora, turbomlazni+turboventilatorski | 66,7 | 65,0 | 61,7 | 65,4 | 72,9 | 76,2 | 73,0 | 68,1 | 72,7 | 70,7 | 72,1 | 70,1 | 69,0 | 70,0 | 70,9 | 70,2 | 70,6 | 81,3 | 73,7 | 62,8 | 62,6 | 56,0 | 49,6 | 37,9 |
| 209 | Prilaz | 4-motora, turboventilatorski | 60,0 | 59,0 | 60,0 | 69,0 | 71,0 | 70,0 | 69,0 | 69,0 | 69,0 | 69,0 | 70,0 | 69,0 | 69,0 | 70,0 | 72,0 | 77,0 | 72,0 | 72,0 | 70,0 | 66,0 | 63,0 | 57,0 | 49,0 | 38,0 |
| 210 | Prilaz | 2-motora, turboelisni | 65,0 | 70,0 | 65,0 | 72,0 | 77,0 | 68,0 | 78,0 | 85,0 | 86,0 | 79,0 | 73,0 | 76,0 | 71,0 | 70,0 | 68,0 | 68,0 | 65,0 | 63,0 | 60,0 | 56,0 | 53,0 | 52,0 | 42,0 | 28,0 |
| 211 | Prilaz | 2-motora, turboelisni | 71,3 | 65,4 | 74,7 | 88,1 | 77,1 | 80,3 | 86,9 | 80,0 | 86,8 | 78,2 | 75,5 | 75,2 | 71,6 | 70,0 | 70,7 | 69,6 | 68,6 | 67,5 | 67,0 | 63,9 | 59,9 | 53,0 | 45,7 | 40,0 |
| 212 | Prilaz | 2-motora, turboelisni | 72,0 | 68,0 | 79,0 | 71,0 | 73,0 | 84,0 | 74,0 | 75,0 | 73,0 | 72,0 | 71,0 | 77,0 | 73,0 | 70,0 | 77,0 | 75,0 | 72,0 | 70,0 | 71,0 | 83,0 | 75,0 | 57,0 | 54,0 | 45,0 |

▼M2

| Oznaka spektralne klase | Tip operacije (Op Type) | Opis | L_50Hz | L_63Hz | L_80Hz | L_100Hz | L_125Hz | L_160Hz | L_200Hz | L_250Hz | L_315Hz | L_400Hz | L_500Hz | L_630Hz | L_800Hz | L_1000Hz | L_1250Hz | L_1600Hz | L_2000Hz | L_2500Hz | L_3150Hz | L_4000Hz | L_5000Hz | L_6300Hz | L_8000Hz | L_10000Hz |
|---|---|---|---|---|---|---|---|---|---|---|---|---|---|---|---|---|---|---|---|---|---|---|---|---|---|---|
| 213 | Prilaz | 4-motora, turboelisni+klipni | 64,0 | 73,0 | 76,0 | 71,0 | 82,0 | 83,0 | 67,0 | 71,0 | 70,0 | 69,0 | 69,0 | 68,0 | 67,0 | 70,0 | 69,0 | 67,0 | 64,0 | 60,0 | 57,0 | 54,0 | 49,0 | 42,0 | 32,0 | 20,0 |
| 214 | Prilaz | 2/4-motora, turboelisni | 61,8 | 69,8 | 61,8 | 58,8 | 67,8 | 70,8 | 62,8 | 59,8 | 62,8 | 60,8 | 60,8 | 59,8 | 60,8 | 70,0 | 67,8 | 61,8 | 59,8 | 56,8 | 52,8 | 49,8 | 47,8 | 45,8 | 35,8 | 27,8 |
| 215 | Prilaz | 1/2-motora, klipni | 83,0 | 98,0 | 83,0 | 79,0 | 91,0 | 80,0 | 85,0 | 76,0 | 75,0 | 73,0 | 72,0 | 73,0 | 71,0 | 70,0 | 68,0 | 66,0 | 65,0 | 64,0 | 60,0 | 57,0 | 53,0 | 49,0 | 43,0 | 32,0 |
| 216 | Prilaz | 2-motora, turbomlazni+turboventilatorski | 68,0 | 63,1 | 64,7 | 71,2 | 74,3 | 75,0 | 70,3 | 72,6 | 72,1 | 73,3 | 71,3 | 70,7 | 70,3 | 70,0 | 69,3 | 68,0 | 67,8 | 66,3 | 64,4 | 62,0 | 57,2 | 52,2 | 43,5 | 33,1 |
| 235 | Prilaz | 2-motora, turboventilatorski, poslovni | 67,3 | 68,9 | 69,6 | 70,0 | 70,2 | 74,0 | 74,7 | 73,1 | 71,3 | 74,1 | 72,9 | 73,1 | 71,6 | 70,0 | 70,4 | 67,4 | 67,4 | 70,8 | 69,7 | 72,1 | 64,2 | 56,4 | 49,6 | 38,9 |
| 236 | Prilaz | 2-motora, turboventilatorski, poslovni | 62,7 | 64,8 | 63,5 | 62,6 | 65,4 | 66,0 | 69,0 | 69,5 | 70,8 | 66,5 | 70,4 | 69,8 | 71,2 | 69,4 | 68,9 | 66,0 | 62,3 | 61,4 | 62,1 | 58,5 | 58,2 | 52,7 | 49,6 | 40,0 |
| 237 | Prilaz | 2-motora, turboventilatorski, poslovni | 67,0 | 61,1 | 62,7 | 64,1 | 70,4 | 74,4 | 71,8 | 68,4 | 76,3 | 72,3 | 73,5 | 71,2 | 70,5 | 70,0 | 68,7 | 67,1 | 67,5 | 69,4 | 71,1 | 72,5 | 65,7 | 59,3 | 52,2 | 45,6 |
| 238 | Prilaz | 2-motora, turboventilatorski, poslovni | 60,0 | 59,0 | 60,0 | 69,0 | 71,0 | 70,0 | 69,0 | 69,0 | 69,0 | 69,0 | 70,0 | 69,0 | 69,0 | 70,0 | 72,0 | 77,0 | 72,0 | 72,0 | 70,0 | 66,0 | 63,0 | 57,0 | 49,0 | 38,0 |

▼M2

*U ovom se odjeljku nalaze dodatni podaci za zrakoplove općeg zrakoplovstva.*

**GASEPF I GASEPV podaci**

*Tablica I-11*

**GASEPF i GASEPV tipovi zrakoplova**

| ACFTID | Opis | Tip motora | Broj motora | Klasifikacija po masi | Kategorija vlasnika | MGTOW (lb) | MGLW (lb) | Najveća duljina za slijetanje (ft) | Najveća razina statičkog potiska na razini mora (lb) | Poglavlje o buci | NPD oznaka (NPD_ID) | Parametar snage | Oznaka spektralne klase za prilaz | Oznaka spektralne klase za odlet | Oznaka lateralne usmjerenosti |
|---|---|---|---|---|---|---|---|---|---|---|---|---|---|---|---|
| GASEPF | Jednomotorni zrakoplov s elisom nepromjenjivog koraka | Klipni | 1 | Mali | Opće zrakoplovstvo | 2 200 | 2 200 | 1 160 | 560 | 0 | GASEPF | Postotak | 215 | 109 | Prop |
| GASEPV | Jednomotorni zrakoplov s elisom promjenjivog koraka | Klipni | 1 | Mali | Opće zrakoplovstvo | 3 000 | 3 000 | 1 111 | 790 | 0 | GASEPV | Postotak | 215 | 109 | Prop |

(povezani spektralni podaci dostupni su u tablici „Spektralne klase” u ANP-u)

*Tablica I-12*

**Podaci profila leta za odlazak i dolazak GASEPF i GASEPV zrakoplova**

| ACFTID | Tip operacije (Op type) | Oznaka profila (Profile_ID) | Duljina faze | Broj točke | Udaljenost(ft) | Visina iznad tla (ft) | Prava brzina (kt) | Postotak maksimalnog statičkog potiska (%) |
|---|---|---|---|---|---|---|---|---|
| GASEPF | A | APP_3_DEG | 1 | 1 | – 114 486,8 | 6 000,0 | 109,4 | 34,21 |
| GASEPF | A | APP_3_DEG | 1 | 2 | – 57 243,4 | 3 000,0 | 71,8 | 37,57 |
| GASEPF | A | APP_3_DEG | 1 | 3 | – 28 621,7 | 1 500,0 | 60,0 | 40,59 |
| GASEPF | A | APP_3_DEG | 1 | 4 | – 19 081,1 | 1 000,0 | 59,6 | 39,85 |

▼M2

| ACFTID | Tip operacije (Op type) | Oznaka profila (Profile_ID) | Duljina faze | Broj točke | Udaljenost(ft) | Visina iznad tla (ft) | Prava brzina (kt) | Postotak maksimalnog statičkog potiska (%) |
|---|---|---|---|---|---|---|---|---|
| GASEPF | A | APP_3_DEG | 1 | 5 | 0,0 | 0,0 | 58,7 | 38,43 |
| GASEPF | A | APP_3_DEG | 1 | 6 | 47,2 | 0,0 | 55,7 | 27,20 |
| GASEPF | A | APP_3_DEG | 1 | 7 | 472,0 | 0,0 | 30,0 | 10,00 |
| GASEPF | A | APP_5_DEG | 1 | 1 | – 68 580,3 | 6 000,0 | 109,4 | 18,03 |
| GASEPF | A | APP_5_DEG | 1 | 2 | – 34 290,2 | 3 000,0 | 71,8 | 22,59 |
| GASEPF | A | APP_5_DEG | 1 | 3 | – 17 145,1 | 1 500,0 | 60,0 | 26,14 |
| GASEPF | A | APP_5_DEG | 1 | 4 | – 11 430,1 | 1 000,0 | 59,6 | 25,67 |
| GASEPF | A | APP_5_DEG | 1 | 5 | 0,0 | 0,0 | 58,7 | 24,75 |
| GASEPF | A | APP_5_DEG | 1 | 6 | 47,2 | 0,0 | 55,7 | 27,20 |
| GASEPF | A | APP_5_DEG | 1 | 7 | 472,0 | 0,0 | 30,0 | 10,00 |
| GASEPF | D | DEFAULT_DEP | 1 | 1 | 0,0 | 0,0 | 0,0 | 113,06 |
| GASEPF | D | DEFAULT_DEP | 1 | 2 | 972,8 | 0,0 | 62,1 | 113,06 |
| GASEPF | D | DEFAULT_DEP | 1 | 3 | 2 077,9 | 51,4 | 73,1 | 96,32 |
| GASEPF | D | DEFAULT_DEP | 1 | 4 | 13 665,7 | 1 000,0 | 74,1 | 98,31 |
| GASEPF | D | DEFAULT_DEP | 1 | 5 | 16 079,7 | 1 097,7 | 84,3 | 86,65 |
| GASEPF | D | DEFAULT_DEP | 1 | 6 | 17 079,7 | 1 155,4 | 84,4 | 81,16 |
| GASEPF | D | DEFAULT_DEP | 1 | 7 | 49 057,1 | 3 000,0 | 86,8 | 84,60 |
| GASEPF | D | DEFAULT_DEP | 1 | 8 | 97 253,2 | 5 500,0 | 90,1 | 89,42 |
| GASEPF | D | DEFAULT_DEP | 1 | 9 | 140 694,0 | 7 500,0 | 92,9 | 93,53 |
| GASEPF | D | DEFAULT_DEP | 1 | 10 | 202 700,4 | 10 000,0 | 96,6 | 99,04 |
| GASEPV | A | APP_3_DEG | 1 | 1 | – 114 486,8 | 6 000,0 | 109,4 | 24,34 |

▼M2

| ACFTID | Tip operacije (Op type) | Oznaka profila (Profile_ID) | Duljina faze | Broj točke | Udaljenost(ft) | Visina iznad tla (ft) | Prava brzina (kt) | Postotak maksimalnog statičkog potiska (%) |
|---|---|---|---|---|---|---|---|---|
| GASEPV | A | APP_3_DEG | 1 | 2 | – 57 243,4 | 3 000,0 | 79,4 | 26,37 |
| GASEPV | A | APP_3_DEG | 1 | 3 | – 28 621,7 | 1 500,0 | 67,5 | 45,05 |
| GASEPV | A | APP_3_DEG | 1 | 4 | – 19 081,1 | 1 000,0 | 67,0 | 44,24 |
| GASEPV | A | APP_3_DEG | 1 | 5 | 0,0 | 0,0 | 66,0 | 42,66 |
| GASEPV | A | APP_3_DEG | 1 | 6 | 42,8 | 0,0 | 62,6 | 31,00 |
| GASEPV | A | APP_3_DEG | 1 | 7 | 428,0 | 0,0 | 30,0 | 10,00 |
| GASEPV | A | APP_5_DEG | 1 | 1 | – 68 580,3 | 6 000,0 | 109,4 | 8,70 |
| GASEPV | A | APP_5_DEG | 1 | 2 | – 34 290,2 | 3 000,0 | 79,4 | 12,04 |
| GASEPV | A | APP_5_DEG | 1 | 3 | – 17 145,1 | 1 500,0 | 67,5 | 31,28 |
| GASEPV | A | APP_5_DEG | 1 | 4 | – 11 430,1 | 1 000,0 | 67,0 | 30,72 |
| GASEPV | A | APP_5_DEG | 1 | 5 | 0,0 | 0,0 | 66,0 | 29,62 |
| GASEPV | A | APP_5_DEG | 1 | 6 | 42,8 | 0,0 | 62,6 | 31,00 |
| GASEPV | A | APP_5_DEG | 1 | 7 | 428,0 | 0,0 | 30,0 | 10,00 |
| GASEPV | D | DEFAULT_DEP | 1 | 1 | 0,0 | 0,0 | 0,0 | 163,92 |
| GASEPV | D | DEFAULT_DEP | 1 | 2 | 861,8 | 0,0 | 55,6 | 163,92 |
| GASEPV | D | DEFAULT_DEP | 1 | 3 | 1 302,6 | 42,7 | 66,0 | 138,25 |
| GASEPV | D | DEFAULT_DEP | 1 | 4 | 2 963,7 | 172,0 | 90,2 | 101,67 |
| GASEPV | D | DEFAULT_DEP | 1 | 5 | 9 389,6 | 1 000,0 | 91,3 | 103,50 |
| GASEPV | D | DEFAULT_DEP | 1 | 6 | 10 985,9 | 1 102,9 | 101,6 | 93,36 |
| GASEPV | D | DEFAULT_DEP | 1 | 7 | 11 985,9 | 1 200,6 | 101,8 | 86,89 |
| GASEPV | D | DEFAULT_DEP | 1 | 8 | 30 407,6 | 3 000,0 | 104,5 | 90,57 |
| GASEPV | D | DEFAULT_DEP | 1 | 9 | 57 858,2 | 5 500,0 | 108,5 | 95,72 |
| GASEPV | D | DEFAULT_DEP | 1 | 10 | 81 543,2 | 7 500,0 | 111,9 | 100,13 |
| GASEPV | D | DEFAULT_DEP | 1 | 11 | 113 618,2 | 10 000,0 | 116,4 | 106,03 |

▼M2

*Tablica I-13*

**NPD podaci za GASEPF i GASEPV zrakoplove**

| NPD_ID | Mjera buke | Tip operacije (Op type) | Postotak maksimalnog statičkog potiska (%) | L_200ft | L_400ft | L_630ft | L_1000ft | L_2000ft | L_4000ft | L_6300ft | L_10000ft | L_16000ft | L_25000ft |
|---|---|---|---|---|---|---|---|---|---|---|---|---|---|
| GASEPF | LAmax | A | 30,00 | 72,2 | 65,9 | 61,6 | 57,2 | 50,3 | 43,1 | 38,0 | 32,7 | 27,0 | 20,9 |
| GASEPF | LAmax | A | 100,00 | 84,9 | 78,6 | 74,4 | 70,0 | 63,2 | 55,8 | 50,4 | 44,6 | 38,3 | 31,5 |
| GASEPF | LAmax | D | 30,00 | 72,2 | 65,9 | 61,6 | 57,2 | 50,3 | 43,1 | 38,0 | 32,7 | 27,0 | 20,9 |
| GASEPF | LAmax | D | 100,00 | 84,9 | 78,6 | 74,4 | 70,0 | 63,2 | 55,8 | 50,4 | 44,6 | 38,3 | 31,5 |
| GASEPF | SEL | A | 30,00 | 74,2 | 70,1 | 67,3 | 64,4 | 59,8 | 54,8 | 51,2 | 47,4 | 43,2 | 38,6 |
| GASEPF | SEL | A | 100,00 | 87,1 | 83,1 | 80,4 | 77,5 | 72,9 | 67,8 | 63,9 | 59,6 | 54,8 | 49,4 |
| GASEPF | SEL | D | 30,00 | 74,2 | 70,1 | 67,3 | 64,4 | 59,8 | 54,8 | 51,2 | 47,4 | 43,2 | 38,6 |
| GASEPF | SEL | D | 100,00 | 87,1 | 83,1 | 80,4 | 77,5 | 72,9 | 67,8 | 63,9 | 59,6 | 54,8 | 49,4 |
| GASEPV | LAmax | A | 30,00 | 82,8 | 73,9 | 69,6 | 65,2 | 58,3 | 51,1 | 46,0 | 40,7 | 35,0 | 28,9 |
| GASEPV | LAmax | A | 100,00 | 92,4 | 86,1 | 81,9 | 77,5 | 70,7 | 63,3 | 57,9 | 52,1 | 45,8 | 39,0 |
| GASEPV | LAmax | D | 30,00 | 82,8 | 73,9 | 69,6 | 65,2 | 58,3 | 51,1 | 46,0 | 40,7 | 35,0 | 28,9 |
| GASEPV | LAmax | D | 100,00 | 92,4 | 86,1 | 81,9 | 77,5 | 70,7 | 63,3 | 57,9 | 52,1 | 45,8 | 39,0 |
| GASEPV | SEL | A | 30,00 | 81,7 | 77,6 | 74,8 | 71,9 | 67,3 | 62,3 | 58,7 | 54,9 | 50,7 | 46,1 |
| GASEPV | SEL | A | 100,00 | 94,6 | 90,6 | 87,9 | 85,0 | 80,4 | 75,3 | 71,4 | 67,1 | 62,3 | 56,9 |
| GASEPV | SEL | D | 30,00 | 81,7 | 77,6 | 74,8 | 71,9 | 67,3 | 62,3 | 58,7 | 54,9 | 50,7 | 46,1 |
| GASEPV | SEL | D | 100,00 | 94,6 | 90,6 | 87,9 | 85,0 | 80,4 | 75,3 | 71,4 | 67,1 | 62,3 | 56,9 |

02002L0049 — HR — 02.07.2015 — 002.002 — 1001

▼M2

**Podaci o klasama zrakoplova**

| Grupa zrakoplova | Primjeri tipova zrakoplova (maksimalna masa pri uzlijetanju) |
|---|---|
| P 1.0 | Dewald Sunny, Flightstar II, Ikarus C42, Quicksilver MXL II, Sherpa, Stratos, Tecnam P92 Echo |
| P 1.1 | DG-400 (500 kg), Grob 109B (900 kg), H 36 Dimona (800 kg), Scheibe SF 25C (700 kg) |
| P 1.2 | DR 400/180R (1 000 kg), H 36 Dimona (800 kg), PZL-104 „Wilga 35” (1 200 kg), Scheibe SF 25 (700 kg) |
| P 1.3 | DR 400/180R (1 000 kg), Cessna 172N (1 000 kg), Piper PA-28- 181 (1 200 kg), Piper PA-34-200 (1 900 kg) |

**Podaci o buci i performansama zrakoplova za četiri klase prikazani su u tablicama u nastavku:**

*Tablica I-14*

**Podaci o buci grupa klasa zrakoplova P 1.0, P 1.1, P 1.2, P 1.3**

| NOISE_ID,C,12 | THRSET_TYP,C,1 | MODEL_TYPE,C,1 | SPECT_APP,N,3,0 | SPECT_DEP,N,3,0 | SPECT_AFB,N,3,0 |
|---|---|---|---|---|---|
| P1.0 | P | I | 215 | 109 | 0 |
| P1.1 | P | I | 215 | 109 | 0 |
| P1.2 | P | I | 215 | 109 | 0 |
| P1.3 | P | I | 215 | 109 | 0 |

| ACFT_ID,C,12 | ACFT_DESCR,C,40 | WGT_CAT,C,1 | OWNER_CAT,C,1 | ENG_TYPE,C,1 | NOISE_CAT,C,1 | NOISE_ID,C,12 | NUMB_ENG,N,1,0 | THR_RESTOR,C,1 | MX_GW_TKO,N,7,0 | MX_GW_LND,N,7,0 | MX_DS_STOP,N,5,0 | COEFF_TYPE,C,1 | THR_STATIC,N,6,0 |
|---|---|---|---|---|---|---|---|---|---|---|---|---|---|
| P1.0 | Ultralaki (Ultralights) | S | G | P | 0 | P1.0 | 1 | N | 0 | 0 | 0 | P | 100 |
| P1.1 | Motorna jedrilica | S | G | P | 0 | P1.1 | 1 | N | 0 | 0 | 0 | P | 100 |
| P1.2 | Elisni s maksimalnom masom pri uzlijetanju <= 2 t koji vuče jedrilice | S | G | P | 0 | P1.2 | 1 | N | 0 | 0 | 0 | P | 100 |
| P1.3 | Elisni s maksimalnom masom pri uzlijetanju <= 2 t | S | G | P | 0 | P1.3 | 1 | N | 0 | 0 | 0 | P | 100 |

▼M2

*Tablica I-15*

**Podaci za profile leta za klase zrakoplova P 1.0, P 1.1, P 1.2, P 1.3 u dolasku i u odlasku**

| ACFT_ID,C,12 | OP_TYPE,C,1 | PROF_ID1,C,8 | PROF_ID2,C,1 | WEIGHT,N,7,0 |
|---|---|---|---|---|
| P1.0 | A | DEFAULT | 1 | 100 |
| P1.0 | D | DEFAULT | 1 | 100 |
| P1.1 | A | DEFAULT | 1 | 100 |
| P1.1 | D | DEFAULT | 1 | 100 |
| P1.2 | A | DEFAULT | 1 | 100 |
| P1.2 | D | DEFAULT | 1 | 100 |
| P1.3 | A | DEFAULT | 1 | 100 |
| P1.3 | D | DEFAULT | 1 | 100 |

*Tablica I-16*

**Podaci za točke profila buke za klase zrakoplova P 1.0, P 1.1, P 1.2, P 1.3**

| ACFT_ID,C,12 | OP_TYPE,C,1 | PROF_ID1,C,8 | PROF_ID2,C,1 | PT_NUM,N,3,0 | DISTANCE,N,10,1 | ALTITUDE,N,7,1 | SPEED,N,5,1 | THR_SET,N,9,2 | OP_MODE,C,1 |
|---|---|---|---|---|---|---|---|---|---|
| P1.0 | A | DEFAULT | 1 | 1 | – 114 486 | 6 000 | 50,5 | 70 | A |
| P1.0 | A | DEFAULT | 1 | 2 | – 18 917,1 | 1 000 | 50,5 | 70 | A |
| P1.0 | A | DEFAULT | 1 | 3 | – 15 636,3 | 828,1 | 50,5 | 70 | A |
| P1.0 | A | DEFAULT | 1 | 4 | 164 | 0 | 50,5 | 70 | A |
| P1.0 | A | DEFAULT | 1 | 5 | 656,2 | 0 | 19,4 | 30 | A |
| P1.0 | D | DEFAULT | 1 | 1 | 0 | 0 | 19,4 | 100 | D |
| P1.0 | D | DEFAULT | 1 | 2 | 328,1 | 0 | 62,2 | 100 | D |
| P1.0 | D | DEFAULT | 1 | 3 | 12 986,3 | 1 000 | 62,2 | 100 | D |

▼M2

| ACFT_ID,C,12 | OP_TYPE,C,1 | PROF_ID1,C,8 | PROF_ID2,C,1 | PT_NUM,N,3,0 | DISTANCE,N,10,1 | ALTITUDE,N,7,1 | SPEED,N,5,1 | THR_SET,N,9,2 | OP_MODE,C,1 |
|---|---|---|---|---|---|---|---|---|---|
| P1.0 | D | DEFAULT | 1 | 4 | 42 000 | 3 000 | 65 | 100 | D |
| P1.0 | D | DEFAULT | 1 | 5 | 200 000 | 10 000 | 68 | 100 | D |
| P1.1 | A | DEFAULT | 1 | 1 | – 114 486 | 6 000 | 50,5 | 70 | A |
| P1.1 | A | DEFAULT | 1 | 2 | – 18 589 | 1 000 | 50,5 | 70 | A |
| P1.1 | A | DEFAULT | 1 | 3 | – 15 308,2 | 828,1 | 50,5 | 70 | A |
| P1.1 | A | DEFAULT | 1 | 4 | 492,1 | 0 | 50,5 | 70 | A |
| P1.1 | A | DEFAULT | 1 | 5 | 656,2 | 0 | 19,4 | 30 | A |
| P1.1 | D | DEFAULT | 1 | 1 | 0 | 0 | 19,4 | 100 | D |
| P1.1 | D | DEFAULT | 1 | 2 | 656,2 | 0 | 66,1 | 100 | D |
| P1.1 | D | DEFAULT | 1 | 3 | 13 314,4 | 1 000 | 66,1 | 100 | D |
| P1.1 | D | DEFAULT | 1 | 4 | 43 000 | 3 000 | 70 | 100 | D |
| P1.1 | D | DEFAULT | 1 | 5 | 200 000 | 10 000 | 73,9 | 100 | D |
| P1.2 | A | DEFAULT | 1 | 1 | – 114 486 | 6 000 | 60,3 | 70 | A |
| P1.2 | A | DEFAULT | 1 | 2 | – 18 589 | 1 000 | 60,3 | 70 | A |
| P1.2 | A | DEFAULT | 1 | 3 | – 15 308,2 | 828,1 | 60,3 | 70 | A |
| P1.2 | A | DEFAULT | 1 | 4 | 492,1 | 0 | 60,3 | 70 | A |
| P1.2 | A | DEFAULT | 1 | 5 | 1 476,4 | 0 | 19,4 | 30 | A |
| P1.2 | D | DEFAULT | 1 | 1 | 0 | 0 | 19,4 | 100 | D |
| P1.2 | D | DEFAULT | 1 | 2 | 1 312,3 | 0 | 62,2 | 100 | D |
| P1.2 | D | DEFAULT | 1 | 3 | 17 705,8 | 1 000 | 62,2 | 100 | D |
| P1.2 | D | DEFAULT | 1 | 4 | 50 000 | 3 000 | 64 | 100 | D |
| P1.2 | D | DEFAULT | 1 | 5 | 200 000 | 10 000 | 66,1 | 100 | D |
| P1.3 | A | DEFAULT | 1 | 1 | – 114 486 | 6 000 | 60,3 | 70 | A |
| P1.3 | A | DEFAULT | 1 | 2 | – 18 589 | 1 000 | 60,3 | 70 | A |

▼M2

| ACFT_ID,C,12 | OP_TYPE,C,1 | PROF_ID1,C,8 | PROF_ID2,C,1 | PT_NUM,N,3,0 | DISTANCE,N,10,1 | ALTITUDE,N,7,1 | SPEED,N,5,1 | THR_SET,N,9,2 | OP_MODE,C,1 |
|---|---|---|---|---|---|---|---|---|---|
| P1.3 | A | DEFAULT | 1 | 3 | – 15 308,2 | 828,1 | 60,3 | 70 | A |
| P1.3 | A | DEFAULT | 1 | 4 | 492,1 | 0 | 60,3 | 70 | A |
| P1.3 | A | DEFAULT | 1 | 5 | 1 476,4 | 0 | 19,4 | 30 | A |
| P1.3 | D | DEFAULT | 1 | 1 | 0 | 0 | 19,4 | 100 | D |
| P1.3 | D | DEFAULT | 1 | 2 | 820,2 | 0 | 70 | 100 | D |
| P1.3 | D | DEFAULT | 1 | 3 | 10 344 | 1 000 | 70 | 100 | D |
| P1.3 | D | DEFAULT | 1 | 4 | 40 000 | 3 000 | 75 | 100 | D |
| P1.3 | D | DEFAULT | 1 | 5 | 200 000 | 10 000 | 83 | 100 | D |

*Tablica I-17*

**NPD podaci za klase zrakoplova P 1.0, P 1.1, P 1.2, P 1.3**

| NOISE_ ID,C,12 | NOISE_ TYPE,C,1 | OP_MO- DE,C,1 | THR_SET, N,9,2 | L_200,N,5,1 | L_400,N,5,1 | L_630,N,5,1 | L_1000,N,5,1 | L_2000,N,5,1 | L_4000,N,5,1 | L_6300,N,5,1 | L_10000, N,5,1 | L_16000, N,5,1 | L_25000, N,5,1 |
|---|---|---|---|---|---|---|---|---|---|---|---|---|---|
| P1.0 | M | A | 30 | 55,2 | 49 | 44,8 | 40,4 | 33,6 | 26,3 | 21,2 | 15,6 | 9,3 | 2,8 |
| P1.0 | M | A | 70 | 65,2 | 59 | 54,8 | 50,4 | 43,6 | 36,3 | 31,2 | 25,6 | 19,3 | 12,8 |
| P1.0 | M | D | 88 | 71,2 | 65 | 60,8 | 56,4 | 49,6 | 42,3 | 37,2 | 31,6 | 25,3 | 18,8 |
| P1.0 | M | D | 100 | 75,2 | 69 | 64,8 | 60,4 | 53,6 | 46,3 | 41,2 | 35,6 | 29,3 | 22,8 |
| P1.0 | S | A | 30 | 54,7 | 51,4 | 49,1 | 46,7 | 42,8 | 38,4 | 35,2 | 31,4 | 27,1 | 22,3 |
| P1.0 | S | A | 70 | 64,7 | 61,4 | 59,1 | 56,7 | 52,8 | 48,4 | 45,2 | 41,4 | 37,1 | 32,3 |
| P1.0 | S | D | 88 | 70,7 | 67,4 | 65,1 | 62,7 | 58,8 | 54,4 | 51,2 | 47,4 | 43,1 | 38,3 |
| P1.0 | S | D | 100 | 74,7 | 71,4 | 69,1 | 66,7 | 62,8 | 58,4 | 55,2 | 51,4 | 47,1 | 42,3 |
| P1.1 | M | A | 30 | 60,2 | 54 | 49,8 | 45,4 | 38,6 | 31,3 | 26,2 | 20,6 | 14,3 | 7,8 |
| P1.1 | M | A | 70 | 70,2 | 64 | 59,8 | 55,4 | 48,6 | 41,3 | 36,2 | 30,6 | 24,3 | 17,8 |
| P1.1 | M | D | 82 | 74,2 | 68 | 63,8 | 59,4 | 52,6 | 45,3 | 40,2 | 34,6 | 28,3 | 21,8 |

▼M2

| NOISE_ ID,C,12 | NOISE_ TYPE,C,1 | OP_MO- DE,C,1 | THR_SET, N,9,2 | L_200,N,5,1 | L_400,N,5,1 | L_630,N,5,1 | L_1000,N,5,1 | L_2000,N,5,1 | L_4000,N,5,1 | L_6300,N,5,1 | L_10000, N,5,1 | L_16000, N,5,1 | L_25000, N,5,1 |
|---|---|---|---|---|---|---|---|---|---|---|---|---|---|
| P1.1 | M | D | 100 | 80,2 | 74 | 69,8 | 65,4 | 58,6 | 51,3 | 46,2 | 40,6 | 34,3 | 27,8 |
| P1.1 | S | A | 30 | 59,7 | 56,4 | 54,1 | 51,7 | 47,8 | 43,4 | 40,2 | 36,4 | 32,1 | 27,3 |
| P1.1 | S | A | 70 | 69,7 | 66,4 | 64,1 | 61,7 | 57,8 | 53,4 | 50,2 | 46,4 | 42,1 | 37,3 |
| P1.1 | S | D | 82 | 73,7 | 70,4 | 68,1 | 65,7 | 61,8 | 57,4 | 54,2 | 50,4 | 46,1 | 41,3 |
| P1.1 | S | D | 100 | 79,7 | 76,4 | 74,1 | 71,7 | 67,8 | 63,4 | 60,2 | 56,4 | 52,1 | 47,3 |
| P1.2 | M | A | 30 | 64,4 | 58,2 | 53,9 | 49,5 | 42,6 | 35,1 | 29,8 | 24 | 17,5 | 10,6 |
| P1.2 | M | A | 70 | 74,4 | 68,2 | 63,9 | 59,5 | 52,6 | 45,1 | 39,8 | 34 | 27,5 | 20,6 |
| P1.2 | M | D | 76 | 76,4 | 70,2 | 65,9 | 61,5 | 54,6 | 47,1 | 41,8 | 36 | 29,5 | 22,6 |
| P1.2 | M | D | 100 | 84,4 | 78,2 | 73,9 | 69,5 | 62,6 | 55,1 | 49,8 | 44 | 37,5 | 30,6 |
| P1.2 | S | A | 30 | 63,9 | 60,5 | 58,2 | 55,8 | 51,8 | 47,2 | 43,8 | 39,8 | 35,2 | 30,1 |
| P1.2 | S | A | 70 | 73,9 | 70,5 | 68,2 | 65,8 | 61,8 | 57,2 | 53,8 | 49,8 | 45,2 | 40,1 |
| P1.2 | S | D | 76 | 75,9 | 72,5 | 70,2 | 67,8 | 63,8 | 59,2 | 55,8 | 51,8 | 47,2 | 42,1 |
| P1.2 | S | D | 100 | 83,9 | 80,5 | 78,2 | 75,8 | 71,8 | 67,2 | 63,8 | 59,8 | 55,2 | 50,1 |
| P1.3 | M | A | 30 | 66,4 | 60,2 | 55,9 | 51,5 | 44,6 | 37,1 | 31,8 | 26 | 19,5 | 12,6 |
| P1.3 | M | A | 70 | 76,4 | 70,2 | 65,9 | 61,5 | 54,6 | 47,1 | 41,8 | 36 | 29,5 | 22,6 |
| P1.3 | M | D | 76 | 78,4 | 72,2 | 67,9 | 63,5 | 56,6 | 49,1 | 43,8 | 38 | 31,5 | 24,6 |
| P1.3 | M | D | 100 | 86,4 | 80,2 | 75,9 | 71,5 | 64,6 | 57,1 | 51,8 | 46 | 39,5 | 32,6 |
| P1.3 | S | A | 30 | 65,9 | 62,5 | 60,2 | 57,8 | 53,8 | 49,2 | 45,8 | 41,8 | 37,2 | 32,1 |
| P1.3 | S | A | 70 | 75,9 | 72,5 | 70,2 | 67,8 | 63,8 | 59,2 | 55,8 | 51,8 | 47,2 | 42,1 |
| P1.3 | S | D | 76 | 77,9 | 74,5 | 72,2 | 69,8 | 65,8 | 61,2 | 57,8 | 53,8 | 49,2 | 44,1 |
| P1.3 | S | D | 100 | 85,9 | 82,5 | 80,2 | 77,8 | 73,8 | 69,2 | 65,8 | 61,8 | 57,2 | 52,1 |

▼M2

**Skup podataka 1 o buci i performansama helikoptera**

Ovdje se nalaze podaci za pet klasa helikoptera na temelju maksimalne mase pri uzlijetanju:

*Tablica I-18*

**Skup 1 podataka za helikoptere Tablica s opisima**

| ACFT_ID | Opis | Tip motora (Engine-TYPE) | Broj motora | Klasifikacija po masi | Kategorija vlasnika | MGTOW (lb) | MGLW (lb) | Maksimalna duljina za slijetanje(ft) | Maksimalni statički potisak na razini mora (lb) | Poglavlje o buci | NPD oznaka (NPD_ID) | Parametar snage | Identifikator spektralne klase za prilaz | Identifikator spektralne klase za odlet | Oznaka lateralne usmjerenosti |
|---|---|---|---|---|---|---|---|---|---|---|---|---|---|---|---|
| H1.0 | Helikopteri s maksimalnom masom pri uzlijetanju <= 1 t | Elisni | 0 | 0 | Helikopter | 0 | 0 | 0 | 100 | 0 | H1.0 | Snaga na osovini (% maksimalnog statičkog potiska) | 215 | 109 | Elisa |
| H1.1 | Helikopteri s maksimalnom masom pri uzlijetanju 1-3 t | Elisni | 0 | 0 | Helikopter | 0 | 0 | 0 | 100 | 0 | H1.1 | Snaga na osovini (% maksimalnog statičkog potiska) | 215 | 109 | Elisa |
| H1.2 | Helikopteri s maksimalnom masom pri uzlijetanju 3-5 t | Elisni | 0 | 0 | Helikopter | 0 | 0 | 0 | 100 | 0 | H1.2 | Snaga na osovini (% maksimalnog statičkog potiska) | 215 | 109 | Elisa |
| H2.1 | Helikopteri s maksimalnom masom pri uzlijetanju -10 t | Elisni | 0 | 0 | Helikopter | 0 | 0 | 0 | 100 | 0 | H2.1 | Snaga na osovini (% maksimalnog statičkog potiska) | 215 | 109 | Elisa |
| H2.2 | Helikopteri s maksimalnom masom pri uzlijetanju > 10 t | Elisni | 0 | 0 | Helikopter | 0 | 0 | 0 | 100 | 0 | H2.2 | Snaga na osovini (% maksimalnog statičkog potiska) | 215 | 109 | Elisa |

*Tablica I-19*

**Skup 1 podataka za helikoptere Profili za odlazak**

| ACFT_ID | OP_TYPE | PROF_ID1 | PROF_ID2 | PT_NUM | UDALJENOST (ft) | VISINA (ft) | BRZINA (kt) | THR_SET (%) | OP_MODE |
|---|---|---|---|---|---|---|---|---|---|
| H1.0 | D | H1.0_S | 1 | 1 | 0,0 | 0,0 | 3,9 | 100,00 | D |
| H1.0 | D | H1.0_S | 1 | 2 | 9,8 | 6,6 | 5,8 | 100,00 | D |
| H1.0 | D | H1.0_S | 1 | 3 | 32,8 | 16,4 | 9,7 | 100,00 | D |
| H1.0 | D | H1.0_S | 1 | 4 | 295,3 | 49,2 | 40,8 | 100,00 | D |

▼M2

| ACFT_ID | OP_TYPE | PROF_ID1 | PROF_ID2 | PT_NUM | UDALJENOST (ft) | VISINA (ft) | BRZINA (kt) | THR_SET (%) | OP_MODE |
|---|---|---|---|---|---|---|---|---|---|
| H1.0 | D | H1.0_S | 1 | 5 | 5 687,5 | 1 000,0 | 60,3 | 100,00 | D |
| H1.0 | D | H1.0_S | 1 | 6 | 8 968,3 | 1 000,0 | 64,1 | 100,00 | D |
| H1.0 | D | H1.0_S | 1 | 7 | 200 000,0 | 1 000,0 | 64,1 | 100,00 | D |
| H1.1 | D | H1.1_S | 1 | 1 | 0,0 | 0,0 | 3,9 | 100,00 | D |
| H1.1 | D | H1.1_S | 1 | 2 | 9,8 | 6,6 | 5,8 | 100,00 | D |
| H1.1 | D | H1.1_S | 1 | 3 | 32,8 | 16,4 | 9,7 | 100,00 | D |
| H1.1 | D | H1.1_S | 1 | 4 | 295,3 | 49,2 | 40,8 | 100,00 | D |
| H1.1 | D | H1.1_S | 1 | 5 | 6 298,3 | 1 000,0 | 64,1 | 100,00 | D |
| H1.1 | D | H1.1_S | 1 | 6 | 9 579,2 | 1 000,0 | 70,0 | 100,00 | D |
| H1.1 | D | H1.1_S | 1 | 7 | 200 000,0 | 1 000,0 | 70,0 | 100,00 | D |
| H1.2 | D | H1.2_S | 1 | 1 | 0,0 | 0,0 | 3,9 | 100,00 | D |
| H1.2 | D | H1.2_S | 1 | 2 | 9,8 | 6,6 | 5,8 | 100,00 | D |
| H1.2 | D | H1.2_S | 1 | 3 | 32,8 | 16,4 | 9,7 | 100,00 | D |
| H1.2 | D | H1.2_S | 1 | 4 | 295,3 | 49,2 | 40,8 | 100,00 | D |
| H1.2 | D | H1.2_S | 1 | 5 | 6 298,3 | 1 000,0 | 70,0 | 100,00 | D |
| H1.2 | D | H1.2_S | 1 | 6 | 9 579,2 | 1 000,0 | 75,8 | 100,00 | D |
| H1.2 | D | H1.2_S | 1 | 7 | 200 000,0 | 1 000,0 | 75,8 | 100,00 | D |
| H2.1 | D | H2.1_S | 1 | 1 | 0,0 | 0,0 | 3,9 | 100,00 | D |
| H2.1 | D | H2.1_S | 1 | 2 | 9,8 | 6,6 | 5,8 | 100,00 | D |

▼M2

| ACFT_ID | OP_TYPE | PROF_ID1 | PROF_ID2 | PT_NUM | UDALJENOST (ft) | VISINA (ft) | BRZINA (kt) | THR_SET (%) | OP_MODE |
|---|---|---|---|---|---|---|---|---|---|
| H2.1 | D | H2.1_S | 1 | 3 | 32,8 | 16,4 | 9,7 | 100,00 | D |
| H2.1 | D | H2.1_S | 1 | 4 | 295,3 | 49,2 | 40,8 | 100,00 | D |
| H2.1 | D | H2.1_S | 1 | 5 | 6 298,3 | 1 000,0 | 70,0 | 100,00 | D |
| H2.1 | D | H2.1_S | 1 | 6 | 9 579,2 | 1 000,0 | 75,8 | 100,00 | D |
| H2.1 | D | H2.1_S | 1 | 7 | 200 000,0 | 1 000,0 | 75,8 | 100,00 | D |
| H2.2 | D | H2.2_S | 1 | 1 | 0,0 | 0,0 | 3,9 | 100,00 | D |
| H2.2 | D | H2.2_S | 1 | 2 | 9,8 | 0,0 | 5,8 | 100,00 | D |
| H2.2 | D | H2.2_S | 1 | 3 | 32,8 | 16,4 | 9,7 | 100,00 | D |
| H2.2 | D | H2.2_S | 1 | 4 | 295,3 | 49,2 | 40,8 | 100,00 | D |
| H2.2 | D | H2.2_S | 1 | 5 | 6 298,3 | 1 000,0 | 70,0 | 100,00 | D |
| H2.2 | D | H2.2_S | 1 | 6 | 9 579,2 | 1 000,0 | 75,8 | 100,00 | D |
| H2.2 | D | H2.2_S | 1 | 7 | 200 000,0 | 1 000,0 | 75,8 | 100,00 | D |

*Tablica I-20*

**Skup 1 podataka za helikoptere Profili za dolazak**

| ACFT_ID | OP_TYPE | PROF_ID1 | PROF_ID2 | PT_NUM | UDALJENOST | VISINA | BRZINA | THR_SET | OP_MODE |
|---|---|---|---|---|---|---|---|---|---|
| H1.0 | A | H1.0_L | 1 | 1 | – 200 000,0 | 1 000,0 | 64,1 | 100,00 | A |
| H1.0 | A | H1.0_L | 1 | 2 | – 10 836,6 | 1 000,0 | 64,1 | 100,00 | A |
| H1.0 | A | H1.0_L | 1 | 3 | – 7 555,8 | 1 000,0 | 60,3 | 100,00 | A |
| H1.0 | A | H1.0_L | 1 | 4 | – 295,3 | 44,1 | 40,8 | 100,00 | A |
| H1.0 | A | H1.0_L | 1 | 5 | – 32,8 | 9,6 | 9,7 | 100,00 | A |
| H1.0 | A | H1.0_L | 1 | 6 | – 9,8 | 6,6 | 5,8 | 100,00 | A |

▼M2

| ACFT_ID | OP_TYPE | PROF_ID1 | PROF_ID2 | PT_NUM | UDALJENOST | VISINA | BRZINA | THR_SET | OP_MODE |
|---|---|---|---|---|---|---|---|---|---|
| H1.0 | A | H1.0_L | 1 | 7 | 0,0 | 0,0 | 3,9 | 100,00 | A |
| H1.1 | A | H1.1_L | 1 | 1 | – 200 000,0 | 1 000,0 | 70,0 | 100,00 | A |
| H1.1 | A | H1.1_L | 1 | 2 | – 8 401,5 | 1 000,0 | 70,0 | 100,00 | A |
| H1.1 | A | H1.1_L | 1 | 3 | – 5 120,6 | 1 000,0 | 64,1 | 100,00 | A |
| H1.1 | A | H1.1_L | 1 | 4 | – 295,3 | 62,0 | 40,8 | 100,00 | A |
| H1.1 | A | H1.1_L | 1 | 5 | – 32,8 | 11,0 | 9,7 | 100,00 | A |
| H1.1 | A | H1.1_L | 1 | 6 | – 9,8 | 6,6 | 5,8 | 100,00 | A |
| H1.1 | A | H1.1_L | 1 | 7 | 0,0 | 0,0 | 3,9 | 100,00 | A |
| H1.2 | A | H1.2_L | 1 | 1 | – 200 000,0 | 1 000,0 | 75,8 | 100,00 | A |
| H1.2 | A | H1.2_L | 1 | 2 | – 9 563,0 | 1 000,0 | 75,8 | 100,00 | A |
| H1.2 | A | H1.2_L | 1 | 3 | – 6 282,2 | 1 000,0 | 70,0 | 100,00 | A |
| H1.2 | A | H1.2_L | 1 | 4 | – 295,3 | 51,8 | 40,8 | 100,00 | A |
| H1.2 | A | H1.2_L | 1 | 5 | – 32,8 | 10,2 | 9,7 | 100,00 | A |
| H1.2 | A | H1.2_L | 1 | 6 | – 9,8 | 6,6 | 5,8 | 100,00 | A |
| H1.2 | A | H1.2_L | 1 | 7 | 0,0 | 0,0 | 3,9 | 100,00 | A |
| H2.1 | A | H2.1_L | 1 | 1 | – 200 000,0 | 1 000,0 | 75,8 | 100,00 | A |
| H2.1 | A | H2.1_L | 1 | 2 | – 9 563,0 | 1 000,0 | 75,8 | 100,00 | A |
| H2.1 | A | H2.1_L | 1 | 3 | – 6 282,2 | 1 000,0 | 70,0 | 100,00 | A |
| H2.1 | A | H2.1_L | 1 | 4 | – 295,3 | 51,8 | 40,8 | 100,00 | A |
| H2.1 | A | H2.1_L | 1 | 5 | – 32,8 | 10,2 | 9,7 | 100,00 | A |
| H2.1 | A | H2.1_L | 1 | 6 | – 9,8 | 6,6 | 5,8 | 100,00 | A |
| H2.1 | A | H2.1_L | 1 | 7 | 0,0 | 0,0 | 3,9 | 100,00 | A |
| H2.2 | A | H2.2_L | 1 | 1 | – 200 000,0 | 1 000,0 | 75,8 | 100,00 | A |
| H2.2 | A | H2.2_L | 1 | 2 | – 9 604,4 | 1 000,0 | 75,8 | 100,00 | A |

▼M2

| ACFT_ID | OP_TYPE | PROF_ID1 | PROF_ID2 | PT_NUM | UDALJENOST | VISINA | BRZINA | THR_SET | OP_MODE |
|---|---|---|---|---|---|---|---|---|---|
| H2.2 | A | H2.2_L | 1 | 3 | – 6 323,6 | 1 000,0 | 70,0 | 100,00 | A |
| H2.2 | A | H2.2_L | 1 | 4 | – 295,3 | 45,2 | 40,8 | 100,00 | A |
| H2.2 | A | H2.2_L | 1 | 5 | – 32,8 | 3,6 | 9,7 | 100,00 | A |
| H2.2 | A | H2.2_L | 1 | 6 | – 9,8 | 0,0 | 5,8 | 100,00 | A |
| H2.2 | A | H2.2_L | 1 | 7 | 0,0 | 0,0 | 3,9 | 100,00 | A |

*Tablica I-21*

**Podaci o svojstvima buke za skup 1 podataka za helikoptere**

| NOISE_ID | THRSET_TYP | MODEL_TYPE | SPECT_APP | SPECT_DEP | SPECT_AFB |
|---|---|---|---|---|---|
| H1.0 | Elisa | I | 215 | 109 | 0 |
| H1.1 | Elisa | I | 215 | 109 | 0 |
| H1.2 | Elisa | I | 215 | 109 | 0 |
| H2.1 | Elisa | I | 215 | 109 | 0 |
| H2.2 | Elisa | I | 215 | 109 | 0 |

*Tablica I-22*

**NPD (noise-power-data) podaci za skup 1 podataka za helikoptere**

| NOISE_ID | NOISE_TYPE | OP_MODE | THR_SET | L_200 | L_400 | L_630 | L_1000 | L_2000 | L_4000 | L_6300 | L_10000 | L_16000 | L_25000 |
|---|---|---|---|---|---|---|---|---|---|---|---|---|---|
| H1.0 | M | A | 80,00 | 81,3 | 75,0 | 70,7 | 66,3 | 59,2 | 51,4 | 45,6 | 39,1 | 31,5 | 23,1 |
| H1.0 | M | A | 100,00 | 84,3 | 78,0 | 73,7 | 69,3 | 62,2 | 54,4 | 48,6 | 42,1 | 34,5 | 26,1 |
| H1.0 | M | D | 80,00 | 81,3 | 75,0 | 70,7 | 66,3 | 59,2 | 51,4 | 45,6 | 39,1 | 31,5 | 23,1 |
| H1.0 | M | D | 100,00 | 84,3 | 78,0 | 73,7 | 69,3 | 62,2 | 54,4 | 48,6 | 42,1 | 34,5 | 26,1 |
| H1.0 | S | A | 80,00 | 82,0 | 78,6 | 76,2 | 73,6 | 69,2 | 64,1 | 60,1 | 55,3 | 49,4 | 42,8 |

▼M2

| NOISE_ID | NOISE_TYPE | OP_MODE | THR_SET | L_200 | L_400 | L_630 | L_1000 | L_2000 | L_4000 | L_6300 | L_10000 | L_16000 | L_25000 |
|---|---|---|---|---|---|---|---|---|---|---|---|---|---|
| H1.0 | S | A | 100,00 | 85,0 | 81,6 | 79,2 | 76,6 | 72,2 | 67,1 | 63,1 | 58,3 | 52,4 | 45,8 |
| H1.0 | S | D | 80,00 | 82,0 | 78,6 | 76,2 | 73,6 | 69,2 | 64,1 | 60,1 | 55,3 | 49,4 | 42,8 |
| H1.0 | S | D | 100,00 | 85,0 | 81,6 | 79,2 | 76,6 | 72,2 | 67,1 | 63,1 | 58,3 | 52,4 | 45,8 |
| H1.1 | M | A | 80,00 | 86,5 | 80,2 | 75,9 | 71,5 | 64,4 | 56,6 | 50,8 | 44,3 | 36,7 | 28,3 |
| H1.1 | M | A | 100,00 | 89,5 | 83,2 | 78,9 | 74,5 | 67,4 | 59,6 | 53,8 | 47,3 | 39,7 | 31,3 |
| H1.1 | M | D | 80,00 | 86,5 | 80,2 | 75,9 | 71,5 | 64,4 | 56,6 | 50,8 | 44,3 | 36,7 | 28,3 |
| H1.1 | M | D | 100,00 | 89,5 | 83,2 | 78,9 | 74,5 | 67,4 | 59,6 | 53,8 | 47,3 | 39,7 | 31,3 |
| H1.1 | S | A | 80,00 | 87,2 | 83,8 | 81,4 | 78,8 | 74,4 | 69,3 | 65,3 | 60,5 | 54,6 | 48,0 |
| H1.1 | S | A | 100,00 | 90,2 | 86,8 | 84,4 | 81,8 | 77,4 | 72,3 | 68,3 | 63,5 | 57,6 | 51,0 |
| H1.1 | S | D | 80,00 | 87,2 | 83,8 | 81,4 | 78,8 | 74,4 | 69,3 | 65,3 | 60,5 | 54,6 | 48,0 |
| H1.1 | S | D | 100,00 | 90,2 | 86,8 | 84,4 | 81,8 | 77,4 | 72,3 | 68,3 | 63,5 | 57,6 | 51,0 |
| H1.2 | M | A | 80,00 | 89,1 | 82,8 | 78,5 | 74,1 | 67,0 | 59,2 | 53,4 | 46,9 | 39,3 | 30,9 |
| H1.2 | M | A | 100,00 | 92,1 | 85,8 | 81,5 | 77,1 | 70,0 | 62,2 | 56,4 | 49,9 | 42,3 | 33,9 |
| H1.2 | M | D | 80,00 | 89,1 | 82,8 | 78,5 | 74,1 | 67,0 | 59,2 | 53,4 | 46,9 | 39,3 | 30,9 |
| H1.2 | M | D | 100,00 | 92,1 | 85,8 | 81,5 | 77,1 | 70,0 | 62,2 | 56,4 | 49,9 | 42,3 | 33,9 |
| H1.2 | S | A | 80,00 | 89,8 | 86,4 | 84,0 | 81,4 | 77,0 | 71,9 | 67,9 | 63,1 | 57,2 | 50,6 |
| H1.2 | S | A | 100,00 | 92,8 | 89,4 | 87,0 | 84,4 | 80,0 | 74,9 | 70,9 | 66,1 | 60,2 | 53,6 |
| H1.2 | S | D | 80,00 | 89,8 | 86,4 | 84,0 | 81,4 | 77,0 | 71,9 | 67,9 | 63,1 | 57,2 | 50,6 |
| H1.2 | S | D | 100,00 | 92,8 | 89,4 | 87,0 | 84,4 | 80,0 | 74,9 | 70,9 | 66,1 | 60,2 | 53,6 |
| H2.1 | M | A | 80,00 | 91,3 | 85,0 | 80,7 | 76,3 | 69,2 | 61,4 | 55,6 | 49,1 | 41,5 | 33,1 |
| H2.1 | M | A | 100,00 | 94,3 | 88,0 | 83,7 | 79,3 | 72,2 | 64,4 | 58,6 | 52,1 | 44,5 | 36,1 |
| H2.1 | M | D | 80,00 | 91,3 | 85,0 | 80,7 | 76,3 | 69,2 | 61,4 | 55,6 | 49,1 | 41,5 | 33,1 |

▼M2

| NOISE_ID | NOISE_TYPE | OP_MODE | THR_SET | L_200 | L_400 | L_630 | L_1000 | L_2000 | L_4000 | L_6300 | L_10000 | L_16000 | L_25000 |
|---|---|---|---|---|---|---|---|---|---|---|---|---|---|
| H2.1 | M | D | 100,00 | 94,3 | 88,0 | 83,7 | 79,3 | 72,2 | 64,4 | 58,6 | 52,1 | 44,5 | 36,1 |
| H2.1 | S | A | 80,00 | 92,0 | 88,6 | 86,2 | 83,6 | 79,2 | 74,1 | 70,1 | 65,3 | 59,4 | 52,8 |
| H2.1 | S | A | 100,00 | 95,0 | 91,6 | 89,2 | 86,6 | 82,2 | 77,1 | 73,1 | 68,3 | 62,4 | 55,8 |
| H2.1 | S | D | 80,00 | 92,0 | 88,6 | 86,2 | 83,6 | 79,2 | 74,1 | 70,1 | 65,3 | 59,4 | 52,8 |
| H2.1 | S | D | 100,00 | 95,0 | 91,6 | 89,2 | 86,6 | 82,2 | 77,1 | 73,1 | 68,3 | 62,4 | 55,8 |
| H2.2 | M | A | 80,00 | 94,3 | 88,0 | 83,7 | 79,3 | 72,2 | 64,4 | 58,6 | 52,1 | 44,5 | 36,1 |
| H2.2 | M | A | 100,00 | 97,3 | 91,0 | 86,7 | 82,3 | 75,2 | 67,4 | 61,6 | 55,1 | 47,5 | 39,1 |
| H2.2 | M | D | 80,00 | 94,3 | 88,0 | 83,7 | 79,3 | 72,2 | 64,4 | 58,6 | 52,1 | 44,5 | 36,1 |
| H2.2 | M | D | 100,00 | 97,3 | 91,0 | 86,7 | 82,3 | 75,2 | 67,4 | 61,6 | 55,1 | 47,5 | 39,1 |
| H2.2 | S | A | 80,00 | 95,0 | 91,6 | 89,2 | 86,6 | 82,2 | 77,1 | 73,1 | 68,3 | 62,4 | 55,8 |
| H2.2 | S | A | 100,00 | 98,0 | 94,6 | 92,2 | 89,6 | 85,2 | 80,1 | 76,1 | 71,3 | 65,4 | 58,8 |
| H2.2 | S | D | 80,00 | 95,0 | 91,6 | 89,2 | 86,6 | 82,2 | 77,1 | 73,1 | 68,3 | 62,4 | 55,8 |
| H2.2 | S | D | 100,00 | 98,0 | 94,6 | 92,2 | 89,6 | 85,2 | 80,1 | 76,1 | 71,3 | 65,4 | 58,8 |

**Skup podataka 2 o buci i performansama helikoptera**

Podaci su pruženi za tri klase helikoptera na temelju maksimalne mase pri uzlijetanju:

1. Laki helikopter (LHEL) maksimalna masa pri uzlijetanju < 3 000 kg

2. Srednji helikopter (LHEL) < 3 000 kg < maksimalna masa pri uzlijetanju < 6 000 kg

3. Teški helikopter (THEL) maksimalna masa pri uzlijetanju > 6 000 kg

Profili leta za dolazak i odlazak daju se kao fiksne točke profila. Osnovni profili leta pretpostavljaju penjanje do visine horizontalnog leta od 1 000 ft (305 m) za svaku klasu. Ako se dio horizontalnog leta pri odlasku ili dolasku lokalno razlikuje od tih vrijednosti, preporuča se prilagoditi osnovne profile kako bi se u njima odrazile lokalne okolnosti.

▼M2

*Tablica I-23*

**Skup 2 podataka za helikoptere Tablica s opisima**

| ACFT_ID | Opis | Tip motora (Engine-TYPE) | Broj motora | Klasifikacija po masi | Kategorija vlasnika | MGTOW (lb) | MGLW (lb) | Maksimalna duljina za slijetanje(ft) | Maksimalni statički potisak na razini mora (lb) | Poglavlje o buci | NPD oznaka (NPD_ID) | Parametar snage | Identifikator spektralne klase za prilaz | Identifikator spektralne klase za odlet | Oznaka lateralne usmjerenosti |
|---|---|---|---|---|---|---|---|---|---|---|---|---|---|---|---|
| LHEL | Helikopteri s maksimalnom masom pri uzlijetanju <= 1 t | Turboelisni | 0 | 0 | Helikopter | 0 | 0 | 0 | 100 | 0 | LHEL | Snaga na osovini (% maksimalnog statičkog potiska) | 215 | 112 | Elisa |
| MHEL | Helikopteri s maksimalnom masom pri uzlijetanju 1-3 t | Turboelisni | 0 | 0 | Helikopter | 0 | 0 | 0 | 100 | 0 | MHEL | Snaga na osovini (% maksimalnog statičkog potiska) | 215 | 112 | Elisa |
| THEL | Helikopteri s maksimalnom masom pri uzlijetanju 3-5 t | Turboelisni | 0 | 0 | Helikopter | 0 | 0 | 0 | 100 | 0 | THEL | Snaga na osovini (% maksimalnog statičkog potiska) | 215 | 112 | Elisa |

*Tablica I-24*

**Skup 2 podataka za helikoptere Profili za odlazak**

| ACFT_ID | Tip operacije | Oznaka profila | Duljina faze | Broj točke | Udaljenost (ft) | Visina (ft) | Stvarna brzina (kt) | Korigirani neto potisak (%) | Režim rada |
|---|---|---|---|---|---|---|---|---|---|
| LHEL | D | DEFAULT | 1 | 1 | 0 | 0 | 1 | 50 | X |
| LHEL | D | DEFAULT | 1 | 2 | 10 | 0 | 3 | 50 | X |
| LHEL | D | DEFAULT | 1 | 3 | 20 | 16 | 5 | 50 | X |
| LHEL | D | DEFAULT | 1 | 4 | 102 | 16 | 5 | 60 | D |
| LHEL | D | DEFAULT | 1 | 5 | 561 | 30 | 50 | 60 | D |
| LHEL | D | DEFAULT | 1 | 6 | 2 297 | 515 | 70 | 60 | D |
| LHEL | D | DEFAULT | 1 | 7 | 4 032 | 1 001 | 90 | 70 | D |
| LHEL | D | DEFAULT | 1 | 8 | 7 014 | 1 001 | 100 | 70 | D |
| LHEL | D | DEFAULT | 1 | 9 | 10 000 | 1 001 | 110 | 70 | D |

▼M2

| ACFT_ID | Tip operacije | Oznaka profila | Duljina faze | Broj točke | Udaljenost (ft) | Visina (ft) | Stvarna brzina (kt) | Korigirani neto potisak (%) | Režim rada |
|---|---|---|---|---|---|---|---|---|---|
| MHEL | D | DEFAULT | 1 | 1 | 0 | 0 | 1 | 50 | D |
| MHEL | D | DEFAULT | 1 | 2 | 10 | 0 | 2 | 50 | D |
| MHEL | D | DEFAULT | 1 | 3 | 20 | 16 | 3 | 50 | D |
| MHEL | D | DEFAULT | 1 | 4 | 102 | 16 | 30 | 50 | D |
| MHEL | D | DEFAULT | 1 | 5 | 561 | 30 | 60 | 50 | D |
| MHEL | D | DEFAULT | 1 | 6 | 4 032 | 1 001 | 65 | 75 | D |
| MHEL | D | DEFAULT | 1 | 7 | 6 785 | 1 001 | 100 | 75 | D |
| MHEL | D | DEFAULT | 1 | 8 | 10 000 | 1 001 | 126 | 75 | D |
| THEL | D | DEFAULT | 1 | 1 | 0 | 0 | 1 | 100 | X |
| THEL | D | DEFAULT | 1 | 2 | 10 | 0 | 2 | 100 | X |
| THEL | D | DEFAULT | 1 | 3 | 20 | 16 | 3 | 50 | D |
| THEL | D | DEFAULT | 1 | 4 | 102 | 16 | 30 | 50 | D |
| THEL | D | DEFAULT | 1 | 5 | 1 001 | 151 | 60 | 50 | D |
| THEL | D | DEFAULT | 1 | 5 | 4 679 | 1 000 | 65 | 75 | D |
| THEL | D | DEFAULT | 1 | 5 | 6 681 | 1 000 | 83 | 75 | D |
| THEL | D | DEFAULT | 1 | 5 | 8 679 | 1 000 | 100 | 75 | D |
| THEL | D | DEFAULT | 1 | 5 | 13 679 | 1 000 | 113 | 75 | D |
| THEL | D | DEFAULT | 1 | 5 | 18 679 | 1 000 | 126 | 75 | D |

*Tablica I-25*

**Skup 2 podataka za helikoptere Profili za dolazak**

| ACFT_ID | Tip operacije | Oznaka profila | Duljina faze | Broj točke | Udaljenost (ft) | Visina (ft) | Stvarna brzina (kt) | Korigirani neto potisak (%) | Režim rada |
|---|---|---|---|---|---|---|---|---|---|
| LHEL | D | DEFAULT | 1 | 3 | – 50 003 | 1 000 | 115 | 70 | X |
| LHEL | D | DEFAULT | 1 | 4 | – 9 332 | 1 000 | 113 | 70 | X |
| LHEL | D | DEFAULT | 1 | 5 | – 6 340 | 686 | 110 | 80 | A |

▼M2

| ACFT_ID | Tip operacije | Oznaka profila | Duljina faze | Broj točke | Udaljenost (ft) | Visina (ft) | Stvarna brzina (kt) | Korigirani neto potisak (%) | Režim rada |
|---|---|---|---|---|---|---|---|---|---|
| LHEL | D | DEFAULT | 1 | 6 | – 4 029 | 443 | 95 | 80 | A |
| LHEL | D | DEFAULT | 1 | 7 | – 1 686 | 197 | 80 | 80 | A |
| LHEL | D | DEFAULT | 1 | 8 | – 843 | 108 | 60 | 80 | A |
| LHEL | D | DEFAULT | 1 | 9 | 0 | 20 | 5 | 80 | A |
| LHEL | D | DEFAULT | 1 | 9 | 102 | 0 | 3 | 80 | A |
| LHEL | D | DEFAULT | 1 | 9 | 121 | 0 | 1 | 80 | A |
| MHEL | D | DEFAULT | 1 | 2 | – 40 229 | 1 000 | 135 | 75 | X |
| MHEL | D | DEFAULT | 1 | 3 | – 36 322 | 1 000 | 123 | 75 | X |
| MHEL | D | DEFAULT | 1 | 4 | – 32 411 | 1 000 | 112 | 75 | X |
| MHEL | D | DEFAULT | 1 | 5 | – 28 504 | 1 000 | 100 | 75 | X |
| MHEL | D | DEFAULT | 1 | 6 | – 22 145 | 1 000 | 90 | 75 | X |
| MHEL | D | DEFAULT | 1 | 7 | – 15 784 | 1 000 | 80 | 75 | X |
| MHEL | D | DEFAULT | 1 | 8 | – 9 426 | 1 000 | 70 | 75 | X |
| MHEL | D | DEFAULT | 1 | 8 | – 5 153 | 551 | 60 | 60 | A |
| MHEL | D | DEFAULT | 1 | 8 | – 750 | 89 | 50 | 60 | A |
| MHEL | D | DEFAULT | 1 | 8 | – 62 | 16 | 20 | 60 | A |
| MHEL | D | DEFAULT | 1 | 8 | 0 | 10 | 5 | 60 | A |
| MHEL | D | DEFAULT | 1 | 8 | 102 | 0 | 2 | 60 | A |
| MHEL | D | DEFAULT | 1 | 8 | 121 | 0 | 1 | 60 | A |
| MHEL | D | DEFAULT | 1 | 8 | – 40 229 | 1 000 | 135 | 75 | X |
| MHEL | D | DEFAULT | 1 | 8 | – 36 322 | 1 000 | 123 | 75 | X |
| MHEL | D | DEFAULT | 1 | 8 | – 32 411 | 1 000 | 112 | 75 | X |
| MHEL | D | DEFAULT | 1 | 8 | – 28 504 | 1 000 | 100 | 75 | X |

▼M2

| ACFT_ID | Tip operacije | Oznaka profila | Duljina faze | Broj točke | Udaljenost (ft) | Visina (ft) | Stvarna brzina (kt) | Korigirani neto potisak (%) | Režim rada |
|---|---|---|---|---|---|---|---|---|---|
| MHEL | D | DEFAULT | 1 | 8 | – 22 145 | 1 000 | 90 | 75 | X |
| MHEL | D | DEFAULT | 1 | 8 | – 15 784 | 1 000 | 80 | 75 | X |
| MHEL | D | DEFAULT | 1 | 8 | – 9 426 | 1 000 | 70 | 75 | X |
| MHEL | D | DEFAULT | 1 | 8 | – 5 153 | 551 | 60 | 60 | A |
| MHEL | D | DEFAULT | 1 | 8 | – 750 | 89 | 50 | 60 | A |
| MHEL | D | DEFAULT | 1 | 8 | – 62 | 16 | 20 | 60 | A |
| MHEL | D | DEFAULT | 1 | 8 | 0 | 10 | 5 | 60 | A |
| MHEL | D | DEFAULT | 1 | 8 | 102 | 0 | 2 | 60 | A |
| MHEL | D | DEFAULT | 1 | 8 | 121 | 0 | 1 | 60 | A |

*Tablica I-26*

**Podaci o svojstvima buke za skup 2 podataka za helikoptere**

| NOISE_ID | THRSET_TYP | MODEL_TYPE | SPECT_APP | SPECT_DEP | SPECT_AFB |
|---|---|---|---|---|---|
| LHEL | P | I | 215 | 109 | 0 |
| MHEL | P | I | 215 | 109 | 0 |
| THEL | P | I | 215 | 109 | 0 |

*Tablica I-27*

**NPD (noise-power-data) podaci za tri klase helikoptera**

| NPD oznaka | Oznaka za opis buke | Režim rada motora | Operativni način | L _200ft | L_400ft | L_630ft | L_1000ft | L_2000ft | L_4000ft | L_6300ft | L_10000ft | L_16000ft | L_25000ft |
|---|---|---|---|---|---|---|---|---|---|---|---|---|---|
| LHEL | MAX | 80 | A | 84,6 | 79,1 | 75,7 | 71,6 | 65,8 | 60,1 | 56 | 48,8 | 41,6 | 34,4 |
| LHEL | MAX | 70 | X | 88,4 | 82,9 | 79,5 | 75,6 | 70,3 | 65 | 61,6 | 55,4 | 49,2 | 43 |

▼M2

| NPD oznaka | Oznaka za opis buke | Režim rada motora | Operativni način | L _200ft | L_400ft | L_630ft | L_1000ft | L_2000ft | L_4000ft | L_6300ft | L_10000ft | L_16000ft | L_25000ft |
|---|---|---|---|---|---|---|---|---|---|---|---|---|---|
| LHEL | MAX | 60 | D | 83,6 | 78,2 | 75,1 | 70,3 | 66,5 | 61,7 | 58,9 | 53,3 | 47,7 | 42,1 |
| LHEL | MAX | 50 | S | 91,7 | 85,3 | 81,5 | 76,5 | 69,4 | 61,5 | 56,5 | 49,6 | 42,7 | 35,8 |
| LHEL | SEL | 80 | A | 90,5 | 87,1 | 84,9 | 82,1 | 77,6 | 72,1 | 67,9 | 62,4 | 56,9 | 51,4 |
| LHEL | SEL | 70 | X | 90,4 | 87 | 84,7 | 81,9 | 77,5 | 72 | 68,1 | 62,9 | 57,7 | 52,5 |
| LHEL | SEL | 60 | D | 85,9 | 82,5 | 80,4 | 77,7 | 73,4 | 68,4 | 64,6 | 59,6 | 54,6 | 49,6 |
| LHEL | SEL | 50 | S | 85,9 | 82,5 | 80,4 | 77,7 | 73,4 | 68,4 | 64,6 | 59,6 | 54,6 | 49,6 |
| MHEL | MAX | 50 | D | 91,8 | 85,2 | 80,6 | 75,7 | 67,5 | 58,1 | 51,2 | 42,6 | 34 | 25,4 |
| MHEL | MAX | 60 | A | 90,2 | 83,9 | 80 | 75,3 | 68,4 | 60,9 | 55,8 | 49,5 | 43,2 | 36,9 |
| MHEL | MAX | 75 | X | 92,4 | 86 | 82 | 77,2 | 70 | 62,3 | 57,1 | 50,8 | 44,5 | 38,2 |
| MHEL | SEL | 50 | D | 91,2 | 87,2 | 84,8 | 80,8 | 75 | 68,1 | 63,7 | 57,6 | 51,5 | 45,4 |
| MHEL | SEL | 60 | A | 94,2 | 90,1 | 88,1 | 84,7 | 80 | 74,7 | 71,3 | 66 | 60,7 | 55,4 |
| MHEL | SEL | 75 | X | 89,3 | 85,3 | 82,8 | 78,9 | 73,1 | 66,6 | 62,6 | 57 | 51,4 | 45,8 |
| THEL | MAX | 50 | D | 91,2 | 85,2 | 81,7 | 76,3 | 68,8 | 60,4 | 54,9 | 46 | 37,1 | 28,2 |
| THEL | MAX | 60 | A | 90 | 84,1 | 80,7 | 75,5 | 68,5 | 60,6 | 55,3 | 48 | 40,7 | 33,4 |
| THEL | MAX | 75 | X | 92,4 | 86,4 | 82,9 | 77,5 | 70,1 | 61,6 | 55,7 | 48,1 | 40,5 | 32,9 |
| THEL | MAX | 100 | S | 100,2 | 93,8 | 90,3 | 84,9 | 77,5 | 69,3 | 64,3 | 56,5 | 48,7 | 40,9 |
| THEL | SEL | 50 | D | 92,8 | 89,3 | 87,4 | 84 | 79,2 | 73,5 | 69,6 | 63,7 | 57,8 | 51,9 |
| THEL | SEL | 60 | A | 91,6 | 88,2 | 86,4 | 83,2 | 78,8 | 73,7 | 70 | 64,7 | 59,4 | 54,1 |
| THEL | SEL | 75 | X | 94 | 90,5 | 88,6 | 85,2 | 80,5 | 74,7 | 70,4 | 64,8 | 59,2 | 53,6 |
| THEL | SEL | 100 | S | 92,8 | 89,3 | 87,4 | 84 | 79,2 | 73,5 | 69,6 | 63,7 | 57,8 | 51,9 |

▼B

*PRILOG III.*

## METODE PROCJENE ŠTETNIH UČINAKA

iz članka 6. stavka 3.

Za utvrđivanje učinaka buke na stanovništvo trebali bi se koristiti odnosi doze-učinka. ►M1 Odnosi doza-učinak koji će biti uvedeni budućim revizijama ovog Priloga izvršenog u skladu s regulatornim postupkom s kontrolom predviđenim u članku 13. stavku 3. posebno se odnose na: ◄

— odnos između smetanja i $L_{den}$ za buku od cestovnog, željezničkog i zračnog prometa te za industrijsku buku,

— odnos između remećenja sna i $L_{night}$ za buku od cestovnog, željezničkog i zračnog prometa te za industrijsku buku.

Ako je potrebno, mogli bi se prikazati specifični odnosi doza-učinak za:

— stanove s posebnom izolacijom protiv buke, kako je određeno u Prilogu VI.,

— stanove s tihom fasadom, kako je određeno u Prilogu VI.,

— različite klime/različite kulture,

— ugrožene skupine stanovništva,

— industrijsku buku istaknutih tonova,

— impulsnu industrijsku buku i druge posebne slučajeve.

02002L0049 — HR — 02.07.2015 — 002.002 — 1019

▼B

*PRILOG IV.*

**NAJMANJI ZAHTJEVI ZA IZRADU STRATEŠKIH KARATA BUKE**

iz članka 7.

1. Strateška karta buke je prikaz podataka o jednom od sljedećih aspekata:

   — postojeće, prethodno ili predviđeno stanje buke izraženo indikatorom buke,

   — prekoračenje granične vrijednosti,

   — procijenjeni broj stanova, škola i bolnica na određenom području koji su izloženi specifičnim vrijednostima indikatora buke,

   — procijenjeni broj ljudi smještenih na području izloženom buci.

2. Strateške karte buke mogu se predstaviti javnosti kao:

   — grafički prikazi,

   — brojčani podaci u tablicama,

   — brojčani podaci u elektroničkom obliku.

3. Strateške karte buke za naseljena područja posebno stavljaju naglasak na buku koju emitira:

   — cestovni promet,

   — željeznički promet,

   — zračne luke,

   — industrijska područja, uključujući luke.

4. Izrada strateških karata buke koristit će se u sljedeće svrhe:

   — za pribavljanje podataka koje treba slati Komisiji u skladu s člankom 10. stavkom 2. i Prilogom VI.,

   — kao izvor informacija za građane, u skladu s člankom 9.,

   — kao temelj za akcijske planove, u skladu s člankom 8.

   Svaka od ovih primjena zahtijeva različitu vrstu strateške karte buke.

5. Najmanji zahtjevi za strateške karte buke koji se odnose na podatke koje treba slati Komisiji navedeni su u stavcima 1.5., 1.6., 2.5., 2.6. i 2.7. Priloga VI.

6. U svrhu obavješćivanja građana, u skladu s člankom 9., i razvoja akcijskih planova, u skladu s člankom 8., moraju biti osigurani dodatni i podrobniji podaci, kao što su:

   — grafički prikaz,

   — karte koje pokazuju prekoračenje granične vrijednosti,

   — karte razlika u kojima se postojeće stanje uspoređuje s različitim mogućim budućim stanjima,

   — karte koje pokazuju vrijednost indikatora buke na visini drukčijoj od 4 m gdje je to prikladno.

   Države članice mogu utvrditi pravila o vrstama i formatima tih karata buke.

▼B

7. Strateške karte buke za lokalnu i nacionalnu primjenu moraju biti izrađene za visinu procjene od 4 m i područja od 5 dB $L_{den}$ i $L_{night}$, kako je određeno u Prilogu VI.

8. Za naseljena područja moraju se izraditi posebne strateške karte buke za buku cestovnog prometa, buku željezničkog prometa, buku zrakoplova i industrijsku buku. Mogu se pridodati karte i za druge izvore buke.

9. Komisija može razviti smjernice koje osiguravaju buduće vođenje karata buke, izradu karata buke i računalnih programa za izradu karata buke, u skladu s člankom 13. stavkom 2.

▼B

*PRILOG V.*

**NAJMANJI ZAHTJEVI ZA AKCIJSKE PLANOVE**

iz članka 8.

1. Akcijski plan mora sadržavati barem sljedeće elemente:

   — opis naseljenog područja, glavnih cesta, glavnih željezničkih putova ili glavnih zračnih luka i drugih izvora buke koji su uzeti u obzir,

   — odgovorno tijelo,

   — pravnu osnovu,

   — sve važeće granične vrijednosti u skladu s člankom 5.,

   — pregled rezultata izrade karata buke,

   — ocjenu procijenjenog broja ljudi izloženih buci, prepoznavanje problema i stanja koje treba poboljšati,

   — bilješku o savjetovanjima s javnošću, organiziranima u skladu s člankom 8. stavkom 7.,

   — sve važeće mjere za smanjenje buke i sve projekte u pripremi,

   — mjere koje nadležna tijela namjeravaju poduzeti u sljedećih pet godina, uključujući sve mjere za očuvanje tihih područja,

   — dugoročnu strategiju,

   — financijske podatke (ako su dostupni): proračune, procjene financijske isplativosti, procjene troškova i koristi,

   — odredbe predviđene za vrednovanje provedbe i rezultata akcijskog plana.

2. Mjere koje nadležna tijela namjeravaju poduzeti na područjima svoje nadležnosti mogu, primjerice, uključivati:

   — planiranje prometa,

   — planiranje namjene prostora,

   — tehničke mjere na izvorima buke,

   — biranje tiših izvora,

   — smanjenje prijenosa zvuka,

   — regulatorne ili ekonomske mjere ili poticaje.

3. Svaki bi akcijski plan trebao sadržavati procjenu smanjenja broja ljudi na koje djeluje buka (kojima buka smeta, remeti san ili drugo).

4. Komisija može razviti smjernice koje osiguravaju daljnje vođenje akcijskih planova, u skladu s člankom 13. stavkom 2.

▼B

*PRILOG VI.*

**PODACI KOJI SE DOSTAVLJAJU KOMISIJI**

iz članka 10.

Podaci koji se dostavljaju Komisiji su sljedeći:

1. **Za naseljena područja**

1.1. Sažet opis naseljenog područja: lokacija, veličina, broj stanovnika.

1.2. Odgovorno tijelo.

1.3. Programi zaštite od buke koji su se provodili u prošlosti i mjere zaštite od buke koje su u tijeku.

1.4. Metode računanja ili mjerenja koje su korištene.

1.5. Procijenjeni broj ljudi (u stotinama) koji žive u stanovima koji su izloženi svakom od sljedećih razreda vrijednosti $L_{den}$ u dB(A) na najizloženijoj fasadi na visini od 4 metra iznad tla: 55 – 59, 60 – 64, 65 – 69, 70 – 74, > 75, odvojeno za buku od cestovnog, željezničkog i zračnog prometa te od industrijskih izvora. Brojevi se moraju zaokružiti na najbližu stotinu (npr. 5 200 = između 5 150 i 5 249; 100 = između 50 i 149; 0 = manje od 50).

Pored toga, kada je to primjereno i kada postoji dostupan podatak, potrebno je navesti koliko ljudi iz gore navedenih kategorija živi u stanovima koji imaju:

— posebnu zvučnu izolaciju protiv buke, odnosno posebnu zvučnu izolaciju zgrade u odnosu na jedan ili više izvora buke iz okoliša, kombiniranu s takvim sustavom za ventilaciju i/ili klimatizaciju zraka da se mogu održati visoke vrijednosti zvučne izolacije od buke iz okoliša,

— tihu fasadu, odnosno fasadu stana koja za buku iz određenog izvora ima vrijednost $L_{den}$ na visini od četiri metra iznad tla i dva metra ispred pročelja za više od 20 dB nižu nego na fasadi s najvišom vrijednošću $L_{den}$.

Potrebno je navesti i kako glavne ceste, glavne željezničke pruge i glavne zračne luke definirane u članku 3. pridonose gore navedenom.

1.6. Procijenjeni ukupni broj ljudi (u stotinama) koji žive u stanovima koji su izloženi svakom od sljedećih razreda vrijednosti $L_{night}$ u dB(A) na najizloženijoj fasadi na visini od 4 metra iznad tla: 50 – 54, 55 – 59, 60 – 64, 65 – 69, > 70, odvojeno za buku od cestovnog, željezničkog i zračnog prometa te od industrijskih izvora. Ovi se podaci mogu utvrditi i za razred vrijednosti 45 – 49 prije datuma iz članka 11. stavka 1.

Pored toga, kada je to primjereno i kada postoji dostupan podatak, potrebno je navesti koliko ljudi iz gore navedenih kategorija živi u stanovima koji imaju:

— posebnu zvučnu izolaciju protiv buke kako je određena u stavku 1.5.,

— tihu fasadu kako je određena u stavku 1.5.

Potrebno je navesti i kako glavne ceste, glavne željezničke pruge i glavne zračne luke pridonose gore navedenom.

▼B

1.7. U slučaju grafičkog prikaza, strateške karte buke moraju prikazivati najmanje krivulje za 60, 65, 70 i 75 dB.

1.8. Sažetak akcijskog plana koji sadrži sve bitne elemente iz Priloga V. i čija duljina ne prelazi deset stranica.

2. **Za glavne ceste, glavne željezničke pruge i glavne zračne luke**

2.1. Opći opis ceste, željezničke pruge ili zračne luke: lokacija, veličina i podaci o prometu.

2.2. Opis njihove okoline: naseljenog područja, sela, seoskog ili drugog krajolika, podaci o korištenju tla, drugi veći izvori buke.

2.3. Programi zaštite od buke koji su se provodili u prošlosti i mjere zaštite od buke koje su u tijeku.

2.4. Metode izračuna ili mjerenja koje su korištene.

2.5. Procijenjeni broj ljudi (u stotinama) koji žive izvan naseljenih područja u stanovima koji su izloženi svakom od sljedećih razreda vrijednosti $L_{den}$ u dB(A) na najizloženijoj fasadi na visini od 4 metra iznad tla: 55 – 59, 60 – 64, 65 – 69, 70 – 74, > 75.

Pored toga, kada je to primjereno i kada postoji dostupan podatak, potrebno je navesti koliko ljudi iz gore navedenih kategorija živi u stanovima koji imaju:

— posebnu zvučnu izolaciju protiv buke kako je određena u stavku 1.5.,

— tihu fasadu kako je određena u stavku 1.5.

2.6. Procijenjeni ukupni broj ljudi (u stotinama) koji žive izvan naseljenih područja u stanovima koji su izloženi svakom od sljedećih razreda vrijednosti $L_{night}$ u dB(A) na najizloženijoj fasadi na visini od 4 metra iznad tla: 50 – 54, 55 – 59, 60 – 64, 65 – 69, > 70. Ovi se podaci mogu utvrditi i za razred vrijednosti 45 – 49 prije datuma iz članka 11. stavka 1.

Pored toga, kada je to primjereno i kada postoji dostupan podatak, potrebno je navesti koliko ljudi iz gore navedenih kategorija živi u stanovima koji imaju:

— posebnu zvučnu izolaciju protiv buke kako je određena u stavku 1.5.,

— tihu fasadu kako je određena u stavku 1.5.

2.7. Ukupno područje (u $km^2$) koje je izloženo vrijednostima $L_{den}$ višim od 55, 65 odnosno 75 dB. Potrebno je navesti i procijenjeni ukupni broj stanova (u stotinama) i procijenjeni ukupni broj ljudi (u stotinama) koji žive na svakom od tih područja. Ti brojevi moraju uključivati naseljena područja.

Krivulje za 55 i 65 dB trebaju također biti prikazane na jednoj ili više karata koje pokazuju podatke o položaju sela, gradova i naseljenih područja unutar tih krivulja.

2.8. Sažetak akcijskog plana koji sadrži sve bitne elemente iz Priloga V. i čija duljina ne prelazi deset stranica.

3. **Smjernice**

Komisija može sastaviti smjernice kako bi dala daljnje savjete o gore navedenom osiguravanju podataka, u skladu s člankom 13. stavkom 2.